

Карл  
Ротхамел

# НАРЪЧНИК ПО АНТЕНИ

Техника

Карл  
Ротхамел DM2ABK

# НАРЪЧНИК ПО АНТЕНИ

*Превод от немски:*

*инж. СТЕФАН ПОПОВ*

*инж. ВАСИЛ ТЕРЗИЕВ LZ1AB*

*София, 1977*

Държавно издателство  
ТЕХНИКА



Книгата съдържа сведения за болшинството късовълнови и ултракъсовълнови антени, които се използват от радиолюбителите по света. Отделна глава е посветена на телевизионните приемни антени. Дадени са също така уредите и методите за настройка на антените.

Книгата е предназначена за широк кръг радиолюбители и специалисти, интересуващи се от практиката на късовълновите, ултракъсовълновите и телевизионните антени.

Държавно издателство „Техника“ изказва благодарност на Военното издателство на ГДР за предоставената му възможност да използва оригиналния илюстрационен материал на книгата.

Karl Rothammel DM2ABW  
ANTENNENBUCH  
8., erweiterte Auflage



Militärverlag der Deutschen Demokratischen Republik (VEB)  
Berlin, 1975



Стефан Ив. Попов, Васил Д. Терзиев,  
превод от немски, 1977

# Съдържание

1. Електромагнитни трептения . . . . .	7
2. Разпространение на електромагнитните вълни . . . . .	13
3. Начин на действие и свойства на антените . . . . .	26
4. Видове диполи . . . . .	50
5. Захранване на антените . . . . .	58
6. Съгласуващи и трансформиращи елементи . . . . .	68
7. Симетриращи елементи . . . . .	106
8. Свързване на захранващия кабел към крайното стъпало на предавателя . . . . .	113
9. Антени за къси вълни . . . . .	126
10. Разновидности на полувълновия излъчвател . . . . .	129
11. Антени „дълга жица“ . . . . .	153
12. Аperiодични антени . . . . .	166
13. Синфазно възбуждани диполни комбинации (синфазни антени) . . . . .	175
14. Надлъжно излъчващи диполни конструкции . . . . .	190
15. Насочени антени с целовълнови елементи . . . . .	201
16. Въртящи се насочени излъчватели с пасивни елементи . . . . .	221
17. Насочени антени със скъсени елементи . . . . .	233
18. Многообхватни насочени антени . . . . .	240
19. Вертикално поляризирани късовълнови антени . . . . .	284
20. Избор на подходяща антена за къси вълни . . . . .	323
21. Антени за ултракъси вълни . . . . .	328
22. Антени за 2m тип „вълнов канал“ . . . . .	332
23. Групови (синфазни) антени за 2-m обхват . . . . .	354
24. Яги-антени и групови излъчватели за 70-cm любителски обхват . . . . .	370
25. УКВ антени с кръгова диаграма на излъчването . . . . .	377
26. Специални форми на УКВ и СВЧ антени . . . . .	397
27. Късовълнови антенни форми за УКВ- и СВЧ-обхватите . . . . .	432
28. Преносими любителски антени . . . . .	444
29. Антени за радио- и телевизионно приемане . . . . .	463
30. Потискане на нежелателните излъчвания . . . . .	497
31. Антенни измерителни уреди . . . . .	514
32. Антенни измервания в любителската практика . . . . .	554
33. Приложения . . . . .	562

# 1. Електромагнитни трептения

Енергията, излъчена от една предавателна антена, се разпространява в пространството под формата на електромагнитни вълни. Този процес може да се обясни нагледно, като чрез хвърлянето на някакъв предмет се образуват вълни по една отначало неподвижна водна повърхност. Възникналото постъпателно движение на вълните не се извършва под формата на течение, т. е. водата не тече. Този факт се доказва, като се разпръснат малки плаващи предмети по раздвижената водна повърхност. При липса на вятър тези предмети остават на същото място и се движат само нагоре-надолу с ритъма на вълните. Серията вълни се разпространява кръгообразно, без водната повърхност да се движи в същата посока.

Възникналата серия вълни може да се дефинира посредством следните понятия:

— *дължина на вълната*  $\lambda$  — най-малкото разстояние между две точки, които се намират на едно и също място върху вълните, в такъв случай — и разстоянието между два съседни максимума или минимума на вълната;

— *честота*  $f$  — броят на вълновите движения (дължини на вълната), които се образуват за една секунда;

— *скорост на разпространение*  $c$  — скоростта, с която серията от вълни се отдалечава от източника на енергия.

Съотношението на тези три величини се изразява чрез формулата

$$\lambda = \frac{c}{f}, \quad (1.1)$$

където  $c = 3 \cdot 10^8$  m/s.

Това съотношение, показано с примера за трептящата водна повърхност, може да се използва и при разпространението на електромагнитните трептения.

Електромагнитните вълни също имат определена дължина на вълната, която

в KB- и УКВ-обхвата се измерва в метри (m).

Както подсказва самият термин „дължина на вълната“, електромагнитните трептения имат вълнова форма. Една дължина на вълната е разстоянието между два съседни вълнови фронта с еднаква фаза (фиг. 1.1).

Фигурата показва възприетото представяне на синусоидален променлив ток, което характеризира моментното състояние на една незатихваща електромагнитна вълна. Моментната стойност на амплитудата се изменя по големина и поляритет в зависимост от времето (отстоянието) по синусоида. От начертаните отсечки А—В и С—D се вижда, че дължината на вълната може да се измерва не само по нулевата линия, но и между две кои да са съседни точки с еднакво положение по фаза.

Прието е фазата да се отчита в ъглови градуси, при което едно цяло трептене (една дължина на вълната) е винаги равно на  $360^\circ$ . По този начин могат лесно да се правят фазови сравнения и да се определят фазови изменения.

Единицата за измерване на честотата е херц (Hz).

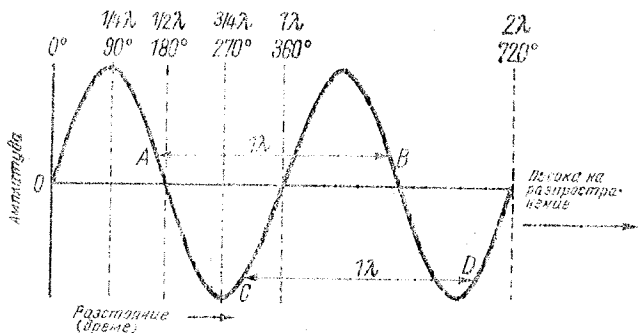
1 Hz = 1 трептене за секунда

1 kHz =  $1 \cdot 10^3$  Hz

1 MHz =  $1 \cdot 10^6$  Hz = 1000 kHz

1 GHz =  $1 \cdot 10^9$  Hz = 1000 MHz

Скоростта на разпространение на електромагнитните вълни в свободното пространство е 300 000 000 m/s и съответства на скоростта на светлината. Когато се говори за скорост на разпространение в свободното пространство, за такова се приема едно съвсем пусто пространство, едно идеално състояние, което в действителност не съществува. Дори космическото пространство не е съвсем пусто. Ако електромагнитните вълни не се разпространяват в свободното пространство, тяхната скорост на разпространение е малко по-малка от



Фиг. 1.1. Изменение на амплитудата на електромагнитна вълна в зависимост от времето

300 000 km/s. Намалването на скоростта зависи от средата, в която се разпространяват вълните. Когато тази среда е атмосферният въздух, намалението на скоростта на разпространение е толкова малко, че се пренебрегва в почти всички практически случаи.

Във високочестотната техника стойността на  $c$  се приема за 300 000 km/s. Ако тя се замести във формула (1.1), се получава

$$\lambda = \frac{3 \cdot 10^8}{f}, \quad (1.2)$$

където  $\lambda$  е в m,  $c$  — в m/s,  $f$  — в Hz, или

$$\lambda = \frac{300\,000}{f},$$

където  $\lambda$  е в m,  $c$  — в km/s,  $f$  — в kHz.

Чрез разместване на членовете на равенството се получава

$$f = \frac{300\,000}{\lambda},$$

където  $f$  е в kHz,  $c$  — в km/s,  $\lambda$  — в m.

В приложенията е дадена таблица за пресмятане на честотата по дължината на вълната и обратно (табл. 33.8).

## 1.1. Електромагнитно поле

Токовете, протичащи в един проводник, създават електромагнитно поле, което се разполага около проводника. То се състои от две компоненти — електрическо поле и магнитно поле. За да може да представи нагледно процесите при възникване на електромаг-

нитното поле, физикът *Майкъл Фарадей* си послужил с прилагания и днес метод полето да се онагледя с въвеждане на силови линии.

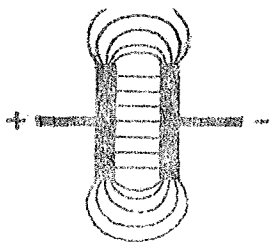
Едно силово поле се характеризира с големината и направлението на силите, които могат да се променят от място на място. Посоката на начертаните силови линии съответствува на посоката на действащата сила, докато отстоянието на силовите линии една от друга, т. е. тяхната гъстота, показва графично големината на силата.

Едно силово поле, в което силата навсякъде е еднаква по големина и посока, се нарича *хомогенно* (равномерно). Ако посоката и големината на силата се променя (неравномерно разпределение на силовите линии), то тогава се говори за *нехомогенно* (неравномерно) поле.

### 1.1.1. Електрическо поле

Ако два предмета, например сфери или пластини, заредени с противоположни електрически заряди, се намират на определено разстояние един от друг, в пространството между тези два предмета се създава електростатично поле. Тъй като зарядът, а с това и полето, не се променят, полето се нарича *електростатично*.

На фиг. 1.2 е показан един кондензатор, чиито пластини са заредени с противоположни заряди. Силата и посоката на електростатичното поле се отразяват чрез силови линии, наречени *електрически силови линии*. При това двумерно представяне пластините са



Фиг. 1.2  
Електростатично поле на кондензатор

кондензатора са показани в напречно сечение. Потенциалната разлика между пластините на кондензатора и разстоянието между тях определят напрегнатостта на електростатичното поле. Потенциалната разлика е право пропорционална, а разстоянието между пластините — обратно пропорционално на напрегнатостта на полето. Напрежението в хомогенното електрическо поле се приважда към единица за дължина и се означава като *напрегнатост на електрическото поле*. Напрегнатостта на електрическото поле е равна на потенциалната разлика за единица дължина по протежение на една силова линия. Тя се дава във волтове на метър (V/m) или в части от волта на метър (mV/m,  $\mu$ V/m).

#### Пример

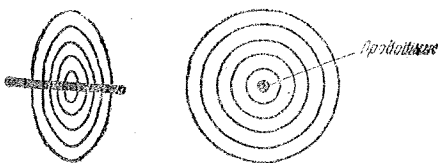
Две пластини на кондензатор са разположени на 0,2 m една от друга. Напрежението между пластините е 10 V. Оттук може да се пресметне напрегнатостта на електростатичното поле

$$\frac{10 \text{ V}}{0,2 \text{ m}} = 50 \text{ V/m}.$$

Ако към пластините на кондензатора се приложи променливо напрежение, посоката и напрегнатостта на полето следват такта на променливото напрежение. Непрекъснато изменящият се поток от заряди към пластините на кондензатора може да се измери в проводниците към генератора като променлив ток.

#### 1.1.2. Магнитно поле

Около всеки проводник, по който тече ток, се образува магнитно поле.



Фиг. 1.3  
Магнитно поле на проводник, по който протича постоянен ток

Ако токът е постоянен, магнитното поле не се променя по направление и напрегнатост; затова то се нарича *магнито статично* поле. Магнитните силови линии образуват концентрични окръжности около проводника, както е показано на фиг. 1.3 за един прав проводник. Магнитните силови линии във всички случаи се затварят сами в себе си.

Ако по проводника протича променлив ток, магнитното поле се изменя по направление и напрегнатост в такт с променливия ток.

#### 1.1.3. Зависимост между електрическото и магнитното поле

Едно напрежение създава винаги електрическо поле, а всяко протичане на ток предизвиква възникване на магнитно поле. Но ток може да протича само тогава, когато съществува потенциална разлика, т. е. напрежение. От това следва, че *електрическото и магнитното* поле съществуват винаги едновременно. Всяко протичане на ток неизменно създава *електромагнитно* поле.

#### 1.1.4. Променливо електромагнитно поле

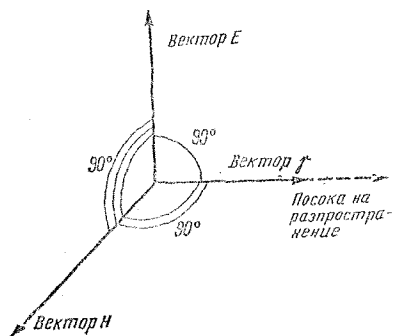
Действието на електромагнитните вълни на разстояние от източника (излъчването) може да се обясни с повишението на едно електромагнитно поле, създадено от променлив ток. Всяко поле съдържа енергия, която се взима от захранващия генератор. Известно време след включване на генератора енергията „излиза“ от проводника в околното пространство — създава се електромагнитното поле. („Известно време“ затова, защото електрическата енергия не се разпространява безкрай-

но бързо, а „само“ със скоростта на светлината). Когато генераторът се изключи, електромагнитното поле се разрушава, т. е. енергията на полето се връща обратно в проводника. Този процес изисква също определено време. Поради това най-отдалечените от проводника части на полето се връщат последни.

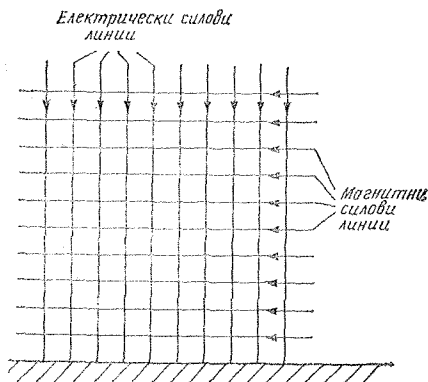
Разрушаващото се магнитно поле създава в проводника напрежение, което от своя страна отново изгражда електрическо поле. Това напрежение, което възниква при прекъсване на електрическата верига, се среща много често в ежедневието. То предизвиква например искрата при отваряне на контактите на прекъсвача в запалителната система на моторните превозни средства.

При протичане на постоянен ток електромагнитното поле не се изменя. Описаните промени възникват само при включване (изграждане на полето) и изключване (разрушаване на полето). Ако по проводника тече променлив ток, процесите на включване и изключване се повтарят непрекъснато в зависимост от честотата.

При определени условия, които ще бъдат разгледани допълнително, процесите протичат така: с нарастване на амплитудата на променливия ток възниква (закъснява с времето на разпространение) променливо електромагнитно поле. Когато амплитудата на тока в съответствие със синусоидалната му форма спада до нула, енергията на полето се връща към провод-



Фиг. 1.4  
Разположение на векторите на електромагнитното поле и посока на разпространение на електромагнитните вълни в свободното пространство



Фиг. 1.5  
Фронт на плоска вълна с вертикална поляризация

ника. Тъй като обаче този процес не протича безкрайно бързо, част от енергията на полето се връща в проводника със закъснение. В същото време там вече съществува напълно изменено разпределение на тока. Този нов ток изгражда ново поле, което отблъсква частите на връщащото се към проводника поле. Блокираните по такъв начин електрически силови линии образуват затворени контури, които са обхванати от магнитни силови линии. Тъй като този процес се повтаря непрекъснато в зависимост от периода на променливия ток, в пространството се разпространява една електромагнитна вълна, която по честота и дължина на вълната съответства точно на възбуждащия променлив ток. Тя се отдалечава от проводника със скоростта на светлината. Условие за образуване на електромагнитни вълни в свободното пространство е генераторът да създава в точно определен момент такова разпределение на тока, което прегражда пътя на връщащото се към проводника поле и го принуждава да премине в пространството.

Посоката на разпространение на електромагнитните вълни в свободното пространство е перпендикулярна на електромагнитното поле. Това е показано чрез векторите на фиг. 1.4. Векторът  $E$  характеризира напрегнатостта на електрическото поле, а векторът  $H$  — напрегнатостта на магнитното поле. Векторът на Пойнтинг  $\gamma$  определя пренасянето на енергия в

посоката на разпространение, той е перпендикулярен на векторите  $E$  и  $H$  и означава количеството енергия, което преминава за една секунда през повърхност от  $1 \text{ m}^2$ , разположена перпендикулярно на посоката на разпространение.

### 1.1.5. Плоски вълни

Електромагнитните вълни, излъчени от точковиден източник, се разпространяват в свободното пространство равномерно във всички посоки и с еднаква скорост. Това можем да си представим, ако приемем източника за център, около който се образуват непрекъснато нарастващи сферични обвивки. Ако бихме могли да видим тези обвивки, в непосредствена близост до източника (малък радиус на сферата) щяхме да ги определим като сферични. Една отдалечена от центъра обвивка ще се възприеме като плоска повърхнина, защото поради голямото разширение на горната повърхност на сферата закривяването няма да се забелязва. Точно затова и земната повърхност се възприема не като сферична, а като плоска. Електромагнитните вълни, намиращи се на голямо разстояние от източника, се разглеждат също като плоски вълни. На фиг. 1.5 е показано полето на една плоска вълна и електрическите и магнитни силови линии в един определен момент от времето. Стрелките показват моментните посоки на силовите линии за една вълна, която се разпространява в направление, перпендикулярно на плоскостта на страницата (вълната се приближава към наблюдателя). За една плоска вълна се казва, че тя е с *плосък фронт*. Посоката на електрическите и магнитните силови линии се обръща на  $180^\circ$  всеки полу-период от трептението (посоката на стрелките се обръща). Посоката на разпространение не се изменя, тя е винаги перпендикулярна на фронта на вълната.

### 1.1.6. Напрегнатост на полето

*Напрегнатостта* на електромагнитното поле се дефинира с напрежението, което съществува на единица дължина по протежение на една електрическа силова линия, разположена на фронта на вълната. Тъй като напрежението е пресметнато за единица дължина, на-

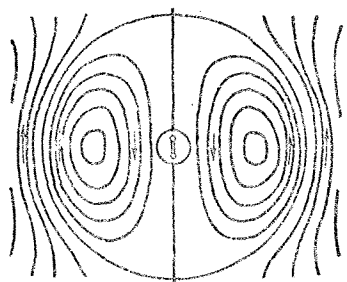
прегнатостта на електрическото поле  $E$  се изразява във волтове на метър, съответно  $\text{mV/m}$  или  $\mu\text{V/m}$ .

В свободното пространство напрегнатостта  $E$  намалява линейно с увеличаването на разстоянието до източника на енергия, тъй като при това последната трябва да се разпредели на все по-голяма площ. Така да се каже, енергията „изтънява“. Когато един излъчвател създава на  $1 \text{ km}$  разстояние напрегнатост на полето  $E$ , например  $1000 \mu\text{V/m}$ , на разстояние  $10 \text{ km}$  напрегнатостта ще бъде  $100 \mu\text{V/m}$ , а на  $1000 \text{ km}$  —  $1 \mu\text{V/m}$ . Тъй като при разпространение на радиовълните в земни условия не съществува идеалното състояние на свободното пространство, зависещото от разстоянието отслабване на напрегнатостта на полето е по-голямо.

### 1.1.7. Поляризация на електромагнитните вълни

Поляризацията на електромагнитната вълна се определя от посоката на *електрическата* компонента на полето. Различават се два главни вида поляризация — *линейна* и *елиптична* (съответно *кръгова*). При елиптична поляризация посоката не е фиксирана, а се върти непрекъснато по елиписа. Ако въртенето се извършва по окръжност, поляризацията се нарича *кръгова*. Според посоката на въртене се различават още поляризация с *ляво въртене* и поляризация с *дясно въртене*. В късовълновия диапазон елиптичната (кръговата) поляризация почти не се използва, докато в СВЧ-диапазона приложението ѝ нараства особено в областта на космическите изследвания (напр. радиоастрономията).

При линейната поляризация електрическите силови линии са прави, като имат определено положение спрямо земната повърхност. Съответно на посоката на електрическите силови линии по отношение на земната повърхност се различават *хоризонтална* поляризация (силовите линии са разположени хоризонтално спрямо повърхността на земята) и *вертикална* поляризация (електрическите силови линии са перпендикулярни на земната повърхност). Така например показаният на фиг. 1.5 фронт на вълната е вертикално поляризиран, защото електриче-



Фиг. 1.6  
Електрическо поле на един вертикален дипол.  
Моментно състояние при  $t=0$

ските силови линии преминават отвесно. Съществува също така и възможността вълните да се поляризират във всяко едно положение спрямо повърхността на земята (между хоризонтално и вертикално), например наклонени на  $45^\circ$ . Практически тази възможност се прилага рядко. На фиг. 1.6 е показано електрическото поле на полуълнов вибратор.

В късовълновия обхват много често се появяват изменения на поляризацията, предизвикани от нееднородността на йоносферата. Те предизвикват явлениято затихване (замиране) на сигнала, така наречения *поляризационен фадинг*. Препятствията по пътя на разпространение на вълните също могат да предизвикат завъртане на поляризацията.

В най-общи линии може да се каже, че една хоризонтално изградена антена излъчва вълна с хоризонтална поляризация. По същия начин един вертикално ориентиран антенен проводник излъчва вертикално поляризирана вълна. При някои антени обаче не е така лесно да се узнае поляризацията само по разположението на проводниците (напр. при процепните антени или двойния квадрат). По същата причина не може да се даде просто, всеобщо правило за елиптична поляризация.

### 1.1.8. Отражение, рефракция и дифракция

Обхватът на техническите високи честоти, който заема честотният спектър от 30 kHz до 300 GHz — съответстващ на вълни с дължина от 10 km до 1 mm — се означава често със сумар-

ното понятие *радиовълни*. Скалата на електромагнитните вълни обаче не обхваща само радиовълните, тя преминава през светлинните вълни и достига до космическите лъчения. Разликата между радиовълните и светлинните вълни е само в дължината на вълната, поради това радиовълните също като светлинните се отразяват, пречупват се и дифрактират.

При *отражение* се различават *насочено* (огледално) отражение, което се получава при гладка повърхност, и *разсеяно* (дифузно) отражение, което се получава при отразяване от неравна повърхност. При насоченото отражение падащият лъч, отразеният лъч и перпендикулярът, издигнат в точката на отразяване, лежат в една равнина. Ъгълът на падане и ъгълът на отражение, измерени спрямо перпендикуляра, издигнат в точката на отразяване, са равни. *Коефициентът на отражение* се определя от *проводимостта*, *диелектричната константа* и *магнитната проникваемост* (пермсеабилитета) на отразяващия предмет.

*Рефракция* (пречупване) на електромагнитните вълни се появява при преминаването в среда с друга диелектрична константа. Този процес има особено голямо значение при разпространението на ултракъсите вълни. Скоростта на разпространение на електромагнитните вълни зависи от диелектричната константа на средата, през която те преминават. Ако средата се промени, променя се и скоростта. Промената на скоростта предизвиква промяна на посоката на разпространение, т. е. рефракция. Атмосферният въздух също има различни диелектрични константи, зависещи от плътността и относителната влажност. Особено нагледно пречупването може да се наблюдава при следния оптически опит — една наклонена пръчка, потопена наполовина в съд с вода, изглежда прегъната в мястото, в което навлиза във водата.

*Дифракцията* (огъването) на електромагнитните вълни настъпва при наличие на препятствие с остри ръбове, разположено на пътя на разпространение на вълните. Тя често прави възможно приемаването на радиовълните в зони, намиращи се в сянка (зад планини или сгради). Дифракцията е честотно зависима — тя намалява с нарастване на честотата.



## 2. Разпространение на електромагнитните вълни

### 2.1. Земна атмосфера

Земната атмосфера играе значителна роля при разпространението на електромагнитните вълни. Газовата обвивка на Земята достига на височина до 2000—3000 km и се състои главно от азот, въглероден двуокис и водни пари.

Атмосферата се дели на три основни слоя: *тропосфера*, *стратосфера* и *йоносфера*.

#### 2.1.1. Тропосфера

Частта от земната атмосфера, която се простира от повърхността на Земята до височина около 11 km, се нарича *тропосфера*. Нарича се също и климатична сфера, защото най-вече в нея протичат всички метеорологически процеси, определящи времето. Тропосферата съдържа приблизително 75% от всички вещества на земната атмосфера. На фиг. 2.1 е показано разслоението и ходът на температурата в долната част на атмосферата.

Общо взето, температурата на въздуха в тропосферата спада с увеличаване на височината, и то с 6 до 8°C на всеки 1000 m. На горната граница на тропосферата, при така наречената *тропопауза*, тя достига един минимум от средно —50°C. Височината на тропопаузата—преходният слой между тропосферата и стратосферата, е променлива. За нашите географски ширини тя е най-малка през март (9,7 km) и най-голяма през юли — 11,1 km. Състоянието на тропосферата е от особено значение за разпространението на ултракъсите вълни.

#### 2.1.2. Стратосфера

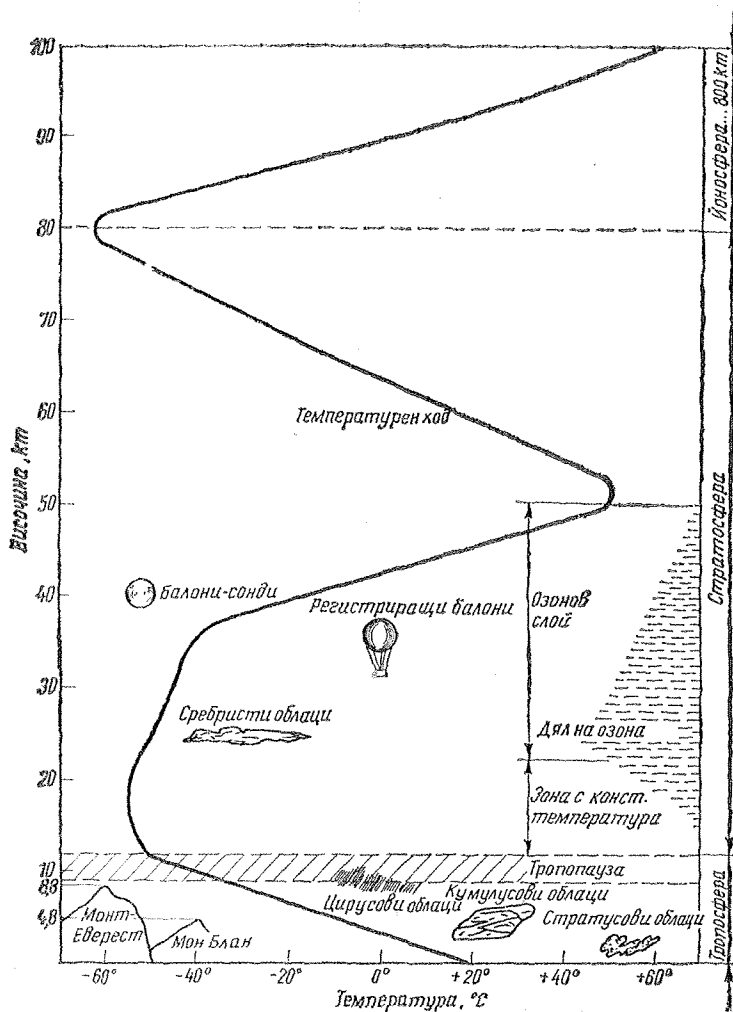
*Стратосферата* се простира на височина от 11 до 80 km. Тя е зона, в

която няма климатични прояви, и се характеризира с пълното отсъствие на водни пари. Температурата на въздуха в стратосферата остава почти постоянна до една височина от около 20 km (зона на постоянна температура). На височина над двадесет километра температурата постепенно се покачва и достига приблизително 50°C при височина 50 km. Тази зона, в която температурата се покачва, се нарича също така и озонова област, тъй като в нея въздухът има относително голямо съдържание на озон. Озоновият слой има голямо значение за възникването и запазването на живота на Земята, защото той поглъща голяма част от ултравиолетовото излъчване на Слънцето, вредно за бактериите и клетките.

Над 50 km отново се проявява тенденция към спадане на температурата с нарастване на височината и накрая, на височина 80 km, на прехода към йоносферата се намира още една точка, след която температурата започва пак да нараства.

#### 2.1.3. Йоносфера

*Йоносферата* се простира на височина над 80 km. Тя достига на височина до около 800 km и при това постепенно преминава в междוזвездното пространство. Преходната област към междוזвездното пространство се нарича *екзосфера*. В йоносферата съществуват голям брой електрически зарядени частици — електрони и йони. Те възникват вследствие на разделянето (йонизацията) на неутрални молекули въздух. Йонизацията се причинява на първо място от слънчевото облъчване (ултравиолетово и корпускулярно излъчване). Космическите лъчения и метеорните потоци също участвуват в йонизацията. За едно денонощие в

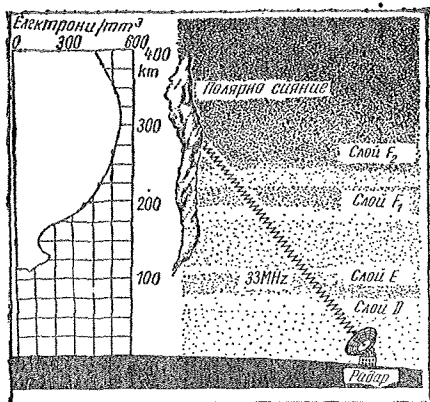


Фиг. 2.1. Разслояване и ход на температурата в долната част на атмосферата

земната атмосфера изгарят няколко десетки милиарда метеорни частици.

Лъчението в горните слоеве на атмосферата притежава достатъчно енергия, за да избие един електрон от атомната обвивка на молекулата на всеки намиращ се там газ. Атомното ядро, на което по този начин е бил отнет един електрон, заедно с останалите електрони представлява положително зареден йон. Свободният електрон по-

пада или на неутрален атом (или неутрална молекула), като образува отрицателен йон, или се присъединява към някой положителен йон, при което се създава неутрален атом. Този обратен процес се нарича *рекомбинация*. Броят на свободните електрони в единица обем зависи от интензивността на лъчението. Поради наличието на електрически заредени частици (йоните) горната част на атмосферата представ-



Фиг. 2.2  
Разслояване на горната част на атмосферата

лява електрически проводник, който има свойството да отразява електромагнитните вълни от определени честотни обхвати.

Още през 1900 година *Хевисайд* и *Кенели* изказаха предположението, че на голяма височина съществува електропроводим слой. През 1924 година англичаните *Ейпълтон* и *Барлет* успяха да получат експериментално доказателство за наличието на отразяващи слоеве в горната част на атмосферата, с което се потвърди теорията на *Кенели* и *Хевисайд*. По-късно, като се използва принципът за измерване на разстояние чрез отразен сигнал, беше установено, че в горните части на атмосферата съществува не само така нареченият слой на *Кенели—Хевисайд*, а една цяла система от слоеве. Досегашните знания за свойствата на атмосферата бяха допълнени и уточнени с данни, получени чрез спътници и геофизични ракети.

В йоносферата има няколко максимума на електронна концентрация. През деня на височина от 40 до 80 km се образува така нареченият слой *D*, който нощем изчезва. В следващия слой *E* (слой на *Кенели—Хевисайд*) максимумът на електронната концентрация е разположен на височина от около 110 до 130 km. Над този слой се намира слой *F* (слой на *Ейпълтон*), който през лятото денем се разделя на слоевете *F*<sub>1</sub> и *F*<sub>2</sub>. Максимум на електронната концентрация съществува на височина 200

до 230 km в слоя *F*<sub>1</sub> и на височина 300 до 400 km в слоя *F*<sub>2</sub>. Йонизацията нараства от слой на слой и достига максимум при височина около 400 km в слоя *F*<sub>2</sub>. Над слоя *F*<sub>2</sub> йонизацията става все по-слаба и накрая изчезва съвсем.

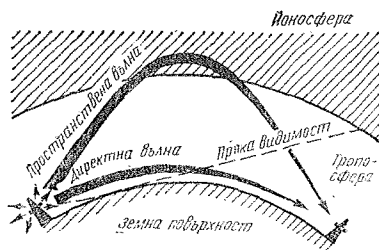
Оценката на по-новите изследвания за строежа на йоносферата показва, че в същност не би трябвало да се говори за система от слоеве, защото преходът между слоевете с различна електронна концентрация се извършва постепенно. Хипотезата за слоестия строеж на йоносферата обаче е приета повсеместно и поради това тя ще бъде запазена и за бъдеще.

Фиг. 2.2 онагледява описаното разделяне на горните слоеве на атмосферата. Тъй като йоносферата е подложена на постоянни промени на състоянието, показваният на фиг. 2.2 строеж не бива да се възприема като една неподвижна система от лежащи един над друг слоеве. Степента на йонизацията се променя непрекъснато в зависимост от годишното време и часа на денонощието, от цикличната промяна на слънчевата активност, от географската ширина и по други причини.

## 2.2. Директна и пространствена вълна

Когато предавателят и приемникът са разположени на земята, радиовълните могат да се разпространяват по два пътя:

- в тропосферата, по протежение на земната повърхност — като повърхностна или директна вълна;
- чрез отражение от йоносферата,



Фиг. 2.3  
Двата пътя на разпространение на електромагнитните вълни — пространствена и директна вълна

— като пространствена вълна.

Тези два пътя на разпространение са представени на фиг. 2.3.

### 2.2.1. Разпространение на директната вълна

Директната вълна следва естествената закривеност на Земята и при това е подложена на поглъщащото влияние на земната повърхност, над която преминава. Поглъщането се увеличава с нарастване на честотата. Много ниските честоти (напр. свръхдългите вълни) имат голяма зона на разпространение като директни вълни. Директната вълна се влияе от електрическата проводимост на почвата и от характера на земната повърхност (застрояване, насаждения и пр.), а нейната зона на разпространение зависи от мощността на излъчване.

При късите вълни зоната на разпространение на директната вълна е малка. С мощността на излъчване на един среден любителски предавател в 80-метровия обхват може да се разчита на разпространение на директната вълна на около 100 km; при същата мощност на излъчване в 10-метровия обхват зоната намалява на около 15 km.

Ултракъсите вълни могат да се разпространяват като директни и на големи разстояния чрез дифракция, пречупване и разсейване в тропосферата. Тези явления ще бъдат описани в раздел 2.4.

### 2.2.2. Разпространение на пространствената вълна

Покриването на големи разстояния в късовълновия обхват е възможно благодарение на пространственото излъчване. При него пространствените вълни се пречупват (отразяват) в йоносферата. Скоростта на разпространение на фронта на вълната в йоносферата  $v_1$  е малко по-голяма от тази в тропосферата и зависи от електронната концентрация  $N$  ( $\text{e}/\text{cm}^3$ ) и от честотата. От съотношението

$$v_1 = \frac{3 \cdot 10^8}{\sqrt{1 - k_1 \left( \frac{N}{f^2} \right)}} \quad (2.1)$$

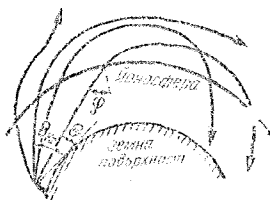
следва, че едно увеличение на електронната концентрация  $N$  при зададена честота  $f$  води до увеличаване на скоростта на разпространение. Ако един вълнов фронт навлиза в йоносферата под ъгъл, по-горните „по-бързи“ части на фронта изпрезават по-долните. Като последствие от тези различия скорости на разпространение фронтът на вълната се огъва и при достатъчно голяма електронна концентрация  $N$  може да бъде отразен към Земята.

Съществуват следните зависимости: за отразяване на вълните от йоносферата електронната концентрация трябва да бъде толкова по-голяма, колкото по-висока е работната честота  $f$ . Пречупването на пространствената вълна към Земята става толкова по-лесно, колкото по-малък е ъгълът, под който тя навлиза в йоносферата (малък ъгъл на излъчване  $\theta$ ). Критична честота  $f_{\text{кр}}$  се нарича най-голямата честота, която все още може да бъде отразена от даден слой, ако навлезе перпендикулярно в йоносферата. В зависимост от ъгъла на навлизане в йоносферата се получава горната гранична честота  $MUF$  (от английски: „Максимална използваема честота“), която е свързана с критичната честота  $f_{\text{кр}}$  чрез следната формула:

$$MUF = f_{\text{кр}} / \sin \theta = f_{\text{кр}} / \sin \phi, \quad (2.2)$$

където  $\theta$  е ъгъл на излъчването,  $\phi$  — ъгъл на навлизане в йоносферата (фиг. 2.4).

Отраженето не се извършва без загуби — при него пространствената вълна затихва повече или по-малко. Затихването в йоносферата е честотно зависимо, по-ниските честоти се по-



Фиг. 2.4

Влияние на ъгъла на излъчване върху дифракцията в йоносферата;  $\theta$  — ъгъл на излъчване;  $\phi$  — ъгъл на навлизане в йоносферата

гълшат по-силно от по-високите. Разпространението на пространствената вълна на големи разстояния може да бъде повлияно и от *екранирането*. За екраниране се говори, когато вълните се отразяват от относително ниско разположения слой *E* и поради това не могат да проникнат до разположения на по-голяма височина и също годе да отразява слой *F*. Може да се обобща, че разпространението на пространствената вълна се определя от факторите *MUF* (горна гранична честота), затихване и екраниране.

Най-голямото разстояние, което може да се покрие чрез просто отражение по пътя на разпространение през йоносферата, е 4000 до 4500 km. Често обаче е възможно късите радиовълни да се отразяват многократно от йоносферата и от земната повърхност, така че пространствената вълна е няколко „скока“ да покрие най-големите земни разстояния.

Като вече беше споменаго, при намаляване на дължината на вълната намалява и отражението от йоносферата. Поради това ултракъсите вълни с дължина под 5 m при нормални условия не се отразяват от йоносферата даже и когато навлизат в нея под възможна най-малък ъгъл. Тези високи честоти пробиват йоносферата и се разпространяват в Космоса. Затова понякога ги наричат „прозорци към Вселената“.

### 2.3. Разпространение на късите вълни и неговите особености

Състоянието на йоносферата има решаващо значение при радиовръзки на къси вълни. То се променя от час на час, от сезон на сезон и от година за година (с цикъла на появяване на петна по Слънцето).

Различната активност на Слънцето се проявява чрез образуване на *гранули*, *факли*, *протуберанси* и особено — на *слънчеви петна*. Петната се появяват най-често в зоните, разположени 20° северно и южно от слънчевия екватор, като най-голям брой петна се наблюдават периодично на всеки 11,1 години. Плътноста на слънчевите петна се означава чрез *относителното число на петната*.

През май 1947 година това число достигна 200, една стойност, която не

бе наблюдавана от столетия. Следващият максимум възникна през март 1958 година.

Гранулите покриват преобладаващата част от повърхността на Слънцето. Те представляват облаци от калций с диаметър около 100 km.

Слънчевите факли се образуват около петната. Те представляват зони на повишена температура и яркост, които се разпространяват по плоскост като дълги снопове светлина. Еруптивните протуберанси са газови маси, които се състоят предимно от водород, хелий и йонизиран калций. Те се изхвърлят от слънчевата фотосфера със скорост до 400 km/s на височина до 1 милион km. Слънчевите петна имат по-ниска температура, отколкото окръжаващата ги слънчева повърхност; наблюдавания са петна с диаметър, 18 пъти по-голям от земния. В петната възникват много силни магнитни полета с напрегнатост до 4500 гауса (магнитното поле на Земята е 0,5 гауса, 1 гаус =  $10^{-5}$  вебера /m<sup>2</sup>). С максимума на слънчевите петна е свързана една повишена активност на Слънцето, която се проявява чрез усилено образуване и излъчване на видими и невидими лъчи с най-различна дължина на вълната. Поради това горните слоеве на земната атмосфера се йонизират по-силно или по-слабо в зависимост от активността на Слънцето. С промяната на електронната концентрация се изменя и отразяващата способност на йоносферата.

Сезонните и ежедневни промени на състоянието на йоносферата са познати, защото през летните месеци слънчевото облъчване е по-интензивно и по-продължително, отколкото през зимните. Също така отсъствието на ултравиолетови лъчи през нощта причинява намаляване на йонизацията и едва след изгрев слънце концентрацията на йоните се увеличава. Когато през дневните часове йоносферата е изложена на слънчево облъчване, всеки слой се йонизира в зависимост от интензивността на облъчването.

*Слой D*, който е разположен най-ниско и в сравнително плътна област на атмосферата, има максимална електронна концентрация през деня, а след залез слънце тя бързо намалява до нула. Съществуващият само през деня слой *D* поглъща силно радиовълните от средновълновия диапазон, както

и по-дългите къси вълни. Относително малката зона на разпространение в любителските обхвати 160 m и 80 m през деня се дължи на поглъщането на сигнала в слоя *D*. Този факт се потвърждава и от това, че в споменатия честотен обхват през зимните дни е възможно да се установи радиовръзка на по-големи разстояния, отколкото през лятото.

Следващият след слоя *D* слой *E* съществува частично и през нощта. Поради липсата на облъчване от Слънцето електронната концентрация е по-малка, отколкото през деня. 80-метровите вълни се поглъщат отчасти от слоя *E*, а при достатъчна плътност на йоните излъчванията в 40-метровия обхват могат да се отразят още от слоя *E*.

Главната роля за разпространението чрез йонизираните слоеве играе слойта *F*. С негова помощ се осъществяват връзки на къси вълни на огромни разстояния. Слойта на *Ейпълтон* има най-голяма дебелина. Неговото йонизиране (съотв. дейонизиране) става много бавно и зависи далеч по-слабо от положението на Слънцето, отколкото йонизирането на по-долните слоеве. Концентрацията на йоните в слоя *F* спада постепенно след залез слънце, малко преди следващия изгрев достига минималната си стойност, но не изчезва съвсем през цялата нощ.

Под действието на интензивното облъчване през дневните часове слойта *F* може да се раздели на два отделни слоя. Тогава се образуват високоразположеният слой *F*<sub>2</sub> и намиращият се под него слой *F*<sub>1</sub>. Слойта *F*<sub>1</sub> не е полезен за установяване на радиовръзките, напротив, той поглъща допълнително отражения от слоя *F*<sub>2</sub> сигнал.

Между границата на зоната, до която достига директната вълна, и точките, в които отраженият от йоносферата сигнал достига отново земната повърхност, се намира така наречената *зона на мълчание* (мъртва зона). В нея не могат да бъдат приети нито директната, нито отразената вълна. При многократно отразяване *мъртвите* зони се повтарят, а разстоянието между двата съседни точки, в които отраженият лъч достига земната повърхност, зависи от височината и степента на йонизация на отразяващия слой, както и от предавателната честота. То се увеличава с нарастване на честотата на сигнала.

### 2.3.1. Разпространение на вълните в любителския 80-m обхват

През деня може да се установи връзка на сравнително малки разстояния, защото 80-метровата вълна се поглъща силно от слоя *D*. През зимата това разстояние е малко по-голямо, отколкото през лятото и би могло да достигне 400 km.

След залез слънце, когато слойта *D* се разрушава, затихването намалява и зоната на покритие се увеличава. През нощта не рядко се осъществяват връзки на 1000 и повече километри, стига съседните станции и високото ниво на атмосферните смущения през лятото да позволят това.

През зимните месеци и особено при минимум на броя на слънчевите петна често е възможно установяването на междуконтинентални връзки в първите сутрешни часове (преди изгрев слънце). Възникващата зона на мълчание е с протежение около 1000 km и европейските станции могат да смущават приемането само там, където достига наземната им вълна.

### 2.3.2. Разпространение на вълните в любителския 40-m обхват

Слойта *D* поглъща през деня и голяма част от сигналите в 40-m обхват, но все пак е нормално да се установи връзка на разстояние до 1000 km. При благоприятни условия са осъществявани връзки на разстояние до 2000 km. През деня мъртвата зона възлиза на около 100 km.

По време, когато броят на слънчевите петна е минимален, още в ранните следобедни часове съществуват възможности за междуконтинентални връзки, които обаче рядко могат да бъдат използвани поради смущенията от съседните станции. През нощта, особено през зимните месеци, зоната на мълчание се увеличава и има максимум около полунощ. Тъй като тогава Европа е разположена в мъртвата зона, могат да се осъществят свободни от смущения радиовръзки с всички континенти.

Когато целият път на разпространение на вълните се намира откъм нощната страна на Земята, затихването е най-малко и следователно зоната на

покритие е най-голяма (отсъствава погледаният слой *D*).

Атмосферните смущения са по-малки, отколкото в 80-м обхват, но все пак те могат сериозно да повлияят на прохождението, особено през летните месеци.

### 2.3.3. Разпространение в любителския 20-м обхват

Любителският 20-м обхват е традиционният DX-обхват (DX = радиовръзки на много големи, междуконтинентални разстояния). Този обхват може да се използва денонощно почти по всяко време за връзки с другите континенти; само по време, когато броят на слънчевите петна е минимален, обхватът е „отворен“ само през деня и в часовете на смрачаване. Тогава не е възможно да се осъществи радиовръзка нощем.

Почти винаги се появява зона на млъчание, която денем и по време на намалена слънчева активност има протежение около 1000 km; при максимум на слънчевите петна тя намалява до 400 km и по-малко. От време на време тя дори може да изчезне (през лятото).

С настъпване на вечерното смрачаване зоната на млъчание бързо се разширява и нощем тя може да достигне максимум от около 4000 km. Условието за връзка са особено благоприятни, когато част от пътя на разпространение лежи откъм нощната страна на Земята.

20-м обхват може да се използва за нощни радиовръзки с Европа само по време на максимум на слънчевите петна, през лятото и при известни условия. Атмосферните смущения почти не се проявяват.

### 2.3.4. Разпространение в любителския 15-м обхват

Условията зависят силно от периода на слънчевата активност. При максимум на слънчевите петна този обхват е „отворен“ почти неограничено за DX-връзки. Тогава дори с малки мощности на излъчване могат да се покрият много големи разстояния, тъй като затихването е много малко.

По време на минимум на слънчевите петна обхватът може да се използва

евентуално денем през летните месеци и най-често за кратко време. Нощем не съществуват възможности за връзки, а в зимните месеци обхватът е неизползуваем и през деня.

Понякога може да се появи отражение от *спорадичния слой E*, тогава са осъществими връзки на разстояния до 2000 km. Атмосферните смущения не влияят в 15-м обхват.

### 2.3.5. Разпространение в любителския 10-м обхват

Обхватът може да се използва за връзки чрез отражение на пространствената вълна само при повишена слънчева активност. Тогава съществуват превъзходни възможности за DX-връзки, особено денем, и е възможно да се направят връзки на много големи разстояния с незначителна мощност на предавателя. Трябва да се има предвид, че мъртвата зона е около 4000 km. Пътят на разпространение трябва да е откъм дневната страна на Земята, т. е. при „отваряне“ на обхвата в ранните сутрешни часове се приема отначало само станции от Далечния изток. При максимална слънчева активност обхватът може да се използва до късните вечерни часове. Зависимостта от слънчевата активност е силна.

При минимум на броя на слънчевите петна 10-м обхват пропада изцяло за далечни връзки. Кратковременни връзки на средни разстояния са възможни единствено чрез случайно отражение на сигнала от спорадичния слой *E*.

## 2.4. Разпространение на ултракъсите вълни и неговите особености

В спектъра на електромагнитните трептения ултракъсите вълни заемат обхвата от 10 до 1 m, съответстващи на честотния обхват от 30 до 300 MHz.

Ултракъсите вълни (УКВ) имат международно означение *VHF* (от английски: много високи честоти).

Разпространението на УКВ прилича много на това на светлината. Затова ги наричат също и квазиоптични (подобни на светлинните) вълни. Като цяло квазиоптичните могат да бъдат наречени само вълните от дециметровия, санти-

метровия и милиметровия обхват, докато по-дългите УКВ представляват преходната област към вълните, подобни на светлинните.

#### 2.4.1. Квазиоптично разпространение на УКВ

За радиолюбителите представлява интерес обхватът от 144 до 146 MHz (2 m). Без да се вземат пред вид редките изключения, може да се каже, че при тези честоти вече не е възможно отражение от йоносферата.

УКВ са особено подходящи за покриване на разстояния в зоната на пряката оптическа видимост. На тези разстояния напрегнатостта на полето е постоянна и се осигурява надеждна радиовръзка независимо от йоносферните и метеорологични условия.

Фактичката зона на разпространение на 2-m вълни се простира най-малко 15% зад оптическия хоризонт. По-новите изследвания обясняват това закривяване на ултракъсите вълни към повърхността на Земята като последица от намаляването на коефициента на пречупване на въздуха при нарастване на височината. Този коефициент се определя от съдържанието на водни пари, налягането и температурата на тропосферата. Увеличаването на зоната на сигурно приемане на ултракъсите вълни зад оптическия хоризонт се отразява с приблизителната формула

$$d = 4,13 (\sqrt{h_1} + \sqrt{h_2}), \quad (2.3)$$

където  $d$  е зоната на сигурно приемане на 2-m вълна в km;

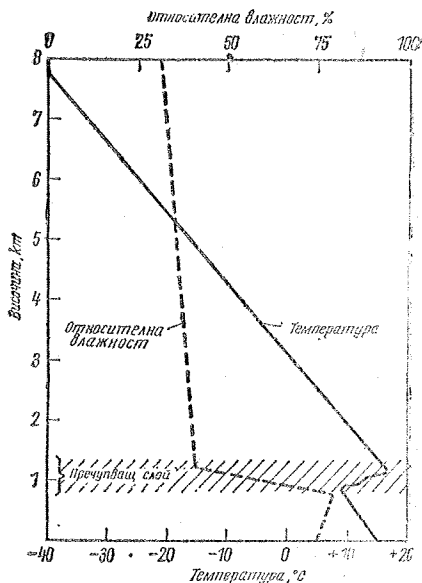
$h_1$  — височина на антената на предавателя в m;

$h_2$  — височина на антената на приемника в m.

Тази формула се базира на така наречения ефективен земен радиус, т. е. не се използва действителният земен радиус от средно 6370 km, а един увеличен с 1/3 радиус от 8500 km.

#### 2.4.2. Свръхдалечно разпространение на ултракъсите вълни

Понякога се наблюдава свръхдалечно разпространение на ултракъсите вълни (на 1000 и повече km), което не може да се обясни с нормалното разли-



Фиг. 2.5  
Пример за хода на температурата и на относителната влажност в тропосферата при образуване на инверсия

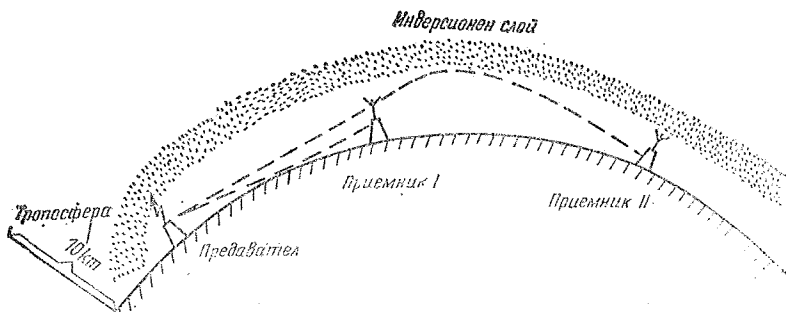
рение на зоната на покритие зад хоризонта. То може да има различни причини, но най-често се дължи на особеното състояние на тропосферата.

##### 2.4.2.1. Свръхдалечно разпространение на УКВ, дължащо се на тропосферата

Температурата на тропосферата, общо взето, спада с нарастването на височината, и то 6 до 8°C на всеки 1000 m покачване. Вследствие на движенията на въздуха и на останалите метеорологични влияния промяната на температурата на въздуха, както и на относителната влажност може обаче да става много рязко и с това да се отклони от нормалния ход (фиг. 2.5). Едно такова обръщане на нормалния температурен ход, наречено също така *инверсия*, означава смяна на плътността на въздуха. При това топлият въздух образува област с по-малка плътност, отколкото студеният.

Законът за пречупване на светлината гласи, че светлинният лъч се пречупва





Фиг. 2.6. Разпространение на ултракъсите вълни в тропосферата

при преминаване от оптично по-плътна среда в оптично по-малко плътна среда, като се отклонява встрани от перпендикуляра, издигнат в точката на пречупването. Обратно, при преминаване от по-малко плътна в оптически плътна среда пречупването става, като лъчът се приближава до перпендикуляра, издигнат в точката на пречупването.

При промяна на плътността на средата, в която се разпространяват ултракъсите вълни, последните се разпространяват подобно на светлинните лъчи. При навлизане в един инверсионен слой фронтът на вълната претърпява едно закривяване към повърхността на Земята (фиг. 2.6). Това са или *повърхностни* инверсии в близост до повърхността на Земята (разпространение на малки разстояния зад хоризонта), или *височинни инверсии* — на височини, достигали няколко хиляди метра (разпространение на големи разстояния зад хоризонта).

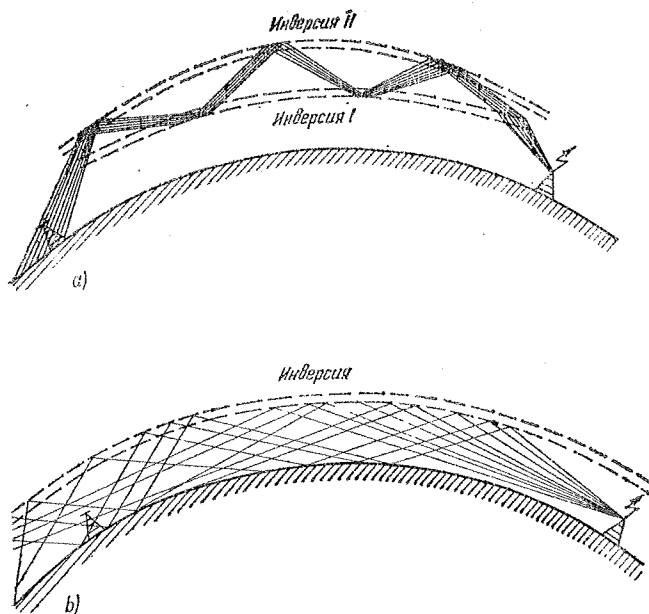
От фиг. 2.6 може да се види, че в случай на директно разпространение до насрещната станция (приемник I) могат да достигнат само такива сигнали, които са излъчени под възможно най-малък ъгъл, приблизително тангенциално на земната повърхност. Ако състоянието на тропосферата позволява закривяването на вълните и с това — свръхдалечно разпространение, то също така този малък ъгъл на излъчване е необходим и за приемане на сигнала от приемника II. От това следва, че антени с малък разтвор на диаграмата в Н-равнината са особено подходящи за покриване на големи разстояния.

Едно особено явление е рядко срещаното се тропосферно *вълноводно* раз-

пространение (англ. *ducting*). То може да възникне, когато повече инверсионни слоеве са разположени един над друг. Един радиосигнал, който попадне между тези слоеве, се отразява от един слой към друг дотогава, докато попадне на „пролука“ в долния слой (фиг. 2.7 а). Този случай се отличава с това, че радиовръзки могат да се осъществят само с отдалечени станции, много често разположени на малка площ. Около тях се намира зона на мълчание. Вълноводното разпространение може да се осъществи и чрез отразяване на сигнала от повърхността на Земята и един широко разпротрял се повърхностен инверсионен слой. Характерно за този начин на разпространение е това, че при него няма зона на мълчание (фиг. 2.7 б). Ако коефициентът на пречупване в тропосферата е толкова голям, че един сигнал, излъчен успоредно на земната повърхност се отразява обратно към Земята, се говори за суперрефракция. Тогава се получава едно пълно отразяване от инверсионния слой, подобно на това, което се извършва при разпространението на КВ от йоносферните слоеве.

#### 2.4.2.2. *Свръхдалечно разпространение чрез разсеяно отразяване (scatter)*

Във високите части на тропосферата, приблизително на височина около 10 km, съществува интензивно вертикално разместване на въздушните пластове. Това разместване на въздушните течения с различна температура предизвиква продължителна турбулентност. При това възникват паразитни неедно-



Фиг. 2.7. Вълноводно разпространение през тропосферата: *a* — вълноводно разпространение между два инверсионни слоя; *b* — вълноводно разпространение между повърхността на Земята и притемен инверсионен слой

родности — биха могли да бъдат наречени нееднородности на въздуха, — които се отличават от околните въздушни частици по температура, налягане и влажност (фиг. 2.8). Ако фронтът на вълната премине през тези нееднородности, една малка част от сигнала се разсейва дифузно. Тъй като разсеяните радиовълни се разпространяват в раз-

лични посоки, една част от тях попада отново на земната повърхност зад хоризонта. Напрегнатостта на полето на този сигнал е извънредно малка, но се отличава с постоянно ниво.

При *разсеяно отражение от тропосферата (tropospheric scatter)* се използват честоти от 100 до 1000 MHz (предимно около 500 MHz). При това зоната на покритие може да достигне до 800 km (понякога и до 1000 km). Качеството на приемане не е добро и се наблюдава стесняване на лентата на предавания сигнал. Стесняването на лентата на сигнала се причинява от различния фазово отместване на вълните, отразени от отделните части на областта, в която съществуват описаните нееднородности. Чрез промените на положението на тези области в тропосферата се обяснява и наличието на по-силен или по-слаб фадинг.

По-стабилни радиовръзки се получават при разсеяно отражение от йоносферата (англ.: *ionospheric scatter*). В този случай се използва едно определено разсейване на сигнала от долните



Фиг. 2.8  
Разсейване на високочестотните вълни в тропосферата

слоеве на йоносферата на височина приблизително 100 km. Използват се честоти между 25 и 60 MHz. Разстоянието между станциите, установяващи радиовръзка, възлиза на 1000 до 2500 km. Ако те са на по-малко от 1000 km, напрегнатостта на полето на сигнала, получен чрез разсеяно отражение, намалява силно.

#### 2.4.2.3. Отражение на УКВ от метеорни следи (meteor scatter)

При движението си по своята орбита около Слънцето Земята се сблъсква с невъобразимо голям брой, най-често малки, прахообразни метеорити. Метеоритите понякога навлизат в земната атмосфера с много голяма скорост (до 72 km/s) и най-често се изпаряват и изгарят поради триенето във въздуха на височина от 100 до 200 km. Една съвсем малка част от тези метеорити са с толкова голяма маса, че при изгарянето им в атмосферата остава видима светлинна следа (падаща звезда). Извънредно рядко масата на метеоритите е достатъчна, за да не изгорят без остатък в атмосферата.

Различават се две групи метеорити. Първата група съществува в Космоса по всяко време и е разпределена там съвсем произволно. Метеоритите от тази група се движат в най-различни посоки и с различни скорости. Метеоритите от втората група се движат по определена орбита, в една и съща посока и с еднаква скорост. Това са метеорните потоци — наречени също така метеорен дъжд, — които пресичат земната орбита периодично на определени интервали от време.

Един метеорит, който изгаря в зем-

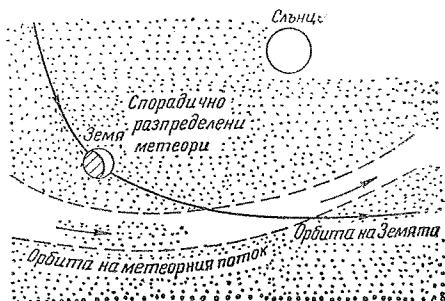
ната атмосфера, оставя не само светлинна среда. Преди да се изпари окончателно, той създава един йонизационен канал. Тази йонизирана „опашка“ съществува много кратко време, тъй като се разширява бързо в разределения въздух и се разсейва. Преди това обаче йонизацията е така интензивна, че ултракъсите вълни могат да бъдат отразени от метеорната среда. Колкото по-голям е падащият метеорит, толкова по-голям и дълготраен е неговият йонизационен канал.

Радиопредавания чрез отражение от метеорни среди се осъществяват в Канада (система Janet). Радиолюбителите, работещи на вълна 2 m, също използват този метод за връзка. При това те не разчитат на случайни успехи, като изчакват да се появи някой метеорит, а използват възможностите за връзки при периодичното преминаване на Земята през орбитите на метеорните потоци. Тъй като техните орбити и скорости са известни, с доста голяма точност може да се изчисли предварително кога ще се появят възможности за този вид радиовръзки (фиг. 2.9).

Отразяващите йонизационни канали, предизвикани от падащите метеорити, съществуват кратко време, затова и условията за осъществяване на радиовръзки траят много кратко. Сравнително рядко възникват йонизационни следи, които обуславят отражение с продължителност от няколко секунди до 2 min.

#### 2.4.2.4. Отражение на УКВ от полярно-изто силнее

От време на време Слънцето изхвърля в Космоса огромни, електрически заредени газови маси. Те нямат



Фиг. 2.9  
Метеорен поток и орбита на Земята

вълнов характер и поради това скоростта на разпространението им е само около 1500 km/s. Тъй като при това се излъчват корпускули (най-малки частици), това лъчение се нарича *корпускулярно*.

Когато нашата Земя попадне в едно такова лъчение, влиянието на земното магнитно поле отклонява електроните и йоните на корпускулярния поток по посока на полюсите. При географска ширина около 70°, в така наречената зона на полярните сияния, корпускулярното лъчение навлиза в земната атмосфера и предизвиква там освен допълнителното йонизиране известните *полярни сияния*. Едновременно в зоната на полярните сияния се създава система от токове, чието силно променящо се магнитно поле се сумира с постоянното земно магнитно поле. Така възниква магнитна буря, чиято интензивност е най-голяма в зоната на полярните сияния.

Допълнителната йонизация, предизвикана от интензивното корпускулярно лъчение, може да достигне значителна стойност на определени места. Поради това много често в непосредствена близост до полярните сияния се изграждат изразени центрове на йонизация, които са така силни, че УКВ могат да бъдат отразени от тях.

Отражението от така наречения *Е-слой* на северното сияние се извършва на височина средно над 100 km. Поради дифузно отразяване предаваният сигнал претърпява големи изкривявания. По тази причина е възможно да се осъществи само телеграфна връзка.

Полярни сияния възникват най-често при максимум на броя на слънчевите петна. Освен това може да се каже, че те се наблюдават предимно в ранна пролет (март) и в началото на есента (септември).

Около 26 часа след започването на някоя по-голяма слънчева ерупция може да се очаква, че корпускулярното лъчение ще навлезе в атмосферата на Земята. Понякога обаче се случва изхвърлените от Слънцето частици да не достигнат Земята и тогава описаните явления в земната атмосфера не се наблюдават, въпреки че е отбелязано слънчево изригване. Най-често това става, когато изригването стане в близост до периферията на слънчевия диск.

#### 2.4.2.5. Отражение на УКВ от спорадичния *Е-слой*

Понякога електронната концентрация на йоносферата се променя по случаен закон. Тези промени се проявяват например като статично движение на йоносферния вятър. При тях, особено в ниските слоеве на йоносферата, се образуват *спорадични нееднородности* с много интензивна йонизация. Тъй като тези случайно разпределени центрове с повишена електронна концентрация се разполагат във и под слоя *Е*, говори се за *спорадичен Е-слой* (*E<sub>s</sub>-слой*). Неговото възникване досега не е обяснено окончателно, но влиянието му е приблизително известно.

Доказано е, че за ограничена част от УКВ-обхвата, между 30 и 100 MHz, може да се получи йоносферно отражение от спорадичния *Е-слой*. Радиолобителите също така са установявали радиовръзки при дължина на вълната 2 m, които при дадените обстоятелства и покритите разстояния е много вероятно да се дължат на отражение от спорадичния *Е-слой*.

Тъй като отражението се извършва на височина около 100—150 km, може да се пресметне, че сигналът се връща отново на земната повърхност на едно разстояние от 900 до 2000 km от предавателя.

#### 2.4.2.6. Разпространение на УКВ чрез отражение от Луната и чрез спътници

Както е известно, УКВ пробиват йоносферните слоеве на земната атмосфера и се разпространяват в Космоса. На този факт се базира известният метод за установяване на радиовръзка, като се използва траекторията Земя—Луната—Земя. Още през 1946 г. се отдаде приеждането на отразени от Луната импулси на честота 111,5 MHz, като беше използван преустроен за целта радар. Първата двустранна връзка между радиолобителите беше установена на 21 юли 1960 г. от W6HB (Сан Карлос, Калифорния) и WIBU (Медфийлд, Масачузетс). Мощността на предавателите беше 400 W HF, използваната честота 1296 MHz, а за антени са служели параболични огледала. Двете станции бяха отдалечени една от друга на

4320 km и успяха да установят радиовръзка с едно „отклонение“ от 768 000 km. През 1964 г. последваха редица успешни опити за установяване на връзки между Европа и Америка в обхватите 2-m и 70 cm, като радиолобителите използваха отражението на сигналите от Луната.

Провеждането на радиовръзки чрез използването на трасето Земя—Луна—Земя изисква съответната висока техническа обезпеченост. За някои служебни приложения времето на закъснение на сигнала (приблизително 5 s) се оказва твърде голямо.

Нови възможности за радиовръзки в УКВ-обхвата откриват изкуствените спътници на Земята. Те се изстрелват на предварително изчислена орбита. Освен тези, които се използват за научни изследвания (например OSCAR),

има и такива, които служат за предаване на телевизионна програма от един континент на друг (*Молния 1, TELSTAR, SYNCOM*).

Пасивните спътници представляват големи балони, чиято външна обвивка е метализирана (напр. балонът *ECHO*). Поради това те притежават добра отразяваща способност за квазиоптичните вълни и действуват като пасивни отражатели. Активните спътници представляват изкуствени спътници на Земята, които приемат излъчените от Земята радиосигнали чрез електронни устройства и ги предават обратно, но вече на друга честота. Понякога тези активни спътници работят и с електронни запомнящи устройства. Запомнените радиосигнали се излъчват обратно към Земята едва след изтичането на определен интервал от време.

### 3. Начин на действие и свойства на антенните

Една антена има предназначението да отнеме енергия от съществуващото електромагнитно поле (приемна антена) или да излъчи доставената от високочестотен генератор (предавател) енергия под формата на електромагнитни вълни. Според теоремата на реципрочността една и съща антена може да се използва и като приемна, и като предавателна. Нейните характеристични свойства и данни и в двата случая остават непроменени. Поради това се говори за реципрочни антени. При по-нататъшните обяснения за по-голяма прегледност се говори предимно за предавателната антена и затова последната често е наричана за по-кратко излъчвател.

#### 3.1. Полуwave дипол

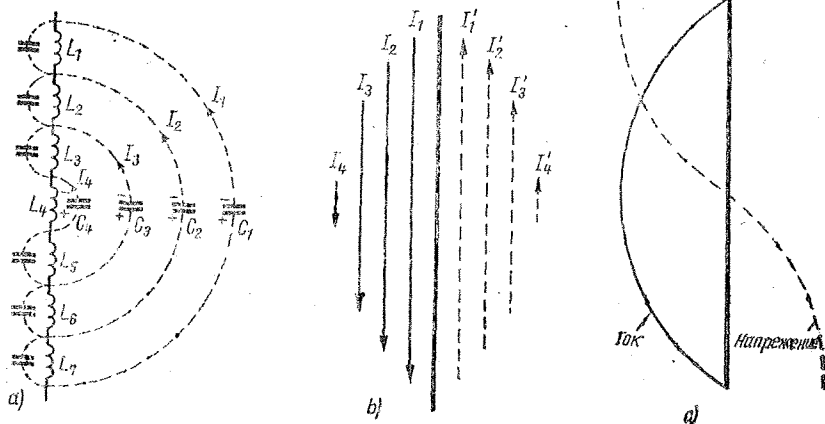
Най-простият и едновременно с това най-широко разпространеният резо-



Фиг. 3.1. Полуwave дипол

насен елемент в антенната техника е така нареченият полуwave дипол. Той е основен градивен елемент на почти всички видове антени и служи като еталонна антена за сравнително определяне на усилването на останалите антени. За да може да се разберат свойствата и начинът на действие на антените, тук за начало ще бъде разглеждана теорията на полуwave дипола.

Както показва самото име, полуwave диполът има дължина, която съответствува приблизително на половината от дължината на използваната



Фиг. 3.2. Разпределение на тока върху проводник с дължина  $\lambda/2$

вълна ( $\lambda/2$ ). В този случай диполът е в резонанс с дължината на вълната (фиг. 3.1). Думата дипол значи двуполосник и означава освен това, че полувълновият излъчвател е разделен на две симетрични половини. Към получените в средата му „два полюса“, в точките  $x$ , може да бъде включен захранващият проводник, съответно — предавателят или приемникът.

### 3.1.1. Разпределение на тока и напрежението по дължината на полувълновия излъчвател

Един опънат електрически проводник (напр. жица, прът или тръба) притежава определени индуктивност и капацитет, които са разпределени равномерно по дължината му. Това е показано на фиг. 3.2а, където са начертани равномерно разпределените по проводника индуктивности от  $L_1$  до  $L_7$  със съответните им капацитети, както и разпределените по проводника капацитети от  $C_1$  до  $C_4$ . Предполага се, че в един определен момент от времето всички кондензатори имат определен заряд. Кондензаторите се разреждат през съответстващите им индуктивности. При това всеки път протича ток и възниква съответно магнитно поле. Изравняването на зарядите на двете пластини на  $C_4$  през  $L_4$  предизвиква протичането на един ток  $I_4$ ,  $C_3$  се разрежда през  $L_3$ ,  $L_4$  и  $L_5$  с ток  $I_3$ ,  $C_2$  изравнява зарядите си през индуктивностите от  $L_2$  до  $L_6$ , при което протича токът  $I_2$ . Накрая, разреждането на  $C_1$  се извършва през индуктивностите от  $L_1$  до  $L_7$ , като при това протича токът  $I_1$ . От казаното дотук следва, че в средата на излъчвателя протича най-голям ток — сумата от токовете  $I_1$ ,  $I_2$ ,  $I_3$  и  $I_4$ . Към краищата на излъчвателя токът става все по-малък и в самия му край не протича никакъв ток. На фиг. 3.2б токовете от  $I_1$  до  $I_4$  за по-голяма прегледност са нанесени още веднъж в друга форма. Поради протичането на ток около индуктивностите се образуват магнитни полета, които предизвикват повторно зареждане на кондензаторите, в този случай обаче с противоположен заряд. Знакът на напрежението се е променил. Процесът се повтаря отново, този път в обратна посока, както е показано на

фиг. 3.2б чрез токовете от  $I_1$  до  $I_4$ . От това опростено представяне на процесите може да се изведе показаното на фиг. 3.2с разпределение на тока и напрежението по дължината на полувълновия излъчвател.

Между тока и напрежението съществува една фазова разлика от  $90^\circ$ , докато разликата във фазите на напрежението в двата края на излъчвателя е  $180^\circ$ .

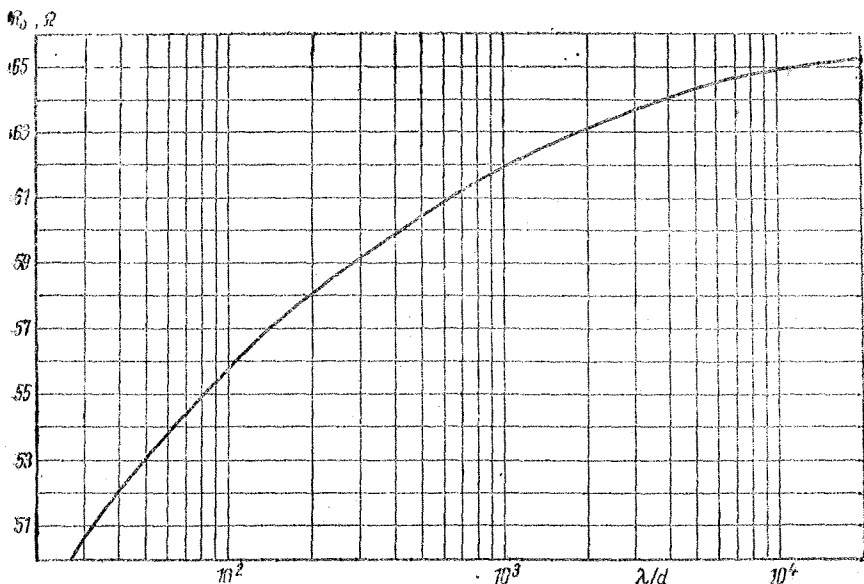
От показаното разпределение на тока и напрежението по дължината на излъчвателя се вижда, че в средата на дипола токът е най-голям (максимум на тока). В същото време напрежението в тази точка преминава през нулевата линия (възел на напрежението). На края на излъчвателя съотношението е точно обратното: максимумът на напрежението съвпада с минимум на тока. От разпределението на напрежението се разбира освен това, че полувълновите излъчватели могат да бъдат закрепени без електрическа изолация направо към заземената стрела на антената. Както се вижда, закрепването се извършва в точка, в която напрежението е нула и изолация не е необходима. Поради това полувълновите елементи могат да се заземяват в геометричната им среда. Трябва обаче да се спомне, че в средата на излъчвателя съществува съпротивление на излъчване и напрежението не е пълна „нула“. Същото се отнася и за тока в края на излъчвателя, който вследствие на така наречения „краев ефект“ не изчезва напълно. Затова в случая се говори за минимум на напрежението.

### 3.1.2. Импеданс на антената

От разпределението на тока и напрежението по дължината на излъчвателя може да се добие представа за съотношението на съпротивленията. Както е известно от закона на Ом, отношението на напрежението към тока определя съпротивлението:

$$\frac{\text{напрежение}}{\text{ток}} = \text{съпротивление.}$$

Комплексното съпротивление (импедансът) на един резонансен излъчвател може да се изчисли за всяка една точка от дължината му, като се вземе отно-



Фиг. 3.3. Зависимост на входното съпротивление  $R_0$  на един полуълнов дипол от отношението дължина на вълната/диаметър на антенния проводник ( $\lambda/d$ )

шението на напрежението и тока за тази точка. В случай на резонанс това съпротивление е чисто активно, а ако излъчвателят не е настроен в резонанс за съответната дължина на вълната, съпротивлението има и реактивна (индуктивна или капацитивна) съставна.

От показаното на фиг. 3.2с могат да се направят следните важни заключения: *В края на излъчвателя* напрежението е голямо, а токът — малък.

*В средата на излъчвателя* напрежението е малко, а токът — голям. В тази точка импедансът е малък.

Макар че импедансът може да се изчисли за всяка една точка по повърхността на излъчвателя, като импеданс на една антена се означава стойността му в точките на свързване на хранящия кабел (входно съпротивление). При полуълновите диполи свързването се извършва в точки, в които токът е максимален и затова входното съпротивление е малко (около 60  $\Omega$ ).

Теоретически пресметнатото входно съпротивление на един полуълнов дипол е 73  $\Omega$ . Тази стойност обаче се отнася за безкрайно тънък проводник (отношението  $\lambda/d$  е равно на безкрай-

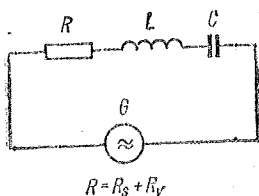
ност), който освен това е разположен безкрайно високо над земята. Както се вижда от фиг. 3.3, входното съпротивление на полуълновия дипол се влияе от отношението на дължината на вълната спрямо диаметъра на антенния проводник.

Отношението  $\lambda/d$  се нарича *коэффициент на излъчване*. При пресмятането му  $\lambda$  и  $d$  трябва да се вземат в едни и същи единици. В обхвата на късите и ултракъсите вълни диаметърът на антенния проводник е над 2 mm, така че за тези обхвати входното съпротивление на полуълновия дипол винаги може да бъде прието за по-малко от 65  $\Omega$ .

### 3.1.3. Съпротивление на излъчване

Съпротивлението на излъчване е една изчислителна величина, от която могат да се изведат различни съотношения, характеризиращи антените. То винаги се пресмята при максимум на тока и представлява еквивалентното съпротивление, което би разсеяло излъчваната мощност. В случай на резонанс входното съпротивление на анте-





Фиг. 3.4

Полувълновият дипол като последователен трептящ кръг (заместителна схема за случай на резонанс)

ната е чисто активно и за един излъчвател, захранван в точки, в които токът е максимален (напр. полувълнов дипол), е равно на сумата от съпротивлението на излъчване  $R_s$  и съпротивлението на загубите  $R_v$ . Последното се дължи на повърхностното съпротивление на антенния проводник и на диелектричните загуби в изолаторите. Съпротивлението на загубите, общо взето, може да се поддържа много по-малко от съпротивлението на излъчване. То пак от своя страна зависи от мястото, където е поставена антената (височина над земята, вид на земната повърхност, съседни постройките и пр.) и от механичните размери на излъчвателя (коэффициента на изтъняване).

Когато са известни излъчената мощност  $P_s$  и максималната стойност на антенния ток  $I_{\max}$ , съпротивлението на излъчване може да се пресметне по формулата

$$R_s = \frac{P_s}{I_{\max}^2} \quad (3.1)$$

Коефициентът на полезно действие на една антена може да се прецени по отношението на съпротивлението на излъчване към съпротивлението на загубите. Той се пресмята по формулата

$$\eta = \frac{1}{1 + \frac{R_v}{R_s}} \quad (3.2)$$

### 3.1.4. Полувълновият дипол като трептящ кръг

Обикновеният трептящ кръг, използван в радиотехниката, има съсредоточени параметри, като индуктивността

се реализира чрез бобина, а капацитетът чрез кондензатор. Един опънат проводник също има индуктивност и капацитет, но те не са съсредоточени, а равномерно разпределени по дължината му. Когато проводникът е в резонанс с възбуждащата честота, той може да се разглежда като трептящ кръг. Това е показано на фиг. 3.4. Съпротивлението се състои от последователно свързаните съпротивления на излъчване и на загубите.

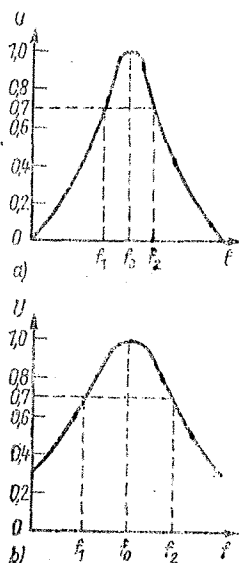
Резонансната честота на един трептящ кръг се определя от големината на самоиндукцията и капацитета по формулата  $\omega L = \frac{1}{\omega C}$ ,

където  $\omega = 2\pi f = 6,28 f$  е кръговата честота;

$\omega L$  — индуктивното съпротивление;

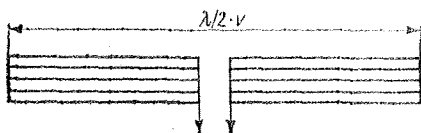
$\omega C$  — капацитивното съпротивление.

Резонансната честота на полувълновия дипол зависи от същите пара-



Фиг. 3.5

Зависимост на резонансната крива на излъчвателя от отношението  $L/C$ , широчината на пропускателната честотна лента  $B = f_2 - f_1$ ; а — пропускателна честотна лента при голямо отношение  $L/C$ , б — пропускателна честотна лента при малко отношение  $L/C$



Фиг. 3.6

„Дебел“ дипол, състоящ се от по 5 отделни проводника във всяко рамо на дипола

метри. Индуктивността, както и капацитетът — а с това и резонансната честота — се определят главно от геометричните размери на излъчвателя.

Ако се пренебрегнат кръговите загуби, качественият фактор на един трептящ кръг зависи главно от отношението  $L/C$ . При голямо отношение  $L/C$  (голяма самоиндукция и малък капацитет) се получава един тесноленгов и с остра резонансна крива кръг, при малко отношение  $L/C$  (малка самоиндукция и голям капацитет) кръгът е широколенгов, с по-малко остра резонансна крива. Широчината на честотната лента на трептящия кръг зависи от качествения му фактор и може да се определя от резонансната крива (фиг. 3.5). Същите резонансни криви могат да се получат и от един полулъвов дипол, когато той се намира в хомогенно електромагнитно поле. Трябва да се измерва антенното напрежение, като се поддържа постоянна напрегнатост на полето и се изменя честотата. Най-голяма стойност на напрежението се получава при резонансната честота на антената  $f_0$ . Тази стойност се приема за единица (1,0). Честотните марки  $f_1$  и  $f_2$  означават честотите под и над  $f_0$ , при които напрежението спада до ниво 0,7 (≈ 3 dB). Абсолютната широчина на честотната лента  $B$  се получава от разликата  $f_2 - f_1$ . Относителната широчина на честотната лента  $b$ , която представлява отношенията на широчината на честотната лента  $B$  към резонансната честота  $f_0$ , се пресмята по формулата

$$b = \frac{B}{f_0} \quad (3.3)$$

Резонансната крива, показана на фиг. 3.5а, би се получила за един кръг с голямо отношение  $L/C$ , съответно за един дипол с малка широчина на честотната лента  $B$ . Кривата, показана

на фиг. 3.5в, би се получила при малко отношение  $L/C$  или при един дипол с широка честотна лента.

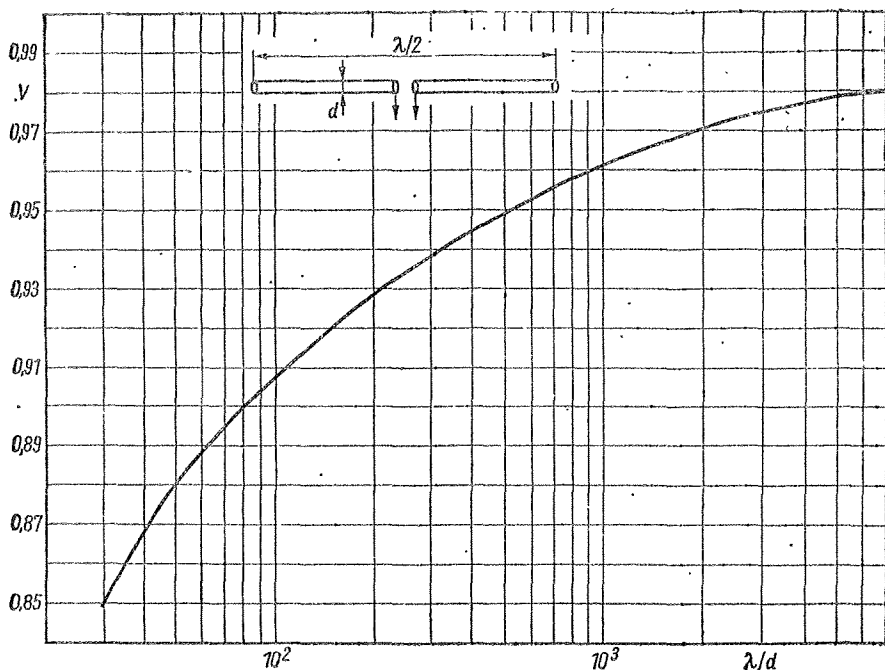
Сега ще бъде обяснено по какъв начин геометричните размери на един излъчвател определят отношението  $L/C$  и с това — широчината на честотната му лента. Един полулъвов дипол от относително тънък проводник има определена индуктивност  $L$  и определен капацитет  $C$ .

Ако няколко такива еднакви проводници се свържат паралелно, за да образуват един „дебел“ дипол, както това е показано на фиг. 3.6, капацитетите на отделните проводници се сумират и общата им стойност става равна на  $5C$ , докато при паралелното свързване на индуктивностите общата им стойност се намалява на  $1/5 L$ . Даже от това опростено разглеждане може да се разбере, че един по-дебел дипол има по-малко отношение  $L/C$  и с това — по-широка честотна лента, отколкото един по-тънък дипол. Критерий за дебелината на антената дава използваната дължина на вълната. Отношението на дължината на вълната към диаметъра на излъчвателя ( $\lambda/d$ ), както вече споменахме, се нарича коефициент на изтъняване.

Изразено, широколенговите антени се познават главно по голямата повърхност на излъчвателя (напр. плоските, цилиндричните и биконичните антени). Поради големия си капацитет те представляват един трептящ кръг с малко отношение  $L/C$ . Ако се изключат споменатите широколенговите антени, коефициентът на изтъняване е практически без значение в късволновия обхват, тъй като при най-често срещаните жицини антени отношението  $\lambda/d$  е обикновено 5000 и по-голямо.

### 3.1.5. Коефициент на скъсяване

При досегашните разглеждания не беше правена разлика между електрическата и механичната дължина на излъчвателя. Фактически електрическата и механичната дължина на една антена биха били равни само тогава, когато антенният проводник може да се направи безкрайно тънък, като освен това се предполага, че проводникът се намира в свободното пространство. Всеки реален антенен проводник има



Фиг. 3.7. Зависимост на коефициента на скъсяване на полуълновия дипол от отношението дължина на вълната/диаметър на проводника

обаче определена дебелина, той трябва да бъде фиксиран в някакво положение чрез закрепващи елементи и се намира на крайно разстояние от повърхността на земята и от други обекти. При тези обстоятелства необходимата за резонанс механична дължина трябва да бъде намалена спрямо електрическата дължина на излъчвателя.

Влиянието на коефициента на изтъняването върху коефициента на скъсяването  $V$  става ясно, когато си представим, че един по-дебел излъчвател има по-голям капацитет, отколкото също толкова дълъг, но по-тънък излъчвател. Резонансната честота на всеки трептящ кръг, чийто капацитет се увеличава, намалява. Поради това и резонансната честота на дебел излъчвател е по-ниска от тази на също толкова дълъг, тънък проводник. За да се изравнят резонансните честоти на двата излъчвателя, трябва да се компенсират по-големият капацитет на дебелия излъчвател чрез намаляване на дължи-

ната на проводника. Ето защо при една и съща резонансна честота по-дебелият излъчвател трябва да бъде по-къс.

На фиг. 3.7 е показана зависимостта на коефициента на скъсяване на полуълновите диполи от коефициента на изтъняване  $\lambda/d$ .

#### Пример

Трябва да се намери механичната дължина на полуълнов дипол за 144 MHz, който ще бъде направен от алуминиева тръба с диаметър  $d$ , равен на 25 mm.

Съответстващата на 144 MHz дължина на вълната е точно 208 cm. Оттук може да се пресметне отношението  $\lambda/d$ :

$$208 \text{ cm} : 2,5 \text{ cm} \approx 80.$$

От кривата (фиг. 3.7) може да се види, че на коефициент на изтъняване 80

съответствава коефициент на скъсяване  $V=0,90$ . Следователно механичната резонансна дължина на полувълновия дипол е

$$\frac{\lambda}{2} \cdot V = 208 \cdot 0,90 = 93,6 \text{ см.}$$

При използването на тръба, дебела само 10 mm, същият дипол би трябвало да бъде дълъг 96,7 cm ( $\lambda/d \approx 200$ , откъдето  $V=0,93$ ). Формулата

$$l = \frac{141}{f},$$

където  $l$  е механичната дължина в m, а  $f$  — резонансната честота в MHz, се използва за приблизително изчисляване на дължината на полувълновия дипол за честоти, по-големи от 30 MHz. Тя има само ограничено приложение, защото в нея се приема, че коефициентът на изтъняване има постоянна стойност (300), което отговаря на постоянен коефициент на скъсяване от 0,94.

При изчислението на полувълновия дипол за късовълновия обхват се използват предимно подобни емпирични формули. В този обхват коефициентът на изтъняване обикновено има стойности, по-големи от 5000 и се изменя съвсем слабо в зависимост от отношението  $\lambda/d$ . Ето защо е допустимо в този обхват да се приема постоянен коефициент на скъсяване. Формулата

$$l = \frac{142,2}{f}, \quad (3.4)$$

където  $l$  е в m, а  $f$  — в MHz, или

$$l = \frac{142\,200}{f}, \quad (3.5)$$

където  $l$  е в m, а  $f$  — в kHz, е достатъчно точна за всички практически случаи. Тя обаче е валидна само за полувълнови диполи.

В последните две формули е приет коефициент на скъсяване 0,955. От фиг. 3.7 се вижда, че при коефициент на изтъняване 5000 би трябвало коефициентът на скъсяване да бъде точно 0,98. Очевидно тук е въведено допълнително скъсяване, което отразява нагрупания практически опит. Един такъв допълнителен коефициент на скъсяване

наистина съществува, той се дължи на така наречения *краев ефект*. Известно е, че жиците антени — а те се използват предимно в късовълновия обхват — се закрепят в краищата с керамични изолатори. Тези изолатори и укрепващите ги жици пряко представяват един допълнителен капацитивен говор в края на антената, чието влияние трябва да бъде компенсирано чрез скъсяване на проводника.

Освен този при късовълновите антени се появяват и редица други капацитивни товари, чиято стойност е трудно да бъде преценена предварително. Те се дължат на близостта на антенния проводник до повърхността на земята (разстоянието възлиза най-често на само част от дължината на вълната), както и на близостта на сгради, свободно висящи проводници и други подобни препятствия.

Краевият ефект няма някакво особено значение при УКВ-антените, защото антенните проводници в същност най-често са алуминиеви тръби, които не се нуждаят от закрепване с изолатори в краищата. Влиянието на околната среда също може да бъде поддържано достатъчно малко, тъй като в повечето случаи е възможно УКВ-антената да бъде поставена на място, отдалечено на няколко дължини на вълната от земната повърхност и другите препятствия.

### 3.1.6. Ефективна дължина (ефективна височина) на полувълновия дипол

Големината на напрежението, което една антена може да отнеме от обкръжаващото я електромагнитно поле, зависи от следните два фактора:

- от напрегнатостта на електромагнитното поле в мястото на антената;
- от ефективната (действащата) дължина, съотв. височина на приемната антена.

Ако един проводник, например полувълнов дипол, се постави в електромагнитно поле, в него се индутира напрежение. Независимо от дължината на вълната това напрежение се увеличава толкова повече, колкото по-дълъг е антенният проводник.

Когато един дипол е в резонанс, токът в него се разпределя синусоидално. При това най-активно излъчва-

енергия тази част от проводника, в която токът е максимален. Ето защо и действащата (ефективна) дължина на един дипол не е равна на механичната му дължина. Ефективната дължина на полуълнов дипол се изчислява по формулата

$$L_{\text{eff}} = \frac{\lambda}{\pi}, \quad (3.6)$$

където  $L_{\text{eff}}$  и дължината на вълната  $\lambda$  имат еднакви дименсии, а  $\pi = 3,14$ . След заместване на дължината на вълната  $\lambda$  чрез честотата  $f$  се получава

$$L_{\text{eff}} = \frac{95,5}{f}, \quad (3.7)$$

$$\left( \lambda = \frac{c}{f} \rightarrow L_{\text{eff}} = \frac{c}{\pi} \cdot \frac{1}{f} = 9,55 \cdot 10^7 \text{ m/s} \cdot \frac{1}{f} = 95,5 \text{ m} \cdot \frac{1}{f} \right),$$

където  $f$  е в МНз.

Напрежението, което се индутира в приемния дипол, може да бъде изчислено, ако са известни напрегнатостта на електрическото поле  $E$  в мястото на присмане и ефективната дължина на дипола:

$$U = E \cdot L_{\text{eff}}. \quad (3.8)$$

Оттук следва

$$U = E \cdot \frac{\lambda}{3,14} \quad (3.9)$$

и

$$U = E \cdot \frac{95,5}{f}, \quad (3.10)$$

където  $f$  е в МНз.

Индуктираното в полуълновия дипол напрежение се предава към приемника. Максималното количество енергия се предава тогава, когато съпротивлението в точките на захранване на антената е равно на входното съпротивление на приемника. В този случай — при съгласуване, половината от индуктираното в дипола напрежение достига до входа на приемника. Втората половина се излъчва отново от антената под формата на електромагнитни трепте-

ния. Причината за това е, че съпротивлението на антената и входното съпротивление на приемника са свързани паралелно. Тъй като двете съпротивления имат еднаква стойност, общото напрежение трябва да се раздели равномерно между тях, така че на всяко отделно съпротивление се пада половината от цялото напрежение.\*

Напрежението, което се получава на входа на присманка при използване на полуълнови диполи, се пресмята по формулата

$$U = E \cdot \frac{\lambda}{6,28}, \quad (3.11)$$

където  $U$  е напрежението на входа на присманка в  $\mu\text{V}$ ,  $E$  — напрегнатостта на полето в мястото на присмане в  $\mu\text{V/m}$ ,  $\lambda$  — дължината на вълната в м, 6,28 — константа, равна на  $2\pi$ .

Ако се замести  $\lambda$  с честотата  $f$ , се получава

$$U = E \cdot \frac{47,8}{f}, \quad (3.12)$$

където  $f$  е в МНз.

Ефективната дължина на антената участва във всички формули на изчисляване на изходното напрежение. Ако досега не стапа дума за ефективната височина на антената, то е защото ефективната дължина и ефективната височина са математически еднакви. Те се различават само по начина на разглеждане, т. е. при симетричните антени се говори за ефективната им дължина, докато за несиметричните антени се използва терминът ефективна височина. Последният изобщо не е свързан с височината, на която е

\* Това обяснение е погрешно. Когато две съпротивления са свързани паралелно, напрежението, което пада върху тях, е едно и също, но е равно на цялото напрежение на захранващия източник. Правилно е да се приеме, че антената е източник на напрежение с вътрешно съпротивление, равно на входното съпротивление на приемника. При равенство на съпротивленията падът на напрежение върху всяко от тях е равен на половината от цялото напрежение на източника (заб. прев.).

издигната антената над земята, нито пък с дължината на посещата мачта.

При оценката на горните формули може да се направи следната констатация: при постоянна напрегнатост на полето  $E$  напрежението  $U$ , индуктирано в един резонансен полувълнов дипол (и във всяка друга антена) е толкова по-голямо, колкото е по-голяма дължината на вълната.

### 3.2. Насочено действие

#### и усиливане на антените

Една антена, която излъчва енергия напълно равномерно във всички посоки, се нарича *сферичен* или *изотропен* излъчвател.

Изразът „сферичен излъчвател“ подсказва, че той няма насочено действие. За онагледяването на тези процеси може да се използва едно сравнение от оптиката: Ако в центъра на една стъклена сфера се постави един точковиден източник на светлина, той би осветил равномерно цялата повърхност на сферата. Това значи, че яркостта (плътността на излъчването) във всички точки от повърхността на сферата е еднаква. Все пак един такъв сферичен излъчвател не може да се реализира практически. Той съществува само в теорията и е приет за сравнителни цели. От тази констатация следва, че всяка практически изпълнима антена никога не излъчва равномерно във всички посоки на пространството. Всяка антена има насочено действие, което се описва с нейната *характеристика на насочено действие*. За да може да се построи тази характеристика съвсем точно, би трябвало тя да се представи пространствено. Обаче, тъй като пространственото разпределение на плътността на излъчването не може да се възпроизведе чрез начертаване върху плоскост, характеристиката на насочено действие на антената се дава само в хоризонталната и вертикалната равнина.

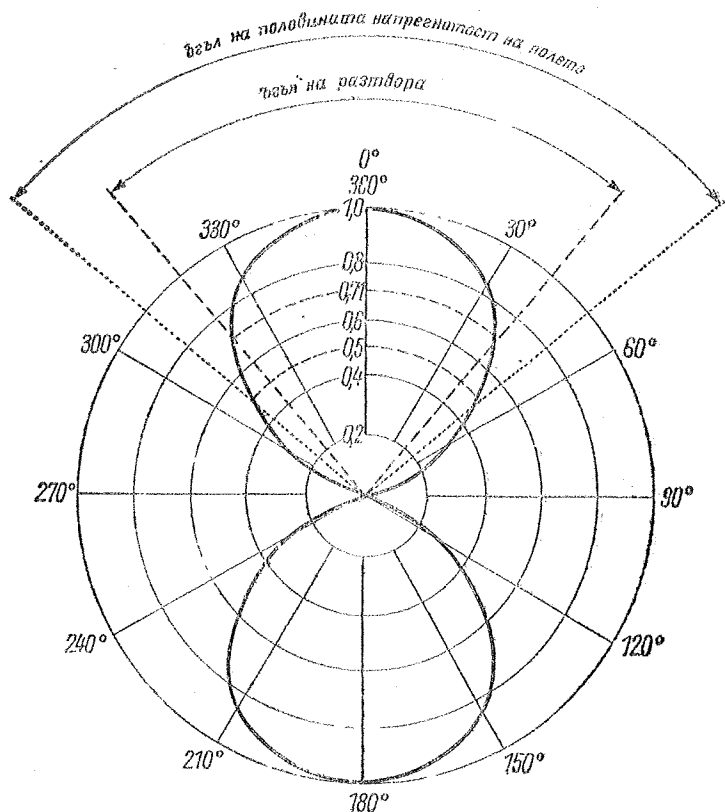
Съществува пряка зависимост между характеристиката на насочено действие и усиливането на антената. Тя може също да се обясни добре чрез сравнението със стъклена сфера. Ако централният източник на светлината се снабди с рефлектор (напр. параболично огледало), съществуващото свет-

линно излъчване се фокусира (насочва). Това означава, че ще бъде осветена само ограничена част от повърхността на сферата, площта на която зависи само от степента на насоченост. Плътността на излъчването върху тази част от сферичната повърхност обаче е много по-голяма, тъй като всички части на излъчването, които преди осветяваха равномерно цялата повърхност на сферата, сега са концентрирани само върху една ограничена част от нея. Плътността на излъчването е толкова по-голяма, колкото по-остро е фокусирано лъчението. Заради това и усиливането на плътността на излъчване в сравнение със сферичното осветяване зависи пряко от характеристиката на насочено действие. Както усиливането, така и характеристиката на насочено действие на антената изразяват концентрирането на излъчването в определени посоки.

#### 3.2.1. Диаграма на насоченост на излъчването

Излъчвателните характеристики на антените се описват с няколко почти еднакви по смисъл понятия. Когато се говори за *диаграма на насоченост на излъчването* или за *характеристика на насоченост*, става дума за представянето на излъчвателни характеристики на антената в пространствена координатна система. Въпреки това понякога се прави разлика между пространствена и равнинна *диаграма на насоченост* на излъчването. Последната се означава като *диаграма на насочено действие*. Тя представлява сечението на хоризонталната или вертикалната равнина с пространствената *диаграма на насоченост на излъчването*.

Диаграмата на насочено действие на антената се представя в полярна координатна система (съответно в част от нея) или в правоъгълна координатна система. Полярните координати се състоят от една мрежа от концентрични окръжности и вектори, които започват от центъра на окръжностите (фиг. 3.8). Концентричните окръжности съответствуват на различни стойности на напрежението, като центърът на кръга отговаря на стойност на напрежението нула. Векторите определят ъглите, съ-



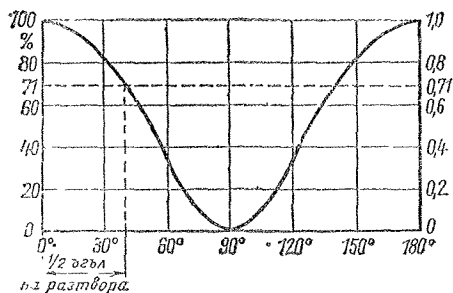
Фиг. 3.8. Нормирана диаграма на насочено действие на хоризонтален ионосферен слой ( $E$ -равнина, ъгъл на разтвора в хоризонталната равнина  $80^\circ$ )

ответно — посоките. Прието е направление на главния лъч да съвпада с ъгъл  $0^\circ$ . Отклонението от това правило се прави често при представяне на характеристиката на насочено действие във вертикалната равнина (вертикална диаграма на излъчване).

Представянето на диаграмата на насочено действие в правоъгълна координатна система (фиг. 3.9) не е така нагледно. Тъй като листовите на диаграмата на насочено действие са разположени до голяма степен симетрично, доста често при този начин на представяне се използва само един отрязък от  $180^\circ$  и ъгъл  $0^\circ$  се приема за посока на максимално излъчване. Ъгловите градуси от  $0^\circ$  до  $180^\circ$  са нанесени на хоризонталната ос (абсцисата), а по

вертикалната ос са нанесени деления от 0 до 100% или отношението на напрежения  $U/U_{\max}$ . Максималната измерена напрегнатост на полето, създадено от антената, т. е. основното излъчване, се приема равна на 1 (100%) и се нанася с ъгъл  $0^\circ$ . Всички следващи напрежения, които се измерват в границите на един ъгъл на завъртане от  $180^\circ$ , се делят на максималното напрежение и се нанасят в съответствие с отклонението от главната посока на излъчване. Кривата, която свързва точките, представляващи отделните измервания, представлява характеристиката на насочено действие.

При антените с несиметрични лъстове в диаграмата на излъчване абсцисната ос може да бъде удължена до  $360^\circ$



Фиг. 3.9

Нормирана диаграма на насочено действие на хоризонтален полувълнов дипол, представена в правоъгълна координатна система (за ъгли от 0° до 180°)

и тогава диаграмата на излъчване се представя изцяло. Когато се чертае диаграмата на насочено действие на хоризонтално поляризиран антени във вертикалната равнина, най-често се обхващат ъглите от 0 до 90°. На фиг. 3.8 и 3.9 са показани за пример диаграмите на насочено действие на хоризонтален полувълнов дипол в хоризонталната равнина. Широчината на лъча в направлението на главния лъч на една антена се нарича *ъгъл на разтвора* на диаграмата. За да се определи този ъгъл, се приема точката с най-голямо напрежение (главната посока на приемане) за точка с напрежение 1,0 и след това се търсят двете точки от листа на диаграмата, в които напрежението спада до

стойност 0,71 от максималната  $\left(\frac{1}{\sqrt{2}}\right)$

и съответства на намаляване на мощността с 50% (-3 dB). Както е показано на фиг. 3.8, от центъра на кръга се прекарва по една права до така определените точки. Тези прави образуват рамената на търсения ъгъл на разтвора. Ъгълът на разтвора понякога се означава и като *ъгъл на половината мощност*, тъй като плътността на излъчването (мощността) от двете страни на максимума е спаднала наполовина (намаляването на напрежението до стойност 0,71 е еквивалентно на намаляване на мощността с 50%). Ъгълът на разтвора при представяне на диаграмата на насочено действие в правоъгълната координатна система се определя по аналогичен начин. Диаграмата на насочено действие обикновено се дава за хоризонталната и вертикалната равнина и затова се прави разлика между хоризонталния и вертикалния ъгъл на разтвора.

Много често се среща и понятието *ъгъл на половината напрежнатост на полето*. То се отнася до точките от двете страни на главния максимум, в които напрежението спада до 50% от максималната стойност. Спадането на напрежението наполовина съответства на намаляване на мощността със 75%, т. е. на намаляване на мощността с 6 dB. Ъгълът на половината напрежнатост на полето е начертан на фиг. 3.8 с пунктирна линия.

*Коефициентът на насочено действие* на антената или *подтискането на излъчването в обратна посока* представлява отношението на максималното напрежение, нанесено при ъгъл 0°, и напрежението, отчетено при ъгъл 180°. Това отношение се дава в децибели (вж. глава 3.3).

По-рядко се употребява терминът *подтискане на излъчването в странична посока*. По аналогичен начин той представлява отношението между напреженията, отчетени при ъгъл 0° и 90° (съответно 0° и 270°).

Точките на диаграмата на насочено действие, в които напрежението е практически нула, се означават като *нулеви точки*. Те имат значение при телевизионното приемане, например когато трябва да бъде избягнат предавател, който смуцава приемането на телевизионната програма. В такива случаи антената се извърта така, че нулевите точки в нейната диаграма на насочено действие да съвпадат с посоката на смуцаващия предавател.

Освен главния лист в диаграмата на насоченост често се срещат повече или по-малко изразени *странични листове*. Повечето от тях са нежелателни, защото влияят на ясно изразеното насочено действие. Отношението на макси-



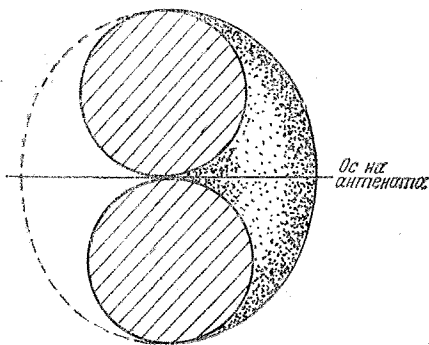
малното напрежение (в посоката на главното излъчване) към напрежението на един от страничните листове се нарича *поотискане на страничните листове*. Посоката на означения по този начин страничен лист се задава в ъглови градуси спрямо направлението на главния лъч ( $0^\circ$ ).

Диаграмата на насочено действие се нарича нормирана, когато максималното напрежение  $U_{\max}$  в направление на главния лъч се приеме за 1,0 (100%), а всички останали, зависещи от направлението напрежения се нанасят в отно-

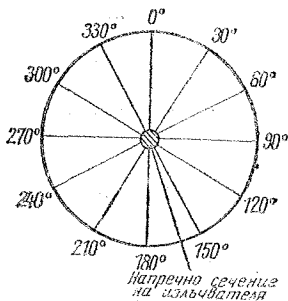
шение спрямо  $U_{\max}$  по формулата  $\frac{U}{U_{\max}}$  (вж. фиг. 3.8 и 3.9).

### 3.2.2. Характеристики на излъчване на полувълнов дипол

Пространствената характеристика на излъчването би могла да бъде представена като тороид, чиято централна ос е образувана от антенния проводник (фиг. 3.10). В този случай оста на антенната е водоравна, затова диполът е поляризиран хоризонтално. За да се онагледят характеристиката, на фиг. 3.10 е направен един хоризонтален разрез на тороида по протежение на оста на излъчвателя. Шрихованите площи на разреза представляват диаграмата на насочено действие в хоризонталната равнина в съответствие с фиг. 3.8.



Фиг. 3.10. Пространствено представяне на диаграмата на насочено действие на хоризонтален полувълнов дипол (показан е частичен разрез на тороида)



Фиг. 3.11. Диаграма на насочено действие на един хоризонтален полувълнов дипол във вертикалната равнина ( $H$ -равнина, ъгъл на развоя във вертикалната равнина  $360^\circ$ )

Вижда се, че главното направление на излъчване на полувълновия дипол в свободно пространство е винаги перпендикулярно на оста на проводника. Тази констатация е в сила и тогава, когато диаграмата на насочено действие се разглежда в някоя друга равнина. Ако се гледа напречно на сечението на антенния проводник и се направи радиален разрез на тороида, се получава диаграма на насочено действие във формата на окръжност с център напречното сечение на проводника. Това е диаграмата на насочено действие на намиращ се в свободното пространство хоризонтален полувълнов дипол (фиг. 3.11). Ако диполът беше поляризиран вертикално, би трябвало кръговата диаграма на фиг. 3.11 да се означава като диаграма на насочено действие на вертикален дипол в хоризонталната равнина, а диаграмата, показана на фиг. 3.8 — като диаграма на насочено действие на същия дипол във вертикалната равнина.

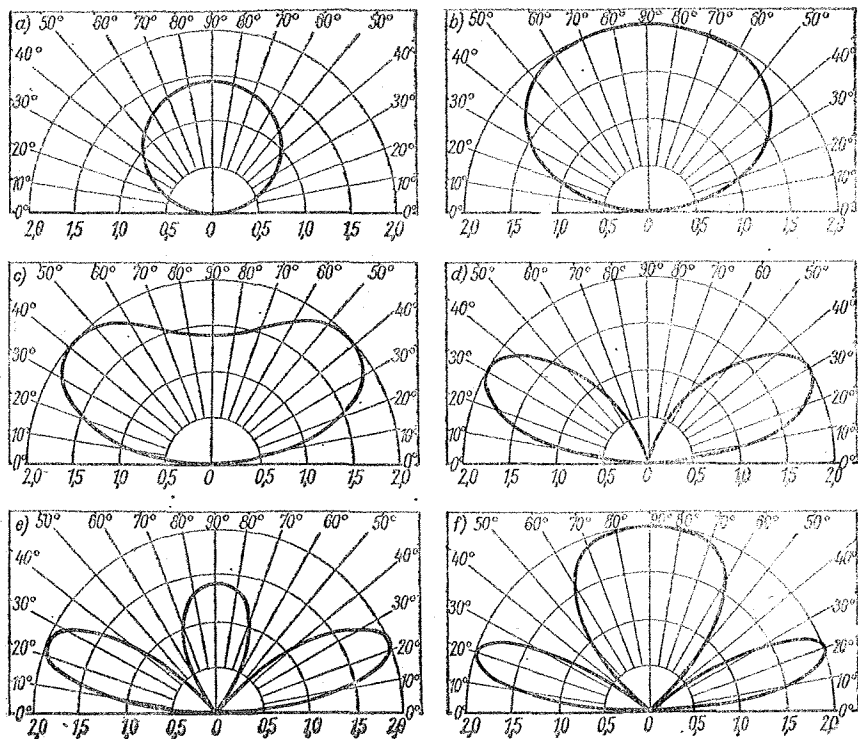
За да се опростят и онагледят тези малко сложни обозначения, се използват означенията  $E$ -равнина и  $H$ -равнина.  $E$ -равнината отразява хода на електрическите силови линии в плоския вълнов фронт, а  $H$ -равнината — хода на магнитните силови линии (вж. глава 1.1.5). При линейно поляризиран антиени надлъжната ос на антенния проводник отговаря на електрическите силови линии. Затова диаграмата, показана на фиг. 3.8, възпроизвежда винаги картината на излъчване на антената в равнината  $E$  независимо от това, дали поляризацията на дипола

е хоризонтална, вертикална или наклонена. По аналогичен начин фиг. 3.11 винаги представлява една диаграма в равнината  $H$ , защото е построена в равнината, успоредна на вектора на напрегнатостта на магнитното поле  $H$ .

### 3.2.2.1. Промени на диаграмата на насочено действие на хоризонталните антени по влиянието на околната среда

Досега описаните диаграми на насочено действие се отнасят за случаите, когато антената се намира в свободното пространство или поне много високо над земята и достатъчно далеч от други обекти. „Много високо“ и „достатъчно далеч“ са относителни

понятия; те трябва да се разглеждат винаги във връзка с използваната дължина на вълната. Така например една антена за любителския обхват 2 m, монтирана на мачта, висока 10 m, може да се смята вече за достатъчно високо поставена, защото тя е разположена на 5 дължини на вълната над земната повърхност. При желание да се монтира антена за обхвата 40 m на 5  $\lambda$  от земята антенната мачта трябва да бъде висока 200 m, защото в този случай 10 m са само  $1/4$  от дължината на вълната. От това следва, че късовълновите антени — най-малкото тези на радиолубителите — не могат да се поставят на такава височина и на толкова разстояние от другите обекти, че да може да се пренебрегне влиянието на околната среда.

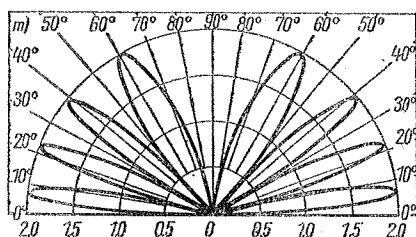
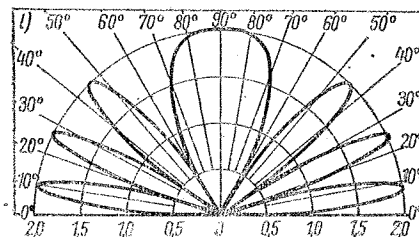
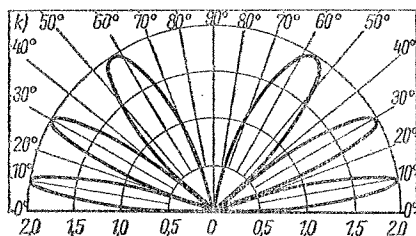
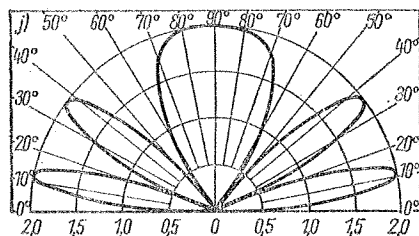
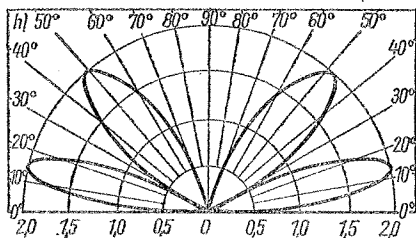
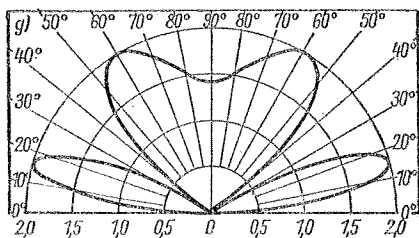


Фиг. 3.12. Зависимост на ъгъла на възвишение на полуваълнов дипол от височината на окачване: а — височ.  $1/8 \lambda$  над „идеална“ земя; б — височина  $1/4 \lambda$ , в — височина  $3/8 \lambda$ , д — височина  $1/2 \lambda$ , е — височина  $5/8 \lambda$ , ф — височина  $3/4 \lambda$ .

Когато една антена се намира в близост до земната повърхност, нейните характеристики се изменят вследствие на отраженията от земята. Това се отнася особено за съпротивлението на излъчване, коефициента на скъсяване и диаграмата на насочено действие. В каква степен настъпват такива изменения на характеристиките — това зависи от височината, на която е поставена антената (по отношение на дължината на вълната), от направлението ѝ спрямо земната повърхност и от електрическите свойства на почвата.

Особено значение за практиката има въздействието на околната среда върху характеристиката на насоченост на излъчването на хоризонтално разположени излъчватели. Ако се разгледа диаграмата на насочено действие на един

хоризонтален дипол във вертикалната равнина, която в свободното пространство е напълно кръгообразна (вж. фиг. 3.11), може да се види, че при приближаването на този излъчвател към повърхността на земята излъчването под ъгъл, по-голям от  $90^\circ$  и по-малък от  $270^\circ$ , става по посока на земята и се отразява отново от нея. В зависимост от височината на антената (време на закъснение) и структурата на земната повърхност отразените вълни се комбинират с директните, така че при определени вертикални ъгли съществува съвпадение по фаза между директната и отразената вълна, а при други вертикални ъгли двете вълни са в противофаза. Ако отражението от земята е пълно (идеален случай), частите на директната и отразената вълна при сифаз-



насе над идеално провеждаща земна повърхност:

g — височина  $7/8 \lambda$ , h — височина  $1 \lambda$ , j — височина  $1 1/4 \lambda$ , k — височина  $1 1/2 \lambda$ , l — височина  $1 3/4 \lambda$ , m — височина  $2 \lambda$ .

ност се сумират, а когато са в противофаза, взаимно се компенсират (нулеви зони). Между тези два крайни случая се получават междинни стойности (като разлика на директната и отразената вълна), които зависят от фазата на отразения сигнал.

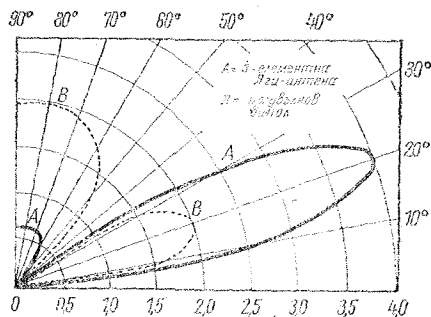
На фиг. 3.12 може да се види как височината на един полуwave дипол (в зависимост от дължината на вълната) влияе върху диаграмата на излъчване във вертикалната равнина, когато диполът се намира над идеално отразяваща земяна повърхност. Даден е един коефициент на умножение, който достига максималната теоретически възможна стойност от 2,0 винаги когато директната и отразената вълна имат еднакви фаза и посока. Тъй като поради отражението от земната повърхност диаграмата на излъчване във вертикалната равнина се издига нагоре, като се образуват и много странични лъстове, е въведено понятието *ъгъл на максимално излъчване спрямо хоризонта*. Според фиг. 3.12 *d* например ъгълът на максимално излъчване спрямо хоризонта на един хоризонтален полуwave дипол, разположен на височина  $1/2 \lambda$  над идеално отразяваща земяна повърхност, е  $30^\circ$  (коефициент на умножение 2,0). Може също така да се види, че при ъгли на възвишение  $10^\circ$  и  $55^\circ$  коефициентът на умножение е 1,0.

За да се оцени значението на ъгъла на максимално излъчване във вертикалната равнина при установяването на радиовръзки на големи разстояния (DX-връзки), трябва да се разгледа разпространението на пространствената вълна (вж. глава 2.). Известно е, че късовълнови радиовръзки на големи разстояния се осъществяват благодарение на отражението от йоносферата. С увеличаването на честотата сигналът трябва да навлиза в йоносферата под все по-малък ъгъл, за да може да бъде отразен от нея. Границите на оптималните ъгли на възвишение за отделните любителски обхвати са приблизително следните:

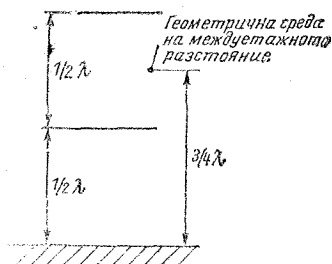
- 40-m обхват — от  $12^\circ$  до  $40^\circ$
- 20-m обхват — от  $10^\circ$  до  $25^\circ$
- 15-m обхват — от  $7^\circ$  до  $20^\circ$
- 10-m обхват — от  $5^\circ$  до  $14^\circ$

От това следва, че енергията, която една антена излъчва под ъгъл, по-

голям от  $40^\circ$  и по-малък от  $5^\circ$ , не е полезна за установяване на далечни радиовръзки. Освен това излъченият под много малък ъгъл сигнал, който се разпространява почти тангенциално на земната повърхност, се поглъща много силно от нея. При определяне на оптималните ъгли на възвишение се взима пред вид това, че йоносферата постоянно променя състоянието си. С всяка промяна на състоянието на йоносферата се изменя и оптималният ъгъл на излъчване. Най-голямата височина, на която може да бъде монтирана антената, е винаги най-добрата, но още при височина на антената 10 m може да се разчита на добри DX-резултати в обхватите 10, 15 и 20 m, докато за една антена за обхвата 40 m височината на монтиране не трябва да бъде под 15 m. Тези минимални височини се преносват, когато в близост до антената няма други обекти. Близкоразположените отразяващи обекти предизвикват намаление на ефективната височина на антената и промени в характеристиката на насочено действие, които е трудно да се предвидят. Хоризонтално поляризираните антени са особено чувствителни спрямо свободно висящи проводници от всякакъв вид, водосточни тръби на олущи и водопроводни проводници на гръмозащитните инсталации, разположени по покривите. Влиянието на подобни обекти може обаче да се пренебрегне, ако размерите им са много по-малки от половината дължина на вълната, пресметната за работната честота на антената. Така



Фиг. 3.13. Диаграма на насочено излъчване във вертикалната равнина на 3-елементна Яги-антена (А) и на хоризонтален полуwave дипол (В), разположен на височина  $3/4 \lambda$  над идеално проводима земяна повърхност



Фиг. 3.14. Определяне на ефективната височина на монтиране на етажирани хоризонтални антени, разположени над идеално проводима земна повърхност

например приемни телевизионни антени не оказват никакво отрицателно влияние върху разположените наблизо късволновни антени. Излъчването на вертикалните антени се смущава особено много от вертикално разположени обекти, например метални мачти от всякакъв вид.

Важно е и това, че всички хоризонтално поляризиращи антени, поставени на една и съща височина над земята, имат еднакви ъгли на излъчване във вертикалната равнина. Така например една *триелементна Яги*-антена, поставена на височина  $3/4 \lambda$  от земята, има ъгли на излъчване спрямо хоризонта  $20^\circ$  и над  $60^\circ$ , същите, както и намиращ се на такава височина полувълнов дипол. Разлики има само в коефициента на умножение за отделните листове от диаграмата на излъчване. Заради характеристиката на насочено действие на антените от тип *Яги* излъчването под ъгъл, по-голям от  $60^\circ$ , се подтиска силно за сметка на това под ъгъл  $20^\circ$ , чиято мощност се увеличава (фиг. 3.13). Тази концентрация на енергията, излъчвана под малък ъгъл спрямо хоризонта, има особено значение за установяване на далечни радиовръзки. Разположените една над друга хоризонтално поляризиращи антени (етажни антени) също се подчиняват на горното правило. В тези случаи трябва да се има пред вид само това, че за височина над земята се приема средната за всички етажи височина.

#### Пример

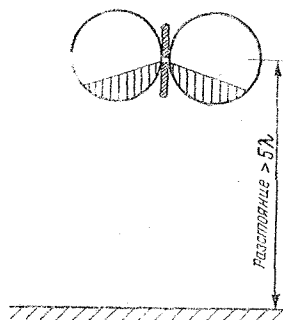
На фиг. 3.14 е показана двуетажна хоризонтална антена. Долният етаж е

разположен на разстояние  $1/2 \lambda$  от повърхността на земята, разстоянието между антените също е  $1/2 \lambda$ . Следователно действителната височина на монтиране на антената над земята е  $3/4 \lambda$ .

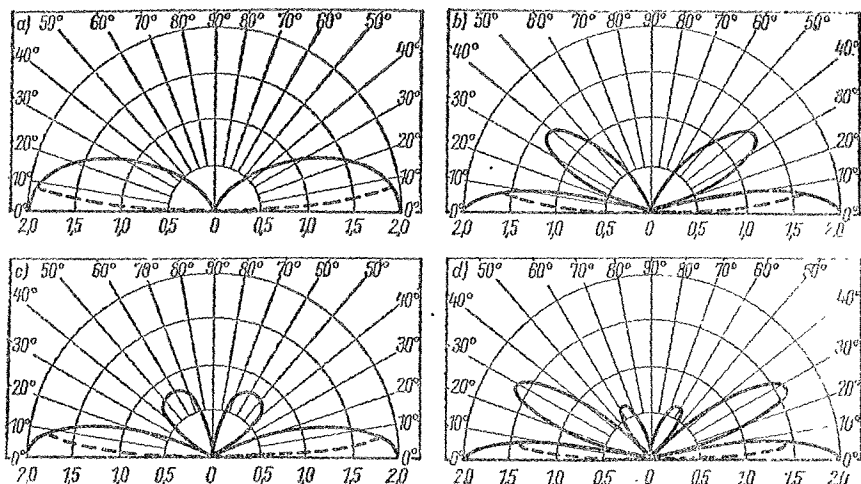
#### 3.2.2.2. Промени в характеристиката на насочено действие на вертикални антени под влияние на околната среда

Вертикално поляризиращи антени — с изключение на така наречената антена „граунд-плейн“ — се използват сравнително рядко от радиолобителите за работа в късволновия диапазон.

Във връзка с възможностите за ЧМ ретранслация вертикалната поляризация придобива все по-голямо значение в любителския обхват 2 m. Вследствие на отражението от земната повърхност диаграмата на излъчване на една вертикално поляризирана антена в *Е*-равнината се деформира. В този случай в *Е*-равнината е разположена вертикалната диаграма на излъчване на антената. На фиг. 3.15 е показана диаграмата на излъчване на един вертикален дипол във вертикалната равнина. Такава диаграма би съществувала, ако диполът се намира много високо над земята. Долната, заштрихована част от листовите на диаграмата на излъчване трябва да покаже границата на ъглите, при които при доближаване до земята излъчената под тези ъгли енергия ще бъде отразена отново нагоре. Както вече беше казано в гл.



Фиг. 3.15. Диаграма на излъчване във вертикалната равнина на вертикален дипол



Фиг. 3.16. Диаграми на излъчване във вертикалната равнина на вертикални полувълнови диполи. За височина на монтиране се приема разстояние от земята до геометричната среда на дипола: *a* — височина на монтиране  $1/4 \lambda$  над „идеална“ земя, *b* — височина на монтиране  $1/2 \lambda$ , *c* — височина на монтиране  $3/4 \lambda$ , *d* — височина на монтиране  $1 \lambda$ .

3.2.2.1., отразените и директните вълни се сумират векторно в зависимост от изразената в  $\lambda$  *средна височина* на излъчвателя над идеално отразяваща земяна повърхност. На фиг. 3.16 са показани диаграмите на излъчване във вертикалната равнина на вертикални полувълнови диполи, разположени на различна височина над земята. Забелязва се, че най-малкият възможен ъгъл на излъчване е  $0^\circ$ . Това би могло да означава, че направлението на главния лъч е приблизително тангенциално на земната повърхност. За съжаление това толкова удобно за разпространението на сигнала чрез йоносферата излъчване не може да се използва рационално, защото сигналите, излъчени с ъгъл на възвишение, по-малък от  $5^\circ$ , се поглъщат почти изцяло от земната повърхност. Кривите, начертани с прекъсната линия, показват тези загуби.

### 3.2.3. Усилване на антените

Усилването на антените е една сравнителна величина; тя се основава на избора на подходяща еталонна антена. Двете антени трябва да се намират в едно и също електромагнитно поле и

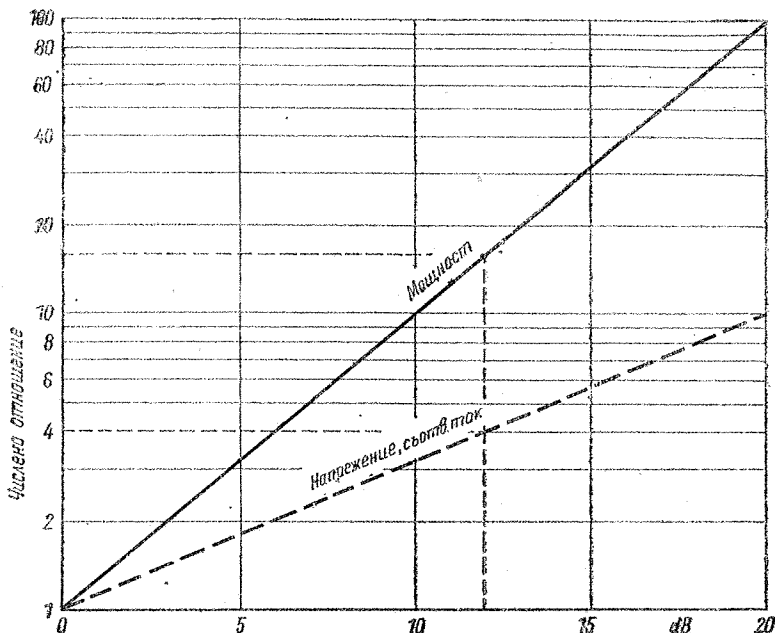
да са ориентирани така, че да приемат максималната получавана мощност. Ако не е казано нищо друго, числото, което изразява усиляването на антената, се отнася за усиляването ѝ по направление на главния лъч от диаграмата на присмане (излъчване).

Усиляването на антената се дава като числово или логаритмично отношение. При това винаги трябва да се посочат ясно видът на еталонната антена и дефиницията на усиляването.

#### 3.2.3.1. Дефиниция на усиляването

Усиляването на една антена се дава като отношение на мощности. Усиляването по мощност характеризира нарастването на мощността на приетия (излъчения) сигнал, което се дължи на използването на една насочена антена вместо еталонната. Ако  $P_1$  е мощността, която отдава антената към консуматора, а  $P_2$  — мощността, която се получава от една съгласувана еталонна антена, разположена в същото електромагнитно поле, усиляването на антената се определя от числовото равенство

$$G = \frac{P_1}{P_2} \quad (3.13)$$



Фиг. 3.17. Отношение на токове, напрежения и мощности в зависимост от усиляването, дадено в dB

За по-удобно извършване на изчисленията усиляването по мощност се изразява като логаритмично отношение в децибели (dB). Усиляването е десеткратната стойност на логаритъма (при основа 10) на отношението на две кои да са мощности:

$$G = 10 \lg \frac{P_1}{P_2}, \quad (3.14)$$

където  $G$  е в dB.

От формулата  $P = \frac{U^2}{R}$  се вижда, че усиляването може да се разглежда и като отношение на напрежения, стига товарното съпротивление на двата излъчвателя да бъде едно и също по стойност. В този случай усиляването се определя по формулата

$$G = 20 \lg \frac{U_1}{U_2} \quad (3.15)$$

и като логаритмично отношение

$$G = 20 \lg \frac{U_1}{U_2}, \quad (3.16)$$

където  $G$  е в dB.

Пресмятането в децибели има преимущество, че стойностите, дадени в dB, могат направо да се събират и изваждат. Например, ако се приеме, че една антена излъчва усиляване по мощност 12 dB, но загубите в захранващия проводник възлизат на 7 dB, усиляването на цялата система е 12 dB — 7 dB = 5 dB.

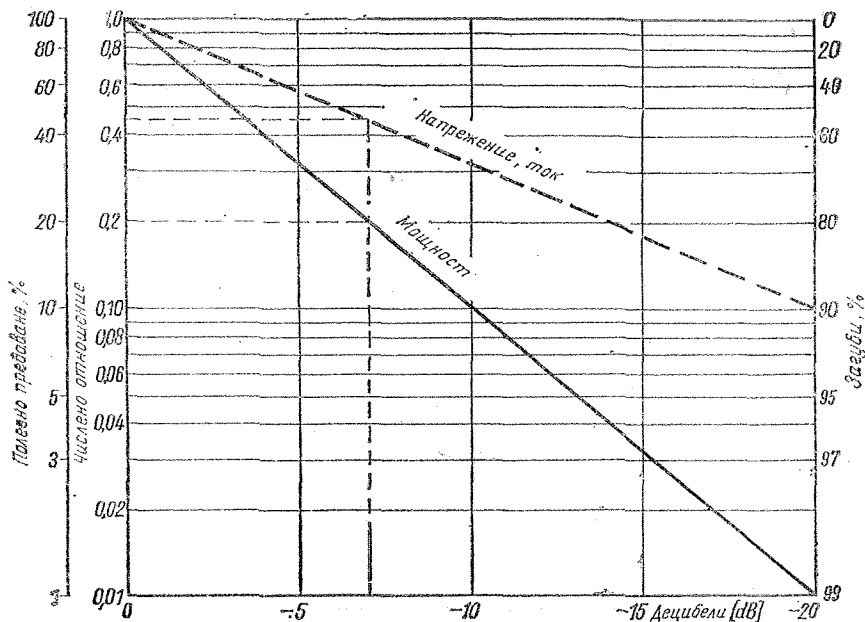
Понякога отношенията на токове, напрежения и мощности се задават в неperi (Np). Най-често това става при изброяване на параметрите на захранващите кабели. Връзката между децибел и непер е следната:

$$\begin{aligned} 1 \text{ Np} &= 8,686 \text{ dB} \\ 1 \text{ dB} &= 0,116 \text{ Np} \end{aligned}$$

От фиг. 3.17 може да се отчете отношението на токовете, напреженията и мощностите, когато усиляването е зададено в децибели.

#### Пример

Един обикновен дипол създава на входа на приемника полезно напреже-



Фиг. 3.18. Отношение на токове, напрежения и мощности в зависимост от затихването, дадено в dB

ние 50  $\mu\text{V}$ . Ако е необходимо полезно напрежение 200  $\mu\text{V}$ , трябва да се използва по-ефективна насочена антена, която има усиление по напрежение 4 пъти (сравнена с дипола). За усиляването се получава

$$G = 20 \lg \frac{200}{50} = 12 \text{ dB}.$$

Същият резултат може да се получи по-бързо от фиг. 3.17. Примерът е начертан с прекъснатата линия. От същата фигура може да се отчете и съответното отношение на мощностите — 16 пъти.

Тъй като в антенната техника трябва да се пресмята и затихването, на фиг. 3.18 са показани отношенията на токовете, напреженията и мощностите, когато затихването е зададено в децибели.

#### Пример

Една телевизионна антена за III обхват е свързана към приемника чрез

коаксиален кабел от типа 60-10-2, дълъг 100 m. Според проспектните данни затихването на сигнала по кабела е 7 dB. От фиг. 3.18 може да се отчете, че до приемника достига 0,45 (45%) от индуктираното в антената напрежение, съотв. 0,2 (20%) от антенната мощност. Това е показано на фиг. 3.18 с прекъснатата линия.

В приложението са дадени таблици, от които направо може да се отчете отношението на токове, напрежения и мощности, когато то е зададено в децибели или неperi, както и таблица за пресмятане на децибелите в неperi и обратно.

#### 3.2.3.2. Еталонни антени

Познатият вече *сферичен излъчвател*, наричан още и *изотропен излъчвател*, представлява еталонна антена, която се използва за теоретични сравнения. Плътноста на излъчване на една такава антена има еднаква стойност във всички посоки на пространството, поради което характеристиката на насоченост на излъчването е сферична.



По-рядко като еталонна антена се използва елементарният дипол, наричан още *дипол на Херц* или *къс дипол* (с електрическа дължина  $< \lambda/8$ ). За сравнителни цели се използва кръговата диаграма на излъчване на този дипол в  $H$ -равнината (равнината на напрегнатостта на магнитното поле). Заради това елементарният дипол се означава и като магнитен дипол. Тъй като той няма сферична характеристика на насоченост на излъчването, а има насочено действие, неговото усиляване в сравнение с изотропния излъчвател е 1,5, съответно 1,76 dB.

Най-често за еталонна антена се използва полуълновият дипол, наричан и *нормален дипол*. Той има предимството, че характеристиките му се представят нагледно и че може да бъде съгласуван лесно с консуматора, съответно с генератора. Това се дължи на факта, че полуълновият дипол е резонансен елемент. Усилването му  $G$  е 1,64 пъти (2,15 dB), сравнено с това на изотропния излъчвател.

От казаното дотук се вижда колко е важно всеки път да се посочва видът на еталонната антена. Ако са дадени много големи цифри за усиляването на антената, без да е посочен еталонният излъчвател, често съществува вероятността усиляването да се дава в сравнение с изотропния излъчвател. Тъй като на практика усиляването най-често се дава по отношение на нормалния дипол, при липсващи данни за вида на еталонната антена могат да се получат разлики до 2,15 dB.

### 3.2.3.3. Връзка между усиляването и характеристиката на насочено действие

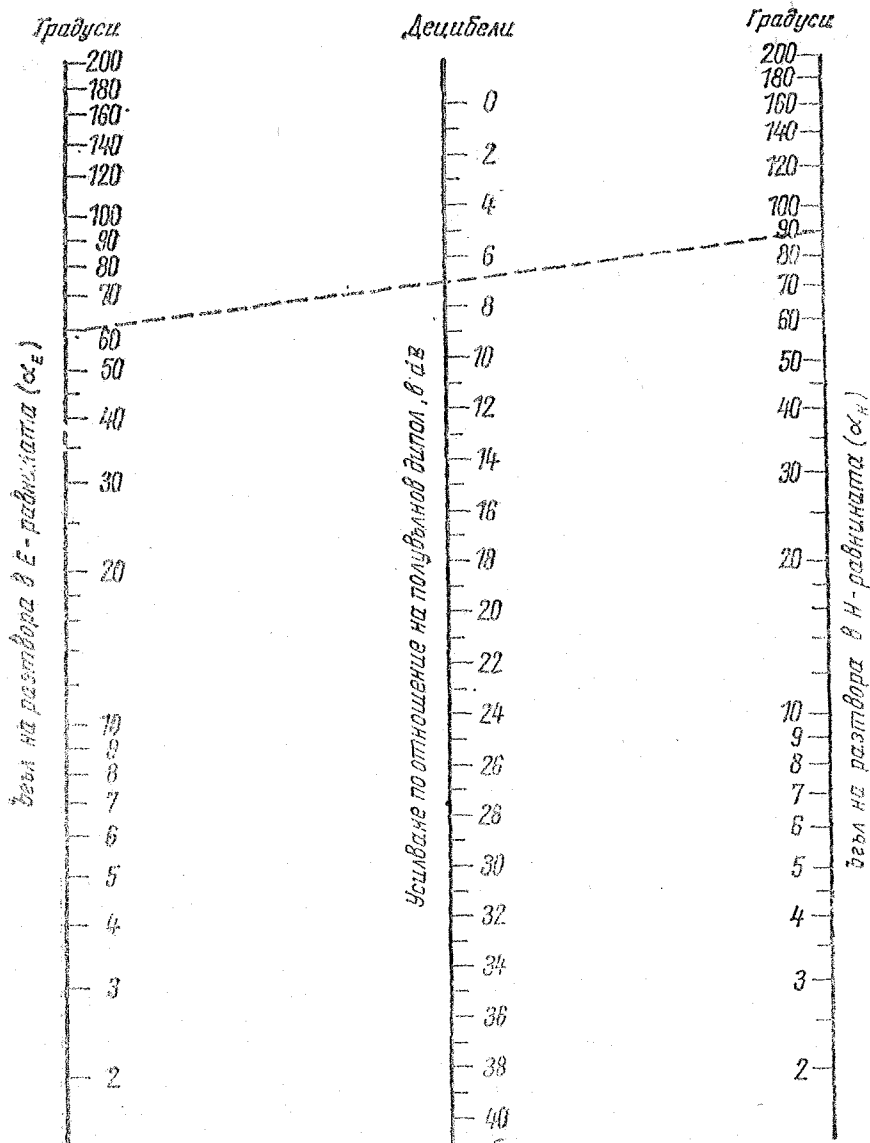
Един изотропен излъчвател, който се намира в центъра на въображаема сфера, би облъчил равномерно повърхността на сферата. Това означава, че във всички точки от повърхността на сферата би съществувала еднаква плътност на излъчването  $S_k$ . Ако сферичният излъчвател се замени с една насочена антена, последната би облъчила при същата захранваща мощност само част от повърхността на сферата в съответствие с характеристиката на насочено действие. Съществуващата мощност се концентрира върху по-

малка площ и поради това там плътността на излъчването е по-голяма ( $S_{\max}$ ). Отношението  $S_{\max}/S_k$  изразява усиляването  $G$  на една насочена антена по отношение на сферичен излъчвател. Плътността на излъчването  $S_k$  е частното от делението на излъчената мощност и повърхността на сферата ( $4\pi r^2$ ):

$$S_k = \frac{P_s}{4\pi r^2} \quad (3.17)$$

За съжаление плътността на излъчване на една насочена антена не може да се изчисли така просто, защото тя не е разпределена равномерно, както тази на сферичния излъчвател. Ако би могло да се направи видима площта, облъчена от насочена антена, тя не би изглеждала като светлинна зона с точно определени граници, а по-скоро като по-голямо или по-малко светлинно петно без рязко изразени граници между светлина и сянка. Затова облъчваната площ се дефинира така, че да се ограничава от ъглите на разтвор на насочената антена в хоризонталната и вертикалната равнина. Ъгълът на разтвора (вж. гл. 3.2.1.) обхваща частта от диаграмата на насочено действие, в която мощността от двете страни на максимума на излъчване спада наполовина ( $-3$  dB). За повечето практически изпълними антени се приема, че „осветената“ площ има формата на елипса, чийто голяма и малка полуос се определят от ъглите на разтвора в хоризонталната равнина  $\alpha_E$  и във вертикалната равнина  $\alpha_H$ .

Тъй като цялата излъчвана мощност не се концентрира само в зоната, за която е прието, че се облъчва от една насочена антена, не може чрез просто сравнение на площи или плътност на излъчването да се направят достоверни изводи за усиляването на тази антена. Въпреки това има прости приблизителни формули, чрез които се получават резултати с достатъчна за практиката точност. При използването на тези формули се предполага само това, че са известни ъгълът на разтвора в хоризонталната равнина  $\alpha_E$  и ъгълът на разтвора във вертикалната равнина  $\alpha_H$ . Числовата стойност на коефициента на усиляване  $G_k$  (по отношение на изотропния излъчвател) се изчислява по формулата



Фиг. 3.19. Номограма за определяне на усилянето на насочени антени по отношение на един полувълнов дипол при известни ъгли на разтвора в хоризонталната и вертикалната равнина. Пример (начертан с прекъсната линия):  $\alpha_E = 60^\circ$ ,  $\alpha_H = 90^\circ$ ,  $G = 7\text{ dB}$

$$G_k = \frac{44\,300}{\alpha_E \alpha_H}, \quad (3.18)$$

където  $\alpha_E$  е ъгълът на разтвора в  $E$ -равнината,  $\alpha_H$  — ъгълът на разтвора в  $H$ -равнината.

Ако усилването, както обикновено, трябва да се даде по отношение на полуълнов дипол, се получава

$$G_{\lambda/2} = \frac{27000}{\alpha_E \alpha_H}. \quad (3.19)$$

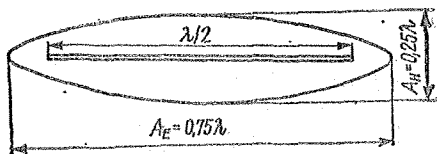
Усилването по отношение на полуълнов дипол, изразено в децибели, се изчислява по формулата

$$G_{\lambda/2} = 10 \lg \frac{27000}{\alpha_E \alpha_H}. \quad (3.20)$$

На фиг. 3.19 е дадена номограма, която е съставена въз основа на тези формули. Тя позволява директно отчитане на усилването на антената в децибели при известни ъгли на разтвора  $\alpha_E$  и  $\alpha_H$ . Когато са известни усилването и само единият ъгъл на разтвора, неизвестният ъгъл също може да бъде определен по номограмата.

Във формулите и номограмата не са отчетени загубите. Те се дължат на крайната проводимост на материала, от който е направен антенният проводник, на диелектрични загуби и на разсъргасване. Предполага се освен това, че подтискането на обратното излъчване и на страничните листове в диаграмата на насочено действие е по-голямо от 10 dB.

Насоченото действие на една антена може да се характеризира и с понятието *ефективна повърхност*. Това представлява една въображаема повърхност, разположена перпендикулярно на посоката на излъчване, през която преминава същата мощност, каквато може да бъде отнета от полето от една съгласувана приемна антена. С други думи, това е зоната на действие на антената, от която тя извлича приеманата енергия. Тази ефективна повърхност не е равна на геометричните размери на антената и в зависимост от вида и тя може да бъде по-голяма или по-малка от тях. Отношението на ефективната повърхност на антената към геометричната ѝ повърхност се нарича *коэффициент на използване на повърхността на антената*.



Фиг. 3.20. Ефективна повърхност на полуълновия дипол

Ефективната повърхност  $A$  и усилването  $G$  на коя да е антена са взаимно пропорционални. Това следва от равенството

$$A = \frac{\lambda^2 G_k}{4\pi} \quad (3.21)$$

и

$$G_k = \frac{4\pi A}{\lambda^2}. \quad (3.22)$$

В тези формули  $G_k$  е числовата стойност на усилването на антената по отношение на един сферичен излъчвател.

Ефективната повърхност на един полуълнов дипол  $A$ , изразена в  $\lambda^2$ , е равна на

$$A = \frac{1.64}{4\pi} = \frac{1.64}{12.566} = 0.1305\lambda^2. \quad (3.23)$$

В този случай  $G_k$  е 1,64, защото полуълновият дипол има усилване 1,64 по отношение на един сферичен излъчвател (вж. гл. 3.2.3.2.). Ефективната повърхност на полуълновия дипол има форма на елипса с размери приблизително  $0.25\lambda \times 0.75\lambda$  (фиг. 3.20).

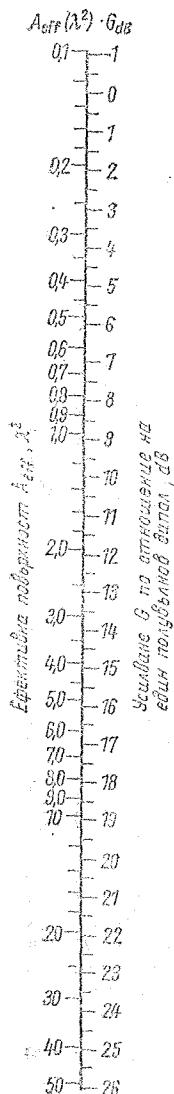
Тъй като усилването  $G$ , общо взето, се дава по отношение на полуълнов дипол, в много случаи е по-просто да се пресметне ефективната повърхност на антената, като се използва резултатът от формула (3.23). Ефективната повърхност на един полуълнов дипол, изчислена по (3.23), е приблизително равна на  $0.13\lambda^2$ . За това е достатъчно числовата стойност на усилването на каква да е антена по отношение на един полуълнов дипол да се умножи с 0,13, за да се получи нейната ефективна повърхност:

$$A = 0.13 G, \quad (3.24)$$

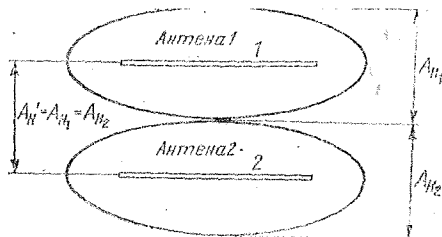
където  $A$  е в  $\lambda^2$ .

### Пример

За една антена е дадено усилване по мощност 7 dB, което съответства на числово значение на усиляването 5,0 по отношение на един полуълнов дипол. Ефективната повърхност  $A$  на тази антена е равна на  $5,0 \times 0,13 = 0,65 \lambda^2$ .



Фиг. 3.21  
Зависимост на ефективната повърхност на каква да е антена  $A$  от усиляването в dB, зададено спрямо усиляването на един полуълнов дипол



Фиг. 3.22. Оптимално разстояние между две антени, определено въз основа на ефективните им повърхности

Фигура 3.21 може да се използва за бързо определяне на ефективната повърхност  $A$  на каква да е антена, когато нейното усилване е дадено в децибели по отношение на един полуълнов дипол.

Ефективната повърхност на антената придобива значение, когато няколко насочени антени се наредят в група една до друга или една над друга. В този случай е в сила правилото, ефективните повърхности на отделните антени да не се припокриват, в противен случай се намалява възможното усилване. Затова по възможност разстоянията между антените трябва да се избират така, че ефективните им повърхности да граничат една с друга (фиг. 3.22). Ако например се поставят две хоризонтални Яги-антени една над друга, разстоянието по вертикала  $A_H$  между двете антени трябва да е най-малко равно на височината на ефективната повърхност на едната антена в  $H$ -равнината.

Размерът на ефективната повърхност на антената в  $H$ -равнината  $A_H$  и в  $E$ -равнината  $A_E$ , изразен в дължини на вълната, се изчислява за елипсоидна или кръгова форма на ефективната повърхност по формулите

$$A_H = 2 \sqrt{\frac{A \cdot \alpha_H}{\pi \cdot \alpha_E}} \quad (3.25)$$

и

$$A_E = 2 \sqrt{\frac{A \cdot \alpha_E}{\pi \cdot \alpha_H}} \quad (3.26)$$

където  $A_H$  и  $A_E$  са в  $\lambda$ .

### Пример

Една Яги-антена има ъгли на разтвора  $\alpha_E = 58^\circ$  и  $\alpha_H = 83^\circ$ . Две такива хоризонтално поляризиращи антени трябва да бъдат поставени една над друга (вертикално разнасяне). Какво е оптималното разстояние между етажите?

От фигура 3.19 при ъгли на разтвора  $\alpha_E = 58^\circ$  и  $\alpha_H = 83^\circ$  се отчита усиление 7,7 dB по отношение на един полуwave-нов дипол.

Според фиг. 3.21 на усиление 7,7 dB съответствува ефективна повърхност  $A$ , равна на  $0,8 \lambda^2$ . Височината  $A_H$  на ефективната повърхност на всяка антена се изчислява по формулата

$$A_H = 2 \sqrt{\frac{0,8 \cdot 83}{3,14 \cdot 58}} \approx 1,2 \lambda,$$

където  $A_H$  е в  $\lambda$ .

Оптималното разстояние между етажите, при което се постига максимално усиление на сигнала, е  $1,2 \lambda$ .

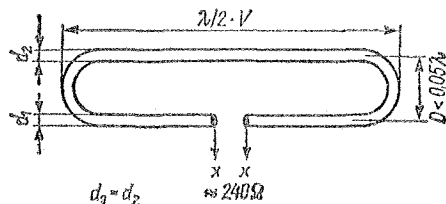
## 4. Видове диполи

Чрез съответна промяна на формата могат да се изменят характерните свойства на един дипол. Това важи най-вече за входното съпротивление и антената на пропускане. Понякога чрез даване на подходяща форма на дипола освен желаните промени в електрическите характеристики се получават и предимства по отношение на механичното закрепване и гръмозащитата. Пример за това е така нареченият шлейф-вибратор.

Специални видове диполи се използват предимно в обхвата на ултра-късите и дециметровите вълни.

### 4.1. Шлейфвибратори

Шлейфвибраторът се получава от паралелното свързване на два полувълнови отрязъка, разположени на малко разстояние  $D$  един от друг ( $D < 0,05 \lambda$ ). Той се нарича също така и *сгънат* дипол (фиг. 4.1). Характеристиката на насочено действие на шлейф-вибратора в основни линии съответствува на тази на обикновения прав дипол (вж. фиг. 3.10). Шлейфвибраторът се различава от него преди всичко по по-голямото си входно съпротивление, а също така и с по-голямата относителна ширина на честотната лента. За коефициента на скъсяване  $V$  на двата отрязъка, от които е образуван шлейфвибраторът, е в сила фиг. 3.7.



За пресмятане на съпротивлението на излъчване на един прав дипол се използва формула (3.1). Ако от един прав дипол чрез поставянето на втори паралелен елемент със същата дебелина се образува шлейфвибратор, токът на антената се разпределя между двата клона на дипола. При същата излъчвана мощност следователно токът на антената  $I$  в точките на захранване е два пъти по-малък от този на правия дипол. Затова при изчисляване на входното съпротивление на шлейф-вибратора  $R_s''$  формула (3.1) трябва да се измени, както следва:

$$R_s'' = \frac{P_s}{(I/2)^2} \quad (4.1)$$

С преобразуване на формулите за простия дипол се получава

$$P_s = R_s I^2,$$

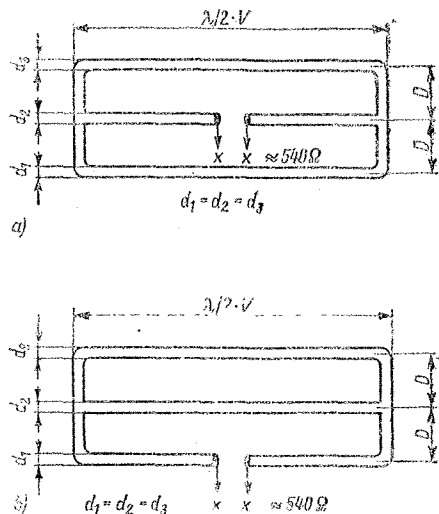
а за шлейфвибратора —

$$P_s = R_s'' \left( \frac{I}{2} \right)^2.$$

В двата случая излъчената мощност  $P_s$  е една и съща, затова може да се напише

$$R_s I^2 = R_s'' \left( \frac{I}{2} \right)^2,$$

Фиг. 4.1. Шлейфвибратор (сгънат дипол)



Фиг. 4.2. Двоен шлейфовибратор: *a* — средният проводник е разделен, за да се захрани антената, *b* — долният проводник е разделен за захранване на антената

$$R_s I^2 = R_s'' \frac{I^2}{4},$$

$$R_s'' = 4R_s.$$

Оттук следва, че входното съпротивление на един шлейфовибратор е 4 пъти по-голямо от това на един обикновен дипол. Поради това входното съпротивление на шлейфовибратора има стойност от 240 до 280 Ω.

Една разновидност на шлейфовибратора е двойният шлейфовибратор (фиг. 4.2). Ако диаметърът на проводниците е еднакъв, антенният ток се разпределя равномерно по трите полуълновни отрязъка. Във всеки клон на вибратора протича само 1/3 от общия ток. Входното съпротивление на двойния шлейфовибратор  $R_s'''$  се изчислява по формулата

$$R_s''' = \frac{P_s}{(I/3)^2} \quad (4.2)$$

и е 9 пъти по-голямо от входното съпротивление на един обикновен прав дипол (540 до 630 Ω).

За действието на двойния шлейфовибратор няма значение това, дали точките на свързване на захранващия проводник ще се изберат, както е показано на фиг. 4.2*a* или както на фиг.

4.2*в*. Все пак по-често за предпочитане е захранването да се прави в долния клон, защото тогава се създават удобства при закрепването на средния проводник към стрелата на антената.

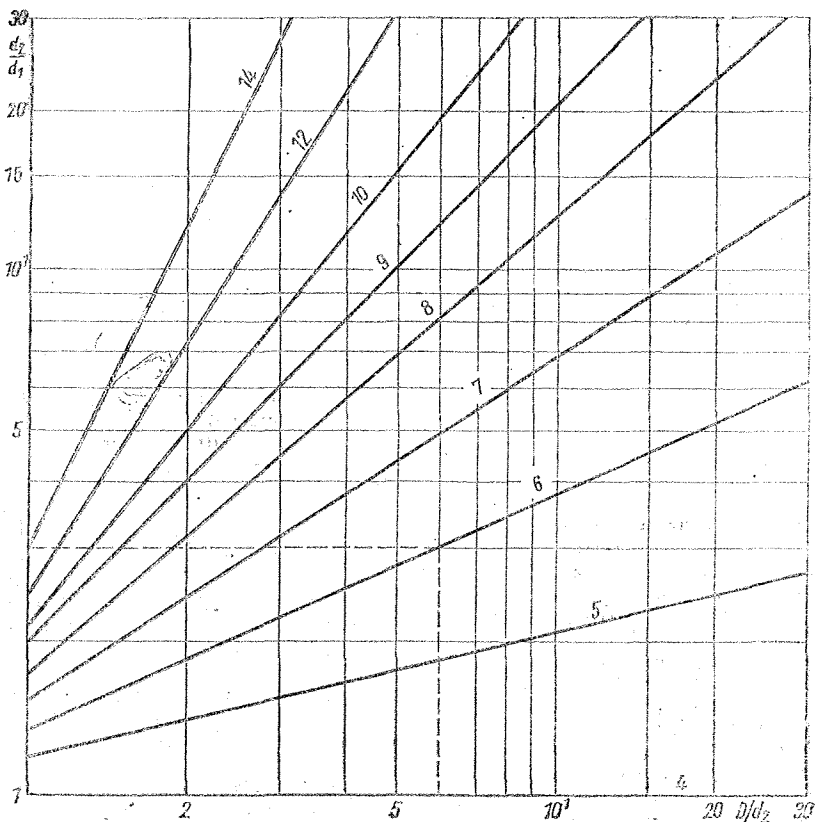
Броят на полуълновните диполи, включени паралелно, може да се увеличи, докато се получи решетка. За определяне на входното съпротивление на такъв сложен дипол важи следното правило: Ако всички проводници имат еднакъв диаметър и взаимното им отстояние един от друг  $D$  е по-малко от  $0,05 \lambda$ , коефициентът на умножение  $k$  на входното съпротивление (по отношение на това на правия полуълнов дипол) е приблизително равен на квадрата на броя на проводниците  $n$ :

$$k = n^2.$$

Двойният шлейфовибратор на фиг. 4.2 е образуван от 3 паралелни полуълновни отрязъка ( $n=3$ ), затова коефициент



Фиг. 4.3. Шлейфовибратор с различни диаметри на двата полуълновни отрязъка



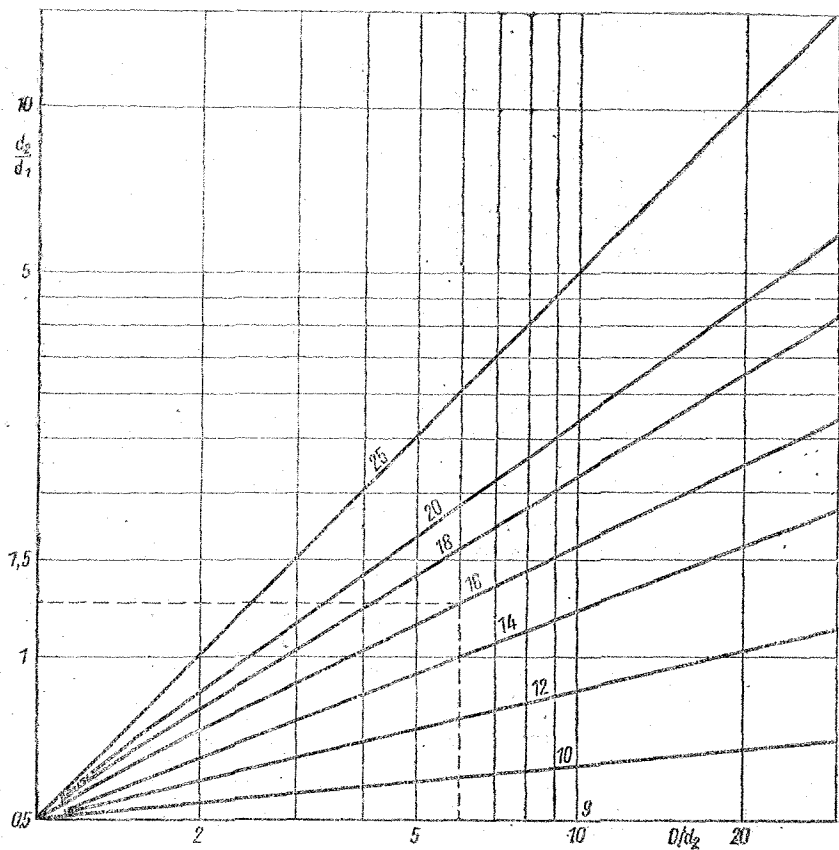
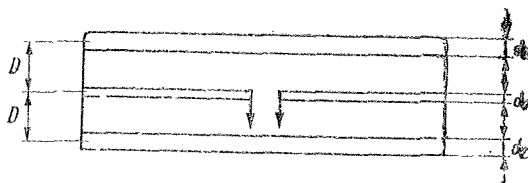
Фиг. 4.4. Входно съпротивление на шлейфвibrator, изработен от различно дебели полуълновни елементи, сравнено с това на един прав дипол. Пример (начертан):  $\frac{d_2}{d_1}=3$ ;  $\frac{D}{d_2}=6$ , отук се получава коефициент на трансформация 6, т. е. входното съпротивление на шлейфвibratora е 6 пъти по-голямо от това на един прав дипол (стойности от 360 до 420  $\Omega$ )

циентът  $k$  е  $3^2=9$ , което съответствува на входно съпротивление от около 9  $\cdot$  60=540  $\Omega$ .

Една друга и често използвана възможност за промяна на входното съпротивление на шлейфвibratora се състои в избора на различни диаметри на двата полуълновни отрязъка (фиг. 4.3). Ако диаметърът на целия полу-

ълнов отрязък  $d_2$  е по-голям от този на дипола  $d_1$ , входното съпротивление се увеличава. То става по-голямо от това на един нормален шлейфвibrator. Обратно, ако диаметърът  $d_1$  на захранвания дипол е по-голям от  $d_2$ , входното съпротивление се намалява. В двата случая коефициентът на умножение  $k$  зависи и от отстоянието  $D$ .





Фиг. 4.5. Входно съпротивление на двоен шлейфовибратор, изработен от различно дебели полувълнови елементи, сравнено с това на един олвяват дипол. Пример (начертан):

$$\frac{d_2}{d_1} = 1,25; \quad \frac{D}{d_2} = 6,$$

оттук се получава отношение на импедансите 16, т. е. входното съпротивление на двойния шлейфовибратор е 16 пъти по-голямо от това на прав дипол (стойностите на входното съпротивление са от 960 до 1120  $\Omega$ )

Действителното входно съпротивление на един шлейфвибратор, който е направен от различно дебели тръби ( $d_2 > d_1$ ), е показано на фиг. 4.4.

Коефициентът на умножение на входното съпротивление  $k$  може да се получи по формулата

$$k = 1 + \left( \frac{Z_1}{Z_2} \right)^2, \quad (4.3)$$

която е дадена от Робертс (RCA Review, June, 1947). Коефициентът  $k$  също се получава по отношение на обикновения полувълнов дипол. За  $Z_1$  се замества вълновото съпротивление, което би се получило, ако се направи двупроводна линия с диаметър на проводниците  $d_1$  и отстояние между проводниците  $D$ . Вълновото съпротивление на двупроводна линия  $Z$  с въздушна изолация се изчислява по формулата

$$Z = 276 \lg \frac{2D}{d}. \quad (4.4)$$

Това е разглеждано по-подробно в раздел 5.1.1.

По аналогичен начин вместо  $Z_2$  трябва да се замести вълновото съпротивление на двупроводна линия с диаметър на проводниците  $d_2$  и отстояние между тях  $D$ .

За определяне на коефициента на умножение  $k$  обикновено се използва формулата

$$k = \left( \frac{\lg \frac{4D^2}{d_1 d_2}}{\lg \frac{2D}{d_2}} \right)^2. \quad (4.5)$$

При двойния шлейфвибратор също се цели промяна на входното съпротивление, когато диаметърът на прекъснатия дипол  $d_1$  се различава от този на двата паралелни полувълнови отрязъка ( $d_2$ ). Зависимостите са показани чрез графиките на фиг. 4.5.

Като се използват формулите (4.3) и (4.5), за двойния шлейфвибратор могат

да се получат следните зависимости:

$$k = 1 + \left( \frac{2Z_1}{Z_2} \right)^2 \quad (4.6)$$

и

$$k = \left( \frac{\lg \frac{4D^2}{d_1^2 d_2}}{\lg \frac{D}{d_2}} \right)^2. \quad (4.7)$$

При всички шлейфвибратори целият полувълнов отрязък може да бъде заземен в геометричната му среда или да бъде свързан направо към металната стрела на антената.

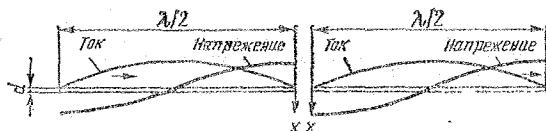
## 4.2. Целовълнов дипол

Дипол, чиято дължина е електрически равна на  $1\lambda$ , се нарича *целовълнов дипол* (фиг. 4.6).

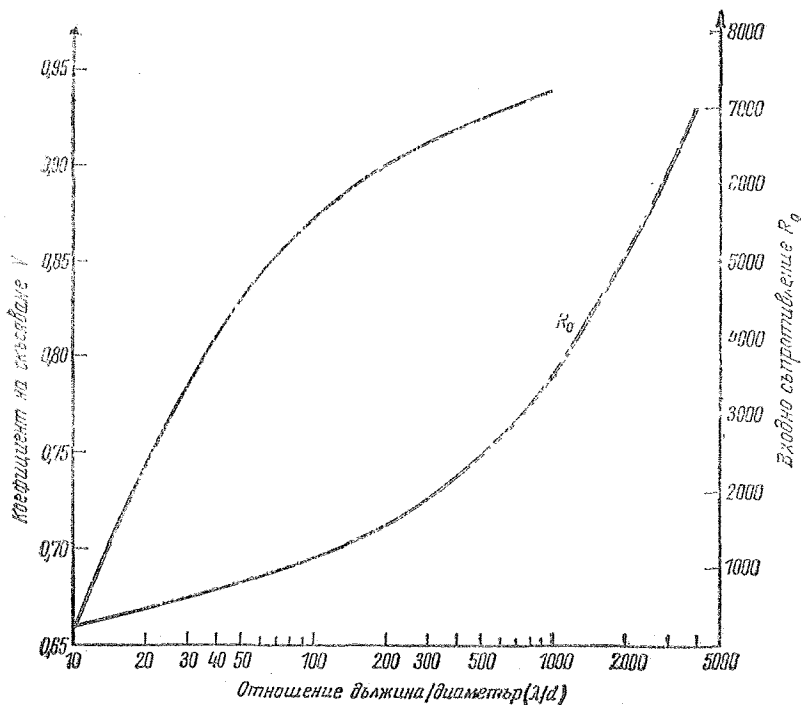
Двата полувълнови отрязъка се възбуждат синфазно в точките, в които напрежението е максимално. Както е известно, при високо напрежение и малък ток се получава голямо съпротивление. Следователно импедансът в точките на захранване на целовълновия дипол е сравнително висок.

Тъй като захранването на целовълновия дипол се извършва в точки, в които напрежението е максимално, се говори за дипол, захранван по напрежение. Входното съпротивление  $R_0$  и широчината на честотната лента зависят в по-голяма степен, отколкото тези на полувълновия дипол, от отношението  $\lambda/d$ . При това широчината на честотната лента е винаги по-голяма от тази на един полувълнов дипол със същото отношение дължина/диаметър. Кривите на фиг. 4.7 показват входното съпротивление  $R_0$  и коефициента на скъсяване  $V$  на целовълновия дипол в зависимост от отношението  $\lambda/d$ .

Отстоянието между двете половини на дипола в точките на захранване  $XX$



Фиг. 4.6. Целовълнов дипол



Фиг. 4.7. Зависимост на входното съпротивление  $R_0$  и на коефициента на скъсяване  $V$  на целовълновия дипол от отношението дължина на вълната/диаметър на проводника  $\lambda/d$  (приблизителни стойности).

също така има незначително влияние върху входното съпротивление  $R_0$ . Получените от фиг. 4.7 стойности за  $R_0$  са толкова по-точни, колкото по-добре отстоянието  $XX$  съответствува на диаметъра на излъчвателя.

Коефициентът на скъсяване  $V$  на целовълновите диполи също се различава от този на един полуълнов дипол със същото отношение  $\lambda/d$ . Целовълновият дипол трябва да бъде скъсен повече, за да се настрои в резонанс.

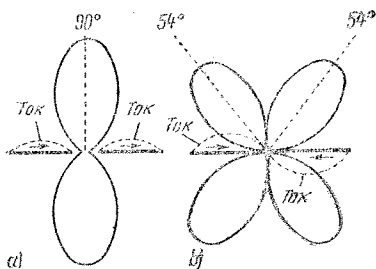
#### Пример

Един целовълнов дипол за честота  $f=150$  MHz (съответствува на  $\lambda=200$  cm) трябва да бъде направен от тръба, дебела 2 cm. Отношението  $\lambda/d$  следователно е  $200:2=100$ . За тази стойност от фиг. 4.7 може да бъде отчетено входно съпротивление 1100  $\Omega$ .

При  $\lambda/d=100$  коефициентът на скъсяване  $V$  е 0.87.

Целовълновият дипол не трябва да бъде смесван с целовълновия излъчвател. При целовълновия дипол, който е прекъснат в геометричната му среда и се захранва в тези две точки, двата полуълновни клона принудително се възбуждат синфазно. Така се получава диаграмата на насоченост на излъчването в  $E$ -равнината, показана на фигура 4.8a. Тя е подобна на тази на полуълновия дипол, двата листа на диаграмата на излъчване обаче са малко по-тесни (ъгъл на разтвора  $65^\circ$ ).

Целовълновите антени не са прекъснати и се захранват в единия край на проводника (напр. т. нар. цепелин-антени, вж. раздел 10.2.1.). В този случай посоката на тока в средата на проводника с дължина  $1\lambda$  се променя (фиг. 4.8 в) и двете половини се възбуждат противофазно. Затова диагра-



Фиг. 4.8. Диаграма на насоченост на излъчването в  $E$ -равнината и разпределение на тока при целовълновите излъчватели:  $a$  — целовълнов дипол, двете половини на дипола се възбуждат синфазно (еднакви посоки на токовете), главният лъст в диаграмата на насочено действие е разположен на  $90^\circ$  спрямо оста на дипола,  $b$  — целовълнов дипол, захранван в края, двете половини са възбудени противофазно (противоположни посоки на токовете), направлението на главния лъч сключва ъгъл  $54^\circ$  с оста на излъчвателя

мата на насочено действие в  $E$ -равнината има 4 главни направления на излъчване, при което максимум на излъчването се получава винаги при ъгъл  $54^\circ$  спрямо направлението на проводника.

Докато усиляването на целовълновия дипол по отношение на полувълновия дипол е около 1,8 dB, това на целовълновия излъчвател, захранван в единия край, е само около 1,2 dB. Полувълновият дипол се сравнява с последователен трептящ кръг, докато целовълновият дипол в случай на резонанс и при промяна на честотата наподобява паралелен трептящ кръг.

Поради сравнително голямата ширина на честотната лента на целовълновия дипол той се използва предимно в широколентовите антенни системи. При това диполът би могъл да бъде закрепен и заземнен в двете точки с минимално напрежение (вж. разпределението на напрежението на фиг. 4.6). По-често обаче не се прави заземняване в точките на закрепване на дипола, а той се държи изолиран, за да се избегнат загубите, които биха могли да възникнат поради неравномерно разпределение на напрежението.

С цел да се повиши усиляването може да се увеличи разстоянието  $XX$  в точките на захранване. Усиляването може да стане повече от 3 dB, когато разстоянието  $XX$  стане от порядъка на

0,2 до 0,6  $\lambda$ . Наистина едно увеличаване на усиляването по този начин едва ли е възможно, тъй като се влошава механичната устойчивост на антената.

### 4.3. Широколентови антени

Входното съпротивление на един дипол при резонанс е чисто активно. При възбуждане на дипола с честоти, които не съвпадат с резонансната му честота, входното съпротивление получава индуктивна или капацитивна реактивна компонента.

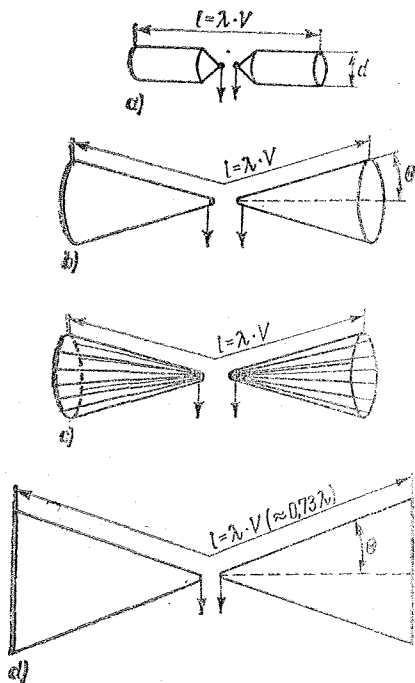
Колкото един дипол е по-тънък, толкова по-бързо нарастват реактивните компоненти при разстройката от резонансната честота и толкова по-малка е широчината на честотната лента. Затова се използват диполи с малко отношение  $\lambda/d$  (така наречените „дебели“ диполи). Това се прави, когато трябва да се постигне голяма широчина на честотната лента. Дебелите диполи могат да бъдат полувълнови или целовълнови. По отношение на широчината на честотната лента е по-изгодно използването на целовълнови диполи, защото при същото отношение  $\lambda/d$  те имат приблизително 1,3 пъти по-широка честотна лента, отколкото един полувълнов дипол.

Разпределението на тока при дебелите диполи не е вече синусоидално, а е приблизително равномерно, както е показано на фиг. 4.9. Затова при дебелите целовълнови диполи токът в точките на захранване има сравнително висока стойност, с което се обяснява и понижаването на входното съпротивление при намаляване на отношението  $\lambda/d$ .

Ако широколентовият дипол се състои от дебели цилиндрични тръби или пръти, както е показано на фиг. 4.9, напречните сечения на прътите в точките на захранване имат голям капацитет едно спрямо друго. При свързване на захранващия кабел тези на-



Фиг. 4.9. Разпределение на тока при „дебел“ целовълнов дипол



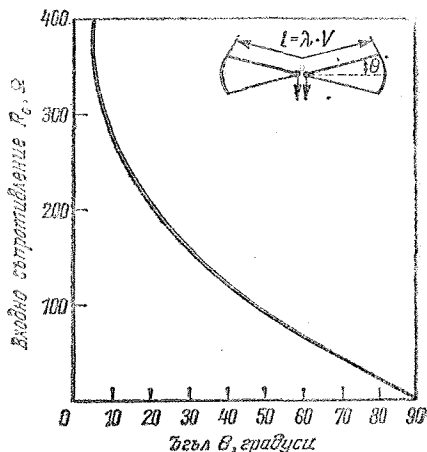
Фиг. 4.10. Разновидности на широколентови диполи; *a* — дебел цевълъвов дипол, изработен от цилиндрични пръти, изтънен конусообразно в точките на захранване, *b* — биконична антена, изработена от ламаринени конуси, *c* — биконична антена, изработена от голям брой отделни пръти, *d* — плосък дипол, изработен от елементи с триъгълна форма

пречния сечения се променят рязко. Поради това дебелите диполи обикновено се изтъняват конусообразно в точките на захранване, както е показано на фиг. 4.10*a*. Така се получават точно определени точки, в които се свързва захранващият кабел.

Често конусообразната структура се запазва по цялата дължина на антената и така се получава биконична антена (фиг. 4.10*b*). При нея входното съпротивление зависи от големината на ъгъла  $\theta$  и може да се отчете от графиката на фиг. 4.11. Такива диполи имат голяма ширина на честотната лента и затова оразмеряването на коефициента на скъсяване  $V$  не е особено критично и най-често се приема една средна стойност  $V=0,73$ . Една конструкция, съ-

държаща възможно най-голям брой отделни пръти, е показана на фиг. 4.10*c*. Тя има незначително тегло и малко ветрово съпротивление. Свойствата на биконичната антена се запазват и при тази опростена конструкция. Накрая може напълно да се изостави коничната форма и диполът да се оформи в една плоскост. За да се получат точно определени точки на свързването на захранващия кабел, плоските диполи най-често се правят от елементи с триъгълна форма (вж. фиг. 4.10*d*). Затова те се наричат също така и перерудообразни диполи. Ако плоскостите са образувани от жично плетена решетка или от надупчени пластини, ветровото съпротивление и теглото се намаляват, без с това да се влошават забележимо свойствата на антената. При цевълъвния перерудообразен дипол също се приема един среден коефициент на скъсяване  $V=0,73$ . Широколентовите плоскостни антени са разглеждани по-подробно в раздел 26.1.

При описаните широколентови диполи относителната ширина на честотната лента  $b$  е от 0,5 до 0,8  $f_0$  и зависи от размерите на дипола. Дефиницията на относителната ширина на честотната лента е дадена в раздел 3.1.4. (формула 3.3).



Фиг. 4.11. Зависимост на входното съпротивление на една биконична антена от ъгъла  $\theta$

## 5. Захранване на антените

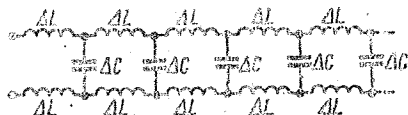
Най-голяма мощност се предава, когато импедансът на генератора (крайното съгласало на предавателя) е съгласуван с импеданса на консуматора (антената).

Коефициентът на предаване на мощността достига своята максимална стойност, когато консуматорът представлява чисто активно съпротивление за генератора. Това означава, че точката, в която се захранва антената, не бива да има индуктивни или капацитивни реактивни съпротивления. Това е така, в случай че антената се намира в резонанс с честотата на предавателя.

В повечето случаи между предавателя и антената трябва да се включи кабел за пренасяне на енергията. Това трябва да бъде направено така, че съгласуването, съотв. резонансното отношение между предавателя и антената да не бъдат нарушени. Тези разсъждения са валидни по аналогия и в случай на приемане. Тогава антената представлява генератор, а приемникът — консуматор.

### 5.1. Захранващи линии

Захранващите линии имат задачата да пренесат високочестотната енергия с възможно най-малки загуби, като самите те не трябва да излъчват енергия. Използуваните в антенната техника захранващи линии се състоят най-често от два паралелно разположени проводника. Характерните свой-



Фиг. 5.1. Еквивалентна схема на двупроводна линия



Фиг. 5.2. Напречно сечение на двупроводна линия

ства на линията се определят главно от геометричните размери на напречното сечение на линията и вида на диелектрика между проводниците.

#### 5.1.1. Вълново съпротивление на захранващите линии

Вълновото съпротивление  $Z$  е една важна величина на високочестотните линии. То се получава като отношение на напрежението  $U$  към тока  $I$  при една безкрайно дълга линия.

Една високочестотна линия може да бъде представена като съвкупност от последователно свързани индуктивности и паралелно свързани капацитети. Това представяне съответства и на най-често използваната опростена еквивалентна схема на двупроводната линия (фиг. 5.1). Вълновото съпротивление на една високочестотна линия може да бъде изчислено по формула (5.1), ако се пренебрегнат загубите в линията, нещо, което винаги се прави на практика:

$$Z = \sqrt{\frac{L}{C}}, \quad (5.1)$$

където  $Z$  е в  $\Omega$ .  $Z$  е реално число, поради което вълновото съпротивление не зависи от честотата и дължината на линията.

От формула (5.1) следва, че голяма самониндукция  $L$  и малък капацитет  $C$  дават в резултат голямо вълново съпротивление  $Z$ . На практика то ва означава

чава, че тънки проводници (голяма  $L$ ), разположени далеч един от друг (малък  $C$ ), имат голямо вълново съпротивление. Обратно, дебели проводници (малка  $L$ ), намиращи се близо един до друг (голям  $C$ ), имат малко вълново съпротивление  $Z$ . Оттук се вижда, че вълновото съпротивление  $Z$  се определя на първо място от геометричните размери на напречното сечение на линията.

В антенната техника се използват главно двупроводни линии (напречното им сечение е показано на фиг. 5.2) и коаксиални линии, показани на фиг. 5.3. Тяхната конструкция е описана в следващия раздел.

При предположение, че диелектриктът между двата проводника е въздух (диелектрична константа  $\epsilon=1$ ), се получават следните приблизителни формули за пресмятане на вълновото съпротивление  $Z$ :

$a$  — двупроводни линии с въздушна изолация (фиг. 5.2)

$$Z = 120 \ln \frac{2D}{d} \quad (5.2)$$

или

$$Z = 276 \lg \frac{2D}{d}; \quad (5.3)$$

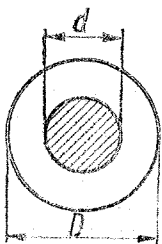
$b$  — коаксиални линии с въздушна изолация (фиг. 5.3)

$$Z = 60 \ln \frac{D}{d} \quad (5.4)$$

или

$$Z = 138 \lg \frac{D}{d}, \quad (5.5)$$

където  $\ln$  е натурален логаритъм,  $\lg$  — десетичен логаритъм. Размерите за  $D$



Фиг. 5.3  
Напречно сечение на  
коаксиална линия

и  $d$  трябва да се вземат от фиг. 5.2, съотв. от фиг. 5.3.

Вълновото съпротивление  $Z$  на високочестотни линии с различна форма на напречното сечение може да се пресметне приблизително, като се използват кривите от фиг. 5.4÷5.7. Стойностите, отчтени по тези криви, са верни при въздушна изолация между проводниците.

#### 5.1.1.1. Диелектрик на високочестотните линии

Скоростта на разпространение на електромагнитните вълни се определя от средата, през която те преминават. Ако тази среда е атмосферният въздух,  $c=3 \cdot 10^8$  m/s (това е скоростта на светлината). При пресмятането на тази „максимална скорост“ е използвана диелектричната константа  $\epsilon$  на вакуума или на атмосферния въздух. Тя представлява една бездименсионна природна константа с числова стойност 1,0. Относителната диелектрична константа на всички други вещества е винаги по-голяма от 1,0.

От равенството

$$c = \frac{3 \cdot 10^8}{\sqrt{\epsilon_r}} \quad (5.6)$$

може да се види, че скоростта на разпространение  $c$  (в m/s) трябва да намалее, когато разпространението става в среда, различна от въздуха. В таблица 5.1 е направено сравнение на относителната диелектрична константа на различни изолационни материали.

При индустриално произвежданите високочестотни кабели за изолация между отделните проводници най-често се използват плътни изолационни материали. Това оказва влияние върху скоростта на разпространение на сигнала по линията, а също така трябва да се има предвид при пресмятане на вълновото съпротивление. Уравнението (5.2)÷(5.5) трябва да бъдат уточнени, както следва:

$a$  — двупроводни линии с пластмасова изолация

$$Z = \frac{120}{\sqrt{\epsilon_r}} \ln \frac{2D}{d} \quad (5.7)$$

Таблица 5.1. Диелектрични константи на различни изолационни материали

Диелектричен материал	Диелектрична константа $\epsilon_r$
Аменит	3,5
Калит	6,5
Епоксидна смола за залепване	3,5
Съкло	4,0 ... 10
Слюда	4,0 ... 8
Гетинакс	4 ... 6
Изолационна хартия	2,2
Въздух	1,0
Луполен	2,3
Миполам	3,4
Пертинакс	5,6 ... 6,5
Пиакрил (плексиглас)	3,0 ... 3,6
Полиетилен	2,3
Полиизобутилен, опанол	2,2 ... 2,6
Полистирол	2,2 ... 2,6
Порест полистирол	1,05
Поливинилхлорид (PVC)	3,1 ... 3,5
Порцелан технически	6,5
Силиконов каучук	4,2
Стеатит	6,0
Стирофлекс	2,5
Тефлон	2,0
Трансформаторно масло	2,2
Триафол (триацетатно фолио)	4,3
Тролитул	2,4
Висококачествения порцелан	6,3 ... 7,5

или

$$Z = \frac{276}{\sqrt{\epsilon_r}} \lg \frac{2D}{d}; \quad (5.8)$$

$b$  — коаксиален кабел с пластмасова изолация

$$Z = \frac{60}{\sqrt{\epsilon_r}} \ln \frac{D}{d} \quad (5.9)$$

или

$$Z = \frac{138}{\sqrt{\epsilon_r}} \lg \frac{D}{d}. \quad (5.10)$$

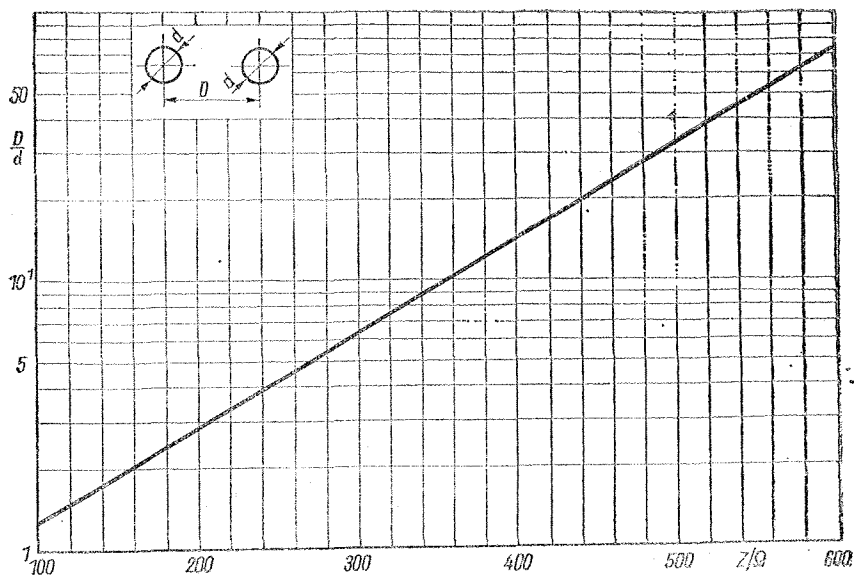
Ако в диелектрика има въздушни междини, както често се среща при съвременните кабели, тогава трябва да се приема по-малка диелектрична константа, отколкото при плътна изолация.

Коефициентът на скъсяване  $V$  на един кабел може да се определи, като се знае диелектричната константа на използвания изолационен материал. Този коефициент се получава от отношението на скоростта на разпространение на сигнала по кабела към скоростта на разпространение в свободното пространство. Получената величина винаги е по-малка от 1. Коефициентът на скъсяване  $V$  се получава от равенството

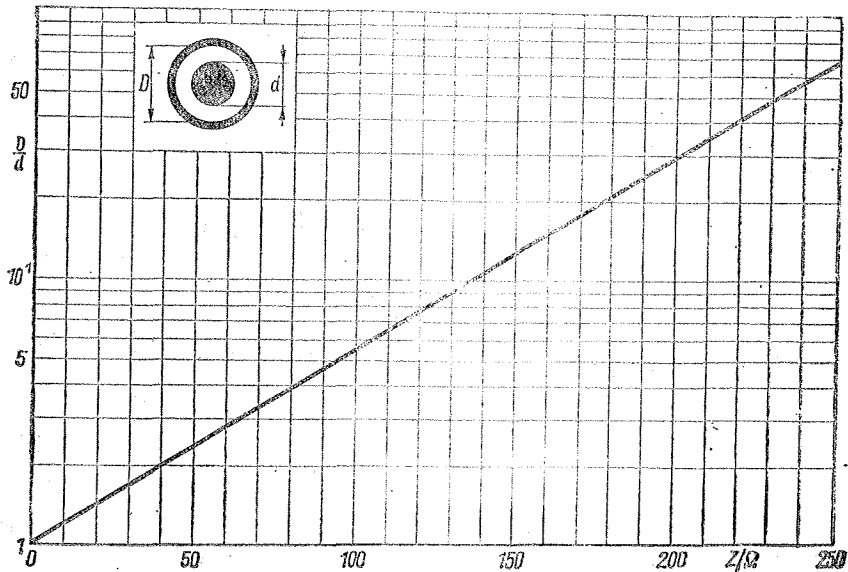
$$V = \frac{1}{\sqrt{\epsilon_r}}. \quad (5.11)$$

Коефициентът на скъсяване почти винаги е даден в проспектите за висококачествени кабели. Той е необходим между другото и като коефициент на умножение, когато от един висококачествен кабел трябва да бъде отрязана част с определена резонансна дължина

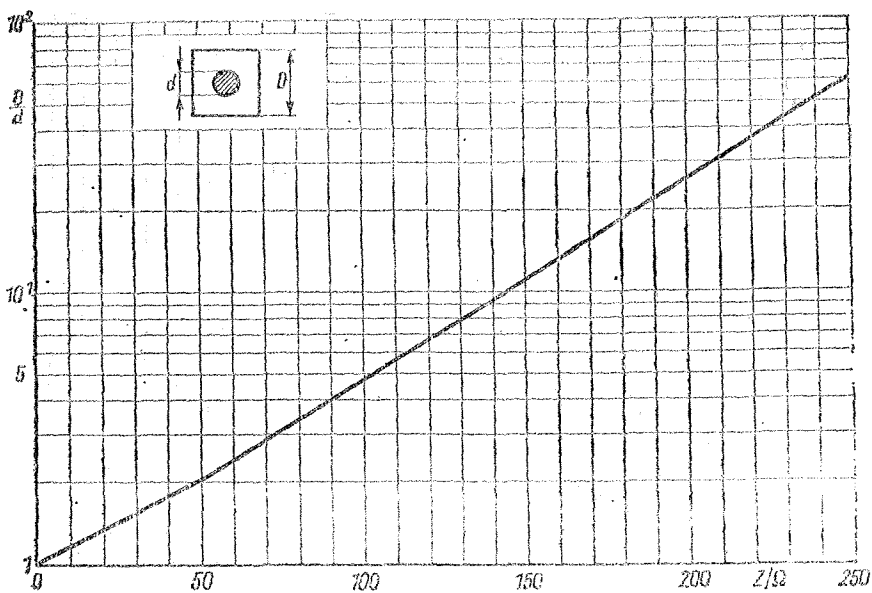




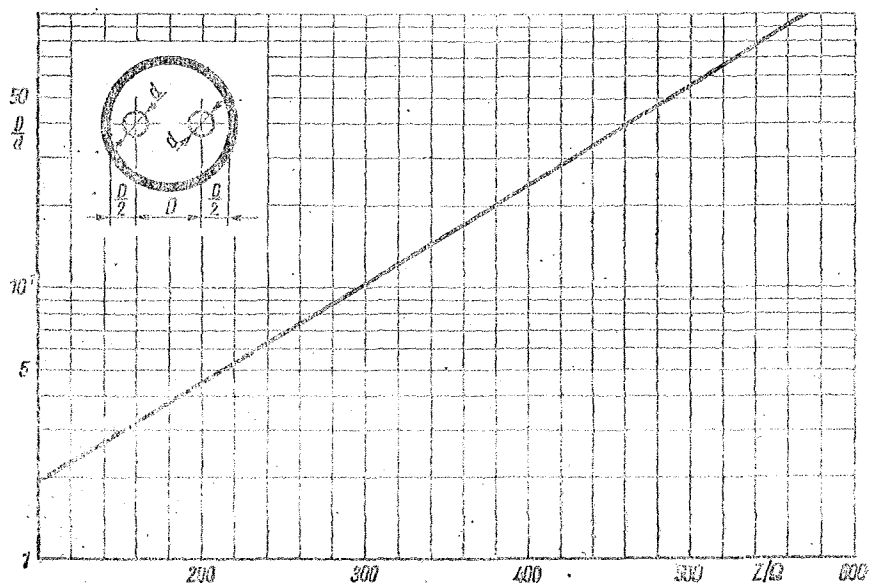
Фиг. 5.4. Зависимост на вълновото съпротивление  $Z$  на една двупроводна линия с въздушна изолация от отношението на разстоянието между проводниците  $D$  към диаметъра на проводниците  $d$



Фиг. 5.5. Вълново съпротивление на коаксиална линия с въздушна изолация в зависимост от отношението на външния диаметър на външния проводник  $D$  към външния диаметър на външния проводник  $d$



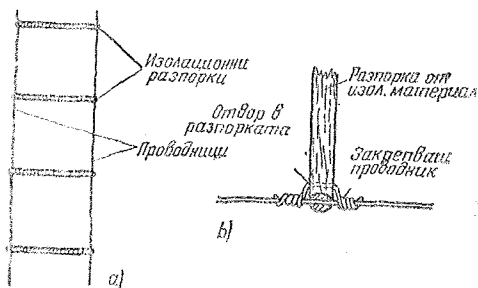
Фиг. 5.6. Вълново съпротивление  $Z$  на двупроводна линия с въздушна изолация при кръгъл вътрешен проводник и квадратен външен проводник



Фиг. 5.7. Вълново съпротивление  $Z$  на екранирана симетрична двупроводна линия с въздушна изолация

Фиг. 5.8

Открита двупроводна линия; а — конструкция, б — предложение за закрепяване на изолаторите



### 5.1.1.2. Определяне на вълновото съпротивление чрез прости измервания

Вълновото съпротивление на кабели с чисто въздушна изолация може да се провери чрез измерване на капацитета за единица дължина. За целта се определя общият капацитет на един точно измерен отрязък от кабела и след това се пресмята капацитетът  $C$  в pF за 1 cm дължина на кабела. Вълновото съпротивление  $Z$  се получава с достатъчна точност от формулата

$$Z = \frac{100}{3C}, \quad (5.12)$$

където  $Z$  е в  $\Omega$ . Ако има на разположение LC-измерителен мост, чрез измерване може да се определи вълновото съпротивление на какви да е кабели и лентови линии с пластмасова изолация. Развива се възможно най-дълъг отрязък от кабела и при отворен край се измерва капацитетът между жилото и екранировката. След това жилото и екранировката в противоположния край на отрязъка се свързват накъсо и с моста се измерва индуктивността  $L$  между жило и екран. Измерените стойности ( $C$  във фаради и  $L$  в хенри) трябва да се заместят в уравнение (5.1).

При лентови линии (кабели) измерванията се извършват по аналогичен начин, но кабелите не трябва да лежат на пода, а да висят свободно във въздуха.

### 5.1.2. Двупроводни линии

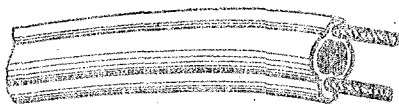
Високочестотните кабели с въздушна изолация имат винаги най-малки загуби. Затова радиолюбителите, особено

при работа в късовълновия обхват, използват саморъчно направени захранващи линии, които се състоят от паралелни, свободно висящи проводници. Разстоянието между тях се поддържа постоянно чрез отрязъци от висококачествен изолационен материал. Такива захранващи линии най-често се наричат фидери (фиг. 5.8). За да се направи фидер с определено вълново съпротивление, от фиг. 5.4 трябва да се отчете отношението  $D/d$  (отстояние/диаметър). От съображение за механична устойчивост вълновото съпротивление се прави най-много 500 ... 600  $\Omega$ . При по-малко вълново съпротивление дължината на изолаторите е недостатъчна да осигури необходимата стабилност на линията.

Двупроводните линии, обвити в пластмасова изолация — това са обикновените УКВ фидери — са евтини и леки (фиг. 5.9). Диелектрикът най-често е полиетилен. Намиращите се в продажба фидери имат вълново съпротивление 120, 240 и 300  $\Omega$ . Новите фидери имат незначително затихване и загубите в тях са по-малки, отколкото тези в сравнимите коаксиални кабели. Обаче след продължително излагане на атмосферни въздействия загубите на фидера нарастват чувствително, освен това под влияние на ултравиолетовото излъчване на Слънцето след време диелектрикът се променя по неблаго-



Фиг. 5.9. Плоска лентова двупроводна линия (УКВ лентов кабел)



Фиг. 5.10. Симетричен шлангов кабел



Фиг. 5.11. Екранирани (ширмовани) двупроводни линии

приятен начин. Напоследък се правят опити стареенето на кабелите да се предотврати или поне да се забави силно чрез оцветяване на пластмасите със сажди или други вещества.

Характеристиките на лентовите кабели се изменят особено силно при дъжд, скреж или мъгла. Тогава кабелите се покриват с воден слой, който предизвиква неконтролируемо изменение на вълновото съпротивление и освен това повишава затихването. Вълновото съпротивление се изменя и при приближаване на кабела до сградата, до метални части и пр. Затова лентовите кабели трябва да се прекарват по възможност свободно висящи и така, че да не изменят положението си в пространството. Симетричните шлангови кабели, при които диелектрият обвива двата проводника като шlauch, не са толкова зависим от атмосферните влияния. Тъй като при тях диелектрият има много въздушни междини (използват се пенопласти), затихването в тези кабели е по-малко, отколкото при сравняваните с тях лентови кабели (фиг. 5.10).

Показаните на фиг. 5.11 ширмовани симетрични двупроводни линии се използват рядко. Те имат по-висока цена и затихването на сигнала в тях е малко по-голямо от това на сравнимите с тях неширмовани кабели. Ширмованите кабели обаче са издръжливи на атмосферни влияния и параметрите им остават постоянни в продължителни

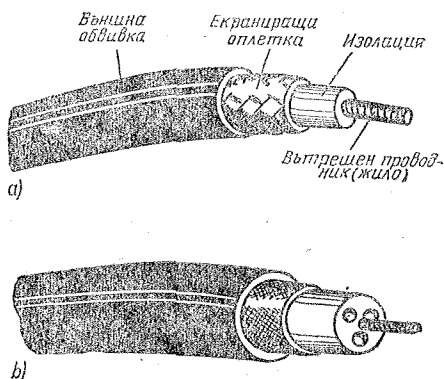
периоди от време. Освен това те могат да бъдат прокарвани, без да се обръща внимание на намиращите се наоколо обекти. Ширмовани симетрични двупроводни линии се произвеждат с вълново съпротивление 120  $\Omega$  и 240  $\Omega$ .

В ГДР двужилните симетрични високочестотни кабели са стандартизирани по TGL 11576. Съкратените означения на типовете кабели се образуват съгласно препоръките на международната комисия по електротехника (IEC). Те са обяснени в следващия раздел.

### 5.1.3. Коаксиални кабели

Коаксиалните кабели имат аксиална симетрия. Затова по отношение на земята те се означават като несиметрични кабели. Коаксиалните кабели се състоят от вътрешен проводник (жило), външен проводник (ширмовка) и външна защитна обвивка (фиг. 5.12). Жилото най-често е образувано от гол меден проводник, по-рядко от многожилен гъвкав меден проводник. Диелектрият се състои от високочестотни изолиращи вещества с малки загуби (полнетилен, полистирол и др.). Диелектрият може да бъде без въздушни междини (фиг. 5.12a) или с въздушни междини (фиг. 5.12b).

Кабелите с диелектрик без въздушни междини имат стабилна конструкция и се отличават с постоянство на електрическите свойства при механични въздействия. Пълната изолация с плътен



Фиг. 5.12. Коаксиални кабели; а — кабел с диелектрик без въздушни междини, б — кабел с диелектрик с въздушни междини



Фиг. 5.13. Коаксиален кабел със спирален изолатор

диелектрик допринася за голяма електрическа якост (на пробив) и дава сигурна защита срещу проникване на влага.

Кабелите с диелектрик с въздушни междини имат особено малки загуби, но трябва старателно да се предпазват от овлажняване. Особено подходящи за диелектрик са порестите материали, произведени от пластмаса, защото те обединяват предимствата на пълната изолация с тези на диелектриците с въздушни междини. Кабелите, при които за изолация на жилото от ширмовката служи спирала от изолационен материал, навита около жилото, имат много големи въздушни междини (фиг. 5.13). Такива кабели имат много малки загуби, но са особено чувствителни спрямо механични въздействия.

Ширмовката на по-тънките коаксиални кабели най-често се прави като оплетка от медна жица, дебелите кабели имат оплетка от медна лента. При кабелите за големи мощности като ширмовка се използва набраздено медно фолио (гофриран кабел) или друга специална конструкция.

За външна защита на коаксиалния кабел най-често служи пластмасова обвивка от поливинилхлорид (PVC). Тя има задача да защитява кабела от проникващата влага и от механични увреждания. Специалните кабели, например тези, които се полагат в земята, често имат още една оплетка от стоманена жица, над която се намира втора пластмасова обвивка.

При новите коаксиални кабели с пълтна изолация най-често се използват диелектрици с  $\epsilon_r=2,3$ . Затова е достатъчно резултатите, получени от кривите на фиг. 5.5, да се умножат с  $1/\sqrt{2,3} \approx 0,66$ . Коефициентът на скъсяване  $V$  спрямо кабел с чисто въздушна изолация в този случай има стойност 0,66. При кабелите с диелектрик с въздушни междини коефициентът на скъсяване, общо взето, е между 0,8 и 0,9. Срещат се и по-стари видове коаксиални кабели с изолация от калит. Калитът има диелектрична константа  $\epsilon_r=6,5$ . В този случай трябва да се умножава с  $1/\sqrt{6,5} \approx 0,39$ .

В ГДР коаксиалните кабели са стандартизирани по TGL 11575. Все още се прилагат коаксиални кабели с вълново съпротивление 60  $\Omega$ . В съответствие с международните норми в бъдеще ще се премине към използването на кабели с вълново съпротивление 50  $\Omega$  и 75  $\Omega$ , тъй като това отговаря на препоръка 96—2 на IEC.

#### 5.1.4. Затихване на височестотните кабели

За разлика от вълновото съпротивление и коефициента на скъсяване затихването на един височестотен кабел е честотно зависимо и се увеличава с нарастване на честотата. Ако кабелите са натоварени със съпротивление, равно по стойност на вълновото им съпротивление, загубите се определят изключително от съпротивлението на проводника за единица дължина и от ъгъла на загубите на използвания изолационен материал.

При високи честоти вследствие на скин-ефекта (протичане на тока по повърхността на проводника) съпротивлението за единица дължина е чув-

Таблица 5.2. Коефициенти за преизчисляване на данни за затихването

Np . 8,686	=dB
dB . 0,1151	=Np
Np/km . 0,867	=dB/100 m
dB/100 m . 153	=Np/km
Np/km . 0,2645	=dB/100 ft
dB/100 ft . 3,78	=Np/km

ствително по-голямо, отколкото съпротивлението за постоянен ток. За обикновени по размери кабели с медно жило честотозависимото съпротивление за единица дължина се пресмята по следната приблизителна формула:

$$R = \frac{8,4}{d} \cdot \sqrt{f}, \quad (5.13)$$

където  $R$  е в  $\Omega/\text{km}$ ,  $f$  — в МНHz,  $d$  — диаметър на проводника в см. Общото съпротивление се получава чрез сумиране на съпротивленията на жилото и оплетката. Ако жилото не е гладък проводник или тръба, съпротивлението се увеличава с около  $1/4$  (при многожилен проводник). При обикновените оплетки на външния проводник на коаксиалния кабел съпротивлението е 2 до 3 пъти по-голямо.

В каталозите на заводите-производители почти винаги е дадено затихването за поредица от честоти. Данните за затихването често се дават в неperi за километър (Np/km). Понякога се срещат данни за затихването в децибели за 100 метра дължина на кабела (dB/100 m). В англосаксонските страни затихването се задава и в децибели за 100 фута (dB/100 ft). Радиолюбителите най-често използват кабели с малка дължина и за тях е най-удобно затихването да бъде дадено в dB/100 m. Затова в табл. 5.2 са дадени коефициенти за пресмятане на затихвания, зададени по различен начин.

Чистите загуби от затихването в един високочестотен кабел могат да достигнат значителна стойност. Особено когато трябва да се поставят кабели с голяма дължина, е полезно да се пресметне енергията, излъчена (приета) от антенната система, като се имат пред вид загубите, внесени от кабела. Диаграмата на фиг. 5.14 позволява бързо и просто да се отчете коефициентът на полезно действие (в %), съответно загубите на мощност и напрежение, когато е известно затихването на кабела в децибели. Прилагането на тази диаграма на практика ще бъде пояснено с два примера.

#### Пример 1

Един УКВ предавател с изходна високочестотна мощност 100 W трябва

да захрани антената чрез коаксиален кабел от тип 60-7-1, производство на VEB Kabelwerk Vacha, дълъг 25 m. Честотата на предавателя е 145 МНHz. За този вид кабел при честота 145 МНHz се дава затихване от 10,5 Np/km, съответстващо на 9,1 dB/100 m. Тъй като се използват само 25 m кабел, фактическото затихване е само  $1/4$  от това, което се дава за 100 m кабел, т. е. 9,1 dB : 4 = 2,3 dB. По абсцисата на фиг. 5.14 се търси точка, съответстваща на 2,3 dB, и от нея се издига перпендикуляр до пресечната точка с правата на мощността. По лявата ординатна ос може да бъде отчетено, че при затихване от 2,3 dB само 60% от мощността на предавателя достига до антената, защото загубите от затихването в коаксиалния кабел (лявата ординатна ос) са около 40%. При високочестотна мощност от 100 W загубите в кабела са 40 W.

Ако в горния случай се използва висококачествен кабел, напр. тип 60-10-3, съотношенията биха били значително по-добри. При затихване в кабела 1,1 dB коефициентът на полезно действие възлиза на около 78% и загубите в кабела в нашия пример се намаляват на 22 W.

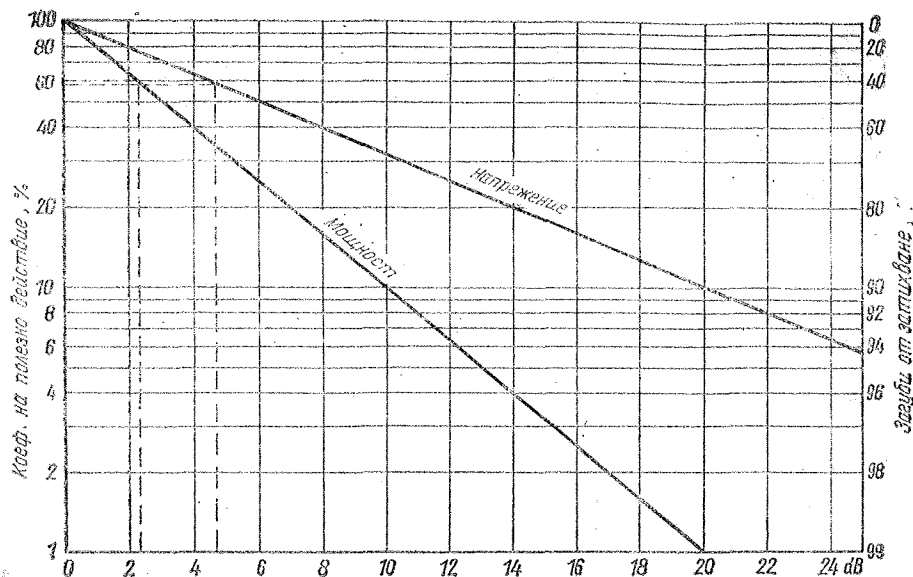
#### Пример 2

Един телевизионен приемник е свързан с приемната антена чрез симетричен лентов кабел от стария тип 894.0, производство на VEB Kabelwerk Vacha. Кабелът е дълъг 30 m. Антената е настроена за 8 канал, III обхват със средна честота точно 200 МНHz. Антената отдава полезно напрежение 500  $\mu\text{V}$ . Трябва да се определи затихването на напрежението, предизвикано от лентовия кабел.

За високочестотните лентови кабели от типа 894.0 при честота 200 МНHz се дава затихване от 18 Np/km = 15,6 dB/100 m. При дължина на кабела 30 m затихването е

$$15,6 \cdot \frac{30}{100} = 4,7 \text{ dB.}$$

От точката 4,7 dB на абсцисата се издига перпендикуляр до пресечната точка с правата на напрежението и на лявата ординатна ос се отчита кое-



Фиг. 5.14. Диаграма за пресмятане на загубите на напрежение и мощност, внесени от кабела

коefficient на полезно действие 58%, което съответствува на 42% загуба на напрежение. Това означава, че до телевизионния приемник достигат не 500  $\mu\text{V}$ , а само 58% от това напрежение, т. е. 290  $\mu\text{V}$ . Загубите в кабела възлизат на 210  $\mu\text{V}$ . Тъй като в случая става дума за стар тип кабел, може да се очаква, че вследствие на стареенето на кабела ще се получат още по-големи загуби.

При използването на един по-висококачествен кабел, например тип 240A4-1, биха се получили по-добри резултати. Затихването на сигнала за този тип кабели при честота 200 MHz е 6,7 dB/100 m, съответно за 30 m затихването ще бъде 2 dB. От фиг. 5.14 се получава, че загубата на напрежение ще бъде само 20% (2 dB), т. е. входното напрежение на телевизионния приемник ще бъде 400  $\mu\text{V}$ .

Двата примера са показани на фиг. 5.14 с прекъснатата линия. От тях може да се види, че особено в УКВ обхвата може да се получи чувствително затихване на сигнала по дължината на кабела. Следва да се обърне внимание на това, захранващите кабели да бъдат възможно най-къси и висококачествени.

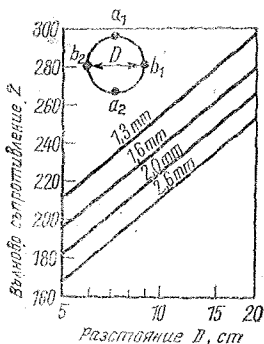
Като следствие от неправилно съг-

ласуване често се получават и значителни загуби от излъчване, които се сумират към загубите от затихването по кабела. С това coefficientът на полезно действие на антената се влошава още повече. Загубите, дължащи се на неправилно съгласуване, са разглеждани в раздел 5.2.2.

Таблицы с характеристики на стандартизирани високочестотни кабели се намират в приложението.

#### 5.1.5. Унивявания за използването на високочестотни кабели

Откритата двупроводна линия и днес има право на съществуване в радиолобителската практика. В късовълновия обхват тя е незаменима особено тогава, когато са необходими настроени захранващи линии (вж. раздел 5.3.2.). Нито един лентов кабел няма по-малки загуби от откритата двупроводна линия, разбира се, при предположение, че са използвани висококачествени изолатори. За такива могат да послужат много от съвременните пластмаси. Те са леки, с много малки загуби и се обработват лесно. Дължината на изолаторите се избира между 5 и 15 cm.



Фиг. 5.15. Зависимост на вълновото съпротивление  $Z$  на четирипроводна линия от разстоянието  $D$  между два от проводниците, разположени диагонално една срещу друг, при различни диаметри на проводниците (параметър)

При обикновената дебелина на проводника от около 2 mm се получава линия с вълново съпротивление между 480 и 600  $\Omega$ . Линиите с голямо разстояние между проводниците имат особено малки загуби. Това се дължи на голямата дължина на излъчвателите. Обаче при високи честоти (напр. 28 MHz) съществува опасност „широките“ линии сами да излъчват част от енергията. Получават се загуби от излъчване и е възможно смущаване на радио- и телевизионното приемане. Във всички любителски късовълнови обхвати могат да се използват изолатори с дължина около 10 cm. При това не трябва да се пестят изолаторите, за да може линията и при вятър да остане достатъчно права.

При прокарването на откритите двупроводни линии трябва да се избягват резките промени на посоката. Особено трябва да се внимава за това линията да не преминава успоредно на други проводници. Ако не може да се избегне доближаването ѝ до олуци, водосточни тръби и други такива по-големи метални части, линията трябва да преминава на разстояние, най-малко 3 пъти по-голямо от дължината на изолаторите.

По-малко известна, но почти идеална линия с успоредни проводници е четирипроводната захранваща линия. Тя се състои от 4 отделни проводника, които са успоредни един на друг и са разположени по периферията на шайба от изолационен материал на равни раз-

стояния или в четирите ъгъла на един квадрат. Пластмасовите шайби (могат да се използват изолатори и с форма на кръст) имат същата задача, както изолаторите при откритата двупроводна линия. Те трябва да поддържат четирите проводника на еднакви разстояния от центъра на шайбата.

В началото и в края на тази линия двата срещуположни проводника се свързват един с друг ( $a_1$  с  $a_2$  и  $b_1$  с  $b_2$ , фиг. 5.15). По този начин се имитират електрическите функции на една симетрична двупроводна линия. И в този случай диаметърът на шайбите, съответно разстоянието между проводниците, се избира между 5 и 15 cm. Четирипроводните линии от този вид имат по-малко вълново съпротивление от обикновените двупроводни линии при еднакви разстояния между проводниците ( $Z$  е от 180 до 280  $\Omega$ ).

Четирипроводните линии имат различна симетрия и малки загуби от излъчване. Освен това те не са така чувствителни спрямо влиянието на околните обекти, както сравнимите с тях двупроводни линии. От фиг. 5.15 може да се отчете вълновото съпротивление на четирипроводни линии за различни диаметри на отделните проводници в зависимост от разстоянието между проводниците по диагонал ( $D$ ).

Радиолюбителите би трябвало да използват продаваните УКВ лентови кабели само като изключение, защото са известни техните недостатъци. Това е допустимо например при експлоатация на портативна апаратура.

Най-добрата, макар и най-скъпа захранваща линия, която могат да използват радиолюбителите, е коаксиалният кабел. Електрическите предимства на коаксиалния кабел вече бяха описани. Освен това той може да се инсталира, както мрежовите кабели, а при непокътната външна защитна обвивка — да се полага в земята. Трябва да се избягват резки промени в посоката, защото вътрешният проводник може да се измести. Кабелите, жилото на които представлява многожичен проводник, са извънредно гъвкави, но имат по-големи загуби от тези кабели, чието жило представлява единичен кръгъл проводник. Влагата, проникнала в един коаксиален кабел, не може да се отстрани и той става неизползваем.



### 3.1.6. Означение на високочестотните кабели

Съкратеното означение на типа на кабела се извършва съгласно публикация 78 на IEC. Според това ново съкратено означение първите цифри дават вълновото съпротивление на кабела в  $\Omega$ .

При коаксиалните кабели второто число, разположено след чертичката, означава диаметъра на диелектрика, закръглен до цяло число милиметри. Третата цифра е пореден номер по аленоръка 96-2 на IEC.

#### Пример

Кабел тип 60-10-3

Това означава:

60—вълново съпротивление 60  $\Omega$ ;

10—диаметър на диелектрика 10 mm;

3—пореден номер по IEC.

Ако коаксиалният кабел има външно защитно покритие, което се различава от нормалното изпълнение с обикновена PVC-обвивка, означението се продължава след точка зад поредния номер:

.0 — изпълнение без защитна обвивка;

.3 — изпълнение с пластмасова защитна обвивка и армиране;

.4 — изпълнение с пластмасова защитна обвивка, армиране и втора външна пластмасова защитна обвивка;

.40 — изпълнение с пластмасова защитна обвивка, екранировка и втора външна пластмасова защитна обвивка.

При симетричните високочестотни кабели след указанието за вълновото съпротивление (първото число) се поставя една буква за различаване на формата на напречното сечение на кабела.

Буквите означават:

A — неширован симетричен високочестотен кабел с тънък свързващ диелектричен слой между двата изолирани проводника;

B — неширован симетричен високочестотен кабел с постоянна дебелина на диелектрика, с който са обвити двата проводника;

C — неширован симетричен високочестотен кабел с диелектрик с форма на шлаук;

D — широман симетричен високочестотен кабел.

След буквата за означаване на сечението на кабела при нешированите симетрични високочестотни кабели се поставя една цифра, която означава разстоянието между двата проводника. При широманите симетрични високочестотни кабели с тази цифра (както при коаксиалните кабели) се дава диаметърът на диелектрика.

Накрая следват поредният номер и цифрите за означаване на външното защитно покритие. Означението е същото, както при високочестотните коаксиални кабели.

#### Пример

Високочестотен кабел тип 300A7-1

Това означава:

300 — вълново съпротивление 300  $\Omega$ ;

A — неширован симетричен високочестотен кабел с тънък свързващ диелектричен слой между двата изолирани проводника;

7 — разстояние между проводниците приблизително 7 mm;

1 — пореден номер според аленоръките на IEC.

### 5.1.7. Еднопроводна линия (линия на Губо)

За пренасяне на високочестотна енергия на по-големи разстояния с малки загуби понякога се използва еднопроводна линия. Тя е известна като *линия на Губо*, наречена така на името на своя откривател, физика от немски произход доктор *Георг Губо*.

Линията с повърхностни вълни има удивително проста конструкция. Тя се състои само от един метален проводник, който е обвит с един повече или по-малко дебел слой диелектрик (фиг. 5.16).

Изоляционният материал, обвиващ проводника, предизвиква едно концентриране на електромагнитното поле около проводника. Както е известно, скоростта на разпространение на високочестотните вълни в изоляционен ма-

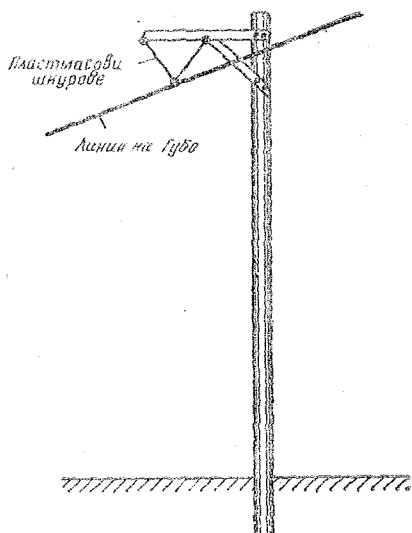


Фиг. 5.16. Конструкция на линията на Губо

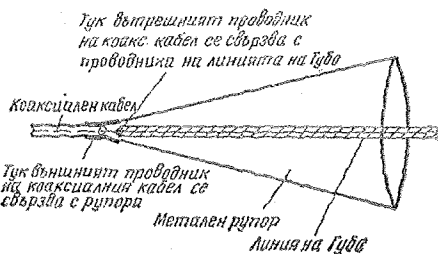
териал е по-малка, отколкото в окръжаващия го въздух. Действието на диелектричната обвивка около проводника може да се представи, като се приеме, че тя задържа електромагнитното поле в близост до себе си. В диелектрика на пластмасовата обвивка се разпространява една съвсем незначителна част от енергията на полето; много по-голямата част протича през въздушното пространство, обвиващо проводника. В зависимост от конструкцията на линията (диаметър на металния вътрешен проводник, вид и диаметър на обвиващия пластмасов диелектрик) енергията на полето се пренася през едно цилиндрично въздушно пространство около проводника, което има радиус 2 до 3 дължини на вълната. Напрегнатостта на полето около проводника обаче спада бързо и почти 90% от предаваната енергия протича във въздушното пространство около проводника, което има радиус 0,7  $\lambda$ . Предаването на енергията през въздушното пространство става практически без излъчване и затова при използването на линия на Губо се постига извънредно малко затихване на сигнала. Естествено предпоставка за едно такова разпространение на вълните без загуби е във въздушното пространство около линията да няма метални и по-големи диелектрични предмети. Диаметърът на въздушното пространство, в което се предава повече от 90% от цялата енергия, се нарича граничен диаметър.

Линията на Губо би трябвало да се прокарва по възможност праволинейно. Допустими са промени на посоката с ъгъл на отгъване до 20°. Целесъобразно е линиите с повърхностни вълни да бъдат окачвани на дървени мачти с напречни конзоли, както е показано на фигура 5.17. Линията се поддържа на съответното разстояние от носачите чрез V-образни шнурове. Тя представлява една несиметрична система и за-

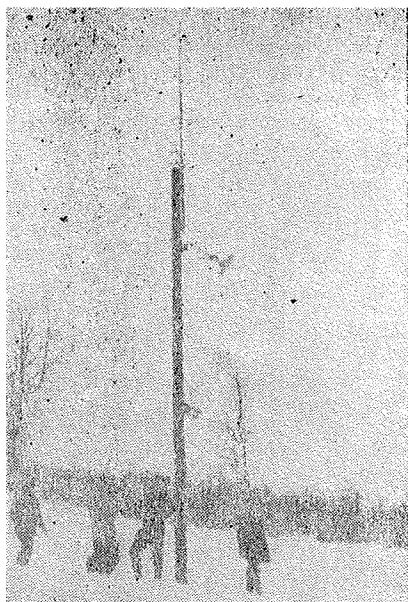
това е логично свързването към източника на енергия да се извърши чрез късо парче коаксиален кабел. Това става чрез един металически рупор (фиг. 5.18). Външният проводник на коаксиалния кабел се запоява към рупора, а жилото на кабела се свързва с проводника на линията на Губо в дъното на рупора. Загубите от свързването са незначителни, когато размерите на рупора са достатъчно големи. Особено благоприятни резултати са постигнати при дължина на рупора 1  $\lambda$  и диаметър около  $\lambda/2$ .



Фиг. 5.17. Правилно закрепване на линия на Губо



Фиг. 5.18. Преход от коаксиален кабел към линия на Губо



Фиг. 5.19. Практическо изпълнение на линия на Губо с експоненциални рупори

Таблица 5.3. Стойности на затихването при различни захранващи линии

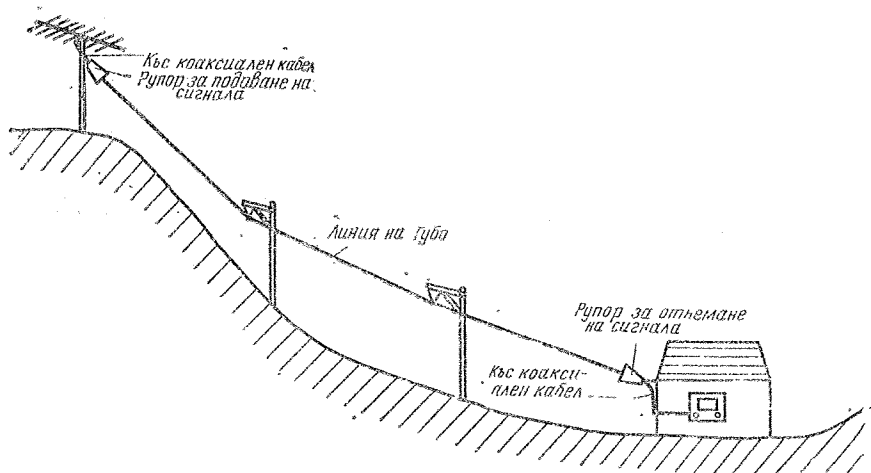
Вид на линията	Затихване в Np/km при 200 MHz
<b>Линии на Губо</b>	
Диаметър на външната обвивка 25 mm	0,25
Диаметър на външната обвивка 10 mm	0,60
Диаметър на външната обвивка 8 mm	0,70
Диаметър на външната обвивка 5 mm	0,92
<b>Коаксиални кабели</b>	
Висококачествен коаксиален кабел, диаметър на външната обвивка 22 mm, за изолация между двата проводника служи диелектрична спирала	4,30
Добър коаксиален кабел с изолация от плътен диелектрик	9 ... 15
Високофреkwтотни лентови кабели (УКВ-лентови линии), екранирани, симетрични кабели	9 ... 30

Таблица 5.4. Линии на Губо, произвеждани от VEB Kabelwerk Vacha

Линия на Губо	Тип 2/5—9109.0	Тип 4/10—9111.0
Проводник	Кръгъл меден проводник с диаметър 2 mm	Кръгъл меден проводник с диаметър 4 mm
Диелектрик	Полиетилен, диаметър 5 mm	Полиетилен, диаметър 10 mm
Средно затихване при:		
150 MHz	0,77 Np/km	0,50 Np/km
200 MHz	0,95 Np/km	0,63 Np/km
250 MHz	1,10 Np/km	0,76 Np/km
500 MHz	2,00 Np/km	1,40 Np/km
Граничен диаметър при:		
150 MHz	2,3 m	2,1 m
200 MHz	1,6 m	1,5 m
250 MHz	1,3 m	1,2 m
500 MHz	0,6 m	0,56 m

Добре работят експоненциалните рупори. С тях се постигат по-малки загуби при свързване, отколкото при един нормален рупор. Експоненциалната форма осигурява плавно преминаване от коаксиалния кабел към линията на Губо. На фиг. 5.19 е показано практическото изпълнение на линия на Губо с експоненциални рупори. Тази система служи за снабдяване с телевизионна програма на едно село, разположено в планинска долина. Приемната антена се намира на един връх, приетият телевизионен сигнал се усилва от усилвател в антенната мачта до

необходимото ниво и след това се подава по линията на Губо към отделните телевизионни абонати. Отнемането на сигнала става съвсем просто чрез един дипол, свързан към линията. Много заключения могат да се направят от едно сравнение на стойностите на затихването на сигнала по линия на Губо и по продаваните коаксиални кабели и симетрични кабели с пластмасов диелектрик. От таблица 5.3 се виждат минималните загуби на линията на Губо. VEB Kabelwerk Vacha произвежда два типа линии на Губо. Те служат предимно за свързване на далеч



Фиг. 5.20. Пример за приложение на линия на Губо

разположени приемни телевизионни антени с приемниците на абонатите в зони с неблагоприятни условия за приемане. Тип 2/5-9109.0 се използва в области с нормални климатични условия; при по-голяма височина, където може да се очаква залежаване и силно заскрежаване, би трябвало да се предпочете типът 4/10-9111.0.

Основните технически параметри на тези линии са дадени в таблица 5.4.

Посоченото затихване се отнася за самата линия, без да се вземат пред вид свързващите рупори. Затихването е по-голямо при повишена влажност, съответно при покриване на линията със слой лед или скреж. Заводът-производител препоръчва диаметърът на най-широката част на конусообразния свързващ рупор да бъде най-малко 68% от граничния диаметър. В настоящия момент се експлоатират многобройни линии на Губо с дължина до 20 km. Те служат главно за осигуряване на телевизионна програма в отдалечени планински местности.

Използването на линии на Губо има много предимства, когато по тях се пренася енергията на един УКВ-предавател към предавателните антени, разположени на висока мачта. Може да се предвиди, че линията с повърхностни вълни ще придобие особено значение за ядимеретовия обхват (IV и V телевизионен обхват). В много случаи радио-

любителите, работещи в УКВ- и телевизионния обхват, също могат да използват нейните предимства.

Възможно е например със сравнително малко разходи антената да се монтира на благоприятна за приемане на сигнала височина и да се използва линия на Губо с дължина няколкостотин метра, за да се пренесе сигнал до приемник, разположен в долина, неудобна за радиовръзки (фиг. 5.20).

Освен това еднопроводната линия днес се използва и като захранваща линия с малки загуби за УКВ- и телевизионните предаватели във II, III и IV обхват. Особено интересно е използването на линията на Губо като изкуствена антена. Ако една еднопроводна линия, дълга най-малко 20 дължини на вълната, се приближи постепенно до диелектрик с големи загуби, повърхностната вълна се поглъща почти напълно. такива диелектрици с големи загуби са например бетонът, циментът, какълът, глината, хумусът, пясъкът.

Трябва да се отбележи, че диелектричната обвивка на линиите на Губо най-често се състои от пластмаси на *полиетиленова* основа. При това диаметърът на металния проводник се отнася към външния диаметър на диелектричната обвивка, както 1:2,5. Тъй като *полиетиленът* старее при продължително излагане на слънчево лъчение,

този материал често се пигментира със сажди и с това се създава ефективна защита срещу стареене. С такива мерки обаче се влошават диелектричните свойства на полистилена и загубите по линията се увеличават. Затова в последно време примес от сажди се прибавя само в най-външния слой на полиетиленовата обвивка и така се получава линия на Губо, която е много устойчива на стареене, а затихването не се увеличава забележимо. При първоначалните ориентировъчни опити радиолубителите могат да използват прости, изолирани с пластмаса медни проводници. Тези „спомогателни“ линии на Губо обаче имат доста голямо поле на разсейване и по-голямо затихване.

## 5.2. Физически свойства на високочестотните кабели

Най-голямата възможна мощност се предава само тогава, когато импедансът на генератора  $R_1$  (напр. крайното състояние на предавателя) е съгласуван с импеданса на консуматора  $R_a$  (напр. антената). Захранващата линия, която служи за пренасяне на енергията, също трябва да удовлетворява условията за съгласуване. Нейното вълново съпротивление  $Z$  трябва да бъде равно на  $R_1$  и  $R_a$ :

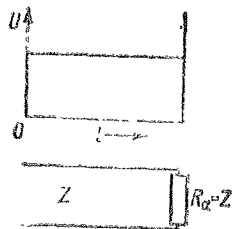
$$Z = R_1 = R_a. \quad (5.14)$$

В този случай при съгласуване загубите при пренасяне на енергията се състоят само от загуби в медта (в проводника) и от диелектрични загуби.

### 5.2.1. Разпределение на напрежението по дължината на двупроводната линия

Ако една двупроводна линия е натоварена на края с товарно съпротивление  $R_a$ , което е равно на импеданса на линията  $Z$ , мощността, предавана по линията, се консумира без остатък в товарното съпротивление. При това напрежението (с това и токът) във всички точки на линията има постоянна стойност. Този случай на съгласуване е показан на фиг. 5.21.

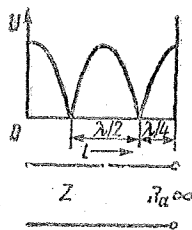
Когато съпротивлението в края на линията се отстрани, отвореният край



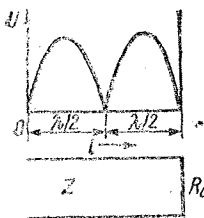
Фиг. 5.21  
Разпределение на напрежението при съгласуваната двупроводна линия ( $R_a = Z$ )

на линията представлява за тока един безкрайно голям съпротивление ( $R_a = \infty$ ). Вълната, разпространяваща се от предавателя към края на линията, не намира там консуматор и затова се отразява отново към изходния си пункт (фиг. 5.22). Така по линията възникват една падаща и една отразена вълна. Поради крайното време на разпространение падащата и отразената вълна се наслагват. По този начин се получават максимуми и минимуми на напрежението, разпределени по дължината на линията, като в отворения край на линията винаги има максимум на напрежение (фиг. 5.22). За разпределението на тока са в сила същите разсъждения. В отворения край на линията не може да протече никакъв ток, затова там има минимум на тока (съответно нула на тока). Следователно при максимум на напрежението съществува минимум на тока и обратно. Тъй като в случая се касае за вълново движение, казва се, че токът и напрежението са изместени на  $90^\circ$ . На всеки  $\lambda/4$  разстояние максимумите на напрежението и тока се разменят в съответствие със синусоидалното разпределение. Тази вълнообразност на разпределението на тока и напрежението по линията се нарича *стояща вълна*.

В една линия стоящи вълни възникват винаги когато съществуват отразени вълни. При това напрежението във всяка зададена точка на линията е



Фиг. 5.22. Разпределение на напрежението при двупроводна линия, отворена на края (празен ход,  $R_a = \infty$ )



Фиг. 5.23  
Разпределение на напрежението при двупроводна линия, дадена на края на късо (късо съединение,  $R_a=0$ )

равно на векторната сума на напреженията на падащата и отразената вълна. Векторното представяне се базира на кривата на разпространение на електромагнитните вълни в зависимост от времето (вж. фиг. 1.1). Разпределението на тока и напрежението на стоящите вълни се определя от моментните фазови съотношения на падащата и отразената вълна, които зависят от времето на разпространение. Импедансът във всяка точка на захранващата линия е равен на отношението на напрежението и тока. Пулсациите на напрежението по дължината на една линия се изразяват чрез *коэффициента на стоящи вълни*  $s$ . Той представлява отношението на най-голямото напрежение по линията към най-малкото напрежение по линията:

$$s = \frac{U_{\max}}{U_{\min}} \quad (5.15)$$

където  $s$  винаги е по-голям от 1.

В случая на съгласуване в линията съществува само падаща вълна, тъй като няма отразяване от товарното съпротивление  $R_a$ . Затова няма и пулсации и коефициентът на стоящи вълни  $s$  е равен на 1. Реципрочната стойност

на коефициента на стоящи вълни се нарича *коэффициент на бягащи вълни*  $m$ :

$$m = \frac{U_{\min}}{U_{\max}} \quad (5.16)$$

където  $m$  винаги е по-малък от 1.

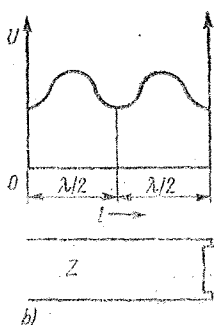
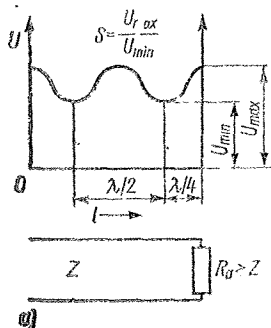
Съществува и следната взаимна зависимост:

$$m = \frac{1}{s} \quad \text{и} \quad s = \frac{1}{m}$$

При една линия, дадена на края на късо, максимумите и минимумите на напрежение се изместват на  $\lambda/4$  спрямо мястото им при линия, отворена на края. Това е така, защото при късо съединение ( $R_a=0$ ) не може да има пад на напрежение (фиг. 5.23).

Празен ход и късо съединение са двата крайни случая на натоварване в края на линията. Те се познават по това, че на всеки  $\lambda/2$  от дължината на линията има изразен минимум на напрежение.

По-нататък ще бъде изследван ходът на напрежението, в случай че товарното съпротивление  $R_a$  не е нито 0 (късо съединение), нито безкрайно голямо (празен ход). На фиг. 5.24а е показана кривата на напрежението за случай, в който товарното съпротивление  $R_a$  е по-голямо от вълновото съпротивление на линията  $Z$ . Сега не се получава пълно отразяване, защото една по-голяма или по-малка част от енергията се изразходва в товарното съпротивление. Към входа се отразяват само „излишните“ части енергия, които  $R_a$  не може да погълне поради съществуващото разсъгласуване ( $R_a > Z$ ), и те предизвикват появата на стоящи



Фиг. 5.24  
Разпределение на напрежението при разсъгласуване двупроводна линия: а— $R_a > Z$ , б— $R_a < Z$

вълни. Отношението на максимума на напрежение към минимума на напрежението — коефициентът на стоящи вълни — обаче е много по-малко, отколкото в случай на късо съединение или празен ход, и напрежението няма нулеви стойности.

Случаят  $R_a < Z$  е представен на фиг. 5.24 б. Вижда се, че в края на линията има минимум на напрежението, докато съгласно фиг. 5.24 а там има максимум на напрежение ( $R_a > Z$ ). Коефициентът на отражение показва каква част от енергията се отразява от края на линията. Той се получава от

$$r = \frac{\frac{R_a}{Z} - 1}{\frac{R_a}{Z} + 1} \quad (5.17)$$

или

$$r = \frac{R_a - Z}{R_a + Z}, \quad (5.18)$$

където  $Z$  е вълновото съпротивление на линията, а  $R_a$  — товарното съпротивление в края на линията. Ако съпротивлението в края на линията е чисто активно ( $Z$  няма реактивни съставки), тогава  $r$  също не е комплексно число.  $r$  е положително число, когато  $R_a > Z$ , и отрицателно — когато  $R_a < Z$ .

#### Пример

Една захранваща линия с вълново съпротивление  $240 \Omega$  е натоварена с предавателна антена с активно входно съпротивление  $480 \Omega$ . Коефициентът на отражение се пресмята по (5.17):

$$r = \frac{\frac{480}{240} - 1}{\frac{480}{240} + 1} = \frac{2 - 1}{2 + 1} = \frac{1}{3},$$

или  $r \approx +0,33$ .

Следователно амплитудата на отразената вълна възлиза на  $1/3$  или  $0,33$  от амплитудата на падащата вълна и има същия поляритет (знакът пред  $r$  е  $+$ ,  $R_a > Z$ ).

Ако съпротивлението в края на същата линия беше само  $60 \Omega$ ,

коефициентът на отражение щеше да бъде

$$r = \frac{\frac{60}{240} - 1}{\frac{60}{240} + 1} = \frac{0,25 - 1}{0,25 + 1} = \frac{-0,75}{1,25} = -0,6,$$

или  $r = -0,6$ .

Накрая ще бъде разгледан случаят, в който  $R_a = Z = 240 \Omega$ . Тогава

$$r = \frac{\frac{240}{240} - 1}{\frac{240}{240} + 1} = \frac{1 - 1}{1 + 1} = \frac{0}{2} = 0.$$

Коефициент на отражение 0 означава, че няма отразена вълна и пулсация на напрежението по линията.

Между бездименсионните коефициенти  $s$ ,  $m$  и  $r$  съществуват и следните зависимости, от които се вижда взаимната им връзка:

$$s = \frac{1 + r}{1 - r}, \quad (5.19)$$

както и

$$m = \frac{1 - r}{1 + r} \quad (5.20)$$

и

$$r = \frac{1 - m}{1 + m}. \quad (5.21)$$

Когато  $R_a$  е по-малко от  $Z$ , се получава

$$s = \frac{Z}{R_a} \quad (5.22)$$

и

$$m = \frac{R_a}{Z}. \quad (5.23)$$

Ако, обратно,  $R_a > Z$ , тогава

$$s = \frac{R_a}{Z} \quad (5.24)$$

и

$$m = \frac{Z}{R_a}. \quad (5.25)$$



Когато линията е натоварена на края с чисто реактивно съпротивление, каквото представлява капацитетът или индуктивността, разпределението на напрежението е същото, както при линия, отворена на края, или при линия, дадена на късо, защото реактивното съпротивление не консумира енергия, то я отразява. Кривата на напрежението само се измества по дължината на линията така, че напрежението в края на линията съответствува на пада на напрежението върху кондензатора или бобината.

Генераторът и товарът имат както активно, така и реактивно съпротивление. Реактивните съпротивления се означават със символа  $X$ . Те могат да имат положителен знак (индуктивно реактивно съпротивление,  $X_L$ ) или отрицателен знак (капацитивно реактивно съпротивление,  $X_C$ ).

Реактивните съпротивления пречат на съгласуването, защото предизвикват отражения и с това намаляват коефициента на полезно действие при предаването на енергията. Реактивните съставки на импеданса на крайното съгласуване могат да се отстранят чрез съответната настройка. Входното съпротивление на антената има реактивни компоненти, когато тя не е настроена в резонанс с възбуждащата честота. В такъв случай или антената трябва да

се настрои в резонанс чрез промяна на дължината ѝ, или съществуващото напрежение да се компенсира с индуктивност и обратно. Пълно съгласуване е възможно едва тогава, когато реактивните съставки са отстранени или компенсирани.

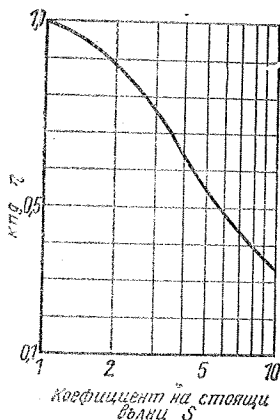
## 5.2.2. Допълнителни загуби на мощност от стоящи вълни и непреднамерено излъчване

Загубите на мощност в една захранваща линия нарастват с увеличаване на пулсациите на напрежението. Тези загуби се сумират с разгледаните в раздел 5.1.4. загуби от затихване на сигнала във високочестотните кабели. Допълнителните загуби, предизвикани от неправилно съгласуване, могат да бъдат изведени от формулата за коефициента на стоящи вълни (5.15). Допълнителните загуби се определят от израза

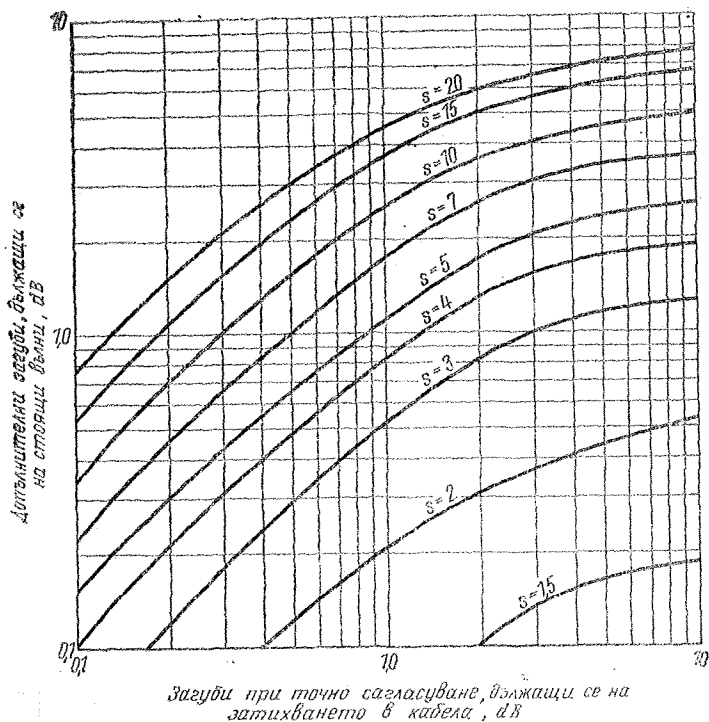
$$dB = 10 \lg \frac{(1+s)^2}{4s} \quad (5.26)$$

Все пак при малко несъгласуване тези допълнителни загуби са така незначителни, че се пренебрегват в повечето практически случаи. Това показва и диаграмата (фиг. 5.25), от която за коефициент на стоящи вълни  $s$  от 1,5 се отчита коефициент на полезно действие при пренасянето на енергия  $\eta = 0,95$ .

Общите загуби в dB, които възникват в една захранваща линия при неправилно съгласуване, могат да се отчетат от фиг. 5.26. За целта отначало се определят загубите на самата линия в dB. Това са неизбежните загуби от затихването на сигнала, които съществуват и при напълно съгласувана линия. Това честотно зависимо затихване се дава в каталозите на завода—производител на кабела. Върху хоризонталната ос на фиг. 5.26 се търси точката, която съответствува на стойността на затихването в dB, след това от тази точка се издига перпендикуляр до пресичането с кривата, означена със съществуващия в линията коефициент на стоящи вълни  $s$ . От пресечната точка се прекарва хоризонтална линия до ординатната ос, откъдето се отчитат (в dB) допълнителните загуби, предизвикани от неправилно съгласуване.



Фиг. 5.25. Коефициент на полезно действие при пренасяне на енергията в зависимост от разсъгласуването между генератора и консуматора



Фиг. 5.26. Допълнителни загуби в линията, предизвикани от неправилно съгласуване

### Пример

Една предавателна антена се захранва с коаксиален кабел, дълъг 20 м. При една определена честота затихването на сигнала в кабела по каталог е 10 Np/km. Налице е неправилно съгласуване с коефициент на стоящи вълни  $s=3$ . Колко големи са общите загуби в dB?

При дължина на кабела 20 m затихването в него е

$$10 \cdot \frac{20}{1000} = 0,2 \text{ Np}$$

$$(1 \text{ Np} = 8,686 \text{ dB})$$

$$0,2 \text{ Np} = 8,686 \cdot 0,2 = 1,75 \text{ dB.}$$

Загубите на самия кабел, които се получават при точно съгласуване, възлизат на 1,75 dB.

От кривите на фиг. 5.26 може да се отчете, че при затихване на сигнала в

кабела 1,75 dB (хоризонталната ос) и коефициент на стоящи вълни  $s=3$  трябва да се има пред вид и допълнителна загуба, предизвикана от стоящите вълни, със стойност 0,75 dB (вертикална ос).

Общите загуби възлизат следователно на  $1,75 \text{ dB} + 0,75 \text{ dB} = 2,5 \text{ dB}$ .

По-нататък от фиг. 5.25 се вижда, че при общи загуби 2,5 dB от антената се излъчва едва 55% от мощността, подадена в началото на кабела.

Двупроводните линии, по които се предават високи честоти, са склонни да действуват като антени. Енергията, излъчена от тях в околното пространство, не допринася, общо взето, с нищо за увеличаване на полето в далечната зона; напротив, когато полето на една излъчваща захранваща линия се пресича с това на антената, се получават нежелателни изменения в насоченото действие на антената и допълнителни загуби. Както вече беше споменато,

излъчващите захранващи линии могат да предизвикат освен това и смущения на радио- и телевизионното приемане.

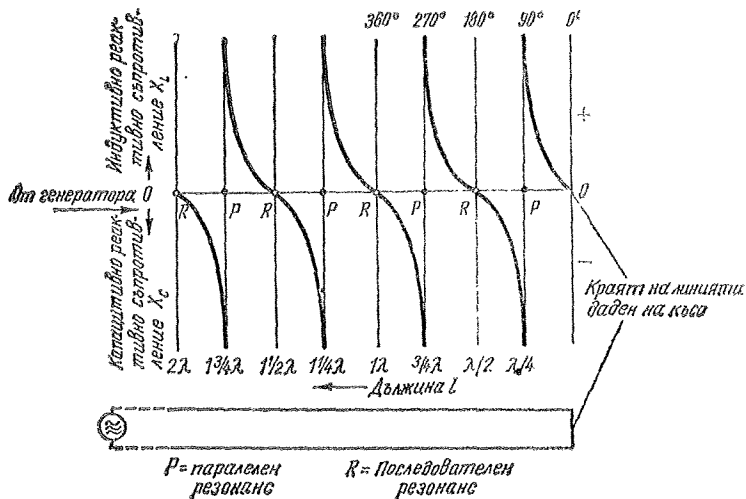
От една страна, нежеланото излъчване на захранващите линии зависи от степента на несъгласуваност — то се увеличава с нарастване на коефициента на стоящи вълни. От друга страна, дори пълноно съгласувана захранваща линия излъчва част от подаваната енергия.

Една двупроводна линия е симетрична спрямо земята, двата отделни проводника имат еднакво сечение и еднакво разположение над земната повърхност. Затова токовете, протичащи по двата проводника, са еднакво големи, но с противоположна полярност. Магнитните полета, породени от тези токове, също са противоположни. Те биха се компенсирали напълно, ако двата проводника съвпаднаха един с друг в пространството — нещо, което на практика никога не става. Тъй като двата проводника винаги са разположени в пространството на известно разстояние един от друг, компенсацията на магнитните им полета не е пълна. Загубите излъчване на двупроводната линия нараства пропорционално на квадрата на разстоянието между про-

водниците и на работната честота. Това означава, че разстоянието между проводниците трябва да намалява при нарастване на използваната честота.

В раздел 5.1.5. вече бяха дадени практически указания за саморъчна направа и целесъобразното прокарване на двупроводни линии при отчитане на загубите от излъчване.

Коаксиалните кабели са изгодни по отношение на загубите от излъчване, защото при тяхната конструкция (с аксиална симетрия) едно излъчване на енергията навън е малко вероятно. Действително в този случай също могат да се появят така наречените *повърхностни вълни*. Това са компенсационни токове, които протичат по външния проводник на кабела, при което обвивката на кабела излъчва енергия. Повърхностни вълни възникват при несиметрия, например когато една симетрична антена е свързана направо към един несиметричен кабел или когато целият комплекс — антена и захранващ коаксиален кабел — е в резонанс с възбуждащата честота (резонанс на висша хармонична) и затова като цяло излъчва. Тук би могло да се помогне с изменяне на дължината на кабела.



Фиг. 5.27. Имгеданс на двупроводна линия, дадена на края на въс, в зависимост от дължината на линията  $l$ , изразена в  $\lambda$ .

### 5.2.3. Двупроводната линия като настройващ елемент

Вече беше установено, че когато една линия не е натоварена със съпротивление, равно на нейното вълново съпротивление  $Z$ , по нея се образуват стоящи вълни. Те представляват максимуми на ток и напрежение, изместени по фаза един спрямо друг. Затова за всяка точка от линията може да се изчисли импеданс (частно от напрежение и ток). Фазовата разлика между тока и напрежението предизвиква появата и на реактивно съпротивление. В зависимост от посоката на фазовото изместване то може да има индуктивен ( $X_L$ ) или капацитивен ( $X_C$ ) характер.

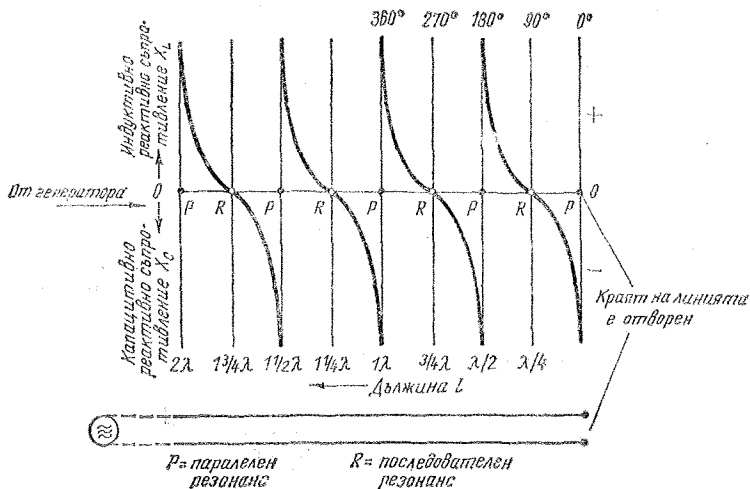
На фиг. 5.27 са показани кривите на импеданса на двупроводна линия, дадена накрая на късо, в зависимост от дължината на линията в  $\lambda$ . При това (както обикновено) индуктивните компоненти са нанесени над нулевата линия (+), а капацитивните (—) — под нея. Изхождайки от свързания на късо край на линията, импедансът нараства в областта на индуктивните съпротивления и на разстояние  $\lambda/4$  от края на линията достига една почти безкрайна стойност. Тъй като обаче в същата точка съществува и точно толкова голямо капацитивно съпротивление, им-

педансът няма нито индуктивен, нито капацитивен характер, а представлява едно много голямо активно съпротивление. Може също така да се каже, че на разстояние  $\lambda/4$  от късото съединение едно индуктивно реактивно съпротивление  $X_L$  е свързано паралелно към капацитивно реактивно съпротивление  $X_C$ , като двете съпротивления са равни по абсолютна стойност. Едно такова свързване в същност представлява известният паралелен резонансен кръг и една двупроводна линия с дължина  $\lambda/4$ , свързана на късо на края, има всички свойства на паралелен трептящ кръг.

Капацитивното реактивно съпротивление в областта между  $\lambda/4$  и  $\lambda/2$  достига нулева стойност при  $\lambda/2$  и отново става чисто активно, но теоретически неговата стойност е 0. На една двупроводна линия с дължина  $\lambda/2$ , свързана на късо на края, могат да бъдат приписани всички свойства на последователен резонансен кръг.

Във връзка с тези определения може да се добави, че проходимото съпротивление в лентата на пропускане на един последователен резонансен кръг без загуби също така е нула, докато това на паралелния резонансен кръг без загуби е безкрайно голямо.

Кривите на импеданса се повтарят



Фиг. 5.28. Импеданс на двупроводна линия, отворена на край, в зависимост от дължината на линията  $L$ , изразена в

Линия, дадена на края на къса			Линия, отворена на края		
Електрическа дължина на линията	Разпределение на напреженията по линията	Действащо като	Електрическа дължина на линията	Разпределение на напреженията по линията	Действащо като
По къса от $\lambda/4$ ( $< 90^\circ$ )			По къса от $\lambda/4$ ( $< 90^\circ$ )		
$\Delta \lambda/4$ ( $= 90^\circ$ )			$\Delta \lambda/4$ ( $= 90^\circ$ )		
По дълга от $\lambda/4$ , по къса от $\lambda/2$ ( $> 90^\circ, < 180^\circ$ )			По дълга от $\lambda/4$ , по къса от $\lambda/2$ ( $> 90^\circ, < 180^\circ$ )		
$\Delta \lambda/2$ ( $= 180^\circ$ )			$\Delta \lambda/2$ ( $= 180^\circ$ )		

Фиг. 5.29. Отворена и затворена линия с дължина, по-малка от  $\lambda/2$ , използвана като настройващ елемент

в същия ред. Една двупроводна линия, свързана накрая на късо, може да бъде разглеждана в зависимост от дължината ѝ по отношение на  $\lambda$  като индуктивност, като капацитет, като последователен резонансен кръг или като паралелен резонансен кръг.

Една двупроводна линия, отворена на края, има аналогични свойства. При нея кривите на импеданса само са изместени на  $90^\circ$  спрямо тях на двупроводна линия, дадена накрая на късо (фиг. 5.28). В отворения край на линията се намира едно почти безкрайно голямо капацитивно реактивно съпротивление, което достига нулевата стойност при  $\lambda/4$ . Там линията представлява един последователен резонансен кръг (импедансът е чисто активен). Между  $\lambda/4$  и  $\lambda/2$  реактивното съпротивление е индуктивно, при  $\lambda/2$  отново се получава паралелен резонанс и т. н.

Отрязъците от линията, които се използват като части от схема (индуктивност, капацитет или кръг), обикновено имат дължина, по-малка или равна на  $\lambda/4$ ; така могат да се постигнат всички желани резултати. Ако например е необходима индуктивност, взема се една двупроводна линия, свър-

зана накрая на късо, с дължина  $\lambda/4$ . Ако същата линия е отворена накрая, получава се капацитет. На края, с една двупроводна линия, свързана на края на късо, която има електрическа дължина точно  $\lambda/4$ , се получава паралелен резонансен кръг. При отворена накрая линия този кръг се преобразува в последователен резонансен кръг.

На фиг. 5.29 още веднъж в по-нагледна форма са показани свойствата на отворената и затворената двупроводна линия като настройващ елемент. Областта на приложение на такива линии е много широка. Както ще бъде показано по-късно, с използването им могат да бъдат компенсирани реактивни съпротивления и да се трансформират импеданси.

Когато отрязък от линията се използва като реактивно съпротивление, стойността на това съпротивление зависи от електрическата дължина на линията  $l$  и от нейното вълново съпротивление  $Z$ . При предположение, че линията няма загуби или пък те са съвсем малки, индуктивното съпротивление за отрязък с дължина  $\lambda/4$ , свързан на късо накрая, се изчислява по формулата

$$X_L = Z \operatorname{tg} l, \quad (5.27)$$

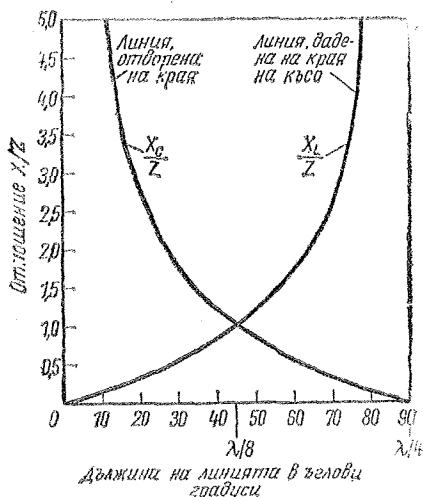
където  $X_L$  е в  $\Omega$ .

Дължината  $l$  при това се изразява в ълови градуси (вж. фиг. 1.1). От това равенство следва още едно важно заключение: тъй като тангенсът от ъгъл  $45^\circ$  е 1, съпротивлението  $X_L$  в точката, отдалечена на  $45^\circ$  ( $\lambda/8$ ) от късото съединение, винаги е равно на вълновото съпротивление  $Z$  на линията.

По аналогичен начин капацитивното реактивно съпротивление на двупроводна линия с дължина  $\lambda/4$ , отворена накрая, се получава от

$$X_C = ZC \operatorname{ctg} l. \quad (5.28)$$

Понеже котангенсът от ъгъл  $45^\circ$  също е равен на 1,  $X_C$  на разстояние  $\lambda/8$  от отворения край на линията е равно на  $Z$ . Като са използвани (5.27) и (5.28), е построена фиг. 5.30, от която се вижда стойността на реактивното съпротивление на отрязък от двупроводна линия с дължина  $\lambda/4$  в зависимост от електрическата дължина (изразена в ълови градуси). Тази стойност се получава като отношение  $X/Z$  за отворена ( $X_C$ ) и далена накъсо ( $X_L$ ) линия.



Фиг. 5.30. Номограма за определяне на реактивното съпротивление на двупроводна линия с дължина, по-малка от  $\lambda/4$ , отворена или далена накрая накъсо, в зависимост от вълновото съпротивление и дължината на линията, изразена в ълови градуси

## Пример

Един отрязък от двупроводна линия с вълново съпротивление  $400 \Omega$  има електрическа дължина  $\lambda/12 = 30^\circ$  и е свързан накрая накъсо. Трябва да се определи индуктивното съпротивление  $X_L$ .

От точката  $30^\circ$ , намираща се върху абсцисната ос, се издига перпендикуляр до пресичането му с кривата  $X_L$ . На една и съща височина с пресечната точка върху ординатната ос се намира стойността на  $X/Z \approx 0.6$ . Следователно  $X_L = 400 \cdot 0.6 = 240 \Omega$ .

Ако същата линия беше отворена на край, реактивното съпротивление  $X_C$  трябваше да се търси от пресечната точка с кривата  $X_C$  и отношението  $X/Z$  щеше да бъде 1.75. Като резултат би се получило

$$X_C = 400 \cdot 1.75 = 700 \Omega.$$

Разбира се, тези криви могат да се използват и за обратни изчисления. Ако например е нужен отрязък от двупроводна линия, който да има предварително зададено реактивно съпротивление, тогава отначало се пресмята частото от  $X/Z$  и се търси тази стойност върху ординатната ос. От тази точка се прекарва права, успоредна на абсцисата, до пресичането ѝ със съответната крива и след това се намира необходимата дължина на отрязъка в ълови градуси (върху абсцисната ос).

Индуктивностите и капацитетите, еквивалентни на индуктивните или капацитивните реактивни съпротивления, са частотно зависими. Те могат да бъдат изчислени от известните съотношения

$$X_L = \omega L = 2\pi f L \quad (5.29)$$

$$X_C = \frac{1}{\omega C} = \frac{1}{2\pi f C} \quad (5.30)$$

или да бъдат отчетени от съответните номограми (напр. фиг. 6.19 и 6.20).

## 5.3. Видове захранване на антените

Тъй като, общо взето, всяка антена трябва да се постави колкото е възможно по-високо и по-далеч от други

обекти, като правило трябва да се предвиди една повече или по-малко дълга линия за пренасянето на енергия между предавателя, съотв. приемника, и антената. Захранващата линия не е необходима само в изключителни случаи, например при ръчните радиотелефони и приемниците за лов на лисици.

Радиолюбителите могат да използват два начина за захранване на антените — чрез *настроена* линия и чрез *съгласувана* линия. В някои случаи е целесъобразно да се приложи комбинация от настроени и съгласувани линии; в такъв случай може да се говори за *смесено* захранване.

### 5.3.1. Съгласувана захранваща линия

Ако за една захранваща линия е изпълнено условието за съгласуване (формула 5.14), напрежението и токът по линията имат постоянна амплитуда, както е показано на фиг. 5.21. Тъй като в нито една част на линията няма пулсации, няма ограничения за дължината на линията, тогава — поне при коаксиалните кабели — съществува само неизбежното честотно зависимо затихване (вж. раздел 5.1.4).

При симетричните нескранирани двупроводни линии трябва да се имат пред вид и незначителните загуби от излъчване, които бяха описани вече в раздел 5.2.2. По начало предаване на мощност с най-малко загуби при равни други условия може да се осъществи с една точно съгласувана захранваща линия.

Разпространяващите се по една съгласувана линия вълни се наричат също така и *бягащи вълни*. Съгласуваните линии в радиолюбителския речник понякога се наричат „*равни линии*“ (англ.: *Flat-line*), като с това се има пред вид двупроводна линия без стоящи вълни.

Малките неточности в съгласуването рядко могат да бъдат забгнати напълно; в противен случай възникват така наречените *псевдобягащи* вълни. Това са бягащи вълни, към които е насложена по-голяма или по-малка компонента стоящи вълни, приблизително както е показано на фиг. 5.24. За любителски цели в повечето случаи е приемлив коефициент на стоящи вълни до  $s=2$ .

Неточности в съгласуването между

входа на захранващата линия и крайното стъпало на предавателя (съответно входа на приемника) могат да се отстранят лесно, защото съвременните любителски предаватели съдържат винаги леснодостъпни свързващи елементи, които улесняват съгласуването на съпротивленията. Появяващите се реактивни компоненти трябва да се отстранят чрез точна настройка в резонанс на изходния кръг на предавателя.

Свързването на захранващите линии към предавателите е описано в раздел 8. По-трудно или поне по-неудобно е да се отстранят грешките в съгласуването, които съществуват в обикновено труднодостъпните точки на свързване на кабела с антената. Те не се влияят от манипулации, извършвани в този край на кабела, който е свързан откъм предавателя, или поне влиянието не е такова, че пулсациите на напрежението да изчезнат. Затова разсъгласуването, което се предизвиква от антената, също трябва да се отстрани при антената. Това става чрез съгласувачи и трансформирани елементи, които са описани в раздел 6. Съгласуването на съпротивленията води до успех само тогава, когато са отстранени съществуващите индуктивни или капацитивни реактивни компоненти. Те възникват винаги когато антената не е настроена в резонанс с възбуждащата честота. В раздел 6 също така е показано и как могат да се компенсират реактивни компоненти.

Всички типове двупроводни линии могат да се използват като съгласувачи захранващи линии. Това се отнася и за саморъчно направените фидери с определено вълново съпротивление. Най-целесъобразно е използването на коаксиални кабели, които могат да бъдат свързани към симетрични антени (напр. диполи) само чрез симетриращи устройства (вж. раздел 7).

В обхвата на ултракъсите и дециметровите вълни се работи изключително със съгласувани захранващи линии. Съгласуваната линия може да се препоръча като оптимално решение и за еднообхватните антени в късовълновия диапазон. Предавателните антени, които чрез възбуждане с висши хармонични трябва да работят като многообхватни, могат да бъдат захранени със съгласувана линия само в ограничен



Фиг. 5.31. Захранваща линия,  $Z=300 \Omega$

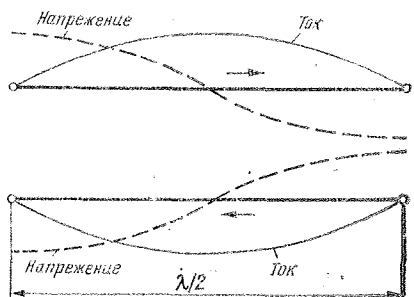
брой случаи. Както ще бъде показано по-късно, при възбуждане на една антена с хармонични на основната честота нейното входно съпротивление и мястото на резонанса се променят, така че точно съгласуване може да бъде нагласено винаги само за един любителски обхват. За всички други обхвати съществуват разсъгласуване и реактивни компоненти. Изходи от подобно положение са дадени в раздел 5.3.3. На фиг. 5.31 като практически пример е представена една саморъчно направена захранваща линия с вълново съпротивление  $300 \Omega$ .

### 5.3.2. Настроена захранваща линия

В раздел 5.2.3 вече беше установено по какъв начин един отрязък от линия действа като настройващ елемент. По-нататък от фиг. 5.27, 5.28 и 5.29 може да се види, че импедансът на една настроена линия става реален във всеки възел на тока и напрежението. Възли на тока и напрежението се образуват един след друг на всеки  $\lambda/4$  от дължината на линията. Затова една линия се означава като *настроена*, когато електрическата ѝ дължина възлиза на  $\lambda/4$ ,  $2\lambda/4$ ,  $3\lambda/4$  и т. н. Въпреки че по една такава линия съществуват стоящи въл-

ни, нейният входен и изходен импеданс е реален (чисто активен).

На фиг. 5.32 е показано разпределението на напрежението и тока по една настроена двупроводна линия, чиято електрическа дължина възлиза на  $\lambda/2$ . Двете стрелки за посоката показват това, че токовете в двата проводника протичат в противоположни посоки, което може да се познае също и от местоположението на максимумите на тока. Както беше казано, двете полета до голяма степен се неутрализират взаимно и излъчването на линията силно намалява. То е толкова по-малко,



Фиг. 5.32. Стоящи вълни в двупроводна линия с електрическа дължина  $\lambda/2$



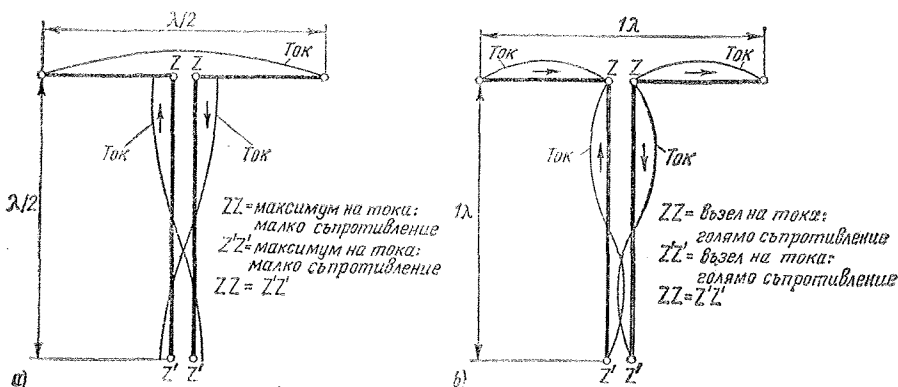
колкото е по-малко разстоянието между проводниците и колкото по-ниска е честотата. Тъй като малкото разстояние между проводниците е равнозначено на малко въздушно съпротивление, в общия случай следва, че една линия с малко въздушно съпротивление излъчва при зададена честота по-малко енергия в околното пространство (по-малки загуби от излъчване), отколкото една линия с голямо въздушно съпротивление.

От фиг. 5.32 освен това може да се види, че на входа и на изхода на една двупроводна линия с дължина  $\lambda/2$  се появява едн и същ импеданс, защото частното на напрежението и тока в двата случая има еднаква стойност. Това, че напрежението е изместено по фаза на  $180^\circ$ , при тези разглеждания няма значение. От тези познания може да бъде изведено следното практическо правило:

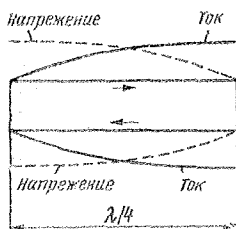
Една настроена захранваща линия с електрическа дължина  $\lambda/2$  или с дължина, цяло число пъти по-голяма от половината дължина на работната вълна (2.  $\lambda/2$ , 3.  $\lambda/2$  и т. н.), възстановява в края си съществуващото в началото на линията отношение на тока към напрежението. Затова входният импеданс на антената се предава в отношение 1:1 към началото на линията.

Това означава, че при самата антена не са необходими никакви мерки за

съгласуване на входното съпротивление, защото то независимо от неговата величина се пренася в отношение 1:1 към началото на линията. Там входното съпротивление на антената може да бъде съгласувано с прости средства към импеданса на крайното стъпало на предавателя или към импеданса на входа на приемника. С една настроена захранваща линия е възможно антената да се използва и за работа в няколко обхвата чрез възбуждане с висши хармонични, което не е възможно при една съгласувана захранваща линия. Един такъв режим на работа е показан на фиг. 5.33. Тук един полувълнов дипол, чиято резонансна честота възлиза напр. на 7 MHz, се възбужда чрез една настроена полувълнова линия (фиг. 5.33a). Полувълновата линия, чисто въздушно съпротивление в случая има второстепенно значение, пренася входното съпротивление  $ZZ$  на полувълновия дипол (кръгло 60  $\Omega$ ) в отношение 1:1 като  $Z'Z'$  в началото на линията. Същият дипол, възбуден с двойно по-голяма честота (14 MHz), би представлявал един целовълнов дипол с голямо входно съпротивление  $ZZ$  (вж. раздел 4.2.). Полувълновата захранваща линия става целовълнова линия (с дължина 2.  $\lambda/2$ ), както е показано на фиг. 5.33b. Високоомното входно съпротивление на антената  $ZZ$  се пренася като съпротив-



Фиг. 5.33. Диполи с настроена захранваща линия; а — настроена двупроводна линия с дължина  $\lambda/2$ , която пренася входното съпротивление на дипола в отношение 1:1, б — същият дипол, възбуден с двойно по-висока честота; полувълновият дипол се превръща в целовълнов, захранващата линия сега също има дължина  $1 \lambda$ ,  $Z'Z'$  също е равно на  $ZZ$ .



Фиг. 5.34  
Разпределение  
на тока и на-  
прежения по  
двупроводна ли-  
ния с електри-  
ческа дължина  
 $\lambda/4$

ление  $Z'Z'$  със същата стойност в началото на линията и там трябва да се съгласува с изхода на предавателя.

Както е известно, входният и изходен импеданс на една двупроводна линия при електрическа дължина  $\lambda/4$  стават реални (вж. раздел 5.2.3). Затова една четвъртвълнова линия също може да се постави като настроена захранваща линия. Разпределението на тока и напрежението по дължината на четвъртвълновата линия е представено на фиг. 5.34. Отношенията ток/напрежение в началото и в края на линията са обратни. От това може да се направи заключението, че едно високоомно съпротивление в началото на линията се проявява на изхода на линията като нискоомно и обратно. Затова една четвъртвълнова линия се нарича на право четвъртвълнов трансформатор (описан подробно в раздел 6). При четвъртвълновата линия вълновото съ-  
противление отново има важно зна-

чение, защото то определя коефициента на трансформация по равенството

$$Z = \sqrt{Z_E \cdot Z_A}, \quad (5.31)$$

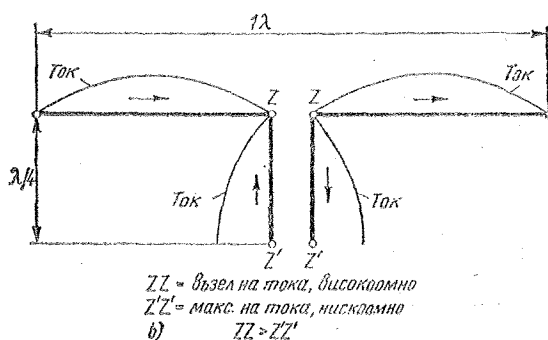
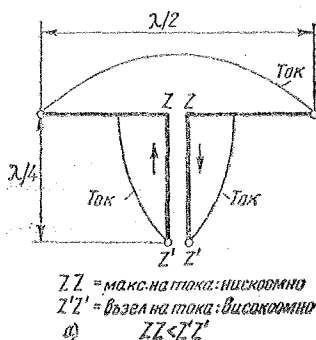
където  $Z_E$  е входното съпротивление на линията,  $Z_A$  — изходният импеданс на линията.

За настроената четвъртвълнова линия може да бъде формулирано следното правило:

Една настроена захранваща линия с електрическа дължина  $\lambda/4$  или с дължина, нечетно цяло число пъти по-голяма от  $\lambda/4$  на дължината на работната вълна ( $3/4 \lambda$ ,  $5/4 \lambda$ ,  $7/4 \lambda$  и т. н.), има на изхода си разпределение на тока и напрежението, обратно на това в началото на линията. Затова се извършва трансформация на импедансите.

На фиг. 5.35 са представени антени с четвъртвълнови захранващи линии. На фиг. 5.35a е показан един полувавълнов дипол, чиято ниско входно съпротивление  $ZZ$  (около  $60 \Omega$ ) в съответствие с равенство (5.32) се появява в края на линията като високоомно съпротивление  $Z'Z'$ . На фиг. 5.35b е показано как високоомното входно съпротивление на един целовълнов дипол  $ZZ$  става нискоомно, което следва от разпределението на тока.

Настроената захранваща линия може да се разглежда като неизлъчващо удължение на антената. Захранващата линия и антената като цяло трябва да

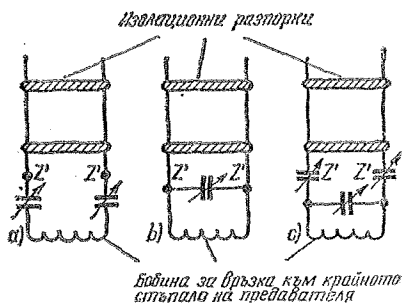


Фиг. 5.35. Диполи с настроена захранваща линия: а — полувавълнов дипол с настроена четвъртвълнова захранваща линия; ниското входно съпротивление на излъчвателя  $ZZ$  се появява в точките на захранване като високо входно съпротивление  $Z'Z'$ ; б — целовълнов дипол с настроена четвъртвълнова захранваща линия; ниското входно съпротивление на излъчвателя  $ZZ$  се трансформира в ниско съпротивление  $Z'Z'$ .

представяват резонансен елемент. Това означава, че излъчващият и приземяващият участък, разгледани поотделно, могат да не бъдат в резонанс на работната честота, докато при електрическото им свързване трябва да са в резонанс на нея. Затова реактивните компоненти, получаващи се напр. при неточното оразмеряване на един излъчвател (твърде къс или пък по-дълъг от необходимото), могат да се елиминират чрез удължаване или скъсяване на захранващата линия в отдалечения от антената край. На практика това става не чрез механично удължаване или скъсяване на линията, а електрически — чрез подходящо звено за връзка с антената в края на захранващата линия (фиг. 5.36).

При това първо трябва да се установи дали краят на линията е високоомен (възел на тока) или нискоомен (максимум на тока). При връзка по ток се използва последователното захранване (фиг. 5.36a), а при връзка по напрежение (високоомна) — паралелното захранване, показано на фиг. 5.36b. За многообхватни антени е целесъобразно използването на едно универсално звено за връзка (5.36c), защото то може да бъде използвано по избор или за връзка по ток, или за връзка по напрежение. Много подходящи са и симетричните  $\pi$ -филтри (Collins-филтри). Такива системи за връзка с антената са описани в отделен раздел.

Трябва да се спомене още и това, че настроените захранващи линии не би



Фиг. 5.36. Свързване на захранващата линия  
a — свързване на захранващата линия към пре-  
давателя,  $Z'Z'$  е нискоомно (връзка по ток)  
b — свързване на захранващата линия към пре-  
давателя,  $Z'Z'$  е високоомно (връзка по напре-  
жение), c — универсално звено за връзка, из-  
ползувано по избор за връзка по ток или по  
напрежение

трябвало да се оразмеряват геометрически точно за резонанс, защото в такъв случай могат да се появят синфазни спрямо земята вълни (така нареченият *Margony*-ефект). Тогава настроената линия действа като антена и сама излъчва силно. Затова се препоръчва винаги настроената линия да се оразмерява по-дълга или по-къса, отколкото е необходимата за резонанс дължина, и след това да се донастрои в резонанс с помощта на звеното за връзка с антената.

Смесеното захранване, една комбинация между съгласуваща и настроена захранваща линия, е описано в раздел 8.

## 6. Съгласувачи и трансформиращи елементи

Поставянето на съгласувачи и трансформиращи елементи в точките на свързване на антената с кабела се извършва само в случай на използване на съгласувачи захранващи линии, защото единствено тогава е необходимо съгласуване на импедансите. При настроената линия самата линия представлява трансформиращ елемент.

Една антена, която може да мине без допълнителни съгласувачи елементи, е винаги по-добра и по-електрически, и по-механични показатели. Освен това някои трансформиращи елементи имат нежелателното свойство да стесняват широчината на честотната лента на антената. Затова винаги би трябвало да се опита използването на таква конструкция на излъчватели, при които входното съпротивление напосо съответствува на вълновото съпротивление на предвидената за свързване към антената захранваща линия. В УКВ-обхвата това е сравнително просто, в този случай най-голям се оказва шлейфвибраторът. При него чрез съответна изработка може да се получи практически всяка желана стойност на входното съпротивление (вж. раздел 4.1). В къ-

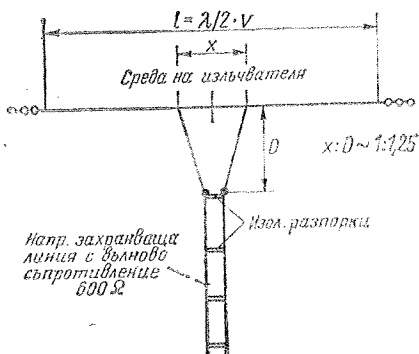
совълновия обхват обаче по механични причини шлейфвибратор не може да се направи или пък може да се реализира само несвършена конструкция.

Съгласувачи и трансформиращи елементи се употребяват не само в точките на свързване на антената с кабела, но и като свързващи елементи в комбинации от диполи.

### 6.1. Делта-съгласуване

Делта-съгласуването, показано на фиг. 6.1, се използва често, когато трябва да се съгласува един късовълнов дипол към саморъчно направена двупроводна линия с вълново съпротивление между 400 и 600  $\Omega$ . Аналогично на разпределението на тока и напрежението и на получаващия се от него импеданс при делта-съгласуването линията се свързва към две симетрични спрямо средата на излъчвателя точки, в които импедансът съответствува на вълновото съпротивление на захранващата линия. Необходимото при това раздалечаване на проводниците на захранващата линия придава на конструкцията изглед на гръцка главна буква делта ( $\Delta$ ), заради което този начин на съгласуване се означава като *делта-съгласуване*.

Свързването на линията се отразява като удължаване на антенния проводник и затова измества неговата резонансна честота към по-ниските честоти. Поради това за работната честота, за която е оразмерен излъчвателят без делта-съгласуването, в точките на свързване на кабела към антената съществува една по-голяма или по-малка индуктивна реактивна съставка; това означава, че трябва да се има пред вид един определен коефициент на стоящи вълни по линията. Стоящите вълни се намаляват или се отстраняват напълно, когато дължината на антенния проводник



Фиг. 6.1. Делта-съгласуване

се оразмери за малко по-голяма от желаната работна честота (проводникът допълнително се скъсява). Обусловената от това капацитивна реактивна съставка на импеданса на антената може след това да се компенсира до голяма степен от индуктивната съставка на делта-сгласуването.

Общо взето, може да се каже, че съотношението на дължините  $X:D$  трябва да възлиза на около 1 : 1,25. При съгласуването на една захранваща линия с външно съпротивление 600  $\Omega$  към един полувълнов дипол могат да се използват следните приблизителни формули:

$$X_{\text{антен}} = \frac{3600}{f} \text{ за КВ антени;} \quad (6.1)$$

$$X_{\text{конт}} = \frac{3450}{f} \text{ за УКВ антени; } (6.2)$$

$$D_{\frac{4510}{f}}, \quad (6.3)$$

където  $X$  и  $D$  са в см, а  $f$  — в MHz.

Делта-съгласуването има това предимство от механичната гледна точка, че антеният проводник не се разделя в геометричната му среда, както, общо взето, е необходимо да се направи при полулъчновия дипол. Средата на излъчвателя може без колебание да се свърже електрически към метална носеща конструкция, съотв. да се заземи.

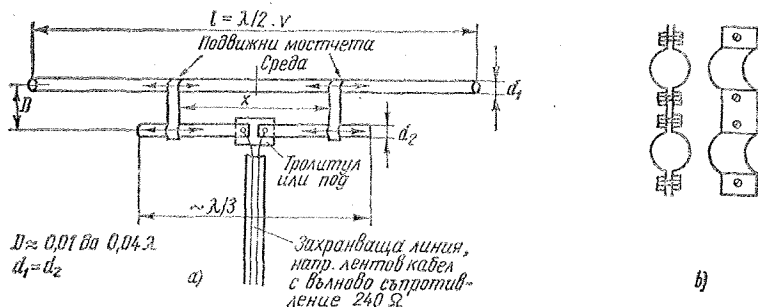
## 6.2. Т-съгласуване

Т-съгласуването, показано на фиг. 6.2, е произлязло от делта-съгласуването.

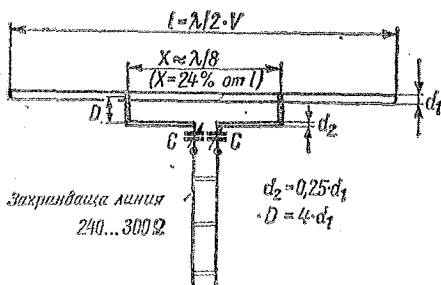
То представлява едно изменение на делта-сигласуването, при което се използва механично твърди елементи, и е особено удобно за излъчватели с трибообразен проводник. От това следва, че Т-сигласуване се използва предимно в УКВ-обхвата. С известни изменения и електрически подоборения обаче то се среща и при късовълновите въртящи се насочени излъчватели (гама- и омега-сигласуване).

В УКВ-обхвата Т-съгласуването няма никакви особени предимства пред шлейфвibratora, ако се изключи незначителната икономия на материали. Напротив, изводите от излъчвателя — също както при дeлта-съгласуването — са причина за появата на реактивна компонента. Поради прекарването на отразъци от проводник успоредно и на малко разстояние от антенина проводник тази компонента става още по-голяма, отколкото при дeлта-съгласуването. Свързаните с това трудности могат да бъдат избягнати чрез използването на подходящо оразмерени шлейфвibratorи, както вече беше споменавано в началото на раздела.

Входното съпротивление на съгласувания Т-елемент, показан на фиг. 62, е реално, ако разстоянието  $X$  възлиза на 0,475 от дължината на дипола  $l$ . При това се предполага, че  $D$  възлиза на 0,033  $\lambda$ , като трябва да се изберат  $d_1 = d_2$  и отношение  $\lambda/d_1$  около 150. Когато са изпълнени тези условия, в точките на свързване на Т-елемента към кабела съществува реален входен импеданс със стойност кръгло 650  $\Omega$ , стига излъчващият да се състои само от един обикновен полувълнов дипол.



Фиг. 6.2. Т-съгласуване: *a* — вариант за практическа изработка на съгласуващия елемент,  
*b* — вариант за конструкцията на подвижните мостчета



Фиг. 6.3. Т-съгласуване с капацитивна компенсация

Тъй като входното съпротивление на един полувълнов дипол е между 60 и 70 Ω, с един оразмерен по този начин съгласуващ Т-елемент се постига отношение на трансформация на импеданса 1:10. Всички други възможни изводи от излъчвателя дават в резултата комплексни входни съпротивления. Техните реактивни компоненти могат да бъдат отстранени само ако едновременно се намали дължината на излъчвателя. В такъв случай могат да се нагласят реални входни съпротивления със стойност между 270 и 680 Ω, като се използва един съгласуващ Т-елемент.

При споменатите по-горе условия за разстояние  $X=0,5l$  се получава отношение на трансформация на съпротивленията 1:6, взето по отношение на входното съпротивление на един прав полувълнов дипол (кръло 400 Ω). В този случай необходимата дължина  $l$  на излъчвателя се пресмята по формулата

$$l = \frac{138500}{f} \quad (6.4)$$

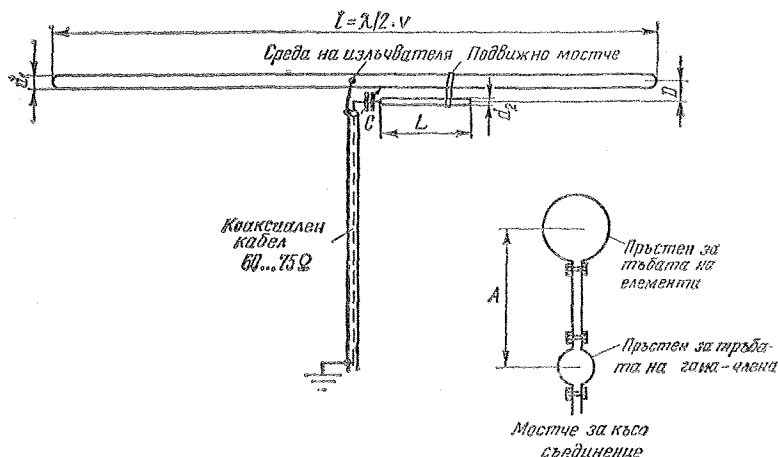
Дължината се получава в mm, ако  $f$  се замести в МHz. В тази формула е взето пред вид необходимото допълнително скъсяване на излъчвателя при косфисинг на изтъняване  $\lambda/d$ , равен на 150.

При разстояние  $X=0,7l$  отношението на трансформация на съпротивленията възлиза на 1:4,5 (около 300 Ω) и  $l$  се пресмята по формулата

$$l = \frac{130580}{f} \quad (6.5)$$

Трябва да се предвиди възможност за промяна на мястото на изводите на съгласуващия Т-елемент в неговите граници.

Нормалният съгласуващ Т-елемент е твърде несъразмерен за използване във високочестотните любителски об-



Фиг. 6.4. Гама-съгласуващ елемент за съгласуване на тръбни антенни елементи към произволен коаксиален кабел

хвати на късовълновия диапазон. В тези случаи се предпочита да се намали диаметърът  $d_2$  и разстоянието  $D$ . Практическите стойности за получаване на входно съпротивление от около  $300 \Omega$  са показани на фиг. 6.3. В този случай диаметърът  $d_2 = 1/4 d_1$  и  $D = \approx 4 d_1$ . Разстоянието  $X$  между изводите трябва да се избере кръгло  $\lambda/8$ , съответстващо на около 24% от дължината на излъчвателя. Допълнително скъсяване на излъчвателя не е предвидено — реактивната компонента се компенсира капацитивно чрез два последователно свързани кондензатора в точките на захранване на антената. Според едно грубо правило максималният капацитет на всеки кондензатор трябва да възлиза на  $8 \text{ pF}$  за всеки метър дължина на вълната. Следователно за любителския 10-м обхват биха били достатъчни по  $80 \text{ pF}$  максимален капацитет. Целесъобразно е, след като се направи настройката, да се измерят точно капацитетите на променливите кондензатори и последните да се заменят със съответни постоянни кондензатори. Препоръчва се за защита от атмосферни влияния кондензаторите да се поставят в запечатена пластмасова водонепроницаема кутия.

### 6.3. Гама-съгласуване

Гама-съгласуване се използва в късовълновия обхват, за да може да се захрани един симетричен излъчвател (предимно насочена въртяща се антена) направо с коаксиален кабел, без да се използва някакъв специален симетриращ елемент. Едновременно с това се постига и съгласуване на съпротивленията, аналогично на Т-съгласуването, защото при гама-елемента прак-

тически се касае до половин Т-елемент (фиг. 6.4). Едно такова решение от електрическа гледна точка не изглежда съвсем безупречно, защото може да се очаква, че двата клона на дипола няма да се възбудят равномерно. На практика обаче гама-съгласуването работи много добре и чуждестранните фирми, които се занимават с производството на любителски антени, също използват много често захранването през гама-елемент за съгласуване на въртящите се насочени антени.

При късовълновите въртящи се насочени излъчватели поради малкото разстояние между елементите трябва да се разчита на входно съпротивление от 20 до  $30 \Omega$ . Затова гама-съгласуването се изпълнява за отношение на трансформация на съпротивленията от около  $1:3$ . Това дава благоприятна възможност за свързване с продаваните коаксиални кабели. Реактивната компонента и в този случай се компенсира капацитивно.

В таблица 6.1 са събрани практически данни за размерите на съгласуващи гама-елементи с конструкция, показана на фиг. 6.4.

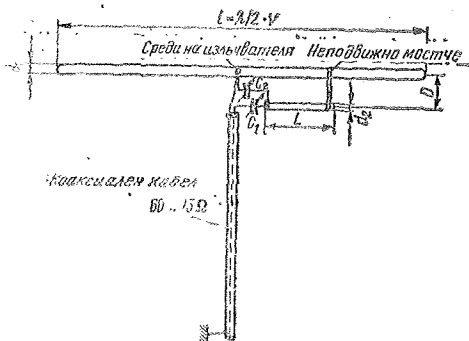
Мястото на връзка между излъчвателя и съгласуващия елемент може да се изменя и това се прави дотогава, докато при завъртян докрай кондензатор в кабела се установи минимум на стоящи вълни. След това чрез съответна промяна на кондензатора може да се отстрани реактивната компонента и с това — остатъчните пулсации на напрежението.

### 6.4. Омега-съгласуване

Едно по-нататъшно подобрене на гама-съгласуването, известно под озна-

Таблица 6.1. Данни за гама-съгласуване (приблизителни стойности)

	Дължина $L$ на съгласува- ния елемент, cm	Разстояние $D$ , cm	Макс. капацитет на $C$ , pF	Отношение $d_2 : d_1$
Обхват 10 m	80	10	50	0,15 ... 0,25
Обхват 15 m	120	14	80	0,33
Обхват 20 m	170	16	150	0,15



Фиг. 6.5. Омега-съгласуване при антенен с пъл антенен проводник

честното *омега-съгласуване*, има предимства особено при тези късовълнови антени, при които преместването на моста за връзка на един гама-елемент върху клатещата се мачта е твърде опасно или сложно. При омега-съгласуването мостът за връзка не се мести, а е монтиран неподвижно. Цялата настройка на съгласувания елемент става с два променливи кондензатора, които са поставени близо до средата на излъчвателя. В случай на нужда тези кондензатори при настройка могат да бъдат въртени от земята чрез временни шнурови обтажки.

Друго предимство на омега-съгласуването е, че трябва на съгласувания елемент е два пъти по-къса, отколкото при гама-съгласуването. Освен че се пести материал, това обстоятелство допринася и за механичната здравина на съгласуванията система.

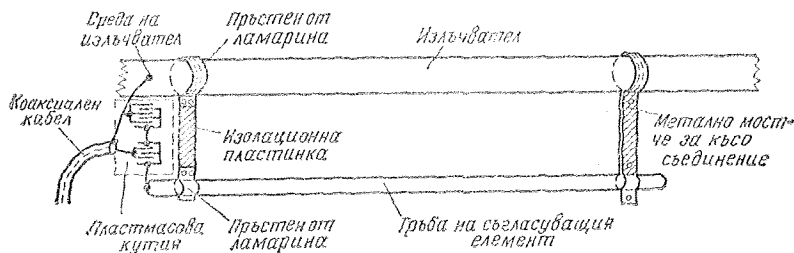
На фиг. 6.5 е показано едно заслужаващо препоръчване омега-съгласуване. Промениливият кондензатор  $C_1$  също както и при гама-съгласуването служи

за компенсиране на реактивната компонента.  $C_2$  поема функциите на подвижния мост за връзка. С негова помощ може бързо и точно да се нагласи стойността на импеданса, която отговаря на вълновото съпротивление на използвания коаксиален кабел.

Данните за гама-съгласуването (табл. 6.1) важат и при омега-съгласуването с това ограничение, че дължината е само половината от тая при съгласувания гама-елемент. Допълнителният променлив кондензатор  $C_2$  трябва да има приблизително следния краен капацитет:

- 10-м обхват — 20 pF;
- 15-м обхват — 25 pF;
- 20-м обхват — 30 pF.

$C_1$  и  $C_2$  може да бъдат обикновени кондензатори с малко разстояние между пластините, защото в точките на захранване на излъчвателя не се появяват големи напрежения. След извършване на настройката променливите кондензатори могат да бъдат заменени със



Фиг. 6.6. Механична конструкция на съгласувания елемент





Фиг. 6.7. Омега-съгласуване при една 5-елементна Яги-антена

също толкова големи постоянни кондензатори. Затова трябва да се измери точно стойността на капацитета, нагласена с променливите кондензатори. Тази стойност след това се получава чрез свързване на постоянни кондензатори с малък температурен коефициент (въздушни блоккондензатори, слюдени кондензатори). Тези капацитети могат да се реализират и с повърхностни цилиндрични донастройващи кондензатори, които да останат след това на мястото си, но те трябва да са защитени абсолютно сигурно от атмосферни въздействия. За целта променливите или постоянни кондензатори се поставят в пластмасова кутийка, която ги предпазва от атмосферни влияния.

Механичното закрепване на тръбата на съгласувания елемент в точките на захранване трябва да се извърши така, че тя да бъде изолирана от излъчвателя. Затова се употребяват или прости изолатори, поддържащи разстоянието, или мостчета за тръбите, които са свързани едно с друго посредством изолационна лента. На фиг. 6.6 е показано едно предложение за механичната конструкция на омега-съгласувачи елемент, а на фиг. 6.7 като пример е показано омега-съгласуване на една 5-елементна Яги-антена.

Критерий за прилагането на омега-съгласуване е температурната зависимост на стойността на капацитета на използваните кондензатори.

## 6.5. Четвъртвълнов трансформатор (Q-match)

Според формула (5.31) между вълновото съпротивление  $Z$  на една дупро-

водна линия с електрическа дължина  $\lambda/4$ , нейният входен импеданс  $Z_E$  и изходният ѝ импеданс  $Z_A$  съществува следната връзка:

$$Z = \sqrt{Z_E \cdot Z_A}.$$

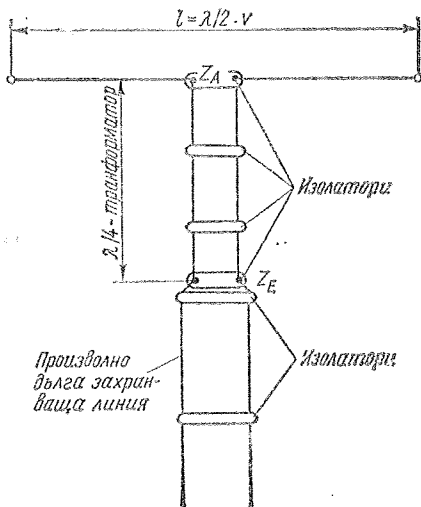
Това означава, че необходимото вълново съпротивление на една четвъртвълнова линия винаги трябва да е средно геометрично на импедансите  $Z_E$  и  $Z_A$ , които трябва да се съгласуват. Чрез разместване на члсновете на тази формула се получава

$$Z_E = \frac{Z^2}{Z_A} \quad (6.6)$$

Ако вместо  $Z_E$  се замени вълновото съпротивление на наличната захранваща линия, а вместо  $Z_A$  — входното съпротивление на антената, то по горната формула може да се пресметне необходимото за точно съгласуване вълново съпротивление на четвъртвълновия трансформатор.

На фиг. 6.8 е показан такъв четвъртвълнов трансформатор, наричан още Q-match.

Тази трансформираща линия може да се прилага за всички симетрично захранвани антенни системи и за всички видове симетрични захранващи кабели,



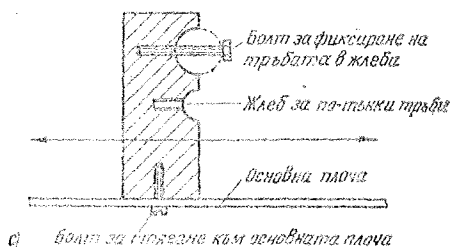
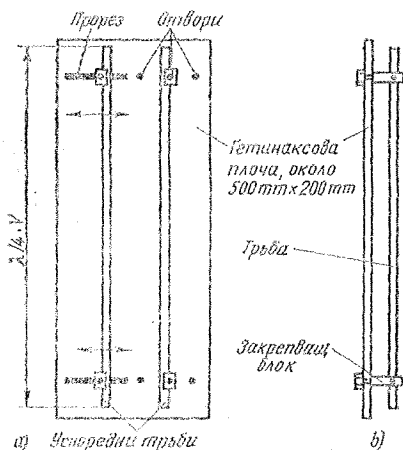
Фиг. 6.8. Четвъртвълнов трансформатор

доколкото за вълновото съпротивление  $Z$  на трансформиращата линия се получават стойности, които е възможно да се осъществят механически. Това практически е възможно при вълнови съпротивления между 50 и 600  $\Omega$ .

### Пример

Една симетрична антенна система с входно съпротивление 120  $\Omega$  трябва да бъде захранена чрез симетрична двупроводна линия с вълново съпротивление 280  $\Omega$ . Колко голямо трябва да бъде вълновото съпротивление  $Z$  на необходимата за съгласуване четвъртвълнова трансформираща линия?

$$Z = \sqrt{120 \cdot 280} = \sqrt{33600} \approx 183\Omega.$$



Фиг. 6.9. Вариант за изработка на четвъртвълнов трансформатор с изменяемо вълново съпротивление: а — изглед отпред, б — изглед отстрани, в — закрепващ блокчета

Според фиг. 5.4 една двупроводна линия с вълново съпротивление 183  $\Omega$  може да се постигне, ако отношението на разстоянието между проводниците към техния диаметър е равно на 2,5:1 (за въздушна изолация).

Ако се приемат за неизбежни малко по-големите загуби, една такава четвъртвълнова трансформираща линия може да се направи и от продаваните симетрични високочестотни кабели, когато вълновото им съпротивление отговаря на изискваната стойност. След това чрез паралелно свързване на такива високочестотни кабели могат да се получат и други стойности на резултантното вълново съпротивление. Ако например е необходимо вълново съпротивление 140  $\Omega$ , може да се свържат паралелно два четвъртвълнови отрязъка от лентов кабел с вълново съпротивление 280  $\Omega$ . Паралелното свързване на лентов кабел с вълново съпротивление 240  $\Omega$  с друг с вълново съпротивление 360  $\Omega$  би дало вълново съпротивление

$$\frac{240 \cdot 360}{240 + 360} \approx 133\Omega$$

(паралелно свързване на съпротивления).

При това трябва да се внимава двете паралелни линии да не си влияят взаимно (да се огънат и закрепят по възможност най-далече една от друга). Трябва да се вземе предвид коефициентът на скъсяване на лентов кабел при определяне на дължината им. Коефициентът на скъсяване може да се види в съответните каталози, но, общо взето, за лентови кабели с пластмасов диелектрик той е около 0,82 (вж. табл. 33.18 в приложението).

Недостатък на тази трансформираща линия е, че почти не е възможно да се направи допълнителна корекция на съгласуването. За тази цел би трябвало да се измени вълновото съпротивление на линията в малки граници.

С известно усложнение на механичната конструкция такива четвъртвълнови трансформатори с променяемо вълново съпротивление могат да бъдат направени за УКВ-обхвата (фиг. 6.9). Затова се използва пластмасова основна пластина, в лявата половина на която има напречни прорези. Те служат за насочване на двата укревящи блока на лявата паралелна тръба, която може

да се измества плавно в посочените със стрелките посоки. В дясната страна има по три дупки, в които могат да се закрепят укрепващите блокове на дясната тръба. Така разстоянието между тръбите може да се изменя и стъпално. Самите укрепващи блокове се изработват от устойчива на атмосферни влияния пластмаса с малки загуби. В тях се правят два или повече канали с формата на полукръг, в които могат да бъдат закрепени с винтове тръби с различни диаметри. С това се създава възможност да се работи с тръби с различен диаметър. При едно такова поддръждане могат да се реализират вълнови съпротивления от около 150 до 500  $\Omega$ .

Разбира се, може да се построи един несиметричен Q-match и той да се използва след това за съгласуване на коаксиален кабел с една несиметрична антена (например граунд-плейн). Не винаги обаче може да се намери на пазара коаксиален кабел с необходимото за един четвъртвълнов трансформатор вълново съпротивление, така че най-често не може да се избегне необходимостта от саморъчното изработване на коаксиална четвъртвълнова линия (вж. фиг. 5.5 и фиг. 5.6). Заради възникващите при това затруднения от механичен характер в радиолюбителската практика рядко се срещат коаксиални четвъртвълнови трансформатори.

Трябва да се спомене още, че всички линии, чиято електрическа дължина възлиза на нечетно цяло число пъти  $\lambda/4$  ( $3/4$ ,  $5/4$ ,  $7/4$  и т. н.), притежават същите трансформирани свойства, както четвъртвълновият трансформатор.

## 6.6. Четвъртвълнова съгласуваща линия (четвъртвълнов шлейф)

Четвъртвълновата съгласуваща линия предлага удобна възможност за по-

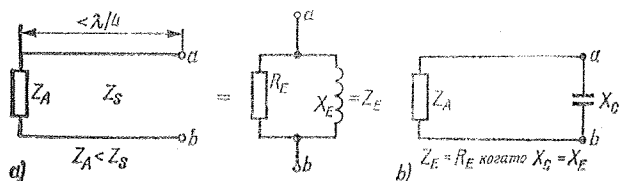
стигане на оптимално съгласуване и като че ли е схемата, която има най-опростена механична конструкция. Тя е известна и под името *четвъртвълнов шлейф* или *Matching stub*.

Четвъртвълновата съгласуваща линия се използва на първо място за съгласуване на късовълнови жични антени към каква да е симетрична захранваща линия. Нейната приложимост се ограничава от това, че тя като честотно зависим елемент стеснява в известни граници честотната лента на антената. Затова използването ѝ в съчетание с широколентови антени не е рационално.

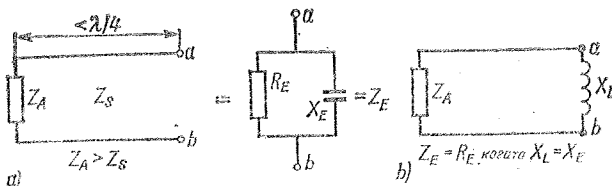
Настройващото действие на двупроводните линии вече беше описано в раздел 5.2.3. Както е известно, един отрязък от линия с дължина  $< \lambda/4$  действа винаги като чисто реактивно съпротивление. Това реактивно съпротивление при линия, дадена накъсо накрая, има индуктивен характер ( $X_L$ ); ако линията е отворена на края, съпротивлението има капацитивен характер ( $X_C$ ). Това се вижда от фиг. 5.29.

Ако една линия с дължина  $< \lambda/4$  се натовари с активно съпротивление  $Z_A$ , чиято стойност е по-малка от вълновото съпротивление  $Z_S$  на линията,  $Z_E$  в другия край на линията се явява като паралелно свързани активно съпротивление  $R_E$  и реактивно съпротивление  $X_E$ . На фиг. 6.10 е показана еквивалентната схема за този случай. Тъй като  $Z_A < Z_S$ , реактивното съпротивление  $X_E$  е индуктивно. За да се получи реално  $Z_S$ , индуктивната компонента трябва да се компенсира с равна по големина капацитивна реактивна компонента. Това става, като се включи паралелно един кондензатор, както е показано на фиг. 6.10б.

Когато товарното съпротивление  $Z_A$  има по-голяма стойност от вълновото съпротивление на линията  $Z_S$ , е налице обратният случай (фиг. 6.11а). Тогава  $Z_E$  притежава капацитивна реактивна компонента, която трябва да бъде компен-



Фиг. 6.10  
Компенсация на индуктивната реактивна компонента при двупроводни линии с дължина  $< \lambda/4$ : а — еквивалентна схема при  $Z_A < Z_S$ ; б — компенсация на  $X_E$  чрез  $X_C$



Фиг. 6.11  
Компенсация на капацитивната реактивна компонента при двупроводни линии с дължина  $< \lambda/4$ : а — еквивалентна схема; б — компенсация на  $X_E$  чрез  $X_L$

сирена чрез паралелното включване на една индуктивност (фиг. 6.11б).

Така входният импеданс  $Z_E$  се състои само от активна компонента  $R_E$ . В зависимост от дължината на линията  $R_E = Z_E$  може да приеме стойности между  $Z_A$  (при дължина на линията 0)

и  $\frac{Z_S^2}{Z_A}$  (при електрическа дължина на линията  $\lambda/4$ ).

Практическо приложение на този случай е четвъртвълновата съгласувача линия. Както е показано на фиг. 6.12, една захранваща линия с вълново съпротивление  $Z_S$  се свързва направо в основата на антената, което е представено със съпротивлението  $Z_A$ . Ако  $Z_S$  не е равно на  $Z_A$ , тогава липсва съгласуване и се появяват стоящи вълни. Коефициентът на стоящи вълни се определя направо от отношението на  $Z_A$  към  $Z_S$  ( $s = Z_A/Z_S$ , съотв.  $s = Z_S/Z_A$ ).

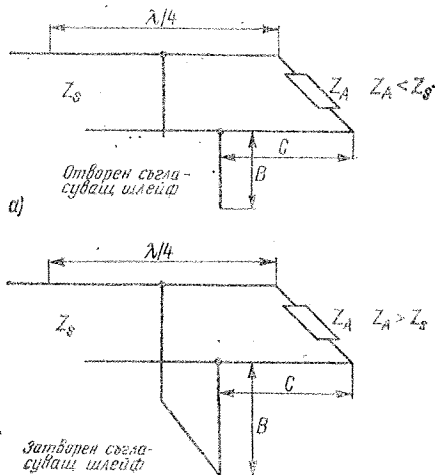
На разстояние  $C$  от точките на захранване на антената  $Z_A$  импедансът отговаря на вълновото съпротивление  $Z_S$  на захранващата линия, но там той има и реактивна компонента. Ако в тази точка реактивната компонента се компенсира чрез един четвъртвълнов шлейф (реактивна линия), то  $Z$  има реална стойност и се получава съгласуване, т. е. по линията вече няма стоящи вълни.

Ако  $Z_A$  има по-малка стойност от  $Z_S$ , тогава компенсацията трябва да се извърши с отворен накрая съгласувач шлейф (фиг. 6.12а). Това е еквивалентно на свързването на кондензатор. Напротив, при  $Z_A$  по-голямо от  $Z_S$ , се използва даден накрая накрая четвъртвълнов шлейф (индуктивност). Това е показано на фиг. 6.12б.

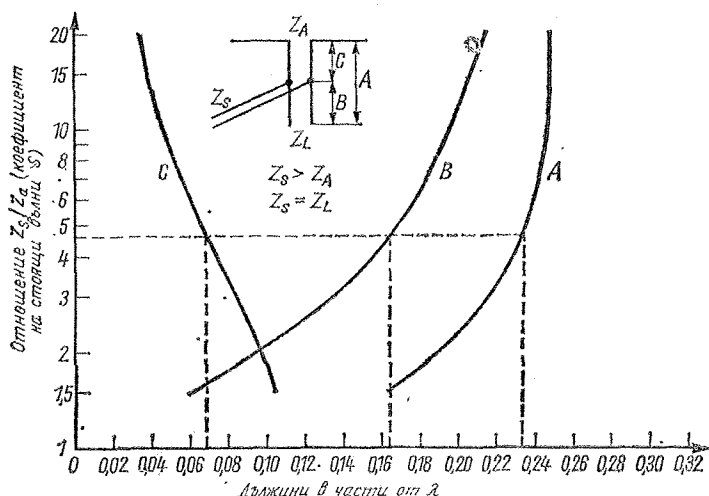
От това следва, че първо трябва да се установи дали  $Z_A$  е по-голямо или по-малко от  $Z_S$ . Това решение не е свързано с никакви трудности, защото вълновото съпротивление  $Z_S$  на захранващата линия би трябвало винаги да бъде точно известно (вж. раздел

5.1.1), а входното съпротивление на обикновените късовълнови антени най-често се дава в описанията им или пък може да се оцени с достатъчна точност. Общо взето може да се каже, че ако антената се захранва в точки, в които токът има максимална стойност (напр. полувълнов дипол), входното ѝ съпротивление е малко и в този случай практически винаги  $Z_A < Z_S$ . При антена, захранвана в максимум на напрежение (напр. целовълнов дипол или излъчвател, захранван в края), е наличие голям импеданс в точките на свързване на кабела с антената ( $Z_A > Z_S$ ).

Разстоянието  $C$  между точките, в които се свързват кабелът и антената и точките, в които се свързва четвъртвълновият шлейф, както и дължината на шлейфа, зависят от вълновото съпротивление на захранващата линия и от това на шлейфа, съотв. от отноше-



Фиг. 6.12. Схема на четвъртвълнов съгласувач шлейф: а — съгласувач шлейф, отворен на края (при  $Z_A < Z_S$ ), б — четвъртвълнов шлейф даден накрая накрая (при  $Z_A > Z_S$ )



Фиг. 6.13. Зависимост на дължината на отворения съгласуващ шлейф В и на разстоянията С и А от коефициента на стоящи вълни  $s$ . Данните за дължина са в  $\lambda$ .

нието на  $Z_A$  към  $Z_S$ . Тъй като отношението  $Z_A/Z_S$ , съотв.  $Z_S/Z_A$ , представлява едновременно коефициентът на стоящи вълни  $s$ , разстоянието С и дължината В са функция на коефициента на стоящи вълни  $s$ . Когато захранващата линия и четвъртвълновият шлейф имат еднакви вълнови съпротивления, в случай че  $Z_A > Z_S$  (четвъртвълнов шлейф, даден на късо на края), важат съотношенията

$$\operatorname{tg} C = \sqrt{s} \quad (6.7)$$

и

$$\operatorname{ctg} B = \frac{s-1}{\sqrt{s}} \quad (6.8)$$

Ако  $Z_A < Z_S$  (четвъртвълнов шлейф, отворен на края), дължините се пресмятат по формулите:

$$\operatorname{ctg} C = \sqrt{s} \quad (6.9)$$

и

$$\operatorname{tg} B = \frac{s-1}{\sqrt{s}} \quad (6.10)$$

Дължините С и В са изразени в ъгло-

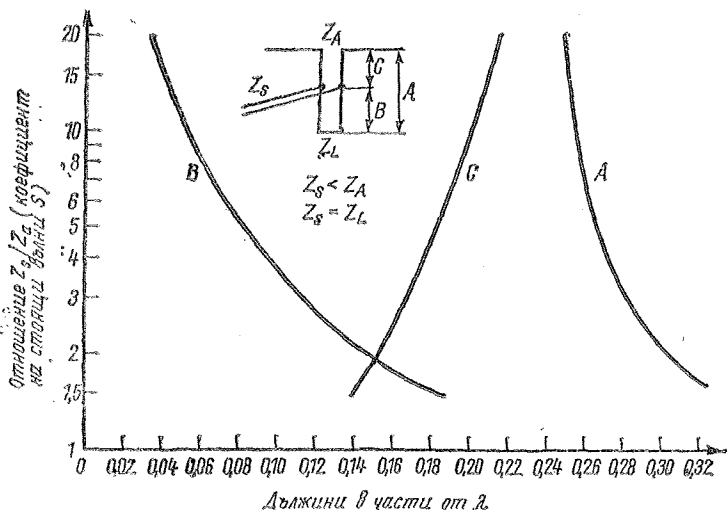
ви градуси. За преизчисляване служи съотношението:

$$\text{дължина в градуси} = 360 \cdot \text{дължина в } \lambda \quad (6.11)$$

Кривите на фиг. 6.13 и фиг. 6.14 са получени при използването на горните формули. От тези криви без особени изчисления могат да се снемат стойностите на А, В и С ( $A=B+C$ ), които са дадени в зависимост от коефициента на стоящи вълни  $s$ .

При това се предполага, че вълновото съпротивление на съгласуващата линия  $Z_L$  е равно на това на захранващата линия  $Z_S$ . Освен това входното съпротивление на антената  $Z_A$  не бива да има реактивни компоненти. Това значи, че антената трябва да е настроена в резонанс с работната дължина на вълната.

Тъй като при четвъртвълновото съгласуване в същност става дума за настроена линия, трябва да се има предвид коефициентът на скъсяване на използваните за целта отрязъци от линията. При двупроводните линии с въздушна изолация  $V$  възлиза средно на 0,975; определените дължини трябва да се умножат с тази стойност. Коефициентите на скъсяване за обикновено продаваните кабели с пластмасов диелектрик се дават в проспектите.



Фиг. 6.14. Зависимост на дължината на съгласуващ шлейф, даден на края на късо, и на разстоянията  $C$  и  $A$  от коефициента на стоящи вълни  $s$ . Данните за дължината са в  $\lambda$ .

### Пример

Един полувабнов дипол за обхват 40 m (резонансна честота 7025 kHz, съотв. дължина на вълната 42,7 m) има входно съпротивление 65  $\Omega$ . Той трябва да бъде съгласуван към една симетрична двупроводна линия от типа 300A7-1 (вабново съпротивление  $Z_s = 300 \Omega$ , коефициент на скъсяване  $V = 0,8$ ), като се използва четвъртвълнова съгласуваща линия. Съгласуващата линия е изработена от същия тип кабел.

Първо се установява, че вълновото съпротивление на кабела  $Z_s$  (300  $\Omega$ ) е по-голямо от входното съпротивление на антената  $Z_A$  (65  $\Omega$ ). Затова трябва да се използва четвъртвълнов шлейф, отворен на края, и за случая важат кривите, показани на фиг. 6.13.

Коефициентът на стоящи вълни се получава от  $Z_s : Z_A = 300 : 65 \approx 4,6$ . Търси се върху ординатната ос точката 4,6, от нея се прекарва хоризонтална права до пресечната точка с кривата  $C$ . От пресечната точка се спуска перпендикуляр до абсцисната ос и върху нея се отчита за  $C$  една дължина от 0,068  $\lambda$ . Пресечната точка на хоризонталната права с кривата  $B$  дава дължината на шлейфа  $B = 0,165 \lambda$ . Определянето на общата дължина  $A$  по кривата  $A$  би

могло да отпадне, защото тя се получава направо от  $B + C = 0,233 \lambda$ . Изчисляването на дължините при дължина на вълната 42,7 m дава

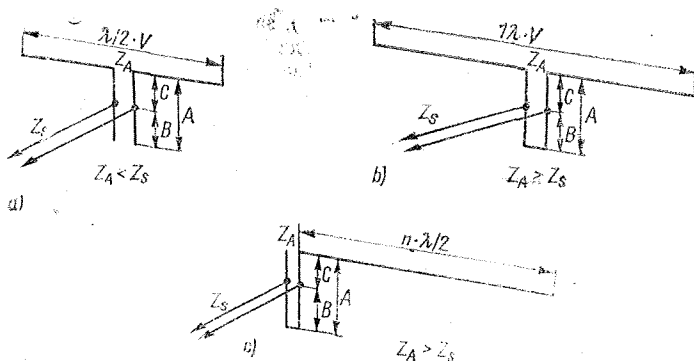
$$C = 42,7 \cdot 0,068 = 2,9036 \text{ m}, \\ B = 42,7 \cdot 0,165 = 7,0455 \text{ m}.$$

Сега трябва да се вземе пред вид още и коефициентът на скъсяване на кабела (0,8):

$$C = 2,9036 \cdot 0,8 = 2,32288 \text{ m}, \\ B = 7,0455 \cdot 0,8 = 5,63640 \text{ m}.$$

Оттук се получава, че съгласуване съществува, когато захранващата линия се свърже на разстояние точно 2,32 m от точките на захранване на антената (отрязък  $C$ ) и след това на същото място се запое един отворен на края шлейф с дължина 5,64 m (отрязък  $B$ ). Шлейфът трябва да е изработен от същия тип кабел. Този пример е показан на фиг. 6.13 с прекъснатата линия.

Най-добри резултати при съгласуване се постигат, когато се използва измерител на стоящи вълни. В такъв случай антената първоначално се свързва направо към предвидената за целта захранваща линия (не се поставя шлейф) и се измерва полученият коефициент на стоящи вълни. Тъй като при това измер-

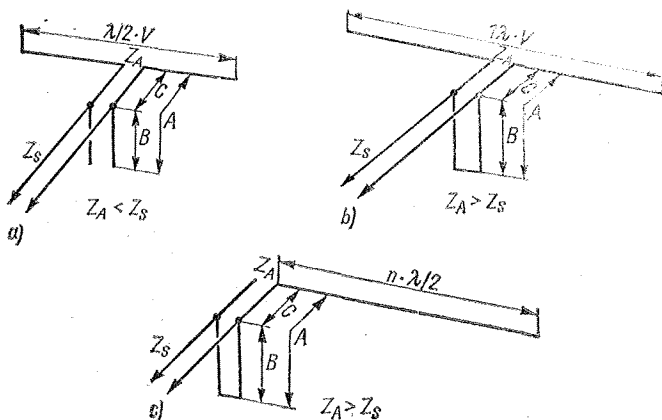


Фиг. 6.15. Примери за използване на четвъртвълново съгласуване: *a* — при полувълнов дипол, *b* — при целовълнов дипол, *c* — при антена, захранвана в края на проводника

ване се отчита точната стойност на коефициента на стоящи вълни  $s$ , то от фиг. 6.13, съотв. 6.14 могат да се определят точните стойности за  $B$  и  $C$ . Без да е необходимо да се отстранява повторно захранващата линия, на разстояние  $C$  от точките на захранване на антената се свързва съгласуващият шлейф  $B$  и така се постига съгласуване.

Това, че съгласуващият шлейф на фиг. 6.12 и четвъртвълновата съгласуваща линия на фиг. 6.13 и фиг. 6.14 са начертани различно, би могло да наведе на мисълта, че тук става дума за два различни вида съгласуване. В дей-

ствителност има само една малка разлика в конструктивното оформление, а електрически двата вида на свързване са напълно равностойни. На фиг. 6.13 са начертани различни примери на приложение на четвъртвълнова съгласуваща линия, а на фиг. 6.16 — същите примери с използване на съгласуващ шлейф. Както вече беше казано, двата начина на свързване електрически са напълно равностойни. Навсякъде с *a* е означен известният полувълнов дипол, *b* представлява целовълнов дипол с високо входно съпротивление, а *c* — захранван в края си излъчвател,



Фиг. 6.16. Примери за приложение на четвъртвълнов съгласуващ шлейф: *a* — при полувълнов дипол, *b* — при целовълнов дипол, *c* — при антена, захранвана в края на антенния проводник

чиято дължина може да бъде произволно число пъти по-голяма от  $\lambda/2$ . Захранването в края излъчватели имат голямо съпротивление в точките на захранване и затова при тях се използва съгласуващ шлейф, даден на края на късо.

Отрязъкът от кабел В по възможност трябва да се отвежда от захранващата линия под прав ъгъл. В съответствие с това изискване според конкретните условия трябва да се прецени дали е по-удобно да се използва конструкцията, показана на фиг. 6.15 (четвъртвълнова съгласуваща линия), или тази, дадена на фиг. 6.16 (съгласуващ шлейф).

Във всички настроени линии съществуват стоящи вълни. За да се избегнат по-големите загуби, трябва отрязъците от линия В и С да се правят от възможно най-дебели проводници и да се използват висококачествени изолатори. Това важи, особено когато отношението  $Z_A:Z_S$ , съотв.  $Z_S:Z_A$ , е много голямо (голям коефициент на стоящи вълни). Все пак при коефициент на стоящи вълни до около 5 би могло да се използват и по-тънки проводници и изолатори със средно качество, без това да доведе до забележими загуби. В такива случаи могат да се използват продаваните лентови кабели.

Чрез съгласуващ шлейф може да се постигне съгласуване и тогава, когато входното съпротивление на антената  $Z_A$  има реактивна компонента. Ако  $Z_A$  е комплексно, разпределението на тока и напрежението по линията се измества в зависимост от големината и характера на реактивната компонента. Това изместване става по такъв начин, че максимумите (съотв. минимумите) на тока и напрежението на стоящите вълни не се намират вече на разстояние  $\lambda/4$  (или  $n \cdot \lambda/4$ ) от точките на захранване на антената, както е при активно входно съпротивление на антената. Затова с подходящи средства за измерване трябва да се установи местоположението на първия максимум или минимум на първата линията, като се изхожда от точките на захранване на антената. След това, като се гледа от този максимум (минимум) *по посока на предавателя* (съотв. приемника), се нагласяват дължините С и В. Ако се изхожда от максимум на тока (минимум на на-

прежението), за определянето на С и В трябва да се използва фиг. 6.13. Ако изходната точка е взел на тока (максимум на напрежението), тогава важи фиг. 6.14. Любителите, които почти не разполагат с измерителна апаратура, едва ли биха могли да използват този метод. Освен това винаги съществува стремеж антената да бъде в резонанс с работната честота, а тогава и входното ѝ съпротивление  $Z_A$  е активно.

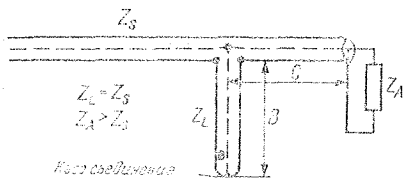
#### 6.6.1. Несиметричен съгласуващ шлейф

Ако една захранвана в края антена трябва да се възбуди чрез четвъртвълнова съгласуваща линия, особено удобно е да се използва коаксиален кабел. Несиметричната точка на захранване намира идеално продължение в също така несиметричния коаксиален кабел. Освен това коаксиалният кабел е устойчив на атмосферни влияния и чрез почти съвършената си екранировка елиминира нежеланите излъчвания. Разбира се, в този случай съгласуващият шлейф и захранващата линия се правят от еднакви кабели. Описаните погоре изпълнения са напълно валидни и за четвъртвълнова коаксиална съгласуваща линия.

Тъй като в отворения край на един настроен антенен проводник с дължина  $\lambda/2$  (или  $n \cdot \lambda/2$ ) винаги има максимум на напрежението, входното съпротивление на антената, захранвана в края, е много високо. Затова във всички случаи  $Z_A$  е много по-голямо от  $Z_S$ . Оттук следва, че трябва да се приложи съгласуващ шлейф, даден на края на късо, при това размерите С и В трябва да се отчетат от фиг. 6.14. Импедансът в точката на захранване на този тип антени винаги е по-голям от  $1000 \Omega$ , затова във всички случаи трябва да се очаква коефициент на стоящи вълни  $s=20$ . Това означава, че точката, в която се свързва съгласуващият шлейф (дължината С), трябва да се намира на разстояние  $0,216 \lambda$  от точката на захранване на антената, а дължината на поставения съгласуващ шлейф, свързан на края на късо, трябва да бъде  $B=0,034 \lambda$ .

При пресмятането на необходимите дължини на кабела и местоположението на точката на включване на





Фиг. 6.17. Коаксиален съгласуващ шлейф

шлейфа трябва да се вземе пред вид коефициентът на скъсяване на коаксиалния кабел. Той възлиза средно на 0,66 (вж. таблицата на кабелите в приложението) и затова пресметнатите стойности трябва да се умножат с този коефициент.

За да се направи съгласуващият шлейф, се отрязва парче коаксиален кабел с електрическа дължина 0,034  $\lambda$ . В долния край на този отрязък вътрешният проводник и оплетката се свързват нахъсо чрез запояване, т. е. там се получава късо съединение. Безупречно свързване на шлейфа към захранващата линия изисква малко повече сръчност. На мястото на бъдещото свързване се отстраняват няколко сантиметра от външната защитна обвивка (PVC) на захранващия кабел. След това екранировката се разплита, за да се получи свободен достъп до диелектрика (най-често *полиизобутилен*). След това се отстранява такава част от диелектрика, че вътрешният проводник на съгласуващия шлейф да може да се запои надеждно към оголения по този начин вътрешен проводник на захранващия кабел. Накрая мястото на свързване трябва да се покрие с подходящо лепило (например *Duosan*). При това вътрешният и външният проводник в точката на свързване не трябва да се допират. По-нататък външният проводник на шлейфа се запоява към външния проводник на захранващия кабел и цялото място на свързване се обвива с качествена пластмасова изолационна лента, така че там да не прониква вода. На фиг. 6.17 е показан коаксиален съгласуващ шлейф.

Използването в мястото на свързване на един от продаваните Т-образни разклонители за коаксиални кабели е идеално от механична и електрическа гледна точка, но не съвсем евтино раз-

решение. Освен това са необходими още три подходящи куплунга за коаксиален кабел.

Свободно висящият отрязък от кабел може да се навие в кръг. Захранващият кабел може да бъде прокаран както и да е, защото той изобщо не е чувствителен към външни влияния.

Друг случай на приложение на коаксиален съгласуващ шлейф е съгласуването на четвъртвълнови излъчватели, които са поставени вертикално над мрежа от проводници по земята или над протививести (така наречените „граунд плейн“ антени). Тук точката на захранване също така е несиметрична, а входното съпротивление на антената е около 30  $\Omega$  (вж. раздел 19.4.1.).

## 6.7. Съгласуване с помощта на елементи със съсредоточени параметри

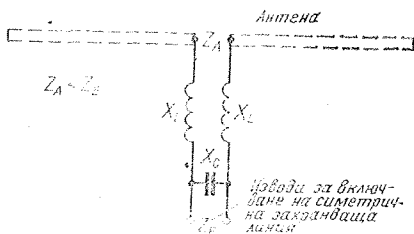
Аналогично на четвъртвълновия трансформатор (6.5.) електрическо въздействие може да се постигне и чрез съответното свързване на бобини и кондензатори. Една такава съгласуваща схема е показана на фиг. 6.18.

При предположение, че входното съпротивление на излъчвателя  $Z_A$  е по-малко от това на симетричния захранващ кабел  $Z_S$ , необходимото индуктивно съпротивление на бобината  $X_L$  се пресмята по формулата

$$X_L = \frac{Z_A}{2} \sqrt{\frac{Z_E}{Z_A} - 1}.$$

Пример

$$Z_A = 30\Omega, \\ Z_E = 300\Omega,$$



Фиг. 6.18. Съгласуване чрез концентрирани схемни елементи

$$X_L = \frac{30}{2} \sqrt{\frac{300}{30}} - 1 = 15 \cdot \sqrt{9} = 45 \Omega.$$

Индуктивното съпротивление на всяка от бобините е 45  $\Omega$ .

Капацитивното съпротивление се получава от

$$X_C = \frac{Z_E}{\sqrt{\frac{Z_E}{Z_A} - 1}}.$$

Със стойностите от горния пример

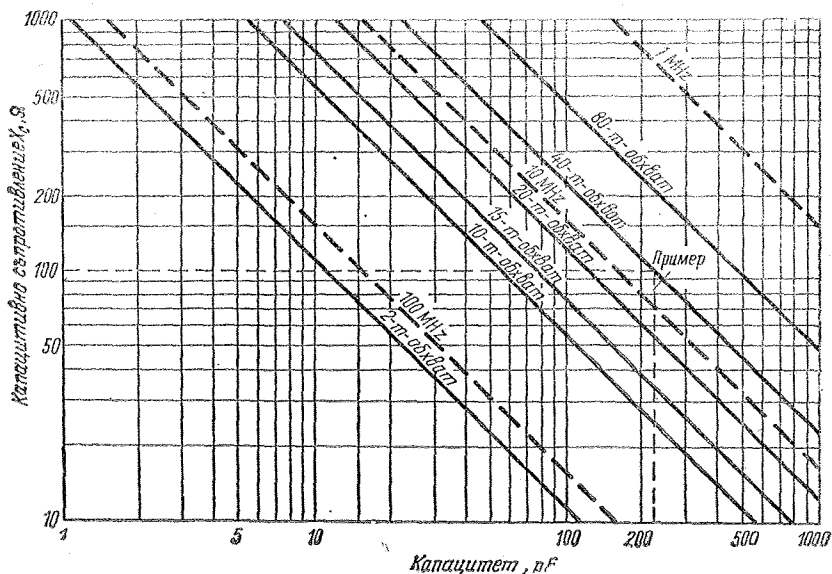
$$X_C = \frac{300}{\sqrt{\frac{300}{30} - 1}} = \frac{300}{\sqrt{9}} = 100 \Omega.$$

Капацитивното съпротивление на кондензатора  $X_C$  трябва да бъде 100  $\Omega$ . За да се получат практическите стойности на бобините в  $\mu\text{H}$  и на кондензатора в pF, би трябвало да се пресметне каква индуктивност съответствува на определеното индуктивно съпротивление (за предвидената работна честота). Същото изчисление трябва да се направи и за определяне на стойността на кондензатора при

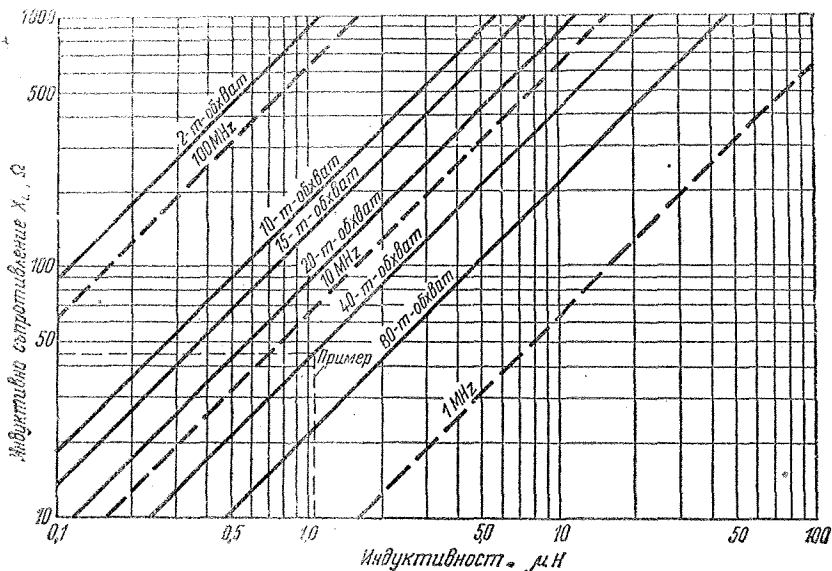
известно капацитивно съпротивление за работната честота. Тези до известна степен подробни изчисления могат да се избегнат чрез използването на номограми (фиг. 6.19 и 6.20); получените резултати са достатъчно точни за практиката.

За нашия пример, който изискваше индуктивно съпротивление 45  $\Omega$  за обхвата 40 m от фиг. 6.19, се получава индуктивност точно 1  $\mu\text{H}$  (начертано е с прекъснатата линия). Стойността на капацитивното съпротивление беше 100  $\Omega$ . От фиг. 6.20 се вижда, че за работната честота в 40-m обхват необходимото капацитивно съпротивление  $X_C$  от 100  $\Omega$  има кондензатор със стойност 225 pF. Този пример също е показан на фиг. 6.20.

За съжаление радиомобилите рядко използват този метод на съгласуване. Той е достатъчно целесъобразен, особено в късовълновия обхват, защото кондензаторът и двете бобини могат лесно да бъдат поставени в херметизирана кутия от пластмаса. Последната се закрепва непосредствено в точката на захранване на излъчвателя. Удобно е кондензаторът да може да изменя стойността си в известни гра-



Фиг. 6.19. Зависимост на индуктивното съпротивление  $X_L$  и на индуктивността на една бобина от честотата



Фиг. 6.20. Зависимост на капацитивното съпротивление  $X_C$  и на капацитета на един кондензатор от честотата

ници (променлив кондензатор или постоянен кондензатор с паралелно свързан въздушен тример-кондензатор); с него може да се направи прецизна настройка за най-малък коефициент на стоящи вълни.

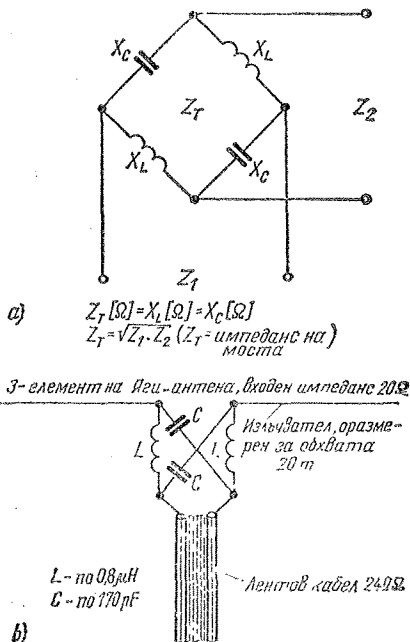
#### 6.7.1. Мост на Boucherot като съгласуващ елемент

Преобразуване на импеданс може да се извърши и чрез комбинация от бобини и кондензатори, свързани в мост на Boucherot. На фигура 6.21 е показана принципната схема на такъв мост, както и един практически пример.

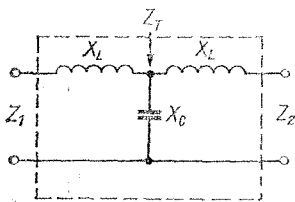
Пресмятането на необходимите стойности на схемните елементи е просто. Първо се определя нужният импеданс на моста  $Z_T$ . Той се изчислява по формулата

$$Z_T = \sqrt{Z_1 Z_2}.$$

Тъй като  $Z_T = X_L = X_C$ , импедансът  $Z_T$  едновременно представлява и стойността на индуктивното съпротивление  $X_L$  и на капацитивното съпротивление  $X_C$ . След това необходимата



Фиг. 6.21. Съгласуване чрез мост на Boucherot: а — принципна схема, б — практически пример



Фиг. 6.22. Трансформиращо звено на Seefried

стойност на  $X_L$  в  $\mu\text{H}$  за работната честота може да се отчете от фиг. 6.19.  $X_C$  в  $\text{pF}$  в зависимост от честотата се определя по фиг. 6.20.

### Пример

Една 3-елементна Яги-антена за 20-m обхват има входно съпротивление  $Z_1$  от 20  $\Omega$ . Тя трябва да бъде захранена с един лентов кабел със съпротивление  $Z_2=240 \Omega$ . Импедансът на моста възлиза на

$$Z_T = \sqrt{20 \cdot 240} = \sqrt{4800} \approx 70 \Omega.$$

Тъй като  $Z_T = X_L = X_C$ , индуктивното съпротивление на всяка от бобините  $X_L$  е 70  $\Omega$ , също както и капацитивното съпротивление  $X_C$  на всеки кондензатор. От фиг. 6.19 се вижда, че за  $X_L = 70 \Omega$  в 20-m обхват индуктивността възлиза точно на 0,8  $\mu\text{H}$ ; От фиг. 6.20 за  $X_C = 70 \Omega$  се отчита капацитет от 170  $\text{pF}$ .

### 6.7.2. Трансформиращ елемент, предложен от Seefried

Една друга схема за съгласуване с концентрирани елементи е трансформиращото звено, предложено от Seefried. То може да се приложи навсякъде, където един несиметричен захранващ кабел трябва да се съгласува към несиметрична антена (напр. четвъртвълнов прът, граунд плейн и др.). Схемата на звеното, съставено от две еднакви бобини и един кондензатор, е показана на фиг. 6.22. Необходимият импеданс на трансформиращото звено  $Z_T$  се пресмята по вече известната формула

$$Z_T = \sqrt{Z_1 Z_2}.$$

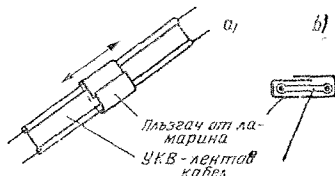
Получената стойност за  $Z_T$  представлява едновременно и индуктивното съпротивление на  $X_L$ , и капацитивното съпротивление на  $X_C$ . Индуктивността на двете бобини  $X_L$  в  $\mu\text{H}$  и капацитетът на  $X_C$  в  $\text{pF}$  в зависимост от дължината на работната вълна се отчитат от фиг. 6.19 и 6.20.

Практически пример за изчисляване и използване на трансформиращо звено, предложено от Seefried, е описан в раздел 19.4.1. Трябва да се внимава за това, двете бобини да имат възможно най-малка взаимна връзка. Препоръчва се конструкция, подобна на показаната на фиг. 19.11.

## 6.8. Спомагателни методи за съгласуване на антени

За радиолюбителя, който при липса на подходящи измерителни уреди може да съгласува само приблизително точно антената си към входа на приемника, по-долу е описано как може да бъде коригирано съгласуването и да бъдат компенсирани реактивните съпротивления чрез спомагателни средства.

Известен е капацитивният плъзгач, който се закрепва на подходящо място върху лентовия кабел за УКВ. Както се вижда от фиг. 6.23, плъзгачът се състои от метална лента, поставена около кабела така, че краищата ѝ се припокриват, но не се докосват. Широчината на металната лента може да възлиза на 2 до 4 см за честотния обхват от 100 до 250 MHz. В обхвата от 30 до 100 MHz широчината се увеличава на 5 до 10 см. Този плъзгач се премества върху лентовия кабел, докато се намери положение, при което приемането е най-добро, съответно телевизионното изображение е с най-голям контраст.

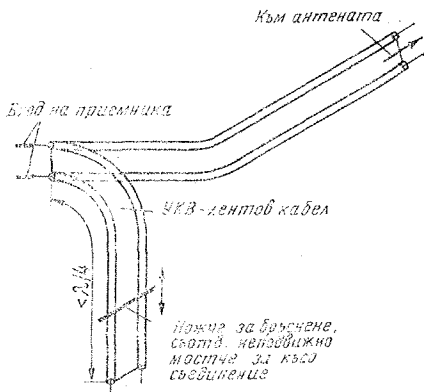


Фиг. 6.23. Спомагателно съгласуване чрез капацитивен плъзгач

На това място илзгачът се закрепва по подходящ начин. Захранващият кабел може да се остави малко по-дълъг, отколкото е необходимо, и след това кабелът да се скъсява сантиметър по сантиметър откъм приемника, докато се получи най-добър сигнал, съотв. — най-добро телевизионно изображение.

Друг начин за коригиране на съгласуването на захранващия кабел се състои в това, към входа на приемника да се включи един спомагателен съгласуващ шлейф, както е показано на фиг. 6.24. Изрязва се едно парче от лентов кабел; неговата дължина трябва да е малко по-голяма от  $\lambda/4$ . Долният край на отрязъка остава свободен. След това двата проводника на лентовия кабел се дават накъсо на различни места с острието на бръснарско ножче, докато се намери мястото на късо съединение, при което приемането е най-добро. Там се запоява постоянно мостче.

Всички споменати спомагателни корекции, правени на входа на приемника, трябва да се разглеждат като мерки, прилагани в краен случай. Те не могат да заменят едно технически безупречно извършено съгласуване в точките на захранване на антената, защото стоящите вълни по захранващия кабел не могат да се отстранят чрез описаните спомагателни средства за съгласуване, включени към входа на приемника. Чрез тях се постига единствено това, захранващият кабел да действа като



Фиг. 6.24. Спомагателен съгласуващ шлейф, включен към входа на телевизионния приемник

настроена линия (вж. раздел 5.3.2.).

Неправилното прокарване на кабела може да предизвика поява на стоящи вълни и по една сама за себе си правилно съгласувана двупроводна линия. Това може да стане например в случай, когато кабелът лежи върху други проводници (олуци и др.) или преминава успоредно и на малко разстояние от тях. Чрез това на тези места се намалява вълновото съпротивление на захранващата линия и възникват стоящи вълни. В такива често срещани случаи описаните спомагателни мерки могат да имат успех, без обаче с това да се отстранява коренът на злото.

## 7. Симетриращи елементи

Почти всички използвани УКВ-антени и една голяма част от късовълновите излъчватели представляват симетрични устройства. Ако на някое място в антенния блок симетрията се наруши, възникват загуби. Лентовите кабели за УКВ, екранираните двупроводни линии и всички саморъчно направени двупроводни линии са симетрични и за това са пригодени за захранване на симетрични антени.

В много случаи обаче е целесъобразно за захранване да се използва несиметричен коаксиален кабел, тъй като той, както беше обяснено в раздел 5.1.3., има многобройни предимства.

Ако една симетрична антена се захранва чрез коаксиален кабел, дори когато входното съпротивление на антената съвпада с вълновото съпротивление на кабела, антената се натоварва несиметрично от кабела. Като последица от това в обвивката на кабела възникват компенсационни токове (т. нар. повърхностни вълни); те предизвикват загубно излъчване. Неравномерното възбуждане на антената предизвиква освен това деформация на характеристиката на насочено действие

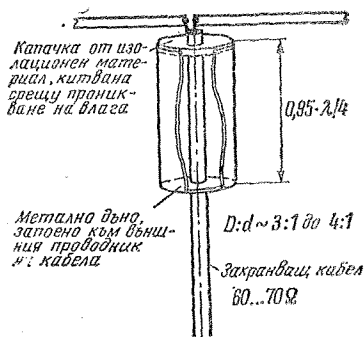
на антената, т. е. антената „гледа на криво“. Други непредвидени ефекти на изменение на насоченото действие и на затихване на сигнала могат да възникнат и от интерференцията на излъчените от кабела повърхностни вълни с вълните, излъчвани от антената.

При захранването на симетрични антени също не бива да се отказваме от предимствата на коаксиалните кабели, защото съществуват няколко възможности свързването на кабела към точките на захранване на антената да се извърши симетрично спрямо земя. Съоръженията с такова предназначение са известни под общото название *симетриращи елементи* или *симетриращи преобразуватели*.

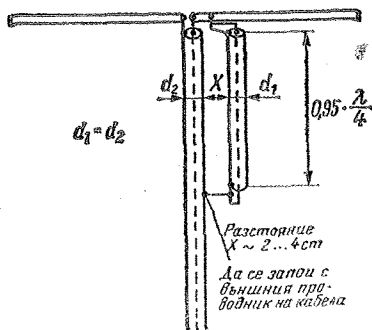
### 7.1. Четвъртвълнов симетриращ трансформатор

Класически симетриращ елемент е *четвъртвълновият симетриращ трансформатор*. Неговото оформление е показано на фиг. 7.1.

Приложението на четвъртвълновия симетриращ трансформатор с показаното изпълнение е ограничено само в обхвата на УКВ и дециметровите вълни. Съображенията за това са от механическо естество. Дължината на металната външна тръба е  $0,95 \cdot \lambda/4$ . Диаметърът не е особено критичен и е обикновено между 25 и 40 mm, когато се използват обикновените продавани коаксиални кабели (отношението на диаметрите на външната тръба и коаксиалния кабел е около 3:1 до 4:1). Дъното на симетриращия трансформатор се пробива, за да мине оттам захранващият кабел. Пластмасовата защитна обвивка на кабела се сваля на разстояние  $\lambda/4$  от точките на захранване на антената. Така оголеният външен проводник се запоява при мястото на влизането в обемния резонатор. Отворът



Фиг. 7.1. Четвъртвълнов симетриращ трансформатор



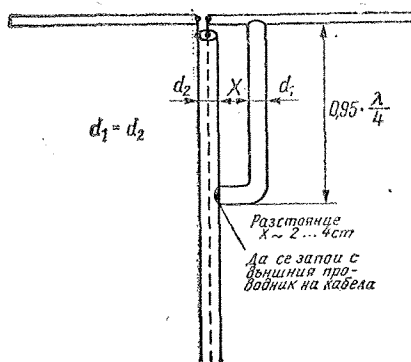
Фиг. 7.2. Симетриращ елемент на Pawsey

на обемния резонатор, който се намира откъм антената, се затваря с капачка от изолационен материал, която в центъра си е пробита и през отвора минава захранващият кабел. Капачката на резонатора трябва добре да защитава вътрешността му от дъждовната вода. Не бива да се правят икономии на подходящите за целта уплътняващи средства. Остатъци от тропикул, разтворени в хлороформ, дават достатъчно добър уплътняващ кит. В дъното на резонатора трябва да се предвиди един малък отвор за оттичане на водата.

## 7.2. Симетриращ елемент на Pawsey

Особено прост и приложим също така и в късовълновия обхват е симетриращият елемент на Pawsey (фиг. 7.2). За направата на този симетриращ елемент е достатъчно едно парче коаксиален кабел с какво да е вънново съпротивление и дължина  $0.95 \cdot \lambda/4$ . Тъй като вътрешният проводник на кабела не е нужен, може да се използва даже кабел, който е намокрен с вода и поради това е негоден.

Значение има единствено външният проводник на кабела, чийто диаметър трябва да е еднакъв с този на захранващия кабел. Парчето от кабела с дължина  $\lambda/4$  в долния си край има металческа връзка с външния проводник на захранващия кабел. Разстоянието  $X$  не е критично и може да бъде от 2 до 4 cm.

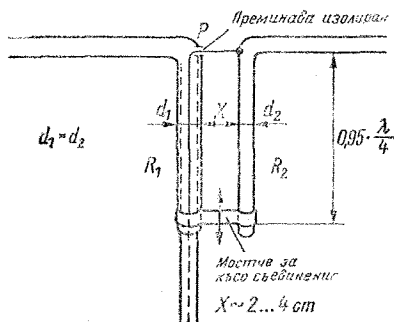


Фиг. 7.3. Равност на симетриращия елемент на Pawsey

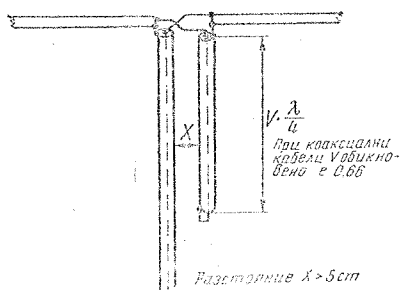
Парчето от кабел с дължина  $\lambda/4$  може да бъде заменено също и с толкова дълга тръба или друг кръгъл материал, като принципът и резултатите на действието му се запазват. Външният диаметър на четвъртвълновия отрязък трябва да съответствува на диаметъра на външния проводник на коаксиалния кабел. Това е показано на фиг. 7.3.

## 7.3. ЕМИ-шлейф

Когато се разглежда показанието на фиг. 7.4 ЕМИ-шлейф, внимателният читател веднага ще забележи, че тук става дума за един нормален симетриращ елемент на Pawsey. При ЕМИ-шлейфа единствено е обърнато особено внимание на механичната конструк-



Фиг. 7.4. ЕМИ-шлейф



Фиг. 7.5. Четвъртъков симетриращ „стъб“

ция (EMI — название на английска фирма).

Част от захранващия коаксиален кабел с дължина, малко по-голяма от  $\lambda/4$ , се освобождава от изолиращата външна защитна обвивка и се напъхва в лявата тръба  $R_1$ . Външният проводник на захранващия кабел получава по този начин металически контакт с тръбата  $R_1$ . Вътрешният проводник на кабела не бива да има връзка нито с външната тръба, нито с тръбата  $R_1$ . В точка  $P$  той се извежда навън изолиран и се запоява със срещуположната тръба  $R_2$ . Мостовите за късо съединение в долния край на EMI-шлейфа обикновено се правят подвижни, за да се осигури точна настройка. С тези променливи плъзгачи могат да бъдат компенсирани до известна степен и реактивните компоненти на входното съпротивление на антената.

#### 7.4. Симетриращо парче (stub)

Едно много просто симетриращо устройство, което би могло да се направи и в късовълновия обхват, е показано на фиг. 7.5.

То представлява едно парче от коаксиален кабел с електрическа дължина  $\lambda/4$ , което в долния си край е свързано на късо (вътрешният проводник е запоен за външния). Трябва да се вземе пред вид коефициентът на съксяване; за обикновено продаваните коаксиални кабели той възлиза средно на 0,66. За да се получи геометричната дължина, трябва следователно да се умножи  $\lambda/4$  с коефициента 0,66. Разстоянието между захранващия кабел и отрязъка с дъл-

жина  $\lambda/4$  би трябвало да възлиза най-малко на 5 см. В точките на захранване на антената захранващият кабел и симетриращото парче се свързват паралелно на кръст (вж. фиг. 7.5).

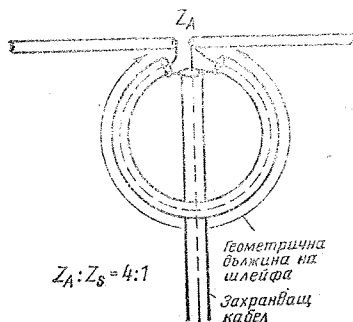
Това симетриращо устройство е подходящо за късовълновия обхват; за III, IV и V телевизионен обхват то не се препоръчва.

Симетриращите елементи от описания досега вид не променят съотношенията на съпротивления в точките на захранване на антената. Частично те са известни под името „базука“.

#### 7.5. Полувъълнова симетрираща линия

Полувълновата симетрираща линия (фиг. 7.6) е симетриращо устройство, което притежава допълнително и свойства на трансформиращ елемент.

Полувълновата симетрираща линия представлява U-образно коляно от коаксиален кабел с електрическа дължина  $\lambda/2$ . За да се получи геометричната му дължина, трябва  $\lambda/2$  да се умножи с коефициента на съксяване на използвания коаксиален кабел. За простота полувълновата симетрираща линия може да се направи от същия тип кабел, какъвто е използван за захранване на антената. Тъй като в този случай става дума за една настроена линия, при която преобразуването на съпротивлението не зависи от вълновото съпротивление на линията, последното получава второстепенно значение. Поради това за направата на полувълновата симет-



Фиг. 7.6. Полувъълновата симетрираща линия като трансформационно звено



рираща линия може да бъде използван какъв да е вид коаксиален кабел.

Както се вижда от фиг. 7.6, външният проводник на захранващия кабел се свързва с външния проводник на симетриращата линия. Между външните проводници на двата кабела и излъчвателя не е необходимо да има електрическа връзка. Свързването на вътрешните проводници на кабелите с антената също се вижда от фиг. 7.6.

Отношението на трансформация на полувълновата симетрираща линия възлиза на 1 : 4. Следователно един коаксиален кабел с вълново съпротивление  $Z_s = 60 \Omega$  може да бъде свързан симетрично спрямо земя и с правилно съгласуване към една антена с входно съпротивление  $240 \Omega$ , като се използва полувълнова симетрираща линия. Същата линия може да се използва и при съотношение на импедансите  $50/200 \Omega$  или  $70/280 \Omega$ , съотв.  $75/300 \Omega$ , без да е необходимо да се изменя нещо по линията.

Една такава симетрираща линия се нарича също балун-трансформатор или съкратено — *балун*. Това название произлиза от съкращението на английските думи *balanced — unbalanced*. Относителната ширина на честотната лента  $b$  възлиза на около 0,3 и затова е подходяща във всички практически приложения в любителската радиотехника.

Кръговата форма на симетриращата линия не е задължителна. В съответствие с изискванията U-коляното може да бъде намотано в повече навивки или да бъде изпълнено в каква да е друга форма.

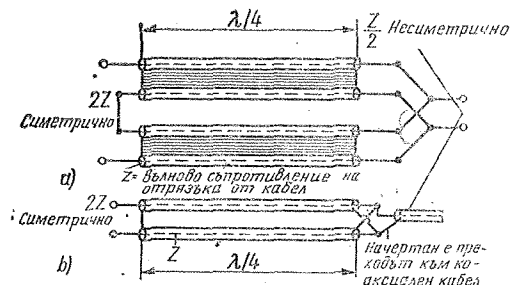
Индустриално произвежданите антени за обхвата на метровите и децимет-

ровите вълни имат почти винаги симетричен вход със съпротивление  $240 \Omega$ . Тези антени могат да бъдат захранвани или направо чрез симетричен лентов кабел, или трябва да се съгласуват симетрично спрямо земя към един 60-омов коаксиален кабел, като се използват полувълнови симетриращи линии.

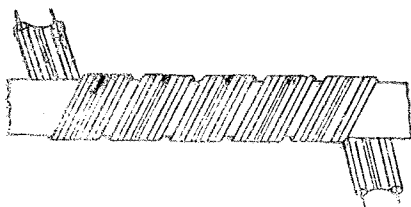
## 7.6. Балун-трансформатори

Когато два еднакво дълги и еднакви по вид отрязъка от кабел се свържат в единия си край паралелно, а в противоположния край — последователно, то също както и при полувълновата симетрираща линия се извършва трансформация на съпротивлението, свързано със симетриране. При тези балун-трансформатори (фиг. 7.7) вълновото съпротивление на паралелно свързания край е равно на половината стойност от импеданса на всеки от отрязъците ( $Z/2$ ) и е несиметрично. Противоположният, последователно свързан край на кабела е симетричен и има импеданс, който съответствува на двойното вълново съпротивление ( $2Z$ ) на използвания кабел. Свързаното с преобразуване на симетрията отношение на трансформация на съпротивлението възлиза на 1 : 4.

Дължината на двата отрязъка от кабела е по  $\lambda/4$ . На фиг. 7.7 са показани такива балун-трансформатори за коаксиален кабел и за УКВ лентов кабел. Някои изглеждащи трудни задачи за съгласуване често се решават лесно и целесъобразно с разумно прилагане на балун-трансформатори.



Фиг. 7.7. Балун-трансформатор: а — за лентов кабел, б — за коаксиален кабел

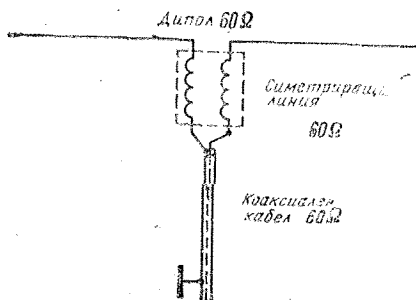


Фиг. 7.8. Лентов кабел, навит на бобина

## 7.7. Навита двупроводна линия като преобразувател на симетрията

Една навита двупроводна линия със съответния брой намотки има следните свойства в един много широк честотен обхват: тя действа за несиметричните токове като дросел, докато симетричните токове отслабват незабележимо. Поради това навитата двупроводна линия представлява един почти честотно независим преобразувател на симетрията. Тя се прави просто и в малък обем, като се навие като бобина едно парче от УКВ лентов кабел с подходящо вълново съпротивление (фиг. 7.8). Дължината на навитата двупроводна линия не е критична; като оптимум тя възлиза на около  $\lambda/4$  и може да се колебае между  $1/10 \lambda$  и  $3/8 \lambda$ . Включването на такава симетрираща линия към дипол е показано на фиг. 7.9. В показаната форма навитата двупроводна линия не трансформира импедансите и затова вълновото ѝ съпротивление трябва да бъде равно на товарното съпротивление.

Възможностите за приложение на



Фиг. 7.9. Навита двупроводна линия, използвана като симетриращо звено

този апериодичен преобразувател на симетрията са разнообразни. Така например един симетричен дипол с входно съпротивление  $60 \Omega$  може да бъде захранен с несиметричен коаксиален кабел с вълново съпротивление  $60 \Omega$ , като съгласно фиг. 7.9 между точките на захранване на антената и захранващия кабел се включи навита двупроводна линия с вълново съпротивление  $60 \Omega$ . Също така към едно несиметрично стъпало или към един „Г“-образен Колинс-филтър може да се включи симетрична двупроводна захранваща линия, като се използва междинно включване на навита двупроводна линия.

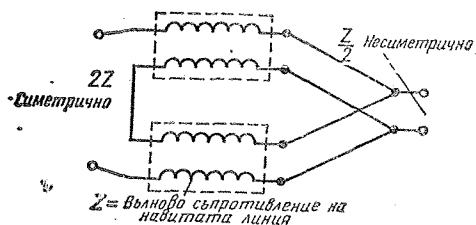
### 7.7.1. Навити двупроводни линии като преобразуватели на симетрията и импеданса

Ако две навити двупроводни линии се използват в същото последователно-паралелно свързване като балун-трансформатора, тази конфигурация има и същите електрически свойства: трансформация на съпротивлението с отношение  $4:1$  и преход от симетрично към несиметрично, съответно обратното. Освен това такава балун-бобина се отличава с много голям честотен обхват и незначителен обем (фиг. 7.10). В сила е същото правило, както при балун-трансформатора.

Вълновото съпротивление  $Z$  на намотаната линия се появява несиметрично като  $Z/2$  в паралелно свързания край, а в последователно свързания край — симетрично, като  $2Z$ .

С помощта на такава конструкция може например един шлейфвибратор с входно съпротивление  $240 \Omega$  да бъде свързан към коаксиален захранващ кабел с вълново съпротивление  $60 \Omega$ , като при това се осъществи и правилно съгласуване (фиг. 7.11). Вълновото съпротивление на балун-бобините в този случай трябва да възлиза на  $120 \Omega$  ( $Z/2 = 60 \Omega$ ,  $2Z = 240 \Omega$ ).

Саморъчното производство на такава балун-бобина не е свързано със затруднения, особено при използване на симетричен кабел с вълново съпротивление  $120 \Omega$  (тип 120 В1-1). Това може да бъде препоръчано за приложение в късовълновия обхват. Обаче използването на балун-бобини заедно с антени за метрови или децимет-



Фиг. 7.10. Балун-бобина като средство за съгласуване и симетриране

рови вълни е по-просто и в крайна сметка — по-евтино, ако радиолюбителите си служат с индустриално произвежданите преобразуватели на симетрията и импеданса. Те се доставят в различно изпълнение както за монтиране на антенната мачта, така и за директно включване към приемника. По своята конструкция те съответствуват на схемата на фиг. 7.11 и имат честотна лента от 40 до приблизително 800 MHz. В този честотен обхват съществува максимален коефициент на стоящи вълни  $s$  от 1,35 при средно затихване 0,15 dB. Този практичен преобразувател беше разработен, за да може правилно да се съгласуват симетрични антени с нормирано входно съпротивление 240  $\Omega$  към коаксиални кабели с вълново съпротивление 60  $\Omega$  (Производител: VEB Antennenwerk Blankenburg).

Навитите двупроводни линии от този вид се наричат също така и трансформатори на Гундела (по името на техния откривател).

## 7.8. Коаксиален двоен дросел като преобразувател на симетрията

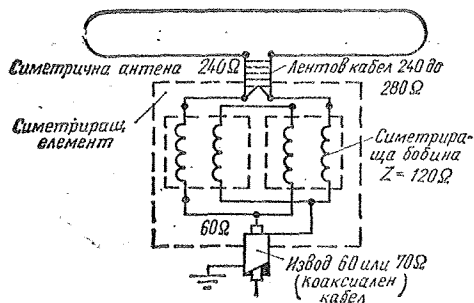
Радиолюбителите също отдавна се стремят по възможност да захранват антените си чрез коаксиален кабел,

защото той има много предимства по отношение на полагането и на устойчивостта на атмосферни въздействия. Освен това захранването чрез коаксиален кабел дава максимална сигурност по отношение на смущенията на радио- и телевизионното приемане. Коаксиалните кабели имат несиметрична конструкция, а повечето любителски антени се захранват симетрично. Ако една симетрична антена се захранва чрез коаксиален кабел без междинно включване на симетриращи устройства, то, както вече беше казано, в обвивката на кабела се появява загубно излъчване (повърхностна вълна).

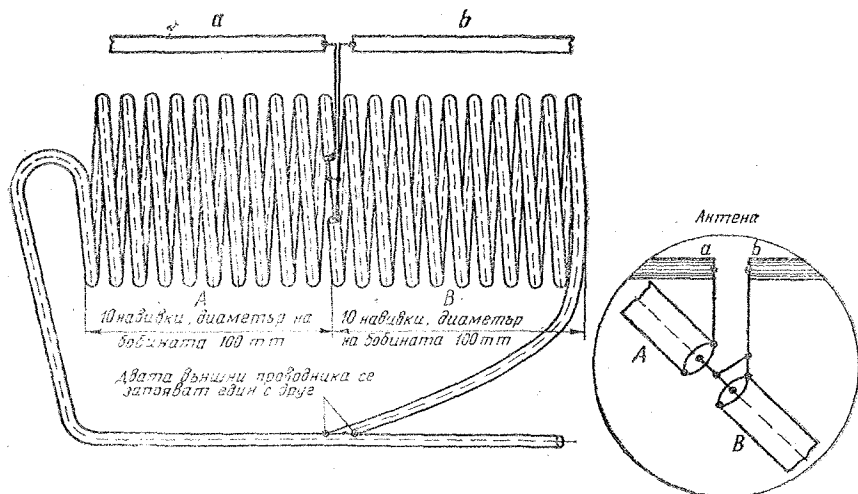
Повърхностните вълни влияят особено силно и поглъщат най-много енергия, ако дължината назах ранващия кабел случайно се намира в резонанс с използваната честота.

Ако една симетрична антена за един обхват трябва да се захрани с коаксиален кабел, може да се използва някой от описаните по-горе симетриращи елементи или пък чрез гама- или омега-съгласуване се постига едновременно и симетриране (вж. раздели 6.3. и 6.4.).

Тези методи за съжаление не могат да се използват при многодиапазонните антени в късовълновия обхват, защото обикновените симетриращи елементи са честотно зависими.



Фиг. 7.11. Практически пример за използване на балун-бобина



Фиг. 7.12. Двоен коаксиален дросел

За подтискане на повърхностните вълни, които предизвикват големи загуби, често се препоръчва между точките на захранване на антената и външната обвивка на коаксиалния кабел да се вмъкне намотка на дросел. По най-примитивен начин това става, като просто една част от захранващия кабел се навие на връзка до точките на захранване на антената. Тази мярка обаче има незначително въздействие. Малко по-благоприятно е да се навие краят на коаксиалния кабел откъм антената в една добре оформена бобина с 10 до 12 навивки, диаметър на бобината 120 mm и без разстояние между навивките. С това се намалява разбалансирането в любителските обхвати 10, 15 и 20 m и макар че резултатите са малко по-добри, все пак това е едно много несъвършено спомагателно средство.

Двойният коаксиален дросел е преобразувател на симетрия за многодиапазонните късовълнови антени, който има по-добро действие и по-съвършена електрическа схема (фиг. 7.12). За този дросел са необходими около 8 m коаксиален кабел повече, отколкото при директно свързване. Захранващият коаксиален кабел не се отрязва, защото на около 8 m от края (откъм антената) той преминава направо в двойния дросел. След 10 навивки на

един участък с дължина от 3 до 5 cm се отстраняват външният проводник на кабела и диелектриктът, без при това да се уврежда вътрешният проводник. На това място по-късно се закрепват клемите на антената по начин, показан на допълнителната фигура. След това по същия начин се навиват следващите 10 навивки (B). Оставащата кабелна опашка се свързва на края на късо (свързват се вътрешният и външният проводник) и се запоява към външния проводник на захранващия кабел. При това тази точка на свързване трябва да бъде избрана така, че дължината на кабела от края на намотката B до нея да е равна на дължината на кабела от точката на свързване до началото на бобината A.

Тази конструкция е широколентова и може да се използва за трите височестотни любителски късовълнови обхвати. С този симетричен двоен дросел до голяма степен се отстраняват загубите, предизвикани от повърхностни вълни. Допълнителните загуби на мощност възлизат най-много на 0,5 dB и изобщо нямат значение поради постигнатото подобрене на коефициента на полезно действие на антената. По-големи подробности и видоизменени форми са дадени в специалната литература.

## 8. Свързване на захранващия кабел към крайното стъпало на предавателя

За да се постигне възможно най-голямо предаване на мощност от крайното стъпало на предавателя през захранващата линия към излъчвателя, трябва да се спазят две основни изисквания:

— консуматорът (антената) трябва да представлява за генератора (изходния кръг на предавателя) чисто активно съпротивление без капацитивни или индуктивни реактивни компоненти;

— импедансът на консуматора трябва да бъде съгласуван с импеданса на генератора.

Първото условие е изпълнено винаги когато резонансната честота на излъчвателя (консуматора) е равна на резонансната честота на изходния кръг на предавателя (генератора). Тъй като в повечето случаи между същинския излъчвател и генератора се включва линия за пренасяне на енергията (захранващ кабел), последната трябва да бъде направена така, че да не нарушава резонансните отношения между генератора и консуматора.

Това изискване се смята за изпълнено, ако в края на една настроена захранваща линия откъм предавателя съществува максимум на тока (връзка по ток) или максимум на напрежение (връзка по напрежение), което означава, че захранващата линия и антената като цяло са в резонанс. Една съгласувана захранваща линия отговаря на условието, когато по нея не възникват стоящи вълни.

Импедансът на изходния кръг на предавателя обикновено има стойност от порядъка на няколко хиляди ома, докато импедансът на една настроена захранваща линия може да бъде или голям (връзка по напрежение), или малък (връзка по ток).

Вълновото съпротивление на една ненастроена захранваща линия при работа в любителски условия се движи

винаги между 50 и 600  $\Omega$ . Съгласуването на захранващия кабел към импеданса в точката на захранване на излъчвателя беше разглеждано подробно в раздел 5. Затова при по-нататъшните разглеждания може да се приеме, че съгласно изискване а) консуматорът (антената) представлява чисто активен товар за анодния кръг на крайното стъпало. По-нататък трябва това активно съпротивление да се съгласува правилно към импеданса на генератора, един процес, който по принцип се равнява на съгласуването на един високоговорител или слушалка (консуматор) към изходното съпротивление на един нискофестотен усилвател (генератор).

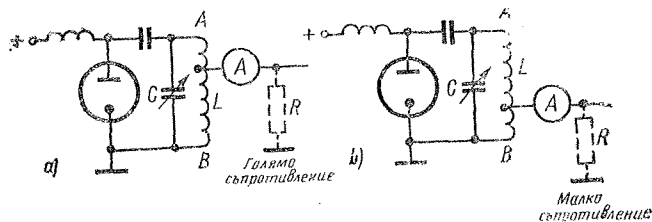
Най-простият начин на такова съгласуване на съпротивленията е показан на фиг.8.1. При това трябва предварително да се каже, че той не се препоръчва за практиката, а служи само за поясняване на принципа. Всяка крайна лампа трябва да бъде натоварена с определен импеданс  $Z_R$ , за да отдаде максимална мощност. Този импеданс се получава от каталога за лампата или се изчислява от отношението на анодното напрежение  $U_A$  към анодния ток  $I_A$ . За обикновено срещания при предавателите режим клас С с достатъчна точност важи формулата

$$Z_R = \frac{U_A}{I_{A,2.5}} \text{ за еднотактни стъпала} \quad (8.1)$$

и

$$Z_R = \frac{U_A}{I_{A,1.25}} \text{ за противотактни стъпала.} \quad (8.2)$$

Ако един определен импеданс  $Z_R$  трябва да бъде съгласуван към импеданса на анода  $Z_R$ , необходимият за



Фиг. 8.1. Най-прост начин за свързване на антената; а — съпротивлението на консуматора е високо (антена с връзка по напрежение), б — съпротивлението на консуматора (антената) е малко (антени с връзка по ток и ненастроени захранващи линии).

това коефициент на трансформация  $\dot{u}$  се получава от

$$\dot{u} = \sqrt{\frac{Z_R}{Z_E}}. \quad (8.3)$$

В схемата на фигура 8.1  $\dot{u}$  може да се отнесе направо към броя на навивките на бобината в анодния кръг (като  $\frac{n}{\dot{u}}$ ).

#### Пример

При една конструкция като показаната на фиг. 8.1  $Z_R$  възлиза на 6000  $\Omega$ . Трябва да се установи при какъв брой на намотките на бобината на анодния кръг трябва да се направи извод за съгласуване с един импеданс  $Z_E$  от 60  $\Omega$ . Бобината в анодния кръг има 20 навивки.

Коефициентът на трансформация възлиза на

$$\sqrt{\frac{6000}{60}} = \sqrt{100} = 10.$$

Следователно допълнителният извод трябва да се направи при

$$\frac{n}{\dot{u}} = \frac{20}{10} = 2 \text{ нав.}$$

За съгласуване към  $Z_E$  включването трябва да се направи на 2 нав. от „студения“ край (В) на бобината.

Ако съгласуването е оптимално, измерителят на антенния ток А отчита максимум. От големината на антенния ток не винаги обаче може да се направи извод за излъчената мощност, защото

при връзка по ток (максимум на тока) той е много голям, а при връзка по напрежение (максимум на напрежението) така малък, че изобщо често не може да се измери с обикновените ВЧ индикатори на ток.

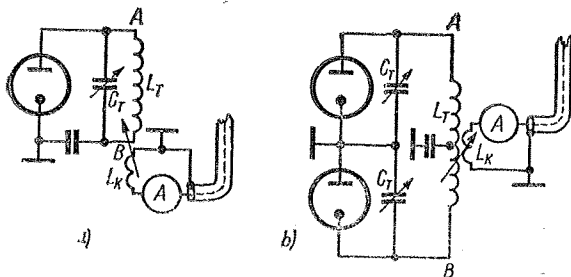
При показаното на фиг. 8.1 свързване на антената всички налични паразитни и хармонични трептения се излъчват заедно с основното. По тази причина прилагането на такава схема се отрича категорично.

Един от най-важните проблеми на любителските връзки е как да се избегнат смущенията на радио- и телевизионното приемане (BCI и TVI). Затова по-нататък ще бъдат обсъждани само такива начини на свързване, които подтискат във възможно най-голяма степен паразитните излъчвания.

По отношение на конструкцията на анодния кръг на предавателя трябва да се спомене още и това, че модерните любителски предаватели винаги разполагат с един несиметричен, нискоомен изход за директно свързване към коаксиален захранващ кабел (външно съпротивление от 50 до 75  $\Omega$ ). Това представлява един вид любителска норма по примера на индустриалните и тя би трябвало да се съблюдава при новите конструкции. Предимствата на тази техника ще бъдат обяснени по-късно.

### 8.1. Свързване на съгласувани захранващи линии към крайното стъпало на предавателя

Модерните антени за работа в един късволнов обхват се възбуждат почти



Фиг. 8.2  
Свързване на коаксиален кабел: а — към еднотактна крайни стъпала, б — към противотактно крайно стъпало

винаги, а УКВ антените — изключително чрез съгласувани захранващи линии. Те предлагат най-сигурната защита срещу появяването на неприятни смущения на радио- и телевизионното приемане. При захранването на УКВ антени изборът е ограничен на два вида кабели: коаксиални кабели с вълново съпротивление между 50 и 75  $\Omega$  и УКВ лентов кабел с вълново съпротивление от 240 до 300  $\Omega$ . В късовълновия обхват освен коаксиалния кабел намира приложение и съгласуваната, открита двупроводна линия с вълново съпротивление от около 300 до 600  $\Omega$ , защото тя има най-малки загуби и едновременно с това е най-евтина.

### 8.1.1. Свързване на коаксиални кабели

Най-простият начин за свързване на коаксиалния кабел към крайното стъпало на предавателя е показан на фиг. 8.2а (за еднотактна схема) и на фиг. 8.2б (за двутактна схема).

При такова свързване качественият фактор  $Q$  на кръга в анодната верига на лампата трябва да бъде поне 10, в противен случай най-често не се отдава получаването на достатъчно стабилна връзка между  $L_K$  и бобината в анодния кръг  $L_T$ . Индуктивното съпротивление на бобината за връзка  $L_K$  за работната честота трябва да бъде равно на вълновото съпротивление на коаксиалния кабел.

За да може да се избере най-благоприятен коефициент на връзка, бобината за връзка  $L_K$  може да променя положението си спрямо  $L_T$ . Свързването се извършва винаги откъм „студения“ край на  $L_T$ . За да има най-малка капацитивна връзка между двете бобини, би трябвало заземяният край на  $L_K$  да се разположи възможно най-

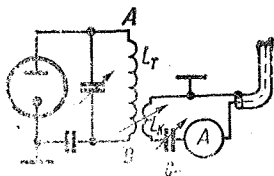
далеч от „горещия“ край А на  $L_T$ . При кръг на противотактно стъпало (фиг. 8.2)  $L_K$  се свързва със средата на бобината в анодния кръг, защото там се намира нулевият потенциал. При това няма значение от коя страна ще бъде разположен заземяният край на  $L_K$ , защото както точка А, така и точка В са „горещи“. Приблизителните стойности за броя на навивките на бобината за връзка  $L_K$  са:

- 80-м обхват — 4 до 5 навивки;
- 40-м обхват и 20-м обхват — 3 навивки;
- 15-м обхват и 10-м обхват — 2 навивки.

Трудностите при свързването се избягват, ако съгласно фиг. 8.3 последователно на  $L_K$  се свърже един променлив кондензатор  $C_K$  и кръгът  $L_K-C_K$  се настрои на работната честота.

Един такъв резонансен кръг повишава допълнително селективността и помага за подтискането на паразитните излъчвания.

Кръгът за връзка най-често има качествен фактор  $Q$  от 2 до 4. Колкото по-малък е  $Q$ , толкова по-силна трябва да е връзката между  $L_T$  и  $L_K$ . При  $Q=2$  връзката най-често е оптимална и кръгът все още е толкова широко-



Фиг. 8.3. Подобрена схема за свързване на коаксиален кабел

Таблица 8.1. Стойности на капацитета за  $Q=2$  при свързващи кръгове

Любителски обхват	Максимален капацитет $C_K$ при вълново съпротивление на захранващия кабел		
	50 $\Omega$	60 $\Omega$	75 $\Omega$
80 m	450 pF	400 pF	300 pF
40 m	230 pF	200 pF	150 pF
20 m	115 pF	100 pF	75 pF
15 m	80 pF	70 pF	50 pF
10 m	60 pF	55 pF	40 pF

леатов, че  $C_K$  не е необходимо да се пренастройва в границите на един любителски обхват. По-големите качествени фактори опростяват свързването в такъв смисъл, че  $L_K$  и  $L_T$  може да са свързани по-слабо, обаче лентата на пропускане на кръга става потясна и настройката на  $C_K$  понякога трябва да се коригира при смяна на честотата в един любителски обхват.

Максималните стойности на  $C_K$ , които се получават за отделните късовълнови обхвати при качествени фактор  $Q=2$  и обикновено използваните вълнови съпротивления на кабелите, са подредени в табл. 8.1.

Необходимите за резонанса индуктивности  $L_K$  трябва да бъдат изчислявани или се снемат от обикновените номограми на трентияния кръг. При практическата настройка на един такъв кръг за връзка при включена захранваща линия отначало връзката между  $L_K$  и  $L_T$  се прави доста слаба, така че при промяна на стойността на  $C_K$  се появява ясно изразено повишаване на анодния ток на крайната лампа.  $C_K$  се оставя в тсва положение на максимален ток, което отговаря приблизително на стойностите, цитирани по-горе. Сега връзката между  $L_K$  и  $L_T$  се увеличава до толкова, че от крайната лампа се сменя цялата анодна входна мощност, без при това да се променя предварително установеното положение на  $C_K$ .

Както е известно, качественият фактор на кръга  $Q$  се подобрява при увеличаване на отношението  $L/C$ . Когато е необходимо това, трябва да се увеличи  $L_K$  и да се намали  $C_K$ .

От електрическа гледна точка е все едно дали променливият кондензатор,

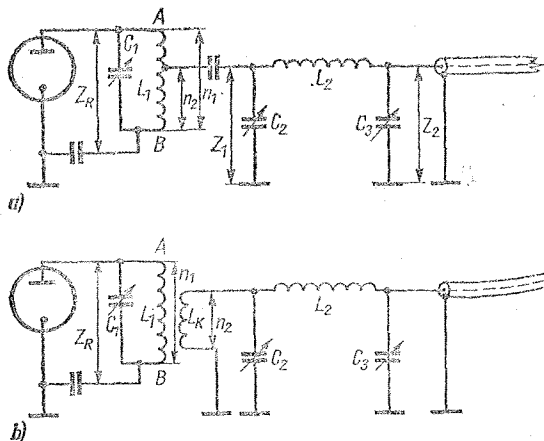
както е показано на фиг. 8.3, се включва между бобината за връзка  $L_K$  и вътрешния проводник на кабела или пък откъм другия край на бобината. Последната възможност се използва, когато роторът на  $C_K$  трябва да е свързан към нулев потенциал. Тъй като появяващите се напрежения са малки, за  $C_K$  може да се използват нормални променливи кондензатори за радиоприемници стига да не се надвишават допустимите за любителски нужди мощности на предавателя.

При някои предаватели анодният кръг на крайната лампа е изграден като П-филтър (Колинс-филтър). В такива случаи един специален кръг за връзка става излишен и коаксиалният кабел може да се свърже направо към изхода на предавателя. Използването на Колинс-филтър като съгласуващ трансформатор позволява особено добро подтискане на висшите хармонични (нископропускащ филтър) и по отношение на избягването на радио- и телевизионните смущения превъзхожда схемата на свързване, показана на фиг. 8.3. В следващия раздел са дадени прости съображения за изчисление на един такъв Колинс-филтър.

#### 8.1.1.1. Изчисление на Колинс-филтър

На фиг. 8.4 е показана схемата на един несиметричен Колинс-филтър, свързан към анодния кръг на предавателя. Импедансът на анода  $Z_R$  трябва да се изчисли по формула (8.1). Ако П-филтърът трябва да бъде свързан изцяло към анодния кръг (в точка А съгл. фиг. 8.4а), входният импеданс





Фиг. 8.4  
Свързване на коаксиален кабел чрез Колинс-филтър: а — капацитивна връзка към анодния кръг на крайното състъпало; б — индуктивна връзка

на филтъра  $Z_1$  трябва да е равен на  $Z_R$ . Обикновено обаче Колинс-филтърът се свързва към извод от бобината в анодния кръг през кондензатор (според фиг. 8.4а) или индуктивно чрез бобина за връзка (фиг. 8.4б). Тогава  $Z_1$  се получава в зависимост от коефициента на трансформация  $\dot{n}$  от формулата

$$Z_1 = \frac{Z_R}{\left(\frac{n_1}{n_2}\right)^2} \quad (8.4)$$

С  $n_1$  и  $n_2$  трябва да се замести броят на съответните навивки на бобините.

Параметрите на кръга на филтъра трябва да отговарят на две противоположни изисквания. От една страна, е желателен голям качествен фактор  $Q$  (голямо отношение  $L/C$ ), а от друга — капацитетите не бива да са твърде малки, защото те трябва да представляват много малко съпротивление за висшите хармонични. На практика оправдават надеждите кръгове с качествен фактор между 10 и 15, обикновено се приема  $Q=12$ .

Първо се изчислява капацитетът  $C_2$ :

$$C_2 = \frac{Q}{\omega Z_1}, \quad (8.5)$$

където  $\omega$  е резонансната честота на кръга  $\omega = 2\pi f = 6,28f$ , а  $f$  е средната честота на лентата на пропускане. Просто за пресмятане и достатъчно точна е приблизителната формула

$$C_2 = \frac{2000}{f Z_1}, \quad (8.6)$$

където  $C_2$  е в pF,  $f$  — в MHz,  $Z_1$  — в kΩ.

От съотношението

$$C_2/C_3 = \sqrt{Z_2/Z_1} \quad (8.7)$$

може след това да бъде изчислена стойността на капацитета  $C_3$ .  $Z_2$  представлява изходният импеданс на филтъра; той е равен на вълновото съпротивление на кабела (най-често 60 Ω).

Остава да се определи още и индуктивността  $L_2$ :

$$L_2 = \frac{Q Z_1 + C_3 Z_1 Z_2}{(Q^2 + 1)} \quad (8.8)$$

Оттук може да се изведе следната приблизителна формула:

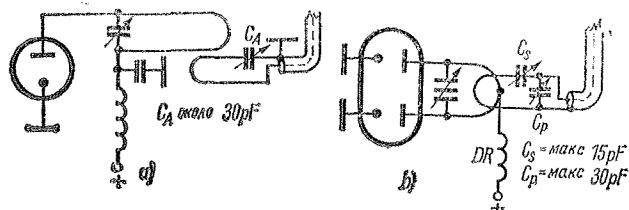
$$L_2 = \frac{13 - Z_1}{f} + \frac{Z_1 C_3 \sqrt{Z_1 Z_2}}{145}, \quad (8.9)$$

където  $L_2$  е в μH,  $Z_1$  — в kΩ,  $C_3$  — в pF и  $f$  — в MHz.

Приблизителните формули важат, когато  $Z_1 \geq 10$ ,  $Z_2$  и  $Q \geq 10$ .

При настройката на един П-филтър може да се използва следното упътване:

Анодният кръг на предавателя се настройва в резонанс с помощта на  $C_1$  при изключен П-филтър (спадане на анодния ток). След това филтърът със свързан към него захранващ кабел,



Фиг. 8.5  
Свързване на коаксиален кабел към крайно стъпало на УКВ предаватели: а — обикновена схема, б — подобрена схема за връзка с противотактни стъпала

съотв. антена, се включва към предавателя.  $C_3$  се поставя в средно положение, а чрез  $C_2$  се извършва настройка по максимален аноден ток. Това се повтаря, като се изменя всеки път положението на ротора на  $C_3$ , дотогава, докато анодният ток достигне максимално възможната стойност. При това положение съществува резонанс и съгласуване. По време на тези настройки анодният кръг на предавателя ( $C_1$ ) не бива да се променя, той остава в първоначалното си състояние на резонанс и се пренастройва само при смяна на работната честота.

#### 8.1.1.2. Свързване на коаксиални кабели към крайни стъпала на УКВ предаватели

УКВ антени, захранвани със съгласуван коаксиален кабел, понякога се свързват по малко по-друг начин към крайното стъпало на предавателя. Няколко примера за това са показани на фиг. 8.5.

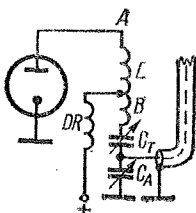
Схемата на фиг. 8.5а е обиквайна и общоприета. Тя съответствува на схемата от фиг. 8.3 и се използва при еднотактни и противотактни стъпала. Същата схема на свързване, прилагана при симетрични анодни кръгове, е показана на фиг. 8.5б. В този случай паралелно на шлейфа за връзка е включен допълнително и променливият кондензатор  $C_P$ . С помощта на  $C_P$  и  $C_3$  могат да бъдат компенсирани появя-

ващите се понякога реактивни компоненти.

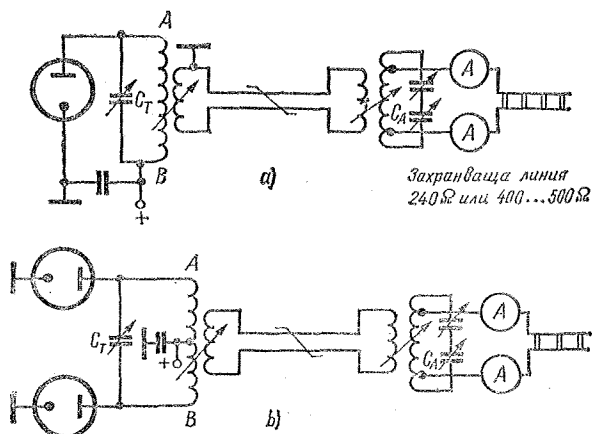
В УКВ-обхвата (145 MHz) ламповият капацитет вече представлява една голяма част от общия капацитет на кръга. Затова при използването на нормалната схема, показана на фиг. 8.5а, често не е възможно да се получи съответното отношение  $L/C$  за кръга в анодната верига на лампата. От друга страна, ламповият капацитет обуславя и намаляването на качествения фактор на кръга в анодната верига и най-често не може да се осъществи достатъчно силна връзка, защото бобината за връзка трябва да се разполага толкова по-близо до тая в анодния кръг, колкото по-малък е качественият фактор на този кръг  $Q$ . При противотактни стъпала тази трудност се среща по-рядко, защото в този случай изходните капацитети на ламповата система са свързани последователно на кръга. Напротив, при еднотактните стъпала изходният капацитет на лампата е свързан паралелно на кръга.

Схемата на фиг. 8.6 предлага големи качествени фактори на кръга и с това — по-добри условия за отвеждане на енергията. Външно тя наподобява последователен резонансен кръг. В действителност обаче това е един паралелен резонансен кръг, при който ламповите капацитети  $C_T$  и  $C_A$  са свързани последователно. Поради това общият кръгов капацитет става много малък, а качественият фактор — голям.

Капацитетите  $C_T$  и  $C_A$  образуват един делител на напрежение, който служи за свързване на коаксиалния кабел при едновременно съгласуване на импедансите. Може лесно да се нагласи такова отношение на капацитетите, при което вълновото съпротивление на кабела да е съгласувано към импеданса на анодния кръг. Това състояние се счита за достигнато, когато протича максимален аноден ток. Тъй като  $C_A$  и  $C_T$



Фиг. 8.6  
Свързване на коаксиален кабел чрез капацитивен делител на напрежение



Фиг. 8.7

Подобрена схема за свързване на ненастроена симетрична двупроводна линия: *a* — към еднотактно крайно стъпало, *b* — към противотактно крайно стъпало

са части от анодния кръг, при промяна на  $C_A$  винаги трябва да се донастрои и  $C_T$ , за да се запази състоянието на резонанс.

### 8.1.2. Свързване на симетрични съгласувани захранващи линии

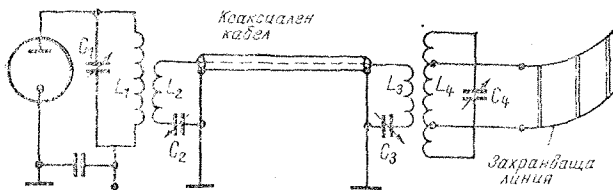
Начинът на свързване на симетрични захранващи линии не зависи от това, дали се използва УКВ лентов кабел с вълново съпротивление от 240 до 300  $\Omega$  или пък открита двупроводна линия с вълново съпротивление от 400 до 600  $\Omega$ .

Такива линии биха могли да бъдат свързани просто индуктивно. Тъй като обаче вълновото съпротивление на кабела (от 240 до 600  $\Omega$ ) вече е доста голямо, бобината за връзка би трябвало да приеме стойности, които съответствуват приблизително на половината на броя на навивките на бобината в анодния кръг. Индукираното в бобината за връзка напрежение има сравнително малка стойност и това предполага трудности при извеждането на достатъчна мощност. Освен това често не е възможно да се поместят големи бобини за връзка в кутията на предавателя.

Тези недостатъци могат да бъдат отстранени, ако захранващият кабел се натовари на края с един настроен междинен кръг, който се свързва към анодния кръг на лампата чрез проводникова линия с малко вълново съпротивление. На фиг. 8.7 са показани подходящи схеми за еднотактни и противотактни крайни стъпала.

При настройката бобините на проводниковата линия се свързват съвсем слабо с кръговите бобини, докато чрез  $C_T$  се извърши настройка в резонанс (спадане на анодния ток). След това изводите на бобината на междинния кръг се поставят в средно положение симетрично спрямо средата на бобината и междинния кръг се настройва в резонанс чрез промяна на  $C_A$  (максимум на анодния ток). Най-често се установява, че сега вече анодния кръг не е настроен в резонанс и затова той трябва да се донастрои в известни граници. След това се променя с малко коефициентът на връзка на бобините на проводниковата линия, при което всеки път трябва да се повтара настройката в резонанс на анодния и междинния кръг. Правилната настройка се познава по това, че промяната на  $C_A$  не измества резонанса на анодния кръг на лампата, а предизвиква единствено спадане на анодния ток от двете страни на резонансното положение. Това означава, че съгласуването на съпротивленията е чисто омическо. Ако такова състояние не може да се получи, трябва процесът на настройка да се повтори като се промени мястото на изводите, на бобината на междинния кръг.

Линията за връзка между двете бобини може да бъде произволно дълга и може да се направи от лентов кабел, обикновен мрежов кабел или най-добре от коаксиален кабел. На фиг. 8.8 е показана една още по-усъвършенствувана схема, при която бобините на проводниковата линия се настройват, а те самите са свързани с коаксиален кабел.



Фиг. 8.8  
Схема за свързване на произволни съгласувани симетрични двупроводни линии

Кръгът за връзка откъм предавателя  $L_2-C_2$  има същите данни, както показаният на фиг. 8.3 настроен кръг за връзка.

Индуктивността  $L_3$  в  $\mu\text{H}$  се получава по формулата:

$$L_3 = \frac{2Z_K}{6,28f} \quad (8.10)$$

където  $Z_K$  е вълновото съпротивление на коаксиалния кабел, свързващ  $L_2$  и  $L_3$ ,  $f$  е честотата в MHz.

Пример

$$f = 14 \text{ MHz}$$

$$Z_K = 60 \Omega$$

$$L_3 = \frac{120}{6,28 \cdot 14} = 138 \mu\text{H}$$

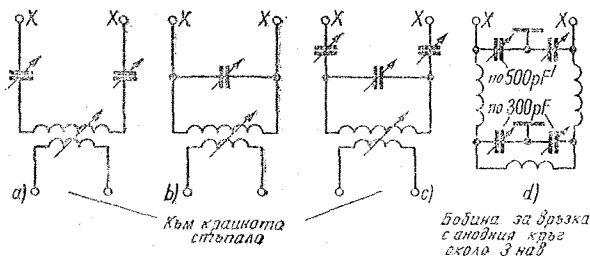
$C_3$  трябва да се избере така, че заедно с  $L_3$  да осигури резонанс за работната честота. Резонансният кръг  $L_4-C_4$  има приблизително същите параметри, както кръгът в анодната верига на лампата. Изводите за симетричната захранваща линия се определят в зависимост от вълновото ѝ съпротивление и мястото им се установява опитно. Най-сигурно това става чрез рефлектометър, който се включва с шлейф към свързващия коаксиален

кабел. Чрез промяна на изводите на  $L_4$  и последователна настройка с  $C_4$  и  $C_3$  се опитва да се получи коефициент на стоящи вълни  $s=1$ . След това с  $C_2$  се извършва настройка на оптималния товар на крайното стъпало.

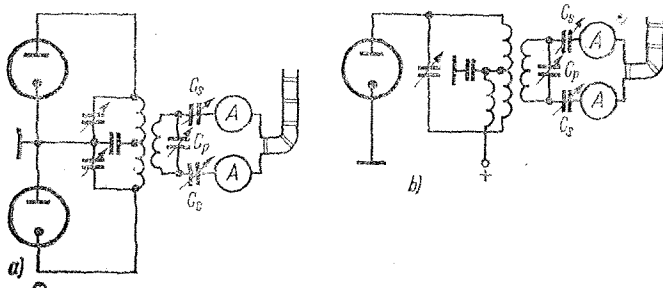
Описаните по-долу схеми на свързване на настроени захранващи линии са подходящи също така и за напасване на съгласувани симетрични линии.

## 8.2. Свързване на настроени захранващи линии към крайното стъпало на предавателя

При свързването на една настроена линия към крайното стъпало на предавателя първо трябва да се установи дали в края на линията има голямо съпротивление (максимум на напрежение) или малко съпротивление (максимум на тока). За свързване по ток се използва последователното захранване, показано на фиг. 8.9a, а при свързване по напрежение — паралелно захранване, показано на фиг. 8.9b. Антените с настроени захранващи линии почти винаги работят като многодиапазонни излъчватели. Затова може да се препоръча да се използва направо универсалното устройство за настройка, показано на фиг. 8.9c. То допуска както свързване по напрежение, така и по



Фиг. 8.9  
Схеми за свързване на настроени захранващи линии към крайното стъпало на предавателя: а — връзка по ток (последователно захранване), б — връзка по напрежение (паралелно захранване), в — универсална връзка (по ток и по напрежение), д — симетричен Коливс-филтър



Фиг. 8.10  
Свързване на на-  
строена захранваща  
линия: а — към про-  
тивотактно крайно  
стъпало, б — към  
еднотактно крайно  
стъпало

ток. Особено подходящ е Колинс-филтърът, който подтиска добре висшите хармонични. Понеже настроените линии, общо взето, са симетрични спрямо земя, П-филтърът също трябва да бъде симетричен (фиг. 8.9d). Тези системи за връзка позволяват да се настрои целият комплекс антена — захранваща линия в резонанс с работната честота, което винаги ще бъде необходимо при многодиапазонните антени.

Настроена линия е симетрична спрямо земя и затова свързването ѝ към едно противотактно стъпало е особено просто, защото то също представлява една конструкция, симетрична спрямо земя. Този случай е показан на фиг. 8.10a.

Ако трябва да се свърже една симетрична линия към еднотактно стъпало, анодният кръг на лампата трябва да бъде изпълнен симетрично спрямо земя, както е показано на фиг. 8.10b, като високочестотният нулев потенциал се пренесе в средата на бобината. В това място се подава анодното напрежение. Тъй като в тази точка е свързан кондензатор към земя, тук вече се намира „студеният“ потенциал, а двата края на бобината са „горещи“. С това еднотактният аноден кръг става симетричен спрямо земя, при което все пак трябва да се внимава за това, че роторът на настройващия променлив кондензатор също има високочестотен потенциал. Затова като че ли е по-удобно да се постави един двоен променлив кондензатор, чиито ротори могат да бъдат заземени заедно, а всеки от статоротите е свързан с по един от краищата на бобината.

Индуктивната връзка между бобината в анодния кръг и бобината за връзка трябва да бъде променлива. Поради това често се срещат трудности при

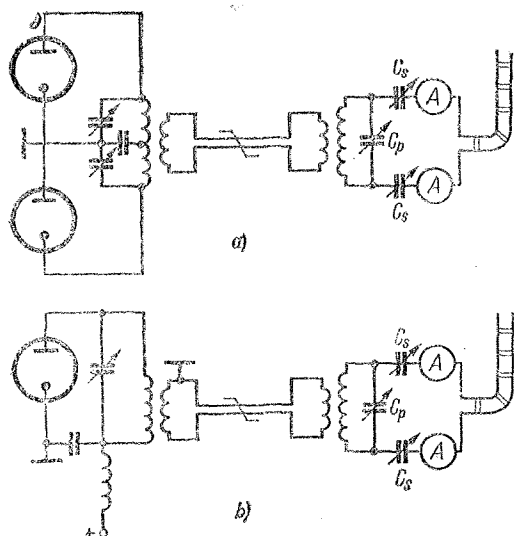
поместването на елементите на крайното стъпало. В много случаи е целесъобразно и по-благоприятно от електрическа гледна точка връзката с антената да се раздели пространствено от крайното стъпало и свързването да се извърши посредством проводникова линия с малко вълново съпротивление (фиг. 8.11).

Линията с малко вълново съпротивление може да се направи от усукан двужилен гъвкав многожичен проводник с възможно най-голям диаметър на проводниците, от мрежов шнур, от УКВ-лентов кабел или най-добре от коаксиален кабел. Тя може да бъде произволно дълга и на двата края завършва с бобини за връзка. Необходимият брой на навивките на тези бобини се определя опитно, общо взето 3 нав. са достатъчни. Долната формула се дава за оптимално оразмеряване на бобините за връзка:

$$n_K = \sqrt{\frac{n_t Z_1}{Z_R}}, \quad (8.11)$$

където  $n_K$  е броят на намотките на бобините за връзка,  $n_t$  — брой на намотките на бобината в анодния кръг,  $Z_1$  — вълново съпротивление на проводниковата линия в  $\Omega$ ,  $Z_R$  — импеданс на анодния кръг. За усуканите многожични проводници и мрежовите шнурове може да се замени вълново съпротивление от около 80  $\Omega$ .

С бобините на проводниковата линия за връзка може да се нагласява удобно коефициентът на връзка между анодния кръг и устройството за настройка. Проводниковата линия представлява една съгласувана линия, защото нейното вълново съпротивление е съгласувано с импеданса на устройството за настройка. Затова тя може да бъде



Фиг. 8.11  
Свързване посредством проводни-  
кова линия с малко вълново съпро-  
тивление: *a* — към противотактно  
стъпало, *b* — към еднотактно стъпало

произволно дълга и практически не излъчва енергия. Тази констатация важи особено за случая, когато като линия за връзка се използва коаксиален кабел. Това е случаят, който в раздел 5.3.2. беше означен като смесено захранване: една настроена линия преминава в съгласувана линия и може да се отведе до предавателя в сградата практически, без да излъчва, без да се държи сметка за разстоянието и за полагането на кабела.

Антенното устройство за настройка може да се постави в близост до антенния проходен изолатор или даже извън сградата на леснодостъпно място, като и там се запазват необходимите съоръжения за гръмозащита. Предимствата на едно такова разположение в повечето случаи компенсират неудобствата, причинени при смяна на работната честота от отделеното устройство за настройка. Тъй като съществуващите в настроената линия стоящи вълни са отдалечени от жилищните помещения и техните мрежови инсталации, а съгласуваната проводникова линия за връзка е нискоомна, възможността за ВСИ и TVI е силно намалена.

При разположението, показано на фиг. 8.11, е целесъобразно настройката да се извърши в следната последователност:

*a* — анодният кръг на крайната лампа без антенен товар се настройва в

резонанс, при което за случая се намалява анодното напрежение. Това състояние се запазва по време на целия процес на настройка.

*b* — при връзка по напрежение двата кондензатора  $C_s$  се довеждат до положение, при което стойността на капацитета е максимална, и се оставят така. След това се извършва настройка чрез  $C_p$ , докато двата измерителя на антенния ток  $A$  покажат максимална стойност на тока. Токът на антената при връзка по напрежение е много малък, в дадения случай максимумът на напрежение трябва да се докаже с помощта на глим-лампа, която се държи в близост до кондензаторите  $C_s$ .

Коефициентът на връзка между бобините и настройката на  $C_p$  се изменя дотогава, докато измерителите на ток измерят максимален и едновременно с това равен ток.

При връзка по ток кондензаторът  $C_p$  се поставя в положение на минимална стойност на капацитета. След това неговата стойност не се променя. Чрез двата кондензатора  $C_s$  и чрез промяна на връзката отново се извършва настройка по максимален и равен в двата клона ток. (Да се внимава за измерителните инструменти, защото при връзка по ток протича много голям аноден ток.)

Едва когато действително е достиг-

нат оптимум, може да се опита чрез малко и предпазливо „подтягане“ на настройката на анодния кръг да се постигне по-нататъшно подобрене.

Колинс-филтърът е един почти идеален блок за настройка и се среща при много радиолюбители-късовълновци. Често пъти обаче този антенен филтър принуждава някои спомагателни проводници да излъчват енергия.

Известният П-филтър, за когото вече бяха дадени някои основни сведения в раздел 8.1.1.1., обединява цяла поредица от предимства. Затова той досега не е бил изместен от никоя друга конструкция. Тези предимства са:

*а* — Колинс-филтърът позволява да се настройват в резонанс погрешно оразмерени излъчватели или захранващи линии.

*б* — с Колинс-филтър могат да бъдат съгласувани оптимално към крайното съпало на предавателя практически всички срещани сејиммеданси на излъчвателите или захранващите линии.

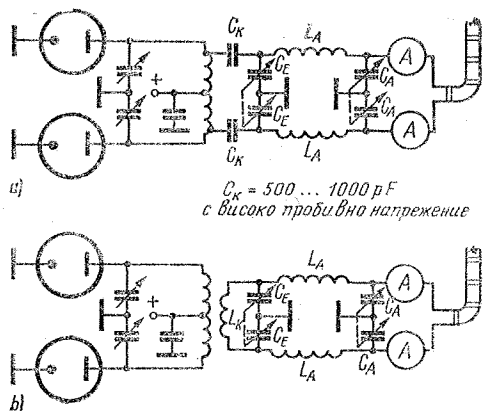
*с* — Колинс-филтърът действа като нископропускащ филтър, т. е. той пропуска само работната честота и всички по-ниски от нея („по-бавни“) честоти. С това се затваря пътят към антената на всички честоти, по-високи от работната честота. Така се осъществява едно ефикасно подтискане на висшите хармонични, което е от полза при отстраняване на радиотелевизионните смущения.

Все пак от един Колинс-филтър не трябва да се очакват чудеса. Ако още в схемата и при построяването на пре-

давателя не е направено всичко, за да се подтиснат нежеланите висши хармонични, от един подобен антенен филтър не може да се очаква да отфилтрира висшите хармонични до такава степен, каквато изискват все по-чувствителните телевизионни приемници с техните насочени антени. Използването на Колинс-филтър е една от мерките, необходими за подтискане на висшите хармонични.

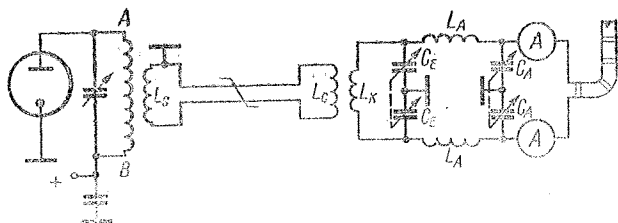
При антените с настроени захранващи линии могат да се използват само симетрични П-филтри. Фиг. 8.12 показва как един симетричен Колинс-филтър се включва към противотактно крайно съпало. Ако трябва към симетричен П-филтър да се включи еднотактно крайно съпало, анодният кръг трябва да се симетрира, както е показано на фиг. 8.10б, и след това да се разглежда като противотактен аноден кръг. Ако обаче не е желателно да се променя еднотактният аноден кръг и въпреки това захранващата линия трябва да остане симетрична, тогава симетричният Колинс-филтър се свързва индуктивно към анодния кръг чрез използване на проводникова линия с малко вълново съпротивление (фиг. 8.13). При това трябва да се внимава за това, бобината  $L_S$  на проводниковата линия откъм предавателя да се заземи откъм края, който съответствува на „горещия“ край *A* на бобината на анодния кръг. Връзката между  $L_S$  и бобината на усилвателя на мощност, както и между  $L_C$  и  $L_K$  се прави много силна.

За всички късовълнови обхвати боби-



Фиг. 8.12

Симетричен Колинс-филтър за антени с настроени захранващи линии: *а* — капацитивна връзка към анодния кръг, *б* — индуктивна връзка с анодния кръг



Фиг. 8.13  
Свързване на симетричен Колинс-филтър към несиметричен аноден кръг

ните  $L_S$  и  $L_C$  имат две до три навивки  $L_K$  е равна на  $L_C$  или е малко по-голяма. Бобините  $L_C$  и  $L_S$  трябва да могат да променят малко положението си, защото често симетрията може да се подобри чрез малка промяна на положението им. Обикновено срещаните стойности за  $C_E$  са  $2 \times 300$  pF, за  $C_A$  —  $2 \times 500$  pF. Трябва да се внимава тези кондензатори да имат възможно най-малък начален капацитет. Подходящият брой на намотките на  $L_A$  трябва да се установи опитно за всеки обхват. Като ориентировъчна стойност в обхвата 80 m може да се приемат по 30 навивки от 3-mm CuAg при 50 mm диаметър на бобината. Подробни данни за превключваните бобини за Колинс-филтър може да се намерят в любителската литература.

Настройката се извършва в следната последователност:

*a* — анодният кръг се разделя от Колинс-филтър и се настройва в резонанс с управляващата честота. Предварително в случая се понижава анодното и екранното напрежение на лампата на усилвателя по мощност. Постигнатото резонансно състояние на кръга на усилвателя на мощност повече не бива да се променя в никакъв случай.

*b* — Колинс-филтърът с включена към него антена се свързва към анодния кръг. Поради свързването на филтър този кръг се разстройва и вече не е в резонанс. Резонансното състояние на анодния кръг трябва да се възстанови чрез промяна на  $C_E$ . При това  $C_A$  се намира приблизително в средно положение.

*c* — сега  $C_A$  се изменя стъпално в малки граници и с  $C_E$  всеки път се извършва донастройка на анодния кръг в резонанс. При това може веднага да се установи в каква посока трябва да се измести  $C_A$ , за да предизвика увеличение на антенния ток. По такъв

начин бързо се намира положението на  $C_A$  и  $C_E$ , при което се достига максимален антенен ток. Ако токът в двата клона има еднаква големина, процесът на настройка е завършен.

При първоначалната настройка на един нов Колинс-филтър или на една нова антена е необходимо да се повторят процесът на настройка в дадената по-горе последователност няколко пъти, като всеки път се променя броят на навивките на  $L_A$ , за да се намери най-благоприятната стойност на индуктивността.

Ако антенните токове в двата клона са различни, връзката между Колинс-филтър и анодния кръг се променя, докато двата измерителя на антенния ток дадат еднакви показания. При това положение на бобините трябва още веднъж да се повторят настройките, означени по-горе с *b* и *c*.

### 8.3. Резюме

Често се допуска при съгласуването на захранващата линия към крайното стъпало на предавателя да се прояви по-малко старание, отколкото при съгласуването между излъчвателя и филдера. Това не е правилно, защото и двете настройки са еднакво важни. Едно грешно отвеждане на енергията намалява коефициента на полезно действие, поради това се увеличава анодната загубна мощност и крайната лампа се излага на опасност.

Далеч неизчерпателното изброяване на възможностите за съгласуване на захранващата линия към крайното стъпало на предавателя би могло да предизвика объркване у начинаещия радиолобител. За да се улесни той при избора на най-подходящата схема за съгласуване, може в резюме да се констатира следното:

*a* — съгласуването на един коакси-



ален кабел към крайното стъпало на предавателя предизвиква най-малки трудности и изисква най-малък разход на схемни елементи. Трябва да се препоръча особено схемата, показана на фиг. 8.3.

*b* — ако към крайното стъпало трябва да се включи симетрична двупроводна линия, „стандартната схема“ (фиг. 8.3) се разширява до схемата, показана на фиг. 8.8. Едно сравнение със схемите на фиг. 8.7 и 8.11 доказва, че всички те почиват на един и същ принцип. Схемата от фиг. 8.8 е универсално приложима. Настроените захранващи линии също могат да бъдат съгласувани чрез нея, стига да е направено свързване по напрежение. При свързване по ток би трябвало в междинния кръг да се поставят още два последователно свързани кондензатора  $C_3$  (фиг. 8.11).

За това може фиг. 8.8 да се означава като стандартна схема, което е спра-

ведливо за всички срещани се случаи на съгласуване при съответно оразмеряване на междинния кръг  $L_4$ — $C_4$ . Тя отговаря също и на тенденцията модерните любителски предаватели като правило да се снабдяват с един изход за свързване на коаксиален кабел.

Оптималното съгласуване може да се наблюдава непрекъснато с индикатор на стоящи вълни. Такива рефлектометри имат коаксиална конструкция и в най-простите си форми могат лесно да бъдат направени от любители (вж. раздел 31.2.). Коаксиалната проводникова линия с малко вълново съпротивление (фиг. 8.8) предлага една отлична възможност към линията да се включи чрез шлейф един такъв рефлектометр. С негова помощ след това може да се установи правилно съгласуване на настроени линии и то да се наблюдава непрекъснато по време на експлоатация.

## 9. Антени за къси вълни

Начинаещият радиолюбител първоначално се сблъсква с голям брой различни антени с повече или по-малко тайнствени названия. Кой трябва да му даде правилните съвети при избора на най-подходящата антена за неговите условия? Най-често това прави първият любител-късовълновик, който вече е постигнал успехи. Не винаги обаче така може да се получи добър съвет, защото често се случва такъв любител да твърди, че жицата, използвана от него за предавателна антена, представлява най-добрата антена.

„Германите зайци“ също понякога вярват в чудодейни антени и с това се намират на същата степен на развитие на знанията, както онези телевизионни абонати, които си купуваха луминесцентни лампи, защото някой твърдял, че една луминесцентна тръба е най-добрата антена за телевизионно приемане в първи обхват.

Само който подробно се е занимавал с основите на антенната техника (напр. раздели 1. ÷ 5.), може да обхване и прецени свойствата и физикално обусловените граници на действителната ефективност на антените.

Следващите описания трябва да послужат за това да отстранят привидния безпорядък на многобройните антенни видове и да ги поднесат на начинаещия любител в прегледна форма.

На първо място ще бъде разгледано голямото семейство на *полулъвовите излъчватели*. Те имат електрическа дължина  $\lambda/2$  и излъчват предимно перпендикулярно на надлъжната си ос. Към тези прости полулъвови антени спадат:

- уиндом-антена
- Y-антена
- полулъвов дипол с усукана захранваща линия
- сгънат дипол
- дипол с кабелно захранване
- всички ширококоловити полулъвови диполи.

При определени условия тук могат да бъдат включени и многообхватните конструкции, като цепелин-антената, антената *W3DZZ*, многообхватната антена *G5RV* и всички останали многообхватни диполи.

По отношение на тяхната ефективна мощност тези разновидности са равностойни; те се различават само по начина на захранване. Диаграмата на насочено действие може да бъде повлияна до известна степен от начина на подаване на енергия.

Ако се предположи, че всяка от антените е съгласувана оптимално, тогава не съществуват и никакви разлики в тяхната ефективност.

Хоризонталната диаграма на насочено действие (Е-диаграмата) на хоризонтални проводници с дължина  $\lambda/2$  може да се изменя чрез огъването им в хоризонталната равнина; чрез изменение на наклона им във вертикалната равнина се променя ъгълът на възвишение.

Нежелани изменения на диаграмата на насочено действие се предизвикват от паразитни излъчватели, разположени в полето на близката зона (олуци, свободно висящи проводници и др.), както и под влияние на земната повърхност при ниско окачени антени. Последните споменати фактори са главните, които могат да доведат до различна оценка на две сами по себе си аналогични антени. Споменатите полулъвови излъчватели обаче се различават съществено по отношение на сигурността спрямо радиотелевизионни смущения.

По начало нискоомно захранваните и точно съгласувани антени предизвикват най-малки смущения на радио- и телевизионното приемане, при което трябва да се допълни, че смущаващите висши и паразитни хармонични не възникват в антената, а се създават от предавателя. На това място трябва да

се започне борбата против тях. Остатъкът от съществуващите смушавачи вълни може да бъде излъчен много силно в околността от антената и захранващата линия, например при уиндом-антената. Този остатък може обаче да бъде отстранен ефективно от една нискоомна захранваща линия. По тази причина в гъсто населени жилищни райони трябва да се използват предимно дипол с кабелно захранване, всевъълновата антена *WD3ZZ*, полуълновият дипол с усукана захранваща линия и сгънат дипол. Те са равностойни помежду си; единствено всевъълновата антена *WD3ZZ* работи с повишено усиливане в обхватите 20 m, 15 m и 10 m. Една разновидност на полуълновите антени образуват антените тип „дълга жица“. Това са излъчватели, които се състоят от повече линейно подредени отрязъци с дължина  $\lambda/2$ . При това отделните полуълнови отрязъци принудително се възбуждат противофазно. С нарастване на дължината на антената диаграмата на насочено действие се разклонява и с четирите си главни листа се доближава до посоката на опъване.

Към антените тип дълъг проводник спадат:

- антена „дълга жица“
- всевъълновата антена *DL7AB*
- V-образна антена
- ромбична антена.

Тези антени имат много силно изразено насочено действие и могат да дадат отлични резултати в четирите главни направления на излъчване. Освен това те имат една относително голяма широчина на честотната лента и измерването им не е критично.

Разходите по съоръжаването на антените тип „дълга жица“ не са големи, но за построяването на такива антени е необходимо много място и затова обикновено само любителите, живеещи на село, могат да използват предимствата на тези антени. Най-добре е да се препоръча V-звездата, защото тази конструкция едновременно представлява една всевъълнова антена и обхваща всички посоки на излъчване. Усилването на антената и степента на насоченост нарастват с увеличаване на дължината на излъчвателите.

Друга група антени образуват семейството на *напречно излъчващите* антени. Това са антени, които излъчват в тесен лъч перпендикулярно на посо-

ката на опъването им. В случая се касае за комбинации от синфазно възбудени полуълнови диполи, които понякога могат да бъдат етажирани относно една на друга. Най-простият представител на рода напречно излъчващи антени е синфазно захранваният цело-ълнов дипол. Неговите по-големи братя се наричат „Лейзи ейч“ (англ. *lazy H*), антена *W8JK*, „бискуер“, *ZL*-бим, антена *HB9CV*. Всички те се отличават с ниско излъчване (малък ъгъл на възвишение в H-равнината), дават високо усиливане на антената при сравнително малка заемана площ и могат да се построят без големи разходи. Техен недостатък е, че те действуват само в една главна посока на излъчване. По-изгодна е „Лейзи ейч“, защото тя действува в две посоки.

Приблизително същото усиливане в направлението на главния лъч дават *въртящите се насочени излъчватели*. Те имат неоценимото предимство, че могат да „обстрелват“ всички небесни посоки и се нуждаят от малко място. Все пак разходите по механичната конструкция са по-големи. Най-евтината и при това най-ефективна форма на въртящ се излъчвател в настоящия момент би трябвало да представлява двойният квадрат, защото за него не е необходим скъп тръбен материал и с два елемента има усиливането на една триелементна Яги-антена.

Накрая, съществуват и *вертикални излъчватели*, които като прости пръчковидни антени изискват най-малко място и излъчват във всички посоки. Най-известната и най-благоприятна конструкция е антената „граундплейн“, която, въпреки че излъчва във всички посоки, при правилно построяване все пак дава усиливане благодарение на много ниско излъчване. Полуълновите вертикални излъчватели се нуждаят от двойно по-голяма височина при построяване, имат почти същите свойства като граундплейна, без обаче съществено да надвишават последните.

С това най-важните антенни конструкции са класифицирани по откритие на техните свойства и възможност за приложение.

За съжаление не винаги желанията за една или друга антена могат да се осъществят при съществуващите реални условия. Такива реални условия са:

- a — местните дадености, като за-

строяване, положение и направление на свободно висящи проводници, площите за обществено използване, възможните точки за укрепване на антената, тяхната пригодност и право на собственост; съществуващите съоръжения за гръмозащита и възможностите за заземяване; съображения от градоустройствен и естетичен характер;

*b* — необходимите разходи, при които в някои случаи трябва да се имат предвид и таклава за използване на специалисти (напр. покривачи) и устройства за осигуряване (скели, осигурителни въжета и т. н.);

*c* — възможност за снабдяване с всички необходими материали;

*d* — личните способности за занаятчийска и механична работа.

Оттук може да се разбере, че старателното предварително планиране на работата е важно и необходимо.

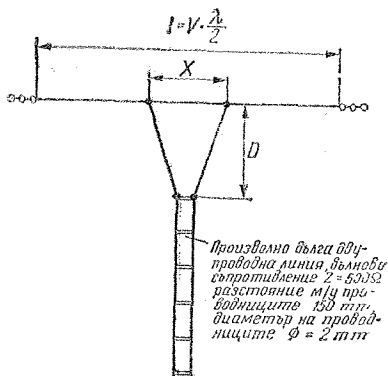
Описаните по-долу голям брой антенни системи, доказали добрите си качества, трябва да дадат подтик на радиолюбителя и да му помогнат да намери най-изгодната за неговите условия антена.

## 10. Разновидности на полувълновия излъчвател

Полувълновите антени, използвани в късовълновия обхват, се различават главно по начина на тяхното захранване. Те обаче имат до голяма степен свойствата, разгледани в раздел 3.1. В съответствие с тяхното приложение полувълновите излъчватели могат да бъдат разделени на:

- еднообхватни антени,
- многообхватни антени,
- малобабитни диполи.

Последните работят предимно с механично скъсени проводници.



Фиг. 10.1. Y-антена

### 10.1. Еднообхватни диполи

Както следва от названието им, тези полувълнови диполи поради начина на захранване (съгласувани линии) не са пригодени за възбуждане с висши хармонични. Това означава, че те могат да се използват само в един любителски обхват.

жени симетрично спрямо средата на излъчвателя, възлиза на

$$X = \frac{36000}{f} \quad (10.2)$$

и дължината

$$D = \frac{45100}{f}, \quad (10.3)$$

#### 10.1.1. Y-антени

Така наречената Y-антена е един полувълнов дипол със съгласувана захранваща линия. Свързването на захранващата линия става по начин, който вече беше описан в раздел 6.1. (делта-съгласуване). Дължината на излъчвателя възлиза винаги на  $\lambda/2$ , умножена с коефициента на скъсяване и може — както за всички полувълнови антени в късовълновия обхват — да бъде изчислена по формулата

$$l = \frac{142500}{f}, \quad (10.1)$$

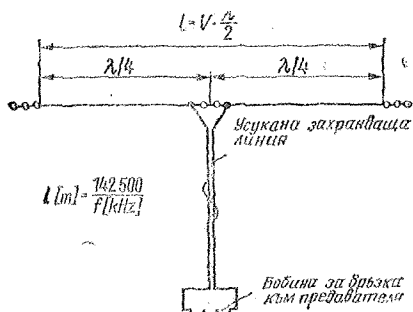
където  $l$  е в m,  $f$  — в kHz.

Както е показано на фиг. 10.1 за делта-съгласуването, разстоянието  $X$  на двете точки на свързване, разполо-

където  $X$  е в m,  $D$  — в m,  $f$  — в kHz. Несъгласуваната захранваща линия има вълново съпротивление 600  $\Omega$  и може да бъде представена като двупроводна линия с въздушна изолация, чиито отделни проводници имат диаметър 2 mm и са разположени на 150 mm един от друг (фиг. 5.4). Y-антената като полувълнов излъчвател има диаграма на излъчването, показана на фиг. 3.10.

#### 10.1.2. Полувълнов дипол с усукана захранваща линия

Полувълновият дипол с усукана захранваща линия (фиг. 10.2) използва



Фиг. 10.2. Полуълнов дипол с усукана захранваща линия

като захранваща линия двужилен усукан гумиран кабел. Такива линии се произвеждат в многобройни разновидности като мрежови кабели. Вълновото съпротивление на тези кабели обикновено е от 80 до 100  $\Omega$ . Затихването на тези използвани не по предназначение мрежови кабели е голямо, особено за височестотните любителски обхвати. Затова такива усукани гумирани кабели трябва да се използват само за антени в обхватите 80 m и 40 m, а захранващата линия да бъде възможно най-къса.

По отношение на загубите в линията по изгодни за използване са плоските двужилни проводници в пластмасова обвивка. При тези кабели проводниците са успоредни един на друг. Като изолационен материал намира приложение пластмасата на базата на поливинилхлорид. Тя има по-малки загуби и е по-устойчива на атмосферни въздействия от гумата.

Както е известно, полуълновият дипол има входно съпротивление около 65  $\Omega$ . Обикновено малко по-голямото вълново съпротивление на усуканата захранваща линия се съгласува към излъчвателя, като, както е показано на фиг. 10.2, точките на свързване се изместват симетрично встрани от средата на излъчвателя, докато в съгласуваната линия изчезнат стоящите вълни.

### 10.1.3. Дипол с кабелно захранване

Коаксиалният кабел е идеална захранваща линия и за късовълновия обхват. По най-прост начин един полу-

вълнов дипол се захранва — както е показано на фиг. 10.3 — направо чрез един произволно дълъг коаксиален кабел.

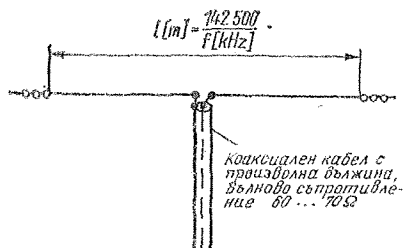
Внимателният читател ще забележи, че в този случай една симетрична антена се захранва чрез несиметричен кабел. Практиката доказва, че това, особено в късовълновия обхват, е възможно без никакви особени последиствия, стига дължината на кабела да не попадне случайно в резонансно отношение с работната честота (повърхностни вълни).

Заради несиметричното възбуждане на двата клона на излъчвателя може да се очаква леко изменение на характеристиката на насочено действие. Симетриране може да се направи най-просто чрез поставяне на симетриращ шлейф (вж. раздел 7.4.) или чрез гама-съгласуване (вж. раздел 6.3.).

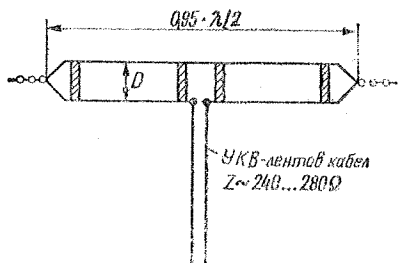
### 10.1.4. Шлейфвибратор

Доминиращият в УКВ-обхвата шлейфвибратор (сгънат дипол) може да бъде използван и като късовълнова антена. Широчината на пропускащата от него честотна лента е малко по-голяма от тази на правия дипол. Шлейфвибраторът се използва преди всичко за това, защото неговото входно съпротивление от 240  $\Omega$  позволява директно захранване чрез обикновено продаваните УКВ-лентови кабели. С всичките си останали свойства шлейфвибраторът съответствува на правия полуълнов дипол.

Шлейфвибраторът е подходящ единствено за работа в един честотен обхват. Неговият коефициент на скъсяване  $V$  възлиза на 0,95; следователно той е



Фиг. 10.3. Полуълнов дипол, захранван чрез коаксиален кабел с вълново съпротивление 60  $\Omega$



Фиг. 10.4. Шлейфвибраторът като късовълнова антена

малко по-дълъг от правия дипол (фиг. 10.4).

Разстоянията между двата паралелни проводника на излъчвателя възлизат приблизително на

- 20 cm за 3,5 MHz,
- 15 cm за 7 MHz,
- 10 cm за 14 MHz,
- 8 cm за 21 MHz,
- 5 cm за 28 MHz.

Един шлейфвибратор за къси вълни може да бъде направен също така изцяло от УКВ лентов кабел (фиг. 10.5).

При това обаче е необходимо да се направят следните разсъждения: между двата успоредни полуwave-ови отрязъка на излъчвателя се намира изолационният материал на лентовия кабел. Ако шлейфвибраторът се разглежда като паралелно свързване на два полуwave-ови отрязъка, тогава диелектричната константа на изолационния материал няма особено влияние върху коефициента на скъсяване  $V$ . Следователно той възлиза на 0,95.

Шлейфвибраторът може да се представи в същото време и като последователно свързване на две четвъртвълнови линии, дадени в края на късо (фиг. 10.5b). При една двупроводна линия обаче диелектричната константа на междинната среда има голямо значение и затова би трябвало да се вземе пред вид коефициентът на скъсяване на лентовите кабели, който е приблизително равен на 0,82. Ако дължината на излъчвателя възлиза на  $0,95 \cdot \lambda/2$ , то наистина излъчвателят е в резонанс, но четвъртвълновите отрязъци са твърде дълги и предизвикват появата на една допълнителна индуктивна реактивна компонента. Ако коефициентът на скъ-

сяване  $V$  се избере равен на 0,82 и съответно се намали дължината на излъчвателя, тогава антената като излъчвател не е вече в резонанс и в точките на захранване също възниква реактивно съпротивление. На фиг. 10.5 е показано, как двете изисквания могат да бъдат удовлетворени по най-прост начин: геометричната дължина на излъчвателя се избира равна на  $0,95 \cdot \lambda/2$  и при дължина, равна на  $0,82 \cdot \lambda/2$  се поставят мостчета за късо съединение.

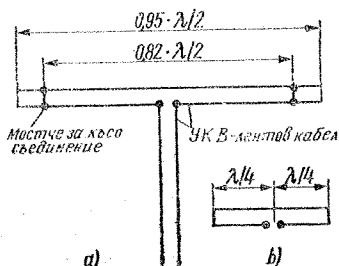
Антените от лентов кабел са особено удобни за преносими станции, защото имат малко тегло и са гъвкави. Обикновено пластмасите, използвани като изолационен материал, могат да се заваряват лесно и трайно (напр. с горещ поялник) или да се залепят. По този начин лесно може да се осъществи механична връзка на захранващата линия с излъчващата част.

## 10.2. Полуwave-ови излъчватели за работа на много обхвати

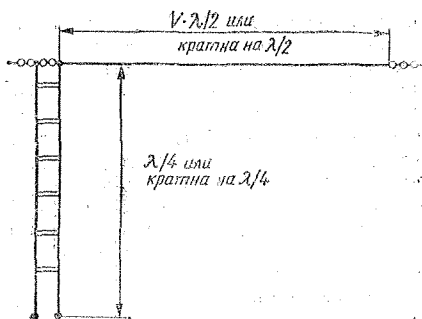
Ако един полуwave-ов излъчвател трябва да се възбуди за работа с висши хармонични по безупречен от електрическа гледна точка начин, той трябва да се захрани чрез настроена линия. Многодиапазонните антени със съгласувана захранваща линия винаги са компромисни решения, при които работата на повече от един обхват се заплаща с повече или по-малко излъчваща захранваща линия или с други недостатъци.

### 10.2.1. Цепелин-антена

Класическата *цепелин*-антена, наричана също съкратено *цеп*, представ-



Фиг. 10.5. Шлейфвибратор, изработен от лентов кабел



Фиг. 10.6. Антена „целелин“

лява един обикновен полуълнов излъчвател, който се захранва в края си (при максимум на напрежението) чрез една настроена двупроводна линия. Единият проводник на захранващата линия е свързан към излъчвателя, другият остава свободен, но е изолиран (фиг. 10.6).

Дължината на захранващата линия възлиза на  $\lambda/4$  или е цяло число пъти по-голяма от  $\lambda/4$ . При дължини от  $2 \cdot \lambda/4$ ,  $4 \cdot \lambda/4$ ,  $6 \cdot \lambda/4$  и т. н., т. е. при четно число пъти  $\lambda/4$  в началото на захранващата линия съществува същото разпределение на тока и напрежението, както в края ѝ. Ако обаче захранващата линия има дължина  $1 \cdot \lambda/4$ ,  $3 \cdot \lambda/4$ ,  $5 \cdot \lambda/4$  и т. н., т. е. нечетно число пъти  $\lambda/4$ , накрая на захранващата линия разпределението на тока и напрежението е обратно на това в началото на линията. В края на излъчвателя възниква максимум на напрежението. Ако той се захрани в тази точка през линия с дължина  $2 \cdot \lambda/4$ , в долния край на линията също има максимум на напрежение и тогава се говори за *връзка по напрежение*. Ако захранващата линия е дълга само  $1/4 \lambda$ ,  $3/4 \lambda$ ,  $5/4 \lambda$ ,  $7/4 \lambda$  и т. н., съотношенията се обръщат, в края на излъчвателя винаги остава максимум на напрежението, докато в долния край на захранващата линия се образува минимум на напрежението (максимум на тока). Ако захранващата линия се свърже към предавателя при максимум на тока, се говори за *връзка по ток*.

Един полуълнов целелин, оразмерен за обхвата 80 m, може да се използва едновременно и като всевълнова антена. При работа в обхвата 40 m полуълново-

вата целелин-антена се превръща в целовълнова, при работа на 20, 15 и 10 m — в дълга жица с целелин — захранване и дължина съответно  $2 \lambda$ ,  $3 \lambda$  или  $4 \lambda$ . Ако дължината на захранващата линия е около 40 m, т. е.  $2 \cdot \lambda/4$  за обхвата 80 m, във всички обхвати съществува връзка по напрежение. Напротив, при дължина на захранващата линия 20 m (съответствува на  $\lambda/4$  за 80 m) за обхвата 3,5 MHz се получава връзка по ток, а за всички останали обхвати — връзка по напрежение.

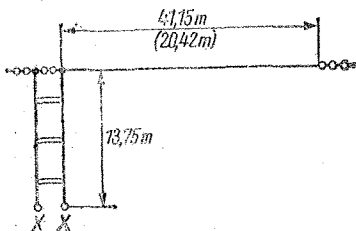
Свързването на настроени захранващи линии към крайното стъпало на предавателя *винаги* изисква подходящи елементи за връзка с антената. Това е обяснено в раздел 5.3.2. В раздел 8.2. са описани подходящи елементи за връзка с антената.

Целесъобразно е дължината на захранващата линия да не се избира равна на  $\lambda/4$  или цяло число пъти по-голяма от  $\lambda/4$ , защото в такъв случай лесно могат да се появят смущения от синфазни спрямо земя вълни. Захранващата линия започва да излъчва по-силно. За всевълнова антена е благоприятно използването на кабели с дължина между 12,50 и 14 m. Така във всички обхвати се избягват споменатите по-горе смущения и кабелът лесно може да се настрои в резонанс заедно с елементите за връзка с антената.

#### 10.2.1.1. Целелин-антена за всички обхвати

На фиг. 10.7 е показана една целелин-антена за всички обхвати, конструирана по описания по-горе начин.

Тази антена е свързана по ток за обхватите 80, 40, 20 и 15 m, докато за обхвата 10 m връзката е по напрежение. Антената може да бъде построена също така и с дължина на излъчвателя



Фиг. 10.7. Всевълнова целелин-антена



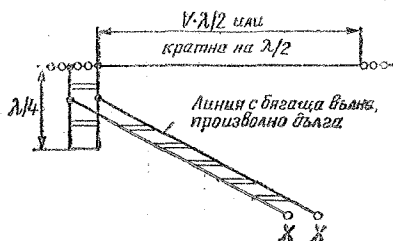
само 20, 42 m. Тогава обаче не е възможна работа в обхвата 80 m с целелин-захранване. Като помощно решение може да послужи свързването на захранващата линия на късо в края откъм предавателя, като връзката с предавателя се осъществява с помощта на Колинс-филтър. Така този излъчвател може да се използва и като проста L-антена за работа в 80 m обхват.

Ако една захранвана в края си антена ще бъде използвана за работа само на един обхват, полезно е краят на излъчвателя да се натовари с една затворена четвъртвълнова линия, а захранването да става, както е показано на фиг. 10.8, чрез една съгласувана двупроводна линия.

За начина на действие и оразмеряването на съгласувашата линия важат разсъжденията, дадени в раздел 6.6. Както УКВ лентови кабели, така и саморъчно направени двупроводни линии с произволна дължина могат да бъдат използвани като линия с бягащи вълни.

#### 10.2.1.2. Двоен целелин (дъблет)

Един излъчвател, възбуден симетрично в средата си, дава най-съвършена характеристика на насочено действие. Една такава захранвана в центъра си антена с настроена захранваща линия се нарича *двоен целелин*. Международното название на симетрично захран-



Фиг. 10.8. Излъчвател, захранван в края си чрез ненастроена захранваща линия

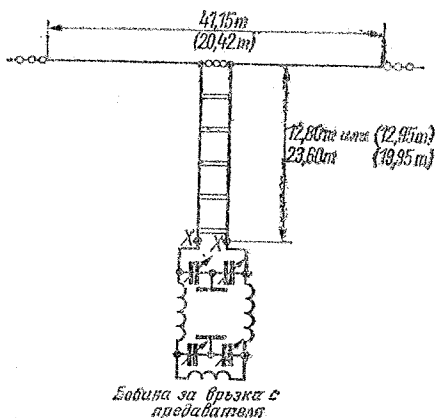
ваните антени с настроена захранваща линия е *дъблет*. Дъблетът може да се използва за работа на всички обхвати (фиг. 10.9).

При антените от този тип също така могат да се появят смуцаващи синфазни спрямо земя вълни, ако захранващата линия и свързаната към нея половина от излъчвателя са равни на цяло число пъти  $\lambda/2$ . Затова и в този случай дължината на захранващата линия сама за себе си не трябва да бъде в резонанс с работната честота. В таблица 10.1 са събрани изпробвани на практика размери на различни дъблети, чиито захранващи линии са оразмерени така, че се избягва появата на синфазни вълни.

За настройка на захранващата линия и за свързването ѝ към крайното стъпало на предавателя са подходящи схемите, описани в раздел 8.2.

Таблица 10.1. Изпробвани размери на различни всевъзлови дъблети

Обща дължина на излъчвателя, m	Дължина на настроената захранваща линия, m	Обхват, m	Вид на връзката към предавателя
41,15	12,80	80, 40, 20, 15, 10	Връзка по напрежение Връзка по ток
41,15	23,60	80, 40, 20, 15, 10	Връзка по напрежение
20,42	12,95	80 40, 20, 15, 10	Връзка по ток Връзка по напрежение
20,42	19,95	80, 20, 10, 40, 15	Връзка по напрежение Връзка по ток



Фиг. 10.9. Антена, захранвана в центъра си чрез настроена захранваща линия (двоен пелелин)

Когато един дълбет се използва изключително като еднообхватна антена, преходът към една произволно дълга, ненастроена захранваща линия може да се извърши чрез четвъртвълнова съгласуваща линия (раздел 6.6.).

При обща дължина на излъчвателя най-малко  $1\lambda$  и цяло число пъти по-голяма от  $\lambda$  (максимум на напрежението в точката на захранване) се използва четвъртвълнова съгласуваща линия, дадена на края на късо; ако дължината на излъчвателя е  $\lambda/2$  или нечетно число пъти по-голяма от  $\lambda/2$ , трябва да се приложи отворена на края четвъртвълнова линия.

### 10.2.2. Уиндом-антена

Преди много години *Лорен Уиндом*, W8GZ, разработи наречената на негово име Уиндом-антена. Тя представлява полувълнов излъчвател с произволно дълга еднопроводна захранваща линия.

Използването на еднопроводна захранваща линия е възможно благодарение на факта, че един единствен проводник, разположен над достатъчно проводима земна повърхност, притежава вълново съпротивление от около  $500\ \Omega$ , когато диаметърът на проводника е от 1,5 до 2 mm. Ако върху проводника на антената се намери точка, в която импедансът е  $500\ \Omega$ , захран-

ващата линия може да се включи там и не съществува съгласуване. При една проводникова полувълнова антена тази точка е отдалечена на около  $0,18\lambda$  от края на антената (фиг. 10.10).

Предпоставка за безупречната работа на една Уиндом-антена е добрата проводимост на земната повърхност, защото земята образува така да се каже втория проводник на захранващата линия.

Освен това еднопроводната линия трябва да се прекара така, че възможно най-голяма част от нея да бъде перпендикулярна на надлъжната ос на антенния проводник.

Формулите за оразмеряване на дължината на излъчвателя  $l$  и на разстоянието на точката на свързване  $A$  от края на проводника са следните:

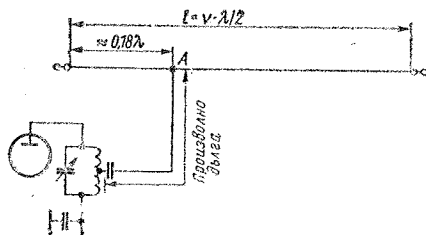
$$l = \frac{143000}{f} \quad (10.4)$$

където

$$A = \frac{54000}{f}, \quad (10.5)$$

където  $l$  е в m,  $A$  — в m,  $f$  — в kHz.

Най-простият начин за намиране на правилното място на точката на свързване  $A$  се състои в това, еднопроводната линия да се остави поне с  $\lambda/4$  по-дълга, отколкото е необходимо и удължаващото парче да се прокара така, че да е лесно достъпно. След това в различни точки на удължаващото парче се измерва протичащият ВЧ ток (или съществуващото ВЧ напрежение). Чрез съответно изместване на точката на свързване по антената трябва да се постигне изравняване на ВЧ ток (съотв. на ВЧ напрежение) във всички точки, в които се прави из-



Фиг. 10.10. Антена Уиндом

мерване. Големината на измерения ток при това няма значение и обикновено се избягва настройката по максимум на тока (съотв. максимум на напрежението). Когато във всички точки протича еднакъв среден ВЧ ток, по линията няма стоящи вълни, защото тя е съгласувана. След извършеното съгласуване удължаващото парче проводник отново се отстранява (фиг. 10.11).

Този метод се опростява, ако с един ВЧ лампов волтметър (измерителна глава) се измерва напрежението в различни точки на удължаващата линия. В такъв случай не е необходимо да се прекъсва захранващата линия. Съгласуването е постигнато, когато във всички точки съществува еднакво ВЧ напрежение.

При средни или големи мощности на предавателя като индикатор може да послужи една обикновена глим-лампа, която се плъзга по дължината на линията. На всички места тя трябва да

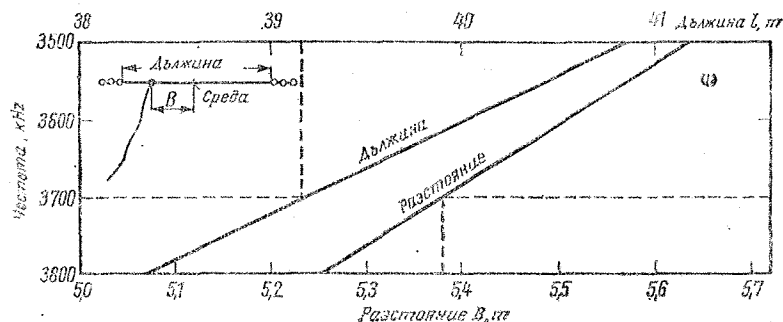


Фиг. 10.11. Антена Уиндом с междинен кръг и удължен отрязък

свети еднакво силно. Когато еднопроводната линия се свърже капацитивно към извод на бобината на анодния кръг (фиг. 10.10), всички съществуващи висши хармонични могат безпрепятствено да се излъчат от антената. Затова винаги би трябвало да се въведе един допълнителен междинен кръг (фиг. 10.11). Още по-добре е да се използва един несимтричен Колинс-филтър (вж. раздел 8.1.1.1.), както е показано на фиг. 10.14). В таблица 10.2 са събрани из-

Таблица 10.2. Данни за елементите на междинния кръг

Обхват	Капацитет, pF	Индуктивност, μH	Данни за бобината	
			брой на навивките	диаметър на бобината, mm
80 m	200	15	20	60
40 m	100	10	16	50
20 m	50	3,5	9	50
15 m	50	1,5	6	50
10 m	50	1,0	5	50



Фиг. 10.12. Диаграми за определяне на дължината на излъчвателя  $L$  и на точката на свързване (разстоянието  $B$ ), пресметнати от средата на излъчвателя, за една Уиндом-антена за обхвата 80 m

пробвани на практика данни за междинния кръг.

Както при капацитивна връзка с анодния кръг, така и при използване на междинен кръг точката на свързване към бобината на кръга трябва да е избрана така, че захранващата линия с нейното вълново съпротивление от около  $500\ \Omega$  да бъде натоварена на края с точно необходимото съпротивление. Затова първо се прави опит чрез промяна на изводите на бобината, съотв. чрез изменение на настройката на Колинс-филтъра да се постигне най-малък коефициент на стоящи вълни. Съществуващите след това стоящи вълни се отстраняват чрез изместване на точката на свързване  $A$  върху излъчвателя.

На фиг. 10.12 са показани определените чрез измерване диаграми за оразмеряване на дължината на излъчвателя  $l$  и местоположението на точката на свързване, пресметнато от средата на излъчвателя, за една Уиндом-антена за обхвата  $80\text{ m}$ . Ако при това еднопроводната линия е направена от проводник, дебел от  $1,5$  до  $2\text{ mm}$ , и ако почвата е с добра проводимост, може да се разчита на едно твърде добро съгласуване.

### Пример

Трябва да се определят дължината на излъчвателя  $l$  и отстоянието  $B$  от средата на излъчвателя за Уиндом-антена с резонансна честота  $3700\text{ kHz}$ .

Дължината на излъчвателя се получава върху горната скала за дължините, като се намери пресечната точка на правата, прекарана за честота  $3700\text{ kHz}$

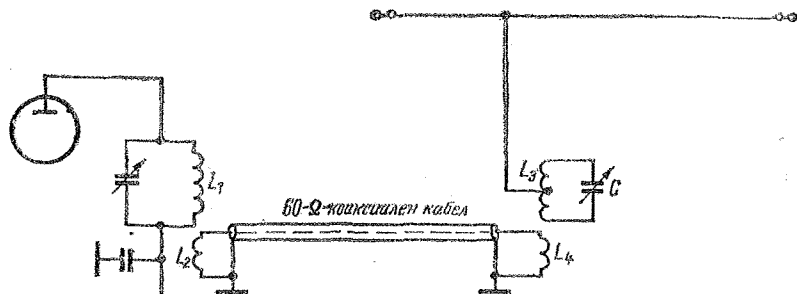
и правата  $l$ . Резултатът е  $l=39,18\text{ m}$  (начертано с прекъснатата линия). От долната скала на дължините се отчита отстоянието на точката на свързване от геометричната среда на излъчвателя ( $B=5,38\text{ m}$ , начертано долу вдясно с прекъснатата линия).

Описаните досега начини на свързване на Уиндом-антената би трябвало да използват само тогава, когато предавателят е разположен в непосредствена близост до антенния проходен изолатор. Ако захранващата линия трябва да премине през някое помещение, не може да не се държи сметка за това, че в електрическата мрежа се индукира високочестотна енергия и е възможно появяване на смущения в приемането на радио- и телевизионните програми.

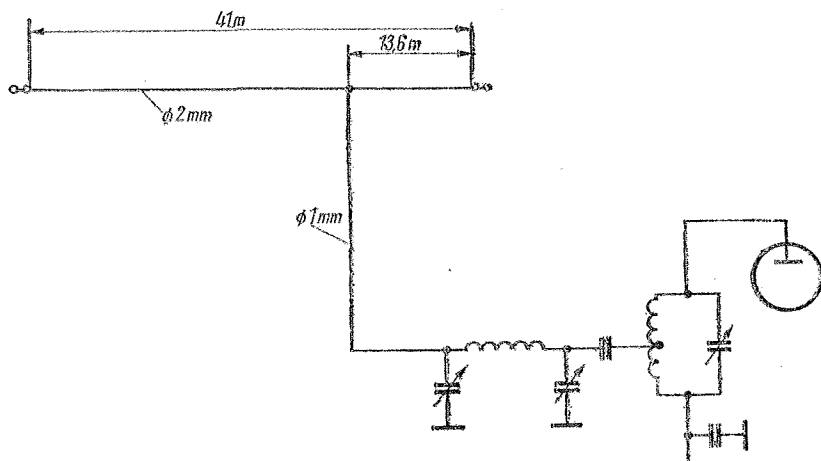
При доближаване на еднопроводната линия до стени и пр. нейното вълново съпротивление се изменя и особено в затворени помещения по линията се появяват големи стоящи вълни. Затова за пренасяне на енергията вътре в къщата винаги трябва да се използва проводникова линия с малко вълново съпротивление, както е показано на фиг. 10.13. Данни за стойностите  $L_3$ — $C$  на междинния кръг трябва да се вземат от таблица 10.2. Оразмеряването на проводниковата линия беше обсъдено подробно в раздел 8.

### 10.2.2.1. Многообхватни Уиндом-антени

Чрез *VSI*AA стана известна една многообхватна Уиндом-антена, която се нарича също и *компромис-Уиндом*. При нея дебелината на проводника на



Фиг. 10.13. Уиндом с проводникова линия за връзка с малко вълново съпротивление



Фиг. 10.14. Многообхватна Уиндом-антена, предложена от VS1AA

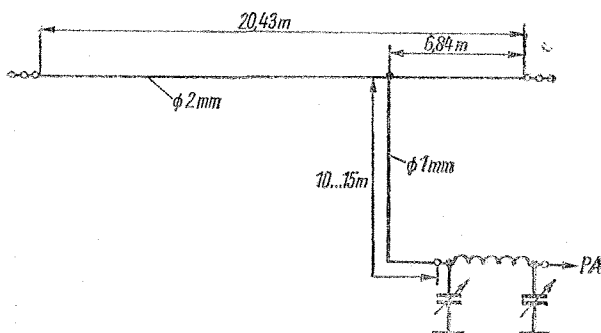
захранващата линия е по-малка от тази на проводника на излъчвателя. Ако диаметърът на проводника на излъчвателя е 2 mm, захранващата линия се избира с диаметър 1 mm (отношение на диаметрите около 2:1).

На фиг. 10.14 е показана една такава Уиндом-антена, предложена от VS1AA. Тя може да се използва във всички любителски обхвати; винаги обаче трябва да се има пред вид известно разсъгласуване на антената. Намиращият се в долния край на линията несиметричен Колинс-филтър помага за това, винаги да може да се извърши настройка в резонанс. Така еднопроводната линия става нещо средно между съгласувана и настроена линия. Това обаче в никакъв случай не е

лошо разрешение на проблема за съгласуване.

Компромис-уиндомът работи в 80-m обхват като полувълнова антена и главното направление на излъчване е перпендикулярно на надлъжната ос на излъчвателя. При работа в 40-m обхват антената става целовълнова „дълга жица“, при работа на вълна 20 m върху антената се разполагат 2 цели дължини на вълната и при 10 m — 4 дължини на вълната. В обхвата 15 m антената е съгласувана неправилно. Съответните приблизителни диаграми на насочено действие са показани на фиг. 11.1. На фиг. 10.15 може да се види една всеволнова Уиндом-антена с по-малка обща дължина.

При тази антена дължината на за-



Фиг. 10.15  
Скъсена всеволнова Уиндом-антена

хранващата линия трябва да бъде между 0 и 15 m. Захранващата линия трябва да бъде свързана към крайното стъпало на предавателя чрез Колинс-филтър. Все пак в обхвата 80 m антената не работи като Уиндом; в този случай самата еднопроводна линия действа като четвъртвълнов излъчвател над земята, като твърде малката ѝ дължина се компенсира от хоризонталната част на антената. Последната служи като върхов удължителен капацитет. Чрез Колинс-филтъра се извършва настройка в резонанс с работната честота. При работа в 40-m обхват антената става полувълнов Уиндом с познатата диаграма на насочено действие (осморка), докато при 20, 15 и 10 m ( $1\lambda$ ,  $1,5\lambda$  и  $2\lambda$ ) трябва отново да се имат предвид съответните диаграми на насочено действие в хоризонталната равнина от фиг. 11.1.

За работата на описаната многообхватна Уиндом-антена в обхвата 15 m трябва да се спомене още едно ограничаващо обстоятелство. В този обхват в точката на включване на еднопроводната линия към антената съществува импеданс от няколко хиляди ома. Заради това се получава значително разсъгласуване на антената с всички стриктни последиствия.

При индустриално произвежданите многообхватни Уиндом-антени проводникът на излъчвателя е прекъснат в точката на свързване на захранващата линия и там е поставен балун-трансформатор с тороидна сърцевина. Той трансформира импеданса в съотношение 6:1 и едновременно извършва симетриране, необходимо при свързване на коаксиален кабел.

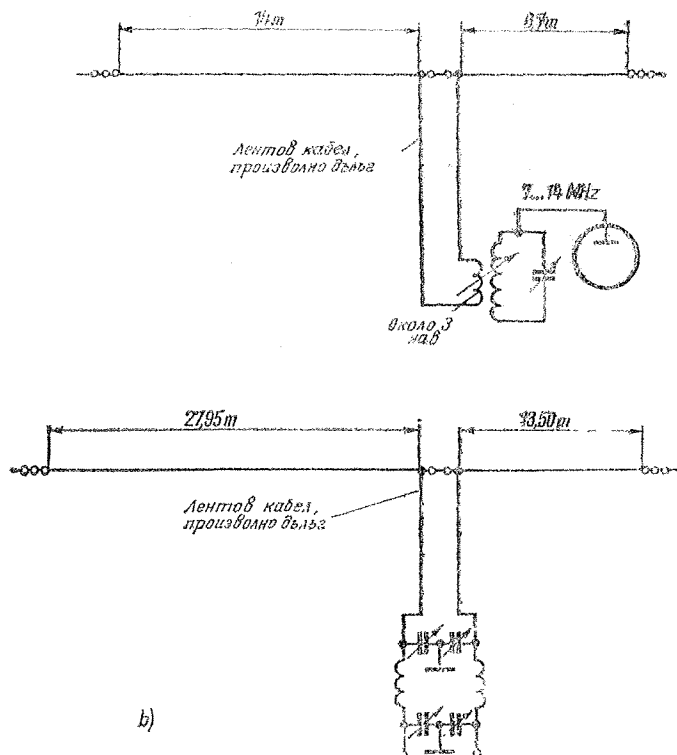
### 10.2.3. Симетрично захранвани многообхватни Уиндом-антени

Теорията определя за еднопроводната линия на една Уиндом-антена вълново съпротивление от 600  $\Omega$ . На практика в зависимост от околната среда и височината на монтиране на антената както вълновото съпротивление на захранващата линия, така и импедансът в точката на свързването ѝ към антената могат да приемат по-малка стойност. Ако се изходи от Уиндом-антената тип *FDA*, при която с цел възможно най-добро съгласуване

към коаксиален кабел е включен допълнително трансформатор на импеданса с отношение на трансформация 6:1, при обикновено срещаните височини на монтиране на антената се получава импеданс в точката на захранване от около 300 до 400  $\Omega$ . Следователно една многообхватна Уиндом-антена би могла да бъде захранена направо чрез 300-омов лентов кабел, като съзнателно се допуска едно все пак поносимо разсъгласуване. Лентовият кабел запазва симетрията, освен това обратно на еднопроводната линия той има по цялата си дължина едно точно определено вълново съпротивление, затова собственото излъчване на кабела е сравнително малко. С това многообхватните Уиндом-антени, захранвани с лентов кабел, са по-добри по отношение на ВСИ и TVI от тези, захранвани чрез еднопроводна линия.

На фиг. 10.16a е показана една триобхватна Уиндом-антена, възбуждана чрез УКВ лентов кабел с произволна дължина. Тази антена, която при посочените размери работи като полувълнов излъчвател на 40 m и като целовълнова антена на 20 m, е съгласувана добре към захранващата линия и в двата обхвата. Антената би могла да работи добре и в обхвата 10 m, стига да се допусне известна пулсация в захранващата линия. За този режим на работа обаче трябва да се предвиди един Колинс-филтър в края на линията, както е показано на фиг. 10.16b. Този филтър прави възможна работата на антената и в диапазона 80 m. За това е необходимо краят на кабела да се свърже на късо и симетричният Колинс-филтър да се използва като несиметричен. В този случай антената действа като вертикален излъчвател с върхов удължаващ капацитет.

Другата многообхватна антена, захранвана чрез съгласуван УКВ лентов кабел, работи в обхватите 10 m, 20 m, 40 m и 80 m на принципа на Уиндом-антените (фиг. 10.16b). При това компромисно решение по захранващата линия също съществуват повече или по-малко стоящи вълни. Това изисква — както вече беше споменато — антената да се свърже към предавателя чрез симетричен Колинс-филтър. Той не отстранява стоящите вълни, но настройва цялата система в резонанс



Фиг. 10.16. Симетрично захранвани многодизайновни Уиндом-антени: а) — триобхватна антена, б) — четириобхватна антена със съгласувана захранваща линия

и така осигурява за крайното стъпало на предавателя чисто активен товар. Затова тази захранваща линия също трябва да се разглежда като смес от съгласувана и настроена линия.

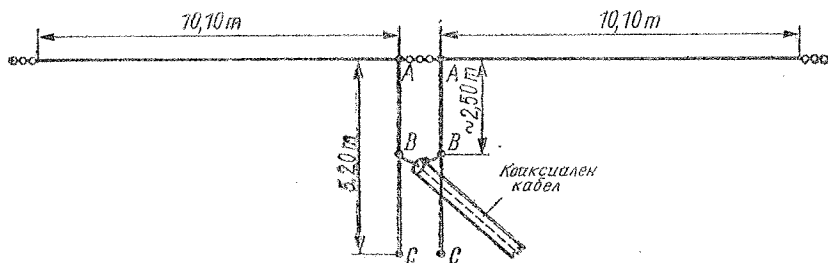
#### 10.2.4. Съгласувана триобхватна антена, захранена с коаксиален кабел

Там, където съществува възможност при смяна на обхватите антената да се сваля толкова ниско от едната страна, че точката, в която се извършва захранването, да стане достъпна, може да се построи една много проста малогабаритна триобхватна антена за обхватите 10 m, 20 m и 40 m. Този излъчвател, показан на фиг. 10.17, и в трите обхвата е съгласуван добре към произволно дълъг коаксиален кабел.

Затова често си струва човек да се примири със сложността на смяната на обхватите.

За обхвата 40 m тази антена представлява един обикновен полувълнов дипол с дължина на всяко от рамената 10,10 m. Коаксиалният кабел е свързан към точките за захранване за обхвата 40 m АА, там входното съпротивление възлиза на около 60  $\Omega$ . Отворената двупроводна линия с дължина 5,20 m, която също е свързана в точките АА, няма забележимо влияние върху резонанса или характеристиката на насочено действие на антената в обхвата 40 m.

Ако антената трябва да работи в обхвата 20 m, коаксиалният кабел трябва да се свърже в края на отворената двупроводна линия. В този режим на работа двата клона на излъчвателя



Фиг. 10.17. Симетрична триобхватна антена, захранвана с коаксиален кабел

образуват един симетричен целовълнов дипол, чието входно съпротивление, както е известно, е голямо (максимум на напрежение). Отворената двупроводна линия с дължина 5,20 m за обхвата 20 m представлява един четвъртвълнов трансформатор (вж. раздел 6.5.), който довежда импеданса в точките  $CC$  до около  $60 \Omega$ . За двупроводната линия се избира вълново съпротивление от 500 до  $600 \Omega$ , което може да бъде реализирано например при диаметър на проводниците 1,5 mm и разстояние между тях от 70 mm (вж. фиг. 5.4).

При експлоатацията в обхвата 10 m върху излъчвателя се разполагат 4 полуълни. Разпределението на тока е такова, че и в този случай в точките  $AA$  има възел на тока (голямо съпротивление). При свързване на коаксиалния кабел в точките  $BB$ , както е показано на фиг. 10.17, двупроводната линия действа като четвъртвълнов трансформатор за 10 m; неизползваният отворен отрязък от линията между  $BB$  и  $CC$  не оказва никакво отрицателно въздействие.

За да може да се установи най-благоприятното разположение на точките на свързване  $BB$  и  $CC$  и да се маркирато, антената се съгласува. Започва се с обхвата 10 m, като коаксиалният кабел се свързва с клемите приблизително в средата на двупроводната линия и чрез изместване на изводите нагоре и надолу се търси положението с най-малък коефициент на стоящи вълни. Като индикатор на стоящи вълни служи рефлектометър, включен чрез шлейф към кабела. По същия начин веднага след това се извършва настройката за обхвата 20 m, при което се изменят изводите за определяне на

точките на свързване на коаксиалния кабел към двупроводната линия  $CC$ . Оптималното положение тук обикновено е малко над края на линията.

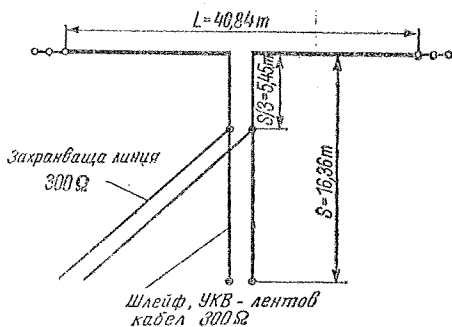
Тъй като тук се извършва преход от симетрична антенна система към несиметричен коаксиален кабел без междино включване на симетриращо устройство, в коаксиалния кабел може да се появят повърхостни вълни и съществува опасност от BCI и TVI. В такъв случай може да се помогне чрез удължаване или скъсяване на коаксиалния кабел с 1 до 2 m.

#### 10.2.5. Съгласуван дипол за всички обхвати

При по-горе описаните антени беше използвана възможността върху антенния проводник да се намери точка, която има приблизително еднакъв импеданс за няколко обхвата. В тази точка излъчвателят се прекъсва и се вмъква захранващата линия, чието вълново съпротивление е горе-долу същото, както и еднаквия за няколко обхвата импеданс на излъчвателя.

Същият принцип може да се приложи и за един отворен на края четвъртвълнов шлейф. В точките на захранване на един полуълнов дипол, оразмерен за най-ниската работна честота, се включва една отворена на края четвъртвълнова линия (фиг. 10.18). Ако полуълновият дипол е в резонанс за вълна 80 m, то и за обхватите 40 m, 20 m и 10 m за някоя от висшите хармонични съществува положение, близко до резонансното. Отворената на края си четвъртвълнова линия представлява едновременно полуълнова линия за





Фиг. 10.18. Съгласуван всевънлов дипол

обхвата 40 m, целовълнова линия за 20 m и линия с дължина  $2\lambda$  за обхвата 10 m. Върху тази отворена двупроводна линия може да се намери точката, която за всички споменати любителски обхвати има импеданс от около  $300\ \Omega$  (вж. раздел 6.6.). Там може да се включи една произволно дълга захранваща линия с вълново съпротивление  $300\ \Omega$  и антената да се захрани при сравнително добро съгласуване за всички обхвати. Теорията и практиката са показали, че тази точка се намира на разстояние приблизително  $1/3$  от дължината на съгласуващия шлейф, измерено от точките на захранване на излъчателя.

Шлейфът и захранващата линия могат да бъдат направени от УКВ лентов кабел. В този случай при определяне на дължината на четвъртвълновата линия трябва да се има пред вид коефициентът на скъсяване на лентовия кабел. При обикновено продаваните лентови кабели (напр. тип 300A7 или 240A4-1)  $V \approx 0.8$  (дължина на шлейфа  $0.8\lambda/4$ ).

При размерите, показани на фиг. 10.18, коефициентът на стоящи вълни в началото на 80-m обхват възлиза на 1,8 и до края на обхвата се увеличава до  $s=4$ . В обхвата 40 m съгласуването е много добро и  $s$  има стойност  $\leq 1.5$ . В обхвата от 14000 до 14200 kHz коефициентът на стоящи вълни  $s$  също така е по-малък от 2. Изненадващо е, че излъчателят работи добре и в обхвата 15 m, в целия обхват не е измерен коефициент на стоящи вълни със стойност, по-голяма от 2,5. При честота 29000 kHz в 10-m обхват се намира едно изразено резонансно положение с коефициент на стоящи вълни

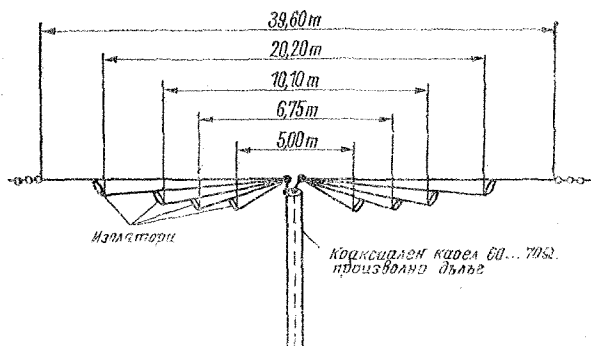
$s=1.2$ . Към високочестотния край на обхвата  $s$  нараства до 2,5, а в началото на обхвата — до 3.

Многообхватните антени със съгласувана захранваща линия винаги са едно компромисно решение. Изглежда все пак, че тази антена представлява особено изгоден компромис.

#### 10.2.6. Антена за всички обхвати с кабелно захранване

На фиг. 10.19 е показана една всевънлова антена с кабелно захранване. От чертежа се вижда, че не се касае за „истинска“ всевънлова антена, защото за всеки обхват се използва отделен полувънлов дипол. Разходите са големи, а и при механичното изработване могат да се появят някои затруднения. Собственоръчно направената антена най-често е твърде тежка и провисването на проводниците — голямо.

Индустриално произвежданите модели, работещи на този принцип, използват специално изработен антенен проводник, при който най-дългият дипол е направен от легирана стомана. Този дипол има задачата да носи всички по-къси диполи. Последните са подредени стъпално съобразно дължината им в общ диелектрик подобно на конструкцията на плоските многожилни кабели с пластмасова изолация. Тъй като един такъв излъчател е в резонанс за всички висши хармонични, непременно трябва да се положат грижи те да бъдат подтиснати чрез Колинс-филтър или други подходящи нископропускателни филтри.



Фиг. 10.19  
Всесълънова антена с ка-  
белино захранване

### 10.2.7. Антена за всички обхвати G5RV

Тази антена е популярна, защото може да се построи много лесно и изисква малко място. Не бива обаче да се залагат твърде големи надежди по отношение на ефективността на този излъчвател, защото става дума за едно компромисно решение, което само в обхватите 10 m и 15 m дава едно малко усилване в сравнение с нормалния дипол.

На фиг. 10.20 са дадени размерите на антената G5RV. Двупроводната линия с дължина 12,90 m представлява един отрязък с дължина  $5/4 \lambda$  (за обхвата 10 m,  $5/4 \lambda$ ). Коэффициент на скъсяване). Вълновото съпротивление на тази линия няма особено значение — то може да бъде между 300 и 400  $\Omega$ . Ако този отрязък е направен от лентов кабел с вълново съпротивление 240  $\Omega$ , загубите нарастват незначително. Когато например се използва УКВ лен-

тов кабел тип 300A7-1, геометричната дължина на отрязъка с електрическа дължина  $5/4 \lambda$  се изчислява, както следва:

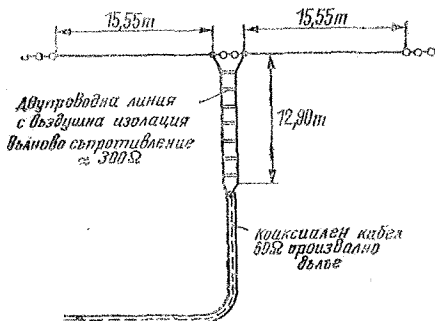
$5/4 \lambda$  за обхвата 10 m съответствуват на дължина на линията 13,15 m, без да се има пред вид коэффициентът на скъсяване. За кабела 300A7-1 коэффициентът на скъсяване възлиза на 0,8. Геометричната дължина е равна на

$$13,15 \cdot 0,8 = 10,52 \text{ m.}$$

В 10-m обхват дължината на антената възлиза на  $6 \cdot \lambda/2$ , следователно в точките на захранване в средата на излъчвателя се намира максимум на напрежението (високоомен импеданс). Двупроводната линия с дължина  $5/4 \lambda$  (нечетно число пъти по-голяма от  $\lambda/4$ ), както е известно, трансформира високоомен съпротивление в нискоомен и обратно. В долния ѝ край, в точката на свързване на произволно дългия коаксиален кабел с вълново съпротивление 60  $\Omega$ , по тази причина има минимум на напрежението (нискоомен импеданс) и съгласуването към захранващия кабел е достатъчно точно.

При работа в обхвата 15 m общата дължина на излъчвателя е повече от  $2 \lambda$ ; съгласуващата линия пресметната за 15 m е малко по-дълга от  $3/4 \lambda$ . Въпреки неточното оразмеряване (твърде дълга) и в този обхват може да се разчита на все още приемливо съгласуване.

За обхвата 20 m двете половини на излъчвателя имат обща дължина  $1,5 \lambda$ , затова точката на захранване в средата им има малко съпротивление. Тъй като допълнително включената съгласуваща линия има дължина, по-голяма



Фиг. 10.20. Всесълънова антена G5RV

от  $\lambda/2$ , кабелът с вълново съпротивление  $60 \Omega$  е съгласуван неправилно. Антената не работи в оптимален режим, защото пулсациите в захранващата линия предизвикват загубно излъчване.

Резонансните отношения в 40-м обхват са много неясни, защото излъчвателя е твърде дълъг, за да бъде полу-вълнов дипол, и твърде къс, за да се приеме, че е целовълнов дипол. Съгласуващата линия в този случай действа като част от излъчвателя и съответно го удължава. С този „измъкнат на сила“ резонанс антената *G5RV* може да бъде спомагателна (временна) антена за обхвата 40 m.

Още по-неблагоприятно е положението при работа в 80-м обхват. В този случай също трябва да се използва съгласуващата линия, за да може цялата система поне до известна степен да се настрои в резонанс. Освен това заради значителното разсъгласуване възникват големи загуби в захранващата линия.

Една такава антена, както всички многообхватни антени, трябва да бъде съгласувана към крайното стъпало на предавателя с помощта на П-филтър. Тогава при добро разположение тя работи задоволително, особено в обхватите 10 m и 15 m.

Често добрата работа в обхватите 15 m и 20 m се цени повече от оптималното съгласуване на антената *G5RV* за 10-м обхват. Това важи със сигурност за периодите на минимум на броя на слънчевите петна. Затова *DM2DGO* препоръчва една изменена *G5RV*-антена, която се различава от

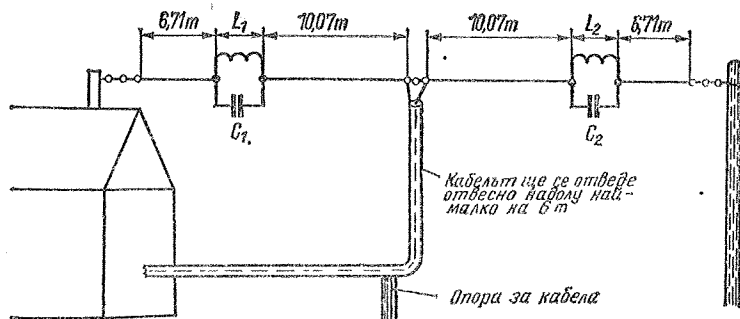
първоначалната си форма с това, че двупроводната съгласуваща линия е скъсена от 12,90 m (фиг. 10.20) на 9,60 m. Като се има пред вид и коефициентът на скъсяване, тази дължина съответствува на  $\lambda/2$  за обхвата 20 m и на  $3/4 \lambda$  за обхвата 15 m. Така чрез отказ от добра ефективност в 10-м обхват антената *G5RV* се съгласува правилно към коаксиалния кабел за работа в обхватите 15 m и 20 m.

### 10.2.8. Всевълнова антена *W3DZZ*

Конструираната от *W3DZZ* антена за всички обхвати със захранване чрез съгласуван коаксиален кабел заслужава особено внимание. Тя без съмнение трябва да се препоръча на радиолюбителя, който с малко разходи иска да построи една добре работеща все-вълнова антена (фиг. 10.21).

Тази антена веднага се познава по режекторните кръгове, които са включени в двата антенни проводника. За нея не е необходимо много място. При работа в обхватите 10, 15 и 20 m тази антена дава забележимо усилване в сравнение с обикновения дипол. Ако се спазят точно размерите, дадени на фиг. 10.21, след построяването ѝ няма да са необходими никакви корекции.

Бобините на двата кръга имат индуктивност  $8,3 \mu\text{H}$ , капацитетът на кондензаторите  $C_1$  и  $C_2$  е  $60 \text{ pF}$ . При тези стойности резонансната честота на режекторните кръгове  $L_1-C_1$  и  $L_2-C_2$  е  $7050 \text{ kHz}$ . За бобините  $L_1$  и  $L_2$  могат да се посочат следните ориентировъчни конструктивни данни: диаметър



Фиг. 10.21. Антена *W3DZZ*

на бобината 50 mm, дължина на бобината 80 mm, брой на намотките — 19. Бобината трябва да се изменя така, че заедно с един постоянен кондензатор от 60 pF да образува кръг с резонансна честота 7050 kHz. Измерването на резонансната честота може да се извършва с еталониран гриддипметър.

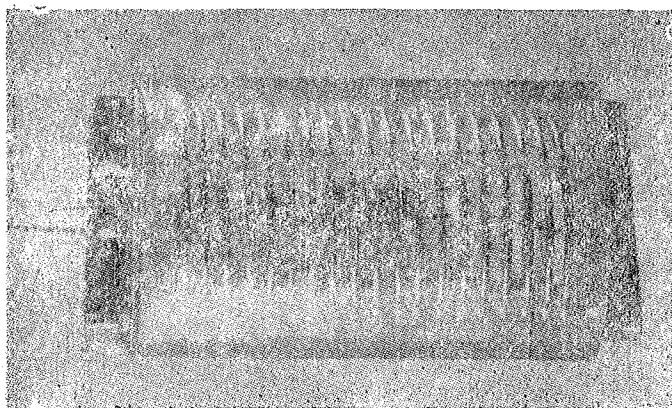
Добрата работа на антената *W3DUV* зависи от режекторните кръгове. Изисква се не само голям качествен фактор, но и голяма стабилност на кръговете при изменение на температурата. Трябва винаги да се има пред вид, че режекторните кръгове са на открито и там са изложени на големи промени на температурата, които повече или по-малко влияят на резонансната честота. Така може да се случи антената да „служи“ само в определен температурен интервал, а при по-големи изменения на температурата да „отказва“. Затова преди окончателното монтиране трябва да се извърши температурна компенсация на кръговете. Това става, като паралелно на бобината, чиято индуктивност, общо взето, нараства малко с увеличаване на температурата, се включи кондензатор с противоположен, т. е. отрицателен температурен коефициент. Често, за да се получи достатъчна температурна компенсация, е необходимо да се използват комбинации от кондензатори с различни температурни коефициенти. При това обаче трябва да се внимава всеки път резултатният капацитет да бъде 60 pF. Правилността на извършената компенсация се проверява, като кръгът последователно се загрива и охлажда.

Всеки път се измерва резонансната честота и се коригира изменението ѝ под влияние на температурната разлика.

Върху режекторните кръгове са приложени високи напрежения. Затова трябва да се препоръча използването на кондензатори с възможно най-голяма устойчивост на пробив. В този случай не са лукс изпитвателни напрежения от 3 kV. Особено доброкачествена бобина може да се изработи от посребрен меден проводник с дебелина 2 mm. Кондензаторът трябва да се защити от влага, като се помести в тръбичка от полистирол (да се уплътни с лепило за полистирол). Целият режекторен кръг може да се постави в изолационна защитна опаковка. Понякога за това са подходящи разнообразните пластмасови съдове, предлагани на пазара. Една примерна конструкция е показана на фиг. 10.22. Използуван е цилиндър от пиакирил с обща дължина 135 mm и външен диаметър 65 mm. По сведения на *DM2AKN* бобината има 20 навивки от дебел 1,5 mm меден проводник при диаметър на бобината 50 mm. За диелектрик на кондензатора с капацитет 60 pF е избран *Tempra S*.

Резонансните честоти на антената *W3DZZ* са 3,7 MHz, 7,05 MHz, 14,1 MHz, 21,2 MHz и 28,4 MHz. Излъчвателят работи на 80 m като полуълнов дипол. Общата му дължина — 33,56 m — е твърде малка за един полуълнов дипол на 80 m;  $L_1$  и  $L_2$  обаче служат като удължаващи бобини, така че резонансната честота е към 3700 kHz.

В 40-m обхват двата кръга действуват



Фиг. 10.22  
Примерна конструкция на режекторния кръг на антена *W3DZZ*, предложена от *DM2AKN*

като режекторни кръгове с резонансна честота 7050 kHz. Вследствие на голямото им резонансно съпротивление в този обхват като излъчватели се използват само двата отрязъка от антенните проводници с дължина 10,07 m. W3DZZ работи и в този обхват като полулъвов дипол.

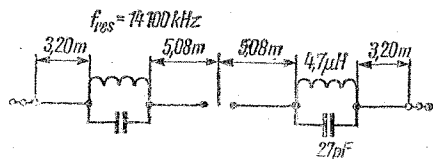
В обхвата 20 m електрическата дължина на излъчвателя възлиза на  $1,5 \lambda$ , в обхвата 15 m —  $2,5 \lambda$ , в обхвата 10 m —  $3,5 \lambda$ . Кондензаторите  $C_1$  и  $C_2$  при честота 14 MHz имат скъсяващо действие, а при 21 MHz и 28 MHz бобините  $L_1$  и  $L_2$  удължават излъчвателя, за да се настрои той в резонанс. Във всички случаи в точката на захранване има максимум на тока, затова захранването може да се направи чрез коаксиален кабел с вълново съпротивление от 60 до 75  $\Omega$ . Коэффициентът на стоящи вълни не надвишава 2 в нито един обхват.

Антена W3DZZ може да се подобри още повече, ако вместо коаксиален кабел се използва екранирана симетрична захранваща линия с вълново съпротивление 120  $\Omega$  (напр. тип 120 D 10-2). В този случай симетрията се запазва. Освен това съпротивлението на излъчване на тази антена в обхватите 20 m, 15 m и 10 m е около 120  $\Omega$  (вж. фиг. 11.2), така че на DX-обхватите може да се разчита на оптимално съгласуване. Коэффициентът на стоящи вълни на другите два обхвата — 40 m и 80 m — запазва приемливи стойности и практически не надхвърля 2.

От фиг. 10.21 следва, че захранващият кабел трябва да бъде отведен вертикално надолу от точката на захранване най-малко на 6 m. Това е едно общо правило, което важи за всички захранващи линии. Захранващата линия може да бъде произволно дълга, защото — най-малкото така се смята — антената е съгласувана прагматично към нея. Все пак опитите показва, че оптимални резултати могат да се постигнат, когато електрическата дължина на захранващата линия въз-

лиза на 7 полулъвни при честота 28,4 MHz. Тъй като за тази честота една дължина на вълната може да бъде приета равна на 10,6 m, една полулъвна е 5,3 m. Седем полулъвни следователно са равни на 37,1 m. Остава да се вземе предвид коефициентът на скъсяване на захранващия кабел; общо взето, той възлиза на 0,66. Механичната дължина на захранващата линия е  $37,1 \text{ m} \times 0,66 \approx 24,49 \text{ m}$ . Ако тази дължина не е достатъчна, захранващата линия може да бъде удължена, но дължината ѝ винаги трябва да бъде нечетен брой полулъвни от 10,6 m (напр. 9, 11, 13 и т. н. полулъвни). Тези мерки трябва да попречат на образуването на повърхностни вълни в обвивката на коаксиалния кабел, което е улеснено от несиметричното захранване. Ако, напротив, както е споменато по-горе, захранването се извършва със симетрична линия с вълново съпротивление 120  $\Omega$ , не е необходимо да се спазва някаква определена дължина на кабела.

Една друга многообхватна антена, работеща на принципа на W3DZZ с обща дължина само 17 m, която може да се използва в обхватите 40 m, 20 m и 10 m е показана на фиг. 10.23. Двата отрязъка на антенния проводник, съседни на точката на захранване, са дълги по 5,08 m. Следват двата режекторни кръга, към които са свързани двата външни клона на дипола, всеки от които е дълъг по 3,20 m. Двата режекторни кръга имат резонансна честота 14,1 MHz. Бобините имат индуктивност 4,7  $\mu\text{H}$ , кондензаторите — капацитет 27 pF. При работа в обхвата 40 m бобините действуват като удължаващи и допринасят за това антената да работи като полулъвов дипол въпреки твърде малката си дължина. Ако излъчвателят се възбуди в обхвата 20 m, тогава действуват настроените в резонанс за честота 14,1 MHz режекторни кръгове; така се изключва влиянието на двете външни части на антената. И в този случай двата вътрешни клона с дължина по 5,08 m са достатъчни, за



Фиг. 10.23. Модифицирана антена W3DZZ за три обхвата

да се настрои антената като полувълнов вибратор.

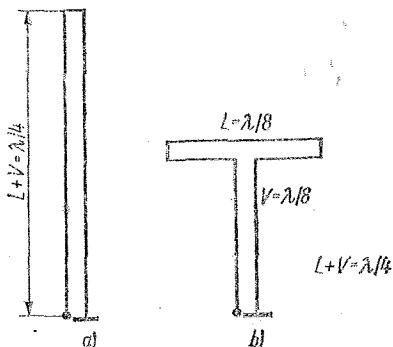
Накрая, на 10-м обхват антената се използва като дипол с електрическа дължина  $2\lambda$ , защото бобините на резекторните кръгове отново предизвикват увеличаване на електрическата дължина на антената.

Захранването и построяването се извършват по начин, аналогичен на този, използван при антената W3DZZ. Дадените там упътвания запазват своята валидност.

### 10.3. Малогабаритни диполни конструкции

Желанията на много радиолюбители за ефективно действаща антенна система често се ограничават от местните условия за монтиране на антената.

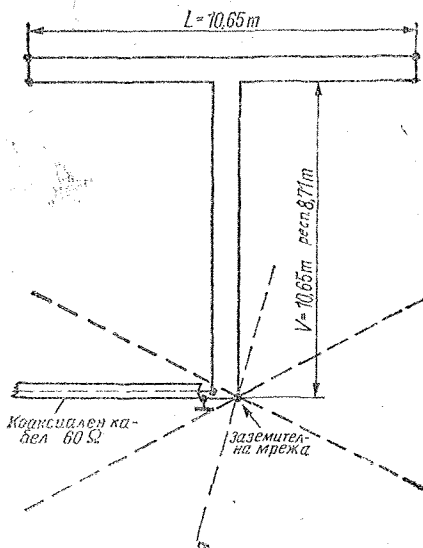
Не рядко на покрива на къщата остава само толкова свободно място, колкото е необходимо за монтиране на ефикасна антена за най-високочестотните любителски обхвати. Съобразно своя опит обаче младият радиолюбител започва своята дейност на „игралната поляна“ — популярния 80-м обхват. Там не е така лесно да се построи антена, най-вече заради необходимите



Фиг. 10.25. Т-антена за обхвата 80 m: а — вертикален четвъртвълнов излъчвател, б — вертикално съксяване при запазване на четвъртвълновия резонанс

излъчватели с големи размери. Който обаче се е занимавал с този въпрос, ще намери начин и при трудни условия да конструира една добра антена. Естествено няма патентовано решение на този проблем, защото местните условия са твърде различни едни от други.

Описаните по-долу малогабаритни антенни конструкции за обхватите 80 m и 40 m трябва — доколкото не винаги могат да бъдат повторени без изменения — да дадат полезни сведения и примери на начинаещия радиолюбител.



Фиг. 10.24. Двухобватна Т-антена

#### 10.3.1. Двухобватна Т-антена

Показаната на фиг. 10.24 Т-антена има много компактна, малогабаритна форма. Въпреки това става дума за един пълноценен излъчвател за 80 и 40 m.

При работа на 80-м обхват антената действа като двупроводен излъчвател с вертикална поляризация и ефективна дължина  $\lambda/4$ . Начинът на действие при този режим на експлоатация е пояснен на фиг. 10.25. Начертан е един четвъртвълнов излъчвател, разположен вертикално и представляващ едната половина от шлейф-вибратор (фиг. 10.25a). Фиг. 10.25b показва същия излъчвател, но с тази разлика, че горната му половина е „сгъната“. Така се получава Т-образна антена, при което почти цялата високочестотна енергия се излъчва от вертикалната

част на антенната, докато хоризонталният участък приема функциите на върхов удължаващ капацитет. Допълващата антенната втори четвъртвълнов отрязък се намира в земята (огледален образ). Затова при този случай на работата състоянието на земната повърхност е от решаващо значение за ефикасното действие на антенната. По тази причина трябва да се обърне особено внимание на казаното в раздел 19.1.

При работа в обхвата 40 m вертикалната част на излъчвателя има дължина  $\lambda/4$ . Тя действува като четвъртвълнов трансформатор, който съгласува вискоомния захранващ кабел (коаксиален кабел) към голямото входно съпротивление на хоризонталната част на антенната (вж. раздел 6.5.).

Частта от излъчвателя, означена с  $L$ , има дължина 10,65 m и по конструкцията си съответствува на един шлейф-вибратор. Разстоянието между проводниците не е критично и може да бъде избрано така, че и в двете части на антенната вълновото съпротивление да бъде между 300 и 500  $\Omega$ . Вертикалният отрязък  $V$  е дълъг също 10,65 m, стига да е направен от дупроводна линия с въздушна изолация. Може обаче да се използва и някой от продаваните УКВ лентови кабели с вълново съпротивление 300  $\Omega$  (напр. 300A7-1). Трябва да се има предвид коефициентът на скъсяване на този кабел, който, общо взето, възлиза на 0,8. Така се получава дължината на  $V$ , равна само на 8,71 m. Общата височина на антенната се намалява почти с 2 m, което би могло да се желае в някои случаи.

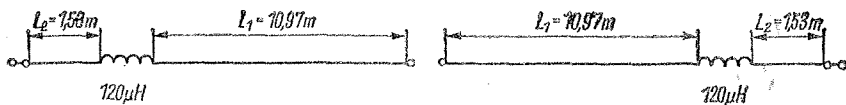
Тъй като при работа на обхвата 80 m антенната работи като четвъртвълнов вертикално поляризиран излъчвател, важно е долната част на антенната да бъде отведена перпендикулярно към земята. Тази част завършва в непосредствена близост до земната повърхност, така че може да бъде свързана направо към заземителната мрежа. Вторият антенен проводник се свързва към вътрешния проводник на коаксиалния кабел. Самият кабел може да бъде произволно дълъг. Той може да бъде положен и под повърхността на земята. При тази антена не са необходими мерки за гръмозащита, защото тя е заземена направо чрез захранващата си линия.

### 10.3.2. Скъсени диполи за 80 m и 40 m

Често съществуват затруднения при опъването на проводника на един полувълнов дипол за 80 m в разполагаемото за целта свободно пространство. В такива случаи е възможно дължината на антенния проводник да бъде намалена чрез вклопането на удължителни бобини.

Колкото по-близко до максимума на тока се премества една бобина, толкова по-силно е нейното скъсяващо действие. Може да се намери една точка по дължината на антенния проводник, в която включената там бобина влияе така, че излъчвателят се настройва в резонанс за две хармонични една на друга честоти. При това допълнително възниква един неприятен ефект — антенната става толкова по-теснолентова, колкото повече се скъсява свободната дължина на проводника. Това означава, че една антена за 80 m/40 m покрива изцяло 40 m обхват, защото във всеки случай тя работи с приблизително цялата си дължина; в обхвата 80 m широчината на честотната лента е едва 80 kHz, защото излъчвателят е скъсен твърде силно.

Всяка антена, чиято геометрична дължина е намалена чрез използването на удължителни бобини, има три променливи величини: дължина на излъчвателя, положение на удължителната бобина и индуктивност на удължителната бобина. Опитно е доказано, че бобини с индуктивност 120  $\mu\text{H}$  са особено подходящи за дипол, който трябва да бъде настроен в резонанс както за 40 m, така и за 80 m и освен това трябва да бъде съответно скъсен. На фиг. 10.26 е показан един дипол, който може да се използва само за телеграфия в 80-m обхват, докато в 40-m обхват той има пълна честотна лента. Общата дължина на опъвания антенен проводник на тази двубобинна антена е 26 m. Тъй като излъчвателят е полувълнов дипол, съпротивлението в точките на захранване е около 60  $\Omega$ . Индуктивността на двете удължителни бобини е 120  $\mu\text{H}$ . Тази стойност на индуктивността може да се получи, ако се навият шестно една до друга 200 навивки от меден проводник с лакова изолация. Диаметърът на пластмасовата



Фиг. 10.26. Скъсен дипол за обхватите 80 m/40 m

трябва, върху която се навива бобината, трябва да бъде 26 mm, а дебелината на проводника — 1 mm. Подходяща за тази цел е водопроводна тръба от PVC, размер 3/4 цола. Повърхността на намотката трябва да се защити от външни атмосферни влияния, като се използва качествен изолационен лак.

Ако резонансът в 80-m обхват трябва да се измести във високочестотния край на обхвата, може да се скъсят дължините  $L_2$  (напр. да станат равни на 1,25 m).

На фиг. 10.27 е показана една аналогична антена, но тя представлява наклонен скъсен дипол. За нея е необходима само една централна мачта, дълга около 7 m, и две стабилизиращи опорни греди с височина 1,50 m. Прави впечатление, че диполът не е прекъснат в средата. В този случай коаксиалният кабел се свързва към антената чрез делта-съгласуване (вж. раздел 6.1.).

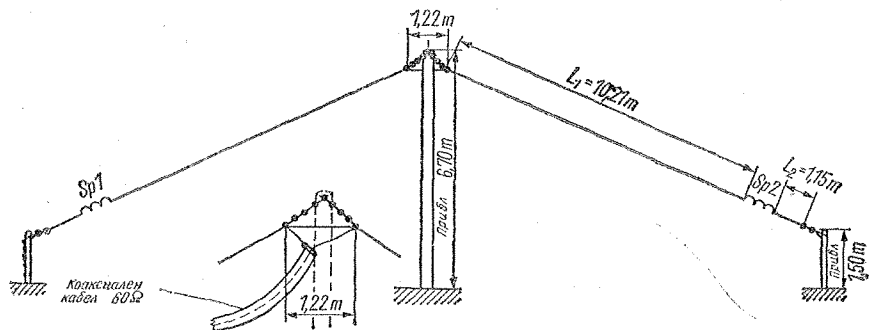
Резонансът на тази антена е в частта на 80-m обхват, използвана за телефония (около 3700 kHz). Данните за двете удължителни бобини са същите, както за антената, показана на фиг. 10.26. Тази антена има малка височина на монтиране и затова нейната работа зависи силно от състоянието на земната повърхност. Винаги е не-

обходимо резонансната честота да се проверява с гриддипметър. И двете описани по-горе антени трябва да бъдат съгласувани към крайното стъпало на предавателя чрез несиметричен Колинс-филтър (вж. раздел 8.1.1.).

Централната мачта може да бъде използвана пълноценно и освен това да бъде укрепена допълнително, ако перпендикулярно на основния излъчвател за 80 m/40 m се включи още един наклонен дипол за обхвата 20 m. Такова включване е най-подходящо единствено от механични съображения — двете антени могат да бъдат разположени и под остър ъгъл една спрямо друга. Дължината на едното рамо на антената за 20 m е 5,04 m; при нужда може да бъдат поставени и диполи за обхватите 15 m и 10 m. Централната мачта би могла да носи и един вертикален излъчвател, което действително би било удобно за високочестотните любителски обхвати.

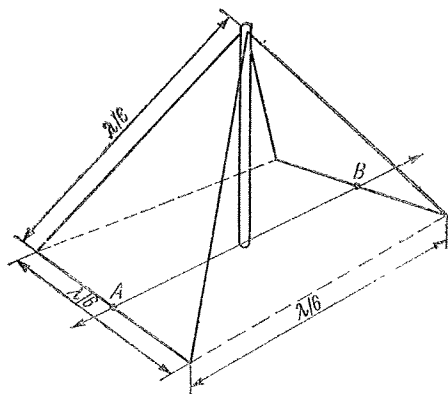
### 10.3.3. Проводникова пирамида

В годините, в които броят на слънчевите петна е минимален, 80-m обхват става много популярен, защото тогава обхватите 10 и 15 m не могат или



Фиг. 10.27. Наклонен скъсен дипол за обхватите 80 m и 40 m





Фиг. 10.28. Схема на проводниковата пирамида

само рядко могат да се използват. Точно по време на минимум на слънчевите петна специалистите по DX-връзки имат някои добри възможности. За да могат да ги използват, те трябва да разполагат с добра антена.

За съжаление един качествен излъчвател за 80 m изисква много място и високи точки на окачване. Минимално изискване би било да се използва полуълнов излъчвател с дължина на опънатия проводник поне 40 m, който би трябвало да виси най-малко на 20 m над земята. Даже и тогава не може във всички случаи да се разчита на най-благоприятни условия за излъчване, защото близко разположени препятствия (особено хоризонтални проводници, олуци, метални конструкции и пр.) могат да повлияят на работата на излъчвателя. В такива случаи възникват неконтролируеми поглъщания и отражения; ефективната електрическа височина на антената става много по-малка от геометричната височина. Един такъв полуълнов дипол вече в никакъв случай няма теоретичното входно съпротивление (от 60 до 70  $\Omega$ ), а едно значително по-малко съпротивление. Затова при радиолюбителите твърде рядко могат да се намерят 80-m излъчватели с добри характеристики на излъчване.

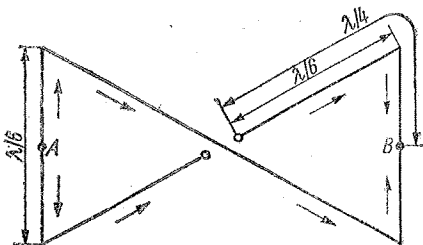
Често любителите съзнателно се задоволяват със скъсени спомагателни антени и полагат усилия да компенсират загубите при излъчването на

енергия чрез увеличаване на мощността на предавателя.

Досега е малко известна една антенна конструкция, която може да се нарече проводникова пирамида (фиг. 10.28). За нея е достатъчно монтажна площ около  $14 \times 14$  m и е необходима само една висока около 13 m мачта. Въпреки това става дума за една пълноценна антена с добри излъчвателни свойства и особена пригодност за работа на 80 m.

Общата дължина на проводника на пирамидата е 1  $\lambda$ . Антенните проводници едновременно служат и като обтяжки на централната мачта. Разположението на проводника на антената и точките на захранване са показани отделно на фиг. 10.29. От фигурата се вижда, че се образуват два равностранни триъгълника с дължина на страната  $\lambda/6$ . Чрез начина на захранване се определя посоката на токовете в съседните на точката на захранване 4 наклонени части на проводника. Токовете протичат синфазно (вж. стрелките за тока). Разпределението на тока в двата хоризонтални и съседни на земната повърхност отрязъка с дължина  $\lambda/6$  е противофазно, като освен това в средата им (точките A и B) съществува максимум на напрежението. Оттук може да се направи изводът, че хоризонталните проводници взимат незначително участие в процеса на излъчване.

Диаграмата на насочено действие има двустранно изразени максимуми в направлението A—B; минимумът на диаграмата на излъчване е в посоки, перпендикулярни на това направление. Максимумите и минимумите не са силно изразени и може да се каже, че антената излъчва добре във всички посоки. Диаграмата на насочено дей-



Фиг. 10.29. Разположение на проводниците и посока на тока в проводниковата пирамида

ствие и входното съпротивление на антената зависят от ъгъла на наклона на проводниците, от височината на монтирането и от състоянието на земната повърхност. Съпротивлението в точката на захранване е между 60 и 100  $\Omega$ . Затова е възможно захранването да стане направо чрез коаксиален кабел с произволна дължина.

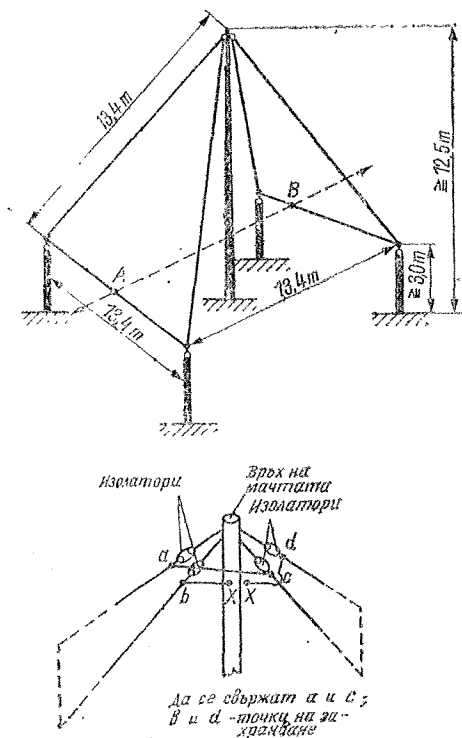
Коефициентът на полезно действие на антената нараства с увеличаване на височината на монтиране. Минимално изискване е дължината на централната мачта да бъде 13 m и височината на хоризонталните части на проводниците над земната повърхност да бъде поне 3 m. Пирамидата има доста остра резонансна крива (тя е тесноленцова). Тъй като освен това за захранване се използва съгласувана линия,

антената не винаги може да се настрои в резонанс с елементите за настройка на схемата за връзка. Ако спадането на мощността в края на обхвата стане твърде голямо, може да се използва една сравнително проста възможност за изменение на резонанса в съответствие с изискванията. За целта резонансът на антената се подбира близо до високочестотния край на обхвата (напр. 3750 kHz) и при нужда резонансната честота се намалява чрез свързване на по един проводник към точките *A* и *B* (средните точки на хоризонталните отрязъци). Като грубо правило важи, че всяко удължаване с 45 cm намалява резонансната честота с 50 kHz. Общо взето, е достатъчно антената да се оразмери за резонансна честота 3700 kHz.

Така може да се работи добре в обхвата за телефония от 3600 до 3800 kHz. За работа на телеграфия антената се пренастройва на честота 3750 kHz. Това става, като към точките *A* и *B* с крокодилче се свързва парче от проводник с дължина 135 cm. Който държи на добрия външен вид и на стабилността на антената, може да прекара между централната мачта и точките *A* и *B* постоянен проводници, които са прекъснати чрез изолатор на всеки 45 или 90 cm. Чрез шунтиране на изолаторите резонансната честота на антената може да се изменя през интервал от 50 kHz, съответно — 100 kHz.

Привържниците на автоматизацията могат да извършват превключването от помещението на радиостанцията, като използват релета. Тъй като точките *A* и *B* се намират при максимум на напрежението, трябва да се използват висококачествени изолатори. Резонансната честота се измерва с гриддин-метър в края на захранващия кабел откъм предавателя, като се използва бобина за връзка. Нанесените на фиг. 10.30 размери са изчислени предварително за резонансна честота 3700 kHz. За да се подобри устойчивостта на антената, трябва четирите външни опорни стълба да се издигнат в посоката на опъване на проводника. За коаксиалния кабел се препоръчва дължина  $\lambda/2$ . Геометричната дължина за кабел с коефициент на скъсяване 0,66 (напр. тип 60-7-2) възлиза на 26,75 m.

Симетриране не е безусловно необходимо. Наличната централна мачта



Фиг. 10.30. Конструкция и размери на една проводникова пирамида с резонансна честота 3700 kHz

може да се използва и за други антенни системи.

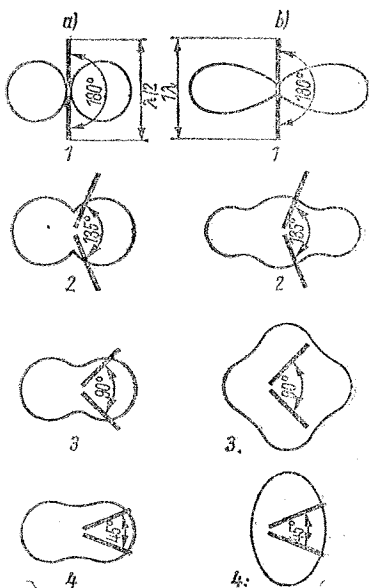
По отношение на добрите качества на проводниковата пирамида може да се изтъкне и това, че поради наклона на проводниците на излъчвателя връзката със съседните хоризонтални мрежови и съобщителни свободни висящи проводници е значително по-малка, отколкото при хоризонтално монтиран излъчвател. Така чувствително се намалява влиянието на заобикалящата среда.

#### 10.4. Ъглови диполи с кръгова диаграма на излъчване

В много случаи, например в 80-метровия обхват и при станциите за жична радиофикация, се предпочитат антени с кръгова диаграма на излъчване в хоризонталната равнина. Кръгова диаграма в хоризонталната равнина имат вертикално поставените диполи. За съжаление вертикални диполи за „дълговълновите“ любителски обхвати едва ли могат да се реализират, защото една такава антена за 80 m би изисквала минимална височина на монтиране от 40 m. Даже един четвъртвълнов излъчвател, разположен над земята, като граундплейна или Магсони-антената, би бил висок най-малко 20 m.

По-малко разходи са необходими за хоризонтално огънати проводникови антени, които могат да получат приблизително кръгова диаграма на излъчване в Е-равнината, като им се придаде подходяща форма. Както следва от фиг. 10.31, диаграмата на излъчване на хоризонтални диполи се променя, когато те се огънат. Диаграмата на насочено действие на огънатия дипол, която има форма на осморка с ясно изразен минимум на излъчване (фиг. 10.31a1 и 10.31b1), се изменя при огъване на дипола и има повече или по-малко изразена кръгова форма (фиг. 10.31 от a2 до a4 и b). При оценката на тези диаграми е възможно да се направят изводи за конструиране на ъглови диполи, с които се удовлетворяват най-различни изисквания.

Един малък недостатък на тези ъглови диполи е този, че при никакъв ъгъл на огъване не може да се получи чисто кръгова диаграма. В практиката на радиолюбителите-късовълновци най-



Фиг. 10.31. Диаграми на излъчване на хоризонтални ъглови диполи в Е-равнината; а — полувълновни диполи.

1) прав полувълнов дипол, 2) полувълнов дипол, огънат в средата на  $135^\circ$ ; 3) полувълнов дипол, огънат на  $90^\circ$ ; 4) полувълнов дипол, огънат на  $45^\circ$

б — целовълновни диполи

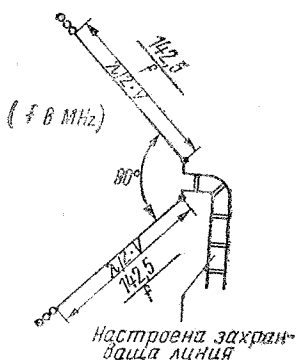
1) прав целовълнов дипол, 2) целовълнов дипол, огънат на  $135^\circ$ ; 3) целовълнов дипол, огънат в средата на  $90^\circ$ ; 4) целовълнов дипол, огънат на  $45^\circ$

често се смята за задоволително това, диаграмата на насочено действие на антената да няма изразени минимума.

##### 10.4.1. Целовълнов ъглов дипол

Простата хоризонтална проводникова антена с ъгъл на огъване  $90^\circ$  (вж. фиг. 10.31b3) може да бъде наречена целовълнов ъглов дипол. Тя излъчва почти равномерно във всички посоки на хоризонталната равнина и освен това има предимството, че може да се използва като всеволнова антена.

На фиг. 10.32 е показан целовълнов ъглов дипол с ъгъл на огъване  $90^\circ$ . Този излъчвател досега не е намерил признание в любителските кръгове, макар че той е от съвсем „добър произход“. Той спада към семейството



Фиг. 10.32. Целовълнов дипол с кръгова диаграма на излъчване

на използваните като предавателни антени в УКВ- и телевизионните обхвати *U*-антени, квадратни излъчватели и техните по-съвременни разработки.

Всяко рамо на излъчвателя има дължина  $V\lambda/2$  ( $V$  — коефициент на скъсяване). Пресметнатите дължини могат да се вземат и от таблица 34.5, дадена в приложението.

Ако един 90°-целовълнов ъглов дипол се оразмери за 40-м обхват, той

е едновременно и полувълнов ъглов дипол за обхвата 80 m. За този случай на експлоатация важи диаграмата на насочено действие в хоризонталната равнина от фиг. 10.31a3. Тя няма съвършено равномерно излъчване във всички посоки, но няма и изразените минимума, които има диаграмата на един прав дипол. Този излъчвател може да се използва едновременно и за DX-обхватите 20, 15 и 10 m. В тези високочестотни обхвати антената работи като *V*-излъчвател с ясно изразено насочено действие. Главното излъчване става в две посоки по направление на ъглополовящата.

Работата във всички обхвати изисква възбуждането да става чрез настроена захранваща линия. Само при работа изключително на един обхват с целесъобразно да се направи съгласуване към каква да е ненастроена захранваща линия, като се използва затворен на края четвъртвълнов съгласуван шлейф.

Могат да се назоват още няколко диполи с кръгова диаграма на излъчване в хоризонталната равнина (кръстосани вибратори, четириъгълна рамкова антена и пр.), които обаче са твърде неугледни за оразмеряване в късовълновия обхват. Те са описани в раздела за УКВ антени.

## 11. Антени „дълга жица“ (long wire)

При установяване на радиолюбителски връзки в късовълновия обхват като предавателна антена често се използва един дълъг проводник. Изразът „дълга жица“ подсказва, че дължината на проводника на излъчвателя е по-голяма от една дължина на работната вълна. Това означава, че антената се възбужда с висши хармонични на работната вълна. В зависимост от начина на захранване и останалите конструктивни особености антените от този тип носят имената Фукс-антена, V-антена, ромбична антена и т. н. Всички антени тип „дълга жица“ се подчиняват на едни и същи общи закономерности, които ще бъдат разгледани по-долу.

Построяването на една антена „дълга жица“ е просто и евтино. Тази антена изисква единствено много място, защото колкото по-дълга е тя, толкова по-големи са степенята на насоченост и усиляването. Терминът „дълъг“ винаги се отнася към работната дължина на вълната.

При съответно оразмеряване и захранване антената „дълга жица“ може да се използва като всеволнова антена за любителските късовълнови обхвати. Дължината на проводника на такава антена се получава от съотношението

$$l = \frac{150 \cdot (n - 0,05)}{f}, \quad (11.1)$$

където  $l$  е търсената дължина в m,  $n$  — брой на полуълните, разположени по дължината на антената,  $f$  — резонансната честота в MHz.

С нарастване на дължината на антената посоката на главния лъч все повече и повече се доближава до направлението на проводника. Едновременно с това се получава една все по-силна концентрация на излъчването в главните направления, при което при увеличаване на дължината на антената се образуват и все по-голям брой стра-

нични листове. На фиг. 11.1 са показани диаграмите на излъчване в хоризонталната равнина на антени „дълга жица“ с различни дължини.

Прави впечатление, че с увеличаване на дължината на излъчватели се появяват странични листове в диаграмата на излъчване. Това не представлява някакъв недостатък, защото така „дългата жица“ получава една повече или по-малко добра кръгова диаграма на насочено действие и в направлението на страничните листове могат да се получат почти същите резултати, както с един полуълнов дипол. В направлението на главните лъчове освен това се постига значително усиливане, което нараства с увеличаване на дължината на излъчвателя. Друго предимство е това, че тази антена има малък ъгъл на възвишение в H-равнината, нещо, което е особено желателно при покриване на големи разстояния.

От фиг. 11.2 може да се разбере на какво теоретично усиливане на антената в dB може да се разчита при различната дължина на антената (крива I) и на какъв ъгъл спрямо надлъжната ос на излъчвателя се намират главните листове с максимално излъчване (крива III). Кривата II представлява изменението на съпротивлението на излъчване на антена тип „дълга жица“ в зависимост от дължината на антената.

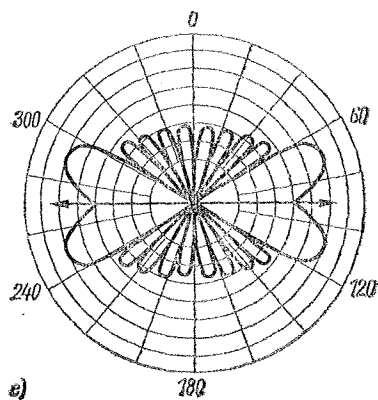
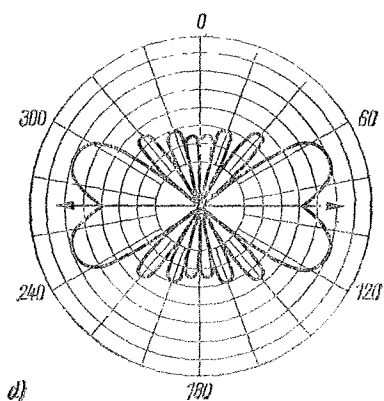
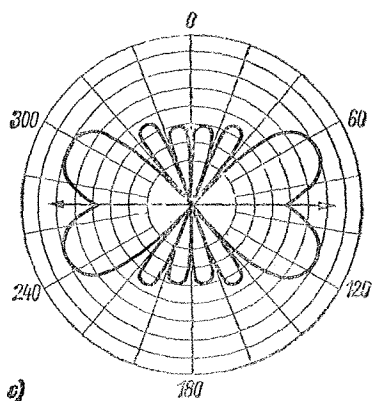
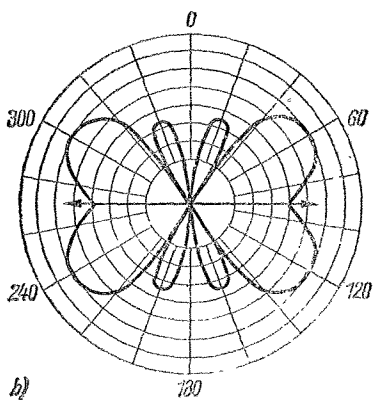
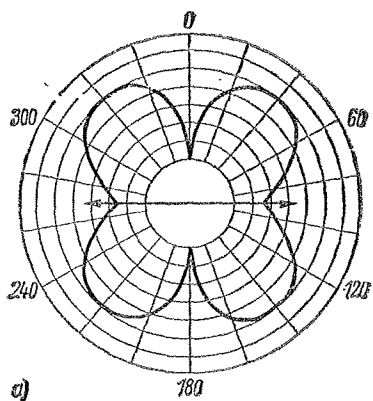
### Пример

Трябва да се построи антена „дълга жица“ за работа на любителския обхват 20 m. Условията на местността позволяват използването на проводник с дължина до 85 m в направление изток—запад.

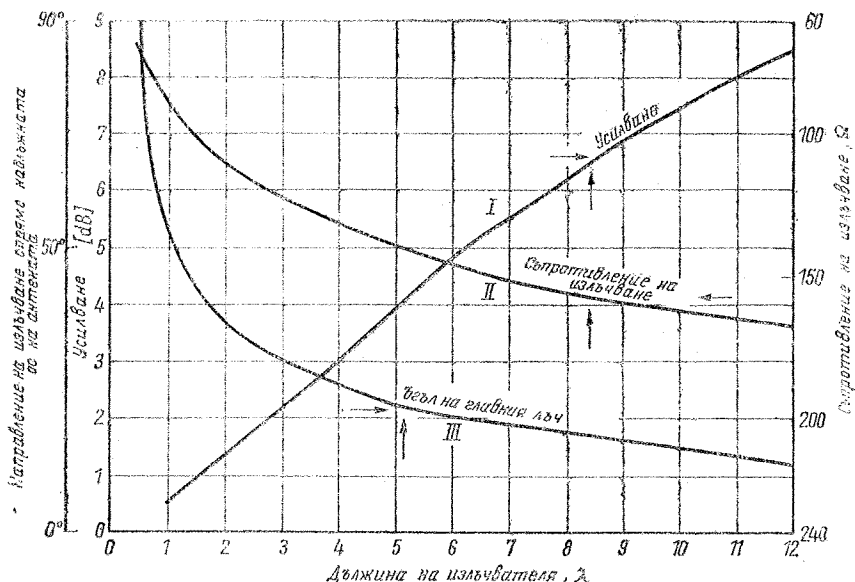
Трябва да се установи:

$a$  — точната дължина на проводника за антена с дължина 4  $\lambda$ ;

$b$  — очакваното усиливане на антената



Фиг. 11.1. Диаграми на излъчване в хоризонталната равнина на антени „дълга жича“ с различна дължина: *a* — дължина на излъчвателя  $1\lambda$ , *b* — дължина на излъчвателя  $2\lambda$ , *c* — дължина на излъчвателя  $3\lambda$ , *d* — дължина на излъчвателя  $4\lambda$ , *e* — дължина на излъчвателя  $5\lambda$ .



Фиг. 11.2 Усилване, съпротивление на излъчване и направление на главния лъч на диаграмата на насочено действие на антена тип „дълга жица“ в зависимост от дължината на излъчвателя

Крива I

Теоретично усиление на антената в зависимост от дължината на излъчвателя, изразена в  $\lambda$ ;

Крива II

Съпротивление на излъчване при максимум на тока в зависимост от дължината на излъчвателя, изразена в  $\lambda$ ;

Крива III

Ъгъл между направлението на главния лъч на диаграмата на насочено действие и надлъжната ос на антената в зависимост от дължината на излъчвателя, изразена в  $\lambda$

в посоката на максимално излъчване;  
с — съпротивлението на излъчване и посоките на максимално излъчване.

Дължината на проводника се пресмята по (11.1). Върху една антена с дължина  $4\lambda$  се разполагат 8 полуълни, затова  $n=8$ . Средната честота на 20-метровия обхват се приема равна на 14,1 MHz.

$$l = \frac{150 \cdot (8 - 0,05)}{14,1} \approx 84,57 \text{ m.}$$

Дължината на проводника възлиза на 84,57 m. От фиг. 11.2 се вижда, че при дължина на антената  $4\lambda$  (пресечната точка с крива I) може да се очаква усиление около 3 dB в посоките на главното излъчване.

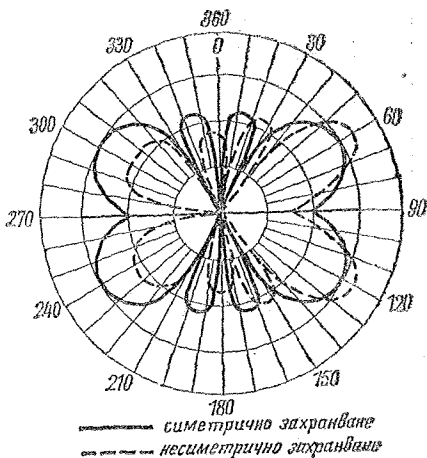
Съпротивлението на излъчване се намира от крива II и е равно на 130  $\Omega$ . Това е едновременно и входно съпротив-

ление на антената, ако захранването се подава в точки, в които има максимум на ток.

Направлението на главния лъч склучва с надлъжната ос на антената ъгъл  $26^\circ$  (определя се от крива III). При опъване на проводника в посока изток—запад, съответстваща на  $270^\circ$ , съгласно фиг. 11.1 посоките на главното излъчване са

$$\begin{aligned} 270^\circ + 26^\circ &= 296^\circ, \\ 270^\circ - 26^\circ &= 244^\circ, \\ 90^\circ + 26^\circ &= 116^\circ, \\ 90^\circ - 26^\circ &= 64^\circ. \end{aligned}$$

Върху една карта на света с правилна ъглова проекция могат да бъдат определени тези части от земната повърхност, които най-вероятно ще бъдат достигнати от сигнала, излъчен от тази антена.



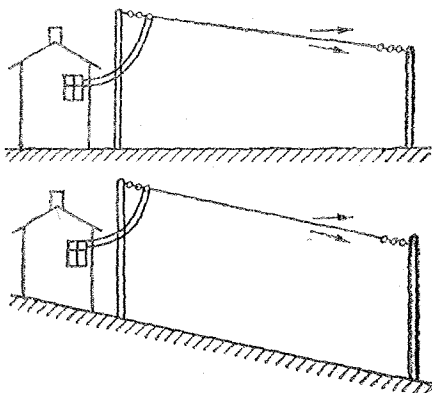
Фиг. 11.3. Диаграма на насочено действие в хоризонталната равнина на антена тип „дълга жица“ с дължина  $2\lambda$  при симетрично и несиметрично захранване.

Представените на фиг. 11.1 диаграми на насочено действие са идеализирани и подлежат на по-големи или по-малки промени. Забележими деформации на диаграмата на насочено действие се появяват винаги когато излъчвателят се захранва в единия си край, т. е. несиметрично. Като пример на фиг. 11.3 е показана диаграмата на насочено действие в хоризонталната равнина на една „дълга жица“ с дължина  $2\lambda$  при симетрично и несиметрично захранване. Вижда се, че при несиметрично захранване в края на антената (диаграмата, начертана с прекъсната линия) диаграмата на насочено действие е също несиметрична. Максимумите на излъчването се преместват в посока към отворения край на проводника, докато в посока на точката на захранване се забелязва едно намаляване на листовите на главния лъч. Тези явления се появяват при всички несиметрично захранвани антени. Следователно една дълга жица има максимално излъчване в посока на свободния край на антената.

Друго изменение на насоченото действие на антената се получава, ако проводникът се опъне под известен наклон над земята или антената се опъне над някой склон (фиг. 11.4). Това оказва влияние на ъгъла на възвишение на излъчването в Н-равнината.

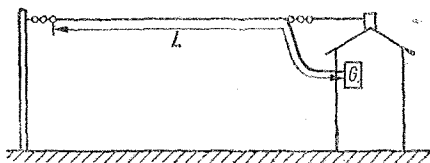
Ако антената се наклони напред в посока на отворения край или пък надморската височина на местността спада в същото направление (фиг. 11.4), такива излъчватели могат да донесат изненадващо добри DX-успехи в късовълновите любителски обхвати, разбира се, в главните направления, посочени със стрелки.

Вертикалният ъгъл на възвишение на антената има особено голямо значение при покриване на големи разстояния. От него зависи „дължината на скока“ при отражение от йоносферата (вж. раздел 2.). Вече беше споменато, че за DX-връзки особено благоприятно е „ниско“ излъчване, т. е. малък вертикален ъгъл на възвишение на диаграмата на излъчване в Н-равнината. Антените „дълга жица“ излъчват под малък ъгъл спрямо хоризонта, особено когато са монтирани на голяма височина. Например при височина  $2\lambda$  над земята се получава най-малък ъгъл на възвишение на излъчването, равен на  $10^\circ$ . Ако „дългата жица“ се намира само на  $0,5\lambda$  над земята, може да се разчита на ъгъл на възвишение от около  $35^\circ$ . При по-малки височини на монтиране чрез наклоняване на излъчвателя, както беше описано по-горе, може да се постигне намаляване на ъгъла на възвишение във вертикалната равнина и с това — по-добри DX-резултати в късовълновите любителски обхвати.



Фиг. 11.4. Наклонен излъчвател и антена тип „дълга жица“, опъната над наклонена местност





Фиг. 11.5. L-антена

### 11.1. L-антената като антена за всички обхвати

L-антената може да бъде наречена най-примитивна късовълнова антена. Нейният външен вид не се различава от обикновените средновълнови радиоприемни антени (фиг. 11.5).

Общата дължина на проводника  $L$ , измерена до антенния куплунг на включения към нея апарат, възлиза най-малко на  $\lambda/2$ , умножена по коефициента на скъсяване.

L-антената може да се използва като антена за всички обхвати, ако се оразмери като полувълнов излъчвател за обхвата 80 m. Тогава в обхвата 40 m тя работи като целовълнов излъчвател, в обхвата 20 m — като излъчвател с дължина 2  $\lambda$ , в обхвата 15 m — като излъчвател с дължина 3  $\lambda$  и в обхвата 10 m — като антена с дължина 4  $\lambda$ .

За съжаление това изчисление не е съвсем точно. Ако дължината на един полувълнов излъчвател се пресметне съгласно (11.1) за  $f_{\text{res}} = 3500$  kHz, механичната дължина възлиза на 40,71 m. За хармоничната честота 7,0 MHz, за която същият проводник представлява целовълнова антена, от уравнение (11.1) обаче се получава механична дължина 41,78 m. Следователно целовълновият излъчвател би бил по-къс с повече от 1 m. Тези разлики се появяват не само при L-антената, но и при всички антени, които се захрават с хармонична на

основната честота. Причината за това е различният коефициент на скъсяване.

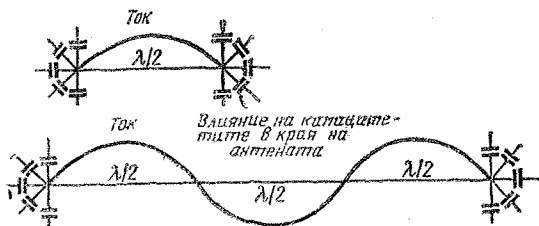
Коефициентът на скъсяване на една антена се определя до голяма степен от влиянието на капацитетите в краищата на излъчвателя. При един проводник, възбуден с висши хармонични, който е дълъг няколко полувълни, скъсяващото влияние на капацитетите съществува само в двата края на проводника, докато намиращите се между тях полувълнови отрязъци остават незасегнати (фиг. 11.6). Влиянието на капацитетите в края на антената трябва да бъде компенсирано със скъсяване на излъчвателя, защото те действуват удължаващо. От фиг. 11.6 следва, че един излъчвател с дължина, равна на няколко полувълни, е изложен на влиянието на капацитетите само в краищата си и затова не трябва да бъде скъсяван толкова много, колкото един полувълнов дипол.

От следващата съпоставка се вижда, че един полувълнов излъчвател, оразмерен правилно за честота 3500 kHz, винаги ще бъде по-къс, отколкото трябва, при работа в любителските обхвати, чиято честоти са висши хармонични на горната честота.

Резонансна честота	Дължина на излъчвателя
3500 kHz = 0,5 $\lambda$	40,71 m
7000 kHz = 1,0 $\lambda$	41,78 m
14000 kHz = 2,0 $\lambda$	42,32 m
21000 kHz = 3,0 $\lambda$	42,50 m
28000 kHz = 4,0 $\lambda$	42,60 m

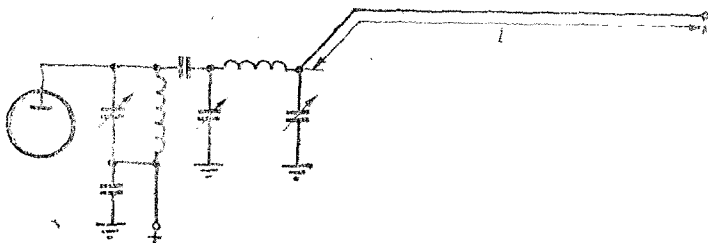
Оттук следва, че резонансът на една антена, възбудена с висши хармонични, не винаги е точно хармонична на основната вълна.

На практика дължината на излъчвателя  $L$ , равна на 42,2 m, представлява един приемлив компромис. В такъв случай резонансът на антената попада



Фиг. 11.6

Влияние на капацитетите в края на антената върху коефициента на скъсяване на излъчвателя



Фиг. 11.7. Свързване на L-антена към крайното стъпало на предавателя

в DX-обхватите (14 040, 21 140 и 28 230 kHz), докато дължината на излъчвателя е твърде голяма за обхватите 40 m и 80 m.

Тъй като L-антената излъчва с цялата си дължина (тя няма захранваща линия), съществува много голяма опасност да предизвика радиосмущения. За това не може да се препоръчва използването ѝ в гъсто населените жилищни райони. Нищо обаче не може да се възрази срещу използването ѝ като присмнна антена за къси вълни.

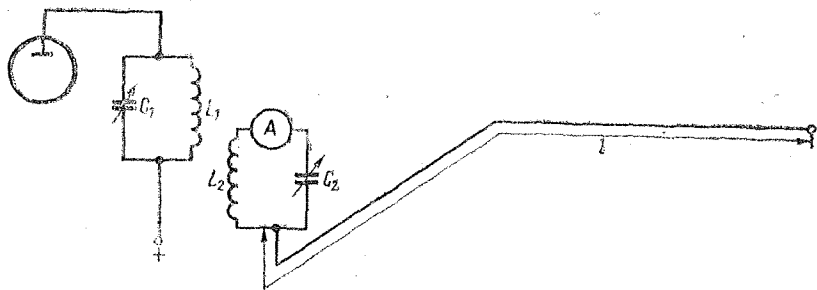
L-антената винаги се свързва към крайното стъпало на предавателя чрез несиметричен Колинс-филтър (фиг. 11.7), за да се подтисне излъчването на висши хармонични на основната честота и едновременно да се извърши настройка в резонанс за всички любителски обхвати. За оразмеряването на такъв нископропускащ филтър може да се направи справка в раздел 8.1.1.1.

L-антената с Колинс-филтър е популярна като универсална антена. Тя може да даде добри резултати, ако поне 80% от общата дължина на проводника е окачена на възможно най-голяма височина.

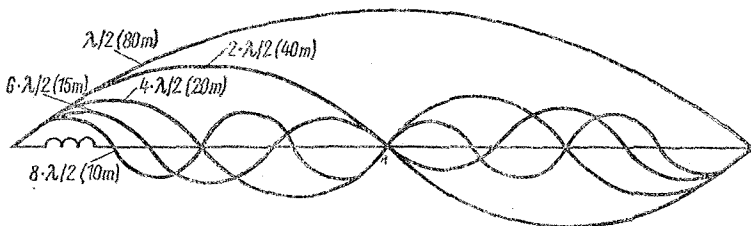
## 11.2. Антена на Фукс

Австрийският радиолобител Фукс популяризира наречената на негово име антена още когато любителското радио правеше първите си стъпки. Дълго време тя беше една от най-популярните късовълнови предавателни антени, но днес почти няма значение. Тя представлява една нормална L-антена, която се отличава единствено по особенния начин на свързване към анодния кръг на крайното стъпало.

Както показва фиг. 11.8, антената на Фукс работи с междинен кръг, който е свързан индуктивно към „студения край“ на бобината в анодния кръг. Желателно е междинният кръг да има голямо отношение  $L/C$  (голям качествен фактор). Давните за кръга могат да се вземат от таблица 10.2. Даже при малки мощности на предавателя в този кръг протичат големи токове. За да се запазят малки загубите, бобината трябва да бъде изработена от възможно най-дебел проводник или от тръба. Амперметърът  $A$  е електроизмерителен уред от топлинната система или някакъв друг подходящ



Фиг. 11.8. Антена на Фукс



Фиг. 11.9. Разпределение на тока при един "всевълнов" излъчвател

измерителен уред, годен да измерва високочестотни токове. При липса на друга възможност като индикатор на ток може да се използва малка глим-лампа със съответно оразмерен шунт.

Резонансната честота на междинния кръг  $L_2C_2$  съответствува на желаната работна честота, а дължината на излъчвателя  $l$  трябва да се пресметне по (11.1). От това следва, че също и антената на Фукс може да се възбуди с висни хармонични и да се използва ограничено като многообхватна антена. В този случай междинният кръг трябва да се пренастрои за всяка работна честота.

Директно захранваните антени ( $L$ -антената и антената на Фукс) излъчват с цялата си дължина. Тъй като захранващата линия излъчва силно, появяват се загуби от поглъщане, предизвикани от намиращите се близо до антената свободно висящи проводници, части на сградата, метални конструкции и т. н. Освен загуби при излъчването високата честота предизвиква повече или по-малко смущения в съседните радио- и телевизионни приемници.

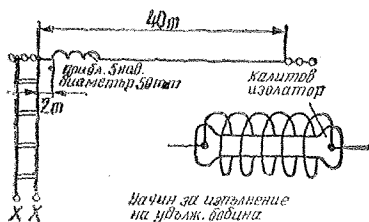
### 11.3. Многообхватна антена DL7AB

Една „дълга жица“ може да се настрои в резонанс за всички любителски обхвати по един сравнително прост начин, предложен от DL7AB. При конструирането на тази антена е следван такъв ред на мисли: Една бобина, включена в излъчвателя, увеличава електрическата му дължина. Удължаващото влияние е най-голямо, ако бобината е разположена в максимум на тока; това влияние намалява, колкото повече бобината се доближава до възел на тока. На фиг. 11.9 е показано как се разпределят максимумите на тока върху

един излъчвател, който за 80 m има дължина  $\lambda/2$  и се използва като антена за всички обхвати.

Ако на приблизително 2,5 m от края на излъчвателя се включи удължаваща бобина, при работа на 10 m тази бобина е точно в първия максимум на тока; следователно удължаващото действие е най-силно. При работа на вълна 15 m бобината все още е близко до максимум на тока, така че нейното влияние е малко отслабено. Колкото по-голяма става дължината на вълната, толкова повече бобината се доближава до минимум на тока; едновременно с това се намалява и нейното действие като удължител на електрическата дължина на антената. Ако за всевъълновата антена, предложена от DL7AB, се приеме дължина на излъчвателя 40 m, нейната дължина ще бъде малко по-малка, отколкото е необходимо за един полу-вълнов излъчвател за обхвата 80 m. Въпреки че удължителната бобина се намира почти във възел на тока, нейното влияние все пак е достатъчно, за да се настрои излъчвателят в резонанс за вълна 80 m. За работа в обхвата 40 m излъчвателят би бил вече почти 1,7 m по-къс от необходимото, но удължителната бобина вече е разположена малко по-близо до максимум на ток и компенсира скъсяването. При работа на вълна 20 m не достигат вече 2,3 m, на 15 m — 2,5 m и на 10 m — 2,6 m от дължината на излъчвателя. С нарастване на честотата обаче удължителната бобина се премества все по-близо до максимум на тока и всеки път нейното действие допринася за настройката на антената в резонанс. Чрез различното удължаващо действие се постига това, излъчвателят да има необходимата електрическа дължина за всеки любителски обхват.

Не могат да бъдат установени точни



Фиг. 11.10. Всевълнова антена DL7AB, захранвана в край

дании за местоположението и големината на удължителната бобина, защото всяка антена е подложена на различни външни влияния в зависимост от състоянието на земната повърхност, височината на антената, заобикалящата среда и начина на захранване. Като ориентировъчни стойности могат да се използват дадените на фиг. 11.10.

Естествено всяка друга „дълга жица“, използвана като антена за всички обхвати, може да бъде настроена в резонанс за всеки от обхватите по метода на DL7AB. Като пример на фиг. 11.11 е показана симетрично захранвана всевъълнова антена, която при работа на вълна 80 m представлява целовълнов дипол.

Предимството на метода на DL7AB се състои в това, че при експлоатация на антената за повече от един обхват в точките на захранване не съществуват реактивни компоненти на входното съпротивление. Затова би могло, въпреки че тези антени са многообхватни, да се използват съгласувани захранващи линии. Тъй като обаче антената DL7AB

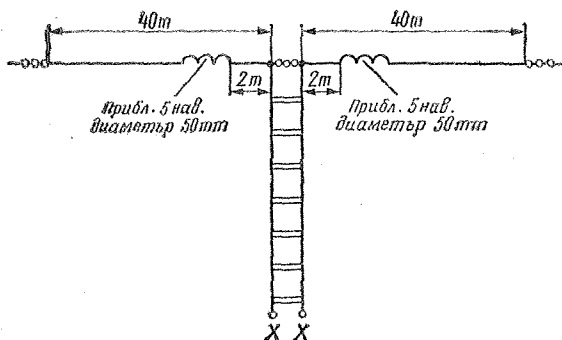
винаги се захранва при максимум на напрежението (голямо съпротивление), едва ли може да се избегне съгласуването към захранващата линия. Интересни перспективи биха се разкрили, ако се отдаде разработването на многодиапазонна Уиндом-антена с удължителна бобина. Антената, предложена от DL7AB, досега не е получила особено значение като любителска антена, обаче нейната основна идея се среща отново при съвременните видове многообхватни въртящи се насочени излъчватели.

#### 11.4. V-антена

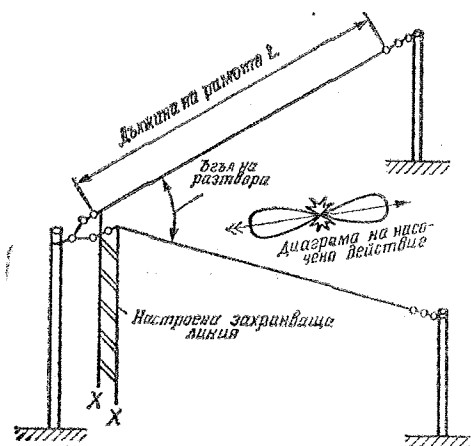
Повишаването на степента на насоченост и усилването на антената е възможно чрез монтирането на две хоризонтални „дълги жици“ под формата на буквата V. Получава се един двупосочно излъчващ насочен излъчвател, чието усилване е с около 3 dB по-голямо от това на също толкова дълъг единичен проводник, при предположение, че се избере оптимален ъгъл на разтвора  $\alpha$  (фиг. 11.12).

С нарастване на дължината на рамото  $L$  усилването на антената в посока на главния лъч се увеличава. Увеличава се и степента на насоченост. Направлението на главния лъч съвпада с ъглополовящата на ъгъла, сключен от двата проводника. Оптималният ъгъл на разтвора  $\alpha$  зависи от дължината на рамото  $L$  — при нарастване на дължината на рамото той става по-малък.

От фиг. 11.13 може да се отчете достижимото усилване на антената в dB, както и оптималният ъгъл на разтвора  $\alpha$



Фиг. 11.11  
Симетрично захранвана всевъълнова антена, предложена от DL7AB

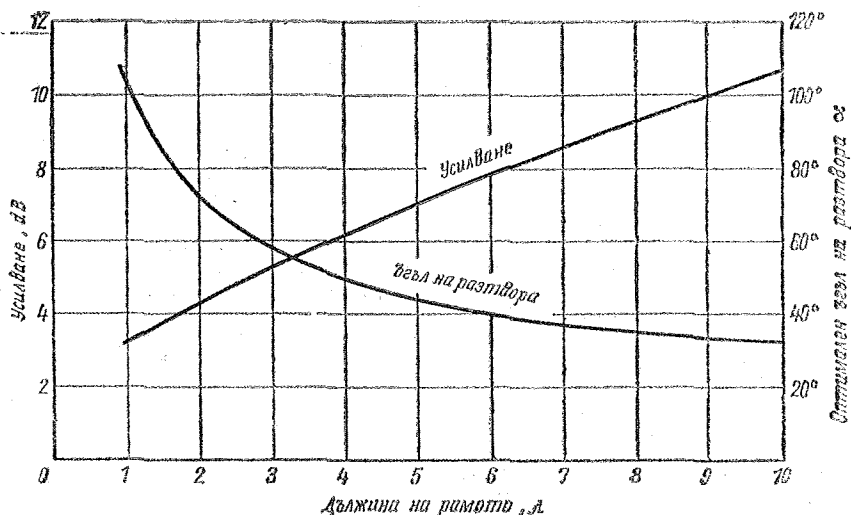


Фиг. 11.12  
Схематично представяне на насочена V-образна антена

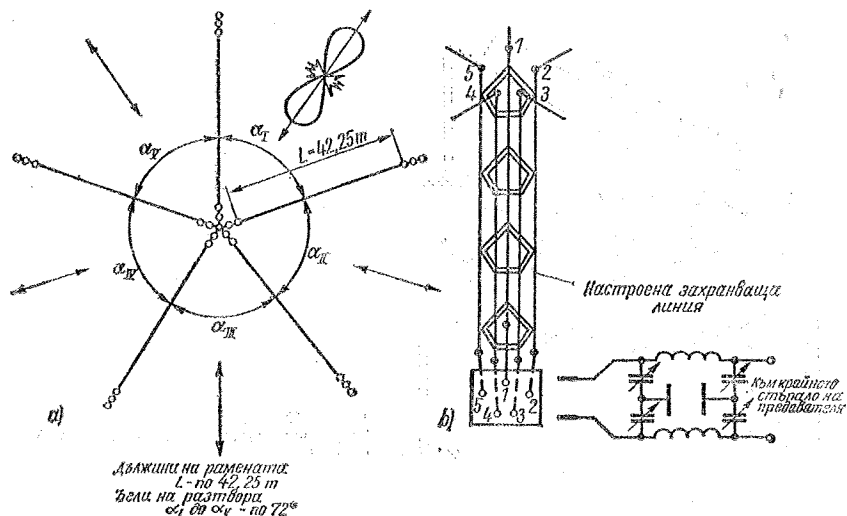
в зависимост от дължината на рамката  $L$ , измерена в  $\lambda$ . Тъй като V-антената има малък ъгъл на възвишение във вертикалната равнина, тя е един особено добър DX-излъчвател за високочестотните любителски обхвати.

V-антената се захранва при максимум на напрежението. Затова тя има голям входен импеданс. Захранването става най-често чрез настроена захранваща

линия, защото в този случай е възможна работа в много обхвати. При работа на един обхват се оказва за предпочитане към излъчвателя да се съгласува ненастроена захранваща линия, като се използва четвъртвълнов съгласуващ шлейф, свързан на края на късо. При много големи дължини на рамката  $L$  съпротивлението в точките на захранване е от порядъка на  $600 \Omega$  и V-анте-



Фиг. 11.13. Приблизителни стойности на усилянето на антената и оптимален ъгъл на разтвора на насочена V-антена в зависимост от дължината на рамката, изразена в  $\lambda$ .



Фиг. 11.14. V-звезда, всевъзловна антена с изменяема диаграма на часоено действие

ната може да се захрани направо чрез съгласувана двупроводна линия с вънново съпротивление 600  $\Omega$

Дължината на рамото  $L$  на V-излъчвателя не е особено критична (тя може да се изчисли по (11.1)), тъй като тази антена е сравнително широколентова. Напротив, особено при големи дължини на рамото, оразмеряването на оптималния ъгъл на разтвора  $\alpha$  е много критично, защото от него зависи дали главните лъкове в диаграмата на излъчване на двата антенни проводника ще се сумират синфазно.

Една V-образна антена, чийто ъгъл на разтвора  $\alpha$  е равен на 47°, при дължина на всяко рамо 63,05 m е оптимално оразмерена за любителския обхват 15 m ( $L=4,5 \lambda$ , усиляването достига почти 6,5 dB). Едновременно този излъчвател работи отлично и на 10 m ( $L=6 \lambda$ ) с почти същото усиление и на вълна 20 m ( $L=3 \lambda$ ) с намалено усиление (почти 5 dB). За работа в обхватите 20 m и 10 m ъгълът на разтвора не е оптимален и затова не се достига очакваното максимално усиление. При работа на 40 и 80 m усиляването е съвсем малко. Макар че вследствие на твърде малкия ъгъл на разтвора вертикалният ъгъл на възвишение на главния лъч става по-голям, това не се счита за недостатък при тези честоти.

#### 11.4.1. V-звезда

Ако радиолюбителят разполага с достатъчно място, той може да построи една много ефективна комбинация от V-антени която не само може да се използва на всички любителски обхвати, но освен това има и голямо усиление за всички посоки на излъчване (фиг. 11.14). Средната мачта на тази антенна конструкция трябва да бъде висока най-малко 10 m. От нея излизат 5 радиални проводника, които са опънати с ъгъл между тях 72° към 5 външни мачти. Всеки от тези проводници е дълъг по 42,25 m (фиг. 11.14a). Външните мачти могат да бъдат по-ниски от централната, това даже е по-благоприятно, защото така се получава един по-малък ъгъл на възвишение на основното излъчване във вертикалната равнина. Този ефект обаче съществува само в посоката на разтвора, в обратната посока ъгълът на възвишение в същото време става по-голям.

Настроените захранващи линии се отвеждат от централната мачта към помещението на радиостанцията, като образуват многопроводен фидер. Той се състои от 5 единични проводници, които са разположени на 10 до 15 cm един от друг. Всеки два съседни един на друг проводника образуват една на-

строена захранваща линия за свързвания в горния им край V-образен излъчвател (фиг.11.14). Превключването към V-системата става просто и сигурно: петте проводника на захранващата линия се свързват поотделно към 5 букси, разположени на изолационна подставка. С два къси шнура след това може да се установи желаната връзка към блока за настройка на антената.

В горния случай V-звездата се състои от 5 V-образни излъчватели. За това по избор може да се включва всяка от петте отделни V-антени, които са подредени равномерно във всички посоки. Тъй като всяка от тях излъчва двупосочно, получават се 10 направления на главния лъч. От всеки отделен лист на главен лъч може да се очаква разтвор в хоризонталната равнина от  $36^\circ$ , следователно описаната V-звезда дава насочено излъчване, което може да се върти на  $360^\circ$ , и посоката на това излъчване може да се изменя произволно чрез избор на една от V-антените. Тъй като отделните рамена на антените могат да се свързват произволно едно с друго, при работа особено в обхватите 40 m и 80 m могат експериментално да се определят комбинации от излъчватели, които излъчват или приблизително равномерно във всички посоки, или пък имат особено изразено насочено действие. Условиата, при които може да се очаква кръгова диаграма на излъчване в хоризонталната равнина, са посочени в раздел 10.4.

V-звездата има предимство пред въртящите се насочени излъчватели, направени от тръби от лек метал, защото тя представлява една пълноценна антена и за работа в обхватите 40 m и 80 m. Не се използват скъпи тръби, няма усложнена механика и трудни манипулации по настройката.

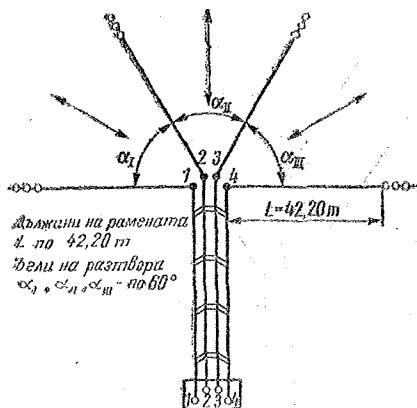
По-долу са дадени още някои предложения за особено ефективни V-звезди:

7 проводника с дължина 4  $\lambda$ , ъгъл на разтвора  $51,5^\circ$ ,

8 проводника с дължина 5  $\lambda$ , ъгъл на разтвора  $45^\circ$ ,

9 проводника с дължина 6  $\lambda$ , ъгъл на разтвора  $40^\circ$ .

Ако не е необходимо да се обхвалят всички направления при максимално усиление на антената, може да се премахнат един или повече проводници. На фиг. 11.15 е показана една кон-



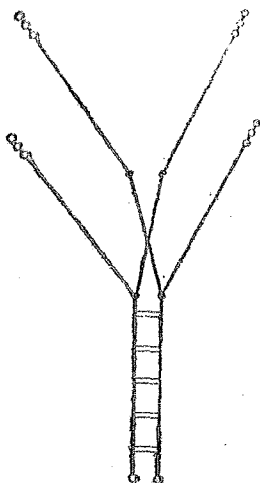
Фиг. 11.15. Овръстена V-звезда

струкция, при която са използвани 4 рамена с дължина 3  $\lambda$  за вълна 15 m и ъгъл на разтвора  $60^\circ$ .

Целесъобразно е дължините на рамената и ъгълът на разтвора на една всевъзможна V-звезда да се оразмеряват за обхвата 15 m. Тъй като при работа във всички обхвати винаги трябва да се използва настроена захранваща линия, неточностите при оразмеряване на дължините на излъчвателя и захранващата линия винаги могат да се компенсират чрез елементите за връзка с антената, разположени откъм предавателя. Дължините на излъчвателите трябва да се пресмятат съгласно (11.1), което беше дадено за оразмеряване на антени тип „дълга жица“. По-просто е съответните стойности да се вземат от таблицата, дадена в приложението.

#### 11.4.2. Етажирани V-антени

Усилването на една V-антена може да се повиши почти с 3 dB чрез по-остро насочване на излъчването във вертикалната равнина, без при това да се намалява ъгълът на разтвора в хоризонталната равнина. За целта две еднотипни V-образни антени се монтират вертикално една над друга (фиг. 11.16). Разстоянието между двата етажа трябва да е поне  $\lambda/2$ , но по-големите разстояния са по-благоприятни. Оттук се вижда, че необходимата височина на монтирането на антената е много голяма и изготвя такава антена



Фиг. 11.16. Етажирана V-образна антена

много рядко може да се построи за работа в късовълновия обхват.

Захранването на системата се опростява, ако разстоянието между етажите се избере равно на  $\lambda/2$ . Двата V-излъчвателя трябва да се възбудят синфазно. Една свързваща линия с дължина  $\lambda/2$  трансформира съпротивления с отношение 1:1. Тя обаче завърта фазата на приложеното в началото ѝ напрежение на  $180^\circ$ . Двата проводника на свързващата полувълнова линия трябва да се кръстосат, за да се запази двата етажа синфазно (фиг. 11.16).

Като професионални антенни системи понякога се срещат конструкции, съставени от две монтирани хоризонтално една до друга V-антени. Освен това на разстояние  $\lambda/4$  зад V-излъчвателя може да се постави втори такъв, който служи като рефлектор. Излъчването тогава ще бъде еднопосочно, стига двата излъчвателя да се захранват с дефазирание  $90^\circ$ .

Тези обементи и усложнени антенни конструкции едва ли биха могли да бъдат използвани от радиолюбителите; те са споменати само за пълнота на изложението.

#### 11.4.3. Тяпобъгълни V-образни антени

Тяпобъгълната V-антена е една разновидност на V-излъчвателя, която

може да бъде наречена и „половин ромбична антена“ (фиг. 11.17). Тя се използва само в изключителни случаи, защото за опъването на проводника е необходимо почти два пъти повече място, отколкото при обикновената V-образна антена. Освен това с една обикновена V-антена със същата дължина на рамената се постига и по-голямо усиление.

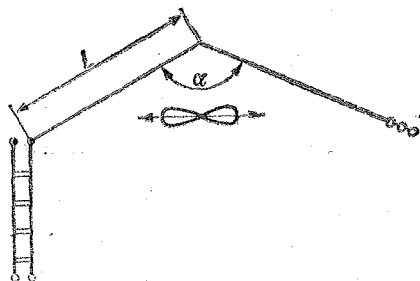
Тяпобъгълната V-образна антена се захранва чрез настроена захранваща линия, както щепелин-антените. Подолу са дадени оптималните ъгли на разтвора при различни дължини на рамената на антената:

2 $\lambda$ — $110^\circ$	7 $\lambda$ — $142^\circ$
3 $\lambda$ — $122^\circ$	8 $\lambda$ — $144^\circ$
4 $\lambda$ — $130^\circ$	9 $\lambda$ — $146^\circ$
5 $\lambda$ — $137^\circ$	10 $\lambda$ — $147^\circ$
6 $\lambda$ — $140^\circ$	

#### 11.5. Отворена ромбична антена

От свързването на два V-излъчвателя се е получила ромбичната антена, която е най-ефективната от проводниковите насочени антени, изпълнени с любителски средства. Тя има по-голяма ширина на пропусканата честотна лента, отколкото една V-образна антена със същата обща дължина.

На фиг. 11.18 е показана схемата на една обикновена *отворена* ромбична антена. Тази антена остава отворена в края на рамената си за разлика от познатата затворена ромбична антена, описана в раздел 12, като аperiодична широколентова антена.



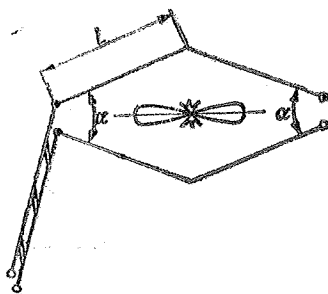
Фиг. 11.17. Тяпобъгълна V-образна антена



Както се вижда от фиг. 11.18, отворената ромбична антена излъчва в две посоки. Нейното усиление е по-голямо от това на V-излъчвател със същата дължина. Например една ромбична антена с дължина на рамото  $L=3\lambda$  има теоретично усиление от 8,5 dB (вж. табл. 11.1), докато V-образната антена с дължина на рамото  $L=6\lambda$  има теоретическо усиление от само 7,8 dB (вж. фиг. 11.13). И в двата случая са необходими едно и също количество проводници. Освен това диаграмата на насочено действие на ромбичната антена е по-малко честотно зависима от тази на V-образната антена.

От табл. 11.1 могат да се вземат ъгълът на разтвора и теоретично възможното усиление на ромбична антена, отворена на края в зависимост от дължината на рамото  $L$ . Данните за усиляването са дадени, като за еталонна антена е използван полуълнов дипол.

Фактът, че двупосочно излъчващата ромбична антена притежава същите зависимости между ъгъла на разтвора, дължината на рамото и усиляването, както V-антените, позволява да се раз-



Фиг. 11.18. Двупосочна ромбична антена

шири една съществуваща вече и правилно оразмерена V-образна антена чрез добавяне на втора такава до получаване на двупосочно излъчваща ромбична антена. Получената по такъв начин антена също е оптимално оразмерена. Усиляването нараства с повече от 3 dB спрямо това на V-образния излъчвател, увеличава се също и широчината на пропусканата честотна лента.

Таблица 11.1. Оптимален ъгъл на разтвора и теоретично усиление на антената при отворени ромбични антени в зависимост от дължината на рамото,  $L$

Дължина на рамото в $\lambda$	Ъгъл на разтвора	Теоретично усиление на антената в dB
1,0	105°	6,5
1,5	85°	7,0
2,0	73°	7,5
2,5	64°	8,0
3,0	58°	8,5
3,5	54°	9,0
4,0	50°	9,5
4,5	48°	10,0
5,0	45°	10,5

## 12. Аперидични антени

Излъчвателите, които са натоварени със съпротивление, се наричат аперидични или също така затворени антени (фиг. 12.1). Стойността на товарното съпротивление, което понякога се нарича и поглъщащо съпротивление, е равна на тая на вълновото съпротивление на антената  $Z_A$  и за работната честота тази стойност трябва да бъде чисто активна.

Когато една антена е натоварена с вълновото си съпротивление, по нея за разлика от резонансните отворени антени не се образуват стоящи вълни. Енергията, която достига до края на антената, се приема от намиращото се там товарно съпротивление и се преобразува от него в топлина. Теоретически една затворена антена може да се разглежда като линия за предаване на енергия, чиито втори проводник е земята. Чрез товарното съпротивление тази линия е затворена на крак с вълновото си съпротивление  $Z_A$ . Образуват се бягащи вълни, които се отличават с това, че токът има една и съща стойност във всички точки на линията.

Общо взето, се счита, че една линия, натоварена с вълновото си съпротивление, не излъчва изобщо или излъчва съвсем слабо енергия. При затворените антени обаче двата проводника (антенният проводник и земята) са така отделени един от друг, че противоположните магнитни полета не се неутрализират взаимно. Затова системата е

годна да излъчи енергия и може да се използва като предавателна и приемна антена.

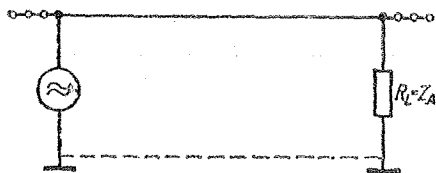
Входното съпротивление на една аперидична антена до голяма степен е честотно независимо; затова антената е наистина широколентова. Това предимство често компенсира недостатъка, че в товарното съпротивление част от високочестотната енергия се преобразува в безполезна топлина.

### 12.1. Затворени антени «дълга жица»

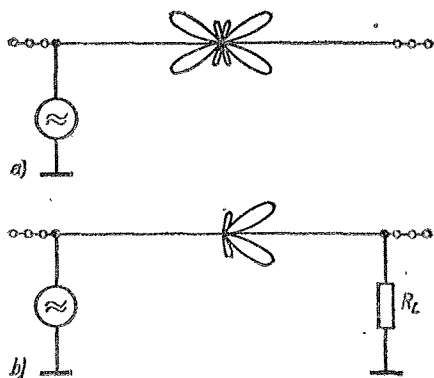
Диаграмата на насочено действие на една затворена „дълга жица“ прилича на тая на почти толкова дълга настроена антена „дълга жица“ с една разлика — листовете от диаграмата на излъчване в посока на точката на захранване липсват (фиг. 12.2). Следователно една аналогична настроена антена излъчва двупосочно (на две страни), докато затворената антена излъчва еднопосочно (на една страна). С грубо приближение може да се твърди, че при затворената антена енергията на липсващите листове от диаграмата на насочено действие „изгаря“ в поглъщащото съпротивление.

Затворената антена „дълга жица“ използва за втори проводник земната повърхност, затова последната трябва да има добра проводимост. Тъй като това се случва рядко, върху земната повърхност би трябвало да се положи един също толкова дълъг противовес и той да се използва като еквивалент на земята.

Усилването на аперидичната антена „дълга жица“ нараства с увеличаване на отношението на дължината на проводника към работната дължина на вълната. Вълновото съпротивление зависи от диаметъра на проводника и от височината на антената над земята.



Фиг. 12.1. Аперидична антена; стойността на товарното съпротивление  $R_L$  е равна на стойността на вълновото съпротивление на антената  $Z_A$



Фиг. 12.2

Сравнение на диаграмите на излъчване в хоризонталната равнина; *a* — настрояна антена „дълга жица“, дължина  $2\lambda$ , *b* — аperiодична антена със същата дължина (диаграмата на излъчване е идеализирана)

То има средна стойност  $500 \dots 600 \Omega$ . Такава стойност трябва да има и поглътящото съпротивление. Ако антената се използва като предавателна, половината от наличната високочестотна мощност трябва да се изразходва в товарното съпротивление. То не трябва да има реактивни компоненти.

Затворената антена „дълга жица“ няма никакво приложение като любителска антена, защото там, където има достатъчно място и подходящо товарно съпротивление, може с почти същите разходи да се построят по-ефективни аperiодични антени.

Затворените антени „дълга жица“ от този вид, монтирани на сравнително малка височина над земята, се наричат антени на Беверидж. Те се използват главно за служебни връзки като приемни антени в обхвата на по-дългите къси вълни.

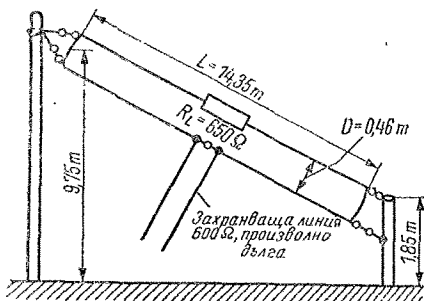
## 12.2. Антена T2FD

Под названието T2FD-антена е известен един затворен и наклонен сгънат дипол, който е популярен не само като антена за служебни връзки. Често тази антена се нарича TFD (от англ. — *Terminated Folded Dipole* — затворен сгънат дипол). Понякога се говори и за W3NN-антена, защото тя е разработена и пропагандирана от W3NN.

Антената T2FD, показана на фиг. 12.3, има дължина само  $\lambda/3$ , пресметната спрямо най-ниската използвана честота. Тъй като тя е монтирана наклонена под ъгъл около  $30^\circ$ , необходимо е

даже още по-малко място. Освен това за монтирането са необходими само една мачта, дълга около 10 m и един опорен стълб с дължина 1,85 m.

Привлекателна е голямата ширина на честотната лента на аperiодичния излъчвател. Отношението на честотите е около  $1 : 5$ . Ако например антената се оразмери за най-ниската честота 700 kHz, дължината на опънатия проводник е 14,35 m и тя може да се използва за любителските обхвати 40, 20, 15 и 10 m. Една T2FD-антена за 80 m може да се използва със същия успех и в обхватите 40 и 20 m. При това не става дума за резонанс на висши хармонични, а за естествена ширина на пропускателната честотна лента. Това означава, че антената T2FD може да се използва също така и на всички междинни честоти, което е особено важно за служебните радиостанции с честа смяна на работните честоти.



Фиг. 12.3. Антена T2FD, предложена от W3NN

С предписания ъгъл на наклона антената излъчва във всички посоки. Диаграмата на излъчване не е кръгова, но няма и ясно изразено направление на главния лъч. Тя има по-скоро няколко широки лъстове и много странични лъстове, но липсват изразени нулеви зони. Затова  $T2FD$  може да работи с почти еднакъв успех във всички направления. По същия начин тя може да се използва и като приемна антена.

Досега не са дадени конкретни стойности за усилването на антената  $T2FD$ . Съществуват обаче сравнителни стойности (дадени от служебни инстанции), от които може да се разбере, че тя може да се сравни с един полуълнов дипол, съответно с един дъблет. В много случаи сигналът е бил с 2 или повече  $S$ -степен по-добър от този на настроената антена, с която се сравнява  $T2FD$ . Такива резултати не отговарят на теоретичните положения, но това не бива да бъде пречка при подходящ случай да се изпробва една антена  $T2FD$ .

Антената, показана на фиг. 12.3, има размерите, съобщени от  $W3NN$ . Тя е оразмерена за обхвата 40 m, широчината на пропусканата честотна лента е от 7 до 35 MHz (1:5). Антената работи задоволително и в обхвата 80 m, като се забелязва незначителна загуба на мощност.

Дължината  $L$ , общо взето, е равна на  $\lambda/3$ , пресметната спрямо най-ниската работна честота, т. е.

$$L = \frac{100\,000}{f}, \quad (12.1)$$

където  $L$  е в m, а  $f$  — в kHz.

Разстоянието  $D$  има оптимална стойност  $\lambda/100$  и се пресмята по формулата

$$D = \frac{300\,000}{f}, \quad (12.2)$$

където  $D$  е в cm, а  $f$  — в kHz.

Ъгълът на наклона, под който се окачва антената, трябва да бъде  $30^\circ$ ; допустимо е отклонение от  $\pm 10^\circ$ .

Могат да се използват захранващи линии с вълново съпротивление от 300 до 600  $\Omega$ . Особено изгодни заради малките си загуби са двупроводните линии с въздушна изолация. Тяхното вълново съпротивление може да се определи от фиг. 5.4. Допустимо е и използването на УКВ лентови кабели.

Най-важната част на антената, с която е и най-трудно да се снабди един радиолюбител, е товарното съпротивление. То не трябва да притежава паразитни индуктивности и капацитети, т. е. в работния честотен обхват на антената това съпротивление не трябва да има забележими реактивни компоненти. По тази причина не могат да се използват навити жични съпротивления. Когато антената се използва като предавателна, товарното съпротивление трябва да може да преобразува в топлина най-малко 35% от високочестотната мощност, отдавана от крайното стъпало. Това означава, че ако предавателят има мощност 100 W, съпротивлението трябва да има мощност поне 35W. Ако антената се използва само за приемане на радиосигнали, изискването за мощност на товарното съпротивление отпада и може да се използва какво да е слойно съпротивление по възможност с най-малка индуктивност.

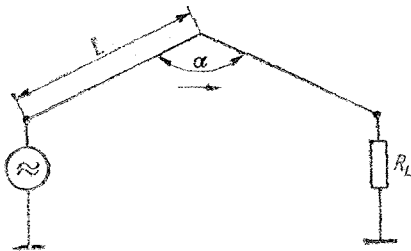
Стойността на поглъщащото съпротивление е еднаква с тази на вълновото съпротивление на произволно дългата захранваща линия. Ако линията има вълново съпротивление 600  $\Omega$ , тя изисква товарно съпротивление със стойност също така 600  $\Omega$ . На практика обаче опитите са показали, че е добре товарното съпротивление да се избира малко по-голямо от вълновото съпротивление на линията.

Вълново съпро- Оптимално товар-  
тивление на за- но съпротивление  
хранващата ли- в  $\Omega$   
ния в  $\Omega$

600	650
450	500
300	390

Не се препоръчва захранващата линия да бъде с вълново съпротивление, по-малко от 300  $\Omega$ , защото тогава определянето на оптималната стойност на товарното съпротивление става много критично.

Съгласуваната захранваща линия може да се свърже чрез бобина за връзка направо към анодния кръг на крайното стъпало на предавателя. За една захранваща линия с вълново съпротивление 600  $\Omega$  се съобщават следните данни за бобината за връзка: при работа в обхватите 40 и 80 m тя има 6 навивки,



Фиг. 12.4. Затворена тъпоъгълна V-антена

при работа в обхвата 20 m са достатъчни 3 навивки. Заради много голямата ширина на пропусканата честотна лента антената T2FD излъчва без отслабване всички висши и паразитни хармонични. Затова с цел намаляване на възможността за смущения е по-добре да се избере селективна схема за връзка. Особено се препоръчва схемата за връзка, показана на фиг. 8.8, която е подходяща за всички съгласувани симетрични кабели.

При монтиране на антената могат да се поставят допълнителни напречни опори, които служат за механично укрепване и запазване на успоредността на проводниците на дипола. Тъй като в антената не съществуват изразени максимуми на напрежение, не е необходимо тези опори да са от материал с малки загуби. Достатъчно е да се използват импрегнирани дървени летви (да се изварят в парафин) бамбукови пръчки, пластмасови ленти и пр.

### 12.3. Затворени V-антени

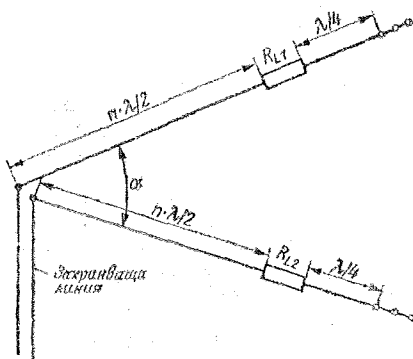
Затворените V-антени се използват главно във форма на отвесно изграден тъпоъгълен V-образен излъчвател, който беше споменат в раздел 11.4.3. като отворена резонансна антена. Схемата, показана на фиг. 12.4, се получава чрез добавяне на товарното съпротивление  $R_L$ .

Вертикалното монтиране има това предимство, че е необходима само една централна мачта и товарното съпротивление може направо да бъде заземено. В това изпълнение антената е поляризирана вертикално и главното излъчване е едностранно в направление на края на антената, натоварен с поглъ-

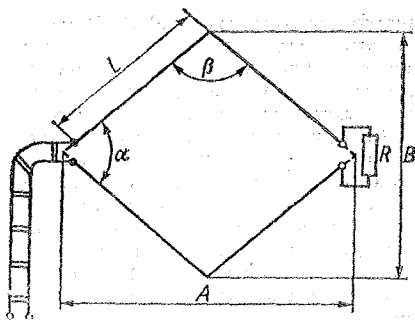
щащото съпротивление  $R_L$ . Както и при отворената антена, оптималният ъгъл на развора  $\alpha$  зависи от дължината на рамото  $L$  и при затворената антена съотношенията са почти същите. Най-благоприятното товарно съпротивление има стойност около 600  $\Omega$ ; то има същата стойност, както вълновото съпротивление на антената. Тъй като вълновото съпротивление почти не зависи от честотата, входният импеданс има стойност около 600  $\Omega$  и е чисто активен в много голям честотен обхват.

Нормалната V-антена (вж. раздел 11.4.) също може да бъде изградена като апериодична антена. Тогава тя също излъчва в една посока и има увеличена ширина на пропусканата честотна лента. Радиолюбителите използват такава антена само в изключителни случаи, защото за нея са необходими три мачти и две товарни съпротивления. Трудно е заземяването на поглъщащите съпротивления, защото в нормалния случай те са издигнати над земята на височина, равна на тази на мачтите.

В такъв случай би могло да се помогне с една изкуствена земя. Както е показано на фиг. 12.5, тя се образува от проводници с дължина  $\lambda/4$ , които се включват към товарните съпротивления вместо земя. За съжаление с това антената отново става честотно зависима и при работа в повече от един обхват всеки път трябва да се включват отделни проводници с дължина  $\lambda/4$ . Затова е по-изгодно рамената на анте-



Фиг. 12.5. Затворена V-антена



Фиг. 12.6. Еднопосочна ромбична антена

ната да се наклонят дотолкова към земята, че поглъщащите съпротивления да могат да се заемат направо. Стойността на поглъщащото съпротивление във всяко от рамената е 500  $\Omega$ . Съгласуваната симетрична захранваща линия има вълново съпротивление около 600  $\Omega$ .

За съжаление V-образните антени заемат много място. Който разполага с толкова свободно място, би трябвало да отдаде предпочитание на ромбичната антена.

## 12.4. Затворени ромбични антени

В повечето случаи ромбичната антена се изгражда като еднопосочно излъчващ насочен излъчвател. При това отвореният край се натоварва с поглъщащото съпротивление  $R$  (фиг. 12.6). Стойността на това съпротивление е от 750 до 880  $\Omega$ . То трябва да разсее поне половината от високочестотната мощност на предавателя.

Затворената ромбична антена има извънредно голяма ширина на пропусканата честотна лента. От това следва, че оразмеряването на дължината на излъчвателя  $L$  става некритично и при пресмятането не е необходима точност до сантиметър. Изменението на работната честота може да бъде 1 : 2. Все пак едновременно с това трябва да се има предвид едно по-голямо или по-малко изменение на формата на диаграмата на насочено действие, защото ъгълът на разтвора  $\beta$  е оптимален само за една определена работна честота. Затова при използване на пълната

честотна лента на антената усиляването също се изменя в зависимост от честотата.

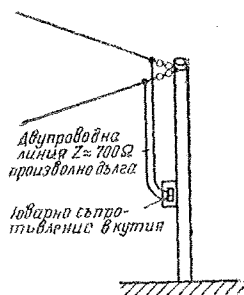
Усиляването на антената се увеличава при нарастване на дължината на рамото  $L$ . Диаграмата на насочено действие в хоризонталната и вертикалната равнина се определя главно от ъглите  $\alpha$  и  $\beta$ . Антената трябва да се монтира на височина най-малко  $\lambda/2$  над земята.

По-малките височини на монтиране предизвикват повдигане на вертикалния ъгъл на възвишение, което е особено нежелано в късовълновите любителски обхвати. Ако дължината на рамото  $L$  стане по-голяма от около 6  $\lambda$ , степента на насоченост на антената става извънредно голяма и настройката на оптималния ъгъл на разтвора — критична.

### 12.4.1. Захранване на ромбичната антена

Съпротивлението в точките на захранване на една затворена ромбична антена възлиза на 700...800  $\Omega$ . Затова тя може да бъде захранена чрез една произволно дълга линия с бягащи вълни. Една обикновена двупроводна линия с въздушна изолация и вълново съпротивление 600  $\Omega$  не внася забележимо разсъгласуване и е най-изгодният вариант също и за работа в повече от един обхват. Естествено затворената ромбична антена може да бъде съгласувана чрез някой от известните и вече описани съгласуващи елементи към всяка друга линия с бягащи вълни с произволно вълново съпротивление. За отбелязване е обаче, че поради зависимостта на съгласуващите елементи от честотата до голяма степен се губи предимството „широколентовост“ и остава само възможността за работа в един честотен обхват.

Съгласуваната линия с вълново съпротивление 600  $\Omega$  трябва да се предпочете и пред една настроена захранваща линия, защото тя работи с по-малко загуби и не изисква особени разходи от настройващи елементи за свързване към крайното стъпало на предавателя. Препоръчва се използването на селективна връзка с крайното стъпало на предавателя, за да се подтисне излъчването на висши хармонични и



Фиг. 12.7. Поглъщащо съпротивление на една ромбична антена, свързано с краищата на излъчвателя чрез произволно дълъг двупроводна линия

други паразитни трептения. Особено подходяща за това е схемата, показана на фиг. 8.8.

#### 12.4.2. Товарно съпротивление

Поглъщащото съпротивление трябва да бъде с малка паразитна индуктивност и капацитет. При малки мощности на предавателя това изискване може да се изпълни от слоести съпротивления със съответната мощност. Препоръчва се товарното съпротивление да се раздели на няколко последователно включени съпротивления, като с това се намалява вредният му паразитен капацитет. За предпочитане са съпротивления, на които съпротивителният слой не е спираловиден. Жичните съпротивления имат голяма товароспособност, но са напълно неизползваеми заради голямата им индуктивност.

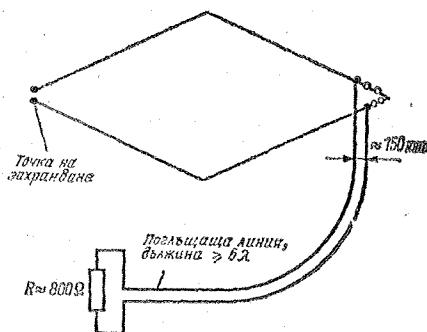
При големи мощности на предавателя слоестите съпротивления стават много обемисти и скъпи. Препоръчва се използването на мощни съпротивления, които чрез специална технология са произведени с малка паразитна индуктивност и капацитет, и които се изготвят специално за използване като товарни съпротивления в поглъщателите („изкуствени антени“).

Стойността на товарното съпротивление е около  $800\ \Omega$ . То трябва да се помести във водонепроницаема кутия и да се свърже с краищата на излъчвателя с възможно най-къси проводници. При буря във всяка антена от типа „дълга жица“ се индуцират значителни

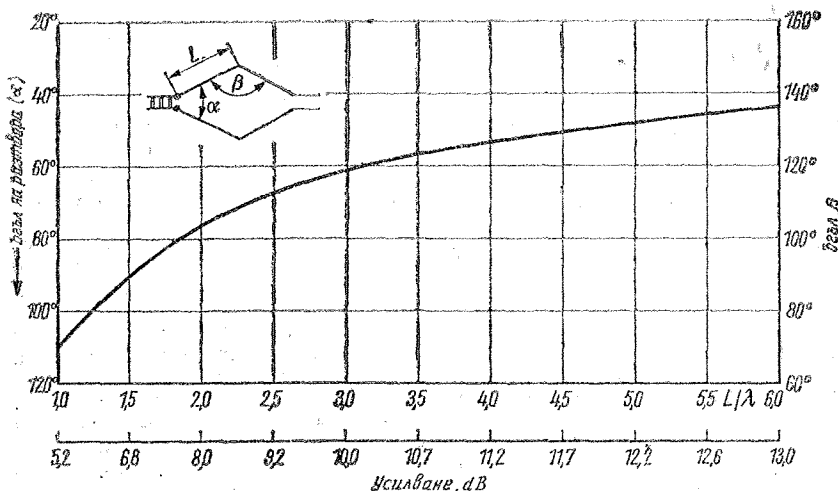
токове. При ромбичната антена те могат да доведат до разрушаване на поглъщащото съпротивление. Затова е по-добре то да се укрепи към мачтата на леснодостъпна височина и да се свърже с краищата на излъчвателя чрез произволно дълъг двупроводна линия с вънново съпротивление от 700 до  $800\ \Omega$  (фиг. 12.7).

Кутията с товарното съпротивление може да бъде снабдена с щепсел и преди буря просто да се маха. Доколкото се използват мощни товарни съпротивления, едва ли трябва да се очаква разрушаването им при буря. Освен това като правило преди буря целият антенен комплекс се заземява.

За да се икономисат мощни товарни съпротивления, особено за служебни нужди се използват т. нар. поглъщащи линии. Това са затихвателни линии, които са изпълнени като двупроводна линия, както и откритите захранващи линии. За разлика от тях обаче те са направени от съпротивителни проводници. Препоръчват се хром-никелови съпротивителни проводници с диаметър от 0,4 до 0,5 mm, които са разположени успоредно на разстояние 15 cm един от друг. Дължината на тази съпротивителна двупроводна линия трябва да бъде най-малко  $6\lambda$ , пресметната спрямо средната дължина на работната вълна. Краят на тази затихвателна линия е натоварен с поглъщащото съпротивление. В този случай обаче мощността на поглъщащото съпротивление трябва да бъде само  $1/10$  от максималната мощност на предавателя (фиг. 12.8).



Фиг. 12.8. Затворена ромбична антена с поглъщаща линия



Фиг. 12.9. Зависимост на оптимальния ъгъл на разтвора  $\alpha$  и на ъгъла  $\beta$  от дължината на страната  $L$  на затворена ромбична антена  $L$ .

#### 12.4.3. Конструкция на ромбичната антена

За да се получи диаграма на насочено действие с малко странични лъстове и възможно най-голямо усиление на антената, ъгълът на разтвора  $\alpha$  и дължината на рамото  $L$  трябва да се намират в определено отношение. Тези стойности могат да се отчетат от фиг. 12.9.

На фиг. 12.9 теоретичното максимално усиление в dB е нанесено под дължината на рамото  $L$ , защото усиляването на антената по направление на главния лъч е пропорционално на дължината на рамото, стига да е избран оптимален ъгъл на разтвора  $\alpha$ . При тези данни са взети предвид загубите в поглъщащото съпротивление, които възлизат на 3 dB. Њгълът на възвишение на ромбичната антена във вертикалната равнина зависи от височината на монтирането. За да се получи възможно „най-ниско“ излъчване, тази височина не трябва да бъде по-малка от  $\lambda/2$  за високочестотните късовълнови обхвати.

При проектиране на една ромбична антена винаги би било добре предварително да се получи представа за нейните размери (дължина и ширина). Таблица 12.1. съдържа всички конструктивни данни за построяване на ромбични антени за любителските об-

хвати от 10 до 40 m. Дадените в таблицата дължини на рамото са пресмятани за средата на съответния любителски обхват. Заради голямата широчина на пропусканата честотна лента при ромбичните антени тези пресмятания се извършват с по-малка точност. Разстоянията А и В, които са важни за определяне на положението на носещите мачти, са дадени със закръглени стойности. Препоръчва се мачтите да се поставят малко по-далеч една от друга, за да може при точното нагласяване на затихването в обратна посока да има възможност за малки корекции на ъглите  $\alpha$  и  $\beta$ . Това е необходимо особено при големи дължини на рамото, защото тогава степента на насоченост е извънредно голяма.

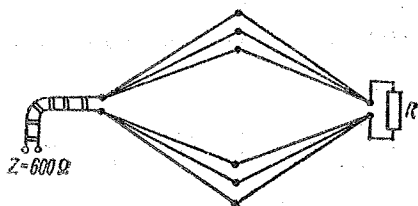
#### 12.4.4. Работа на много обхвати

От табл. 12.1. се вижда, че с една ромбична антена лесно може да се осъществи работа на много обхвати. Ако дължината на рамото например е равна на 42 m, това представлява 1  $\lambda$  за обхвата 40 m, 2  $\lambda$  за обхвата 20 m, 3  $\lambda$  за обхвата 15 m и 4  $\lambda$  за обхвата 10 m. Њгълът на разтвора се избира с оптимална стойност за обхвата 15 или 20 m; в такъв случай той е малко по-голям от оптималния за обхвата 10 m



Таблица 12.1. Практическо определяне на всички размери на ромбични антени за любителските обхвати

Дължина на рамото L в λ	Дължина на рамото L в m	Ъгъл на развора α в °	Ъгъл на огъване β в °	Размер по дължина A в m	Размер по широчина B в m	Усиление в dB
<b>40-m обхват</b>						
1,0	41,50	111	69	47,00	68,50	5,2
1,5	63,00	91	89	88,50	90,00	6,8
2,0	84,00	76	104	132,40	103,50	8,0
2,5	105,00	68	112	174,50	117,50	9,2
3,0	127,00	63	117	217,00	133,00	10,0
3,5	148,00	58	122	259,00	144,00	10,7
4,0	169,00	54	126	302,00	154,00	11,2
<b>20-m обхват</b>						
1,0	20,80	111	69	24,00	34,50	5,2
1,5	31,50	91	89	44,50	45,00	6,8
2,0	42,00	76	104	66,50	52,00	8,0
2,5	52,50	68	112	87,50	59,00	9,2
3,0	63,00	63	117	108,00	66,00	10,0
3,5	74,00	58	122	130,00	72,00	10,7
4,0	84,50	54	126	151,00	77,00	11,2
4,5	95,00	51	129	172,00	82,00	11,7
5,0	106,00	48	132	194,00	86,50	12,2
5,5	116,00	46	134	214,00	91,00	12,6
6,0	127,00	44	136	236,00	95,50	13,0
<b>15-m обхват</b>						
1,0	13,80	111	69	15,70	22,80	5,2
1,5	21,00	91	89	29,50	30,00	6,8
2,0	28,00	76	104	44,50	34,50	8,0
2,5	35,00	68	112	50,00	39,50	9,2
3,0	42,00	63	117	72,00	44,00	10,0
3,5	49,50	58	122	87,00	48,00	10,7
4,0	56,50	54	126	101,00	51,50	11,2
4,5	63,50	51	129	115,00	55,00	11,7
5,0	70,50	48	132	129,00	57,50	12,2
5,5	78,00	46	134	144,00	61,00	12,6
6,0	85,00	44	136	158,00	64,00	13,00
<b>10-m обхват</b>						
1,0	10,20	111	69	11,60	17,00	5,2
1,5	15,60	91	89	22,00	22,30	6,8
2,0	21,00	76	104	33,10	26,00	8,0
2,5	26,20	68	112	43,50	29,50	9,2
3,0	31,50	63	117	54,00	33,00	10,0
3,5	37,00	58	122	65,00	36,00	10,7
4,0	42,00	54	126	75,00	38,50	11,2
4,5	47,50	51	129	86,00	41,00	11,7
5,0	52,50	48	132	96,00	43,00	12,2
5,5	58,00	46	134	107,00	45,50	12,6
6,0	63,00	44	136	117,00	47,50	13,0



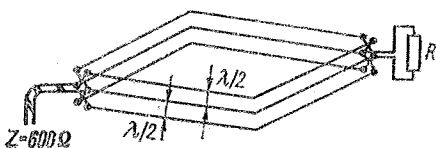
Фиг. 12.10. Широколентова ромбична антена

и малко по-малък от оптималния за обхвата 40 m. Когато се работи на вълна 10 m ( $\alpha$  е твърде голям), главният лист от диаграмата на излъчване става по-тесен; появяват се няколко слабо изразени странични листове и слабо излъчване в обратна посока. Това оказва незначително влияние върху усиляването на антената в направление на главния лъч. При работа на вълна 40 m ( $\alpha$  е твърде малък) диаграмата на насочено действие се разклонява, широчината на лъча се увеличава и се получава и излъчване в обратна посока. Тази антена би могла да бъде използвана за излъчване на сигнал в няколко направления и при това с все още добро усиляване в обхвата 40 m. При дължини на рамото от 21,00 до 63,00 m също се получават отлични многообхватни ромбични антени.

#### 12.4.5. Специални ромбични антени

„Дебелата“, или широколентовата ромбична антена (фиг. 12.10) е една индустриално произвеждана антена за служебни нужди, която се отличава с още по-голяма широчина на пропусканата честотна лента. Широчината на пропусканата честотна лента се увеличава чрез паралелното свързване на три или повече проводници, както е показано на фиг. 12.10. Входното съпротивление се намалява до около 600  $\Omega$ .

Ако вертикално една над друга се поставят няколко еднотипни ромбични антени (фиг. 12.11), усиляването в направление на главния лъч се увеличава още повече поради по-доброто насочване във вертикалната равнина. Такива антени обаче се използват само в III, IV и V телевизионни обхвати. С двойни ромбични и ромбоидни антени се постига усиляване около 17 dB.



Фиг. 12.11. Етажирани ромбични антени

### 13. Синфазно възбуждани диполни комбинации (синфазни антени)

Полувълновият дипол представлява основният елемент на почти всички антени. Известна е неговата характеристика на насочено действие (вж. раздел 3.). Характеристиката на насочено действие може да се изменя почти произволно чрез съответно включване на няколко захранвани диполи и с това да се увеличи и усилването на антената по направление на главния лъч.

#### 13.1. Диполна редица (колинearни диполи)

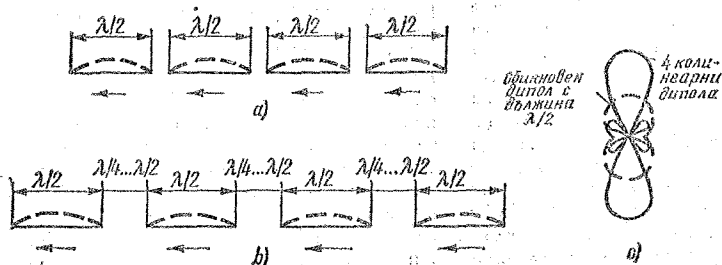
Ако няколко полувълнови излъчвателя се подредят в редица един до друг и всички елементи се възбудят синфазно, *направлението на главния лъч* по отношение на това на полувълновия дипол не се променя. *Широчината на лъча* (Ъгълът на разтвора) обаче става по-малка за сметка на увеличеното излъчване в главното направление. От това се получава едно по-голямо или по-малко усилване в сравнение с обикновения полувълнов дипол.

На фиг. 13.1 е показана диполна

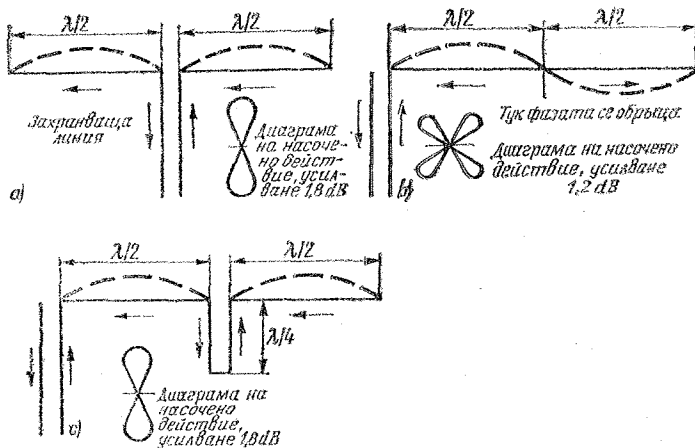
редица с четири колинearни диполи. Начертано е съществуващото разпределение на тока при синфазно възбуждане на диполите. Всички токове имат еднакъв фаза, посока и големина. С една система от колинearни излъчватели може да се получи приблизително следното усилване на антената в сравнение с полувълнов дипол:

2 колинearни	полувълнови	отря-
зъка — 1,8 dB,		
3 колинearни	полувълнови	отря-
зъка — 3,2 dB,		
4 колинearни	полувълнови	отря-
зъка — 4,5 dB,		
5 колинearни	полувълнови	отря-
зъка — 5,4 dB,		
6 колинearни	полувълнови	отря-
зъка — 6,2 dB,		
7 колинearни	полувълнови	отря-
зъка — 6,9 dB		
8 колинearни	полувълнови	отря-
зъка — 7,5 dB.		

Едно по-нататъшно малко увеличение на усилването може да се постигне, като разстоянието между отделните по-



Фиг. 13.1. Диполна редица: а — колинearни диполи, възбудени синфазно, разположени на малко разстояние един от друг, б — колинearни диполи, възбудени синфазно, разположени на разстояние  $\lambda/4$  един от друг, в — сравнение на диаграмите на насочено действие в хоризонталната равнина на един полувълнов дипол (начертана с прекъснатата линия) и на една диполна редица, състояща се от 4 колинearни дипола



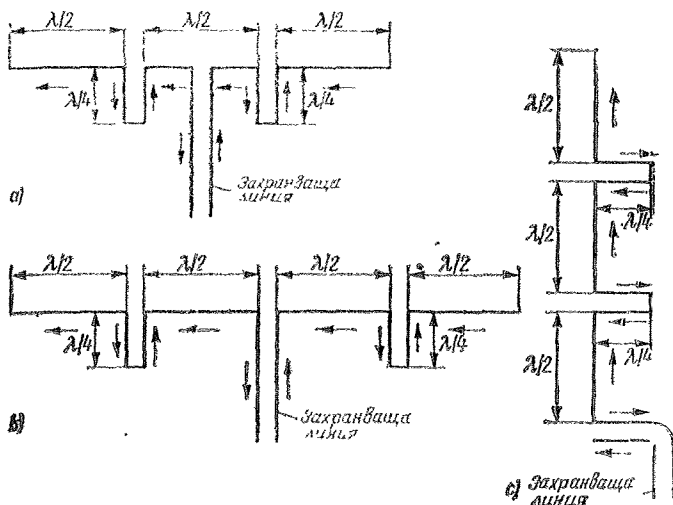
Фиг. 13.2. Влияние на синфазното и противофазно възбуждане; а — 2 синфазно възбудени коллинеарни дипола, б — 2 полувълнови отрязъка, захранвани в края и възбудени противофазно (целовълнов излъчвател, захранван в края сг)

дувълнови антени се увеличи до  $\lambda/4 + \lambda/2$  (фиг. 13.1б). В този случай обаче синфазното възбуждане на елементите се осъществява по-трудно и по-сложно, така че тази възможност се използва рядко. Най-простата диполна редица представлява захранваният в средата си целовълнов дипол. При него синфазно се възбуждат два коллинеарни полувълнови отрязъка. Това следва от разпределението на тока, показано на фиг. 13.2а. Получава се и едно усиление от 1,8 dB. На фиг. 13.2 за разлика от предишния случай е показан един целовълнов излъчвател, захранван в края (цепелин-антена). При този начин на захранване двата полувълнови отрязъка се възбуждат противофазно (вж. разпределението на тока). Диаграмата на насочено действие в хоризонталната равнина се разделя на 4 главни листа и при същата дължина на антената усиляването възлиза само на 1,2 dB. За да може един такъв захранван в края целовълнов излъчвател да се възбуди синфазно, би трябвало двата полувълнови отрязъка да се разделят един от друг, както е показано на фиг. 13.2с и в мястото на разделяне да се постави елемент, изменящ фазата. Този елемент може да представлява една четвъртвълнова линия, свързана накрая накрая (завъртане на фазата  $180^\circ$ ). Един до друг могат да се подредят произволен брой полувълнови отрязъци.

Те са възбудени синфазно, когато всеки два отделни полувълнови отрязъка се свържат един с друг чрез фазовъртящи елементи.

Съпротивлението на излъчване при максимум на тока на диполната редица нараства при увеличаване на броя на диполите по-бързо, отколкото това на една линейна антена с противофазно възбудени полувълнови отрязъци (антени „дълга жица“). За диполни редици с 2 до 6 синфазно възбудени полувълнови елемента важи грубото правило, че съпротивлението на излъчване е приблизително равно на броя на диполите, умножен по 100. Така например може да се приеме, че една диполна редица с 3 коллинеарни полувълнови отрязъка има съпротивление на излъчване 300  $\Omega$ .

На фиг. 13.3 са показани няколко диполни редици. Нарисуваните стрелки означават посоките на тока. При конструкцията, показана на фиг. 13.3а, захранването става при максимум на тока и входното съпротивление на антената е равно на съпротивлението на излъчване. То възлиза на 300  $\Omega$  (3 елемента по 100  $\Omega$ ) при усиление 3,2 dB. Антената, дадена на фиг. 13.3, се захранва при максимум на напрежение, съответно на което съпротивлението в точките на захранване е голямо. В зависимост от отношението дължина/диаметър на проводника импедансът



Фиг. 13.3. Различни диполни редици; а — 3 колинеарни полуълновни излъчватели с централно захранване и синфазно възбуждане (усилване 3,2 dB), б — 4 колинеарни полуълновни диполи с централно захранване и синфазно възбуждане (усилване 4,3 dB), в — 3 колинеарни полуълновни излъчватели с вертикална поляризация, захранени в края и възбудени синфазно (усилване 3,2 dB)

в точките на захранване може да възлиза от 1000 до 6000  $\Omega$ . Теоретично изчисленото усилване е 4,3 dB.

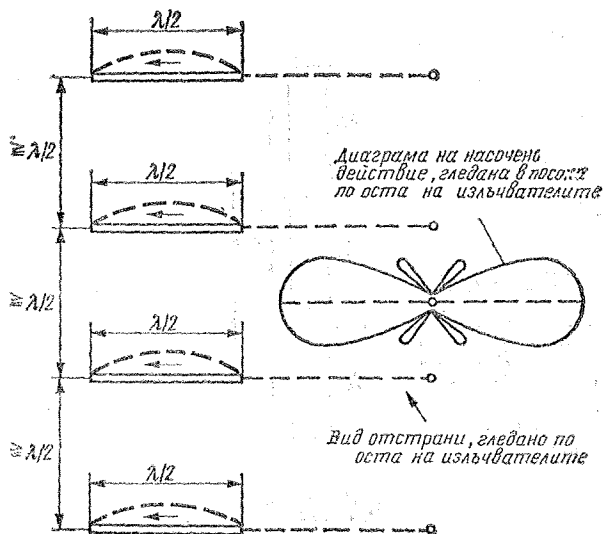
Колинеарните диполи могат да бъдат подредени и във вертикално разположена редица (фиг. 13.3с). Поляризацията и насочването в този случай са вертикални, а в хоризонталната равнина се получава кръгова диаграма на излъчване. По механични съображения захранването става в долния край на редицата, въпреки че едно симетрично захранване в центъра на средния полуълнов отрязък би било по-изгодно от електрическа гледна точка. Четвъртвълновата линия, дадена на края на късо, предизвиква изместване на фазата на  $180^\circ$  и действа като въмъкнат между полуълновите отрязъци паралелен резонансен кръг (вж. фиг. 5.29). Същото действие има и една полуълнова двупроводна линия, отворена в двата си края. Четвъртвълновите отрязъци могат да бъдат заменени и с висококачествени режекторни кръгове (паралелни резонансни кръгове), нещо, което понякога се използва в късволновия обхват (антена W3DZZ). Все пак четвъртвълновата двупроводна линия е най-често използваното средство за реализиране на синфазно въз-

буждане на диполни редици, защото с такива линии, работещи като трептящ кръг, с малки разходи се постигат големи качествени фактори.

### 13.2. Диполна колона (етажирани диполи)

Диполна колона се получава, когато паралелно един на друг се подредят хоризонтални синфазно захранвани полуълновни диполи. За по-голяма нагледност понякога се говори и за етажирани диполи. При етажирание на диполи с дължина  $\lambda/2$  диаграмата на насочено действие в хоризонталната равнина съответствува на тази на отделния дипол, докато в Н-равнината фокусировката се подобрява. Като пример на фиг. 13.4 е показана диполна колона от 4 синфазно възбудени полуълновни отрязъка, подредени на разстояние  $\geq \lambda/2$  един от друг. Начертана е диаграмата на насочено действие във вертикалната равнина (Н-равнината).

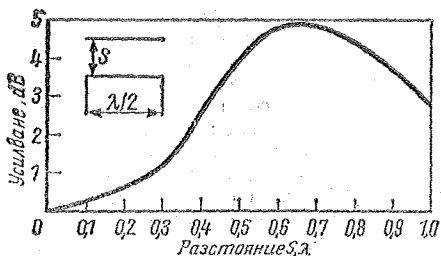
Усилването на антената, което се постига чрез „свиване“ на излъчването в Н-равнината, зависи от броя на успоредните диполи и от разстоянието между етажите  $S$ . От фиг. 13.5



Фиг. 13.4. Диполна колона с 4 синфазно възбудени хоризонтални дипола

може да се види възможното усиляване на два етажирани синфазно възбудени полуълновни диполи в зависимост от разстоянието между етажите  $S$ . Може да се приеме приблизително, че при разстояние между етажите  $0,5\lambda$  с поставянето на всеки следващ етаж усиляването нараства с около 1 dB. При оптимално разстояние  $S$  нарастването на усиляването е около 1,5 dB. Всички елементи трябва да лежат в една и съща равнина.

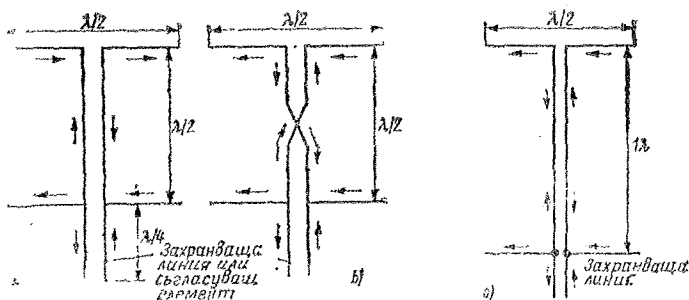
Както следва от фиг. 13.5, при разстояние между етажите  $S=0,5\lambda$  не се достига максимално възможното усиляване. Въпреки това най-често се предпочита именно такова разстояние  $S$ ,



Фиг. 13.5. Зависимост на максималното усиляване на два етажирани синфазно възбудени полуълновни дипола от разстоянието между етажите  $S$ , изразено в  $\lambda$

защото то предлага определени предимства от механична и електрическа гледна точка. При два етажирани полуълновни елемента диаграмата на насочено действие във вертикалната равнина няма странични лъкове, ако разстоянието  $S$  е  $\lambda/2$ . Странични лъкове се появяват при увеличаване на  $S$ , ако разстоянието между етажите стане около  $0,65\lambda$ , стойност, която е оптимална по отношение на максималното усиляване. Нарастването на усиляването обуславя едно намаляване на ъгъла на развора, едновременно с което възникват и няколко малки странични лъкове в диаграмата на насочено действие.

Има различни методи за синфазно възбуждане на една диполна колона. Най-известният е захранването чрез настроени полуълновни Лехерови линии. Една отворена двупроводна линия с дължина  $\lambda/2$  трансформира съпротивлението в отношение 1:1. Тя обаче завърта фазата на приложеното височестотно напрежение на  $180^\circ$ . Ако два успоредни полуълновни дипола, монтирани на разстояние  $\lambda/2$  един над друг, са свързани, както е показано на фиг. 13.6а, те са възбудени противофазно. Това се вижда от стрелките за посоката на тока. Желаното синфазно възбуждане се постига едва тогава, когато полуълновната свърз-



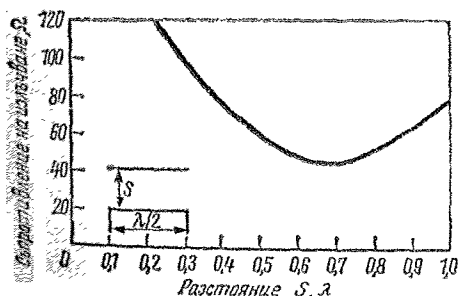
Фиг. 13.6. Възбуждане на два успоредни дипола; а — противофазно възбуждане на два успоредни дипола, разположени на  $\lambda/2$  един от друг, б — синфазно възбуждане на два успоредни дипола, разположени на  $\lambda/2$  един от друг, чрез кръстосване на свързващата линия, с — синфазно възбуждане на два успоредни дипола чрез некръстосаща свързваща линия с дължина  $1\lambda$ .

ваща линия се кръстоса (фиг. 13.6б). Ако двата дипола бяха свързани с линия, чиято електрическа дължина възлиза на  $1\lambda$ , нямаше да е нужно линията да се кръстосва, защото целовълновите Лехерови линии трансформират съпротивлението в отношение 1:1 и освен това не променят фазата на приложеното напрежение (фиг. 13.6с).

Захранването в долния дипол (фиг. 13.6) е удобно от механична гледна точка, но по електрически съображения не е много благоприятно. Долният дипол, към който се свързва захранващата линия, получава енергия, така да се каже, „от първа ръка“, докато за достигане на следващите по-горни етажи трябва да се изминат различно дълги пътища. Като последица от разликата във времето на разпространение се появява леко фазово изместване в разпределението на тока и напрежението, което най-често се изразява в

едно нежелано повдигане на диаграмата на излъчване във вертикалната равнина (по-голям ъгъл на възвишение). Антената „поглежда нагоре“ и пропусканата честотна лента се стеснява. Заради това диполните колони трябва да се захранват централно, в геометричната среда на колоната.

Следствие на успоредното подреждане на синфазно възбудените диполи тяхното съпротивление на излъчване се променя в зависимост от разстоянието между етажите  $S$ . Както се вижда от фиг. 13.7, при два паралелни дипола съпротивлението на излъчване на всеки отделен дипол е  $60\ \Omega$ , когато  $S$  е равно на  $0,5\lambda$ . При  $S=0,72\lambda$  то спада на около  $45\ \Omega$  и при разстояние  $S=1\lambda$  нараства до  $80\ \Omega$ . При късовълновите антени е възможно построяване на диполна колона от максимум два паралелни дипола. Напротив, в УКВ обхвата може да се етажират успоредни диполи в повече равнини.



Фиг. 13.7. Зависимост на съпротивлението на излъчване от разстоянието между етажите  $S$  на два синфазно възбудени успоредни дипола при максимум на тока във всеки отделен елемент

Възникващите при това трудности при захранването са разгледани в раздел 23.1.

### 13.3. Диполни групи

Обикновено се строят комбинации от диполни редици и диполни колонии, при което фокусировката в  $E$ -равнината се постига чрез наличните диполни редици, а в  $H$ -равнината — чрез диполните колонии. Такива конструкции се наричат *диполни стени* или *групови антени*. Тъй като диполните редици и диполните колонии са двустранно излъчващи системи, често всеки полуълнов отрязък се снабдява с по един настроен захранван или незахранван рефлектор и така се получава едностранно насочено действие, едновременно с което и усиляването на цялата система нараства с почти 3 dB. Ако диполите се поставят пред едно рефлекторно платно, усиляването може да нарастне до около 7 dB. Сложни диполни комбинации могат да се реализират само в УКВ-обхвата (по механични съображения) и затова те са разгледани в разделите за УКВ антени.

### 13.4. Практически конструкции на проводникови насочени антени

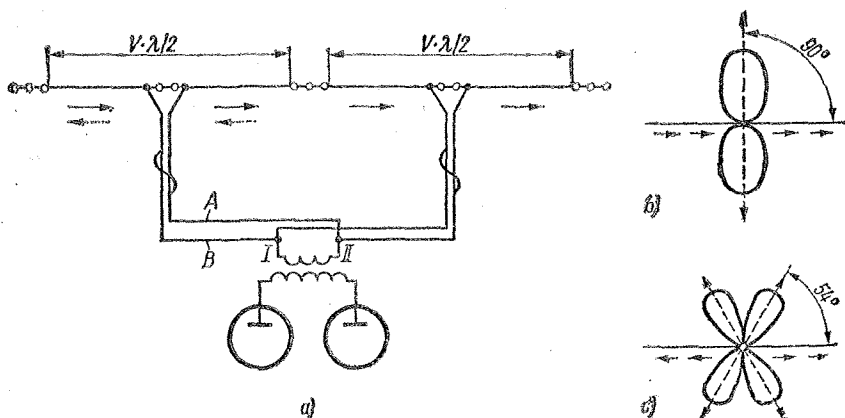
В късовълновия обхват са много популярни синфазно възбуджените ди-

поли (като *насочени проводникови антени*). Те се използват като диполни редици, диполни колонии или като малки комбинации от тях. При няколко форми на такива антени е възможно да се работи и в много обхвати, но всъщност, общо взето, тези антени са еднообхватни и работата в повече от един обхват винаги представлява компромис. За ради пространствените измерения на такива насочени излъчватели приложението им се ограничава само до високочестотните късовълнови обхвати (ДХ-обхвати).

#### 13.1.4. Двоен дипол

Най-простата диполна редица се състои от два колинеарни синфазно възбудени полуълнови дипола (фиг. 13.8). Особеност в този случай представлява това, че всеки дипол има собствена захранваща линия. Определено предимство е, че чрез превключване на захранващата линия може да се изменя характеристиката на насочено действие.

При синфазно възбудяване на двата дипола, както е нарисувано на фиг. 13.8 *б*, главните посоки на излъчване са перпендикулярни на оста на дипола, а усиляването на антената е 1,8 dB. Чрез просто обръщане на едната от двете захранващи линии при бобината за връзка се постига противофазно за-



Фиг. 13.8. Двоен дипол с изменяема диаграма на насочено действие; *а* — изменение на диаграмата на излъчване чрез размяна на изводите А и В, *б* — диаграма на насочено действие при синфазно възбудяване (усиляване 1,8 dB), *с* — диаграма на насочено действие при противофазно възбудяване (усиляване 1,2 dB)



хранване на двата дипола и диаграмата на излъчване става като тази на целовълнова „дълга жица“ (фиг. 13.8с) с усилване 1,2 dB. Ако съществува възможност двата дипола да се монтират на по-голямо разстояние  $S$  един от друг (фиг. 13.9), при синфазно възбуждане усилването на антената се увеличава. При  $S=0,2\lambda$  усилването възлиза на 2,5 dB, при  $S=0,3\lambda$  нараства на 3 dB и при разстояние между диполите от 0,4 до  $0,6\lambda$  достига максималната си стойност от около 3,2 dB.

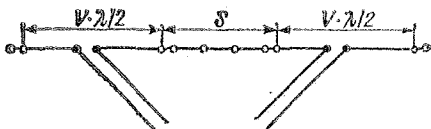
### 13.4.2. Антена на Франклин

Когато в редица се свържат повече от два синфазно възбудени диполи, получената конструкция се нарича антена на Франклин. Най-малката антена на Франклин се състои от 3 колинеарни дипола (фиг. 13.10а).

Входното съпротивление на тази система е равно на съпротивлението на излъчване (захранване в максимум на тока) и възлиза на малко повече от 300  $\Omega$ . Затова антената може да бъде захранвана направо с произволно дълга захранваща линия с вълново съпротивление 300  $\Omega$ .

Средният дипол ( $L_2$ ) е малко по-дълъг от двата външни дипола, защото при оразмеряването му е взето предвид, че той не е подложен на така наречения краевия ефект.

Резонансните дължини  $L_3$  на двата затворени четвъртвълнови елемента са пресметнати за двупроводни линии с



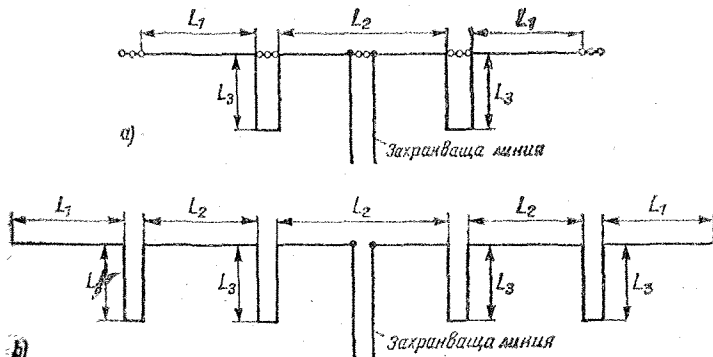
Фиг. 13.9. Увеличаване на усилването на двойния дипол чрез увеличаване на разстоянието  $S$

въздушна изолация и разстояние между проводниците около 10 cm (последното не е критично). Ако се използват отрязъци от лентов кабел, трябва да се вземе под внимание коефициентът на скъсяване  $V$  ( $V \approx 0,8$ ).

Теоретичното усилване на тази антена възлиза на 3,2 dB и се дължи изключително на увеличаването на степента на насоченост в хоризонталната равнина. Практически данни за оразмеряване на  $L_1$ ,  $L_2$  и  $L_3$  могат да се вземат от таблица 13.1.

Ако описаната антена се усложни чрез добавяне на още два полувълнови отрязъка (фиг. 13.10б), теоретически усилването нараства на 5,4 dB, а съпротивлението в точките на захранването възлиза на около 500  $\Omega$ . Тази антена може да бъде захранена с произволно дълга двупроводна линия с вълново съпротивление 500  $\Omega$ .

Една такава антена би имала практическо значение за радиолубителски връзки само тогава, когато би могло диполите да се монтират в една вертикална редица. В такъв случай вертикално поляризираната диполна редица ще излъчва във всички посоки като един



Фиг. 13.10. Антена на Франклин (оразмерена по данни от табл. 13.1); а — 3 колинеарни дипола, усилване 3,2 dB, б — 5 колинеарни дипола, усилване 5,4 dB

Таблица 13.1. Данни за оразмеряване на антена на Франклин (фиг. 13.10)

Обхват в м	Дължина $L_1$ в м	Дължина $L_2$ в м	Дължина $L_3$ в м
10	5,09	5,18	2,50
15	6,90	7,02	3,52
20	10,30	10,50	5,27
40	20,71	21,13	10,61
80	40,50	41,35	20,70

превзходен излъчвател с кръгова диаграма в хоризонталната равнина, много малък ъгъл на възвишение и усилване 5,4 dB. За съжаление много рядко може да се реализира антена с такава височина. Резонансните дължини за описаните два вида антени могат да се вземат от таблица 13.1. Тъй като колинеарните диполи имат относително голяма ширина на пропусканата честотна лента, дадените в таблицата размери са пресметнати за средата на съответния любителски обхват. С това се осигурява приложимостта на антените в цялата честотна лента на всеки от обхватите.

### 13.4.3. Лейзи ейч (Lazy-H)

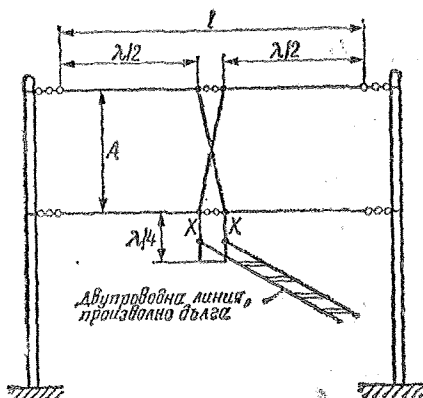
Шеговитото название „мързеливият Хайрих“ (англ. Lazy-H) произлиза от външния вид на тази проводникова антена (прилича на лежаща на една

страна буква Н). Тя е показана на фиг. 13.11.

В случая се касае за една комбинация от диполна редица с два колинеарни дипола и диполна колона от два успоредни дипола. Разстоянието между етажите възлиза на  $\lambda/2$ . Благодарение на кръстосаната свързваща линия всички диполи са възбудени синфазно.

В този случай захранването се извършва чрез произволно дълга съгласувана двупроводна линия. Съгласуването на тази захранваща линия към високото съпротивление в точките на захранване на антената се постига чрез затворена четвъртвълнова линия (вж. раздел 6.6).

Диаграмата на излъчване в хоризонталната равнина съответствува на тази на целовълновия дипол (два колинеарни дипола). Главното излъчване има направление, перпендикулярно на надлъжната ос на проводника (странично излъчваща антена). Излъчването е двупосочно и би могло да се разчита на ъгъл на разтвора в хоризонталната равнина около  $60^\circ$ . Вследствие на етажирането във вертикална посока се увеличава степента на насоченост и във вертикалната равнина. Поради това една диполна колона не е така чувствителна по отношение на височината на монтиране над земната повърхност, както една антена, разположена в една равнина; в съответствие с диаграмата на излъчване на диполната колона във вертикалната равнина само малка част от излъчения сигнал се насочва към земята, така че и отраженията от земната повърхност се появяват в ограничено количество (вж. раздел 3.2.2.1.). Въпреки това ъгълът на възвишение във вертикалната равнина, който е така важен за далечното разпространение на вълните, зависи от



Фиг. 13.11. „Лейзи ейч“

Таблица 13.2. Данни за оразмеряване на „Лейзи ейч“ (фиг. 13.11)

Обхват в м	Дължина в м	Разстояние А в м	Теоретично усилване в dB
20	20,60	10,50 (1/2 $\lambda$ )	5,6
		7,95 (3/8 $\lambda$ )	4,3
		15,90 (3/4 $\lambda$ )	6,3
15	13,90	7,10 (1/2 $\lambda$ )	5,6
		5,33 (3/8 $\lambda$ )	4,3
		10,70 (3/4 $\lambda$ )	6,3
10	10,25	5,30 (1/2 $\lambda$ )	5,6
		4,00 (3/8 $\lambda$ )	4,3
		7,95 (3/4 $\lambda$ )	6,3

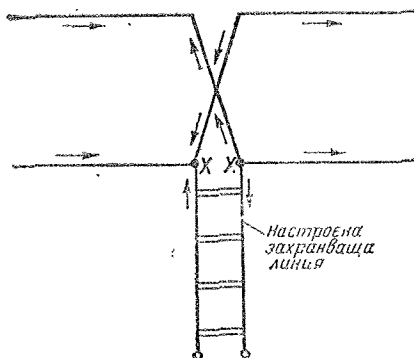
височината на монтиране над земната повърхност и както за всяка друга антена и в този случай е в сила изискването антената да се монтира на възможно най-голяма височина. Най-добри резултати трябва да се очакват, когато долният етаж е разположен на височина  $\lambda/3$  над земята, обаче и при по-малки височини все още може да се разчита на добра ефективност.

Усилването на описаната антенна система теоретически възлиза на 5,6 dB. То се променя в зависимост от разстоянието между етажите. Това е показано на таблица 13.2. На практика използването на „Лейзи ейч“ за установяване на любителски връзки винаги е по-изгодно от това на антена със същото усилване, разположена в една равнина. Това се дължи на голямата степен на насоченост в Н-равнината при малък вертикален ъгъл на възвишението. При установяване на радиовръзки освен това се приема като много изгоден фактът, че хоризонталният ъгъл на разтвора от почти 60° позволява да се покрие почти 1/3 от целия кръг при голямо усилване на антената (в двете посоки). Общо взето, се предпочита разстояние между етажите, равно на  $\lambda/2$ . При по-малки разстояния между етажите се получава по-малко усилване, а при по-големи — по-голямо усилване. Таблица 13.2 дава разяснения за дължината на излъчвателя, разстоянията между етажите и теоретическото усилване на антената за DX-обхватите 20, 15 и 10 м.

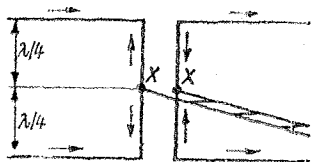
Антената „Лейзи ейч“ може да се захрани по различни начини. Механически и електрически най-просто е да

се осъществи захранване чрез настроена линия в долната равнина (фиг. 13.12). От нарисованите стрелки за посоката на тока може да се разбере, че всички диполи са възбудени синфазно. Недостатък на този вид захранване е, както беше вече споменато, че поради разликата във времето на разпространение двете диполни равнини не могат да се възбудят съвсем едновременно. Заради това вертикалният ъгъл на възвишението може да стане малко по-голям. Друг недостатък е този, че загубите в една настроена захранваща линия са винаги малко по-големи от тези на една съгласувана линия.

На фиг. 13.13 е показано захранване в центъра, при което двете равнини се възбуждат симетрично. Така отпада и малко трудното за механично реализиране кръстосване на свързващата



Фиг. 13.12. Антена „Лейзи ейч“ с настроена захранваща линия

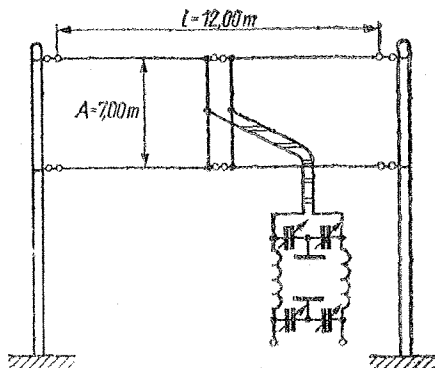


Фиг. 13.13. Антена „Лейзи ейч“ с централно захранване

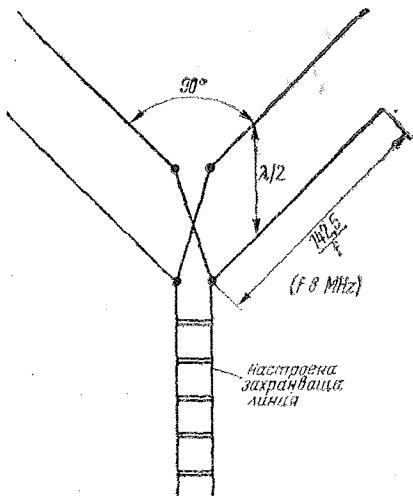
линия. Чрез захранването в средата на полувълновата свързваща линия последната се разделя на два четвъртвълнови отрязъка, при което към всяка равнина на излъчвателите трябва да се счита за свързана по една четвъртвълнова линия. Така може да си представим, че във всяка равнина е разположен по един целовълнов дипол с четвъртвълнов трансформатор (вж. раздел 6.5.). Ако за входното съпротивление на целовълнов дипол с голямо отношение дължина/диаметър на проводника се приеме една стойност от около 4000, и четвъртвълновата линия се оразмери така, че да има вълново съпротивление  $Z$  около  $600\Omega$ , то стойността на импеданса  $Z_E$ , трансформирана към точките на захранване XX, може да се изчисли лесно от (6.6).

Ако в уравнение (6.6) се заместят приблизително правилно приетите стойности, се получава  $Z_E = 600^2 : 4000 = 90\Omega$ .

Тъй като двете равнини са свързани паралелно в точките XX, съпротивлението също са свързани паралелно, така че вълновото съпротивление на



Фиг. 13.14. Антена „Лейзи ейч“ за работа на три обхвата



Фиг. 13.15. Етажирани целовълнови вълнови диполи с кръгова диаграма на излъчване в хоризонталната равнина и повишена степен на насоченост във вертикалната равнина

съгласуваната захранваща линия трябва да бъде не  $90\Omega$ , а само  $45\Omega$ . Затова би било възможно захранването да стане чрез коаксиален кабел с вълново съпротивление  $50\Omega$ .

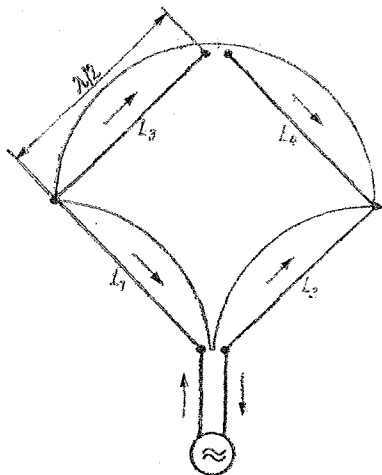
Общо взето, и при захранване в центъра се предпочита използването на настроена захранваща линия, защото с нея, като компромис може да се работи и в повече от един обхват. Трябва да се внимава и за това захранващата линия да се отведе под прав ъгъл на възможно най-голямо разстояние от точките XX.

На фиг. 13.14 е показана една антена „Лейзи ейч“ с нанесени размери за работа на 10, 15 и 20 m. Тази антена е оразмерена за резонанс в обхвата 15 m. Тя трябва да работи с настроена захранваща линия съвместно с един Колинс-филтър.

#### 13.4.3.1. Етажиран целовълнов дипол

Ако двете рамена на диполите на една антена „Лейзи ейч“ се сгънат на около  $90^\circ$ , получава се етажиран целовълнов ъглов дипол, който е много интересен за любителите заради характеристиката си на насочено действие (фиг. 13.15).

Според казаното в раздел 10.4.1. един целовълнов дипол, сгънат на  $90^\circ$ , има приблизително кръгова диаграма на излъчване в хоризонталната равнина (вж. фиг. 10.31б3). Ако в диполна колонна се подредят два или повече такива диполи, кръговата диаграма на насочено действие в хоризонталната равнина се запазва напълно. Чрез увеличаване на степента на насоченост във вертикалната равнина се постига съответното усиление на антената. При две етажирани диполни равнини — т. е. при сгъната „Лейзи ейч“ — може да се разчита на усиление от около 3 dB. Всички данни за „Лейзи ейч“ могат да се пренесат за неговата ъглова версия. Диаграмата на насочено действие в хоризонталната равнина, която се получава при други ъгли на сгъване, може да се види от фиг. 10.31. Етажирането не изменя тези диаграми.



Фиг. 13.16. Разпределение на тока в антена „бискуер“

### 13.4.3.2. Бискуер (Bisquare)

Така нареченият *бискуер* представлява проста, но малко известна двупосочно излъчваща проводникова антена. Въпреки че няма външна прилика с „Лейзи ейч“, той представлява една опростена, но директно произлизаща от „Лейзи ейч“ конструкция. На фиг. 13.16 е показана електрическата схема на една антена бискуер. Четирите страни на квадрата  $L_1$ ,  $L_2$ ,  $L_3$  и  $L_4$  имат дължина  $\lambda/2$ . Фазата на токовете е означена чрез стрелките за посоката на тока. От тях се вижда, че сгъването на отрязъците на излъчвателя под прав ъгъл причинява синфазно възбуждане на полувълновите отрязъци от  $L_1$  до  $L_4$  (всички върхове на стрелките сочат надясно). При това  $L_1$  и  $L_2$  могат да се разглеждат като долна, а  $L_3$  и  $L_4$  — като горна равнина. Следователно по електрическа схема и начин на действие бискуерът съответствува напълно на „Лейзи ейч“. Усилването на един бискуер е малко по-малко от това на „Лейзи ейч“, защото бискуерът има по-малка площ. За сметка на това обаче за него е необходима само една носеща мачта, докато за „Лейзи ейч“ са необходими две опорни мачти.

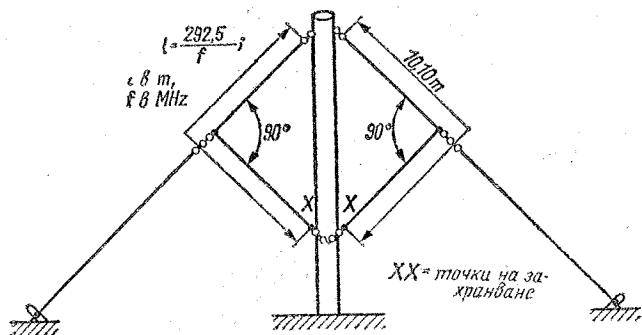
Монтажната схема на бискуера е показана на фиг. 13.17. На фигурата са нанесени размерите, пресметнати за резонанс в обхвата 10 m. Бискуерът се

използва главно в този обхват, защото в този случай е достатъчна мачта с дължина 10 m. Точките на захранване на антената тогава се намират все още на повече от  $\lambda/4$  от повърхността на земята и така се изпълнява изискването: разстояние от земната повърхност  $\geq \lambda/4$ .

Съпротивлението в точките на захранването е голямо (максимум на напрежението). Затова бискуерът най-често се възбужда чрез настроена захранваща линия. Той може да се използва едновременно и като вертикално поляризиран полувълнов излъчвател при двойно по-малка работна честота.

Досега описаните проводникови антени бяха двупосочно излъчващи. Ако главноното излъчване се концентрира в една посока, като за целта голяма част от излъчването в обратна посока се отрази напред, може чрез сумирането на частите на излъчването да се постигне по-голямо усиление на антената. Излъчвателите, които излъчват максимално в една посока, се наричат еднупосочно излъчващи. Съществуващото отношение между излъчването напред и все още наличното излъчване в обратна посока се нарича затихване на сигнала в обратна посока.

Прави се разлика между *захранвани рефлектори* и *незахранвани рефлектори*. Последните се наричат *пасивни*



Фиг. 13.17  
Антенa „бис-  
куер“

рефлектори; за първи път те са предложени от японците *Х. Яги* и *С. Уда*. Дватама първи са работили с рефлектори и директори, които действуват единствено чрез връзката посредством излъчването.

Описаният двупосочно излъчващ бискуер може да бъде превърнат в еднопосочно излъчващ двосен бискуер чрез поставяне на един пасивен елемент (фиг. 13.18). Захранваният елемент се възбужда чрез настроена дупроводна линия. Пасивният елемент е разположен на разстояние  $\leq 0,4 \lambda$  (не е критично) и чрез превключване може да се използва или като директор, или като рефлектор.

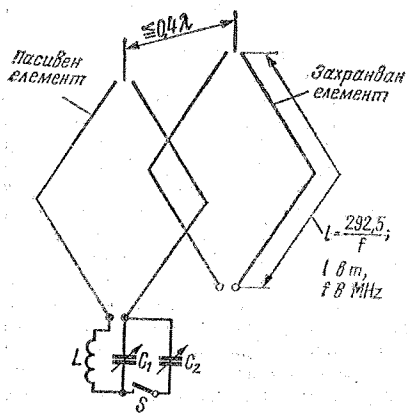
Настройката на пасивния елемент за действие като рефлектор или директор се извършва чрез включения към него *LC*-кръг. Правилните стойности за *L*, *C*<sub>1</sub> и *C*<sub>2</sub> трябва да се определят

опитно. Целесъобразно е дължините на страните на пасивния елемент да бъдат малко по-малки от тези на страните на захранвания (активния) елемент, за да може пасивният елемент да се настрои и като директор.

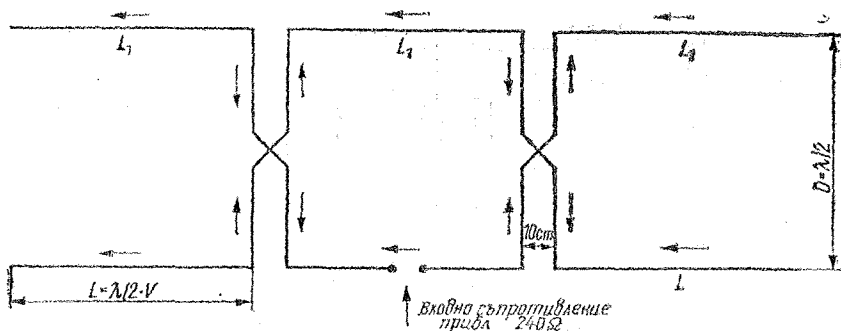
### Настройка

Прекъсвачът *S* се отваря и с *C*<sub>1</sub> пасивният елемент се настройва така, че да действува като директор, т. е. максималното излъчване от захранвания елемент е в посока на пасивния елемент; тогава *S* се затваря и с *C*<sub>2</sub> се настройва, докато се постигне максимално добро действие като рефлектор, без да се изменя отново стойността на *C*<sub>1</sub>. С това посоката на главния лъч се завърта на 180° в хоризонталната равнина. Получените стойности за кондензаторите по-нататък не се изменят. По време на работа изменянето на характеристиката на насочено действие става единствено чрез отваряне (пасивният елемент действува като директор) или затваряне (пасивният елемент действува като рефлектор) на прекъсвача. Последният може да бъде командван дистанционно с помощта на реле.

Нарастването на усиляването, дължащо се на пасивния елемент, достига до около 3 dB. Това нарастване съществува и тогава, когато антената се възбужда с двойно по-малка честота и работи като полувълнов вертикален излъчвател. Пасивният елемент в този случай е разположен на разстояние 0,2 λ от активния и по този начин неговото действие като рефлектор съответно директор се запазва. Находи-



Фиг. 13.18. Еднопосочно излъчващ „бискуер“



Фиг. 13.19. Модифицирана Н-образна антена

вите радиобобинтели могат да намерят начин да използват съществуващата мачта на бискуера и за други антенни системи. Би могло например перпендикулярно на единия бискуер да се постави втора аналогична антена, като се използва същата мачта, с което се облъчват посоките, намиращите в нулевите зони на първата антена. Едновременно с това мачтата е укрепена с обтяжки в четири посоки. Остава още място, което може да се използва за антена T2FD (вж. раздел 12.2.), за подходящ скъсен дипол за 80/40 m (фиг. 10.27) или за една проводникова пирамида за обхвата 40 m (фиг. 10.30). Накрая, на върха на мачтата може да се постави един вертикален пръчковиден излъчвател или насочена антена за обхвата 2 m.

#### 13.4.3.3. Модифицирана Н-образна антена

Описаната по-долу странично излъчваща антена представлява вариант на

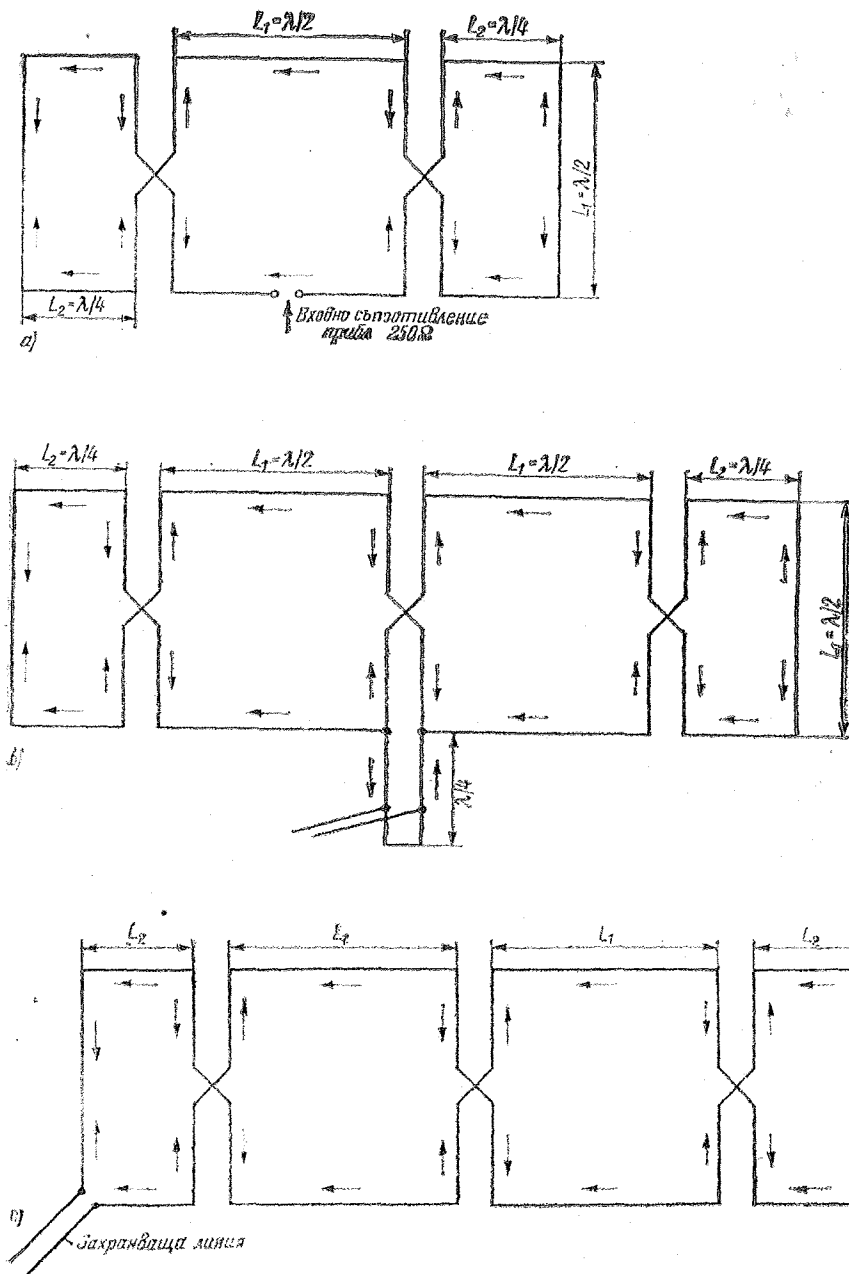
„Лейзи ейч“, при който са комбинирани 3 колинеарни дипола с една дигионна колона, така че се получават общо 6 захранени полувълнови елемента. Практически става дума за „Лейзи ейч“, която е допълнена с два елемента. Ъгълът на разтвора във вертикалната равнина не се променя, но листовите в диаграмата на насочено действие в хоризонталната равнина стават по-тесни и усилването на антената нараства до около 7 dB.

Тази насочена антена е показана на фиг. 13.19. Долната редица диполи би трябвало да се окачи свободно най-малко на височина  $\lambda/2$  над повърхността на земята. Практическите размери на модифицираната „Лейзи ейч“ и на следващата антена на Щерба са дадени в таблица 13.3.

Входното съпротивление на антената възлиза на около 240  $\Omega$ , затова тя може да се захрани направо с произволно дълъг УКВ лентов кабел.

Таблица 13.3. Данни за оразмеряване на антени на Щерба и на модифицирани „Лейзи ейч“

Работна честота в MHz	Дължина $L_1$ в m	Дължина $L_2$ в m
7,0	21,34	10,67
7,05	21,16	10,58
14,0	10,67	5,33
14,2	10,54	5,27
21,0	7,09	3,55
21,2	7,02	3,51
28,0	5,36	2,68
29,0	5,18	2,59



Фиг. 13.20. Антени на Шерба; а — обикновена форма, 4 елемента, б — усъвършенствана антена с централно захранване, 6 елемента, в — 6 елемента, захранвани в края



#### 13.4.3.4. Антена на Щерба

Антената на Щерба спада също към групата на двупосочните странично излъчващи антени. Тя представлява усъвършенствувана конструкция на „Лейзи ейч“. Досега радиолобителите рядко са използвали този излъчвател, защото за него е необходимо много място и защото при по-големи системи тълът на разтвор в хоризонталната равнина става извънредно малък. Антената на Щерба има известно значение като антена за служебни радиовръзки, но само в специални случаи. Погледнато откъм точките на захранване, тя се състои от един непрекъснат проводник. Така се създава напр. възможност със силен ток да се разтопи леденото покритие на замразената антена.

На фиг. 13.20a е показана схемата на една обикновена антена на Щерба, която с четирите си елемента съответствува на „Лейзи ейч“ (два четвъртвълнови отрязъка във всяка от равнините се разглеждат като един полу-вълнов дипол). Усилването на една такава обикновена антена е същото, както на „Лейзи ейч“. На фигура 13.20c е показана конструкция с 6 елемента. Тя отговаря на модифицираната Н-образна антена, но се отличава с малко по-голямото си усилване (8 dB).

Антените на Щерба могат да се направят произволно големи чрез добавяне на полувълнови елементи със съответните фазовъртящи линии.

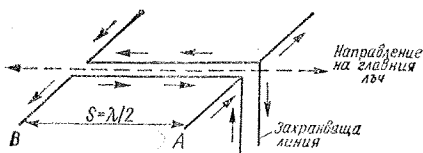
Простата антена на Щерба (фиг. 13.20a) се захранва в максимум на тока. Входното съпротивление е около 250  $\Omega$ , затова тя може да се възбуди чрез произволно дълги УКВ лентови кабели. При усъвършенствуваната конструкция (фиг. 13.20b) точката на захранване е разположена в максимум на напрежението и следователно входното съпротивление е голямо. Препоръчва се използването на настроена захранваща линия или още по-добре, както е начертано — на четвъртвълнов съгласуващ шлейф, с който се извършва съгласуване към каква да е ненастроена захранваща линия. Още по-лесно е тази антена да се захрани в максимум на тока, както е показано на фиг. 13.20c (захранване в края на антената). В такъв случай входното съпротивление е около 300  $\Omega$ . Размерите на антените на Щерба могат да се вземат от табл. 13.3.

Описаните в раздел 13.4.3. антени с равнинно подреждане на елементите се срещат в литературата на английски и немски език и под названието *Curtain-antени* (*curtain* = завеса). Това название произлиза от външния вид на антените и е равнозначно на българския термин *антенно платно*.

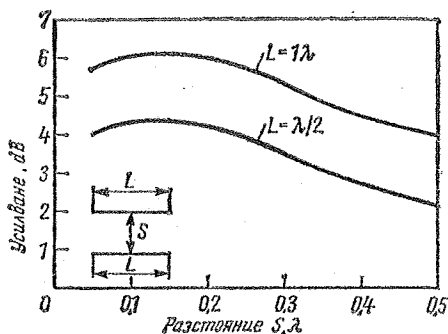
## 14. Надлъжно излъчващи диполни конструкции

Успоредни диполи, които се възбуждат с различна фаза, излъчват предимно в направление на най-големия надлъжен размер на антената. Те се означават с обобщеното название *надлъжно излъчващи антени*. Усилването и насоченото действие на надлъжните излъчватели се определят от разстоянието между успоредните елементи и тяхната относителна фаза. Най-известната форма на надлъжен излъчвател е антената на Яги. На фиг. 14.1 е показана една проста надлъжно излъчваща система. Двата дипола А и В са разположени на разстояние  $\lambda/2$  успоредно един на друг и са свързани посредством една полуълновна двупроводна линия. От начертаните стрелки за посоката на тока може да се разбере, че диполът А е възбуден с фазова разлика  $180^\circ$  спрямо дипола В. Начинът на действие на тази конструкция би могъл да се представи приблизително по следния начин: диполът А отразява излъчването на дипола В и обратно. Излъчването се сумира съответно изважда векторно в зависимост от разстоянието  $S$  и фазовата разлика на сигналите, с които са възбудени диполите А и В. От това се получава едно усилено двупосочно излъчване, което има посока, съвпадаща с направлението на свързващата двупроводна линия.

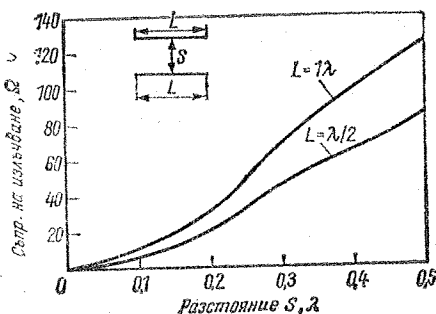
От фиг. 14.2 може да се види усиляването на антената по отношение на това на един обикновен полуълнов дипол. Усилването се получава вследствие



Фиг. 14.1. Възбуждане и разпределение на тока на надлъжно излъчваща антена

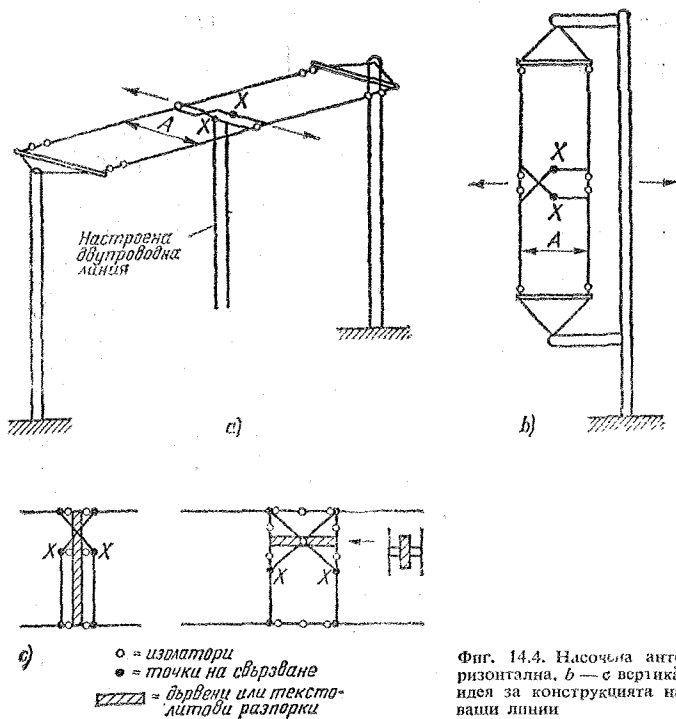


Фиг. 14.2. Усилване на два успоредни дипола с дължина  $\lambda/2$  или  $1\lambda$ , възбудени противофазно в зависимост от разстоянието  $S$



Фиг. 14.3. Зависимост на съпротивлението на излъчване на дипол от системата, образувана от два дипола с дължина  $\lambda/2$  или  $1\lambda$  с противофазно възбуждане от разстоянието  $S$

ствие на насоченото излъчване. При това се предполага, че двата дипола са възбудени с фазова разлика  $180^\circ$ . Максимално възможното теоретично усиление 4,3 dB се получава, когато два полуълновни дипола се разположат на разстояние  $0,15\lambda$  един от друг. Ако в системата се използват целовълнови диполи, теоретичното максимално усиление при същото разстояние между диполите нараства до около 6,1 dB.



Фиг. 14.4. Насочена антена *W8JK*; а — с хоризонтална, б — с вертикална поляризация, в — идея за конструкцията на кръстосаните свързващи линии

При разглеждане на съпротивлението на излъчване, което се измерва в максимум на тока на дипола (фиг. 14.3), се забелязва, че при същата система съпротивлението на излъчване е много малко (от 12 до 20  $\Omega$ ) при максимално усилване на антената. Това означава, че в антенния проводник протичат големи токове, затова се увеличават изчисляваните по формулата  $I^2R$  загуби. По тази причина не може да се достигне максимално възможното теоретично усилване; практически усилването е с около 1 dB по-малко.

Конструирани са различни варианти на напълно излъчващи антени, които се различават главно по начина на възбуждане на съдържащите се в тях елементи.

#### 14.1. Насочени антени *W8JK*

Една от известните надлъжно излъчващи антени — *W8JK* — е разработена от Краус. На фиг. 14.4 е показан

външният вид на антената с хоризонтална (фиг. 14.4а) и вертикална (фиг. 14.4б) поляризация. Главните посоки в диаграмата на насочено действие на тази двупосочно излъчваща система са показани със стрелки.

Антените *W8JK* могат да работят с различни големина и захранване. Разстоянието  $A$  винаги възлиза на  $\lambda/4$  до  $\lambda/8$ , а фазовото изместване — на  $180^\circ$ .

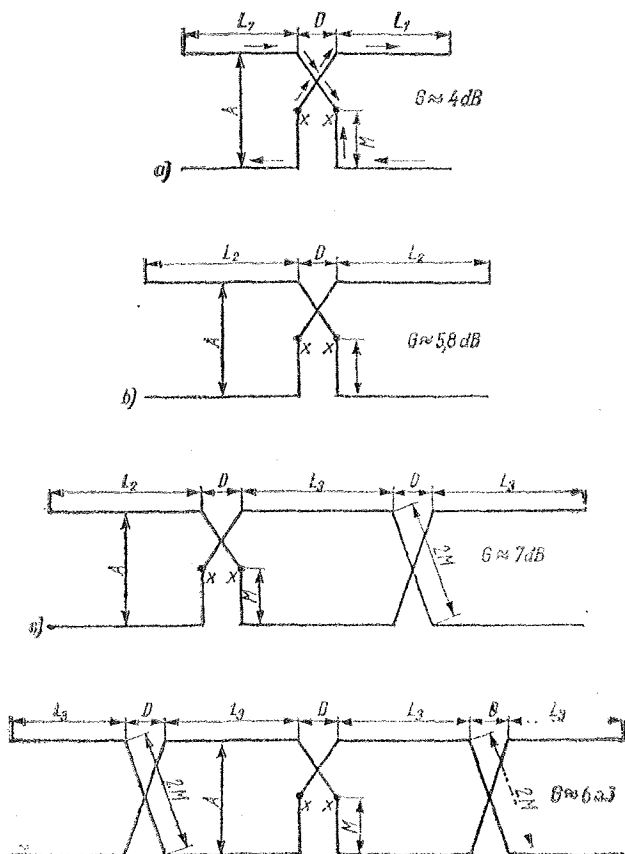
Възможно най-малката антена *W8JK* съдържа два успоредни полувълнови дипола (фиг. 14.5а). При следващата по големина антена полувълновите диполи са заместени с целовълнови. Такава антена се означава като *W8JK* с две секции. Възможно е да се реализират конструкции с 3, 4 или повече секции, но те се използват съвсем рядко (фиг. 14.5с и д).

От таблица 14.1 и фиг. 14.5 могат да се видят всички размери за насочените излъчватели *W8JK* с различна големина. Теоретичното усилване на тези антенни системи е дадено на фиг. 14.5.

Антената *W8JK* с една секция (раз-

Таблица 14.1. Данни за оразмеряване на антени W8JK (фиг. 14.5)

Честотен обхват в кГц	Разстояние $A$		Дължини			Съгласуващи шлейф			
	в $\lambda$	в м	$L_1$ в м	$L_2$ в м	$L_3$ в м	$M$ в м	$D$ в м	$S$ в м	$B$ в го
7000—7150	0,125	5,28	10,36	18,29	16,05	2,69	1,22	7,93	1,22
14000—14350	0,125	2,64	5,18	9,14	8,03	1,35	0,61	3,96	0,61
	0,15	3,18	5,18	9,14	7,70	1,63	0,61	3,66	0,61
	0,20	4,24	5,18	9,14	6,96	2,18	0,61	3,05	0,91
	0,25	5,29	5,18	9,14	6,30	2,69	0,61	2,44	1,22
21000—21450	0,15	2,13	3,50	6,17	5,20	1,09	0,51	2,88	0,40
	0,25	3,55	3,50	6,17	4,26	1,82	0,51	2,06	0,80
28000—29000	0,15	1,58	2,59	4,57	3,84	0,81	0,46	2,13	0,30
	0,25	2,64	2,59	4,57	3,15	1,35	0,46	1,52	0,60
29000—30000	0,15	1,53	2,51	4,42	3,71	0,79	0,46	2,13	0,30
	0,25	2,54	2,51	4,42	3,05	1,32	0,46	1,52	0,60



Фиг. 14.5  
Схеми на антени W8JK;  
а — 1 секция с два елемента, б — 2 секции с 4 елемента, в — 3 секции с 6 елемента, г — 4 секции с 8 елемента (данни за оразмеряването са дадени в табл. 14.1)

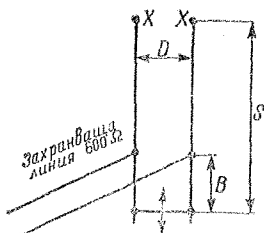
стоянието  $A \approx \lambda/8$ ) може да се използва едновременно и за двойно по-голяма работна честота като антена с две секции и разстояние  $A$ , равно на  $\lambda/4$ . Ако захранването става чрез настроена захранваща линия, възможно е още и възбуждане с четвъртата хармонична на работната честота. Наистина тогава колинеарните диполи сами за себе си вече не са възбудени синфазно и диаграмата на излъчване в хоризонталната равнина придобива формата на четирилистна детелина (фиг. 11.1a). Антените  $W8JK$ , захранвани в центъра си, се възбуджат в точките  $XX$ , където има максимум на напрежението. Ако се предпочете използването на съгласувани захранващи линии, напр. една произволно дълга двупроводна линия с вълново съпротивление  $600 \Omega$ , която се отличава с особено малки загуби, най-добре е съгласуването да се извърши чрез четвъртвълнов съгласуващ шлейф (раздел 6.6.). Четвъртвълновият шлейф, даден на края на късо, се свързва към точките на захранване на антената  $XX$  (фиг. 14.6). В табл. 14.1 са дадени размерите на антената и приблизителното разположение на точките на свързване на една съгласувана двупроводна линия с вълново съпротивление  $600 \Omega$  (размерите  $S$  и  $B$  са показани на фиг. 14.6).

За да се улесни настройката, мостчето за късо съединение в края на съгласувания шлейф трябва да може да се премества. Затова е целесъобразно размерите на съгласувания шлейф да се изберат малко по-големи от тези, които са дадени в табл. 14.1.

Ако се предпочете захранване чрез произволно дълъг коаксиален кабел, съгласуваният шлейф трябва да се изработи така, че в точките  $ZZ$  да съществува импеданс от 240 до  $300 \Omega$ . Тогава към антената може да се свърже съвсем правилно произволно дълъг коаксиален кабел, като се използва един симетризиращ шлейф (раздел 7.5.).

#### 14.1.1. Антена $W8JK$ с шлейфвибратори

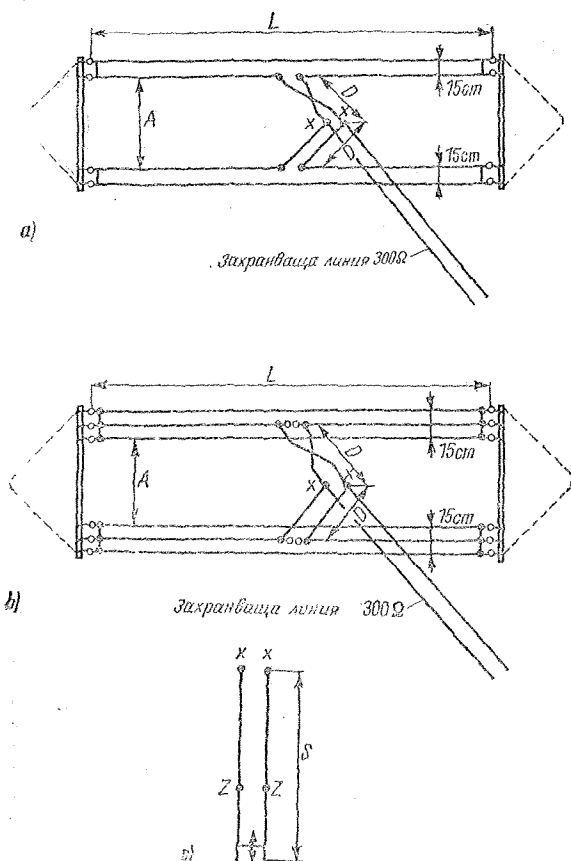
Когато диполите на една обикновена антена  $W8JK$  (една секция) представляват шлейфвибратори, съпротивлението на излъчване е по-голямо и широчината на пропусканата честотна



Фиг. 14.6. Съгласуващ шлейф за антена  $W8JK$  (данни за оразмеряването са дадени в табл. 14.1)

лента нараства. Тъй като в антената протичат малки токове, загубите в проводниците също са по-малки и с това нараства коефициентът на полезно действие на антената, сравнен с този на една  $W8JK$  с прави диполи. При  $W8JK$  с шлейфвибратори може да се постигне почти максимално възможното теоретично усилване. Шлейфвибраторите не допускат възбуждане с висши хармонични и затова тези антени могат да се използват само в обхвата, за който са оразмерени.

На фиг. 14.7 са показани конструкции с обикновени и двойни шлейфвибратори (фиг. 14.7b). Съответните данни за оразмеряване могат да се вземат от табл. 14.2. Трябва специално да се отбележи, че при конструкцията с обикновени шлейфвибратори (фиг. 14.7a) централната свързваща четвъртвълнова линия е изработена от лентов кабел с вълново съпротивление  $240 \Omega$ . Когато са пресмятани дължините на тези линии (табл. 14.2), е взет пред вид коефициент на скъсяване  $V$ , равен на 0.82. Едната от двете линии  $D$  е кръстосана. Това се постига просто чрез усукване на линията на  $180^\circ$ . Всяка от двете линии  $D$  действа като четвъртвълнов трансформатор (вж. раздел 6.5.), така че в точките на захранване  $XX$  съществува импеданс от около  $500 \Omega$ . В такъв случай антената може да бъде захранена с произволно дълга двупроводна линия с вълново съпротивление  $500 \Omega$ . Ако линиите  $D$  са направени от лентов кабел с вълново съпротивление  $300 \Omega$ , към точките  $XX$  се трансформира един импеданс от около  $750 \Omega$ . Възможно е и захранване чрез произволно дълъг коаксиален кабел. За целта в  $XX$  трябва да се включи един съгласуващ шлейф (фиг. 14.7c),



шейфвибра-  
шейфвиб-  
изработен  
ълново съм  
— с двой-  
линните D-  
лентов кабел  
ение 300 Ω,  
р за а и б

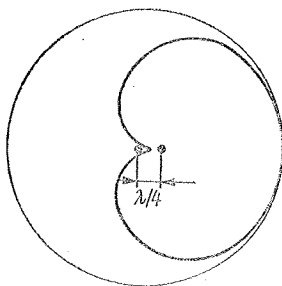
ията дължина S може да се вземе от табл. 14.2. Върху съгласуващия шлейф трябва да се намерят точките ZZ, в които импедансът възлиза на 240 Ω. Там се свързва полувълнов симетриращ шлейф и към него — коаксиалният кабел.

При конструкциите с двоен шлейф-вибратор съотношението на импедансите е малко по-друго. Двете свързващи линии D, едната от които също така е кръстосана, са изработени от лентов кабел с вълново съпротивление 300 Ω. Коефициентът на скъсяване

Таблица 14.2. Данни за оразмеряване на антена W8JK с шлейфвибратори (фиг. 14.7)

Обхват в MHz	Разстояние $\lambda/4$ , m	Дължини		Съгласуващ шлейф S, m
		L, m	D, m	
7	6,61	19,61	8,74	10,50
14	3,53	9,80	4,37	5,25
21	2,30	6,56	2,90	3,53
28	1,55	4,73	2,17	2,55

на този кабел при пресмятане на дължините, дадени в табл. 14.2, е приет равен на 0,82. В точките XX съществува импеданс от около 300  $\Omega$  и антенната система може да бъде захранена направо чрез произволно дълъг лентов кабел с вълново съпротивление 300  $\Omega$ . Ако линиите D са направени от лентов кабел с вълново съпротивление 240  $\Omega$ , излъчвателят може да се възбуди в точките XX направо чрез една съгласувана линия с вълново съпротивление 240  $\Omega$ . И в двата случая освен това съществува възможността в точките XX да се включи полуwave симетрираща линия и тогава антенната може да се захрани чрез произволно дълъг коаксиален кабел.



Фиг. 14.8. Диаграма на насочено действие (кардиоид) на надлъжно излъчваща антена с два успоредни дипола; разстояние между диполите  $\lambda/4$ , възбуждане с фазова разлика  $90^\circ$  (важи и за разстояние  $3/8 \lambda$  и фазова разлика  $45^\circ$ , както и за разстояние  $1/8 \lambda$  и фазова разлика  $135^\circ$ )

## 14.2. Надлъжно излъчващи антени с едиостранна характеристика на насочено действие

Ако два успоредни дипола се възбудят с еднакви по размах, но изместени един спрямо друг по фаза токове, при определени разстояния между диполите и фазови разлики между токовете диаграмата на насочено действие придобива ясно изразен максимум в една от посоките. Ако разстоянието между успоредните диполи възлиза на  $\lambda/4$  и те се възбудят с фазова разлика  $90^\circ$ , диаграмата на насочено действие получава формата на кардиоида. Същият ефект на насочено действие съществува и при разстояние между диполите  $3/8 \lambda$  и фазово изместване  $45^\circ$ , както и при разстояние  $1/8 \lambda$  и фазово изместване  $135^\circ$ .

При захранването елементи желаното фазово изместване се постига, като вторият дипол се възбужда чрез симетриращ шлейф, чиято електрическа дължина съответствува на необходимия фазов ъгъл (вж. фиг. 1.1). Когато една линия има например електрическа дължина  $\lambda/4$ , тя предизвиква фазово изместване  $90^\circ$  ( $\lambda/4$  е равно на  $1/4$  от пълния период, т. е.  $1/4$  от  $360^\circ = 90^\circ$ ).

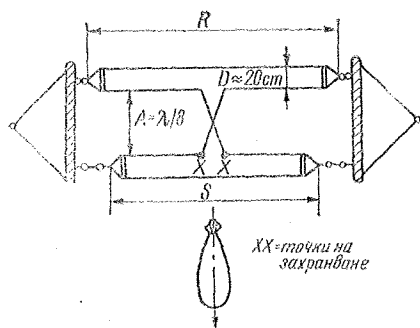
Полетата на двата успоредни дипола, възбудени с фазова разлика  $90^\circ$ , се сумират в определени направления, т. е. в тези точки от пространството, в които фазовата разлика между двете

полета възлиза на  $360^\circ$  (сифазност). Там, където съществува фазово изместване от  $180^\circ$  (противофазност), полетата се компенсират взаимно. Разпределението на максимума на излъчването, на пълното компенсиране на излъчването и на междинните стойности дава характеристиката на насочено излъчване. При разстояние между диполите  $\lambda/4$  и фазово изместване  $90^\circ$  тя, както беше споменато, има формата на кардиоида (фиг. 14.8). От фигурата се вижда, че ъгълът на разтвора в посоката на излъчване е голям, а излъчването в обратна посока — незначително.

По-долу са описани типични представители на еднопосочните надлъжно излъчващи антени със захранван рефлектор.

### 14.2.1. Антена ZL-Special

Тази антенна система (фиг. 14.9) прилича външно на антената *W3JK*, изградена с шлейф-вибратори (вж. фиг. 14.7a). Тя обаче се различава от нея по начин на действие. Шлейф-вибраторът R, който служи като рефлектор, е с около 5% по-дълъг от излъчвателя S. Разстоянието излъчвател-рефлектор възлиза на  $\lambda/8$ . Кръстосаната свързваща линия с дължина  $\lambda/8$  причинява възбуждане на рефлектора с изместване на сигнала по фаза на  $135^\circ$ . Електрическата дължина на линията ( $\lambda/8$ ) създава изместване на фазата на  $45^\circ$ ; тъй като линията е кръ-



Фиг. 14.9. Антена ZL-Special

стосана, фазата се изменя с още  $180^\circ$ . Така се получава едно фазово изместване  $180^\circ - 45^\circ = 135^\circ$ .

Както е показано на фиг. 14.9, главното излъчване е перпендикулярно на равнината на проводниците и е еднопосочно, с направление от рефлектора към излъчвателя. Усилването на антената в направлението на главния лъч възлиза на около 5 dB при затихване на излъчването в обратна посока от около 20 dB.

Импедансът в точките на захранването XX е около 90  $\Omega$ . При все още приемлив коефициент на стоящи вълни е възможно да се използва за захранване коаксиален кабел (напр. тип 70-10-1), като трябва да се препоръча симетриране на кабела. Възможно е да се използва и скранирана линия с вълново съпротивление 120  $\Omega$  (напр. тип 120 D10-1). От електрическа гледна точка най-правилно е в точките XX да се включи четвъртвълнов трансформатор (вж. раздел 6.5.), изработен от лентов кабел с вълново съпротивление 240  $\Omega$ . В долния му край се получава импеданс над 600  $\Omega$  и там може

да се свърже произволно дълга дупроводна линия с въздушна изолация и вълново съпротивление 600  $\Omega$ . Тя се отличава с особено малки загуби.

Антените, изградени от шлейфвибратори, могат да се използват за работа само в един обхват. Чрез аксиално превъртане на хоризонтално окачената антенна система направлението на главния лъч може да се измени със  $180^\circ$ . Най-често обаче това е свързано с редица затруднения от механичен характер. Антената може да бъде окачена и отвесно, като при това запазва своята ефективност. Чрез съответно завъртане около вертикалната ос може да се излъчи сигнал във всички посоки и при максимално усилване.

Двата шлейфвибратора се произвеждат от обикновени антенни многожилини проводници. За късовълновите любителски обхвати разстоянието D може да бъде около 20 cm. Възможно е изработване на цялата антена от обикновен УКВ лентов кабел; наистина в този случай трябва да се разчита на по-малка мощност. Всички размери за дължина трябва да се умножат с коефициента на скъсяване на лентовия кабел, при което трябва да се имат предвид конструкциите, описани в раздел 10.1.4. Тъй като свързващата линия към рефлектора става с около 20% по-къса, разстоянието A неизбежно намалява до  $1/10 \lambda$ . Това обуславя деформиране на характеристиката на диаграмата на насочено действие и спада на входното съпротивление до около 60  $\Omega$ . Следователно в един такъв компромисен случай антената може да бъде захранена направо чрез коаксиален кабел с вълново съпротивление 60  $\Omega$ .

Таблица 14.3 съдържа всички необходими размери за построяването на антени ZL-Special (фиг. 14.9). Стойностите, дадени в скоби, важат за

Таблица 14.3. Данни за оразмеряване на антени ZL-Special (фиг. 14.9)

Обхват в MHz	Разстояние A, m	Дължина S, m	Дължина R, m
7	5,16 (4,23)	20,57 (16,87)	21,70 (17,80)
14	2,58 (2,12)	10,30 (8,45)	10,85 (8,90)
21	1,72 (1,41)	6,85 (5,62)	7,24 (5,94)
28	1,29 (1,06)	5,09 (4,17)	5,39 (4,42)



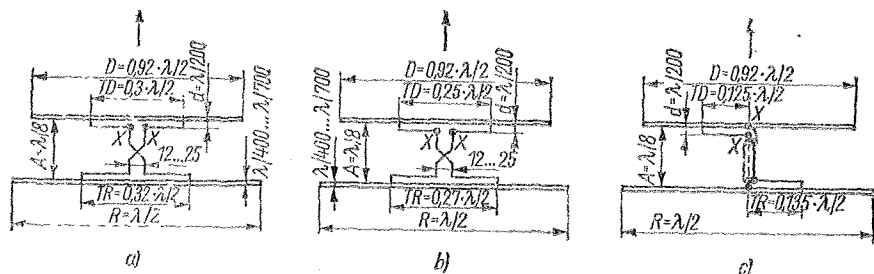
антени, които са направени от УКВ лентов кабел с коефициент на скъсяване 0,82 и означават местата върху излъчвателя и рефлектора, в които трябва да се поставят мостчетата за късо съединение (фиг. 10.5).

#### 14.2.2. Антена HB9CV

Аntenата HB9CV е сродна на ZL-Special. Тъй като тя е разработена от швейцарския радиолюбител Р. Баумгартнер, в УКВ обхваща тази антена е известна под името „швейцарска антена“. HB9CV представлява антена с два захранващи елемента, която излъчва много по-малък разход на материали и по-малко свободно пространство за окачване в сравнение с антената ZL-Special. За сметка на това тя трябва да бъде изработена от тръби от лек материал. Възможно е обаче да се построи и проводникова антена по начин, подобен на използвания за антената W8JK. На фиг. 14.10 е показана електрическата схема на насочения излъчвател HB9CV. Той се състои от два дипола с различна дължина, които са подредени успоредно един на друг на разстояние  $\lambda/8$ . Двата дипола се захранват, освен това те са свързани помежду си и чрез излъчения сигнал. При избраното разстояние между диполите ( $\lambda/8$ ) се осъществява най-добро насочено излъчване в една посока, когато фазовото изместване на сигналите, подадени на двата елемента, е  $225^\circ$ . При антената HB9CV чрез кръстосване на фазовъртящата линия се постига фазово изместване ст  $180^\circ$ . Забавянето на сигнала при преминаването му по свързващата линия с дължина  $\lambda/8$  дава едно допълнително

фазово изместване от  $45^\circ$ , така че се постига необходимата фазова разлика. Едновременно обаче връзката между двата елемента посредством излъчения сигнал трябва да даде същата фазова разлика, защото в противен случай връзката чрез излъчения сигнал се противопоставя на директното захранване. Това се осъществява обикновено, както и при Яги-антените, като предният елемент се скъсява (действува като директор), а задният елемент се удължава (действува като рефлектор). Дължините на елементите трябва да се оразмерят така, че индуктивната реактивна компонента на импеданса на рефлектора и капацитивната компонента на импеданса на директора, включително и внесените чрез Т-съгласуването реактивни компоненти да се компенсират напълно в точките на захранване. Така в точките на захранване съществува чисто реално съпротивление и антената може да се захрани без отражение на сигнала.

Двата елемента се възбуждат чрез Т-съгласуващи елементи (съответно гама-съгласуване), които са свързани помежду си посредством фазовъртящата линия. Елементите се свързват в точки на антената, които имат импеданс, съответстващ на този на захранващата линия. Така по цялата захранваща система се разпространяват бягащи вълни. Би било излишен лукс елементите да се произвеждат от скъпи тръби. Същото се отнася и за фазовъртящата линия. Обикновени кабели с изолация от PVC, каквито се използват за външни електрически инсталации (едножилни проводници с обвивка от PVC и диаметър на проводника, по възможност по-голям от 2 mm), са напълно подходящи за целта. При



Фиг. 14.10. Насочена антена HB9CV

направата на фазовъртящата линия трябва да се спазят следните изисквания:

а — Разстоянието между проводниците трябва да бъде между 12 mm и максимум 25 mm, за да не излъчва фазовъртящата линия. В тези граници разстоянието между проводниците може да има всякаква стойност. При значителната дължина на фазовъртящата линия ( $\lambda/8$ ) вълновото съпротивление на линията няма особено значение.

б — Фазовъртящата линия трябва да бъде изолирана, за да не се предизвика късо съединение при допирането на двата проводника един до друг или при галванична връзка с други метални части. Фазовъртящите линии с изолация от PVC обикновено се монтират на известно разстояние от посещата стрела на антената, но на практика действието на антената не се влошава забележимо, ако кабелът лежи непосредствено на стрелата, защото пластмасовата изолация винаги осигурява едно минимално необходимо разстояние до стрелата.

с — Електрическата дължина на фазовъртящата линия трябва да бъде  $\lambda/8$ . Както е известно, скоростта на разпространение на електромагнитните вълни по изолирани проводници е по-малка от скоростта на светлината. При проводниците, изолирани с PVC, коефициентът на скъсяване възлиза на около 0,9. Следователно при електрическа дължина от  $\lambda/8$  механическата дължина е с около 10% по-малка. Подреждането на съгласуващите T- или гама-елементи в равнината на антената позволява да се запази геометричното разстояние А между двата дипола ( $\lambda/8$ ). Практическите опити са пока-

зали, че дължината на фазовъртящите линии може да се изменя до  $\pm 10\%$ , без с това да се появяват никакви съществени недостатъци.

За мощности до 200 W антената HB9CV може да се захранва чрез обикновени UKB лентови кабели с вълново съпротивление 240 или 300  $\Omega$ , стига тяхната дължина да не бъде повече от 12 m. Често се предпочита захранване чрез коаксиален кабел. В такива случаи вместо съгласуващите T-елементи се използва гама-съгласуване (фиг. 14.10с). Всички стойности, показани на фиг. 14.10, са отнесени към дължината на вълната; затова антените HB9CV могат да бъдат оразмерени за кои да е честоти. Размерите, дадени на фигурата, са изпробвани опитно от HB9CV.

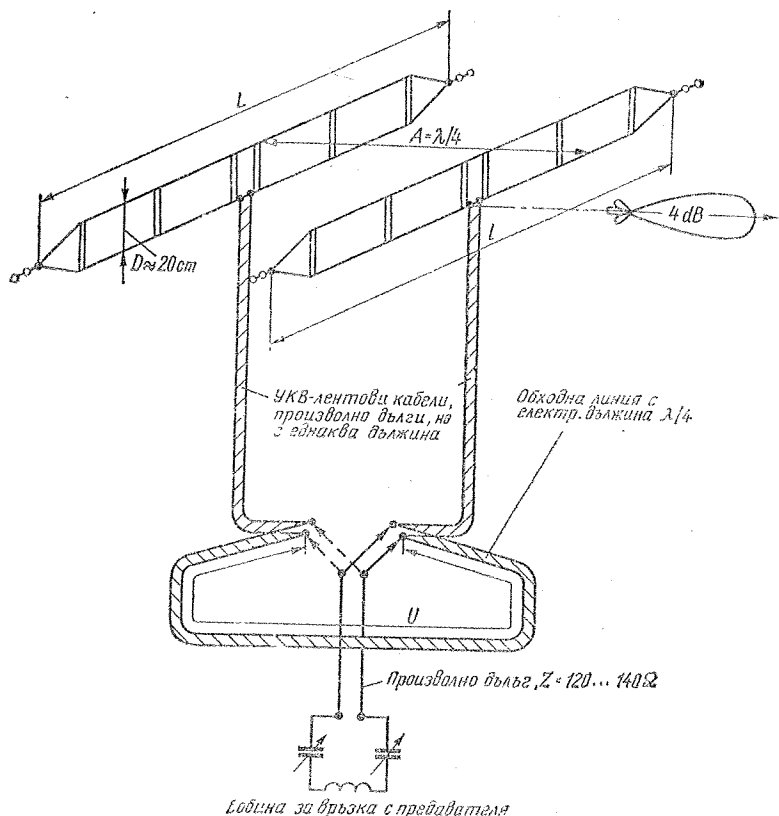
Когато една антена HB9CV се произвежда от проводници по подобие на конструкцията на антената W8JK, трябва да се има предвид следното: вследствие на ниското съпротивление на излъчване в антената протичат големи токове. Затова трябва да се избират проводници с възможно най-голям диаметър и с добра повърхностна проводимост. Напреженията в краищата на диполите също са високи и затова са необходими качествени, достатъчно дълги изолатори. Когато диполите са изработени от проводници, тяхната дължина трябва да е малко по-голяма, отколкото на елементите, изработени от тръби. Предлага се дължината на рефлектора да се избира равна на  $1,02 \cdot \lambda/2$  и дължината на директора —  $0,94 \cdot \lambda/2$ .

Ако коефициентът на стоящи вълни е твърде голям, трябва да се направи опит той да се намали чрез малки из-

Таблица 14.4. Данни за оразмеряване на насочени антени HB9CV (фиг. 14.10)

Обхват	20 m 14150 kHz	15 m 21200 kHz	10 m 28500 kHz
Дължина на директора D	9,74	6,52	4,84
Дължина на рефлектора R	10,60	7,08	5,26
Разстояние A	2,65	1,77	1,32
Отрязък TD	3,18/2,65/1,33	2,12/1,77/0,89	1,58/1,32/0,66
Отрязък TR	3,43/2,86/1,43	2,29/1,91/0,95	1,70/1,42/0,71
Разстояние d	0,12	0,09	0,06

Всички размери са в m



Фиг. 14.11. Двухелементна насочена антена с превключваеми елементи

менения на дължините на елементите. При това трябва да се внимава дължините на рефлектора и директора винаги да се различават с 8%.

В таблица 14.4 са събрани изчислени наготово и изпробвани размери за антени *НВ9СУ*, изработени от тръби от лек метал.

За отрязъците TD и TR са дадени по 3 числени стойности. Те отговарят на съпротивление в точките на захранването от 300 Ω (фиг. 14.10a), 150 Ω (фиг. 14.10b) и 75 Ω (фиг. 14.10c). Характеристиката на насочено действие на антената *НВ9СУ* теоретически има формата на кардиоида. Ъгълът на развора в хоризонталната равнина при различните конструкции възлиза на около 75°. Както може да се види от диаграмата на излъчване, затихването на сигнала в

обратна посока е голямо и възлиза средно на 20 dB. Тъй като затихването в обратна посока, особено при антените, разположени в една равнина, зависи силно от ъгъла на падане, съответно на излъчване във вертикалната равнина, на практика са измервани стойности от 10 dB до 40 dB. При една безупречно изградена антена *НВ9СУ* може да се разчита на усилване от около 5 dB. В много съобщения обаче често се изтъква, че *НВ9СУ* превъзхожда една 3-елементна Яги-антена по отношение на усилването.

#### 14.2.3. Двухелементна насочена антена с превключваеми елементи

На фиг. 14.11 е показана още една еднопосочно излъчваща антена, при

Таблица 14.5. Данни за оразмеряване на двуелементна антена (фиг. 14.11)

Обхват в MHz	Дължина $L$ в m	Разстояние $A$ в m	Дължина на четвърт- вълновия шлейф в m
7	20,57	10,64	8,72
14	10,30	5,32	4,36
21	6,85	3,54	2,90
28	5,09	2,65	2,17

$V=0,82$

която направлението на главния лъч може да бъде изменяно на  $180^\circ$  чрез просто електрическо превключване. Антената се състои от два шлейфвибратора, разположени на разстояние  $\lambda/4$  един от друг. Двата елемента са еднакво дълги. Всеки от тях е свързан към един УКВ лентов кабел. Захранващите линии могат да бъдат произволно дълги, но трябва да имат съвсем еднаква дължина. Двата кабела на края си са свързани един с друг посредством линия с дължина  $\lambda/4$ , изработена от същия материал.

С помощта на един двуполосен превключвател или пък на подходящо реле всяка от захранващите линии може да бъде включена към крайното стъпало на предавателя. Принципът на действие е пояснен на фиг. 14.11. Единият от елементите на антената, поточно този, който ще служи за излъчвател, се свързва чрез захранващата си линия направо към изхода на предавателя. Другият елемент също получава захранване, но през един шлейф, чиято електрическа дължина възлиза на  $\lambda/4$ . Така в този елемент се възбужда сит-

нал, изместен по фаза на  $90^\circ$ , и служи за рефлектор.

Чрез обикновено превключване, както е показано на фиг. 14.11, направлението на главния лъч може да се изменя на  $180^\circ$ . Положението на превключвателя, показано на фигурата, съответствува на начертаното направление на главния лъч.

Съединителната линия между превключвателя и крайното стъпало на предавателя може да бъде с произволна дължина и вълново съпротивление от 120 до 150  $\Omega$ . Особено подходяща за целта е екранираната двупроводна линия с вълново съпротивление 120  $\Omega$  (напр. тип 120 D 10-1).

Диаграмата на насочено действие на тази антена също има формата на кардиоида, а затихването в обратна посока възлиза средно на 20 dB. Може да се разчита на усилване от около 4 dB.

Описаната антенна система също може да работи само на един обхват. Табл. 14.5 съдържа всички размери, необходими за построяването на антената.

## 15. Насочени антени с целовълнови елементи

Антените, чиито елементи се състоят от отрязъци с дължина  $1\lambda$ , могат да се предпочетат пред все още най-разпространените антени с полуълнови елементи, защото имат някои предимства от електрическо, механично и икономическо естество. Тази констатация важи с особена сила при използването на антени с целовълнови елементи във високочестотната част на късовълновия диапазон (20-m, 15-m и 10-m обхват). Такива антени получават все по-голямо международно признание и разпространение, особено за установяване на любителски радиовръзки. Най-известният представител на антените с целовълнови елементи е двойният квадрат, който може да бъде наречен родоначалник на цялата поредица такива антени.

Създаването на първия двоен квадрат има малка предистория. През 1938 г. около Куинто в Еквадор беше построена радиостанцията *HCJB*. Отначало с добър успех като антена се използваше един 4-елементен насочен излъчвател. Но само след няколко дни антената става неизползуваема. На височина около 3000 m в Андите, където беше разположена радиостанцията, атмосферата понякога се йонизира толкова силно, че в краищата на елементите възникват силни коронарни разряди, които в края на краищата предизвикват образуване на електрическа дъга. При това се развива такава температура, че алуминиевата трябва в края се стопява, а втечненният метал пада на капки на земята. Како първа стъпка в борбата против тези явления бяха използвани кухи медни сфери, които се укрепваха в края на елементите. При наличие на такива сфери коронарни разряди се появяват значително по-рядко и само при влажно време.

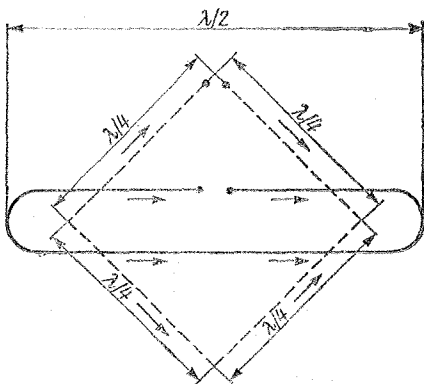
Един от техниците, работещи на тази станция, Кларенс Мур (*W9LZX*),

предположил, че при използването на целовълнови проводникови затворени шлейфове би трябвало да се избягнат докрай коронарните разряди. Така през 1942 г. в Куинто беше създаден първият двоен квадрат. С това не само беше решен проблемът с коронарните разряди, но на практика се оказа, че двойният квадрат с проста и малогоабаритна конструкция притежава отлични качества като излъчвател. Днес тази антена е една от най-популярните конструкции, използвани от любителите-късовълновци, и не без право често я наричат „Кралица на DX-антените“.

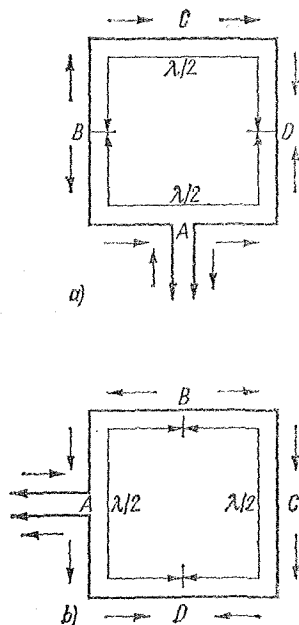
### 15.1. Квадратен елемент

Най-известната конструкция на целовълнов шлейф е шлейфвибраторът (вж. раздел 4.1.). От него могат да се получат квадратният елемент и неговите варианти.

Ако един хоризонтален шлейфвибратор се разтвори отвесно навън (фиг. 15.1), от него може да се направи



Фиг. 15.1. Получаване на квадратен елемент от шлейфвибратор



Фиг. 15.2. Посока на тока в квадратния елемент: а — хоризонтална поляризация, б — вертикална поляризация

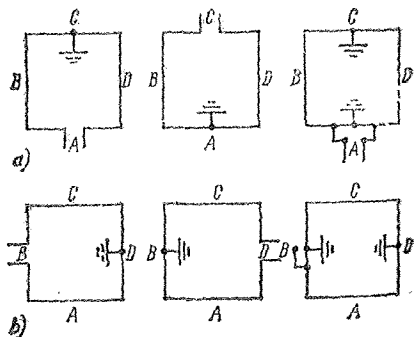
един квадрат с дължина на страната  $\lambda/4$  стоящ на върха си. При един такъв деформиран шлейфвibrator разпределението на тока не се отличава от това на обикновения шлейфвibrator. Това следва от стрелките за направление на тока, начертани на фигурата. Двата максимума на тока обаче не са така силно свързани, както при шлейфвibratora, а са отдалечени на около  $0,35 \lambda$  един от друг. Това променя характеристиката на насочено действие на такава антена и едновременно входното ѝ съпротивление спада на около  $120 \Omega$ .

Целовълновият квадратен елемент може да се разглежда като съединение на два синфазно възбудени полувълнови дипола; той представлява най-простата форма на диполна колона. Както е известно, такива системи имат повишена степен на насоченост във вертикалната равнина (вж. раздел 13.3.), т. е. при хоризонтално поляризиран квадратен елемент се получава едно усилване спрямо полувълновия дипол,

което се обяснява с намаляването на ъгъла на разтвора във вертикалната равнина. Този факт беше потвърден и от измерванията, извършени от лабораториите на ARRL (от англ. American Radio Relay League), които показаха, че един обикновен квадратен елемент (начертан на фиг. 15.1 с прекъсната линия) има усилване  $1 \text{ dB}$  по отношение на полувълновия дипол.

Такива квадратни елементи с формата на ромб днес се използват съвсем рядко. На практика се оказва, че такива елементи, стоящи на единия си връх, имат забележимо по-лоши качества като излъчватели, отколкото всички други целовълнови елементи. Причините за това все още не са обяснени докрай. Обстоятелството, че при максимум на тока долната половина на елемента е огъната нагоре, докато рамената на горната половина сочат надолу, дава основание да се мисли, че това влияе отрицателно върху характеристиките на излъчвателя.

Преобладаващият брой от практически изработените квадратни антени са изпълнени, както е показано на фиг. 15.2. От стрелките за посоката на тока се вижда, че хоризонталните отрязъци (фиг. 15.2a) и вертикалните отрязъци (фиг. 15.2b) се възбудят синфазно. Така се получава липейна поляризация. В точката на захранване А разпределението на тока е същото, както при всеки полувълнов дипол. Излъчвателят се захранва в максимум на тока и двата клона на дипола се възбудят синфазно (стрелките за направление на



Фиг. 15.3. Поляризация и заземяване на квадратни елементи: а — хоризонтална поляризация, б — вертикална поляризация

тока имат еднаква посока). В точките В и D, които се намират в края на двата клона на дипола, съседни на точката на захранване А, се намира възел на тока. Там посоката на тока се променя (вж. стрелките). Така страните А и С се възбудят синфазно, докато отрязъците В и D са в противофаза. Това означава, че при антената, показана на фиг. 15.2а, поляризацията е хоризонтална, защото хоризонталните страни са възбудени синфазно. Напротив, при конструкцията, показана на фиг. 15.2, захранването става в една от отвесните страни и хоризонталните отрязъци са възбудени противофазно. В този случай поляризацията е само вертикална. Следователно при един квадратен елемент поляризацията може да се определя чрез съответен избор на точката на захранване А, при което важи следното правило:

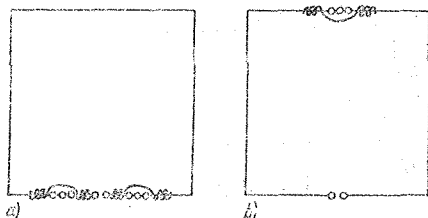
— захранване в една от хоризонталните страни — хоризонтална поляризация,

— захранване в една от вертикалните страни — вертикална поляризация.

Точно срещу точката на захранване на квадрата се намира минимум на напрежението; там елементът може да бъде заземен, без това да е свързано с някакви недостатъци. На фиг. 15.3 са показани различни варианти на захранване и заземяване на квадратни елементи с хоризонтална и вертикална поляризация. За действието на антената е без значение дали при хоризонтална поляризация захранването се извършва в точката А или в точката С, съответно при вертикална поляризация — в точките В или D. Тази констатация може да има значение при практическото конструиране на антената. Когато захранването става чрез съгласуващ T-елемент или с използването на гамасъгласуване, антената не се прекъсва и може да бъде свързана без изолация направо към носещата мачта в точките А и С, съответно В и D. Обиколката на един захранван квадратен елемент при резонанс трябва да бъде теоретически  $1 \lambda$ . Докато при обикновените диполи винаги трябва да се има предвид едно механично скъсяване на антенния проводник спрямо електрическата дължина на вълната, при квадратния елемент това не е така. Различни изследвания винаги са показвали, че за него коефициентът на скъсяване е по-

голям от единица, т. е. това в същност е коефициент на удължение. Това важи за всички видове затворени целовълнови елементи и за всички вълнови обхвати. Ефектът на удължение се обяснява с факта, че при затворените целовълнови елементи за разлика от открития дипол няма открит край и влиянието на капацитетите в края на елемента (вж. раздел 3.1.5.) е незначително. Освен това ефект на удължение се получава и поради огъването на антенния проводник. По същата причина при пресмятане на резонансната дължина на един шлейфовибратор не се вземаат предвид дължините на двата странични отрязъка, които определят разстоянието между успоредните проводници. Ако това разстояние също се включи в сметката, общата дължина на шлейфовибратора става по-голяма или равна на  $1 \lambda$ . Обиколката на квадратния елемент е от  $1,02$  до  $1,03 \lambda$ . По-рано данните за дължината на страните на квадратния елемент бяха занижени. При тези скъсени антени резонанс се получаваше с помощта на реактивни линии (шлейфове).

Съществува една проста възможност за допълнително коригиране на настройката в резонанс. Проводниковата квадратна антена (фиг. 15.4) трябва да има дължина, малко по-малка от необходимата. От двете страни на точките, в които се включва захранващият кабел, се поставя по един изолатор, който е шунтиран с навивка от проводник. Фината настройка на желаната точна резонансна честота се извършва посредством увеличаване или намаляване на навивката. Със същия успех, но с по-малко разход на настройката може да стане и от страната, разположена срещу точките на захранване (фиг. 15.4б). В този случай е нужен



Фиг. 15.4. Проводникови навивки като помощно настройващо средство при квадратните елементи

само един изолатор и една проводникова навивка.

Общо взето, при всички късовълнови антени резонансната честота се изменя след издигането ѝ, защото в този обхват обикновено не е възможно антената да се окачи на такава височина, че да се пренебрегне влиянието на земната повърхност и на околната среда. Колкото по-близо до земята е окачена антената, толкова повече резонансната ѝ честота се измества към по-ниските честоти. Близостта на земята оказва подобно влияние и върху входното съпротивление. Макар че квадратният елемент, който може да се разглежда като система от етажирани диполи, не е така чувствителен към въздействието на земната повърхност, както антените, разположени в една равнина, би трябвало той също да се окачва на възможно най-голяма височина.

Колкото по-високо е поставена антената, толкова по-малък е ъгълът на възвишение във вертикалната равнина. Това е особено важно за йоносферното разпространение на сигнала на много големи разстояния. Долният край на квадратната антена по възможност трябва да е разположен поне на  $\lambda/2$  над земната повърхност. При височина на монтиране  $1 \lambda$  и повече излъчването практически не се влияе от близостта на земята. Естествено предимствата на малкия ъгъл на възвишение във вертикалната равнина се проявяват

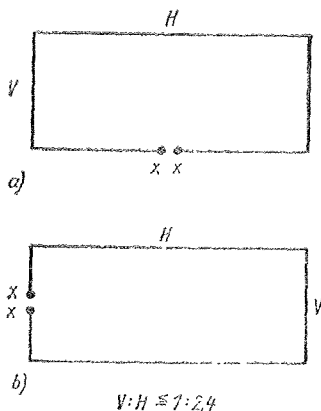
само при хоризонтална поляризация. При вертикална поляризация  $H$ -равнината за антената е разположена хоризонтално над земната повърхност. Затова, а и по механични съображения квадратни антени с вертикална поляризация се използват рядко.

## 15.2. Правоъгълна рамкова антена

Често съществува желание да се използват предимствата на целовълновия шлейф и в обхвата 40 m. Един елемент за обхвата 80 m обаче би изисквал най-малко две мачти с височина по 25 m. Затова радиолюбителите са определили опитно до каква степен може да бъде намален вертикалният размер на една квадратна проводникова антена, без да се влошат добрите ѝ излъчвателни свойства. Тъй като елементът трябва да може да се настрои в резонанс, вертикалното скъсяване трябва да се компенсира чрез хоризонтално удължаване. Така се получава правоъгълен целовълнов елемент (фиг. 15.5). В любителската литература тази рамкова антена често се нарича Oblong (от англ. = правоъгълник). G6LX построил и изпробвал една такава правоъгълна антена за обхвата 80 m и е получил следните резултати:

Съобразно с условията на местността отношението  $V:H$  е било избрано  $1:2,4$ . При това вертикалните страни  $V$  са имали дължина по 12,20 m, докато дължините на хоризонталните проводници са били по 28,25 m. Това съответства на обща дължина на проводника 80,90 m. Долният хоризонтален проводник се намира само на 3 m над земната повърхност ( $\lambda/27$ ). Измерената резонансна честота на излъчвателя била 3670 kHz. Това означава едно незначително механично скъсяване спрямо  $1 \lambda$ , което сигурно е било предизвикано от много малкото разстояние до земната повърхност. За оразмеряване на подобна антена със същото отношение на страните и много малка височина над земята се използва следната формула:

$$\text{обща дължина на проводника} = \frac{297}{f}, \quad (15.1)$$



Фиг. 15.5. Правоъгълен целовълнов елемент; а — с хоризонтална поляризация; б — с вертикална поляризация



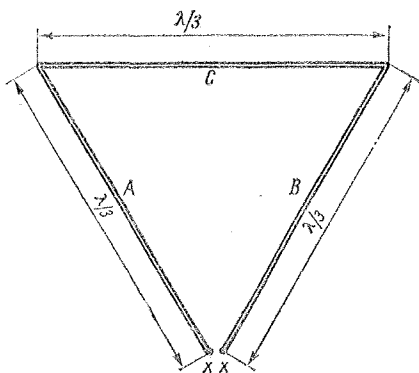
където общата дължина на проводника е в  $m$ ,  $f$  е в МНз.

При хоризонтална поляризация (фиг. 15.5а) се получи входен импеданс 115  $\Omega$ , при което коефициентът на стоящи вълни при изменение на резонансната честота с  $\pm 150$  kHz не се променя повече от 1,5:1. Преустройството на същата антена за вертикална поляризация (фиг. 15.5) предизвиква намаляване на входното съпротивление, така че тя може да бъде захранена направо чрез коаксиален кабел с вълново съпротивление 70  $\Omega$ . Освен това широчината на пропусканата честотна лента при вертикална поляризация е забележимо по-голяма, отколкото при хоризонтална поляризация. G6LX е постигнал оглични DX резултати с тази правоъгълна рамкова антена за обхвата 80 m. Заради опростеното захранване антената е работила предимно с вертикална поляризация. За радиовръзки на средни разстояния хоризонталната поляризация с като че ли малко благоприятна, за DX-радиовръзки не се получават съществени различия. Също така добри DX-резултати с правоъгълна рамкова антена за 80 m са постигнали скандинавски радиолюбители.

Отношението на страните на правоъгълника (1 : 2,4) може и при възможност трябва да се направи по-малко. Ако чрез по-нататъшно скъсяване на вертикалните страни това отношение стане по-голямо, ъгълът на възвишение във вертикалната равнина се увеличава. входното съпротивление нараства и правоъгълната рамка действа като обикновен шлейфвибратор.

### 15.3. Делтовидна рамкова антена

През 1967 г. W6DL за първи път предложи целовълнов елемент с триъгълна форма, който представлява разностранност на квадратната рамка. Както е показано на фиг. 15.6, триъгълникът е равностранен и всяка от страните има дължина  $\lambda/3$ . Триъгълникът стои изправен на единия си връх и най-често се захранва в тази точка. Една такава конструкция има редица механични предимства спрямо квадратния елемент. Освен това се постига икономия на материали. За сметка на това обаче двете рамена А и В трябва да се на-



Фиг. 15.6. Делтовидна рамкова антена

правят от твърд материал, напр. здрава тръба от лек метал, докато хоризонталната страна С може да бъде от проводник. Тръбите с дължина  $\lambda/3$  позволяват самоносещата конструкция на тази антена да се използва само за обхватите 10 и 15 m.

Оказа се, че целовълновите делтовидни рамкови антени са равностойни на целовълновите квадратни елементи по всички електрически показатели. В зависимост от височината на монтиране входното съпротивление възлиза на 90 до 110  $\Omega$ . Поради използването на тръби от лек метал с голяма повърхност височестотните загуби, предизвикани от скин-ефекта, са по-малки, отколкото при елементите, изработени от тънък проводник. Изглежда, че широчината на пропусканата честотна лента на делтовидната рамкова антена е по-голяма от тази на квадратната рамкова антена.

Резонансната дължина на делтовидната рамкова антена може да се изчисли по формулата, валидна и за общата дължина на квадратния елемент:

$$\frac{306,6}{f}, \quad (15.2)$$

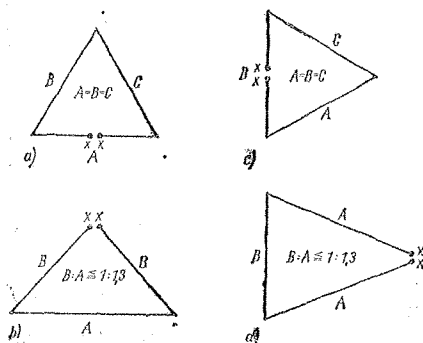
където общата дължина е в  $m$ , а  $f$  е в МНз.

При това се предполага, че елементът е разположен най-малко на височина  $\lambda/2$  над повърхността на земята.

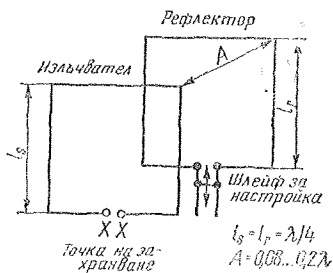
Целовълновата делтовидна рамкова антена е изпробвана в нискочестотните

любителски обхвати и са разработени различни нейни разновидности. На фиг. 15.7 са показани няколко варианта на делтовидната рамкова антена, които работят добре. Това са проводникови конструкции за обхватите 80 m и 40 m, които в съответствие с местните условия са завъртени или деформирани. Конструкциите *a* и *b* са хоризонтално поляризирани, докато антените, означени *c* и *d*, работят с вертикална поляризация. Разновидностите *b* и *d* са с намален вертикален размер и не са разностранни триъгълници. В този случай трябва да се внимава отношението  $B:A$  да не надвиши стойността 1:1,3. Тъй като тези изменени конструкции почти винаги се окачват на малка височина над земята (пресметнато спрямо дължината на работната вълна), импедансът в точките на захранване приема стойности, които позволяват директно захранване чрез кабел с вълново съпротивление 70  $\Omega$ .

Всички целовълнови шлейфове, описани по-горе, имат приблизително еднаква диаграма на насочено действие. Те излъчват двупосочно откъм широката си страна и имат ъгъл на разтвора в хоризонталната равнина около 80°. При хоризонтална поляризация на рамките съществуват и вертикално поляризиранни компоненти на излъчването, които се разпространяват напречно на главния лъч. При вертикална поляризация на антената паразитното напречно излъчване е хоризонтално поляризирано.



Фиг. 15.7. Разновидности на делтовидната рамкова антена; *a* и *b* — хоризонтално поляризиранни антени, *c* и *d* — антени с вертикална поляризация



Фиг. 15.8. Двоен квадрат

## 15.4. Целовълнови рамкови антени с рефлектори

Простите основни форми на целовълнови рамкови антени могат да бъдат допълнени чрез добавяне на изработени по същия начин рефлектори или директори. Така се получават високоефективни едноръбачно излъчващи насочени антени, чистото усиление възлиза на 5 dB. Това значително увеличение на усиляването се постига при относително малки допълнителни разходи и без особени конструктивни и механични усложнения.

### 15.4.1. Двоен квадрат

Двойният квадрат е много известен сред радиолюбителите като насочена антена за DX-радиовръзки. На фиг. 15.8 е показана схемата на този насочен излъчвател. Захранваната рамка се състои от един квадратен елемент. На разстояние  $A$  от 0,08 до 0,25  $\lambda$  е разположен втори, аналогично изработен проводников квадрат, който най-често се настройва с помощта на допълнителен шлейф така, че да действа като рефлектор. Този шлейф служи като допълнителна индуктивност и трябва да осъществи фазовото изместване, необходимо за действие като рефлектор. Негово предимство е това, че чрез мостчето за късо съединение, което може да изменя местоположението си, се извършва точна настройка за най-голямото възможно затихване на сигнала в обратна посока. В последно време все по-често рефлекторът се изгражда като един затворен проводников четириъгълник без настройващ шлейф, защото размерите на страните,

необходими за най-добро действие на рефлектора, вече са определени доста точно.

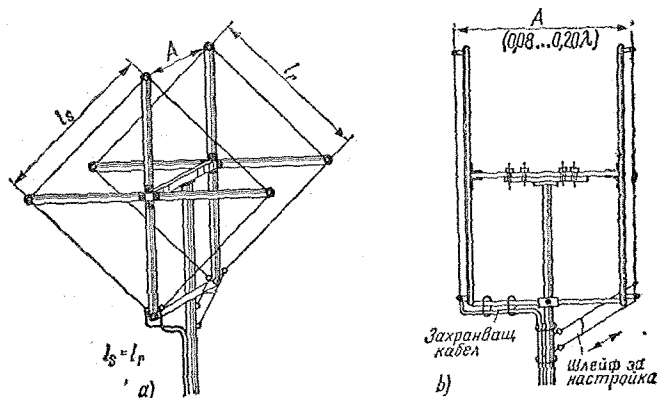
Носещата конструкция на антената може да бъде направена по различен начин. Един двоен квадрат за обхвата 10 m и 15 m може да се направи от импрегнирани дървени летви или кръгли прътове без чепове, като се използват малко метални обшивки. При антени за обхвата 20 m от съображения за намаляване на теглото, здравина и еластичност носещата конструкция би трябвало да се направи от бамбукови пръчки. Още по-пригодни за тази цел са полиестерните пръти, заздравени със стъклопласт, които се използват за производството на въдичарски пръти. Различни конструктивни особености на тези антени са описани в разделите 18.8. и 18.9. Освен това в тези раздели са дадени и указания за практическо изпълнение.

На фиг. 15.9 е показана конструктивното изпълнение на един обикновен двоен квадрат с формата на ромб. Този начин на изработване може да се използва и при изработване на двоен квадрат, чиито елементи лежат на едната си страна. Захранването на такава антена става в средата на хоризонталния отрязък, а носещите рамена трябва да се завъртят аксиално на  $45^\circ$ . На последната спомената конструкция се приписват по-добри излъчвателни свойства и затова се използва почти

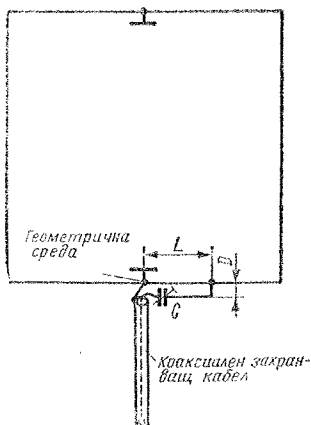
изключително само тя. Стабилността на антената се повишава чрез обтяжки от изкуствено влакно. Още по-подходящи са обтяжки, пропити със стъклопласти, защото те не се разтягат. Ако за изработване на носещите части на антената се използват бамбукови или пластмасови пръти, антенният проводник може да се закрепва към тях без изолатори. Понякога носещите рамена се правят от тръби от лек метал, чиито краища са снабдени с изолатори с дължина около 20 см.

Диаметърът на медните проводници, използвани като антенен проводник, е без особено значение за електрическите свойства на антената. По механични съображения се предпочитат проводници с диаметър, по-голям от 1,5 mm. Многожилните проводници са по-гъвкави от едножилните и затова се обработват по-добре. Използуваните едно- или многожилни антенни проводници могат да бъдат и с пластмасова обвивка.

Както беше казано в раздел 15.1., обиколката на квадратния елемент, настроен в резонанс, трябва да бъде по-голяма от  $1\lambda$ . При захранвания елемент на двойния квадрат коефициентът на удължение спрямо резонансната дължина е от 1,015 до 1,020. Обиколката на рефлектора може да бъде равна на тази на активния елемент. В такъв случай обаче рефлекторът трябва да бъде снабден с настройващ шпайф



Фиг. 15.9. Конструкция на обикновен „двоен квадрат“: а — изглед отпред, б — изглед от страни



Фиг. 15.10. Захранван квадратен елемент с гама-съгласуване

Неговата индуктивност увеличава електрическата дължина на рефлектора. Напоследък този настройващ шлейф се премахва и се увеличава съответно обиколката на рефлектора. В този случай обиколката на рефлектора възлиза на  $1,113 \lambda$ . Посочените по-долу формули за оразмеряване на антените „двоен квадрат“ вадят за всички късовълнови обхвати.

$$\begin{aligned} & \text{Активен (захранван елемент)} \\ & \text{Обща дължина на проводника} = \\ & = \frac{304,6}{f} \end{aligned} \quad (15.3)$$

$$\text{Дължина на страната} = \frac{76,15}{f}, \quad (15.4)$$

където общата дължина на проводника и дължината на страната на квадрата са в m,  $f$  е в MHz.

#### Рефлектор

$$\begin{aligned} & \text{Обща дължина на проводника} \\ & = \frac{334}{f} \end{aligned} \quad (15.5)$$

$$\text{Дължина на страната} = \frac{83,5}{f}, \quad (15.6)$$

където общата дължина на проводника и дължината на страната на квадрата са в m,  $f$  е в MHz.

Разстоянието между активния елемент и рефлектора няма особено значение за усиляването на системата. Максималното усиляване от 5,7 dB се достига при разстояние до рефлектора  $A$  около  $0,12 \lambda$ . При увеличаване или намаляване на това разстояние усиляването постепенно намалява, но при разстояния  $0,08 \lambda$  и  $0,22 \lambda$  то все още има стойност 5,2 dB.

Съпротивлението на излъчване на една антена двоен квадрат, оразмерена за максимално усиляване (разстоянието  $A$  е  $0,12 \lambda$ ), е около  $70 \Omega$ . При това обаче се предполага, че антената е монтирана на височина поне  $\lambda/2$  на повърхността на земята. Ако антената се окачи на височина напр.  $\lambda/4$  над земята, съпротивлението на излъчване спада до  $40 \Omega$ . Особено изгодно е да се избира разстояние между активния елемент и рефлектора, равно на  $0,1 \lambda$ , защото в такъв случай входното съпротивление на антената е  $60 \Omega$ , а усиляването — 5,6 dB. Възможно е захранването да стане направо с коаксиален кабел с вълново съпротивление  $60 \Omega$ . Обаче тогава симетричната антена „двоен квадрат“ се възбужда чрез един несиметричен кабел и може да се появят повърхностни вълни в обвивката на кабела или изменение на диаграмата на насочено действие. Въпреки това някои радиолюбители предпочитат този начин на захранване, като считат споменатите по-горе недостатъци за незначителни.

Гама-съгласуването (вж. раздел 6.3.) създава по-благоприятни условия за захранване чрез коаксиален кабел (фиг. 15.10). Тук и за активен елемент се използва един затворен, непрекъснат четириъгълник от проводници. Чрез съгласуващия гама-елемент се постига точно съгласуване на захранващия кабел, при което става и необходимото симстриране и се извършва едновременно и компенсация на влиянието на околната среда върху съпротивлението на излъчване. Съгласуващият гама-елемент се изработва от проводник с диаметър около 2 mm. Разстоянието между него и антенния проводник се фиксира от пластмасови изолатори и не бива да бъде повече от 50 mm. След извършване на настройката променливият кондензатор може да се замени с кондензатор с подходяща постоянна стойност.

Таблица 15.1. Данни за оразмеряване на антени „двоен квадрат“ (фиг. 15.8 и фиг. 15.9)

Обхват	20 m 14100 kHz	15 m 21200 kHz	10 m 29000 kHz
<i>Антена с шлейф в рефлектора</i>			
Страна $l_s$	5,40	3,60	2,62
Страна $l_r$	5,40	3,60	2,62
Дължина на шлейфа в рефлектора	1,50	1,00	0,70
<i>Антена без шлейф в рефлектора</i>			
Страна $l_s$	5,40	3,60	2,62
Страна $l_r$	5,92	3,92	2,88
<i>Разстояние между елементите A</i>			
0,08 $\lambda$ ( $G \approx 5,2$ dB, $Z \approx 45 \Omega$ )	1,83	1,22	0,91
0,10 $\lambda$ ( $G \approx 5,6$ dB, $Z \approx 60 \Omega$ )	2,25	1,50	1,12
0,12 $\lambda$ ( $G \approx 5,7$ dB, $Z \approx 72 \Omega$ )	2,68	1,79	1,33
0,15 $\lambda$ ( $G \approx 5,6$ dB, $Z \approx 85 \Omega$ )	3,20	2,12	1,60
0,20 $\lambda$ ( $G \approx 5,4$ dB, $Z \approx 110 \Omega$ )	4,25	2,83	2,12
<i>Размери на съгласувания гама-елемент (фиг. 15.10)</i>			
Дължина L	0,90	0,70	0,46
Капацитет C	100 pF	75 pF	50 pF

Всички размери са в m

В табл.15.1 са дадени необходимите дължини на гама-елемента L, както и максималните стойности на променливия кондензатор C за отделните любителски обхвати.

В същата таблица са събрани и данни за размерите на антени двоен квадрат, като са взети предвид както конструкции с настройваем посредством шлейф рефлекторен елемент, така и такива, при които рефлекторът сам за себе си е настроен в резонанс.

Предишните данни за извънредно голямото усилване на късовълновите антени „двоен квадрат“ (до 11 dB) положително се дължат на грешки при измерването, които се базират на сравняване на силата на звука при далечни радиовръзки или пък възникват поради неконтролируеми нееднородности в измерваното поле (напр. при отражение на сигнала). Както е известно, измерването на абсолютната стойност на усилването на късовълновите антени е много трудно; радиолюбителят не може да реализира нито необходимата за целта височина на монтиране на антената, нито пък може да създаде хомо-

генно измерително поле. По-лесно се достига до целта, ако антената се оразмери за УКВ или още по-добре за дециметровия обхват и измерванията се извършват с тази антена. Тя би представлявала един модел на истинската късовълнова антена и е допустимо получените резултати от измерването на усилването да се пренесат с пълно право и в късовълновия обхват. Тези данни обаче не носят особено много информация за практическите възможности за използването на такава антена за установяване на радиовръзки на големи разстояния. Както е обяснено в раздели 2.2.2. и 3.2.2., далечното разпространение се дължи преди всичко на отражение на сигнала от различните слоеве на йоносферата. Това означава, че ъгълът на възвишение на главния лъч на антената във вертикалната равнина трябва да бъде колкото е възможно по-малък.

Етажираните антени с хоризонтална поляризация имат голяма степен на насоченост във вертикалната равнина и техният ъгъл на възвишение е по-малък от този на антени със същото усилване,

монтирани в една равнина на същата височина. Двойният квадрат е всъщност една двуетажна антена с добра механична устойчивост за късовълновите обхвати (DX обхватите), която може да се изработи и като въртящ се насочен излъчвател.

Не може да се отрече, че при установяване на далечни радиовръзки в късовълновия обхват двойният квадрат има най-малкото същите предимства, както една триелементна Яги-антена, макар че последната има по-голямо абсолютно усиление. На практика при DX-радиовръзките често се срещат значителни разлики в ефективността на антените, като предимството често е на страната на двойния квадрат. Те се дължат изключително на сравнително малкия ъгъл на възвишение на главния лъч във вертикалната равнина, което определя и голямото разстояние от антената до точката от земната повърхност, в която попада отразеният от йоносферата сигнал.

#### 15.4.2. Антена с кръгли рамки

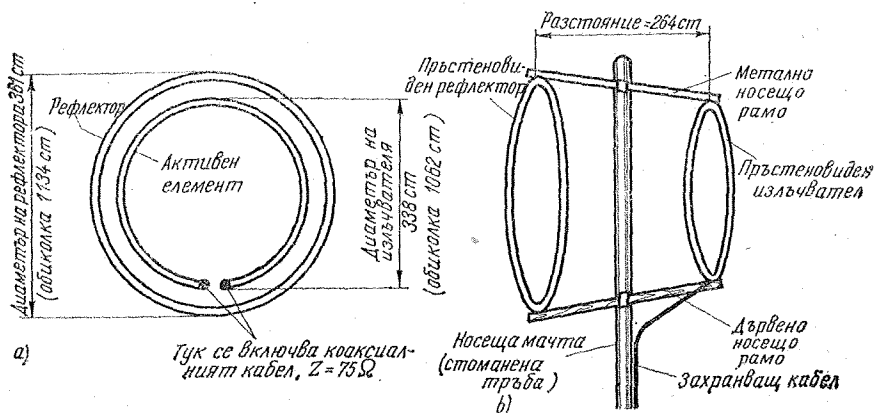
Антената с кръгли рамки се отличава от двойния квадрат главно по това, че вместо четириъгълните антенни елементи се използват кръгли (фиг. 15.11). Който е прочел внимателно по-горните обяснения за начина на действие на двойния квадрат, ще разбере, че по отношение на излъчването кръговата

рамкова антена има същите характерни свойства.

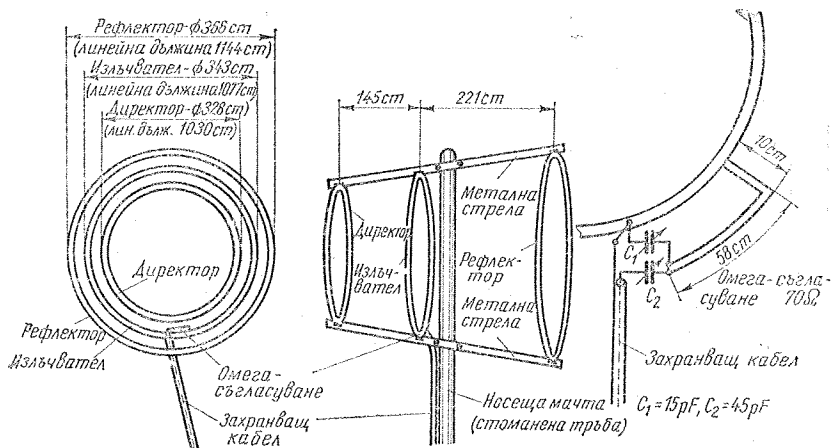
При предположение, че тази антена се изработи като целовълнов шлейф, тя е хоризонтално поляризирана, когато захранването става долу или горе (както и двойният квадрат). Ако захранването е отстрани, поляризацията е вертикална. По отношение на усиляването и на разходите за материали кръговата рамкова антена съответствува на квадратна антена със същия брой елементи. Тъй като за кръглата антена трябва да се използва тръба или устойчив плътен проводник, тя все пак е малко по-скъпа и по-трудна за изработване. Това би могло да бъде обяснението на факта, че тази конструкция досега не е намерила приложение в Европа.

##### 15.4.2.1. Кръгова рамкова антена с два елемента

На фиг. 15.11 е показана кръгова рамкова антена с 2 елемента за обхвата 10 m. Рефлекторът представлява един затворен обръч и се намира на разстояние  $\lambda/4$  от активния елемент, който е прекъснат в точките, в които се включва захранващата линия. Входното съпротивление на антената е около 75  $\Omega$ . Горният хоризонтален носач може да бъде металически; елементите могат да се прикрепят към него без изоляция. За долен носач се използва импрегни-



Фиг. 15.11. Кръгла рамкова антена за обхвата 10 m



Фиг. 15.12. 3-елементна кръгла рамкова антена за обхвата 10 m

рана дървена летва. Още по-подходяща е тръба от PVC, защото е много лека и устойчива на корозия. Може да се разчита на усиляне от около 5 dB. Размерите, необходими за резонанса, са нанесени на фиг. 15.11. Пресмятането на размерите на антената за друга резонансна честота може да стане по следните формули:

$$\text{Обиколка захранващ елемент} = \frac{307}{f} \quad (15.7)$$

$$\text{Обиколка рефлектор} = \frac{329}{f} \quad (15.8)$$

където обиколките са в метри,  $f$  е в MHz.

#### 15.4.2.2. Кръгова рамкова антена с три елемента

За 10 m-обхват все още може да се осъществи и 3 елементна кръгова рамкова антена. Тази високо ефективна насочена антена е показана на фиг. 15.12.

На фигурата са дадени размерите на антената за дължина на работната вълна 10 m. Тъй като входното съпротивление на антенната система е много малко, съгласуването към захранващата линия се извършва по начина, описан в раздел 6.4. (омега-съгласуване). В този случай цялата конструкция може да бъде металическа, т. е. горният и долният носач на елементите

са от метал. Елементите могат да се закрепват към носачите без изолация отгоре и отдолу. Разбира се, възможно е да се използва омега-съгласуване и при двуелементната кръгова рамкова антена; тогава и за нея може да се направи изцяло метална носеща конструкция.

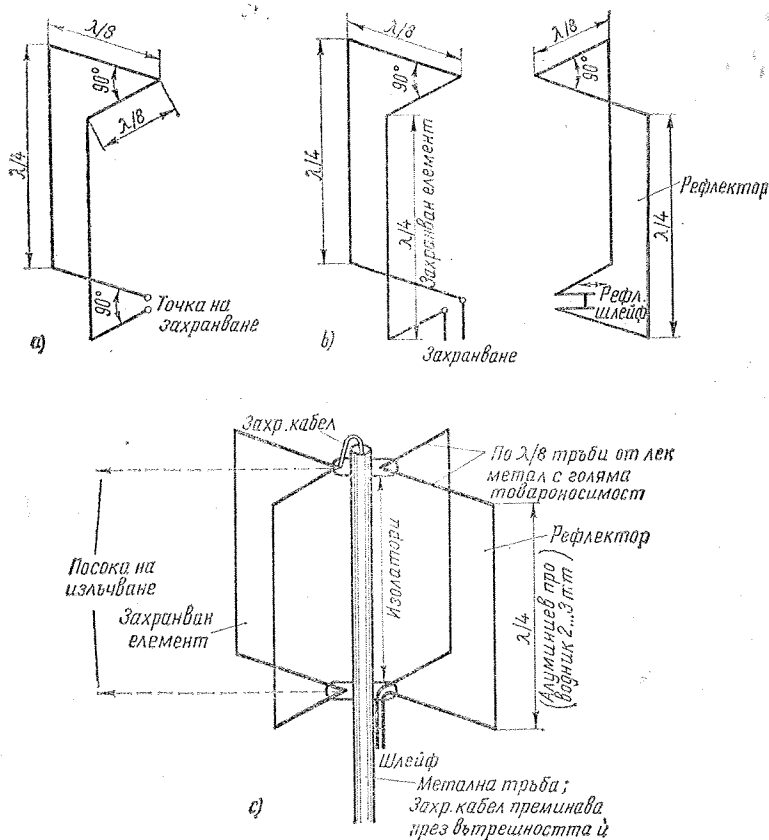
При триелементната антена разстоянието между активния елемент и рефлектора е около  $0,21 \lambda$ , а между активния елемент и директора —  $0,14 \lambda$ .

При оразмеряването на триелементна кръгова рамкова антена за друга резонансна честота трябва да се използват уравнения (15.7.) и (15.8.). Обиколката на директора се изчислява по формулата

$$\text{Обиколка директор} = \frac{289}{f} \quad (15.9)$$

Във всички случаи става дума за дължината на прав проводник, който трябва да се свие така, че да се получи затворен обръч. Могат да се използват тръби с какъв да е диаметър, стига изработените от тях елементи да имат достатъчна механична стабилност.

Прави впечатление, че и при кръглата рамкова антена обиколката на активния елемент, оразмерен за дадена резонансна честота, е по-голяма от  $1 \lambda$ . Това обстоятелство до голяма степен обяснява сходството на тези антени с двойния квадрат.



Фиг. 15.13. Кафезна антена; а — квадратен елемент, сгънат на  $90^\circ$ , б — схема на кафезната антена, в — предложение за конструктивно оформление

#### 15.4.3. Кафезна антена G4ZU

Кафезната антена (Bird-Cage) е разработена от известния английски конструктор на антени Дик Бърд (G4ZU). Тя също има непосредствена прилика с двойния квадрат. От него се различава по това, че елементите ѝ са огънати на  $90^\circ$ . На фиг. 15.13 е показан един квадратен елемент, който е сгънат на  $90^\circ$  в страната, в която се извършва захранването и в срещулежащата ѝ страна. При такива къси V-образни елементи почти се запазва диаграмата на насочено действие на един изправен дипол (осморка); единствено в направление на разтвора на ъгъла се забе-

лязва малко увеличение на усилването. И в този случай захранването трябва да стане в средата на някоя от хоризонталните страни, за да се получи хоризонтална поляризация, като е без значение дали това ще бъде горната или долната страна.

Сгънатият по същия начин рефлекторен елемент се поставя така, че върховете на ъглите на активния елемент и на рефлектора да бъдат разположени на разстояние около 25 mm един от друг (фиг. 15.13с).

Усилването и диаграмата на насочено действие на тази антенна система съответствуват до голяма степен на тези на двойния квадрат. Даже при



*GAZU* е измерено усилване, по-голямо с 0,5 dB и малко по-голямо затихване на сигнала в обратна посока, отколкото при двойния квадрат. Входното съпротивление на антената възлиза на около 60  $\Omega$ .

Едно особено предимство на кафезните антени е това, че цялата антена може да бъде закрепена на една носеща мачта, като хоризонталните елементи се използват и като носещи рамена. Цялата антенна система е много компактна и има малко ветрово съпротивление. Кафезната антена за обхвата 10 m има максимален размер (радиус) 1,30 m, измерено от носещата мачта. Този радиус при дължина на вълната 15 m нараства до 1,95 m и в обхвата 20 m — до 2,60 m. Тръби от лек метал се използват само за направата на хоризонталните отрязъци с дължина  $\lambda/8$ ; четирите вертикални отрязъка с дължина  $\lambda/4$  могат да бъдат от проводник с произволен диаметър. Целесъобразно е тръбите и проводникът да са от един и същ материал, защото в противен случай могат да се появят процеси на електрохимично разлагане.

Една примерна конструкция на кафезна антена е показана на фиг. 15.13с. Активният елемент се захранва отгоре, защото в този случай захранващата линия лесно може да бъде прокарана във вътрешността на тръбата, използвана за носеща мачта.

Изоляцията между върховете на елементите и носещата мачта не трябва да бъде особено висококачествена, защото в тези точки на елементите се намира минимум на напрежението. Достатъчно е да се използват подходящи блокчета от дърво, изварени предварително в парафин. При пока-

заната конструкция обаче върху изолиращите блокчета са приложени големи механични усилия и може да се окаже необходимо тези усилия да бъдат компенсирани до известна степен с поставяне на обтяжки. За тази цел носещата мачта може да се остави малко по-дълга и така да се създаде опорна точка, от която да се спуснат обтяжките към носещите хоризонтални рамена на антената.

В табл. 15.2 са дадени резонансните дължини на елементите на кафезна антена, определени опитно от *DK4NA*. Вижда се, че посочените размери са по-големи от тези на двойния квадрат, дадени в табл. 15.1, което впрочем прави впечатление и при описаната по-долу антена „швейцарски квадрат“. Причините за това явление още не са изяснени напълно, възможно е те да се дължат на доближаването на излъчващите части на антената до металната носеща мачта.

При описаната конструкция дължината на рефлектора е равна на дължината на захранвания елемент. Необходимото електрическо удължение на рефлектора се постига чрез включване на шлейф с подвижно мостче за късо съединение. С размерите, дадени в табл. 15.2, при посочените резонансни честоти се постига коефициент на стоящи вълни  $s$  приблизително 1. В началото и в края на 20 m обхват  $s$  нараства до не повече от 1,5. В границите на 15 m обхват се достига максимална стойност на  $s$  от 1,3 (21 MHz). Напротив, в обхвата 10 m приемлив коефициент на стоящи вълни съществува само в честотната лента между 28,3 MHz ( $s=1,7$ ) и 29 MHz ( $s=1,7$ ). В началото на обхвата (при 28 MHz)  $s$  нараства до 2,8, в края на обхвата

Таблица 15.2. Данни за оразмеряване на кафезна антена (фиг. 15.13)

Обхват	20 m 14150 kHz	15 m 21200 kHz	10 m 28600 kHz
Дължини на страните			
Захранван елемент	5,80	3,95	2,92
Рефлектор	5,80	3,95	2,92
Обиколка на елемента	23,20	15,80	11,68
Дължина на шлейфа в рефлектора	1,50	1,00	0,70

Всички размери са в m

(при 29,7 МНз) — до 2,5. Ако за работа в 10-и обхват се избере телеграфен режим, дължините на страните на елементите трябва да се увеличат на 2,96 m. Тогава резонансната честота е 28,1 МНз.

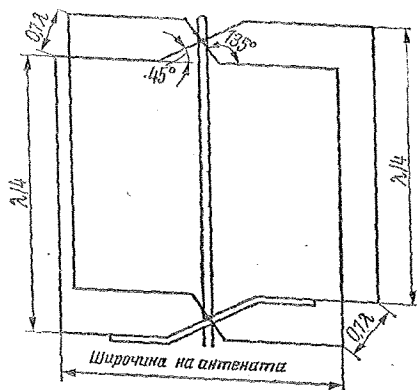
Захранването се извършва чрез произволно дълъг коаксиален кабел с вълново съпротивление 60  $\Omega$ . Междинното включване на симетриращо устройство при антената *DK4NA* се оказало излишно. В раздел 18.12. е описана една тридиапазонна кафезна антена.

Трябва да се обърне внимание на това, че кафезната антена е защитена с патент.

#### 15.4.4. Антена «швейцарски квадрат»

Най-съвършеният съвременен тип рамкова антена представлява „швейцарският квадрат“. Нейн конструктор е известният швейцарски радиолюбител *P. Баумгартнер*. *HB9CV*, отгук произлиза и името на антената. Тя е патентована в Швейцария под името „Изцяло захранена насочена антена“.

Както следва от фиг. 15.14, швейцарският квадрат се състои от два успоредни квадрата с дължина на страната  $\lambda/4$ , които са разположени на разстояние от 0,075 до 0,1  $\lambda$  един от друг. Средните части на хоризонталните елементи на антената са огънати под ъгъл 45° и средните точки на всеки от двата хоризонтални елемента на квадратите



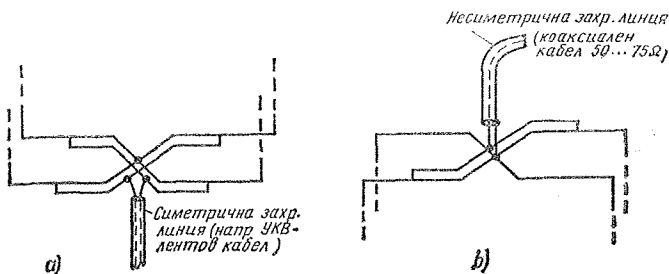
Фиг. 15.14. Антена „швейцарски квадрат“

се закрепват към носещата мачта. В точката на пресичане на двата елемента на антената протича максимален ток и електрическото свързване тук трябва да се извърши особено старателно. Тъй като на максимума на тока съответствува минимум на напрежението, тази точка на антената може да се заземи, като се свърже електрически с носещата мачта.

Пресичащите се отрязъци от двете равнини на антената не влияят смущаващо, защото протичащите в съседните елементи токове са в противофаза и практически тези отрязъци от антената не излъчват.

Захранването е отличителната черта на „швейцарския квадрат“. Ако не се вземат предвид малкото на брой изключения, рефлекторът се възбужда чрез полето, създадено от активния елемент. Отличните резултати, които са постигнати при комбинирано захранване на антените *ZL* и *HB9CV* (вж. раздел 14.2.1. и раздел 14.2.2.), се дължат на директното захранване на рефлектора и на връзката между активния елемент и рефлектора посредством излъчения сигнал. По аналогия също толкова добри резултати могат да се очакват и при швейцарския квадрат. Поради комбинираното захранване енергията се разпределя равномерно в четирите елемента. Съпротивлението на излъчване остава в границите между 30 и 40  $\Omega$ .

Захранването на антенната система по избор може да се извърши в долната или горната равнина. Когато кабелът трябва да бъде отведен надолу през тръбата на носещата мачта, целесъобразно е захранването да стане в горната равнина. Симетричните захранващи линии се съгласуват чрез двоен Т-образен съгласуващ елемент (фиг. 15.15a). Коаксиалните кабели се свързват към двоен гама-съгласуващ елемент (фиг. 15.15b). От фиг. 15.15 се вижда, че двата елемента на антената се възбуждат в противофаза по съвсем прост начин. Изненадващо се оказало, че фазовата разлика от 180°, създавана при възбуждането на активния елемент и рефлектора, за да се получи насочено действие, не трябва да се има предвид при свързването на захранващата линия към антената. Тази фазова разлика се получава от само себе си, ако обиколките на двата квадрата



Фиг. 15.15. Захранване и възбуждане на антена „швейцарски квадрат“; *a* — захранване през двоен Т-образен съгласуващ елемент, *b* — захранване през двоен гама-съгласуващ елемент

се различават с 5%. По-малкият квадрат тогава действа като директор, а по-големият — като рефлектор.

При два директно захранени квадрата с равна електрическа дължина индуктивната реактивна компонента на рефлектора се компенсира от капацитивната реактивна компонента на импеданса на директора (по отношение на точките на захранване). Това твърдение се потвърждава от факта, че резонансната честота на антената, измерена в точките на захранване, се намира точно в средата на честотната лента, ограничена от собствените резонансни честоти на двата квадрата. Разликата от 5% между обиколките на активния елемент и рефлектора е определена чрез многократни измервания. При разлики, по-малки от 5%, страничните лентове се увеличават, докато при разлики над 5% широчината на главния лъч се увеличава и усилването спада. От съществено значение е и това, че при разлика в обиколките на елементите 5% швейцарският квадрат по начините на свързване и поглъщане на енергията прилича на един обикновен полуълнов дипол. Това показва, че очевидно има взаимодействие между

директното захранване, връзката посредством излъчването и връзката с пространството. Това взаимодействие обаче едва ли може да се изрази математически. Изпробваните данни за размерите на швейцарския квадрат са следните:

обиколка на директора — 1,092  $\lambda$ ,  
обиколка на рефлектора — 1,148  $\lambda$ ,  
разстояние директор — рефлектор — 0,075 ... 0,1  $\lambda$ .

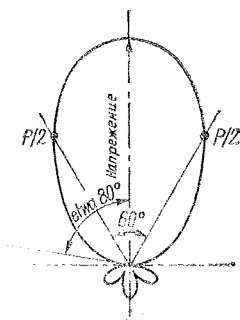
Разликата в обиколките на рефлектора и директора при практическото изпълнение на антената се разпределя само между хоризонталните части, докато вертикалните части трябва да се изработват с еднаква дължина. Точките на свързване на съгласуващите гама- и Т-образни съгласуващи елементи към антената трябва да се определят при настройката, защото тяхното правилно положение зависи от влиянието на околната среда, височината на антената и от нейната конструкция. Табл. 15.3 съдържа изпробвани размери на антени „швейцарски квадрат“, оразмерени за височестотните късовълнови любителски обхвати.

В табл. 15.3 под „височина на антената“ трябва да се разбира дължината

Таблица 15.3. Данни за оразмеряване на антени „швейцарски квадрат“ (фиг. 15.14)

Обхват	20 m 14150 kHz	15 m 21200 kHz	10 m 28500 kHz
Височина на антената	5,94	3,96	2,95
Широчина на антената (директор)	5,64	3,76	2,80
Широчина на антената (рефлектор)	6,23	4,16	3,09
Разстояние директор-рефлектор	2,12	1,41	1,05

Всички размери са в m



Фиг. 15.16. Диаграма на насочено действие на антенна „швейцарски квадрат“

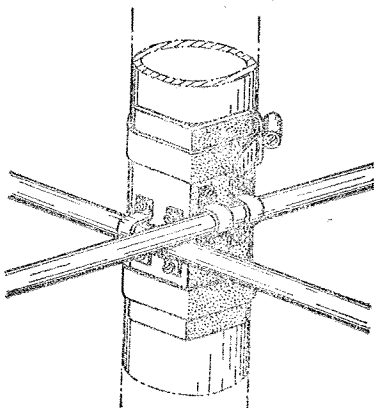
на вертикалните проводници. Под широчина на антената трябва да се разбира дължината на хоризонталните части на антената от единия до другия им край. При това не се взема предвид огъването им за закрепване към носещата мачта. Необходимите дължини на тръбите могат да се определят най-лесно геометрично, като антената, погледната отгоре, се начертае точно върху милиметрова хартия в намален мащаб.

На фиг. 15.16 е показана диаграмата на излъчване на един швейцарски квадрат, снета от *HB9CV*. Тя има ъгъл на разтвора в хоризонталната равнина  $60^\circ$ . Страничните минимума на излъчването са разположени на около  $80^\circ$  от двете страни на главния лъч. Потискането на излъчването в обратна посока възлиза, както и при двойния квадрат, средно на 13 dB. Поради това, че рефлекторът се захранва, усиляването на антената може да бъде малко по-голямо от това на двойния квадрат. *HB9CV* съобщава стойности от 6 до 7,9 dB. Както и при двойния квадрат, при установяване на връзки на много големи разстояния посредством антена швейцарски квадрат се появява „допълнително усиляване“, обусловено от геометрията на разпространение на сигнала, което трябва да се обясни чрез излъчвателните характеристики на етажираните антенни системи. Това усиляване на сигнала няма нищо общо с действителното усиляване на антената, но при осъществяване на далечни връзки осигурява недвусмислено превъзходство на квадратните антени над сравняваните с тях едноетажни антени.

#### 15.4.4.1. Указания за построяване на антена „швейцарски квадрат“

Вертикалните части на антената се състоят от тънки едножилни или многожилни проводници. За направата на хоризонталните отрязъци се използват тръби от лек метал (сплави, които могат да понесат механичните натоварвания). В случай на нужда краищата на тръбите могат да бъдат стабилизирани с помощта на обтяжки от изкуствено влакно (дебел рибарски конец) или още по-добре от стъкло-влакно в пластмасова обвивка, закрепени към предвиденото за целта удължение на носещата мачта. За да може тръбата, използвана при направата на антената, да се огъне без набръчкване, тя трябва първо да се напълни със сух пясък и след това двата ѝ края да се затворят с коркови тапи. Едва след това тръбата се огъва около здраво закрепен предмет с подходяща кръгла форма. Средно твърдите и много твърдите тръби от лек материал трябва обаче предварително да се нагреят в мястото на огъване, с което тяхната здравина се намалява. Затова е по-добре такива тръби да се огъват в работилница с подходящи машини за огъване.

На фиг. 15.17 е показано едно закрепване към мачтата, което може да се направи саморъчно с най-обикновени инструменти. Едно парче от правоъгълен винкел се притяга към мач-

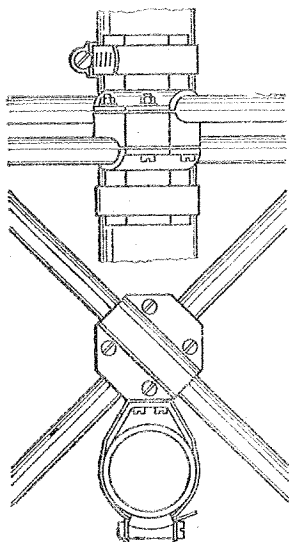


Фиг. 15.17. Закрепване към мачтата

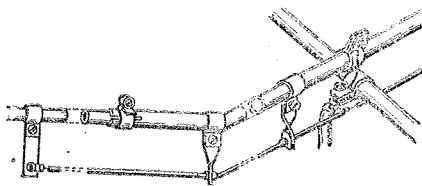
тата, но така, че при пужда да може да се премести. Към този винкел след това се закрепват двете перпендикулярна тръби. Както се вижда от фигурата, за целта се използват скоби от алуминисва ламарина, които се изработват лесно. Местото на пресичане на двете тръби е точната геометрична и електрическа среда на антената. Там тръбите трябва да се съдържат електрически една с друга и с мачтата. При тази конструкция скобите за закрепване са разположени малко встрани от точката на пресичане на тръбите. Затова под скобите трябва да се постави дълготрайна изолация. Тъй като високочестотното напрежение в тази част на антената е незначително, напълно достатъчен е един тъпък изолационен слой.

На фиг. 15.18 е показано едно отлично закрепване към мачтата, което обаче не може да бъде повторено съвсем лесно от всеки радиолюбител. При него изобщо не е необходима изолация, защото мястото на пресичане на тръбите, нулевият електрически потенциал и точката на закрепване към мачтата съвпадат.

Начинът на захранване е показан на фиг. 15.19. За изработването на



Фиг. 15.18. Подобрено закрепване към мачтата



Фиг. 15.19. Механична конструкция на гама-съгласуващия елемент

гама- и Т-съгласуващите елементи особено подходящи са проводниците с изолация от PVC. Диаметърът на проводника трябва да бъде приблизително същия, както на проводниците на захранващата линия. По-дебели проводници или даже тръби не са необходими. Разстоянието между проводника на съгласуващия елемент и тръбата на антената не е критично, може да се приеме равно на  $\lambda/200$ . Изолацията на проводника се отстранява само в точките на свързване.

За настройката на антената се използват само един еталониран гриддип-мер и един обикновен индикатор на стояща вълна. При първите опити за настройка Т-образните съгласуващи елементи (съотв. гама-съгласуващите елементи) се свързват приблизително по средата между мястото на огъване на тръбата и нейния край. След това с помощта на гриддипметър резонансната честота на антената се измерва в долния край на захранващата линия (откъм предавателя). Там е свързана подходяща бобина за връзка. Резонансната характеристика на антената се различава от тази на захранващия кабел с това, че кривата е по-плоска, защото антената е шунтирана от съпротивленията на излъчване. Ако измерванията се правеха напредно при елементите на антената, тогава би могло да се установи само собственият резонанс на квадратите, но не и резонансната честота на цялата антена. Отклоненията от желания резонанс могат да се коригират чрез скъсяване или удължаване на вертикалните проводници. Затова тези проводници винаги първоначално се оразмеряват малко по-дълги, отколкото е необходимо.

За да се настроят правилно изводите на гама- или Т-образните съгласуващи елементи, в захранващата линия се

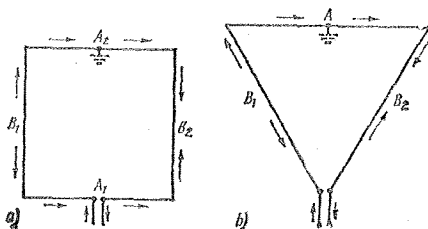
включва индикатор на стоящи вълни. След това антената се настройва в резонанс, като за проверка се използва гриддипметър. Чрез промяна на мястото на свързване на съгласуващите елементи се постига възможно най-ниският коефициент на стоящи вълни. Общо взето, възможно е да се получи една стойност на  $s$  от 1,2. Тъй като при изместване на изводите на съгласуващите елементи до известна степен се променя и резонансната честота на антената, би трябвало накрая още веднъж да се проверят резонансната честота и коефициентът на стоящи вълни. Като обобщение може да се каже, че антената „швейцарски квадрат“ има следните предимства:

#### механични

- изцяло метална конструкция, антената е вземана сама за себе си;
- отпадат всички помощни носещи елементи;
- механична устойчивост, получена чрез закрепване на двата квадрата направо към вертикалната мачта;
- малко ветрово съпротивление, доказана устойчивост срещу атмосферни влияния (бури, сняг, лед);

#### електрически

- просто, безупречно захранване и на двата елемента;
- незначителни топлинни загуби поради равномерното разпределение на енергията върху четирите дипола и поради използването на тръби в частите, в които протичат големи токове;



Фиг. 15.20. Разпределение на тока при пълновълнови рамкови антени; а — при квадратен елемент, б — при делтовиден елемент

— липса на всякакви загуби от утечка, защото всички части под напрежение висят свободно в пространството;

— всички продавани захранващи кабели могат да бъдат съгласувани точно.

#### 15.4.5. Насочени делтовидни рамкови антени

Желанието да се опрости механическата конструкция на двойния квадрат доведе до използването на делтовидни рамкови антени (вж. раздел 15.3.). Тези антени представляват една здрава и малобагаритна конструкция за обхватите 10 и 15 m. В досегашните публикации на тази конструкция се приписват същите добри свойства, които са типични за един двоен квадрат. Досега обаче не е известно дали са правени сравнителни измервания на двата типа антени.

Делтовидната рамка и квадратният елемент не се различават нито по обиколка, нито по съпротивление на излъчване. По отношение на усилването съществува една малка разлика, защото за обикновения квадратен елемент — по отношение на полуълновия дипол — се дава едно усилване от един децибел (по-точно 0,9 dB), докато на делтовидната рамка се дава усилване от 0,5 dB. Толкова малки разлики в усилването на практика са без значение. В настоящия случай обаче те могат да загатнат за различни свойства на излъчване, особено ако се сравни разпределението на тока в двата елемента.

На фиг. 15.20а е показано вече известното разпределение на тока (означено със стрелки) на един захранван, хоризонтално поляризиран квадратен елемент. В този случай може ясно да се види, че двата хоризонтални отрязъка  $A_1$  и  $A_2$  се възбуждат синфазно. Тъй като тези два отрязъка са разположени успоредно на разстояния  $\lambda/4$  един от друг, те образуват една етажирана антенна система, чието излъчване е фокусирано в хоризонталната равнина (= намален вертикален ъгъл на разтвора). Усилването на тази конструкция по отношение на полуълновия дипол се дължи изключително на по-малкия вертикален ъгъл на разтвора. От особено значение обаче е

това, че заради намаления ъгъл на разтвора във вертикалната равнина „надолу“ към земната повърхност се насочва и една съответно намалена част от излъчването. Както е обяснено по-подробно в раздел 3.2.2.1., отраженията от земната повърхност в близост до антената предизвикват увеличение на ъгъла на възвишение във вертикалната равнина. Това явление, твърде нежелателно при далечното разпространение на сигнала, се неутрализира чрез поставяне на антената на възможно най-голяма височина над земята и чрез увеличаване на степента на насоченост на излъчването във вертикалната равнина. Фактът, че двойният квадрат като етажирана система има малък ъгъл на разтвора и с това, принудително — и малък ъгъл на възвишение във вертикалната равнина, обуславя неговото превъзходство над сравняваните с него антени със същото усилване, разположени в една равнина. Погледнато от тази страна, делтовидната рамка (фиг. 15.20*b*) има само един хоризонтален отрязък  $A$ , който обаче е по-дълъг с около 25% от  $A_1$ , съответно  $A_2$ , на квадратния елемент. При делтовидната рамка не се забелязва втора хоризонтална равнина. И при двата вида антени отрязъците  $B_1$  и  $B_2$  са възбудени противофазно и допринасят само малко за излъчването; най-малкото, от тези части на антените не могат да се очакват хоризонтално поляризирани компоненти на излъчването. Затова трябва да се приеме, че делтовидната рамка не

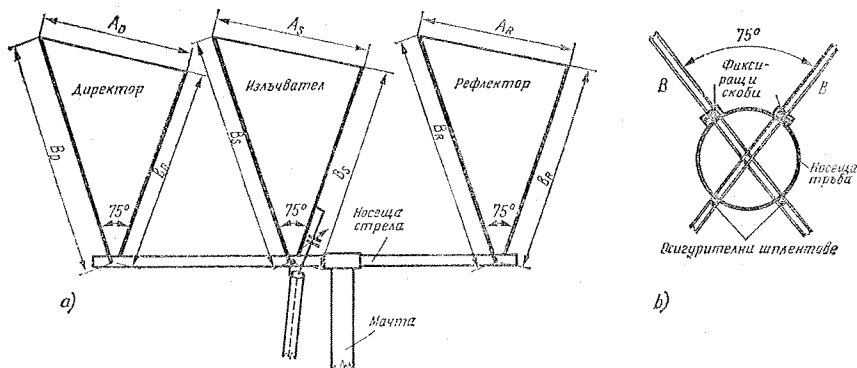
може да има нито толкова малък ъгъл на разтвора, нито толкова малък ъгъл на възвишение, колкото един квадратен елемент.

Тези чисто теоретически разсъждения може би на практика ще бъдат опровергани, защото е възможно да не са били оценени в достатъчна степен влиянията на страните на делтовидната рамка  $B_1$  и  $B_2$  върху излъчвателните свойства на тази антена.

#### 15.4.5.1. Делтовидни рамкови антени за обхватите 10 m и 15 m

На фиг. 15.21*a* е показана схемата за построяване на триселементна делтовидна рамкова антена. При желание директорният елемент може да се премахне и тогава антената става двуелементна. Триъгълните елементи са затворени, стоят отвесно върху здрава носеща стрела (антенният трегер) трябва да бъде много стабилна, защото е подложена на значителни торзионни усилия. Хоризонталните страни на триъгълниците са от проводник. На фиг. 15.21*b* е скициран един начин за закрепване на тръбите към носещата стрела, но това в никакъв случай не е идеалното решение. Носещата стрела става по-малко здрава поради пробиването на двата отвора.

Както двуелементната, така и три-



Фиг. 15.21. Делтовидна рамкова антена; *a* — конструкция, *b* — закрепване на тръбите към носещата стрела

Таблица 15.4. Данни за оразмеряване на делтовидни рамкови антени (фиг. 15.21)

Обхват	10 m 28400 kHz	15 m 21100 kHz
<i>Захранван елемент</i>		
Дължина на проводника $A_s$	4,10	5,50
Дължина на рамото $B_s$	3,35	4,50
Общо обиколка	10,80	14,50
<i>Директор</i>		
Дължина на проводника $A_D$	3,98	5,36
Дължина на рамото $B_D$	3,24	4,36
Общо обиколка	10,46	14,08
<i>Рефлектор</i>		
Дължина на проводника $A_R$	4,40	6,16
Дължина на рамото $B_R$	3,59	5,00
Общо обиколка	11,58	16,16
<i>Разстояния между елементите</i>		
Активен елемент—рефлектор	0,19 $\lambda$ —2,00	2,70
Активен елемент—рефлектор	0,13 $\lambda$ —1,38	1,85
Активен елемент—директор	0,095 $\lambda$ —1,00	1,35

Всички данни са в m

елементната делтовидна рамкова антена може да се захранва чрез коаксиален кабел с вълново съпротивление 50  $\Omega$ , но тогава би трябвало да се има предвид един коефициент на стоящи вълни  $\geq 1,6 : 1$ . В такъв случай едното рамо на захранвания елемент ( $B_s$ ) трябва да се отдели и да се изолира. От механична и електрическа гледна точка е по изгодно, както е показано, антенната система да се съгласува към един какъвто е коаксиален кабел с помощта на гама-съгласуващ елемент. Тогава може да се постигне коефициент на стоящи вълни  $\leq 1,2 : 1$  и едновременно се извършва необходимото преобразуване на симетрията (вж. раздел 6.3.). Размерите на използваните гама-елементи могат да се видят от табл. 6.1.

При двуелементните делтовидни рамкови антени се препоръчва разстоянието между активния елемент и рефлектора да бъде 0,19  $\lambda$ . По съображе-

ния за механична устойчивост при триелементните антени би трябвало да се избират възможно най-малки разстояния между елементите. Изгодно компромисно решение е да се избере разстояние между активния елемент и рефлектора 0,13  $\lambda$  и между активния елемент и директора — 0,095  $\lambda$ .

При оразмеряване на делтовидни рамкови антени за други резонансни честоти могат да се използват следните формули за обиколките:

$$\text{Излъчвател} = \frac{306,3}{f} \quad (15.10.)$$

$$\text{Рефлектор} = \frac{314}{f} \quad (15.11.)$$

$$\text{Директор} = \frac{297}{f} \quad (15.12.)$$

Всички обиколки са в m,  $f$  е в MHz.



## 16. Въртящи се насочени излъчватели с пасивни елементи

При осъществяването на връзки на големи разстояния радиолюбителите с готовност използват въртящи се насочени антени. За построяването им са необходими, общо взето, само тръби от лек метал и съответно място върху покрива на къщата. Към това трябва да се добави една стабилна посеща мачта и едно надеждно устройство за въртене на антената. При построяването на такива антени освен сръчност при механичната работа се изискват и добри познания по техника на безопасността.

Дже един обикновен полуълнов дипол, монтиран така, че да може да се върти, вече се разглежда като една използвана насочена антена. Въз основа на неговата двупосочна диаграма на насочено излъчване в хоризонталната равнина (вж. фиг. 3.8) се прави заключението, че е достатъчно завъртане на ъгъл  $180^\circ$ , за да се облъчват всички небесни посоки с максимална мощност.

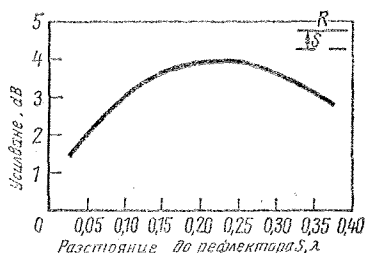
Полуълновият дипол се превръща в еднопосочно излъчваща антена, ако успоредно на него, на разстояние около  $\lambda/4$ , се постави един пасивен рефлектор. Този рефлектор представлява прът или проводник, с 5% по-дълъг от полуълновия дипол, който не е свързан нито с предавателя, нито с активния елемент. Такива незахранвани елементи, които са свързани с активния елемент единствено чрез излъчения сигнал, се наричат пасивни или вторични излъчватели.

През 1926 г. японецът С. Уда (професор в университета в Тохоку) за първи път описва на японски език антени с много пасивни елементи. По-късно същите антени са описани и на английски език от неговия колега Х. Яги. Затова сега тези антени се наричат антени на Уда—Яги или съкратено — Яги-антени.

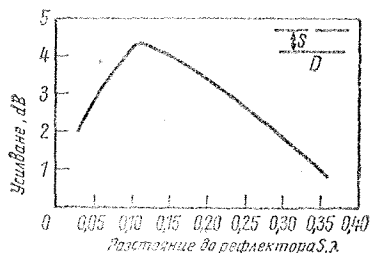
Един незахранван (пасивен) елемент

при индуктивно фазово изместване действа като *рефлектор* (за целта той е по-дълъг от активния елемент). При капацитивно фазово изместване пасивният елемент служи за *направляващ* дипол или *директор* (дължината му е по-малка от тази на активния елемент).

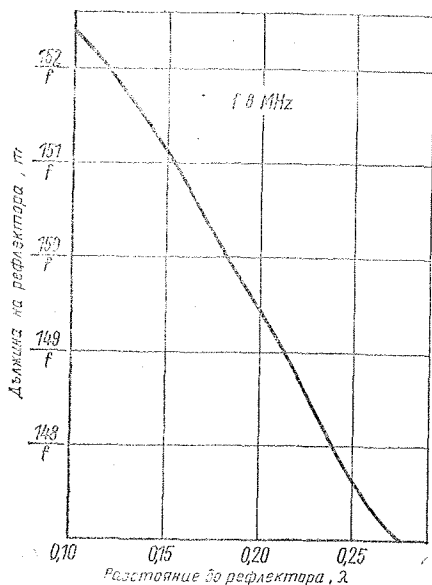
Усилването по мощност, което се постига в направление на главния лъч благодарение на пасивните елементи, зависи от разстоянието между пасивния и активния елемент. От фиг. 16.1 може да се види как това разстояние



Фиг. 16.1. Практически достижимо усиление на антена, състояща се от активен елемент и рефлектор R, в зависимост от разстоянието до рефлектора S, изразено в  $\lambda$ .



Фиг. 16.2. Практически достижимо усиление на антена, състояща се от активен елемент и директор D, в зависимост от разстоянието до пасивния елемент S, изразено в  $\lambda$ .



Фиг. 16.3. Зависимост на дължината на рефлектора от разстоянието до активния елемент

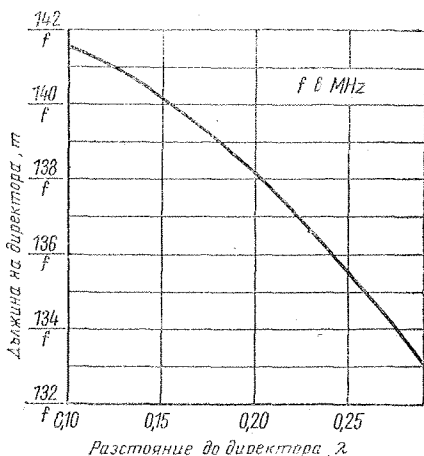
се отразява върху усиляването, достигано на практика. Според фигурата при разстояние между активния елемент и рефлектора  $S$ , равно на  $0,23 \lambda$ , има един плосък максимум на усиляването, който на практика може да възлезе на около 4 dB (по отношение на един половълнов дипол). За комбинацията активен елемент-директор усиляването е малко по-голямо (фиг. 16.2); при разстояние между активния елемент и директора  $0,11 \lambda$  то е около 4,3 dB.

В късовълновия обхват в повечето случаи се използват двуелементни насочени излъчватели с директор като пасивен елемент. Това се прави не толкова заради малко по-голямото усиляване, отколкото при една антенна система от активен елемент и рефлектор, защото на практика тази разлика няма значение. Решаващ за избора на комбинацията активен елемент-директор е фактът, че при нея максималното усиляване се постига още при разстояние между елементите  $\lambda/10$ , докато в другия случай рефлекторът трябва да бъде разположен поне на  $\lambda/4$  от захранвания елемент (сравнете фиг. 16.1 и 16.2). Освен това директорът е с около 10% по-къс от реф-

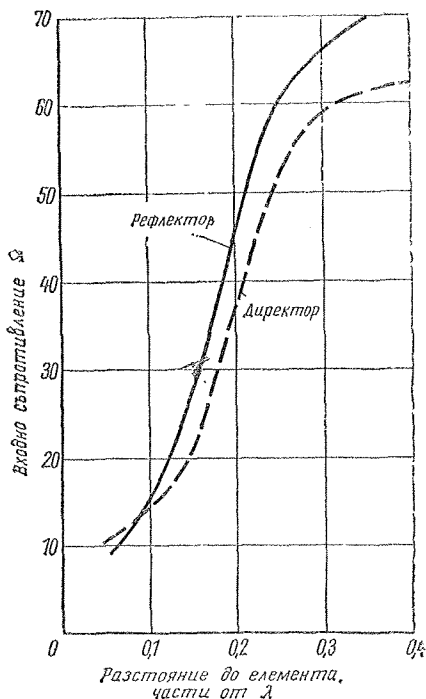
лектора. Такива „икономии“ нямат особена стойност в УКВ-обхвата, но в късовълновия обхват имат голямо значение.

Оптималната дължина на пасивния елемент зависи от разстоянието му до активния елемент. Общо взето, важи правилото, че рефлекторът трябва да бъде толкова по-дълъг, колкото повече е отдалечен от излъчвателя. Обратно, директорът става по-къс при увеличаване на разстоянието  $S$ . Фиг. 16.3 служи за определяне на дължината на рефлектора в зависимост от разстоянието му до активния елемент, а фиг. 16.4 — за определяне на дължината на директора. В случая става дума за приблизителни стойности, при които се постига максимално усиляване. Когато антената трябва да има напр. особено голяма широчина на пропусканата честотна лента при сравнително голямо усиляване, тогава се получават други данни за дължината на елементите. За такива случаи се избират по-дълги рефлектори, съотв. по-къси директори.

Входното съпротивление на захранвания елемент се определя от факторите дължина на елементите и разстояние между тях. Като правило съпротивлението на излъчване и с това и входното съпротивление на антената спада толкова повече, колкото пасивният или пасивните елементи се добли-



Фиг. 16.4. Зависимост на дължината на директора от разстоянието до активния елемент



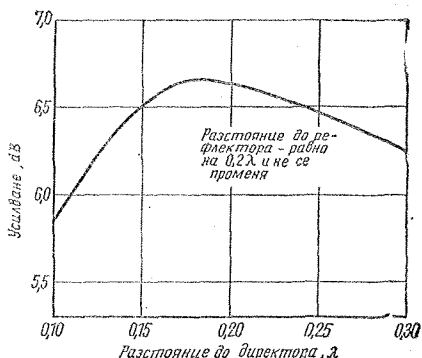
Фиг. 16.5. Зависимост на входното съпротивление на полуълнов дипол с рефлектор или директор от разстоянието до пасивните елементи

жават до захранвания елемент. На фиг. 16.5 са показани стойностите, които приема входното съпротивление на антената в зависимост от разстоянието между активния и пасивните елементи. Те са приблизително точни, когато дължините на елементите са избрани така, че да се получи максимално усилване. Оттук следва, че при разстояния между елементите, по-малки от  $0,1 \lambda$ , входното съпротивление спада под  $15 \Omega$ . Това означава, че заради протичащите твърде големи токове загубите в проводника на антената ще се увеличат и теоретично възможното усилване на практика няма да бъде достигнато. Едновременно с това при малки разстояния между елементите широчината на пропусканата честотна лента става много малка и оразмеряването на резонансните дължини става критично. Затова трябва да се предпочитат относително големите

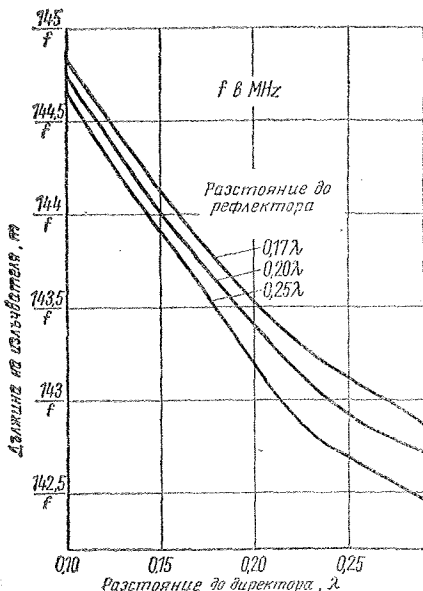
разстояния между елементите; с тях не винаги се постига максималното усилване, обаче се получава сравнително високо входно съпротивление (по-малки загуби), по-голяма широчина на пропусканата честотна лента и с това — по-лесна настройка в резонанс. Широчината на пропусканата честотна лента и съпротивлението на излъчване могат да се коригират посредством дължината на елементите, така че при сравнително малки разстояния между елементите да се получи достатъчно широка пропусканата честотна лента при сравнително високи входни съпротивления. По този начин даже при най-обикновените Яги-антени съществуват най-различни възможности за оразмеряване, което да бъде оптимално за определената цел.

При късовълновите антени, общо взето, се използват не повече от два пасивни елемента. Тези антени се състоят от един захранван полуълнов дипол, един рефлектор и един директор. Това е най-малката конструкция на Яги-антена. Тъй като съдържа общо три елемента, тя се нарича триелементна Яги-антена. Като изключение в 10-m обхват понякога се използват антени с повече от три елемента.

Практически достиганото усилване при една Яги-антена може да възлезе на около 7 dB. При обикновените любителски антени за късовълновия обхват може да се разчита на едно усилване между 5,5 и 6,5 dB. Като пример на фиг. 16.6 е показано усилването на една



Фиг. 16.6. Зависимост на усилването на триелементна антена с разстояние между активния елемент и рефлектора  $0,2 \lambda$  от разстоянието между активния елемент и директора



Фиг. 16.7. Оптимална дължина на активния елемент на 3-елементна Яги-антена в зависимост от разстоянията между активния елемент и рефлектора, съотв. директора

триелементна Яги-антена при постоянно разстояние между активния елемент и рефлектора в зависимост от разстоянието между активния елемент и директора.

При оптималното оразмеряване на една Яги-антена трябва да се установят не само дължините на пасивните елементи и разстоянието им до активния елемент, но и да се определи резонансната дължина на захранвания елемент в зависимост от разстоянието до пасивните елементи. Оптималната дължина на захранвания дипол става толкова по-малка, колкото по-близо до него са разположени пасивните елементи. Това следва от фиг. 16.7, на която е показана оптималната дължина на излъчвателя в зависимост от разстоянието му до рефлектора и до директора. В този случай също става дума за приблизителни стойности, верни при оразмеряване на антената за максимално усиление. Трябва да се вземе предвид и коефициентът на изтъняване на захранвания елемент.

## 16.1. Съображения относно икономичността на въртящите се насочени излъчватели

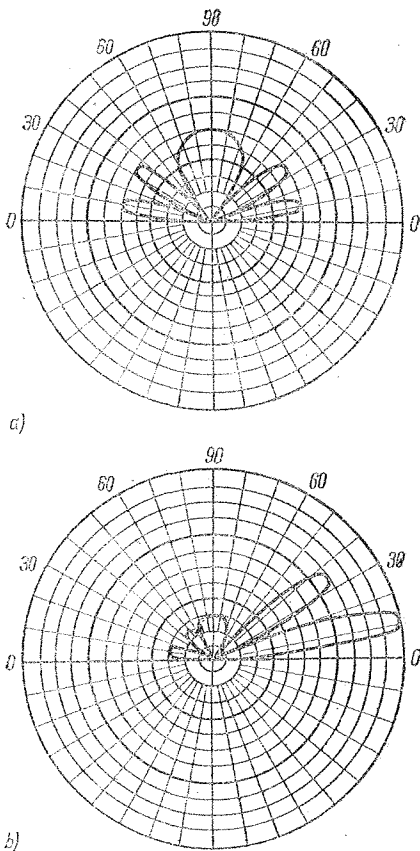
Често срещаното твърдение, че въртящата се хоризонтална Яги-антена представлява една от най-икономичните конструкции за любителски връзки на големи разстояния, би могло отначало да се стори парадоксално, защото за такава антена са необходими значителни разходи за носещата мачта и устройството за въртене. Тръбите от лек метал, от които се правят елементите на антената, също не са съвсем евтини.

Една триелементна Яги-антена в направление на главния лъч дава усиление средно 6 dB. То съответствува приблизително на четирикратно нарастване на мощността. На практика това означава, че напр. един 20-W предавател с 3-елементна Яги-антена създава в някоя точка на приемане, разположена по направление на главния лъч същата напрегнатост на полето, както един 80-W предавател, свързан към обикновен полувълнов дипол. При определени обстоятелства, които ще бъдат пояснени допълнително, тази разлика е още по-голяма. Всеки радиолюбител знае, че повишаването на мощността на предавателя от 20 на 80 W може да бъде много скъпо. Разходите само за направата на блока за високоволтовото захранване и модулятора биха надвишили тези, извършени при изработката на насочена въртяща се антена. Повишаването на мощността на предавателя освен това почти винаги предизвиква и нарастване на радио- и телевизионните смущения, особено когато голямата енергия се излъчва практически на всички страни от една обикновена антена. Голямото тегло и обем, високата консумация на ток и анодните напрежения (също високи) са другите недостатъци на любителските предаватели с голяма изходна мощност.

Един полувълнов дипол не би осигурил същите добри DX-връзки даже при 80-W предавател, както една триелементна Яги-антена, захранвана от 20-W предавател. Ако се сравнят диаграмите на излъчване на двете антени, разположени на еднаква височина над

„идеална“ земя, се вижда, че полуълновият дипол излъчва една голяма част от енергията право нагоре, докато Яги-антената излъчва под малък ъгъл спрямо хоризонта. Това е особено важно при DX-връзките (вж. раздел 3.2.2.). На фиг. 16.8a е показана диаграмата на излъчване във вертикалната равнина на един полуълнов дипол, а на фиг. 16.8b — диаграмата на излъчване във вертикалната равнина на една хоризонтална триелементна Яги-антена. Двата излъчвателя са монтирани на височина  $1,25 \lambda$  над земята. Ъгълът и броят на листовете от вертикалната диаграма на излъчване при двете антени са еднакви. При Яги-антената обаче най-голямата част от енергията се излъчва под по-малък ъгъл спрямо хоризонта (вж. също фиг. 3.13). Това концентриране на главното излъчване с малък ъгъл на възвишение може да предизвика при практическите радиовръзки на далечни разстояния извънредно големи разлики в напрегнатостта на полето, които се дължат на използването на Яги-антена.

Когато насочени излъчватели се използват и като приемна антена, а почти винаги това е така, техните предимства се проявяват в още по-голяма степен. Докато далечните радиостанции, лежащи по направление на главния лъч, се приемат при високо ниво на сигнала, по-близко разположените европейски станции се чуват значително по-слабо. Това явление също се обяснява с диаграмата на излъчване във вертикалната равнина. Вертикалният ъгъл на падане на сигнала от близките радиостанции е голям, докато сигналът от далечните станции попада върху приемната антена под малък ъгъл (вж. разпространение на радиовълните, раздел 2.). От фиг. 16.8 се вижда, че триелементната Яги-антена за разлика от полуълновия дипол (фиг. 16.8a) приема по-добре сигналите, падащи под малък ъгъл, а сигналите, падащи под голям ъгъл, се потискат силно. Голямата степен на насоченост в хоризонталната равнина допринася за това да се приемат добре само сигналите, идващи по направление на главния лъч. При днешната претрупаност на любителските обхвати едно такова обстоятелство е от особено значение, защото с насочени излъчватели има



Фиг. 16.8. Диаграма на излъчване във вертикалната равнина; а — на хоризонтален полуълнов дипол, монтиран на височина  $1,25 \lambda$  над земята, б — на хоризонтална 3-елементна Яги-антена, монтирана на височина  $1,25 \lambda$  над земната повърхност

възможност да се елиминира и голяма част от „глобалния QRM“.

Старата любителска мъдрост: „Може да се предава само дотам, откъдето се приема сигнал“ и днес важи с пълна сила. Каква е ползата, ако в насрещната страна се излъчва силен сигнал, но поради „европейския QRM“ не може да се приеме отговорът на далечния партньор? В такива случаи не помагат и най-селективните големи приемници, докато един добър насочен излъчвател в комбинация с един среден



Фиг. 16.9. Двуелементен насочен излъчвател  
данни за оразмеряването са дадени в табл. 16.1)

приемник най-често се справя с такъв затруднения. „Бимът“ отвежда до входа на приемника само част от съществуващата в мястото на приемане смесца от сигнали, но тази част е усиlena и пристига от точно определена посока. Освен това, както вече беше споменато, сигналите на смущаващите европейски радиостанции, които попадат върху антената под голям ъгъл, се потискат от нея заради нейната диаграма на насочено действие във вертикалната равнина.

Затихването на сигнала в обратна посока при работа на 3-елементната Яги-антена като предавателна или приемна антена достига от 15 до 20 dB и зависи много силно от вертикалния ъгъл на падане на сигнала. Затихването на сигнала по посока на двата

странични минимума може да възлезе на 30 dB.

Предимствата на насочените въртици се излъчватели от механична гледна точка са главно тези, че една такава антена има само един захранван елемент и един или два пасивни елемента. Затова отпада всякакво „опроводяване“. Който познава несигурността на спойките, подложени на атмосферно въздействие по всяко време на годината, би оценил този факт. Друго голямо предимство е възможността цялата конструкция да се изработи от метал. При това всички елементи и метални посещи части се заземяват направо. Тогава няма да има статични заряди и грижата за гръмозащита до голяма степен отпада.

## 16.2. Хоризонтални двуелементни въртици се насочени излъчватели

Хоризонталните двуелементни насочени излъчватели се използват главно в любителския обхват 20 m, защото изработката на една 3-елементна Яги-антена за този обхват често е твърде сложна. Двуелементната антена може да бъде конструирана по два начина — или като комбинация от излъчвател и рефлектор, или като двойка от вибратор и директор. Поради споменатите по-горе причини се предпочита антенната система да се състои от вибратор и директор.

На фиг. 16.9 е показана схемата за

Таблица 16.1. Данни за оразмеряване на 2-елементен насочен излъчвател (фиг. 16.9)

Любителски обхват	40 m	20 m	15 m
Резонансна честота	7050 kHz	14 150 kHz	21 200 kHz
Дължина S	20,53 m	10,24 m	6,83 m
Дължина D	19,37 m	9,66 m	6,34 m
Разстояние A	5,18 m	2,59 m	1,70 m
Диаметър d	50 mm	35—40 mm	25 mm
Съпротивление на излъчване	18 Ω	18 Ω	18 Ω
Любителски обхват	10 m	10 m	10 m
Резонансна честота	28 500 kHz	28 100 kHz	29 000 kHz
		(телеграфия)	(телефония)
Дължина S	5,03 m	5,16 m	4,95 m
Дължина D	4,66 m	4,86 m	4,58 m
Разстояние A	1,28 m	1,31 m	1,26 m
Диаметър d	35—40 mm	25 mm	35—40 mm
Съпротивление на излъчване	20 Ω	18 Ω	20 Ω

изработване на двуелементен насочен излъчвател, чиито геометрични размери са дадени в табл. 16.1.

Такива двуелементни насочени излъчватели имат ъгъл на разтвора в хоризонталната равнина  $\phi_H$  от около  $75^\circ$  и ъгъл на разтвора във вертикалната равнина  $\phi_V$  от около  $130^\circ$  при предположение, че антената е монтирана на достатъчна височина. При приближаване на антената към повърхността на земята, което на практика винаги съществува в късовълновия обхват, диаграмата на насочено действие в хоризонталната равнина се променя в съответствие с данните, посочени в раздел 3.2.2.1.

С размерите, дадени в табл. 16.1, може да се постигне усиление от около 4 dB. В зависимост от ъгъла на падане на приемания сигнал потискането на сигнала в обратно направление е приблизително между 7 и 15 dB. Резонансните честоти на антените са избрани така, че при работа в режим на телеграфия в обхватите 15, 20 и 40 m коефициентът на стоящи вълни по съгласувана захранваща линия не надвишава 1,3; във високочестотния край на обхвата той нараства до около 1,7. Антената за обхвата 10 m има коефициент на стоящи вълни, по-малък от 1,3 в честотни диапазон от 28 000 до 29 000 kHz; във високочестотния край на обхвата (при 29 700 kHz) той нараства до 2. При оразмеряване за работа в режим на телеграфия в 10 m обхват трябва да се покрие честотна лента с ширина само 200 kHz (от 28 000 до 28 200 kHz). Затова честотната лента на антената може да бъде стеснена за сметка на едно малко по-голямо усиление, при което коефициентът на стоящи вълни в съгласуваната захранваща линия при телеграфия не надвишава 1,2. Ако антената ще се използва изключително за работа на телефония, тогава се препоръчва да се измести резонансната честота на антената към средата на телефонния обхват (29 000 kHz). Коефициентът на стоящи вълни тогава няма да бъде по-голям от 1,6 в целия обхват за телефония (от 28 200 до 29 700 kHz).

Настоящите данни са валидни само ако антената се намира на височина  $\lambda/2$  или повече над земната повърхност. В този случай отклонението от предварително пресметнатата резонанс-

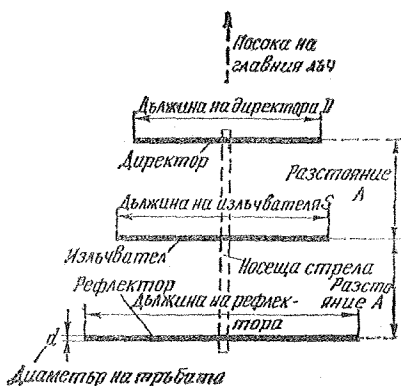
на честота няма да бъде по-голямо от 50 kHz. Ако височината на антената е по-малка от  $\lambda/2$ , резонансната честота се изменя към долния край на обхвата. Това се дължи на големия капацитет на земята, който влияе на намиращите се близко до повърхността антени. Тогава например една антена, пресметната за резонансна честота 21 200 kHz, би могла да има в действителност резонансна честота 20 800 kHz. Както вече беше обяснено, малката височина на монтиране на антената предизвиква и увеличаване на ъгъла на възвишение, с което се ликвидират част от добрите DX-качества на насочения излъчвател.

Препятствията в близост до антената често предизвикват непредвидени отражения и поглъщания на сигнала. Особено неприятно е въздействието на напрежителните проводници, телефонните жици, олуците, гръмоотводите и т. н. Най-често обаче те влошават работата на антената само ако главният лъч в диаграмата на излъчване е насочен към тях. В зависимост от вида и отдалечеността на „смутителя“ трябва да се предвиди едно по-голямо или по-малко влошаване на качествата на антената в определени направления.

Трябва да се спомене още и това, че диаметърът на тръбите, от които са изработени елементите на антената, влияе както върху резонансната ѝ честота, така и върху широчината на пропусканата честотна лента. При тънки тръби се изисква по-малко удължаване на елементите, но и честотната лента на антената намалява. По-дебелите тръби трябва да се скъсяват малко; широчината на пропусканата честотна лента нараства до известна степен. Това обстоятелство обаче трябва да се има предвид само ако се използват тръби, чиито диаметър се различава от предписания с повече от 50%.

### 16.3. Хоризонтални триелементни Яги-антени

Когато към двуелементния насочен излъчвател се добави още един пасивен елемент — този път рефлектор, излъчвателните свойства на антената се подобряват още повече. Такива антени с по 3 елемента все още могат да се изработят сравнително лесно за



Фиг. 16.10. Схема на 3-елементна Яги-антена (данни за оразмеряването са дадени в табл. 16.2)

обхватите 10 m и 15 m, но заради своите размери една такава антена за обхвата 20 m представлява почти границата на осъществимото с любителски средства.

На фиг. 16.10 са обяснени означенията, които са използвани в табл. 16.2 при даване на геометричните размери на 3-елементни Яги-антени.

При антена, оразмерена за обхвата 15 m, коефициентът на стоящи вълни на съгласуваната захранваща линия в целия обхват не надвишава 1,4. За обхватите 10 m и 20 m са дадени по няколко конструкции, които в зависи-

мост от предназначението им се различават по резонансна честота. Дадените при двуелементните антени обяснения за влиянието на височината на монтиране и на отношението дължина/диаметър върху излъчвателните свойства важат и за 3-елементните Яги-антени.

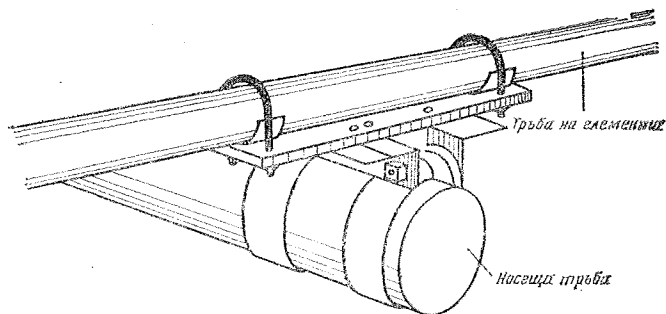
Усилването на показаната 3-елементна Яги-антена възлиза на около 6,5 dB, потискането на сигнала в обратна посока е около и над 15 dB. Може да се разчита на бъл на разтвора в хоризонталната равнина  $\alpha_H$  от около 65° и на бъл на разтвора във вертикалната равнина  $\alpha_V$  от приблизително 110°. Близостта на земята на практика винаги оказва влияние върху антената и затова диаграмата на насочено действие във вертикалната равнина е разклонена (вж. раздел 3.2.2.1.).

Ако резонансната честота на една антена, оразмерена за обхвата 20 m, се избере равна на 14 150 kHz, в честотната лента, определена за работа на телеграфия, коефициентът на стоящи вълни в съгласуваната захранваща линия е <1,4. Във височестотния край на обхвата той нараства до около 1,8. Когато антената е оразмерена специално за работа на телеграфия (резонансна честота 14 050 kHz), коефициентът на стоящи вълни е <1,2, но при работа във височестотния край на обхвата нараства до 2,5. Конструкцията с резонансна честота 14 250 kHz

Таблица 16.2. Данни за оразмеряване на 3-елементни Яги-антени (фиг. 16.10)

Любителски обхват	20 m	20 m	20 m
Резонансна честота	14 150 kHz	14 050 kHz	14 250 kHz
Приложение	в целия обхват	за телеграфия	за телефония
Дължина S	10,19 m	10,26 m	10,12 m
Дължина D	9,58 m	9,69 m	9,52 m
Дължина R	10,79 m	10,87 m	10,72 m
Разстояние A	3,02 m	3,04 m	3,00 m
Диаметър d	35—40 mm	35—40 mm	35—40 mm
Съпротивление на излъчване	20 $\Omega$	20 $\Omega$	20 $\Omega$
Любителски обхват	15 m	10 m	10 m
Резонансна честота	21 200 kHz	28 200 kHz	29 000 kHz
Дължина S	6,83 m	5,13 m	4,99 m
Дължина D	6,40 m	4,71 m	4,51 m
Дължина R	7,22 m	5,46 m	5,31 m
Разстояние A	1,98 m	2,00 m	1,95 m
Диаметър d	25 mm	35—40 mm	35—40 mm
Съпротивление на излъчване	20 $\Omega$	22 $\Omega$	22 $\Omega$





Фиг. 16.11. Запекване на елемента към носещата стрела (трөгера)

има коефициент на стоящи вълни  $< 1,3$  в целия телефонен участък; този коефициент се увеличава до около 2, когато антената работи в нискофестотния край на обхвата.

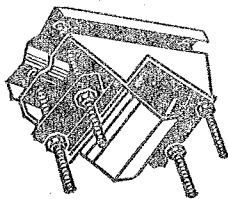
Антената за обхвата 10 m има максимален коефициент на стоящи вълни  $s=1,3$  за работа в режим на телеграфия (при резонансна честота 28 200 kHz). Този коефициент остава постоянен в честотната лента от 28 000 до 28 500 kHz. Когато е избрана резонансна честота 29 000 kHz, в цялата честотна лента, определена за работа на телефония, коефициентът на стоящи вълни в съгласуваната захранваща линия не надвишава 1,8. В нискофестотния край на обхвата то нараства до 2 (при 28 000 kHz).

#### 16.4. Захранване на въртящите се насочени излъчватели

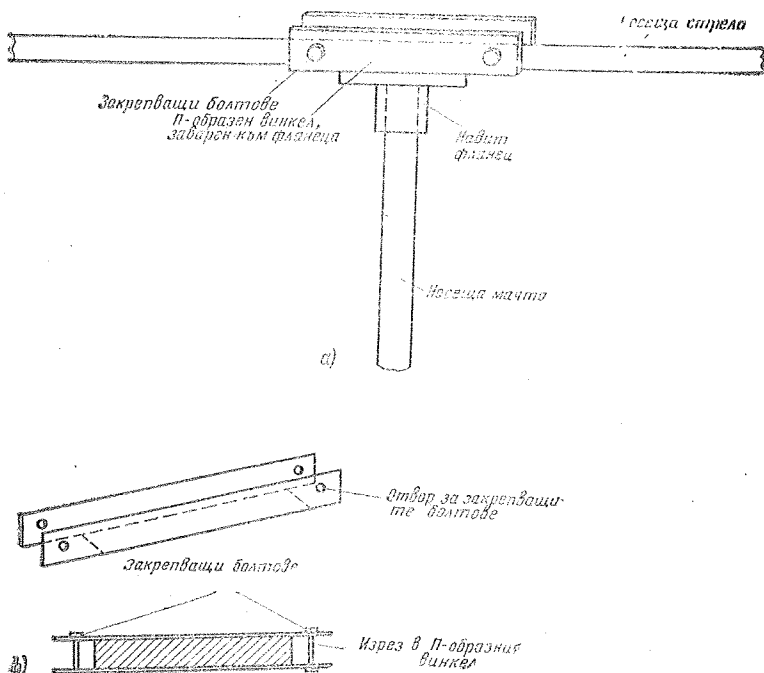
Всички въртящи се насочени излъчватели, предложени в този раздел, имат съпротивление на излъчване (входно съпротивление) от около 20  $\Omega$ . Директно захранване на излъчвателя не е възможно, защото технически не може да се реализират линии с малки загуби и вълново съпротивление 20  $\Omega$ . Тъй като по механични съображения е желателно да не се прекъсва в средата захранваният елемент, отпада възможността за използване на четвъртвълнови трансформатори или съгласуващи шлейфове. Целостта на захранвания елемент не се съхрани, ако се използва Т-образен съгласуващ елемент (вж. раздел 6.2.). След като без друго се строи една висококачествена насочена антена, не би трябвало да се правят икономии за сметка на захранва-

щата линия. По тези съображения като правило се използва само коаксиален кабел. Той трябва да бъде симетриран към Т-образния съгласуващ елемент с помощта на четвъртвълнов симетриращ трансформатор или някакво друго симетриращо устройство. Това би бил един доста сложен начин, който би изисквал и голям разход на материали.

Проблемът за съгласуването се решава почти идеално чрез използването на гама-съгласуване (вж. раздел 6.3.) или неговата усъвършенствувана форма — омега-съгласуването (вж. раздел 6.4.). Въпреки простото си изпълнение гама-съгласуването в никакъв случай не е помощно решение. Това е най-изгодният начин (от електрическа и механична гледна точка) за съгласуване на какъв да е коаксиален кабел към една антена с непрекъснат излъчвателен елемент. Всички подробности за гама-съгласуването и неговата форма могат да се видят от раздел 6.3., фиг. 6.4 и табл. 6.1. Данните от табл. 6.1. могат направо да се използват при описаните въртящи се насочени излъчватели, защото те са пресметнати за коефициент на трансформация на съпротивленията 1 : 3. Омега-съгласува-



Фиг. 16.12. Скоби за връзката елемент — трөгера



Фиг. 16.13. Свързване на хоризонтална носеща стрела към вертикална антена мачта; а — предположение за конструкцията, б — чертеж на П-образния винкел

нето, което също така е много подходящо за случая, е описано в раздел 6.4 и е илюстрирано с фиг. 6.5 и 6.6. При него съгласуващата тръба е с два пъти по-малка дължина, отколкото при гама-съгласуването и освен това съществува възможност за удобна настройка.

## 16.5. Носещата стрела (трегерът)

Възможността за целометална конструкция се дължи на факта, че полувълновите елементи могат да се свързват с металната носеща стрела в геометричната си среда, т. е. при минимума на напрежение, без да се използва каквато и да е изолация. Такава насочена антена има малко ветрово съпротивление, тя е сравнително лека и въпреки това много стабилна. За съжаление съществуват определени трудности при намирането на носеща тръба, която да изпълнява всички

изисквания. Подходящи тръби от лек метал се използват в самолетостроенето. В строителството такива тръби се използват за изработване на скеле. Тези тръби са комплектувани с подходящи принадлежности — Т-образни елементи, винкели и пр.

Стабилното закрепване на тръбите на елементите към трегера става посредством скоби, които може да изработи всеки шлюсер. Безусловно би трябвало да се избягва пробиването на тръбите на елементите, понеже се намалява здравината им. На фиг. 16.11 е показано как може да се закрепят стабилно елементът към носещата стрела, без да се пробиват тръбите. Всички метални части трябва да се покрият с антикорозионна смес.

Когато е необходимо да се използват обтяжки (при прекомерно провисване на елементите), за препоръчване е те да са изготвени от дедерон. Такива обтяжки са здрави, изолират отлично и са устойчиви на атмосферни

въздействия. По магазините се продават въжета за сушене на пране с дебелина около 2,5 mm, изработени от дедерон. Още по-подходящо е стъкловлакното с пластмасова обхвивка, защото то не се разтяга.

## 16.6. Закрепване на насочената антена към носещата мачта

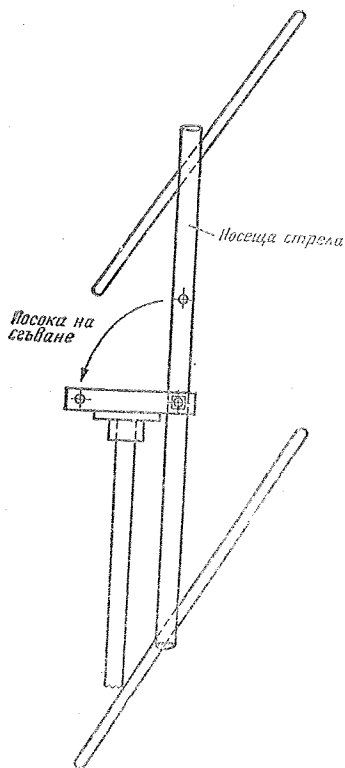
За носеща мачта са подходящи стоманени тръби със съответния диаметър (поинковани водопроводни тръби, тръби за газопроводи или паропроводи). Понякога могат да се намерят и подходящи свързващи фланци. Както е показано на фиг. 16.13, в края на тръбата се завива един фланец с възможно по-голяма площ, към който е заварен П-образен винкел от стоманена ламарина. Този винкел служи за опора на хоризонталната носеща стрела, която се фиксира в окончателното си положение чрез два здрави болта. Фланецът също трябва да се осигури срещу самопроизволно развиване.

Една такава конструкция има предимството, че антената може да се слобии на земята и след това да се изтегли нагоре по носещата мачта, докато дупката, пробита в центъра на тежестта на носещата стрела, съвпадне с една от дупките, пробити на П-образния винкел. В тази дупка се прокарва единият болт и за начало антената се закрепва в положението, показано на фиг. 16.14.

След това антената се завърта до хоризонтално положение и се фиксира окончателно с втория болт. Освен простото монтиране тази конструкция има и предимството, че целият насочен излъчвател винаги може да бъде завъртян във вертикално положение чрез отстраняване на единия или другия болт. По този начин се създават удобства за провеждане на необходимите работи по антената.

## 16.7. Носещи стрели, изработени от дърво

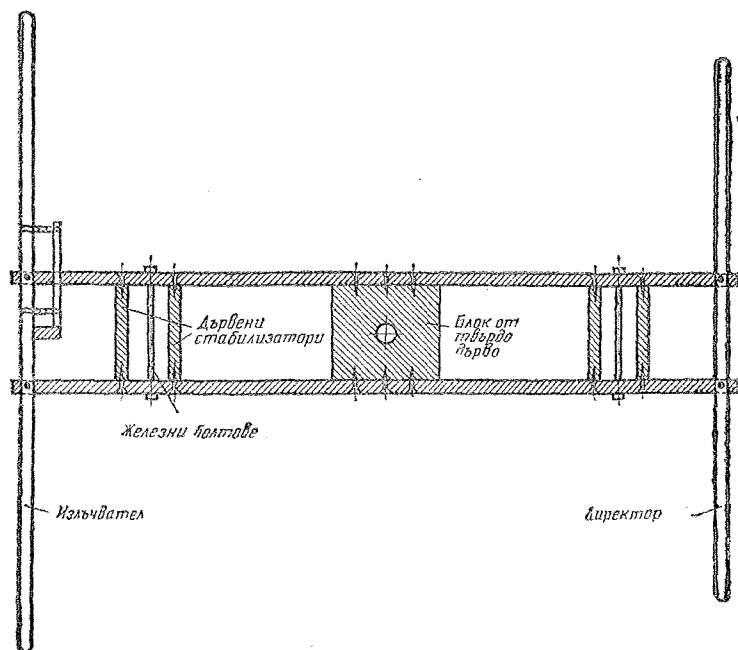
В много случаи радиолюбителят е принуден да изработи носещата стрела на насочената антена от дърво. Подходяща за използване е отлежалата смърчова или борова дървесина. Съ-



Фиг. 16.14. Закрепване на насочения излъчвател към носещата мачта

ществуват различни възможности за направа на стабилни носещи стрели от дърво. Една от тях е показана на фиг. 16.15.

Закрепването на елементите към дървената стрела става, като се използват и изолатори. Обаче елементите могат да се закрепят и направо с обикновени скоби, като в мястото на закрепване се увиват в тънко *полиетиленово фолио*. Блокът от твърдо дърво, намиращ се в средата на носещата стрела, поема носещата мачта. В случай на нужда той може да се заздравя чрез покритие от стоманена ламарина, което обхваща и носещата стрела. За да се осигури възможно най-продължителна работа на цялата конструкция, тя трябва старателно да се импрегнира. В този случай също е възможно да се реализира целометалическа конструкция, за



Фиг. 16.13. Тререр, изработен от дърво

да се осигури гръмозащита. За целта геометричната среда на всеки елемент се свързва със средата на другите елементи посредством широка метална лента или чрез дебел проводник. Този

проводник (или метална лента) се закрепва с винт към заземената стоманена носеща мачта, като във всички случаи трябва да се осигури добър контакт в точката на свързване.

## 17. Насочени антени със скъсени елементи

Насочените антени с намалени размери възбуждат нарастващ интерес у ентусиасти-радиолюбители, които поради липса на достатъчно място или по други съображения не могат да си позволят изработването на една насочена антена с нормални размери. Известни са различни конструкции, които работят с повече или по-малко скъсени елементи.

Общо взето, всяка антена може да се скъси механически достатъчно силно, стига обаче едновременно с това да се вземат мерки за компенсиране на намаляването на капацитета и индуктивността, предизвикано от скъсяването, за да се възстанови първоначалната резонансна честота на антената. В повечето случаи механическото скъсяване на антената се компенсира чрез индуктивности (бобини или отрязъци от двупроводни линии), които се включват в точките, в които има максимум на тока, или в близост до тях. Понякога се използват капацитивни товари, които се включват в края на елементите (*в максимум на напрежението*) и които представляват ламаринени шайби или други структури с голям капацитет.

Едно скъсяване на естествената дължина на излъчвателя *винаги* обуславя по-голямо или по-малко влошаване на излъчвателните му свойства; ако това не беше така, не биха съществували никакви особени антенни проблеми. Преди всичко скъсяването на антената предизвиква намаляване на усиляването и на широчината на пропусканата честотна лента.

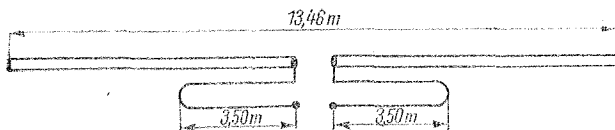
Съществува едно приблизително правило, което гласи, че широчината на пропусканата честотна лента и съпротивлението на излъчване спадат пропорционално на квадрата на коефициента на скъсяване. Това означава напр., че скъсяването на един дипол до  $2/3$  от неговата естествена дължина ще

предизвика спадане на съпротивлението на излъчване и на широчината на пропусканата честотна лента до стойност, възлизаща на  $4/9$  от нормалната.

В първо приближение спадането на усиляването се дължи на това, че една част от излъчващия елемент се замества от бобина. Полето, излъчено от тази бобина, е много по-малко от това, което би излъчил заместеният от нея отрязък от антенния проводник. Така разпространението на електромагнитното поле около антената, общо взето, се ограничава и ефективността на излъчването намалява.

Когато става дума за една приемна антена, обяснението е, че антенният проводник може да отнеме от заобикалящото го електромагнитно поле само толкова енергия, колкото съответствува на ефективната му повърхност. Тъй като едно пространствено скъсяване на антената е равнозначно на намаляване на нейната ефективна повърхност, трябва да намалее също и приетата енергия.

Намаляването на излъчването, съответно намаляването на ефективната повърхност на антената е свързано със спадане на съпротивлението на излъчване. С това се стеснява пропусканата честотна лента и се увеличават загубите в антенния проводник (големи токове). При насочените излъчватели с пасивни елементи съпротивлението на излъчване и без това е малко, но при скъсяване на елементите то може да спадне до  $5\ \Omega$ . Ако загубното съпротивление, внесено главно от удължителните бобини, възлиза също на  $5\ \Omega$  (което е една съвсем реална стойност), коефициентът на полезно действие на антената става само 50%. За да се поддържат тези допълнителни загуби в проводника на възможно най-ниско ниво, би трябвало удължителните бобини да бъдат с извънредно голям качествен фактор. Токовете, които протичат при малкото



Фиг. 17.1  
Скъсена антена за об-  
хвата 40 m с удължа-  
ващ шлейфов

съпротивление на излъчване на антената, са много големи. Затова повърхността на проводника на удължителните бобини трябва да е възможно най-голяма и да бъде с много добра проводимост (скинефект). Няма особена полза от това бобината да се измести от мястото, в което токът е максимален. Тогава нейното удължаващо действие отслабва, следователно би трябвало да се увеличи броят на навивките и в крайна сметка загубите няма да са по-малки.

Удължителните бобини нарушават синусоидалното разпределение на тока и напрежението по дължината на антенния проводник и влияят върху характеристиката на насочено действие. Единственото свойство на насочените антени, което се запазва до голяма степен непроменено при скъсяване на елементите им, е потискането на излъчването в обратна посока. Когато коефициентът на полезно действие има второстепенна роля, но се изискват малогабаритност и голяма степен на насоченост (напр. при антените за „лов на лисици“), тогава излъчвателите с пространствено скъсени елементи имат определени предимства. Късовълновите антени, монтирани върху превозни средства, почти винаги се настройват в резонанс с помощта на удължителни бобини. Изобщо винаги е по-добре, когато няма възможност да се построи нормален насочен излъчвател да се използва такъв със скъсени елементи, отколкото някаква друга временна антена.

Удължителните бобини, разположени при максимума на тока, могат да се заместят много успешно от линейни удължителни елементи. Фирмата *Hu Gain* произвежда насочена антена за обхвата 40 m с пространствено скъсени елементи, като използва този принцип. Активният елемент на тази антена е показан на фиг. 17.1. Двата шлейфа — те са направени от меден проводник с диаметър около 2 mm — допринасят за това общата дължина на полувълновия елемент за обхвата 40 m да бъде вместо 20,50 m само 13,50 m. Това

представлява едно скъсяване до около 65% от нормалната дължина. Линейните удължителни елементи предизвикват по-малки загуби, отколкото обикновените удължителни бобини; спадането на съпротивлението на излъчване изглежда също е по-малко, защото коефициентът на стоящи вълни за една двуселементна насочена антена, скъсена по този начин, не надвишава 2 в целия 40-m обхват.

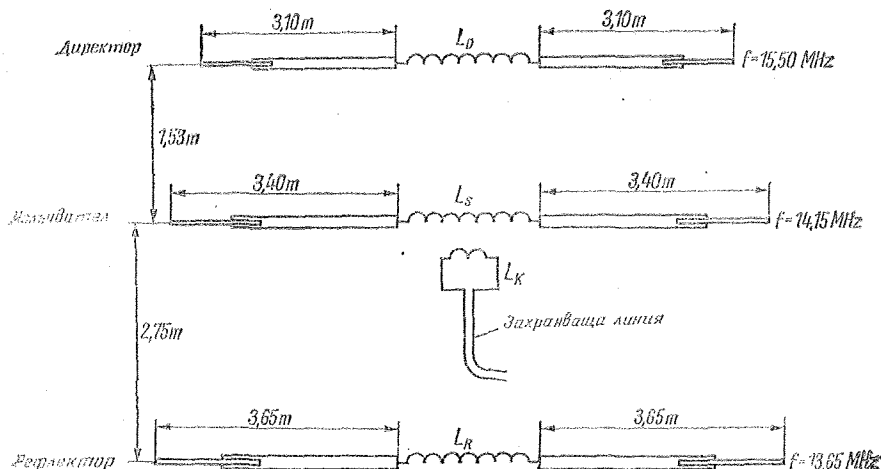
Скъсяващи капацитети се използват предимно при вертикалните антени под формата на върхови удължителни капацитети. Те рядко се използват при хоризонталните въртящи се насочени антени, защото натежават в края на антената и я претоварват механически (имат лостово действие).

### 17.1. Скъсена насочена антена *VK2AOU*

*VK2AOU* публикува описанието на една скъсена триелементна насочена антена за обхвата 20 m, която лесно може да бъде построена по описанието, тъй като в него са дадени съвсем подробни данни за размерите.

Една нормална триелементна Яги-антена за обхвата 20 m изисква за построяването си свободна площ от 65 m<sup>2</sup>. При антената със скъсени елементи е необходима свободна площ от само 32 m<sup>2</sup>. Антената *VK2AOU* със скъсени елементи има почти същото усилване, малко по-малка широчина на пропусканата честотна лента, но по-голямо потискане на сигнала в обратна посока, отколкото антената с нормални размери. На фиг. 17.2 е показана схематично антената със скъсени елементи. Нейните размери са предложени от *VK2AOU*.

Резонансните честоти за отделните елементи трябва да се измерят с грид-диметър, когато антената е монтирана в работно положение. Естествено настройката на антената, монтирана върху висока мачта, е съвсем неудобна, ако не невъзможна. Затова *VK2AOU*



Фиг. 17.2. Скъсена насочена антена за 20 m VK2AOU. Размери на удължителните бобини:

$L_D = 9$  нав., дължина на бобината 6,5 см, диаметър на бобината 6 см;

$L_S = 11$  нав., дължина на бобината 8,0 см, диаметър на бобината 6 см;

$L_R = 10$  нав., дължина на бобината 7,5 см, диаметър на бобината 6 см;

$L_K = 3$  нав., дължина на бобината 5,0 см, диаметър на бобината 10 см

( $L_K$  е навита свободно върху  $L_S$ ).

Проводници: за  $L_D$ ,  $L_S$  и  $L_R$  се използват алуминиеви или медни проводници (или CuAg) с диаметър  $\geq 3$  mm; за  $L_K$  — медни или CuAg проводници с диаметър, по-голям или равен на 3 mm

извършва настройката, като закрепва антената на височина 1,8 m над земята. Разбира се, при тази „работна височина“ трябва да се има предвид капацитивното въздействие на земята. При почва с добра проводимост изместването на честотата е приблизително 300 kHz към по-ниските честоти. Когато почвата е по-малко проводима, влиянието би трябвало да е по-слабо. При построяването на тази антена винаги се използва удобната възможност настройката да се извърши от земята. Елементите трябва да се настроят с помощта на гриддипметър приблизително на следните резонансни честоти:

Директор	15,20 MHz
Активен елемент	13,90 MHz
Рефлектор	13,40 MHz

Трябва да се внимава винаги при настройката на един от елементите другите да са разстроени (като се дадат на късо удължителните бобини) — по този начин се избягва взаимното влияние.

След тази груба настройка следва в същност истинската фина настройка.

Антената със скъсени елементи при настройка от земята се възбужда с резонансната честота на активния елемент, т. е. със сигнал с честота 13,90 MHz. Едновременно на възможно най-голямо разстояние от излъчвателя и на същата височина над земята се поставя един обикновен измерител на напрегнатостта на полето. След това чрез незначително изменение на дължините на елементите или на удължителните бобини на рефлектора и директора се извършва настройка за най-добро излъчване в посока напред и най-голямо потискане на сигнала в посока назад. Като индикатор се използва измерителят на напрегнатостта на полето. Трябва още да се спомене, че не е необходимо елементите да се изработват така, че да се променя дължината им. Чрез съответното изменение на удължителните бобини (свиване или разтягане) може да се постигне същият ефект на настройка.

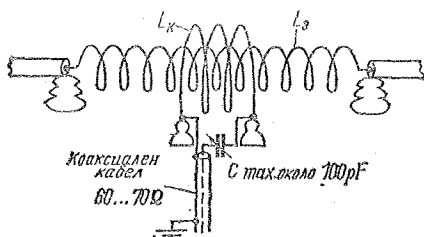
Размерите, дадени на фиг. 17.2, са изпробвани практически. Дължините на тръбите могат да бъдат увеличени, като едновременно с това се намалят удължителните бобини. Така усиляването

на антенната се увеличава до известна степен. Скъсените тръби и увеличените удължителни бобини предизвикват спадане на усиляването и по-нататъшно намаляване на широчината на пропусканата честотна лента. Ако отделните отрязъци от тръби станат по-малки от около 2,50 m, усиляването на антенната спада много силно.

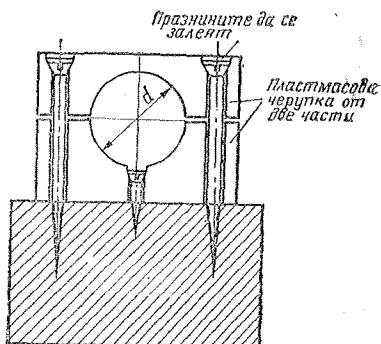
Диаметърът на тръбите може да бъде между 20 и 40 mm и се определя изключително от механични съображения. Електрическите изменения, които се появяват заради различните диаметри на тръбите, са съвсем незначителни и се компенсират при настройката.

Удължителните бобини трябва да имат голям качествен фактор. Те са с въздушна изолация и се изработват от алуминиев проводник с диаметър най-малко 3 mm. Посребреният меден проводник има по-добри електрически свойства, но е трудно да се осигури качествено дълготрайно свързване между бобината, изработена от меден проводник, и елемента от лек метал. При навлажняване възниква корозия, защото в мястото на свързване се образува електрохимичен елемент; като последствие контактът се влошава. Бобината за връзка  $L_K$  е изработена от меден проводник, тъй като свързаният към нея захранващ кабел също е от меден проводник. Бобината за връзка е разположена върху удължителната бобина на активния елемент.

Захранването на насочената антенна система се извършва чрез индуктивна връзка, което позволява при съответното оразмеряване на бобината за връзка да се постигне съгласуване към захранващи кабели от всякакъв вид и с произволно вълново съпротивление. Бобината за връзка със свързан към нея захранващ кабел оказва обратно



Фиг. 17.3. Подобрено индуктивно съгласуване



Фиг. 17.4. Разрез на изолатор за закрепване на антенни елементи; отворът  $d$  съответствува на диаметъра на тръбата на елемента

въздействие върху удължителната бобина и с това измества малко резонансната честота на излъчвателя. Необходимо е незначително донастройване на захранвания елемент.  $VK2AOU$  е определил данните на бобината за връзка  $L_K$  при използване на лентов или коаксиален кабел с вълново съпротивление 70 Ω. Тези данни могат да се използват и за коаксиален кабел с вълново съпротивление 60 Ω. Ако се използва лентов кабел с вълново съпротивление 240 Ω, трябва да се увеличи броят на намотките. С незначително изменение на размерите на бобината за връзка може да се постигне коефициент на стоящи вълни, по-добър от 1,3. Реактивните компоненти, които се внасят чрез индуктивната връзка, могат да се компенсират чрез допълнителен променлив кондензатор, както е показано на фиг. 17.3. Така коефициентът на стоящи вълни в захранващата линия се намалява още повече.

Всички елементи трябва да се монтират върху носещата рама, като се изолират. Ако носещата стрела е от дърво, подходяща е конструкцията, показана на фиг. 16.15. Подходящи дистанционни изолатори, които са снабдени със съответните скоби (за закрепване на елементите), могат да се намерят съвсем рядко. Добри възможности за закрепване предлагат изолаторите от влагоустойчиви пластмаси (полиетилен и др.), които обхващат тръбата на елемента като черупка на лагер. Един такъв изолатор е показан на фиг. 17.4. Диаметърът  $d$  съответствува



на диаметъра на тръбата, от която е изработен закрепваният елемент. За да може да се закрепят по-добре елементите, в мястото на закрепване те се увиват с един или повече слоеве от полиетиленово фолио или от подобен материал. Така се създава в същото време и един отличен допълнителен изолатор. За една триелементна антена със скъсени елементи са необходими всичко 12 такива изолационни блока. Върху носещата стрела (фиг. 16.15) на съответно разстояние една от друга (2,75 и 1,53 м) се разполагат три напречни летви. Те служат за закрепване на елементите на антената. Дължината на носещата стрела, изработена от дърво, е около 4,30 m.

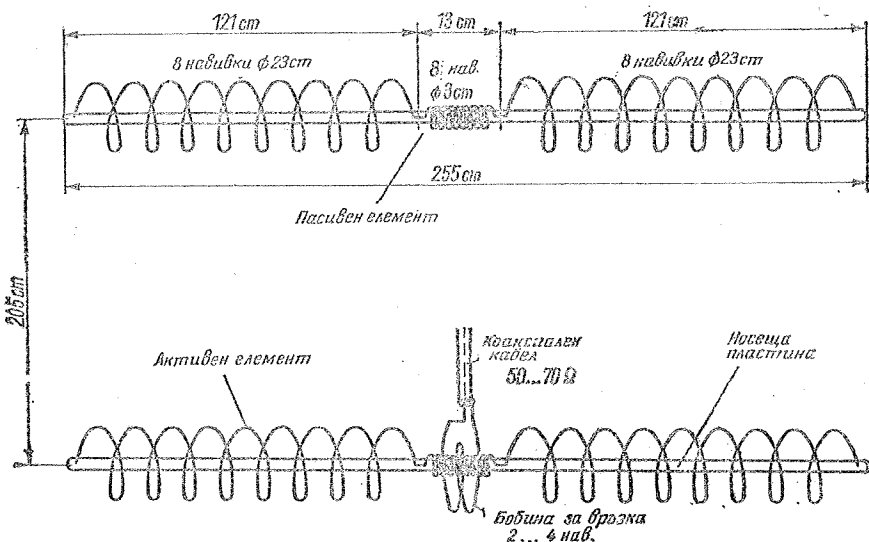
17.2. Насочена антена със скъсени  
елементи, предложена  
от W8YIN

При тази двуслементна насочена антена за обхвата 20 m елементите са навити във формата на спирала. За това всеки от елементите има надлъжен размер 2,55 m. На фиг. 17.5 са показани размерите на антената, съобщени от *W8YIN*, а на фиг. 17.6 — една прак-

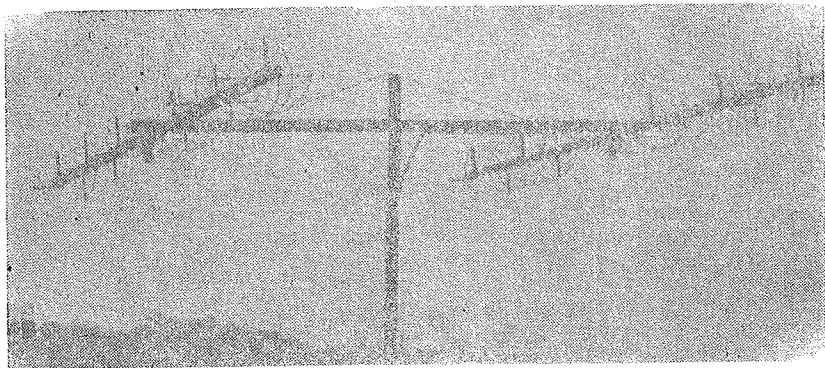
тически конструкция. Спиралите се навиват около един тънък прът и са отделени от него посредством подпорки от изолационен материал. За изработването на спиралите се използват възможно най-дебели проводници, за да бъдат загубите в проводника на антената минимални; предпочитат се алуминиеви проводник, който е с малко тегло. Неговата проводимост не е чувствително по-малка от тази на медта. Препоръчва се използването на проводници с диаметър най-малко 4, още по-добре 6 mm или на ленти от лек метал с възможно най-голяма ширина.

Разстоянието между елементите възлиза на 0,1  $\lambda$ , т. е. на около 2,05 m. Пасивният елемент е директор; това трябва да се вземе предвид при настройването на антенната система. W8YIN дава еднакви размери за активния и пасивния елемент. Настройката на директора се извършва чрез малки изменения на намотките на спиралата. Свързването на коаксиалния захранващ кабел става индуктивно чрез бобина за връзка.

При предварителната настройка на антената гриддиаметърът е незаменяем. Когато активният елемент покаже ре



Фиг. 17.5. Насочена антена със скъсени елементи за обхвата 20 м, предложена от W8YIN

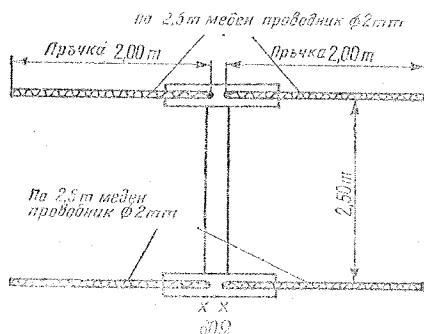


Фиг. 17.6. Практическа конструкция на антена *W8YIN*

зонанс, напр. за честота 14 100 kHz, директорът трябва да се настрои на резонансна честота 14 500 kHz.

Когато елементите на антената са скъсени толкова много, не може да става дума за някакво усилване в сравнение с полуълнов дипол с нормални размери. Макар че антената *W8YIN* може да се разглежда като помощно решение, на практика тя превъзхожда полуълновия дипол поради голямото затихване на излъчването в обратна посока.

В съответствие с наличното свободно пространство навивките на спиралата могат да се разпънат или да се притиснат една до друга. Когато дължината на елементите е по-голяма, свойствата на антената се подобряват.



Фиг. 17.7. Скъсен въртигън се насочен излъчвател за обхвата 10 m

### 17.3. Скъсен въртигън се насочен излъчвател за обхвата 10 m

Една особено лека антенна конструкция от описания тип се получава, ако за носачи на спиралите се използват рибарски пръчки от полиестерни смоли, усилен със стъклоплакно (фибростъкло). Тъй като те самите са много добър изолатор, спиралните навивки се разполагат направо върху пръчките. При един двуселектен насочен излъчвател за обхвата 10 m за всеки от елементите се използват по две рибарски пръчки с дължина 2 m. За да се получи резонанс на честота 29 MHz, всяка от пръчките се обвива равномерно с меден проводник с дължина 2,20 m и диаметър 2 mm. Върху всяко рамо на рефлектора по същия начин се намотават по 2,50 m от същия тип проводник. В геометричната среда на рефлектора двата края на проводниците се свързват един с друг.

Разстоянието между активния и пасивния елемент трябва да бъде 2,50 m, тогава входното съпротивление на антената е 60  $\Omega$ , така че може направо да се включи коаксиален захранващ кабел с вълново съпротивление 60  $\Omega$ . Настройката, както вече беше казано, се извършва с помощта на гриддин-метър. Ако резонансната честота трябва да стане по-ниска, в близост до максимум на тока навивките на спиралата се притискат по-близо една до друга; в противния случай навивките се отдаляват една от друга. Най-добре е

настройката да се извърши при излъчваща антена, като навивките на спиралата около максимума на тока се изместват, докато индикаторът на напрегнатостта на полето покаже най-голямо излъчване в права посока или най-голямо потискане на излъчването в обратна посока.

Тъй като елементите на тази антена

имат дължина, равна на около  $4/5$  от нормалната, нейните свойства са много близки до тези на една нормална двueleментна насочена антена. Все пак, като се имат предвид тънките антенни проводници, трябва да се очакват по-големи загуби в антенния проводник и намалена широчина на пропускателната честотна лента.

## 18. Многообхватни насочени антени

Който иска да работи във всички DX-обхвати с въртящи се насочени излъчватели, би трябвало всъщност за всеки обхват да разполага с отделна антена. Много малко от радиолюбителите обаче могат да си позволят такива разходи. Затова никога не са липсвали опити да се конструира хоризонталният въртящ се насочен излъчвател така, че да е приложим за два или три любителски обхвата. Намерени са различни решения, които донесоха очакваните успехи.

Трябва да се прави разлика между два напълно различни вида многообхватни антени. Едната група антени, които не могат да бъдат наречени истински многообхватни антени, се състои от група от повече антени за различните обхвати, закрепени към една обща носеща конструкция. Понякога различните антенни системи се възбуждат чрез обща захранваща линия, но в повечето случаи всяка антена има свой собствен захранващ кабел. Типичен представител на тази група е триобхватният „двоен квадрат“.

При истинските многообхватни антени се използва само една излъчвателна система. Тя работи на принципа на резонансен кръг, който може да се настрои в широк честотен обхват. Двете групи антени имат предимства и недостатъци.

Многообхватните антени с няколко включени заедно антенни системи са донякъде безформени; те обаче — доколкото в случая се касае за рамкови антени — могат да бъдат изработени от обикновен жичен проводник, имат добър коефициент на полезно действие за всички обхвати и могат лесно да се настройват. Затова при самостоятелното построяване на многообхватни въртящи се насочени излъчватели все по-често се предпочитат такива триобхватни рамкови антени. Истинските многообхватни въртящи се насочени

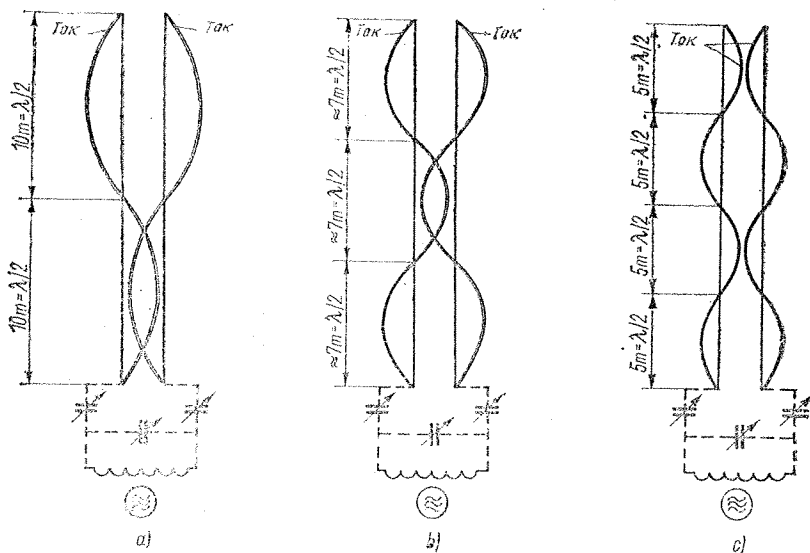
излъчватели изискват понякога висока механична и електрическа прецизност. Общо взето, те достигат коефициента на полезно действие на една нормална еднообхватна антена само в един любителски обхват, за останалите обхвати показателите ѝ са по-ниски. Тези истински многообхватни антени често съдържат описаните в предишния раздел 17. удължителни бобини, линейни удължителни елементи и режекторни кръгове. Те също внасят допълнителни загуби, което още веднъж потвърждава, че истинските многообхватни антени винаги представляват повече или по-малко разумен компромис. Все пак такива многообхватни излъчватели, които за построяването си изискват малко свободно пространство, често са единствената конструкция, годна да осъществи прилични DX-радиовръзки. Опитните радиолюбители разбират, че при DX-връзките номиналното усилване на антената има по-малко значение, отколкото цялостната характеристика на насочено излъчване, при което най-важен е ъгълът на възвишение във вертикалната равнина.

### 12.1. Триобхватен въртящ се насочен излъчвател G4ZU

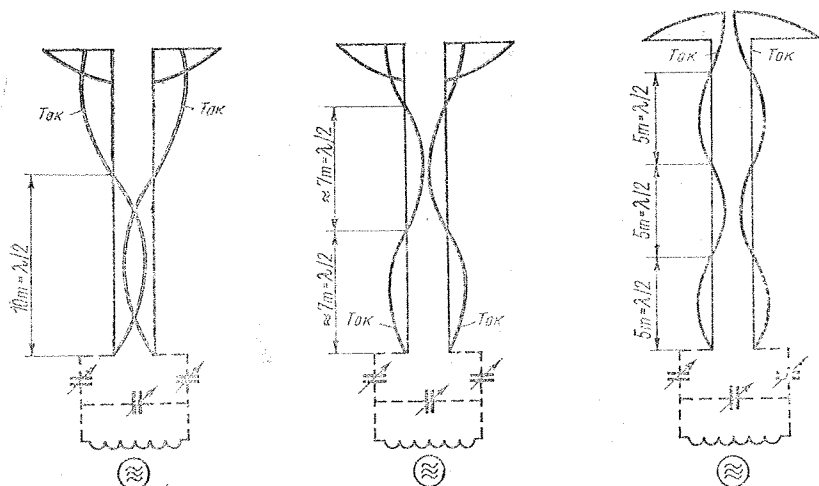
G4ZU е разработил една триобхватна насочена антена, която по отношение на механичната изработка, простото настройване и ефективността може да се разглежда като една от най-удачните истински многообхватни антени. Тази въртяща се насочена антена в Англия се произвежда фабрично под името *Panda-Beam* и се радва на голяма популярност.

#### 12.1.1. Активен елемент

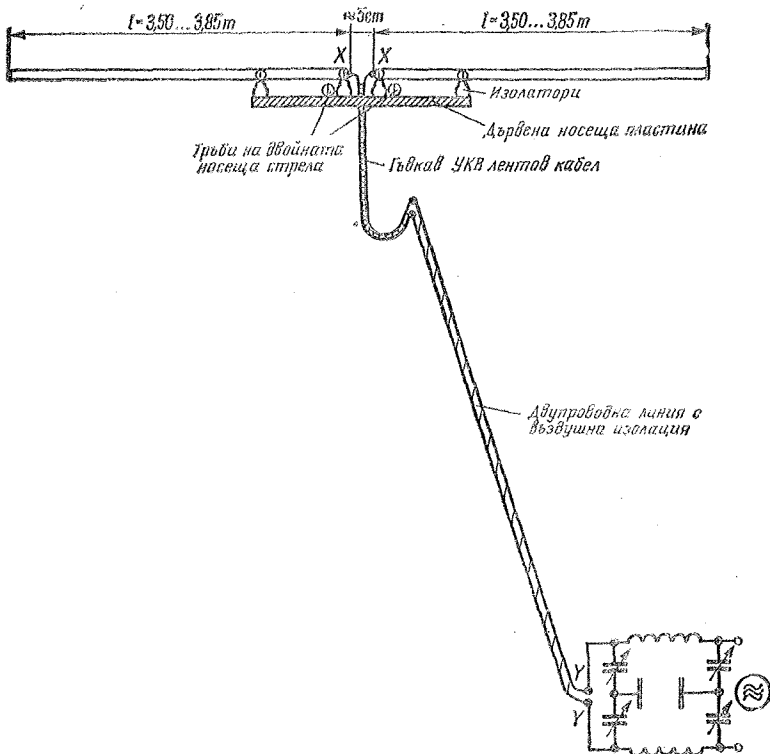
В този случай се прилага начин на захранване, който, общо взето, не е



Фиг. 18.1. Двупроводна линия с дължина 20 m; а — възбудена с дължина на вълната  $2 \times \lambda/2$  ( $\approx 20$  m), б — възбудена с дължина на вълната  $3 \times \lambda/2$  ( $\approx 15$  m), с — възбудена с дължина на вълната  $4 \times \lambda/2$  ( $\approx 10$  m)



Фиг. 18.2. Използуване на 20 m Лекерова линия чрез разгъване на краищата на дължина 3,50 m; а — възбудяне с дължина на вълната 20 m (14 MHz), б — възбудяне с дължина на вълната 15 m (21 MHz), с — възбудяне с дължина на вълната 10 m (28 MHz)



Фиг. 18.3. Активен елемент на насочена антена GAZU

обичаен за Яги-антените: захранването става чрез настроена линия. За да се разбере начинът на действие, трябва най-напред да се види разпределението на тока в една двупроводна Лехерова линия с дължина 20 m (фиг. 18.1). Както се вижда от фигурата, при тази двупроводна линия съществува резонанс при дължина на вълната 20 m, 15 m и 10 m. Малката неточност в размерите, необходимостта за получаването на резонанс в линията при различните дължини на вълните, се отстранява с помощта на универсално устройство за настройка. Ако в горния край на линията под прав ъгъл се разтворят две нейни части с еднаква дължина, разпределението на тока не се изменя, но отворените части могат да образуват симетричен дипол, който излъчва електромагнитни вълни (фиг. 18.2). Представянето на токовете на фиг. 18.1 и

фиг. 18.2 не е съвсем точно, тъй като чрез настройващия уред цялата конструкция се настройва точно в резонанс. При това не винаги в долния край на линията има възел на тока. Това обстоятелство не е взето предвид, за да се получи по-голяма нагледност. От фиг. 18.2 може да се види, че във всички представени случаи трябва да се постигне резонанс независимо от това, че разтвореният отрязък на излъчвателя сам за себе си не е в резонанс с работната честота. Така да се каже, част от излъчвателя е „пхнат“ в захранващата линия. Винаги трябва да се знае, че съществува загуба на излъчена мощност, особено когато разтворените излъчващи отрязъци са много по-къси от  $\lambda/2$ .

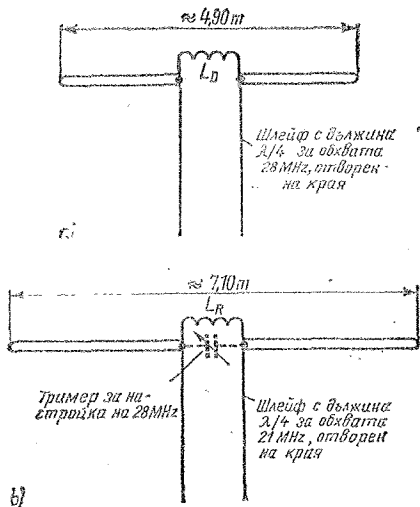
На практика активният елемент се оразмерява с дължина 2 пъти по 3,65 до 3,85 m и с това той приблизително

се настроява в резонанс за дължина на вълната 15 m. За дължината на настроената захранваща линия остават още точно 16,5 m, при което точният резонанс винаги се установява с помощта на настройващ уред в долния край на захранващата линия.

Захранващата линия може да има външно съпротивление между 300 и 600  $\Omega$  и би трябвало да е с възможно най-малко загуби. Целесъобразно е да се използва двупроводна линия с въздушна изолация. Възможно е да се осъществи и захранване посредством УКВ лентов кабел, но това увеличава загубите. В този случай трябва да се вземе предвид и коефициентът на скъсяване (около 0,80; за линията остават следователно около 13,50 m). Тъй като преходът между въртящата се антена и неподвижно монтираната захранваща линия трябва да е гъвкав, за целта се използва едно късо парче от лентов кабел с външно съпротивление 300  $\Omega$ . Различният коефициент на скъсяване и свързаното с него изменение на електрическата дължина на захранващата линия най-често се изравняват посредством уреда за настройка.

Когато долният край на захранващата линия се свърже към крайното съгласно из предавателя посредством Колинс-филтър (фиг. 18.3), дължината на настроената захранваща линия няма толкова голямо значение. Един такъв нискофреkwотен филтър прави възможна не само лесната настройка на цялата антенна система, но и допринася за потискане на висшите хармонични. Това потискане на висшите хармонични има значение особено при работа на няколко обхвата, защото антената е настроена в резонанс и за честоти, кратни на основната работна честота.

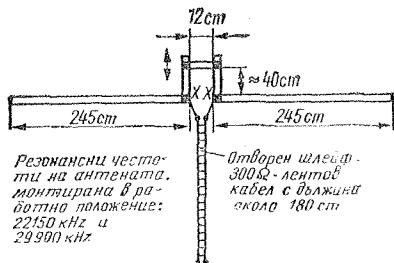
На фиг. 18.3 е показан активният елемент на една насочена антена *G4ZU*, работеща в три обхвата, заедно с механичното му закрепване и захранването. Използваният отрязък има дължина, малко по-голяма от  $\lambda/2$  при работа на вълна 15 m. При работа в обхвата 10 m той представлява скъсен целовълнов елемент, а при работа в обхвата 20 m — скъсен полувълнов елемент. Съпротивлението в точките XX за различните работни честоти е съвсем различно и съдържа реактивни компоненти. Затова трябва да се използва настроена захранваща линия.



Фиг. 18.4. Пасивни елементи на многообхватна антена; а — директор за честоти 21 MHz и 28 MHz, б — рефлектор за честоти 14 MHz, 21 MHz и 28 MHz

### 18.1.2. Пасивни елементи за няколко обхвата

На фиг. 18.4а е показан един елемент, който чрез поставянето на удължителна бобина и на отворена четвъртвълнова линия получава качествата на директор за честоти 21 MHz и 28 MHz. Този елемент има обща дължина 4,90 m и е оразмерен за директор в обхвата 10 m. Бобината  $L_D$ , включена в геометричната му среда, предизвиква електрическо удължаване на елемента и той може да се използва като директор и в обхвата 15 m. Трябва обаче да се направи така, че при работа на вълна 10 m тази бобина да се изключи, без да се губи действието ѝ при работа в обхвата 15 m. Това се постига, като паралелно на удължителната бобина  $L_D$  се включва една отворена двупроводна линия, която има електрическа дължина  $\lambda/4$  при честота 28 MHz. От фиг. 5.29 може да се види, че една отворена двупроводна линия с дължина  $\lambda/4$  действа като последователен трептящ кръг. Както е известно, последователният трептящ кръг има много малко проходно съпротивление за сигнал с резонансна честота, докато всички останали че-



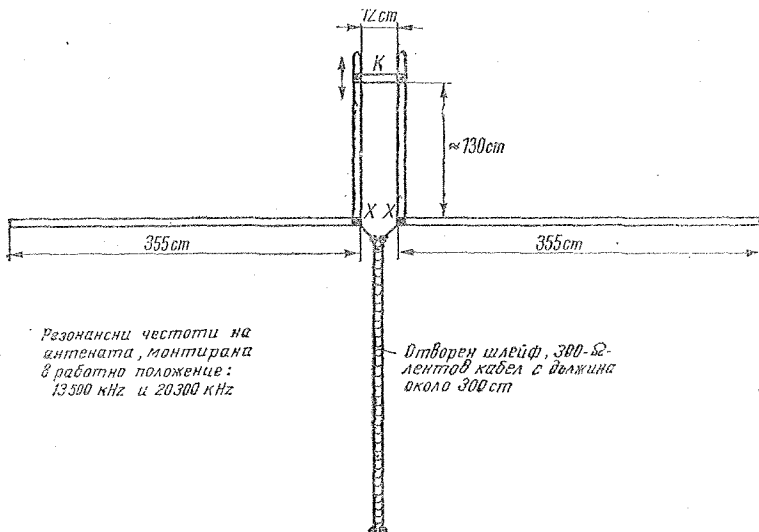
Фиг. 18.5. Директор на насочената антена G4ZU

стоти се потискат повече или по-малко. Затова един такъв кръг, изработен от двупроводна линия, може да се разглежда при резонансната му честота като късо съединение, което шунтира удължителната бобина при честота 28 MHz. При работа в обхвата 15 m отворената двупроводна линия има дължина, по-малка от  $\lambda/4$ , и според фиг. 5.29 влияе като капацитет, който само трябва да се има предвид при оразмеряването на удължителната бобина. Така четвъртвълновата отворена линия се използва като честотно зависим автоматичен ключ, който прави възможна работата на директора на два обхвата.

Индуктивността на удължителната

бобина може да бъде реализирана и чрез една двупроводна линия с електрическа дължина, по-малка от  $\lambda/4$ , която е дадена на края на късо (вж. фиг. 5.29). По този начин е получен директорът на насочената антена G4ZU, показан на фиг. 18.5.

Рефлекторът, показан на фиг. 18.4b, има дължина около 7,10 m и заедно с отрязъка от двупроводна линия, който за честота 20 MHz има дължина  $\lambda/4$ , действува като рефлектор за обхвата 15 m. Удължителната бобина  $L_D$  служи за настройка на рефлектора в резонанс за обхвата 20 m. По същия начин, както при директора, удължителната бобина при работа на честота 21 MHz се дава на късо посредством отрязък от двупроводна линия с дължина  $\lambda/4$ . При възбуждане на антената със сигнал с честота 14 MHz бобината работи, като е натоварена с един малък капацитет от страна на двупроводната линия. Макар че рефлекторът е твърде дълъг за обхвата 28 MHz, и в този обхват той работи сравнително добре. Един рефлектор не трябва безусловно да бъде настроен, достатъчно е той да бъде с по-голяма електрическа дължина от активния елемент. Пример за това са рефлекторните платна. При тази конструкция също има възможност многообхватният рефлекторен еле-



Фиг. 18.6. Рефлектор на насочената антена G4ZU



мент да се настрои като двоен рефлектор за честота 28 MHz. За тази цел, както е начертано на фиг. 18.4b с прекъснати линии, паралелно на удължителната бобина се включва още един тример-кондензатор. Сега отворената четвъртвълнова линия действа като индуктивност, защото тя има резонансна честота 20 MHz. За честота 28 MHz електрическата дължина на отрязъка от двупроводна линия е по-малка от  $\lambda/4$ . Тази индуктивност е включена паралелно на удължителната бобина  $L_D$  и затова общата индуктивност е много малка (закон на Кирхоф). При подходящо положение на тример-кондензатора е възможно да се постигне паралелен резонанс, като всяко рамо на дипола се превърща в един настроен рефлектор. Тази възможност, общо взето, се използва рядко, защото настройката е твърде усложнена. При това удължителната бобина също трябва да се промени. Но и без особено точна настройка за честота 28 MHz съществува рефлекторно действие на елемента и незначителното му подобрене в никакъв случай не компенсира допълнителната работа за настройка на антената.

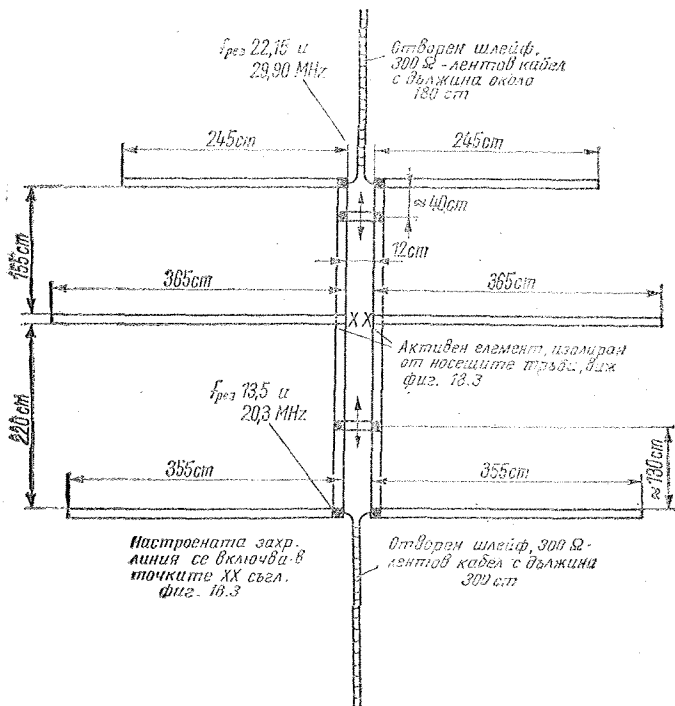
Индуктивността на удължителната бобина на рефлектора може да бъде реализирана и чрез един шлейф, даден на края на късо, както е показано на фиг. 18.6. Дължината на шлейфа е около 130 cm и чрез подвижния мостчета се подбира така, че да се получи резонанс при честота 13,5 MHz. Отвореният четвъртвълнов шлейф трябва да се оразмери за резонансна честота 20,3 MHz. На 20,3 MHz съответства дължина на вълната 14,778 m, следователно  $\lambda/4$  е равна на около 3,70 m. Тъй като вместо отворена двупроводна линия с въздушна изолация е използван УКВ лентов кабел, трябва да се вземе предвид и коефициентът на скъсяване на кабела, който е от 0,80 до 0,82. Така се получава съответната геометрична дължина на шлейфа, приблизително равна на 3 m. За изработването на този четвъртвълнов шлейф могат да бъдат използвани и други типови кабели, но при определяне на дължината му винаги трябва да се взема предвид съответният коефициент на скъсяване. Резонансната честота се определя лесно и бързо чрез еталирани гриддипметър.

По подобен начин се оразмерява и двубухватният директорен елемент, показан на фиг. 18.5. В този случай с помощта на шлейф с дължина около 40 cm, даден на края на късо, се извършва настройката на резонансна честота около 22,15 MHz, докато отвореният четвъртвълнов шлейф е оразмерен за резонансна честота 29,9 MHz. Тъй като правият директорен елемент е твърде дълъг за обхвата 10 m, отвореният шлейф трябва да бъде скъсен малко спрямо  $\lambda/4$ , за да се получи резонанс за цялата система на 29,9 MHz. Избрана е дължина на шлейфа 180 cm, при която, като се има предвид коефициентът на скъсяване (0,80), се получава електрическа дължина на шлейфа, равна на 225 cm.

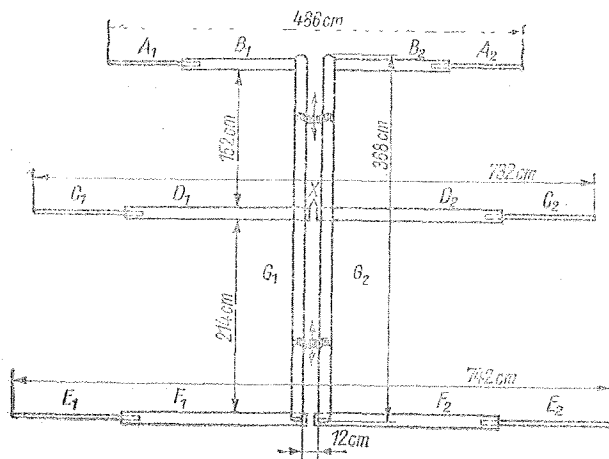
### 18.1.3. Схема на насочената антена G4ZU

Антената G4ZU е показана на фиг. 18.7. При тази конструкция са използвани цели носещи тръби, разположени на около 12 cm една от друга. Те служат едновременно и като шлейф, даден на късо, при настройката на рефлектора и директора. Активният елемент е изолиран от успоредните носещи тръби, както следва и от фиг. 18.3. Обратно, рефлекторът и директорът, както е начертано, са свързани галванически с металните носещи тръби. Естествено възможно е да се използва дървена носеща конструкция, а шлейфове да се изработят от лентов кабел или от тръба от лек метал със съответната дължина. Отвореният шлейфове от лентов кабел, които са начертани свободно висящи надолу, могат направо да се напъхат в отворения край на тръбата. Там те са защитени от атмосферни въздействия и не се виждат. Настройката също трябва да стане при това положение на шлейфове.

Директорният елемент не действа в обхвата 20 m. В този случай антената представлява скъсен двueleментен насочен излъчвател. При дължина на вълната 20 m разстоянието между активния елемент и рефлектора възлиза само на  $\lambda/10$ , настройката е доста трудна; широчината на пропусканата честотна лента и усиляването са по-малки, отколкото при една двueleментна насочена антена с нормална дъл-



Фиг. 18.7.  
Трибоелектрична антена G4ZU



Фиг. 18.8  
Схема и размери на изпробвана трибоелектрична антена G4ZU

жина. В обхвата 15 m насочената антена *G4ZU* действа с трите си елемента. Разстоянията между елементите са нормални и може да се разчита на усиление около 6 dB и на всички останали свойства на една обикновена Яги-антена с три елемента.

Най-добри качества обаче насочената антена *G4ZU* има в обхвата 10 m, защото на този обхват тя работи с удължени елементи. Усилването може да достигне 7 dB. Настройката в обхватите 10 m и 15 m не е така критична, както в обхвата 20 m.

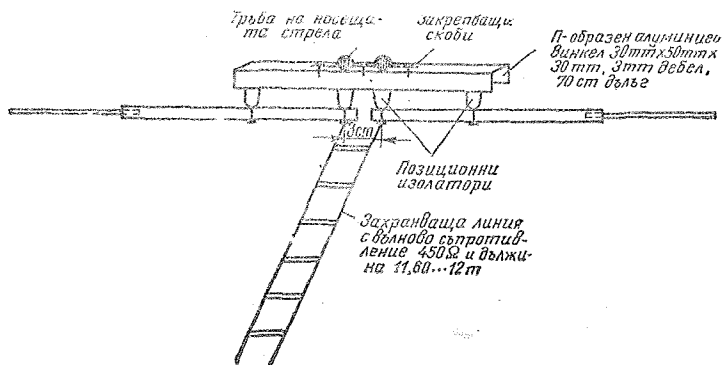
#### 18.1.4. Изпробвана триобхватна насочена антена *G4ZU*

На фиг. 18.8 са показани размерите на една изпробвана триобхватна антена *G4ZU*. Става дума за размерите на една промишлено произвеждана конструкция с доказани добри качества. По механични съображения половинките на диполите са изработени от една по-дебела и една по-тънка тръба. При това диаметрите и дължините на тръбите от лек метал са избрани така, че по-тънката външна тръба се вкарва телескопично в по-дебелата вътрешна тръба. Така освен теглото на антената се намалява и ветровото ѝ съпротивление. Механичната стабилност се подобрява. Надлъжният размер на всеки елемент определя колко дълбоко да се вкрат тръбите една в друга.

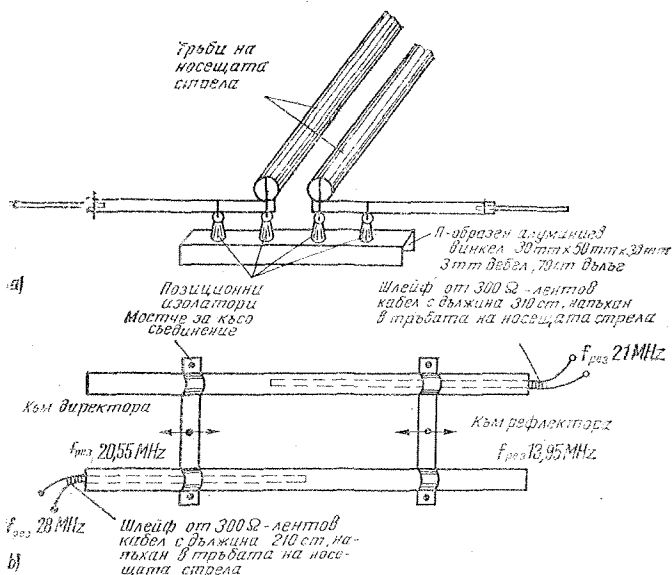
Необходимо е да се знаят следните размери на тръбите:

- $A_1, A_2$  — дуралуминиеви тръби с дължина по 125 cm, диаметър 18 mm, дебелина на стената 1 mm;
- $B_1, B_2$  — дуралуминиеви тръби с дължина по 125 cm, диаметър 22 mm, дебелина на стената 2 mm;
- $C_1, C_2$  — дуралуминиеви тръби с дължина по 175 cm, диаметър 18 mm, дебелина на стената 1 mm;
- $D_1, D_2$  — дуралуминиеви тръби с дължина по 200 cm, диаметър 22 mm, дебелина на стената 2 mm;
- $E_1, E_2$  — дуралуминиеви тръби с дължина по 185 cm, диаметър 18 mm, дебелина на стената 1 mm;
- $F_1, F_2$  — дуралуминиеви тръби с дължина по 200 cm, диаметър 22 mm, дебелина на стената 2 mm;
- $G_1, G_2$  — дуралуминиеви тръби с дължина по 368 cm, диаметър 30 mm, дебелина на стената 2 mm.

Всичките три елемента са прекъснати в геометричната си среда. Рефлекторът и директорът са свързани галванически с носещите тръби. Активният елемент е изолиран от носещата стрела, както е показано на фиг. 18.9. Като механична опора на елементите се използва П-образен винкел от лек метал с дължина по 70 cm за всеки елемент, като елементите се закрепват чрез



Фиг. 18.9. Активен елемент със захранващ кабел



Фиг. 18.10. Конструкция и настройване на пасивните елементи; *a* — конструктивни подробности за рефлектора и директора, *b* — носеща стрела с настройващите шлейфове

подходящи изолатори (вж. фиг. 18.9 и 18.10). Носещата стрела на антената се състои от две успоредни дюралуминиеви тръби с дължина по 368 cm. Центърът на тежестта на системата лежи на около 170 cm от директора и в тази точка трябва да се закрепят вертикалната носеща мачта. Чрез двете мостчета за късо съединение в двата външни края на носещата стрела се образуват затворени индуктивни шлейфове. Отворените четвъртълновни отрязъци от лентов кабел се напъхват в тръбите, както е показано на фиг. 18.10b. Всички останали подробности могат да се видят от фиг. 18.9 и 18.10.

За настройката на системата безусловно е необходим един гриддиометър. След изработването на носещата стрела двата отворени четвъртълнови шлейфа се напъхват в тръбите (фиг. 18.10b). Към края на шлейфа, който се показва навън, се включва гриддиометърът и се определя резонансната честота на шлейфа. Тя трябва да бъде точно 28 MHz за шлейфа на директора и 21 MHz за шлейфа на рефлектора. Когато това резонансно състояние е постигнато чрез съответ-

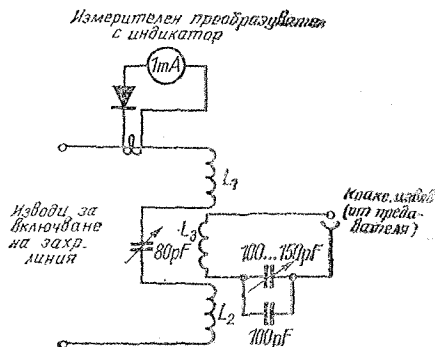
ното скъсяване или удължаване на шлейфовете, края на шлейфа се фиксира в тръбата посредством малки дървени клинове, а тръбата се замазва с водоупорница кит. Едва сега елементите са закрепват с винтове към носещата стрела. За да се осигури защита срещу корозията, всички използвани винтове и гайки трябва да са кадмирани или цинковани или пък да се помисли за някаква друга подходяща обработка. За да се изравнят механичните напрежения на изолаторите, препоръчва се под тях, в мястото на закрепване, да се поставят малки кожни пайби. Краищата на отворените четвъртълнови шлейфове, които излизат от тръбите на носещата стрела, се свързват галванически с директора, съотв. с рефлектора на антената. За по-нататъшната настройка антената трябва да се разположи поне на 2 m над земята. Гриддиометърът се включва към шлейфовете, образувани от двете тръби на носещата стрела и мостчетата за късо съединение. Чрез промяна на мястото на мостчетата трябва да се настрои шлейфът откъм директора на резонансна честота 20,55 MHz, а този откъм рефлектора — на резонанс-

на честота 13,95 MHz. С това грубата настройка е завършена и антената може да се монтира върху носещата мачта. Следва последната фина настройка, която се извършва само чрез мостчетата за късо съединение. Резултатите от настройката се проверяват чрез индикатор на напрегнатостта на полето, разположен на известно разстояние от антената.

Активният елемент на антената не се настройва, защото той сам за себе си не е в резонанс, а се настройва в резонанс едва след включването на настроената захранваща линия. Тя представлява двупроводна линия с въздушна изолация и вълново съпротивление 450  $\Omega$ . Дължината ѝ е от 11,60 до 12 m. На фиг. 18.11 е показан един изпробван уред за настройка на антената, който е оразмерен за нискоомен и несиметричен изход на предавателя (коаксиален изход).

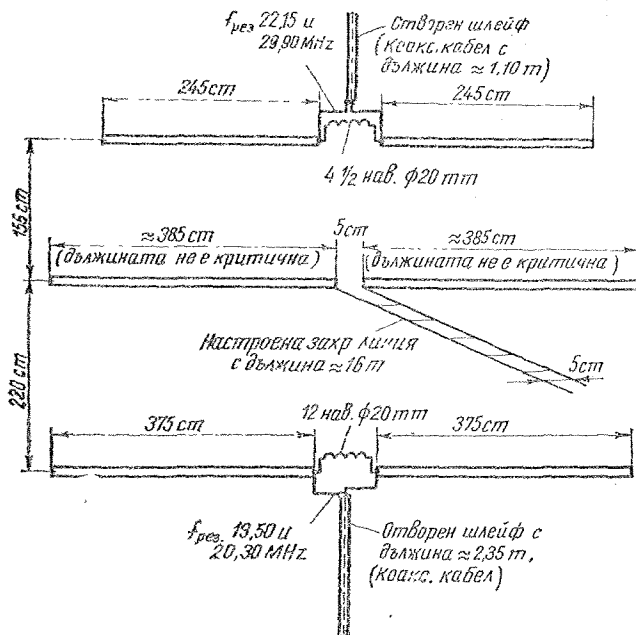
#### 18.1.5. Модифицирана насочена антена G4ZU

Както следва от фиг. 18.4, затвореният шлейф на директора и рефлекс-



Фиг. 18.11. Уред за настройка на антената G4ZU,  $L_1$  и  $L_2$  са с по 4 нав., диаметър на проводника 1,5 mm,  $L_3=3$  нав., диаметър на проводника 1,5 mm, бобините са изработени от меден проводник, навити без тяло

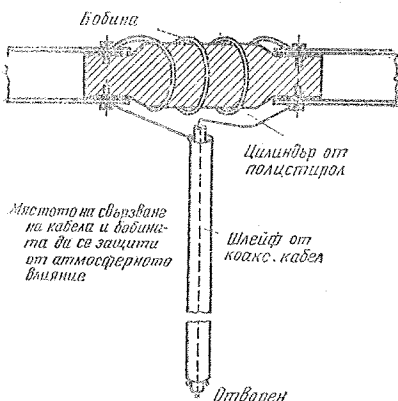
тора на насочената антена G4ZU може да се замени при същата електрическа ефективност и с една бобина. Тогава носещата конструкция може да се изработи от дърво (напр. според фиг. 16.15) и да се спестят двете тръби на носещата стрела. Все пак загубите на една бобина са по-големи от тези на



Фиг. 18.12 Модифицирана насочена антена G4ZU



Фиг. 18.13. Конструкция на закрепващите елементи на насочената антена G4ZU, показана на фиг. 18.12



Фиг. 18.14. Практическо изпълнение на средната част на рефлектора и директора

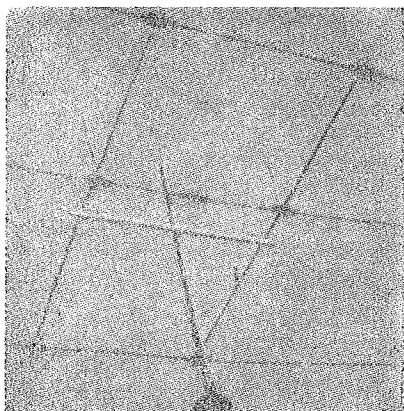
един шлейф, изработен от дебели тръби. Друг неблагоприятен фактор против тази конструкция е механичната нестабилност на бобината, изложена постоянно на атмосферно влияние. Макар че по тези причини почти винаги се предпочита конструкцията с шлейфове от двупроводни линии, в някои случаи може да намери приложение и описаната по-долу антена (фиг. 18.12).

Особеност на тази антена е това, че отворените шлейфове са изработени от коаксиален кабел, който също може да се напъва в тръбата на елемента. Коаксиалните шлейфове обаче не са най-характерната черта на тази антена; те просто могат да бъдат използвани вместо обикновените шлейфове от лентов кабел при всяка насочена антена G4ZU (да се внимава за коефициента на скъсяване). Коаксиалните шлейфове могат да се закрепят и към носещата стрела, като се използват подходящи скоби, в случаите, когато не е желателно да се напъват в тръбите.

Елементите се закрепват върху дър-

вената носеща стрела посредством напречна дървена летва. Ако няма подходящи изолатори, може да се изработят подобни на показаните на фиг. 17.4. На фиг. 18.14 е показано едно практическо изпълнение на средната част на рефлектора и директора. Бобината е навита върху изолационно тяло от полистирол, което служи и за механична връзка между двете половини на елемента. Могат да се използват и други висококачествени пластмаси, като полиетилен, пиакрил и др., които не поемат влагата. Пластмасата *новотекст*, която има мрежеста прослойка, е най-стабилна механически, но общо взето, има твърде големи загуби. Бобината трябва да има голям качествен фактор. Най-подходящите съвременни материали са пластмасите, подсилени със стъклоплакно.

На фиг. 18.15 е показана една особено лека насочена антена G4ZU, която е построена по схемата от фиг. 18.12. Тя тежи само 15 kgf и е построена от DM2AKN. Двете тръби на носещата стрела са разположени на 175 cm една от друга. Те не се използват и за затворени шлейфове, а служат само за механично стабилизиране. Стабилността се осигурява и от многобройни обтяжки. При закрепването на елементите са използвани фабрично произведени изолатори от пластмаса. Добре се виждат шлейфовете, изработени от

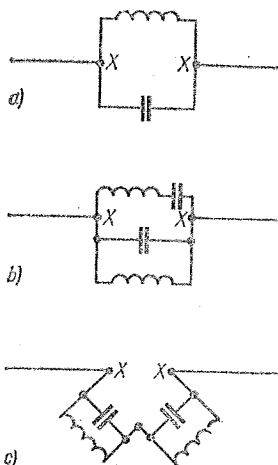


Фиг. 18.15. Олекотена конструкция на антената G4ZU, предложена от DM2AKN

коаксиален кабел. Те са отведени покрай елементите и свършват в едната от двете носещи тръби.

## 18.2. Тробохватна насочена антена VK2AOU

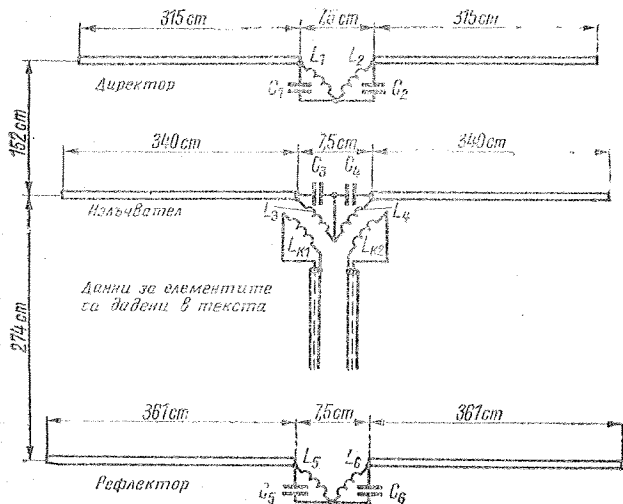
Пасивните елементи на насочената антена G4ZU са настроени в резонанс само за два обхвата. Разбира се, желателно е всичките елементи да действуват и в трите обхвата. Експериментите, проведени от VK2AOU, показваха, че като се включи трети трептящ кръг, може да се създаде схема, подобна на многолентовия кръг, която има три резонансни честоти. Третият кръг може да бъде както последователен, така и паралелен. На фиг. 18.16а е показан двуобхватният елемент на антената с паралелен резонансен кръг. Успоредно на този кръг съгласно фиг. 18.16б се включва един последователен кръг, чрез който се получават желаните три резонанса. Същият ефект може да бъде постигнат и чрез последователно включване на два паралелни трептящи кръга в точките XX, както е показано на фиг. 18.16с. В този случай всички капацитети също могат да се реализират чрез отворени шлейфове, а индуктивностите — чрез шлейфове,



Фиг. 18.16. Многообхватни елементи

дадени на края на късо. VK2AOU обаче е използвал бобини и променливи кондензатори, защото това улеснява настройката и изработването на антената.

Едва ли е възможно предварително да се пресметнат стойностите за  $L$  и  $C$ , защото всяко изменение на някоя от елементите се отразява на цялата си-



Фиг. 18.17. Тробохватна насочена антена VK2AOU

стема. Правилните стойности се установяват най-бързо експериментално, като се използва гриддипметър.

УК2АОУ е разработил една триобхватна насочена антена, която и в трите обхвата работи с три елемента, при което захранването може да стане по избор с каква да е съгласувана захранваща линия. Необходими са две захранващи линии. Едната от тях се използва в обхвата 10 m, другата — в обхватите 15 и 20 m. Ако се използват добросъвестно точните и подробни данни, съобщени от УК2АОУ, изработването на антената сигурно ще доведе до желания успех.

Триобхватната насочена антена е произлязла от антената УК2АОУ със скъсени елементи (вж. раздел 17.1). Размерите на елементите и разстоянията между тях са запазени същите; единствено вместо удължителните бобини са поставени паралелни резонансни кръгове. Схемата за изработване на триобхватната насочена антена УК2АОУ е показана на фиг. 18.17.

### 18.2.1. Оразмеряване на елементите на схемата

Показаните на фиг. 18.17 елементи имат следните стойности:

#### Директор

- Бобина  $L_1$  — 4 навивки, дължина 4,5 cm, диаметър 4 cm  
 Бобина  $L_2$  — 6 навивки, дължина 7 cm, диаметър 4 cm  
 Кондензатор  $C_1$  — средна стойност около 65 pF  
 Кондензатор  $C_2$  — средна стойност около 100 pF

#### Активен елемент

- Бобина  $L_3$  — 5 навивки, дължина 5 cm, диаметър 4 cm  
 Бобина  $L_4$  — 7 навивки, дължина 4,5 cm, диаметър 4 cm  
 Бобина  $L_{K1}$  — 2 навивки, разположени свободно върху  $L_3$  (бобина за връзка за обхвата 10 m при захранване

чрез произволно дълъг коаксиален кабел с вълново съпротивление: 60  $\Omega$ )  
 Бобина  $L_{K2}$  — 3 навивки, разположени свободно върху  $L_4$  (бобина за връзка за обхватите 15 m и 20 m при захранване чрез произволно дълъг коаксиален кабел с вълново съпротивление 60  $\Omega$ )

Кондензатор  $C_3$  — средна стойност около 62 pF

Кондензатор  $C_4$  — средна стойност около 85 pF

#### Рефлектор

- Бобина  $L_5$  — 6 навивки, дължина 4,7 cm, диаметър 4 cm  
 Бобина  $L_6$  — 8 навивки, дължина 6 cm, диаметър 4 cm  
 Кондензатор  $C_5$  — средна стойност около 60 pF  
 Кондензатор  $C_6$  — средна стойност около 70 pF

За свързването на всяка от бобините се използва по 5 cm кабел, на всеки от кондензаторите — по 10 cm.

Размерите на бобините за връзка  $L_{K1}$  и  $L_{K2}$  са ориентировъчни. Те са в сила, когато за захранване на антената се използва коаксиален кабел с вълново съпротивление от 60 до 70  $\Omega$ . Когато захранващата линия има по-голямо вълново съпротивление, съответно трябва да се увеличи броят на навивките на  $L_{K1}$  и  $L_{K2}$ .

Двете бобини на всеки елемент трябва да оказват една на друга възможно най-малко влияние. Затова те са разположени под прав ъгъл (фиг. 18.17). УК2АОУ използва свободно навити бобини с диаметър на проводника 4 mm. По отношение на механичното изработване на антената са в сила указанията, дадени в раздел 17.1. При описаната тук антена са използвани елементи, изработени от дюралуминиеви тръби с диаметър 21 mm. На практика могат да се използват тръби от всякакъв вид и с всякакъв диаметър, отговарящи на механичните изисквания.



### 18.2.2. Настройка на антената

Първоначално отделните елементи с помощта на гриддипметър се настройват на предварително пресметнатите резонансни честоти. Тъй като осцилаторът на гриддипметъра се свързва съвсем лесно към бобините, резонансните честоти са ясно изразени и се отчитат еднозначно. При първоначалната груба настройка гриддипметърът може да бъде свързан към бобините посредством силна индуктивна връзка; при следващата фина настройка връзката трябва да бъде толкова слаба, че само добре да се отчита резонансът.

Трите резонанса на активния елемент съответствуват на желаните работни честоти. Най-често те лежат със средата на обхватите: 14,15 MHz, 21,20 MHz и 28,50 MHz. Рефлекторът се настройва на честота, по-ниска с 5% от средната честота на обхвата: 13,45 MHz, 20,14 MHz и 27,07 MHz.

Резонансната честота на директора е по-висока от тази на активния елемент с 4%: 14,72 MHz, 22,05 MHz и 29,65 MHz. Тези резонансни честоти трябва да се измерват, когато антената е монтирана в работно положение. Предварителната настройка може да се извърши и на земята, но трябва да се има предвид, че поради капацитивното влияние на земята резонансът се измества към по-ниските честоти.

UK2AOU е установил, че когато антената се настройва, монтирана на 2 m над земята, при добра проводимост на почвата разстройката за честота 14 MHz е 350 kHz. Затова при предварителната настройка резонансните честоти трябва да се избераат малко по-ниски, напр. за активния елемент 13,85 MHz, 20,90 MHz и 28,20 MHz. Резонансните честоти на пасивните елементи се намаляват по аналогичен начин: едва тогава може да се разчита, че резонансните честоти на антената, монтирана в работно положение върху посшата мача, ще бъдат приблизително такива, каквито трябва.

Настройката на бобините не е особено критична; големите бобини  $L_2$ ,  $L_4$  и  $L_6$  оказват влияние главно върху резонанса на 14 MHz. Съответните кондензатори  $C_2$ ,  $C_4$  и  $C_6$  действуват главно при честота 21 MHz, макар че при изменението им донякъде се измества и резонансът при честота

14 MHz. Чрез малките бобини  $L_1$ ,  $L_3$  и  $L_5$  се настройват предимно точките на резонансната крива за честота 21 MHz, докато кондензаторите  $C_1$ ,  $C_3$  и  $C_5$  влияят особено силно върху резонанса при честота 28 MHz. Настройката на тези кондензатори трябва да се извърши много прецизно. Това се отнася особено за  $C_5$  и  $C_6$ . Затова е целесъобразно всички кондензатори да бъдат променливи. Най-малкото трябва да се използват качествени въздушни тример-кондензатори. За препоръчване е настройващите кръгове да се поставят в пластмасова кутия, за да бъдат защитени от атмосферни въздействия.

След като антената е била настроена на резонансните честоти, така да се каже, „на празен ход“, следва настройката по време на работа. За тази цел триобхватната насочена антена се възбужда от предавателя чрез предвидената захранваща линия. След това с помощта на разположен далеч индикатор на напрегатостта на полето се извършва настройка за най-голямо излъчване в права посока при най-голямо затихване на излъчването в обратна посока.

Отначало насочената антена се настройва за най-голяма мощност в обхватите 14 MHz и 21 MHz. И в двата случая кондензаторите трябва да се изменят съвсем незначително. Настройките трябва да се извършат неколкостепенно последователно за честотите 14 MHz и 21 MHz. Едно изменение на настройката за обхвата 20 m обуславя съответно увеличаване на честотата на резонанса за 15 m и обратно. Когато в тези два обхвата се постигне оптимумът, положението на настройващите елементи се фиксира и повече не се променя. Настройката за обхвата 10 m се ограничава главно до едно малко изменение на кондензаторите  $C_1$ ,  $C_3$  и  $C_5$ . Тази настройка не е критична, границите на оптималните стойности са доста широки.

Грешки при настройката могат да се направят на първо място при настройване на пасивните елементи. Ако например рефлекторът стане твърде къс, директорът напротив — твърде дълъг, то рефлекторът става директор и обратно. Може да се случи и така, че само един елемент е настроен погрешно. Тогава е възможно рефлекторът да

стане директор или пък директорът започва да действа като рефлектор. Това обстоятелство може да се установи по силното намаляване на излъчването в права посока. За да може веднага да се разпознаят такива грешки, *VK2AOU* препоръчва използването на два индикатора на напрегнатостта на полето, единият по направлението на главния лъч, а другият — за едновременно контролиране на затихването на излъчването в обратна посока. Само старателната настройка гарантира пълен успех. Целият процес прилича на спрягането на кръговете на суперхетеродинния приемник.

Възможно е известно опростяване при същата ефективност на настройката, но за целта активният елемент трябва да бъде изработен аналогично на този на антената *G4ZU* (фиг. 18.3) и захранването да се извърши чрез настроена захранваща линия. Тогава само рефлекторът и директорът трябва да се настроят на съответните резонансни честоти, докато активният елемент съвпада в резонанс с помощта на настройващите елементи в края на захранващата линия.

Триобхватната насочена антена *VK2AOU* при работа на обхватите 10 m и 15 m има приблизително същите качества, както триобхватната насочена антена *G4ZU*; донякъде антената *VK2AOU* превъзхожда *G4ZU* на обхвата 20 m, защото на този обхват действуват три скъсени елемента, макар и с много малко разстояние между тях.

### 18.3. Триобхватна насочена антена *DLIFK* (патент на ГФР №А30652)

Триобхватната насочена антена се отличава с много лека и проста меха-

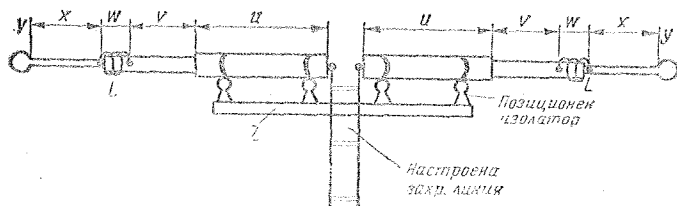
ническа конструкция. По отношение на ефективността тя е най-малкото равностойна на по-тежките антени. Тъй като става дума за едно ново, много разумно решение на проблема за многообхватност, конструкцията на тази антена е описана малко по-подробно.

#### 18.3.1. Активен елемент

Активният елемент на антената *DLIFK* е показан на фиг. 18.18. По принцип това е същият излъчващ елемент, който се използва и при насочената антена *G4ZU* (раздел 18.1.), но той е усъвършенствуван конструктивно, за да се олекоти. Активният елемент има обща дължина точно 8 m и е почти в резонанс за обхвата 15 m (малко по-дълъг от необходимото). Точният резонанс за всичките три обхвата се установява чрез настроена захранваща линия и елементите за настройка на антената, свързани в долния ѝ край. Диаметърът на използваните дуралуминиеви тръби намалява стъпалообразно от центъра на излъчвателя към краищата му.

Данни за оразмеряване на антената, показана на фиг. 18.18:

- и — дуралуминиеви тръби с дължина 200 cm, диаметър 20 mm, дебелина на стената 1 mm;
- v — дуралуминиеви тръби с дължина 100 cm, диаметър 18 mm, дебелина на стената 1 mm;
- w — пластмасови тръби (с малки загуби и влагоустойчиви) с дължина 20 cm, диаметър 16 mm, дебелина на стената 2 до 4 mm;
- x — дуралуминиеви тръби с дължина 60 cm, диаметър 10 до 12 mm, дебелина на стената 1 mm;



Фиг. 18.18. Активен елемент на насочената антена *DLIFK*

- у — кръгова навивка, диаметър на навивката 10 см, алуминиев проводник с диаметър 2 до 4 mm;
- Z — носеща шина, състояща се от два П-образни дуралуминиеви винкела с дължина по 130 см;
- L — бобина, навита върху w, 6 нав., дължина на бобината 10 см, диаметър 3 см, материал: алуминиев проводник с диаметър 3 до 6 mm.

Посочената дебелина на стената на дуралуминиевите тръби (1 mm) е достатъчна. Могат да се използват и всякакви тръби от дуралуминий или друг материал, които се продават, защото размерите на отделните тръби на активния елемент като цяло не са критични.

Двете половини на излъчвателя се монтират върху носеща шина, която по данни на DLIFK се състои от два успоредни П-образни профила. Може да се използват и носещи конструкции от дърво, но те са по-тежки. Носещата стрела се образува от две дуралуминиеви тръби, дълги по 420 см. Носещата шина на активния елемент се закрепва към тях с помощта на скоби. Ако половините на активния елемент провисват силно, трябва да се използват обтяжки. По принцип е възможно използването и на друг активен елемент (напр. от антена VK2AOU или W3DZZ).

Важното е активният елемент да има за обхвата 20 m електрическа дължина най-малко  $\lambda/2$ ; за обхвата 10 m той не трябва да има електрическа дължина, по-голяма от  $1,2 \lambda$  (2. 0,6  $\lambda$ ). При някои конструкции това изискване не се изпълнява и максимумът на тока, който създава най-силното магнитно поле, попада или в захранващата линия, или в елементите за настройка.

Активният елемент образува една диполна редица от два коллинеарни полувагови отрязъка (в обхватите 10 m и 15 m), които се възбуждат синфазно. Така в тези два обхвата само излъчвателът има усиление 1,8 dB. В обхвата скъсенят излъчвател има малко положителни качества от нормалния полувагов дипол.

Електрическото удължаване на излъчвателя в зависимост от честотата се извършва чрез двете удължителни бобини L и двете кръгови навивки в краищата на елемента, които действуват като кондензатори. По този

начин максимумите на тока се разполагат така, че да имат оптимален принос за излъчването на енергията.

### 18.3.2. Захранване

Настроенията захранваща линия трябва да се оразмери така, че за никой от използваните обхвати да не завършва при максимум на тока или напрежението. В противен случай, както вече беше казано, в захранващата линия могат да се образуват синфазни вълни и линията ще излъчва също така интензивно, както и антената. При антената DLIFK това изискване се изпълнява, като дължината на захранващата линия се избира равна на 17,2 m. Захранващи кабели с дължина около 12 m и 23 m също биха били подходящи.

Много лека и гъвкава захранваща линия може да се направи от многожичен антенен проводник, като двата проводника чрез изолатори се поддържат на разстояние 5 cm един от друг. Доста затруднителното закрепване на изолаторите към проводниците на захранващата линия може да се избегне по следния начин: тръстикови пръчки с външен диаметър около 8 mm се нарязват на парчета с дължина 30—40 cm. Върху всяко жило на захранващата линия се нахлузва по една тръстикова тръбичка, следва изолаторът, нова тръстикова тръбичка и т. н., докато цялата линия се покрие от тръстиковите тръбички и изолаторите. Това се вижда на фиг. 18.19. Такава захранваща линия има и допълнително предимство — тя е изолирана. Изолаторите се правят от подходящи пластмасови ленти. Двете дупки (на разстояние 5 cm една от друга) трябва да са с такъв диаметър, че антенният проводник да минава свободно през тях. Изолаторите се фиксират в поло-



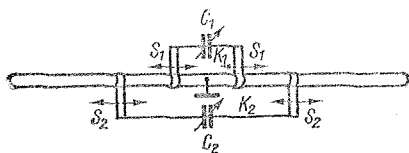
Фиг. 18.19. Захранваща линия

жението си чрез тръстиковите тръбички. Свързването на захранващата линия към крайното стъпало на предавателя става по някой от описаните начини (вж. раздел 8.2.).

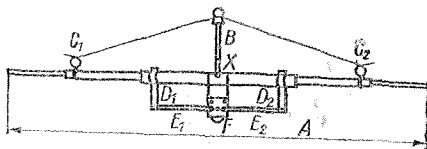
### 18.3.3. Пасивни елементи

Докато нещата, казани за активния елемент и неговото захранване, общо взето, са познати, описаните по-долу пасивни елементи на насочената антена *DLIFK* представляват действително една новост. За различните честоти резонансът на пасивните елементи се установява, като се образуват резонансни кръгове, разположени симетрично спрямо средата на елемента. В тези кръгове взема участие и част от самия пасивен елемент. Вследствие на своята конструкция тези кръгове имат голям качествен фактор, а частите от елемента, разположени вън от кръга, се включват към такива негови точки, в които има подходяща стойност на импеданса. Един такъв многообхватен елемент е показан схематично на фиг. 18.20. Той се състои освен от обикновения елемент и от две линейни схеми за настройка  $K_1$  и  $K_2$ . По такъв начин по принцип е възможно да се извърши настройка в резонанс на три честоти. Чрез изместване на изводите  $S_1$ , съотв.  $S_2$ , се променят стойностите на индуктивността, а чрез завъртане на променливите кондензатори  $C_1$  и  $C_2$  — стойностите на капацитета на кръга.

Ако самият елемент има размери, избрани за средния от използваните обхвати (напр. 21 MHz), препоръчва се всъщност размерите му да са малко по-големи и с помощта на кондензатора  $C_2$  да се извършва електрическото скъсяване на елемента. Едновременно с това  $C_2$  и частта от елемента, разположена между скобите  $S_2$ , служи за



Фиг. 18.20. Схематично представяне на триобхватен елемент;  $S_1$ ,  $S_2$  — мостчетата, които могат да се местят върху елемента,  $C_1$ ,  $C_2$  — променливи кондензатори с максимален капацитет 50 или 100 pF



Фиг. 18.21. Пасивен елемент на антената *DLIFK*

настройка в резонанс за по-ниската работна честота, т. е. за 14 MHz. Настройката на този кръг е много критична и елементът, настроен в резонанс за 14 MHz, има много по-голяма избирателност, отколкото елементът на обикновена антена, изчислен за честота 14 MHz (по-малка ширина на пропусканата честотна лента). По аналогичен начин  $K_1$  с  $C_1$  и  $S_1$  образуват резонансен кръг за по-високата работна честота, в този случай — 28 MHz. Настройката на този кръг трябва да се направи много старателно, защото е лесно да се срещне. В такъв случай елементът ще действа като целовълнов отрязък. Но този целовълнов отрязък е неподходящ за пасивен елемент, защото двата полувълнови отрязъка са възбудени противофазно (завъртане на фазата на  $2.180^\circ$ ).

След тези теоретични разяснения за антената *DLIFK* ще бъдат дадени някои практически указания. На фиг. 18.21 е показан един пасивен елемент, който се използва в насочената антена *DLIFK* като рефлектор, съотв. директор. Конструкцията на елемента е най-проста в случая, когато той има размери, съответстващи на обхвата 15 m. Ако външните краища на елемента провисват силно, те се стабилизират с помощта на обтяжки от антени проводник, закрепени към опорната конзола В. Антенният проводник се изолира от пасивния елемент чрез порцелановите пръстени  $C_1$  и  $C_2$ . Едновременно с това обтяжките образуват третия кръг за обхвата 10 m, като резонансната честота на кръга се определя от дължината на обтяжките. Резонансният кръг, образуван от мостчетата  $D_1$  и  $D_2$  и от отрязъците  $E_1$  и  $E_2$ , се настройва за обхвата 20 m с помощта на кондензатора F. Използуваните означения и размерите на пасивния елемент са дадени на стр. 257.

- $D_1, D_2$  — мостчетата, определящи разстоянието между тръбата на елемента и настройващия отрязък, дължина 10 cm;
- $C_1, C_2$  — порцеланови пръстени;
- $B$  — конзола за закрепване на обтяжките, височина 20 cm; подходяща е напр. изолаторната стойка, използвана за повдигане на лентовите кабели над олуците;
- $F$  — променлив кондензатор със стойност от 12 до 50 pF, включен между краищата на  $E_1$  и  $E_2$ ;
- $X$  — геометрична среда на правия елемент. В тази точка носещата стрела може да се свърже галванически (минимум на напрежението).

Дължина на пра-рефлектор/директорния елемент А (дуралова тръба)	6,80 m	7,40
Обща дължина на обтяжките между $C_1$ и $C_2$ (антенен проводник)	4,80 m	5,00 m
Дължина на проводниците $E_1$ и $E_2$ (диаметър 3 mm)	1,10 m	1,30 m

При средни мощности е достатъчно разстоянието между пластините на

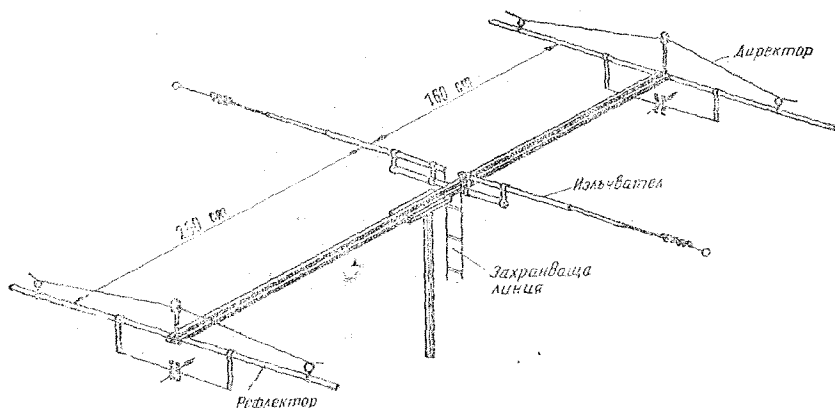
променливия кондензатор да бъде от 0,5 до 1 mm. Кондензаторът се закрепва в средата на елемента с помощта на изолационна пластина (напр. от *пиа-крил*). Той трябва да бъде защитен от атмосферното влияние. За тази цел кондензаторът се затваря във водонепроницаема пластмасова кутия или в торбичка от пластмасово фолио.

На фиг. 18.22 е показан схематично външният вид на една насочена антена *DLIFK*. Дължината на носещата стрела е 4,20 m. Разстоянието между активния елемент и директора е 1,60 m, между активния елемент и рефлектора — 2,60 m. Носещата мачта е закрепена в центъра на тежестта на антената.

Правят впечатление късите проводници, които стърчат извън порцелановите пръстени на обтяжките. Тези „опашки“ (дълги около 10 cm) служат за настройка на пасивния елемент в обхвата 10 m. При настройката от „опашките“ се отрязва по малко от проводника, докато рефлекторът (съотв. директорът) се настрои в резонанс за обхвата 10 m.

#### 18.3.4. Настройка

За оптимална настройка на тази антена са необходими един гриддип-метър и един обикновен индикатор на напрегнатостта на полето. Антената може да бъде монтирана на около 2 m над земята и да се настрои, докато се



Фиг. 18.22. Насочена антена *DLIFK*

намира на тази височина. Първоначално се извършва временна настройка за обхвата 20 m. Допълнително стърчащите краища на обтяжките за обхвата 10 m се навиват върху една изолирана отвертка (изсягае капацитета на ръцете), за да се определи докъд да бъде изрязан проводникът. За да се изравни разликата спрямо следващото положение на антената върху носещата мачта, от всяка страна се развиват обратно около 3 cm от проводника. След това елементът, който е подълът от необходимото за обхвата 15m, се изрязва малко по малко от двата края, докато се настрои почти на желаниа резонанс. Тази дължина на елемента ще бъде достатъчна при монтирането му върху носещата мачта. Възможно е след окончателното монтиране върху мачтата да се донасроят променливите кондензатори за обхвата 20 m. Трябва внимателно да се наблюдава индикаторът на напрегнатостта на полето, защото резонансната крива е много остра. Препоръчва се да се настрои първо рефлекторът и след това директорът за минимум на излъчването в обратна посока, защото той е по-силно изразен, отколкото максимумът в направлението на главния лъч.

Резонансните честоти, на които трябва да се настроят пасивните елементи, са дадени в таблица 18.1.

При настройка в обхвата 20 m трябва да се има предвид, че съпротивлението в точката на захранване на излъчвателя се изменя силно и става много малко, когато директорът е настроен в резонанс и е разположен в близост до активния елемент. Ако се използва открит линия, трябва едновременно да се извършва настройка и на изхода на предавателя.

Принципът на линейните режекторни филтри, т. е. принципът на настройка на елементите на антената *DLIFK*, може

да намери приложение и в други области.

#### 18.4. Триобхватна насочена антена *W3DZZ*

*W3DZZ* е предложил една много интересна и ефективна триобхватна насочена антена. При тази антена не са правени никакви компромиси и тя има същата ефективност, каквато имат три отделни Яги-антени за съответните обхвати. Тази въртяща се насочена антена обаче има твърде усложнена механична конструкция и освен това изисква самостоятелна изработка на някои прецизни детайли.

Тъй като насочената антена *W3DZZ* е конструирана за американските условия, *DLIFK* с помощта на *W3DZZ* е разработил европейската версия, която се базира на нашата метрична система и използва обикновено продаваните видове тръби.

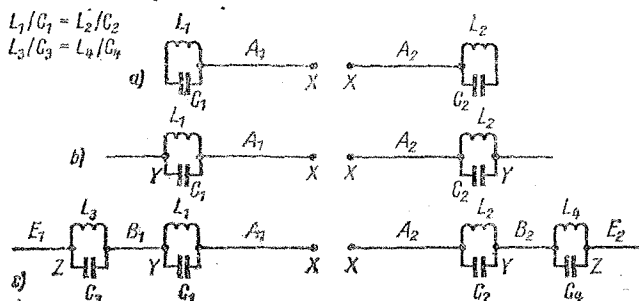
##### 18.4.1. Начин на действие

Насочената антена *W3DZZ* се подчинява на същите закономерности, както всевъзможната проводникова антена *W3DZZ* (вж. раздел 10.2.8.). Начинът на действие ще бъде разяснен още веднъж, като се разгледа активният елемент (фиг. 18.23).

Диполът за обхвата 10 m (фиг. 18.23a) по отношение на дължината си е оразмерен, както обикновено за този обхват. Свободните краища са затворени с по един паралелен резонансен кръг ( $L_1 - C_1$  и  $L_2 - C_2$ ). При достатъчно голям качествен фактор двата режекторни кръга имат много голямо съпротивление за резонансната си честота; те действуват като изолатори. Кръговете са настроени на работна честота в обхвата 10 m и частите от проводник, свързани съгласно фиг. 18.23b в точките YY, не влияят вече на резонанса в този обхват. Когато обаче

Таблица. 18.1. Резонансни честоти на триобхватната насочена антена

Работна честота	Резонансна честота на рефлектора	Резонансна честота на директора
28 400 kHz	27 600 kHz	29 400 kHz
21 250 kHz	20 800 kHz	21 700 kHz
14 250 kHz	13 950 kHz	14 555 kHz



Фиг. 18.23. Използване на триобхватен елемент от полувълнов дипол: *a* — дипол за обхвата 10 m, *b* — преработка до дипол за обхвата 15 m, *c* — триобхватен елемент за обхватите 10 m, 15 m и 20 m

активният елемент се възбуди в точките XX с честота напр. 21 MHz, двата режекторни кръга не са в резонанс за тази честота; те нямат режекторно действие. Индуктивностите  $L_1$  и  $L_2$  образуват удължителни бобини за обхвата 15 m. При подходящо оразмеряване двата отрязъка  $B_1$  и  $B_2$  заедно с  $A_1$  и  $A_2$  и индуктивностите  $L_1$  и  $L_2$  образуват полувълнов излъчвател за честота 21 MHz, без с това да се изменя настройката за честота 28 MHz. Тъй като обаче елементът трябва да може да се използва и в обхвата 14 MHz, в краищата на отрязъците  $B_1$  и  $B_2$  отново се включват два режекторни кръга ( $L_3-C_3$  и  $L_4-C_4$ ). Те се настройват за режекторно действие за честота 21 MHz (фиг. 18.23c).

В точките ZZ (фиг. 18.23c) са включени още два отрязъка от проводник  $E_1$  и  $E_2$ . Те служат за установяване на полувълнов резонанс, когато елементът в точките XX се възбужда с честота 14 MHz. Нито кръговете  $L_1-C_1$  и  $L_2-C_2$ , нито  $L_3-C_3$  и  $L_4-C_4$  са настроени в резонанс. Всички индуктивности имат удължаващо действие за обхвата 14 MHz. Отризъците от проводника  $A_1$ ,  $A_2$ ,  $B_1$ ,  $B_2$ ,  $E_1$  и  $E_2$  заедно с индуктивностите  $L_1$ ,  $L_2$ ,  $L_3$  и  $L_4$  допринасят за полувълновия резонанс в обхвата 20 m. Затова конструкцията, показана на фиг. 18.23c, е настроена в резонанс едновременно и без превключване за три обхвата.

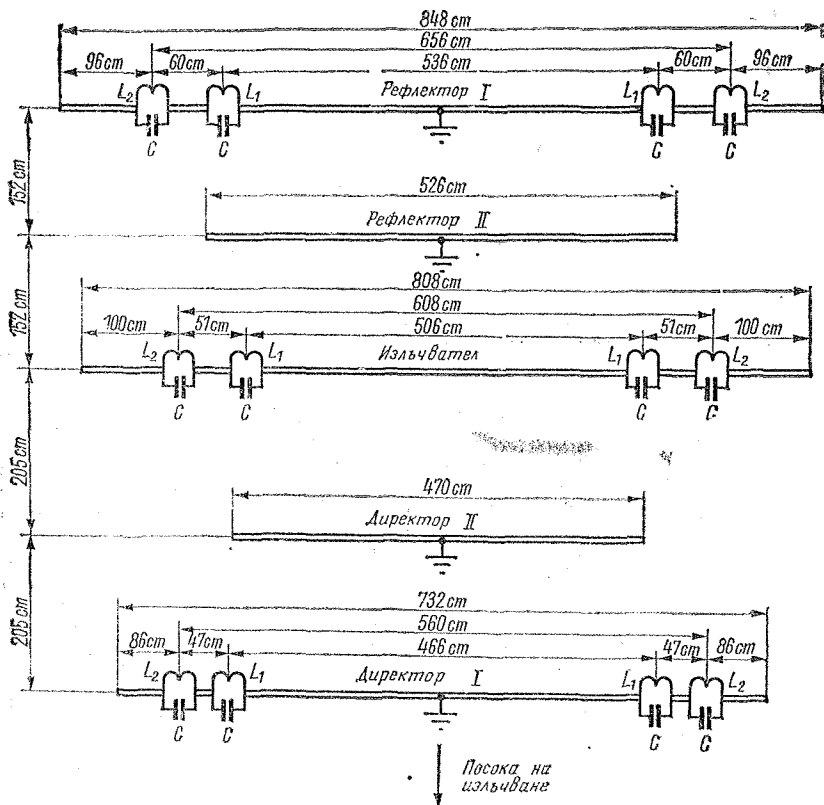
Пасивните елементи са изработени по същия начин с тази разлика, че резонансната честота за рефлектора се избира съответно по-ниска, а за директора — по-висока от тази на актив-

ния елемент. Тъй като тези елементи се възбуждат пасивно, т. е. чрез излъчения сигнал, не е необходимо те да бъдат прекъснати в средата. Пасивните елементи могат да бъдат заземени в геометричната си среда.

Пълната схема на триобхватната насочена антена W3DZZ е показана на фиг. 18.24. Забелязва се, че между активния елемент и рефлектора и между активния елемент и директора са разположени два къси пасивни елемента. Това са рефлектор и директор за обхвата 10 m. Тези допълнителни елементи са поставени, защото разстоянията активен елемент-рефлектор и активен елемент-директор при една триобхватна антенна система стават твърде големи за 10 m-обхват. Така при честота 28 MHz антената работи с общо 5 елемента, но вторият рефлектор едва ли допринася нещо за усиляването. Затова при работа в обхвата 10 m може да се разчита на усиляване около 7 dB. За честотите 21 MHz и 14 MHz действуват три елемента и в обхвата 15 m усиляването може да достигне до 6 dB. В обхвата 20 m заради известно скъсяване на елементите усиляването е малко по-малко и възлиза на 5 dB.

#### 18.4.2. Практическа изработка на антената

Всички бобини  $L_1$  се изработват от CuAg проводник с диаметър 4 mm. Те имат по 5 навивки и вътрешен диаметър на бобината 62 mm. Размерите на бобината  $L_2$  са същите, но тя има

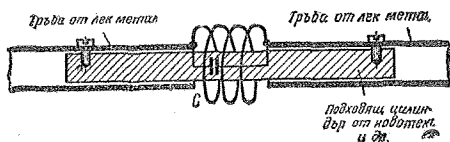


Фиг. 18.24. Схема на триобхватна насочена антена W3DZZ

7 навивки. Всички кондензатори  $C$  имат капацитет от 25 до 29 pF.

Режекторният кръг  $L_1-C$  трябва да се настрои на честота 28 MHz, докато кръговете  $L_2-C$  се настройват на честота 20,2 MHz. При това трябва да се внимава настройката да става само чрез изменение на дължините на обините, защото кръговият капацитет от 25 до 29 pF във всички случаи трябва да се запази. При оригиналната конструкция на насочената антена W3DZZ особено благоприятно е било това, че

кондензаторите  $C$  са били представени от самите тръби на елементите. Ако се постави в по-дебелата тръба цилиндър от изолационен материал, при телескопичното напъхване на по-тънката тръба в по-дебелата се образува кондензатор, чийто диелектрик е изолационният цилиндър. Една такава конструкция естествено изисква голяма прецизност при механичната работа и подходящи тръби със съответните диаметри и дебелини на стените. По-лесна за изпълнение е конструкцията, пока-



Фиг. 18.25. Конструкция на режекторните кръгове

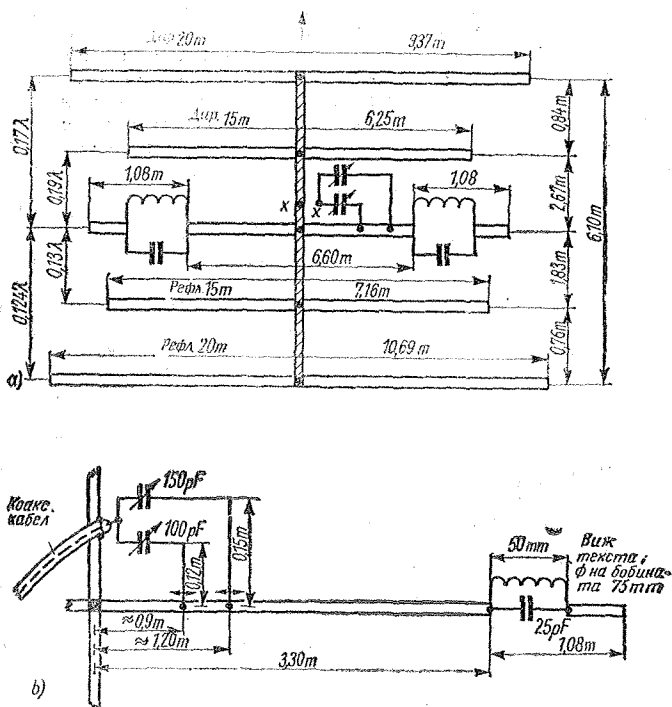


зана на фиг. 18.25, при която двете тръби са свързани чрез подходящ шифт от изолационен материал. За целта може да се използва *новотекст*, тъй като този материал се чуи трудно. При някои видове новотекст обаче загубите са доста големи и освен това при такива слойни пластмаси съществува опасност от поемане на влага. Затова е необходима допълнителна защита на горната повърхност. Има обаче и пластмаси с много малки загуби, които са с достатъчна еластичност и здравина и които се продават под различни фирмени названия. От електрическа и механична гледна точка най-подходящи са кръглите полиестерни прътове, подсилени със стъклоплакно (пластмасовите рибарски пръти). Кондензаторът *C* трябва да бъде висококачествен постоянен кондензатор с малък температурен коефициент. Той трябва да бъде защитен от атмосферни въздействия чрез подходяща опаковка. При това

обаче неговата стойност не трябва да превишава 15—20 pF, защото при приближаването на двете тръби на елементите възниква известен начален капацитет.

Захранването на системата може да стане чрез изпитаното на практика гама-съгласуване (вж. раздел 6.3.). В този случай възбудянето може да стане чрез произволно дълъг коаксиален кабел. Когато съгласуващият елемент се оразмери оптимално за обхвата 15 m, коефициентът на стоящи вълни в захранващата линия за обхватите 10 m и 20 m има все още приемлива стойност.

Възможно е за антената *W3DZZ* да се използва активният елемент на един насочен излъчвател от вида *DLIFK* (вж. фиг. 18.18) и тогава захранването да се извърши чрез настроена захранваща линия. В такъв случай режекторните кръгове в активния елемент не са необходими, а ре-



Фиг. 18.26. Двуобхватна насочена антена за обхватите 20 m и 15 m, предложена от *КН60R*,  
а — обща схема, б — чертеж на активния елемент

зонаансното състояние се нагласява в края на настроената захранваща линия, включена откъм предавателя.

## 18.5. Комбиниран двубобинат Яги-антен за обхватите 20 m и 15 m

Комбиниран се наричат такива антени, чиито елементи, макар и оразмерени за различни честотни обхвати, са подредени през един върху обща носеща стрела. При това разстоянията между елементите се подбират така, че взаимното влияние между елементите, които не са оразмерени за един и същи обхват, да бъде минимално.

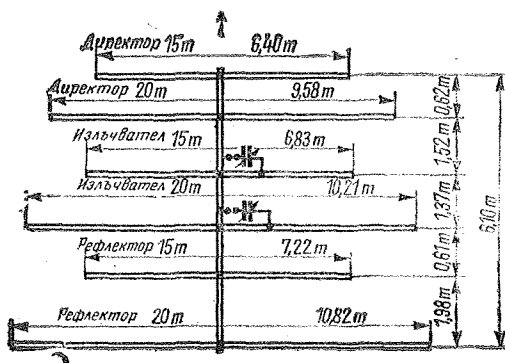
### 18.5.1. Двубобинат Яги-антена за обхватите 20 m и 15 m, предложена от КН6ОР

Тази двубобинатна насочена антена, разработена от КН6ОР, представлява комбинация от един „истински“ многообхватен активен елемент и пасивни елементи за обхватите 15 m и 20 m, подредени през един върху носещата стрела. Схемата на антената е показана на фиг. 18.26a, а на допълнителната фиг. 18.26b са показани някои особености на активния елемент.

Активният елемент има два режекторни кръга подобно на антената W3DZZ, които са настроени на резонансна честота 20,5 MHz. Двата кондензатора имат капацитет по 25 pF; двете бобини имат по 6 навивки, изработени от алуминиев проводник с

диаметър от 3 до 3,5 mm. Диаметърът на бобината е 75 mm, навивките са разпределени върху обща дължина от 50 mm. Новост представлява начинът, по който са включени успоредно два различно дълги гама-съгласуващи елемента, за да се получи добро съгласуване към коаксиалния кабел и в двата обхвата. Данните, посочени за гама-съгласуващите елементи, са ориентировъчни и при последната настройка трябва да бъдат коригирани така, че коефициентът на стоящи вълни в коаксиалния кабел да бъде възможно най-малък. С посочените на фигурата размери на захранвания елемент антената има резонансни честоти 14,3 MHz и 21,3 MHz.

Пасивните елементи имат нормална дължина и са подредени върху носещата стрела така, че до голяма степен е избягнато взаимното им влияние. Разстоянието между активния елемент и рефлектора за обхвата 20 m е  $0,124 \lambda$ , за обхвата 15 m —  $0,13 \lambda$ . Разстоянието до директора за обхвата 20 m е  $0,17 \lambda$ , за обхвата 15 m —  $0,19 \lambda$ . Така се получава общата дължина на носещата стрела — 6,10 m. Разбира се, активният елемент може да бъде заменен с всеки друг многообхватен елемент; трябва обаче да се има предвид, че няма особена полза от силно скъсените елементи. След като се използват пасивни елементи с нормална дължина, не бива техните добри качества да се влошават от един скъсен излъчвател с намалена ефективност на излъчването. Пълноценен заместител на захранвания двубобинат елемент би бил триобхватният активен елемент на насочената антена DLIFK (фиг.18.18).



Фиг. 18.27  
Комбинирана двубобинатна насочена антена за обхватите 15 m и 20 m

Съществува и допълнителната възможност върху носещата стрела да се поместят пасивни елементи за обхвата 10 m, с което става възможна работата на три обхвата.

#### 18.5.2. Комбинирана двуобхватна Яги-антена за 15 m и 20 m, предложена от W8FYR

Схемата на тази антена, показана на фиг. 18.27, няма никакви характерни особености. Касае се за две нормално оразмерени Яги-антени, които се захранват поотделно чрез гама-съгласувачи елементи и които са разположени върху обща носеща стрела.

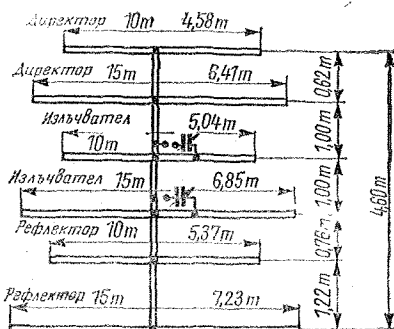
Тази антена би трябвало да избере този, който предпочита да избегне усложненията при построяването на един многообхватен насочен излъчвател и при това разполага с достатъчно свободно място и необходимия материал.

Размерите на антенните елементи, които са малко по-големи от тези на насочената антена *KH6OR*, дават да се разбере, че те са оразмерени за високочестотния край на обхвата (телеграфния участък). Гама-съгласувачите елементи се оразмеряват според раздел 6.3. Нужни са два отделни коаксиални захранващи кабела. Вторият захранващ кабел може да бъде спестен, ако преклюкването на излъчвателите се извършва чрез коаксиално реле, закрепено на носещата стрела.

#### 18.6. Комбинирана Яги-антена за обхватите 10 m и 15 m

На фиг. 18.28 е показана една комбинирана двуобхватна Яги-антена за обхватите 15 m и 10 m, която изцяло съответствува на антената, дадена на фиг. 18.27. По аналогия важат всички данни, съобщени за конструкцията, работеща в обхватите 20 m и 15 m.

Двуобхватна насочена антена, разработена от *W4KFC*, показана на фиг. 18.29, има една малка особеност. При нея е спестен един пасивен елемент, като средният пасивен елемент служи едновременно като рефлектор за обхвата 10 m и като директор за обхвата 15 m. Все пак този елемент е твърде дълъг за рефлектор за обхвата 10 m.

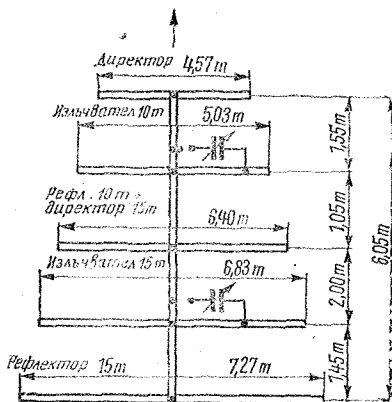


Фиг. 18.28. Комбинирана двуобхватна насочена антена за обхватите 10 m и 15 m

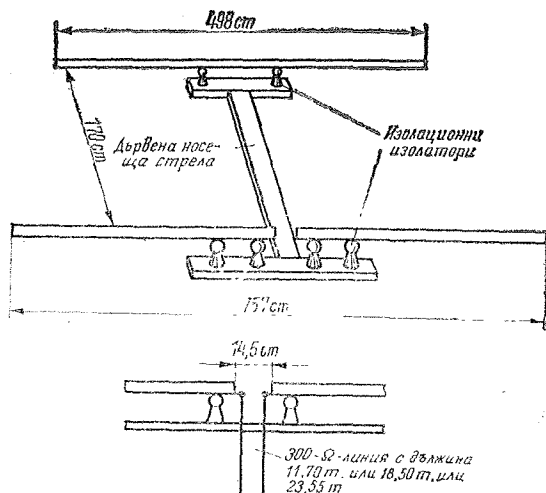
Комбинираното използване на този елемент предизвиква и малко по-друго подреждане на останалите, така че общата дължина на носещата стрела става 6.05 m. Тъй като компактната конструкция, показана на фиг. 18.28, има обща дължина само 4.60 m, не може да се каже, че спестяването на един елемент е някакво особено предимство за антената *W4KFC*.

#### 18.7. Опростени многообхватни антени

Дори с обикновените опростени многообхватни антени могат да се постигнат



Фиг. 18.29. Комбинирана двуобхватна насочена антена за обхватите 10 m и 15 m, предложена от *W4KFC*



Фиг. 18.30. Триобхватна антена Maria-Maluca

учудващо добри резултати, особено когато се отдаде монтирането на една такава антена на голяма височина над земята. По-долу са описани няколко опростени многообхватни излъчватели.

#### 18.7.1. Триобхватна антена Maria-Maluca

Антената, наречена *Maria-Maluca*, е разпространена в Латинска Америка. Тя може да се използва в любителските обхвати 10 m, 15 m и 20 m, при което активният елемент се възбужда чрез настроена захранваща линия и се настройва в резонанс с помощта на захранващата линия.

Антената Maria-Maluca е показана на фиг. 18.30. От нея могат да се видят всички подробности и размерите, необходими за построяването на антената. Тя работи като двуелементен насочен излъчвател за обхвата 10 m, като пасивният елемент представлява един твърде дълъг директор, разположен на разстояние  $\lambda/6$  от активния елемент. За обхвата 10 m активният елемент представлява един удължен дипол, който се настройва в резонанс чрез захранващата линия и звеното за връзка с антената по същия начин, както при насочената антена *GAZU*. В обхвата 15 m антената работи като нормален полувълнов дипол. Действието на директора е по-слабо, защото той, макар и да се намира на раз-

стояние  $\lambda/8$  от активния елемент, е твърде къс за обхвата 21 MHz. Все пак въздействието на директора определено съществува. Накрая в обхвата 20 m Maria-Maluca работи като скъсен дипол. Директорът би трябвало да има някакво макар и слабо действие и в този обхват; затова се твърди, че антената е равностойна на един нормален полувълнов дипол.

Антената се възбужда чрез захранваща линия с вълново съпротивление 300  $\Omega$  и определена дължина. Дължината може да бъде по избор 11,70, 18,50 или 23,55 m. Само тогава може да се получат най-благоприятни резултати от експлоатацията.

Maria-Maluca не може и няма претенции да бъде една високоефективна антена. Тя е антена, която може да се изработи с най-прости средства, работи в три обхвата и вече е доказана пригодността ѝ за установяване на DX-връзки.

#### 18.7.2. Опростени двуобхватни антени

Най-простата конструкция за работа в два обхвата представлява настроен полувълнов дипол, който има нормална дължина за по-нискочестотния от двата обхвата. Съответният директор е оразмерен за по-високочестотния любителски обхват, така че в него антената действа като двуелементен насочен излъчвател.

Таблица 18.2. Данни за оразмеряване на опростени двудиапазонни антени (фиг. 18.31 и фиг. 18.32)

Любителски обхвати	20 m + 15 m	15 m + 10 m	20 m + 10 m
Дължина $L_1$ (излъчвател)	10,19 m	6,83 m	10,19 m
Дължина $L_2$ (директор)	6,40 m	4,57 m	4,57 m
Дължина $L_3$ (рефлектор)	10,77 m	7,25 m	10,77 m
Разстояние $S_1$	1,70 m	1,27 m	1,27 m
Разстояние $S_2$	3,05 m	1,70 m	3,05 m

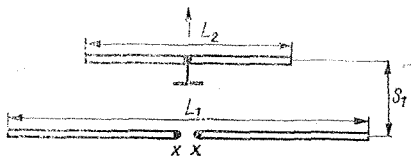
Схемата на една такава двубоковатна антена е показана на фиг. 18.31; механичната ѝ конструкция е същата, както на антената Maria-Malusa. По желание могат да се изработят конструкции за обхватите 20 m и 15 m, 15 m и 10 m или 20 m и 10 m. За всеки от написаните като първи обхвати антената представлява полувълнов дипол, докато за вторите обхвати тя винаги работи като двueleментен насочен излъчвател. Данните за оразмеряване на антената, показана на фиг. 18.31, са събрани в табл. 18.2.

На фиг. 18.32 е показана една по-сложна конструкция, в която се използват общо три елемента. При нея винаги действуват по два от елементите. В нискочестотния обхват антената се състои от активен елемент и рефлектор, във високочестотния — от активен елемент и директор. Данни за тази антена също могат да се намерят в табл. 18.2, като допълнително са дадени размерите, означени с  $L_3$  и  $S_2$ . Вижда се, че е възможно една антена като показаната на фиг. 18.31 без изменения да се разшири с добавянето на още един елемент с дължина  $L_3$ , разположен на разстояние  $S_2$  от активния елемент.

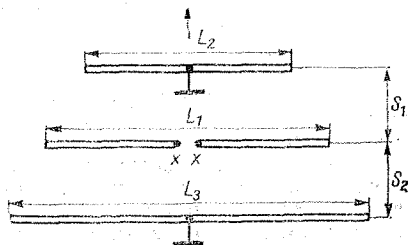
Двата вида антени се захранват чрез настроена линия с вълново съпротивление 300  $\Omega$ , като настройката на захранвания елемент трябва да стане чрез звеното за връзка с антената (вж. раздел 8.2). Оттук следва, че е възможно антената да работи временно и на трети обхват, като се настрои съответно звеното за връзка с антената. При това направлението на главния лъч може да се обърне и при определени условия антената да стане двупосочно излъчваща.

## 18.8. Трибоковатни антени «двоен квадрат»

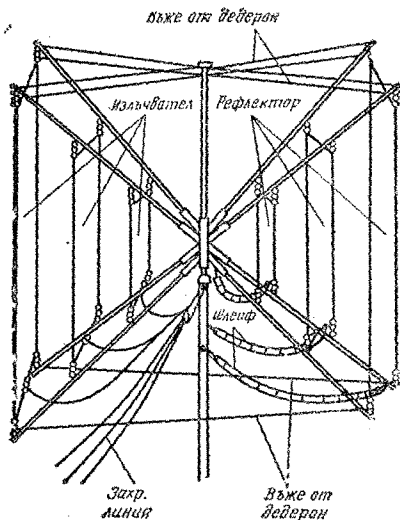
Рамковидната конструкция на антената „двоен квадрат“ (вж. раздел 15.1) е особено подходяща за построяване на комбинирана многообхватна антена, защото елементите за високочестотните обхвати могат лесно да се закрепят към носещата рамка. Дължината на страната на антената за обхвата 20 m обаче възлиза вече на повече от 5 m и не всеки радиолюбител може да се справи с тези размери. Въпреки това има много примери на трибоковатни антени „двоен квадрат“, които въпреки



Фиг. 18.31. Схема на опростена двубоковатна антена (за оразмеряването вж. табл. 18.2)



Фиг. 18.32. Схема на 2-елементна насочена антена за два обхвата (за оразмеряването вж. табл. 18.2)



Фиг. 18.33. Триобхватен „двоен квадрат“

олекотената си конструкция издържат на силни бури. Теглото на един триобхватен „двоен квадрат“ при използването на бамбукови пръти може да се сведе до 20 kgf. Както ветровото съпротивление, така и общото тегло могат да се намалят, ако вместо бамбукови пръти се осигурят полиестерни, подсилени със стъкловлакно (въдичарски пръти.)

Описаните по-долу триобхватни антени „двоен квадрат“ могат да бъдат изградени и като двуобхватни, ако се изостави работата в обхвата 20 m.

Най-големите трудности при построяването на „двойния квадрат“ се срещат при изработването на лека носеща конструкция, в която да няма преplitащи се проводници. За първи път W4NNQ е предложил конструкцията на основата на антената, която до този момент може да се смята за най-удачното решение на поставената задача както от електрическа, така и от механична гледна точка.

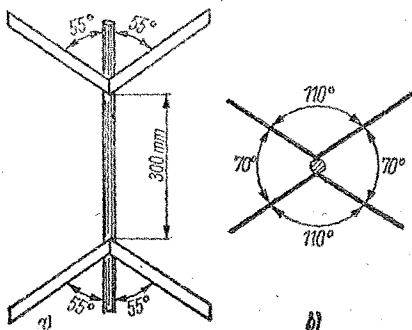
На фиг. 18.33 е представена схематично триобхватната антена „двоен квадрат“. Както се вижда, основата на антената представлява отрязък от тръба, към който са заварени радиално 8 подпори. Те от своя страна поемат бамбуковите пръти. Всяка от осемте

подпори е изработена от стоманен винкел, дълъг 50 cm, с размери на страните 40 mm × 40 mm и дебелина 5 mm. Опорната носеща тръба е дълга от 40 до 60 cm. Нейният вътрешен диаметър е равен на външния диаметър на тръбата на носещата мача.

Обикновено не могат да се дадат пълни данни за ъглите, под които трябва да се заваряват винкелите към опорната тръба, защото тези ъгли зависят от разстоянието, на което са разположени рефлекторите. Обикновено между горните и долните четири винкела се оставя известно разстояние, за да се увеличи механичната здравина на конструкцията. Конструкцията на средната опорна тръба, предложена от W4NNQ, е показана на фиг. 18.34a. Стоманените винкели се обработват в единия си край така, че да прилегнат добре към средната тръба и да могат да се заварят стабилно към нея. В този случай ъгълът, под който се заваряват винкелите, е равен на 55°.

Двойките винкели се разполагат спрямо опорната тръба така, че при поглед отгоре ъглите между тях да бъдат 110° и 70° (фиг. 18.34b). Изработването на носещата основа на антената изисква точна механическа работа и е най-трудната и едновременно най-важна част на триобхватната антена „двоен квадрат“.

Към всеки винкел се закрепва един бамбуков прът, дълъг най-малко 4 m, който в средата трябва да е дебел около 3 cm. Препоръчва се горната повърхност на бамбуковия прът да се



Фиг. 18.34. Средна опорна тръба на триобхватния „двоен квадрат“; а — изглед отстрани, б — изглед отгоре

обработи с груба шкурка и след това да се покрие с алкиден смолист лак. Без това защитно покритие бамбуковите тръби се разрушават за кратко време от атмосферно въздействие. За да се предотврати напукването на тръбата, във всяка нейна секция трябва да се пробие отвор с диаметър 3 mm. За същата цел всяка секция може да се обвие с няколко навивки от мек меден проводник и след това всички навивки се запояват.

Закрепването на бамбуковите тръби към винкелите става или чрез обвързване с лента от тънко тенек, или с подходящ проводник. В последния случай във външния ъгъл на винкела се правят нарязи, за да не се свлича обвързващият проводник. Препоръчва се краищата на бамбуковите тръби да се обвият с пластмасово фолио, за да се избегне врязването на обвързващия проводник в бамбуковата тръба. Тъй като бамбуковите тръби са достатъчно добри изолатори и дължината им е доста голяма, антенните проводници могат без всякакви опасения да се закрепят непосредствено към тях.

Излъчвателя и рефлекторът за обхвата 20 m, които образуват външната рамка на антената, трябва да се закрепят особено стабилно към краищата на бамбуковите пръти, като за целта антенните проводници се увиват около прътите и допълнително се стабилизират с крепежен проводник. Елементите за обхватите 15 m и 10 m могат да бъдат закрепени по-просто само с мек крепежен проводник. Могат да бъдат използвани и леки изолатори

закрепва към съответните краища на бамбуковите пръти. След това се спускат двата отвесни отрязъка с дължина също по 5,20 m и накрая се изработва долната хоризонтална страна с точката на захранване. Там проводникът се прекъсва в геометричната среда и се включва изолатор. Остатъкът от проводника на първо време може да виси свободно. След това по същия начин се извършва монтажът на антенния проводник за обхвата 15 m и накрая за обхвата 10 m. Дължината на страната на квадрата за обхвата 15 m възлиза на 3,50 m и за обхвата 10 m — на 2,55 m. Естествено положението на тези проводници върху бамбуковите пръти трябва да се избере така, че разстоянието между съседните бамбукови пръти да е равно на съответната дължина на страната на антенния елемент. Тези точки на закрепване може да се изчислят предварително (ъглови функции), но обикновено те се определят опитно. Дължините на страните на рефлекторите са равни на тези на активния елемент. Действието на рефлектора се постига чрез отрязък от двупроводна линия, свързан към долната му страна. Тези шлейфове, свързани накрая на късо, предизвикват електрическо удължаване на елементите и изместват резонансите им честоти към по-ниските стойности. Първоначалната дължина на шлейфовете в рефлекторите за различните обхвати възлиза на:

за обхвата 20 m — 2,00 m,  
за обхвата 15 m — 1,50 m,  
за обхвата 10 m — 1,00 m.

Окончателната дължина на шлейфовете се определя при настройката. Разстоянието до рефлектора влияе върху входното съпротивление на антената и върху нейното усилване. Разумно и целесъобразно е разстоянието между активния елемент и рефлектора да се избере така, че входното съпротивление на антената да съответствува на вълновото съпротивление на предвидената захранваща линия.

В табл. 18.3 са дадени приблизително стойностите на входното съпротивление, които могат да се очакват при различни разстояния между активния елемент и рефлектора; дадени са геометричните разстояния за високочестотните любителски обхвати.

Естествено още преди изработването

### 18.8.1. Елементи на антената

Като материал за елементите може да се използват едно- или многожилни медни проводници с до голяма степен произволен диаметър. Обаче най-често се предпочитат меден проводник с диаметър от 1,5 до 2 mm. За излъчвателя и рефлектора за обхвата 20 m са необходими по около 25 m проводник. Средата на този отрязък се отбелязва и след това вляво и вдясно от тази точка се измерват по 2,60 m. Получената по този начин дължина от 5,20 m дава дължината на една страна, по-точно на горната хоризонтална страна. Тази част от проводника се

Табл. 18.3. Входно съпротивление на антени „двоен квадрат“ в зависимост от разстоянието между активния елемент и рефлектора

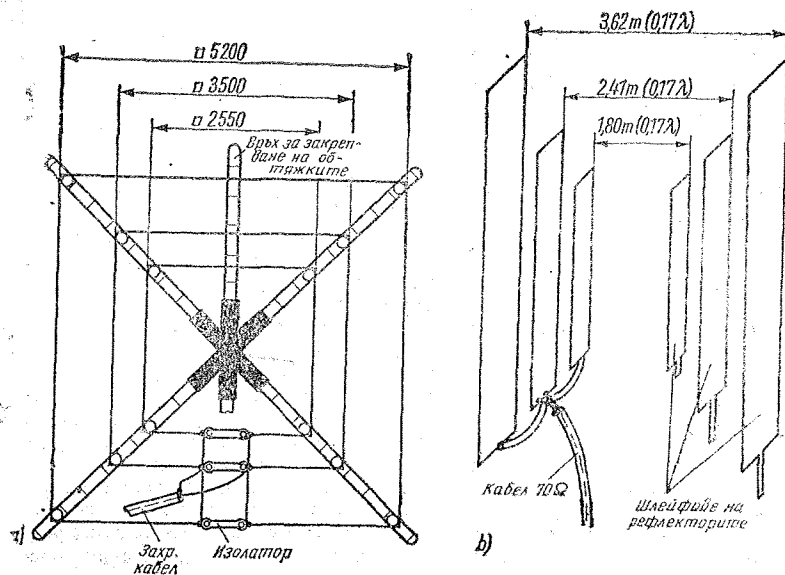
Входно съпротивление, $3 \Omega$	Разстояние до рефлектора, $\lambda$	Разстояние до рефлектора, m		
		Обхват 20 m	Обхват 15 m	Обхват 10 m
52	0,11	2,34	1,56	1,17
60	0,13	2,76	1,85	1,38
70	0,17	3,62	2,41	1,80
72	0,18	3,83	2,56	1,91
75	0,20	4,25	2,84	2,12

на носещата основна тръба на антената трябва да се предвиди какво ще бъде разстоянието между излъчвателя и рефлектора, защото то определя ъгъла, под който се заваряват стоманените винкели. След като се монтират елементите, цялата антенна система се натяга с подходящи пластмасови обтяжки, за да получи нужната стабилност. Идеален материал за обтяжки е стъклоплакното с мека пластмасова

обвивка (от PVC). То гарантира голяма здравина, изолира добре и, което е особено важно, не се разтяга.

### 18.8.2. Захранване

Входното съпротивление на антенната система е от порядъка на  $70 \Omega$  и затова е възможно директно включване на произволно дълъг коаксиален



Фиг. 18.35. Подкреждане и захранване на елементите; а — изглед отпред (активен елемент), б — активен елемент и рефлектори, изглед отстрани



кабел. Практическият опит е показал, че в късовълновия обхват не е безусловно необходимо да се симетрира коаксиалният кабел и почти всички „двойни квадрати“ за късовълновия обхват работят с директно захранване чрез коаксиален кабел.

Обикновеният начин за захранване на един триобхватен „двоен квадрат“ предполага използването на отделна захранваща линия за всеки от обхватите. Така всичко е пределно ясно. Обаче особено при големи дължини на захранващите линии е необходим твърде много коаксиален кабел. Ако всяка отделна антена система е съгласувана оптимално, възможно е активните елементи на един триобхватен двоен квадрат да се включат паралелно в точките на захранване и да се възбудят чрез един единствен коаксиален кабел (фиг. 18.35). Най-добре е последният да се свърже към точките на захранване на активния елемент за обхвата 15 m. При това обаче към дължината на проводника на излъчвателя се прибавя и дължината на свързващите кабели и резонансната честота се измества към по-ниските честоти. Затова е необходимо дължината на проводника на излъчвателя да се намали предвидително толкова, колкото дълг ще бъде свързващият кабел между отделните излъчватели. Това скъсяване може да се постигне и по електрически път, като се включат подходящи по стойност кондензатори.

Триобхватният „двоен квадрат“ предлага на любознателните радиолюбители големи възможности за експерименти. Би могло напр. да се помисли за това, дали не е възможно размерите на секцията за обхвата 20 m да се намалят, както това се прави при скъсените насочени антени, или пък да се разработи триобхватен „двоен квадрат“ с размерите на „двоен квадрат“ за обхвата 15 m, при което нормалният активен елемент за обхвата 15 m да се настройва в резонанс и за обхвата 20 m. Така би се помогнало и на останалите DX-любители. Все пак такива изменения, както вече беше казано, се отразяват неблагоприятно на широчината на пропусканата честотна лента, на усилянето и на диаграмата на насочено излъчване.

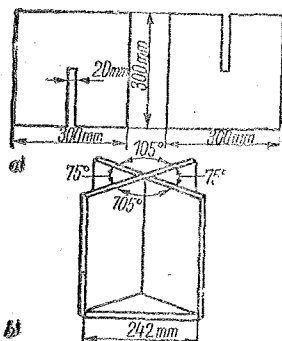
### 8.8.3. Настройка

За начало захранваните елементи трябва да се настройват в резонанс. За целта захранващата линия се включва към настройвания в момента елемент, при което към нея чрез шлейф се включва един рефлектометър. Като се използва работен предавател, измерителен генератор или гриддипметър, се възбужда излъчвателят и работната честота се изменя в широки граници. Показанията на рефлектометъра се следят непрекъснато. Честотата, при която коефициентът на стоящи вълни в захранващата линия има минимална стойност, е резонансната честота на активния елемент. Ако тя не съвпада с желаната работна честота в съответния обхват, дължината на елементите трябва да се измени по съответния начин (например според фиг. 15.4).

Следва финалната настройка на рефлекторите; целта е да се постигне най-голямо затихване на излъчения сигнал в обратна посока. Използува се един прост индикатор на напрегнатостта на полето (спомогателна антена + германиев диод + измерителен уред), който е отдалечен на около 50 m и по възможност е монтиран на еднаква височина с „двойния квадрат“. Триобхватният „двоен квадрат“ се завърта така, че равни „а“ на рефлектора да се обвърне към индикатора на напрегнатостта на полето. При включен предавател мостчетата за късо съединение в шлейфовете на рефлектора се преместват така, че индикаторът на напрегнатостта на полето да покаже един изразен минимум. Тази настройка трябва да се извърши прецизно — минимумът е много силно изразен. При настройката на рефлектора до известна степен се изменя и резонансната честота на активния елемент. За това се препоръчва още една последна проверка на настройката с помощта на рефлектометър.

## 18.9. Триобхватен „двоен квадрат“ CQ-PA

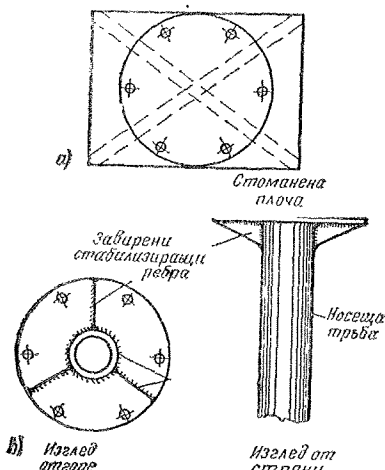
В холандското списание за радиолюбители CQ-PA е описан триобхватен „двоен квадрат“, разработен от PAXE. Неговата механична конструкция е много проста и може да се препоръча на радиолюбителите като една от най-удачните съвременни конструкции. Други предимства на тази антена са след-



Фиг. 18.36. Носеща основа на антенната CQ—PA; а — отделните плочи, б — сглобена носеща основа

ните: не се използват никакви шлейфове или подобни средства за настройка; във всички обхвати разстоянието между активният елемент и рефлекторът е оптимално. Ако всички размери на антената се спазят точно, не е необходима никаква настройка.

РАØХЕ не използва за носеща основа на антената конструкция от стоманени винкели, заварени към тръба, а стойка, изработена от дървесни плоскости с дебелина 20 mm (фиг. 18.36). Допълнителният чертеж (фиг. 18.36а)

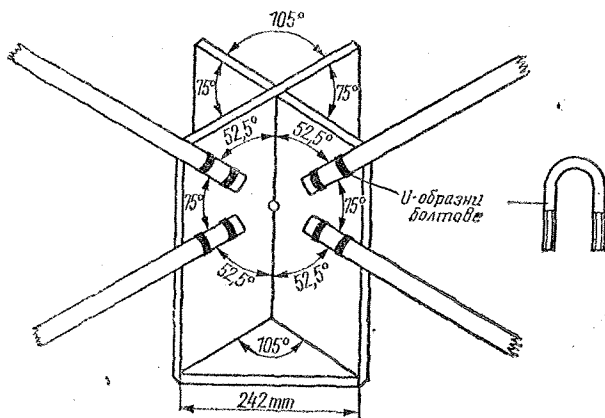


Фиг. 18.37. Закрепване на мачтата към носещата основа. а — стоманена плоча, б — заварени на стоманена пластина

показва две квадратни дървесни плоскости от материал с дебелина 20 mm и дължина на страната 300 mm. Всяка от плочите в средата на едната си страна има шлиц с дължина 150 mm и ширина 20 mm. Двата шлица трябва да се изработят така, че при сглобяването на плочите да се получат двата ъгъла от 105° и 75° (наклонени ръбове на шлицовете). От същият материал се изразява и една правоъгълна основна плоча с размери 242 mm × 184 mm. Ако тази основна плоча е изработена точно, а върху нея се поставят двете кръстосани дървени плочи, нужните ъгли от 105° и 75° се получават от само себе си.

Така получената носеща основа на антената се стабилизира чрез залепване на дървесните плочи, които допълнително могат да се фиксират и с винтове. Винтовете в основната плоча трябва да бъдат с ферзенк. Дървесните плоскости трябва да се импрегнират многократно с ленен безир или да се покрият с качествен маслен лак. Още по-стабилни и устойчиви на атмосферни въздействия, но и по-скъпи са гетинаксовите плочи със съответната дебелина. След това носещата плоча се закрепва към носещата мачта. Върху долната страна на носещата плоча, както е показана на фиг. 18.37, се поставя кръгла стоманена плоча с диаметър 180 mm и дебелина от 3 до 5 mm. В стоманената плоча се пробиват 6 отвора с диаметър около 5 mm, разпределени равномерно по обиколката ѝ. Едновременно се пробива и основната плоча. Отворите трябва да се разпределят така, че при затягането на винтовете те да могат да се въртят свободно. Стоманената плоча не трябва да бъде непременно кръгла, тя може да има размерите на основната плоча (242 × 184 mm).

РАØХЕ препоръчва за носеща мачта да се използва 1,5-цолова водопроводна тръба. За начало е необходима тръба с дължина 3 m. В единия ѝ край се нарязва външна резба, която е необходима, за да може мачтата да се удължава при нужда, като се използват тръбни муфи. В другия край на тръбата след точно центриране се заварява стоманена плоча. Носещата мачта да бъде перпендикулярна на стоманената плоча. Препоръчва се последната да се укрепи допълнително с



Фиг. 18.38  
Закрепване на носещите  
рамена

три конзоли под формата на правоъгълни триъгълници, които биха могли да поемат страничния натиск (фиг. 18.37b).

За носещи рамена са необходими 8 бамбукови пръта с дължина по 4,50 m. За да могат те да се фиксират към носещата основа, са необходими общо 16 U-образни шпилки. Размерите на тези шпилки зависят от размера на бамбуковите пръти. Шпилките, гайките, шайбите и всички останали метални части по възможност трябва да бъдат цинковани или кадмирани; в краен случай трябва да се покрият поне с качествен лак за защита от ръжда.

Закрепването на носещите рамена към носещата основа на антената е показано на фиг. 18.38. За по-добра прегледност са начертани само 4 носещи рамена; останалите 4 бамбукови пръта трябва да се монтират по същия начин в срещуположния ъгъл от 105°. Трябва особено да се внимава наклонът на носещите рамена спрямо вертикалата да бъде точно 52,5°. Този ъгъл се определя много лесно: изработва се шаблон от хартия, като се използва ъгълът от 105° и след това този ъгъл се разделя на две чрез сгъване на шаблона. ( $105 : 2 = 52,5$ ). Като се използват тези шаблони, може да се отбележат местата на дупките за U-образните шпилки. Препоръчва се вътрешните шпилки да не се поставят много близо до линията на пресичане на плочата, за да остане достатъчно място за навиване и развиване на гайките. За да не се смачкат бамбуковите тръби при силно

затягане на гайките, по-дебелият край на тръбите, който се затяга, се обвива в изолирбанд или друг подходящ материал. В началото на този раздел беше описано как трябва да се обработват бамбуковите тръби.

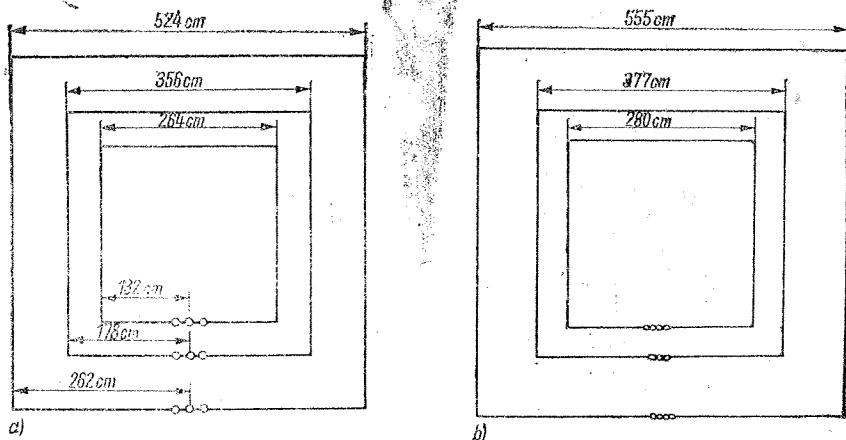
Следва изготвянето и монтирането на елементите. За материал се използват едно- или многожилни медни проводници, които могат да издържат механичното натоварване. Необходими са общо около 100 m проводник.

РАОХЕ е използвал многожилен проводник с пластмасова изолация, който може да се обработва много лесно. Активните елементи и рефлекторите сами за себе си са настроени в резонанс и за това не са необходими шлейфове или други спомагателни средства за настройка. Това обаче означава, че всеки активен елемент получава своя собствена захранваща линия; следователно към помещението на станцията се отвеждат 3 коаксиални кабела. Могат да се използват всички видове коаксиални кабели с вълново съпротивление между 50 и 75  $\Omega$ .

Рефлекторите се състоят от затворени четириъгълници от антенен проводник (фиг. 18.39a). Активните елементи са прекъснати в геометричната среда на долната хоризонтална страна (фиг. 18.39a). Там се включва захранващият кабел.

За изработване на елементите на антената трябва да се изрежат проводници със следната дължина:

обхват 20 m



Фиг. 18.39. Елементи на антената: *a* — активни елементи, *b* — рефлектори

Дължина на проводника на активния елемент 21,06 m, от тях 2×5 cm за закрепване към разделителния изолатор. Така се получава дължина на опънатия проводник 20,96 m, съответстваща на дължина на страната 524 cm.

Дължина на проводника на рефлектора 22,25 m, от тях 2×5 cm за усукване и запояване на краищата на проводника. Получава се обиколка на рефлектора 22,20 m, т. е. дължина на страната 555 cm.

*обхват 15 m*

Дължина на проводника на активния елемент 14,34 m, от тях 5 cm за закрепване към разделителния изолатор. Обиколката на активния елемент е 14,24 m, което съответства на дължина на страната 356 cm.

Дължина на проводника на рефлектора 15,13 m, от тях 5 cm за усукване и запояване на краищата на проводника. Обиколката на рефлектора е 15,08 m, дължината на страната му — 377 cm.

*обхват 10 m*

Дължина на проводника на активния елемент 10,66 m, от тях 2×5 cm за закрепване към разделителния изолатор. Обиколката на активния елемент е 10,56 m, дължината на страната — 264 cm.

Дължината на проводника на рефлектора е 11,25 m, от тях 2×5 cm за усукване и запояване на краищата на проводника. Обиколката на рефлектора е 11,20 m, дължината на една от страните — 280 cm.

Изрязаните парчета от проводник с определените дължини се опъват и местата, които по-късно ще бъдат закрепени към носещите рамена, се отбелязват с бързо изсъхващ лак. Често е достатъчно тези места да се отбележат и чрез завързване на едно здраво полиетиленово шнурче; когато то е с по-дълги краища, може след това да се използва за закрепване на проводника към носещите рамена. Подреждането на елементите и дължините на страните им са показани на фиг. 18.39. От този чертеж може да се определи и положението на точките, които трябва да се отбележат по описания по-горе начин.

Монтирането на цялата антенна система е добре да се извърши в следния ред:

*a* — върху носещата основа се монтира 4-те насочени нагоре носещи рамена; *b* — нагласят се горните хоризонтални страни на активните елементи и рефлекторите и се закрепват насочените нагоре носещи рамена

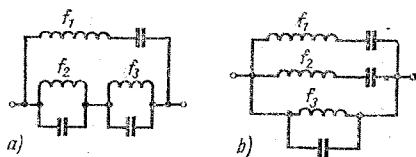
Елементите висят между два бамбукови пръта, които сключват помежду си ъгъл от 75°. Препоръчва се още в този момент да се поставят обтяжките от пластмасово влакно или стък-

ловлажно, защото горните носещи рамена са все още лесно достъпни;  $c$  — носещата основа на антенната се завинтва към носещата мачта, дълга около три метра. Носещата мачта се изправя вертикално нагоре.  $PA\emptyset XE$  препоръчва долният край на носещата мачта временно да се постави в голям дървен сандък, като в горната и долната страна на сандъка се пробият отвори с диаметър, равен на диаметъра на тръбата на носещата мачта. До завършването на монтажа антенната може да остане закрепена в този сандък;  $d$  — към носещата основа се закрепват и 4-те насочени надолу носещи рамена. Към тях се закрепват вертикалните страни на елементите;

$e$  — краищата на проводниците на рефлекторите се запояват така, че да се образува долната хоризонтална страна. Между краищата на проводниците на активните елементи се поставя по един изолатор. Така в средата на долната хоризонтална страна на активния елемент се оформят точките на захранване;

$f$  — носещите рамена се натягат с подходящи пластмасови въженица. Това придава на цялата система необходимата стабилност. Антенната придобива правилна кубична форма. Коаксиалните кабели с вълново съпротивление между 50 и 60  $\Omega$  се свързват към точките на захранване и допълнително се прикрепват към носещата основа, защото тежестта им не бива да се поема от антенните проводници.

С това монтирането на триобхватната антенна „двоен квадрат“  $CQ-PA$  е завършено и тя е готова за работа. За конструктора остава нелеката за-

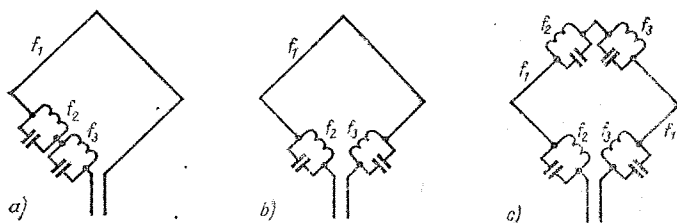


Фиг. 18.40. Триобхватни трептящи кръгове в два варианта

дача да пренесе антенната система на покрива на къщата си или да я монтира на по-висока носеща мачта.

## 18.10. Триобхватен «двоен квадрат» с прости шлейфове $VK2AOU$

$VK2AOU$  е разработил, изпробвал и описал един пълноценен триобхватен „двоен квадрат“, който едва ли оставя място за някакви усъвършенствувания. При тази триобхватна антенна  $VK2AOU$  също изхожда от принципа на многообхватния трептящ кръг, използван при известната триобхватна Яги-антена (вж. раздел 18.2.). По този начин е възможно да се постигне резонанс и за трите обхвата (10 m, 15 m и 20 m) само с един активен елемент и един рефлектор. На фиг. 18.40 са показани схематично триобхватни трептящи кръгове в два различни варианта. Ако се вземе всеки от трептящите кръгове сам за себе си, неговата резонансна честота не съвпада с нито една от желаните работни честоти, но цялата система е настроена в резонанс и за трите работни честоти. Когато в схемата, показана на фиг. 18.40a, последовател-

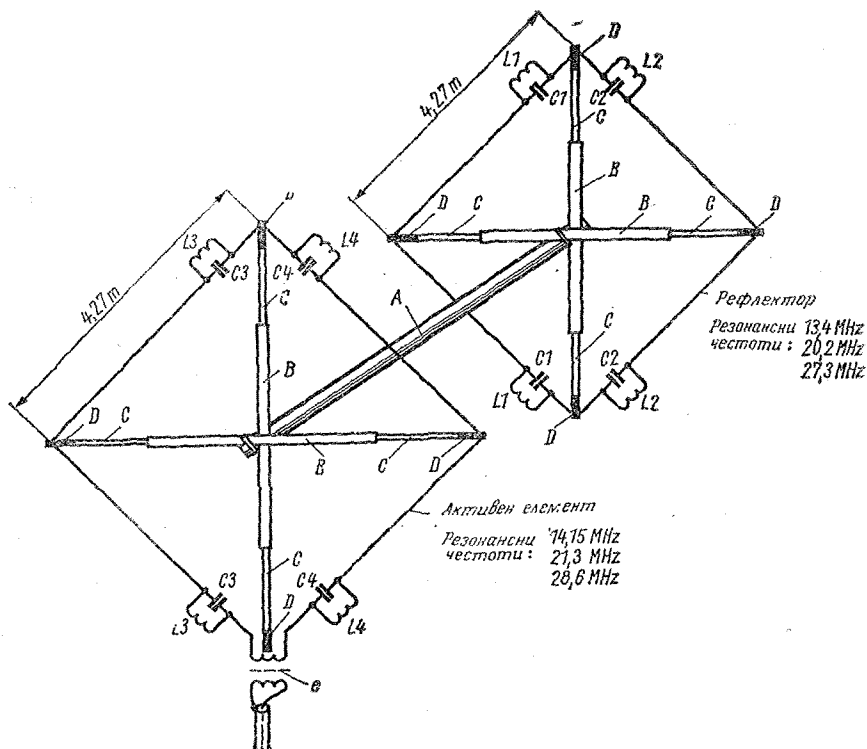


Фиг. 18.41. Схема на триобхватен „двоен квадрат“, предложен от  $VK2AOU$ :  $a$  — механична конструкция (вж. фиг. 18.40a),  $b$  — поставяне на  $f_2$  и  $f_3$  симетрично на точките на захранване,  $c$  — поставяне на  $f_2$  и  $f_3$ , когато общата дължина на квадратната рамка надхвърля  $1,5\lambda$  за най-високата работна честота

ният третият кръг  $f_1$  се замести от елемент на антена, характеристиката на настроената триобхватна схема не се променя. Ако този антенен елемент е една квадратна рамка, получава се схемата, показана на фиг. 18.41a, в която квадратната рамка представлява само последователният третият кръг  $f_1$  с разпределени  $L$  и  $C$ . От съображения за механична и електрическа симетрия двата кръга  $f_2$  и  $f_3$  се подреждат от двете страни на точките на захранване (фиг. 18.41b). Схемата, показана на фиг. 18.41c, при която във всяко рамо на рамката е свързан по един третият кръг, се използва, когато общата дължина на квадратната рамка надхвърля 1,5 m за най-високата работна честота.

#### 18.10.1. Електрическа схема на триобхватния „двоен квадрат“

Антената се състои от две еднакви квадратни рамки от проводник с дължина на страната 4,27 m; конструкцията ѝ е представена на фиг. 18.42. Тя има два пъти по-малко ветрово съпротивление от това на описаните в предишния раздел триобхватни „двойни квадрати“. Могат да бъдат използвани елементи с по-малка или по-голяма дължина, при което се появява съответното намаляване или увеличаване на ефективността на антената. Оказало се е, че дължината на страната 4,27 m е много близо до оптимума по



Фиг. 18.42. Механична конструкция на триобхватния „двоен квадрат“, предложен от VK2AOU

отношение ефективността и разхода на материали.

Активният елемент, състоящ се от една рамка, е настроен в резонанс за три обхвата, напр. за 14,15 MHz, 21,3 MHz и 28,6 MHz. Резонансните честоти на рефлектора трябва да бъдат съответно по-ниски, именно 13,43 MHz, 20,20 MHz и 27,30 MHz.

За такива триобхватни квадратни елементи важи следното:

- работните честоти могат да се разпределят в граници от 1,6:1 до 3:1;

- не е необходимо работните честоти да са хармонични една на друга;

- антената не се задейства на висши хармонични на работната честота (изключение — когато хармоничната честота практически е равна на една от работните честоти);

- цялата дължина на елемента излъчва при всички работни честоти;

- достатъчно е във всеки елемент да се включи една единствена двойка резонансни кръгове (фиг. 18.41b), стига общата дължина на квадратната рамка да не надвишава  $1,5 \lambda$  за най-малката дължина на вълната. При по-дълги квадратни елементи са нужни по 2 двойки настроени резонансни кръгове за всеки от елементите (фиг. 18.41c). Така се избягват трудностите при настройката в най-високочестотния обхват.

При показаната конструкция общата дължина на елемента (17,08 m) надхвърля  $1,5 \lambda$  за обхвата 10 m. Затова във всеки елемент са използвани по 2 двойки настроени паралелни резонансни кръгове.

Кръговите капацитети могат да бъдат реализирани чрез въздушни или керамични тример-кондензатори. Поне толкова добри са и капацитети, получени чрез отворени отрязъци от коаксиален кабел. Както е известно, всеки коаксиален кабел има известен капацитет между вътрешния и външния проводник, който се дава в pF/m. При обикновените продавани коаксиални кабели с вълново съпротивление около 60  $\Omega$  и диелектрик от полиетилен капацитетът възлиза на 85 pF/m. Лесно може да се пресметне дължината на кабела, която съответства на предварително известния кръгов капацитет. Могат да се използват всички налични типове коаксиални кабели с произволно вълново съпротивление; важно е един-

ствено да се знае капацитетът  $\kappa$  pF за 1 метър дължина на кабела.

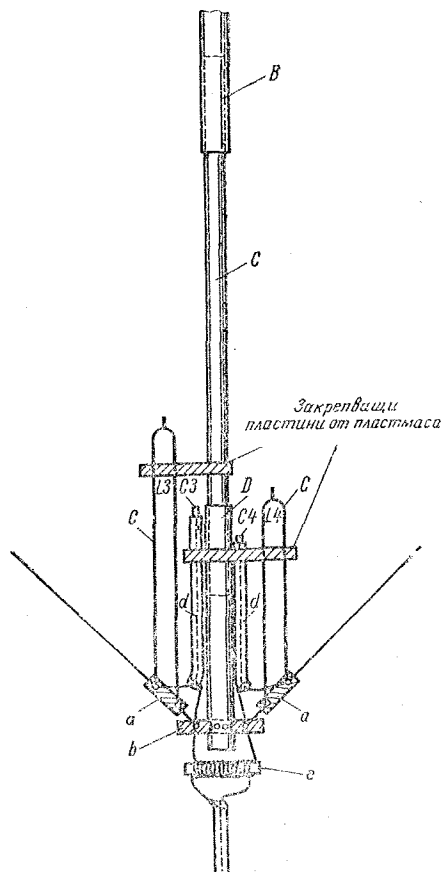
За кръгови индуктивности се използват U-образни шлейфове от възможно най-дебел проводник (с диаметър  $\geq 2$  mm) и разстояние между проводниците около 60 mm (не е критично). Общата дължина на проводника на активния елемент плюс дължината на четирите шлейфа съответства приблизително на дължината на вълната за най-ниската работна честота.

## 18.10.2. Предложение за конструктивно оформление

Хоризонталната носеща стрела А е дълга 2,60 m и тя определя разстоянието между двата елемента на квадрата (2,45 m). В обхвата 20 m това съответства на разстояние между активния елемент и рефлектора  $0,115 \lambda$ , в обхвата 15 m —  $0,173 \lambda$  и в обхвата 10 m —  $0,232 \lambda$ .

Стрелата А е изработена от дуралуминиева тръба с диаметър около 50 mm и дебелина на стената поне 3 mm. Кръстосаните носещи рамена не са изработени, както обикновено от бамбукови пръти или от пръти от фибростъкло, а също от дуралуминиева тръба. Носещите рамена, състоящи се от частите В, С и D, се закрепват кръстосани върху носещата стрела. Частите В се състоят от 7/8-цолови тръби ( $\varnothing \approx 22$  mm) с дължина 3,66 m и дебелина на стената 1/16 цола (приблизително 1,6 mm). Те са изработени от дуралуминий. В свободните им краища са вмъкнати и укрепени 4 тръби от лек метал с дължина 1,22 m, дебелина 3/4 цола (равнява се на диаметър 19 mm), които навлизат в по-дебелите тръби на около 200 mm (част С).

Тръбите от PVC с диаметър 3/4 цола (19 mm) и дължина 250 mm са използвани като изолатори за проводника на елемента на антената (част D). За да може да се закрепят към тръбите от лек метал С, тръбите от PVC трябва да се нагряят и да се разширят така, че да могат да обхванат отвън тръбите С съвсем плътно на разстояние около 100 mm от края им. Свободните краища на тръбите от PVC също се нагряват, сплескват се и се пробиват отворите, през които ще мине антен-



Фиг. 18.43. Механична конструкция на паралелните трептящи кръгове и включване на захранващия кабел (не е в мащаб)

ният проводник. Общата дължина на носещите рамена от изолатор до изолатор възлиза на 6,15 m; страната на квадратната рамка е дълга 4,30 m.

Носещите рамена се закрепват с подходящи U-образни болтове, като се кръстосват под ъгъл  $90^\circ$ . За да се осигури това положение на носещите рамена спрямо носещата стрела, върху последната би трябвало да се изработят подходящи нарязи. Естествено тази конструкция би могла да бъде изменяна съобразно с наличните материали.

Паралелните резонансни кръгове са разположени непосредствено в горните и долните ъгли на елемента. За целта в тези точки проводникът на елемента се прекъсва електрически чрез една пластмасова пластина (размери  $75 \text{ mm} \times 13 \text{ mm} \times 6 \text{ mm}$ ). Това е показано на фиг. 18.43. Резонансните кръгове, всеки от които се състои от един U-образен шлейф *c* и един кондензатор *d*, изработен от коаксиален кабел, се закрепват към тази изолационна пластина и се свързват със съседните проводници на елемента.

U-образните шлейфове *c* са изработени от дебел меден проводник с лакова изолация (диаметър  $\geq 2 \text{ mm}$ ); те се закрепват към вертикалните носещи рамена, като се използват подходящи пластмасови подпорки. Отразителите от коаксиален кабел, които служат като капацитети, се закрепват направо върху носещите рамена. Използват се подходящи залепващи ленти. Външният проводник на кабела (екраниращата оплетка) трябва да се свързва към точки с ниско високочестотно напрежение. Тези точки винаги

Таблица 18.4. Данни за оразмеряването на паралелните резонансни кръгове

Дължина на проводника на шлейфа, m	Дължина на U-образния шлейф, m	Капацитет на кръга, pF	Дължина на кабела при 85 pF/m, m
$L_1=1,75$	0,84	$C_1=56$	0,66
$L_2=1,32$	0,62	$C_2=26$	0,31
$L_3=1,45$	0,66	$C_3=53$	0,63
$L_4=1,07$	0,50	$C_4=23$	0,27

Разстоянието между проводниците на U-образния шлейф е 60 mm. Дължините на свързващите проводници не са включени в горните стойности.



Таблица 18.5. Резонансни честоти измерени при U-образните шлейфове

Елемент	Резонансни честоти	
	Дълги шлейфове	Къси шлейфове
Активен елемент	$L_3$ 14,15 MHz	$L_4$ 21,3 MHz
	18,0 MHz	28,6 MHz
	21,3 MHz	31,0 MHz
Рефлектор	$L_1$ 13,43 MHz	$L_2$ 20,2 MHz
	15,8 MHz	26,9 MHz
	20,2 MHz	27,3 MHz

За да се запази симетрията, трептящите кръгове, монтирани в горните ъгли на антената, трябва да бъдат еднакви по конструкция и електрически параметри с кръговете, монтирани в долните ъгли на антената.

са разположени непосредствено до вертикалните посеци рамена. За да се осигури изолацията между вътрешния и външния проводник на кабела, оплетката трябва да се отстрани приблизително на 2 см от края на отрязъка. Краищата на кабела след завършване на настройката на антената трябва да се покрият с подходящо изолиращо лепило, за да се защитят от влагата.

За осигуряване на симетрия в точките на захранване е включен симетриращ трансформатор. Той позволява излъчвателят да се възбуди симетрично чрез произволно дълъг коаксиален кабел с вълново съпротивление от 50 до 75  $\Omega$ . Симетриращият трансформатор е навит върху феритна пръчка с диаметър около 13 mm и дължина 75 mm. Първичната и вторичната намотка са навити бифилирно, имат по 9 навивки и са изработени от лакиран меден проводник с диаметър 1,6 mm. Симетриращият трансформатор е поставен в пластмасова кутия, за да бъде защитен от атмосферни въздействия. Тази кутия е снабдена с гнездо за включване на захранващата линия.

Данните за механичните размери на елементите на паралелния резонансен кръг могат да се вземат от табл. 18.4.

### 18.10.3. Настройка на триобхватния «двоен квадрат»

Ако елементите на антената се изработят точно по описанието, ще бъде

необходима незначителна донастройка. Тя би могла да се извърши по метода, използван от VK2AOU.

Един напълно готов елемент на антената се поставя върху най-горното стъпало на бояджийска стълба, разположен успоредно на земната повърхност и на височина около 1,5 m над нея. Така всички настройващи елементи са лесно достъпни. Предварително един транзисторизиран гريدдипметър се еталонира чрез сравняване с приемника на радиостанцията и върху скалата на уреда се маркират предварително избраните работни честоти. Тези честоти са дадени в таблица 18.5. Елементът, разположен само на 1,5 m успоредно на земната повърхност, има много по-голям капацитет спрямо земя, отколкото в окончателното си работно положение (когато се намира на много по-голяма височина над земята и е вертикално ориентиран). За да се компенсира този по-голям капацитивен товар, при настройката зададените резонансни честоти трябва да се намалят с 3–4%.

С гريدдипметъра, който се включва към затворения край на U-образния шлейф, се установяват съществуващите резонансни честоти. Измерват се по три резонансни честоти: резонансната честота на самия U-образен шлейф, която не съвпада с нито една от работните честоти, и две други честоти, които са равни или близки на работните честоти (вж. табл. 18.5). Средната работна честота (21 MHz) се измерва

и при късия, и при дългия U-образен шлейф. Напротив, честотата 28 MHz се измерва само при късия шлейф, а честотата 14 MHz — само при дългия шлейф. При настройката се изменят:

- в обхвата 14 MHz — дължината на проводника на дългия U-образен шлейф  $L_3$ , съотв.  $L_1$ , или дължината на проводника на квадратния елемент;
- в обхвата 21 MHz — кондензаторът на дългия U-образен шлейф или дължината на проводника на късия U-образен шлейф  $L_4$ , съотв.  $L_2$ ;
- в обхвата 28 MHz — кондензаторът на малкия U-образен шлейф.

Ако напр. работната честота трябва да бъде 14,25 MHz, но е измерена резонансна честота 14,0 MHz, трябва или да се скъси проводникът на квадратния елемент, или да се намали индуктивността на дългия U-образен шлейф. Индуктивността се намалява стъпално, като през всеки 5 cm се усуква затвореният край на шлейфа и по този начин се намалява механичната дължина на дупроводната линия. При настройката чрез капацитетите трябва да се внимава много, защото при честота 28,0 MHz едно изменение на капацитета с 2 pF води до повишаване на честотата с 500 kHz. В по-нискочестотните обхвати влиянието на изменението на капацитетите е съответно по-малко. Капацитетът може да се намали, като през един сантиметър се отстранява оплетката на отрязъка от коаксиален кабел откъм свободния му край.

Започва се с настройката за честота 14 MHz, следва тази за честота 21 MHz и последна се извършва настройката за честота 28 MHz. Един рефлектометър е много полезен при настройката на активния елемент. Резонансните честоти на активния елемент винаги съвпадат с честотите, при които коефициентът на стоящи вълни е минимален.

Рефлекторът се настройва по същия начин на честотите, дадени в табл. 18.5. Съществува възможност в антената да се включи като директор още един, трети елемент. Неговите резонансни честоти се получават, като се увеличат с 5% честотите, зададени за активния елемент.

Ако се извършва фина настройка за

максимално потискане на излъчването в обратна посока или за максимално излъчване в направлението на главния лъч, антената предварително трябва да се монтира в работното си положение и измерванията се правят чрез помощна антена, монтирана на същата височина. Първо се проверяват резонансните честоти на активния елемент, като в захранващата линия с помощта на шлейф се включва един рефлектометър, а антената се възбужда от предавателя. Чрез изменение на честотата на предавателя се установяват честотите, при които коефициентът на стоящи вълни в линията е минимален. Тези честоти съответствуват на резонансните честоти на активния елемент, които, в случай че това е необходимо, трябва да бъдат коригирани до известна степен. След като се получат желаните работни честоти, може да се пристъпи към фина настройка. Антената се възбужда от предавателя. Както обикновено, за контрол на излъчването се използва един отдалечен индикатор на напрегнатостта на полето с измерителен дипол. Фината настройка на антената се свежда до донастройка на рефлектора. Трябва да се постигне във всички обхвати коефициент на стоящи вълни 1,5 : 1; допустимо е той да нарасне в краищата на обхватите до 2 : 1.

Материали, необходими за изработването на триобхватен „двоен квадрат“ (фиг. 18.42, съотв. фиг. 18.43):

Част А — дуралуминиева тръба с диаметър 50 mm, дебелина на стената 3 mm, дължина 2,60 m.

Част В — 4 броя дуралуминиеви тръби с диаметър 22 mm, дебелина на стената 2 mm, дължина 3,66 m.

Част С — 8 броя дуралуминиеви тръби с диаметър 18 mm, дебелина на стената 1,5 mm, дължина 1,22 m.

Част D — 8 броя тръби от PVC с вътрешен диаметър от 16 до 18 mm, дължина 0,25 m;

Част а — 8 броя пластини от полистирол с размери 75 mm × 13 mm × 6 mm.

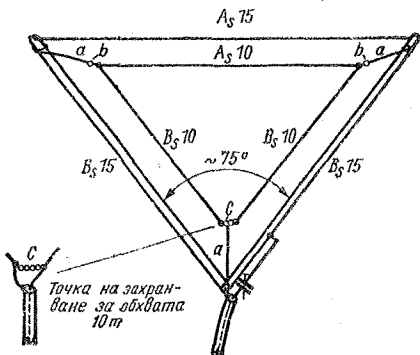
Част б — 4 броя текстолитови пластини с размери 100 mm × 13 mm × 6 mm.

Част с — 8 броя U-образни шлейфове с размери, дадени в табл. 18.4.

Част d — 8 броя отрязъци от коаксиален кабел с дължина, посочена в табл. 18.4.

Част e — 1 брой симетриращ трансформатор, изработен според описанието.

Освен това са необходими около 40 m меден едно- или многожичен антенен проводник, както и принадлежности за закрепване, натягане и фиксиране на елементите на антената.



Фиг. 18.44. Конструкция на комбинирана дву-обхватна делтовидна рамкова антена за обхватите 15 m/10 m (размерите  $A_s$  и  $B_s$  са дадени в табл. 15.4):  $a$  — пластмасови обтяжки,  $b$  — изолатори,  $c$  — точки на захранване за обхвата 10 m

## 18.11. Многообхватни делтовидни рамкови антени

Известните делтовидни рамкови антени (вж. раздел 15.4.5.) също имат многообхватни модификации, доказали на практика своите добри качества. Това обаче не означава, че тези делтовидни антени представляват напълно отработени конструкции с ясно определена характеристика на излъчване. Радиолюбителите обикновено нямат възможност да направят сравнение с ефективността на друга антена, напр. „двоен квадрат“, а отделните наблюдения, правени повече или по-малко „на око“, не могат да имат всеобща валидност.

### 18.11.1. Комбинирани многообхватни делтовидни рамкови антени

Както и при „двойния квадрат“ (раздел 18.8. и раздел 18.9.), чрез комбинирано включване на елементите на делтовидните рамкови антени може да се осъществи работата им в няколко обхвата (фиг. 18.44). Тъй като е трудно да се изработи делтовиден елемент с нормални размери за обхвата 20 m, който да има необходимата механична стабилност, тези антени работят само в обхватите 10 m и 15 m. Елементите на антената могат да се оразмерят според данните от табл. 18.4 или дължините им се пресмятат по уравн. (15.10) и уравн. (15.11).

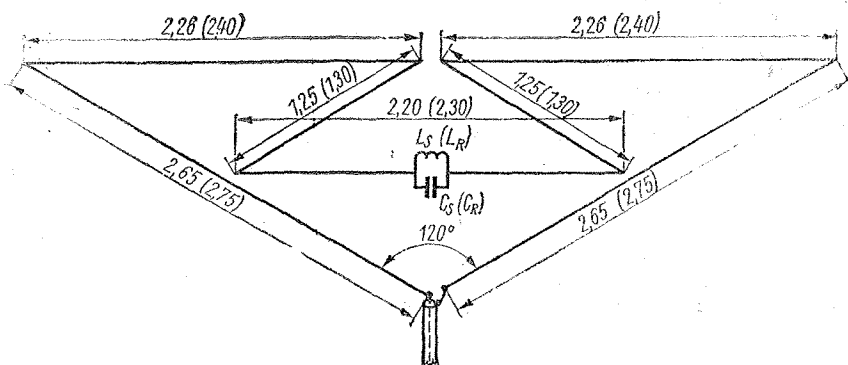
Елементът за обхвата 10 m, монтиран в стабилната рамка за обхвата 15 m, е изработен от многожичен меден про-

водник. Той се обтяга чрез пластмасови въжечца или шнурчета от стъкло-влакно. Препоръчва се в горните ъгли, в които се закрепва елементът за обхвата 10 m, да се включат малки изолатори  $b$ . Така се избягва механичното триене между антенния елемент и опъващите шнурчета. Двата елемента се захранват поотделно и директно с по един коаксиален кабел с вънново съпротивление 50  $\Omega$ . Носещият елемент за обхвата 15 m се възбужда чрез гама-съгласуващ елемент.

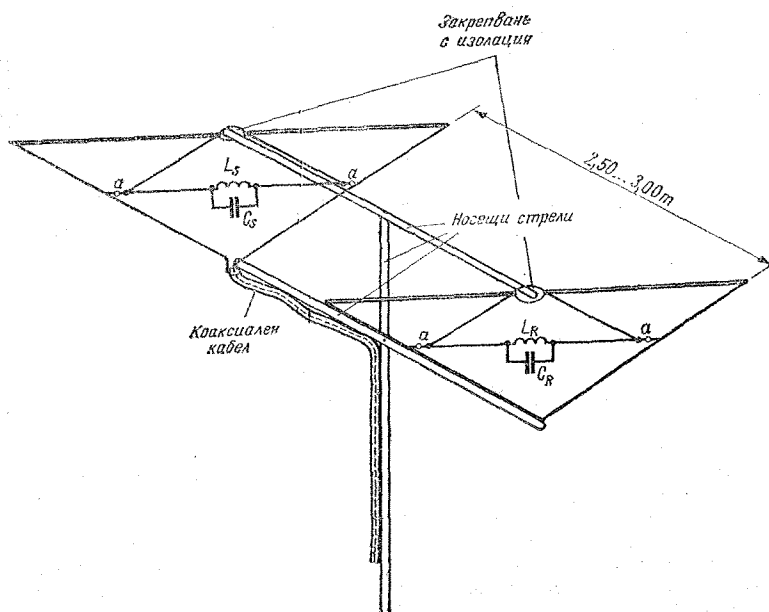
Рефлекторът (страните  $A_R$  и  $B_R$ ) също се оразмерява според табл. 15.4. Както вече беше казано, разстоянието между активния елемент и рефлектора не е критично. При конструкцията за обхватите 15 m и 10 m това разстояние може да бъде между 2,00 и 2,50 m.

### 18.11. 2. Скъсена двуобхватна делтовидна рамкова антена

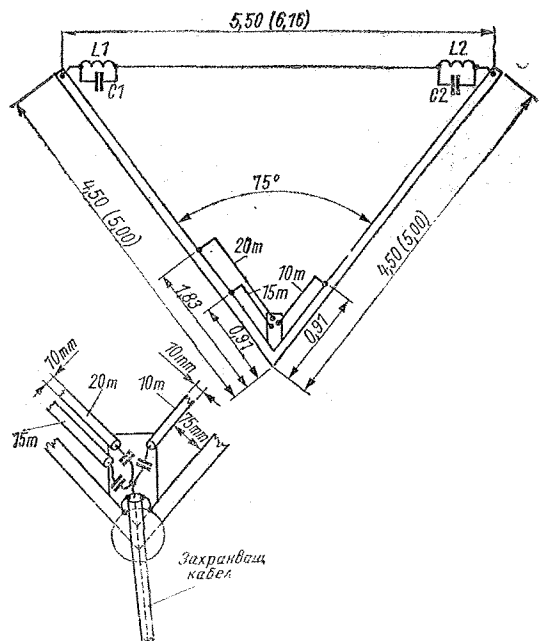
На фиг. 18.45 е показан активният елемент на една много компактна делтовидна рамкова антена за обхватите 20 m и 15 m. Външният вид на този елемент е сходен с този на шлейфивibratora. В едно възможно най-малко пространство е поместен проводник с обща дължина 14,55 m и с това се постига целовълнов резонанс в обхвата 15 m. Чрез включването на паралелния резонансен кръг  $L_S - C_S$  в точка, в



Фиг. 18.45. Схема на двуобхватна делтовидна рамкова антена за обхватите 20 m/15 m, активен елемент (стойностите в скобите важат за рефлектора), всички данни за дължина са в m



Фиг. 18.46. Двуобхватна делтовидна рамкова антена за обхватите 20 m и 15 m, механична конструкция; а — изолатори



Фиг. 18.47  
Активен елемент на триобхватна делтовидна рамкова антена: *a* — механична конструкция с данни за оразмеряване (стойностите в скобите се отнасят за рефлектора), *b* — гама-съгласуване на активния елемент

която токът е максимален, се получава едновременно и вторият резонанс в обхвата 20 m.

Преди да се монтира в антенния проводник, паралелният трептящ кръг се настройва за резонансна честота 15 000 kHz. Ориентировъчните стойности на елементите на кръга са:  $L_S = 1,82 \mu\text{H}$ ,  $C_S = 55 \text{ pF}$ . Когато кръгът се монтира в антената, могат да се измерят две негови резонансни честоти: 14 050 kHz и 21 100 kHz.

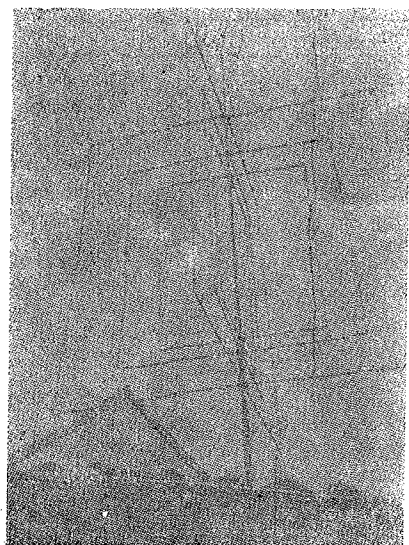
На разстояние от 2,50 до 3 m от активния елемент се намира изработеният по същия начин рефлектор. Дължините на проводниците на рефлектора са дадени в скоби на фиг. 18.45. Общата дължина на проводника на рефлектора възлиза на 15,20 m. Преди монтирането в антената паралелният трептящ кръг трябва да се настрои за резонансна честота 14 300 kHz ( $L_R \approx 1,82 \mu\text{H}$ ,  $C_R \approx 60 \text{ pF}$ ). Сглобеният рефлекторен елемент трябва да има ясно изразени резонанси при честоти 13 350 kHz и 20 200 kHz.

На фиг. 18.46 е скицирано едно предложение за конструктивното изпълнение на антената. Тази конструкция

естествено може да бъде изменена в зависимост от използваните материали. Радиолюбителите, обичащи експериментите, могат да внесат някои подобрения от електрическо и механично естество.

### 18.11.3. Триобхватна делтовидна рамкова антена

WAØUDJ е разработил една триобхватна делтовидна рамкова антена с външните размери на 15-m делта луп. Както показва фиг. 18.47, чрез добавянето на два паралелни трептящи кръга  $L_1C_1$  и  $L_2C_2$  в един делтовиден рамков елемент, оразмерен за обхвата 15 m, могат да се постигнат три резонанса на излъчвателя, така че той да работи в обхватите 10 m, 15 m и 20 m. Кръгът  $L_1C_1$  трябва да има резонансна честота 28 800 kHz, докато  $L_2C_2$  се настройва за честота 15 000 kHz. При измерването на тези резонансни честоти кръговете още не са монтирани на антената. Бобините на кръговете се навиват с диаметър 32 mm от възможно най-дебел проводник.  $L_1$  има 4 нав. (съотв. около 0,45  $\mu\text{H}$ ),  $L_2$  — 7 нав.



Фиг. 18.48. Триобхватна кафезна антена, предложена от *DK4NA*

(около  $1,0 \mu\text{H}$ ). За да се получат желаните резонансни честоти, кондензаторът  $C_1$  трябва да има капацитет около  $60 \text{ pF}$ , а кондензаторът  $C_2$  —  $100 \text{ pF}$ .

В рефлектора са включени същите трептящи кръгове, настроени на малко по-ниска резонансна честота. В рефлектора  $L_1C_1$  се настройва на честота  $27\,900 \text{ kHz}$  и  $L_2C_2$  — на честота  $14\,550 \text{ kHz}$ . Това става чрез незначително увеличение на индуктивностите при приблизително същите стойности на капацитетите. Разстоянието между активния елемент и рефлектора може да бъде между  $2,50$  и  $3 \text{ m}$ .

Особено внимание трябва да се обърне на трикратното гама-съгласуване. От фиг. 18.47б се вижда, че като захранваща линия се използва общ коаксиален кабел, а отделните гама-съгласуващи елементи са включени към вътрешния проводник на кабела през кондензатори. Оптималните стойности на кондензаторите се определят опитно, за да се получи най-малък коефициент на стоящи вълни.

Всички капацитети — и тези на трептящите кръгове — могат да се заместят с отворени отрязъци от коаксиален кабел с подходяща дължина. Тези от-

рязъци могат да се напъхат в тръбите на носещите рамена. Там те не се забелязват и са защитени от атмосферни въздействия.

## 18.12. Триобхватна кафезна антена

*DK4NA* е разработил триобхватна кафезна антена с компактна, опростена механична конструкция, която сигурно ще намери по-голямо приложение в близко бъдеще.

Подробностите от механичната конструкция на антената могат да се видят на фиг. 18.48. Тази антена има три подредени една в друга отделни системи за обхватите  $20 \text{ m}$ ,  $15 \text{ m}$  и  $10 \text{ m}$ , които са изработени според схемата от фиг. 15.13 и с размерите, дадени в таблица 15.2.

С цел максимално опростено захранване за всяка от системите е предвиден отделен коаксиален кабел; симетрирането в точките на захранване се оказало ненужно. Опитите за захранване на антената с един общ кабел водят до значително влошаване на съгласуването. От съображения за механична стабилност и за икономия на кабел захранването става в долните равнини на излъчвателите, както е показано на фиг. 15.13б. Шлейфовете в рефлекторите не бива да висят свободно надолу. Между двете долни рамена на рефлектора се опъва пластмасов шнур; свободният край на шлейфа се свързва към средата на този шнур. Шлейфът трябва да е разположен хоризонтално и да съвпада с ъглополовящата на ъгъла, сключен от долните рамена на рефлектора. Така капацитивното влияние на металната носеща мачта върху шлейфовете е минимално.

Антената носеща мачта, продължена над горната равнина на елементите, носи и една триелементна делтовидна рамкова антена за обхвата  $2 \text{ m}$ . Това удължение едновременно служи и за закрепване на обтяжките на найнатоварените хоризонтални елементи (за обхвата  $20 \text{ m}$ ). Обтяжките поемат част от теглото им. Така става възможно дългите по  $2,90 \text{ m}$  рамена на елементите за обхвата  $20 \text{ m}$  да се изработят от дуралуминиева тръба с диаметър  $18 \text{ m}$  и дебелина на стената

1,5 mm. За обхвата 15 m се използват тръби с дължина 1,98 m, диаметър 15 mm и дебелина на стената също 1,5 mm. Същите тръби се използват и за обхвата 10 m. Диаметърът на тръбите се избира единствено по съображения за механична стабилност; по отношение на електрическите параметри на антената той има второстепенно значение. Това се отнася и за вертикалните части, изработени от антенен проводник от лек метал. Подходящи са и многожичните медни проводници, но те изискват специални грижи срещу електролитното разлагане в мястото на свързване с тръбите от лек метал.

Настройката на отделните системи се свежда до оптимално подбиране на

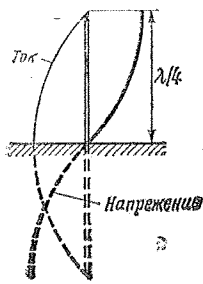
дължината на настройващите шлейфове в рефлектора. Мостчетата за късо съединение се нагласяват така, че рефлектометърът, включен в захранващата линия чрез шлейф, да отчете минимален коефициент на стоящи вълни.

При сравняване на кафезната антена с „двойния квадрат“ се вижда, че за нея са необходими много по-малко материали и свободно пространство. Възможно е да се изработи триобхватна кафезна антена на принципа на *VK2AOU* (вж. раздел 18.10.), стига да бъдат решени успешно проблемите при включването на необходимите резонансни кръгове в елементите на кафезната антена.

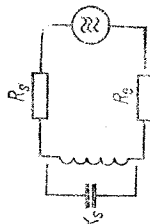
## 19. Вертикално поляризиращи късовълнови антени

Описаните досега антени за къси вълни използват като основен конструктивен елемент полуълновия излъчвател с хоризонтална поляризация. Достатъчна е обаче свободна дължина на излъчващия проводник само  $\lambda/4$ , ако антенният проводник е разположен вертикално над добре проводяща земна повърхност (вертикално поляризиран). По принцип и в този случай става дума за един полуълнов излъчвател, защото чрез земята, която може да се разглежда като по-добър или по-лош проводник, четвъртвълновият отрязък се допълва огледално до един полуълнов излъчвател. В най-простата си форма такъв четвъртвълнов проводник е известен като антена *Маркони*. Тази антена е показана схематично на фиг. 19.1. На същата фигура са начертани разпределенията на тока и напрежението. Четвъртвълновите антени, разположени на земята, се наричат също така несиметрични, защото те за разлика от хоризонталния полуълнов дипол са несиметрични спрямо земята. За разлика от диполите те често се наричат *монополи*.

Еквивалентната заместителна схема на входното съпротивление на една



Фиг. 19.1. Антена на Маркони, разпределение за тока и напрежението



Фиг. 19.2. Еквивалентна схема за определяне на входното съпротивление на вертикален четвъртвълнов излъчвател, разположен над земята

вертикална четвъртвълнова антена се състои от последователно свързаните съпротивление на излъчване  $R_s$ , реактивно съпротивление  $X_s$  (в случай на резонанс  $X_s=0$ ) и съпротивлението на земята  $R_e$  (фиг. 19.2). Оттук следва, че мощността, подадена на една антена Маркони, се изразходва от съпротивлението на излъчване  $R_s$  и съпротивлението на земята  $R_e$ . В сила е уравнението

$$P_a = I^2(R_s + R_e), \quad (19.1)$$

където  $I$  е токът в долния край на антената.

Съпротивлението на земята  $R_e$  е чисто загубно съпротивление, в което високочестотната енергия се превръща в топлина. Получава се следната зависимост между излъчената мощност  $P_s$  ( $I^2 R_s$ ) и загубната мощност  $P_v$  ( $I^2 R_e$ ):

$$P_s = P_a - P_v. \quad (19.2)$$

За да може една антена на Маркони да работи с добра ефективност, най-важното условие е съпротивлението на земята  $R_e$  да бъде извънредно малко; така би се получило максимално отношение  $R_s : R_e$ . На практика към съпротивлението  $R_e$  трябва да се прибавят всички останали загубни съпротивления, които могат да бъдат доста на брой. За начало ще бъде изследвано по-подробно влиянието на земята върху свойствата на един четвъртвълнов излъчвател.



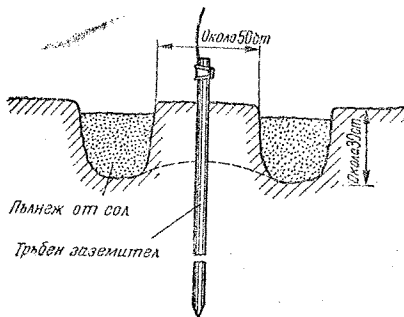
## 19.1. Качествено заземяване

Повечето научни изследвания на вертикалните излъчватели се базират на наличието на идеално проводяща земна повърхност, т. е. на земя със съпротивление  $R_e = 0$ . На практика не съществува идеално проводяща земя, но при съответните грижи нейните свойства могат да се имитират достатъчно точно.

Широко разпространеното мнение, че добрата гръмозащита едновременно представлява и добро заземяване по висока честота за вертикалните антени, е едно заблуждение. Това се отнася главно до заземителите, поставени на голяма дълбочина, при които енергията на гръмотевицата чрез дебели проводници се отвежда до подпочвените води. Заземителните плоскости, които се предпочитат напр. при скалисти почви, в повечето случаи могат да се разглеждат като добри високочестотни заземления. Вертикалните антени изискват добро заземяване за гръмозащита и добро заземяване по висока честота. Двете изисквания могат да се изпълнят чрез подходящи комбинации.

Отначало ще бъде разгледано заземлението за гръмозащита; специално при вертикалните антени то е безусловно необходимо от съображения за сигурност.

Много радиолюбители считат, че свързването с водопроводната мрежа напълно удовлетворява изискванията за добро заземяване. Ако някой е забил парче тръба в земята и по този начин е станал притежател на „собствена земя“, той често смята, че е създад условия, които не само осигуряват добро високочестотно излъчване, но и сигурна гръмозащита. За съжаление тези популярни методи за заземление често се оказват непригодни. Понякога във водопроводната мрежа се използват тръби от PVC, водомерите все по-често се изработват с пластмасови части, така че галваничната връзка по водопроводните тръби може да се прекъсне. Контактът в мястото на свързване на две тръби не винаги е безупречен. Макар че тези места имат голяма контактна повърхност, често електрическата връзка е лоша. Причина за това са уплътнителните средства и ръждата. Използуваеми, понякога и добри заземления се получават,

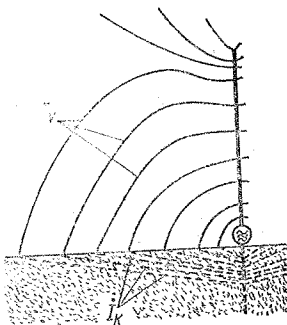


Фиг. 19.3. Тръбен заземител

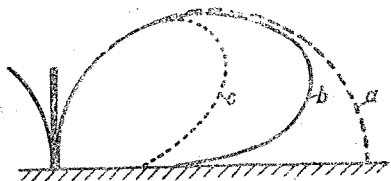
когато заземителният проводник се свърже към главната водопроводна тръба малко над или под земята.

Тръбните заземители удовлетворяват изискванията за добра гръмозащита, ако могат да бъдат забити толкова дълбоко в земята, че да достигнат до подпочвените води. Даже и тогава трябва да се поставят поне две тръби на разстояние 2 до 3 m една от друга, за да се намали преходното съпротивление към земята. В чуждестранната литература често се препоръчва тръбата да се загради с един окоп, който да се напълни с хигроскопична сол (фиг. 19.3).

Може да се използва каменна сол, магнезиев сулфат или меден сулфат. След поставянето ѝ солта се навлажнява с вода и се покрива с пръст. Солите подобряват проводимостта на почвата.



Фиг. 19.4. Токове на сместване  $I_V$  в околното пространство и токове, протичащи в земята  $I_K$  при един вертикален излъчвател



Фиг. 19.5. Диаграма на насочено действие във вертикалната равнина на четвъртвълнов излъчвател при различна проводимост на земната повърхност: крива *a* — при идеално проводима земна повърхност, крива *b* — при добра проводимост на земната повърхност, крива *c* — при лоша проводимост на земната повърхност

Един пълнеж от 30 до 50 kg сол би имал действие от 2 до 3 години.

При излъчването на високочестотна енергия от един вертикален излъчвател (фиг. 19.4) около него се образуват токове на сместване, които след попадането си върху земната повърхност се връщат към основата на антената (съответно към огледалното ѝ продължение в земята).

В зависимост от състоянието на почвата съпротивлението по пътя на разпространение на тока в земята  $R_c$  може да бъде по-голямо или по-малко. Токовете, протичащи в земята, предизвикват пад на напрежението върху съпротивлението  $R_c$ . Появяват се топлинни загуби, причинени от тока, които понижават коефициента на полезно действие на антената. Близко до основата на антената плътността на тока е най-голяма, защото там обратните токове през земята се събират радиално от всички страни. В тази област възникват най-големите загуби.

Съпротивлението по пътя на разпространение на тока в почвата предизвиква освен това едно отслабване и деформиране на външното поле в близост до земната повърхност, при което се изкривява и характеристиката на насочено действие на антената във вертикалната равнина. На фиг. 19.5 е показано как различната проводимост на почвата може да се отрази върху диаграмата на излъчване във вертикалната равнина. Кривата *a*, начертана с прекъсната линия, е правилен полукръг; това е теоретически идеалната крива, която би съществувала при съпротивление по пътя на разпространение на тока  $R_c=0$ . Диаграмата на насочено излъчване, представена с кри-

вата *b*, се получава при нормална до добра проводимост на почвата. Кривата *c* важи за почви с лоша проводимост. От тази крива могат да се преценят и големите загуби при излъчването, свързани с едно нежелателно увеличение на ъгъла на излъчване във вертикалната равнина. Още оттук може да се разбере, че пригодността на една антена Маркони се определя главно от проводимостта на почвата.

Няма точни и сигурни външни белези, по които да се определи проводимостта на почвата. Влажността на почвата или плитко разположените подпочвени води не са безусловно признак за особено малко съпротивление по пътя на разпространение на тока; много от сухите почви имат по-добра високочестотна проводимост от някои влажни пластове. Водата с нейната голяма диелектрична константа ограничава главно дълбочината, на която проникват токовете в почвата. Солените водни повърхности или пропитите със солена вода блатисти почви имат винаги много добра проводимост. Доброто високочестотно заземление трябва да осигури на земните токове, протичащи близо до повърхността на земята, път на разпространение с добра проводимост. Един заземител, закопан на голяма дълбочина, не може да изпълни това условие; за целта може да се използва само повърхностна заземителна мрежа. Тази заземителна мрежа се изработва от възможно най-много и най-дълги метални проводници, които се полагат радиално с център основата на антената. Радиалните проводници могат да легнат върху повърхността на земята, но най-често те се закопават на дълбочина от 20 до 50 cm. Радиалното полагане на проводниците съответства на пътя на разпространение на земните токове и в близост до основата на антената, където плътността на тока е най-голяма, се събират най-много проводници на единица площ.

Радиопредавателите за средни вълни работят почти винаги с вертикални антени и при тях се използват заземителни мрежи с най-малко 120 равномерно разпределени по кръга радиални проводници. Измерванията са показали, че при използването само на 60 проводника загубите нарастват със 7%, а при полагането на 30 проводни-

ка — с около 15%. В късовълновия обхват са необходими по-малък брой и по-къси проводници, но и в този случай важи правилото, че загубите в земята ще бъдат толкова по-малки, колкото повече на брой и по-дълги са проводниците на заземителната мрежа. Ако мрежата е достатъчно гъста и с достатъчна площ, заземлението по висока честота може да се използва и за гръмозащита, защото обикновено в такива случаи преходното съпротивление в мястото на заземяване е съвсем малко.

Вертикалните излъчватели в късовълновия обхват трябва да се снабдят със заземителна мрежа, състояща се от поне 6 проводника. Те започват от основата на антената и се разпределят радиално, приблизително равномерно до кръга, като се закопават на около 20 cm в земята. Дължината на всеки проводник възлиза на  $\lambda/2$  за най-дългата от използваните работни вълни. По-добре е проводниците да са по-дълги, но при нужда могат да се полагат и по-къси проводници. Всички заземителни проводници се свързват добре галванически в центъра при основата на антената. Добре е в това място в земята да се забие още един допълнителен тръбен заземител. Той би могъл да служи и за закрепване на проводниците на заземителната мрежа. Тъй като в основата на антената плътността на тока е най-голяма, краят на антената трябва да е свързан с метална плоча с възможно най-голяма площ. Често се предлага свободните краища на заземителните проводници да се снабдят също с тръбни заземители. Обикновено се избират поцинковани медни или железни проводници. Проводниците от лек метал са непригодни, защото те се разлагат в почвата. Най-подходящи и използваеми и за гръмозащита са поцинкованите стоманени ленти с размери 30 mm  $\times$  3,5 mm или поцинковани стоманени пръти с диаметър 10 mm. Радиалната заземителна мрежа не е никакво твърдо правило; тя е само едно особено удачно изпълнено заземление. Често местните особености принуждават да се действа по друг начин. Като правило заземителните проводници трябва да покриват възможно най-голяма площ и да се концентрират при основата на антената.

Ефективността на една вертикална антена зависи много от качеството на заземителната мрежа и без преувеличение може да се каже, че доброто заземление по висока честота е ключ към успеха.

## 19.2. Характеристики на четвъртвълновите вертикални излъчватели

Тъй като дължината (съотв. височината) на един четвъртвълнов излъчвател възлиза само на половината от дължината на един полувълнов дипол, неговата ефективна височина  $H_{\text{eff}}$  е също два пъти по-малка:

$$H_{\text{eff}} = \frac{\lambda}{2\pi} = \frac{\lambda}{6,28} \quad (19.3)$$

Ако дължината на вълната се замести чрез честотата  $f$  в MHz, се получава

$$H_{\text{eff}} = \frac{47,75}{f} \quad (19.4)$$

Общите съображения за значението на ефективната височина, съотв. дължина, са дадени в раздел 3.1.6.

Ефективната височина на антената е необходима, за да може да се изчисли съпротивлението на излъчване  $R_S$ :

$$R_S = 1579 \cdot \left( \frac{H_{\text{eff}}}{\lambda} \right)^2 \quad (19.5)$$

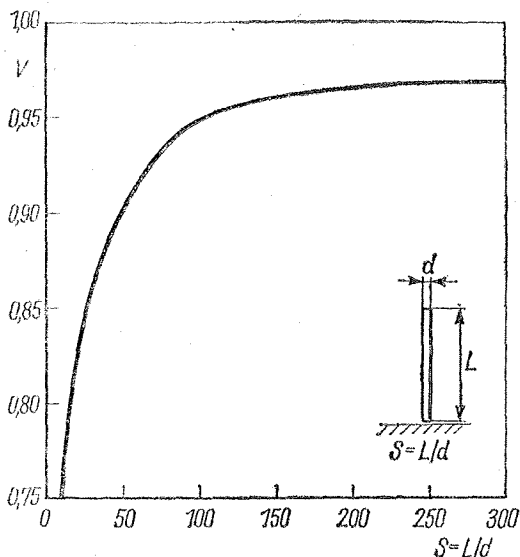
По тази формула за един четвъртвълнов излъчвател се получава съпротивление на излъчване  $R_S$  от 40  $\Omega$ . Според една по-нова теория точната стойност на  $R_S$  е 36,6  $\Omega$  при предположение, че настроенят в резонанс четвъртвълнов излъчвател се намира направо върху земната повърхност.

Входното съпротивление  $R_E$  на един настроен в резонанс четвъртвълнов излъчвател, разположен над земята, е равно на сумата от съпротивлението на излъчване  $R_S$  и загубното съпротивление  $R_V$ :

$$R_E = R_S + R_V \quad (19.6)$$

В  $R_V$  са включени всички съществувачи загубни съпротивления, но доминират загубите в земята.

Коефициентът на съксяване  $V$  на



Фиг. 19.6  
Зависимост на коефициента на скъсяване  $V$  на един четвъртвълнов излъчвател от отношението дължина/диаметър  $S = L/d$

един четвъртвълнов излъчвател зависи от отношението на дължината на излъчвателя към диаметъра му.  $L$  и  $d$  имат еднакви дименсии (напр.  $L$  в см,  $d$  в см). Частното на тези две числа представлява коефициентът  $S$ . На фиг. 19.6 е дадена зависимостта на коефициента на скъсяване  $V$  от коефициента  $S$ .

Коефициентът  $S$  (отношението дължина/диаметър) определя и вълновото съпротивление на една пръчковидна антена. То се пресмята по уравнението

$$Z_A = 60 \ln 1,5 S. \quad (19.7)$$

$Z_A$  се получава в  $\Omega$ .

От уравнението следва, че  $Z_A$  на антената ще бъде толкова по-малко, колкото по-малък е коефициентът  $S$ . От друга страна, е известно, че „дебелите“ излъчватели имат по-голяма ширина на пропусканата честотна лента ( $B$ ), отколкото „тънките“ антенни проводници. Нагледен пример за това са известните широколентови диполи (вж. раздел 4.3.). Зависимостите между коефициента  $S$  и широчината на пропусканата честотна лента лесно могат да се изразят математически, ако се изхожда от качествения фактор на антената  $Q$ . Той представлява една без-

дименсионна величина, която се дефинира от отношението на вълновото съпротивление на антената  $Z_A$  към нейното входно съпротивление  $R_E$ :

$$Q_A = \frac{Z_A}{R_E}. \quad (19.8)$$

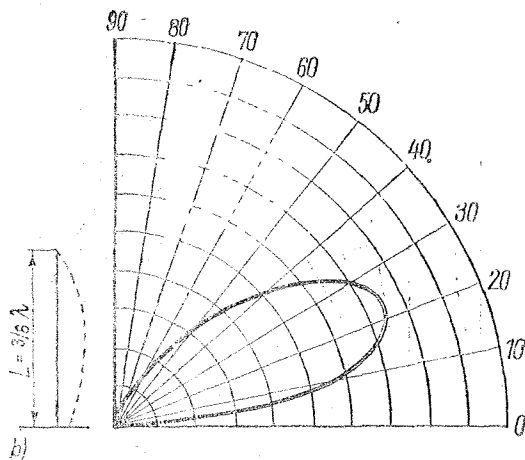
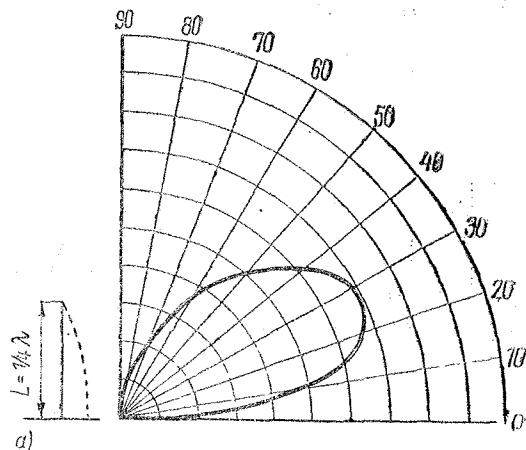
Тъй като широчината на пропусканата честотна лента в Hz се определя от формулата

$$B = \frac{f_{\text{res}}}{Q}, \quad (19.9)$$

може да се положи

$$B = f_{\text{res}} \cdot \frac{R_E}{Z_A}. \quad (19.10)$$

От това уравнение се вижда, че, общо взето, широчината на пропусканата честотна лента на една антена става толкова по-голяма, колкото по-голямо е нейното входно съпротивление  $R_E$  и колкото по-малко е вълновото и съпротивление  $Z_A$ .  $Z_A$  е функция на коефициента  $S$ . Затова според уравн. (19.7) се получава, че при намаляване на коефициента  $S$  широчината на пропусканата честотна лента  $B$  нараства.



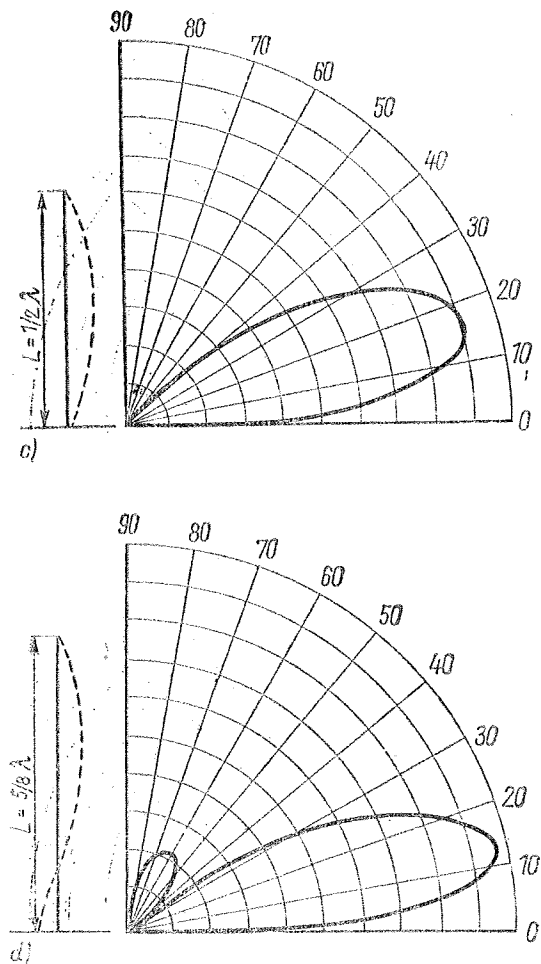
Фиг. 19.7  
Диаграми на насочено действие  
във вертикалната равнина на  
вертикални излъчватели с раз-  
лична дължина, разположени  
над добре проводяща земна  
повърхност: а — излъчвател с  
дължина  $1/4 \lambda$ ; б — излъчвател  
с дължина  $3/8 \lambda$ .

### 19.3. Излъчвателни свойства на вертикалните антени

Диаграмата на насочено излъчване на отвесен излъчвател във вертикалната равнина се отличава с много малък ъгъл на излъчване. При това обаче се предполага, че антената е поставена над добре проводяща земна повърхност, съотв., че проводимостта на почвата е била подобрена чрез полагането на подходяща заземителна мрежа. Диаграмата на насочено действие в хоризонталната равнина има формата на окръжност, от което следва, че вер-

тикалните пръчковидни антени са не-  
насочени излъчватели.

На фиг. 19.7 за пример са показани диаграмите на насочено действие във вертикалната равнина на отвесни излъчватели с различна дължина, които са монтирани непосредствено над добре проводяща земна повърхност. При четвъртълновите излъчватели ъгълът на разтвора във вертикалната равнина е между  $10^\circ$  и  $55^\circ$ , при което ъгълът на възвишение възлиза на около  $30^\circ$  (фиг. 19.7a). Отвесна антена с дължина  $3/8 \lambda$  (фиг. 19.7b) показва едно стесняване на ъгъла на разтвора (от  $8^\circ$  до  $40^\circ$ ) при ъгъл на възвишение от около



Фиг. 19.7  
 Диаграма на насочено действие  
 във вертикалната равнина на  
 вертикални излъчватели с раз-  
 лична дължина, разположени  
 над добре проводяща земна  
 повърхност: *c* — излъчвател с  
 дължина  $1/2 \lambda$ , *d* — излъчвател  
 с дължина  $5/8 \lambda$ .

23°. Още по-благоприятно е използуването на вертикален полуълнов излъчвател, чийто полезен ъгъл на разтвор е между 5° и 35° при ъгъл на възвишение във вертикалната равнина приблизително 17° (фиг. 19.7*c*). Най-добри излъчвателни свойства има полуълният излъчвател с дължина  $5/8 \lambda$ . Той има ъгъл на разтвора от 3° до 27°; ъгълът на възвишение в този случай е само 12° (фиг. 19.7). Ако дължината на излъчвателя се увеличи над  $5/8 \lambda$ , излъчвателните свойства на антената отново се влошават. Едно сравнение на диаграмите на насочено действие

във вертикалната равнина на хоризонталните полуълнови диполи (фиг. 3.12) и на вертикалните излъчватели (фиг. 19.7) показва ясно превъзходството на вертикалните антени.

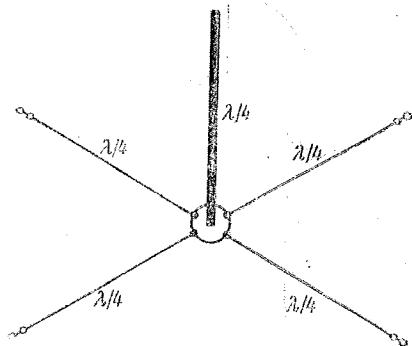
Тази констатация важи и при сравнение с хоризонталните Яги-антени, ако се изходи от това, че малкият ъгъл на възвишение във вертикалната равнина е най-важната предпоставка за далечно разпространение чрез отражение от йоносферата.

Решението, дали за някаква определена цел да се избере хоризонтален или вертикален излъчвател, трябва

да се вземе, като се имат предвид особеностите на местността и възможностите, с които разполага радиолубителят. Един вертикален излъчвател се използва нерационално, ако не може да бъде поставен над свободна и по възможност равна повърхност. Това означава напр., че той не бива да се монтира на някоя свободна площадка в града. В гъсто застресени местности вертикалният излъчвател трябва да се закрепи на най-високата възможна точка, така че да доминира над околните препятствия. Освен това заземителната мрежа трябва да бъде „повдигната“ до основата на антената, като се изгради възможно по-просторна изкуствена заземителна мрежа под формата на противовеси (граунд плейн) и, ако съществуват, към мрежата да бъдат включени всички околните метални повърхнини и други проводящи метални структури. Това биха могли да бъдат напр. ламаринени покриви, олуци и водосточни тръби, водопроводи и паропроводи, както и гръмоотводи. Плоските покриви са по-подходящи, отколкото стръмните.

Твърдението, че вертикалните излъчватели не са добри като приемна антена, вероятно почива на факта, че те са ненасочени и затова приемат еднакво добре не само полезните сигнали, идващи от всички страни, но и смущаващите сигнали от близката околност, предизвикани от електрически уреди и устройства.

Друг аргумент, който привидно говори против използването на вертикалните антени, е поляризацията. Факт е, че сигнал, излъчен с вертикална поляризация, се приема много по-слабо от една хоризонтално поляризирана антена, отколкото от една вертикално поляризирана приемна антена. Тази загуба заради промяната на поляризацията обаче се появява само при директно разпространение, напр. при приемане на директната вълна или, общо взето, в УКВ и СВЧ обхвати. При разпространение чрез отражение от йоносферата, за което трябва да се държи сметка главно в късовълновия обхват, измененията на поляризацията са правило, така че не може да се каже коя от двете поляризационни равнини ще доминира в мястото на приемане на сигнала.



Фиг. 19.8. Антена „граунд плейн“ с хоризонтални радиални проводници

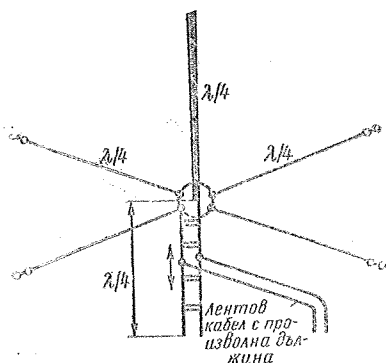
## 19.4. Конструкции на ненасочени вертикални излъчватели

Класическата антена на Маркони вече рядко се използва от радиолубителите, защото по споменатите причини най-често е по-добре вертикалният излъчвател да се монтира възможно най-високо, а естествената земя да се замени от мрежа от противовеси в основата на антената. Тези противовеси обикновено се наричат *радиали*, защото излизат радиално от основата на излъчвателя. Цялата мрежа от противовеси се нарича *граунд плейн* (от англ.: заземителна равнина), а радиолубителите наричат вертикалният излъчвател с мрежа от противовеси *антена „граунд плейн“*.

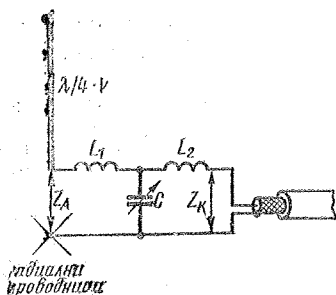
### 19.4.1. Антена «граунд плейн»

Схемата на една антена „граунд плейн“ е показана на фиг. 19.8. Радиалите са образувани от възможно най-голям брой проводници с дължина  $\lambda/4$ , които са опънати хоризонтално от основата на вертикалния четвъртвълнов излъчвател. Те са свързани един с друг близо до основата на антената, но самата антена е изолирана от тях. Трябва да се поставят най-малко 4 проводника. Тъй като това са четвъртвълнови отрязъци, настроени в резонанс, и в краищата им има максимум на напрежението, те трябва да се окачат чрез изолатори.

Входното съпротивление на антената „граунд плейн“ (36  $\Omega$ ) е много малко.



Фиг. 19.9. Антена „граунд плейн“ с четвъртвълнов съгласуващ шлейф



Фиг. 19.10. Съгласуване на антена „граунд плейн“ чрез трансформиращо звено, предложено от Зеефрид

Затова при директно захранване с коаксиален кабел се появява разсъгласуване. Въпросът за съгласуването често се решава по следния начин: проводниците на заземителната мрежа не се скачват хоризонтално, а наклонени надолу под ъгъл около  $135^\circ$  спрямо излъчвателя. При това се получава входно съпротивление от около  $50 \Omega$ . За съжаление при това отчасти се губи предимството на малкия ъгъл на възвишение. За да се получи съгласуване с обикновените коаксиални кабели с външно съпротивление  $60 \Omega$ , би трябвало проводниците да се отведат отъвесно надолу. Антената „граунд плейн“ се превръща в един вертикален поставен полуwave дипол с двойно по-голяма височина.

Точното съгласуване на един лентов или коаксиален кабел към входното съпротивление на антената „граунд

плейн“ е възможно с помощта на четвъртвълнов съгласуващ шлейф (вж. раздел 6.6.). Такъв шлейф за включване на произволно дълъг лентов кабел е показан на фиг. 19.9 (за изчислението вж. раздел 6.6.). По известни причини трябва да се предпочете захранването чрез коаксиален кабел също и за това, че граунд-плейнът е една несиметрична антена. Изработването на коаксиален съгласуващ шлейф обаче е свързано с механични трудности, ако липсва подходящ Т-образен разклонител за коаксиални кабели. Който не се доверява на безупречното от електрическа гледна точка свързване на коаксиалните кабели, би трябвало да използва схема за съгласуване с концентрирани елементи.

На фиг. 19.10 е показана една много удачна схема за съгласуване, разработена от В. Зеефрид, Дрезден. Става дума за един Т-образен съгласуващ елемент, който има същите електрически свойства, както съгласуващият четвъртвълнов трансформатор. Бобините  $L_1$  и  $L_2$  имат еднаква индуктивност. Те са разположени в пространството така, че да нямат взаимна връзка. Препоръчва се бобините да се навият свободно от дебел проводник, за да може да се изменя индуктивността само чрез свиване или разтягане на бобината. Кондензаторът  $C$  е въздушен тример-кондензатор, за да бъде съгласуващото звено с възможно най-малки загуби.

Оразмеряването на схемата е просто. Съществува изискването за точно съгласуване на импеданса на кабела  $Z_K$  към входното съпротивление на антената  $Z_A$ . Импедансът на трансформиращото звено  $Z_{tr}$  се пресмята по известното уравнение (5.31):

$$Z_{tr} = \sqrt{Z_K Z_A}.$$

По-нататък са в сила зависимостите

$$Z_{tr} = \omega L_1 = \omega L_2 \quad \text{и} \quad Z_{tr} = \frac{10^6}{\omega C},$$

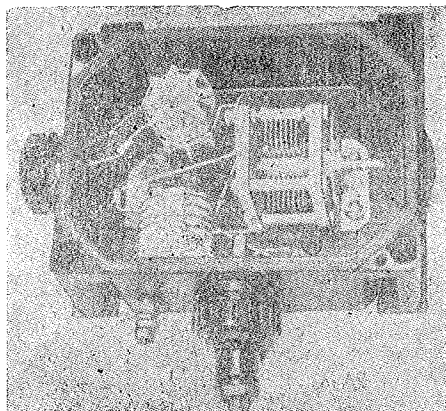
където  $\omega$  е в МHz,  $C$  — в pF,  $L$  — в  $\mu H$ , и  $Z$  — в  $\Omega$ .

#### Пример

Приема се входно съпротивление на антената  $32 \Omega$ . За захранване ще се



Фиг. 19.11. Трансформиращо звено, поставено в кутия от пластмаса



използува коаксиален кабел с вълново съпротивление  $60 \Omega$ .

$$Z_{tr} = \sqrt{32.60} = 43,8 \Omega;$$

$$\omega L_1 = \omega L_2 = 43,8 \Omega.$$

За една работна честота от  $14,15 \text{ MHz}$  се получава

$$L_{1,2} = \frac{43,8}{6,28 \cdot 14,15} = 0,493 \mu\text{H}.$$

Стойността на кондензатора  $C$  е

$$C = \frac{10^6}{43,8 \cdot 6,28 \cdot 14,15} = 257 \text{ pF}$$

(вж. също така фиг. 6.19 и фиг. 6.20).

Избира се кондензатор  $300 \text{ pF}$ , за да се компенсират факторите, които не са били взети предвид при изчислението.

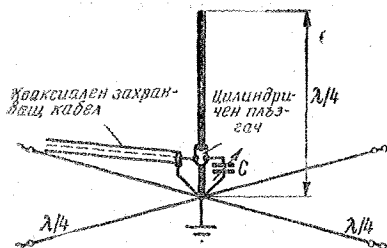
Бобините и кондензаторът трябва да се поместят във водонепроницаема кутия. Подходящи са кутии от пресована пластмаса (фиг. 19.11). Точната настройка на антената се извършва с рефлектометър. Ако ги има такъв, може да се използва отдалечен индикатор на напрегнатостта на полето и да се настройва по максимум на показанията на индикатора.

По отношение на съгласуването с честотнозависими звена трябва да се спомене още и това, че те ограничават широчината на пропусканата от антената честотна лента. Затова винаги трябва да се преценява дали има смисъл

да се избере малко по-тясна честотна лента за сметка на точно съгласуване (напр. при работа изключително в режим на телеграфия) или пък заради по-широката честотна лента да се приеме едно разсъгласуване от  $1:2$ . В любителската практика най-често се избира директно захранване с коаксиален кабел с вълново съпротивление  $50 \Omega$ . В такъв случай коефициентът на стоящи вълни е около  $1,5$ .

Съществува и друг прост, но донякъде по-скъп начин за точно съгласуване на граунд плейна. Към антената се включват направо два свързани паралелно коаксиални кабела с вълново съпротивление  $75 \Omega$ . В резултат се получава захранваща линия с вълново съпротивление около  $38 \Omega$ , което е много близко по стойност до входното съпротивление на антената граунд плейн. Все пак този начин може да се препоръча само в случай че разстоянието от точката на захранване на антената до предавателя е малко.

За да може да се изработи четвърт-вълновият съгласуващ трансформатор от обикновено продаваните коаксиални кабели, трябва за отрязъка с дължина  $\lambda/4$  да се използва коаксиален кабел с вълново съпротивление  $50 \Omega$ , а за захранващата линия — кабел с вълново съпротивление  $75 \Omega$  (вж. раздел 6.5.). Според (6.6) съгласуване ще съществува, ако входното съпротивление на антената възлиза на  $33,3 \Omega$ . Трансформаторът от кабел с вълново съпротивление  $50 \Omega$  може да съгласува освен това и захранващ кабел с вълново



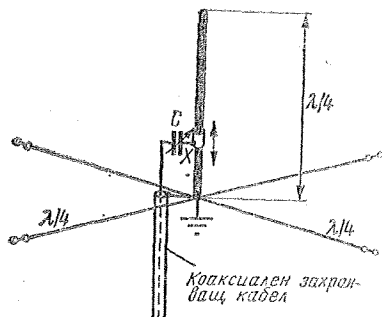
Фиг. 19.12. Заземена антена „граунд плейн“

съпротивление 70  $\Omega$  към входно съпротивление на антената 35,7  $\Omega$  и кабел с вълново съпротивление 60  $\Omega$  към антена с входно съпротивление 41,7  $\Omega$ . Във всички споменати случаи може да се разчита на достатъчно точно съгласуване стига антената да е настроена в резонанс.

#### 19.4.1.1. Заземена антена „граунд плейн“

Радиолобителите обикновено не обръщат голямо внимание на правилното заземяване на антената и на антенната носеща мачта. DM2AXO е предложил едно технически безупречно решение на този донякъде труден проблем, което намери приложение при антените „граунд плейн“.

В основата на четвъртвълновия излъчвател е разположен минимум на напрежението (вж. фиг. 19.1). Затова антената може да се заземи направо в тази точка. Заземяването при възел на напрежението не оказва влияние върху излъчвателните свойства на дипола.



Фиг. 19.13. Вариант на заземена антена „граунд плейн“

Това доказват и металните УКВ- и телевизионни антени, които също са свързани галванически със заземената носеща стрела при минимум на напрежението.

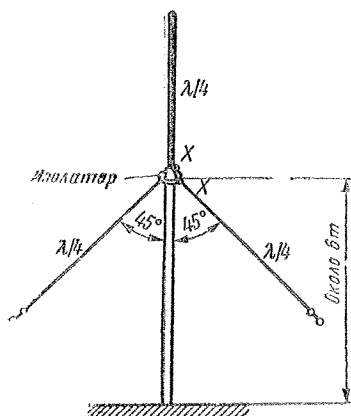
За да може да се съгласува една заземена в основата си антена „граунд плейн“, към коаксиален захранващ кабел, трябва да се намери върху четвъртвълновия прът тази точка, в която импедансът на антената съответствува на вълновото съпротивление на използваната захранваща линия (аналогично на гама-съгласуването, фиг. 6.4). Както е показано на фиг. 19.12, вътрешният проводник на коаксиалния кабел се свързва чрез плъзгач към определена точка на антената, а външната екранираща оплетка се заземява в основата на антената.

Точката на включване на вътрешния проводник на кабела едва ли може да се пресметне точно, защото нейното положение зависи силно от влиянието на окръжаващата среда. Затова плъзгачът трябва да може да се премества в широки граници. Опитно се намира такова положение на плъзгача, при което коефициентът на стоящи вълни в захранващата линия е минимален (измерва се с рефлектометър). Финална настройка се извършва след това с помощта на променливия кондензатор С. Вертикалният излъчвател, заземителните проводници и коаксиалният кабел са заземени трайно, така че антената е осигурена срещу светкавици и не могат да се очакват неприятните статични заряди на антенната система.

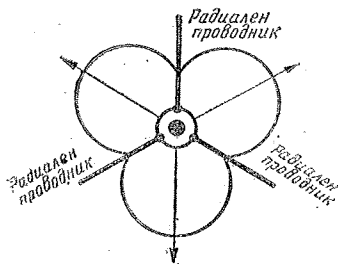
На фиг. 19.13 е показан един вариант на заземена антена „граунд плейн“. В този случай променливият кондензатор е включен последователно на вътрешния проводник на кабела. Чрез него се компенсира capacitивно индуктивната реактивна компонента, внесена от гама-съгласуването. И в двата случая могат да се използват променливи кондензатори за радиоприемници с краен капацитет 300 pF или 500 pF. Променливият кондензатор се поставя във водонепроницаема кутия, която се закрепва към цилиндричния плъзгач.

#### 19.4.1.2. Антена с три радиални проводника (Triple Leg)

Изследванията, проведени от HB9OP, показаха, че с помощта на антена



Фиг. 19.14. Антена с три радиални проводника



Фиг. 19.15. Диаграма на насочено излъчване в хоризонталната равнина на антена с три радиални проводника

„граунд плейн“ може да се получи насочено излъчване в хоризонталната равнина, ако броят на заземителните проводници се намали на 3. Проводниците сключват помежду си ъгъл от  $120^\circ$  и са наклонени надолу под ъгъл  $45^\circ$  (фиг. 19.14).

Тази антена излъчва предимно в направленията на ъглополовящите на ъглите между радиалните проводници при ъгъл на възвишение във вертикалната равнина от  $6^\circ$  до  $7^\circ$ . Диаграмата на насочено излъчване в хоризонталната равнина има приблизително формата на детелина (фиг. 19.15). Много благоприятният ъгъл на възвишение във вертикалната равнина ( $7^\circ$ ) може да се получи само тогава, когато основата на излъчвателя се намира на оптимална височина над земната повърхност. *НВ9ОР* е определил оптимална

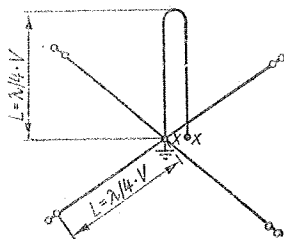
височина 6 m, при което обаче има значение и състоянието на почвата под антената.

Броят на радиалните проводници при зададения ъгъл на наклон  $45^\circ$  влияе върху входното съпротивление на излъчвателя. То е от 50 до 53  $\Omega$ , така че тази антена може да се захрани директно чрез коаксиален кабел с вълново съпротивление 50  $\Omega$ . При окачване на 4 равномерно разпределени по окръжността радиални проводника входното съпротивление на антената спада до около 44  $\Omega$ .

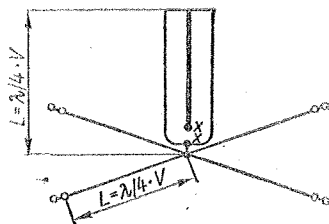
Антената с три радиални проводника, предложена от *НВ9ОР*, работи добре в различни местности.

#### 19.4.1.3. Многопроводна антена „граунд плейн“

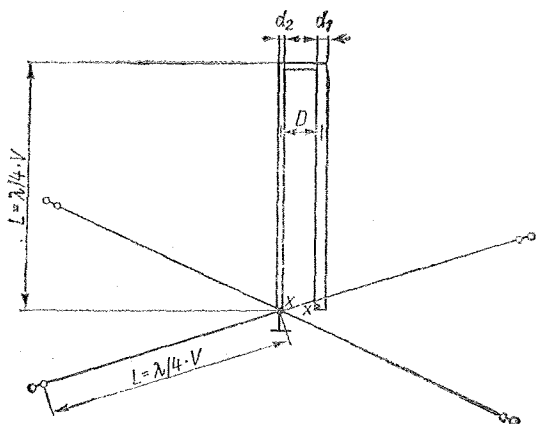
Един от начините да се увеличи входното съпротивление и широчината на пропускателната честотна лента на антената „граунд плейн“ е използването на многопроводни системи по подобие на шлейфвибраторите. В най-простия случай една многопроводна антена „граунд плейн“ се състои от половин шлейфвибратор (фиг. 19.16). Ако двете рамена са изработени от



Фиг. 19.16. 2-проводна антена „граунд плейн“



Фиг. 19.17. 3-проводна антена „граунд плейн“



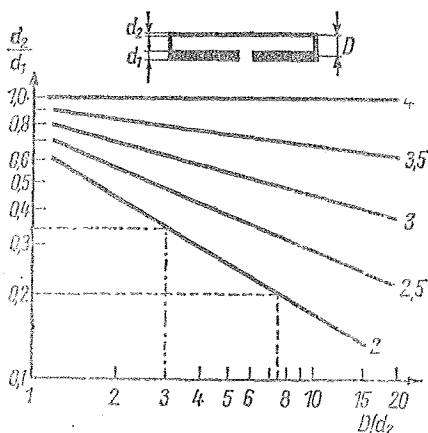
Фиг. 19.18  
2-проводна антена „граунд плейн“ с различни диаметри на проводниците на двете рамена

проводници с еднакъв диаметър, съпротивлението в точката на захранване XX е около 120  $\Omega$ . Радиалните проводници на заземителната мрежа се свързват към свободното рамо на половинката от шлейфвибратор и тази точка може да се заземи.

Една такава двупроводна антена „граунд плейн“ е подходяща за директно захранване чрез екранирана двупроводна линия с вълново съпротивление 120  $\Omega$ . По отношение на трансформацията

на съпротивлението половината шлейфвибратор не се различава от целия шлейфвибратор с дължина  $\lambda/2$ . Това означава, че входното съпротивление на еднопроводна антена „граунд плейн“ (около 30  $\Omega$ ) при двупроводната антена се трансформира в отношение 1 : 4 на 120  $\Omega$ , следователно при трипроводна антена „граунд плейн“ (фиг. 19.17) може да се очаква входен импеданс от около 270  $\Omega$ . Тази антена съответства на двоен шлейфвибратор, при който отношението на трансформация е 1 : 9. Предпоставка за това е всички рамена да имат еднакъв диаметър и да са разположени на равно разстояние от средния проводник. За работата на антената няма значение кой от трите проводника ще бъде определен за включване на захранващата линия.

Би трябвало да е по-малко известно, че с един шлейфвибратор може да се извърши трансформация на съпротивлението и в отношение, по-малко от 1 : 4. Това става, в случай че диаметърът на непрекъснатия проводник  $d_2$  е по-малък от този на клоната, в който се извършва захранването ( $d_1$ ). Същото важи и за двупроводната антена „граунд плейн“ (фиг. 19.18). Тази конструкция е годна да трансформира входното съпротивление на антената на каква да е стойност между 60 и 120  $\Omega$ , така че да се постигне точно съгласуване с коаксиален захранващ кабел. Отношението на трансформация зависи от отношението на диаметрите  $d_2/d_1$  и от отношението на разстоянието между про-



Фиг. 19.19. Съотношение между входното съпротивление на шлейфвибратор, изработен от различно дебели проводници и входното съпротивление на прав дипол, в зависимост от отношението на диаметрите  $\frac{d_2}{d_1}$  и  $\frac{D}{d_2}$

водниците и диаметъра  $d_2$  ( $D/d_2$ ). В допълнение към фиг. 4.4 от фиг. 19.19 може да се отчете коефициентът на трансформация в зависимост от споменатите по-горе отношения. Номограмата е валидна едновременно за полувълнови плейфвибратори и за двупроводни „граунд плейн“ антени (фиг. 19.18).

#### Пример

Трябва да се конструира двупроводна антена „граунд плейн“ с входен импеданс 60  $\Omega$ . Входното съпротивление на обикновената еднопроводна антена „граунд плейн“ се приема равно на 30  $\Omega$ . Следователно при двупроводната антена входното съпротивление трябва да се увеличи 2 пъти. От фиг. 19.19 може да се види, че при отношение  $D/d_2$ , равно на 7,5 и при  $d_2/d_1=0,2$ , се получава желанят коефициент на трансформация. При  $D/d_2=3$  отношението  $d_2/d_1$  би трябвало да бъде 0,34. Тези две възможности са начертани с прекъснати линии на фиг. 19.19; съществуват, разбира се, и други варианти, като изборът се ограничава единствено от възможността за практическа изработка. Ако напр. дебелият проводник трябва с диаметър 10 mm, тънкият проводник би трябвало да бъде с диаметър 2 mm ( $d_2/d_1=0,2$ ), а разстоянието  $D$  да бъде 15 mm ( $D/d_2=7,5$ ). Така просветът между двата провод-

ника ще бъде 9 mm и може да се реализира на практика. Напротив, при  $D/d_2=3$  при същите условия просветът би бил само 3,5 mm; това е много по-неизгодно от механична и електрическа гледна точка и едва ли е възможно да се реализира на практика.

#### 19.4.1.4. Оразмеряване на обикновени антени „граунд плейн“

От табл. 19.1. могат да се вземат механичните дължини на излъчвателя и резонансните дължини на четвъртвълновите радиални проводници. Взет е пред вид коефициентът на скъсяване, обусловен от коефициента  $S$  при различен диаметър на проводника на елемента. В зависимост от широчината на любителския обхват са дадени резонансни дължини за различни честоти, така че може да се избира между оразмеряване само за работа на телеграфия или оразмеряване на средата на любителския обхват. Влиянието на околната среда може да се отрази на резонансните дължини.

Радиалните проводници също трябва да удовлетворяват условията за резонанс. На тях трябва да се обърне същото внимание, както и на вертикалния излъчвател на антената „граунд плейн“. Данните за дължината на радиалните проводници винаги са повече или по-малко теоретични стойности. В някои случаи те могат да съвпадат

Таблица 19.1. Данни за оразмеряване на нормални антени „граунд плейн“

	Обхват 10 m		Обхват 15 m		Обхват 20 m		Обхват 40 m
Диаметър на елемента, mm	28,3	28,8	21,1	21,2	14,05	14,15	7,075
	MHz						
2	259	254	347	346	522	518	1037
6	258	253	346	345	521	517	1036
10	258	253	345,5	344	520	516	1035
20	257	252	345	343	519	515	1032
40	255	250	344	342	517	513	1030

Данните за дължината са в cm.

с практически необходимите дължини, много пъти обаче трябва да бъдат коригирани. Най-често дадените размери се оказват малко по-дълги, отколкото е нужно. Радиалните проводници често се намират в непосредствена близост до земята или до заземени части на сградата. Затова върху тях се оказва по-силно или по-слабо капацитивно въздействие и резонансът се измества към по-ниските честоти. По тази причина най-често радиалните проводници трябва да бъдат скъсени, колкото е необходимо.

DL6DO е предоставил подробни данни за методиката на допълнителното коригиране на дължините на проводниците на една антена „граунд плейн“. Необходимите уреди са един високочестотен измерителен мост и един гриддипметър.

### Настройка

Всички радиални проводници да се откачат от централната точка, в която са закрепени. Два срещуположни четвъртълновни проводника се комбинират, за да образуват полуълнов дипол, като между тях се включва измерителен мост. Тъй като входното съпротивление на един полуълнов дипол е  $73 \Omega$ , потенциометърът на високочестотния измерителен мост трябва да се нагласи на същата стойност. Ако мостът се захрани с един гриддипметър, в повечето случаи се установява, че резонансната честота на дипола се отклонява от предвидената. В такъв случай трябва да се коригира дължината на двата проверявани в момента радиала. След като това стане, трябва по същия начин да се проверят следващите два радиала и да се коригират при нужда, без обаче първите два проводника да се закачат към основата на антената. Едва след като всички двойки проводници се настройват по описания начин, се възстановява връзката им с централната точка. С това грубата настройка на радиалите е завършена.

При фината настройка всеки от четвъртълновните радиални проводници се откача от центъра и се свързва към измерителния мост, който пък се свързва към общата точка на всички проводници. Останалите радиални проводници при това остават свързани към

общата си точка. С помощта на гриддипметъра отново се измерва резонансната честота на четвъртълновния отрязък и ако е нужно, дължината му се изменя по съответния начин. С останалите радиали проводници се постъпва по същия начин, като настроените радиални отрязъци винаги се включват отново към общата точка на всички проводници. Точният минимум няма да бъде измерен от моста при съпротивление  $73 \Omega$ , а при съпротивление между  $30$  и  $60 \Omega$ . Ако тази част от настройката се извърши безупречно, цялата система от радиални проводници ще бъде настроена в резонанс и може да се пристъпи към настройката на вертикалния четвъртълнов излъчвател на работната дължина на вълната. Това става също по описания начин с помощта на високочестотния измерителен мост и гриддипметъра.

Процесът на настройка изглежда донякъде сложен; затова пък с голяма вероятност може да се твърди, че една антена, настроена по този начин, няма да разочарова конструктора си.

#### 19.4.1.5. Удължена антена „граунд плейн“

Ако вертикалната излъчваща част на една антена „граунд плейн“ се удължи на повече от  $\lambda/4$ , нейното входно съпротивление също нараства. Това би могло да се обясни нагледно приблизително по следния начин: чрез удължаването на излъчвателя основата на антената се измества от минимума на напрежение към областта на нарастващото напрежение. Нарастващо напрежение при спадащ ток дават в резултат едно по-голямо съпротивление.

Чрез съответно удължаване на излъчвателя може да се намери подходяща дължина, при която вълновото съпротивление на използвания коаксиален кабел е точно равно на входното съпротивление на антената. Сега обаче антената няма да е настроена в резонанс с предварително зададената работна честота; тя е станала твърде дълга и входният импеданс има индуктивна реактивна компонента.

За да се компенсира тя, в точката на захранване се въвежда едно капацитивно реактивно съпротивление под формата на кондензатор, чисто капа-

Таблица 19.2. Данни за оразмеряване на удължени антени „граунд плейн“ (фиг. 19.20)

Диаметър на излъчвателя, mm	Дължина на излъчвателя при вълново съпротивление на коаксиалния кабел от				Радиални проводници, cm	Променилив кондензатор, pF
	52 $\Omega$ cm	60 $\Omega$ cm	70 $\Omega$ cm	75 $\Omega$ cm		

Резонансна честота 7050 kHz (любителски обхват 40 m)

2	1186	1240	1299	1311	1040	250
6	1185	1239	1298	1310	1040	250
10	1183	1236	1295	1307	1040	250
20	1177	1230	1288	1300	1040	250
40	1164	1217	1275	1286	1040	250

Резонансна честота 14100 kHz (любителски обхват 20 m)

2	593	620	652	658	520	150
6	591	619	651	656	520	150
10	590	618	650	655	520	150
20	588	615	647	653	520	150
40	576	602	634	640	520	150

Резонансна честота 21100 kHz (любителски обхват 15 m)

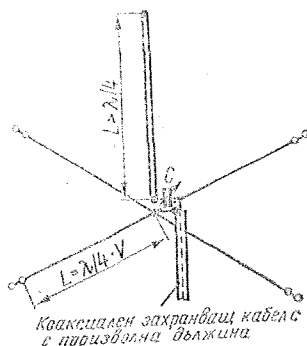
2	396	414	434	440	349	130
6	395	413	432	439	349	130
10	391	409	427	434	349	130
20	387	405	423	430	349	130
40	383	401	419	425	349	130

Резонансна честота 28100 kHz (любителски обхват 10 m)

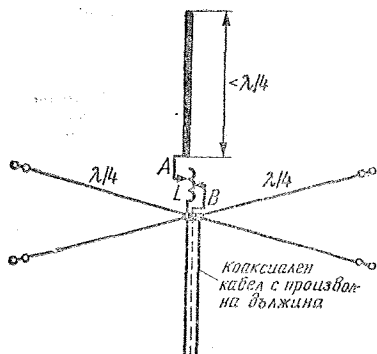
2	297	311	326	329	262	100
6	294	308	322	325	262	100
10	292	305	320	323	262	100
20	289	302	316	319	262	100
40	284	297	311	314	262	100

тивитно съпротивление съответствува на индуктивното съпротивление на удължения излъчвател. Така реактивните компоненти се компенсират взаимно и входното съпротивление става чисто активно.

На фиг. 19.20 е показана схемата на една такава удължена антена „граунд плейн“. Променилият кондензатор  $C$ , включен последователно на вътрешния проводник на кабела, осигурява възможност за корекции. Това може да бъде обикновен кондензатор, защото напреженията в тази точка са ниски. Изводът на ротора обаче трябва да контактува добре, защото протичат големи токове.



Фиг. 19.20. Удължена антена „граунд плейн“



Фиг. 19.21. Скъсена антена „граунд плейн“

Добре е кондензаторът да се помести в пластмасова кутийка, която да се уплътни, за да бъде водонепроницаема. Тази кутия се закрепва на право към долния край на антената, като закрепващите болтове могат да служат едновременно и като металическа връзка между края на излъчвателя и променливия кондензатор. Коаксиалният кабел се вкарва в пластмасовата кутия и там вътрешният му проводник се запоява за свободния край на променливия кондензатор. Външният проводник на кабела трябва да се свърже към общата точка на радиалните проводници. По този начин се осигурява качествено включване на коаксиалния кабел. Един навлажнен коаксиален кабел никога не изсъхва докрай и става неизползуваем.

След завършване на настройката променливият кондензатор може да бъде заменен с подходящ постоянен кондензатор, чиято стойност отговаря точно на съответната стойност на капацитета на променливия кондензатор.

Радиалните проводници, както при всяка истинска „граунд плейн“ антена, се опъват хоризонтално. Обикновено се използват едно- или многожични медни проводници с диаметър около 2 mm. Дължините им се подбират, както обикновено, и могат да се вземат от табл. 19.2 (за диаметър на проводника 2 mm).

Удължените антени „граунд плейн“ се настройват много лесно за максимално излъчване. Трябва единствено с помощта на променливия кондензатор да се постигне минимален коефициент на стоящи вълни, като за инди-

катор служи рефлектометър, включен чрез шлейф към захранващата линия.

В табл. 19.2 са дадени дължините на излъчвателите на удължени антени „граунд плейн“ в зависимост от желаното входно съпротивление.

#### 19.4.1.6. Скъсена антена „граунд плейн“

Често не е възможно да се монтира четвъртвълнов вертикален излъчвател с нормална дължина. Това се случва напр., когато трябва да се построи един „граунд плейн“ за обхвата 40 m или 80 m. Същото важи почти винаги и за автомобилните антени. В такива случаи съществува стремеж за скъсяване на излъчвателя до дължина, по-малка от  $\lambda/4$ .

Една антена, скъсена по такъв начин, вече не е в резонанс с работната честота, нейният входен импеданс има капацитивна реактивна компонента. За да се отстранят реактивните компоненти на входния импеданс, капацитивното съпротивление трябва да бъде компенсирано чрез една индуктивност. Ако при това входното съпротивление стане чисто активно, условието за резонанс е изпълнено отново.

Допълнително включването на индуктивно съпротивление обикновено се реализира като бобина, която се нарича удължителна бобина. Названието изразява това, че бобината предизвиква електрическо удължаване на излъчвателя. На фиг. 19.21 е показана схемата на скъсена антена „граунд плейн“ с удължителна бобина.

Удължителната бобина влошава много параметрите на антената; ако това не беше така, биха се произвеждали съвсем миниатюрни антени с удължителни бобини. Тъй като самата бобина не излъчва или излъчва съвсем слабо, но от друга страна, замества липсващата част от дължината на излъчвателя, коефициентът на полезно действие на антената намалява. Загубите в бобината, причинени от скин-ефекта, също имат значение и при много силно скъсените антени (напр. автомобилните антени) не са рядкост коефициенти на полезно действие под 10%. За да бъдат тези загуби възможно най-малки, бобината трябва да има голям качествен фактор. В такъв случай тя става един



честотно зависим елемент с много остра резонансна крива и ограничава широчината на пропусканата от антенната честотна лента. Затова скъсените антени винаги са повече или по-малко едно компромисно решение. Те имат стеснена честотна лента и понижена ефективност.

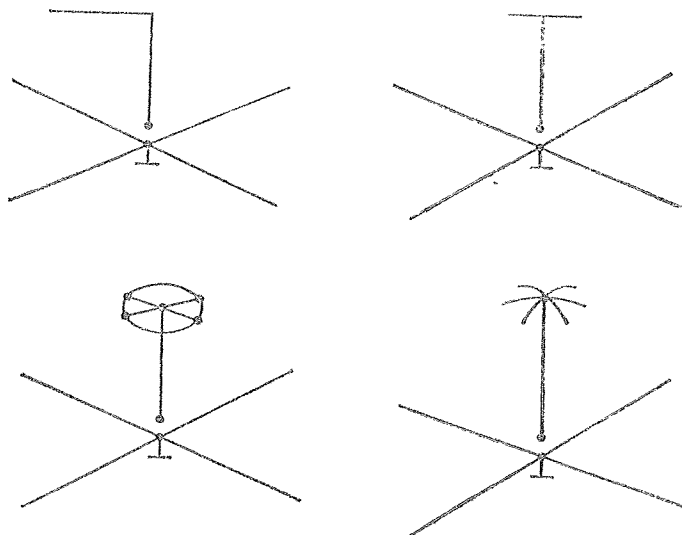
Най-трудната задача при построяването на една скъсена антена „граунд плейн“ е изработването на висококачествена удължителна бобина. Ако се решат трудностите при оформянето на двойния извод на бобината, по-нататъшната настройка е сравнително проста. Чрез гриддипметър, включен към бобината  $L$ , се установява резонансната честота на излъчвателя, като се изменя изводът А и се търси положението му, при което резонансната честота отговаря на желаната работна честота. След това към извода В се включва вътрешният проводник на кабела и системата се възбужда от предавателя. Към захранващата линия чрез шлейф се включва един рефлектометър. Като се променя изводът В върху удължителната бобина, се търси точка с импеданс, съответстващ на вълновото съпротивление на захранващата линия. Това е точката, при която

рефлектометърът измерва минимален коефициент на стоящи вълни в захранващата линия.

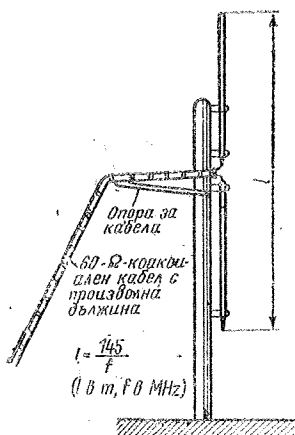
#### 19.4.1.7. Антена „граунд плейн“ с капацитивен товар

Височината на един вертикален излъчвател може да се намали, като свободният му край се натовари с така наречения върхов капацитет. Той може да се състои от отделни проводници или от плоски метални структури. На фиг. 19.22 са показани няколко вертикални излъчватели с върхови капацитети.

Капацитивният товар при максимум на напрежението формира един допълнителен капацитет спрямо земята. Както при един трептящ кръг чрез добавянето на капацитет се намалява резонансната честота, така и при поставянето на върхов капацитет резонансната честота на антената се измества към по-ниските честоти. Това означава, че един излъчвател, който по начало е малко къс, може да се настрои в резонанс чрез един върхов капацитет. Докато стойността на върховия капацитет остава в определени граници, една



Фиг. 19.22. Често срещани форми на вертикални излъчватели с капацитивен товар



Фиг. 19.23. Вертикален полуълнов дипол

антена с капацитивен товар не бива да се разглежда като компромисно решение. Такива антени имат даже общо взето, по-голямо съпротивление на излъчване, отколкото обикновените антени „граунд плейн“ и с това — по-голям коефициент на полезно действие. При по-големи върхови капацитети обаче донякъде се изменя характеристиката на насочено действие на антената, а самото изработване на върховия капацитет е свързано най-често с големи трудности. Антени с върхов товар се използват предимно в обхватите 40 m и 80 m. Капацитивният товар в края на антената може да се използва не само при четвъртълновите вертикални излъчватели, но и при всички настроени антени със свободен край.

#### 19.4.2. Вертикални полуълнови излъчватели и диполни редици

При работа в DX-обхватите (10 m, 15 m и 20 m) често съществува възможност да се монтира вертикален излъчвател с височина  $\lambda/2$  или повече. Най-често заради трудности от механичен характер не се използва самоносеща конструкция, защото тя трябва винаги да има в основата си качествен изолатор (максимум на напрежението). При такива конструкции обтяжките трябва да поемат всички странично действащи сили. Една подходяща

дървена мачта е не само по-сигурна, но има и предимства от електрическа гледна точка. В случай на нужда антенният проводник може да бъде обикновена жица. При нужда човек може да се изкачи по дървената мачта; тя може да се сгъва, ако това е предвидено в конструкцията ѝ.

#### 19.4.2.1. Полуълнов вертикален дипол

Полуълновите вертикални излъчватели също се отличават с малък ъгъл на възвишение във вертикалната равнина. Този ъгъл става толкова по-малък, колкото по-високо над земята е монтирана антената. Диаграмата на насочено действие в хоризонталната равнина има формата на кръг. Общо взето, полуълновият излъчвател се прави от тръба от лек метал, като може да бъде избрана схемата, показана на фиг. 19.23. Ако е на разположение достатъчно висока дървена носеща мачта, антенните проводници могат да бъдат и обикновени проводници с произволен диаметър. Тъй като се касае за един нормален полуълнов дипол, антената може да бъде захранена направо с коаксиален кабел с вълново съпротивление 60  $\Omega$ . Кабелът обаче трябва да се отведе хоризонтално на възможно най-голямо разстояние от точката на захранване. Специално при използването на тръби като антенен проводник долната половина на излъчвателя трябва да бъде малко скъсена, защото тя има по-голям капацитет спрямо земя. Особено удачна конструкция на вертикален полуълнов дипол е коаксиалната антена.

#### Коаксиална антена (Sleeve antenna)

На фиг. 19.24 е показан един обикновен полуълнов дипол, закрепен към дървена носеща мачта. Антенните проводници са изработени от тръби. Забележителното при тази антена е начинът на захранване. Захранващият коаксиален кабел с вълново съпротивление 60  $\Omega$  е напъхан в долната тръба с дължина  $\lambda/4$  и излиза направо в точката на захранване. Външната защитна обвивка на кабела (PVC) осигурява изолацията между него и тръбата. Едва в точката на захранване екраниров-

ката на кабела се оголва и се свързва галванически с долната тръба на дипола. Вътрешният проводник на кабела се свързва с горната половина на антената (вж. фиг. 19.24б).

Долната половина на излъчвателя има двойна функция: тя е излъчвателна половина на дипола и едновременно заедно с преминаващия през нея отрязък на коаксиалния кабел образува четвъртвълнов симетриращ трансформатор (вж. раздел 7.1.). Чрез това симетриране се потискат повърхностните вълни в обвивката на кабела, а най-често това е и най-простият и най-къс път до точките на захранване.

Този популярен вертикален излъчвател се нарича *коаксиална антена*. В литературата на английски език се среща под названието *Sleeve-antenna* (англ. Sleeve == ръкав).

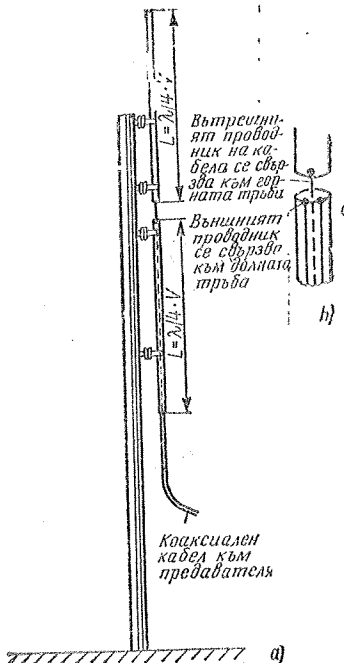
#### 19.4.2.2. Вертикални полуълнови излъчватели, захранвани в края

В радиолобителската практика вертикалните излъчватели често се захранват при максимум на напрежението в долния им край. Тъй като там импедансът винаги е висок, той трябва да се трансформира или пък захранването да става чрез настроена захранваща линия.

#### Вертикална целелин-антена

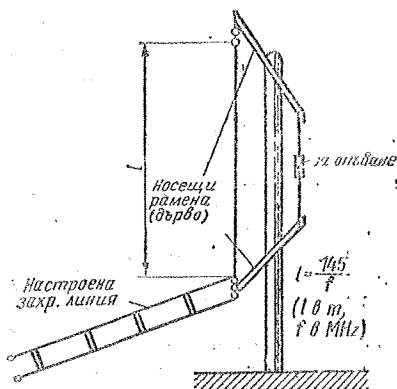
Вертикалната антена „целелин“, показана на фиг. 19.25, се възбужда чрез настроена захранваща линия. Ако тя работи с полуълнов резонанс, а основата ѝ се намира непосредствено над добре проводяща земна повърхност, може да се очаква, че диаграмата на насочено излъчване във вертикалната равнина ще бъде като показаната на фиг. 19.7с. Измененията, които настъпват в диаграмата на насочено действие на вертикални полуълнови излъчватели в зависимост от височината им над идеално проводяща земна повърхност, могат да се видят на фиг. 3.16.

Както е известно, при използването на настроена захранваща линия резонансната дължина на излъчващия отрязък от антената няма особено значение, защото излъчвателят и захранва-

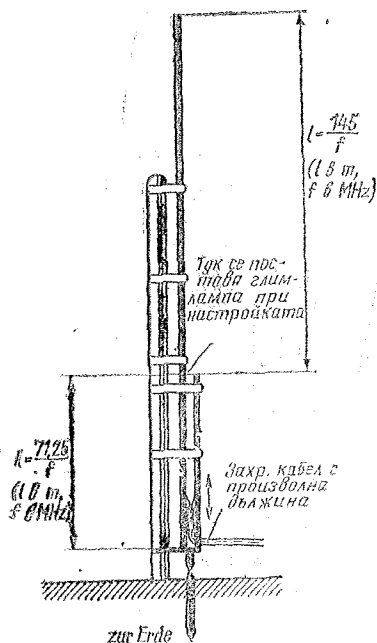


Фиг. 19.24. Коаксиална антена; а — механична конструкция, б — включване на захранващия кабел

щата линия образуват една система, която като цяло трябва да бъде настроена в резонанс. На практика при



Фиг. 19.25. Полуълнов вертикален излъчвател, захранен в края си



Фиг. 19.26. Полуълнов вертикален излъчвател със четвъртълнов съгласуващ шлейф

Използването на настроена захранваща линия цялата система се настройва в резонанс от страната на захранващата линия, която е свързана към предавателя с помощта на елементите за връзка с антената. Това е най-простият начин за използването на вертикалния излъчвател, захранван в края си, за работа на много обхвати. Подобренията за тази област на приложение ще бъдат дадени в раздел 19.4.3.

#### J-антена

Полувълновата вертикална антена може да се захранва много удобно, ако към точките на захранване, където съпротивлението е голямо, се включи затворен четвъртвълнов шлейф и върху шлейфа се намери точка, в която импедансът съответствува на вълновото съпротивление на захранващия кабел. Тъй като върху този четвъртвълнов шлейф могат да се намерят точки с импеданс от няколко хиляди ома (в основата на антената, при максимума

на напрежението) до почти  $0\Omega$  (при мостчето за късо съединение), към антената могат да бъдат съгласувани оптимално както произволно дълги коаксиални кабели, така и лентови кабели и двупроводни линии с въздушна изолация и вълново съпротивление  $600\Omega$ . Полуълнов излъчвател, съгласуван по такъв начин, се нарича J-антена (фиг. 19.26).

Полувълновият излъчвател и един от клоновете на съгласуващия шлейф могат да образуват едно цяло, т. е. може да се използва цяла тръба с дължина  $3/4\lambda$ . Специално предимство на този начин на захранване е това, че долният край на четвъртвълновия съгласуващ шлейф може да се заземи направо и стабилно. При съответна механична конструкция една такава J-антена действа и като гръмоотвод, без това да ограничава ефективността ѝ като предавателна антена.

Оптималното съгласуване на една J-антена се постига лесно. В долния край на излъчвателя се поставя една глим-лампа и мястото на включване на захранващата линия към четвъртвълновия съгласуващ шлейф се променя дотогава, докато се намери положение, при което глим-лампата свети най-ярко.

Дължината на излъчвателя може да се пресметне с достатъчна точност по формулата

$$l = \frac{145}{f},$$

където  $l$  е в m,  $f$  — в MHz.

Дължината на четвъртвълновия съгласуващ шлейф, изработен от успоредни проводници, се изчислява по формулата

$$l = \frac{73}{f}.$$

Ако се използват тръби със сравнително голям диаметър, е в сила изразът

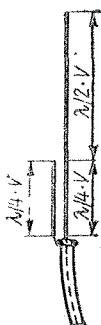
$$l = \frac{71.25}{f},$$

където  $l$  е в m, а  $f$  — в MHz.

За да може да се получи точна настройка, четвъртвълновият съгласуващ шлейф трябва да бъде с дължина, малко по-голяма от предварително изчис-

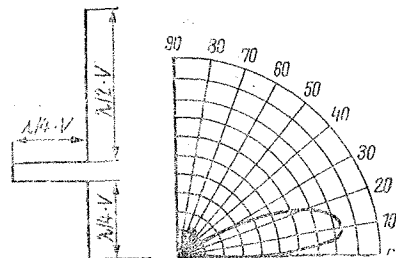
ната, като мостчетата за късо съединение в края на шлейфа са подвижни. След това антената се възбужда пасивно чрез помощна антена, опъната наблизо и захранена от предавател. Четвъртвълновият съгласуващ шлейф още не е свързан към захранващата линия. Той се възбужда изключително чрез излъчването от помощната антена. След това мостчетата за късо съединение върху четвъртвълновия шлейф се изместват дотогава, докато глим-ламцата, включена в долния край на шлейфа, светне с най-голяма яркост. Това означава, че излъчвателят и четвъртвълновият съгласуващ шлейф са настроени в резонанс с честотата на предавателя. Накрая помощната антена се отстранява и излъчвателят се захранва нормално чрез предвидената за тази цел захранваща линия. Правилното място за включване на кабела към съгласуващия шлейф трябва да се определи по описания вече начин. Един излъчвател, съгласуван оптимално по този начин, е една добра ненасочена DX-антена, когато е монтиран на достатъчно голяма височина.

За пълнота на фиг. 19.27 е показан още един начин за възбуждане на J-антена. Докато при съгласуването, показано на фиг. 19.26, вълновото съпротивление на четвъртвълновата линия има второстепенно значение, при четвъртвълновия трансформатор на фиг. 19.27 то има определящо значение. Съгласно раздел 6.5 и уравнение (5.31) в зависимост от коефициента  $S$  на излъчвания полувавлов отрязък може да се получи приблизително точно съгласуване към коаксиален захранващ кабел с вълново съпротивление от 50



Фиг. 19.27

J-антена с изменено захранване

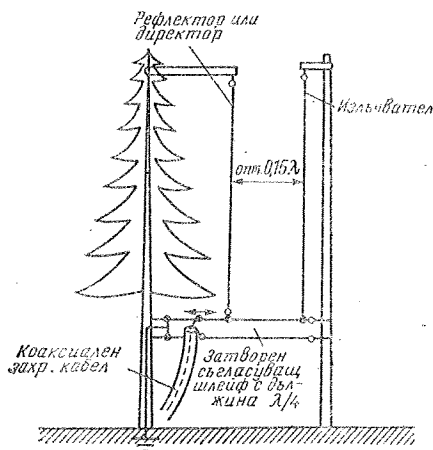


Фиг. 19.28. Вертикална диполна редица над добре проводеща земя, повърхност

до 75  $\Omega$ , когато отношението  $D/d$  за четвъртвълновия трансформатор възлиза на около 6. Това съответствува на вълново съпротивление, приблизително равно на 300  $\Omega$  (вж. фиг. 5.4). За точно съгласуване би трябвало отношението на диаметрите  $D/d$  на четвъртвълновия трансформатор да се изменя в малки граници. Това изисква допълнително усложняване на механичната конструкция, което поне в късволновия обхват се среща рядко.

#### 19.4.2.3. Вертикални диполни редици, захранвани в края

Тъм, където е възможно построяването на антени с височина, по-голяма от  $\lambda/2$ , с голям успех могат да се използват етажирани вертикално, синфазно възбуждани вертикални диполи. Под височина на антената се разбира възможно най-голямата дължина на излъчвателя, измерена от повърхността на земята до горния му край. Към една дървена мачта с дължина 12 m би могло напр. да се закрепят вертикален излъчвател, който да стърчи над нея още на 3 m, с което би се получила обща дължина на антената 15 m. Това е достатъчно, за да се постигне електрическа дължина на излъчвателя  $1,5 \lambda$  за обхвата 10 m и приблизително  $1 \lambda$  за обхвата 15 m. Ако се положат грижи за синфазно възбуждане на отделните полувавлови отрязъци, се получава отлична ненасочена антена с усиление като на една диполна редица. Усилването е резултат на намаляването на ъгъла на разтвора във вертикалната равнина. Тези зависимости са дадени в раздел 13.1. Както е известно, един вертикален излъчвател, монтиран



Фиг. 19.29. Двueleментен вертикален насочен излъчвател

непосредствено над добре проводеща земна повърхност, има огледално продължение в земята. В случай на вертикална диполна редица това напр. означава, че антената, показана на фиг. 19.28, се допълва от огледалния си образ в земята до диполна редица с три колинеарни диполни отрязъка, въпреки че общата ѝ дължина е само  $3/4 \lambda$ . Усилването на една диполна редица, състояща се от 3 синфазно възбудени колинеарни полувълнови отрязъка, съгл. раздел 13.1, възлиза теоретически на 3,2 dB. Следователно на вертикалния излъчвател с дължина  $3/4 \lambda$  може да се припише същото усиление, стига той да се намира непосредствено над „идеална“ земна повърхност. Тъй като обаче винаги трябва да се имат предвид поголеми или по-малки загуби в земята, усиляването не достига максималната си стойност; това може да стане само при наличието на много добра заземителна мрежа.

Завъртането на фазата, което е необходимо за синфазното възбуждане, се прави както обикновено чрез четвъртвълнова линия, дадена на края на късо. Антенната система може да се захрани чрез един извод към шлейфа. Диаграмата на насочено действие във вертикалната равнина, показана на фиг. 19.28, се получава при добра проводимост на земната повърхност. Ъгълът на разтвора във вертикалната

равнина е около  $20^\circ$ , ъгълът на възвишение — само около  $10^\circ$ .

## 19.5. Вертикално поляризиращи насочени антени

В радиолюбителската практика рядко се срещат вертикално поляризиращи насочени антени, въпреки че техните излъчвателни характеристики по отношение на далечното йоносферно разпространение на сигнала са поне толкова добри, колкото на еднотипните антени с хоризонтална поляризация. При изработването на вертикални антени едва ли се срещат по-големи трудности, отколкото при монтирането на антени с хоризонтална поляризация. Трябва обаче да се отбележи, че вертикалните насочени антени са по-чувствителни към смущенията от близко разположени отвесни препятствия. Затова те са по-подходящи за използване в открити местности.

### 19.5.1. Двueleментен вертикален излъчвател

В някои случаи е възможно на подходящо разстояние от активния полувълнов вертикален излъчвател да се постави един рефлектор или директор, напр. когато на съответно разстояние от излъчвателя се намира едно дърво. Това само по себе си нежелано препятствие може да се използва с изгода като носеща мачта за един пасивен елемент (фиг. 19.29).

Чрез превключване пасивният елемент може да се използва по избор като рефлектор или като директор. В обхвата 10 m директорът би трябвало да има дължина 491 cm. Чрез един превключвател може да бъде включен допълнително един отрязък от проводник с дължина 50 cm и пасивният елемент се удължава до 541 cm; с такава дължина той действва като рефлектор.

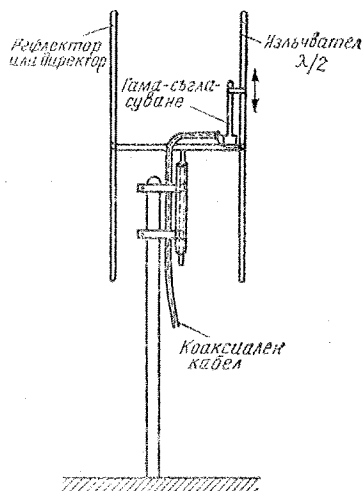
Така антената може да се използва в две, изместени на  $180^\circ$ , главни направления.

Схемата за съгласуване, показана на фиг. 19.29, представлява един от възможните начини за съгласуване. По принцип могат да се използват всички видове захранване в центъра на излъчвателя, които бяха дадени в раздел 16 (двueleментен хоризонтален насочен излъчвател).

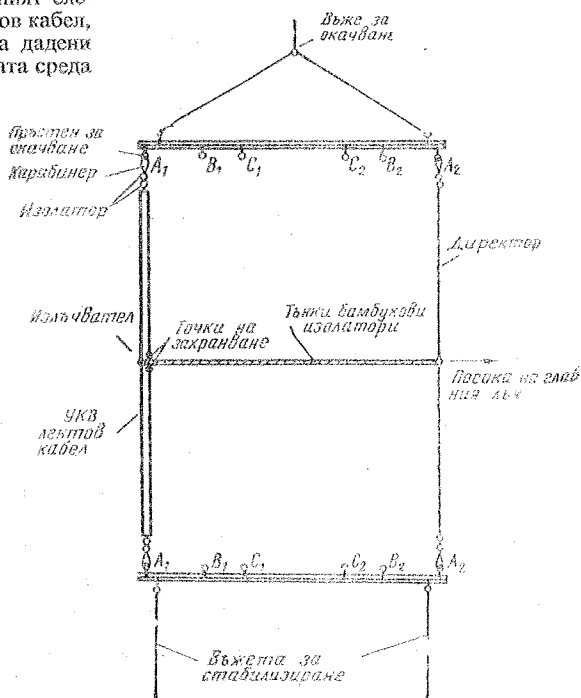
На фиг. 19.30 е показано едно предложение за конструктивно изпълнение на въртяща се двуелементна вертикална антена. В този случай е изгодно коаксиалният захранващ кабел да се съгласува чрез гама-съгласуващ елемент. Елементите могат да бъдат закрепени в геометричната си среда без използването на изолатори.

#### 19.5.2. Двуелементен вертикален излъчвател със сменими елементи

При тази антена е интересно простото и целесъобразно конструктивно оформление, предложено от PAØLU. От електрическа гледна точка тази антена (фиг. 19.31) представлява един нормален двуелементен насочен излъчвател, състоящ се от активен елемент и директор. Директорът е разположен на разстояние  $0,1 \lambda$  и при оптимално оразмеряване усиляването на антената в направление на главния лъч е 3,5 dB. За да се постигне по-лесно съгласуване към захранващия кабел, активният елемент е изработен от УКВ лентов кабел, двата проводника на който са дадени на края на късо. В геометричната среда



Фиг. 19.30. Въртяща се двуелементен вертикален насочен излъчвател



Фиг. 19.31  
Двуелементен вертикален излъчвател със сменими елементи

на елемента едното от двете жила се прекъсва. Там се включва захранващият кабел. Активният елемент действа като шлейфвибратор. Входното съпротивление е около  $60 \Omega$  и затова антената може да се захрани направо чрез една двупроводна линия с вълново съпротивление от  $50$  до  $70 \Omega$ . *PAØLU* използва за целта усукан мрежов кабел, чието вълново съпротивление е от този порядък. Директорът се изработва от многожичен антенен проводник.

Механичната конструкция на антената е показана на фиг. 19.31. Излъчвателите и директорите за всеки от трите обхвата се отрязват предварително и в крайщата им се поставят по един изолатор и един карабинер. Резонансната дължина на активния елемент се пресмята по формулата

$$l = \frac{140,8}{f},$$

където  $l$  е в m, а  $f$  — в MHz. Тази дължина в обхвата  $20$  m е  $10$  m, в обхвата  $15$  m —  $6,67$  m и в обхвата  $10$  m —  $5,03$  m. Размерите на директорите са с  $5\%$  по-малки.

За посеща конструкция се използват две импрегнирани дървени летви с дължина по  $2,20$  m, към които се окачват 6 закрепващи пръстена (фиг. 19.31). Разстоянието между пръстените  $A_1$  и  $A_2$  е  $214$  cm; тези пръстени служат за окачване на елементите за обхвата  $20$  m. Двойката пръстени  $B_1$  и  $B_2$  са разположени на разстояние  $144$  cm. Към тях се закрепват елементите за обхвата  $15$  m.  $C_1$  и  $C_2$  служат за закрепване на елементите за обхвата  $10$  m (разстоянието между тях е  $108$  cm).

Захранващата линия не би трябвало да нарушава равновесието на антенната система. Затова активният елемент и директорът се укрепват в средата си с тънък бамбуков прът, а захранващата линия се прекарва между двата елемента така, че цялата система да бъде в равновесие. Горното окачване въже трябва да бъде на макара, за да може при смяна на обхватите антената да се сваля лесно. След това трябва само да се подменят елементите, като се внимава само за това, те да бъдат окачвани на предвидените за съответния обхват закрепващи пръстени.

Често съществува възможност за изработване на такава механична конструкция на антената, че последната да може да се завърта аксиално. Така се създава един много прост и въпреки това много ефективен въртящ се насочен излъчвател. Малките трудности и загубите на време при смяната на обхватите се изплащат с лихви чрез добрите резултати, които се постигат с такива насочени антени при малки материални разходи.

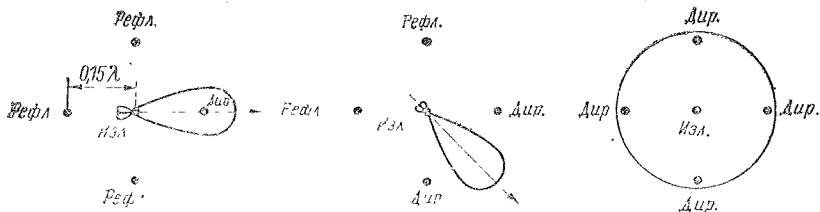
### 19.5.3. Насочена антена QH (Quick-Heading-Beam)

Насочената антена *QH (Quick-Heading-Beam)* е една усъвършенствувана модификация на вертикалния полувълнов излъчвател. Тя се състои от един вертикален полувълнов излъчвател с четири пасивни елементи, които са подредени на разстояние  $0,15 \lambda$  от активния елемент. Дължината на пасивните елементи чрез превключване може да се изменя така, че те по избор да действуват като директори или като рефлектори. По този начин чрез съответно превключване насочената антена облъчва всички посоки, без изменението на направлението на главния лъч да е свързано с въртене на самата антена. По своята ефективност тази антена съответства приблизително на една 3-елементна Яги-антена; може да се разчита на усиление до  $6,5$  dB. Механичната конструкция не е проста; като всеки вертикален излъчвател антената QH изисква свободно пространство и добра проводимост на почвата.

На фиг. 19.32 е показана схематично насочената антена QH, погледната отгоре, както и нейната диаграма на насочено действие в хоризонталната равнина при различно включване на пасивните елементи. От фигурата се вижда, че направлението на главния лъч може да има общо 8 различни положения, които са изместени на  $45^\circ$  едно спрямо друго. Аки всички пасивни елементи се включат едновременно като директори, диаграмата на насочено действие в хоризонталната равнина има формата на окръжност.

На фиг. 19.33а е показан още веднъж върхният вид на антената QH, този път изглед отстрани. За по-голяма прегледност не е начертана носещата





Фиг. 19.32. Насочена антена QH (модел отгоре) и нейната диаграма на насочно действие в хоризонталната равнина

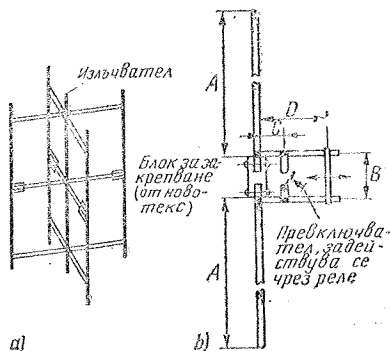
мачта. Централният активен елемент може да бъде както прав дипол, така и шлейфвибратор (малко по-голяма ширина на пропусканата честотна лента). Входното съпротивление при максимум на тока възлиза на 30 до 40  $\Omega$  и във всички случаи трябва да се трансформира до стойност, равна на вълновото съпротивление на захранващия кабел. При използването на шлейфвибратор това става чрез съответен подбор на диаметрите (при коефициент на трансформация  $> 1:4$  вж. фиг. 4.4; при коефициент на трансформация  $< 1:4$  — фиг. 19.19). При прав дипол най-изгодно е използването на изпитаното в практиката гама-съгласуване към захранващия коаксиален кабел. Когато съществува такава възможност, е добре захранващият кабел да се отведе до точките на захранване през долната половина на елемента (вж. също фиг. 19.24).

Четири пасивни елемента са прекъснати в геометричната им среда и са изработени, както е показано на фиг. 19.33b. При затворен превключвател пасивният елемент действа като директор, при отворен превключвател — като рефлектор. Превключващите контакти на релето трябва да имат възможно най-малък паразитен капацитет. В табл. 19.3 са дадени практически изпробвани размери на една насочена антена QH. Тъй като при всички вертикални излъчватели настройката по най-голямо излъчване в права посока не е достатъчно еднозначно, настройката се извършва по най-голямо затихване на сигнала в обратна посока. За целта дължината  $D$  първоначално се избира малко по-голяма от посочената в таблицата, а мостчето за късо съединение се прави подвижно. Отначало дължината  $D$  се

подбира, за да се получи най-добро действие като рефлектор, едва след това при затворен превключвател се подбира разстоянието  $C$ , за да се получи най-добро действие като директор. Двете настройки трябва да се повтарят, докато се намерят положения, при които повече не се забелязва подобрене на излъчвателните свойства на антената. В такъв случай захранващата линия е съгласувана оптимално към входното съпротивление на излъчвателя.

## 19.6. Вертикално поляризиращи многообхватни антени

Съществуват различни методи за използване на вертикалните излъчватели за работа в няколко обхвата. Ако се използва като основа една четвъртвълнова антена „граунд плейн“ и ако е възможно да се реализира антена с височина, отговаряща на най-голямата дължина на работната вълна,



Фиг. 19.33. Насочена антена QH; а — изглед отстрани, б — пасивните елементи

Таблица 19.3. Данни за оразмеряване на насочена антена  $QH$

	Дължина на излъчвателя	Разстояние до падащите елементи	Размери съгл. фиг. 19.33 б			
			A	B	C	D
Обхват 20 m	1027	253	460	10	40	90
Обхват 15 m	686	170	307	7	27	60
Обхват 10 m	512	126	230	5	20	45

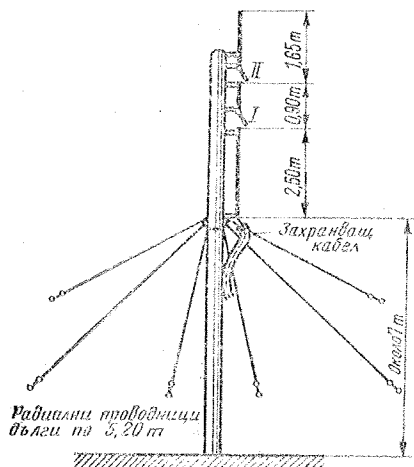
Всички размери са в cm

дължината на излъчвателя може да се изменя механически чрез включване на допълнителни части с помощта на въже, вързано към превключвателя, или с реле. Такива конструкции са описани в следващия раздел (19.6.1.). Когато излъчвателят се удължава или съкращава електрически откъм долния си край чрез  $LC$ -елементи, неговата обща дължина е по-малка и механичната му конструкция — по-проста. При този метод обаче винаги трябва да се очакват по-големи или по-малки допълнителни загуби. Накрая, би могло по примера на всевъзможната антена  $W3DZZ$  (раздел 10.2.8.) да се включат в антенния проводник режекторни кръгове, при което механичното превключване от-

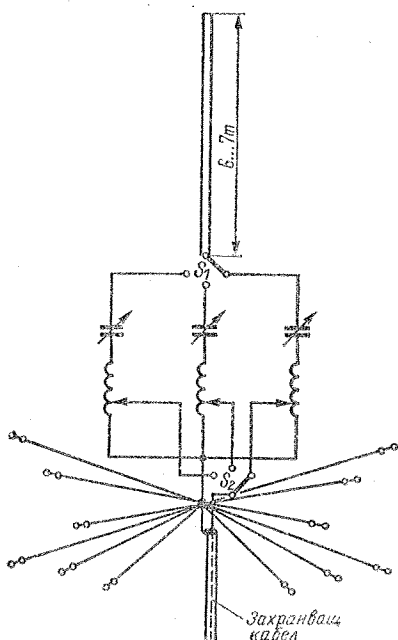
пада и се осъществява действително режим на работа в няколко обхвата. Тези конструкции на вертикални излъчватели са по-сложни и изработването на безупречни от електрическа и механична гледна точка режекторни кръгове предполага наличието на голям опит. Затова те се произвеждат предимно във фабрични условия.

#### 19.6.1. Триобхватна антена „граунд плейн“

В радиолобителската литература е описана една триобхватна антена „граунд плейн“, която може да се използва на три обхвата чрез превключване на излъчвателя (фиг. 19.34). Изработването на превключвателите, задействувани с въже, поставя някои изисквания за съвместност при механичната работа. Не е лесно тези превключватели да се конструират така, че да работят добре продължително и при всякакви метеорологични условия. Всички размери са дадени на фиг. 19.34. В обхвата 20 m резонанс се получава, когато са затворени превключвателите I и II; ефективната дължина на излъчвателя тогава е 5,05 m, като се приема диаметър на тръбата 40 mm. Ако се отвори превключвателят II, ефективната дължина е 3,40 m и антената е в резонанс за обхвата 15 m. За работа в обхвата 10 m трябва и двата превключвателя да бъдат отворени и тогава се възбужда само най-долният отрязък с дължина 2,50 m. Радиалните проводници на заземителната мрежа имат дължина 5,20 m. Те са наклонени на полу, за да се повиши дотолкова вход-



Фиг. 19.34. Триобхватна антена „граунд плейн“



Фиг. 19.35. Схема на триобхватна антена „граунд плейн“

ното съпротивление на антената, че захранването да стане направо с коаксиален кабел с вълново съпротивление  $50 \Omega$ .

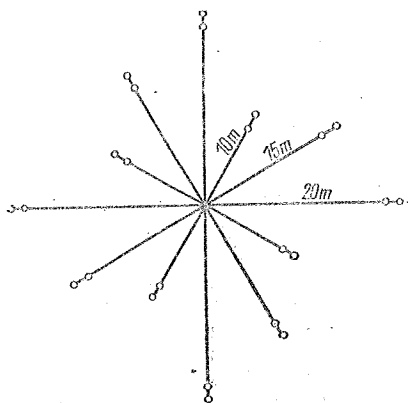
На фиг. 19.35 е показана друга конструкция на превключваема триобхватна антена „граунд плейн“. Превключвателите се намират в долния край на антената и са по-лесно достъпни. Вертикалният излъчвател сам за себе си не е настроен в резонанс; неговата дължина би трябвало да бъде между 6 и 7 m.

Излъчвателят се настройва в резонанс чрез звената за настройка, които се състоят от по един променлив кондензатор и една бобина. Контролът на настройката се осъществява с помощта на гриддипметър, който се включва индуктивно към съответната бобина. Превключвателите позволяват да се работи по избор в обхватите 10 m, 15 m и 20 m. Променливите кондензатори трябва да имат краен капацитет  $100 \text{ pF}$ , а стойността на индуктивностите се установява опитно. Препоръчва се при първоначалното измерване на резонансните честоти да се използва свободно навита бобина от дебел посребрен меден проводник. Бобината трябва да има 15 навивки и диаметър 40 mm.

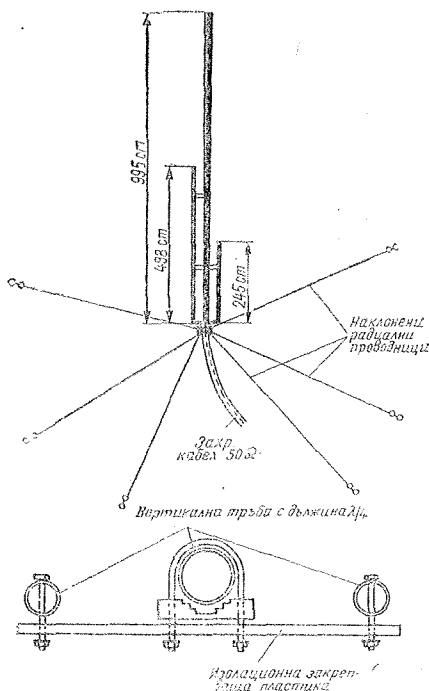
При тази антена за всеки обхват се използват група радиални проводници от заземителната мрежа, настроени в резонанс. На фиг. 19.36 е показано как са разпределени те около централната обща точка. Радиалните проводници се настройват по описания вече начин с помощта на високочестотен измерителен мост и гриддипметър. Това става поотделно за всеки обхват.

Съгласуването към коаксиалния захранващ кабел става много лесно. Търси се точка върху бобината, в която импедансът съответства точно на вълновото съпротивление на захранващия кабел. За целта високочестотният измерителен мост се включва между долния край и извода на бобината, захранва се чрез гриддипметъра и мястото на извода се променя дотогава, докато мостът измери желанния импеданс. Тази настройка трябва да се извърши много старателно; препоръчва се честотата на гриддипметъра да се контролира непрекъснато с контролен приемник.

Добрата работа на антената зависи от превключвателите. Дали те ще се задействуват механически, чрез въже или дистанционно — чрез релета, — това зависи от желанието и сръчността.



Фиг. 19.36. Поддръждане на радиалните проводници



Фиг. 19.37. Четириобхватна антена „граунд плейн“ без превключватели; а — механична конструкция, б — закрепяване чрез изолятори

на конструктора. Голямо значение има качественият фактор на бобините. Те са разположени винаги в максимум на тока, затова трябва да се осигури добра повърхностна проводимост и голям диаметър на проводника.

#### 19.6.2. Четириобхватна антена „граунд плейн“ без превключватели

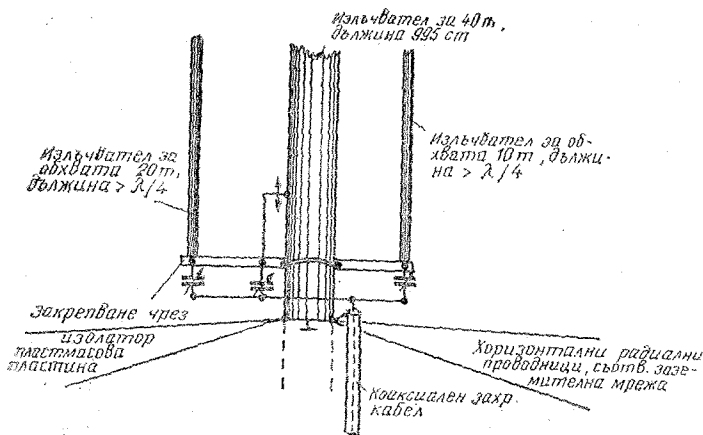
На фиг. 19.37 е показана четириобхватна антена „граунд плейн“, при която не се използват усложнени превключватели и схемни елементи, външни загуби. Стабилната тръба с дължина  $\lambda/4$  за обхвата 40 m служи едновременно и за носеща мачта на по един четвъртвълнов излъчвател за обхватите 20 m и 10 m. В долния си край трите излъчвателя са свързани галванически един с друг. Там се включва и вътрешният проводник на коаксиал-

ния кабел с вълново съпротивление 50  $\Omega$ . Външният проводник на коаксиалния кабел се свързва с общата точка на радиалите, които трябва да бъдат възможно най-много на брой. Дължината им е 10,35 m. За да се получи приблизително точно съгласуване към коаксиалния кабел с вълново съпротивление 50  $\Omega$ , радиалите трябва да са наклонени надолу под ъгъл около 135° (вж. раздел 19.4.1.). Това означава, че долният край на четвъртвълновите излъчватели се намира на височина няколко метра над земята. Препоръчва се разпределение на радиалните проводници като показаното на фиг. 19.36, като трябва да се добавят и проводниците за обхвата 40 m.

Четвъртвълновите излъчватели трябва да се прикрепят към носещата тръба (излъчватели за 40 m) чрез свързващи пластини от пластмасата с малки загуби (напр. *пикрил*). Същият начин на свързване (фиг. 19.37b) може да се използва и в долния край на излъчвателите. Там обаче свързващата пластинка е от метал.

Антената работи по следния начин. В обхвата 40 m действа отрязъкът с дължина 9,95 m; той е малко по-къс от обикновено, защото сравнително големият му диаметър заедно с двата паралелно свързани елемента обуславя едно по-силно скъсяване. Същият отрязък работи като излъчвател с дължина  $3/4 \lambda$  за обхвата 15 m, при което обаче диаграмата на излъчване във вертикалната равнина се разклонява. За обхватите 20 m и 10 m се използват два нормално оразмерени четвъртвълнови излъчвателя.

Както вече беше казано, при свободна от препятствия околност най-изгодно е вертикалните излъчватели да се поставят непосредствено над земната повърхност. В такива случаи обаче радиалните проводници трябва да бъдат опънати хоризонтално и входното съпротивление на антената би било от порядъка на 30  $\Omega$ . В този случай може да се използва описаният в раздел 19.4.1.5. принцип на удължения „граунд плейн“. За целта отрязъците, излъчващи в обхватите 10 m и 20 m, се удължават с около  $5/16 \lambda$  и след това отново се скъсяват до електрическа дължина  $\lambda/4$  чрез един последователен кондензатор (както е показано на фиг. 19.20). Така точката на

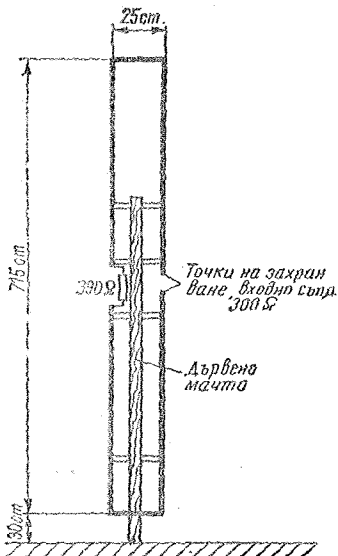


Фиг. 19.38. Съгласувана четириобхватва антена „граунд плейн“

захранване се „измества“ в областта на по-големите импеданси и при съгласуването към какъвто и да е коаксиален кабел не се срещат никакви трудности. Всички необходими данни са събрани в табл. 19.2.

На фиг. 19.38 е показана една примерна конструкция на антена от този тип. По съображения за механична стабилност елементът за обхвата 40 m не е удължаван и е включен като заземен „граунд плейн“ (вж. фиг. 19.13). Краят на излъчвателя е заземен направо и съгласуването се извършва чрез компенсиран гама-елемент. Другите два излъчвателя са удължени в съответствие с данните от табл. 19.2 и след това са скъсени електрически чрез променливи кондензатори. Тези елементи са закрепени към заземенния среден излъчвател. Те обаче са изолирани от него чрез изолационна пластина. Роторите на трите променливи кондензатора се свързват и образуват пина, към която се включва вътрешният проводник на захранващия коаксиален кабел. Външният проводник на кабела се свързва към основата на заземенния излъчвател за 40 m, където са свързани и проводниците на заземителната мрежа. При такава конструкция за носеща тръба (излъчвател за обхвата 40 m) се използва здрава газопроводна тръба, чийто долен край е набит така дълбоко в земята, че свободната му дължина над земната повърхност да бъде 2,90 m. Краят на

тръбата би трябвало да се постави в бетонен блок. След това двата удължени четвъртвълнови излъчвателя се закрепват с изолация към долния край на носещия излъчвател (вж. фиг. 19.38). Едно такова съоръжение е същевременно и отличен гръмоотвод.

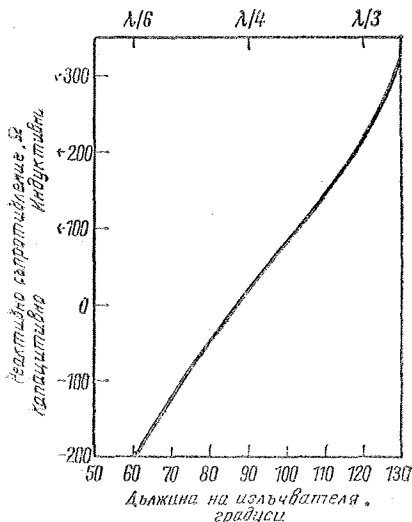


Фиг. 19.39. Многообхватна вертикална антена T2FD

### 19.6.3. Вертикална многообхватна антена T2FD

Антената T2FD, използвана като вертикален излъчвател, също дава много добри резултати. На фиг. 19.39 е показана една конструкция, която при обща дължина само 7,50 m е подходяща за DX-обхватите 10, 15 и 20 m. В някои съобщения се изтъква, че тази антена се възбужда добре и на обхватите 40 m и 80 m, но постигнатите резултати не са били особено високи. Така че с една вертикална антена T2FD е възможна работа на всички обхвати.

При използването на товарно съпротивление от 390  $\Omega$ , което трябва да разсейва поне 1/3 от мощността на предавателя, входното съпротивление на антената е около 300  $\Omega$ . Затова е възможно захранването да стане направо с лентов кабел с вълново съпротивление 300  $\Omega$ . Захранването с коаксиален кабел може да се извърши само след предварително симетриране и съгласуване. Симетриращите и съгласуващи елементи се поставят във водо-



Фиг. 19.40. Приблизителни стойности на реактивната компонента на входния импеданс на вертикални излъчватели, разположени над „идеална“ земя, в зависимост от дължината на излъчвателя, изразена в  $^\circ$  ( $\lambda = 360^\circ$ ,  $\lambda/4 = 90^\circ$ )

непроницаема кутия, закрепена към дървената носеща мачта. Други конструкции на антени T2FD са дадени в раздел 12.2.

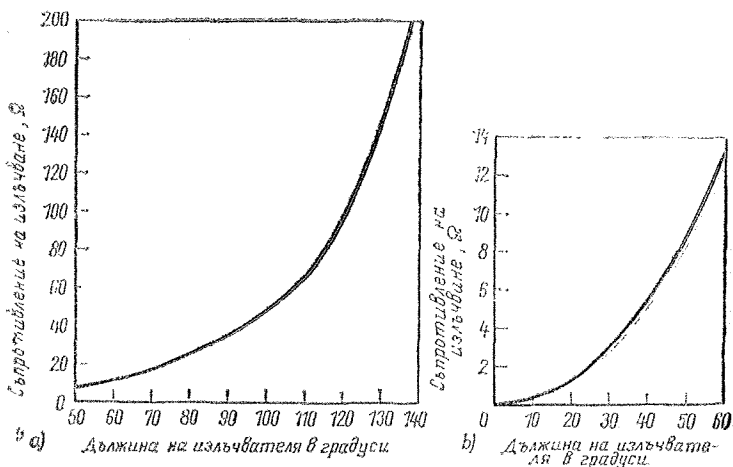
### 19.6.4. Многообхватни антени «граунд плейн» с превключваеми удължителни бобини

Много практически изработени антени „граунд плейн“ работят с превключваеми удължителни бобини, а някои — и със скъсяващи кондензатори. По принцип вертикалният излъчвател се настройва приблизително в резонанс на един от любителските обхвати; за да може да работи и на по-нискочестотните обхвати, капацитивната реактивна компонента на входния импеданс, която съществува при такъв режим на работа, се компенсира чрез индуктивно реактивно съпротивление (удължителна бобина), за да се получи чисто активен входен импеданс.

Вертикалният излъчвател е твърде дълъг за по-високочестотните обхвати, т. е. той има индуктивно реактивно съпротивление, което трябва да се компенсира със също толкова голямо капацитивно съпротивление (скъсяващ кондензатор).

На фиг. 19.40 са показани приблизителните стойности на реактивното съпротивление на вертикални излъчватели, разположени над идеално проводеща земна повърхност в зависимост от дължината им, изразена в ъглови градуси ( $1 \lambda = 360^\circ$ ). Това са ориентировъчни стойности, като се приема отношение дължина/диаметър на излъчвателя 1000. При по-дебелите антени (по-малък коефициент  $S$ ) реактивните съпротивления са по-малки, при по-тънки антени (голям коефициент  $S$ ) те нарастват. От диаграмата може да се види, че импедансът преминава през нулевата стойност при дължина на излъчвателя  $87^\circ$ , т. е. не точно при  $90^\circ$ , които отговарят на  $\lambda/4$ . Това се дължи на коефициента на скъсяване на излъчвателя, който определя коефициента  $S$ . При дължина на излъчвателя  $> 87^\circ$  реактивното съпротивление е индуктивно („твърде дълъг“), в обратния случай — капацитивно („твърде къс“).

За да се настрои в резонанс един



Фиг. 19.41. Зависимост на съпротивлението на излъчване на вертикални излъчватели, разположени над „идеална“ земя от дължината на излъчвателите в  $^\circ$ ; а — за дължина на излъчвателите между  $30^\circ$  и  $140^\circ$ , б — за дължини  $60^\circ$

удължен или скъсен „граунд плейн“, от фиг. 19.40 се определя приблизително реактивното му съпротивление и след това от фиг. 6.19 или фиг. 6.20 — индуктивността на удължителната бобина, съотв. капацитетът на скъсяващия кондензатор. Тъй като фиг. 19.40 дава само ориентировъчните стойности, бобините и кондензаторите трябва да могат да променят стойността си.

Съпротивлението на излъчване на един вертикален излъчвател, разположен над идеално проводеща земна повърхност, може да бъде отчетено от графиките на фиг. 19.41. То зависи от дължината на излъчвателя. Съпротивлението на излъчване на една четвъртълънова „граунд плейн“ антена ( $\lambda/4=90^\circ$ ) е 36,6  $\Omega$ ; при дължина на антената  $\lambda/3 (=120^\circ)$  то нараства на 100  $\Omega$ ; при дължина  $\lambda/6 (=60^\circ)$  съпротивлението на излъчване спада на около 13  $\Omega$ . При още по-голямо скъсяване на антената ( $<60^\circ$ ), което се среща често напр. при автомобилните антени, съпротивлението на излъчване става извънредно малко. Това следва от фиг. 19.41б.

От уравн. (19.6) може да се види, че входното съпротивление на излъчвателя  $R_E$  е равно на сумата от съпротивлението на излъчване  $R_S$  и загубното съпротивление  $R_V$ . В пространството се излъчва обаче само енергията, падаща се на съпротивлението  $R_S$ , до-

като частта от енергията, попадаща в  $R_V$ , се преобразува в топлина. На практика това означава, че при едно и също загубно съпротивление коефициентът на полезно действие на антената става толкова по-малък, колкото по-малко е съпротивлението на излъчване. Тези зависимости ще бъдат показани нагледно с един прост пример.

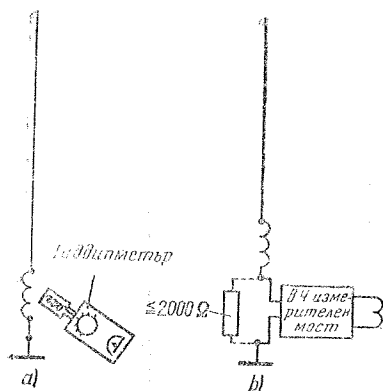
### Пример

Един вертикален излъчвател, разположен над земята, има дължина  $30^\circ = \lambda/12$ . Капацитивната реактивна компонента на входния импеданс е компенсирана чрез една индуктивност (удължителна бобина) и може да се приеме, че входният импеданс  $R_E$  е чисто активен.

Според фиг. 19.41б съпротивлението на излъчване при дължина на излъчвателя  $30^\circ$  е  $R_S=3 \Omega$ . Входното съпротивление  $R_E$ , измерено с измерителен мост, се оказва равно на 10  $\Omega$ . Тъй като съгласно уравн. (19.6)  $R_E=R_S+R_V$ , може да се приеме, че сумата от загубните съпротивления  $R_V=7 \Omega$  ( $R_V=R_E-R_S=10-3=7$ ).

Коефициентът на полезно действие на антената се пресмята по формулата

$$\eta = \frac{R_S}{R_S + R_V} = \frac{R_S}{R_E} \quad (19.11)$$



Фиг. 19.42. Измерване на параметрите на удължени вертикални излъчватели; *a* — измерване на резонансната честота с гриддипметър, *b* — измерване на входния импеданс с високочестотен измерителен мост

Ако се заместят данните от примера, се получава

$$\eta = \frac{3}{10} = 0,3 (=30\%).$$

Ако при същото загубно съпротивление  $R_v$  излъчвателят беше дълъг  $60^\circ$ , съпротивлението на излъчване, определено от фиг. 19.41*b*, би било  $13 \Omega$  и коефициентът на полезно действие би нараснал на

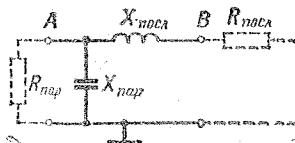
$$\eta = \frac{13}{20} = 0,65 (=65\%).$$

Трябва да се приеме, че един вертикален излъчвател, използван в няколко любителски обхвата, се настройва за всеки от тях в резонанс чрез превключваеми удължителни бобини със съотв. коефициенти на скъсяване, затова входното му съпротивление  $R_E$  е чисто активно при работа в който и да е обхват. Резонансното състояние се контролира лесно с помощта на гриддипметър. Ако той се свърже към използваната в момента удължителна бобина, както е показано на фиг. 19.42*a*, може да се отчете резонанс в съответния любителски обхват. Долният край на бобината трябва да бъде свързан със заземителната мрежа.

Следващата задача е да се съгласува входното съпротивление на излъчва-

теля  $R_E$  към вълновото съпротивление  $Z$  на захранващия кабел. Отначало трябва да се определи входното съпротивление на антената; това става най-лесно чрез високочестотен измерителен мост (вж. раздел 31.). Изчисленията най-често позволяват да се определят само приблизителни стойности, защото загубните съпротивления, които, както е известно, също влизат във входното съпротивление, могат да се оценят ориентировъчно. Високочестотният измерителен мост се свързва на мястото на захранващия кабел (фиг. 19.42*b*) и трябва да се захранва със съответната резонансна честота. Случва се поради наличието на смущаващи полета на разсейване да не може да се установи точно и еднозначно нулата на индикатора на измерителния мост. В такъв случай помага паралелното включване на едно безиндуктивно съпротивление със стойност  $\leq 2000 \Omega$  (начертано с прекъснати линии). Влиянието му върху резултатите на измерването може да се пренебрегне. Ако измерената стойност на  $R_E$  се отличава незначително от вълновото съпротивление на захранващия кабел, не си струва да се полагат усилия за допълнително съгласуване и в този обхват излъчвателят може да се захранва направо. Във всички останали случаи най-просто е съгласуването да се извърши чрез реактивен трансформатор.

Една схема, действаща като реактивен трансформатор, е показана на фиг. 19.43. По-голямото от двете съпротивления се намира винаги в паралелния клон и затова се означава с  $R_{\text{пар}}$ . По-малкото съпротивление  $R_{\text{посл}}$  е включено последователно. Това означава, ако входното съпротивление на излъчвателя има по-голяма стойност от вълновото съпротивление на кабела, то  $R_E = R_{\text{пар}}$  и следователно антената трябва да бъде включена в точката А, а вътрешният проводник на кабела —



Фиг. 19.43. Реактивен трансформатор ( $R_{\text{пар}} > R_{\text{посл}}$ )



в точката В. В обратния случай ( $Z > R_E$ ) вълновото съпротивление на кабела заема мястото на  $R_{\text{пар}}$  и антената се включва в точката В ( $R_E = R_{\text{посл}}$ ).

След тези предварителни разяснения трябва да бъде пресметната стойността на индуктивното съпротивление  $X_{\text{посл}}$  и капацитивното съпротивление  $X_{\text{пар}}$ . Първо се определя работният качествен фактор:

$$Q = \sqrt{\frac{R_{\text{пар}}}{R_{\text{посл}}}} - 1. \quad (19.12)$$

Оттук се получава индуктивното съпротивление  $X_{\text{посл}}$ :

$$X_{\text{посл}} = Q \cdot R_{\text{посл}}. \quad (19.13)$$

Капацитивното съпротивление  $X_{\text{пар}}$  е равно на

$$X_{\text{пар}} = \frac{R_{\text{пар}}}{Q}. \quad (19.14)$$

#### Пример

Измерено е входно съпротивление на един вертикален излъчвател, равно на 10  $\Omega$ . Захранването трябва да стане чрез коаксиален кабел с вълново съпротивление 50  $\Omega$ .  $R_E < Z$ , затова  $R_E = R_{\text{посл}}$  и  $Z = R_{\text{пар}}$ .

Според уравн. (19.12)

$$Q = \sqrt{\frac{50}{10}} - 1 = \sqrt{4} = 2.$$

Съгласно уравн. (19.13)

$$X_{\text{посл}} = 2 \cdot 10 = 20 \Omega,$$

а съгл. уравн. (19.14)

$$X_{\text{пар}} = \frac{50}{2} = 25 \Omega.$$

Сега от фиг. 6.19 може да се отчете индуктивността, съответстваща на реактивно съпротивление 20  $\Omega$  в зависимост от работната честота, а от фиг. 6.20 — капацитетът, съответстващ на реактивно съпротивление 25  $\Omega$ . Тези диаграми понякога не са достатъчни и затова също така бързо и с по-голяма точност индуктивността и капацитетът могат да се пресметнат по следните формули:

$$L = 0,159 \frac{X_{\text{посл}}}{f} \quad (19.15)$$

и

$$C = \frac{159\,000}{X_{\text{пар}} \cdot f}, \quad (19.16)$$

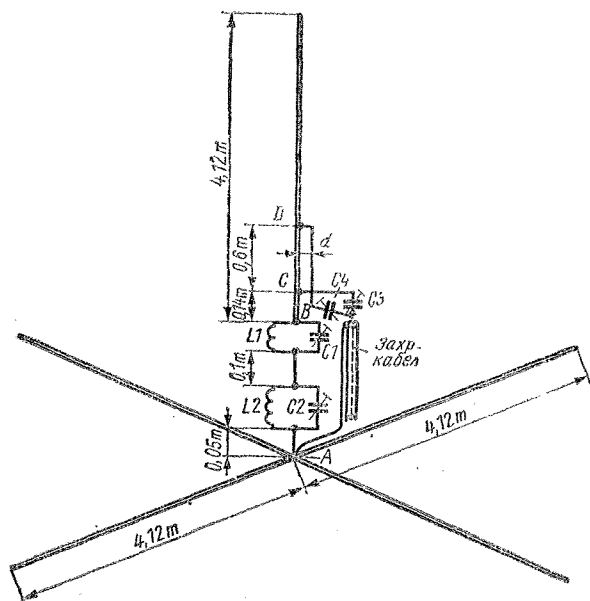
където  $L$  е в  $\mu\text{H}$ ,  $C$  — в  $\text{pF}$ ,  $f$  — в  $\text{MHz}$ , а  $X$  — в  $\Omega$ .

#### 19.6.5. Вертикални многообхватни антени с многолептовни кръгове

На фиг. 19.44 е показана схемата на една триобхватна антена „граунд плейн“, при която са използвани един вертикален излъчвател с дължина само 4,12 m и четири също толкова дълги радиални заземителни проводници. С тези размери антената има резонанс при дължина на вълната между 15 и 20 m. Би могло дължината на излъчвателя и на радиалите да се намали максимално до 3,35 m; в този случай обаче коефициентът на полезно действие би намалил и двата многолептовни кръга би трябвало да бъдат съответно преоразмерени. Затова се препоръчва да се запазят размерите, изпробвани от VK2AZN.

Всяки елементи са изработени от тръба от лек метал с диаметър 25 mm. Диаметърът на тръбата и профилът на елементите по принцип са без значение. Двата паралелни трептящи кръга  $L_1-C_1$  и  $L_2-C_2$ , включени в долния край на вертикалния излъчвател, настроят в резонанс вертикалния излъчвател и радиалните проводници.  $L_1$  се състои от отрязък от проводник с дължина 165 mm и диаметър от 2,0 до 2,5 mm, който е огънат в полукръг.  $L_2$  има две навивки от същия проводник, като диаметърът на бобината трябва да бъде 38 mm, а дължината ѝ — 13 mm. Проводникът, свързващ долния край на  $L_2$  с общата точка на радиалните проводници, е дълъг 50 mm. Разстоянието между двете бобини е 100 mm.  $C_1$  (160 pF) и  $C_2$  (60 pF) са въздушни тример-кондензатори, съотв. комбинация от подходящи постоянни кондензатори и тримери. Като правило те се поставят във водонепроницаема пластмасова кутия.

Съгласуването към един коаксиален

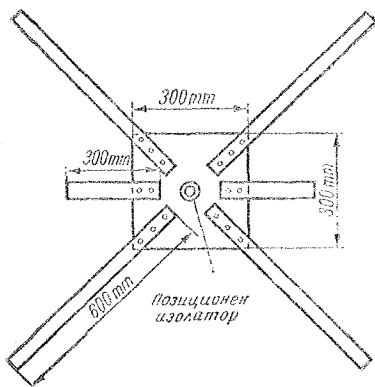


Фиг. 19.44  
Схема на триобхватна антена „граунд плейн“ с много-  
лентови кръгове

захранващ кабел може да стане индуктивно (чрез  $L_1$  или  $L_2$ ). *VK2AZN* обаче е открил метод, който се отличава с механична стабилност и безупречна работа от електрическа гледна точка. По принцип е използвано гама-съгласуване (вж. раздел 6.3.). Външният проводник на кабела се свързва с централната точка А. Плътнo до вътрешния проводник на кабела се намират въздушните тримери  $C_3$  и  $C_4$  (55 pF, съотв. 52 pF).  $C_3$  служи за съ-

гласуване в обхвата 28 MHz и настройката му е доста критична. Чрез  $C_4$  коаксиалният кабел се съгласува за обхватите 14 MHz и 21 MHz; тук резонансната крива не е толкова остра. Линията между  $C_3$  и вертикалният прът се състои от дебел проводник и трябва да бъде възможно най-къса. Разстоянието В—С възлиза на около 140 mm и не е критично. При свързването на  $C_4$  към точката трябва да се има предвид това, че линията трябва да бъде успоредна на вертикалния излъчвател. Разстоянието  $d$  трябва да е възможно най-малко, за да се получи добро съгласуване в обхвата 14 MHz. Ако обаче  $d$  е твърде малко, коефициентът на стоящи вълни в обхвата 28 MHz се увеличава много. Като изгоден компромис е предложено разстоянието  $d$  да бъде 20 mm. Съгласуващата линия трябва да се закрепва механически към точката D така, че успоредността ѝ към вертикалния елемент да се запазва постоянно.

За основа на механичната конструкция *VK2AZN* е избрал четириъгълна плоча от дърво или подходяща пластмаса с дебелина 25 mm и дължина на страната 300 mm (фиг. 19.45). Както е показано на фигурата, към тази плоча са закрепени с винтове 4 дървени летви



Фиг. 19.45. Дървена носеща основа на триобхватната антена „граунд плейн“

с дължина 600 mm, ширина 80 mm и дебелина 50 mm, които служат за носещи рамена на четирите радиални тръби. Две други дървени или пластмасови летви с дължина около 300 mm служат за закрепване на елементите на трептящите кръгове, съответно на захранващата система. В средата на основната плоча се намира изолатор, който поема вертикалния излъчвател. Към електрическите качества на този изолатор не се поставят никакви високи изисквания, защото в долния край на вертикалния излъчвател съществуват само незначителни високочестотни напрежения. За да се осигури достатъчна стабилност на вертикалния прът, той се укрепва с 4 обтяжки. Те са свързани на около 1,20 m над долния край и са опънати към радиалните тръби, към които се свързват също на 1,20 m от общата им централна точка. Ако тези обтяжки са изработени си жица, трябва да се прекъснат електрически с изолатор най-малко на 0,6 m от точката на закрепване.

Грубата настройка на антенната система се извършва отначало с един гриддипметър, преди още да се свърже захранващия кабел. Предполага се, че радиалните тръби се намират поне на 0,3 m над земята. Гриддипметърът се свързва индуктивно към  $L_1$ , съответно  $L_2$ . С  $L_2$  и  $C_1$  се получава резонанс за честота 21 MHz, а  $C_2$  се използва главно за обхвата 28 MHz. Измененията на  $L_1$  влияят преди всичко на резонанса за честота 14 MHz. Съществуват зависимости на отделните настройки една от друга.

Отначало стойността на  $C_1$  се избира 160 pF, на  $C_2$  — 60 pF. Общо взето, трите резонансни честоти, измерени от гриддипметъра, вече попадат или са близо до трите любителски обхвата. Желаните работни честоти се настройват чрез последователно изменение на настройващите елементи  $L_1$ — $C_1$ — $L_2$ — $C_2$ . Накрая се свързва захранващия кабел, при което точката на свързване С е разположена 140 mm над точката В. Разстоянието В—D възлиза на 740 mm.  $C_3$  първоначално има стойност 55 pF и  $C_4$  — 52 pF. Като индикатор за възможно най-доброто съгласуване във всичките три обхвата а едновременно за фина настройка на резонансите на излъчвателя е подходящ един рефлектометър (вж. раздел

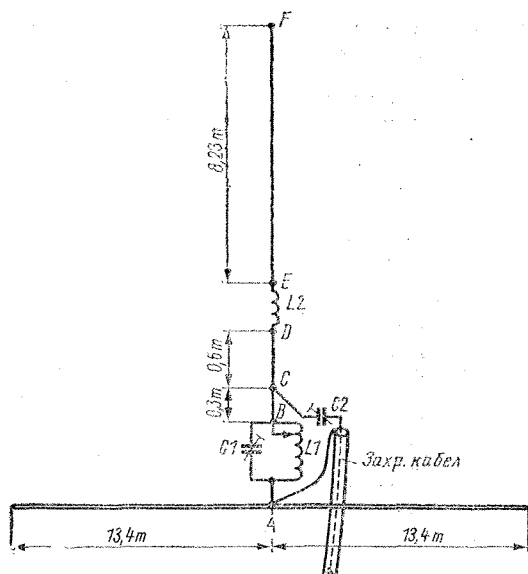
31.2.2.). Той се включва чрез шлейф към захранващия кабел в точката на захранване на антената или в непосредствена близост до нея. Работният предавател се настройва първо на желаната честота в обхвата 14 MHz и антената се възбужда отначало с по-малка мощност. Рефлектометърът ще измери отразените от антената вълни. След това в бобината  $L_2$  се поставя феритна пръчка. Ако стоящите вълни намалееят,  $L_1$  трябва да се увеличи; в обратния случай  $L_1$  се намалява. Накрая се променя стойността на  $C_4$ , докато се получи минимален коефициент на стоящи вълни. След това антената се възбужда от предавателя на работната честота в обхвата 21 MHz.  $C_1$  се променя така, че рефлектометърът отново да даде минимално показание, което означава, че е коригирана настройката в резонанс за честота 21 MHz. Накрая антената се възбужда с честота 28 MHz и се променя стойността на  $C_2$ , докато отново се получи минимум на стоящите вълни. Този минимум евентуално би могъл да се намали още повече чрез  $C_3$ .

Тъй като тези настройки си влияят взаимно, целият процес трябва да се повтаря, докато се намери оптимумът на настройката за всичките три обхвата. При това се донастроява само с кондензаторите, като винаги първо с  $C_1$ , съответно  $C_2$ , се донастроява резонансната честота, а след това с  $C_4$ , съответно  $C_3$ , се коригира съгласуването със захранващия кабел. Промени на  $L_2$ , съответно на изводите С или D, са необходими само в изключителни случаи.

#### 19.6.5.2 Двухватна антена „граунд плейн“ с многолентов кръг за обхватите 80 m и 40 m

Добрите резултати, които са постигнати при триобхватната антена „граунд плейн“ чрез използването на многолентови кръгове, са подтикнали VK2AZN да разработи и двухватна антена за обхватите 80 m и 40 m. Тя е изработена само с два радиални проводника с дължина по 13,40 m, като общата дължина на вертикалния излъчвател възлиза на около 9,15 m.

Схемата на тази антена е показана на фиг. 19.46. Използван е само един



Фиг. 19.46  
Схема на антена „граунд плейн“ за обхватите 80 m и 40 m

паралелен трептящ кръг  $L_1$ — $C_1$ . Удължителната bobина  $L_2$  има задачата да увеличи електрическата дължина на вертикалната част на антената до 13,40 m.  $L_2$  има 8 навивки, изработена е от лакиран меден проводник с дебелина от 2,0 до 3,0 mm, диаметърът на bobината е 60 mm, а дължината ѝ — 35 mm. Свободният отрязък от излъчвателя Е—F е дълъг 8,23 m. Ако е необходимо, той може да бъде скъсен; в такъв случай трябва да се увеличи  $L_2$ , но коефициентът на полезно действие на антената се влошава. Евентуалното удължаване на отрязъка Е—F подобрява коефициента на полезно действие; стойността на  $L_2$  трябва да се намали.

Кръговата bobина  $L_1$  има 18 навивки от проводник с диаметър от 2,0 до 2,5 mm. Диаметърът на bobината е 60 mm, дължината ѝ — 65 mm. Добре е bobината да се навие върху керамично тяло с ребра. Bobината е малко по-голяма, отколкото е необходимо, за да може при настройката индуктивността ѝ да се променя. При антената, изработена от  $VK2AZN$ , след окончателната настройка последните 4 навивки след точката В са били дадени на късо, така че като кръгова индуктивност са действували само останалите 14 навивки. Кондензаторът  $C_1$  е също въздушен тример с максимален

капацитет около 100 pF; първоначално неговата стойност се избира равна на 45 pF.

При настройката към  $L_1$  се свързва индуктивно един гриддипметър и чрез  $C_1$  се установява резонанс за честота 7 MHz. Второто резонансно състояние — в обхвата 3,5 MHz — се постига чрез даване на късо на съответен брой навивки на  $L_1$ . След като тези елементи се настроят сравнително точно за избраните работни честоти, се включва захранващият кабел. Външният проводник на кабела се отвежда към точката А; непосредствено до края на вътрешния проводник на кабела се намира един въздушен тример с максимален капацитет около 100 pF, който първоначално се нагласява на стойност 85 pF. Проводникът на гама-съгласуващия елемент е свързан в единия си край към  $C_2$ , а в другия — към точката С, намираща се на 300 mm над точката В.

При окончателната настройка на резонансите честоти и съгласуването в непосредствена близост до точките на захранване на антената се включва един рефлектометър. Работният предавател отначало се настройва на желаната честота в обхвата 80 m и с този сигнал се възбужда антената. За да се определи какво да се прави по-

нататък, в бобината  $L_1$  се напъхва една феритна пръчка. Ако отразените вълни намалееят, стойността на  $L_1$  трябва да се увеличи, т. е. изводът на мостчето за късо съединение трябва да се премести по посока на точката В. В обратния случай накъсо трябва да се дадат по-голям брой навивки. Когато по този начин се постигне минимум на стоящите вълни, чрез  $C_2$  може да се потърси още по-добро положение. Същият процес на настройка се повтаря и в обхвата 40 m, като резонансната честота се настройва чрез кондензатора  $C_1$ , а съгласуването — чрез  $C_2$ . Тези настройки се повтарят дотогава, докато се постигне възможно най-добро съгласуване и за двата обхвата. Ако оптималните стойности на  $C_2$  за обхватите 3,5 MHz и 7 MHz се различават, трябва да се направи компромис, като стойността на  $C_2$  се подбере така, че и в двата обхвата да се осигури приемливо съгласуване.

С тази двуобхватна антена също са постигнати добри резултати, така че напълно оправдано е използването ѝ при положение, че липсва достатъчно свободно място за монтиране на друга антена. Разбира се, при тази антена също могат да бъдат използвани повече радиални проводници. Досега не е изследвано как увеличаването или намаляването на броя на радиалните проводници се отразява върху диаграмата на излъчване на тази антена.

## 19.7. Антена DDDR

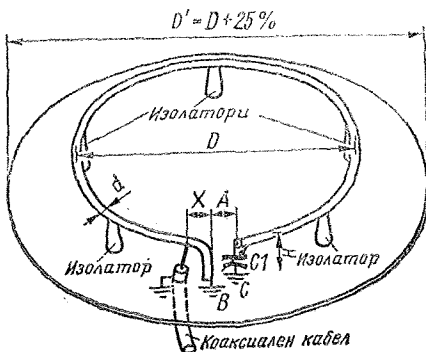
Аntenата DDDR се различава напълно от обикновените излъчватели. Става дума за нов вид антена, разработена от W6UYH (от англ. DDDR = = Directional Discontinuity Ring Radiator). Както е показано на фиг. 19.47, един хоризонтален пръстеновиден излъчвател е разположен на разстояние  $H=0,007 \lambda$  над една също хоризонтална кръгла заземителна плоча (диск от ламарина). Диаметърът на пръстена е  $0,078 \lambda$ ; това отговаря на обиколка на пръстена  $0,25 \lambda$ , което, като се вземат предвид коефициентът на скъсяване и капацитивният товар в края на излъчвателя, е достатъчно за установяване на четвъртвълнов резонанс. Променливият кондензатор  $C_1$

служи за фина настройка на резонансната честота на излъчвателя.

При показаното захранване чрез коаксиален кабел се използва гама-съгласуване (вж. раздел 6.3.). Външният проводник на кабела се свързва със заземителната плоча. Вътрешният проводник на кабела се свързва към тая точка от обиколката на пръстена, в която импедансът е равен на вълновото съпротивление на кабела. Чрез съответен подбор на тази точка излъчвателят може да се съгласува към какъвто и да е коаксиален кабел.

Изненадващо е, че въпреки хоризонталното си разположение антената DDDR излъчва вертикално поляризирани сигнали. Тя е ненасочена антена и следователно по поляризация и диаграма на насочено излъчване отговаря на един четвъртвълнов „граунд плейн“, макар че пръстеновидният излъчвател има много по-малка височина. Тази антена има значение поради неизвестната си височина и малката заемаща площ и се препоръчва на радиолюбителите, които разполагат с ограничено свободно пространство, и за работа като автомобилна антена в обхватите 20 m, 15 m и 10 m. Има натрупан опит при използването на антената DDDR като късовълнов излъчвател; това позволява да се потвърдят добрите ѝ качества.

За съжаление съпротивлението на излъчване  $R_s$  на антената DDDR, определено чрез измервания и изчисления, е извънредно малко — 0,3  $\Omega$ . Следователно сумата от загубните съпротивления  $R_v$  също трябва да бъде



Фиг. 19.47. Схема на антената DDDR

съвсем малка, за да се получи все пак използваем коефициент на полезно действие. Пръстеновидният проводник трябва да бъде меден или алуминиев и да има възможно най-голяма повърхност (скинефект!). За изолатори и в променливия кондензатор трябва да се използва най-висококачествен диелектрик без загуби. Тъй като настройващият кондензатор е разположен в максимум на напрежението, изисква се и голяма устойчивост на пробив. Затова като най-изгодно се препоръчва собственоръчното изработване на кондензатора от две успоредни подвижни плочи с въздушна изолация. Не се препоръчва използването на големи настройващи кондензатори при малка обиколка на пръстена, защото коефициентът на полезно действие на антената намалява силно при нарастване на капацитивния товар в края на пръстена.

Предпоставка за добър коефициент на полезно действие, както и при антената „граунд плейн“, е доброто високочестотно заземяване. При прототипа на антената *DDRR* то се осигурява от кръгъл металически диск с голяма повърхностна проводимост. Диаметърът на този диск  $D'$  трябва да е поне с 25% по-голям от този на пръстеновидния излъчвател. Ъгълът на възвишение във вертикалната равнина става толкова по-малък, колкото диаметърът на заземителната плоча е по-голям от диаметъра на излъчвателя. Увеличаване на размерите на заземителната плоча може да се постигне и чрез свързването на възможно най-голям брой радиални проводници към периферията на диска, които са насочени навън. Трябва да се осигури добра галвани-

ческа връзка между радиалните проводници и заземителната плоча.

При изработването на една антена *DDRR* за високочестотните любителски обхвати 10 m и 15 m не би трябвало да се очакват трудности, свързани с набавянето на необходимите материали. Трябва обаче да се каже, че може със същите разходи на материали да се построи една антена „граунд плейн“, която при пълна височина  $\lambda/4$  също заема малко място, но има по-висок коефициент на полезно действие и, както са показали измерванията, е „по-добра“ от пръстеновидния излъчвател с около 2,5 dB. Не могат обаче да се отрекат механичните предимства на антената *DDRR* при използването ѝ като автомобилна антена.

Радиолюбителите-късовълновници срещат особени трудности при избора и изработването на ефективни антени за обхватите 80 m и 40 m. Не винаги има достатъчно свободно място, за да се опъне един полуълнов дипол с пълна дължина. Даже когато има таква свободно място, не е лесно да се намерят достатъчно високи точки за окачване на дипола. Сравнително по-малко място е необходимо за една антена „граунд плейн“ за обхвата 80 m, която освен това има и предимството, че излъчва във всички посоки. Но колко радиолюбители имат възможност да построят вертикален излъчвател с височина 20 m? Напротив, антената *DDRR* за този обхват има височина само 70 cm, тя обаче изисква метална заземителна плоча с диаметър около 7 m, която би могла да се намери само в изключителни случаи, напр. ако къщата е с плосък ламаринен покрив. Оказва се обаче, че тази метална плоча

Таблица 19.4. Данни за орязмеряване на антени *DDRR* (фиг. 19.47 и фиг. 19.48)

Любителски обхват	Размери в mm					$C_1$ в dB
	$D$	$H$	$A$	$d$	$\lambda$	
80 m	5500 (6200)	650	300	20	2000	100
40 m	2800 (3280)	350	150	14	1000	75
20 m	1400 (1660)	160	75	10	500	50
15 m	1015 (1180)	120	50	8,5	300	35
10 m	700 (810)	80	50	7	150	25

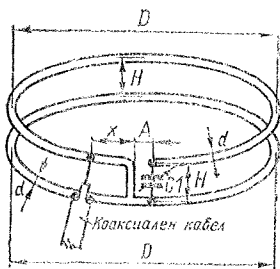
може да се замени от втори, също толкова голям металически пръстен. Така се получава конструкцията, показана на фиг. 19.48. Тя би трябвало да заинтересува радиолюбителите, работещи в обхвата 80 m.

Данните за размерите на антената *DDRR*, събрани в табл. 19.4, се отнасят и за двата вида антени. При опростения вариант, показан на фиг. 19.48, заземителният пръстен има същите размери, както излъчвателя. Разстоянието *H* е минимална стойност; ако то се увеличи, коефициентът на полезно действие също нараства до известна степен. Размерът *X* е ориентируващ. Оптималното положение на точката на включване на коаксиалния кабел се определя при настройката. Данните за диаметъра на пръстена също са минимално възможните стойности; препоръчва се диаметърът да бъде малко по-голям, за да се използват възможно най-малки капацитети в края на излъчвателя. Тази мярка подобрява и коефициента на полезно действие. Данните, напечатани в табл. 19.4 в скоби, отразяват това обстоятелство и представляват диаметрите на пръстена при които може да се получи настройка в резонанс при съвсем малък товарен капацитет в края на излъчвателя.

Диаметърът *d*, общо взето, трябва да е възможно най-голям, тъй като заради извънредно малкото съпротивление на излъчване загубите в проводника могат да намалят силно коефициента на полезно действие. Освен това чрез тънки проводници се намалява и без друго неголямата широчина на пропусканата честотна лента. Диаметрите *d*, посочени в табл. 19.4, се отнасят за проводници от мед, съответно чист алуминий, и трябва да се разглеждат като минимални стойности. Честотно зависимото загубно съпротивление, предизвикано от скинефекта, възлиза средно на 0,16  $\Omega$ . Това означава, че при съпротивление на излъчване от 0,3  $\Omega$  може да се разчита на коефициент на полезно действие  $\eta$  от 0,6.

Ако при огъването на проводника се срещат трудности, пръстеновидният излъчвател може да се изработи и като многогълъник (от отделни прави отрязъци).

При настройката на антената *DDRR* първоначално трябва да се отстрани захранващата линия. Чрез един грид-



Фиг. 19.48. Схема на модифицирана антена *DDRR* (не са начертани изолаторите)

дипметър, който е свързан индуктивно към прегъвката на заземеното рамо на излъчвателя, се измерва резонансната честота. Тя се коригира чрез *C*<sub>1</sub>, докато попадне в желания любителски обхват. След това антената се възбужда през захранващата линия с предварително определената резонансна честота. Като се изменя точката на включване на вътрешния проводник на кабела (отрязъка *X*), се търси мястото върху пръстеновидния излъчвател, при което рефлектометърът, включен към захранващата линия, измерва най-малък коефициент на стоящи вълни. Там вътрешният проводник на кабела се свързва стабилно и се осигурява добра галваническа връзка. Изменения на честотата в рамките на любителския обхват са възможни вече само чрез промяна на *C*<sub>1</sub>.

Рефлектометърът трябва да остане включен постоянно като работен измерителен уред, защото той служи едновременно и за контролиране на настройката в резонанс чрез *C*<sub>1</sub>. Антената е настроена в резонанс с работната честота, когато уредът измерва минимален коефициент на стоящи вълни.

*DJ2RE* съобщава някои практически сведения за антената *DDRR*, изработена по фиг. 19.48. Опитната антена е била оразмерена за обхвата 10 m (данни за размерите са взети от табл. 19.4); двата пръстеновидни елемента са били изработени от медна тръба с външен диаметър 7 mm. За фина настройка на антената на мястото на *C*<sub>1</sub> са използвани две подвижни една спрямо друга медни пластини с размери 60 mm × 60 mm. Като антена за сравне-

ние е бил използван въртящ се насочен излъчвател (триелементен), монтиран на височина 12 m над земята. Антената *DDRR* е била разположена на 9 m височина и долният ѝ пръстен е бил заземен само през външната, екранираща оплетка на кабела. При опитите за приемане на излъчените сигнали веднага се разпознава кръговата характеристика на насочено действие на антената *DDRR*; приетите сигнали са били средно две S-деления под тези на въртящия се насочен излъчвател, чието усилване е било точно 8 dB. При работа като предавателна антена чрез *DDRR* са били осъществени 125 връзки на телеграфия и SSB с всички континенти и с всички райони на W. Мощността на предавателя е била ограничена на 150 W.

При оценката на резултатите от опита *DJ2RE* стига до извода, че заради незначителните си размери антената *DDRR* е напълно използваема, но поне в изследвания честотен обхват не може да се разглежда като нещо повече от помощна антена. По всичко изглежда, че тя — както и антените „граунд плейн“ — е по-малко пригодна за близки връзки.

Може да се осъществи работа на два

обхвата, като винаги може да се използва и съседният по-нискочестотен обхват. Когато напр. една антена *DDRR* е оразмерена за обхвата 10 m, тя би могла да работи и на обхвата 15 m. Все пак обаче на обхвата 15 m трябва да се предвиди значително спадане на коефициента на полезно действие. За да може чрез  $C_1$  да се получи настройка в резонанс и за по-нискочестотния обхват, той би трябвало да има максимален капацитет, приблизително 5 пъти по-голям от посочения в табл. 19.4. Разбира се, този кондензатор трябва да бъде защитен от атмосферни въздействия. Тъй като и при работа само на един обхват е добре да се извършва пренастройка на  $C_1$  при изменение на честотата в рамките на обхвата, се препоръчва това да става дистанционно. Съществуват няколко възможности — чрез обикновени шнурове, чрез асинхронен двигател и пр.

Фирмата *Northop International* използва патентованата антена *DDRR* за служебни нужди. Досега са постигнати диаметри на пръстеновидните елементи до 1500 m (антена за свръхдълги вълни). Заради формата си антената *DDRR* понякога се нарича *хула-хуп-антена* или просто *кръгова антена*.



## 20. Избор на подходяща антена за къси вълни

Начинаещият радиолюбител може да бъде посъветван да изработи някоя от изброените по-долу антени. Всички те са изпробвани, подробно описани и съвременни конструкции, при които разходите и ефективността са в добро съотношение.

**Ненасочени излъчватели** с малък ъгъл на възвишение във вертикалната равнина и най-малко заемано място за обхватите 10 m, 15 m, 20 m и 40 m: антени „граунд плейн“ (критерий: проводимост на земната повърхност, свободна околност).

**Всевълнови антени** със слабо изразено насочено действие и малко усиляване в DX-обхватите:

всевълнова проводникова антена *W3DZZ*, антена *T2FD* (критерий: товарно съпротивление).

**Насочени излъчватели** с голямо усиляване и незначителни разходи за материали. Това са странично излъчващите антени с две направления на главния лъч. В обхват 10 m, 15 m, 20 m и 40 m се използва Н-образната антена „Лейзи ейч“ (критерий: височина на окачване).

**Насочени излъчватели** с голямо усиляване във всички посоки, използваеми и като всевълнови антени: V-звезда (критерий: свободното пространство).

**Въртящи се насочени антени** с голямо усиляване за обхватите 10 m, 15 m и 20 m: въртящ се насочен излъчвател *HV9CV*, триелементна Яги-антена, двоен квадрат (швейцарски двоен квадрат), кафезна антена.

**Триобхватни въртящи се насочени излъчватели:** триобхватна кафезна антена, триобхватен двоен квадрат *IK2AOU*, триобхватен квадрат *CQ-PA*.

Трудно е да се посочи един изразен DX-излъчвател за обхвата 80 m, защото една антена за 3,5 MHz с голямо усиляване изисква такива дължини на елементите и височина на окачване, каквито най-често не са по силите на

един радиолюбител. В този обхват радиолюбителите използват предимно антени тип „дълъг проводник“; който може да си позволи това, изработва V-образна антена. Проводниковата пирамида би могла да намери място в някоя малка градинка зад къщата, без да пречи особено. Тя е една пълноценна, достойна за препоръчване антена за обхвата 80 m, чиято средна мачта може да бъде използвана за окачване и на други антени. Радиолюбителят, който не иска да има особени разходи и разполага със съответното свободно пространство, може да използва полувълнов дипол с обща дължина около 40 m.

В повечето случаи обаче се предпочитат всевълновите антени, например антената *W3DZZ*, която на обхвата 80 m „все още“ работи, но едновременно с това има добри качества на останалите любителски обхвати.

### 20.1. Най-добрата антена за DX-радиовръзки

Едно запитване към „кралете на DX-връзките“ в света относно най-ефективната антенна система е дало следните резултати:

— най-добрият DX-излъчвател е антената „двоен квадрат“;

— въртящата се еднообхватна триелементна Яги-антена е разпространена най-силно;

— максимални DX-резултати се постигат само с въртящи се антени;

— пръчкообразните антени, включително вертикалните излъчватели, се оценяват като сравнително малко резултатни;

— височината на окачване е важна от вида на антената;

— благоприятното местоположение (напр. много добра проводимост на земната повърхност, добрите топо-

графски условия) могат да компенсират до голяма степен недостатъците на антената.

Единодушно за най-добра DX-антена е обявен *двойният квадрат*. Това се потвърждава и от практиката, защото при радиовръзки на много големи разстояния все по-често се констатира, че двойният квадрат превъзхожда Яги-антените. Обяснението е, че двойният квадрат сам по себе си представлява една антена, етажирана във вертикалната равнина. Затова нейният ъгъл на възвишение във вертикалната равнина е по-малък от този на разположените в една равнина Яги-антени със същото усилване. Както вече беше обяснено, един сигнал, излъчен под по-малък ъгъл спрямо хоризонта, може да се разпространи на голямо разстояние с по-малко „скокове“ (отражения от слоя  $F_2$ ), отколкото сигнал, излъчен под голям ъгъл спрямо хоризонта. Следователно този сигнал ще пробива порядко долните слоеве на йоносферата и ще достигне до отдалечената точка, в която се приема, с по-високо ниво, отколкото един многократно отразен и заради това отслабен сигнал.

При допитването височината и местоположението на антената са били окажествени като решаващи за обратната ефективност на DX-радиовръзките. Това също се обяснява с изискването за възможно най-малък ъгъл на възвишение във вертикалната равнина. Както следва от фиг. 3.12, при височина на антената, равна на  $1/4 \lambda$  или нечетно число пъти по-голяма от  $\lambda/4$  ( $3/4 \lambda$ ,  $5/4 \lambda$  и т. н.), излъчването е насочено доста нагоре; желаното излъчване с малък ъгъл на възвишение се получава при височина на антената  $\lambda/2$  или цяло число пъти по-голяма от  $\lambda/2$  ( $1 \lambda$ ,  $1,5 \lambda$ ,  $2 \lambda$  и т. н.). Тези данни обаче се отнасят за идеално проводеща земя повърхност, каквато рядко се среща. В зависимост от проводимостта на почвата „имагинарната“ земя е разположена по-плитко или по-дълбоко по земната повърхност. Ефективната дължина (височина) на антената, пресметната спрямо работната дължина на вълната, в зависимост от проводимостта на земната повърхност може да бъде по-голяма от геометричната дължина (височина) на антената. При лошо състояние на почвата „имагинерната“ земя може да бъде на няколко метра под

повърхността. Разположените над нея пластове с по-малка проводимост действуват като диелектрик със загуби, който преобразува в топлина по-голяма или по-малка част от излъчването. Това неблагоприятно положение може да бъде подобро чрез една по възможност най-голяма по площ заземителна мрежа, разположена върху или малко под земната повърхност. Това се прави като правило при радиопредавателите за служебно ползуване.

## 20.2. Преценка на данните за усилването на антените

Усилването на антената представлява една теоретическа стойност, която се базира на някакъв еталонен излъчвател и дава сведение единствено за това, до каква степен интензитетът на излъчването на антената в направление на главния лъч нараства спрямо интензитета на излъчването на еталонната антена. В много случаи данните за усилването са непълни, защото не е посочена еталонната антена, използвана за сравнение. За еталонна антена обикновено служи полулъвовият дипол, но се използват също така и елементарният дипол и сферичният излъчвател (вж. раздел 3.2.3.2.). Затова в зависимост от еталонната антена данните за усилването могат да варират до 2,15 dB. Когато напр. известни чуждестранни фирми посочват усилване 9 dB за произвежданите от тях 3-елементни Яги-антени, трябва да се има предвид, че това усилване е дадено спрямо един сферичен излъчвател. Ако — както обикновено — то се пресметне спрямо един полулъвов дипол, за същата антена се получава усилване 6,85 dB. Това е една стойност, която вече е близка до максимално възможната стойност, достижима в любителски условия с 3-елементна Яги-антена.

Много често при определяне на усилването на антената се използват погрешни методи за измерване. Тази констатация важи особено силно за любителските измервания в късовълновия обхват. Разходите за точното определяне на усилването надвишават значително възможностите на един радиолюбител. Тъй като не могат да

приложат точни методи, радиолюбителите посочват данни за усиляването, които се базират главно на сравнителните резултати, постигнати на практика. Съществуват много възможности при тези сравнения да се направи грешка.

Погледнато откъм страната на радиолюбителя, нито точните данни за усиляването на индустриално произвежданите антени, нито данните, посочени повече или по-малко „на око“ от други радиолюбители, имат някаква особена стойност, когато става дума за оценка на късовълновите антени. В лабора-

ториите на фирмите-производители измерванията се правят в определени, много близки до идеалните условия на окръжаващата среда, с каквито радиолюбителят никога не разполага; любителските измервания са валидни само за определени неповторими съвкупности от антена и околност и за съществуващото в момента на измерването състояние на йоносферата. Затова при оценката на практическата използваемост на една късовълнова антена данните за усиляването на антената не трябва да имат решаваща роля.

## 21. Антени за ултракъси вълни

Под УКВ антена в тесния смисъл на думата радилюбителят разбира излъчвател за 2-метровия обхват (144—146 MHz). Този популярен любителски обхват в честотно отношение се намира между обхвата на УКВ ЧМ-разпръскването и III телевизионен обхват, така че и в него се използват същите типове антени като тези, правени за радиоразпръскване и телевизия, като се различават само по геометричните размери. Съгласно моделния принцип е възможно напремер една телевизионна антена да бъде преизчислена за употреба в 2-метровия обхват, при което ще се измени само нейната резонансна честота, а останалите електрически показатели ще останат същите. Това дава възможност любителят да ползува с успех полуфабрикати и възли на индустрията, произвеждани за телевизионни антени. Те включват както основните строителни материали за УКВ антени, така и монтажните материали, като например кутии за връзка между кабела и вибратора, държатели на елементите, скоби за връзка между тръбни материали и пр., при това изготвени така, че да са здрави и устойчиви на атмосферни влияния.

Изискванията към параметрите на телевизионните антени обаче малко се отличават от тези, предявявани към една любителска антена за 2-метровия обхват. Телевизионните антени се конструират така, че да имат възможно най-широка честотна лента и входно (изходно) съпротивление 240  $\Omega$ . Тук се преследва получаването на тясна хоризонтална диаграма (в Е-равнината) с минимум паразитни лъкове в посока назад. Обратно, при една 2-метрова антена широчината на лентата с от второстепенно значение, тъй като обхватът е широк само 2 MHz и сравнително лесно се получава равно-

мерно усилване в такъв обхват. Освен това любителят не е задължен да се придържа към стандартната стойност 240  $\Omega$ . Също така страничните лъкове в диаграмата и малкото затихване в посока назад не са смущаващи фактори от технико-експлоатационна гледна точка. Практически за целите на любителския трафик по-благоприятно е получаването на усилване при една хоризонтална антена за 2 m да става предимно чрез свиване на диаграмата във вертикалната равнина.

### 21.1. Поляризация на УКВ-антените

В обхвата на късите вълни поляризацията на любителската антена е от второстепенно значение, тъй като вследствие на неравномерните отражения в йоносферата първоначалната поляризация рядко се запазва. Другояче стои въпросът при ултракъсите вълни. Последните нормално не се отразяват от йоносферата и се разпространяват, общо взето, праволинейно.

При разпространение по път без препятствия в границите на теоретическия район на оптическа видимост (вж. раздел 2.4.1.) много рядко се наблюдава въртене на поляризацията. При разпространение на метровите вълни над гъсто заселени или хълмисти райони обаче възникват по-големи или по-малки изменения в началната поляризация. Обикновено в този случай при положение, че поляризацията е линейна, в приемния пункт се наблюдава също линейна поляризация, която е нито чисто хоризонтална, нито чисто вертикална, а е наклонена под ъгъл, който може да има всички стойности между хоризонталата и вертикалата. С оглед на това би било например полезно в места, които са неблагоприятни от гледна точка на

разпространението, да се използва „наклонена под  $45^\circ$  поляризация“, като за целта елементите на антената не се монтират нито хоризонтално, нито вертикално, а под „наклон“  $45^\circ$ .

Предавателната и приемателната антена на една свързочна линия в метровия обхват трябва да имат еднаква поляризация. Теоретически погледнато, едно предаване, излъчено с вертикална поляризация, не би трябвало да може да се приеме с хоризонтално поляризирана антена. Тъй като излъчвателните характеристики на всяка реална антена се различават от идеалната картина, при линейни поляризации, склочващи помежду си  $90^\circ$ , трябва да се очаква преходно затихване от „само“ 20 dB. Това означава, че в този случай приемната антена ще хваща само една десета от енергията (напрегатостта) на полето в приемния пункт.

Най-разпространена е линейната хоризонтална поляризация. Много любителски УКВ станции, радиоразпръскването на УКВ (II банд) и по-голяма част от телевизионните предаватели в банд III и банд IV/V излъчват с хоризонтална поляризация. Повечето TV-предаватели в I банд, почти всички подвижни УКВ радиостанции (транспортната връзка, автомобилните телефони, полицейската връзка и т. н.) и любителските станции за местни връзки, тези, монтирани в коли, както и ЧМ трансаторите използват вертикално поляризиращи антени.

Елиптичната, респ. кръговата, поляризация се прилага преди всичко при радиовръзките със спътници и в радиоастрономията. Една приемна антена с кръгова поляризация има това предимство, че тя може да приема еднакво добре и линейно поляризиращи вълни независимо от наклона на поляризацията. Това е съществено например при приемане на предавания от спътници, чиято поляризация непрекъснато се мени вследствие собственото въртене на спътника. По същата причина приемането с линейна поляризация е придружено с дълбоки замиряния, докато при използване на кръгова поляризация получаваме сигнал без всякакви замиряния. Тъй като в любителския УКВ обхват за целите на широко разпространения ЧМ ретранслиране като правило се използва вертикална поляризация, а при нормалния

DX-трафик на 2 m — хоризонтална поляризация, поради споменатите по-горе причини кръговата поляризация ще добива все по-голямо значение. Описаните тук УКВ антени са представени предимно като такива с хоризонтална поляризация и елементите им са разположени водоравно. Тези антени могат да бъдат и вертикално поляризиращи, като се завъртят така, че елементите да заемат вертикално положение. В този случай обаче не може да се гарантира получаването на безупречна диаграма на излъчване, тъй като последната се влияе от също така вертикалните носещи метални мачти. По тази причина вертикално поляризиращите УКВ антени биват закрепвани към мачтите най-често посредством хоризонтални конзоли. Различното отстояние между двете половинки на диполите и земята, особено при малки височини на антената, влияе неблагоприятно върху H-диаграмата на антенната характеристика.

## 21.2. Указания за постройката и въвеждането в действие на УКВ антени

При УКВ антените също е в сила изискването „колкото може по-високо“. Тъй като височината на една антена винаги се пресмята по отношение на работната дължина на вълната, при УКВ-антените това изискване се изпълнява лесно. Една антена за 2 m, която се намира на 10 m над земята, има височина 5  $\lambda$ . Ако една антена за 20-m обхват трябва да се издигне също на височина 5  $\lambda$ , това би означавало излъчвателят да се монтира на 100 m над повърхността на земята.

Добрата УКВ антена трябва да надвишава близлежащите препятствия (сгради, свободни проводници и др.) с около 2 до 3  $\lambda$ . Издигането на прекомерно високи мачти обаче е икономически неизгодно и има малко смисъл, тъй като с това районът на действие на приемната вълна ще се увеличи незначително, без да се окаже каквото и да е влияние върху разпространението чрез инверсионни слоеве. Може да се счита, че още при височина 2  $\lambda$  над земната повърхност, респективно над покрива, характеристиката на една хо-

ризонтална антена с голямо приближение отговаря на идеалната диаграма на насоченост. Ако тази предпоставка е изпълнена, може да се смята, че УКВ-антената и в практическите условия на експлоатация ще има показателите, които се дават в описанията за нея. Също както при телевизията и на 2-м обхват преобладават антенните структури под формата на едноравнинни Яги-антени. Техните предимства се изразяват преди всичко в сравнително простото производство и малкия разход на материали. Задържат позициите си също и груповите антени, наричани частично още фазови антени, които изискват сравнително по-голям разход на материали и са по-трудни за изпълнение от механическа гледна точка. При тях обаче физическите размери на елементите не са толкова критични, тяхната честотна лента е по-широка и имат характеристики на излъчване, които особено добре отговарят на практическите изисквания при любителски трафик. Също така са популярни и вертикално етажираните Яги-антени с хоризонтална поляризация. При сравнително опростен механически строеж с тях се постига допълнително усилване вследствие на свиването на диаграмата в Н-равнината; по тази причина етажираните Яги-антени имат излъчвателни характеристики, които са подобни на тези при груповите антени. Цяла редица от специални антенни форми за УКВ предлагат на обичайния да експериментира любител обширно поле за дейност. Специалните антенни форми не са успели досега обаче да получат всеобщо значение в 2-м любителска експлоатация.

### 21.3. Целесъобразният избор на УКВ-антената

Начинаещият в УКВ-то при избора на антена за 2 m трябва да се придържа към лайтмотива „от по-простото към по-сложното“. Възможността със сравнително прости средства да се правят силно насочени УКВ антени с много елементи често изкушава любителите да строят излъчватели с много голямо усилване и остра насоченост, които след това в практическата експлоата-

ция се оказват непрактични и нерентабилни.

Любителският трафик на 2-метровия обхват се различава доста много от трафика на късовълновите обхвати. Докато на къси вълни по всяко време са налице премного станции, на 2-метровия обхват човек може да намери един път няколко партньора само в определени часове на деня или седмицата, като освен това районът на действие при добро топографско разположение е ограничен до 100—200 km. Броят на станциите се увеличава само при далечно прохождение или по време на състезания (контести). Сравнително близките партньори могат да бъдат работени общо взето, с най-прости антени. Антените с тясна хоризонтална диаграма в този случай са неудобни и при популярните „беседи около кръглата маса“ на 2 m например ще изискват постоянно пренасочване към излъчващата в момента станция, докато една антена с широка хоризонтална диаграма в повечето случаи не ще се нуждае от пренасочване. Приятна изненада за УКВ любителя са станциите, с които той още не е „работил“. Ако любителят използва силно насочена антена с малък хоризонтален ъгъл, вероятността да работи една нова станция намалява, тъй като географската посока на новата станция е по принцип непозната. При това положение, ако искаме да сме систематични, би трябвало съответно на малкия ъгъл на диаграмата даването на „общо повикване“ да се извърши в поне 10 различни посоки, като съответно толкова пъти след всяко повикване ще трябва да се прослуша целият 2-метров обхват за повикване-отговор. Познавачът на 2-метровия обхват знае добре колко усилия и време изисква такава процедура. Ако насрещната станция използва също такава остро насочена антена, вероятността за „среша“ става още по-малка. Връзка с нови станции се правят по-бързо и по-сигурно при употребата на излъчватели с голям хоризонтален ъгъл на разтвор. Ако се желае увеличаване на усилването, по-целесъобразно е то да стане чрез вертикално етажиране на по-прости системи, при което вертикалният ъгъл на единичната система се запазва.

Тези констатации важат още повече

за констелациите, тъй като честото въртене на антената дава значителна загуба на време и увеличава възможността да „прескочим“ викащата станция. Резултатите от състезанията показват недвусмислено, че изгледите за успех на станциите с тясна хоризонтална диаграма на антената са малки, освен когато местоположението е твърде специално или пък вашият инициал е някаква рядкост.

При обикновената любителска работа малкият хоризонтален ъгъл на излъчване носи повече недостатъци, отколкото предимства, но той се получава неизбежно, когато трябва да се постигне голямо усиление с едноравнинни Яги-системи (предимно дълги Яги-антени). С това се обяснява фактът, че в експлоатационната практика груповите антени при равно усиление с Яги-антените се оказват по-добри, тъй като при тях усиляването се постига чрез свиване на диаграмата във вертикална посока при сравнително широка диаграма в хоризонталната равнина, докато усиляването на Яги-антените идва като следствие на малкия хоризонтален ъгъл.

Като обобщение на досегашните разсъждения биха могли да се дадат следните препоръки за избора на 2-метровата антена:

— За средни изисквания са най-реентабилни Яги-антените със средна големина (3 до максимум 6 елемента).

По-големите Яги-антени дават по-високо усиление, но утежняват експлоатацията вследствие на малкия си хоризонтален ъгъл.

— По-високи изисквания към усиляването на антената удовлетворяват вертикално неколкостепенно стажираните прости Яги-антени, чийто относително широк ъгъл на хоризонталната диаграма все още позволява безпрепятствена работа на обхвата.

— За преследване на DX, за работа в констелации и за връзка на големи разстояния особено препоръчителни са груповите антени.

— Яги-антени с голям коефициент на насоченост (дълги Яги-антени) е най-рентабилно да се използват за определени специални цели, като например за метеорни връзки и за далечни връзки в определени посоки.

В тази връзка трябва да се напомни и това, че към един мощен 2-метров предавател съответствува един чувствителен нискошумящ приемник и обратно. Ако това „качествено равновесие“ е налице, би трябвало станциите, които могат да бъдат чути, да могат да бъдат работени. Ако това не е така, трябва да се провери к. п. д. на крайното стъпало на предавателя и особено — извличането на енергия чрез връзката с фидерната линия, тъй като опитът показва, че най-често там трябва да се търси грешката (вж. раздел 8.1.1.2.).

## 22. Антени за 2 m тип „вълнов канал“

Изградените от полуваълнови диполи антенни системи, които излъчват максимално по дължината на антенната ос, се наричат антени тип „вълнов канал“ или още „надлъжни излъчватели“. Антените, които излъчват напречно на своята широка страна, се наричат съответно „напречни излъчватели“. Типични представители на надлъжните излъчватели са познатите Яги-антени, докато диполните колони и изградените от групови синфазни излъчватели антени принадлежат към напречните излъчватели.

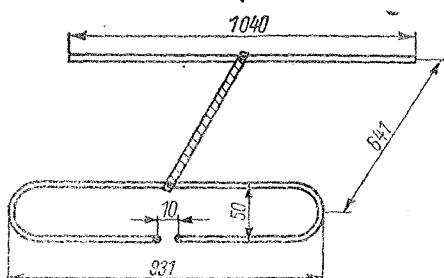
### 22.1. Насочени антени с 2 елемента

Двуелементните антени, изградени от полуваълнови диполи, чиито елементи лежат в една и съща хоризонтална равнина, могат да се разглеждат като граничен случай между надлъжните и напречните излъчватели. Тъй като тяхното разширяване води до Яги-антените, те се разглеждат като надлъжни излъчватели. Най-често двуелементните УКВ антени се състоят от един захранван полуваълнов дипол и един паразитен рефлектор. Усилването, което може да се постигне с такава комбинация, е от порядъка на 4 dB, отнесено към полуваълновия дипол (вж. фиг. 16.1).

#### 22.1.1. Двуелементна антена с паразитен рефлектор

Една двуелементна антена в цялостно изпълнение е показана на фиг. 22.1. Захранваният елемент представлява един сгънат дипол (шлейф-вибратор), а разстоянието до рефлектора ( $0,3 \lambda$ ) е избрано с оглед на това, да се получи съпротивление в точките на захранването около  $240 \Omega$ . При това положение антената може да се захранва директно с лесно намиращия се на пазара УКВ фидер. Всички антени с входно съпротивление  $240 \Omega$  симетрично могат да се захранят с 60-омов коаксиален кабел, като в точките на захранване на антената се включи едно полуваълново U-коляно (балун — вж. раздел 7.5.). Въпреки че U-коляното е един честотно зависим елемент, не трябва да се страхуваме, че честотната лента ще бъде стеснена под широчината на 2-метровия обхват.

Размерите, които са дадени на фиг. 22.1, важат за диаметри на елементите от 5 до 10 mm, но, общо взето, не са критични. Ъгълът на отвора на хоризонталната диаграма (в Е-равнината) е около  $75^\circ$ , докато ъгълът на отвора на вертикалната диаграма (в Н-равнината) е около  $140^\circ$ . От тази антена може да се очаква усилване малко под



Фиг. 22.1

Схема на 2-елементна антена за 2 m



4 dB и средно затихване в посока назад около 7 dB.

Носещата конзола (трегерът) е от метал. Елементите могат да бъдат монтирани в своите геометрични средни точки директно към нея (целометално изпълнение).

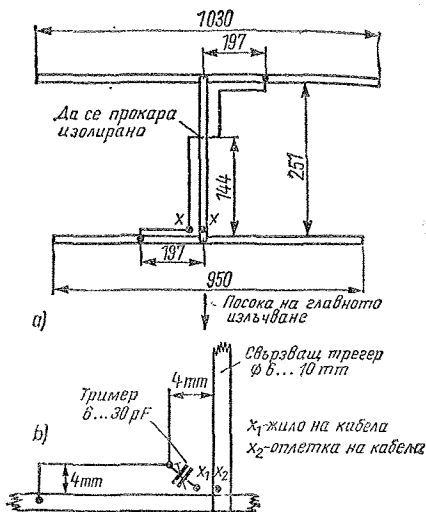
### 22.1.2. Антена НВ9СV за двуметровия обхват

Антената НВ9СV работи също с два елемента. При нея се захранва и рефлекторът, който отстои на разстояние  $1/8 \lambda$ . Поради малкото междуелементно разстояние антената се получава доста къса по оста, затова тя е пригодна за портативна и мобилна работа. Теорията на тази антена се излага подробно в раздел 14.2.2.

Фиг. 22.2 представя схематично една НВ9СV-антена за 2-метровия обхват. При дадените размери тя може да се захранва директно с 60-омов коаксиален кабел, като жилото му се свърже към точка  $X_1$ , а оплетката — към металния антенен трегер в точка  $X_2$  (вж. фиг. 22.2b).

Тримерът 6—30 pF, свързан серийно на жилото, служи да компенсира индуктивната реактивна съставка, внесена от гама-члена. Той се настройва еднократно по минимум стоящи вълни (рефлектометър). След намиране на нужната стойност той може да бъде заменен с постоянен кондензатор със същата стойност (ориентировъчна стойност 12 pF).

Някои литературни източници дават други стойности за разстоянията от средите на елементите до точките на захранване при същите дължини на елементите. При тях например разстоянието 197 mm върху рефлектора е дадено като 130 mm, а разстоянието 197 mm върху директора — като 120 mm. При последните размери, за да се съгласува антената към коаксиалния кабел, е било необходимо съгласуващият тример да се включи не последователно на жилото, а паралелно на точките на захранване. За този случай точките  $X_1$  и  $X_2$  на фиг. 22.2b трябва да бъдат свързани една с друга, кабелното жило се запоява към ъгловата точка на съгласуващата линия, а ширмовката се свързва към точка  $X_2$ . С това се изоставя гама-напасването съгласно



Фиг. 22.2. Антена НВ9СV за 2 m: а — схема на конструкцията, б — детайлен чертеж на точката на захранването

раздел 6.3. и се преминава към непълно омега-съгласуване (вж. раздел 6.4.). Тъй като в случая липсва серийният тример, индуктивната компонента на гама-члена не е компенсирана. Затова се препоръчва и при съгласуване с тези изменени размери да се включва серийен кондензатор, както е показано на фиг. 6.5.

Двата гама-члена и линията за връзка между тях се изпълняват от проводник с диаметър 2 mm, който може да бъде и изолиран. Трябва да се спази процентното разстояние между фазирания линия и елементите, респективно трегера, да бъде постоянно и да възлиза на 4—5 mm. Диаметърът на елементите е  $6 \text{ mm} \pm 20\%$ .

Диаграмата на излъчването в Н-равнината има формата на кардиоида (сърцеобразна крива) с ъгъл на отвора около  $75^\circ$ . По тази причина затихването в посока назад е сравнително голямо. В Е-равнината двата странични минимума — на  $90^\circ$  и на  $270^\circ$ , са силно изразени. Това позволява получаването на добро засичане със сравнително прости средства при използване на антената за лов на лисици. От тази антена може да се очаква усиление от порядъка на 5 dB. Практически сравне-

ния при употреба на антената за мобилна работа са показали, че *НВ9СУ*-антената при по-малък разход на пространство и материали е най-малкото равностойна на една 3-елементна антена тип Яги.

## 22.2. Къси Яги-антени

Яги-антените бяха разглеждани вече в раздел 16, като късовълнови насочени антени. Нецата, казани там, включително указанията за строежа и за материалите, които трябва да се използват, важат респективно и за УКВ-антените. Усилването на една антена Яги зависи от размерите на параметрите дължина на елементите, диаметър на елементите и разстояние между елементите. Също така и останалите характерни показатели, като съпротивление в точките на захранване, широчина на лентата и излъчвателна характеристика, се определят от тези параметри. Още при три елемента с палице голям брой от възможни вариации по отношение на дължините на елементите и разстоянията между тях, като всяко ново нагласяване води до промени в характерните показатели на антената. С увеличаване броя на елементите се увеличават и вариационните възможности дотолкова, че все по-трудно могат да се обхванат. И до днес не е намерен начин оразмеряването на поголемите Яги-антени да се извършва по изчислителен път. Многобройните експериментални изследвания опровергаваха някои по-раншни възгледи по отношение на Яги-антените. Понастоящем могат да се строят Яги-системи, които притежават не само голямо усилване, но и относително широка честотна лента и съпротивление в точките на захранването 60  $\Omega$ , когато като захранващ елемент се използва прав полуълнов дипол.

Има няколко общи правила, с помощта на които може да се ограничат възможните вариации с дължините на елементите и междueleментните разстояния и да се види в каква посока се менят параметрите на антената в зависимост от избора на дължините и отстоянията.

С голямо приближение може да се каже, че рефлекторът трябва да бъде с 5% по-дълъг от захранвания елемент

(вибратора). Тази дължина обаче зависи от разстоянието между рефлектора и вибратора, като известно влияние оказва и съотношението дължина/диаметър на елементите. Общо взето, при по-малко разстояние между вибратора и рефлектора последният трябва да е по-дълъг, отколкото при големи разстояния, когато целта е да се получи максимално усилване. Благоприятни по отношение на усилването са рефлекторни отстояния от 0,12 до 0,15  $\lambda$ . В този случай обаче съпротивлението на вибратора силно се понижава, а честотната лента се стеснява. Затова е по-изгодно да се избира поголямо рефлекторно отстояние (0,2 до 0,3  $\lambda$ ). При рефлекторно отстояние 0,25  $\lambda$  съпротивлението в точките на захранването почти не се изменя. Чрез поставянето на няколко настроени рефлектора не се постига осезаемо повишаване на усилването.

Използването на няколко директора, разположени на подхолящи разстояния един от друг, увеличава излъчването в посока „напред“ и с това — и усилването. Ако директорът е само един (3-елементна антена) и рефлекторното отстояние е 0,25  $\lambda$ , максимално усилване се получава при разстояние между директора и вибратора 0,15 до 0,25  $\lambda$  при положение, че е избрана оптималната дължина на директора. Последната лежи в границите от 0,43 до 0,46  $\lambda$ . И тук важи същото правило — на най-малко директорно отстояние съответства най-голяма дължина на директора (около 0,46  $\lambda$ ) и обратно. Ако се използват няколко директора, тяхната дължина се взема прогресивно намаляваща, така че най-близкостоящият до вибратора директор има най-голяма дължина, а следващите след него директори стават все по-къси. Съществуват обаче и Яги-антени, чиито директори имат еднаква дължина. Всички промени в дължините и отстоянията на паразитните елементи влияят върху резонансната дължина на захранвания елемент.

Антените тип Яги обикновено се строят в целометално изпълнение. Това значи, че всички антенни елементи се закрепват директно без изолация в своите геометрически средни точки (минимум на напрежението) към металния трегер на антената. Това изпълнение не довежда до недостатъци

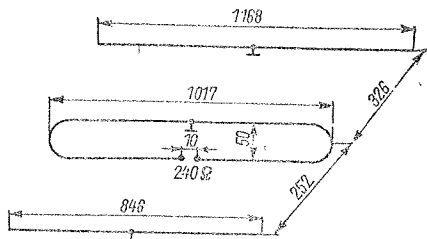
от електрическа гледна точка, като в същото време е много удобно от конструктивна гледна точка, а също така осигурява добра гръмозащита на антената.

Диаметърът на антенния трегер влияе до известна степен върху резонансните дължини на елементите. В дадените по-нататък описания на антени винаги когато не е указан изрично диаметърът на трегера, ще се има предвид диаметър от 15 до 30 mm. Като общо правило по-дебелите трегери изискват известно удължаване на елементите, а тънките — известно скъсяване. Профилът и материалът, от който е направен трегерът, има второстепенно значение и се определят преди всичко от конструктивни съображения. За временни решения е подходящ също и импрегниран дървен материал, както и профилни материали или тръби от пластмаса.

При Яги-антени с хоризонтална поляризация трегерът се закрепва директно към вертикалната носеща мачта в точката, която се явява негов център на тежестта. По-дългите Яги-структури се укрепват допълнително с подпоря към трегера. Яги-антените с вертикална поляризация трябва да се монтират далеч от вертикалната мачта с помощта на една хоризонтална конзола.

Като материал за изготвяне на елементите трябва да се използват метални тръби или метални пръти. Разбира се, не е задължително да се използват непременно материали с обичайното кръгло сечение. Тъй като при високи честоти токът тече само по повърхността на проводника (скин-ефект), от електрическа гледна точка е напълно равносилно дали ще се използват тръби, или плътен материал. Най-добър като проводников материал е чистият алуминий, тъй като е лек и има много добра проводимост. Освен това под влияние на атмосферното въздействие той се покрива с тънък добре изолиращ оксиден слой, който пази сигурно елемента от по-нататъшна корозия, като същевременно не влияе върху повърхностната проводимост. Тази „оксидна броня“ често се създава умишлено в индустриално произвежданите антени, като се използва елоксирание или други методи.

Сплавите от леки метали проявяват склонност към образуване на плесено-



Фиг. 22.3. Схема на една 3-елементна Яги-антена с широка честотна лента

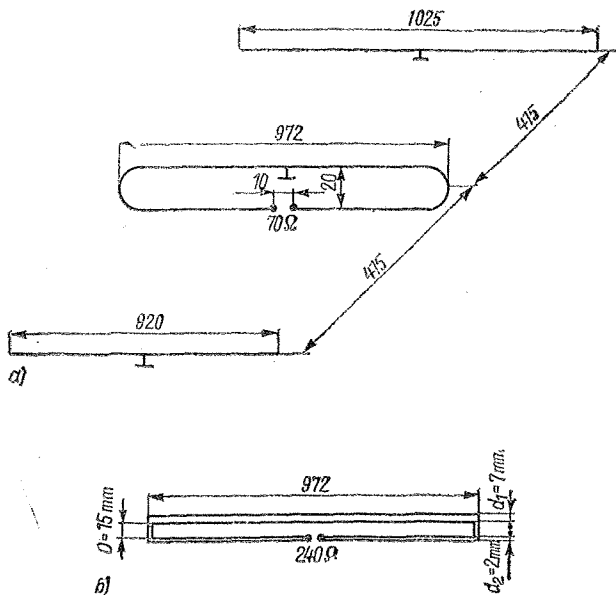
образни окиси по повърхността си, затова би трябвало те да бъдат защитени от атмосферното въздействие с някакво повърхностно покритие. Медните тръби трябва обязательно да бъдат защитени срещу въздействие на атмосферата, като се покриват с лак или като се посребрят, тъй като в противен случай се образува оксиден слой с полупроводникови свойства, който влошава повърхностната проводимост за високи честоти. Могат да се използват също и месинг и стомана при условие, че им се направи устойчиво защитно покритие от лак.

Под въздействие на студа месингът става много трошлив и елементите се чупят лесно. Влошаването на антенните параметри вследствие на по-лошата проводимост на този и други метали, макар и да може да бъде констатирано при прецизни измервания, няма практическо значение.

На следващите страници се дават данни за размерите и за приблизителните параметри на редица практически изпробвания Яги-антени, които са измерени за 145 MHz (средата на 2-метровия любителски обхват). Точките, в които има минимум на напрежението и следователно елементите могат да бъдат заземени, са отбелязани върху чертежите на антените. Всички размери са в милиметри.

### 22.2.1. Яги-антена с 3 елемента

Триелементната Яги-антена, показана схематично на фиг. 22.3, се характеризира с голяма ширина на лентата. Нейното съпротивление в точките на захранване е около 240  $\Omega$ , затова може да бъде свързана директно с обикновена плоска УКВ линия. Коаксиал-



Фиг. 22.4  
3-елементна Яги-антена  
с тясна честотна лента  
и голямо усиление: а —  
схема на конструкцията,  
входно съпротивление  
70  $\Omega$ , б — изпълнение на  
захранвания елемент за  
входно съпротивление  
240  $\Omega$

ните кабели могат да се използват също, като се включат посредством полуълново U-коляно или фабричен симетриращ трансформатор.

#### Механични и електрически данни

Диаметър на елементите — 5 до 10 mm  
Входно съпротивление — 240  $\Omega$   
Дължина на антената — 580 mm  
Усилване — около 5 dB  
Затихване в посока „назад“ — около 14 dB  
Хоризонтален ъгъл на разтвора ( $\alpha_E$ )  $\approx 70^\circ$   
Вертикален ъгъл на разтвора ( $\alpha_H$ )  $\approx 110^\circ$   
(отнесено към хоризонтална поляризация)

Една 3-елементна антена, която е изпълнена като теснолентова антена, е показана на фиг. 22.4. При използване на обикновен сгънат дипол входното съпротивление е около 70  $\Omega$  — симетрично. Коаксиален кабел би могъл да бъде свързан посредством симетриращ член (вж. раздел 7.). Входното съпротивление би могло да се повиши на 240  $\Omega$  симетрично, ако вибраторът се изпълни съгласно фиг. 22.4б с различни диаметри на клоновете.

#### Механични и електрически данни

Диаметър на елементите — 5 до 8 mm  
Входно съпротивление — 70  $\Omega$ , респ. 240  $\Omega$   
Дължина на антената — 830 mm  
Усилване — около 6 dB  
Затихване в посока „назад“ — около 15 dB  
Хоризонтален ъгъл на разтвора ( $\alpha_E$ )  $\approx 65^\circ$   
Вертикален ъгъл на разтвора ( $\alpha_H$ )  $\approx 95^\circ$   
(отнесено към хоризонтална поляризация)

#### 22.2.2. 6-елементна Яги-антена

6-елементното Яги, показано на фиг. 22.5, представлява теснолентова система с високо усиление. Под теснолентова тук се разбира антена, която запазва добре параметрите си в целия 2-мегагерцов обхват, но не и доста извън него, какъвто беше случаят с 3-елементната антена от фиг. 22.3. Входното съпротивление на 6-елементното Яги е 70  $\Omega$ . То може да се повиши на 240  $\Omega$ , ако захранваният сгънат дипол се изпълни съгласно фиг. 22.4б,



оразмерена така, че обхватът 144 до 146 MHz се покрива с равномерно усилване на антената. Сравнително малкото затихване в обратна посока не е недостатък при работа в любителски условия, понякога то дори е желателно.

Номиналното входно съпротивление е 240  $\Omega$ , така че включването на 60-омов коаксиален кабел става чрез полувълново U-коляно (вж. раздел 7.5.). Ако захранваният сгънат дипол се замести с прав дипол, входното съпротивление става 60  $\Omega$ , симетрично.

### Механични и електрически данни

Диаметър на елементите — 8 до 18 mm  
Входно съпротивление — 240  $\Omega$ , респ. 60  $\Omega$

Дължина на антената — 2012 mm

Усилване — около 10 dB

Затихване в посока „назад“ — около 15 dB

Хоризонтален ъгъл на разтвора ( $\alpha_E$ )  $\approx 48^\circ$

Вертикален ъгъл на разтвора ( $\alpha_H$ )  $\approx 58^\circ$   
(отнесено към хоризонтална поляризация)

## 22.3. Дълги Яги-антени

При разглеждане на дългите Яги-антени (т. нар. „дълги Ягита“) цялата система се разделя на три зони на действие — възбудителен център, преходна зона и вълноводна система (фиг. 22.7).

Във възбудителния или излъчвателен център винаги се намира захранваният дипол. Към него спадат освен това наличните рефлектори и елементите, които трябва да разширят широчината на лентата на излъчвателния център (т. нар. компенсационни елементи). Структурата на възбудителния център

определя в значителна степен широчината на лентата и входното съпротивление на едно дълго Яги.

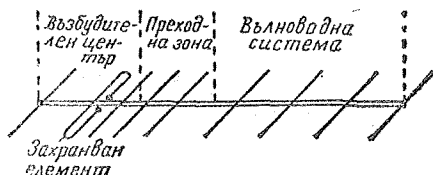
Съседната на възбудителния център преходна зона включва един или няколко директора. Те имат задачата да осигурят оптимална връзка между възбудителния център и следващата вълноводна система.

Вълноводната система, състояща се от редица директори, определя в главни линии излъчвателните свойства на дългите Яги-антени. Както показаха последните изследвания, входното съпротивление и честотната лента на възбудителния център не се влияят чувствително от въвеждането на значителни по обем вълноводни системи.

Междueleментните разстояния във вълноводната система могат да бъдат до около 0,35  $\lambda$ . При по-големи разстояния, напр. при 0,4  $\lambda$ , се появява бързо влошаване на усилването. При големи разстояния между директорите трябва да се внимава първият директор от преходната зона да бъде отдалечен само 0,1  $\lambda$  от захранвания елемент (вibratora). По този начин ще се осигури задоволителна връзка между възбудителния център и вълноводната система. Положението и дължината на този първи директор в преходната зона са критични.

Усилването на едно дълго Яги зависи на първо място от дължината на системата, отнесена към работната дължина на вълната. При оптимална гъстота на разполагане на елементите по протежение на дължината усилването на антената във функция от дължината на последната достига стойностите, далени графично на фиг. 22.8а. Оттам може да се види, че почти няма смисъл антената да се прави по-дълга от около 2,5  $\lambda$ , тъй като удължаването над тази стойност води до много бавно увеличение на усилването, неоправдаващо бързо нарастващите разходи по конструиране и поддържане на такава дълга система.

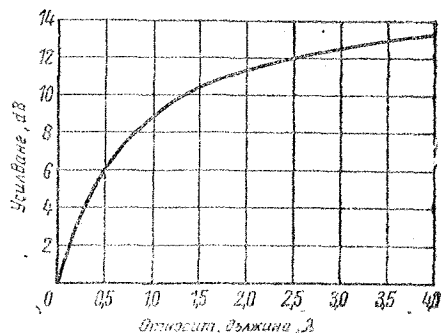
Дългите Ягита се строят, като се спазва конструктивният принцип, характеризиращ се с голяма дължина на трегера и едновременно с това голямо разстояние между директорите. Покриването на приетата дължина на антенната структура с относително малко на брой директори, участващи във вълноводната система, позволява да се



Фиг. 22.7. Разпределение на зоните на действие в една антенна система тип „дълго Яги“

Фиг. 22.8

Усилване на дълго Яги във функция от относителната дължина на антената при оптимална гъстота на разполагане на елементите и оптимално оразмеряване (усилването отнесено към  $\lambda/2$ -дипол)



получи лека и проста конструкция, като в същото време се постига същото усиление, което би дала антената при нормална гъстота на елементите. Особено критично е постигането на оптимална връзка в преходната зона. По тази причина при повтаряне на даден образец трябва да се спазват точно всички дадени размери и разстояния.

### 22.3.1. 5-елементно дълго Яги с оптимално усиление

5-елементното дълго Яги, конструирано от *DM2BUO* и *DM2BWO*, може да се разглежда като прототип на лека и оптимално действаща любителска антена.

Особеното при тази антена е това, че тя има само директори. Рефлектор не се използва, тъй като концентрацията на енергията в посока напред е толкова голяма, че въвеждането на рефлектор води само до незначително увеличение на усиляването от порядъка на 1 dB.

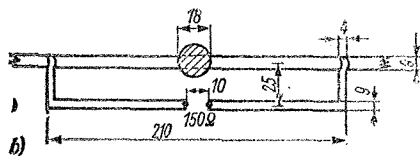
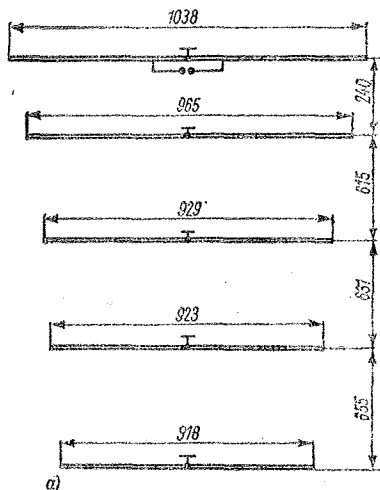
За да се създадат удобства за съгласуване при евентуално етажирание на две такива антени, входното съпротивление на Ягито е подбрано от порядъка на 130 до 150  $\Omega$ . То може да получи други стойности чрез изменение на Т-члена. Това се препоръчва обаче само в случай че е налице измерителна апаратура. Конструктивният чертеж на антената е даден на фиг. 22.9.

#### Механични и електрически данни

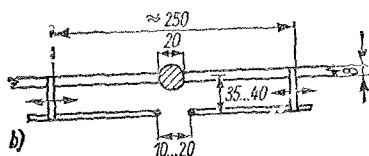
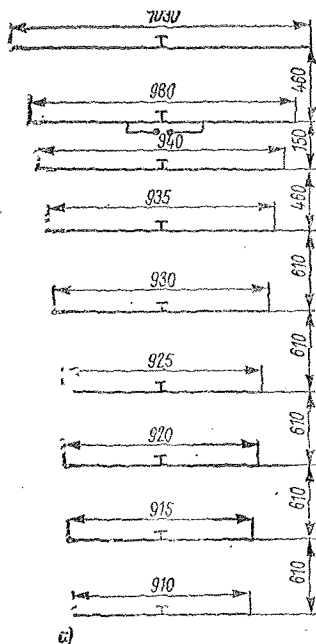
Диаметър на захранвания елемент — медна тръба 9 mm

Директори от алуминиева тръба с диаметър 8,5 mm (може да бъде 7 до 10 mm)

Диаметър на трегерната тръба — 18 mm (може да бъде до 50 mm)



Фиг. 22.9. 5-елементно дълго Яги: а — схема на конструкцията, б — чертеж на захранвания елемент



Фиг. 22.10. 9-елементно дълго Яги на DL6WU: а — схема на конструкцията, б — чертеж на захранвания елемент

Дължина на антената — 2150 mm  
Входно съпротивление — 130 до 150  $\Omega$   
Усилване — 10,8 dB  
Затихване в посока „назад“ — 16,5 dB  
Хоризонтален ъгъл на разтвора ( $\alpha_E$ )  $\approx 44^\circ$   
Вертикален ъгъл на разтвора ( $\alpha_H$ )  $\approx 50^\circ$  (отнесено към хоризонтална поляризация)

### 22.3.2. 9-елементна дълга Яги-антена

Разработеното от DL6WU дълго Яги е една теснолентова система, дименсионирана за максимално усилване. То има дължина около  $2\lambda$  и е доказало

качествата си в многогодишната практика на 2-метровите любители.

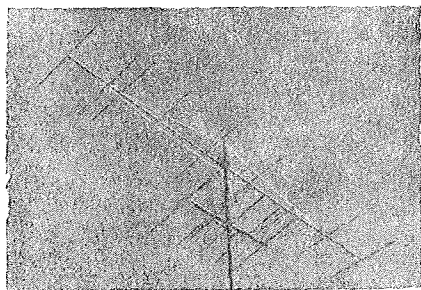
На фиг. 22.10 е дадена строителната схема, а на фиг. 22.11 — едно практическо изпълнение на тази антена от DM2ZSF. При нея е постигнато входно съпротивление 240  $\Omega$ , като се използва съгласуване с Т-член съобразно фиг. 22.10b. Предвидена е възможност за пренастройване на Т-члена в малки граници. Би трябвало също да се осигури възможност за малки корекции в разположението на първия директор по отношение на захранвания елемент.

### Механични и електрически данни

Диаметър на елементите — 4 до 6 mm  
Тръба на трегера (стрелата) — диаметър 20 mm  
Дължина на антената — 4150 mm  
Входно съпротивление — 240  $\Omega$ , симетрично  
Усилване — около 13,5 dB  
Затихване в посока „назад“ — около 19 dB  
Хоризонтален ъгъл на разтвора ( $\alpha_E$ )  $\approx 35^\circ$   
Вертикален ъгъл на разтвора ( $\alpha_H$ )  $\approx 40^\circ$  (отнесено към хоризонтална поляризация)

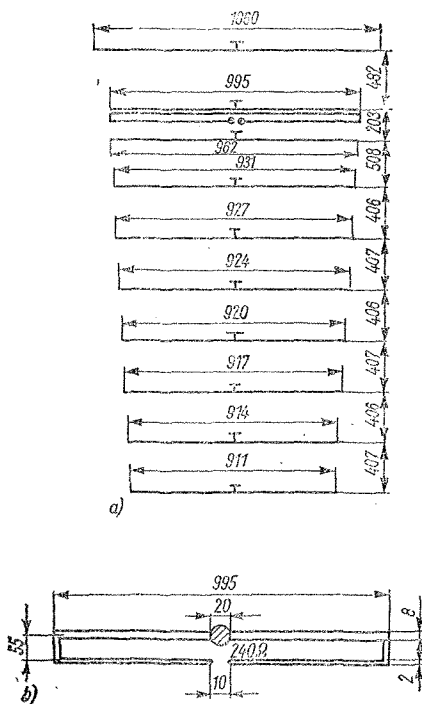
### 22.3.3. 10-елементна дълга Яги-антена

Дългото Яги, скицирано на фиг. 22.12, представлява теснолентова система с високо усилване. При една дължина от  $1.8\lambda$  тя е малко по-къса от току-що описаната 9-елементна антена.



Фиг. 22.11. Практическо изпълнение на 10-елементно дълго Яги от DM2ZSF; отдолу — елементно нормално Яги

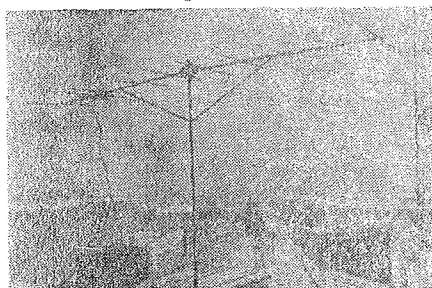




Фиг. 22.12. 10-елементно дълго Яги: *a* — схема на конструкцията, *b* — чертеж на захранвания елемент

Поради сравнително голямата гъстота на елементите тя може да бъде разглеждана като преход от нормалните Яги-антени към дългите Яги-антени.

Дадените размери важат за случая, когато като носач на елементите се използва тръба с диаметър 20 mm. И в тази конструкция може да се използва захранване посредством Т-член. На фиг. 22.12*b* обаче е показано по-удобното от електрическа гледна точка решение за захранвания елемент (вibratora). Това е един сгънат дипол с различни дебелини на неговите елементи, който покачва импеданса така, че входното съпротивление става приблизително равно на вълновото съпротивление на една 240-омова линия. В една антена, построена от *OE2BM* по горните данни, се използва Т-съгласуващ член и паразитни елементи с диаметър 3 mm. Тънките елементи осигуряват лесно изпълнение на конструкцията и малко съпротивление на вятъра.



Фиг. 22.13. 10-елементно дълго Яги на *OE2BM*

### Механични и електрически данни

Диаметър на елементите — 4 mm (допуска се 3 до 5 mm)

Вибратор (вж. чертежа на фиг. 22.12*b*)

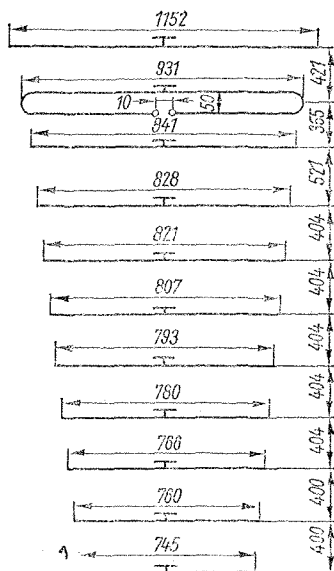
Трегер на елементите — метална тръба с диаметър 20 mm

Дължина на антената — 3630 mm

Входно съпротивление — 240  $\Omega$ , симетрично

Усилване — около 12,5 dB

Затихване в посока „назад“ — около 19 dB



Фиг. 22.14. 11-елементно дълго Яги



ла *DJ4OB* използва две найлонови корди (дебелина 1,5 mm, дължина около 16 m), които вървят успоредно една на друга на разстояние 400 mm. На тази двужилна пластмасова линия са укрепени елементите, както е показано на фиг. 22.15, така че цялата структура наподобява на една хоризонтално окачена въжета стълба.

Двете пластмасови корди се поддържат на фиксирано разстояние в краищата си посредством дървени разпорки. Към всяка разпорка са хванати и две въжета, с които антената се окачва.

Всички директори и рефлекторът са от пръчки от лек метал или тръби с диаметър 3 mm. Елементите се закрепват към носещите корди посредством пластмасови шнурчета или къси парченца проводник. За по-добро фиксиране на превръзките към елементите, върху последните на разстояние 400 mm се правят леки жлебове. Друг начин за закрепване е като вместо жлебове се направят дупки с диаметър 1,8 mm на същите места, които предварително са леко сплескани. В този случай кордите се прокарат през дупките на елементите.

Захранваният елемент е изпълнен като сгънат дипол, при което се използват два диаметъра на тръбичките, образувачи рамената му. Правият непрекъснат клон на сгънатия дипол е направен от медна тръба с дължина 998 mm (може да се използва и алуминиева тръба) и диаметър 8 mm (вж. фиг. 22.15b). На разстояние 60 mm от него се намира прекъснатият клон на сгънатия дипол, изпълнен с проводник от същия материал, с диаметър 2 mm. Импедансното съотношение (около 6,3) на този сгънат дипол може да се отчете от фиг. 4.4. По този начин входното съпротивление се повишава 6,3 пъти, за да бъде доведено до 240  $\Omega$ . Оттук следва, че входното съпротивление на самата антена е около 38  $\Omega$ .

Антената се окачва между два твърди опорни пункта, при което е желателно опорната мачта в посоката на излъчване на антената да бъде дървена. В случай че мястото не позволява да се разпъне цялата антена, би могло, без особено голямо влошаване на усилването да се махнат няколко директори. Това не довежда и до забележимо изменение на входното съпротивление.

За да се осигури минимално провисване на антената, тя трябва да бъде много силно опъната.

Тъй като, общо взето, пластмасите при опън се разтягат, би трябвало за носещи корди да се използва облечена в пластмаса стъклокоприна, тъй като последната е много устойчива на опън и практически не се разтяга.

Тази супердълга Яги-антена е подходяща предимно като антена с най-високо усилване за далечни връзки на 2 m в точно определена посока. Ъглите на разтвора са от порядъка на 23°. Ако антената трябва да се транспортира до друго място, тя може да бъде навита, като се започне от последния директор, върху картонена тръба с диаметър около 50 mm. Малко „обърканите“ междудиректорни разстояния са резултат на многобройни експерименти на *DJ4OB*. Настройката е проведена по максимално излъчване напред. При построяване на тази антена се препоръчва дадените разстояния да се доуточнят с помощта на един уред за измерване напрегнатостта на полето.

Разбира се, тази супердълга Яги-антена е малко подходяща за нормална любителска дейност. Тъй като изготвянето ѝ обаче е неимоверно евтино, тя би могла да намери употреба за специални цели и заслужава вниманието на УКВ-любителите.

## 22.4. Етажирани Яги-антени

Както вече се спомена, да се строят много дълги и оттам с много остра характеристика в Е-равнината Яги-антени, не е много удачно. Ако Яги-антени се разположат в етажи, т. е. една над друга в две или повече равнини, така че да се оформят вертикални колони (вж. раздел 13.2.), се получава силно изразено свиване на диаграмата в Н-равнината (вертикалната равнина), без при това диаграмата в Е-равнината да се отличава от аналогичната диаграма на единичната система. По този начин етажираните Яги-антени обединяват експлоатационните удобства на антените със сравнително голям ъгъл на разтвора в хоризонталната равнина с увеличеното усилване вследствие на намаляването на разтвора във вертикалната равнина.

За по-кратко и изразително означаване на етажираните Ягита УКВ-любителите са въвели една опростена терминология. Например една антенна система, състояща се от две, разположени в два етажа, едно над друго 6-елементни Яги-платна, се именува накратко „6 над 6“. Подобна система при 3 етажа ще се нарече аналогично „6 над 6 над 6“, а една 4-етажна 12-елементна диполна колона, състояща се от четири 3-елементни Ягита, се нарича „3 над 3 над 3 над 3“. Строго погледнато, етажираните Ягита би трябвало да се разглеждат при груповите антени, тъй като под групова антена се разбира точно антенното съоръжение, получаващо се при съвместното свързване на няколко еднакви антенни системи. В любителската практика обаче се е наложило едно особено разделение, според което под групови антени се разбират само тези системи, чиито захранвани елементи са целовълнови диполи.

#### 22.4.1. Разстояние между етажите

Чрез етажирание на две Яги-системи теоретически би могло да се постигне едно усилване от 3 dB, стига да се осигури оптимално разнасяне между етажите и енергията да се разпредели между двете единични системи равномерно, с еднаква фаза и без загуби. Тази констатация хармонира и с познатото грубо правило, че усилването на антенната нараства с 3 dB, когато броят на елементите се увеличи два пъти. На практика обаче не може да се постигне максимално възможното увеличение на усилването от 3 dB.

При определяне на разстоянието между етажите може да се изходи от два различни критерия — или получаването на максимално усилване, или осигуряването на най-чиста от странични листове диаграма на излъчване. От това определение е ясно, че при избиране на междуетажното разстояние с оглед получаването на максимално усилване, в диаграмата на излъчване се наблюдават странични листове, чието енергийно съдържание трябва да се извади от главния лист на диаграмата.

Трябва да се има предвид също така, че възникват и загуби в линиите, разпределящи енергията между етажите.

По тези причини практически при удвояване на разходите и при дименсиониране за максимално усилване може да се разчита на нарастване на усилването от 2,5 или в най-добрия случай — 2,8 dB. При оразмеряване на междуетажното разстояние за минимум странични листове увеличението на усилването е още по-малко, тъй като тук съзнателно се жертвува част от усилването, за да се получи по-добра насоченост на диаграмата. В този случай увеличението на усилването при многократно етажирание възлиза на 1,5 до 2,5 dB. При многократно етажирание усилването нараства с приблизително същата стойност (около 2,4 до 2,7 dB) при всяко удвояване на разходите.

#### Пример

3-елементната антена от фиг. 22.3, имаща усилване 5 dB при хоризонтален ъгъл на развора  $70^\circ$  и вертикален ъгъл на развора  $110^\circ$ , трябва да се етажира в две равнини с оглед получаването на максимално усилване. При това ще се получи едно усилване от  $5 \text{ dB} + 2,7 \text{ dB} = 7,7 \text{ dB}$ . Тъй като при това хоризонталният ъгъл на развора не се изменя, допълнителното усилване ще бъде резултат от намаляване на вертикалния ъгъл на развора.

Съгласно фиг. 3.19 той ще получи стойност около  $68^\circ$ . За да се постигне едно по-нататъшно увеличение на усилването с 2,7 dB, и е трябва да се удвоят разходите, т. е. ще трябва да се етажират 4 Яги-платна (3 над 3 над 3 над 3). Това ще доведе до едно усилване от порядъка на  $7,7 \text{ dB} + 2,7 \text{ dB} = 10,4 \text{ dB}$ . И в този случай хоризонталният ъгъл на развора ще остане  $70^\circ$ , а вертикалният ъгъл съгласно фиг. 3.19 ще се намали на около  $37^\circ$ .

При определени условия е възможно излъчвателната характеристика на етажирана Яги-антена да се изведе математически като функция от междуетажното разстояние, стига да се познава диаграмата на насоченост на отделното антенно платно. В любителската практика от интерес е преди всичко оптималното междуетажно разстояние с оглед на максималното усилване. Възникващите в този случай странични листове се разглеждат из-

ключително от гледна точка на предизвикването от тях намаление на усилването.

Както е обяснено по-подробно в раздел 3.2.3.3, за всяка антена може да се определи една зависеща от усилването ѝ действаща площ, която се изразява в квадратни дължини на вълната ( $\lambda^2$ ). Когато две еднакви антени с познати действащи площи трябва да се етажират една над друга, максимално възможното усилване се получава, когато междуетажното разстояние се избере такова, че действащите площи точно да се допират, без да се припокриват (вж. фиг. 3.22). Най-благоприятното междуетажно разстояние за получаване на максимално усилване може приблизително да се изчисли от (3.26). Приблизителни данни за това разстояние могат да се намерят и в следващата таблица 22.1, в която то е дадено като функция от броя на елементите на единичния излъчвател.

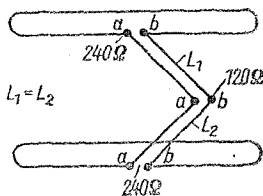
Съгласно едно грубо правило разстоянието между етажите за максимално усилване при дълги Яги-антени се определя, като дължината на антената се умножи с 0,75.

Общо може да се каже, че с увеличаване на усилването на единичното платно се увеличава и неговата действаща площ. Увеличената действаща площ от своя страна изисква по-голямо междуетажно разстояние, когато трябва да се постигне максимално усилване.

Когато главният критерий е полу-

Таблица 22.1. Приблизителни стойности за оптималното междуетажно разстояние в  $\lambda$ , при максимално усилване, във функция от броя на елементите на използваната основна антена

Брой на елементите	Междуетажно разстояние, $\lambda$
3	0.70
4	0.77
5	0.86
6	0.95
7	1.05
8	1.13
9	1.20
10	1.30



Фиг. 22.16. Синфазно възбуждане на две етажирани Яги-системи посредством ненастроени свързващи линии

чаването на чиста от странични лъстове диаграма, а не максимално усилване, оптималното междуетажно разстояние е между 0,5  $\lambda$  при къси Ягита (до 4 елемента) и около 0,65  $\lambda$  при 10-елементни Ягита.

#### 22.4.2. Захранване на етажирани Яги-антени

При захранване на етажирани Яги-антени трябва да се спазва основното изискване всички платна да се захранват синфазно и равномерно.

Съществуват две възможности:

- възбуждане чрез настроени линии, които са изпълнени отчасти като трансформирани членове и осигуряващи с това импедансно съгласуване в точките на захранване;

- възбуждане чрез ненастроени линии със съответстващо вълново съпротивление без трансформирани свойства.

Възбуждането посредством настроени линии вече беше разглеждано накратко в раздел 13.2 и ще бъде дискутирано подробно в главата за груповите антени тъй като то се прилага предимно при тях.

Най-подходящи за захранване на етажирани Яги-антени са ненастроени свързващи линии, тъй като те позволяват избирането на произволно големи междуетажни разстояния без механически ограничения от страна на линиите. Тъй като освен това свързващите линии са независими от честотата, широчината на лентата на антенната система не се стеснява. На фиг. 22.16 е даден един пример за захранване от този вид, като за по-голяма прегледност са показани само захранваните вибратори на Яги-платната.

Тук важат следните общовалидни изисквания:

— Входното съпротивление на единичните системи трябва да бъде едно и също (в предишния пример то е  $240 \Omega$ ).

— Вълновото съпротивление  $Z$  на свързващите линии трябва да бъде равно на входното съпротивление на отделните системи (в примера на фиг. 22.16  $Z=240 \Omega$ ).

— Дължината на свързващите линии  $L_1$  и  $L_2$  може да бъде произволна и да отговаря на всяко желано междуетажно разстояние. Трябва обаче да се спази условието всички свързващи линии, водещи до централната точка на захранването, да имат една и съща геометрична и електрическа дължина (в примера  $L_1=L_2$ ).

— Несобходимото синфазно възбуждане е възможно само в случай че точките на захранване на vibratorите са свързани еднозначно (в примера а с а и б с б).

В централната точка на захранването входните импеданси на двете отделни системи са свързани паралелно един на друг, затова импедансът в тази точка е точно половината от стойността на отделните импеданси (паралелно свързване на съпротивления), т. е. в нашия случай —  $120 \Omega$ . При многократно етажирание импедансът в централната точка на захранването се намалява пропорционално на броя на паралелно свързаните входни съпротивления. Ако например се етажират 4 Яги-платна едно над друго и

входното съпротивление на всяко от тях е  $240 \Omega$ , импедансът в централната точка ще бъде  $60 \Omega$  ( $240:4$ ). В този случай би могло да се осъществи захранване директно с 60-омов коаксиален кабел, като се използва само едно симетрирано устройство (вж. раздел 7.).

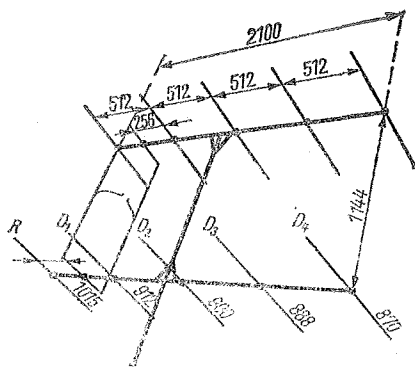
Често входното съпротивление на системата в централната точка на захранване не отговаря на вълновото съпротивление на фидерната линия. В този случай желаното съгласуване към съпротивлението в точките на захранване може да се постигне посредством някой от познатите импедансни трансформатори (вж. раздел 6.). Големото предимство на захранването с ненастроени свързващи линии се заключава в това, че оптималното междуетажно разстояние може да бъде избрано свободно без затруднения от механично естество. Захранващите линии не съдържат честотнозависими членове, които биха стеснявали лентата, а централното захранване осигурява еднакви дължини на линиите и с това — напълно равномерно възбуждане на отделните платна. Други възможности за захранване, които са приложими и при етажиранияте Яги-антени, ще бъдат разглеждани в раздел 23.

Въз основа на указанията, дадени по-горе, могат да се етажират Яги-платна с произволна големина, така че описването на конкретни етажирани антени, захранвани по този начин, става излишно. Тук ще дадем само описанието на няколко конструкции етажирани Яги-антени, при които начинът на захранване се различава от обикновения.

#### 22.4.3. Етажирана Яги-антена «б над б» по ОН2EW

Показаната на фиг. 22.17 Яги-антена с две платна прави впечатление с не-обичайния начин на възбуждане. В случая се касае за възбуждане посредством скелетно-процепен vibrator, което е особено популярно между английските любители.

Захранваният елемент (vibratorът) е показан отделно на фиг. 22.18а. Ако се сумират дължините на страните, се получава обща дължина на правоъгълника  $3048 \text{ mm}$ . Тъй като антената е предназначена за двуметровия обхват,



Фиг. 22.17. Етажирана Яги „б над б“ по ОН2EW

тази дължина отговаря на около  $1,5 \lambda$ , респ. всяка половина има дължина  $0,75 \lambda$ . При тези условия на пръв поглед не би се получило синфазно възбуждане на двете платна. Начинът на действие става ясен едва когато се разгледат поотделно горната и долната половина на правоъгълника, при което Y-членът се включи в дължината на половинките (вж. фиг. 22.18b). Може да се види, че Y-образната линия с обща дължина 570 mm (две рамена по 285 mm) образуват точно липсващия четвъртвълнов участък за получаване на  $1 \lambda$ . Тъй като Y-образуващата линия участва едновременно и в горната и в долната секция, захранваният елемент може да се разглежда просто като съставен от два Quad-a с обиколка  $1 \lambda$  всеки. Фиг. 22.18c показва още веднаж целия захранван елемент с нанесени посоките на тока в него. От нея се вижда, че всички хоризонтални участъци са със синфазно възбуждане.

Междуетажното разстояние се определя от размерите на vibratorния елемент и възлиза на около  $0,6 \lambda$  (1144 mm), от което следва, че увеличението на усиляването вследствие на етажирането може да се очаква да бъде около 2,3 dB. Дължината на трегера  $1 \lambda$  и сравнително големите междуетаженни разстояния разкриват принципа на дългител Ягита.

Дължините на елементите и разстоянията между тях са дадени на фиг. 22.17, а размерите на захранвания елемент и на Y-члена — на фиг. 22.18. Паразитните елементи са от алуминиев кръгъл материал с диаметър 5 mm, а vibratorът, вкл. Y-членът, са от 8 mm кръгъл материал. Двата трегера на елементите в оригиналната антена са от U-образен дуралуминиев профил  $20 \text{ mm} \times 2 \text{ mm}$ . Всички дадени дебелини на материалите не са критични и се допускат отклонения до  $\pm 20\%$ .

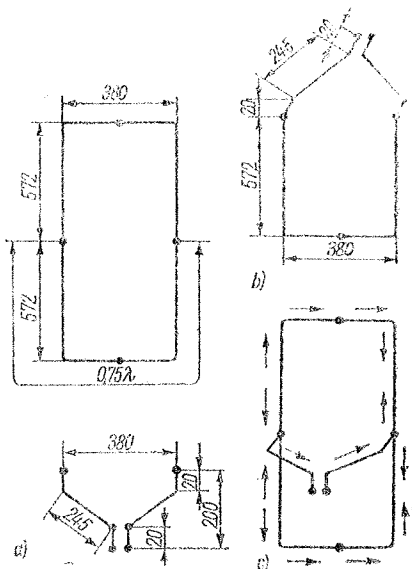
#### Механични и електрически данни

Диаметър на елементите — вж. текста  
Трегер — метална триба с диаметър 20 до 30 mm

Дължина на антената — 2100 mm

Междуетажно разстояние — 1144 mm

Входно съпротивление — 70  $\Omega$ , симетрично



Фиг. 22.18. Захранваният елемент на антената „6 над 6“: а — правоъгълен елемент на Y-линията, б — половин отрязък от захранвания елемент, в — разпределение на тока в елемента

Усиляване — около 12 dB

Затихване в посока „назад“ — около 20 dB

Хоризонтален ъгъл на разтвора ( $\alpha_H$ )  $\approx 50^\circ$

Вертикален ъгъл на разтвора ( $\alpha_V$ )  $\approx 35^\circ$

Антената може да бъде захранена направо със стандартен коаксиален кабел, като се включи само един симетриращ трансформатор.

#### 22.4.4. Етажирано късо Яги «4 над 4»

На фиг. 22.19 е показано едно етажирано късо Яги, възбуждано също посредством скелетно-процепен vibrator. Захранваният елемент има същите размери като този на антената „6 над 6“, но паразитните елементи се различават както по дължина, така и по разстоянията между тях. Всички данни за построяването могат да се видят на фиг. 22.19. Тъй като съпротивлението в точките на захранването е около 75  $\Omega$ , и тази система може да

бъде захранена чрез симетриращо устройство директно със стандартен коаксиален кабел.

#### Механични и електрически данни

Диаметър на елементите — 6 до 8 mm  
Трегер — метален, с диаметър 15 до 30 mm

Дължина на антената — 1230 mm  
Междустажно разстояние — 1144 mm  
Входно съпротивление — около 75  $\Omega$ , симетрично

Усилване — около 9 dB

Затихване в посока „назад“ — около 16 dB

Хоризонтален ъгъл на разтвора ( $\alpha_E$ )  $\approx 60^\circ$

Вертикален ъгъл на разтвора ( $\alpha_H$ )  $\approx 55^\circ$

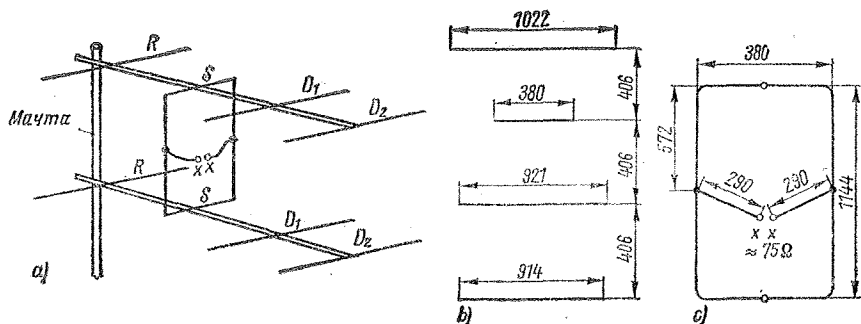
#### 22.4.5. Етажирана Яги-антена «4 над 4» по DL3FM

Възбуждането на етажирана Ягита посредством ненастроени свързващи линии (вж. раздел 22.4.2.) покрай своите предимства има и един недостатък — „опроводяването“ на тези връзки трябва да се прави най-често с обикновен плосък УКВ кабел. Както вече на няколко пъти се спомена, тези линии не са устойчиви на атмосферни условия и техните отначало много добри характеристики с течение на времето се влошават чувствително. Затова за изграждане на трайни антенни системи от този род би трябвало да се използват защитени с външна мантия симетрични линии с вълново съпротивление 240  $\Omega$ , които са много по-устой-

чиви на атмосферни влияния. Когато не разполагаме с такъв кабел, може да се окаже полезно използването на възбуждане посредством настроени свързващи линии.

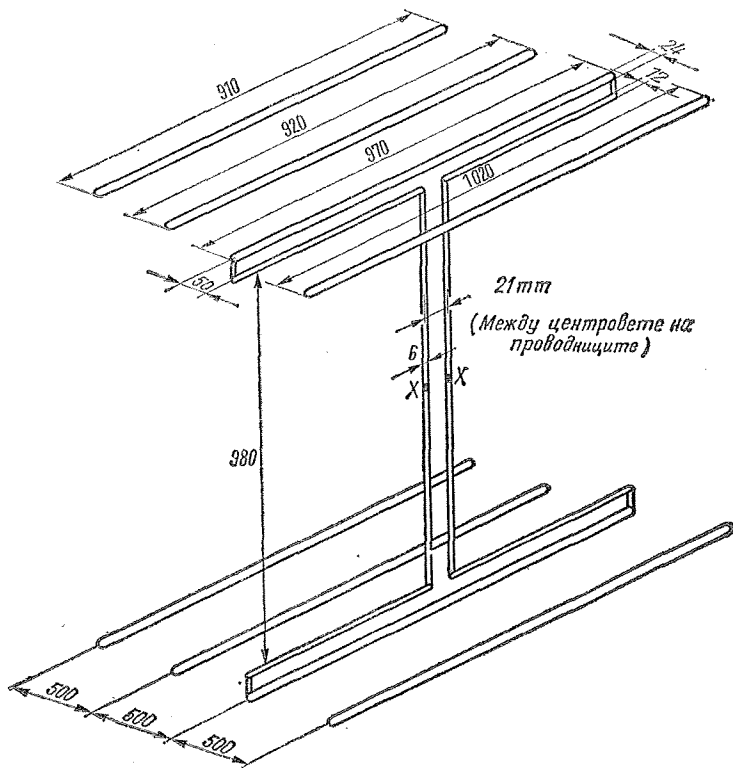
Един пример за този метод на възбуждане представлява антената „4 над 4“ на DL3FM. Като основна антена се използва едно 4-елементно Яги, чийто вибратор представлява сгънат дипол с нееднакви диаметри на клоновете. По този начин е постигнато входно съпротивление на единичното платно около 110  $\Omega$ . Разнасянето между двата етажа се осигурява чрез една линия от паралелни тръби, както е показано на фиг. 22.20. Общата електрическа дължина на тази свързваща линия възлиза на  $\lambda/2$ , а централната точка на захранването ХХ лежи точно в геометричната среда на тази полувълнова линия, така че дължината на линията от точката на захранването до всяко антенно платно съставлява точно  $\lambda/4$ . Трансформиращите свойства на четвъртвълновите линии бяха вече разгледани (вж. раздел 6.5.). Двете четвъртвълнови линии се явяват паралелно свързани в точките ХХ, така че трансформиранияте еднакви импеданси ще се явят в точката на захранване като паралелно свързани съпротивления, т. е. с половината стойност.

Ако например искаме входното съпротивление в ХХ да бъде 240  $\Omega$ , всеки четвъртвълнов трансформатор трябва да трансформира съпротивлението на антенното платно в 480  $\Omega$ , тъй като паралелното свързване на две съпротивления по 480  $\Omega$  ще бъде 240  $\Omega$ . От пре-



Фиг. 22.19. Етажирана Яги „4 над 4“: а — общ изглед, б — скица на едното платно с размерите, в — чертеж на захранвания елемент





Фиг. 22.20. Конструктивна скица на етажирана Яги-антена „4 над 4“ по DL3FM

дипиния пример имахме, че входното съпротивление на всяко платно е около 110  $\Omega$ , следователно импедансът на трансформиращата четвъртвълнова линия съгласно (5.31) трябва да бъде

$$Z = \sqrt{110 \cdot 480} \approx 230 \Omega.$$

Съгласно фиг. 5.4 една двупроводна линия има вълново съпротивление 230  $\Omega$ , ако е осигурено съотношение на разстоянието между проводниците (D) и диаметъра на последните (d), равно на 3,5:1, и ако се използва въздушна изолация. Ако за изготвянето на линията се използва алуминиев проводник с диаметър 6 mm, разстоянието от център до център на проводниците трябва да бъде 21 mm. При диаметър 10 mm това разстояние нараства съответно на 35 mm.

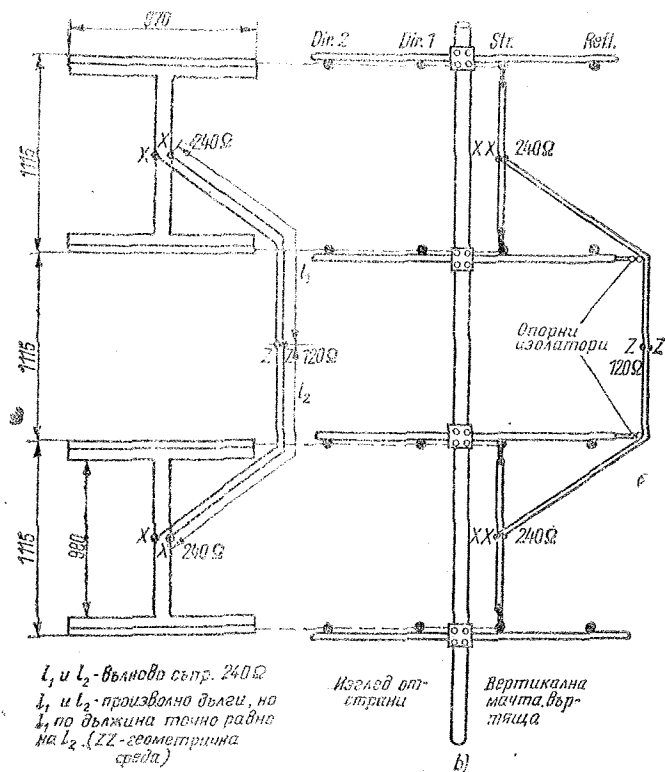
Поради използването на полуъл-

нова свързваща линия междуетажното разстояние в случая е фиксирано и възлиза на 0,5  $\lambda$ , така че е налице системата, дименсионирана за минимум странични листове в диаграмата на насоченост, а не за максимално усиляване вследствие на етажирането. Вторичните елементи биха могли да имат диаметър 15 до 25 mm, като по-големите диаметри осигуряват по-голяма ширина на лентата. Във всеки случай въпреки теснолентовото оразмеряване и честотнозависимите трансформаторни звена антената може да се използва по цялата ширина на 2-метровия обхват без забележимо влошаване на усиляването.

#### Механични и електрически данни

Диаметър на елементите:

Захр. елементи — вж. фиг. 22.20



Фиг. 22.21  
 Етажирана Яги-антена „4 над 4 над 4 над 4“: а — захранвателните елементи, б — страничен поглед към цялата антена

Паразитни елементи — 15 до 25 mm  
 Трагер — метален, с диаметър 20 до 30 mm

Дължина на антената — 1500 mm

Междуетажно разстояние — 980 mm

Входно съпротивление —  $240\Omega$ , симетрично

Усилване — около 9,5 dB

Затихване в посока „назад“ — около 17 dB

Хоризонтален ъгъл на развора ( $\alpha_F$ )  $\approx 53^\circ$

Вертикален ъгъл на развора ( $\alpha_H$ )  $\approx 54^\circ$

Препоръчва се захранване на антената посредством коаксиален кабел и U-коляно (вж. раздел 7.5.).

#### 22.4.6. 4-етажна Яги-антена «4 над 4 над 4 над 4»

Две системи от описания в раздел 22.4.5. „4 над 4“, етажирани по вертикала, дават една високоефективна 2-

метрова антена с общо 16 елемента и 4 етажа. Вертикалната строителна височина на антената е 3,35 m. В тази конструкция са обединени предимствата на Яги-антената с тези на груповата антена при минимални конструктивни разходи.

Нито в размерите на антената „4 над 4“ от фиг. 22.20 не се изменя, просто се поставят две такива системи една над друга на разстояние половин дължина на вълната. Затова на фиг. 22.21a са дадени само захранвателните елементи, гледани отпред, а на фиг. 22.21b е дадена цялата антена, гледана отстрани.

За захранване на целия комплекс съществуват две възможности. Тъй като в точките на захранване XX на двата горни и двата долни етажа е наличие входно съпротивление по  $240\Omega$ , двете точки на захранване биха могли да бъдат свързани с произволно дълга

линия с вълново съпротивление  $240 \Omega$ . В геометричната среда на тази свързваща линия се намира общата за двете половици на антената захранваща точка ZZ.

Тъй като там двете 240-омови линии лежат паралелно, съпротивлението в ZZ е само половината от тяхната стойност, т. е.  $120 \Omega$ . Тогава цялото съоръжение може да се захранва със симетрична 120-омова линия (напр. симетрична двупроводна, ширмована линия тип 120 D 10-1). Тъй като такава линия е скъпа и рядко се намира, входният импеданс може да се трансформира от  $120 \Omega$  отново на  $240 \Omega$  посредством четвъртвълнов трансформатор и след това да се включи каго захранваща линия 240-омов симетричен УКВ шлангов кабел или още по-добре — един 60-омов коаксиален кабел и полу вълново U-коляно. Вълновото съпротивление на четвъртвълновия трансформатор трябва да има импеданс съгласно (5.31)

$$Z = \sqrt{120 \cdot 240} \approx 170 \Omega.$$

От фиг. 5.4 се вижда, че за този случай ще е необходимо съотношение разстояние/диаметър на линията, равно на 2,2 : 1. Геометричната дължина на такава двупроводна линия с въздушна изолация е 0,98  $\lambda/4$ , което при работна честота 145 MHz дава около 510 mm. Такава линия се монтира над тясна властмасова плочка, а последната се закрепва механически между точките ZZ и носещата мачта. В отворения край на Q-звено то входното съпротивление на антената възлиза на  $240 \Omega$ .

Както се спомена много пъти, 240-омовият лентов УКВ кабел не е много подходящ нито от електрическа, нито от механична гледна точка. Би могла да се изготви двупроводна въздушна линия със същото вълново съпротивление, но конструктивното изпълнение е трудно, тъй като отношението разстояние/диаметър в случая е само 3,81 : 1 (вж. фиг. 5.4). По тази причина описаният по-долу начин за захранване представлява едно по-удобно решение.

Линиите  $I_1$  и  $I_2$  в този случай не се правят произволно дълги, а всяка линия се прави с електрическа дължина точно  $0,75 \lambda$ . При това не е съществено дали дължината е  $1/4 \lambda$ ,  $3/4 \lambda$ ,  $5/4 \lambda$

и т. н., тъй като всяка линия, дълга нечетен брой пъти  $\lambda/4$ , по отношение на импедансното трансформиране има същото действие, както четвъртвълновата линия. По тази причина свързващата линия с дължина  $3/4 \lambda$  действа също както четвъртвълнов трансформатор. По същата причина импедансът в точката ZZ, в която се свързват двете  $3/4 \lambda$  линии, зависи от импеданса Z на линията. За да се постигне импеданс  $240 \Omega$  в точките ZZ, където двете линии са включени паралелно, трябва трансформираното от  $I_1$  и  $I_2$  съпротивление да бъде по  $480 \Omega$ . Съгласно (5.31)

$$Z = \sqrt{240 \cdot 480} \approx 340 \Omega.$$

От фиг. 5.4 се отчита, че за двупроводна линия с въздушна изолация и вълново съпротивление  $340 \Omega$  трябва да се осигури отношение на разстоянието между средите и диаметъра 8,5 : 1. Такава линия може да се изготви сравнително лесно. При работна честота 145 MHz ( $0,75\lambda = 155,3$  cm) и като се държи сметка за скъсяващия фактор при въздушна изолация, за  $I_1$  и  $I_2$  се получава

$$I_1 = I_2 = 155,3 \cdot 0,97 = 150,64 \text{ cm}.$$

**Резюме:** Двете 4 над 4 системи се свързват от точките XX до ZZ с по една 150-сантиметрова въздушна двупроводна линия. Линиите имат вълново съпротивление  $340 \Omega$ . В този случай в ZZ се получава входно съпротивление  $240 \Omega$  симетрично.

Вследствие на етажирането усиляването на системата нараства на около 11,5 dB, хоризонталният ъгъл на разтвора запазва предишната си стойност  $60^\circ$ , а вертикалният ъгъл на разтвора намалява на около  $32^\circ$ .

#### 22.4.7. Етажирани дълги Ягги-антени

Дългите Ягита могат също така с успех да бъдат етажирани. Безсмислено е обаче конструирането на антена с няколко етажирани дълги Ягита при междуетажно разстояние 0,5 до  $0,7 \lambda$ , тъй като в такъв случай относително големите сфективни площи на отделните антени ще се застъпват много и ще се получи твърде малко повишаване на усиляването.

Ако се изходи от действащата

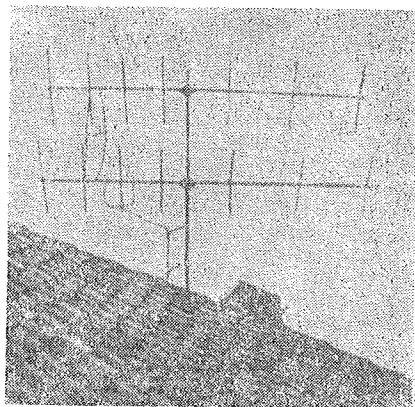
площ на единичното платно и от (3.25), което позволява да се изчисли най-благоприятното междуетажно разстояние за максимално усилване, може да се намери оптималната стойност на междуетажното разстояние без особено трудни изчисления.

Действащата площ  $A$  на едно антенно платно в  $\lambda^2$  във функция от усиляването в dB може да се намери от фиг. 3.21. Така например 11-елементното дълго Яги от фиг. 22.14 има усилване 12 dB и респ. действаща площ  $A=2,0 \lambda^2$ . Тъй като вертикалният ъгъл на разтвора е  $\alpha_E=37^\circ$ , от (3.25) лесно можем да изчислим междуетажното разстояние

$$S = 2 \sqrt{\frac{A \cdot \alpha_E}{\pi \cdot \alpha_E}} = 2 \sqrt{\frac{2,40}{3,14 \cdot 37}} \approx 2,0,83 = 1,66 \lambda.$$

Оттук следва, че при разстояние между етажите  $1,66 \lambda$  действащите площи на двете платна повече няма да се припокриват и ще може да се постигне максималното увеличение на усиляването вследствие на етажирането.

Захранването на етажираните дълги Ягита става, както обикновено. Тъй като поради пространствени ограничения не се използват повече от два етажа, възбуждането им е много просто. Поради голямото междуетажно разстояние тук не е възможно захранване посредством две четвъртълновни линии, включени паралелно в централ-

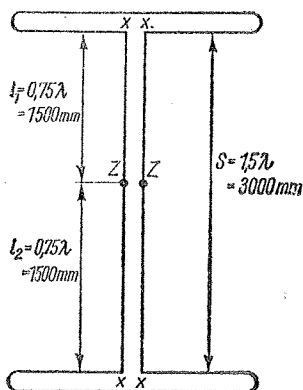


Фиг. 22.23. Двуетажно дълго Яги „7“ над „7“ на DL6EK

ната точка на захранването. Както вече се спомена обаче, една линия с дължина нечетно число пъти, кратна на  $\lambda/4$  се държи като четвъртълнов трансформатор по отношение на импедансното трансформиране. Затова свързващите линии от захранваните елементи до централната точка на захранването могат да имат дължина според нуждата от  $3/4 \lambda$ ,  $5/4 \lambda$  или  $7/4 \lambda$ .

Като пример ще разгледаме захранването на две етажирани 11-елементни дълги Ягита от типа, показан на фиг. 22.14. Както беше констатирано по-горе, оптималното междуетажно разстояние е  $1,66 \lambda$ . Ако дължините на двете трансформиращи линии към централната точка на захранването се изберат по  $3/4 \lambda$ , междуетажното разстояние трябва да се направи  $1,5 \lambda$ , т. е. малко по-малко от изчисленото. За практиката такова малко изменение не играе голяма роля, тъй като и без това изчислената стойност за междуетажното разстояние е само ориентировъчна.

Остава да се определи вълновото съпротивление на настроените свързващи линии. За по-голяма прегледност на фиг. 22.22 са показани двата захранвани елемента заедно с въпросните свързващи линии. Щом двете платна имат в точка XX входно съпротивление  $240 \Omega$  и се желае в точка ZZ да се получи съпротивление на захранването също  $240 \Omega$ , захранващата линия трябва да притежава вълново съпротивление



г. 22.22. Възбуждане на една етажирана Ягита „11“ над „11“

340  $\Omega$  ( $Z = \sqrt{240.480}$ ). Съгласно фиг. 5.4 такова вълново съпротивление се постига при едно съотношение разстояние/диаметър 9:1. Ако за линията се използват тръби или плътен материал с диаметър 6 mm, разстоянието до средите трябва да бъде 51 mm.

От тези етажирани 11-елементни Ягита може да се очаква усиление 14,5 dB. Хоризонталният ъгъл на разтвора остава около 37°, докато вертикалният ъгъл се намалява на 26°.

На фиг. 22.23 като илюстрация на този тип антени е показана конструкцията на DL6EK, съставена от две платна по 7 елемента.

#### 22.4.7.1. Двуетажна антена от дълги Ягита „5 над 5“

За възбуждането на две етажирани 5-елементни дълги Ягита по фиг. 22.9 съществуват много добри възможности. От познатите електрически данни на това оптимално дълго Яги най-напред се изчислява най-благоприятното междуетажно разстояние S за максимално усиление. То се получава от фиг. 3.21 и от (3.25) по познатия начин и е равно на 1,48  $\lambda$ , т. е. отнесено към 2-метровия

обхват — 3060 mm. Тъй като входното съпротивление на всяко платно възлиза на около 130  $\Omega$ , двете системи могат да се свържат една с друга посредством ненастроена 120-омова линия. Най-подходяща за целта е ширмованата дупроводна симетрична линия от типа 120D10-I, която е устойчива на атмосферни влияния и позволява полагане по произволен начин. Точно в геометричната среда на тази свързваща линия се намира централната точка на захранването. Тъй като входните съпротивления на двете платна са включени паралелно в захранващата точка, резултиращото входно съпротивление в нея е 60 до 65  $\Omega$ . Следователно захранването може да стане с нормален коаксиален кабел, достатъчно е само да се включи едно симетриращо устройство в точката на захранването.

#### Механични и електрически данни

Междуетажно разстояние — 1,48  $\lambda$  = 3060 mm

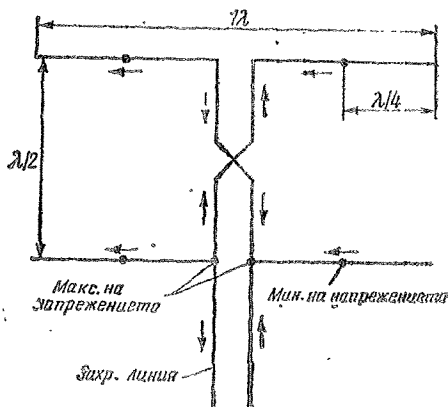
Усилване — около 13,5 dB

Хоризонтален ъгъл на разтвора ( $\alpha_H$ )  $\approx$  44°

Вертикален ъгъл на разтвора ( $\alpha_V$ )  $\approx$  28°

## 23. Групови (сифазни) антени за 2-и обхват

Докато, общо взето, всяко комплексно антенно съоръжение, състоящо се от еднакви единични антени, може да бъде наречено антенна група или групова антена, при радиолобителите под това име се разбира нещо по-различно. Съгласно тяхната терминология груповата антена винаги представлява комбинация от колинеарни диполи (диполни редици) и вертикално етажирани диполи (диполни колонии), ако се приеме, че имаме хоризонтална поляризация (вж. раздел 13.1. до 13.3.). Най-простата антена от този род би се състояла от два етажирани целовълнови дипола (фиг. 23.1), доколкото целовълновият дипол представлява най-простата диполна редица (два колинеарни полувълнови дипола). Диполната колона се образува чрез паралелното включване на втори целовълнов дипол. Също и при по-големите антенни групи в любителската практика не се отива подалече от комплектуването на най-прости диполни редици, т. е. почти винаги се етажират в няколко равнини



Фиг. 23.1. 4-елементна групова антена

целовълнови диполи. Независимо от броя на етажите хоризонталният ъгъл на разтвора на тази групова антена се определя изключително от ъгъла на използваната диполна редица. Тъй като в нормалния случай това е един целовълнов дипол, хоризонталният ъгъл на разтвора на такава хоризонтално поляризирана антенна група възлиза на около  $65^\circ$  (вж. раздел 4.2.). За да се осигури едностранна насоченост при едновременно увеличаване на усилването, в груповите антени се въвеждат почти винаги настроени паразитни, полувълнови рефлектори или, по-рядко, настроена рефлекторна стена. С това хоризонталният ъгъл на разтвора на целовълновите диполи, а оттам и на цялата антенна група, се намалява на около  $60^\circ$ .

Както се вижда от фиг. 23.1, целовълновите диполи се захранват в точки, съответстващи на максимум на напрежението. По тази причина входното им съпротивление е много високо и зависи силно от съотношението дължина/диаметър на проводника (вж. фиг. 4.7).

Освен това входното съпротивление на целовълновия дипол зависи донякъде и от междината в точките на захранването и в груповите антени от взаимното отстояние между паралелните диполи. Скъсяващият фактор на един целовълнов дипол също зависи от отношението дължина на вълната/диаметър и може да се определи от кривата на фиг. 4.7.

Високото входно съпротивление на целовълновия дипол създава удобства при съгласуването в една групова антена, тъй като чрез паралелно включване на няколко целовълнови диполи може да се постигне стойност на входното съпротивление, която позволява директно включване на захранващата линия. Недостатък е, че целовълновият дипол изисква добра изолация в точ-

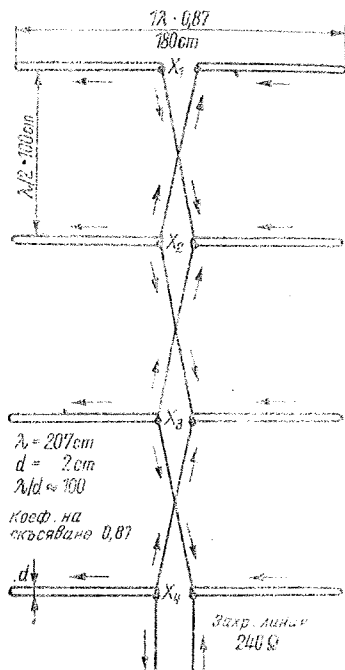
ката на захранването (максимум на напрежението). По тази причина препоръчването понякога механическо укрепване в близост до точката на захранване трябва да се избягва, тъй като дори и добрите изолятори могат да внесат чувствителни загуби при мокро време. Минимумът на напрежението при целовълновия дипол лежи на около  $\lambda/4$  от неговите краища; укрепването трябва да става в тези точки. Тъй като обаче разпределението на напрежението при целовълновия дипол не е така равномерно, както при половълновия дипол, и в теоретичните възли на напрежението може да се открие значително напрежение, не е за препоръчване използването на метални опори; желателно е укрепването да се направи с държатели от импрегирано дърво.

### 23.1. Захранване на групови антени

Възбуждането и напасването на груповите антени ще бъде разгледано с помощта на няколко примера. На фиг. 23.2 е показана една групова антена, която се състои от 4 етажа (4 паралелни дипола) от по 2 колинеарни, синфазно възбуджани половълнови участъка (целовълнови диполи). Диаметърът на елементите е 26 mm, работната дължина на вълната — 207 cm. Отгук съотношението дължина на вълната/диаметър с  $2070 : 20 \approx 100$ . Според фиг. 4.7 входното съпротивление на всеки целовълнов дипол при това положение ще бъде около  $1100 \Omega$ , а скъсяващият фактор е равен на 0,87. Геометричната дължина на целовълновия дипол ще бъде

$$207 \cdot 0,87 \approx 180 \text{ cm.}$$

При даденото съотношение дължина на вълната/диаметър на проводника всеки дипол има входно съпротивление около  $1100 \Omega$ . Тъй като тук са включени паралелно 4 дипола, съпротивлението в захранващата точка X ще бъде около  $1100 : 4 = 275 \Omega$ . Следователно в точките  $X_4$ , респ.  $X_3$ ,  $X_2$  или  $X_1$ , може да се включи двупроводна симетрична линия 240 до  $300 \Omega$  с произволна дължина, като коефициентът на стоящите вълни ще бъде близък до 1. Ако се иска тази групова антена да бъде захранвана чрез коаксиален кабел,



Фиг. 23.2. Групови антени; захранване в най-долния дипол;  $X_1$  до  $X_4$  — по  $1100 \Omega$ ,  $X_{\text{рез}} = 1000$ ;  $4 = 275 \Omega$ .

може да се употреби обичайното половълново U-коляно, което поема както импедансното повишаване в отношение 4 : 1, така и симетрирането. Ако в точката на захранване се получава стойност на съпротивлението, която не позволява директно свързване на захранващата линия, необходимо е да се включи подходящо съгласуващо звено.

Като недостатък на този род свързване е, че отделните диполи равнини не се възбудят точно едновременно. Диполното платно, което е най-отдалечено от точката на захранване, вследствие на времето за разпространение получава енергията малко по-късно, отколкото по-близките платна; вследствие на това се изменя ъгълът на излъчване на главния лъст в диаграмата — антената „криви“. Освен това широчината на лентата се намалява.

По-издържаното от електрическа гледна точка централно захранване на

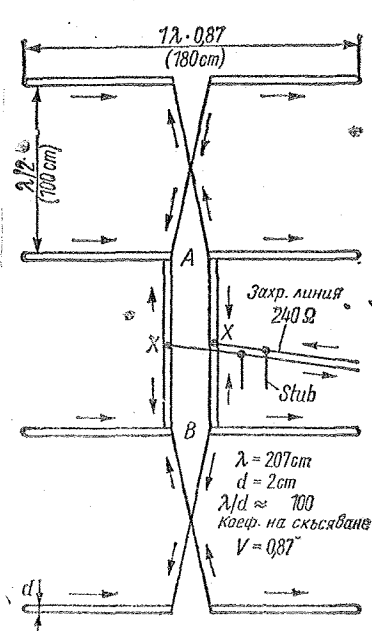
същата груповата антена е показано на фиг. 23.2. Некръстосващите се свързващи линии между втория и третия етаж имат дължина  $\lambda/2$ . Тъй като захранващата линия е свързана в геометричната среда на тази линия, тя трябва да се разглежда като паралелно свързване на два четвъртвълнови трансформатора. В точките А и В са налице импеданси от порядъка на  $550 \Omega$ , които са резултат на паралелното свързване на по две платна. Ако се иска в точка ХХ да се получи импеданс  $240 \Omega$ , би трябвало всеки четвъртвълнов трансформатор да преобразува импеданс  $550 \Omega$  в  $480 \Omega$ . С оглед на това съгласно (5.31) вълновото съпротивление на линията А—В трябва да бъде

$$Z = \sqrt{550 \cdot 480} \approx 510 \Omega.$$

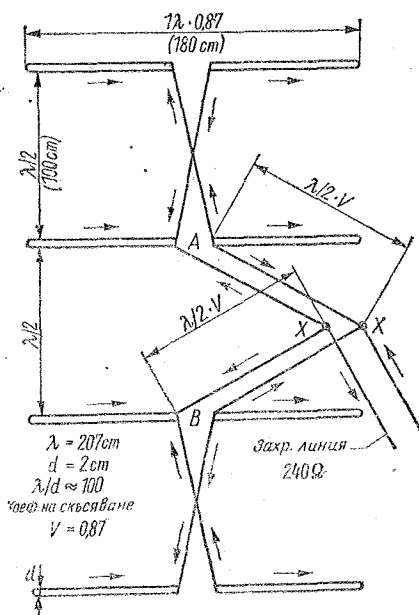
Механичното изпълнение на една линия от тръби с вълново съпротивление  $510 \Omega$  създава обаче трудности, тъй като то изисква значително разстояние между тръбите. Въз основа на това би трябвало разстоянието между полу вълновите секции в А и В да бъде

недопустимо голямо. В такъв случай би могло вълновото съпротивление на линията А—В да се оразмери от чисто механическа гледна точка и, както е показано на фиг. 23.3, в точка ХХ да се извърши съгласуване към вълновото съпротивление на захранващата линия посредством съгласуващ шлейф. На практика в повечето случаи се идва до по-добри условия за съгласуване, тъй като в групата влизат и настроени рефлектори, с които в зависимост от рефлекторното отстояние входното съпротивление се довежда до подходяща стойност.

Едно особено подходящо решение на проблемата за захранването показва фиг. 23.4. Четвъртвълновите трансформатори в този случай отпадат напълно, а на тяхно място между ХХ—А и ХХ—В са включени полу вълнови линии, които, както е известно, предават импеданса в отношение 1 : 1. Входните импеданси в А и в В в предишния случай възлизат на  $550 \Omega$  всеки. Те са налице също в ХХ, но там те са включени паралелно, така че резултиращото съпротивление в точката на захранване

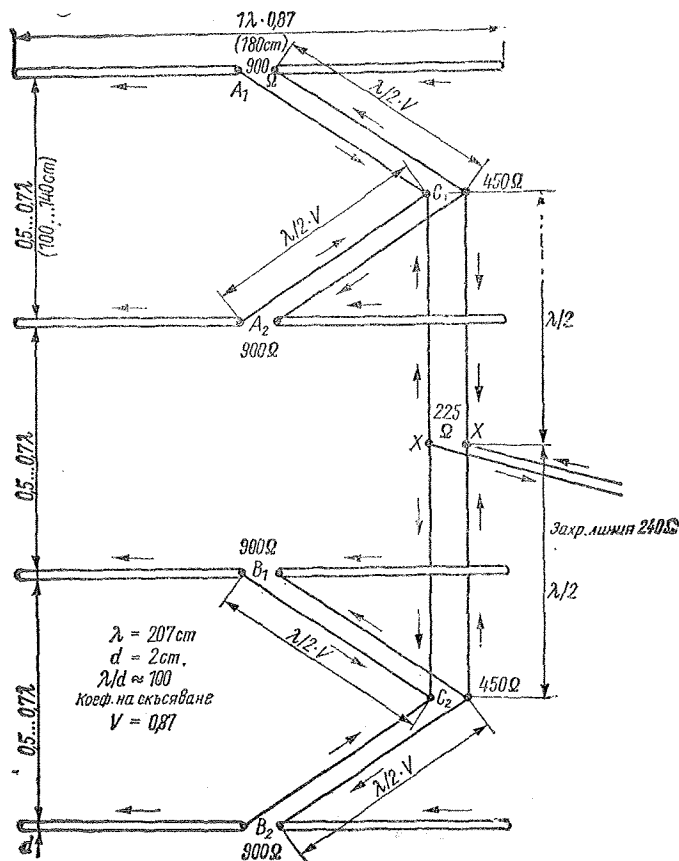


Фиг. 23.3. Груповата антена с централно захранване



Фиг. 23.4. Широкопослотно захранване на една груповата антена





Фиг. 23.5  
Напълно симетрично широколентово захранване на груповая антена

XX е вече 275 Ω. Захранването може да се извърши в такъв случай с 240-омова линия с незначително разсгласуване. От стрелките, показващи посоката на тока, може да се отгатне, че тук не трябва да се извършва кръстосване на проводниците XX—A и XX—B. Вълновото съпротивление на тези линии не е критично в широки граници, тъй като тук се касае до настроени линии с електрическа дължина  $\lambda/2$ . Може да се употребят двупроводни жици или въздушна линия с въздушна изолация или УКВ плоска линия, като се съблюдават скъсяващите коефициенти на конкретните линии при оразмеряването на дължина.

На фиг. 23.5 е дадено като пример едно напълно симетрично широколентово захранване на груповая антена.

В този случай се счита, че зад всеки захранван полувълнов отрязък на разстояние  $\lambda/4$  се намира по един напълно паразитен полувълнов рефлектор. Вследствие на това входният импеданс на всяко платно пада на около 900 Ω. Използват се изключително полувълнови линии, които не трансформират импеданса, така че в главната точка на захранването се получава паралелно свързване на четирите единични съпротивления и импедансът в X е 225 Ω. Както се спомена, вълновото съпротивление на полувълновите линии не е критично; коефициентът на скъсяване  $V$  трябва обаче да се съблюдава (при въздушните линии  $V=0.975$ , при УКВ плосък кабел  $V=0.8$ , респ. 0.84). Този начин на захранване позволява освен това междуетажното разстояние да се

повиши до оптималната стойност от около  $0,7 \lambda$ , от което се увеличава усилването на антената.

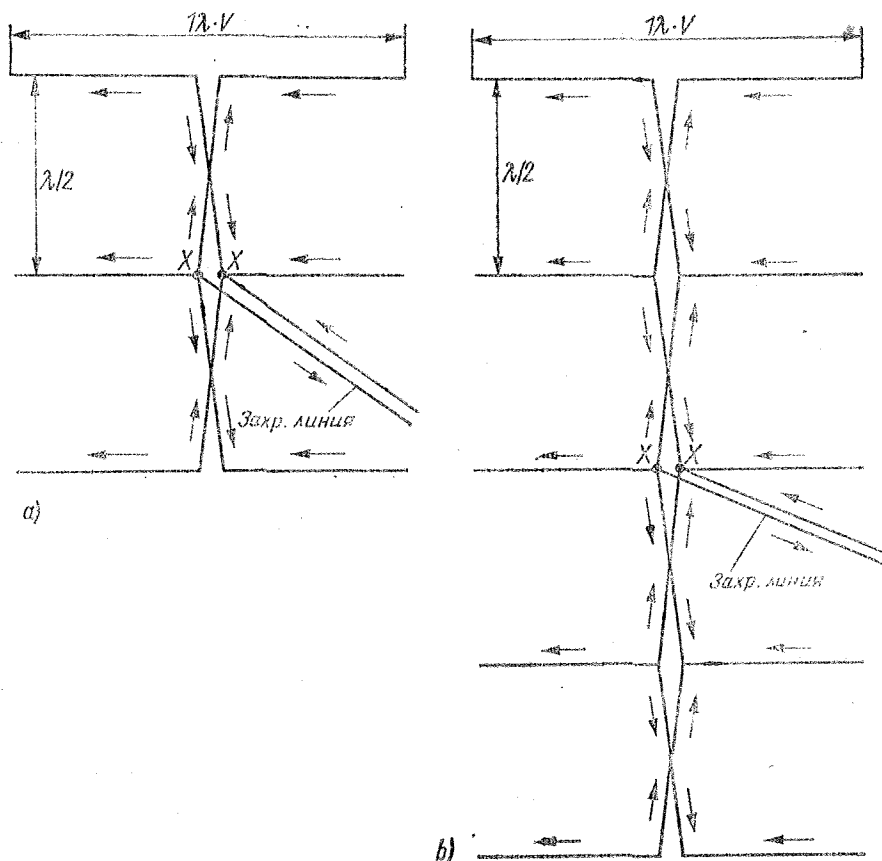
Ако се използва групова антена с нечетен брой паралелни целовълнови диполи, напр. в 3 или 5 етажа, описаните по-горе методи за захранване не могат да бъдат използвани поради неудобства от механично естество. В този случай захранващата линия трябва да се включи директно към средния дипол, както е показано на фиг. 23.6. Ако съпротивлението в точката на захранването вземе „непасваща“ стойност, съгласуването към вълновото съ-

противление на линията става чрез четвъртвълнов трансформатор в ХХ.

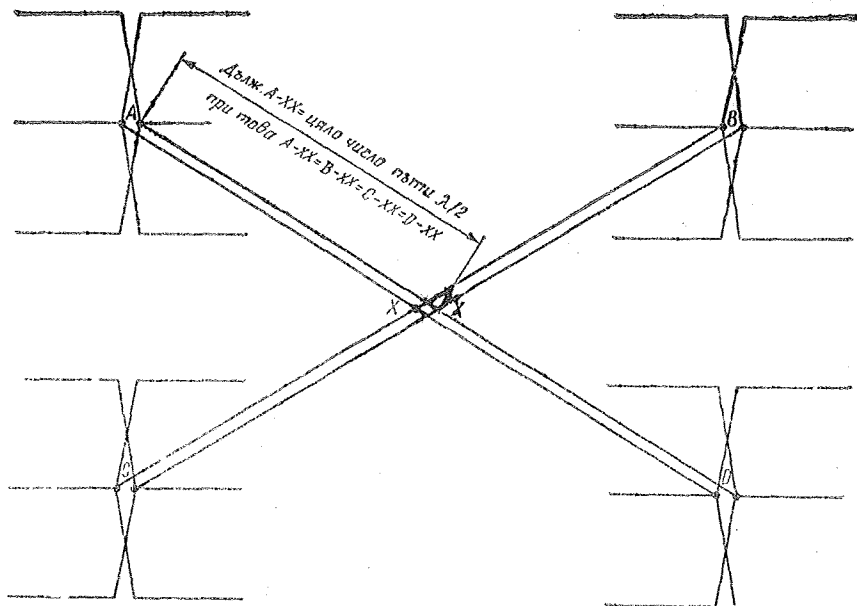
При такова захранване възбудването на отделните целовълнови диполи не става едновременно, особено при изпълнението с 5 паралелни дипола. По тази причина трябва да се очаква известно изменение на характеристиката в Н-равнината. По-големи системи от групови излъчватели биват разделяни целесъобразно на по-малки групи и възбудвани съгласно фиг. 23.7.

Това захранване обуславя следните предпоставки:

— Отделните групи трябва механи-



Фиг. 23.6. Захранване на групова антена, имаща нечетен брой диполи; а — 3 платна, съпротивление в точката на захранване  $XX=1/3$  от съпротивлението на един единичен целовълнов дипол, б — 5 платна, съпротивление в точката на захранване  $XX=1/5$  от съпротивлението на един единичен целовълнов дипол



Фиг. 23.7. Симетрично захранване на една разнесена групови антена при настроени свързващи линии; съпротивлението в точката на захранване  $XX = 1/4$  от входното съпротивление на единичната група в точка А ( $A=B=C=D$ )

чески и електрически да са напълно еднакви и да имат в точките на свързване А, В, С и Д еднакво съпротивление.

— Свързващите линии А—ХХ, В—ХХ, С—ХХ и Д—ХХ трябва да имат дължина, която е цяло число пъти  $\lambda/2$ . (Да се съблюдава свързващият фактор!) и да са напълно еднакви една на друга.

— Споменатите линии не трябва да се кръстосват (усукват); затова трябва да се внимава в точка ХХ (както е показано на фиг. 23.7) да се свързват една с друга винаги стоящите от една и съща страна половини на излъчващите.

Съпротивлението в точката на захранването ХХ при показаното паралелно свързване на 4 еднакви диполни групи възлиза на  $1/4$  от входното съпротивление на една група. Когато входното съпротивление в А, В, С и Д възлиза напр. на  $240 \Omega$ , съпротивлението в ХХ е  $60 \Omega$ . Четирите свързващи линии са настроени линии, така че тяхното вълново съпротивление практически е без значение. Тъй като единич-

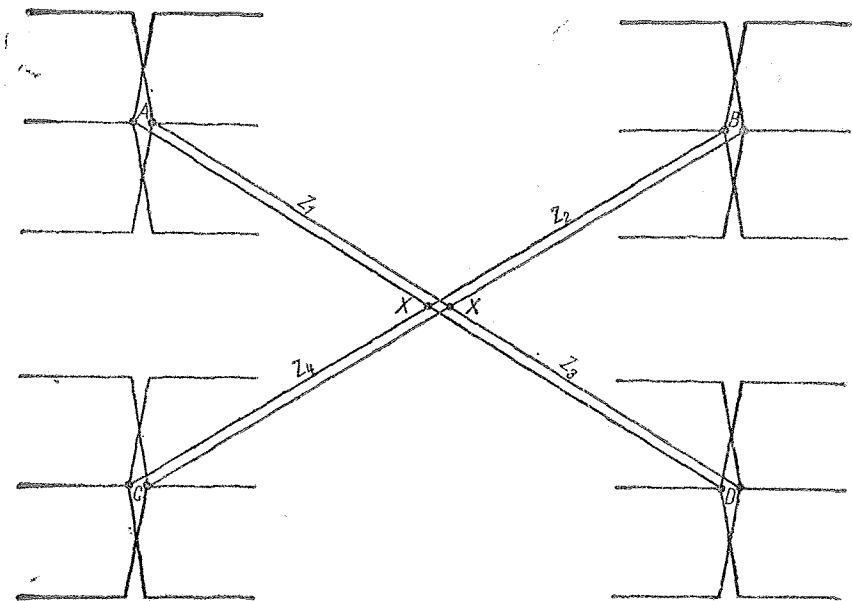
ните диполни групи могат да бъдат разположени на по-големи разстояния една от друга, отколкото при сбития метод на конструиране, нараства и достижимото усилване на антената. Като се спазват дадените правила, е възможно да се запазят по този начин също и големи диполни повърхнини.

Съществува обаче и един друг метод, в който се използват не настроени, а съгласувани свързващи линии и който предлага както механически, така и електрически предимства. Както се вижда от фиг. 23.8, в този случай се използва същото разположение на отделните групи, както на фиг. 23.7. Съгласуваните линии  $Z_1, Z_2, Z_3$  и  $Z_4$  могат да бъдат произволно дълги и не зависят от дължината на вълната. Те трябва обаче да имат еднакви геометрични дължини.

Изисква се:

— Отделните групи да са механически и електрически напълно еднакви една на друга, така че да имат едно и също входно съпротивление в точките на свързването А, В, С и Д.

— Вълновото съпротивление на свърз-



Фиг. 23.8. Симетрично захранване на една разнесена групова антена при съгласувани свързващи линии; вълново съпротивление  $Z_1$  ( $=Z_2=Z_3=Z_4$ ); съпротивление в точката на захранване  $XX=1/4Z_1$

ващите линии  $Z_1$ ,  $Z_2$ ,  $Z_3$  и  $Z_4$  да отговаря точно на входното съпротивление в точките А, В, С и D или да бъде напасвано към него с еднакви съгласувачи звена.

— Споменатите линии да не се кръстосват (усукват). За целта трябва да се внимава в точка XX да се свързват една с друга винаги еквивалентните половинки на излъчвателите.

Тъй като в гореописания случай в точка XX са включени паралелно 4 симетрични линии с едно и също вълново съпротивление, входното съпротивление там представлява  $1/4$  от вълновото съпротивление на свързващите линии.

Ако например единичните групи А, В, С и D имат входно съпротивление по  $240 \Omega$ , тогава трябва за линиите  $Z_1$ ,  $Z_2$ ,  $Z_3$  и  $Z_4$  да се използват парчета от 240-омова линия с еднаква дължина. При това положение в точка XX ще имаме импеданс  $60 \Omega$  — една стойност, която позволява директното свързване на коаксиален кабел, като ще е необходимо само едно симетриращо устройство. Выпросният импеданс може

да бъде трансформиран чрез Q-съгласуващо устройство към линия с произволен импеданс.

Посредством добре обмислена комбинация от настроени и съгласувани свързващи линии, както и на четвърт-вълнови трансформатори, е възможно да се захранват правилно и да бъдат импедансно съгласувани също и големи полета от диполи. Трябва да се препоръча използването на съгласувани линии, а не на честотно зависими звена, тъй като честотната зависимост може да предизвика стесняване на лентата. Всички настроени линии са честотно зависими. При сравнително тесните в честотно отношение любителски обхвати обаче въпросът за широчината на лентата не стои на толкова преден план, както е например при телевизията.

## 23.2. Групови антени с рефлектори

С помощта на рефлектори двупосочното излъчване, перпендикулярно на

площта на груповата антена, може да бъде превърнато в едноносочно. При това усиляването на антената се покачва средно с 3 dB. В същото време под влияние на рефлекторите входното съпротивление на антената се изменя.

Обикновено се използват рефлекторни отстояния от порядъка на 0,1 до 0,3  $\lambda$ . При отстояние 0,25  $\lambda$  входното съпротивление спада незначително (с около 20%), докато при отстояние 0,1  $\lambda$  се получава спадане на входното съпротивление около 75%. Максимално усиляване се получава при рефлекторно отстояние 0,15  $\lambda$ ; в обхвата от 0,1  $\lambda$  до 0,3  $\lambda$  усиляването се мени най-много с 0,8 dB.

Входното съпротивление на груповите антени може да се коригира допълнително чрез изменение на рефлекторните отстояния. В следващите примери обаче не е осигурена конструктивно възможност за такова изменение. За всеки полувълнов участък във всяка диполна редица се предвижда по един настроен полувълнов рефлектор. Целовълнови непрекъснати отразъди тук не са подходящи, тъй като те не са възбуждани синфазно. Геометричната дължина на един пръчковиден полувълнов рефлектор за УКВ-обхвата се изчислява с достатъчна точност от израза

$$\text{Рефлектор} = \frac{152\,000}{f}, \quad (23.1)$$

където дължината на рефлектора е в mm, а  $f$  — в MHz.

Най-често рефлекторът се изготвя със същия диаметър като този на хранения елемент.

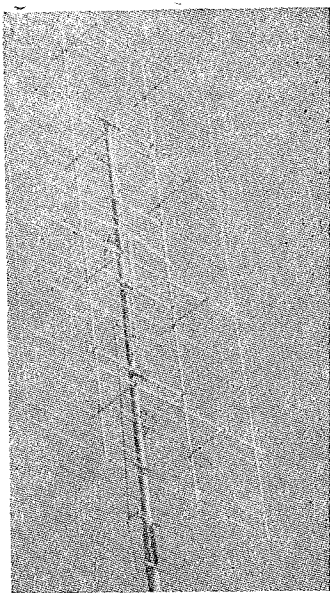
### 23.3. Групови антени с рефлекторни стени

Плоскостните рефлектори са все още неудобни за ползуване в метровия обхват поради големите размери, но в дециметровия обхват те се използват с успех. Една рефлекторна стена, сложена зад диполното платно, би трябвало да бъде във всяка посока поне с  $\lambda/2$  по-голяма от последното. В противоположност на пръчковидния рефлектор рефлекторната стена не зависи от работната дължина на вълната. Затова пред една рефлекторна стена могат да бъдат монтирани няколко излъча-

теля с различна работна честота. Рефлекторните стени, изготвени от текия, осигуряват особено добро затихване в посока „назад“. Тъй като те оказват обаче голямо съпротивление на вятъра, често биват заменени с мрежеста плоскост или с платно от хоризонтални пръчки. Разстоянието между пръчките, респ. размерът на отворите на мрежата, не трябва да надвишава  $\lambda/20$ . За да се избягнат лоши контакти, проводниците, образувачи мрежата, трябва да са запосени един за друг. Такова запояване е направено в поцинкованите кафезни мрежи.

Мрежата се разпъва по възможност така, че нейните усукани страни да бъдат успоредни на излъчвателите (например при хоризонтална поляризация — водоравно). Рефлекторни платна от паралелни тръби, както това от фиг. 23.9, се използват рядко от любителите. Те са скъпи, а в същото време не осигуряват никакво предимство от електрическа гледна точка спрямо далеч по-евтините стени от метална мрежа.

Отстояние на рефлекторната стена около 0,65  $\lambda$  осигурява възможното



Фиг. 23.9. 8-елементен групов излъчвател пред рефлекторна стена (DL6MH)

най-голямо усиляване, но не и най-доброто потискане на излъчването в посока „назад“, тъй като при това все още голямо разстояние част от енергията „обхожда“ отражателя. За осигуряване на простота при механичното изпълнение и добро затихване в посока „назад“ най-честото отстояние е от 0,1  $\lambda$  до 0,3  $\lambda$ . Заслужава да се отбележи, че при разстояние между излъчвателя и рефлектора около 0,2  $\lambda$  входното съпротивление на излъчвателната система не се изменя. При приближаване към излъчвателя обаче входното съпротивление пада.

Докато с един настроен пръчковиден рефлектор може да се осигури усилване от 3 dB, добре оразмерената рефлекторна стена може да даде усилване до 7 dB. Още по-големи усиления могат да се постигнат с ълови рефлектори, параболични рефлектори и други специални форми.

Като пример на фиг. 23.9 е показан 8-елементен групов излъчвател пред една рефлекторна стена, изградена от пръчковидни елементи.

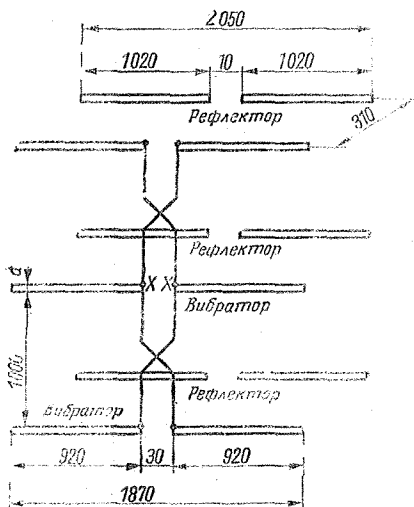
### 23.4. Практики на груповите антеди

С течение на годините между 2-метровите любители се наложиха една стандартна форма: 16-елементната **групова** антена. От всички възможни конструкции на **групови** излъчватели тя се строи най-често. Много по-рядко се среща 12-елементната **група**. Тук-там се използват 24-, 32- и 48-елементни антени, но те са единични случаи, тъй като с увеличаване на броя на елементите съотношението на материалните разходи към усиляването става все по-неблагоприятно. За такива антени трябва да се строят стабилни носещи съоръжения, съпротивлението на вятъра е голямо, а осигуряването на възможност за въртене на такова обемисто съоръжение е свързано с механични трудности. От електрическа гледна точка захранването на такива „мамут-антени“ не представлява трудност, тъй като в случая обикновено се касае до правилно свързване на 12-елементни групи или на изпитаните 16-елементни групи.

### 23.4.1. 12-элементна груповая антена

Както се вижда от фиг. 23.10, 12-елементната група се състои от 3 целовълнови дипола с настроени поълновълнови рефлектори, които са разположени в 3 етажа един над друг, с междуетажно разстояние  $\lambda/2$ . Рефлекторното отстояние е 0,15  $\lambda$ , а усиляването — около 9,5 dB. Входното съпротивление в точка XX е около 240  $\Omega$ . Тази захранена в центъра група при оразмеряване за 145 MHz показва широчина на лентата  $> 15$  MHz, т. е. превишава многократно 2-мегагерцовата широчина на любителския обхват. Свързващите проводници между платната са кръстосани, като в точката на кръстосване са добре изолирани един от други. Тъй като в случая се касае до настроени линии с дължина от  $\lambda/2$ , диаметърът на проводниците и разстоянието между тях нямат особено значение. От друга страна, диаметърът на проводниците не трябва да е много малък, тъй като върху тях се образуват стоящи вълни.

Желателно е дадените диаметри на елементите да се спазват, понеже



Фиг. 23.10. 12-елементна групова антена за 2-м обхват

входното съпротивление и дължината на излъчвателите зависят доста от съотношението дължина/диаметър. Елементите, общо взето, се правят от алуминиеви пръчки с кръгло сечение или от тръби от лек метал; от електрическа гледна точка между тях няма разлика. Свързващите проводници трябва да бъдат също от лек метал с диаметър 3 до 6 mm, тъй като например при връзка между алуминиев и меден проводник възникват разрушителни електrolитни процеси. Особено внимание трябва да се обърне на сигурността на контактуването и защитата на контактните точки срещу влага (лакиране, увиране в пластмасово фолио и т. н.). Ако за вибраторите се използва медна тръба, свързващите линии трябва също да бъдат от меден проводник. Свързващите линии се запояват към елементите. Рефлекторите се правят винаги от лек метал.

Коефициентът на стоящи вълни в захранващата линия обикновено е от порядъка на 1,5. Тази стойност може да се подобри чрез градивно изменение на рефлекторното отстояние.

Тъй като елементите трябва да бъдат закрепвани в точките на минимума на напрежението посредством изолационни опорни елементи, в качеството на такива е подходящо да се използват дървени летви. Обикновено се използват сухи рендосани чамови летви без чепове. Те трябва добре да се импрегнират с кеиламон, карболинеум, ленено масло и др. подобни. На фиг. 23.11 са показани две примерни изпълнения на поддържащата конструкция.

Като се съблюдават дадените в раздел 23.1. указания за разделените групови антени, такива 12-елементни групи биха могли да се комбинират и да се захранват посредством съгласувани ленти.

*Механични и електрически данни към  
фиг. 23.10*

Диаметър на елементите —  $d=6$  до 10 mm

Диаметър на свързващите линии — около 3 mm (не е критичен)

Височина на антената — около 2000 mm  $\approx 1 \lambda$

Входно съпротивление в точките на захранване XX — 240  $\Omega$ , симетрично

Усилване — около 9,5 dB

Затихване в посока „назад“ — около 14 dB

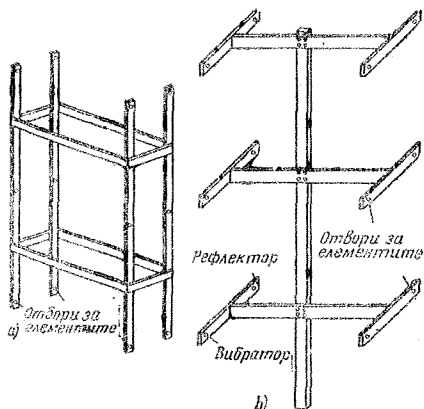
Хоризонтален ъгъл на развора ( $\alpha_R$ )  $\approx 60^\circ$

Вертикален ъгъл на развора ( $\alpha_H$ )  $\approx 50^\circ$

### 23.4.2. 16-елементна групови антена

Ако към трите платна на 12-елементната група се прибави и един четвърти етаж, се получава 16-елементна групови антена (фиг. 23.12). Широчината на хоризонталната диаграма на излъчването не се изменя, но вертикалният ъгъл на развора се намалява, при което усиляването нараства с около 1 dB и става около 10,5 dB.

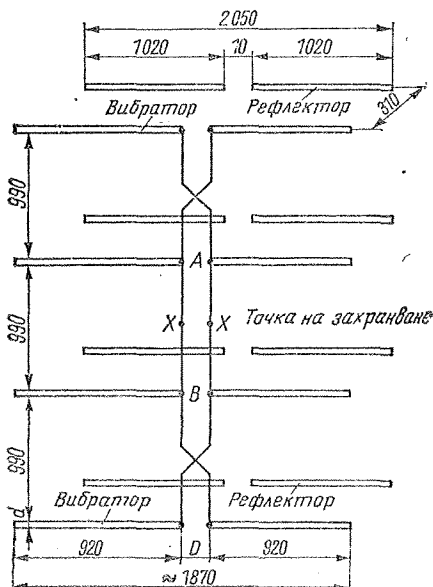
Свързващата линия А—В между втория и третия етаж не се кръстосва и представлява познатото вече паралелно свързване на два четвъртвълнови трансформатора. Нейните размери са критични, тъй като тя трябва да осигури съгласуване между излъчващата система и захранващата линия в точките XX. Ако съпротивлението в XX е, както обикновено 240  $\Omega$ , свързващата линия А—В се прави от проводници или тръби, чиито диаметри се отнасят към разстоянието среда на единия проводник — среда на другия проводник, както 1 : 18. При диаметър на проводника 3 mm например разстоянието би трябвало да бъде 54 mm.



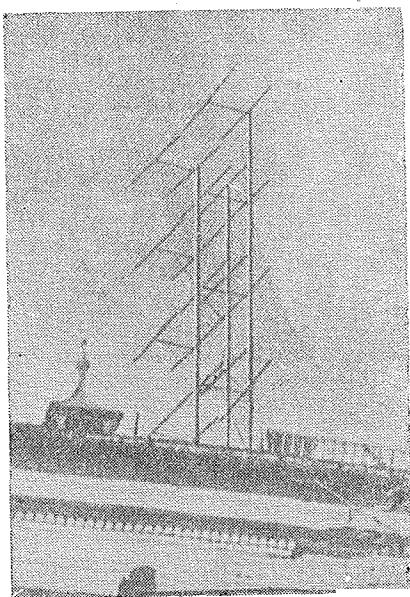
Фиг. 23.11. Носещи рамки за 12-елементни групови антени; а — особено стабилна рама, б — лека рама

Ако трябва да се захранва с 60-омов коаксиален кабел, налице са две възможности: Импедансът на захранването ( $240 \Omega$ ) се запазва, а коаксиалният кабел се включва посредством U-коляно (вж. раздел 7.5.). Втората възможност е самата свързваща линия А—В да изпълнява импедансно трансформиращи функции, така че да осигурява импеданс на захранването в точка ХХ, равен на  $60 \Omega$ . При това трябва да се спазва едно отношение диаметър/разстояние между проводниците на линията от 3 : 1. Въпреки че в последния случай входният импеданс отговаря на импеданса на кабела, нужно е да се извърши симетриране посредством четвъртвълново гърне или др. под. Разходите при двата горни варианта са от един и същи порядък.

Кабелът и симетриращото звено трябва да се отвеждат перпендикулярно на свързващата линия, за да се избегне всякакво влияние върху вълновото съпротивление на трансформиращата линия А—В. Механическите данни, посочени за 12-елементната групова антена



Фиг. 23.12. 16-елементна групова антена; вж. текста за размерите на свързващите линии А—В; диаметър на всички елементи = 10 mm; широчината на междината D се определя от оразмеряването на линията А—В



Фиг. 23.13. 16-елементна групова антена на ОЕ21G

на, по аналогия са валидни и за 16-елементната група. Фиг. 23.13 показва един пример за изпълнение на 16-елементен групов излъчвател.

#### Механични и електрически данни

Диаметър на елементите — 10 mm (допуска се до 12 mm)

Диаметър на кръстосаните проводници за връзка между етажите — 3 mm (не е критичен)

Линия А—В: отношение диаметър/разстояние = 1 : 18, например 3 mm : 54 mm (не е критично)

Височина на антенната група — около 3000 mm

Входно съпротивление —  $240 \Omega$ , симетрично

Усилване — около 10,5 dB

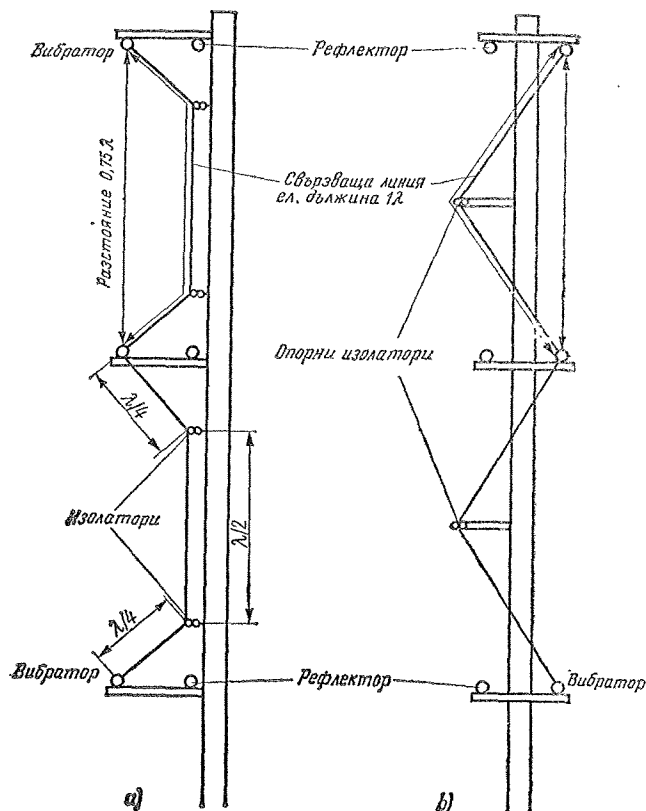
Затихване в посока „назад“ — около 14 dB

Хоризонтален ъгъл на разтвора ( $\alpha_F$ )  $\approx 60^\circ$

Вертикален ъгъл на разтвора ( $\alpha_H$ )  $\approx 42^\circ$

Груповите антени могат да се правят с много модификации в изпълнението и захранването. Двата примера, които





Фиг. 23.14  
Целовълновата свързваща линия позволява избирането на оптимално разстояние между етажите; а и б — примери за конструктивно изпълнение

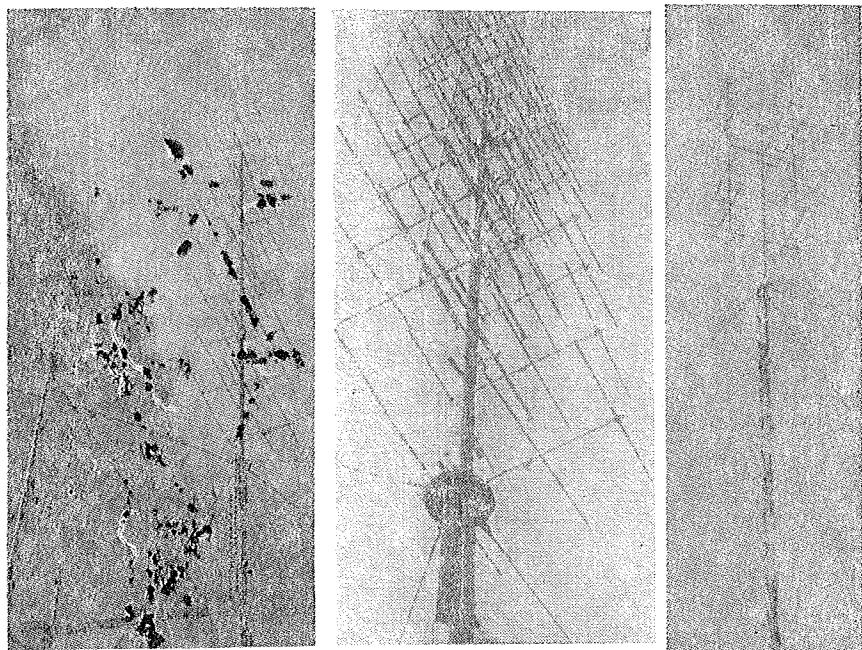
бяха посочени във връзка с по-горните теоретични пояснения, дават на читателя достатъчно подтици за собствени конструкции. В заключение към това — няколко указания.

В примерите беше прието между-етажно разстояние  $\lambda/2$ , тъй като разнасянето беше предварително определено от избраните полувълнови линии за връзка. Най-голямото възможно усиление на антената обаче се получава при разстояние между двата паралелни полувълнови или целовълнови диполи около  $0,65 \lambda$ . Това оптимално разстояние се мени при изменяне броя на платната, както следва:

- 2 платна — разстояние  $0,65 \lambda$
- 3 платна — разстояние  $0,75 \lambda$
- 4 платна — разстояние  $0,80 \lambda$
- 5 платна — разстояние  $0,83 \lambda$

- 6 платна — разстояние  $0,86 \lambda$
- 8 платна — разстояние  $0,90 \lambda$

Това са, разбира се, приблизителни стойности. Тези оптимални стойности за междуетажното разстояние се постигат чрез целовълнови свързващи линии. Тъй като обаче разстоянието между етажите винаги е по-малко от  $1 \lambda$ , линията се прекарва по начупена линия, за да се обере излишъкът от дължина. Фиг. 23.14 дава два примера на изпълнение. Методът от 23.14a има известно предимство пред този от 23.14b поради това, че двупроводната линия се поддържа на разстояние  $\lambda/4$  от вибраторите, т. е. в точки, в които има минимум на напрежението. По тази причина там могат да се използват къси опорни изолатори, към качествата на които не се предявяват



Фиг. 23.15. Образцово изпълнения групови антени; *a* — 48-елементна групова антена на *DL6MH*, вляво от нея — 12-елементна група, *b* — 48-елементна групова антена на *DL6MH*, *c* — 48-елементна групова антена на *DJ3EA*

никакви особени изисквания. При изпълнението, показано на фиг. 23.14*b*, линията се поддържа на разстояние  $\lambda/2$ , т. е. в максимума на напрежението, затова тук са необходими висококачествени опорни изолатори. При целовълновите линии трябва да се има предвид коефициентът на скъсяване, чиято стойност при паралелни двупроводни линии с въздушна изолация е 0,975, а при по-дебелите линии от паралелни тръби с въздушен диелектрик възлиза на 0,95. Могат да се използват също УКВ лентови кабели, симетрични шлаухови линии и ширмовани симетрични двупроводни линии. Техните коефициенти на скъсяване позволяват намалените съобразно този коефициент целовълнови линии да се прекарват без обходни пътища (*V* за различните типове кабели има стойности от 0,65 до 0,85). В противоположност на полувълновите свързващи линии при целовълновите линии не трябва да се прави кръстосване на врата

проводника, захранващи два съседни синфазно възбуджани етажа.

При етажиране на полувълнови диполи един над друг тяхното входно съпротивление намалява и добива минимална стойност при оптималното междуетажно разстояние. Целовълновите диполи, от които обикновено са съставени груповите антени, се държат в това отношение по точно обратния начин — при тях оптималното междуетажно разстояние съпада с едно повипаване на входното съпротивление.

На фиг. 23.15 са показани няколко групови антени, построени от любители, които биха могли да служат като образци.

#### 23.4.3. *HB9CV*-групова антена

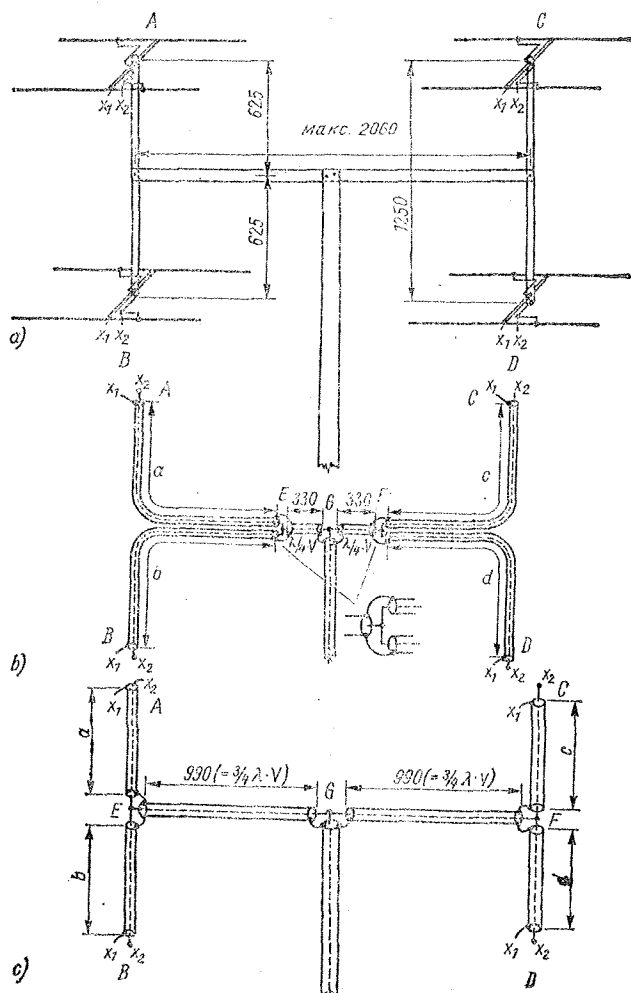
Антената *HB9CV* се характеризира с голямо усилване, ниска цена и малко съпротивление на вятъра. По тези причини идеята да се използва тя като съставен елемент на една групова антена

на съгласно раздел 22.1.2. е прима-  
лива. DM2AWD е конструирал една  
група от четири HB9CV-антени, която  
въпреки изключително малкия разход  
на материали е равностойна на една  
„9 над 9“ Яги-антена.

Използуваните HB9CV-системи са  
изпълнени съгласно фиг. 22.2 и имат  
входно съпротивление  $60 \Omega$  всяка. При  
групиране на системите, по начина,  
показан на фиг. 23.16a вертикалното  
разнасяне между елементите А и В,  
както и между С и D, е 1250 mm; то

отговаря на  $0,6\lambda$ , следователно е близко  
до оптималното (минимално разна-  
сяне  $0,5\lambda$ ). Хоризонталното разнасяне  
между А и С, респ. между В и D, при-  
мерно между центровете на елементите,  
е избрано 2060 mm ( $=1\lambda$ ). Групата е  
в целометално изпълнение.

Захранването на тази четворна група  
е изпълнено много просто и разумно,  
като е използван изключително 60-  
омов коаксиален кабел. Възбуждането  
на системите става по начина, показан  
на фиг. 23.16b и фиг. 23.16c, като за

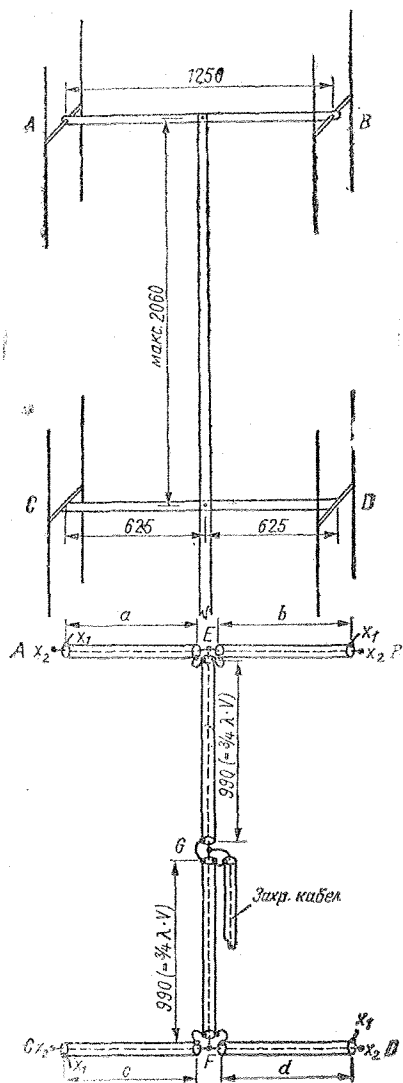


Фиг. 23.16  
Хоризонтално по-  
ляризирана HB9CV  
група—конструктив-  
но изпълнение и  
захранваща система

прегледност са показани само линиите, към краищата на които ( $X_1$  и  $X_2$ ) се включват отделните *HB9CV*-антени. Всички свързващи отрязъци са от един и същ 60-омов кабел, като този, с който се извършва изобщо захранването. По-

следният се включва в централната точка *G*.

Предполага се, че входните съпротивления на четирите отделни системи *A*, *B*, *C* и *D* лежат близо до стойността 60  $\Omega$ . Кабелните отрязъци *a*, *b*, *c* и *d* могат да бъдат включени към принадлежащите точки на захранване  $X_1$  и  $X_2$ , като ще бъде налице импедансно съгласуване и входните импеданси, без да зависят от дължините на линиите, ще се явят без изменение в краищата *E*, респ. *F* на линиите. При това положение дължините на отрязъците *a*, *b*, *c* и *d* могат да бъдат произволни и се избират съобразно механичните изисквания. Съществено е обаче дължините на четирите отрязъка да бъдат точно равни, тъй като в противен случай ще се появят разлики във времето за разпространение, респ. — фазови разлики. Практически дължините на отрязъците *a*, *b*, *c* и *d* биха могли да бъдат при изпълнение съгласно фиг. 23.16*b* по 1285 mm или при изпълнение съгласно фиг. 23.16*c* — по 625 mm. В точките *E*, респ. *F* линиите *a* и *b*, респ. *c* и *d* са включени паралелно. Това паралелно включване на импеданси от по 60  $\Omega$  дава резултатен импеданс в точката *E*, респ. *F*, 30  $\Omega$ . Между *E* и *G*, както и между *F* и *G*, са въведени четвъртвълнови трансформатори (вж. раздел 6.5.). Те представляват също отрязъци от 60-омов кабел и имат електрическа дължина  $1/4 \lambda$  (фиг. 23.16*b*). Същите трансформаторни свойства имат проводниците, чиито електрически дължини са нечетно число пъти кратни на  $1/4 \lambda$ . Затова във варианта, показан на фиг. 23.16*c*, е използвана трансформираща линия с електрическа дължина  $3/4 \lambda$ . Като се вземе предвид скъсяващият фактор *V*, който при 60-омови кабели с пълтен (без въздушни междини) полиетиленов диелектрик обикновено има стойност 0,66, за механическите дължини на двата четвъртвълнови трансформатора от фиг. 23.16*b* се получават по 330 mm ( $1/4 \lambda \cdot 0,66$ ). При еквивалентното от електрическа гледна точка изпълнение според фиг. 23.16*c* дължините им са по 990 mm ( $3/4 \lambda \cdot 0,66$ ). От важещото за четвъртвълновите трансформатори съотно-



Фиг. 23.17. Вертикално поляризирана *HB9CV*-група — конструктивно изпълнение и захранващи системи

$$Z_A = \frac{Z^2}{Z_B}$$

следва, че всеки трансформатор създава в точка G по един импеданс  $Z_A = 120 \Omega$  ( $Z_A = \frac{60^2}{30} = 120$ ). Тъй като в тази

точка пак е налице паралелно свързване на два импеданса, резултиращият импеданс в централната точка на захранването е  $60 \Omega$ , така че като захранващ кабел може да се използва 60-омов кабел, включен в точка G. Получава се правилно импедансно съгласуване и синфазно възбуждане на четирите единични системи. За осигуряване на синфазно съгласуване трябва да се съблюдава и правилното включване на краищата на свързващите линии към вибраторите на отделните *HB9CV*-платна. Всички  $\gamma$ -членове в точките на свързване на кабела трябва да сочат в една и съща посока.

В точките на свързване E, F и G трябва да се свържат един с друг всички външни и вътрешни линии, при което трябва да се осигури уплътняване на връзките срещу корозия (пластмасови лепила, заливни смоли). Вибраторната система според фиг. 23.16с, която е еквивалентна в електрическо отношение, има известни предимства, тъй като при нея е необходимо по-малко количество кабел.

При хоризонтално разнасяне A—C, респ. B—D, равно на  $1 \lambda$ , се постига малък хоризонтален ъгъл на разтвора от около  $30^\circ$ ; едновременно с това

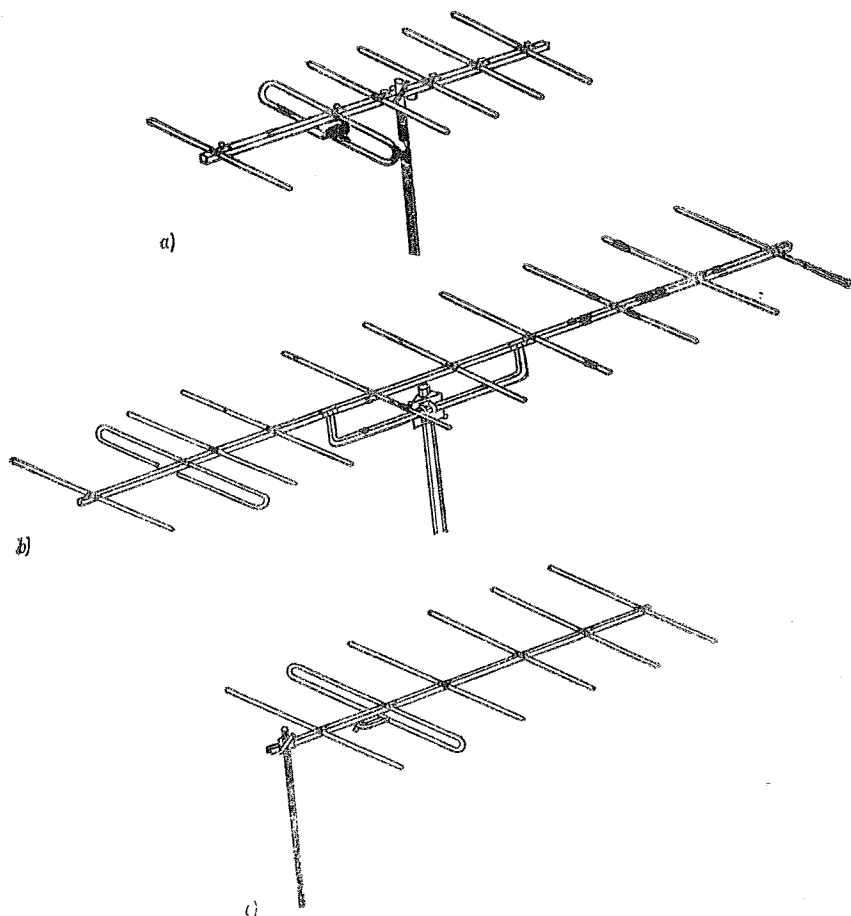
вследствие на относително голямото разнасяне се появяват и два силно изразени странични листове в хоризонталната диаграма. По тази причина е полезно тези разстояния да се намалят на 0,6 до  $0,7 \lambda$  ( $=1250$  до  $1450$  mm). В този случай страничните листове изчезват и хоризонталният ъгъл на разтвора нараства на около  $40^\circ$ . При това намаляване на системата спада и натоварването от вятъра. Вертикалният ъгъл на разтвора е около  $55^\circ$ , така че усиляването на антената е от порядъка на 11 dB.

Особено подходяща за използване е групата от четворка *HB9CV*-антени при вертикална поляризация, както е показано на фиг. 23.17. Представеното конструктивно изпълнение осигурява липсата на неблагоприятни влияния върху характеристиката на излъчване от страна на металната носеща конструкция. При това изпълнение също е препоръчително да се намали разстоянието 2060 mm на около 1450 mm и въз основа на механични съображения трансформиращите кабелни отрязъци да се оразмерят съобразно фиг. 23.16b като електрически  $\lambda/4$  отрязъци (330 mm). При вертикална поляризация хоризонталният ъгъл на разтвора има стойност около  $55^\circ$ , а вертикалният ъгъл на разтвора — около  $40^\circ$ . И тук може да се очаква усиляване от порядъка на 11 dB.

## 24. Яги-антени и групови излъчватели за 70-сантиметровия любителски обхват

В областта на дециметровите вълни, в която на любителите е предоставен 70-сантиметровият обхват, общо взето, най-широка употреба намират дългите Ягита. Сравнително слабата „насе-

леност“ на този обхват не оправдава инвестирането на много средства за сложни антенни системи. По тази причина любителят обикновено се захваща за една антена, с която при минимални



Фиг. 24.1. Закрепване на СВЧ-антената към мачтовата тръба: *a* — грешно закрепване, тръбата минава между елементите и е странично изместена, *b* — добро решение, закрепване върху надлъжна опора, *c* — най-добро решение, антената е пред опорната тръба

разходи за механиката се постига максимално усилване. На такова изискване най-добре отговарят дългите Яги-антени. Възраженията срещу малкия хоризонтален ъгъл на разтвора тук нямат съществено значение, тъй като повечето връзки на 70 cm се правят като добавка към една връзка на 2 m със същата насрещна станция, така че повикателният знак и местоположението на 70-сантиметровия партньор са в повечето случаи известни и антената може да бъде подходящо насочена. Практически всеки 70-сантиметров любител работи също и на сравнително гъсто заселения 2-метров обхват и използва последния за подготвяне на 70-cm връзки.

За близки връзки на 70 cm се използват също и къси Яги-антени. И накрая този, който не иска много често да върти антената си, ще намери за удобна една групова антена.

В дециметровия обхват честотнозависимите загуби рязко нарастват, затова използването на изолатори, вкл. и на висококачествени такива, трябва да се избягва. Най-добрият изолатор в случая си остава въздухът. Захранващите линии трябва да се правят възможно най-къси! Плоският УКВ лентов кабел в най-добрия случай би могъл да се ползва при работа с портативни станции като временен „кабел за хубаво време“. За стационарна работа са подходящи най-добри коаксиални кабели (по възможност с въздушни междини в диелектрика).

При механическото изпълнение на дециметровите антени трябва особено много да се внимава да не се получат деформации на полето, възникващи вследствие на нецелесъобразно монтирани метални части. Това важи особено за антенната мачта. Тя не трябва нито да стърчи между елементите, нито да бъде странично изместена спрямо трегера на елементите. Тези две грешки са показани като отрицателен пример на фиг. 24.1a. В метровия обхват такова едно закрепване е съвсем обикновено и допустимо; при една антена за дециметровия обхват обаче то предизвиква значително влошаване на качествата на антенната. Къси 70-сантиметрови Ягига могат да се укрепят директно върху сравнително тънка мачта, ако се съблюдава изискването антенният трегер да е фиксиран непо-

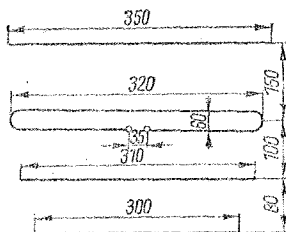
средствено на върха на мачтата и да не е изместен встрани от нея. По-дългите Яги-антени се укрепват посредством подпора, както е показано на фиг. 24.1b. 70-cm Ягита се правят предимно в целометално изпълнение. Това положение е взето предвид при данните за размерите на следващите описания на антени. Когато не е изрично посочена друга стойност, диаметърът на антенния трегер (стрелата) се приема, че е между 15 и 25 mm. Всички данни са дадени в mm.

#### 24.1. 4-елементна Яги-антена с широка честотна лента

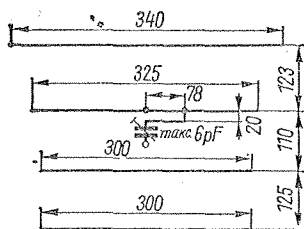
Четириелементната Яги-антена, дадена на фиг. 24.2, може да бъде използвана в честотния обхват от 400 MHz до 470 MHz. Тя има входно съпротивление около 240  $\Omega$  и бя трябвало поради споменатите вече причини да се захрани с коаксиален кабел посредством полуълново U-коляно (вж раздел 7.5.). Ако за U-коляното се използва обикновен коаксиален кабел, който има скъсяващ фактор 0,66, геометричната дължина на коляното възлиза на 228 mm. Ако се използва специален кабел с малки загуби, например такъв с въздушни междини в диелектрика (напр. тип 60-7-3), скъсяващият фактор е от порядъка на 0,77 и геометричната дължина на коляното ще възлезе на 226 mm. Не трябва да се опасяваме от стесняване на честотната лента вследствие използването на U-коляното.

##### Механични и електрически данни

Диаметър на елементите — 4 до 8 mm  
Дължина на антената — 335 mm



Фиг. 24.2. 4-елементно широколентово Яги 3a  
435 MHz

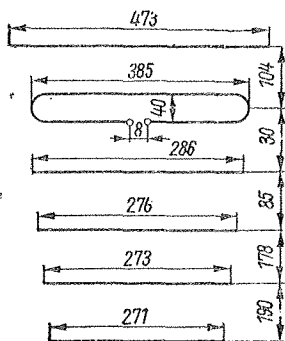


Фиг. 24.3. 4-елементно Яги с гама-съгласуване

Входно съпротивление — около 240  $\Omega$ , симетрично  
 Усилване — около 6,5 dB  
 Хоризонтален ъгъл на разтвора ( $\alpha_E$ )  $\approx 60^\circ$   
 Вертикален ъгъл на разтвора ( $\alpha_H$ )  $\approx 100^\circ$

## 24.2. 4-елементна Яги-антена с гама-съгласуване

Тази антена за 70 cm е предназначена за директно включване към коаксиален кабел; несиметричността на точката на захранване се постига с гама-съгласуване. Тримерът (макс. капацитет около 6 pF) е включен серийно на жилото на кабела. Той служи, както вече беше обяснявано, да компенсира реактивната съставка с индуктивен характер, която се въвежда от гама-съгласуването. Тази антена може да бъде препоръчана особено много за портативна работа (фиг. 24.3).



Фиг. 24.4. 6-елементно Яги за 70-см обхват

## Механични и електрически данни

Диаметър на елементите — 8 mm  
 Диаметър на трегера (стрелата) — 15 mm  
 Диаметър на проводника за гама-съгласуването — 2 mm, CuAg  
 Входно съпротивление — 50 до 60  $\Omega$ , несиметрично  
 Дължина на антената — 365 mm  
 Включване на кабела: вътр. проводник (жилото) — последователно, през тримера;  
 външен проводник (оплетка) — в заземената средна точка на елемента  
 Усилване — около 6,5 dB  
 Затихване в посока „назад“ — около 14 dB  
 Хоризонтален ъгъл на разтвора ( $\alpha_E$ )  $\approx 60^\circ$   
 Вертикален ъгъл на разтвора ( $\alpha_H$ )  $\approx 100^\circ$

## 24.3. 6-елементна Яги за 435 MHz

Тази 6-елементна антена може да се разглежда като преходна към категорията на дългите Яги-антени. При едно усилване от около 9 dB тя осигурява добро съотношение между мощност и разноси по изпълнението ѝ. При използването ѝ за стационарна работа се препоръчва захранване с коаксиален кабел. За целта в точката на захранване трябва да се включи полувълново U-коляно, както бе описано в раздел 2.1. Скицата с размерите е дадена на фиг. 24.4.

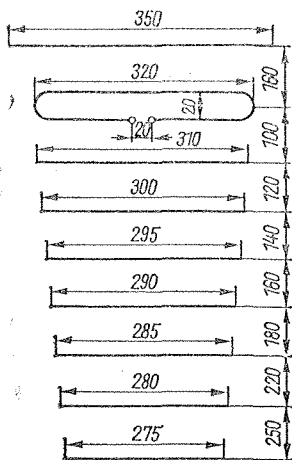
## Механични и електрически данни

Диаметър на елементите — 6 до 10 mm  
 Дължина на антената — 590 mm  
 Изпълнение на захранвания елемент — вж. фиг. 24.8b  
 Входно съпротивление — около 240  $\Omega$ , симетрично  
 Усилване — около 9 dB  
 Затихване в посока „назад“ — около 15 dB  
 Хоризонтален ъгъл на разтвора ( $\alpha_E$ )  $\approx 50^\circ$   
 Вертикален ъгъл на разтвора ( $\alpha_H$ )  $\approx 63^\circ$

## 24.4. 9-елементна антена дълго Яги

На фиг. 24.5 е показана строителната схема на едно дълго Яги, чиято дъл-





Фиг. 24.5. 9-елементно дълга Яги за 70-см обхват

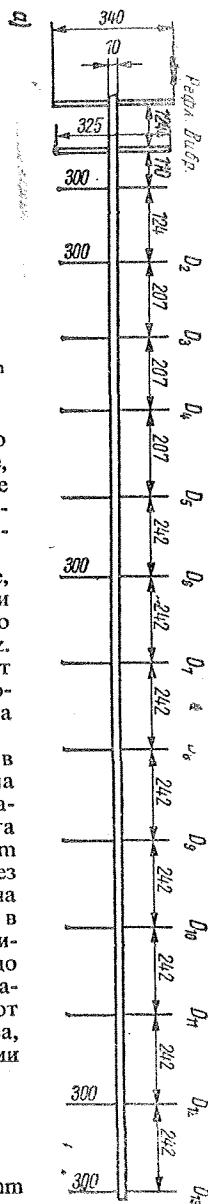
жина е почти 2 л. Тук се касае за едно сравнително теснолентово изпълнение, което обаче ще позволи да се покрие без намаляване на усилването използваният в Европа 70-сантиметров любителски обхват.

В тази връзка трябва да се спомене, че 70-см обхват е зает от любителски станции само в участъка от 432 до 436 MHz, по-рядко — до 438 MHz. Това, от една страна, е следствие от регионалното разпределение на честотите, което съгласно международната договореност (Женевските решения, 1959) допуска за любителска дейност в I район — Европа, Азиатската част на СССР, Африка — да се използва участъкът между 430 и 440 MHz. От друга страна, предавателната честота в 70-см обхват почти винаги се получава чрез утрояване на изходната честота на един 2-метров предавател. Тъй като в I район в 2-метровия обхват за любителите е отреден участъкът 144 до 146 MHz, излиза практически, че работният обхват на 70 см ще бъде от 432 до 438 MHz. От всичко това следва, че за работа на 70 см не са необходими особено широколентови антени.

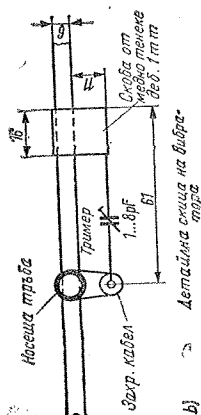
Механични и електрически данни

Диаметър на елементите — 4 до 6 mm  
Дължина на антената — 1335 mm

Входно съпротивление — около 240  $\Omega$ ,  
симетрично  
Усилване — около 11,5 dB  
Затихване в посока „назад“ — около  
19 dB



Фиг. 24.6. 15-елементно дълго Ягн на  $DL \varnothing SZ$ ; *a* — схема на конструкцията, *b* — чертеж на захранвания елемент



Хоризонтален ъгъл на разтвора ( $\alpha_H$ )  $\approx 44^\circ$   
Вертикален ъгъл на разтвора ( $\alpha_V$ )  $\approx 48^\circ$

#### 24.5. 15-елементно дълго Яги по DLØSZ

Това дълго Яги, представено на фиг. 24.6, е дълго 4,35  $\lambda$  (отнесено към 435 MHz) и дава усиление 15,2 dB. Съгласуването на коаксиалния кабел, предвиден за захранване на антената, се извършва чрез един опростен гама-член (вж. детайлната скица от 24.6b). Въпреки че оригиналното изпълнение е за захранващ кабел с вълново съпротивление 52  $\Omega$ , за целта може да се използва и 60-омов кабел, без да е необходимо каквото и да било изменение в системата, тъй като тримерът в гама-члена (изменение по капацитет 1...8 pF) позволява точно напасване. Този тример трябва да бъде защитен срещу влияния на времето, като се постави във водонепроницаема пластмасова кутийка.

Външният предпазен шланг на захранващия кабел трябва да се отстрани по протежение на 15 mm от края на кабела. Освободената оплетка (външният проводник на кабела) се увира с посребрен проводник 1 mm и се запоява, а последният се свързва стабилно и сигурно към заземената средна точка на вибратора. Вътрешният проводник на кабела се свързва с тримера. Всички краища трябва да се запоят много добре и да се защитят от проникване на влага.

Всички директори имат една и съща дължина — 300 mm — и са изготвени от дуралуминиеви пръчки с кръгло сечение и диаметър 4 mm. Дългят почти 3 m носач на елементите е от стабилна тръба (дурал или стомана) с диаметър 10 mm, на която са направени съответни отвори, поемащи елементите.

#### Механични и електрически данни

Диаметър на захранвания елемент и рефлектора — 6 mm, а на директорите — 4 mm

Антенен трегер (стрела) — 10 mm диаметър

Дължина на антената — 2920 mm

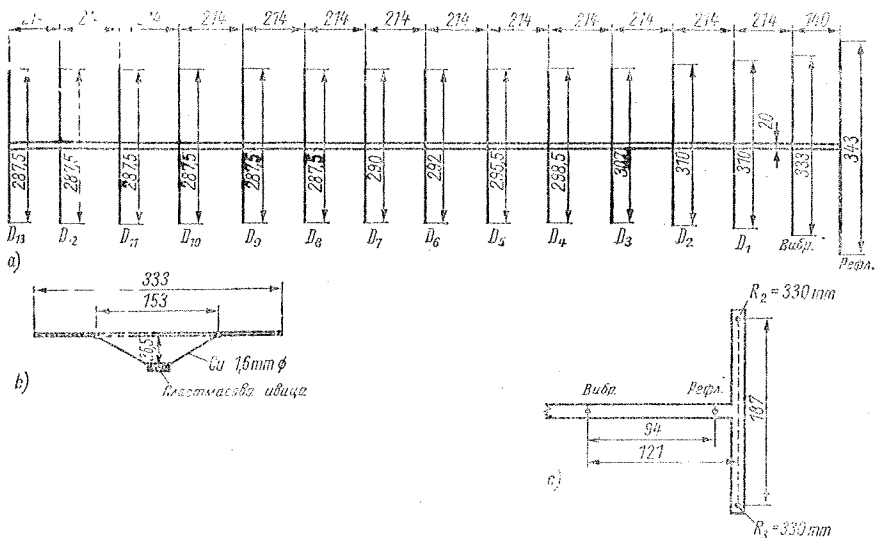
Входно съпротивление — 50 до 60  $\Omega$ , несиметрично  
Усиление — около 15 dB  
Затихване в посока „назад“ — около 22 dB  
Хоризонтален ъгъл на разтвора ( $\alpha_H$ )  $\approx 28^\circ$   
Вертикален ъгъл на разтвора ( $\alpha_V$ )  $\approx 30^\circ$

#### 24.6. 15-елементно дълго Яги по WØEYE

От WØEYE беше разработена една конструкция на 15-елементно дълго Яги, позволяващо по-нататъшно разширение, която е изпитана с успех вече много пъти. При относителна дължина на антената 4,2  $\lambda$  с нея се постига едно усиление от 14 dB. Конструктивните подробности на антената се виждат от фиг. 24.7. Входното съпротивление в точката на захранване е доведено до 50  $\Omega$ , симетрично, посредством просто делта-съгласуване; чрез малки измествания на точките на включване към вибратора могат да се получат и други стойности на входното съпротивление (фиг. 24.7b). За правилно свързване към коаксиалния кабел е необходимо разсиметриращо устройство, като например Pawsey-звено или четвъртвълново гърне (вж. раздел 7.).

Всички елементи са с диаметър 5 mm (тръби или пръчки) и се поемат от метален трегер с диаметър 20 mm и дължина 2,95 m.

Малко необичайна е възможността за разширяване на антената и довеждането ѝ до 17-елементна система чрез добавяне на допълнителните елементи  $R_2$  и  $R_3$ . В този случай разстоянието между рефлектора и захранвания елемент трябва да се намали на 94 mm.  $R_2$  и  $R_3$  се монтират над, респ. под, плоскостта на антенното платно и са отдалечени от захранвания елемент повече, отколкото рефлекторът. Допълнителните елементи  $R_2$  и  $R_3$  не могат да бъдат наречени рефлектори, тъй като тяхната геометрична дължина е малко по-малка от тази на захранвания елемент. Посредством това разширяване на излъчвателния център (вж. раздел 22.3.) се постига увеличаване на усиляването 0,5 dB, като при това входното съпротивление не се изменя.



Фиг. 24.7. 15-елементно Яги на *W0YVE*: *a* — схема на конструкцията, *b* — чертеж на захранвания елемент, *c* — разширен вариант с допълнителни елементи  $R_2$  и  $R_3$  (разрез)

### Механични и електрически данни

Диаметър на елементите — 5 mm  
 Трегер (стрела) — 20 mm диаметър  
 Дължина на антената — 2930 mm  
 Входно съпротивление — 50  $\Omega$ , симетрично  
 Усилване — 14 dB (респ. 14,5 dB)  
 Затихване в посока „назад“ — около 21 dB  
 Хоризонтален ъгъл на разтвора ( $\alpha_E$ )  $\approx 30^\circ$   
 Вертикален ъгъл на разтвора ( $\alpha_H$ )  $\approx 35^\circ$

### 24.7. 18-елементно широколентово дълго Яги

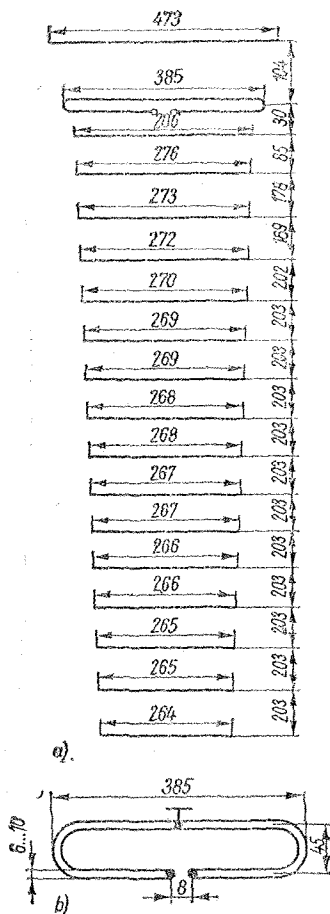
Това дълго Яги, конструирано по модерните принципи, доказва, че е възможно също и при сравнително широка лента да се постигне оптимално усилване, както и това, че входното съпротивление може да бъде задържано около 240  $\Omega$  въпреки големия брой елементи. С такива модерни излъчвателни системи радиолюбителят встъпва в крак със съвременните тенденции, наблюдаващи се в развойните бази на индустрията за телевизионни антени. Въпреки че за любителските нужди не

се изискват такава ширина на честотната лента, тя не е недостатък, стига да може да се постигне оптимално усилване, както става в случая.

На фиг. 24.8 са дадени всички размери на тази препоръчителна антена. Едно съкратяване, респ. намаляване, на броя на елементите във вълноводната система (вж. фиг. 22.7), е напълно възможно като при това входното съпротивление не се изменя. Възбудителният център и преходната зона се простират до директор 3, така че, като се започне от най-външния директор, може да се премахнат произволен брой директори на вълноводната система. Разбира се, усилването на антената съответно намалява и ъглите на разтвора се увеличават.

### Механични и електрически данни

Диаметър на елементите — 6 до 10 mm  
 Дължина на антената — 3030 mm  
 Входно съпротивление — около 240  $\Omega$ , симетрично  
 Усилване — около 16 dB  
 Затихване в посока „назад“ — около 24 dB  
 Хоризонтален ъгъл на разтвора ( $\alpha_E$ )  $\approx 25^\circ$



Фиг. 24.8. 13-елементно широколентово дълго Яги за 70 см; *a* — схема на конструкцията, *b* — чертеж на захранващия елемент

Вертикален ъгъл на разтвора ( $\alpha_H$ )  $\approx 25^\circ$   
 Препоръчва се захранването да става с коаксиален кабел и полувъртено U-коляно.

## 24.8. 12-елементен групов излъчвател за 70 см

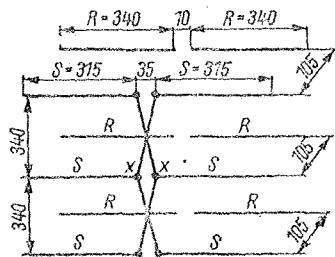
Груповите антени могат да бъдат използвани с успех и на 70 см. В този

честотен обхват широчината на лентата на груповите излъчватели е от порядъка на 50 MHz. Въпреки това антени от този тип се използват доста рядко в дециметровия обхват поради сравнително големите разходи за механична обработка.

Общо взето, трябва да се внимава да не се допусне използването на каквито и да било изолационни материали в точките на захранване, респ. в крайщата на свързващите линии (максимум на напрежение!). Там трябва задължително да се предвиди въздушна изолация. Освен това групата трябва да се намира пред двата вертикални трегера (съобразно показаното на фиг. 24.1с). На фиг. 24.9 са дадени механичните размери на един 12-елементен групов излъчвател. Поясненията, дадени в раздел 23., важат съответно и за групови антени в дециметровия обхват.

## Механични и електрически данни

Диаметър на елементите — 3 до 5 mm  
 Диаметър на свързващите проводници — 1 до 3 mm (не е критичен)  
 Височина на антената — 680 mm  
 Съпротивление в точката на захранване (XX) — около 240  $\Omega$ , симетрично  
 Усилване — около 9,5 dB  
 Затихване в посока „назад“ — около 14 dB  
 Хоризонтален ъгъл на разтвора ( $\alpha_E$ )  $\approx 60^\circ$   
 Вертикален ъгъл на разтвора ( $\alpha_H$ )  $\approx 50^\circ$



Фиг. 24.9. 12-елементна групова антена за 70-см обхват

## 25. УКВ антени с кръгова диаграма на излъчването

В някои случаи е желателно използването на кръгови излъчватели, т. е. на антени, чиято диаграма на насоченост в хоризонталната равнина е кръгообразна.

Не е трудно да се създаде кръгов излъчвател за УКВ с вертикална поляризация, тъй като всеки вертикално поставен полуълнов дипол излъчва кръгообразно в посока напречно на своята ос — т. е. в хоризонталната равнина. Такива вертикално поляризиращи кръгови излъчватели се използват често за връзка в транспорта и в други изменящи положения си свързочни пунктове. Все по-често се използва вертикална поляризация и на 2-метровия любителски обхват, тъй като повечето от станалите вече много популярни ЧМ транслатори работят с вертикално поляризиращи кръгови излъчватели.

По начало е много трудно, а за любителите и практически невъзможно да се конструира една хоризонтално поляризираща антена с точно кръгова хоризонтална диаграма. Идеална кръгова характеристика обаче в повечето случаи не е необходима, затова кръгови излъчватели се наричат всички антени, които повече или по-малко добре излъчват във всички посоки на хоризонталната равнина и в тяхната хоризонтална диаграма липсват ясно изразени посоки на нулево или на максимално излъчване.

### 25.1. Вертикално поляризиращи кръгови излъчватели за УКВ

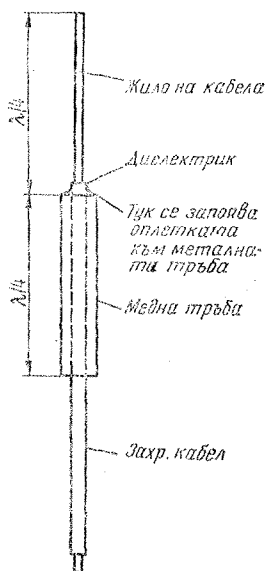
Въпреки че вертикално монтираните полуълнови диполи, както и „граунд плейн“ антените теоретически би трябвало да осигуряват добра кръгова диаграма в хоризонталната плоскост, не винаги с тези типове антени на УКВ

може да се получи желаното действие. Това се отнася особено много за централно захранваните диполи, при които фидерът трябва да бъде изведен хоризонтално от точките на захранването. В този случай захранващата линия влияе върху излъчвателните характеристики на антената, като деформира в определена степен диаграмата ѝ, а съгласуването с излъчвателя, успоредно с увеличаването на честотата, става все по-трудно. Освен това вследствие на несиметрията по екраниращата оплетка на кабела могат да възникнат повърхностни вълни, които да предизвикат загуби в излъчването и, общо взето, да предизвикат повдигане на вертикалния ъгъл на излъчване. Винаги е за предпочитане обаче излъчването под нисък ъгъл, т. е. посоката на главното излъчване трябва да бъде по възможност перпендикулярно на оста на излъчвателя. От това е ясно, че критерият за вертикално поляризиращи излъчватели лежи в начина на захранването. По тази причина бяха разработени антенни форми, които се захранват така, че позволяват постигането на добро съгласуване и безупречно симетриране без големи разходи. Захранването при това се извършва предимно чрез коаксиални кабели.

#### 25.1.1. Коаксиална антена

Тази антена (фиг. 25.1) е много подходяща като вертикално поляризиращ кръгов излъчвател за мобилни станции (станции на коли). Тя е УКВ вариант на дискутираната в раздел 19.4.2.1. „ръкавна“ антена (вж. фиг. 19.24).

От парче 60-омов коаксиален кабел с възможно най-голям диаметър на вътрешния проводник (например тип 60-10-2 с диаметър на вътрешния проводник 2,26 mm) се отстраняват външното предпазно покритие по протеже-



Фиг. 25.1. Коаксиална антена

ние на дължина електрическа  $\lambda/4$  (около  $\lambda/4 \cdot 0,97$ ), външният проводник е диелектрикт, така че да остане само голяият вътрешен проводник (жилото). След това една медна или месингова тръба с дължина също така електрическа  $\lambda/4$  се пъха върху кабела и както показва фиг. 25.1, се запоява към външния проводник на кабела. Скъсяващият фактор при тръбата може да се приеме, че е 0,95, тъй като коаксиалният кабел действа като голям капацитивен товар в краищата ѝ. Диаметърът на тръбата е произволен: стига вътрешният ѝ диаметър да позволява вкарването на кабела да става без затруднения.

Тук по принцип се касае за един вертикален полуълнов излъчвател, чийто долен  $\lambda/4$ -отрязък същевременно изпълнява ролята на четвъртълново гърне за осигуряване на симетрирането. Съгласуването и симетрирането тук са почти идеални, затова коаксиалната антена има излъчване под малък ъгъл и точно кръгова диаграма.

При по-тежки експлоатационни изисквания, като например при мобилна работа, се препоръчва дългият  $\lambda/4$  свободен вътрешен проводник да се замени с еластична пръчка от автомобилна антена и с подобен подходящ материал.

## 25.1.2. Вертикален полуълнов излъчвател

Както се вижда от фиг. 19.7, един вертикален полуълнов излъчвател осигурява по-малък ъгъл на излъчване, отколкото един четвъртълнов излъчвател и с това — едно усиляване от почти 3 dB. Възбуждането на един  $\lambda/2$  излъчвател обаче е проблематично. Ако той бъде срязан в средата и захранен там, както това по правило се върши в хоризонталните диноли, би трябвало фидерът да се изведе перпендикулярно, т. е. хоризонтално, на разстояние поне  $\lambda/2$ , тъй като в противен случай възниква разсъгласуване и силно изкривяване на излъчвателната характеристика. По същите причини тук не могат да се използват вертикални метални или заземени носещи мачти, които от механични съображения трябва да навлизат в излъчвателното поле на дипола. Монтажът чрез използване на максимално дълга хоризонтална конзола (монтаж пред мачтата) също не представлява удобно и категорично решение на въпроса. По-подходящо изглежда захранването по напрежение в долния край на излъчвателя. Впрочем в тази точка е налице максимум на напрежението и входният импеданс е няколко хиляди ома в зависимост от отношението дължина/диаметър на излъчвателя. Този висок импеданс трябва да се трансформира до една стойност, която отговаря на вълновото съпротивление на предвидения захранващ кабел.

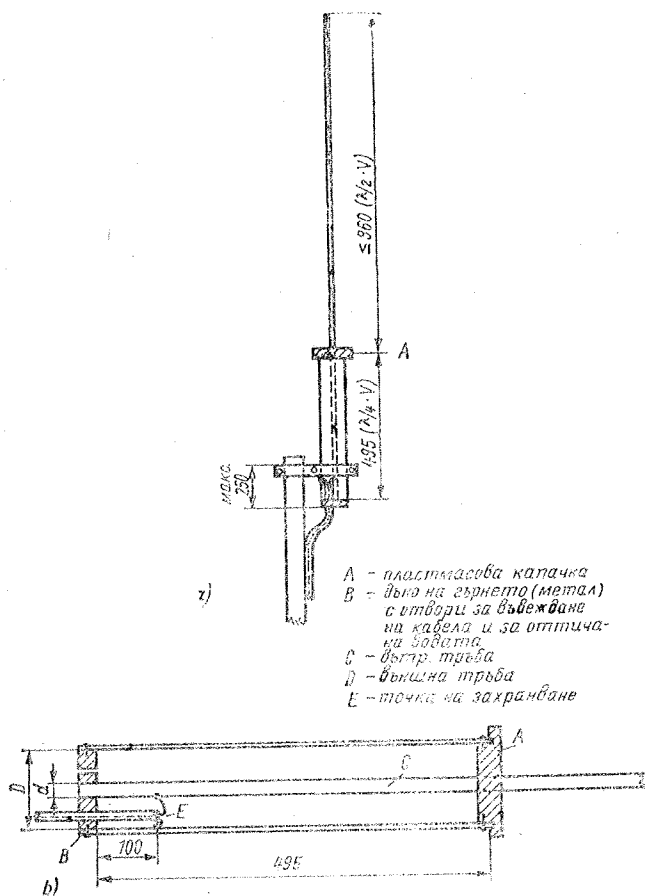
Съгласуването на съпротивленията става най-лесно, като се използва една дадена нахъс четвъртълнова линия. Така се получава дадената на фиг. 19.26 J-антена. В края на четвъртълновата линия, образувана от паралелните тръби и включена към края на полуълновата пръчка, се получават всички импеданси от 0 (късо съединение) до няколко хиляди ома (отворена накрая), така че чрез подходящо извезждане може да стане напасване към какъв да е кабел. Разстоянието между двете паралелни тръби е 10 до 20 mm, така че захранващият кабел може да се помести в празното пространство между тях. Разстоянието между тръбите и техния диаметър, а с това и вълновото съпротивление на образуваната от тях линия в случая не са определя-

щи — важно е дължината на линията да бъде  $\lambda/4$ . Точката на късото съединение в основа е заземена така, че цялата антена получава потенциала на земята. При обща дължина само 1,5 m за 2-метровия обхват антената се изпълнява като самоподдържаща се конструкция, в която носещата мачта и излъчвателят образуват едно единно цяло. Скъсяващият фактор  $V$ , който трябва да се взема предвид при оразмеряването на дължината, зависи от съотношението дължина/диаметър ( $\lambda/d$ ) на излъчвателя (вж. фиг. 3.7).

Както са показали практическите експерименти, с това J-изпълнение не може да се постигне пълно премахване

на стоящите вълни в захранващия кабел. Причината за това е фактът, че самият четвъртвълнов участък от двете паралелни тръби също излъчва и върху мачтовата част под четвъртвълновата линия също се създават стоящи вълни. Този недостатък може да се отстрани, ако четвъртвълновата линия се изпълни като коаксиално режекторно гърне. Този по-съвършен от електрическа и механическа гледна точка вариант на J-антената е показан на фиг. 25.2; той е известен между любителите под името антена със заграждащо гърне.

Свободната дължина на полувълновия участък при тънки антенни пръчки (напр. телескопични антени) е



Фиг. 25.2  
 $\lambda/2$ -антена със заграждащо гърне: а — схема на конструкцията, б — заграждащо гърне

960 mm, а при по-дебели тръби (над 10 mm) е 950 mm (вж. фиг. 3.7). Връзката между излъчвателя и вътрешния проводник на заграждащото гърне се извършва чрез завинтване или запояване. При наличие на подходящ материал може излъчвателят и вътрешният проводник на гърнето да се направят като единно цяло. Механичните данни за изпълнение на заграждащото гърне, дадени на фиг. 25.2b, са по-скоро препоръки, които трябва да се развиват и налагат към конкретния материал, с който разполагаме, като във всички случаи обаче се запазва постоянна дължината на действащото вътрешно пространство, равна на 495 mm. Добре е отношението на диаметрите  $D:d$  да бъде избрано около 3:1 до 4:1 (напр.  $D=28$  mm и  $d=8$  mm). Горният електрически отворен край на гърнето се затваря с една стругована от пластмаса част (А), която затваря гърнето като капак и същевременно държи и центрира вътрешния проводник. Стругованият периферен издатък осигурява гърнето срещу проникване на дъждовна вода. За дъно на гърнето се стругова диск от метал, който поема централно вътрешния проводник (който се запоява към диска). В това дъно се пробива отворът, през който преминава захранващият кабел, и още един по-малък отвор за оттичане на кондензната и евентуално дъждовната вода. Металното дъно и пластмасовият похлунак се фиксират към външната стена на гърнето с по 3 болтчета.

Преди поставянето на външната тръба на гърнето захранващият кабел се запоява към вътрешния проводник на гърнето на 100 mm над дъното му. На същата височина във външната стена на гърнето се прави отвор, през който се прокаква проходен проводник и същият се запоява към оплетката на коаксиалния кабел. При вкарването на външната тръба на гърнето този проводник се изтегля през споменатия отвор, докато краят на кабелната оплетка излезе през него. Този край се запоява към стената на гърнето. Металната екранираща оплетка на кабела трябва да има електрически контакт с гърнето само в тази точка. Външната и вътрешната тръба на гърнето се правят от мед или месинг. Подходящи са също и стоманени тръби с гладки стени, стига те предварително

да се помеднят или поне защитят от корозия. При монтиране посредством скоба, както е показано на фиг. 25.2a, трябва да се внимава тази скоба да захваща гърнето колкото може по-близко до неговото дъно и във всички случаи не по-високо от 250 mm над дъното.

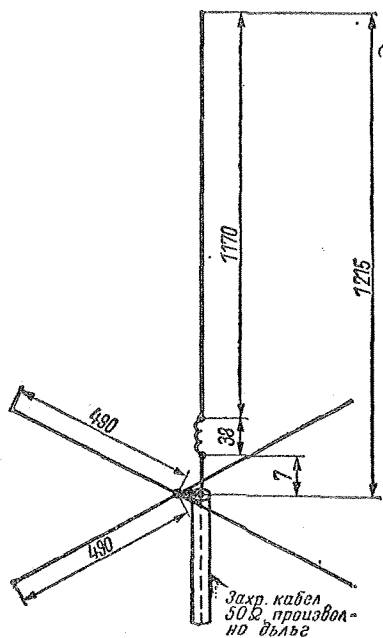
За оптимално съгласуване към произведен коаксиален кабел точката на захранване Е може да се измества, като същевременно може да е нужно да се изменя малко и дължината на излъчвателя.

Употребата на четвъртвълновото заграждащо гърне, разбира се, не се ограничава само с импедансно съгласуването възбуждане на един вертикален полувълнов излъчвател. Такова заграждащо гърне може да се използва със същия успех за вертикално поляризиращи Яги-антени от всякакъв вид. Тъй като в геометричната среда на свободния полувълнов проводник е наличие минимум на напрежението, там може да се свърже един напречен метален трегер, върху който да се захванат със средите си също и рефлекторите, и директорите. Оптималната точка на отвода Е за включване на захранващия кабел в съгласуващото гърне при многоелементни антени лежи малко по-далеч от точката на късо съединение, отколкото при захранване на един полувълнов вертикален излъчвател. Във всички случаи най-подходящата точка за съгласуване в заграждащото гърне може да бъде намерена с най-голяма точност, като се използва рефлектометър, включен в захранващия кабел.

### 25.1.3. 5/8 $\lambda$ -излъчвател

Когато дължината на една вертикално поляризирана пръчковидна антена надмине  $\lambda/2$ , във вертикалната диаграма се появява втори лист, отговарящ на излъчване под по-голям ъгъл. Същевременно нараства излъчването, обхванато от главния лист на диаграмата, който е под малък ъгъл спрямо хоризонта. Както се вижда от фиг. 19.7d, при дължина на излъчвателя  $5/8 \lambda$  излъчването под малък ъгъл достига максимум. При по-нататъшно удължаване дялът на излъчването под малък ъгъл отново намалява за сметка на





Фиг. 25.3.  $5/8\lambda$  излъчвател за 2 m

повишаващото се излъчване под голям ъгъл. С вертикален излъчвател с дължина  $5/8\lambda$  се постига най-ниският вертикален ъгъл на излъчване, който може да бъде получен с една проста вертикална антена. Тъй като едновременно с това и вертикалният ъгъл на развора, отнесен към един вертикален полуълнов излъчвател, се намалява, получаваме усиление около 3 dB (вж. фиг. 19.7c и d).

Дължината  $5/8\lambda$  обаче не е резонансна. Затова  $5/8\lambda$ -излъчвателят трябва с помощта на допълнително включена индуктивност да бъде удължен до  $3/4\lambda$ . Липсващата за целовълнов резонанс последна  $\lambda/4$  се образува от радиалите, както това става при граунд шлейв-антената.

Фиг. 25.3 показва схемата на един излъчвател  $5/8\lambda$  за 2-метровия обхват. Общата дължина на вертикалната част е 1215 mm, а четирите радиала са по 490 mm. Удължаващата бобина съдържа 11 навивки от проводник 1,6 mm; диаметърът на основата е  $1/4$  цола (6,35 mm). Единадесетте навивки се

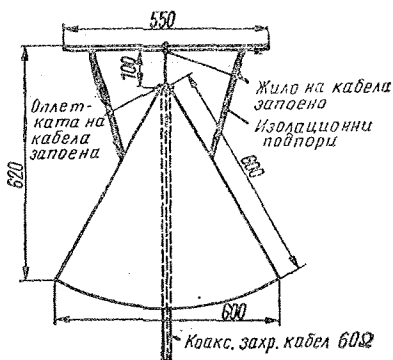
разполагат върху 38 mm от дължината на основата равномерно.

Изменението на резонансната честота в малки граници се постига чрез свиване и разпускане на навивките. По-големи изменения на резонансната честота могат да бъдат постигнати с добавяне или премахване на навивки. Като носещ материал за антенния проводник е препоръчително използването на въдичарски прът от подсилена със стъкловлакно полиестерна смола; удължаващата бобина в такъв случай може да се навие директно върху пръта. Всички размери се виждат на фиг. 25.3. Тази антена е особено подходяща и за мобилна работа.

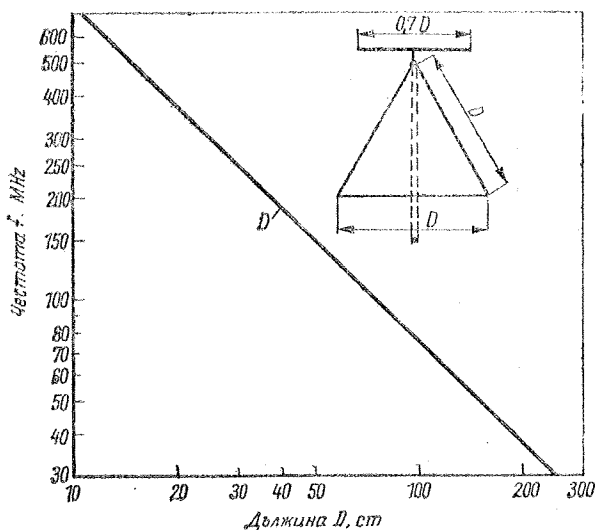
#### 25.1.4. Дисконусна широколентова антена

Друг вертикално поляризиран кръгов излъчвател, който по своето захранване има много общи черти с коаксиалната антена и се характеризира с особено голяма широколентовост, е дисконусната антена (фиг. 25.4).

По отношение на нормалния дипол „усилването“ на тази антена е  $-3$  dB, което е следствие на много малката ефективна височина на антената. Тази загуба на усиление в много случаи се приема като поносима, като се има предвид изключителната широколентовост. Показаната на фиг. 25.4 дисконусна антена се захранва директно с 60-омов коаксиален кабел. При дадените размери нейната честотна лента е от 85 MHz до 500 MHz.



Фиг. 25.4. Дисконусна антена



Фиг. 25.5

Диаграма за изчисляване на размера  $D$  при дискоконусните антени във функция от най-ниската работна честота

Конусът е направен от свит на фуния меден лист, но тук може да се използва всякакъв друг, по възможност запояващ се листов материал. Кръглата шайба (дискът) може да се изготви също от произволен материал. Дебелината на тенекето е без значение от електрическа гледна точка. Захранващият кабел се въвежда отдолу през отвора на конуса и неговата оплетка се запоява към върха на конуса. Жилото на кабела преминава (изолиран) през конусния връх и се запоява към средата на отдалечения на 100 mm от върха на конуса хоризонтален диск. Необходимо е да се осигури механическо укрепване на диска посредством подходящи изолатори.

Ако дискоконусната антена трябва да се използва за обхват, който се различава от този, даден в примера (вж. фиг. 25.4), размерът  $D$  трябва да се избере от фиг. 25.4, изхождайки от  $\lambda/4$  за най-дългата работна вълна, а диаметърът на диска се взема  $0,7 D$ . Лентата, на която може да се разчита при тези условия, ще отговаря на честотно отношение 8:1. Граничната честота на антената е с около 20% по-ниска от честотата, за която се измерява антената. Под тази долна гранична честота коефициентът на стоящи вълни нараства много рязко. Диаметърът на диска е от голямо значение за излъчвателните характеристики при

изменение на работната честота. Преркалено малкият диаметър на шайбата намалява широчината на лентата и сваля вертикалния ъгъл на излъчването в посока към конуса.

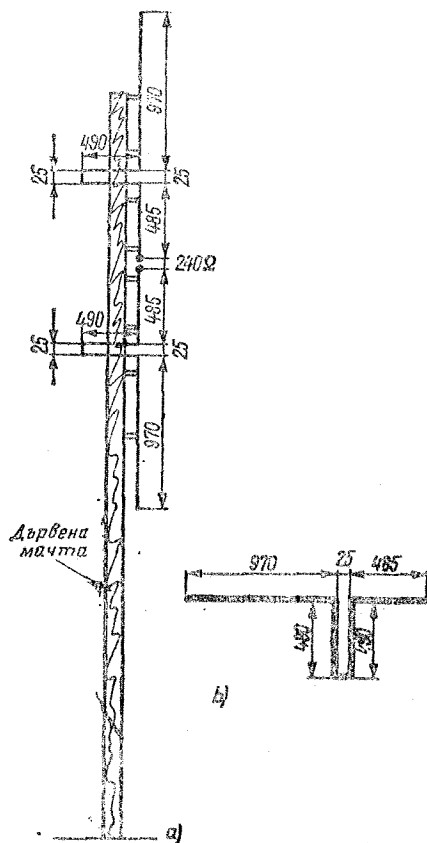
При съблюдаване на указанията за размерите коефициентът на стоящи вълни не превишава стойността 1,5:1, но се наблюдава едно честотнозависимо изменение на вертикалния ъгъл на излъчване.

#### 25.1.5. DDDR-антена за 145 MHz

Описаната в раздел 19.7. DDDR-антена, предназначена за използване на къси вълни, може да се изпълни и като кръгов излъчвател с вертикална поляризация за УКВ-обхвата. Въз основа на фиг. 19.47 и таблица 19.4 за двуметровия вариант на тази антена се получават следните размери:

$$D=160 \text{ mm}, H \geq 15 \text{ mm}, A=10 \text{ mm}, d=5 \text{ до } 10 \text{ mm} \text{ и } C_1=5pF.$$

Тук се касае до приблизителни стойности, които, общо взето, не са критични, тъй като излъчвателят има широка лента. Определянето на точката на свързване на жилото на кабела трябва да стане опитно. При оразмеряването на основната плоча за 2 m не трябва да се правят икономии, тъй като колкото по-голям е диаметърът ѝ, толкова по-малък е ъгълът на възвишение на главното излъчване. По

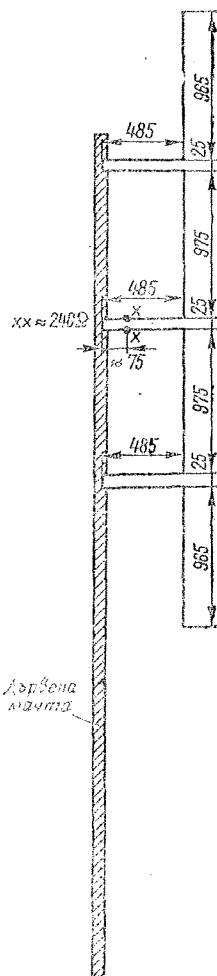


Фиг. 25.6. Вертикална диполна редица от 3 елемента за 2 м: *a* — схема на конструкцията, *b* — образец за огъване на половината на антената

тази причина не трябва да се смята за лукс използването на шайба с диаметър  $\geq 500$  mm. Далените в раздел 19.7 данни съобразено със смисъла важат и за 2-метровия вариант на тази антена.

#### 25.1.6. Етажиращи вертикално поляризирани кръгови излъчватели

Полувълновите елементи могат да бъдат етажирани под формата на вертикални диполни редици. При това кръговото излъчване в хоризонтал-



Фиг. 25.7. Вертикална диполна редица от 4 елемента за 2-м обхват

ната равнина се запазва, а се намалява вертикалният ъгъл на разтвора и въз основа на това се получава усилване по отношение на простия вертикален полувълнов дипол. Предпоставка за това е обаче всички полувълнови диполи, лежащи във вертикалната диполна редица, да бъдат захранени синфазно (вж. раздел 13.1.).

Фиг. 25.6 показва като пример една вертикална диполна редица за 2-метровия обхват, която е съставена от 3

 $\beta$ 

Захранващата линия трябва да върви перпендикулярно на редицата поне на едно разстояние от  $\lambda/2$  от точката на захранване и тогава да завива по предназначение, тъй като в противен случай характеристиката на излъчване ще се деформира и няма да може да се отстранят стоящите вълни в захранващия кабел.

Синфазното възбуждане на полувълновите секции се постига чрез въвежданите четвъртвълновыи закъснени участъци, които предизвикват изменения на фазата със  $180^\circ$ . Дадените на късо краища на тези фазираши отрязъци от линии са точки, в които има минимум на напрежението, така че те могат да бъдат закрепени директно със скоби към носещата мачта. Пръстенообразното свиване на четвъртвълновите участъци, както е показано на фиг. 25.8*b*, е разрешено и би могло да опрости монтажа. Елементите са закрепени с изолатори на дистанция от дървената мачта. Когато тези изолатори са поставени в средите на полувълновите секции, те могат да бъдат от най-непрепетиционен тип, тъй като в тези точки е налице минимум на напрежението.

В качеството на строителен материал за елементите може да се използва алуминиев проводник от заземително въже за гръмоотводи или от въже за далекопроводи (диаметър 8 или 10 mm). Две парчета от такъв проводник с дължина по 246 cm се огъват така, че всяка половина на антената да се получи от едно непрекъснато парче материал (вж. детайлния чертеж на фиг. 25.6б). По този начин се получава стабилна конструкция, без чувствителни към корозия точки на свързване и възможност за просто закрепване към носещата мачта.

Съпротивлението в точките на захранване е приблизително 240  $\Omega$ . Целесъобразно е там да се включи полу-  
вълново U-коляно и системата да се захранва посредством коаксиален кабел  
Усилването, което се получава следъ  
ствие намаляване на вертикалния ъгъл  
на разтвора, е 3,2 dB. Показаната и на  
фиг. 25.7 диполна редица от 4 коли-  
неарни полувълнови секции се различава  
от току-що описаната 3-елементна вер-  
сия по начина на захранване. Тъй като  
съпротивлението в точката на захран-  
ване в геометричната среда на систе-  
мата е високосомно, най-добрے би било

там да се включи директно една на-  
стрoсна захранваща линия. Върху за-  
късената четв. р вълнова линия обаче  
се получават всички стойности на импе-  
данса — от максималната до нулевата,  
така че по дължината ѝ могат да бъдат  
намерени две точки, в които той съот-  
ветствува на вълновото съпротивление  
на захранващата линия. В конкретния  
случай точките на съгласуване с една  
240-омова симетрична линия лежат  
на около 75 mm от закъсения край на  
четвъртвълновата линия. И за тази  
антена се препоръчва захранване по-  
средством коаксиален кабел и  $\lambda/2$  си-  
метриращо-трансформиращо U-коляно.

От тази колинеарна 4-елементна антена  
може да се очаква усиление от поря-  
дъка на 4,5 dB. При построяването ѝ  
трябва да се съблюдават указанията,  
дадени за предшествуващата 3-еле-  
ментна колинеарна антена.

При тази и при следващата 5-еле-  
ментна антена прави впечатление по-  
малката дължина на външните полу-  
вълнови секции в сравнение с вътреш-  
ните. Това се обяснява с влиянието на  
краевия капацитет, който влияе много  
повече на крайните секции, затова те  
трябва да се скъсят повече.

Вертикалната 5-елементна диполна  
редца, показана на фиг. 25.8, има тео-  
ретично усиление 5,8 dB, което се по-  
стига изключително за сметка на сви-  
ването на диаграмата във вертикална  
посока. По отношение на начина на  
захранване този кръгов излъчвател  
съответствува на 3-елементното изпъл-  
нение от фиг. 25.6; тук обаче е налице  
още една подробност. Ако антената се  
захрани с 240-омова линия направо в  
централната точка, както е показано  
на фиг. 25.6, би трябвало да се получи  
коэффициент на стоящи вълни около  
2:1. По тази причина между точките  
на захранване на антената и захранва-  
щата линия е въведен един малко удъл-  
жен четвъртвълнов трансформатор с  
вълново съпротивление около 330  $\Omega$ ,  
чрез който коэффициентът на стоящи  
вълни спада на 1,1:1. При това се  
приема, че диаметърът на полувълно-  
вите елементи е между 3 mm и макси-  
мум 9 mm. Четирите затворени чет-  
въртвълнови шлейфове са от провод-  
ник с диаметър от 2 до 6 mm (не е кри-  
тичен). Обратно, при съгласуващия  
трансформатор в точката на захран-  
ването трябва да се спази едно съот-

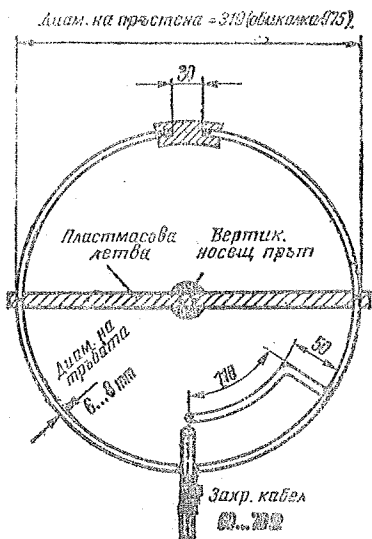
ношение на разстоянието между цен-  
трове на проводниците и диаметъра  
на последните, равно на около 3:1,  
тъй като то определя вълновото съпро-  
тивление. Това означава, че при да-  
деното на фиг. 25.8a разстояние от  
25 mm диаметърът на проводниците  
трябва да бъде около 3 mm. Ако се из-  
бере друго разстояние между провод-  
ниците, което е напълно допустимо,  
ще трябва да се измени и диаметърът  
на проводниците така, че да се запази  
съотношението 8:1.

Фиг. 25.8 b показва една възможност  
за целесъобразен монтаж. Както се  
вижда от фигурата, затворените чет-  
въртвълнови шлейфове могат да бъдат  
огнати пръстенообразно, без това да  
доведе до влошаване на работата и  
закъсените краища на шлейфовете да  
се закрепят директно към дървената  
мачта. Диаметърът на пръстена при  
това може да бъде само 160 mm, което  
осигурява добра механическа стабил-  
ност и придава „гладък“ и елегантен  
външен вид на конструкцията.

## 25.2. Хоризонтално поляризиращи УКВ антени с кръгова диаграма

Постигането на кръгова диаграма на  
излъч а е при една антена с хори-  
сонтална поляризация изисква доста усилия,  
особено когато се изисква кръгова ха-  
рактеристика, близка до идеалната.  
Ако не се използват вертикално ета-  
жирани системи или други комбинации  
от излъчватели, получаването на кръ-  
гова диаграма винаги се изкупува с  
известна загуба по отношение излъч-  
ването в главната посока, давано от  
един нормален дипол.

Правият полувълнов дипол, както е  
известно, сам по себе си представлява  
една насочена антена, която излъчва  
най-силно перпендикулярно на оста на  
проводника (*диаграма осморка*) и има  
два силно изразени минимума в Е-  
диаграмата си. Когато искаме да раз-  
пределим наличната енергия равно-  
мерно във всички посоки в хоризон-  
талната равнина, ясно е, че това ще  
стане, като част от енергията в посока  
на главното излъчване се прекъхври,  
за да се „запълнят“ минимумите на  
излъчване. Затова тук може да се го-  
вори за загуба само в преносен смисъл.



Фиг. 25.9. Прустенообразен диод за 145 MHz, поглед отгоре

### 25.2.1. Пръстенообразен дъвол (aurora Halo)

Един доста изискан и небиещ на очи хоризонтален кръгов излъчвател е *престенообразният дипол*. Той бива наричан още *антена Halo* и се използва най-често на коли. Както се вижда от фиг. 25.9, става дума за един нормален полуълнов дипол, чиито рамена са отбелязани в хоризонталната равнина така, че образуват един незатворен в краищата пръстен.

Хоризонталната диаграма на хоризонталния пръстенообразен дипол няма точно кръгова форма; последният е по-скоро елипсовидна. „Усилването“ на Нало-антената по отклонение на обикновения прав дипол в посоката на неговото максимално излъчване е средно — 6 дБ, т. е. при пръстенообразния дипол може да се разчита само на половината напрежение на входа на приемника в сравнение с това, създавано от обикновения прав дипол в посока на неговото максимално излъчване.

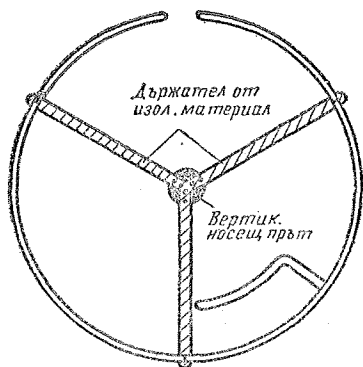
На фиг. 25.9 е показан пръстенообразен дипол, оразмерен за 2-метровия обхват. Импедансното съгласуване с коаксиален кабел с вълново съпротив-

ление 60 до 70  $\Omega$  се осигурява с гамасъгласуване. Последното освен това прави изключително разделянето на дипола в точката на захравиване, което е много желателно от гледна точка на механичката стабилност. Външният проводник на коаксиалния кабел се свързва с геометричната среда на дипола, а жилото на кабела се дава към гамачлена.

Крайщата на дипола не трябва да се допират. Те трябва да отстоят на разстояние поне 30 mm, тъй като при по-голямо приближаване възниква силно капацитивно влияние, вследствие на което се изменя резонансната честота и едновременно с това входното съпротивление. Полякога съзнателно се създава по-голямо капацитивно натоварване в краищата на дипола, като за целта диполните краища се изпълняват като кондензатор с метални плочи. Това премества резонанса към по-ниските честоти и позволява да се получи по-малък диаметър на пръстена. Тези мерки обаче водят същевременно до влошаване на к. п. д. на антената.

Съпротивлението на излъчване на една Нафo-антена при показаното изплънение възлиза на около 50  $\Omega$ , следователно то е малко по-ниско от това на правия дипол. Тъй като максимумите на напрежението се явяват и тук в краищата на дипола, дори при употреба на висококачествен изолационен материал не могат да се избягнат известни загуби. Последните могат да парнасят чувствително при влажно време, снеговалеж или заскрежаване. Пръстенообразният дипол от фиг. 25.9 е специално за мобилна работа. Затова с оглед по-висока механическа стабилност двата края са захванати с помощта на висококачествен изолационен материал. Съществуват и други начини за поддържане на пръстенообразния дипол, които са по-нестабилни механически, но затова пък по-благоприятни от електрическа гледна точка. Така бихме могли да се откажем от изолационния държател в краищата на дипола и, както е показано на фиг. 25.10, осигурим закрепването в хоризонталната равнина с няколко радиални пластмасови пръчки.

Хоризонталните пръстенообразни диполи могат да бъдат етажирани вертикално в две и повече равнини едни над други. При това хоризонталната диа-



фиг. 25.10. Пръстенообразен дипол с подобро механическо укрепяване

грама остава непроменена. Вследствие намаляването на вертикалния ъгъл на разтвора се получава определено усиление, което обаче компенсира споменатите 6 dB-загуби едва при 4-етажна антена. Изискванията за синфазно възбуждане на етажирани диполи, дадени в раздел 13.2, важат и за пръстенообразните диполи. Като носещи мачти за мобилна работа са особено подходящи пластмасови тръби. В техния отвор може да се прокара захранващият кабел — така той е защитен и същевременно не дразни окоото.

На фиг. 25.11 са показани Е-диаграмите на различни диполи. От тях може да се види, че пръстенообразният дипол има добра кръгова характеристика, но при излъчване отстъпва на другите типове диполи.

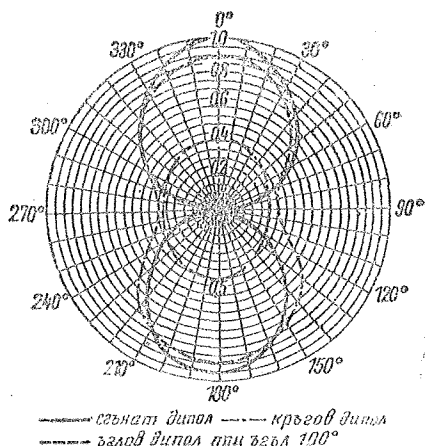
### 25.2.2. Ъглообразен сгънат дипол

Като особено практична при мобилна работа се е оказала антената под формата на ъглообразен сгънат дипол, чийто половини са свити така, че да образуват ъгъл с разтвор около  $100^\circ$ . При тази конфигурация входното съпротивление не се изменя забележимо и остава около  $240 \Omega$ . Диаграмата на излъчване в Е-равнината обаче остава елипсовидна.

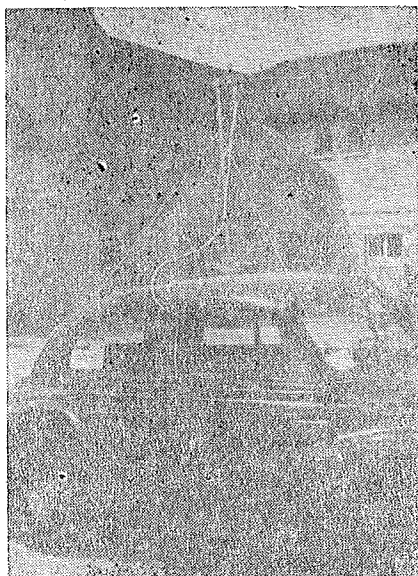
Сгнатиият дипол също както и правият дипол има диаграма на излъчване в хоризонталната равнина във формата на осмица, като максимумите на излъчване са перпендикулярно на

оста на дипола, а минимумите — по оста на антената (вж. фиг. 25.11). При ъглообразния сгънат „ $100^\circ$ -дипол“ максимумите на излъчване стават с ниво около 1 dB по-ниско, което съответствува на 90% от максималния приеман сигнал при използване на прав дипол. За сметка на това нулевите точки изчезват и в минимумите имаме налице 45% от напрежението. В сравнение с пръстенообразния дипол тази антена осигурява около половината от напрежението (отнесено към главната посока на излъчване на един ъглообразен дипол), а в посока на минимумите ъгловият дипол е по-добър от антената Halo. Затова пръстенообразният дипол би трябвало да се използва само там, където се искат малки размери, неприятен външен вид и приблизително кръгова характеристика. Ако такива изисквания не са налице, трябва да се предпочете ъглообразният сгънат дипол. На фиг. 25.12 е показан един такъв ъглообразен сгънат дипол и неговото целесъобразно закрепване към колата.

Въпреки че един ъглообразен нормален дипол има същите излъчвателни качества, както ъглообразният сгънат дипол, последният се използва по-често, понеже има по-високо входно съпротивление ( $240 \Omega$ ). Ако той трябва да се захрани не с  $240$ -омова линия, а с  $60$ -омов коаксиален кабел, ще трябва



Фиг. 25.11. Хоризонтална диаграма на един хоризонтален дипол (според DLINM)



Фиг. 25.12. Ъглообразен сгънат дипол като автомобилна антена

да се въведе едно полуълново U-коляно или една навита дзупроводна линия (Guanella-трансформатор) съгласно раздел 7.7. За този случай на приложение може да се използва и един ъглообразен еднопроводен дипол, към който коаксиалният кабел може да се включи посредством гама-съгласуване. От електрическа и механическа гледна точка обаче е по-подходящ вариантът със сгънат дипол.

Тъй като ъглообразните диполи все още имат една по-силно или по-слабо изразена посока на максимално излъчване, се казва, че те са кръгови излъчватели с привилегирована посока. Едиаграмата може да бъде изменена чрез изменение на ъгъла между двете половини на дипола. Както се вижда от фиг. 10.31d, „запълването“ на минимумите е толкова по-добро, колкото по-малък е ъгълът на свиването.

Могат да бъдат видени също така диполи, които са огънати във формата на U, S или Z. Диполите с такива специални форми обаче не се различават основно от един ъглообразен дипол. В случая се касае повече до това

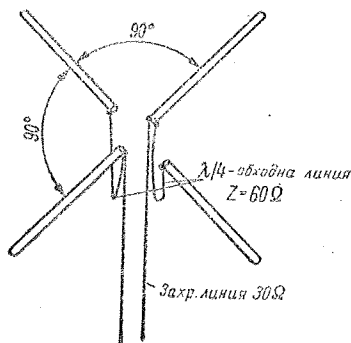
антената, успоредно с една приблизително кръгообразна характеристика, да получи и приятен външен вид.

### 25.2.3. Кръстосан дипол

Приблизително кръгообразна диаграма в хоризонталната равнина може да се получи с *кръстосания дипол*, познат още под името въртящ кръстосан излъчвател, Quirl-антена\* и Turnstile\*\*. Кръстосаният дипол се състои от два полуълновни прави или сгънати дипола, които са поставени взаимно перпендикулярно под формата на кръст, както е показано схематично на фиг. 25.13. За получаване на кръгова характеристика двата дипола трябва да са свързани с фазово изместване  $90^\circ$ . Тази фазова разлика се постига чрез една свързваща линия, включена между двата дипола. Линията има електрическа дължина  $\lambda/4$  (да се съблюдава коефициентът на скъсяване!) и вълново съпротивление, равно на входното съпротивление на един единичен дипол. Това означава, че вълновото съпротивление на четвъртвълновата свързваща линия трябва да бъде  $60 \Omega$ , ако кръстосаният дипол е изграден от прави полуълновни диполи, и  $240 \Omega$ , ако се използват сгънати диполи.

\* Quirl [квирл] = джуруляк, бъркачка (нем.) (б. пр.).

\*\* turnstile [търстайл] = турникет, въртяща се преграда на вход (англ.) (б. пр.).



Фиг. 25.13. Кръстосан дипол



Тъй като в точката на захранването двата дипола са включени паралелно един на друг, общото съпротивление се намалява до половината стойност. Така за кръстосания дипол от прави елементи се получават  $30 \Omega$ , а за кръстосания дипол от сгънати диполи —  $120 \Omega$ . Поради проблемите около захранването при тези стойности на вх. съпротивление радиолюбителите използват кръстосания дипол сравнително рядко и предпочитат простия ъглообразен дипол, тъй като с него могат да се постигнат сравними резултати при по-малък разход на материал и усилия. Освен това вследствие участието на честотнозависимата свързваща линия лентата на кръстосания дипол е твърде малка.

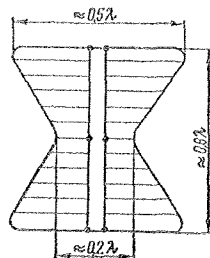
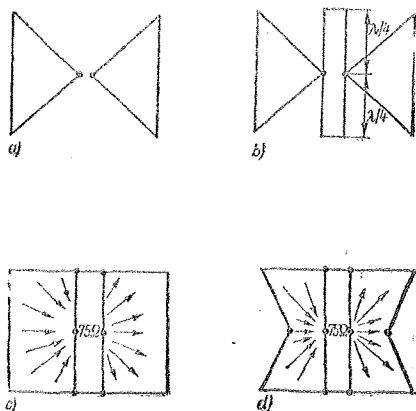
Quig-антените за УКВ- и телевизионно приемане се правят почти изключително под формата на кръстосани сгънати диполи. Преди години кръстосаният дипол се използваше като кръгово излъчваща антена за разпръсквателни УКВ ЧМ предаватели, разбира се, в многоетажно изпълнение. При етажирване на няколко кръстосани дипола един над друг във вертикално направление вследствие свиването на вертикалната диаграма се постига усиление, без това да изменя кръглата диаграма на излъчване в хоризонталната равнина. Степента на усиление зависи от междуетажното разстояние. При два етажа и разстояние между тях  $0,5 \lambda$  усиляването на антената е 1,2 dB; последното достига своя максимум, равен на 1,4 dB, при междуетажно разстояние  $0,67 \lambda$ . Четири етажа при разстояние между тях  $0,5 \lambda$  дават усиление 2,5 dB, а при  $0,82 \lambda$  — оптималното усиление, равно на 3,7 dB.

#### 25.2.4. Супертурникетна или Batwing-антена

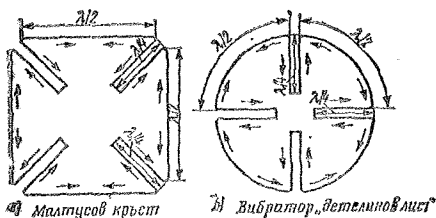
Тясно свързана с кръстосания дипол е супертурникетната антена, която се нарича още Batwing (англ.: batwing = крило на прилеп). И тук по същество се касае за един кръстосан дипол, но с цел да се получи по-голяма ширина на лентата неговите рамена са плоскостни, имащи приблизително очертанията на крила на прилеп.

Фазите, през които е преминал този дипол до окончателното му оформяне,

са показани на фиг. 25.14. Ако изходим от един прост прав полуълнов дипол и искаме да му осигурим по-широка честотна лента, трябва първо да го превърнем в „дебел“ дипол. Това може да стане например, като диполните рамена се изпълнят като триъгълни плоскости, както е показано на фиг. 25.14a. Такива пеперудообразни диполи могат да бъдат срещнати много често като широколентови антени за дециметровия обхват. Лентата на такива диполи може да се разшири още повече, ако в точката на захранване се включат две затворени четвъртълнови линии (фиг. 25.14b). Следващата стъпка води към фиг. 25.14c. Тук двете плоскости са запълнени, а двете затворени четвъртълнови линии образуват един  $\lambda/2$  процеп между двете правоъгълни плоскости. Точката на захранване се намира в геометричната среда на процепта. Стрелките показват по-



Фиг. 25.14. Развитие на един пеперудообразен дипол до турникетна антена



Фиг. 25.15. „Малтийски кръст“ и „детелинов лист“

соките на тока по повърхността на дипола. С цел да се подобри токоразпределението и честотната характеристика се правят врязвания на диполните крила, както е показано на фиг. 25.14d, така че антената придобива вече очертанията на летящ прилеп. Накрая компактните диполни крила могат да бъдат заменени с решетъчни конструкции, с което batwing-диполът добива своя окончателен вид — фиг. 25.14e.

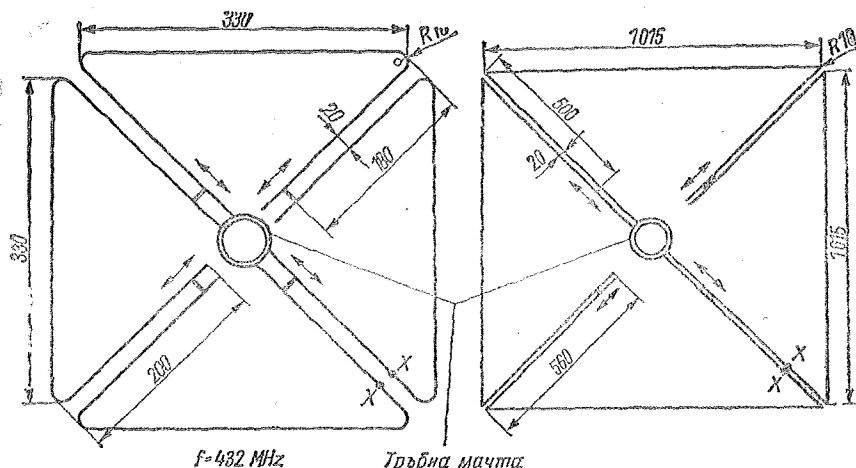
Този дипол е много широколентов и неговият импеданс в точката на захранване е около  $70 \Omega$ . С цел да се получи приблизително кръгова диаграма в хоризонталната равнина две batwing-антени се поставят под прав ъгъл една спрямо друга и се захранват с взаимно фазово изместване  $90^\circ$ . В комерсиалните предаватели няколко такива платна се етажират във вертикално направление

и носят името *супертурникетна антена*. Такива антени се използват в предавателите за УКВ ЧМ радиоразпръскване и за телевизионните предаватели. За любителски цели турникетната антена има малко значение.

#### 25.2.5. Антена тип «малтийски кръст»

Антената от типа „малтийски кръст“ е един хоризонтален кръгов излъчвател, който се характеризира с почти съвършена симетрия и на тази основа с почти идеално кръгова диаграма на излъчване. Освен това тази антена предлага много прости начини за захранване. Тя е използвана с голям успех в радиофара OZ7IGY, работещ денонощно на 70 cm. Фиг. 25.15 дава принципната схема на „малтийския кръст“ и на по-познатата, но по-трудна за механично изпълнение детелинообразна антена. По начин на действие двете антени са идентични.

При малтийския кръст се касае за 4 полуълновни диполи, разположени под ъгъл  $90^\circ$  един спрямо друг. Всеки полуълновен дипол завършва в двата си края с една четвъртълнова линия, имаща формата на фибообразен шлейф. Разглеждането на нанесените в чертежа стрелки на токовете показва, че всички диполи се възбуждат синфазно.



Фиг. 25.16. Размери на антена „малтийски кръст“ за 432 и 145 MHz (стойностите са в mm)

но всеки един от тях по отношение на своите съседни диполи е в противофаза. Вследствие на това изместено по фаза възбуждане се получава, аналогично на кръгосания дипол, кръгообразна излъчвателна характеристика в хоризонталната равнина. Всички фиброобразни шлейфове имат регулируеми закъсители, с помощта на които се постига точен резонанс на системата. Този възможност за регулиране прави размерите на лежащите по периферията полувълнови участъци искритични, тъй като винаги с налице възможността да се осигури резонанс чрез съответно изменение на закъсящите мостове. Тъй като фиброобразните шлейфове представляват настроени линии, тяхното вълново съпротивление е без особено значение. Следователно разстоянието между паралелните проводници може да бъде избрано произволно с оглед на механичните изисквания. Посоченото във фиг. 25.16 разстояние от 20 mm трябва да се приеме само като ориентировъчно указание.

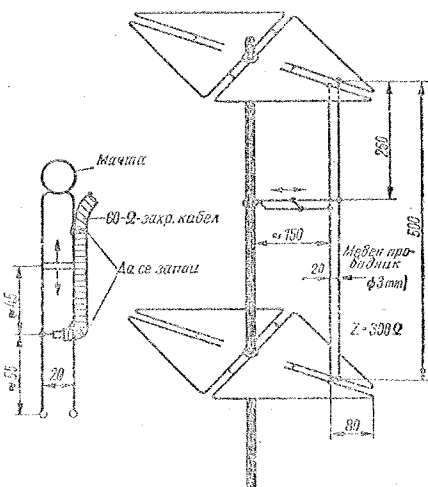
На фиг. 25.16 са дадени размерите на „малтийски кръст“ за 70 cm и за 2 m. При настройката трябва четирите закъсяващи моста на фиброобразните шлейфове да се местят симетрично един спрямо друг. Тъй като четирите единични елементи са свързани един с друг, изместването на един от закъсящите мостове влияе не само върху непосредствено свързания към шлейфа полувълнов елемент. Освен това с положението на закъсящите мостове може в определени граници да се влияе върху диаграмата на насоченост. Четвъртвълновите линии са необходими за получаване на изискващото се фазово завъртане от по 180°.

Докато по-простите антени с кръгова диаграма излъчат с около 3 до 6 dB по-малко, отколкото един прав полувълнов дипол в привилегированата посока (напр. пръстенообразният дипол — 6 dB, кръгосаният дипол — 3 dB), загубите при малтийския кръст, дължащи се на по-големия брой съдържащи се в него диполи, са само 1 dB.

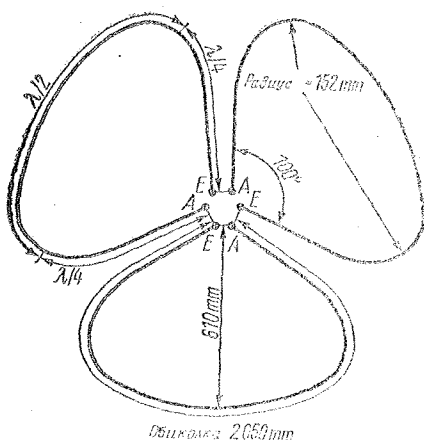
Малтийският кръст се захранва в един от четирите фиброобразни шлейфове, като върху четвъртвълновата линия се намират точките, в които импедансът съответствува на вълновото съпротивление на използваната си-

метрична захранваща линия. При 70-cm излъчвател тази точка (за 240-Ω линия) лежи на около 100 mm от дадения на късо край, а при 2-метровия вариант на тази атена — приблизително в средата на линията. Шлейфовете, удължени до носещата мачта, могат след мястото на късото съединение да бъдат запоеани към последната. Като проводников материал за елементите на шлейфовете се препоръчва 6-mm меден проводник или тръба; за 2-метровия вариант е подходящ и алуминиев материал с диаметър 8 до 12 mm.

Препоръчително е етажирането на малтийски кръстове в две или повече равнини. При два етажа и разстояние между тях 0,7 λ се получава максимално усилване от около 3 dB. На фиг. 25.17 е показана една двуетажна антена от типа малтийски кръст за 432 MHz. Свързващата етажите линия, дълга 500 mm, е от 3-mm медни проводници и разстояние между тях 20 mm, така че вълновото ѝ съпротивление е 300 Ω (вж. фиг. 5.4). Дължината на тази свързваща линия не е критична, тъй като тя не е настроена, а съгласувана линия. В нейната геометрична среда се включва един закъсен отрязък от линия, другият край на който се кача към мачтата (вж. детайлната скица на фиг. 25.17). На това място може да се



Фиг. 25.17. Етажиран малтийски кръстове за 432 MHz (стойностите са в mm)



Фиг. 25.18. „Голямото колело“

извърши включването на 60-Ω кабел по начина, показан на рисунката. Тези указания важат аналогично и за детелинообразната антена, тъй като тя по принцип е излъчвател от същия тип.

#### 25.2.6. «Голямо колело» («Big Wheel»)

УКВ-любителите ползват почти изключително силно насочени антени, тъй като с тяхна помощ излъчваната в определена посока мощност може да бъде увеличена многократно. От друга страна, насоченото действие позволява да се намалят смущенията, идващи от нежелани посоки и с това — да се подобри съотношението сигнал/шум.

Тези качества на насочените антени обаче не винаги са преимущество. Опитът показва, че 2-метровият трафик се осъществява предимно във вечерните часове и за малкото време на повишена активност не е възможно всички посоки да бъдат прослушвани или обслужвани интензивно. Практически става така, че бимът остава насочен почти през цялото време към района, в който има най-много станции и възможностите за връзки в други посоки биват загубени. Много често се констатира със закъснение, че в определена посока е имало добри условия за DX, които не са били използвани,

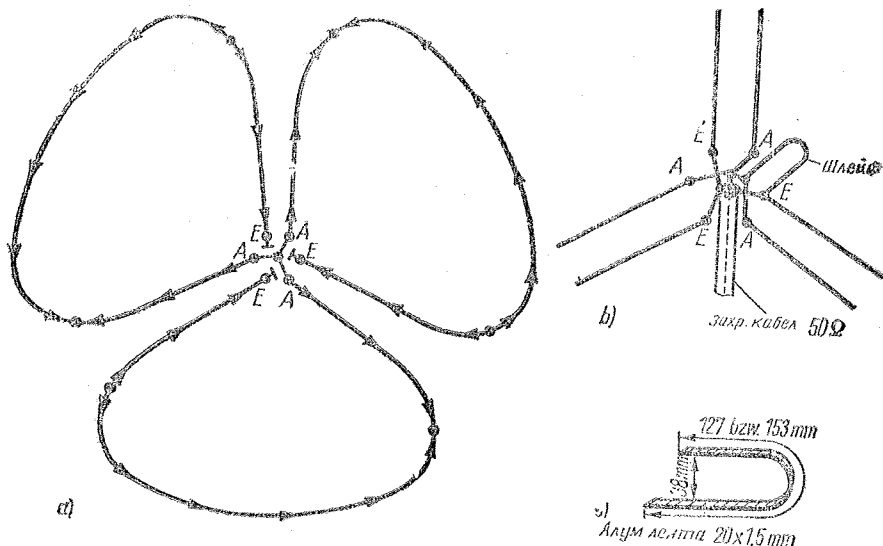
тъй като никой не е завъртял насочената си антена в тази посока.

Идеалната антена за такива случаи би била една хоризонтално поляризирана антена с кръгова диаграма на насоченост и с голямо усиление, която да притежаваме успоредно с една остро насочена антена. Антената с кръгова диаграма ще осигури възможността да бъдем чути навсякъде и да можем да приемем сигнали от всички посоки.

W1JSD и W1FVY са разработили такава антена и са я нарекли „The Big Wheel“ („Голямо колело“). Тя е изпитана многократно като автомобилна антена за 2 m и усиляването, което тя дава при такъв вид работа, е 5,7 dB по отношение на простия кръстосан дипол. Освен това при нея е значително намален ефектът на вибриращ фединг (кратковремени затихвания), който е много характерно явление при мобилна експлоатация на антените. Докато „усиляването“ на кръстосания дипол по отношение на нормалния полувълнов дипол е  $-3$  dB, „голямото колело“ е с 2,7 dB по-добро от последния.

На фиг. 25.18 са дадени конфигурацията и размерите на „голямото колело“. То наподобява много на токущо описания „малтийски кръст“, респективно на детелинообразната антена, но е съставена от 3 листа. Главната разлика обаче е в начина на възбуждането. При „малтийския кръст“ и „детелината“ излъчващите елементи са в серия, а при „голямото колело“ те са в паралел. По тази причина и входното съпротивление на „голямото колело“ е по-ниско. За по-голяма прегледност на общия чертеж не са дадени връзките между елементите и начинът на възбуждането; те могат да бъдат видени на фиг. 25.19.

От схемата може да се разбере, че обиколката на всеки елемент на „голямото колело“ е равна на  $1\lambda$ ; за двуметровия обхват това дава 2050 mm. Всеки елемент е огънат така, че свободните рамена, излизащи от А и Е, да образуват ъгъл  $100^\circ$ . Радиусът на закръгляването в съгъвите на елемента за 2 m е избран 152 mm. Рамената А и Е на два съседни елемента вървят по протежение на близо  $\lambda/4$  паралелно. Тъй като токовете в тези четвъртволнови участъци са насочени противополо-



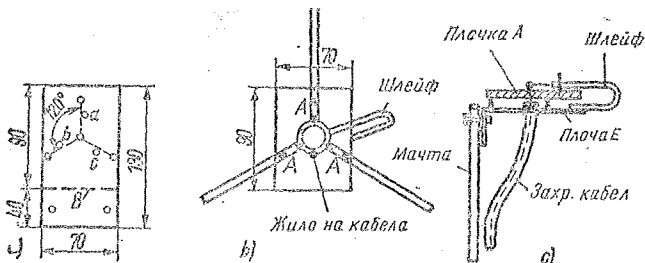
Фиг. 25.19. Възбуждане и захранване на „голямо колело“; а — разпределение на токовете, б — захранване, с — шлейф

ложно, те не излъчват (вж. фиг. 25.19а). Взаимното свързване на елементите се вижда ясно на фиг. 25.19б. Всички краища, обозначени с А, са свързани заедно, също и всички Е-краища. Получава се паралелно свързване на 3-те елемента така, че всички излъчващи полувълнови участъци биват възбуждани синфазно (вж. посоките на тока, означени със стрелки на фиг. 25.19а). Вследствие на паралелното свързване на елементите входното съпротивление спада до  $10 \Omega$ . За да може системата да се захранва с обикновен коаксиален кабел, целовълновите елементи са скъсени малко; възникващата в резултат на това реактивна компонента с капацитивен характер лесно се компенсира посредством индуктивен съгласуващ шлейф, включен в точката на захранване. В резултат на това точката на захранване се измества към участъка с по-висок импеданс и системата може да се захранва съгласувано с произволно дълъг коаксиален кабел. Дължината на изправения шлейф за съгласуване е 127 mm за резонанс на 2 m. Когато „голямото колело“ се използва като автомобилна антена на малка височина над покрива на колата, по-добре е дължината на съгласуващия шлейф да се направи 153 mm. Този шлейф се из-

готвя по фиг. 25.19с от алуминиева лента (20 mm широка и 1,5 mm дебела).

От електрическа гледна точка няма голямо значение от какъв материал ще бъдат изготвени целовълновите елементи. Тук са от по-голямо значение механическите съображения, тъй като радиусът на периферните дъги е около 600 mm. В моделната антена беше използвана алуминиева тръба с диаметър 9,5 mm, в отворените краища на която, на дълбочина най-малко 50 mm, бяха набити пасващи дървени или алуминиеви дюбели. Със същия успех може да се използва алуминиев проводник с диаметър 8 или 10 mm, напр. от типа, който се използва за заземяване на гръмоотводи. Плътният материал се огъва по-добре, отколкото тръбите. Тръбните материали се огъват, като предварително се напълват със сух пясък и се запущат здраво със запущалки. Така подготвените тръби могат да се огъват равномерно и без чупки.

Механичното закрепване на обръщаните елементи и тяхното правилно взаимно свързване изискват известно обмисляне. Фиг. 25.20 дава едно конструктивно предложение. Държателят представлява правоъгълна метална плоча с размери  $130 \times 70$  mm (фиг. 25.20а). На разстояние 40 mm от тесния край



Фиг. 25.20  
Закрепване на  
лямото колело  
(стойностите са  
в мм)

тя се огъва под прав ъгъл (широковата линия). Тази огъната част служи за закрепване към косещата мачта. Притягането към мачтата става с един U-образен двустранно нарязан с резба болт; той същевременно дава плочата на земя. На основната плоча Е се затягат така, че да се осигури добър контакт, всички краища Е на елементите, както и по-късото рамо на съгласуващия шлейф. Тук се запоява също и оплетката на коаксиалния кабел. Една втора плоча (А), която е от пластмаса, се монтира на малко разстояние над основната плоча Е. Плочата А поема всички А-краища на елементите, по-дългия край на съгласуващия шлейф и вътрешния проводник (жилото) на захранващия кабел. Тези части също така се фиксират, като се осигурява добър контакт помежду им.

„Голямото колело“ има широка честотна лента. При 2-метровото изпълнение например коефициентът на стоящи вълни остава под 1,5:1 за целия честотен обхват от 142 до 150 MHz. Оттук следва, че оразмеряването на тази антена не е много критично. Както се вижда от фиг. 25.21, диаграмата на излъчване има леки впадения в посока



Фиг. 25.21. Диаграма на излъчване на „голямо колело“ при едноетажно излъчване

на четвъртвълновите участъци, които могат да достигнат до 3 dB.

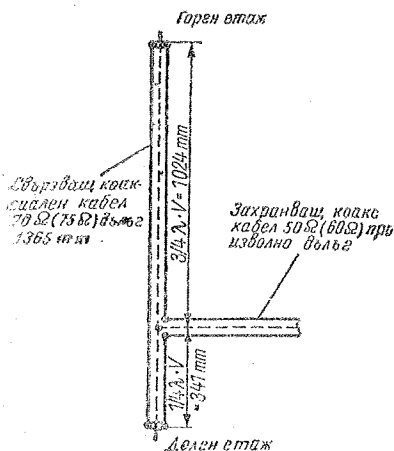
Чудесните качества на тази антена се проявяват още повече, когато се етажират две платна от нея едно над друго. Ако се избере оптималното междуетажно разстояние  $5/8 \lambda$ , усиляването по отношение на варианта с едно платно е около 3 dB. Хоризонталната кръгова характеристика при това се запазва, а усиляването е резултат изключително от свиване на вертикалния ъгъл на разтвора. Вследствие на това рязко намаляват и приемиците смущения от запалителните системи на автомобилите.

Входното съпротивление на едно платно, както знаем, е 50  $\Omega$ . При усъредното свързване на двете платна резултатното входно съпротивление в общата точка на захранване би сълязло на 25  $\Omega$ . Затова свързващите линии трябва да се трансформират така, че в общата точка на захранването отново да имаме 50  $\Omega$ . Обикновено трансформирането става с четвъртвълнови линии и в случая това би трябвало да бъдат две линии, всяка от които по-качва входното съпротивление на свързаното към нея платно на 100  $\Omega$ , така че паралелното им свързване да даде пак 50  $\Omega$ . Вълновото съпротивление  $Z$  на четвъртвълновата линия съгласно уравн. (5.31) трябва да бъде

$$Z = \sqrt{50 \cdot 100} \approx 70 \Omega.$$

Коаксиални кабели с вълново съпротивление 70 до 75  $\Omega$  се намират лесно.

На практика като свързваща и трансформираща линия се използва коаксиален кабел 70, респ. 75  $\Omega$ , чиято електрическа дължина е точно 1  $\lambda$ . Скъся-



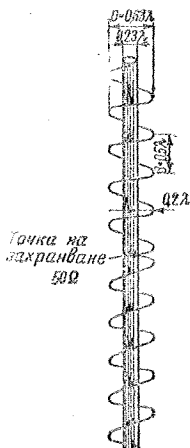
Фиг. 25.22. Възбуждане на етажирани „големи колела“ (размерите са за резонансната честота 145 МНс)

ващият фактор на кабела, който обикновено е 0,66, не трябва да се забравя, така че за геометричната дължина се получава:  $2070 \cdot 0,66 = 1365$  mm. Тъй като оптималното междуетажно разстояние е  $5/8 \lambda$ , а за 2-м обхват това се равнява на 1300 mm, получава се автоматично едно много приемливо решение. Една линия с дължина  $1 \lambda$  обаче няма трансформиращи свойства. Трансформиране може да се прави само с  $\lambda/4$ -линии и нечетно число пъти кратни на  $\lambda/4$  (т. е.  $3/4 \lambda$ ,  $5/4 \lambda$ ,  $7/4 \lambda$  и т. н.). В този случай обаче може да се приложи един трик: целовълновата линия се разделя на две части — едната  $1/4 \lambda$ , а другата —  $3/4 \lambda$ , и захранващият кабел се свързва към точката на свързване на тези две части (вж. фиг. 25.22). Тук трябва да се има пред вид следното: долното платно се захранва през един  $\lambda/4$ -трансформатор, а горното — през  $3/4 \lambda$ -трансформатор. Това означава, че двете платна ще бъдат захранвани с фазова разлика  $180^\circ$  (т. е. противофазно). За да се избегне това, двете платна трябва да бъдат завъргнени едно спрямо друго на  $180^\circ$ . Това става много просто, като краищата, които в долния етаж са обозначени като А, в горния етаж се трактуват и свързват като краища Е.

Напълно симетрично възбуждане на двете платна, без да се прилагат тех-

нически трикове, може да се осъществи, като се използва свързваща линия между етажите с електрическа дължина  $1,5 \lambda$ . В този случай общата точка на захранване лежи в геометричната среда на линията и към всеки етаж отива кабел с дължина  $3/4 \lambda$  електрически, който действа като  $1/4 \lambda$ -трансформатор. Двете платна биват възбуджани синфазно и симетрично. При скъсяващ фактор 0,66 за  $1,5 \lambda$ -линия за 2-метровия обхват се получава геометрична дължина  $3100 \cdot 0,66 = 2046$  mm. Тъй като междуетажното разстояние трябва да бъде само 1300 mm, свързващата линия се полага не по най-късия път. Това в повечето случаи се желае, тъй като кабелът на свързващата линия може удобно да се положи по носената мачта и там при съответните механически удобства да се направи отклонението за захранващия кабел.

Оказало се е, че вследствие на взаимната връзка между двете платна се получава известно изместване на резонансната честота нагоре. За компенсиране на това явление двата съгласуващи шлейфа се удължават до 152 mm. Възможно е и развитието на системата от „големи колела“ до 4 етажа. Това дава обаче допълнително усиление спрямо варианта с 2 платна само от



Фиг. 25.23. Двойноспирална антена с кръгово излъчване

около 2 dB, така че едва ли си струва увеличението разходи по конструирането.

В заключение може да се каже, че „голямото колело“ като едноетажно изпълнение е една чудесна, макар и с неидеална кръгова диаграма, антена за мобилна работа на 2 m. Две платна от тази антена, етажирани по вертикала, образуват един много добър, хоризонтално поляризиран кръгов излъчвател с добро усиление за стационарна работа. „Голямото колело“ може да бъде построено с подръчни средства и вследствие на голямата си широколентовост не е критично по отношение на размерите. При спазване на дадените размери отпада необходимостта от специално донастройване.

#### 25.2.7. Двойноспирална антена с кръгово излъчване

Двойноспиралната антена принадлежи към семейството на спиралните излъчватели (англ.: helical = винтообразен, също Helix) и при монтиране с вертикална ос тя е един много ефективен кръгов излъчвател с хоризонтална поляризация и голям коефициент на насоченост във вертикалната равнина. Тъй като и механическото изпълнение на тази антена предлага големи удобства в сравнение с другите кръгово излъчващи антени, двойноспиралната антена и нейните комбинации

се срещат често в съвременните УКВ-и телевизионни предаватели.

Устройството на тази антена се вижда от фиг. 25.23. Дължината на всяка намотка е равна на  $2\lambda$ , а диаметърът на спиралата (D) е  $0,63\lambda$ . Стъпката на спиралата е  $0,5\lambda$ . Точката на захранването се намира в средата на двойната спирала. Във всяка половина на излъчвателя се използват най-често 5, най-много 10 навивки. Максимално излъчване се получава перпендикулярно на оста на спиралата. Един рефлектор, поставен по оста, подсилва напречното излъчване и подтиска остатъците от излъчване по дължината на оста. Този рефлектор има формата на коаксиален метален цилиндър във вътрешността на спиралата и същевременно се използва като носеща мачта на антената. Тъй като с увеличаване на броя на навивките използваемата широчина на лентата силно намалява, рядко се използват повече от 5 навивки. Една двойна спирала с  $2 \times 5$  навивки изисква аксиален рефлектор-тръба с външен диаметър  $0,23\lambda$ . Строителната височина за това изпълнение е  $5\lambda$  при едно усиление на антената около 7 dB. Захранващият кабел се прокарва през вътрешността на тръбата-рефлектор до точката на захранване. Входното съпротивление в тази точка е около 50 до 100  $\Omega$ .



## 26. Специални форми на УКВ и СВЧ антени

Освен обичайните Яги-антени и групови антени в метровия и дециметровия обхват се използва цяла поредица от специални форми на УКВ антени. Това са преди всичко ширококоленовите насочени антени, надлъжните излъчватели със специална форма и процепните антени.

### 26.1. Плоскостни диполи и комбинации от тях

При плоскостното изпълнение на диполите честотната зависимост на входния импеданс е слабо изразена в сравнително голям честотен обхват, затова такива излъчватели имат широка честотна лента (вж. раздел 4.3.). Тъй като изработването на плоскостни диполи за УКВ- и особено за СВЧ-обхвата не представлява трудност от механическа гледна точка, такива диполи могат да бъдат срещнати много често като съставна част на много ширококоленови системи в дециметровия обхват.

#### 26.1.1. Разперен дипол (неперудообразен дипол)

Представеният на фиг. 26.1 разперен дипол би могъл описателно да бъде наречен *неперудообразен дипол*, тъй като по своята форма много наподобява на летяща перпурда. В немската литература обаче под названието перпурдообразна антена по-често се подразбира Batwing-антената, показана на фиг. 25.14.

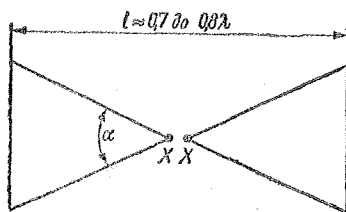
Тук става дума за един целовълнов дипол, който притежава голяма честотна лента в резултат на плоскостното изпълнение на елементите. Ако елементите на дипола се направят с триъгълна форма, се спестява материал, а приближаващите се върхове на триъгъл-

ниците образуват една добре дефинирана точка на захранване. Повишеният краев капацитет предизвиква силно скъсяващо действие върху дипола. Входният капацитет, скъсяващият фактор и широчината на лентата на един целовълнов разперен дипол се определят от ъгъла на разперването  $\alpha$ .

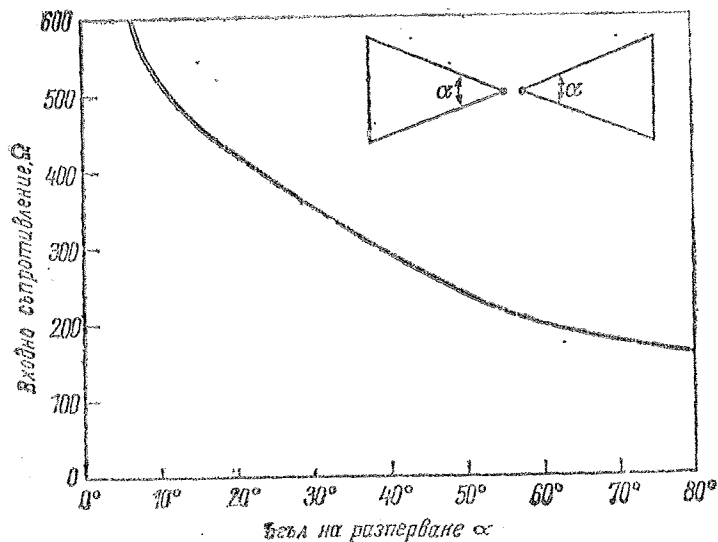
От механични съображения ъгълът на разперването  $\alpha$  в метровия обхват се избира от порядъка на  $30^\circ$ , докато в дециметровия обхват с оглед на широчината на обхвата се избират ъгли от порядъка на  $60^\circ$  до  $80^\circ$ .

Както следва от фиг. 26.2, при ъгъл на разперване  $30^\circ$  може да се очаква входно съпротивление от порядъка на  $350 \Omega$ . Дължината  $l$  за този случай трябва да бъде около  $0,8 \lambda$ ; при това положение се получава относителна широчина на лентата  $b=0,65 f_m$ . С оглед на намаляване теглото и на по-малко съпротивление на вятъра триъгълните плоскости биха могли да бъдат направени от надупчена ламарина или от гъста метална мрежа. Може да се използва и решетка от пръчковиден материал.

При увеличаване на ъгъла на разперването  $\alpha$  входният импеданс се изменя в малки граници и в доста голям честотен обхват остава сравнително постоянен. Оптимални са ъгли на разперване от  $60^\circ$  до  $80^\circ$ , при които стойности входното съпротивление е между  $160$  и  $200 \Omega$ , а коефициентът на скъся-



Фиг. 26.1. Ширококоленов дипол

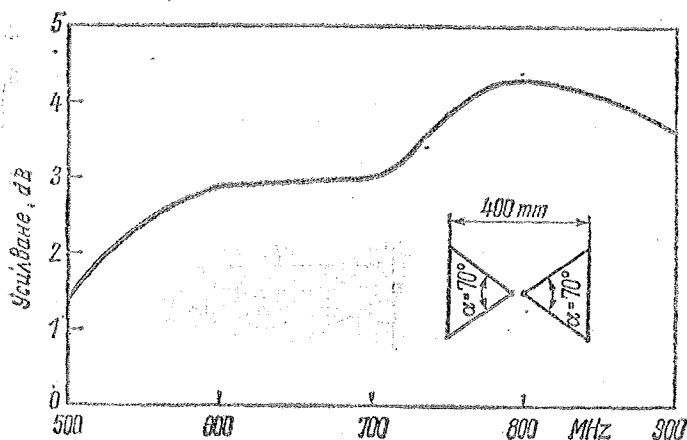


Фиг. 26.2. Ориентировъчни стойности на входното съпротивление на разперен дипол в функция от ъгъла на разперването

ване — около 0,73. Реактивните съставни на входния импеданс и тяхната честотна зависимост са пренебрежимо малки, а дължината  $l$  благодарение на голямата ширина на лентата не е критична.

Както е известно, усиляването на един „стрѐн“ целовълнов дипол е 1,8 dB,

отнесено към полувълнов дипол. Много широколентовият целовълнов плоскостен дипол благодарение на благоприятните импедансни съотношения може да бъде възбуден не само на честотата, за която е оразмерен, а и на много по-високи честоти. За тези по-високи честоти дължината на ди-



Фиг. 26.3. Усилване на разперения дипол ( $\alpha = 70^\circ$ ,  $l = 400$  mm) в функция от честотата

пола естествено е по-голяма от 1  $\lambda$ . По тази причина усилването на антената за по-високите честоти се покачва и може да достигне 4 dB. Като пример за това на фиг. 26.3 са дадени резултатите от измерването на усилването на един перерудобразен дипол с ъгъл на разперване  $\alpha = 70^\circ$  (дължина 400 mm) в обхвата от 500 до 900 MHz. От него е ясно, че един  $70^\circ$ -разперен дипол има приемна лента, доста по-голяма от широчината на IV/V телевизионен обхват.

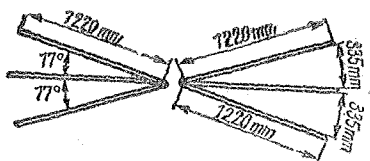
### 26.1.2. Ветрилообразен дипол (Fan-dipole)

Характерните свойства на един „дебел“ дипол показват също и диполите, направени от единични пръчки във вид на ветрила (фиг. 26.4). „Ветрилата“ могат да съдържат по две или повече единични пръчки. Такава конструкция е икономична, лека и оказва малко съпротивление на вятъра.

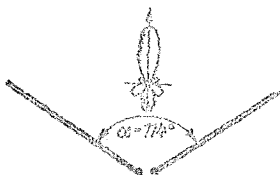
При дадените на фиг. 26.4 размери ветрилообразният дипол е еквивалентен на един цилиндричен дипол с дебелина на раменете 70 mm. Ако той се използва за приемане в III телевизионен обхват, неговата електрическа дължина във всички случаи ще бъде по-голяма от 1  $\lambda$ . В този случай диаграмата на дипола представа да бъде познатата „осмица“ и се разчленява в зависимост от „превишението“ над 1  $\lambda$ , като добива странични листове, подобно на диаграмата на една „дълга жица“. Усилването, което може да се очаква на канали 7 до 12 при това положение, е от порядъка на 2 dB. То не се проявява обаче в никакъв случай по посока, перпендикулярна на оста на антената, а в други посоки.

Една проста възможност да се получи добре изразена и едностранна насоченост на „по-дългия“ ветрилообразен дипол се състои в това последният да бъде огънат като V-дипол. Оптималният ъгъл на разтвора  $\alpha$  на V-образната конструкция зависи от дължината на раменете на дипола, отнесена към дължината на вълната  $\lambda$  (вж. раздел II.4.).

Много подходящ за ветрилообразния дипол според фиг. 26.4 е ъгъл на разтвора  $\alpha = 114^\circ$ , тъй като при него E-диаграмата на антената при изолузу-



Фиг. 26.4. Ветрилообразен дипол (поглед отпред)

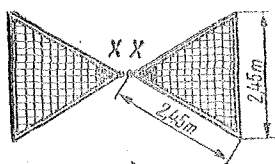


Фиг. 26.5. Свят ветрилообразен дипол (поглед отгоре)

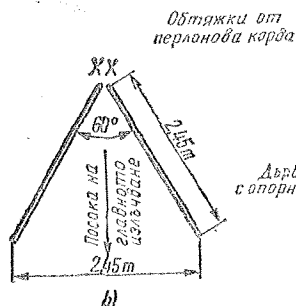
ване в III телевизионен обхват получава едностранен главен лист приблизително така, както е показано на фиг. 26.5. Този свят ветрилообразен дипол представлява една твърде полезна приемна антена за всички канали от I, II и III УКВ обхват. Тя може да се разглежда обаче само като помощна антена, тъй като входното ѝ съпротивление в споменатите обхвати се мени от 60 до 600  $\Omega$  и съдържа реактивни компоненти. На III обхват от нея може да се очаква усилване от около 3,5 dB (на 5-ти канал) до 5 dB (на 8-ми и 9-ти канал). При дадените размери входното съпротивление за канал 8 и канал 9 е почти реално и е между 240 и 300  $\Omega$ . За честотите на I и II обхват характеристиката на антената се приближава до тази на полувълнов дипол, без обаче да са налице изразени нулеви участъци в диаграмата.

### 26.1.3. Опростена рунорна антена

Широколентовата плоскостна антена, която ще опишем тук, се намира в тясна връзка със свития ветрилообразен дипол. Тя е особено подходяща за приемане в целия метров спектър и има добро усилване. Това е една истинска широколентова антена — в целия участък от около 30 MHz до доста навътре в дециметровия обхват не се наблюдават резонансни пропадания. Усилването на антената нараства не-

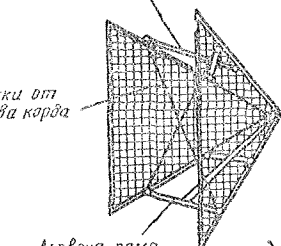


а)



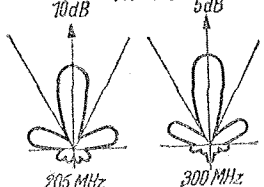
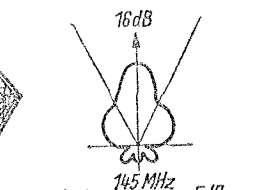
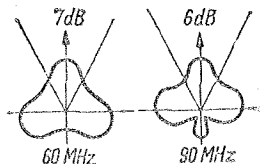
б)

Усилващ прът  
(дървена летва)



Дървена рама  
с опорни изолатори

в)



д)

с — вариант на механично изпълнение (страничен поглед), д — диаграми на излъчване при различни честоти (според DLIFQ)

прекъснато, успоредно с повишаването на честотата. Конфигурацията на антената, както и всички размери могат да се видят на фиг. 26.6.

Основните елементи на тази конструкция са два равностранни триъгълника с дължина на страната 2,45 м. Ъгълът на разперване на този плоскостен дипол е  $60^\circ$ . Върховете на триъгълниците се доближават един към друг, за да образуват точката на захранване XX. От фиг. 26.6 се вижда, че се касае за един свит перерудообразен дипол — двете триъгълни плоскости са разположени под ъгъл също  $60^\circ$ . Главното излъчване, респ. главната посока на приемане съвпада с посоката на ъглополовящата.

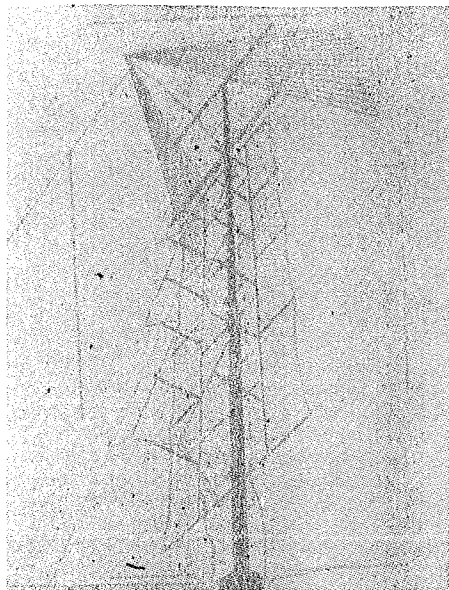
Една изпитана от DLIFQ конструкция беше, изготвена от желязна тръба (рамка на триъгълниците) и поцинкована метална мрежа с отвори 20 mm (триъгълни плоскости). Фиг. 26.6с дава идея как може да бъде изпълнена тази доста обемиста конструкция.

Представените на фиг. 26.6 хоризонтални диаграми с данни за усилването са получени от DLIFQ чрез измерване. При честота 60 MHz диаграмата е почти кръгова, като трите домини-

ращи лъща показват значително усилване от максимум 7 dB. В обхвата за УКВ ЧМ разпръскване (90 MHz) антената осигурява добро приемане в един сегмент над  $300^\circ$  от пълния кръг. За 2-метровия обхват (145 MHz) се дава едно невероятно високо усилване от 16 dB, а за честотите на III телевизионен обхват усилването отново добива обикновени стойности. При една точна проверка тези данни за усилването вероятно ще трябва да се коригират в посока надолу. Ползваните тази антена обаче винаги са потвърждавали нейните превъзходни приемни качества в много широк честотен обхват.

На фиг. 26.7 е показана една изпробвана от DL6MH рупорна антена от този вид. В нея се използват триъгълници от лек тръбен материал с дължина на страната 3 м. От захранвания връх излизат ветрилообразно 15 алуминиеви тръби с диаметър 8 mm. Антената има чудесни приемни качества в УКВ ЧМ-обхвата и дава добри резултати в I телевизионен обхват. На 2-метровия обхват тя е еквивалентна по показатели на 12-елементна груповая антена, но на 70-см обхват е съвършено не-използуваема.

Фиг. 26.1. Рупорна антена на  $DL6MH$  (отдолу — бискусър пред рефлекторна стена)



От само себе си се разбира, че размерите могат да бъдат увеличени или намалени произволно много. Ако например се желас получаването на приблизително кръгова характеристика в УКВ ЧМ-обхвата (87,5—100 MHz), размерите на кантовете трябва да се намалят до 1,65 m. И при този размер антената дава задоволително усилване на 2-метровия обхват, както и добри резултати в целия III телесизионен обхват.

При една рупорна антена с разтвор  $60^\circ$  дължините на страните на триъгълните плоскости се отнасят към дългата работна вълна, както 1:2, т. е. използваемият работен диапазон на една рупорна антена с дължина на страната примерно 3 m започва от дължина на вълната около 6 m — 50 MHz. Увеличаването на усиляването расте успоредно с увеличаването на честотата непрекъснато до момента, когато диаграмата на насоченост започне да се разчленява на множество отделни листове.

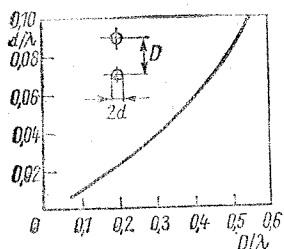
Импедансът в точките на захранване XX за най-ниските честоти е около 300  $\Omega$  и нараства с увеличаването на честотата, като достига до около 380  $\Omega$ . Затова за захранване на антената е подходяща стандартна линия с

вълново съпротивление 300  $\Omega$ . По-подходяща и с по-малко загуби би била една саморъчно изготвена въздушна двупроводна линия с вълново съпротивление около 350  $\Omega$ .

При използване на рупорната антена трябва да се има пред вид, че всички паразитни сигнали със странични и хармонични честоти ще бъдат излъчени наравно (или дори усилен!) с полезния сигнал. Затова такива паразитни сигнали би трябвало да бъдат подтиснати ефикасно още в самия усилвател.

## 26.2. Антени с рефлекторна стена

Рефлекторната стена представлява една метална конструкция със сравнително голяма площ, която за електромагнитните вълни се държи по същия начин, както огледалото за светлинните вълни — те биват отразявани от нея. При това ъгълът на падането е равен на ъгъла на отражението. В идеалния случай рефлектиращата площ представлява една голяма метална стена с добра повърхностна проводимост (в теоретически идеалния случай — без-



Фиг. 26.8. Зависимост между радиуса на проводниците и разстоянието  $D$  между тях, отнети към дължината на вълната  $\lambda$ , при електрически плътни рефлекторни стени (според Moulin)

крайно голяма повърхност с безкрайно голяма проводимост).

Една повърхност от метална мрежа е почти еквивалентна по отражащо действие на една плътна метална повърхност, ако междините на мрежата не са по-големи от  $\lambda/200$ . Изследвания на Moulin са показали, че компактна рефлекторна стена може да бъде заместена с решетка от паралелни проводници, ако се спазва определено съотношение между радиуса на проводниците и разстоянието между последните в зависимост от дължината на вълната. Тази зависимост може да се види от фиг. 26.8. Moulin също така е доказал, че диаметърът на проводниците може да бъде много по-малък от дадения на кривата, без да се влоши значително ефективността на рефлекторната стена. При много рефлекторни стени с пръчковидна структура от съображения за икономия на материал и за по-малко съпротивление на вятъра се избира разстояние между пръчките около  $\lambda/20$ . Много любители си изготвят рефлекторни стени от мрежа, която се продава за ограждане на курници. Мрежата трябва да се опъне така, че усуканите ъгли да бъдат паралелни на надлъжната ос на излъчвателя. Рефлекторни плоскости от паралелни трябва и любителски условия се изпълняват рядко. Те са скъпи, а в електрическо отношение не дават предимства пред стъпната метална мрежа.

За определяне големината на рефлекторната стена важи следното грубо правило: *тя трябва във всяко направление да превишава размерите на антената поне с  $\lambda/2$* . Един полуълнов дипол, който се намира на разстояние

$\lambda/4$  пред една рефлекторна стена с височина  $0,82 \lambda$ , показва съотношение „напред-назад“ около 25 dB; при височина на рефлекторната стена  $2 \lambda$  това съотношение нараства на 38 dB, а при височина на стената  $4 \lambda$  то става 45 dB.

Теоретично максималното усиляване ( $> 7$  dB) се получава при поставяне на полуълновия дипол непосредствено пред рефлекторната стена (разстояние  $< 0,05 \lambda$ ). Това предполага обаче, че рефлекторната стена е безкрайно голяма и с идеална проводимост. На практика такова изключително малко разстояние не може да се спазва, тъй като голямото приближаване предизвиква повишени омически загуби в рефлекторната стена; освен това входният импеданс става много малък и с това честотната лента на дипола силно се стеснява.

От гледна точка на усиляването са препоръчителни разстояния между дипола и рефлекторната стена от порядъка на  $0,1 \lambda$  до  $0,35 \lambda$ . Разстояние около  $0,5 \lambda$  трябва да се избягва — при него главният лист на диаграмата се разцепва на два рязко изразени странични листа. Много подходящо е по-нататъшно разстояние от  $0,65$  до  $0,85 \lambda$ . В граничните на препоръчаните разстояния може да се получи практически реализируемо усиляване от  $5 \text{ dB} \pm 1 \text{ dB}$ , стига да е използвана достатъчно голяма и електрически плътна рефлекторна стена. Двата зависещи от разстоянието максимуми на усиляването са особено подходящи за широколентови системи. Още по-високи усилявания могат да се получат със свързване под ъгъл или с плавно огъване на рефлекторната стена.

## 26.2.1. Широколентови антени с рефлекторна стена

Плоскостните рефлектори не са много практични за метровия обхват поради големите си размери, затова те се използват предимно в областта на дециметровите вълни. Особено подходящи са комбинациите от рефлекторни стени и широколентови диполи, тъй като плоскостните рефлектори за разлика от пръчковидните не са резониращи структури и като така не стесняват честотната лента.

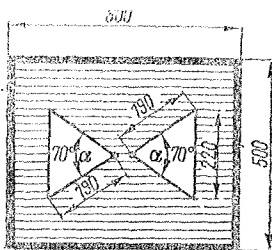
Антените с рефлекторна стена и разперени диполи са популярни в телевизионния СВЧ обхват (обхват IV/V), тъй като осигуряват приемане с добро усиление по целия обхват. В този случай обикновено е налице стремението да се поддържа голям ъгъл на разперване (60 до 70°), за да е по-слабо изразена честотната зависимост на входния импеданс (вж. раздел 26.1.1.).

Фиг. 26.9 показва схемата на един разперен дипол, поставен пред рефлекторна стена, който е изготвен за приемане в честотния обхват от 450 до 900 MHz. Честотната зависимост на усиляването, отнесено към един настроен дипол, е показана на фиг. 26.10. От кривата се вижда, че усиляването от около 5 dB на канал 21 се покачва до около 10 dB на канал 60. Разстоянието между разперения дипол и рефлекторната стена е 120 mm. Вследствие на големия ъгъл на разперването (70°) входното съпротивление остава около 170  $\Omega$ . При захранване с една 240-омова линия коефициентът на стоящи вълни в целия честотен обхват остава по-малък от 2. Напълно възможно е захранването с коаксиален кабел и полуwave коляно, като това довежда до незначително ограничаване на честотната лента.

Ако входното съпротивление трябва да се приближава до 240  $\Omega$ , ъгълът на разперване  $\alpha$  ще трябва да се намали на 45°. При такова изменение настъпва известно стесняване на честотната лента и увеличаване на зависимостта на входното съпротивление от честотата.

#### 26.2.2. Етажирани диполи с рефлекторна стена

Преимуществата на диполните колони могат да бъдат използвани също

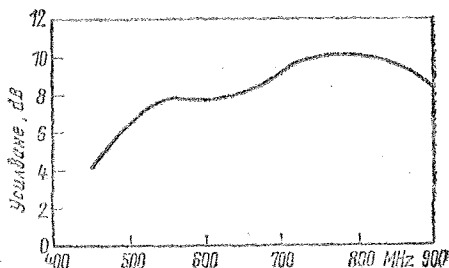


Фиг. 26.9. Проста широколентовая антена с рефлекторна стена и 70°-разперен дипол (разстояние до рефлекторната стена 120 mm)

и при употребата на рефлекторна стена и целовълнови разперени диполи. При етажиране на разперени диполи възникват проблеми главно със захранването, тъй като възбуждането на отделните платна трябва да става без или с незначително влошаване на широколентовостта. Използването на настроени трансформиращи елементи трябва по възможност да се избягва и да се търси едно чисто активно съгласуване.

Ако два целовълнови разперени диполи трябва да се етажират, би било удобно тяхното индивидуално входно съпротивление да е от порядъка на 480  $\Omega$ , тъй като при паралелното им свързване в централната точка на захранването би се получил входен импеданс 240  $\Omega$ . За да се постигне такова индивидуално входно съпротивление обаче, би трябвало съгласно фиг. 25.2 ъгълът на разперване  $\alpha$  на перпендикулярния дипол да бъде около 15°. В резултат на това би се получила относително тясна честотна лента и като следствие от това също и увеличена зависимост на входния импеданс от

Фиг. 26.10. Измерени стойности на усиляването във функция от честотата при един разперен дипол пред рефлекторна стена (фиг. 26.9)



честотата. Следователно малкият ъгъл на разпереност не е благоприятно решение на проблема.

Ако трябва да се етажират само две платна, целесъобразно е да се избере ъгъл на разпереност около  $50^\circ$ , при която стойност входният импеданс съгласно фиг. 25.2 е приблизително  $240 \Omega$ . Паралелното свързване в централната точка на свързване дава тогава резултатен импеданс  $120 \Omega$ . Ако тук се включи  $240$ -омова линия, разсъгласуването ще обуслови един коефициент на стоящи вълни  $s=2$ . Такова разсъгласуване може да се допусне като компромисно, особено когато става дума за приемна антена, тъй като предим-

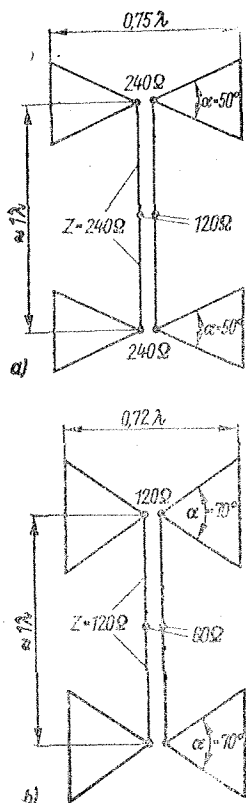
ствата по отношение на изпълненията с малък ъгъл на разпереност са значителни. Това компромисно решение за етажирани перпендикулярни диполи с разпереност  $50^\circ$  е показано на фиг. 26.11a. Свързващата линия е с импеданс  $240 \Omega$  и дължината ѝ е произволна, като в случая се определя от междуетажното разстояние. Централната точка на захранването се намира в геометричната среда на свързващата линия. Разстоянието между диполите и рефлекторната стена се взема  $0,2 \lambda$ , отнесено към най-дългата работна вълна. При това разстояние входният импеданс в точката на захранване се изменя незначително.

Една по-добра възможност за решаване на въпроса показва фиг. 26.11b. В този случай е избран ъгъл на разпереност  $70^\circ$ , при който входното съпротивление на единичния дипол е  $170 \Omega$  (вж. фиг. 26.2). Ако разпереният дипол се приближи до стената така, че разстоянието да стане  $0,15 \lambda$  (отнесено към най-дългата работна вълна), неговият входен импеданс, макар и до някъде честотно по-зависим, добива удобната стойност  $120 \Omega$ . Тогава може двата дипола да се свържат с произволно дълга стандартна  $120$ -омова линия (напр. тип 120D10-1). В такъв случай в централната точка на захранването получаваме входно съпротивление от порядъка на  $60 \Omega$ , симетрично, така че бихме могли да включим един стандартен коаксиален кабел с помощта на симетриращо устройство (вж. раздел 7.). Много често е възможно включването на кабела да стане и без да е нужно симетриращо устройство.

При междуетажното разстояние около  $1 \lambda$  от два етажирани целовълнови разперени диполи с рефлекторна стена може да се очаква получаването на честотнозависимо усиление в границите от 9 до 12,5 dB. Предпоставка за това е рефлекторната стена да бъде с достатъчно големи размери, в случая около  $2 \lambda$  висока и  $1 \lambda$  широка.

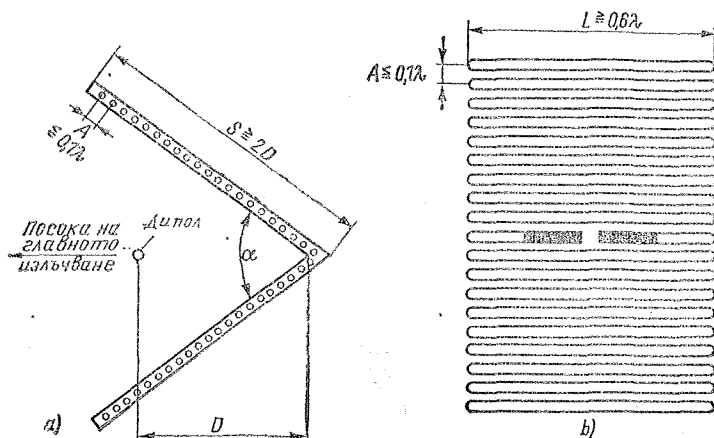
### 26.2.3. Дипол с ъглов рефлектор

С прост дипол могат да се получат високи усиления, ако той се постави във фокуса на една ъглообразна рефлекторна стена. Тъй като при отражението ъгълът на падането и ъгълът на



Фиг. 26.11. Възбуждане на етажирани разперени диполи пред една рефлекторна стена; *a* — ъгъл на разперването  $\alpha=50^\circ$ , разстояние до стената  $0,2 \lambda$ , *b* — ъгъл на разперване  $\alpha=70^\circ$ , разстояние до стената  $0,15 \lambda$  (рефлекторната стена не е нарисувана)





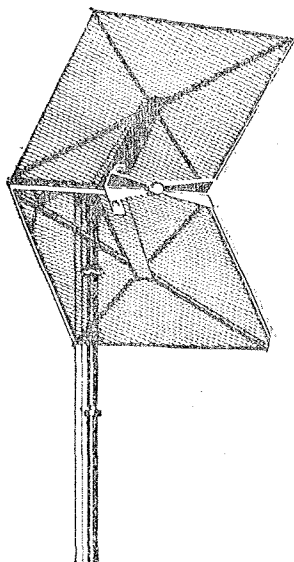
Фиг. 26.12. Дипол с ъглов рефлектор; а — поглед от страни, б — поглед отпред

отражението са равни, може да се докаже, че голяма част от енергията, срещаща стената, ще бъде отразена обратно към дипола (предпоставка за това е последният да се намира във фокуса на ъгловия рефлектор). Ъгловият рефлектор с неговите две плоски стени няма дефиниран фокус; за целта би трябвало да е налице една параболично закривена повърхност. Но и с тази несвършена форма на концентриране на излъчването могат да се получат чувствителни усилвания.

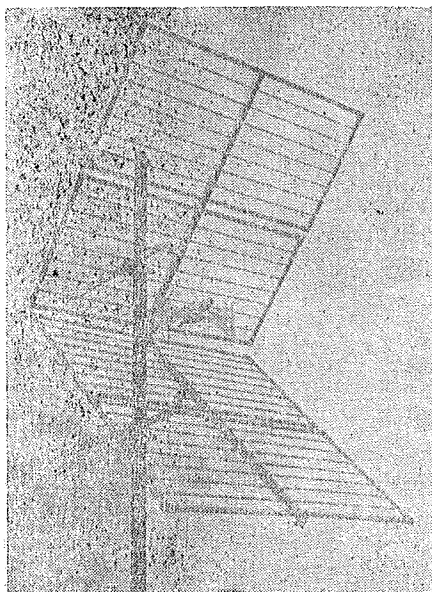
Схемата на един дипол с ъглов рефлектор е дадена на фиг. 26.12. Както се вижда от страничния поглед 26.12а, диполът се намира на разстояние  $D$  върху ъглополовящата на една ъглова рефлекторна повърхност. Ъгълът на разтвора  $\alpha$  най-често е  $90^\circ$ , по-рядко  $60^\circ$  и в изключителни случаи —  $45^\circ$ . Оптималното диполно отстояние зависи от ъгъла на разтвора  $\alpha$ . Дължината на рамената  $S$  би трябвало да бъде поне равна на удвоеното диполно отстояние ( $\geq 2D$ ); по-големите дължини увеличават усилването.

Ако не са поставени специални изисквания за широчината на лентата, захранваният елемент представлява или един прав полуълнов дипол, или сгънат дипол (шлейф-вибратор). В този случай широчината  $L$  на ъгловия рефлектор трябва да бъде минимум  $0,6\lambda$ . По-дългите диполи изискват съответно по-широки ъглови рефлектори.

Ако рефлекторните повърхности са изготвени от единични пръчки или проводници, разстоянието  $A$  се избира  $\leq 0,1\lambda$ . В практиката обаче се срещат също чувствително по-големи междини. Ако липсва материал във формата на метални пръчки, може да се



Фиг. 26.13. Широколентова антена с ъглов рефлектор от метална мрежа



Фиг. 26.14. Ъглова антена за IV/V телевизионен обхват

използват нарчета, изрязани от меден проводник с диаметър 1 до 2 mm. Страничните летви на ъгълната рамка се пробиват и проводникът се вдвaja последователно през отворите, като образува решетка тип „меандър“. С още по-добър успех, особено в дециметровия обхват, като ъглова рефлек-

торна стена може да се разпъне по-гъста метална мрежа. Един пример за такова изпълнение дава фиг. 26.13. В този случай освен това се използва широколентов дипол, който също както рефлекторната стена е огънат аксиално. Една фабрична широколенгова антена с ъглов рефлектор за телевизионно приемане на IV/V обхват е показана на фиг. 26.14. В обхвата между 470 и 790 MHz тази антена дава усилване от 10 dB (канал 21) до 12,5 dB (канал 55). Въпреки че рефлекторната решетка е доста рядка, антената осигурява подтискане в посока „назад“ = 25 dB.

На фиг. 26.15 са дадени диаграми, с помощта на които може да се определи зависимостта между усилването и съпротивлението на антени с ъглов рефлектор във функция от разстоянието между дипола и рефлектора ( $D$ ). С цел за сравнение на фиг. 26.15а тези зависимости са показани и за случай  $\alpha=180^\circ$ , т. е. за дипол, поставен пред плоска рефлекторна стена. Както може да се види, в този случай максималното усилване от почти 7,5 dB се получава при диполно отстояние 0,1  $\lambda$ . Вследствие на ниското съпротивление на излъчване (25  $\Omega$ ) и голямата близост до рефлекторната стена обаче възникват толкова високи омически загуби, че това усилване практически не може да се постигне. Едно отстояние от 0,2  $\lambda$  би следвало да се приеме като по-добро решение (усилване 6 dB). Кривата на съпротивлението на излъчване потвърждава споменатото вече

Таблица 26.1. Размери на антени с ъглов рефлектор за 145 MHz и 435 MHz

Честотен обхват, MHz	145	145	435	435	435
Ъгъл на развора	90°	60°	90°	60°	45°
Дължина на рамото $S$	$\geq 1370$	$\geq 2060$	$\geq 460$	$\geq 700$	$\geq 830$
Ширина на рефлектора $L$	$\geq 1250$	$\geq 1250$	$\geq 420$	$\geq 420$	$\geq 420$
Диполно отстояние $D$	683	1035	228	345	414
Дължина на дипола	970	970	320	320	320
Междина между пръчките $A$	$\leq 125$	$\leq 125$	$\leq 40$	$\leq 40$	$\leq 40$
Усилване, dB	10	12,5	10	12,5	14,5
Входно съпротивление, $\Omega$	60	75	60	75	50
Всички размери са в mm					

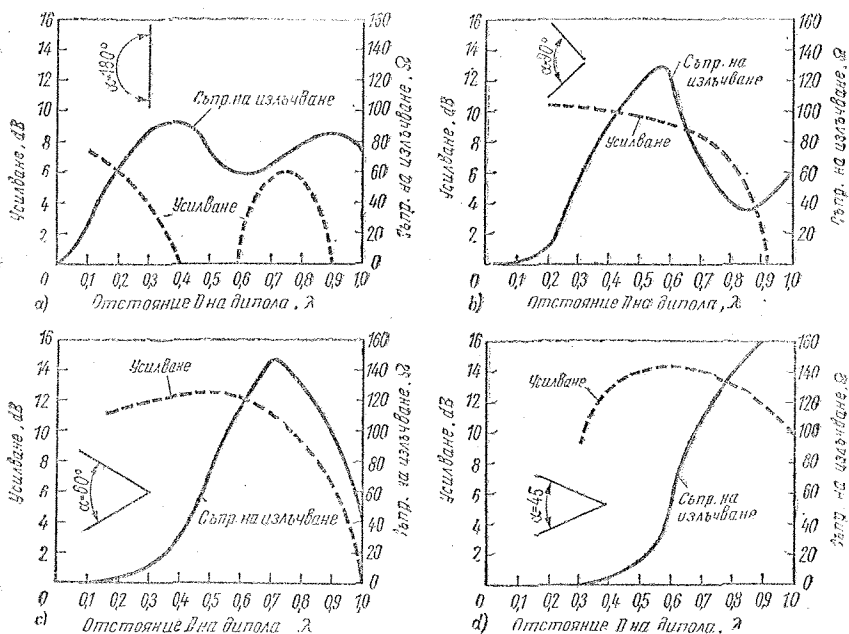
твърдение, че входното съпротивление на един дипол, намиращ се пред плоска рефлекторна стена, не се изменя при диполно отстояние  $0,2 \lambda$ .

Кривите за един  $90^\circ$ -градусов ъглов рефлектор са дадени на фиг. 26.15б. Най-подходящото разстояние в случая е  $D=0,33 \lambda$ ; усиляването е  $10 \text{ dB}$ , а съпротивлението на излъчване — около  $60 \Omega$ . От фиг. 26.15с следва, че при ъгъл на разтвора  $\alpha=60^\circ$  оптималното диполно отстояние е  $0,5 \lambda$ , тъй като при него се получава усиление  $12,5 \text{ dB}$  и съпротивлението на излъчване е около  $75 \Omega$ . Най-голямо усиление се получава при ъгъл на разтвора  $\alpha=45^\circ$  (фиг. 26.15д). За получаване на максимално усиление от  $14,5 \text{ dB}$  диполното отстояние  $D$  трябва да бъде  $0,6 \lambda$ . Получаващото се в случая съпротивление на излъчване от  $50 \Omega$  е

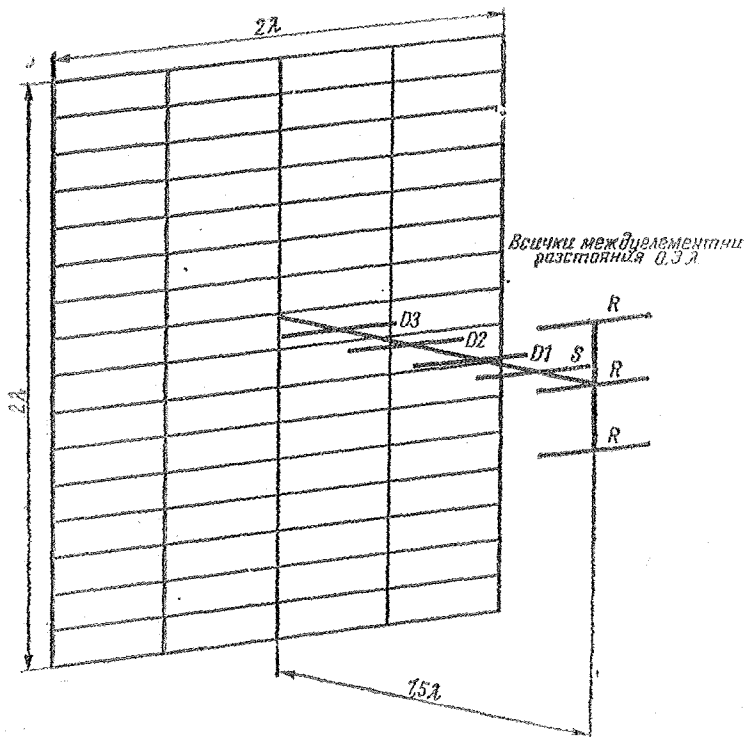
много удобно от гледна точка на съгласуването.

За осигуряване на съгласуване е много удобно, ако се осигуряват входни съпротивления, чиито стойности съвпадат с импеданса на стандартните коаксиални кабели. Всички описани антенни форми могат да бъдат захранени с коаксиален кабел и четвъртвълново заграждащо гърне или друго симетриращо устройство. Ако е необходимо антената да се захранва с  $240\text{-}\Omega$  линия, правият полуwave дипол трябва да се замести с един съгнат дипол (шлейфвibrator).

В табл. 26.1 са дадени геометричните размери на антени с ъглов рефлектор за  $2\text{-m}$  и  $70\text{-cm}$  любителски обхват. Буквените означения се отнасят към фиг. 26.12. Всички размери са в милиметри.



Фиг. 26.15. Усиление и съпротивление на излъчване на диполна антена с ъглов рефлектор във функция от разстоянието  $D$ : а — дипол пред плоска рефлекторна стена (ъгъл на разтвора  $180^\circ$ ), б — полуwave дипол пред ъглов рефлектор с ъгъл на разтвора  $90^\circ$ , в — полуwave дипол с ъглов рефлектор с разтвор  $60^\circ$ , д — полуwave дипол с ъглов рефлектор с разтвор  $45^\circ$ .



Фиг. 26.16. Backfire-антена

### 23.3. Специални форми на надлъжния излъчвател

Най-познатият и най-широко разпространен надлъжен излъчвател е Яги-антената. Освен нея има още цяла редица от надлъжно излъчващи антенни структури, които отчасти са модификации на Яги-антените, но в повечето случаи са конструирани въз основа на други принципи. Тук ще бъдат описани няколко познати форми от тях, които имат значение за любителската работа.

#### 25.3.1. Backfire-антена\*

Тази антена, наричана понякога и „антена с обратно излъчване“, е показана на фиг. 26.16.

\* Backfire [бек файър] = обратен огън (англ.) (б. пр.).

Вижда се, че тя е комбинация от дълга Яги-антена и рефлекторна стена. Нейният принцип на действие се разбира особено добре, когато тя се разгледа като предавателна антена: излъчваната от захранвания елемент  $S$  енергия с помощта на тройния рефлектор ( $R$ ) и вълноводната система от директори се насочва към рефлекторна стена с голяма площ. Енергията се отразява от нея, преминава за втори път през Яги-структурата, този път в обратна посока, и се отправя като силно насочено излъчване в свободното пространство. Тъй като вълната обхожда Яги-структурата два пъти, една бекфайър-антена има приблизително същите данни като дългата Яги-антена с двойна дължина. Яги-системата на показаната на фиг. 26.16 антена с обратно излъчване има дължина  $1,5 \lambda$ , така че цялата антена по отношение на нейните характери-

стични излъчвателни свойства отговаря на едно дълго Яги с два пъти повече елементи и дължина  $3\lambda$ .

Теоретически при удвояване дължината и броя на елементите на една Яги-антена усилването може да нарасне с 3 dB. На практика поради увеличените зауби прирастът на усилването е около 2,5 dB. Подобни резултати следва да се очакват и съгласно фиг. 22.7 — при увеличаване на дължината на една Яги-антена от  $1,5\lambda$  на  $3\lambda$  очакваният прираст на усилването е около 2,3 dB. В този случай обаче теорията не отчита действието на относително голямата рефлекторна стена на backfire-антената, тъй като в литературните източници единодушно се твърди, че измереното увеличение на усилването е от 4 до 6 dB, отнесено към Яги със същата дължина без backfire-стена. Освен това се изтъква, че големината на рефлектиращата площ влияе чувствително върху усилването. В случая важи следното правило: рефлектиращата стена на антената с обратно излъчване трябва да бъде толкова по-голяма, колкото по-дълга е използваната Яги-структура.

За определяне на оптималната дължина на кантовете ( $L$ ) на една backfire-антена в зависимост от дължината на антената ( $D$ ) може да се използва следното приблизително равенство:

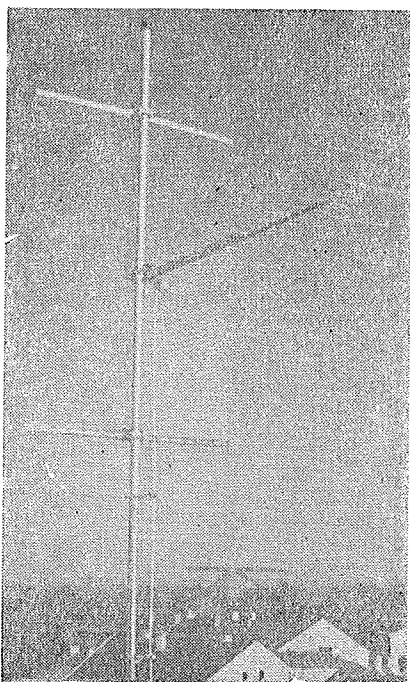
$$L = 1,22 D.$$

За скицираната на фиг. 26.16 антена с обратно излъчване се дава усилване 14,5 dB, хоризонтален ъгъл на разтвора  $28^\circ$  и вертикален ъгъл на разтвора  $35^\circ$ . При това се предполага, че е спазено изискването страната на рефлекторната стена да бъде  $2\lambda$ , а дългата  $1,5\lambda$  Яги-структура е оразмерена за максимално усилване.

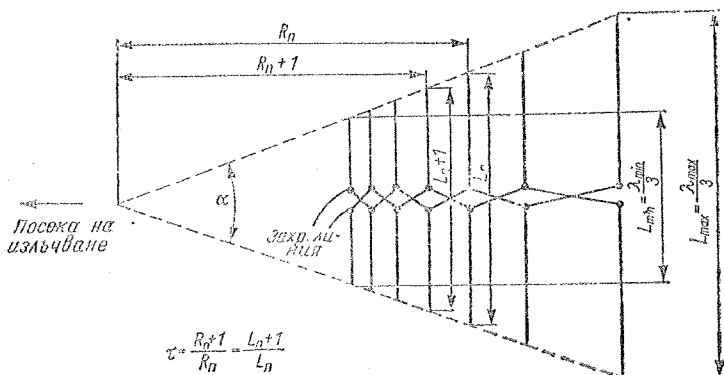
Една оптимално оразмерена Яги-антена без рефлекторна стена изменя силно резонансните си свойства, когато бъде свързана с рефлекторната стена за обратно излъчване. За да възстанови отново максималното усилване, междueleментните разстояния могат да се запазят същите, но трябва да се изменят дължините на елементите. Като ориентировъчно правило важи, че захранваният елемент и рефлекторът трябва да се удължат, а директорите — да се скъсят.

В любителски условия оптималното настройване на една backfire-антена не е възможно. Освен това от механични съображения има смисъл да се строи такава антена само за 70-cm любителски обхват, тъй като на 2 m backfire-антената може да се замести ефикасно от по-евтината и по-лека за изпълнение дълга Яги-антена. Ако е налице възможността да се строят големи рефлекторни стени от типоразмерите, изисквани за антени с обратно излъчване, многообещаващо е разработването на стажирани backfire-антени. Те са по-ширококулентови от еквивалентните по усилване дълги Яги-антени и като резултат от това оразмеряването им не е толкова критично.

Backfire-антени за телевизионно приемане в IV/V обхват бяха разработени от индустрията. Като пример на такава разработка на фиг. 26.17 е показана backfire-антена на фирмата Kathrein.



Фиг. 26.17. Backfire-антена за телевизионно приемане



Фиг. 26.18. Логопериодична диполна антена

### 26.3.2. Логопериодични антени

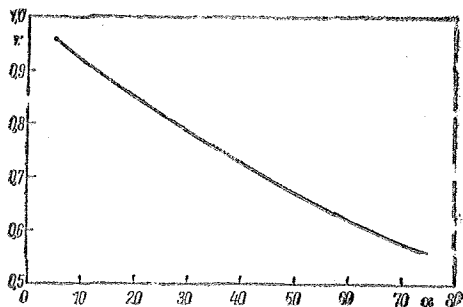
С определените логопериодични се обозначават антените, чиито свойства се менят периодично във функция от логаритъма на честотата. Те са най-новата форма на изключително ширококоленови надлъжни излъчватели за УКВ- и СВЧ-обхвата. Голямата ширококоленовост при сравнително малко усилване се изкупува с относително големи разходи за механиката. По тази причина логопериодичните антени се срещат много рядко в любителската практика. За служебни цели обаче този тип антени има вече голяма популярност, особено за случаите, когато е необходимо често и бързо сменяне на работната вълна в голям честотен диапазон. Затова съществуват вече разработки на много широкообхватни въртящи се логопериодични антени за къси вълни. Едно важно преимущество на логопериодичните антени е това, че при съответно оразмеряване те имат много високо затихване в посока „назад“ (от порядъка на 25 до 30 dB) и в тяхната диаграма както хоризонтална, така и вертикална, липсват странични лъкове. По тази причина те са много подходящи за телевизионно приемане в места, където отразени вълни създават трудности при приемането, както и в места, където се приемат различни предаватели, работещи на един и същи канал. Споменатата чиста диаграма на насоченост за разлика от болшинството други ширококо-

тови антени се запазва по целия работен обхват на логопериодичната антена. Усилването също остава почти неизменно по цялата честотна лента.

Както се вижда от дадения на фиг. 26.18 пример, една логопериодична диполна антена се характеризира с многото серийно свързани елементи, като при това най-дългият елемент е с дължина  $\lambda/2$  (отнесено към  $\lambda_{\max}$ ), а най-късият елемент — с дължина около  $\lambda/3$  (отнесен към  $\lambda_{\min}$ ). Захранващата линия се включва към най-късия дипол, след което тя като кръстосана разпределителна линия достига до най-дългия дипол. Когато антената е използвана като предавателна, вълната се придвижва по тази разпределителна линия, докато достигне до дипол, чиято дължина е около  $1/3$  от дължината на вълната  $\lambda$ . От този елемент започва активната зона на антенната структура и се разпростира до елемента, чиято дължина е равна на  $1/2$  от работната дължина на вълната. Цялата подавана енергия се излъчва именно от тази активна зона. Всички елементи, които са извън този сектор, не участват в излъчването. Те стават активни една когато се измени дължината на вълната така, че съобразно дължината си те се включат в излъчващата зона на антената.

От всичко това следва, че една логопериодична антена може да бъде оразмерена за произволно широк честотен обхват. Практическото изпълнение се ограничава само от разходите, налич-

Фиг. 26.19. Зависимост между ъгъла  $\alpha$  и периода  $\tau$  при оразмеряване за максимално усилване и максимално подтискане на излъчването в посока „назад“ при логопериодична диполна антена



ното място и механическите трудности. Освен това съотношението между разходите и ефекта е толкова по-лошо, колкото по-широка е исканата честотна лента, защото отношението на броя на неактивните елементи към малкото активни елементи от активната зона се увеличава с нарастване на честотната лента и с това се влошава рентабилността.

Удължаването на структурата не влияе върху усилването на антената, то довежда само до известно разширяване на лентата. Усилването на една логопериодична антена се определя само от ъгъла  $\alpha$  и коефициент за периода  $\tau$ . Този коефициент се получава от фиг. 26.18 като функция от разстоянието между два съседни дипола и ъгъла на разтвора  $\alpha$ :

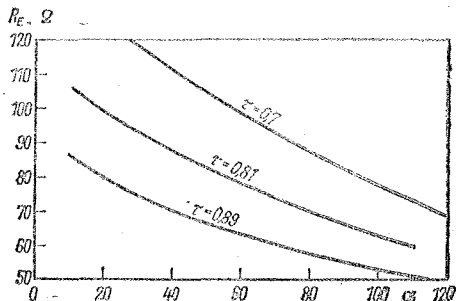
$$\tau = \frac{R_n + 1}{R_n} = \frac{L_n + 1}{L_n} \quad (26.2)$$

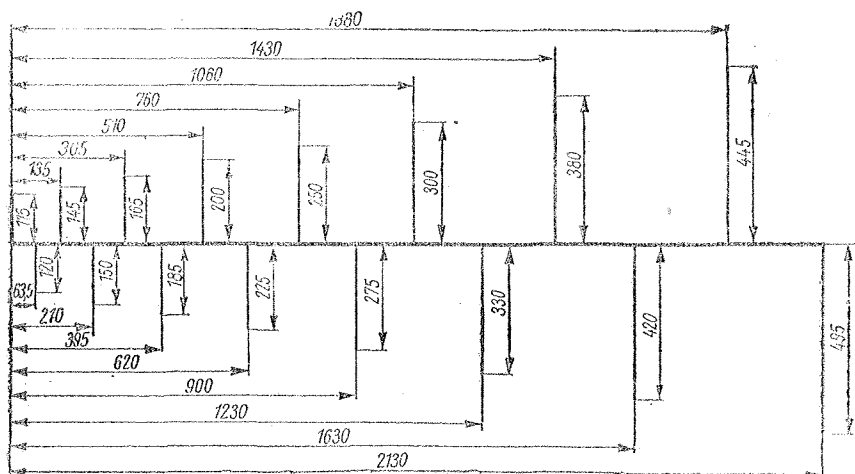
Периодът  $\tau$  може да има стойности между 0,5 и 0,95; като често използвана средна стойност може да се приеме  $\tau = 0,7$ . Ако антената трябва да се

оразмери за максимално възможното усилване и голямо затихване в посока „назад“, ъгълът  $\alpha$  и периодът  $\tau$  трябва да бъдат в определено отношение. Тази връзка е показана на фиг. 26.19. Така например един ъгъл на отвора от  $45^\circ$  изисква период  $\tau = 0,7$ . Общо взето, усилването е толкова по-високо, колкото по-малък е ъгълът  $\alpha$ , респективно колкото по-голям е коефициентът  $\tau$ . Максимално достижимото усилване с едно логопериодично платно, отнесено към полувълновия дипол, е между 3 dB при период  $\tau = 0,6$  и 11 dB, когато  $\tau = 0,95$ . За  $\tau = 0,95$  обаче се изисква ъгъл  $\alpha = 5^\circ$ , което практически е неизпълнимо, затова може да се разчита на едно реално постижимо максимално усилване от 8,5 dB.

Входното съпротивление  $R_E$  на една логопериодична диполна антена зависи също от коефициента  $\tau$  и от ъгъла  $\alpha$ . Тази връзка е дадена на фиг. 26.20. Общо може да се каже, че е възможно да се получат входни съпротивления между 50 и 120  $\Omega$  и че  $R_E$  се мени периодично във функция от честотата. При оптимално оразмеря-

Фиг. 26.20. Входно съпротивление  $R_E$  на една плоска логопериодична антена в зависимост от ъгъла  $\alpha$  при различни коефициенти  $\tau$

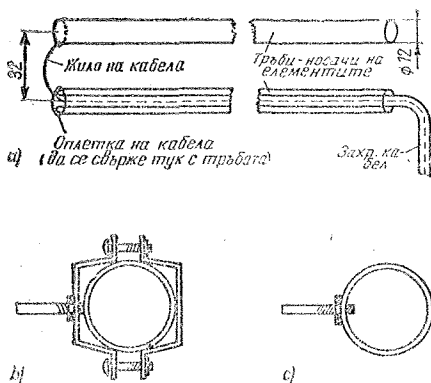




Фиг. 26.21. Схема за оразмеряване на една логопериодична диполна антена за честотния обхват от 140 до 450 МHz; на рисунката е дадена само едната половина на антената (вж. текста)

ване съгласно фиг. 26.19 се получават входни съпротивления между 85  $\Omega$  ( $\tau=0,89$ ) и 105  $\Omega$  ( $\tau=0,7$ ).

Едно логопериодично антенно платно може да бъде изпълнено в най-различни форми. Тъй наречените зъбна на такова едно платно се състоят от части



Фиг. 26.22. Механически детайли към конструкцията на логопериодична диполна антена според фиг. 26.21; а — включване на захранващия кабел, б — закрепване на елемент и е с тръбни скоби, в — закрепване на елементите чрез завиване в стената на носещата тръба

от метално-листови структури. В метровия и дециметровия обхват те се изпълняват най-често като диполи редици или като скелетна структура с триъгълни или меандрообразни по форма зъби. Във всички тия случаи се касае за надлъжни излъчватели, чиято поляризация съответствува на тяхното положение. Това означава, че едно хоризонтално лежащо антенно платно например има хоризонтална поляризация.

На фиг. 26.21 като пример е дадена конструкцията на една логопериодична диполна антена за честотния обхват от 140 до 450 МHz с всички необходими размери. Трябва да се построят две такива платна и да се наложат завъртени аксиално на  $180^\circ$  едно спрямо друго, така че да се получи конфигурацията, показана на фиг. 26.18. При такова изпълнение се премахва кръстосаната захранваща линия, тъй като се изготвят две платна, всяко от които съдържа само тези елементи, които трябва да са директно свързани един с друг. Двете платна се монтират на малко разстояние едно над друго така, че половинките елементи при поглед отгоре да образуват диполи с еднакви дължини на раменете. Краищата на изолираните един от друг държатели



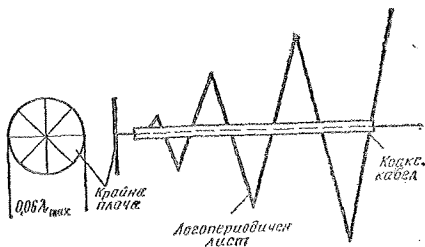
на елементите образуват същевременно и точките на захранване.

Входният импеданс  $R_E$  на върха на антената е приблизително  $70 \Omega$  и е симетричен, така че антената може да бъде захранена с всякакъв стандартен коаксиален кабел, чието външно съпротивление е между  $60$  и  $75 \Omega$ . За осигуряване на симетрирането съществува една проста възможност, която е представена на фиг. 26.22а: коаксиалният кабел се вкарва в едната от тръбите, носещи елементите откъм „широкият“ край на антената, и излиза откъм „тесният“ край, където ширмовката на кабела се свързва със същия край на тръбата, а жилото — с другата носеща тръба. В една конструирана от K7RTY моделна антена се използват носещи тръби за елементите с диаметър  $12 \text{ mm}$ , разположени на разстояние  $32 \text{ mm}$  една от друга. Двата носача са изолирани един от друг с помощта на три пластмасови държателя, които същевременно ги поддържат на еднакво разстояние паралелно един на друг.

Елементите, които са с диаметър около  $6 \text{ mm}$ , са закрепени към дългите по  $213 \text{ cm}$  носещи тръби, така че да е осигурена добра електрическа връзка. За целта могат да се използват или тръбни скоби (фиг. 26.22б), или при дебелистенни носещи тръби директно навинтаване на елементите в нарязани отвори и фиксиране с контрагайки (фиг. 26.22с).

Тази антена е разработена специално за използване на  $2 \text{ m}$  и  $70 \text{ cm}$ . Средната стойност на КСВ в тези любителски обхвати е под  $1,3$ . Усилването по целия честотен обхват от  $140$  до  $450 \text{ MHz}$  остава почти постоянно и равно на  $6,5 \text{ dB}$  (отнесено към полувълнов дипол). Антената е оразмерена оптимално за максималното възможно усиление при  $\alpha = 20^\circ$  и  $\tau = 0,87$ . Тя е от особен интерес в случаите, когато освен за двата любителски обхвата ще се използва и като приемна антена със средно усиление за телевизионни предавания на III обхват и за други излъчвания.

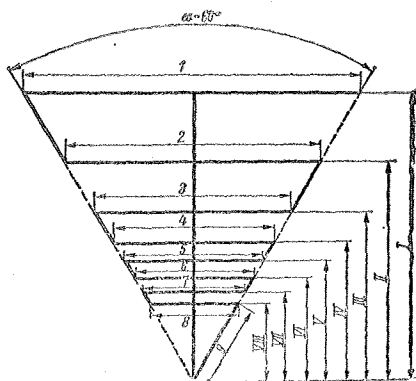
В добавка на фиг. 26.23 е показана една много опростена логопериодична антена с изпълнени от жица триъгълни зъби, която може да се захранва директно с коаксиален кабел. В този случай се използва само едно платно. В точките на пресичане на триъгълните



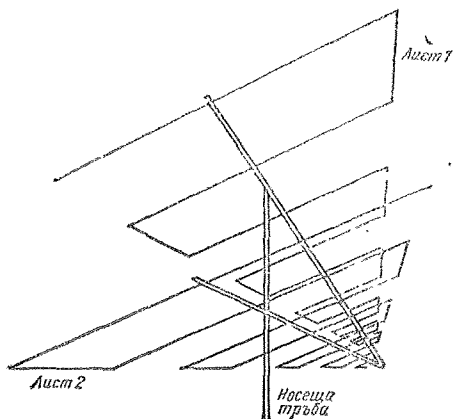
Фиг. 26.23. Опростена логопериодична антена, захранвана с коаксиален кабел

проводници със захранващия коаксиален кабел се осигурява връзка с външния проводник (оплетката) на кабела. Вътрешният проводник (жилото) на кабела завършва с една малка шайба с диаметър  $0,06 \lambda_{\text{макс}}$ .

По-големи усиления при по-високи входни съпротивления се получават чрез използване на две логопериодични платна, образувачи V-образна конструкция. За тези V-образни антени се използват предимно антенни платна с меандрови зъби или още по-просто с триъгълни зъби. Винаги се свързват две еднакви структури под определен ъгъл между платната, както е показано на фиг. 26.25. От нея се вижда, че платната трябва да са завъртени аксиално едно спрямо друга на  $180^\circ$ . Платната се монтират най-често под ъгъл  $\psi = 45^\circ$  едно спрямо друго. При по-малки ъгли се увеличава компактността на антената,



Фиг. 26.24. Една половина на логопериодичен излъчвател с меандрообразна форма,  $\alpha = 60^\circ$ ,  $\tau = 0,7$ ,  $\psi = 45^\circ$



Фиг. 26.25. Разположение на двата листа на една логопериодична V-образна антена според фиг. 26.24; ъгъл между листовете  $\psi = 45^\circ$

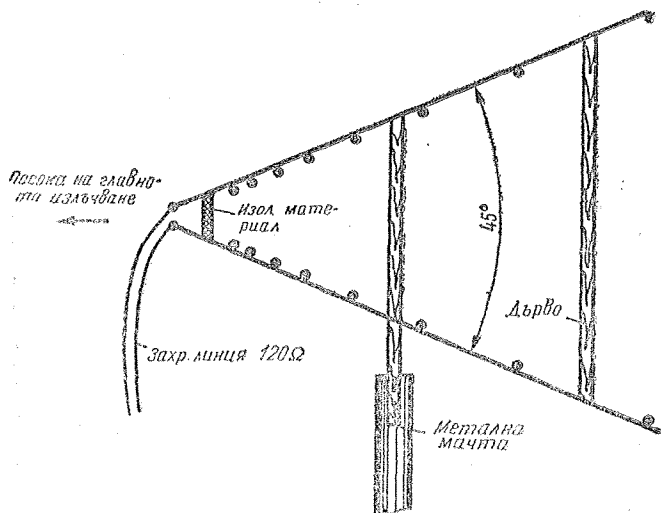
но усиляването намалява. При по-големи ъгли усиляването нараства, но системата става много разперена.

На фиг. 26.24 е показано едно антенно платно с меандрообразни зъби, което при дадените в табл. 26.2 размери има широчина на лентата от 48 до 230 MHz. За V-образна антена според

фиг. 26.25 са необходими две такива платна. При меандрообразни антени чрез свързващите проводници в краищата на раменете се осигурява такава фаза и амплитуда на антенния ток, че се получава насочено към върха на системата излъчване.

Фиг. 26.26 дава една идея за изпълнение, от която стават ясни останалите подробности. И при тази широколенцова V-образна антена излъчването е линейно поляризирано. Поляризацията е хоризонтална, когато раменете на меандрообразните структури са хоризонтални. Входното съпротивление е 120 до 130  $\Omega$ , симетрично, така че за директно захранване може да се използва ширмована симетрична линия от типа 120D10-1.

Елементите се изготвят от лек метал с диаметър 8 до 10 mm (тръби или пръчки). За връзка между краищата на елементите се използва алуминиев проводник с диаметър 1,5 до 3 mm. Като носачи на елементите могат да се използват както тръби от лек метал, така и дървени летви със сечение около  $30 \times 30$  mm. Раменете на меандрите са свързани проводящо точно в средите си към носача на елементите. При дървени третери е необходима



Фиг. 26.26. Логопериодична V-образна антена (страничен поглед); поляризацията на антената е хоризонтална

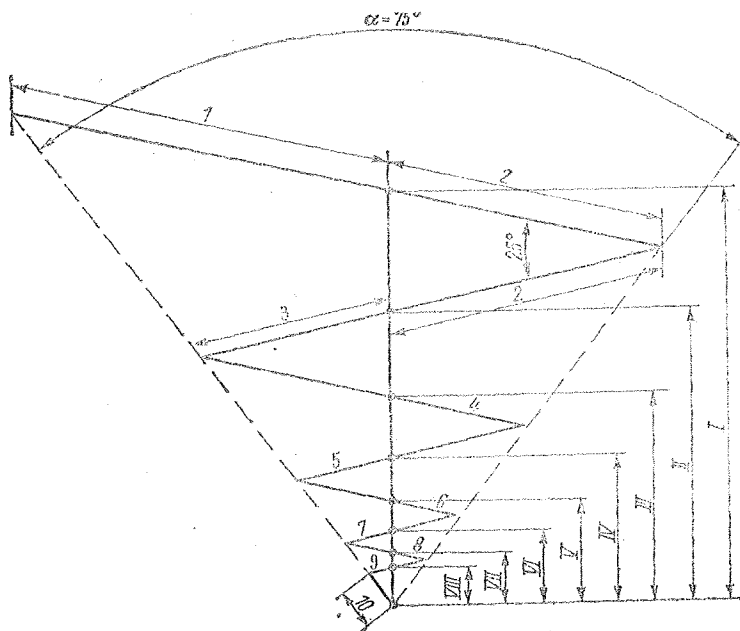
Таблица 26.2. Размъри на логопериодична антена според фиг. 26.24 (ширина на лентата 48 до 230 MHz)

Елемент 1	— 3000 mm	Участък I	— 2600 mm
Елемент 2	— 2120 mm	Участък II	— 1840 mm
Елемент 3	— 1500 mm	Участък III	— 1300 mm
Елемент 4	— 1060 mm	Участък IV	— 920 mm
Елемент 5	— 750 mm	Участък V	— 650 mm
Елемент 6	— 530 mm	Участък VI	— 460 mm
Елемент 7	— 375 mm	Участък VII	— 325 mm
Елемент 8	— 265 mm	Участък VIII	— 230 mm
Елемент 9	— 265 mm		

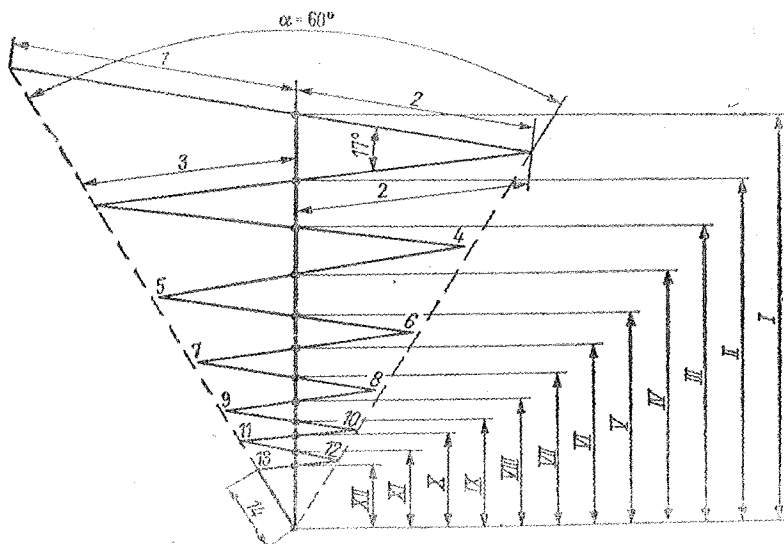
допълнително метална лента, която да осигурява галваническата връзка между средите на елементите. Както ясно се вижда от фиг. 26.26, двете антени платна са изолирани една от друго само с дървени разпорки.

От антената, дадена на фиг. 26.24, чрез конструктивни опростявания се е получила почти еквивалентна по показатели логопериодична антена с триъгълна форма на зъбите, показана на фиг. 26.27 и фиг. 26.28. Тази конструк-

ция изглежда е подходяща за ориентировъчни опити с логопериодични V-образни антени, тъй като може да се изготви лесно от медна жица и подходяща дървена рама. И в този случай проводниците, образувачи триъгълните зъби, се свързват електрически с посените пръти в пресечните точки с последните. Както при варианта с меандробразни елементи, и тук трябва да се монтират две антени платна под ъгъл  $\psi = 45^\circ$ .



Фиг. 26.27. Една половина на логопериодичен излъчвател с триъгълни зъби,  $\alpha = 60^\circ$ ,  $\tau = 0,84$ ,  $\psi = 45^\circ$



Фиг. 26.28. Една половина на логопериодичен излъчвател с триъгълни зъби,  $\alpha=75^\circ$ ,  $\tau=0,71$ ,  $\psi=45^\circ$

Антената от фиг. 26.27 осигурява по-голямо усиляване от тази, показана на фиг. 26.28, тъй като при нея зъбът на развора  $\alpha$  е по-малък и елементите са по-нагъсто ( $\tau=0,84$ ). Структурата може съобразно с желания честотен обхват да бъде произволно съкратена. При това трябва да се внимава най-дългият рамо да бъде  $\geq \lambda/2$  (отнесено към  $\lambda_{\text{макс}}$ ). Ако например се премахнат рамената 1—2 и 2—3 на антената от фиг. 26.27, рамото 3—4 с дължина 1980 mm остава като най-дълъг елемент. Следователно най-ниска честота на антената става съответно 76 MHz ( $\lambda=3,95$  m). Честотната лента в този случай ще бъде от 76 до 230 MHz. Ако се направи същото с антената от фиг. 26.28, би се получила лента от 100 до 230 MHz, тъй като рамото 3—4 има дължина само 1500 mm.

Дължините и разстоянията за едно антенно платно съгласно фиг. 26.27 са дадени в табл. 26.3, а размерите за едно платно съгласно фиг. 26.28 могат да бъдат намерени в табл. 26.24.

#### 26.4. Прорецни антени

Ако в средата на една голяма метална плоча се изреже една ивица,

чиято дължина е  $\lambda/2$ , образуваият се процеп може да се използва като излъчвател. Този процеп, чиято ширина трябва да бъде малка в сравнение с дължината му, се възбужда в средата на дългите му страни (в точките XX).

Процепът има същите свойства като полуълновия дипол, само че магнитната и електрическата компонента на полето са обратно разпределени. Вследствие на това и равнината на поляризацията е обратна. Един вертикален процеп излъчва като един хоризонтален дипол, а един хоризонтален процеп има вертикална поляризация. Входният импеданс в централната точка на захранването XX на един много тесен процеп е около 485  $\Omega$ . При разширяване на процепа входното съпротивление се увеличава. Това явление е точно противоположно на поведението на правия пръчковиден дипол. Процепът обаче също както и нормалният дипол трябва да бъде малко по-къс от точната дължина на полуълновата, за да се получи резонанс. Един по-широк процеп изисква по-голямо съксяване, отколкото един по-тесен процеп.

Процепният излъчвател се захранва симетрично в средата на процепа.

Таблица 26.3. Размери на логопериодична антена според фиг. 26.27  
(широчина на лентата 48 до 230 MHz)

Елемент 1	— 1560 mm	Участък I	— 2370 mm
Елемент 2	— 1280 mm	Участък II	— 2000 mm
Елемент 3	— 1080 mm	Участък III	— 1680 mm
Елемент 4	— 900 mm	Участък IV	— 1400 mm
Елемент 5	— 760 mm	Участък V	— 1185 mm
Елемент 6	— 640 mm	Участък VI	— 1000 mm
Елемент 7	— 540 mm	Участък VII	— 840 mm
Елемент 8	— 450 mm	Участък VIII	— 707 mm
Елемент 9	— 380 mm	Участък IX	— 600 mm
Елемент 10	— 320 mm	Участък X	— 500 mm
Елемент 11	— 270 mm	Участък XI	— 420 mm
Елемент 12	— 225 mm	Участък XII	— 353 mm
Елемент 13	— 190 mm		
Елемент 14	— 375 mm		

Таблица 26.4. Размери на логопериодична антена според фиг. 26.28  
(широчина на лентата 48 до 230 MHz)

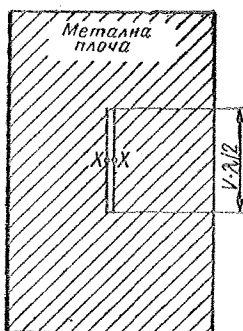
Елемент 1	— 1750 mm	Участък I	— 1850 mm
Елемент 2	— 1240 mm	Участък II	— 1310 mm
Елемент 3	— 880 mm	Участък III	— 925 mm
Елемент 4	— 620 mm	Участък IV	— 655 mm
Елемент 5	— 440 mm	Участък V	— 462 mm
Елемент 6	— 310 mm	Участък VI	— 327 mm
Елемент 7	— 220 mm	Участък VII	— 231 mm
Елемент 8	— 155 mm	Участък VIII	— 163 mm
Елемент 9	— 110 mm		
Елемент 10	— 176 mm		

В точките XX (фиг. 26.29) може да се включи една симетрична двупроводна линия с вълново съпротивление около 500  $\Omega$ , при което съгласуването е добро. Тази стойност е обаче доста неудобна, понеже няма стандартни фабрични линии с такова вълново съпротивление. (За получаването на такова стойност би било необходимо едно отношение разстояние (диаметър на проводниците) от около 30 : 1 — вж. фиг. 5.4).

Тъй като съпротивлението в посока към края на процепа намалява, би могло самият процеп да се използва като импедансен трансформатор. Чрез преместване на двете точки за захранването XX от средата на процепа към единия от двата края на последния се

постига по-ниско входно съпротивление. В резултат на това изместване се получава и известно изменение на излъчвателната характеристика, но то е незначително. Аналогично на дипола и при един процеп излъчвател може да се постигне разширяване на честотната лента чрез разширяване на процепа и особено на краищата му.

Ако процепът се направи във формата на сгънат дипол (шлейфдипол), входното съпротивление се намалява в отношение 4 : 1. Такъв шлейфообразен процеп може да бъде възбуден посредством коаксиален кабел с вълново съпротивление 75  $\Omega$ , както е показано на фиг. 26.30. И в този случай процепният дипол се държи по обрат-

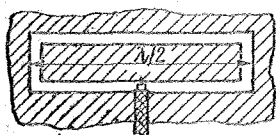


$V$  = скъсяващ фактор  
 $XX$  = точка на захранване  
 $\approx 485 \Omega$

Фиг. 26.29. Плосък процепен излъчвател

ния начин на нормалния дипол, тъй като, както е известно, при изпълнение на нормалния дипол като шлейф-вибратор неговият импеданс се покачва в отношение 4:1.

В професионалната антенна техника от особено значение е *тръбният процепен излъчвател* (фиг. 26.31). Този вертикален процеп в стената на тръбата излъчва кръгообразно хоризонтално и свива излъчването по вертикала. Входното съпротивление при тръбно изпълнение на антената нараства на 600 до 1000  $\Omega$ . При вертикално етажирание на процепни излъчватели хоризонталното кръгово излъчване остава непроменено, а вертикалният ъгъл на разтвора се намалява. Захранващите линии се прекратват към точките на захранване на процепите през вътрешността на тръбата. Получава се много стабилно и в повечето случаи самоподдържащо се съоръжение. Съпротивлението на вятъра е много малко и може да бъде намалено още повече чрез закриване на отворите на процепите с пластмасови капачки. Характеристиката на излъчване също се оказва много под-



Фиг. 26.30. Шлейфообразна процепна антена

ходяща за редица свързочни и радиослужби, затова тръбният процепен излъчвател в различни изпълнения е много разпространен в УКВ- и СВЧ-обхватите.

Ако все повече намаляваме плоската метална повърхност, в която е направен процепът, накрая остава едно малко окръжение около отвората, така че съоръжението добива формата на една правоъгълна рамка. Такава рамка (фиг. 26.32) също притежава свойствата на един плосък процепен излъчвател и се използва като такъв под името *скелетен процеп* или *скелетна антена*. По едно време тази антена се ползуваше с изключителната слава на антена-чудо, тъй като в литературата бяха дадени неверни данни за нейното усиляване. Много любители я повториха в разбираемото желание да притежават високоефективна антена, която изисква материални разходи и пространство, равни на само част от това, което изискват антените с познато изпълнение. Грижливите измервания на Seefried показаха, че скелетната антена има приблизително качествата на един прост прав полуълнов дипол. Някакво усиляване спрямо последния не бе констатирано. Тъй като входното съпротивление на скелетно-процепните антени ( $\approx 500 \Omega$ ) е твърде високо, тя създава известни трудности за доброто съгласуване със захранващата линия. Това стана допълнителна причина за силно намалялата напоследък популярност на тази антенна форма.

Това, че тази антена не притежава погрешно приписваните ѝ качества на антена-чудо, не може да бъде основание за подценяването ѝ. В последно



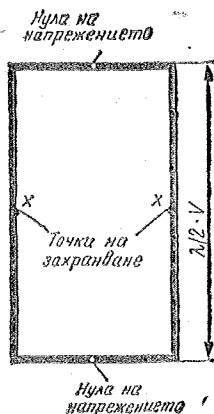
Фиг. 26.31. Тръбна процепна антена

време тя се използва с желание и с добър успех като възбуждащ елемент в етажирани Яги-антени (вж. раздели 22.4.3. и 22.4.4.).

## 26.5. Антени с кръгова поляризация

Както беше изтъкнато в раздел 21.1., кръговата поляризация има предимства, когато става дума за това, еднакво да бъдат приемани вълни с вертикална, хоризонтална или наклонена поляризация. Естествено една антена с кръгова поляризация е най-подходяща за приемане на кръгово поляризирана вълни. Може да се каже, че антените с кръгова поляризация имат универсално приложение, тъй като те приемат също и всяка линейно поляризирана вълна при същото усилване.

Следващата сравнителна таблица дава пояснение за съотношенията в свър-



Фиг. 26.32. Скелетна процепна антена

зочните линии с еднаква и с различна поляризация:

Поляризация на приемната антена	Поляризация на предавателната антена	Затихване
Линейна хоризонтална	Линейна хоризонтална	0 dB
Линейна хоризонтална	Линейна вертикална	около 20 dB
Кръгова	Кръгова	0 dB
Кръгова	Кръгова вертикална или хоризонтална	3 dB

Явяващото се между кръгова поляризация и линейна поляризация затихване от 3 dB може да се обясни нагледно, ако си представим, че енергията, излъчвана от предавателя, се разделя по половина във вертикалната и в хоризонталната равнина. Затова върху линейно поляризираната приемна антена в зависимост от нейната поляризация ще действа или само „вертикалната половина“, или само „хоризонталната половина“ на излъчената енергия. Половин мощност съответства на затихване 3 dB. По тази причина линейно поляризираната антена приема около 7/10 от наличното в кръговополяризираното поле напрежение. Обратно, затихването между линейна хоризонтална поляризация и линейна вертикална поляризация е около 20 dB, т. е. индуктираното в приемната антена напрежение е около 1/10 от наличното напрежение на полето.

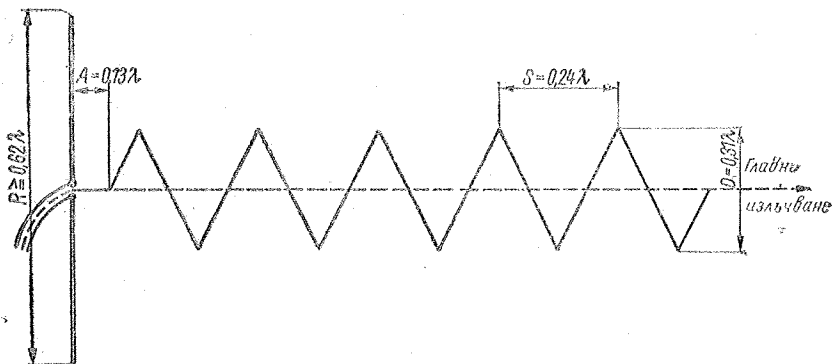
Експерименти, проведени от Bittan на 2-m любителски обхват, доказаха и други предимства на кръговата поляризация. Оказа се, че е възможно, като се използва кръгова поляризация, да се направят връзки с отдалечени долини и други иначе скранирани области, с които при използване на линейна поляризация не е била възможна радиовръзка. Очевидно е, че при получаващите се в тези случаи многократни отражения кръговата поляризация е по-результатна от линейната. Кръговата поляризация дава големи предимства и при връзки със самолетни (мобилни) станции. Вследствие на непрекъснатоменящата се околна обстановка по време на пътуването са налице постоянноменящи се отразени сигнали. Почти винаги вертикално поляризираните пръчковидни антени се огъват от вятъра при движението и извършват махалообразни люления. В резултат на всички тези влия-

ния възникват непрекъснати изменения на амплитудата, фазата и посоката на поляризацията, вследствие на които приемането е съпроводено с непрекъснати замирения. Последните са особено силно изразени при вертикалните мобилни антени, тъй като болшинството препятствия имат вертикална конфигурация. При използване на антена с кръгова поляризация болшинството от причинените от изменение на поляризацията вибриращи затихвания изчезват. При едно измерване в гъста гора с дължина около 4 km бяха измерени затихвания на сигнала, както следва: при вертикална поляризация — с около 40 dB, при хоризонтална — с около 12 dB и при кръгова — с около 3 dB. Тези резултати отговарят на констатацията, че предимствата на кръговата поляризация се проявяват толкова повече, колкото по-лошо е местоположението на станцията от гледна точка на разпространение на УКВ.

Като антени с кръгова поляризация в любителската практика са се наложили спиралната антена и кръстосаната Яги-антена. Спиралната антена се изпълнява механически по-трудно, но пък се захранва много просто. Кръстосаното Яги, напротив, механически е просто, но създава повече трудности около захранването.

### 26.5.1. Спирална антена

Този интересен излъчвател е известен още под имената пружинна антена, винтова антена, тирбушонна антена и Helix-beam.



Фиг. 26.33. Схема на спирален излъчвател

Когато антенният проводник се свие под формата на спирала, възниква кръгово въртяща се поляризация на вълната. При това е необходимо дължината на всяка навивка да бъде около 1 λ. Като се вземе пред вид скъсяващият фактор, това означава, че диаметърът на навивките трябва да бъде около 0,31 λ. Необходимо е освен това броят на навивките да бъде поне 3; чистотата на кръговата поляризация нараства с увеличаване броя на навивките. Една проста проводникова спирала излъчва в двете посоки по оста на намотките. Излъчването става еднопосочно, ако се постави рефлекторен диск, при което се получава съответно усилване на излъчването по посока на другия край на спиралата.

Схемата на една спирална антена и данните за оразмеряването ѝ са дадени на фиг. 26.33. Спиралните навивки са представени опростено. Диаметърът  $D = 0,31 \lambda$  може да се изчисли и като се изходи от честотата, като се използва изразът

$$D = \frac{9360}{f} \quad (26.3)$$

Тук  $D$  е в cm, а  $f$  — в MHz.

От диаметъра на спиралата се определя обиколката  $L$ :

$$L = 3,14D.$$

Друг важен параметър на спиралната антена е ъгълът на наклона, който определя стъпката на спиралата ( $S$ ). Допускат се ъгли на наклона от  $6^\circ$  до  $24^\circ$ , като нормално се използва



ъгъл  $14^\circ$ , при който антената показва най-добри свойства. При ъгъл на наклона  $14^\circ$  се получава стъпка (разстояние между навивките)  $S=0,24 \lambda$ . Относно към честотата, това дава:

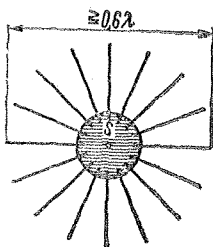
$$S = \frac{7200}{f}, \quad (26.5)$$

където  $S$  е в см, а  $f$  — в МГц.

Диаметърът на рефлектора не трябва да бъде особено голям, но не и помалък от  $0,5 \lambda$ , тъй като в този случай входното съпротивление на системата не се влияе от него. По-голямата площ на рефлектора обаче осигурява особено силно подтискане на излъчването в посока „назад“. Като удобна средна величина за диаметъра на рефлектора може да се приеме удвоената стойност на диаметъра на спиралата ( $2D=0,62 \lambda$ ). Обикновено рефлекторът има формата на кръг, но може да се използват също и метални повърхности с квадратна форма. Докато в СВЧ-обхвата се използват почти изключително плътни метални дискове, в метровия обхват с цел да се поевтинят и олекотят антените често се използват рефлектори от типовете, показани на фиг. 26.34 и фиг. 26.37.

Разстоянието  $A$  (между рефлектора и началото на спиралата) се избира  $0,13 \lambda$  (около  $S/2$ ). В случая се използва изразът

$$A = \frac{3900}{f}, \quad (26.6)$$



Фиг. 26.34. Опростен рефлектор с произволен диаметър, с централен отбор за прекъсване на захранващ кабел

Фиг. 26.34. Опростен рефлектор на спирална антена

където  $A$  е в см, а  $f$  — в МГц.

Диаметърът на проводника, от който е направена спиралата ( $d$ ), трябва да бъде  $0,02 \lambda$ . При обиколка на навивката  $L=1 \lambda$  входното съпротивление  $Z$  е  $136 \Omega$ . Ако  $L < 1 \lambda$ , импедансът  $Z=136 \Omega$ , при това  $Z$  става силно честотно зависим. Обратно,  $Z$  остава постоянен в широк честотен обхват, когато  $L \geq \lambda$ . При обиколка между  $0,75$  и  $1,35 \lambda$  входното съпротивление  $Z$  може да се изчисли по приблизителната формула

$$Z=136L, \quad (26.7)$$

където  $Z$  е в  $\Omega$ , а  $L$  — в дължини на вълната.

Точката на захранването е несиметрична, затова последното се извършва посредством коаксиален кабел.

Таблица 26.5. Усилване и ъгъл на разтеора на една спирална антена според фиг. 26.33 в зависимост от броя на навивките  $n$

Брой на навивките, $n$	Усилване, $dB$	Ъгъл на разтвора
3	7,9	$61^\circ$
4	9,1	$53^\circ$
5	10,2	$47^\circ$
6	11,0	$43^\circ$
7	11,7	$40^\circ$
8	12,3	$37^\circ$
9	12,8	$35^\circ$
10	13,2	$33^\circ$
11	13,6	$31,5^\circ$
12	14,0	$30^\circ$

От малката честотна зависимост на входното съпротивление следва, че спиралната антена има добра широко-лентовост. При разстояние между навивките  $S=0,24\lambda$ , което отговаря на ъгъл на наклона  $14^\circ$ , коефициентът на стоящи вълни остава по-малък от 1,35 в обхват с честотно отношение 1:1,6.

Усилването и характеристиките на насоченост на една спирална антена се определят от броя на навивките ( $n$ ), обиколката на навивките ( $L$ ) и стъпката ( $S$ ). Усилването расте почти пропорционално на броя на навивките. Краус дава приблизителни формули за изчисляване на усиляването  $G$ , които важат при ъгъл на наклона между  $12^\circ$  и  $15^\circ$  и брой на навивките  $n \geq 3$ . Относно към един изотропен излъчвател с кръгова поляризация, усиляването на спиралната антена е

$$G=15 \cdot L^2 \cdot n \cdot S, \quad (26.8)$$

където  $L$  и  $S$  са в  $\lambda$ , а  $G$  — в числово отношение (пъти).

Усилването в логаритмично отношение (dB) се получава от

$$G=10 \lg L^2 \cdot n \cdot S \cdot 15, \quad (26.9)$$

където  $L$  и  $S$  са в  $\lambda$ , а  $G$  — в dB.

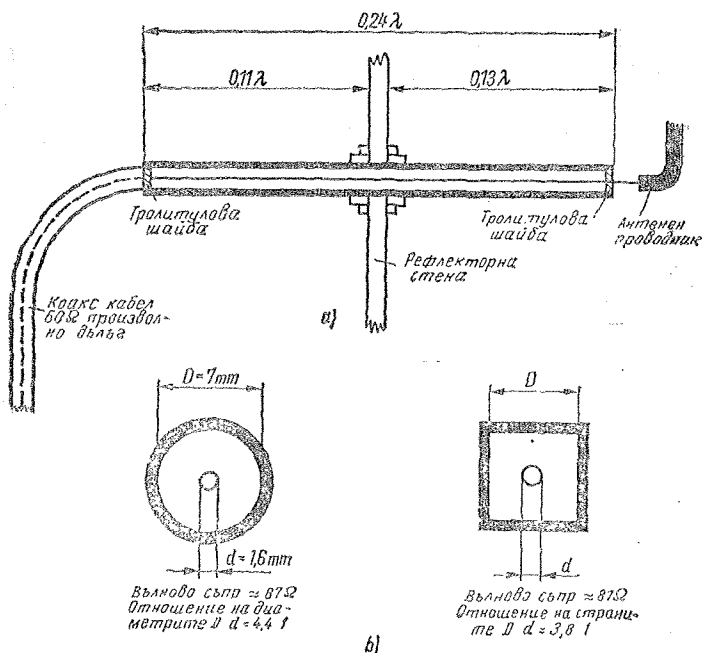
Също от Краус беше дадена една формула за изчисляване на ъгъла на развора на диаграмата (на ниво половин мощност):

$$\alpha = \frac{52}{L \sqrt{n \cdot S}}, \quad (26.10)$$

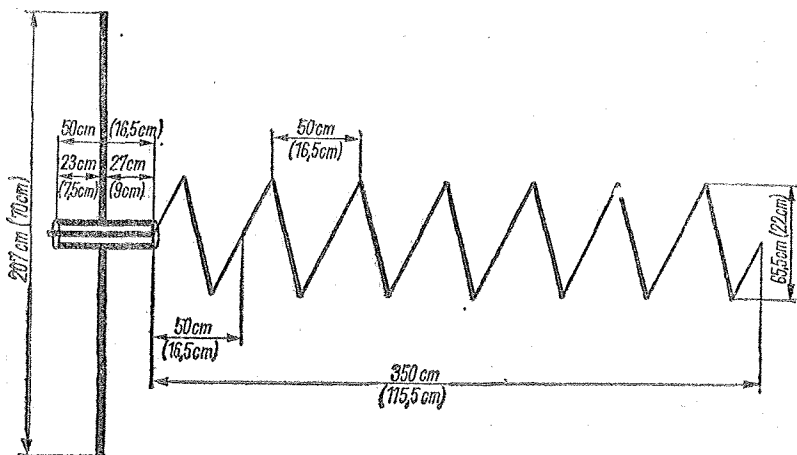
където  $\alpha$  е ъгълът на развора в градуси.

Тази зависимост също е валидна само при ъгъл на наклона от  $12^\circ$  до  $15^\circ$  и когато броят на навивките  $n \geq 3$ .

В табл. 26.5 са дадени очакваното усиляване и съответният на него ъгъл на развора във функцията от броя на навивките на спиралната антена. Изчислението е направено с помощта на (26.9) и (26.10), като се предполага, че  $S=0,24\lambda$  (ъгъл на наклона  $14^\circ$ ) и  $D=$



Фиг. 26.35. Концептичен четвъртвълнов съгласуващ трансформатор за спирална антена: а — надлъжен разрез, б — напречен разрез



Фиг. 26.36. Спирална антена за 2-м обхват; подробности за рефлектора и съгласувачия трансформатор вж. на фиг. 26.34 и фиг. 26.35

$=0,31 \lambda$  (обиколка на навивката  $1 \lambda$ ). Резултатът от (26.9) се отнася към един изотропен (сферичен) излъчвател. За по-лесно сравнение данните за усиляването, дадени в табл. 26.5, са отнесени, както обикновено, към един настроен полуълнов дипол.

При не много дълъг фидер излъчвателят може да се захрани директно със 75-омов коаксиален кабел. КСВ в този случай ще бъде  $\leq 2$ . По-добре е обаче да се извърши точно съгласуване с помощта на четвъртълнов коаксиален трансформатор. Едно съгласуващо  $Q$ -звено според фиг. 6.8 може да бъде изпълнено също така добре и с коаксиална линия. Необходимо е само търсеното вълново съпротивление  $Z$  на тази концентрична линия да се изчисли по (5.31). Ако се приеме, че входното съпротивление на Helix-бима е  $125 \Omega$  и трябва да се съгласува с един 60-омов кабел ( $Z_E$ ), за вълновото съпротивление на четвъртълновия трансформатор  $Z$  се получава

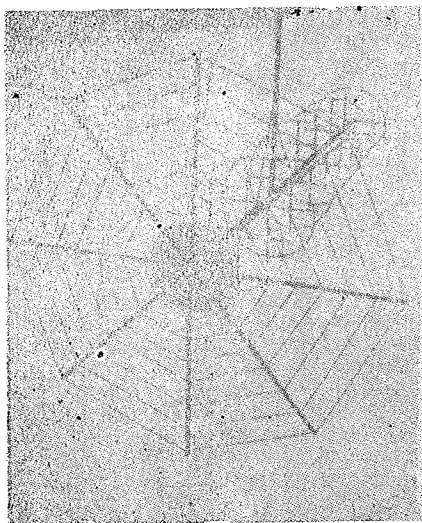
$$Z = \sqrt{Z_A \cdot Z_E} = \sqrt{125 \cdot 60} = \sqrt{7500} = 86,6 \Omega.$$

Съгласно фиг. 5.5 желаното съпротивление  $86,6 \Omega$  при концентрична линия с въздушна изолация ще се получи, когато съотношението между външния диаметър на вътрешния проводник и вътрешния диаметър на външ-

ния проводник е равно на  $1:4,4$ . За простота на изпълнението може за вътрешен проводник на импедансния трансформатор да се използва жилото на захранващия коаксиален кабел (тип 60-7-2), което има диаметър  $1,6 \text{ mm}$ . В такъв случай за вътрешния диаметър на  $Q$ -звеното тогава се получава  $1,6 \cdot 4,4 \approx 7 \text{ mm}$ .

На фиг. 26.35 е дадено едно примерно изпълнение на концентричния съгласувач трансформатор. Общата дължина на тази линия, като е взет пред вид коефициентът на скъсяване, е  $0,24 \lambda$ . Ако сравнително малкият вътрешен диаметър на външната тръба създава механически трудности, могат да се използват тръби с други размери; важно за получаването на вълново съпротивление  $87 \Omega$  е само отношението на споменатите диаметри да бъде  $4,4:1$ . При саморъчно изготвяне на такава концентрична линия често е по-удобно външният проводник да е с квадратно сечение. В такъв случай за получаване на вълново съпротивление  $87 \Omega$  ще е необходимо отношение  $D:d=3,8:1$ .

Фиг. 26.36 показва схемата на една спирална антена, към чиято точка на захранване е свързан един четвъртълнов трансформатор, с помощта на който антената може да се съгласува с коаксиален кабел. При дадените размери резонансната честота е в 2-мет-



Фиг. 26.37. Спирална антена на DL6MH

ровия обхват, а в скоби са дадени размерите за работа на 70 см. При това изпълнение се използва диаметър на рефлектора 1  $\lambda$ . Разбира се, диаметърът на рефлектора може да се намали до 0,63 $\lambda$ , без да е нужно да се менят другите размери. Според табл. 26.5 с тази антена може да се постигне усиление 11,7 dB при ъгъл на разтвора 40°.

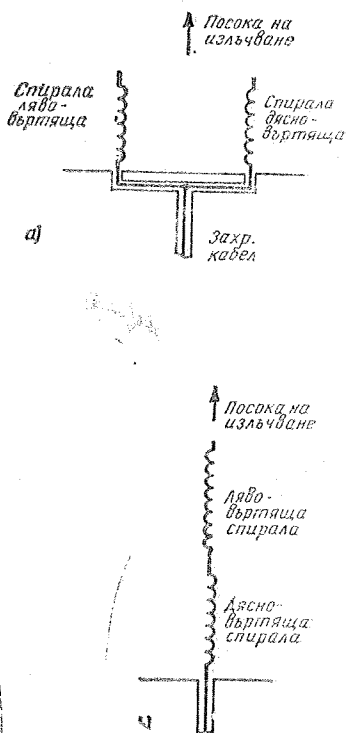
За изготвяне на спиралата е подходящ 10 mm алуминиев проводник като този, който се използва за заземяване на гръмоотводите. Навивките могат да се фиксират върху подходяща дървена рама. Метални мачти могат да се поставят само зад рефлекторната стена. При такъв монтаж връзката между антената и върха на мачтата е много претоварена, затова е по-добре да се използва дървена мачта, поставена в центъра на тежестта на антената.

Една спирална антена, построена и изпробвана от DL6MH, е показана на фиг. 26.37. В тази антена се използва паяжинообразен мрежов рефлектор от проводници. Конструкторът ѝ подчертава нейната изключително добре изразена насоченост.

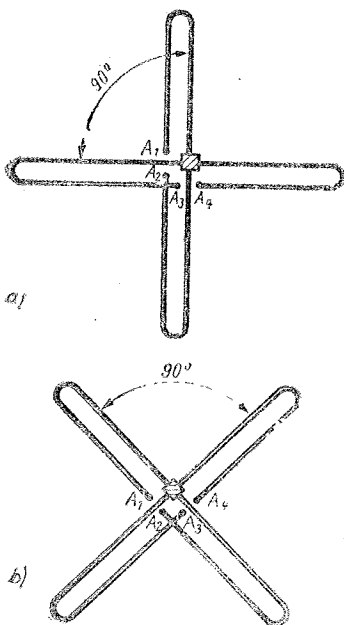
Както вече се спомена в началото на раздел 26.5., при приемане на кръгово поляризирана вълна с линейно поляризирана антена и обратно се

наблюдава затихване 3 dB по отношение на напрежението, което би се индутирало при еднаква поляризация на двете антени. Съществуват възможности обаче със спирални антени да се излъчват и да се приемат линейно поляризиращи вълни. За целта две еднакви спирални антени се свързват заедно в група съгласно фиг. 26.38a, като задължително посоките на техните навивки са противоположни (едната — лявовъртяща, другата — дясновъртяща).

При еднаква посока на въртене поляризацията остава кръгова. Ако двете противоположно навити спирали се монтират една до друга в хоризонталната равнина, поляризацията е хоризонтална. Вертикална поляризация се получава при етажирание на спиралните антени по вертикала. Линейна поляризация може да се получи и ако две про-



Фиг. 26.38. Линейна поляризация чрез две спирални антени с противоположно навити спирали: а — чрез паралелно свързване на спиралите, б — чрез последователно свързване на спиралите



Фиг. 26.39. Кръстообразна конфигурация на кръгово поляризирани Яги-системи (захранвани елементи): а — „изправен кръст“ от едно хоризонтално платно и едно вертикално платно, б — „наклонен кръст“ — двете взаимно перпендикулярни платна са под ъгъл  $45^\circ$  спрямо вертикалната равнина

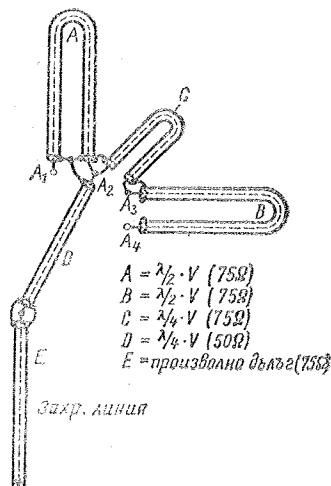
тивоположно навити спирали се включват последователно една зад друга, както е показано на фиг. 26.38б. Вследствие на възникващите при такова разположение трудности от механически и електрически характер структури от този род не са намерили практическо приложение.

Изпълнението, дадено на фиг. 26.38а, би трябвало да бъде от интерес за 70 см обхват. При паралелно включване на две спирални антени се получава удобно входно съпротивление от порядъка на 65 до 70  $\Omega$ , затова такава група може да се захранва директно (без включване на междинен съгласуващ трансформатор) със стандартен коаксиален кабел. Ако всяка антена има 6 навивки с ъгъл на наклона  $14^\circ$ , се препоръчва разстояние между осите на спиралите 1,5  $\lambda$ . От такава спирална двойка може да се очаква усиление 14 dB, отнесено към полуълнов дипол.

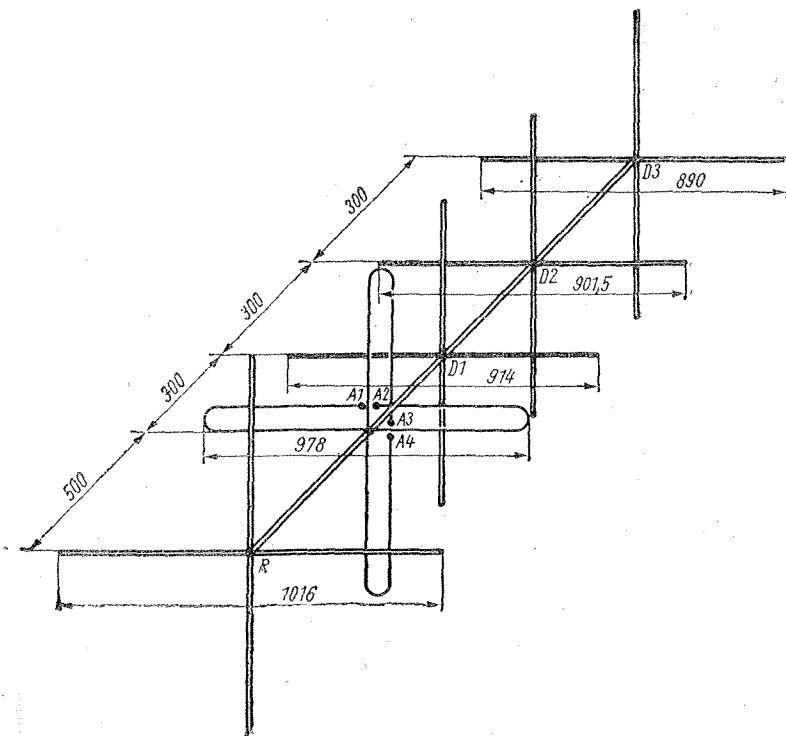
## 26.5.2. Яги-антени с кръгова поляризация

Кръгова поляризация с Яги-системи се получава, като две напълно еднакви в механическо и електрическо отношение Яги-антени се разположат така, че разликата в поляризацията им да бъде  $90^\circ$  (например едната система с хоризонтална поляризация, а другата — с вертикална) и двете системи се захранват с фазово изместване  $90^\circ$  една спрямо друга. При тези условия се получава въртящо се поле, което в зависимост от възбудяването е дясно въртящо (по посока на часовниковата стрелка) или ляво въртящо (обратно на часовниковата стрелка). При приемане на линейно поляризиран вълна посоката на въртене на кръговата поляризация няма значение.

Обикновено двете Яги-системи се монтират върху общ трегер с взаимно перпендикулярни елементи (фиг. 26.39). Тъй като захранваните елементи са включени паралелно, входното съпротивление е половината от стойността за една единична система. Същевременно високочестотната енергия, доставена от предавателя, се разпределя по равно между двете системи. Това означава, че кръгово поляризираното излъчване ще бъде приемано от каква



Фиг. 26.40. Захранваща система за кръгово поляризиран кръстосани Яги-системи според фиг. 26.39



Фиг. 26.41. G3JYQ-Twister (възбуждаща система, вж. фиг. 26.40)

да е линеино поляризирана антена със загуби 3 dB. Фазовото изместване от  $90^\circ$  между двете системи, необходимо, за да се получи кръгова поляризация, се постига лесно, като едната от двете системи се възбужда с една „заобиколка“ от  $1/4$  дължина на вълната. Взаимната връзка между двете Яги-системи чрез излъчването трябва да бъде минимална, така че те да бъдат свързани практически само по четвърт-вълновата заобикаляща линия. Тази минимална връзка между платката е осигурена с това, че едната система е поляризирана хоризонтално, а другата — вертикално (фиг. 26.39a). Често е удачно кръстообразно монтираните елементи да се завъртят аксиално на  $45^\circ$ , така че в поглед отпред те да изглеждат като „полегнали кръстове“, т. е. елементите да са с наклонена поляризация (фиг. 26.39b). По този начин при неизменяща се електрическа ефек-

тивност се намалява вредната връзка между елементите и вертикалната метална мачта на антената.

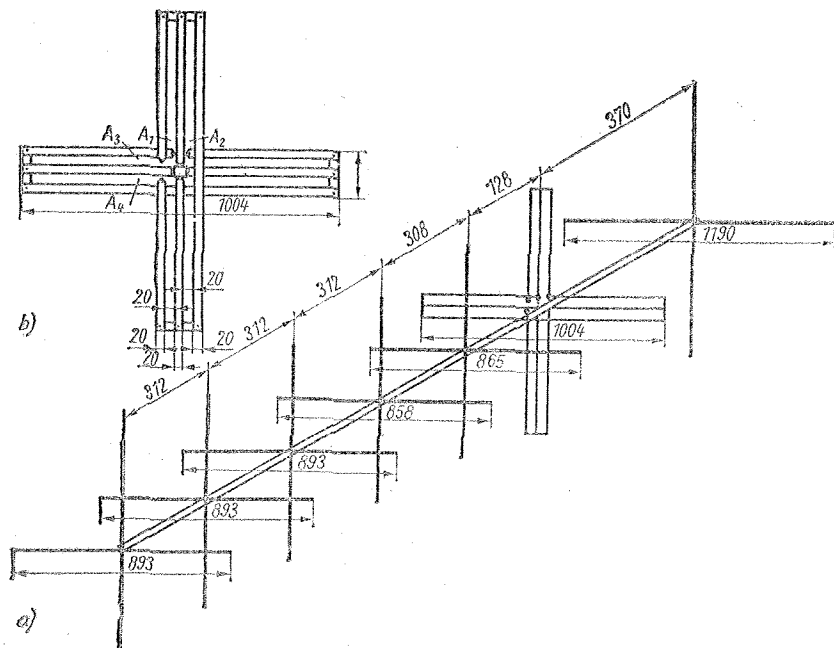
Ако се използват Яги-системи, чийто захранвани елементи са сгънати диполи и следователно входното съпротивление на всяка система е  $240 \Omega$ , симетрично целесъобразно е да се осигури възможност за включване към несиметрична линия с импеданс  $60 \Omega$ . Това може да стане с най-малко загуби, ако се използват полуwave U-колена (A и B на фиг. 26.40) според раздел 7.5. Освен това точките  $A_2$  и  $A_3$  трябва да се свържат с една четвърт-вълнова линия от коаксиален кабел, с което се осигурява изискваното фазово изместване на  $90^\circ$ . Ако при това положение един произволно дълъг захранващ кабел се включва директно към точка  $A_2$  или  $A_3$ , би се получил КСВ най-малко 2, тъй като входното съпротивление на паралелно свърза-

ните Яги-антени заедно с U-колената е около  $30 \Omega$ . Следователно ще е необходимо тези  $30 \Omega$  да се трансформират към вълновото съпротивление на захранващия кабел, например към  $75 \Omega$ . Съгласно (5.31) би трябвало вълновото съпротивление на този четвъртвълнов трансформатор (D) да бъде около  $48 \Omega$  (вж. раздел 6.5.). Тъй като не съществуват кабели с импеданс  $48 \Omega$ , тук трябва да се използва 50-омов кабел, при което разсъгласуването е пренебрежимо малко. С това 75-омовият захранващ кабел Е е свързан съгласувано с цялата антенна система.

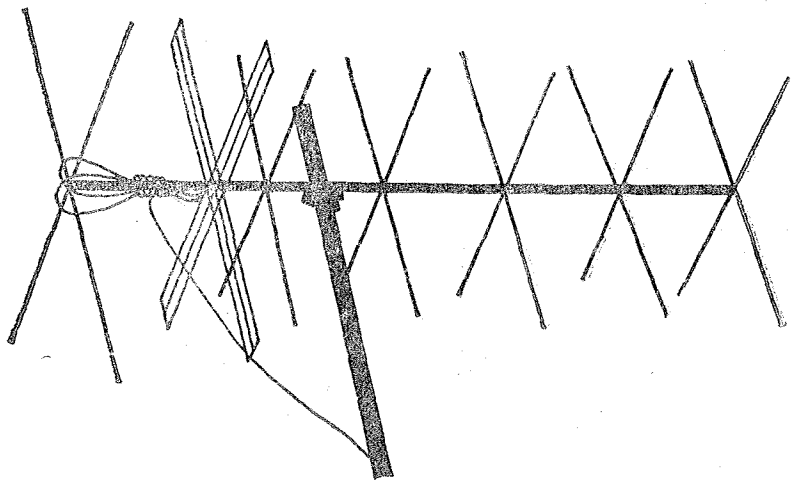
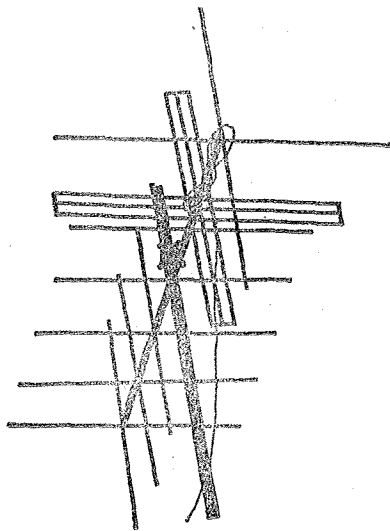
Едно 5-елементно кръстосано Яги, построено на този принцип и наречено от своя създател „G3JVQ-Twister“, е дадено на фиг. 26.41 заедно с всички размери за 2-м любителски обхват. При една относителна дължина от  $0,7 \lambda$  антенното усилване е около  $7,5 \text{ dB}$ . Всички други Яги-антени с входно съпротивление  $240 \Omega$ , използвани като кръстосани Яги-комбинации с кръгова поляризация, съгласно фиг. 26.40 могат

да бъдат възбудени импедансно съгласувано, като се приложи описаният принцип. Такива антени са например 3-, 6- и 9-елементните Яги-антени, описани в раздел 22.2.

Трансформиращите отрязъци в линията на захранване обикновено се избягват, тъй като местата на свързване между кабели с различно вълново съпротивление изискват допълнителни разходи и безупречно херметизиране срещу влага. Също така не винаги могат да бъдат намерени парчета от кабел с необходимия импеданс. В такъв случай има едно просто решение, при което четвъртвълновият отрязък D отпада, и то се състои в това, че захранваният сгънат дипол се изпълнява с различна дебелина на рамената, както бе дадено на фиг. 4.2. При това положение входното съпротивление на всяка система се покачва от  $240 \Omega$  на около  $540 \Omega$ . В този случай U-колената А и В (фиг. 26.40) трансформират този импеданс на по  $135 \Omega$ , несиметричен. Вследствие на паралел-



Фиг. 26.42. 7-елементни кръстосани Яги с двойносгънати вибратори: а — скица с размерите, б — детайлна скица на двойносгънатите вибратори



ното свързване на двете платна през отрязъка С входното съпротивление се намалява наполовина, т. е. то става около  $68 \Omega$ , така че един захранващ кабел с импеданс  $70 \Omega$  може да бъде включен директно. При използване на кабел с вълново съпротивление  $60$  или  $75 \Omega$  разсъгласуването е много малко. Фиг. 26.42 показва едно 7-елементно кръстосано Яги, което е изпълнено с двойно сгънати диполи, в които за всички елементи е използвана дебелина алуминиева лента с ширина

$20 \text{ mm}$ . При използване на квадратна носеща тръба ( $22 \text{ mm} \times 22 \text{ mm}$ ) елементите могат да се притегнат направо към нея. Останалите данни за тази конструкция могат да се намерят на фиг. 26.43. При относителна дължина  $0,85 \lambda$  тази антена дава усиление около  $8,5 \text{ dB}$ .

Описаният опростен метод на захранване може да се приложи при всички кръстосани Яги-антени, като вибраторите им се заменят с двойни шлейфвибратори, без това да изменя другите електрически показатели на Яги-системите.

Заедно с това се правят и кръстосание Яги-антени, чиито вибратори са прави полуълновни диполи, а съгласуването се възлага на гама-съгласуващи звена. С това се спестяват двете U-колена, но затова пък се увеличават разходите по конструктивното изпълнение на гама-звената с регулираща се връзка. Оптималното съгласуване е свързано с доста загуба на време, освен това

Фиг. 26.43. Практически изпълнено 7-елементно кръстосано Яги в различни положения

вследствие на несиметричното възбуждане токовете в двете половини на елемента не са еднакви.

Съществуват и други възможности за получаване на кръгова поляризация с Яги-антени. Едно просто компромисно решение например се заключава в това двете еднакви Яги-антени да се монтират кръстосано върху общ

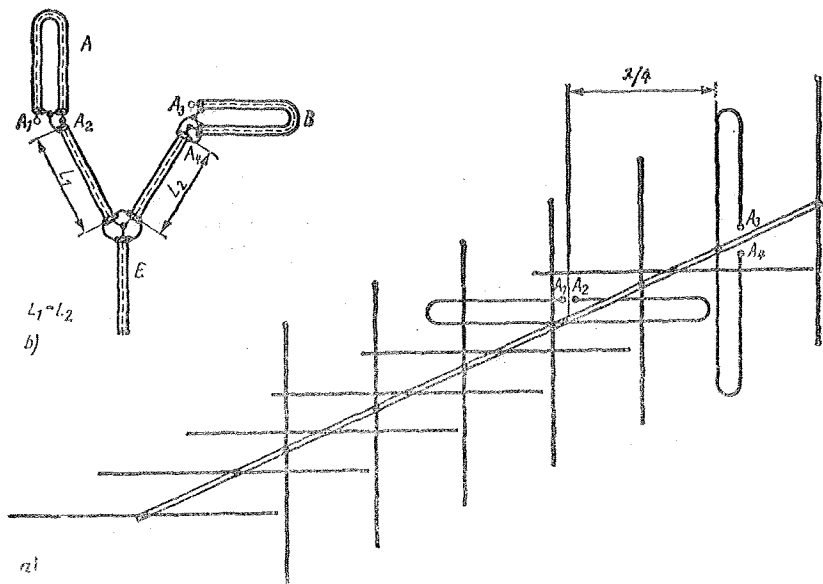


трегер, като хоризонталното платно е разместено по дължината на трегера спрямо вертикалното платно на разстояние  $1/4 \lambda$  (фиг. 26.44). Тъй като пространственото разнасяне с  $1/4 \lambda$  между хоризонталните и вертикалните елементи предизвиква закъснение във времето, съответстващо на  $1/4$  период, т. е. на  $90^\circ$  фазов ъгъл, се получава кръгова поляризация, без да се въвежда специален четвъртълнов отрязък за дефазирание. Двата захранвани дипола са включени паралелно към еднакво дълги за двете системи кабелни парчета, така че се възбудят сифазно; фазовото изместване е резултат единствено на пространственото разместване на излъчваните полета.

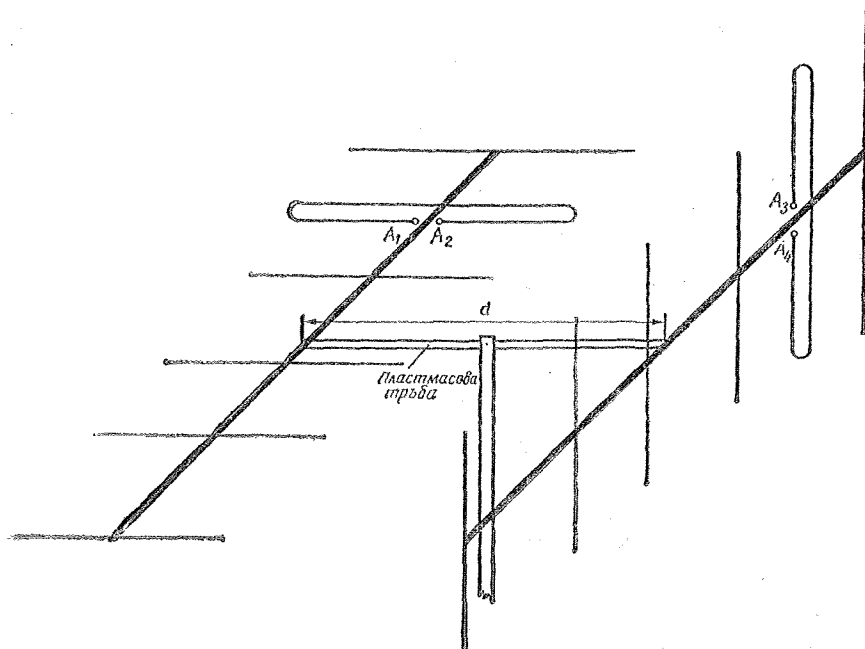
Друг начин за получаване на кръгова поляризация е чрез странично разнасяне на две системи. В този случай са нужни два трегера за елементите и една хоризонтална носеща тръба, която трябва да бъде по възможност от пластмаса (фиг. 26.45). Тъй като елементите лежат в една и съща равнина на излъчването, с това пространствено разнасяне не се получава дефазирание.

Затова и тук трябва посредством четвъртълнова обходна линия между двете системи да се създадат условия за кръгова поляризация. На това изискване отговаря възбудителната система от фиг. 26.46. Това е по принципи същата система, както тази на фиг. 26.40, но тъй като точките на захранването  $A_1-A_2$  и  $A_3-A_4$  не са в непосредствена близост, а са разнесени на разстояние  $d$  една от друга, свързващата линия трябва да има дължина  $\geq d = L_1 + L_2$ . Освен това едната Яги-система трябва да бъде възбуджана през обходна линия с дължина  $\lambda/4$  (фазова разлика  $90^\circ$ ) по отношение на другата система. Това се получава автоматично, като линията  $L_1$  е подълга от  $L_2$  с електрическа  $1/4 \lambda$ . С оглед на това се избира точката на включване (X) на основния кабел Е. Ако е нужно импедансно съгласуване, между точката X и захранващия кабел Е се включва един четвъртълнов трансформатор ( $D$  от фиг. 26.40).

Такава конструкция е удобна за приемане на сигнали от спътници (напр. OSCAR), тъй като чрез въртене на хоризонталната раздалечаваща тръ-



Фиг. 26.44. Кръгосано Яги с разнесени надлъжно системи: а — конструктивна схема б — възбудителна система за получаване на кръгова поляризация

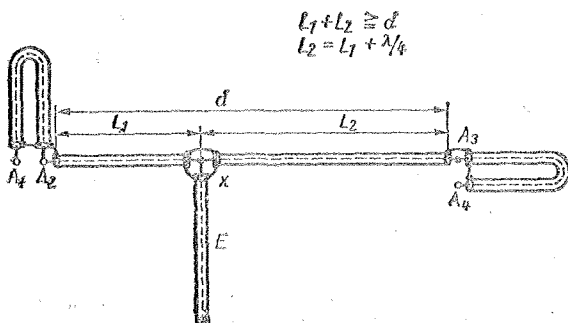


Фиг. 26.45. Кръгово поляризирана Яги-система със странично разнесени платна (възбуждане съгласно фиг. 26.46)

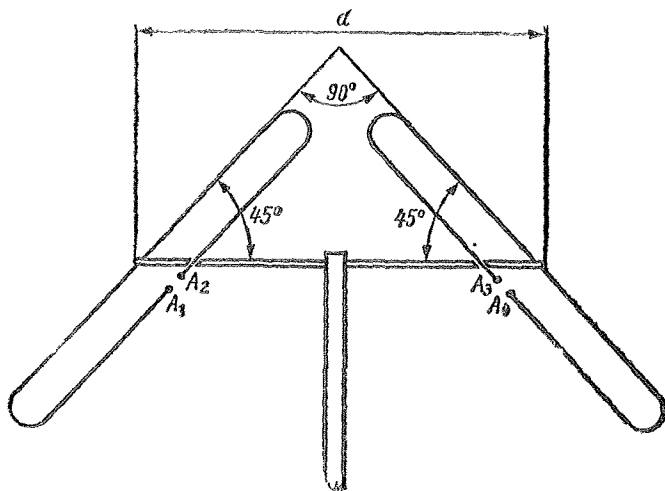
ба може да се изменя посоката на групата във вертикалната равнина. Страничното разнасяне  $d$  би трябвало да бъде колкото може по-малко. За да се избегне закачането на елементите в антенната мачта при накланяне по вертикала, това разстояние се избира малко по-голямо от  $\lambda/2$ . По-голяма независимост от антенната

мачта се постига чрез монтиране на Яги-системата под  $45^\circ$  наклон (фиг. 26.47). Като възбудителна система и тук се използва свързването, дадено на фиг. 26.46.

Всички Яги-комбинации с кръгова поляризация могат да се изпълнят така, че да се превключват на линейна и на кръгова поляризация от помеще-



Фиг. 26.46. Възбудяна система за кръстосаното Яги с кръгова поляризация от фиг. 26.45



Фиг. 26.47. Вариант за разполагане на елементите за кръгова поляризация при една Яги-система (показани са само захранваните елементи)

нието на станцията. За целта трябва от всяка система да се изведе самостоятелен захранващ кабел до един прекъсвател. Двата кабела трябва да имат точно еднакви дължини. Така всяка система може да бъде използвана сама като линейно поляризирана антена със съответна поляризация (хоризонтална или вертикална, респ. наклонена под  $45^\circ$ ). Ако единият от двата кабела се удължи с електрическа  $1/4 \lambda$  и се включат паралелно, се получава кръгова поляризация. Фактическата дължина на двете захранващи линии няма особено значение. Трябва да се внимава само при кръгова поляризация разликата в дължините на двете линии да бъде точно  $\lambda/4$ .

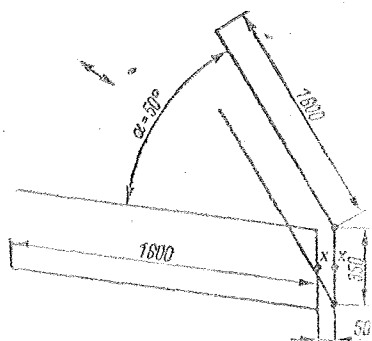
Тъй като кръстосаните Яги-антени с кръгова поляризация при същото усиляване изискват два пъти по-големи разходи, отколкото за обикновените Яги-антени с линейна поляризация, би

трябвало тяхното въвеждане в експлоатация добре да се обмисли. Въртящи се и наклонящи се кръстосани Яги-системи са подходящи за работа през спътници, за Автога- и MS-връзки, както и за поддържане на трафик с мобилни станции на 2 m, също и когато насрещните станции работят с линейна поляризация. Ако ще се правят обаче предимно връзки през ЧМ релейни станции, не си струва въвеждането на кръстосани Яги-системи, тъй като в този случай с проста вертикално поляризирана Яги-антена при два пъти по-малко разходи ще получим с 3 dB по-добър резултат. Който иска да има една универсална антена и не се бои от големи разходи, може да използва една кръстосана Яги-антена с отделни захранващи линии за всяка система, за да има възможност по избор да работи с хоризонтална, вертикална и кръгова поляризация.

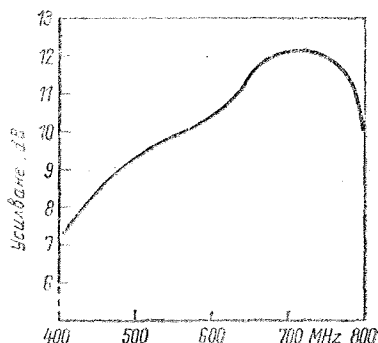
## 27. Късовълнови антенни форми за УКВ- и СВЧ-обхватите

Би могло да се предположи, че антени от типа „дълга жица“ и други антенни форми, които се използват с успех в областта на КВ, са неподходящи за приемане и предаване в областта на УКВ, защото те много рядко се прилагат в този честотен сектор. Съгласно закона на „моделите“ обаче характеристиките на една антена не се изменят независимо от това, за каква честота те са изчислени. Затова без съмнение всяка типична късовълнова форма на изпълнение може да се приложи със същия успех и в областта на УКВ.

V-образните и ромбичните антени могат да бъдат много подходящи за определени случаи на приложение. Те имат предимството, че са широкополосни, но и недостатъка, че въртенето им би било свързано с механически трудности. Затова те се прилагат за осъществяване на далечни УКВ връзки в един тясно ограничен сектор от направления. В някои случаи на приемане те могат да дадат добри резултати като широкополосни телевизионни антени. От въртящите се късовълнови форми за УКВ-обхвата имат определено значение антените Cubical Quad (двоен квадрат) и кръгов бим.



Фиг. 27.1. Етажирана V-антена за СВЧ-обхвата 400 до 800 MHz



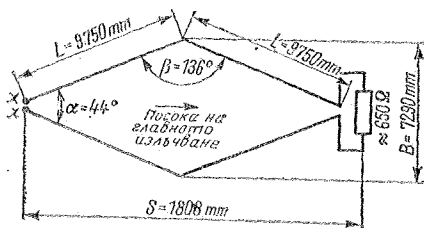
Фиг. 27.2. Усилване на етажираната V-антена от фиг. 27.1 във функция от честотата (усилването е в dB по отношение на полувълнов дипол)

### 27.1. Етажирана V-антена за СВЧ-обхвата

На фиг. 27.1 е показана схемата на една V-образна антена, която е изчислена за СВЧ-обхвата от 400 до 800 MHz. Антената е подходяща за приемане на 70-см радиолюбителски обхват и на целия IV/V телевизионен обхват.

За изработване на тази антена са необходими две 10-mm алуминиеви пръчки, всяка дълга по 355 cm. Те се огъват така, че да се получат две U-образни антенни части, чиито рамена са дълги по 160 cm. Двете части се монтират с ъгъл на разперване  $\alpha = 50^\circ$ , така както е показано на фиг. 27.1. При това двете вертикални части, дълги 35 cm, трябва да бъдат на средно разстояние 5 cm една от друга. В геометричната среда на този отрязък от успоредни проводници се намират захранващите точки XX. Тук може да бъде включена симетрична захранваща линия със съпротивление 240 до 300  $\Omega$ . За поддържане на антената трябва да се конструира подходяща дървена рама.

На фиг. 27.2 е показан честотният ход



Фиг. 27.3. Ромбична антена за УКВ-обхвата 130 до 260 MHz

на усиляването в dB (отнесено спрямо настроен полуълнов дипол). От тази крива се вижда, че в 70-см радиолубителски обхват може да се очаква средно усиление от 8 dB; дължините на рамената на този обхват са около 2,3  $\lambda$ . На канал 21 (обхват IV) усиляването е вече 8,7 dB и се увеличава максимално до 12,2 dB на канал 50 (обхват V). При този максимум на усиляването дължината на рамената е около 3,8  $\lambda$ . Към края на обхвата (канал 60) усиляването отново пада на 10,5 dB.

Избраният ъгъл на разперване  $\alpha = 50^\circ$  е оптимален за дължина на рамото 3,8  $\lambda$  (вж. фиг. 11.13), при това в областта около 700 MHz се получава най-голямо усиление.

Отстоянието на етажите в 70-см радиолубителски обхват има минимална стойност  $\lambda/2$  (35 cm); отнесено за височестотния край на обхвата, то е около 0,85  $\lambda$ . Тъй като тази V-антена е едно компромисно решение за широкопаянто приложение, трябва в дадения работен обхват да се очакват зависимости от честотата колебания на входния импеданс и наличието на странични лъстове в диаграмата на насоченост.

## 27.2. Ромбични антени за УКВ-и СВЧ-обхвата

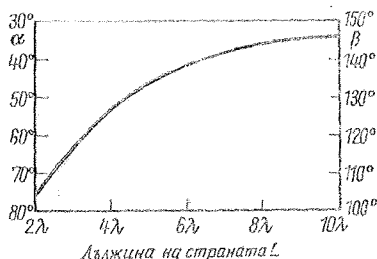
За приемане в УКВ-обхвата постоянно инсталираните затворени ромбични антени представляват едно много изгодно решение, защото те се правят от обикновена медна жица. Необходимото товарно съпротивление, което за предаване е скъпо и трудно осъществимо, при приемане се състои от едно просто обемно съпротивление. По отношение на честотната лента

няма вужда от компромиси, тъй като естествената широчина на лентата на една затворена ромбична антена е достатъчно голяма.

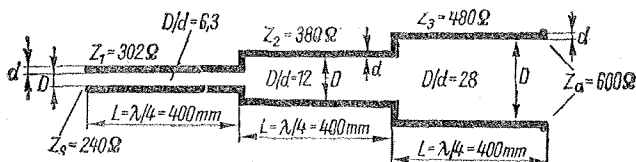
Затворената ромбична антена в СВЧ-обхвата има широка лента, която се разпростира около 40% по-високо от изчислените високи честоти и около 30% по-ниско от изчислените ниски честоти. Това означава, че една изчислена за 140 MHz ромбична антена може да се използва в обхвата от 88 до 196 MHz.

На фиг. 27.3 е показана схема на една УКВ-ромбична антена, която е оптимизирана за честота 185 MHz. Тя има честотна лента от около 130 до 260 MHz, поради това може да се използва за приемане в 2-м радиолубителски обхват и в целия III телевизионен обхват. За дължини на страните 6  $\lambda$  е оптимален ъгъл на разтвора  $\alpha = 44^\circ$ . Зависимостта на най-подходящия ъгъл на разтвора  $\alpha$ , съответно  $\beta$ , от дължината на страната  $L$ , дадена в  $\lambda$ , може да се види от фиг. 27.4. При дадените на фиг. 27.3 размери усиляването на 185 MHz е около 12 dB, отнесено към полуълнов дипол. Тъй като ромбичната антена е снабдена с товарно съпротивление, приемането става в една посока (вж. раздел 12.4.). Като товарно съпротивление се използва обикновено ненарязано въглеродослойно съпротивление със стойност около 650  $\Omega$  (не е критично) и каквато и да е номинална мощност.

За съжаление входният импеданс XX на такава ромбична антена в зависимост от честотата и товарното съпротивление е между 450 и 600  $\Omega$ . Затова тя може да се захранва със собствено-ръчно направена двупроводна захран-



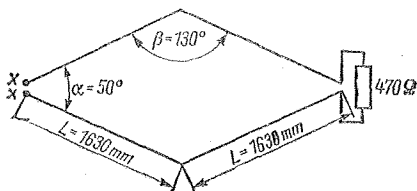
Фиг. 27.4. Оптимален ъгъл на разтваряне  $\alpha$  (респ.  $\beta$ ) на една ромбична антена в зависимост от дължината на страната  $L$  в  $\lambda$



Фиг. 27.5  
Широколентов съгласуващ Коллинс-трансформатор

ваща линия със съответно съпротивление. При директно включване на един стандартен лентов кабел (240 до 300 Ω) съгласуването е лошо. Най-подходящият начин за съгласуване към една симетрична 240 Ω линия се състои в междинното включване на широколентов съгласуващ Collins-трансформатор. В случая се касае до едно стъпаловидно трансформиране с няколко четвъртвълнови трансформатори, които имат предимството, че са широколентови. Ако се приеме, че входният импеданс на ромбичната антена е 600 Ω и ако е желателно трансформирането му на 240 Ω, може да се използва широколентовият трансформатор, показан на фиг. 27.5.

Трансформирането става в четири степени в последователност 600 Ω — 480 Ω, 480 Ω — 380 Ω, 380 Ω — 302 Ω и 302 Ω — 240 Ω. По този начин Collins-трансформаторът осигурява широчина на лентата от 4 : 1. Единичните секции  $Z_1$ ,  $Z_2$  и  $Z_3$  с различни вълнови съпротивления са с по  $\lambda/4$  дължина, отнесено спрямо средната работна честота (честота на оразмеряването) на антената. В този случай тя е 185 MHz = 1,62 m, с това  $\lambda/4$ -вълновите секции имат механична дължина по 400 mm. Необходимите за различните вълнови съпротивления съотношения между разстоянията и диаметрите  $D/d$  са нанесени на фиг. 27.5, а биха могли да се вземат и от фиг. 5.4. На края  $Z_S$  на този трансформатор може да бъде включена 240 Ω линия.



Фиг. 27.6. Ромбична антена за СВЧ-обхвата 400 до 800 MHz

Такива широколентови трансформатори могат да се построят за всяко желано съотношение на импедансите и за всякакви честоти, доколкото такива вълнови съпротивления са механически изпълними. Колкото повече единични секции се прилагат, толкова по-добри широколентови характеристики има трансформаторът. Степента на трансформация  $r$  в зависимост от броя на стъпалата  $n$  може да се изчисли от равенството

$$r = n \sqrt{\frac{Z_A}{Z_S}}, \quad (27.1)$$

където  $n$  е броят на трансформаторните стъпала;

$Z_A$  — импедансът в точките на захранване на антената;

$Z_S$  — желаният затваращ импеданс в края на линията.

За дадения на фиг. 27.5 пример то е следното:

$$r = 4 \cdot \sqrt{\frac{600}{240}} = 4\sqrt{2,5} = 1,26.$$

Вълновите съпротивления на отделните  $\lambda/4$ -секции се изчисляват, както следва:

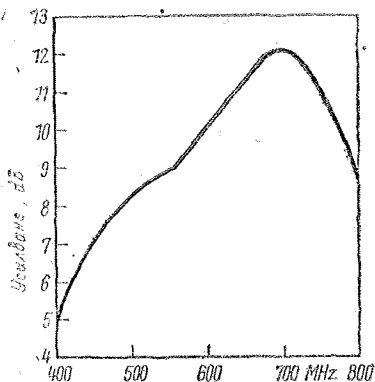
$$Z_1 = Z_S \cdot r = 240 \cdot 1,26 = 302 \Omega;$$

$$Z_2 = Z_1 \cdot r = 302 \cdot 1,26 = 380 \Omega;$$

$$Z_3 = Z_2 \cdot r = 380 \cdot 1,26 = 480 \Omega.$$

Със  $Z_3 \cdot r = 480 \cdot 1,26 = 604 \Omega$  в края на тази линия се постига антенен импеданс около 600 Ω.

Една проста ромбична антена за УКВ-обхвата е показана на фиг. 27.6. Тя има ъгъл на развора  $\alpha = 50^\circ$  и завършва със съпротивление 470 Ω. Това относително малко за ромбична антена крайно съпротивление се избира, за да се получи възможно нисък входен импеданс (около 400 Ω). При това антената може да се захранва със симет-



Фиг. 27.7. Усилване на СВЧ-ромбичната антена от фиг. 27.6 в зависимост от честотата (усилването в dB, отнесено към  $\lambda/2$ -дипол)

рична 300- $\Omega$  линия, при което съотношението на стоящите вълни в целия обхват е  $< 2:1$ . Изменението на усилването в зависимост от честотата на приемане е представено на фиг. 27.7.

Тази ромбична антена може да се етажира вертикално по подобен на описания във фиг. 27.1 за V-антените начин. При това разстоянието между етажите е също така 350 mm. Товарните съпротивления са увеличени на 600  $\Omega$  и в централната захранваща точка има красн импеданс от 240 до 300  $\Omega$ .

Всички затворени ромбични антени могат да се използват като предавателни антени, когато товарното съпротивление е в състояние да разсейва поне половината ВЧ-мощност на предавателя.

### 27.3. Антена «двоен квадрат» за УКВ-обхвата

Главните предимства на антената «двоен квадрат» са компактната конструкция, малкото пространство, което заема, възможността да се използват обикновени проводници за изпълнение на елементите вместо скъпите тръби и не на последно място фактът, че един обикновен «двоен квадрат» вече представлява етажирана антенна система със съответните добри свойства, произтичащи от свиването на диаграмата във вертикалната равнина. Вследствие на това тя в случай на прие-

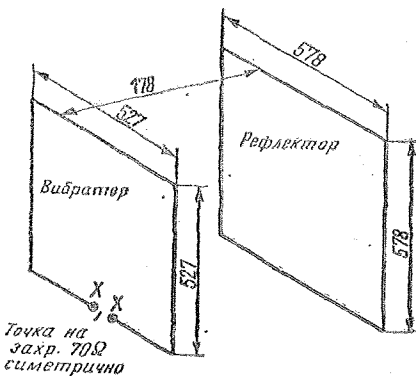
мане е много по-нечувствителна към смущенията, създавани от запалителните системи на автомобилите, отколкото една Яги-антена.

#### 27.3.1. Обикновен «двоен квадрат»

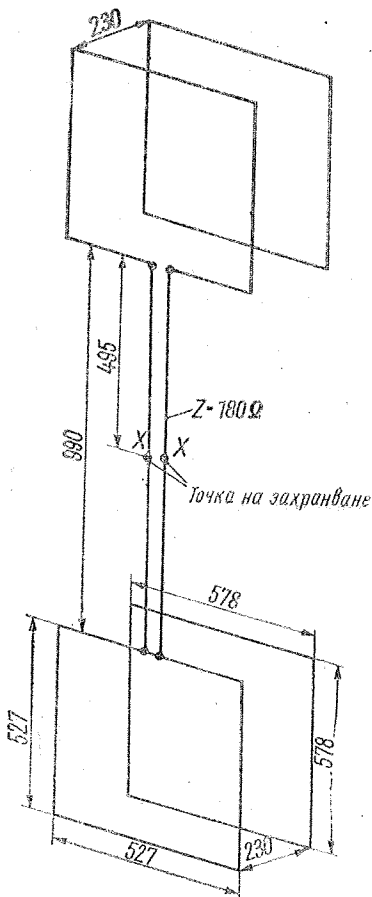
За портативни и мобилни цели е подходящ един обикновен «двоен квадрат», описан на фиг. 27.8. Най-новите изследвания показват единодушно, че противно на общоважашата теория — излъчвателят е в резонанс, когато общата дължина (обиколката) на захранвания антенен елемент е с около 1,5% по-голяма от 1  $\lambda$ . Познаването на този факт дава възможност вече да се конструират двойни квадрати, които са в резонанс без допълнително съгласуване.

Захранващите елементи по представения на фиг. 27.8 2-м «двоен квадрат» имат обща обиколка 2108 mm, което отговаря на дължина на страните по 527 mm. При тези размери резонансът е на 144,5 MHz. Рефлекторът има обиколка 2312 mm, което отговаря на дължина на страните по 578 mm. Вибраторът и рефлекторът са на разстояние 178 mm, т. е. разнасянето е около 0,08  $\lambda$ . От това се получава захранващ импеданс приблизително 70  $\Omega$ .

Усилването на тази антена е 5 dB при съотношение напред-назад около 13 dB. Най-ниският коефициент на стоящи вълни е 1,035 (на резонансната



Фиг. 27.8. Двоен квадрат за 2-м обхват



Фиг. 27.9. Етажирани двойни квадрати за 2-м обхват

честота 144,5 MHz). В горния край на обхвата (146 MHz) той става максимум 1,23.

Захранването се извършва с произволно дълъг 70-Ω коаксиален кабел (например от типа 70-10-1), доколкото той се симетризира в точката на захранване. За тази цел е много подходящ симетриращият член Rawsey, описан в раздел 7.2. Възможно е също така захранване с 60 Ω кабел, тъй като може да се допусне едно незначително увеличение на коефициента на стоящите вълни.

Презчисляването на антената за

всяка друга резонансна честота в УКВ-обхвата може да се направи по следните формули:

*Захранващ елемент*

$$\text{Обиколка} = \frac{304\,635}{f}, \quad (27.2)$$

$$\text{Дължина на страната} = \frac{76150}{f}; \quad (27.3)$$

*Рефлекторен елемент*

$$\text{Обиколка} = \frac{334\,000}{f}, \quad (27.4)$$

$$\text{Дължина на страната} = \frac{83\,500}{f}. \quad (27.5)$$

*Разстояние между вибратора и рефлектора за входно съпротивление 70 Ω*

$$= \frac{25720}{f}. \quad (27.6)$$

Дължините са дадени в mm,  $f$  е в MHz.

Входното съпротивление и усиляването на антената се повишават, когато разстоянието между вибратора и рефлектора се увеличава. Максимумът е при разстояние 0,2 λ. По-конкретни описания на антена „двоен квадрат“ са дадени в раздел 15.1.

### 27.3.2. Етажиран „двоен квадрат“

Описаният преди това обикновен „двоен квадрат“ може да послужи като основен елемент за направа на етажирани и групови комбинации от квадрати. При вертикално етажирани изпълнения разстоянието от платно до платно трябва да бъде не по-малко от λ/2. Още по-подходящо е разстоянието между етажите 5/8 λ. Синфазното захранване на етажираните и групирани антенни системи е вече разгледано в раздел 23.1. Затова на фиг. 27.9 е дадена само една от многото възможности за захранване. В този случай се предвижда в точката на захранване XX системата да се възбужда с обикновен дълъг УКВ-лентов кабел 240 Ω. Когато е необходимо, в точката на захранване XX може да се включи също по-

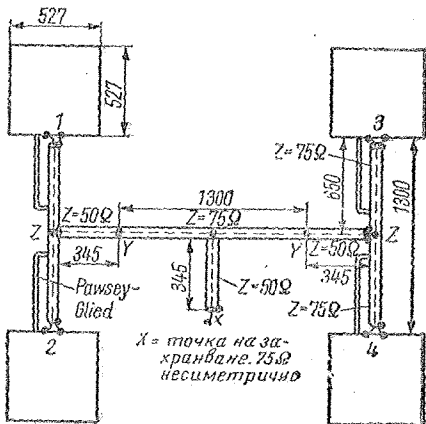


$$\text{разстояние}_{0,11\lambda} = \frac{33000}{f}; \quad (27.7)$$

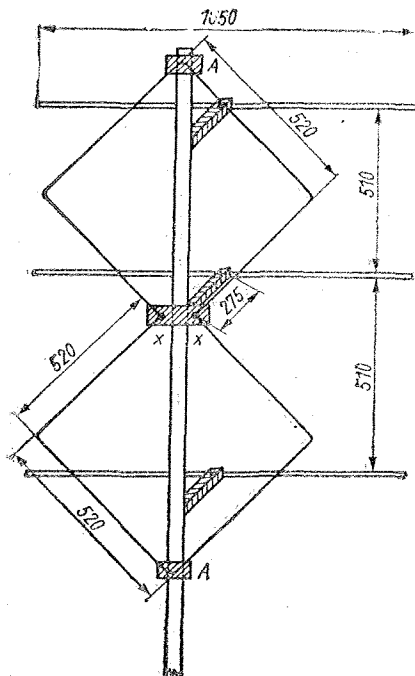
Антената е изчислена за резонансна честота 144,5 MHz; коефициентът на стоящите вълни по целия 2-м обхват е под 1,2.

### 27.3.3. Група от «квадрати» за 2-м обхват

Отклоненията за централната точка на захранването се правят от геометричната среда на вертикалните свързващи линии. Тъй като входните импеданси на двете свързани системи са включени паралелно, резултатният импеданс в тези точки е половината от импеданса на всяка система (37,5  $\Omega$ ). Като отклоняваща линия се използва коаксиален 1/4 вълнов трансформатор, който на своя изход повишава въпросния импеданс отново до 75  $\Omega$ . Външното съпротивление на четвъртък-



Фиг. 27.10. Схема на една група от квадратите (рефлекторите не са показани, вж. фиг. 27.9)



Фиг. 27.11. Хибриден двоен квадрат на DL7KM

новите участъци трябва да бъде  $50 \Omega$ . Трансформаторът представлява 345 mm отрязък от  $50 \Omega$  коаксиален кабел (напр. тип 50-3-1), при което се предвижда коефициентът на скъсяване 0,66 (0,66  $\lambda/4$ ).

В точките Y импедансът отново е  $75 \Omega$ , затова те могат да се свържат с всякакъв вид  $75 \Omega$  коаксиален кабел. При това хоризонталното разстояние между двата етажни отрязъка може да се избира свободно. В посочения случай се използва кабел, дълъг 1300 mm, така че страничното разнасяне е  $1 \lambda$ . В геометричната среда на тази свързваща линия се намира централната точка на захранване на цялата антена. Тук импедансите на левия и десния отрязък, всеки по  $75 \Omega$ , са включени паралелно, така че в точката на включването се получава съпротивление  $37,5 \Omega$ . Тъй като системата се захранва от  $75 \Omega$  коаксиален кабел с неопределена дължина, трябва да се въведе още един четвъртълънов трансформатор. В случая се касае до такъв трансформатор с

$50 \Omega$  вълново съпротивление, както в точките Y и Z. Точка X тогава е точката на захранване за  $75 \Omega$  захранващ кабел.

Като материал за разпределителната система са необходими три парчета коаксиален кабел, всяко по 1300 mm с вълново съпротивление  $75 \Omega$ , и три кабелни отрязъка, всеки с дължина по 345 mm и вълново съпротивление  $50 \Omega$ .

За да функционира антената правилно, е необходимо синфазно захранване на отделните участъци. Това показва, че на входовете 1, 2, 3 и 4 жилата на кабелите трябва да бъдат винаги от една и съща страна, например всички жила — на лявата клемма (както е показано на фиг. 27.10). Свързването на отделните отрязъци от кабели — както механически, така и електрически, трябва да бъде безупречно. Трябва да се внимава външните проводници на коаксиалния кабел на местата на свързване и на разклоненията да не прекъсват електрически. Местата на свързките след запойтечните работи се заливат с тежкоподвижно пластмасово лепило и отгоре плътно се бандажират; също може да се лакират, за да се предпазят от навлажняване. Коаксиалните кабели са напълно нечувствителни към външните влияния. Те могат да се закрепят към носещата конструкция с халки.

Широчината на лентата на тази изчислена за 144,5 MHz антена е приблизително 3 MHz; коефициентът на стоящите вълни по целия 2-m обхват е под 1,5. Затихването в посока „назад“ е 18 dB.

#### 27.3.4. Хибриден „двоен квадрат“ на DL7KM

Един интересен вариант на „двоен квадрат“ е разработен от DL7KM, който е нарекъл своята антена „хибриден двоен квадрат“. Тази антена се оказва много сполучлива за работа на 2 m и 70 cm. Както се вижда от фиг. 27.11, захранващият елемент е двоен квадратен шлейф, при който два стоящи на върха си жични квадрата с дължина на страните 520 mm са етажирани един над друг. Точката на захранване е в средата на системата, на мястото на свързване на двата шлейфа, и има при това построяване импеданс около  $60 \Omega$ , симетричен. Своеобраз-

ност при този вариант на „двоен квадрат“ е отсъствието на обичайния рефлектор-шлейф. Той е заменен от 3 настроявани рефлекторни пръчки, всяка от които е дълга 1050 mm. Това опростява построяването на антената и подобрява характеристиките ѝ, както са показали изпитанията, проведени от *DL7KM*. Разстоянията между рефлекторите, както и техните дължини и разстояния до захранващия елемент са критични. Средният рефлектор се намира точно на височината на точката на захранване XX, а другите два рефлектора са наредени отдолу и отгоре на разстояние от по 510 mm. Подпорите, монтирани зад квадратния елемент, са на разстояние по 275 mm (0,13  $\lambda$ ). Рефлекторите са направени от плътен или тръбен материал с диаметър 10 mm.

За изработване на двойноквадратния шлейф на антената *DL7KM* е използвал 16 mm<sup>2</sup> гола медна жица с дължина 4,16 m, която се огъва така, че всяка страна на квадрата да бъде дълга 520 mm. Върховете A на двойноквадратния елемент могат да бъдат заземени, обаче се е оказало, че възловите точки на напреженията не винаги лежат точно на върховете и при смяна на честотата малко се измества. Принудителното заземяване внася затихвания и с това намалява усилването. Затова точките A се изолират с блокчета от пластмаса от металната носеща мачта.

Точката на захранване XX е симетрична спрямо земя, затова при включване на един несиметричен спрямо земя 60- $\Omega$  коаксиален кабел трябва да се използва симетриращ трансформатор. За тази цел е особено подходящ простият за направа Pawsey-симетриращ член от раздел 7.2. или *EMI*-шлейфът от раздел 7.3. Практическите изследвания показаха, че може изобщо да не се използва симетриращ трансформатор. При директно несиметрично захранване деформацията на диаграмата на излъчване е пренебрежимо малка и в никакъв случай не може да се установи висока честота върху екраниращата оплетка на кабела. Може да се приеме, че това явление в УКВ-и СВЧ-обхвата се дължи на факта, че там трябва да се използват захранващи кабели, които електрически са дълги няколко дължини на вълните.

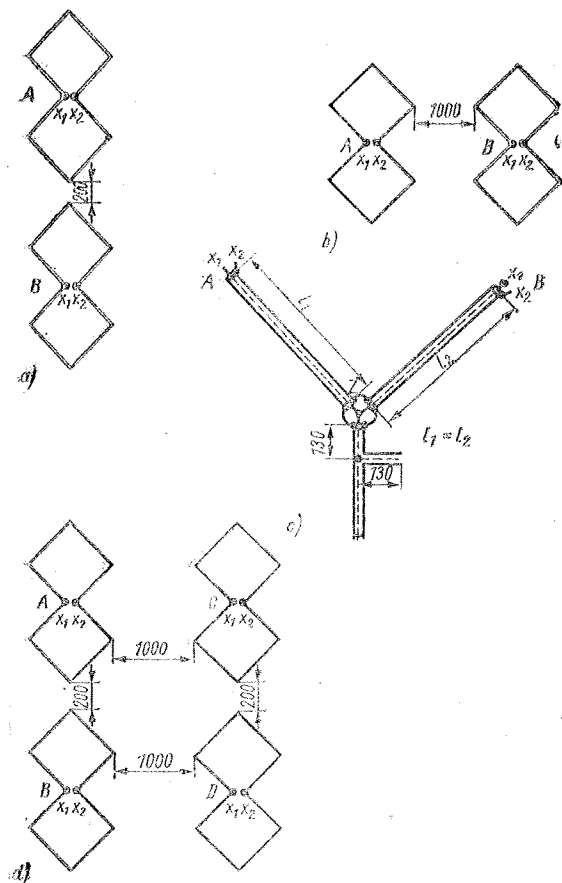
Чрез тези относително много дълги захранващи линии ефектът от липсата на симетрия е толкова силно подтиснат, че не се проявяват никакви смущения.

Когато всички дадени размери на 2-метровия хибриден „двоен квадрат“ се намалят 3 пъти, резонансът е в 70-см любителски обхват. Тази антена дава добър резултат също и в СВЧ-обхвата.

*DL7KM* е постигнал коефициент на стоящи вълни в захранващата линия  $s=1,1$  и е установил, че затихването в посока „назад“ е 28 dB. Точни измервания на усилването все още няма, но теоретически при тази антена би трябвало да се получи усилване 8 dB. Хоризонталният ъгъл на разтвора е 75° и отговаря на ъгъл на разтвора на една двуселментна антена, а вертикалният ъгъл на разтвора е около 60°.

С относително малки разходи и при малко съпротивление на вятра хибридният двоен квадрат е много подходящ като единичен елемент за направа на групова антена.

Представените на фиг. 27.12 схеми на антенни групи биха могли да се прилагат с успех на 2 m и 70 cm. На фиг. 27.12a е представена вертикално етажирана двойна група, която има теоретично усилване 3 dB в резултат на етажирането. При това хоризонталният ъгъл на разтвора остава 75°, докато вертикалният се стеснява на 30°. Същото допълнително усилване има двойна група в хоризонтален ред, показана на фиг. 27.12b. При нея хоризонталният ъгъл на разтвора се намалява на 38°, докато вертикалният ъгъл остава 60°. Най-изгодната възможност за захранване на такава двойна група е представена на фиг. 27.12c. При това от системите A и B към централната точка на свързване Z водят 60- $\Omega$  коаксиални кабелни линии  $l_1$  и  $l_2$  с произволна дължина. Трябва да се има пред вид обаче, че  $l_1$  и  $l_2$  трябва да имат еднакви дължини и вътрешното кабелно жило да се свърже с  $X_1$ , а ширмовката — с  $X_2$ . В точка Z се включва и фактически захранващият 60- $\Omega$  кабел, така че там се свързват 3-те вътрешни и 3-те външни проводници на кабелите един с друг. Тъй като системите A и B в точка Z са паралелни една на друга, там се получава импеданс 30  $\Omega$ . Той се трансформира съг-



Фиг. 27.12

Изграждане на антенни групи от системи от хибридни двойни квадрати (показани са само захранващите елементи): *a* — двойна група, етажирана вертикално, *b* — двойна група в хоризонтален ред, *c* — захранваща система за двойна група, *d* — схема на конструкцията при четворна група

ласао раздел 6.6. чрез един отрязък от линия на  $60 \Omega$  (възливото съпротивление на коаксиалния кабел). За осъществяване на фиг. 6.13 в този случай на разстояние  $0,095 \lambda$  от точка *Z* трябва да се включи  $0,095 \lambda$  дълъг отворен отрязък от линия. При това коаксиално изпълнение трябва да се има предвид, че коефициентът на скъсяване на кабела е  $0,66$ , тъй като кабелът е с плътна изолация. Дължината и съответно разстоянието на отворения отрязък от линия тогава ще бъде  $0,095 \lambda \cdot 0,66 = 130 \text{ mm}$ . В мястото на свързване на този отрязък вътрешните проводници се свързват с вътрешни, външните — с външни. Всички точки на

свързване и отвореният край на отрязъка трябва да се направят водонепроницаеми със заливна смола.

Една четворна групова антена, която се състои от две двойни групи (фиг. 27.12*d*), може също така да се възбужда много просто. В този случай също се използва изключително  $60\text{-}\Omega$  коаксиален кабел, който се свързва, както е показано на фиг. 23.16*b* или фиг. 23.16*c*. Използува се същата захранваща система като описаната в раздел 23.4.3. за груповата антена на *НВ9СV*. При тази четворна група се получава усиление  $14 \text{ dB}$ , при това хоризонталният ъгъл на разтвора е  $38^\circ$ , а вертикалният е  $30^\circ$ .

### 27.3.5. Четиреквадратна серия

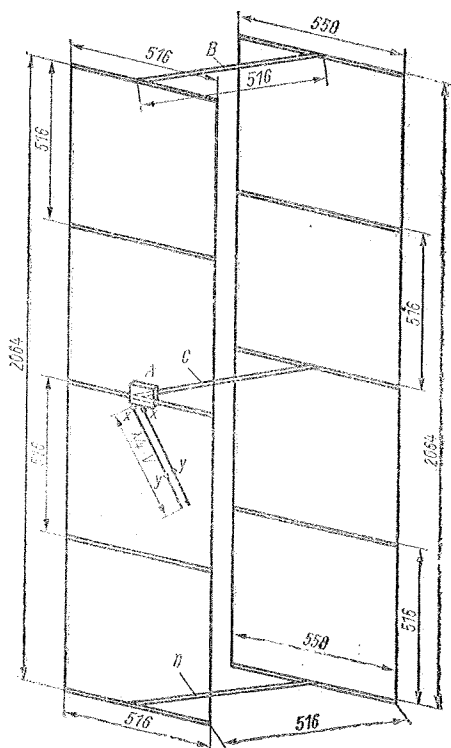
Друг вариант на груповая антена от квадрати е разработен от *DL6DW*. Както се вижда от фиг. 27.13, в случая се касае до един нов вид свързване на 4 вертикално стажирани, хоризонтално поляризовани системи „двоен квадрат“. Като се откажем от оптималните разстояния между етажите, тази група от квадрати е особено лека, лесно преносима, с добри характеристики и е много подходяща за портативни цели.

Всички вертикални участъци са от меден многожичен проводник, а хоризонталните елементи са от тънки месингови или медни тръбчици (напр. с диаметър 3,5 mm и дебелина на стената 0,5 mm). След като се отстранят трите 516-милиметрови напречници В, С и D, захранваните секции и рефлекторите могат да се навият на малки, удобни за транспортиране ролки.

Практиката е показала, че при този вариант размерите на квадратите не трябва да бъдат, както при обикнове-

ните Quad-антени; обиколката на захранваните квадрати и на рефлекторните четириъгълници трябва да бъдат намалени. Резонанс се наблюдава, когато захранваните квадрати имат обиколка точно  $1,0 \lambda$ , а намиращите се на разстояние  $\lambda/4$  рефлектори —  $1,04 \lambda$ . Причината за това изменение не е изяснена досега. При дадените на фиг. 27.13 размери се получава резонанс за средна честота на обхвата 145 MHz.

Данни за входното съпротивление  $X-X$  не се дават. По това, че *DL6DW* включва в тези точки една отворена четвъртвълнова линия и върху същата в точките  $Y-Y$  получава импеданс на захранване  $60 \Omega$ , може да се предположи, че импедансът в  $X-X$  има стойност само  $15 \Omega$ . В моделната антена с оглед да се осигури максимален флексибилитет се използва като четвъртвълнова линия един отрязък от 240- $\Omega$  плосък кабел. Неговата дължина, след като се вземе пред вид скъсяващият фактор, трябва да бъде 420 mm. Точките  $Y-Y$  за импеданс  $60 \Omega$  се намират



Фиг. 27.13. Четворна серия от двойни квадрати по *DL6DW*

на около 200 mm от отворения край на линията. Ако антената ще се използва за стационарна работа, линията се изготвя от две паралелни тръби и последните се укрепват към напречника С. Не е обязательно необходимо да се използва балун-трансформатор като преход от симетричните точки на захранването към несиметричния коаксиален кабел. Тук *DL6DW* използва една навита двупроводна линия (вж. раздел 7.7.).

Чрез сравнителни измервания *DL6DW* е получил усилване около 11 dB и затихване в посока „назад“ 23 dB. Хоризонталният ъгъл на разтвора е 75° и отговаря на ъгъла на единична Quad-система. От фиг. 3.19 може да се намери, че вертикалният ъгъл на разтвора“ ще бъде около 30°.

## 27.4. Кръгова рамкова антена за УКВ

Пряк потомък на „двойния квадрат“ е антената с кръгови рамки, за която вече се говори в раздел 15.4.2. като за една късовълнова насочена антена. Тази антена може да се използва с успех и на УКВ толкова повече, че механичните трудности при направата на пръстенообразни елементи намаляват при малки диаметри. Що се касае до излъчвателните характеристики, усилването на антената и входното съпротивление, антената с кръгови рамки е в много голяма степен сравнима с един стоящ на върха си Cubical Quad. Данните в раздел 15.4.1. и раздел 15.2. важат по аналогия и за УКВ-бима с кръгли рамки.

За строежа на антена с кръгли рамки за УКВ се използва по възможност проводник от метал с диаметър 8 до 12 mm, тъй като този материал е толкова стабилен, че бурите и обледеняването не могат да го деформират. Особено добро решение би било, ако меден проводник се вкара в съответстващо дълга тръба от термопластична пластмаса (напр. винидур) и след това тази тръба в нагрето състояние се огъне в желаната пръстенообразна форма. Краищата на тръбата се заваряват или залепват един към друг, след като преди това сме извели двата края на проводника през съответни малки процепи или отвори, направени

в пластмасовата тръба. По този начин се получават много леки, стабилни и устойчиви на атмосферни влияния пръстенообразни елементи. Само с един пръстен се постига вече едно усилване спрямо полувълновия дипол от около 1 dB. Входното съпротивление е около 110 Ω. Дължината на захранвания елемент е 1,03 λ.

Ако на разстояние 0,2 λ се постави един рефлектор, усилването на антената нараства на 5 dB, а входното съпротивление спада на 60 Ω. Понякога захранваният елемент се прави като двойна навивка. В този случай е нужен проводник с дължина 2,02 λ, от който се прави една непрекъсната бобина с 2 навивки. При рефлекторно отстояние 0,18 λ се постига добро съгласуване със захранващи линии с вълново съпротивление от 240 до 300 Ω.

Рефлекторният пръстен, който във всички случаи се състои от една навивка, има обиколка 1,08 λ. Неговата настройка е критична и решаваща за ефективността на антената.

При 3-елементните кръгови бимове за УКВ се препоръчва разстояние до рефлектора 0,17 до 0,22 λ и разстояние до директора от 0,12 до 0,15 λ. Входното съпротивление на такава система с прост вибраторен пръстен е от порядъка на 30 Ω. В този случай е целесъобразно захранваният коаксиален кабел да се напасва с един омега-член съгласно раздел 6.4. Обиколката на директорния пръстен е 0,95 λ. Скици и конструктивни изпълнения на пръстеновидни излъчватели могат да се видят на фиг. 15.11 и 15.12.

Следващите формули дават дължините на елементите във функция от честотата:

$$\text{обиколка на захранвания елемент} \\ S = \frac{31000}{f}; \quad (27.8)$$

$$\text{обиколка на рефлектора } R = \frac{32800}{f}; \quad (27.9)$$

$$\text{обиколка на директора } D = \frac{28500}{f}. \quad (27.10)$$

Дължините са в cm, а  $f$  — в MHz.

От тези формули за един бим с пръстеновидни елементи за 2-метровия обхват (резонансна честота 145 MHz) се получават следните дължини:

$$S=214 \text{ cm}; R=226 \text{ cm}; D=196 \text{ cm}.$$

За пробни антени от този тип се

препоръчва използването на подходящо подрязани дървени обръчи за игра като носачи на проводниците. Също така в популярните на времето пластмасови обръчи за хула-хуп любителят ще намери един полезен материал за поемане и закрепване на пръстенообразните жични проводници.

## 28. Преносими любителски антени

Понякога една любителска станция временно работи с произволно изменящо се местоположение. Такава работа с преносими апаратури и антени често се среща при полевите дни.

С увеличаването на моторизацията нараства и броят на онези радиолюбители, които използват преносими радиоапаратури в превозните средства. Така наречената мобилна работа получи широко разпространение благодарение на прогреса на полупроводниковата техника. Предимно от съображения за разпространението на сигналите и заради възможността да се създадат ефективни автомобилни антени в Европа за този режим на работа се предпочитат обхватът 2 m. Не на последно място в този смисъл трябва да се спомене и „ловът на лисици“, който от една приятна забава се превърна в много популярен спорт, изискващ в равна степен както технически умения, така и физическа издръжливост. Тези специални разновидности на любителското радио изискват антени, които с техническите си и механични данни отговарят най-пълно на предназначението на радиоапаратите.

### 28.1. Антени за портативна работа

При „нормалната“ работа с преносими антени се търси местност, която може да осигури най-добри условия за разпространението на излъчения сигнал. Изборът на местността при работа на къси вълни се прави по съображения, които се различават от тези при работа на УКВ.

Благоприятни местности за работа с късовълнови апаратури са най-вече тези с добра проводимост на земната повърхност и с открита близка околност. Работата от планински върхове

не подобрява йоносферното разпространение на късите вълни.

Решаваща за годността на дадено място е проводимостта на земната повърхност, особено когато ще се използват вертикални излъчватели. Така например в непосредствена близост до водни повърхности могат да се очакват добри условия за разпространение на сигнала. Отделни дървета или гори не пречат на разпространението на късите вълни, но трябва да се избягват близко разположени свободни висящи проводници или метални конструкции.

При работа на УКВ сигналът практически не се отразява от йоносферата. Затова възможно най-високото място за монтиране на антената създава в най-добри условия за разпространение на сигнала. В този случай изборът на местността е от първостепенно значение, но е и най-лесен, защото не трябва да се отчита състоянието на земната повърхност.

При работа с преносими апаратури могат да се използват всички обикновени антени за КВ и УКВ, стига за тях да съществуват или да се създадат подходящи точки за закрепване и пренасянето на съставните части на антената да не се натъкне на непреодолими трудности. Тъй като при кратковременна работа с преносими апаратури най-често не си струва да се строят сложни антенни системи, в обхвата на късите вълни се предпочитат най-прости проводникови антени, чиято геометрична дължина се определя от състоянието между наличните опорни точки (дървета и пр.). При тези L- или T-образни антени резонансът се получава чрез използването на един несиметричен *Колинс-филтър*. Не е необходима специална захранваща линия, защото най-често предавателят може да бъде поставен непосредствено до антената. Освен това откритите нена-



селени местности едва ли трябва да се отстраняват смущенията, причинени на радио- и телевизионни приемници. Там, където земната повърхност е с добра проводимост (напр. на брега на езеро или в блатисти местности, вж. също раздел 19.1.), най-ефективно е използването на вертикални излъчватели. Много често едно дърво представлява подходяща опора за окачване на един вертикален или наклонен четвъртвълнов проводник, чийто долен край през Колинс-филтър се включва направо към крайното съгласно предавателя. Само много малко любителски радиостанции разполагат с цяла или съгъваема мачта, която да е достатъчно дълга, за да се използва при работа в обхвата на късите вълни, и по този начин да са независими от естествените опорни точки. При работа с преносими апаратури решаващ за успеха на връзките е изборът на местоположението на антената, затова, общо взето, е достатъчно да се подсикурат само голямо количество антенен проводник и подходящ Колинс-филтър. След това антената се монтира съобразно с особеностите на местността.

При работа с преносими апаратури в обхватите 2 m и 70 cm обикновено антените не са проблем. Могат с добър успех да се използват разглюбяеми Яги-антени. За носеща мачта в повечето случаи служи слобояема тръбна конструкция с дължина около 3 m, изработена от няколко отделни тръби.

При ръчните приемно-предаватели с малка мощност, използвани за близки радиовръзки, антената най-често е четвъртвълнов излъчвател, монтиран направо върху предавателя. По-големи разстояния се покриват с малогобаритни Яги-антени (вж. раздел 22.2.) или с антена *HV9CV* (вж. раздел 22.1.2.).

## 28.2. Късовълнови автомобилни антени

Изборът на късовълнови автомобилни антени е много ограничен. На първо място трябва да се спомене скъсеният четвъртвълнов излъчвател. Единствено в обхвата 10 m този излъчвател може да има нормална дължина (около 2,50 m). Правилникът за движение по пътищата и разумът не позволяват използването на естествената

резонансна дължина при по-големи дължини на вълните. В този случай може да се работи само с допълнително поставени удължителни бобини, при което се появяват известните недостатъци — малък коефициент на полезно действие, неголяма широчина на пропусканата честотна лента и трудности при захранването.

### 28.2.1. Механична конструкция на скъсени вертикален излъчвател

Трудности могат да възникнат при механичното закрепване на антенния прът. Той трябва да е еластичен, но не бива да трепти. Тъй като антенният прът може да се закрепи само в долния си край, ветровото съпротивление действа в тази точка като лостова сила, която нараства при увеличаване на скоростта на превозното средство. Оттук следва изискването за антена да се използва по-тънка тръба с малко ветрово съпротивление; по възможност тя трябва да изтънява към върха, защото ветровото съпротивление на върха на антената има най-дълго рамо на лоста и влияе най-силно.

От една страна, по съображения за здравина пръчковидната антена трябва да се състои само от една част, от друга обаче е желателно тя да може да се разглюбява, за да може в случай на нужда да се транспортира и вътре в превозното средство. Накрая закрепването в долния край на антената също трябва да се разглюбява лесно, за да може антената да се сваля преди влизане в гаража.

За дължини на вълната, по-големи от 10 m, винаги трябва да се използва удължителна бобина. От съображения за стабилност нейното място се избира в най-долния край на антенния прът. Там около максимума на тока загубите в бобината обаче са най-големи. Съпротивлението на излъчване и с това и коефициентът на полезно действие се увеличават, ако удължителната бобина се измести към върха на антената. Като изгоден компромис се предлага удължителната бобина да се постави на разстояние от долния край, равно на  $1/3$  до  $1/2$  от дължината на антенния прът.

Късовълновите автомобилни антени най-често се закрепват на задните брони на автомобилите, съотв. към рога, за който са закрепени броните. Тези части на колите са достатъчно здрави и освен това може да се очаква добра галваническа връзка с останалите метални части на автомобила. От решаващо значение в повечето случаи обаче е това, че при такъв начин на закрепване не се поврежда каросерията на автомобила.

Трябва да се препоръча между антената и мястото на закрепване да се постави демпфираща пружина. Подходящи за целта са спиралните пружини, поставени под мотоциклетната седалка (диаметър на пружината около 30 mm, диаметър на тела на пружината около 6 mm). При известна съгласност в механичната работа от този материал може да се изработи съвсем добра демпфираща пружина. Еластичната връзка допринася за това, неравностите на пътя да се предават с много по-малка сила върху антената, отколкото при твърдо закрепване. Поради закрепването чрез пружина към бронята на колата антенният прът има възможност при удар в някакво препятствие да поддаде и затова не се пречупва лесно. Оптимални условия за работа в движение се създават, когато антената, монтирана върху пружина, има честота на механичните трептения около 1 Hz. Обикновено краткотрайните и следващи едно след друго сътресения, причинени от неравностите на пътя, не могат да предизвикат в този случай механични колебания на антената и като резултат, даже при лош път, антенният прът стои сравнително спокоен.

Най-често механичната дължина на вертикалните късовълнови автомобилни антени е между 2,40 и 3 m. Традиционният материал за изработване на антенните прътове е металната тръба, като особено подходящи са тези, използвани при индустриалното производство на автомобилни антени. Една също така използвана и не така скъпа конструкция може да се направи от тънки сглобени бамбукови пръти (те се продават във вдънчарските магазини). Тези пръти служат за носеща мачта на антенния проводник, който в най-просто изпълнение е залепен около тях чрез залепваща лента. Изключи-

телно подходящи са вдънчарските пръти от полиестерни смоли (фибръстъкло). При тях антенният проводник се прокарва вътре в пръта и не се забелязва. Тъй като носещият материал е изолатор без загуби, необходимата удължителна индуктивност (тялото на бобината) може да се постави направо върху антенния прът.

Естествено съществуват и други по-добри или по-лоши идеи за механичната конструкция на антената, но тук бяха споменати само някои от тях. Една добре изглеждаща и безупречно изработена от механична гледна точка антена не изпълнява предназначението си, ако и без това малкият ѝ коефициент на полезно действие се влоши поради грешки в електрическото изпълнение.

## 28.2.2. Електрически характеристики на скъсените вертикални излъчватели

Най-добър коефициент на полезно действие се постига, когато четвъртвълновият автомобилен излъчвател работи в обхвата 10 m; в този обхват той има механична дължина около 2,40 m и работи като антена на Маркони без удължителна бобина. Необходимата противовтежест, съотв. „земя“, се образува от металните части на превозното средство и техния капацитет спрямо естествената земя.

Електрическите параметри на един такъв излъчвател са дадени в раздел 19.2. Съпротивлението на излъчване, определено по (19.5), е около 40  $\Omega$ . Според (19.6) входното съпротивление  $R_E$  е равно на сумата от съпротивлението на излъчване  $R_S$  и общото загубно съпротивление  $R_V$ . Загубните съпротивления не допринасят с нищо за излъчването на енергията, напротив, те преобразуват част от мощността на предавателя в топлина. Затова коефициентът на полезно действие  $\eta$  е толкова по-малък, колкото по-големи са загубните съпротивления  $R_V$ , отнесени спрямо съпротивлението на излъчване  $R_S$ :

$$\eta = \frac{R_S}{R_S + R_V} \quad (28.1)$$

Ако се приеме, че съпротивлението на

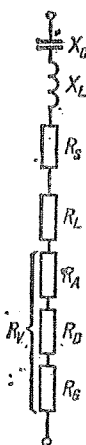
излъчване възлиза на  $36 \Omega$ , а сумата на загубните съпротивления е около  $12 \Omega$ , то входното съпротивление би било около  $48 \Omega (=R_S + R_V)$ . Съгл. (28.1) коефициентът на полезно действие е

$$\frac{36}{36+12} = 0,75, \text{ т. е. } 75\%.$$

Специално при автомобилните антени най-голямата част от загубното съпротивление  $R_V$  се дължи на загубите в земята  $R_G$ . При скъсените вертикални излъчватели със значителен дял в общото загубно съпротивление могат да участвуват и загубите на удължителната бобина  $R_L$ . Други съставни части на загубното съпротивление са загубите в изолаторите  $R_D$ , които се явяват като диелектрични загуби на изолатора в долния край на антената, и загубите в проводника  $R_A$ , които се дължат на омическото съпротивление на антенния проводник. Тук трябва да се отчете честотозависимият скин-ефект. Пресмятането на това съпротивление се извършва по уравн. (5.13).  $R_A$  и  $R_D$  се поддържат обикновено много по-малки от  $R_G$  и  $R_L$  и затова често не се вземат предвид.

На фиг. 28.1 е показана еквивалентната схема на един скъсен четвъртълнов излъчвател. Скъсяването на излъчвателя спрямо нормалната му дължина внася едно капацитивно реактивно съпротивление  $X_C$ . То се компенсира чрез еквивалентно индуктивно съпротивление  $X_L$ , реализирано чрез удължителна бобина ( $X_L = X_C$ ). Затова въпреки по-малката си дължина излъчвателят е настроен в резонанс. Последователно на  $X_L$  и  $X_C$  са свързани съпротивлението на излъчване  $R_S$  и загубното съпротивление  $R_V$ , съпротивлението на диелектричните загуби  $R_D$  и съпротивлението на антенния проводник  $R_A$ .

Важна е зависимостта на съпротивлението на излъчване от скъсяването на излъчвателя. Общо правило е, че  $R_S$  става толкова по-малко, колкото повече се скъсява излъчвателят. Тази зависимост се вижда и от уравн. (19.5); механичното скъсяване на антената намалява и ефективната ѝ дължина  $H_{\text{eff}}$ . Една практическа формула за определяне на съпротивлението на излъчване гласи:



Фиг. 28.1. Еквивалентна схема на механически скъсен четвъртълнов излъчвател

$$R_S = \frac{H^2}{312}, \quad (28.2)$$

където  $H$  е дължината на антената, изразена в ъглови градуси.

#### Пример 1

Една автомобилна антена с дължина 3 m трябва да работи в обхвата 80 m. Какво е съпротивлението на излъчване  $R_S$ ?

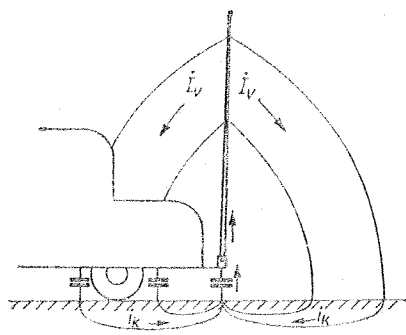
Средната дължина на вълната в обхвата 80 m е около 82 m. Тази дължина се приравнява към  $360^\circ$ . Оттук може да се изчисли механичната дължина на антената (3 m), изразена в ъглови градуси:

$$H = \frac{3.360}{82} \approx 13^\circ;$$

$$H = 13, \quad H^2 = 169; \quad R_S = \frac{169}{312} \approx 0,54 \Omega.$$

Ако същата антена се използва за обхвата 40 m ( $\lambda = 42,5$  m), тя би имала електрическа дължина от около  $25^\circ$ , съответно съпротивление на излъчване  $2 \Omega$ . Съпротивлението на излъчване в обхвата 20 m би било около  $9 \Omega$ .

Съпротивлението на излъчване е особено малко в обхвата 80 m. Вследствие на това коефициентът на полезно действие на антената е извънредно нисък. Ако се приеме, че сумата от загубните съпротивления е  $12 \Omega$  (това е съвсем реална стойност), то съгласно



Фиг. 28.2. Разпространение на токовете в една вертикална автомобилна антена

(28.1) в горния случай при работа в обхвата 80 m се получава  $\eta$ , равен на 0,043 (4,3%). Това означава, че повече от 95% от мощността на предавателя се преобразува в безполезна топлина. При същите условия в обхвата 40 m може да се получи коефициент на полезно действие 14,3%, а в обхвата 20 m — 43%. Оттук се вижда колко е важно загубните съпротивления да бъдат възможно най-малки. Даже незначителни на вид грешки (напр. лош контакт в някое съединение) могат да влошат катастрофално коефициента на полезно действие.

За съжаление не съществуват практически възможности да се намалят загубите, причинени от  $R_G$ . Както е показано схематично на фиг. 28.2, токовете на електрическото сместване във външното пространство  $I_V$  преминават през земята като конвекционни токове  $I_K$  и протичат към долния край на антената (вж. също така фиг. 19.4). При работата на автомобилната антена част от токовете се събират от металната каросерия на автомобила. Нейната повърхност обаче поне за ниско-честотните любителски обхвати е много по-малка от  $\lambda/4$  и затова не може да служи като противовес. Тя действа като кондензатор спрямо земя. Измерванията, направени на автомобилна антена с дължина 3 m при работа в обхвата 80 m, са показали, че съпротивлението  $R_G$  има средна стойност 10  $\Omega$ .

### 28.2.2.1. Удължителна бобина за скъсените вертикални излъчватели

Един скъсен четвъртвълнов излъчвател има капацитивно реактивно съпротивление  $X_C$ . Неговата стойност (в  $\Omega$ ) се получава от уравнението

$$X_C = \frac{Z_A}{\lg H}, \quad (28.3)$$

където  $Z_A$  е вълновото съпротивление на антенния прът в  $\Omega$ , пресметнато по урavn. (19.7),  $H$  — дължината на антената в ъглови градуси. Определянето на тази дължина вече беше пояснено в пример 1.

#### Пример 2

Приема се, че автомобилна антена с дължина 3 m работи в обхвата 80 m. Дължината  $H$  е равна на  $13^\circ$ . Тангенсът на ъгъл  $13^\circ$  се намира по таблица; той е 0,23087. Антенният прът трябва да има диаметър  $d=10$  mm. При дължина на антената  $L=3$  m = 3000 mm отношението  $S=L/d$  е 300. От урavn. (19.7) се пресмята вълновото съпротивление  $Z_A=361$   $\Omega$ . След това от (28.3) се пресмята стойността на  $X_C$ :

$$X_C = \frac{361}{0,23087} = 1570 \Omega.$$

За да се компенсира капацитивното съпротивление от 1570  $\Omega$ , индуктивното съпротивление на удължителната бобина също трябва да бъде 1570  $\Omega$ . При това удължителната бобина се намира в максимум на тока, т. е. в основата на антената.

Индуктивността на удължителната бобина за честотата на съответния обхват се получава по формулата

$$L = \frac{X_L}{2\pi f}, \quad (28.4)$$

където  $L$  е в  $\mu\text{H}$ , когато честотата  $f$  се замести в MHz. Без пресмятане  $L$  в зависимост от  $X_L$  при зададена честота  $f$  може да се отчете от фиг. 6.19.

При  $f=3,7$  MHz на пресметнатото в пример 2 индуктивно съпротивление от 1570  $\Omega$  съответствува индуктивност от около 68  $\mu\text{H}$ .

Качественият фактор на бобината  $Q$  трябва да бъде възможно най-голям, за да може съпротивлението на загубите в бобината  $R_L$  да остане в приемливи граници. Добрите саморъчно изработени бобини с малки загуби рядко имат  $Q$ , по-голям от 300. Висок качествен фактор се получава при използването на дебели проводници с голяма повърхностна проводимост и подходяща форма на бобината. Грубо правило е, че дължината на бобината трябва да се отнася към нейния диаметър, както 2 : 1. Съпротивлението на загубите в бобината се получава от формулата

$$R_L = \frac{X_L}{Q} \quad (28.5)$$

Ако се зададе  $Q=300$ , съпротивлението на загубите на бобината с  $X_L=1570 \Omega$  би било повече от  $5 \Omega$  и би направило чувствително коефициента на полезно действие. Вече беше споменато, че коефициентът на полезно действие на един скъсен вертикален излъчвател се подобрява, ако нужната удължителна бобина се постави не в основата на антената, а приблизително по средата ѝ. При такова разположение на удължителната бобина съпротивлението на излъчване  $R_s$  почти се удвоява, което е равносилно на удвояване на коефициента на полезно действие. Една високо подвижната бобина не е подложена така силно на влиянието на околните метални части, както бобина, поставена в основата на антената. За да не се намалява качественият фактор на бобината, разстоянието от нея до металните части на автомобила трябва да е поне два пъти по-голямо от диаметъра ѝ.

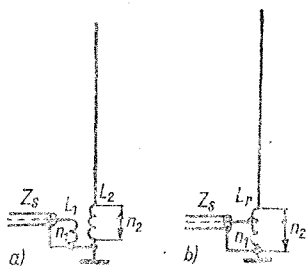
Против такова разположение на бобината има съображения от статично и механично естество. Висококачествените бобини, през които протичат големи токове, не могат да бъдат миниатюрни. Големите и сравнително тежки бобини в средата на рамото на лоста, образуван от антената, упрежняват значително статично натоварване на основата на антената. Тъй като бобината с нищо не допринася за излъчването, изглежда по-изгодно тя да бъде поставена в основата на антената, като по този начин отдалечава излъчващата част от поглъщащите метални

части на автомобилната каросерия. Скъсеният четвъртълнов излъчвател има много малко входно съпротивление и затова винаги трябва да се предвижда звено за съгласуване към захранващата линия. То може да се обедини с удължителната бобина. Така че въпросът за мястото на удължителната бобина трябва да се решава за всеки конкретен случай поотделно, като се преценят очакваните предимства и недостатъци.

Ако бобината е в средата на антената, тя вече не се намира при максимум на тока. Затова индуктивността, пресметната за една бобина, разположена в основата на антената, вече не е достатъчна за компенсиране на капацитивното съпротивление  $X_C$ . Тя трябва да се увеличи почти двойно. По-точни стойности за индуктивността  $L$  на една централна бобина се получават, ако стойността, пресметната за бобина, разположена в основата на антената, се умножи с 1,43. За една бобина, която е отдалечена от основата на антената на разстояние, равно на  $1/3$  от дължината на антената, коефициентът на умножение е 1,16.

Силно скъсените вертикални излъчватели имат много малка ширина на пропусканата честотна лента. Като ориентировъчна стойност за широчината на лентата на антена с дължина 3 m с удължителна бобина в основата, използвана в обхвата 80 m, може да се посочи 35 kHz. При използване на бобина, разположена в средата на антената, широчината на пропусканата честотна лента намалява на 25 kHz. За да може да се настрои антената в резонанс, се използват бобини с ролков извод, по-рядко вариометри. Понякога за промяна на индуктивността се използват месингови сърцевини, които в отделни случаи се задвижват отдалеч чрез шнурчета. Тези решения обаче са проблематични, защото обикновено влошават качествения фактор на бобината.

Съгласно уравн. (19.9) широчината на пропусканата честотна лента  $B$  е равна на  $f_{\text{res}}/Q$ .  $Q$  е качественият фактор на бобината, пресметнат по уравн. (19.8) ( $Q=Z_A/R_E$ ).  $Z_A$  е вълновото съпротивление на антенния прът. То се изчислява по уравн. (19.7).  $R_E$  е входното съпротивление на антената; както е известно, то е равно на сумата от съпро-



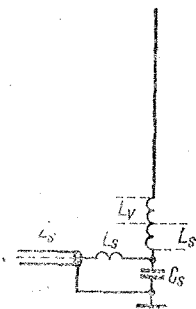
Фиг. 28.3. Проста схема на трансформатор за съгласуване на пръчковидна антена с удължителна бобина към захранващата линия

тивленнето на излъчване и загубното съпротивление ( $R_E = R_S + R_r$ ). Следователно може да се напише

$$B = f_{\text{res}} \cdot \frac{R_E}{Z_A} \quad (28.6)$$

#### 28.2.2.2. Съгласуване на скъсени вертикални излъчватели към захранващата линия

Входното съпротивление  $R_E$  на силно скъсените автомобилни антени като правило е между 10 и 20  $\Omega$ , като често по-голямата част от стойността на входното съпротивление са загубните съпротивления. Даже четвъртвълновите излъчватели с нормална дължина, които могат да се реализират за обхвата 10 m, имат входен импеданс от около 40  $\Omega$  при предположение, че не съществуват радиални заземителни проводници. Ако се измери по-голямо



Фиг. 28.4. Полобрана схема за съгласуване на пръчковидна антена с удължителна бобина към захранващия кабел

входно съпротивление, този резултат показва само това, че са се появили необичайно големи загубни съпротивления.

Автомобилните антени се захранват винаги чрез къс отрязък от коаксиален кабел, който във всички случаи трябва да се съгласува с входния импеданс на вертикалния излъчвател. За целта са подходящи на първо място схемите за съгласуване, описани в раздел 19.4.1.; те се използват изобщо за всички четвъртвълнови излъчватели. Ако обаче удължителната бобина на скъсения вертикален излъчвател се намира в основата му, тя може да се използва едновременно и като бобина за връзка. Две такива схеми са показани на фиг. 28.3. Те са идентични по начин на действие. На фиг. 28.3a е показан един ВЧ-трансформатор, чиято вторична намотка има  $n_2$  навивки и представлява удължителната бобина на излъчвателя. Броят на навивките  $n_1$  на бобината за връзка  $L_1$  се получава от формулата

$$n_1 = n_2 \cdot \sqrt{\frac{L_S}{\omega L_2}}, \quad (28.7)$$

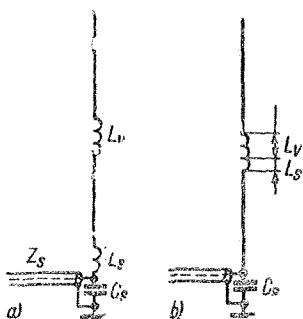
където  $Z_S$  е вълновото съпротивление на използвания коаксиален кабел;

$\omega L_2$  — ъглова честота на бобината  $L_2$ .

На фиг. 28.3b е показана същата схема, само че ВЧ-трансформаторът е изпълнен като автотрансформатор. При тези много прости схеми могат да възникнат трудности при осъществяването на определен коефициент на връзка между бобините, подтискането на висшите хармонични е незначително и не могат да се избягнат индуктивностите на разсейване. По-надеждно работи схемата, показана на фиг. 28.4, в която  $C_S$  служи като шунт за висшите хармонични. Тази схема изпълнява и условието за съгласуване, като трансформира вълновото съпротивление на кабела към входното съпротивление на излъчвателя. Необходимата стойност на  $C_S$  (в pF) се пресмята по формулата

$$C_S = \frac{10^9}{2\pi f \cdot \sqrt{R_E \cdot Z_S}}, \quad (28.8)$$

където  $f$  е честота в kHz,  $R_E$  е входното



Фиг. 28.5. Съгласуване на коаксиален кабел към входното съпротивление на скъсена вертикална антена: а — бобината  $L_s$  е поставена в основата на излъчвателя, б — бобината  $L_s$  е обединена с удължителната бобина в средата на антената

съпротивление на излъчвателя,  $Z_s$  е вълновото съпротивление на хранящия кабел.

Индуктивността на  $L_s$  (в  $\mu\text{H}$ ) се пресмята по формулата

$$L_s = \frac{\sqrt{R_E \cdot Z_s \cdot 10^3}}{2\pi f}, \quad (28.9)$$

където  $f$  е честотата в kHz.

#### Пример

Една скъсена автомобилна антена е резонансна честота 3700 kHz и с входно съпротивление 20  $\Omega$  трябва да бъде съгласувана към коаксиален кабел с вълново съпротивление 60  $\Omega$ . Трябва да се пресметнат стойностите на  $L_s$  и  $C_s$  за схемата, показана на фиг. 28.4.

$$C_s = \frac{10^9}{6,28 \cdot 3700 \cdot \sqrt{1200}} = \frac{10^9}{23236,34,7} = 1240 \text{ pF};$$

$$L_s = \frac{\sqrt{1200 \cdot 10^3}}{6,28 \cdot 3700} = \frac{34700}{23236} = 1,49 \text{ } \mu\text{H}.$$

Целесъобразно е кондензаторът  $C_s$  да бъде образуван от един постоянен кондензатор и от един тример с въздушна изолация, за да има удобна възможност за корекции. В този случай става дума за съгласуваша схема на Зефрид (вж. раздел 6.7.2.), при която втората бобина  $L_s$  е станала част от  $L_v$ .

На фиг. 28.5а е показана друга схема на съгласуване. В този случай бобината  $L_s$  е поставена в основата на излъчвателя. Нейното действие не се променя, ако тя бъде „прикачена“ към удължителната бобина в средата на антената, така че да се използва само една бобина  $L_s + L_v$  (фиг. 28.5б). Ако удължителната бобина се намира в основата на антената, тя също се комбинира с  $L_s$ . Необходимата индуктивност на  $L_s$  (в  $\mu\text{H}$ ) се пресмята по формулата

$$L_s = \frac{\sqrt{R_E \cdot (Z_s - R_E) \cdot 10^3}}{2\pi f}, \quad (28.10)$$

където  $R_E$  е входният импеданс на излъчвателя в  $\Omega$ ;

$Z_s$  — вълновото съпротивление на коаксиалния кабел;

$f$  — честотата в kHz.

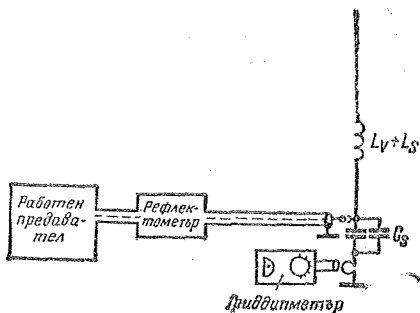
Капацитетът  $C_s$  (в pF) се пресмята по формулата

$$C_s = \frac{2\pi f \cdot Z_s \cdot \sqrt{\frac{R_E}{Z_s - R_E}}}{10^3}. \quad (28.11)$$

#### Пример

Една автомобилна антена с резонансна честота 3700 kHz и с входно съпротивление 16  $\Omega$  трябва да бъде съгласувана по схемата, показана на фиг. 28.5, към коаксиален кабел с вълново съпротивление 60  $\Omega$ . Трябва да се пресметнат  $L_s$  и  $C_s$ :

$$L_s = \frac{\sqrt{16 \cdot (60 - 16) \cdot 10^3}}{6,28 \cdot 3700} = \frac{26500}{23236} = 1,14 \text{ } \mu\text{H};$$



Фиг. 28.6. Постановка за настройка на схемата за съгласуване, показана на фиг. 28.5

$$C_s = \frac{6,28.3700.60. \sqrt{\frac{16}{60-16}}}{10^3} =$$

$$= \frac{1394160,6}{10^3} \approx 836 \text{ pF.}$$

При тази схема капацитетът  $C_s$  също трябва да бъде образуван от един постоянен кондензатор и един тример с въздушна изолация.

За да се настрои и съгласува точно една автомобилна антена, са безусловно необходими един гриддипметър и един рефлектометър. Най-добрата постановка за измерване на схемата за съгласуване от фиг. 28.5 е показана на фиг. 28.6.

#### Инструкция за настройка

Отначало се отстранява захранващият кабел и проводникът между  $C_s$  и земя се прекъсва. На мястото на този проводник се поставя една малка бобина с една навивка, която служи за бобина за връзка с гриддипметъра. С помощта на гриддипметъра се из-

мерва резонансната честота на антената. Ако е необходимо, тя се коригира чрез  $L_v$ . След това се свързва коаксиалният кабел. Към него чрез шлейф е включен рефлектометър. Антената се възбужда от предавателя със сигнал с резонансната честота и се отбелязва показанието на рефлектометъра. След това захранващият кабел отново се отстранява и стойността на капацитета  $C_s$  се увеличава. Това намалява резонансната честота на антената, но тя се настройва на старата стойност чрез изменение на  $L_v$ . Този процес се контролира с гриддипметъра. Захранващият кабел се включва отново и се установява новият коефициент на стоящи вълни. Ако той е по-малък от предишния, значи стойността на  $C_s$  е изменена в правилната посока. В противен случай  $C_s$  трябва да се намалява. Този процес се повтаря в същия ред, докато се получи минимално възможният коефициент на стоящи вълни. Тогава бобината за връзка с гриддипметъра се премахва и се възстановява директната връзка на  $C_s$  към нулевия потенциал. Предизвиканото от тези действия леко изместване на резонансната честота се отстранява оконча-

Таблица 28.1. Данни за оразмеряване на скъсени автомобилни антени (фиг. 28.7)

Резонансна честота	Излъчвателят е показан на			
	фиг. 28.7а	фиг. 28.7	фиг. 28.7с	фиг. 28.7
3700 kHz	$L_v = 65 \mu\text{H}$ $\approx 66$ нав. $d=1,5; D=50;$ $L=200$	$L_v = 83 \mu\text{H}$ $\approx 81$ нав. $d=1,5; D=50;$ $L=200$	$L_v = 100 \mu\text{H}$ $\approx 70$ нав. $d=1,0; D=60;$ $L=150$	$L_v = 118 \mu\text{H}$ $\approx 88$ нав. $d=1,0; D=50;$ $L=200$
7050 kHz	$L_v = 17 \mu\text{H}$ $\approx 20$ нав. $d=2,0; D=70;$ $L=80$	$L_v = 22 \mu\text{H}$ $\approx 25$ нав. $d=2,0; D=65;$ $L=100$	$L_v = 32 \mu\text{H}$ $\approx 32$ нав. $d=1,5; D=60;$ $L=100$	$L_v = 35 \mu\text{H}$ $\approx 35$ нав. $d=1,5; D=60;$ $L=110$
14150 kHz	$L_v = 3,3 \mu\text{H}$ $\approx 10$ нав. $d=2,0; D=60;$ $L=75$	$L_v = 4,7 \mu\text{H}$ $\approx 11$ нав. $d=2,0; D=70;$ $L=70$	$L_v = 7,0 \mu\text{H}$ $\approx 13$ нав. $d=1,5; D=60;$ $L=60$	$L_v = 8,0 \mu\text{H}$ $\approx 16$ нав. $d=1,5; D=50;$ $L=50$
21150 kHz	$L_v = 0,7 \mu\text{H}$ $\approx 5$ нав. $d=2,0; D=40;$ $L=50$	$L_v = 1,5 \mu\text{H}$ $\approx 7$ нав. $d=2,0; D=50;$ $L=60$	$L_v = 1,85 \mu\text{H}$ $\approx 8$ нав. $d=2,0; D=40;$ $L=40$	$L_v = 2,1 \mu\text{H}$ $\approx 8$ нав. $d=2,0; D=50;$ $L=50$



телно чрез малки корекции на  $L_v$ . Като индикатор се използва рефлектометрията, който отново трябва да измери минимален коефициент на стоящи вълни.

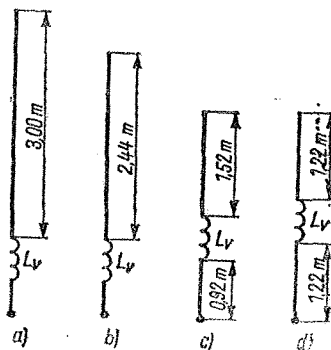
### 28.2.2.3. Дани за оразмеряване на механично скъсени автомобилни антени

При определени условия съществуват възможности да бъдат дадени сведения за стойността на удължителната бобина в зависимост от дължината на излъчвателя. Тези пресметнати стойности могат да бъдат само приблизителни, защото не е възможно да се отчетат изменящите се във всеки конкретен случай влияния на околната среда. Индуктивностите, дадени в табл. 28.1, се отнасят за антенен прът с вълново съпротивление  $360 \Omega$ , съответстващи на диаметър на антенния проводник 8 mm. По-тънките антени проводници изискват малко по-голяма удължителна бобина, при по-дебелите проводници индуктивността се намалява до известна степен. В таблицата с  $d$  е означен диаметърът на проводника за изработване на бобината;  $D$  е диаметърът на бобината в mm, а  $L$  е дължината на бобината също в mm. Бобините се навиват така, че да се използва цялата зададена дължина. Това се получава тогава, когато разстоянието между навивките е приблизително равно на диаметъра на проводника. Висок качествен фактор се постига, ако посребрен меден проводник се навие върху звездообразно керамично тяло за бобина. Подходящи са и тела от полистирол. Когато липсва посребрен меден проводник, трябва да се използва възможно най-дебел меден проводник с лакова изолация. В радиолюбителската литература често се срещат номограми, от които могат да бъдат отчетени всички необходими данни за бобината при зададен диаметър и индуктивност. На фиг. 28.7 са начертани дължините на излъчвателя и положението на удължителната бобина, за които са в сила стойностите на  $L_v$ , дадени в табл. 28.1.

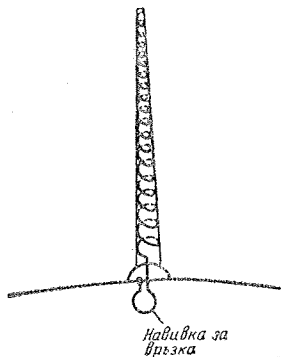
При работа в обхвата 10 m не са необходими удължителни бобини, защото при дължина на антената 2,50 m съществува четвъртвълнов резонанс.

При антенен прът с дължина 3 m вече съществува една индуктивна реактивна компонента, която трябва да се компенсира с последователно включен капацитет (вж. раздел 19.4.1.5.). Най-големи трудности при изработването на силно скъсени вертикални автомобилни антени се срещат по отношение на механичното и електрическото изпълнение на удължителните бобини, особено за обхвата 80 m. Ако не се използва само честотата 3690 kHz, препоръчана за работа в превозни средства, индуктивността на  $L_v$  трябва да може да се изменя в известни граници, защото при описаните конструкции за обхвата 80 m широчината на пропусканата честотна лента е само 30 kHz. Ако трябва да се избегне изменението на индуктивността на  $L_v$ , горната част на излъчвателя може да се направи телескопична. Така се създава възможност да се изменя резонансната честота на антената чрез промяна на механичната ѝ дължина. За по-високочестотните любителски обхвати тази пръчковидна антена пропуска достатъчно широка честотна лента, така че в повечето случаи не е необходимо при смяна на обхвата да се донастройва резонансната честота в границите на съответния обхват.

Особени трудности се срещат при желание за работа в няколко обхвата. Механически най-прост и най-изгоден от електрическа гледна точка начин за това е да се сменя удължителната бобина (евентуално заедно с горната част на излъчвателя) при всяка смяна



Фиг. 28.7. Механично скъсени четвъртвълнов вертикален излъчвател (вж. табл. 28.1)



Фиг. 28.8. Спирална антена за покрива на автомобил

на обхвата. Известни са схеми за преключване, някои от тях с релета, но досега те не са получили разпространение.

#### 28.2.2.4. Скъсени вертикални антени с разпределена индуктивност (спирална антена)

Ако навивките на една удължителна бобина се разпределят така по дължината на един излъчвател, че цялата антена да се състои само от една дълга бобина, даже при малка механична дължина на бобината се получава резонанс. Една спирална антена с плътно навити една до друга навивки и много малка обща дължина обаче има лоши излъчвателни свойства. Но ако бобината се разтегне така, че дължината ѝ да е от порядъка на един скъсен вертикален излъчвател, нейните качества са най-малкото равни на тези на един вертикален излъчвател с удължителна бобина. Днес могат да се намерят много подходящи тела за бобината (въдичарски пръти от фибростъкло, тръби от полистирол и PVC). Затова често една спирална антена е най-приемливата конструкция на автомобилна антена.

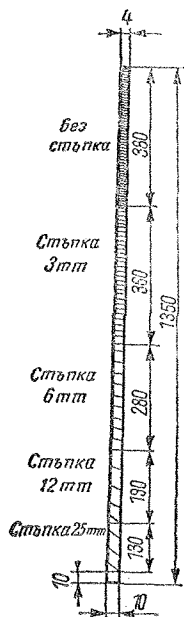
Ако навивките се разположат така, че в областта на големите токове да има само няколко навивки с голяма стъпка (навити под голям ъгъл) и ако този ъгъл се намалява постепенно към минимума на тока, по антената се получава синусоидално разпределение на тока. Това дава някои предимства в

сравнение със също толкова дълга вертикална антена с удължителна бобина, разположена в центъра. Съпротивлението на излъчване на спиралната антена е около 1,6 пъти по-голямо. Нейното входно съпротивление също е малко по-голямо; същото се отнася и за широчината на пропускателната честотна лента. От друга страна, сравнително малкият диаметър на антенния проводник и голямата му дължина обуславят по-големи загуби в самия проводник.

Най-доброто място за монтиране на една спирална антена е покривът на колата, защото там влиянието на околната среда е най-малко и излъчвателят е разположен над сравнително голяма метална плоскост. Една такава спирална антена, която е лека и къса, има много по-добри излъчвателни свойства от вертикалната антена с централна бобина и със същата механична дължина, монтирана на бронята на автомобила.

На фиг. 28.8 е показана схематично една спирална антена, разположена над метална плоскост (покрив на автомобил). За измерване на резонансната честота долният край на антената трябва да се свърже към един гриддип-метър чрез навивка за връзка. Броят на навивките на антената, необходим за постигане на резонанс, зависи от дължината на бобината, от стъпката на навивките и от диаметъра на бобината. По статични съображения се предпочитат конични носещи тела и навивките се навиват под изменящ се ъгъл. Затова едва ли е възможно данните за бобините да се пресметнат предварително.

Както вече беше споменато, антената има най-добри излъчвателни свойства, ако в основата ѝ навивките са далеч една от друга и постепенно се стъпстват към върха. Този начин на навиване не е лесен и затова по-често се използва стъпално изменение на гъстотата на навивките, както е показано на фиг. 28.9 за една спирална антена за любителския обхват 15 m. В този случай бобината е навита върху прът от фибростъкло с дължина 1,35 m, чийто външен диаметър намалява от 10 mm в основата до 4 mm на върха. Върху най-долните 10 mm няма навивки, защото те се използват за закрепване на пръта. Бобината започва с един участък с дължина 130 mm,

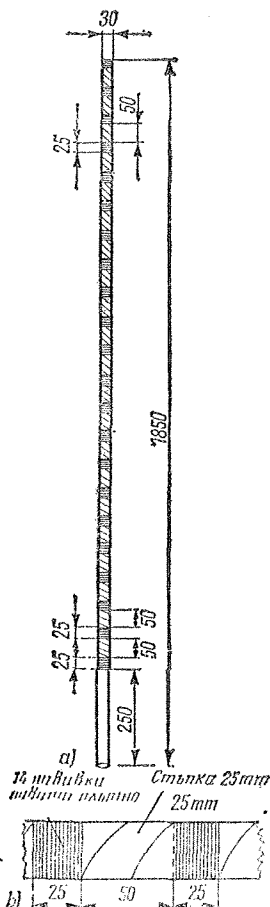


Фиг. 28.9. Вертикална спирална автомобилна антена за обхвата 15 m

върху който навивките са разположени на разстояние 25 mm една от друга. В следващите две секции стъпката на навивките се изменя на 12 mm, 6 mm и 3 mm и накрая в последния участък с дължина 380 mm навивките са разположени плътно една до друга. Върху пръта трябва да се съберат около 12,45 m лакиран меден проводник с диаметър 0,8 mm. Тази дължина на проводника е малко по-голяма от необходимата; съществува възможност при настройката част от излишния проводник откъм върха на антената да бъде отстранен, за да се получи настройка в резонанс. След настройката навивките се фиксират по местата си чрез подходящ лак или лепило. Тази антена пропуска честотна лента с широчина около 500 kHz — повече, отколкото е необходимо за обхвата 21 MHz.

При спиралната антена за обхвата 80 m се използва друг начин за навиване на бобината. Както е показано на фиг. 28.10, зоните с плътно навити една до друга навивки се редуват със зони, в които навивките са нарядко.

Върху пластмасова тръба с външен диаметър 30 mm и дължина 1,85 m се навиват около 37 m лакиран меден проводник с диаметър от 0,6 до 0,8 mm. Навивките заемат 1,60 m от дължината на тръбата и са навити по начина, показан на фиг. 28.10. Като тяло за бобината би била подходяща напр. водопроводна тръба от PVC. Настройката в резонанс и в този случай се извършва чрез развиване на навивки откъм върха на антената. Ако честотата трябва да се повиши, част от навивките се обвива с тясна лента от алуминиево фолио. Ако, обратно, ре-



Фиг. 28.10. Спирална антена за обхвата 80 m: а — общ вид, б — навивки върху част от антената

зонансната честота трябва да се понижи, вместо алуминиево фолио се използва феромагнитен материал, напр. магнетофонна лента. Излъчвателните свойства на вертикалната спирална антена стават толкова по-добри, колкото повече нараства нейната дължина.

### 28.3. Автомобилни антени за УКВ

На първо място радиолюбителят трябва да реши дали да използва антена с хоризонтална или с вертикална поляризация. Както е известно, напоследък в УКВ-обхватите се използват почти изключително автомобилни антени с вертикална поляризация, докато в предишните години хоризонталната поляризация беше нещо като правило за любителския 2-метров обхват. Това преустройство се дължи преди всичко на наличието на многобройни радиорелейни станции за обхвата 2 m, които работят само с вертикална поляризация. Заради големите предимства, които предлагат тези ретранслатори, особено на автомобилните станции, използващи обхвата 2 m, хоризонталната поляризация все повече остава на заден план.

#### 28.3.1. Вертикално поляризиращи автомобилни антени за УКВ

Изборът на мястото за монтиране на антената върху превозното средство може да се стори труден, защото, общо взето, важи правилото, че една отвесна пръчковидна антена трябва да се постави над свободна и голяма по площ метална повърхност. Следователно от електрическа гледна точка най-доброто място за антената би бил центърът на покрива на автомобила. По разбираеми причини трябва да се избягва пробиването на покрива на колата или друг подобен метод за закрепване. Както са показали опитите на производителите на автомобилни антени, покривът на колата съвсем не е най-изгодното място за монтиране на вертикална пръчковидна антена, която трябва да приема хоризонтално поляризиращи ултракъси вълни. Измерванията са дали на пръв поглед противоречащ на теорията резултат, че една нормална автомобилна антена, която (както обикно-

вено) се намира отстраня пред предното стъкло на около 10 cm от ръба на капника, отдава към приемника много по-голямо напрежение на хоризонтално-поляризиращия УКВ-радиосигнал, отколкото същата антена, поставена в средата на покрива на колата. Това явление се обяснява с факта, че първоначално хоризонталните силови линии на полето в близост до металните ръбове се изкривяват така, че около вертикалната антена стават почти отвесни и по този начин до голяма степен съответствуват на неговата поляризация. Най-голямо прието напрежение е било постигнато при механична дължина на антената  $3/8 \lambda$ .

Тези знания, натрупани в обхвата за УКВ-радиоразпръскване, могат без особени ограничения да се пренесат и в любителския обхват 2 m. Така че препоръчаното от производителите място за монтиране на автомобилните антени — отстраня пред предното стъкло — трябва да се приеме като най-доброто и за вертикалните антени за обхвата 2 m. Това означава по-нататък, че една обикновена телескопична автомобилна антена с успех би могла да бъде използвана и като излъчвател за обхвата 2 m.

Четвъртвълновият излъчвател, много популярен в обхвата на късите вълни, няма особено значение като автомобилна антена за обхвата 2 m. Входното съпротивление на една такава антена е около  $30 \Omega$  и зависи силно от формата, дължината и вида на автомобилната каросерия. Ефективната височина е незначителна, често при съгласуването с коаксиален кабел се срещат трудности.

При работа в автомобил по-изгодно би било използването на вертикален прът с дължина  $\lambda/2$ , защото той има по-добри приемни и излъчвателни качества. Заради специфичния режим на работа той обаче трябва да се захранва в края. Входното съпротивление е високо ( $> 500 \Omega$ ), а изолаторът в основата на антената трябва да бъде с отлично качество (максимум на напрежението).

Пръчковидната антена с дължина  $5/8 \lambda$  често се препоръчва като най-ефективната вертикално поляризираща автомобилна антена. Добрите резултати, постигнати с такава антена, се дължат преди всичко на нейната сравнително голяма ефективна височина.

От значение е и това, че тази антена има особено малък ъгъл на възвишение във вертикалната равнина. Чрез леко изменение на дължината на антената активната компонента на входния импеданс може да доближи до  $60 \Omega$ . Така при използването на телескопична антена настройката е особено проста. Все пак при механична дължина на антената  $5/8 \lambda$  съществува капацитивна компонента на входния импеданс, която трябва да бъде компенсирана чрез индуктивност (удължителна бобина). В зависимост от коефициента на скъсяване свободната дължина на един излъчвател с дължина  $5/8 \lambda$  е от 1100 до 1200 mm и като такъв може да се използва обикновена телескопична автомобилна антена. Бобината в основата на антената има индуктивност приблизително  $0,35 \mu\text{H}$ . Повече данни за тези автомобилни антени са дадени в раздел 25.1.3.

### 28.3.2. Хоризонтално поляризиращи автомобилни антени за УКВ

Хоризонтално поляризиращите автомобилни антени за УКВ трябва да имат кръгова диаграма на насочено действие в хоризонталната равнина, за да може съществуващите радиовръзки да остават стабилни при смяна на посоката на движение. Един полуълнов дипол напр. не удовлетворява това изискване, защото в неговата характеристика на насочено действие (с форма на осморка) има две изразни нулеви зони.

Кръглият вибратор, една разновидност на полуълновия дипол, изпълнява изискването за кръгова диаграма в хоризонталната равнина, но усилването му е с около 6 dB по-малко от това на правия полуълнов дипол в направлението на главния лъч. Въпреки това тази антена е много популярна, което може би се дължи на добрия външен вид. Кръговият дипол за обхвата 2 m е описан подробно в раздел 25.2.1.

За да се избегне гама-съгласуването, необходимо за един обикновен кръгов дипол, и за да се получи по-стабилна механична конструкция, често автомобилната антена за обхвата 2 m се из-

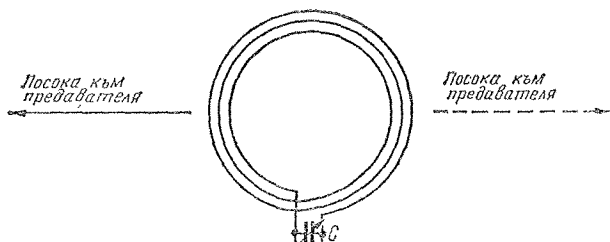
работва като шлейфвибратор. Това става лесно, като се огъва в кръг един обикновен шлейфвибратор. Краищата на дипола не трябва да се доближават на повече от 50 mm. Входното съпротивление на обикновения кръгов дипол е точно  $50 \Omega$ , затова при един кръгов шлейфвибратор може да се очаква 4 пъти по-голямо входно съпротивление ( $200 \Omega$ ). Ако трябва да се получи точно съгласуване към лентов кабел сълново съпротивление  $240 \Omega$ , шлейфвибраторът трябва да се изработи от различно дебели тръби (вж. раздел 4.1.). Тъй като е нужен коефициент на трансформация приблизително  $1:5$ , от фиг. 4.4 се получава отношение на диаметрите  $d_2/d_1$ , равно на 2, при отношение на разстоянието  $D$  към диаметъра  $d_2$ , равно на 9 (фиг. 4.3). Огъваният шлейфвибратор може да се захрани и чрез коаксиален кабел, ако се използва полуълнов симетриращ шлейф (вж. раздел 7.5.).

Пречупеният в средата шлейфвибратор не е така елегантен на външен вид. Неговите излъчвателни качества обаче са по-добри. Това се вижда от диаграмата на насочено действие в хоризонталната равнина, показана на фиг. 25.11. Тази антена е описана подробно в раздел 25.2.2. Тя може да бъде изработена и като обикновен огънат полуълнов дипол, захранван чрез гама-съгласуващ елемент и коаксиален кабел.

Заслужават внимание и други хоризонтално поляризиращи насочени излъчватели: антена „малтийски кръст“ (раздел 25.2.5.), „голямото колело“ (раздел 25.2.6.). Заради големите трудности при механичното изработване такива антени се използват само в изключителни случаи.

Често се използват и малогабаритни насочени автомобилни антени за обхвата 2 m. Това става при звездообразните походи и при други автомобилни състезания. Добра работа е показала на практика и антената *HB9CV*, описана в раздел 22.1.2.

За всички хоризонтално поляризиращи автомобилни антени се препоръчва да бъдат монтирани поне на 75 cm над покрива на автомобила. Няма значение къде ще бъде закрепена носещата мачта.



Фиг. 28.11

Пръстеновидна рамкова антена, ориентирана за приемане на максимален сигнал от предавателя

## 28.4. Антени за «лов на лисици»

При провеждане на състезания по „лов на лисици“ са нужни пеленгаторни антени, които позволяват еднозначно определяне на посоката на приемане.

Състезания и първенства по „лов на лисици“ се провеждат в обхватите 80 m и 2 m. Докато при „лов на лисици“ в обхвата 2 m може да се работи с обикновени Яги-антени, за обхвата 80 m са необходими специални пеленгаторни антени.

### 28.4.1. Пеленгаторни антени за обхвата 80 m

За „лов на лисици“ в обхвата 80 m се използват изключително рамкови антени или феритни антени. И двата типа антени реагират на магнитната компонента на електромагнитното поле; те се наричат също магнитни антени.

Една рамкова антена, пригодена за пеленговане, в най-простата си форма се състои от въртяща се рамка, по обиколката на която са навити определен брой навивки от проводник. Оста на въртене е ориентирана вертикално. Рамката има форма на квадрат, пръстен или многоъгълник. Антената се представя като голяма бобина, чийто размери, отнесени към дължината на работната вълна, са много малки. Магнитната компонента на електро-

магнитното поле индуцира в нея напрежение, което е максимално, ако рамката на антената е успоредна на посоката на разпространение на електромагнитните вълни. Ако рамката е перпендикулярна на посоката към предавателя, приетото напрежение е минимално. На фиг. 28.11 е показана една пръстеновидна рамкова антена, ориентирана за приемане на максимално напрежение от предавател, разположен по посока на стрелката. Приема се сигнал и когато предавателят е разположен в точно обратната посока (начертана с прекъснати линии). Диаграмата на насочено действие на тази антена е начертана още веднъж на фиг. 28.12. Рамката е начертана при поглед отгоре. Характеристиката има формата на осморка (както тази на полувълновия дипол), но с тази съществена разлика, че нулевите зони на рамковата антена не се намират по посока на оста, а в направление, перпендикулярно на равнината на рамката.

Ефективната височина на една пеленгаторна рамкова антена зависи от площта на рамката  $A$  (в  $\text{cm}^2$ ) и се определя по формулата

$$H_{\text{eff}} = \frac{2\pi A}{h}, \quad (28.12)$$

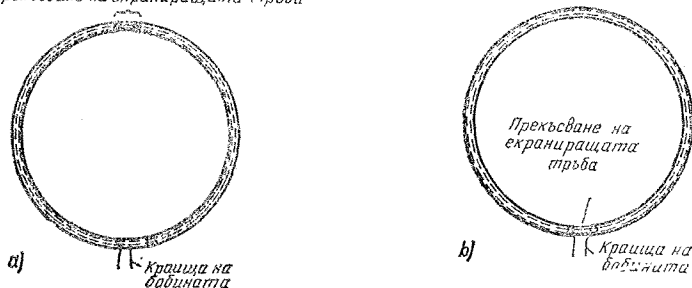
където  $H_{\text{eff}}$  е в m,  $h$  — в m, а  $2\pi = 6,28$ .

Така напр. ефективната височина на една рамкова антена с диаметър 0,26 m и 5 навивки възлиза само на  $0,021 \text{ m} = 21 \text{ mm}$  (рамковата антена на приемника за „лов на лисици“ в обхвата 80 m „Гера I“). Напрежението  $U_r$ , индуцирано в рамката, е много малко. Чрез настройка на рамковата антена в резонанс (с кондензатора  $C$ , фиг. 28.11) от нея може да бъде отнето резонансно напрежение  $U_{\text{res}}$ , което е  $Q$  пъти по-голямо от  $U_r$ .



Фиг. 28.12. Диаграма на насочено действие на рамкова антена с размери, много по-малки от дължината на приеманата вълна

Прекъсване на екраниращата тръба



Фиг. 28.13. Пръстеновидни рамкови пеленгаторни антени с електростатичен екран: а — прекъсване на екраниращата тръба срещу точките на захранване, б — прекъсване на екраниращата тръба в точките на захранване

$$U_{\text{res}} = U_r \cdot Q. \quad (28.13)$$

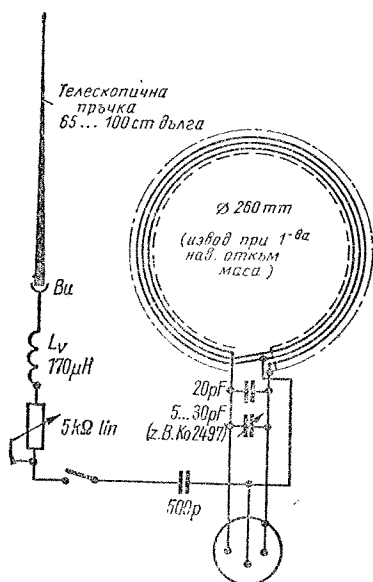
Съпротивлението на излъчване на антените за „лов на лисици“ също е извънредно ниско; то възлиза на

$$R_s = 640\pi^4 \left( \frac{nA}{\lambda^2} \right)^2. \quad (28.14)$$

За подобряване на насоченото действие на магнитните антени те се обвиват с електростатичен метален екран. Затова при пръстеновидните антени навивките се поставят в медна или алуминиева тръба. Тази екранираща тръба не бива да образува метална навивка, свързана на късо. Както е показано на фиг. 28.13, прекъсването на екранировката трябва да се прави или директно в точките на захранване (фиг. 28.13а), или точно на срещуположната страна на пръстена (фиг. 28.13б). Самите навивки, които преминават през тръбата, не трябва да се прекъсват; те образуват непрекъснатата кръгла бобина. От нея навън са изведени само двата края. Към тях се свързва променливият кондензатор.

В съвременните приемници за „лов на лисици“ вече се използват само транзистори, които, както е известно, имат малко входно съпротивление. Затова високоомният кръг на рамковата антена трябва да се съгласува към нискоомния вход на транзистора. Това става или чрез отделна навивка за връзка, или като се направи извод от част от навивките на бобината на рамковата антена; към този извод се включва транзисторното входно съпало.

Рамковите антени от този тип са с добри качества за пеленговане, но определената с тях посока на предавателя може да се отличава от действителната с точно  $180^\circ$ . От диаграмата на насочено действие, показана на фиг. 28.12, се вижда, че тя е с два минимума и два максимума, които не позволяват точно да се определи посоката на предавателя. Еднозначно определяне на посоката е възможно, ако двустранната диаграма на насочено действие на рамковата антена се превърне в едностранна, напр. с формата на кардиоида. За определяне на посоките е необходима една допълнителна антена, която отнема от електрическото поле напрежение, съвпадащо по размах и фаза с напрежението, индуктирано в рамковата антена от магнитното поле. Ако двете напрежения се насложат, характеристиката на насочено действие на комбинираната антена променя формата си от осморка на кардиоида със само една нулева зона. Така става възможно еднозначното определяне на посоката на предавателя. Допълнителната антена е един вертикален прът с електрическа дължина  $\lambda/4$ . За да се получи четвърт-вълнов резонанс с помощта на антена с дължина от около 1 m, тя се снабдява със съответната удължителна бобина  $L_v$ . Размахът на напрежението, подавано от допълнителната антена, се регулира с помощта на въглеродосложен потенциометър, включен последователно във веригата. На фиг. 28.14 е показана принципната схема на пеленгаторна рамка с помощна антена за „лов на лисици“.

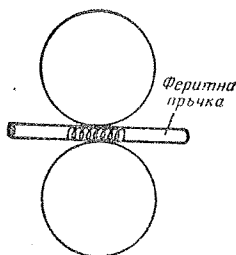


Фиг. 28.14. Принципна схема на пеленгаторна рамка с помощна антена, използвана за „лов на лисици“ в обхвата 80 m

По-често вместо донякъде неудобните рамкови антени при „лов на лисици“ в обхвата 80 m се използват феритни антени. Те са значително по-малки по размери. Както е показано на фиг. 28.15, една феритна антена се състои от феритна пръчка, върху която е намотана бобина. Обикновено продаваните феритни пръчки имат диаметър от 8 или 10 mm. Дължината им е от 65 до 200 mm. Оптималното отношение дължина/диаметър е от 16 до 20. Особено подходящ феритен материал за антени за „лов на лисици“ е *Manifer 240*, неговите най-добри качества се проявяват в честотния обхват от 2 MHz до 6 MHz. Той се произвежда на феритни пръчки с диаметър 10 mm и дължина 160 и 200 mm. *Manifer 240* има начален пермсабилитет  $\mu_A = 120 \pm 20\%$ .



Фиг. 28.15. Феритна антена



Фиг. 28.16. Диаграма на насочено действие на феритна антена

Положението на бобината върху феритната пръчка има значение за качествения фактор на кръга и за ефективната магнитна проницаемост. Затова като правило тя не се поставя в средата на пръчката, а малко настрани (фиг. 28.15). Между бобината и феритната пръчка има изолационна прокладка с дебелина около 1 mm. По-късно чрез изменение на разположението на бобината се извършват някои донестройки. Броят на навивките на бобината при зададена индуктивност  $L$  с достатъчна точност може да се изчисли по формулата

$$n = k \cdot \sqrt{L}, \quad (28.15)$$

където  $k$  е коефициент на феромагнитния материал (винаги се посочва от производителя), а  $L$  е индуктивността в  $\mu H$ . Използват се еднослойни цилиндрични бобини от високочестотен многожичен меден проводник.

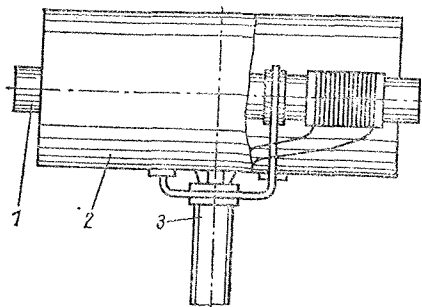
Ефективната височина на една феритна антена се пресмята по формулата

$$H_{\text{eff}} = \frac{2\pi n q}{\lambda} \mu_{\text{eff}}, \quad (28.16)$$

където  $n$  е броят на навивките на бобината,  $q$  е напречното сечение на феритната пръчка в  $\text{mm}^2$ ,  $\mu_{\text{eff}}$  е ефективната магнитна проницаемост на феритния материал, а  $\lambda$  — дължина на вълната в m.

Диаграмата на насочено действие на феритната антена има също известната форма на осморка, при което двата минимума на присмане са разположени по направление на оста на феритната пръчка (фиг. 28.16). Макар че при сравнение с диаграмата на насочено дей-





Фиг. 28.17. Въртяща се феритна антена с електростатичен екран: 1 — феритна пръчка, 2 — екраниращ цилиндър, 3 — ос на въртене

ствие на рамковата антена може да се приеме, че нулевите зони в двата случая са изместени на  $90^\circ$ , това не е така, защото не трябва да се разглежда положението на рамката, съотв. на феритната пръчка, а само положението на бобината. Тогава се вижда, че и в двата случая нулевите зони са разположени по посока на оста на бобината.

При феритните антени насоченото действие също се подобрява чрез електрическа екранировка. Тя се състои от един тънъкостенен цилиндър, който трябва да бъде снабден с надлъжен процеп, за да не образува навивка на късо. Електростатичната екранировка на една феритна антена е показана на фиг. 28.17.

По отношение на чувствителността и насоченото действие феритната антена отговаря на една пръстеновидна рамкова антена с диаметър, равен на дължината на феритната пръчка. Тъй като произвежданите феритни пръчки имат дължина най-много 20 см, чувствителността на феритните антени е ограничена.

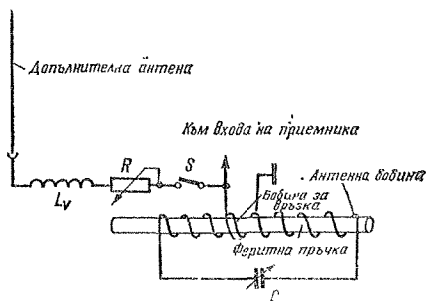
Този недостатък — малко по-малката чувствителност — напълно се компенсира от компактните размери и незначителните разходи при изработването на феритните антени.

На фиг. 28.18 е показана принципната схема на една феритна пеленгаторна антена с помощна антена за определяне на посоката на приемане. Антенната бобина, поместена върху феритната пръчка, образува заедно с кондензатора  $C$  един трептящ кръг, който може да се настрои на честотата на „лисицата“ в обхвата 80 m. При диа-

метър на феритната пръчка 10 mm бобината има от 25 до 30 навивки от литцендрат. Променливият кондензатор изменя стойността си от 6 до 30 pF. Бобината за връзка има 2 навивки. Единият ѝ край е свързан към масата на приемника, съотв. към непоказания на схемата екраниращ цилиндър. Вторият край на бобината през разделителен кондензатор се свързва към базата на входния транзистор. Към този край на бобината за връзка е свързана и помощната антена (през въглеродосложен потенциометър  $P$  и удължителната бобина  $L_v$ ).  $L_v$  често липсва,  $P$  е линеен потенциометър с типична стойност 10 k $\Omega$  (не е критична). Превключвателят отпада, ако помощната антена се включва с шепсел. Като помощна антена може да се използва с успех съответно обработена спина от велосипедно колело. В радиолюбителската литература могат да се намерят подробни описания на приемници за „лов на лисици“ с рамкови и феритни антени.

#### 28.4.2. Пеленгаторни антени за „лов на лисици“ в обхвата 2 m

Досега не са станали известни специални пеленгаторни антени за „лов на лисици“ в обхвата 2 m, защото съществува достатъчно голям избор от обикновени насочени антени за обхвата 2 m, които могат да изпълнят всички желания по отношение на степента на насоченост и чувствителността. Преобладават хоризонтално поляризираните Яги-антени с три елемента. Рядко се използват антени с повече елемента.



Фиг. 28.18. Принципна схема на феритна пеленгаторна антена с помощна антена

Такива къси Яги-антени са описани в раздел 22.2. Понякога любителите се задоволяват с обикновени двуелементни конструкции, включително и със специалните модели на антената *HB9CV* (вж. раздел 22.1.) и на двойния квадрат (вж. раздел 27.3.). Не са нужни помощни антени за определяне на посоката\* на предавателя, защото изброените антени са еднопосочни.

За съжаление неудобните по форма Яги-антени могат да пречат на състезания, напр. при преминаване през храсталаци. Затова се търсят компактни модели, при които поне механичната ширина на антената е по-малка. Първата стъпка по този път беше използването на двойния квадрат, който има двойно по-малка ширина от една Яги-антена, но за сметка на това е с по-голяма височина и изисква по-сложни системи за закрепване.

Със съвременните транзистори могат да бъдат изработени много чувствителни приемници за „лов на лисици“ в обхвата 2 m и затова усилването на антената придобива второстепенно значение. На първо място при избора на антена винаги се поставя степента на насоченост. Изхождайки от тази констатация, би могло да се използват силно скъсени, спирални елементи. Както е известно, при това съответно намалява усилването на антената, но степента на насоченост се запазва почти напълно. За такива скъсени пеленгаторни антени за обхвата 2 m биха могли да бъдат използвани конструкции, подобни на показаните на фиг. 17.7, като бобините се навиват направо върху къси пластмасови тръбички. В тази насока любителите на експериментите биха могли да намерят още някои възможности за подобряване на пеленгаторните антени за обхвата 2 m.

## 29. Антени за радио- и телевизионно приемане

В радиоразпръскването се използва амплитудна (АМ) и честотна (ЧМ) модулация. Радиопредаванията на дълги, средни и къси вълни са амплитудно модулирани. В обхвата на УКВ се използва честотна модулация.

В I район (Европа, азиатската част на СССР и Африка) съществува следното честотно деление:

Дълги вълни	150...285 kHz (ексклузивен участък 160...255 kHz)
Средни вълни	525...1605 kHz
Къси вълни	5950...6200 kHz (обхват 49 m) 7100...7300 kHz (обхват 41 m) 9500...9775 kHz (обхват 31 m) 11700...11975 kHz (обхват 25 m) 15100...154500 kHz (обхват 19 m) 17700...17900 kHz (обхват 16 m) 21450...21750 kHz (обхват 13 m) 25600...26100 kHz (обхват 11 m)

Честотно модулирани сигнали за радиоразпръскване се излъчват в два обхвата:

87,5...100 MHz (II обхват според CCIR) 66...73 MHz (стандарт на OIRT)
--

В социалистическите страни за радиопредавания на УКВ се използва предимно стандартът на OIRT. Изключение правят ГДР и СФРЮ (стандарт CCIR) и Полша (използват се и двата стандарта). Всички предаватели на останалите европейски страни работят по стандарта на CCIR.

Съществуват различни норми при

разпределението на каналите за телевизионно разпръскване. В Европа съществуват един сравнително нисък честотен обхват (от порядъка на 50 MHz) и един обхват с по-висока честота (от порядъка на 200 MHz). В приложенията е дадено разпределението на телевизионните канали по всички европейски стандарти.

В I район за телевизионни предавания в IV и V обхват е определен честотния диапазон 470...855 MHz, в който са поместени 68 телевизионни канала.

### 29.1. Разпространение на амплитудно модулираните радиосигнали

За да се получи по-пълна представа за възможностите за приемане на радиопрограми, тук ще бъдат допълнени сведенията за разпространението на радиовълните, дадени в раздел 2. Това се отнася особено за късите вълни, в които 8-те обхвата за радиоразпръскване имат различни характерни особености.

#### 29.1.1. Разпространение на късите вълни

Както вече беше казано в раздел 2.3., най-голямо значение за разпространението на късите вълни има пространствената вълна. Решаващо значение има състоянието на йоносферата и то определя зоната на покритие на един късовълнов радиопредавател. Късовълновите радиосигнали се отразяват главно от слоя F. През дневните часове се използват вълните в обхватите от 10 до 25 m (от 30 MHz до 12 MHz), защото вследствие на слънчевите лъчения йонизацията на атмосферата е максимална.

Най-добри условия за приемане на късовълнови радиопрограми през деня съществуват в обхватите 11 m, 13 m, 16 m и 19 m. Привечер най-подходящи са обхватите 25 m и 31 m. Най-добро далечно приемане нощем осигуряват обхватите 41 m и 49 m, защото по това време вече се е образувал поглътщият слой *D*, но йонизацията на повисоко разположените слоеве на йоносферата все още е достатъчна за отражение на сигналите от тези два обхвата. Обхватите 41 m и 49 m са подходящи за приемане на програмите на европейските радиостанции и през деня и затова практически всички радиоприемници с къси вълни имат възможност да приемат поне 49-m радиопредавания.

Тези най-общи съображения не са естествено никакво твърдо правило, защото йоносферата е подложена на непрекъснати промени в зависимост от цикъла на слънчевата активност, годишното време и часа на денонощието (вж. раздел 2.1.3.). Известно значение има и географското местоположение на приемния пункт.

Поляризацията на късите вълни се променя при преминаването им през йоносферата. Една линейно поляризирана вълна напуска йоносферата поляризирана вече елиптически или кръгово (вж. раздел 1.1.7.). Следователно няма особено значение дали приемната антена ще бъде поляризирана хоризонтално или вертикално. Обикновено се предпочита хоризонталната поляризация, защото при нея влиянието на земната повърхност не е така силно изразено, както при вертикалните антени. Освен това местните индустриални, а също така и атмосферни смущения са поляризирани предимно вертикално, така че нивото на смушаваните сигнали, приети от една хоризонтално поляризирана антена, общо взето, е по-малко.

#### 29.1.2. Особенности при разпространението на средните вълни

Вълните от средновълновия обхват денем се поглътят много силно от слоя *D* и не могат да се отразят от погорните слоеве на йоносферата. Сле-

дователно през деня зоната на покритие на предавателя съвпада със зоната на разпространение на директната вълна. Директната вълна следва естествената кривина на земята; зоната на разпространение на директната вълна е толкова по-голяма, колкото по-добра е проводимостта на почвата. Най-слабо е затихването на сигнала при разпространение над водна повърхност. Освен това затихването на директната вълна е толкова по-голямо, колкото по-малка е дължината на работната вълна.

След залез слънце поглътщият слой *D* се разпада бързо и средните вълни могат да се разпространяват и като пространствени вълни. Затова привечер и нощем изборът от средновълнови радиостанции, приемани в дадено място, е много голям. Мощните средновълнови предаватели могат да бъдат чути на разстояния до  $4000 \div 5000$  km. В ранните сутрешни часове, когато големите европейски предаватели прекъсват излъчването на програмата си, могат да бъдат приети понякога и програми на отвъдоеански радиостанции.

Общо взето, възможностите за далечно приемане на средновълнови радиосигнали през зимата са по-добри, отколкото през лятото, защото през зимата намалява йонизацията на поглътщия слой *D* и освен това нивото на атмосферните смущения е по-ниско.

В една определена зона, започваща приблизително на разстояние 60 km от предавателя, директната и пространствената вълна се срещат с различно и изменящо се фазово положение. В зависимост от моментната фазова разлика на двата сигнала в мястото на приемане се получава най-често периодично усилване и отслабване на приетия сигнал (*fading*). Често то е свързано и с големи изкривявания на приетия сигнал, които не могат да бъдат отстранени от системата за автоматично регулиране на усилването в приемника. Тези фадингови явления липсват при премане на сигнал от далечни радиостанции, защото тяхната директна вълна затихва напълно или е с толкова малко ниво, че не може да се получи интерференция с пространствената вълна.

### 29.1.3. Особености при разпространението на дългите вълни

Условията за разпространение на дългите вълни са почти независими от слънчевата активност и годишното време. Съществува единствено слабо изразено влияние от часа на денонощието, като нощем приемането е малко по-добро, отколкото през деня.

Директната и пространствената вълна съществуват едновременно през цялото денонощие. Дългите вълни, навлизащи под голям ъгъл в йоносферата, се отразяват от нея, но едновременно с това затихват много силно. За да се получи многократно отражение, е необходима голяма мощност на предавателя. Големите мощности на предавателите осигуряват голяма зона на покритие независимо от състоянието на йоносферата. Дългите вълни могат да бъдат приети и под водна повърхност (напр. от потопени подводници). Дълбочината, на която се разпространяват дългите вълни под водата, е около 10 m. Приемането на дългите вълни през летните месеци се влошава силно поради атмосферните смущения. Затова в тропическите райони дългите вълни не могат да се използват за нуждите на радиоразпръскването.

## 29.2. Радиоприемни антени за къси, средни и дълги вълни

Излъчваният сигнал на средновълновите и дълговълновите радиопредаватели е поляризиран винаги вертикално. Той се приема обикновено с несиметрични антени, чийто втори полюс се образува от Земята. Двата обхвата се простират от 200 до 2000 m и затова не е възможно да се използва антена, настроена в резонанс с дължината на вълната. Ето защо антените за дълги и средни вълни винаги са твърде по-къси от дължината на вълната. При много малко съпротивление на излъчване входното съпротивление е приблизително равно на капацитивното съпротивление, което се получава от капацитета на антената (антенен проводник спрямо земя) и честотата на приемания сигнал. За да се получи достатъчно голямо напрежение на входа на

приемника, трябва входното съпротивление на приемника да бъде възможно най-голямо. Като ориентировъчна стойност на входното съпротивление на приемника в обхвата на дългите и средните вълни може да се приеме 2500  $\Omega$ . Не е възможно да се постигне съгласуване, защото не се удава напасването на честотно зависимото капацитивно съпротивление на антената към едно чисто активно съпротивление за целия честотен обхват.

### 29.2.1. Външни антени

Външната антена е единственият вид антена, чиято приемна част е разположена предимно в несмущаваното поле на предавателя и най-често — извън смущаващото поле на електрическите инсталации. Ако напрегатостта на полето на няколко метра над покрива се приеме за 100%, според измерванията на *Moebs* тя спада на

70...80% на тавана  
50% на II етаж,  
20% на I етаж,  
5...10% на партера,  
3...5% в мазето.

Затова от една вътрешна антена може да се очаква само част от съществуващия в мястото на приемане сигнал. Към това трябва да се прибави и фактът, че вътрешните и временните антени почти винаги се намират в близост до електрическите инсталации на къщата и приемат от тях смущаващи напрежения.

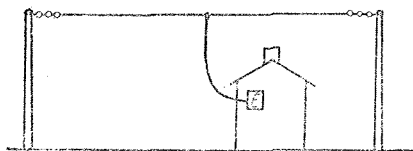
Голямата чувствителност на съвременните радиоприемници и повишената мощност на радиопредавателите позволяват сравнително добро приемане даже и с помощни антени. Нарастващите желания за повече радиопрограми и за приемане без смущения налагат въпреки това понякога да се използват външни антени.

#### 29.2.1.1. Г-образни и Т-образни антени за средни и дълги вълни

Г-образната антена по конструктивни съображения е най-често използваната еднопроводна жична приемна антена за дълги и средни вълни. Тя се състои от един хоризонтален или



Фиг. 29.1. Г-образна антена



Фиг. 29.2. Т-образна антена

наклонен проводник, окачен с изолация в двата края към две възможно най-високи опорни точки. В единия край се прави отвод към приемника (фиг. 29.1). Няма установени норми за дължината и височината на монтиране на такива антени. Единственото валидно правило е „възможно най-високо, възможно най-далеч от околните предмети, не твърде къса“. Трябва да се избягва близостта на останалите свободно висящи проводници и по-големи метални предмети; където това не е възможно, би трябвало поне антената да се разполага перпендикулярно на останалите проводници. В зависимост от условията на местността дължината на антената може да бъде между 15 и 30 m. Антената се изработва от обикновен многожичен меден проводник с диаметър от 1,5 до 3 mm. Кръглите едножични проводници със същия диаметър са равностойни по електрически параметри, но не са така гъвкави.

Стоманените проводници, покрити с мед, са особено здрави на скъсване. Могат да се използват изолирани едно- и многожични проводници; изолацията няма забележимо отрицателно въздействие върху качествата на антената. Могат да се използват всички проводници, които са достатъчно здрави и устойчиви срещу корозията. Не се допуска диаметър на проводника, по-малък от 1 mm, защото такива антени са опасни за птиците.

Хоризонталната част на антената най-често се изолира от опорните точки чрез яйцевидни изолатори. Те трябва

да се монтират така, че да се натоварват не на опън, а на натиск.

Друга известна външна антена е Т-образната антена (фиг. 29.2). Тя се различава от Г-образната само по това, че изводът към приемника е разположен не в края, а в средата на хоризонталната част на антената. Няма съществени различия нито в начина на действие, нито в ефективността на двата вида антени.

Също така не е необходимо отвесният извод към приемника да се свързва точно в геометричната среда на хоризонталната част на антената.

Г-образните и Т-образните антени за дълги и средни вълни, разбира се, могат да бъдат използвани с голям успех и като приемни антени за къси вълни. Всички външни антени трябва да бъдат снабдени със средства за гръмозащита, отговарящи на съответните норми.

#### 29.2.1.2. Г-образна приемна антена с ниско ниво на шума

Външните антени, които са монтирани на голяма височина над областта на местното смущаващо поле, също могат да приемат силни смущения чрез антенния отвод. В такива случаи значително намаляване на нивото на смущенията може да се постигне с използването на схемата, показана на фиг. 29.3. Трансформаторът  $T_1$ , включен откъм антената, трансформира нейния входен импеданс в отношение 5:1, така че захранващата линия, свързана към вторичната намотка, е натоварена приблизително с вълновото си съпротивление. Използувана е усукана двупроводна линия или многожични двужични проводници с гумена изолация (каквито се използват за мрежови шнуrowe). Вълновото съпротивление на една такава линия е около 50  $\Omega$ . Тя приема от околната област със смущаващо поле само незначителни смущаващи напрежения.

Трансформаторът  $T_2$ , включен откъм приемника, повишава обратно импеданса на захранващата линия. Изводите на вторичната намотка позволяват оптимално съгласуване към вълновото съпротивление на приемника, което в обхвата на дългите и средните вълни е около 2500  $\Omega$ .

Между първичната и вторична намотка на всеки трансформатор е поставен електростатичен екран; той допринася за намаляване на нивото на приеманите смущения, като отслабва вредната капацитивна връзка между намотките.

Трансформаторите са навити върху тела с диаметър 50 mm и са поставени в екраниращи кутии с диаметър най-малко 100 mm. Удобни са кутии от боя, изработени от бяло тенекс. Всички бобини са навити от лакиран меден проводник с диаметър 0,4 mm.

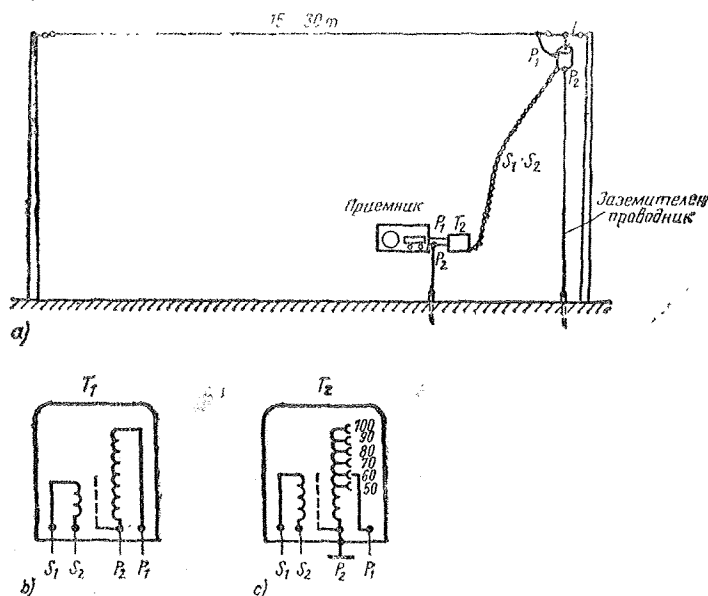
При трансформатора  $T_1$  върху тялото първо се навиват 100 нав. Следва електростатичният екран, който се състои от лента с ширина 25 mm, изрязана от тънка месингова ламарина. Дължината на лентата се подбира така, че двата ѝ края да отстоят поне на 3,5 mm (месинговата ламарина не бива да представлява навивка на късо). Екранът се свързва със заземяния край на бобината  $P_2$ . Под и над екрана може да се постави един слой изолационна хартия, която предпазва намотките. Вторичната намотка (с около 20 нав.)

се навива над средата на екрана. Екраниращата кутия на  $T_1$  не се заземява.

При изработването на трансформатора  $T_2$  (фиг. 29.3с) първо се навива вторичната намотка  $S_1-S_2$  (с около 20 нав.). Следва електростатичният екран. Първичната намотка, която е разположена отгоре, има също 100 нав. и според скицата е снабдена с няколко извода. Началото на намотката  $P_2$  е свързано с екрана, екраниращата кутия, заземителния проводник и буксата „земя“ на приемника.  $P_1$  е свързан към извода „антена“ на приемника. При настройката се избира някой слаб далечен предавател и  $P_1$  се свързва към този извод на намотката, който осигурява получаването на най-силен сигнал. Трансформаторът  $T_2$  трябва да се разположи възможно най-близо до входа на приемника.

### 29.2.1.3. Вертикални пръчковидни външни антени с екраниран антенен отвод

При висококачествените антенни системи, особено при колективните антене



Фиг. 29.3. Г-образна антена с ниско ниво шума; а — механична конструкция, б — схема на трансформатора  $T_1$ , с — схема на трансформатора  $T_2$

ни, антенният отвод се изработва от екраниран проводник. Това гарантира, че от областта със смущаващо електрическо поле, най-силно близо до земната повърхност в гъсто застроените градски райони, няма да бъдат приети никакви или ще се приемат само незначителни смущения. Ако антенният проводник се намира на голяма височина, т. е. извън областта на местното смущаващо поле, отношението на полезното напрежение към напрежението на смущаващия сигнал (означавано като отношение сигнал/шум) е много голямо. За съжаление и с такива антени не може да се намали нивото на атмосферните смущения.

Антената с екраниран антенен отвод най-често се състои от един вертикален антенен прът с дължина 3 m, който в основата си е изолиран от носещата конструкция. На върха на пръта е поставена обикновено защитна сфера, която намалява прашенето при приемане на радиопрограмите. Това прашене се предизвиква от атмосферните искрови и корониращи разряди, особено силни през знойните летни дни. В основата на антенния прът се намира един искров разрядник, който отвежда свръхнапреженията. Антената може да се използва като приемна антена за дълги, средни и къси вълни.

Свободната дължина на антенния проводник е 3 m и антената даже в обхвата на късите вълни е далеч от четвъртвълновия резонанс. Това означава, че във всички обхвати тя има голямо капацитивно реактивно съпротивление. Ако към такава антена се включи направо един коаксиален кабел, би се получил капацитивен делител на напрежение, състоящ се от капацитета на антената (около 30 pF) и капацитета на кабела (около 80 pF), в резултат на което само много малка част от антенното напрежение ще бъде на разположение в долния край на кабела. Затова е необходимо голямото реактивно съпротивление в точките на захранване на антената да се понижи с подходящ трансформатор. Използват се широколентови трансформатори с възможно най-малък капацитет на намотките, навити във феритни топфкерни. Тъй като входът на радиоприемниците не е пригоден за включване на коаксиален кабел, трябва в края на кабела, откъм приемника, да се включи

още един трансформатор, който да съгласува вълновото съпротивление на кабела към входното съпротивление на приемника. Трансформаторите за дълги и средни вълни не са подходящи при приемане на къси вълни. Когато се придава особена стойност на качествено приемане на късовълнови радиопрограми, трябва да се използва отделна двойка трансформатори без феритна сърцевина.

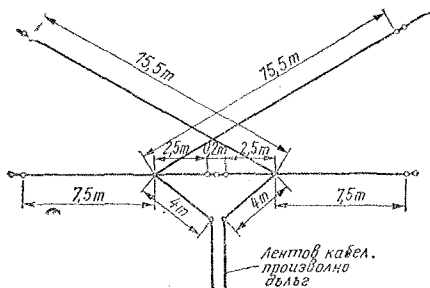
Полезното напрежение, което достига до входа на приемника, е много малко. Това се дължи на малката дължина на антената и на загубите в трансформаторите и антенния отвод. Тъй като обаче в същото време отношението сигнал/шум е голямо, може напълно да се използва голямата чувствителност на съвременните радиоприемници. Но самото предимство на една такава антенна система — голямото отношение сигнал/шум — днес трудно може да се използва, защото, е изключение на няколко специални приемници, почти всички съвременни битови радиоприемници се произвеждат с вградена неизключваема феритна антена, която приема всички смущения от околността.

#### 29.2.1.4. Широколентови късовълнови приемни антени

Всички обикновени *Г*- и *Т*-образни антени за дълги и средни вълни могат да се използват с добър успех и за приемане на сигнали от късовълновия обхват. При това обаче трябва да се има пред вид, че по-дългите проводникови антени, които в обхвата на средните вълни все още имат почти кръгова диаграма на насочено действие, в обхвата на късите вълни вече имат изразено насочено действие.

Много подходящ за приемане на късовълнови радиосигнали е двойният дипол на *DM2ANM*, който пропуска честотната лента от 2 до 26 MHz. Тази антена е почти с кръгова диаграма на насочено действие и може да бъде свързана към приемника с произволно дълъг лентов кабел с вълново съпротивление 240  $\Omega$  (фиг. 29.4). Дължините на клоновете на дипола са подбрани така, че резонансните честоти на отделните диполи се припокриват. Двете жила на лентовия кабел в точките





Фиг. 29.4. Широколентов двоен дипол за приемане на късовълнови програми

на захранване са раздалечени, за да се получи съгласуване (вж. раздел 6.1.). Ъглите на разтвора на отделните клонове на диполите не са критични и трябва да се избират в зависимост от местните условия.

Изтъкват се добрите качества и на приемната антена  $T2FD$  (вж. раздел 12.2.). Тя е апериодична антена и има много широка пропусканата честотна лента, която обхваща всички късовълнови обхвати. При това тя няма изразени максимуми и нулеви зони в диаграмата на насочено действие и може да се използва и за приемане на дълги и средни вълни. Тъй като входното съпротивление на радиоприемниците в обхвата на късите вълни е от порядъка на  $600 \Omega$ , съществува даже и съгласуване, защото входното съпротивление на антената  $T2FD$  в зависимост от товарния резистор  $R_L$  възлиза на 300 до  $600 \Omega$ . Не се поставят никакви изисквания по отношение на номиналната мощност на товарния резистор. Използва се обикновен слоест резистор за УКВ.

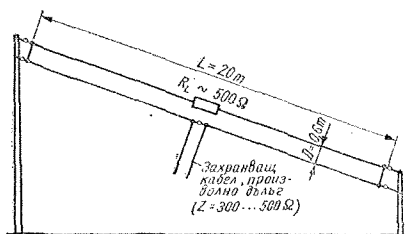
На фиг. 29.5 са показани най-изгодните размери на антената  $T2FD$  за работа като приемна антена за къси вълни (ширина на пропусканата честотна лента от 5 до 25 MHz). Други подробности по отношение на електрическата схема и механичната конструкция на антената могат да се намерят в раздел 12.2.

### 29.2.2. Феритни пръчковидни антени

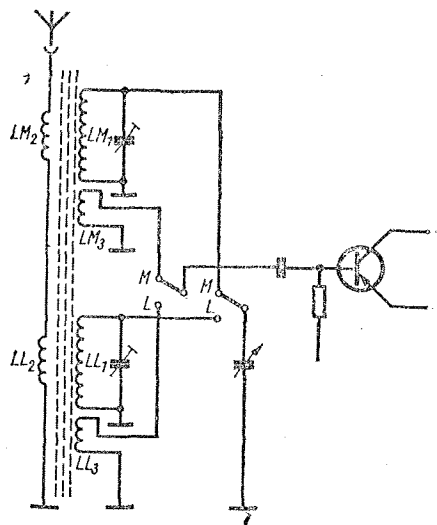
Феритната пръчковидна антена е директен потомък на рамковата антена. Рамковата антена имаше известно зна-

чение в първите години на радиоразпръскването и се срещаше при тогавашните преносими приемници и при някои стационарни домашни радиоприемници. С разработването на феромагнитни материали с малки загуби, пригодни за висока честота, рамковата антена беше изместена от феритната антена. Феритната антена има приблизително същата чувствителност и насочено действие, но за нея е необходимо около 20 пъти по-малко място. Затова тя е станала неотменима съставна част на почти всеки домашен, преносим и джобен радиоприемник.

Както показва фиг. 29.6, входното съгласуване на един радиоприемник с феритна антена се отличава от това на



Фиг. 29.5. Широколентовата антена  $T2FD$  (честотен обхват 5–25 MHz)



Фиг. 29.6. Феритна пръчковидна антена във входното съгласуване на радиоприемник

приемник с обикновена антена само защото кръговите индуктивности  $LM_1$  и  $LL_1$ , бобините за връзка с външната антена  $LM_2$  и  $LL_2$ , и бобините за връзка с базата на транзистора  $LM_3$  и  $LL_3$  са навити не върху обикновено тяло за бобина, а върху феритна пръчка. Върху феритната пръчка най-често се навиват еднослойни цилиндрични бобини. В радиоприемниците феритната антена служи за приемане на радиопрограми в обхвата на дългите и средните вълни. За приемане на късовълнови радиосигнали обикновено се използва допълнителна антена, въпреки че съществуват феритни пръчки, които са подходящи специално за къси вълни. Бобините, които при настройка могат да се преместват върху феритната пръчка, образуват и индуктивността на входния кръг на приемника. Затова най-

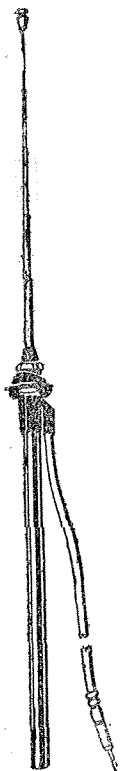
често феритната антена не може да се изключва. В някои радиоприемници феритната антена може да се върти в кутията на приемника, така че при достатъчна сръчност насоченото ѝ действие може да се използва за потискане на смушаващите предаватели. Възможно е включването на външна или спомогателна антена.

Начинът на действие и свойствата на рамковите и феритните антени са описани подробно в раздел 28.4.1. Въпреки че данните се отнасят главно за пеленгаторни антени за обхвата 80 m, в теорията, засягаща приложението на феритните антени в радиоприемниците, няма никакви различия.

### 29.2.3. Автомобилни антени

Радиоприемникът в едно превозно средство е поместен в метална каросерия, в която проникват само силно затихнали височестотни вълни. Затова при такива приемни устройства е неизбежно поставянето на една антена извън каросерията на превозното средство. Най-често в един отвор на каросерията се закрепват вертикални пръчковидни антени с дължина от 1 до 2 m. Когато е трудно или нежелателно да се прави отвор в каросерията на колата, могат да се използват някои специални модели антени, които са пригодени за закрепване към стъклото на прозореца на автомобила или към улея за оттичане на водата от покрива. Съществуват и самозадържащи се антени със силен постоянен магнит в долния си край. Те се задържат без никакво друго закрепване към плоските части на всички метални каросерии. Антените се свързват с радиоприемника чрез възможно най-къси коаксиални кабели с малък капацитет и вълново съпротивление от около 180  $\Omega$ .

Сравнени с дължината на приемната вълна, автомобилните антени са твърде къси и са разположени на малка височина над повърхността на земята. За да може въпреки това да се осъществи прилично качество на приемането, антената се включва във входния кръг на приемника и се настройва заедно с него. Антените имат различен собствен капацитет. Той зависи от дължината на антената и от дължината на коаксиалния кабел. Затова всички автомобилни



Фиг. 29.7. Сгъваема телескопична автомобилна приемна антена

приемници имат един антенен тример, с помощта на който при напълно извадена антена приемникът се настройва за най-силно приемане (съответно най-силен шум) при честота около 600 kHz. При повечето автомобилни приемници тази настройка е възможна само ако общият капацитет на антената (капацитетът на антенната пръчка спрямо каросерията на колата плюс капацитетът на вътрешния проводник на кабела спрямо ширмовката) не надхвърля 70 pF.

Почти всички автомобилни антени са телескопични. Използват се и антенни пръчки от пластмаса (най-често полиестерна смола, подсилена със стъклоплакно). В смолата е поставена метална нишка, която служи за антенен проводник. Тези пръчки са нечупливи и се изправят напълно даже и след силно огъване.

Някои от телескопичните антени се прибират напълно в каросерията на колата и често могат да се извадят обратно само чрез съответен ключ (фиг. 29.7). Други съгъваеми антени могат да се извадят от мястото на шофьора чрез малка манивела или електродвигател. Долният край на антената често е снабден със сферично коляно, така че антенната пръчка да може да стои вертикално и върху наклонени плоскости от каросерията. Някои други модели по същата причина могат да се огъват малко над долния си край (фиг. 29.8).

Автомобилните антени се монтират най-често на левия калник до предното стъкло на колата. От електрическа гледна точка дясната страна на колата е равностойна, но лявата страна на паркирания автомобил се намира по-далеч от злоумишлени минувачи, които биха могли да огънат антената. Освен това тази позиция на антената осигурява най-добро приемане на УКВ. Това явление, което като че ли противоречи на теорията, се обяснява с изкривяванията, които претърпява полето на ултракъсите вълни с хоризонтална поляризация в близост до металната каросерия. Очевидно това изкривяване на полето на около 10 cm пред предното стъкло на колата се проявява така, че там вертикалната антена попада в едно почти вертикално поляризирано поле. По-рядко антените се монтират на покрива на колата, за-



Фиг. 29.8. Телескопична автомобилна антена със сферично коляно

щото обикновено се избягва пробиването на отвори по покрива и освен това кабелът до приемника трябва да бъде по-дълъг.

Още по-неблагоприятно е поставянето на антената в задната част на автомобила. Тъй като кабелът трябва да бъде вече с дължина над 4 m, максимално допустимият капацитет на входа на приемника се надхвърля и антенният тример в приемника не може да се настрои оптимално. Затова твърде големият капацитет на антенната система трябва да се намали до допустимата стойност чрез един последователно свързан кондензатор, монтиран в антенния куплунг. При това възниква

загуба на напрежение около 40%. Доводът, че антената, монтирана на багажника, приема по-малко смущения от запалителната система на колата, защото е разположена по-далеч от мотора, се оказа маловажен, защото всяка друга антена е почти също така добре защитена срещу такива смущения чрез металната каросерия на колата.

### 29.3. Антени за приемане на телевизионни програми

Отговаряйки на желанията на много радиолюбители, този раздел съдържа данни за оразмеряване на различни прости видове приемни телевизионни антени. Тъй като техниката на телевизионните антени до голяма степен е идентична с тази на любителските антени за УКВ, тук не е обяснен отделно техният начин на действие.

Законът на реципрочността твърди, че една антена запазва своите свойства независимо от това, дали се използва като приемна или като предавателна. Следователно такива характеристики на антената, като усилване, диаграма на насочено действие, входно съпротивление и пр., и в двата случая са едни и същи. Друг важен закон е законът за моделирането. Той гласи, че една антена, за която са известни характеристиките и размерите при дадена определена честота, може да бъде оразмерена и за всякакви други честоти, без при това да се изменят нейните характеристики. На практика това става, като се определят честотно зависими коефициенти за всеки от размерите. Тези коефициенти се използват при оразмеряването на антената за други работни честоти. Така напр. е възможно да се преоразмери за работа в любителския обхват 2 m една изпитана приемна телевизионна антена и тя да се използва като предавателна антена със същите качества.

Не трябва обаче да се пропуска фактът, че по отношение на излъчвателните свойства на приемната телевизионна антена се поставят други изисквания, различни от изискванията към антените за любителските обхвати. При любителските антени на първо място се поставя усилването, което от експлоатационни съображения трябва да се увеличава предимно чрез намаляване

на ъгъла на разтвора във вертикалната равнина. За една любителска антена в обхвата 2 m е достатъчна широчина на пропусканата честотна лента 2 MHz; за обхвата 70 cm честотната лента не е по-широка от 4 MHz. Не се изисква голямо потискане на излъчването в обратна посока, малък ъгъл на разтвора в хоризонталната равнина и липса на странични листа в диаграмата на насочено действие. Напротив, при една добра приемна телевизионна антена, особено за приемане на цветна телевизионна програма, се поставят изисквания за по-голяма широчина на пропусканата честотна лента и по-добра насоченост, особено в хоризонталната равнина. Изисква се ефикасно потискане на смущенията (отразени сигнали, смущения от предаватели, работещи в същия канал, и пр.). По тези съображения една антена, която е доказала добрите си свойства като любителска антена, не винаги може да се използва и като приемна телевизионна антена.

Освен това трябва да се изтъкне, че не съществуват чудотворни антени, т. е. такива антени, които с най-малки разходи на материали могат да надминат показателите на многоелементните фабрични антени. Усилването на една антена винаги зависи от пространствените измерения на нейната конструкция. Тези зависимости са обяснени подробно в раздел 3.2.3.3.

Съвременните индустриално произвеждани Яги-антени са на такова високо ниво, че параметрите им не могат да бъдат достигнати или даже надминати от саморъчно изработените любителски конструкции. Безсмислено е да се правят опити за подобряване на приемните свойства на фабричните антени чрез изменение на механичните им размери. Успех биха имали само такива действия, като подмяна на остарял лентов кабел, отстраняване на корозията, подборане на най-благоприятна посока за приемане на програмата и в някои случаи — промяна на мястото на самата антена.

Усилването на Яги-антените, които се предпочитат при приемането на телевизионни сигнали, може да се пресметне по една груба формула; тя гласи, че усилването по напрежение е приблизително равно на квадратния корен от броя на елементите. Следо-

вателно една 9-елементна Яги-антена би имала усиление по напрежение  $\sqrt{9}=3$ . Трикратно усиление по напрежение отговаря на усиление от 9,5 dB, т. е. една стойност, която съвпада добре със срещаните на практика. Едно друго грубо правило твърди, че удвояването на броя на елементите на една Яги-антена допринася за нарастване на усиленето с 3 dB. Понятието относителна дължина на антената характеризира надлъжния размер на антената (дължината на носещата стрела), отнесен към дължината на работната вълна. Усиленето на по-дългите Яги-антени може да се даде сравнително точно в зависимост от относителната дължина на антената. Тази зависимост за какви да е Яги-антени е показана на фиг. 29.8.

Не е целесъобразно да се избира за самостоятелна изработка някоя точно настроена теснолентова антена. Такива конструкции са критични при оразмеряване, диаметърът на тръбите и носещата стрела оказват забележимо влияние върху резонансните дължини. Правилно е при самостоятелна изработка да се избират възможно най-непретенциозни антени с голяма широчина на пропусканата честотна лента. Те работят достатъчно добре и тогава, когато се разстроят под влияние на околните предмети. Описаните по-долу Яги-антени са подбрани по този признак. Всички антени са изработени изцяло от метал, т. е. за закрепване на елементите се използва метална носеща стрела, към която отделните елементи могат да се свържат галванически, точно в геометричната им среда. Диаметърът на елементите (ако не е споменато изрично нещо друго) може да бъде между 8 и 12 mm. Безразлично е дали ще се използват тръби или плътен материал. Възможно е и приложението на профили или ленти от лек метал. Всички антени са представени с хоризонтална поляризация.

### 29.3.1. Едноелементна антена

При достатъчно силен сигнал често е достатъчен само един прав или сгънат резонансен полувълнов дипол. На него се приписва усиление 0 dB и той се използва като еталонна антена при определяне на усиленето.

### Характеристики (приблизителни стойности)

Усиление 0 dB, затихване в обратна посока 0 dB, входен импеданс 60  $\Omega$  (прав дипол), съотв. 240  $\Omega$  (шлейф-вибратор), ъгъл на разтвора в хоризонталната равнина около 80°, ъгъл на разтвора във вертикалната равнина 360°.

В табл. 29.1 са дадени размерите на диполи за III телевизионен обхват по стандарт CCIR и OIRT. Данните се базират на фиг. 29.9.

### 29.3.2. Двухелементна антена

### Характеристики (приблизителни стойности)

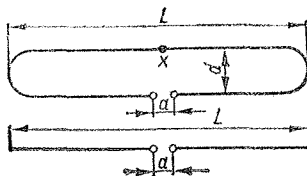
Усиление 4 dB, затихване в обратна посока 8 dB, входен импеданс 240  $\Omega$  симетричен, относителна дължина на антената 0,27  $\lambda$ , ъгъл на разтвора в хоризонталната равнина 75°, ъгъл на разтвора във вертикалната равнина 140°.

Изработена е изцяло от метал, точките на заземяване и закрепване са означени на фиг. 29.10 с X. Диаметърът на металната носеща стрела е 25 mm  $\pm$  30%. Разстоянията a и d са като посочените в раздел 29.3.1. Данните от табл. 29.2 се базират на фиг. 29.10.

### 29.3.3. Триелементна Яги-антена

### Характеристики (приблизителни стойности)

Усиление 5 dB, затихване в обратна посока 12 dB, входен импеданс 240  $\Omega$  симетричен, относителна дължина на антената 0,24  $\lambda$ , ъгъл на разтвора в



Фиг. 29.9. Схема за оразмеряване на диполи (вж. табл. 29.1)

Таблица 29.1. Резонансни дължини на прави диполи и шлейфвибратори за I и III шелевизионен обхват (фиг. 29.9)

Канали по стандарт CCIR			Канали по стандарт OIRT		
Дължина			Дължина		
E-2	(47 ... 54 MHz)	2850	R-I	(48,5 ... 56,5 MHz)	2760
E-3	(54 ... 61 MHz)	2500	R-II	(58 ... 66 MHz)	2340
E-4	(61 ... 68 MHz)	2230	R-III	(76 ... 84 MHz)	1820
E-5	(174 ... 181 MHz)	808	R-IV	(84 ... 92 MHz)	1650
E-6	(181 ... 188 MHz)	780	R-V	(92 ... 100 MHz)	1500
E-7	(188 ... 195 MHz)	750	R-VI	(174 ... 182 MHz)	800
E-8	(195 ... 202 MHz)	722	R-VII	(182 ... 190 MHz)	770
E-9	(202 ... 209 MHz)	696	R-VIII	(190 ... 198 MHz)	736
E-10	(209 ... 216 MHz)	675	R-IX	(198 ... 206 MHz)	705
E-11	(216 ... 223 MHz)	655	R-X	(206 ... 214 MHz)	680
E-12	(223 ... 230 MHz)	632	R-XI	(214 ... 222 MHz)	655
			R-XII	(222 ... 230 MHz)	635

Разстоянието между точките на захранване  $a$  не е критично. То може да бъде между 10 и 30 mm. Разстоянието  $d$  при шлейфвибраторите за канали E-2... E-5, съотв. R-I... R-IV, се избира равно на  $100 \text{ mm} \pm 20\%$ . Във високофреkwентните обхвати (канали E-5... E-12, съотв. R-VI... R-XII) разстоянието  $d$  е  $50 \text{ mm} \pm 10\%$ . Шлейфвибраторът може да бъде заземен в точката, означена с X.

Всички данни са в милиметри.

Таблица 29.2. Размери на двueleментната антена (фиг. 29.10)

Канал по стандарт CCIR	Дължини		Разстояние $A$	Канал по стандарт OIRT	Дължини		Разстояние $A$
	$L$	$R$			$L$	$R$	
E-2	2720	3040	1640	R-I	2640	2960	1600
E-3	2380	2650	1440	R-II	2200	2480	1340
E-4	2100	2350	1290	R-III	1680	1900	1000
E-5	733	938	430	R-IV	1550	1720	900
E-6	707	902	415	R-V	1400	1580	840
E-7	680	870	400	R-VI	730	932	428
E-8	656	840	388	R-VII	700	894	410
E-9	635	810	375	R-VIII	670	856	395
E-10	608	785	362	R-IX	645	825	380
E-11	597	760	352	R-X	622	795	368
E-12	575	738	340	R-XI	600	765	355
				R-XII	576	740	342

Всички данни са в mm.

Таблица 29.3. Размери на 3-елементни Яги-антени (фиг. 29.11)

Канали по стандарт CCIR	Дължини			Разстояния	
	$L$	$R$	$D$	$A_1$	$A_2$
E-2	2800	3400	2480	880	530
E-3	2450	2970	2170	770	470
E-4	2170	2630	1930	670	410
E-5	845	970	705	265	210
E-6	815	930	677	255	205
E-7	785	895	650	245	195
E-8	758	867	630	240	190
E-9	733	835	610	230	180
E-10	710	810	590	220	175
E-11	690	785	570	215	170
E-12	670	760	555	208	165

Канали по стандарт OIRT

R-I	2720	3300	2420	850	510
R-II	2280	2770	2020	700	430
R-III	1750	2140	1560	550	340
R-IV	1580	1920	1400	490	310
R-V	1440	1750	1290	460	280
R-VI	840	970	705	265	210
R-VII	810	923	670	255	205
R-VIII	775	885	645	240	195
R-IX	745	850	620	232	185
R-X	718	820	598	225	180
R-XI	685	790	575	217	170
R-XII	670	765	555	210	165

Всички данни са в mm.

хоризонталната равнина  $70^\circ$ , ъгъл на разтвора във вертикалната равнина  $120^\circ$ .

Изработена е изцяло от метал. Точките на заземяване и закрепване са означени на фиг. 29.11 с X. Диаметърът на металната носеща стрела е  $20 \text{ mm} \pm \pm 20\%$ . Разстоянията  $a$  и  $d$  са като посочените в раздел 29.3.1. Данните в табл. 29.3. се отнасят за фиг. 29.11.

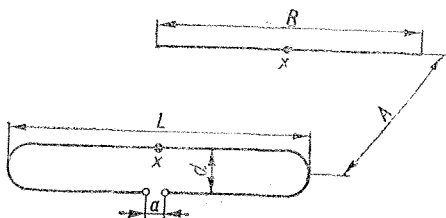
творя във вертикалната равнина  $95^\circ$

Изработена е изцяло от метал. Точките за заземяване и закрепване са означени на фиг. 29.12 с X. Диаметърът на всички елементи за каналите E-2 до E-5, съотв. R-I до R-V, е  $15 \text{ mm} \pm \pm 30\%$ . При оразмеряване на антената

#### 29.3.4. Четириелементна Яги-антена

Характеристики (приблизителни стойности)

Усилване 6 dB, затихване в обратна посока 14 dB, входен импеданс  $240 \Omega$  симетричен, относителна дължина на антената  $0,6 \lambda$ , ъгъл на разтвора в хоризонталната равнина  $65^\circ$ , ъгъл на раз-



Фиг. 29.10. Схема за оразмеряване на 2-елементни Яги-антени (вж. табл. 29.2)

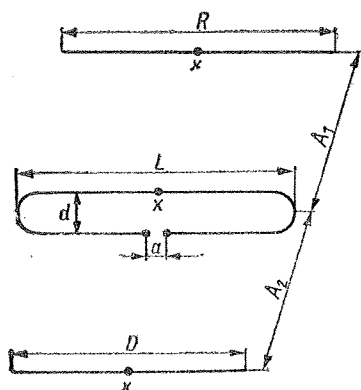
Таблица 29.4. Размери на 4-елементна Яги-антена (фиг. 29.12)

Канали по стандарт СССР	Дължини				Разстояния		
	$L$	$R$	$D_1$	$D_2$	$A_1$	$A_2$	$A_3$
E-2	3100	3600	2500	2450	1630	430	1320
E-3	2740	3200	2220	2180	1440	380	1180
E-4	2450	2870	1970	1940	1300	360	1040
E-5	925	1080	745	735	490	130	400
E-6	890	1040	720	705	470	125	385
E-7	860	1000	690	680	455	120	370
E-8	830	965	670	660	440	115	355
E-9	800	935	645	635	425	112	345
E-10	775	905	625	615	410	110	335
E-11	750	875	605	595	395	105	325
E-12	725	850	590	580	385	100	315

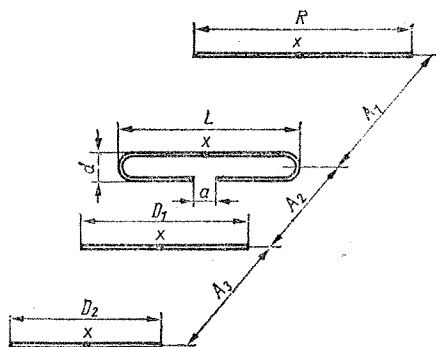
  

Канали по стандарт OIRT							
R-I	2950	3460	2400	2350	1550	400	1280
R-II	2530	2960	2040	2000	1330	360	1100
R-III	1980	2320	1620	1570	1050	280	850
R-IV	1820	2120	1470	1440	950	260	780
R-V	1670	1940	1350	1320	870	230	720
R-VI	920	1075	744	730	485	130	395
R-VII	880	1030	710	700	465	125	380
R-VIII	845	985	684	670	445	120	465
R-IX	810	948	655	645	430	114	350
R-X	780	915	630	620	415	110	340
R-XI	752	880	610	600	400	106	325
R-XII	726	850	588	577	385	102	315

Всички данни са в mm.



Фиг. 29.11. Схема за оразмеряване на 3-елементна Яги-антена (вж. табл. 29.3)



Фиг. 29.12. Схема за оразмеряване на 4-елементна Яги-антена (вж. табл. 29.4)



за каналите от E-5 до E-12, съот. от R-VI до R-XII диаметърът на елементите се избира равен на 11 mm  $\pm 30\%$ .

Тази антена има голяма широчина на пропусканата честотна лента. В нискочестотния УКВ обхват (канали от E-2 до E-4, съотв. R-I до R-V) могат да се приемат два съседни един на друг канали, ако антената се оразмери за по-високочестотния канал съгл. табл. 29.4. Така напр. една антена за канал

E-4 може да се използва, без да се изменя и за канал E-3, както и за канал R-II. Във високочестотния УКВ обхват (канали от E-5 до E-12 и R-VI до R-XII) широчината на пропусканата честотна лента е достатъчна за приемане даже на три съседни канала, като, разбира се, оразмеряването се извършва за най-високочестотния канал. Една антена, оразмерена за канал E-8, може да приема и телевизионни програми, излъчени на канали E-7 и E-6, както и

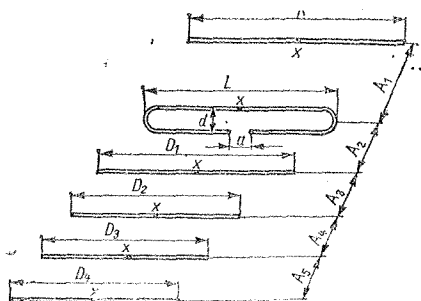
Таблица 29.5. Размери на 6-елементна многоканална Яги-антена (фиг. 29.13)

	Група канали (E—=CCIR, R—=OIRT)				
	R-I E-2 E-3	R-II E-3 E-4	R-III E-4 ЧМ-OIRT	R-IV R-IV	R-IV R-V ЧМ-CCIR
Дължина $L$	2600	2340	2200	1720	1580
Дължина $R$	3130	2800	2630	2070	1900
Дължина $D_1$	2220	1990	1870	1470	1350
Дължина $D_2$	2240	2010	1890	1485	1365
Дължина $D_3$	2210	1980	1860	1460	1345
Дължина $D_4$	2170	1945	1830	1435	1320
Разстояние $A_1$	1430	1280	1200	945	870
Разстояние $A_2$	348	312	295	230	212
Разстояние $A_3$	1150	1030	965	765	705
Разстояние $A_4$	1010	900	843	665	615
Разстояние $A_5$	1100	985	920	730	670

	Група канали			
	E-5 до E-9 R-VI до R-IX	E-6 до E-10 R-VII до R-X	E-7 до E-11 R-VIII до R-XI	E-8 до E-12 R-IX до R-XII
Дължина $L$	735	721	700	678
Дължина $R$	883	866	839	812
Дължина $D_1$	628	616	598	580
Дължина $D_2$	638	623	603	584
Дължина $D_3$	622	613	594	576
Дължина $D_4$	617	602	584	566
Разстояние $A_1$	404	396	384	372
Разстояние $A_2$	98	96	93	90
Разстояние $A_3$	327	318	310	300
Разстояние $A_4$	285	280	270	262
Разстояние $A_5$	311	305	295	286

Всички данни са в mm.



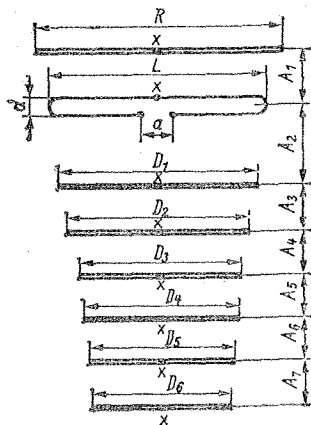
Фиг. 29.13. Схема за оразмеряване на 6-елементна Яги-антена (вж. табл. 29.5)

на R-VIII, R-VII и R-VI. Антените от този вид се наричат многоканални (антени за група канали).

### 29.3.5. 6-елементна многоканална Яги-антена

*Характеристики (приблизителни стойности)*

Усилване 8 dB, затихване в обратна посока 15 dB, входен импеданс 240  $\Omega$  симетричен, относителна дължина на антената 0,9  $\lambda$ , ъгъл на разтвора в хоризонталната равнина 55°, ъгъл на разтвора във вертикалната равнина 73°.



Фиг. 29.14. Схема за оразмеряване на 8-елементна Яги-антена (вж. табл. 29.6)

Антената е изработена изцяло от метал. Точките на заземяване и закрепване са обозначени на фиг. 29.13 с X. Диаметърът на всички елементи е  $11 \text{ mm} \pm 30\%$ . Няма никакви специални изисквания за диаметъра на носещата стрела. Той се избира по механични съображения.

Пропусканата честотна лента на тази антена в нискочестотната част на УКВ обхвата е достатъчна за приемане поне на два съседни телевизионни канала. Оразмеряването се извършва винаги за по-високочестотния от двата телевизионни канала. Тази 6-елементна Яги-антена обаче би трябвало да бъде максимумът, който може да си позволи един радиолюбител при самостоятелната направа на телевизионна антена за I-ви телевизионен обхват. Разположението на каналите за ЧМ-радиопредаване по стандарт OIRT позволява при необходимост антената да се оразмери така, че да се използва както за приемане на ЧМ-радиограма, така и за приемане на телевизионна програма, излъчвана на съседен по честота канал. В табл. 29.5 са дадени размерите на такива комбинирани антени. В III обхват широчината на пропусканата честотна лента възлиза най-малко на 5 съседни телевизионни канала. Така че за този обхват са достатъчни 4 различни антени, чиито ленти на пропускане се припокриват.

### 29.3.6. 8-елементна Яги-антена

*Характеристики (приблизителни стойности)*

Усилване 9,5 dB, затихване в обратна посока 15 dB, входен импеданс 240  $\Omega$  симетричен, относителна дължина на антената 0,87  $\lambda$ , ъгъл на разтвора в хоризонталната равнина 48°, ъгъл на разтвора във вертикалната равнина 57°.

Това е типична едноканална антена с относително голямо усилване. Всички директори имат една и съща дължина. Антената е изработена изцяло от метал, точките за заземяване и закрепване са означени на фиг. 29.14 с X. Диаметърът на всички елементи е  $10 \text{ mm} \pm 20\%$ . Препоръчва се носещата метална стрела да бъде с диаметър  $20 \text{ mm} \pm 20\%$ .

Таблица 29.6. Размери на 8-елементна Яги-антена (фиг. 29.14)

Канали по стандарт CCIR	E-5	E-6	E-7	E-8	E-9	E-10	E-11	E-12
Дължина $L$	772	742	715	690	665	644	622	602
Дължина $R$	882	854	824	796	768	750	722	695
Дължини от $D_1$ до $D_6$	712	684	660	635	612	596	578	556
Разстояние $A_1$	274	264	255	246	237	230	223	216
Разстояние $A_2$	174	168	162	156	150	145	141	137
Разстояние $A_3$	246	237	228	221	212	205	198	193
Разстояние $A_4$	163	156	150	145	140	136	132	128
Разстояние $A_5$	178	171	165	159	154	148	143	139
Разстояние $A_6$	191	183	175	168	164	158	153	149
Разстояние $A_7$	211	203	195	188	182	177	171	165

Канали OIRT	R-VI	R-VII	R-VIII	R-IX	R-X	R-XI	R-XII
Дължина $L$	768	733	704	675	650	627	604
Дължина $R$	886	845	813	780	750	723	697
Дължини от $D_1$ до $D_6$	708	676	650	623	600	578	558
Разстояние $A_1$	274	262	251	241	232	224	216
Разстояние $A_2$	173	166	159	153	147	142	137
Разстояние $A_3$	246	234	225	216	208	200	193
Разстояние $A_4$	162	155	148	142	137	132	128
Разстояние $A_5$	177	169	162	156	150	145	139
Разстояние $A_6$	190	180	173	166	160	154	149
Разстояние $A_7$	210	201	193	185	178	172	165

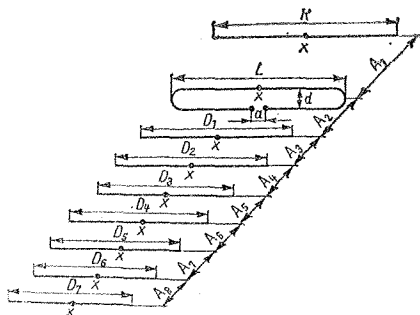
Всички данни са в mm.

### 29.3.7. 9-елементна Яги-антена

Характеристики (приблизителни стойности)

Усилване 11 dB, затихване в обратна посока 18 dB, входен импеданс 240  $\Omega$  симетричен, относителна дължина на антената 1,6  $\lambda$ , (дълга Яги-антена), ъгъл на разтвора в хоризонталната равнина 40°, ъгъл на разтвора във вертикалната равнина 50°.

Антената е изработена изцяло от метал, точките за заземяване и закрепване са означени на фиг. 29.15 с X. Диаметърът на всички елементи е 10 mm  $\pm$  20%. Носещата стрела има диаметър от 20 до 25 mm.



Фиг. 29.15. Схема за оразмеряване на удължена 9-елементна антена (вж. табл. 29.7.)

Таблица 29.7. Размери на удължена 9-елементна Яги-антена (фиг. 29.15)

Канали по стандарт CCIR	E-5	E-6	E-7	E-8	E-9	E-10	E-11	E-12
Дължина $L$	762	734	707	682	661	637	613	597
Дължина $R$	943	908	875	843	815	788	763	735
Дължина $D_1$	689	663	639	616	595	575	557	539
Дължина $D_2$	678	652	628	606	585	566	548	531
Дължина $D_3$	672	647	623	601	580	561	543	526
Дължина $D_4$	661	636	612	591	571	552	534	518
Дължина $D_5$	650	625	602	581	561	542	525	509
Дължина $D_6$	638	614	590	571	551	533	516	500
Дължина $D_7$	627	603	581	561	542	523	507	491
Разстояние $A_1$	345	332	319	308	298	288	279	270
Разстояние $A_2$	291	280	270	260	251	243	235	228
Разстояние $A_3$	427	410	395	381	368	356	345	334
Разстояние от $A_4$ до $A_8$	331	318	307	296	286	276	268	260

Канали по стандарт OIRT	R-VI	R-VII	R-VIII	R-IX	R-X	R-XI	R-XII
Дължина $L$	760	726	698	672	646	620	598
Дължина $R$	938	900	862	828	795	763	735
Дължина $D_1$	685	655	628	604	580	558	539
Дължина $D_2$	675	648	620	595	573	550	531
Дължина $D_3$	665	642	615	590	568	546	526
Дължина $D_4$	658	630	604	580	558	537	518
Дължина $D_5$	646	620	594	570	548	528	509
Дължина $D_6$	635	610	585	561	540	520	500
Дължина $D_7$	624	599	574	551	530	510	491
Разстояние $A_1$	348	333	317	302	292	280	270
Разстояние $A_2$	289	278	266	256	246	238	228
Разстояние $A_3$	425	408	390	375	360	346	334
Разстояния $A_4 \div A_8$	328	316	302	288	278	270	260

Всички размери са в mm.

### 29.3.8. 13-елементна многоканална Яги-антена

Основна част на тази удължена Яги-антена е 6-елементната многоканална антена, описана в раздел 29.3.5. Към нея са добавени два допълнителни рефлектора, чисто предназначение е да увеличат затихването в обратна посока, и 6 директора. При това се запазва сравнително широката пропускана честотна лента на основната 6-елементна антена.

При нужда 13-елементната антена

може да се опрости, като се премахнат двата допълнителни рефлектора, както и произволен брой директори, докато се получи основната 6-елементна антена. Допустимо е и добавянето на още директори, с което се увеличава общата дължина на 13-елементната антена. Допълнителните директори имат същата дължина като  $D_9$ , а разстоянията между тях съответствуват на  $A_{10}$ . При увеличаване на броя на елементите до 17 усиляването нараства на 12,5 dB. При намаляване на броя на елементите до 8 усиляването спада на 9 dB.

Таблица. 29.8. Размери на 13-елементна многоканална Яги-антена (фиг. 29.16)

	Група канали			
	Е-5 до Е-9 R-IV до R-IX	Е-6 до Е-10 R-VII до R-X	Е-7 до Е-11 R-VIII до R-XI	Е-8 до Е-12 R-IX до R-XII
Дължина $L$	735	721	700	678
Дължина $R$	883	866	839	812
Дължина $D_1$	628	616	598	580
Дължина $D_2$	638	623	603	584
Дължина $D_3$	622	613	594	576
Дължина $D_4$	617	602	584	566
Дължина $D_5$	595	580	563	548
Дължина $D_6$	575	561	543	528
Дължина $D_7$	553	540	524	508
Дължина $D_8$	532	518	504	490
Дължина $D_9$	532	518	504	490
Разстояния $A_R$	220	214	208	203
Разстояние $A_1$	404	396	384	372
Разстояние $A_2$	98	96	93	90
Разстояние $A_3$	327	318	310	300
Разстояние $A_4$	285	280	270	262
Разстояние $A_5$	311	305	295	286
Разстояния $A_6$ до $A_{10}$	311	305	295	286

Всички размери са в mm.

#### Характеристики (приблизителни стойности)

Усилване 11,5 dB, затихване в обратна посока 23 dB, входен импеданс 240  $\Omega$  симетричен, относителна дължина на антената  $3,4 \lambda$ , ъгъл на разтвора в хоризонталната равнина  $40^\circ$ , ъгъл на разтвора във вертикалната равнина  $44^\circ$ .

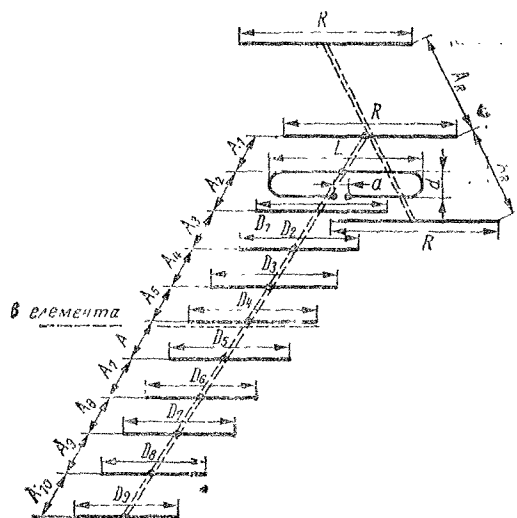
Антената е изработена изцяло от метал, точките за заземяване и закрепване са означени на фиг. 29.16 с X. Диаметърът на всички елементи е  $11 \text{ mm} \pm 30\%$ . Диаметърът на металната носеща стрела може да бъде между 20 и 30 mm.

#### 29.3.9. 20-елементна многоканална Яги-антена

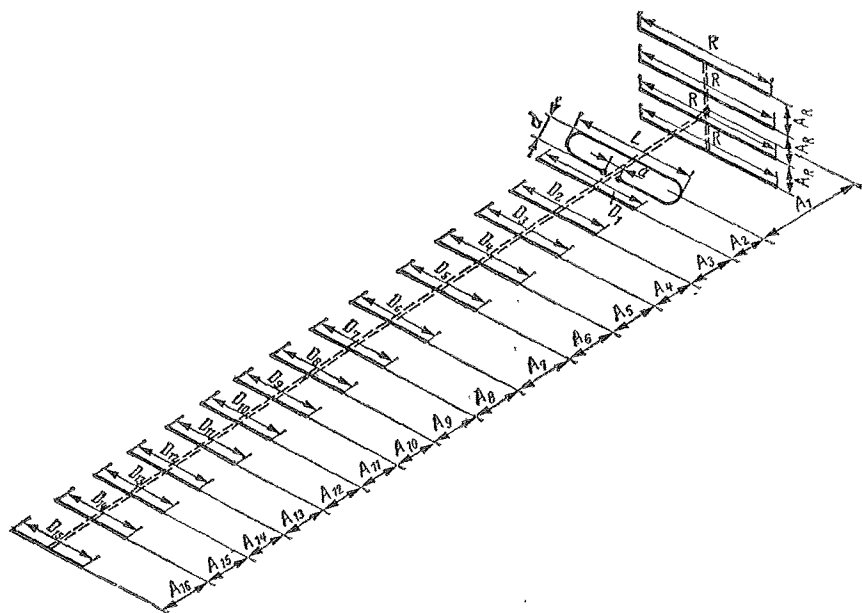
Широчината на пропусканата честотна лента при тази високоефективна

антена е толкова голяма, че целият III телевизионен обхват може да се покрие само с два типа антени, оразмерени по различен начин. Тази антена обаче може да се използва и като антена за целия III обхват, ако се избягат размерите, дадени в табл. 29.9 за каналите от Е-9 до Е-12, съотв. R-IX до R-XII. В такъв случай могат да бъдат приемани всички канали от III обхват, като само за каналите Е-5, съотв. R-VI, се забелязва едно съвсем незначително спадане на усиляването.

Тази антена при нужда също може да бъде опростена. Като се започне от последния директор  $D_{15}$ , директорите могат да се премахнат, докато се стигне до  $D_3$ . Следователно е възможно броят на елементите да бъде между 8 и 20. Входното съпротивление на антената не се променя; в съответствие с броя на оставащите елементи усиляването намалява, а ъглите на разтвора се увеличават.



Фиг. 29.16. Схема за оразмеряване на 13-елементна многоканална Яги-антена (вж. табл. 29.8)



Фиг. 29.17. Схема за оразмеряване на 20-елементна многоканална Яги-антена (вж. табл. 29.9)

Таблица 29.9 Размери на 20-елементна многоканална Яги-антена (фиг. 29.17)

	Група канали	
	Е-5 до Е-8 R-VI до R-IX	Е-9 до Е-12 R-IX до R-XII
Дължина $L$	844	743
Дължина $R$	1055	928
Дължина $D_1$	642	564
Дължина $D_2$	621	547
Дължина $D_3$	609	535
Дължини $D_4$ до $D_7$	604	530
Дължини $D_8$ до $D_{15}$	590	520
Разстояние $A_1$	232	204
Разстояние $A_2$	112	98
Разстояние $A_3$	136	120
Разстояние $A_4$	445	395
Разстояния $A_5 \div A_{16}$	422	372
Разстояние $A_R$	226	199

Всички размери са в mm.

#### Характеристики (приблизителни стойности)

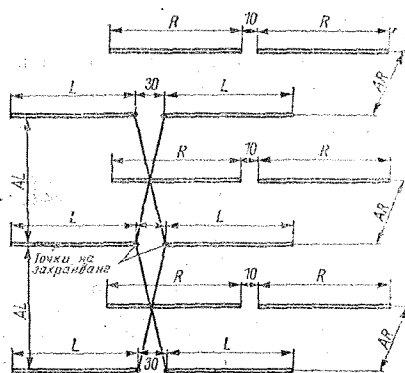
Усилване 15,5 dB, затихване в обратна посока 27 dB, входен импеданс 240  $\Omega$  симетричен, относителна дължина на антената 4  $\lambda$ , ъгъл на разтвора в хоризонталната равнина 26°, ъгъл на разтвора във вертикалната равнина 27°. Антената е изработена изцяло от метал по схемата от фиг. 29.17, четворният рефлектор допринася за увеличаване на затихването в обратна посока. Диаметърът на всички елементи е 10 mm  $\pm$  20%. Металната носеща стрела има диаметър от 20 до 30 mm.

#### 29.3.10. Многовибраторни приемни телевизионни антени

В III телевизионен обхват освен Яги-антени се използват и многовибраторни антени. Те представляват комбинации от целовълнови диполи, които са подредени пред рефлектори, порядко — пред рефлекторни платна (вж. раздел 23.). Тези антени излъчват напречно на оста си; понякога се срещат под името синфазни антени. Използват се предимно тогава, когато не биха могли да се получат отражения

на приемания сигнал и когато не се изисква остра насоченост в хоризонталната равнина.

Многовибраторните антени са ширококоловни и затова са подходящи за приемане на няколко телевизионни канала. В таблица 29.10 са дадени размерите на една 12-елементна многовибраторна антена, която е оразмерена за приемане на каналите от Е-5 до Е-9,



Фиг. 29.18. Схема за оразмеряване на 12-елементна многоканална Яги-антена (вж. табл. 29.10)

Таблица 29. 10. Размери на 12-елементна многоканална антена (фиг. 29.18)

	Група канали	
	Е-5 до Е-8 R-VI до R-IX	Е-9 до Е-12 R-IX до R-XII
Дължини $L$	708	620
Дължини $R$	800	700
Разстояние м/у етажите	790	685
Разстояние до рефлектора	242	210

Всички размери са в mm.

съотв. от R-IV до R-IX и от Е-9 до Е-12, съотв. R-IX до R-XII. Всички необходими технически подробности могат да се прочетат в раздел 23.

Покрай неоспоримите големи предимства на многовibratorните антени трябва да се споменат и някои трудности от механичен характер, които се срещат при изработката им.

Не е възможно антените да се изработят изцяло от метал. Половинките на елементите трябва да се закрепят в минимум на напрежението на  $1/4 \lambda$  от края на елемента. Но даже там те трябва да бъдат изолирани от носещата конструкция. Освен това този вид антени има по-голямо ветрово съпротивление и затова изисква особено стабилна носеща конструкция. Затова днес многовibratorните антени все по-често се заместват с етажирани Яги-антени и групи от Яги-антени.

### 29.3.1.1. Етажирани приемни телевизионни Яги-антени

Предимството на многовibratorните антени — малкият ъгъл на разтвор във вертикалната равнина — може да се постигне и с всяка Яги-антена, като две или повече такива антени се подредят една над друга. Простата целометалическа конструкция на Яги-антената и малкият ъгъл на разтвор във вертикалната равнина, които имат етажираните Яги-антени, превръщат тази конструкция в една ефективна и икономична антенна система.

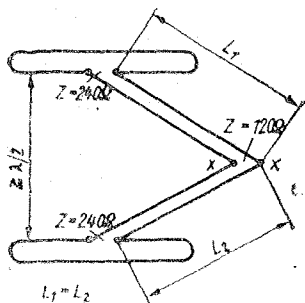
За етажираните Яги-антени е необ-

ходима само една носеща мачта, към която без изолация се прикрепват отделните етажи.

Ако две или повече еднотипни антени се подредят на етажи една над друга, при хоризонтално поляризираните антени се появява едно увеличаване на насочеността във вертикалната равнина. Ъгълът на разтвора в хоризонталната равнина не се влияе от етажирането. Етажираните антени трябва да се препоръчат особено за местности с високо ниво на локалните смущения. Поради малкия ъгъл на разтвора във вертикалната равнина всички смущаващи излъчвания, които попадат върху антената отдолу (смущения от запалителната система на автомобилите, от електроуреди и пр.), не се приемат от антената или най-малкото се приемат силно отслабени. Усилването на антената, дължащо се на насочеността във вертикалната равнина, зависи от броя на етажите и се влияе още и от разстоянието между тях. Въпреки че оптималното разстояние между етажите при два етажа с къси Яги-антени възлиза на  $0,65 \lambda$  (нарастване на усиляването около 2,7 dB), по често се предпочитат разстоянието  $0,5 \lambda$  (нарастване на усиляването около 2,4 dB), защото при такова разстояние между етажите антенната система има диаграма на насочено действие с по-малко странични листове и освен това съществуват някои удобства по отношение на захранването.

При етажирането на по-големи антени от типа на удължените Яги-антени се спазва следното грубо правило:



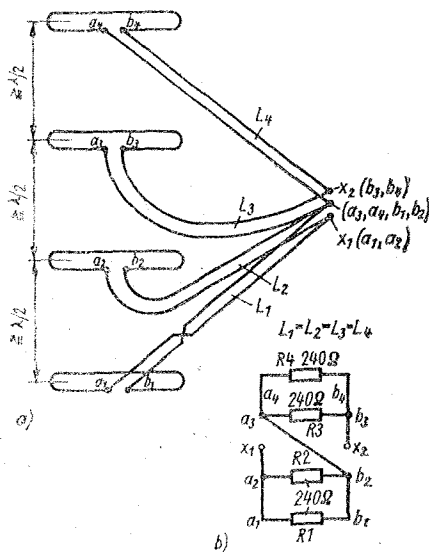


Фиг. 29.19. Етажиране на хоризонтални Яги-антени (разстоянието между етажите е  $\lambda/2$ , начертани са само активните елементи)

разстояние между два вертикални етажа = дължината на антената  $\times 0,75$ .

Под дължина на антената трябва да се разбира най-големият надлъжен размер, т. е. дължината на носещата стрела, към която са закрепени елементите.

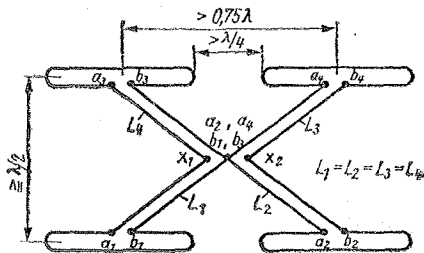
Всички Яги-антени, за които има указания за самостоятелно изработване и за които са дадени размери в таблиците, имат входно съпротивление  $240 \Omega$ .



Фиг. 29.20. Свързване на 4 етажирани еднотипни антени а — схема, б — еквивалентна схема

Затова отделните етажи могат да бъдат свързани с произволно дълъг симетричен кабел с вълново съпротивление  $240 \Omega$ . Дължината на кабела зависи от разстоянието между етажите. Захранващата линия с вълново съпротивление  $240 \Omega$  се включва в средата на отрязъка, свързващ двата етажа (фиг. 29.19). В тези точки входните съпротивления на двете антени ( $2 \times 240 \Omega$ ) се оказват свързани паралелно и следователно резултатното съпротивление е  $120 \Omega$ . Това означава, че ако в тези точки се свърже кабел с вълново съпротивление  $240 \Omega$ , ще се получи разсъгласуване. Разсъгласуването предизвиква загуба на около 6% от полезното напрежение (0,5 dB); тази загуба е от същия порядък, както и загубата на напрежение в едно трансформиращо звено. Затова при телевизионните приемни антени със сравнително къс кабел до телевизора се препоръчва този най-прост начин на свързване. При него не се получава забележимо влошаване на качеството на изображението и не се стеснява пропусканата от антената честотна лента. Лентовият кабел, който свързва двата етажа, не бива да се усуква, т. е. трябва да се свържат левите изводи на горния и долния етаж, защото в противен случай поради противофазното възбуждане би се получила съвсем изкривена диаграма на насочено действие.

Когато трябва да се свържат 4 еднотипни етажирани Яги-антени, съществува възможност за широколентово възбуждане, при което не се получава разсъгласуване (фиг. 29.20). Както следва от еквивалентната схема (фиг. 29.20б), антените са свързани две по две в паралел. Двете групи, образувани по



Фиг. 29.21. Правилно свързване на 4 еднотипни антени, образувачи една антенна система

този начин, са свързани последователно, така че според закона на Кирхоф в централните точки на захранване  $X_1—X_2$  съпротивлението отново е равно на съпротивлението на една отделна антена (240  $\Omega$ ). Там може да се включи направо кабел с вълново съпротивление 240  $\Omega$ .

На фиг. 29.21 е показан друг вариант на група от четири антени, свързани по същия принцип, правилно съгласувани по съпротивление и фаза. За да се възбудят синфазно всички етажи, трябва точно да се спазват следните правила:

— отрязъците  $L_1 \div L_4$  могат да бъдат произволно дълги, но трябва да имат точно еднаква дължина ( $L_1=L_2=L_3=L_4$ );

— вълновото съпротивление на кабелите трябва да съответствува на входното съпротивление на отделните антени. Тъй като описаните антени имат входно съпротивление 240  $\Omega$ ,  $L_1 \div L_4$  се изработват от обикновен лентов кабел с вълново съпротивление 240  $\Omega$ ;

— кабелите трябва да се свързват правилно, в никакъв случай не бива да се разменят изводите *a* и *b* (добре е предварително да се маркират жилата на кабела).

В примерите на свързване за по-добра прегледност са показани само захранваните шлейфвибратори.

Ако се наложи трансформиране на входното съпротивление на антените, най-добре е да се използва четвъртвълнов трансформатор (раздел 6.5.) или четвъртвълнов съгласуващ шлейф (раздел 6.6.).

### 29.3.12. Приемни телевизионни антени за IV/V обхват

IV/V телевизионен обхват използва вълни с дължина от 63 до 38 см. Следователно елементите на антените за този обхват са около три пъти по-къси от елементите на антените за III обхват (CCIR). Затова и приетото напрежение е около три пъти по-малко. Това означава, че усилването на една антена за IV/V обхват е с около 9 dB по-малко от това на еднотипна антена за III обхват. Това обстоятелство заедно с факта, че в IV/V обхват даже малки препятствия вече предизвикват силно отражение на сигнала, налага

почти винаги използването на остро насочени високоефективни антени. Дългите Яги-антени, общо взето, са най-подходящи и по технически и икономически причини се използват най-често.

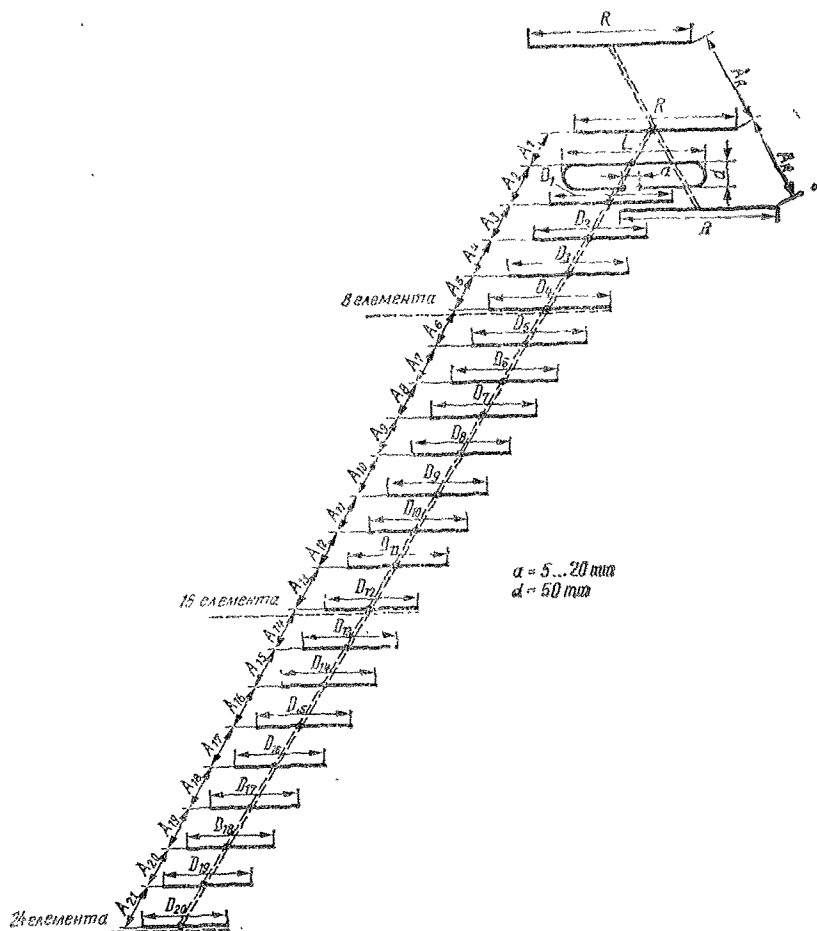
Понякога обаче може да се случи да не бъде достигнато усилването, посочено в проспекта на дългата Яги-антена. При това отделните напрежения приети от директорите на дългата Яги-антена, могат да бъдат изместени по фаза едно спрямо друго. Общото напрежение тогава винаги е по-малко от максимално възможното, приемано при равномерно поле. В такива случаи се препоръчва или да се използват по-къси етажираны Яги-антени, или да се премине към широколентови специални антени с малка дължина (напречни излъчватели). Последните са подходящи и като стаини или тавански антени.

#### 29.3.12.1. Яги-антени за IV/V обхват

Антените за IV/V обхват не се различават конструктивно от Яги-антените за III обхват. Пропусканата от тях честотна лента винаги обхваща няколко съседни телевизионни канала и днес съществуват възможности за конструиране на Яги-антени, чиято честотна лента позволява приемането на всички телевизионни канали от IV/V обхват. Усилването е най-голямо в най-високочестотния телевизионен канал и намалява в известна степен при най-нискочестотните канали.

При монтирането на Яги-антените за IV/V обхват трябва да се има предвид, че вертикалната носеща мачта не може, както обикновено, да бъде закрепена отстрани на носещата стрела в центъра на тежестта на стрелата. Затова би трябвало да се следва при мерът на фирмите — производители на антени за IV/V обхват. По-късите Яги-антени обикновено се закрепват пред носещата мачта, като цялата антена, включително и рефлектора, остава от едната страна на мачтата, откъм страната на телевизионния предавател. По дългите Яги-антени обикновено се закрепват към носещата мачта чрез П-образни подпори (фиг. 24.1).

Описаните по-долу антени за IV/V обхват с 8, 16 и 24 елемента би тряб-



Фиг. 29.22. Схема за оразмеряване на широколентова антена за IV/V обхват с 8-, 16- или 24-елемента (вж. табл. 29.11)

вало да задоволят всички изисквания на заинтересуваните от саморъчното изработване на антени. Това са широколентови антени, пригодени за приемане на сигнали за цветна телевизия, които при нужда могат да бъдат етажирани. За всеки тип антена е дадено оптималното разстояние между етажите, при което се получава максимално усилване.

Основен тип на цялата поредица е 8-елементната антена. Тя се използва без промяна и при другите две конструкции (16- и 24-елемента), като про-

сто се добавят съответният брой директори. Най-голямото посочено усилване се отнася винаги за най-високофrequentния канал от обхвата (канал 39, съотв. канал 59). Усилването спада постоянно и достига посочената минимална стойност при най-нискофrequentния канал от съответния обхват (канал 21, съотв. канал 40).

Към 8-елементната антена могат да се добавят и друг брой директори, така че общият брой на елементите да не бъде нито 16, нито 24. Могат да се използват всички междинни стойности,

Таблица 29.11. 8-, 16- и 24-елементни Яги-антени за IV/V обхват (фиг. 29.22)

Характеристика	8-елемента	16-елемента	24-елемента
Усилване	8,0 до 9,5 dB	12 до 13,5 dB	15 до 17 dB
Потискане на сигнала в обратна посока	20 dB	23 dB	27 dB
Ъгъл на разтвора в хоризонталната равнина	46°	33°	22°
във вертикалната равнина	63°	36°	23°
Относителна дължина на антената	0,9 λ	3,4 λ	5,8 λ
Оптимално разстояние между етажите	70 cm (1,44 λ)	97 cm (2,0 λ)	140 cm (2,88 λ)

Общи данни:

Антените са изработени изцяло от метал. Входното им съпротивление е симетрично и има стойност 240 Ω. Диаметърът на всички елементи е  $9 \text{ mm} \pm 20\%$ . Металната носеща стрела има диаметър  $20 \text{ mm} \pm 20\%$ .

Механични размери

	IV обхват (Канали 21 ÷ 39)	V обхват (Канали 40 ÷ 59)
Дължина на шлейфвибратора $L$	284	226
Дължина на рефлекторите $R$	349	278
Дължина $D_1$	212	168
Дължина $D_2$	204	162
Дължини $D_3, D_4$	202	160
Дължини $D_5 \div D_8$	199	159
Дължини $D_9 \div D_{12}$	197	157
Дължини $D_{13} \div D_{16}$	195	155
Дължини $D_{17} \div D_{20}$	195	155
Разстояние $A_R$	117	94
Разстояние $A_1$	77	61
Разстояние $A_2$	22	17
Разстояние $A_3$	63	51
Разстояние $A_4$	132	105
Разстояние $A_5$	139	112
Разстояния $A_6 \div A_{21}$	149	119

Всяки размери са в mm.

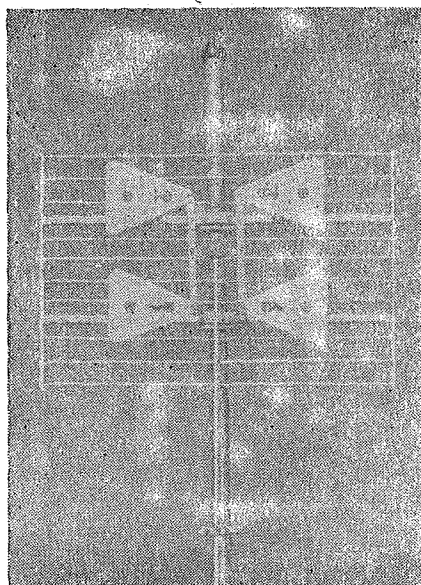
без да се влошат качествата на антената (напр. 13 елемента, 18 елемента и пр.). Съответните данни на антената също приемат междинни стойности, които лесно могат да бъдат предвидени.

Размерите, дадени в табл. 29.11, се отнасят за конструкцията, показана на фиг. 29.22.

#### 29.3.12.2. Пеперудообразни антени за IV/V обхват, разположени пред рефлекторно платно

За радиолюбителите с интереси в областта на телевизията са подходящи антените с рефлекторно платно. Тези антени са плоски и здрави. Целовълно-





Фиг. 29.24. Индустриално произвеждана антена за IV/V обхват (Катрейн)

#### Характеристики (приблизителни стойности)

Усилване в обхвата от 470 до 790 MHz — между 9 dB (при честота 470 MHz) и 12 dB (при честота 790 MHz); затихване в обратна посока  $> 20$  dB, входно съпротивление  $240 \Omega$  симетрично, коефициент на стоящи вълни  $\leq 2$ , ъгъл на развора в хоризонталната равнина  $50^\circ$ , ъгъл на развора във вертикалната равнина между  $40^\circ$  и  $70^\circ$  в зависимост от честотата.

Разстоянието между диполите и рефлекторното платно е 140 mm. Останалите данни могат да се намерят в раздел 26.2.2. На фиг. 29.24 е показана за пример една индустриално произведена антена (на фирмата Катрейн).

#### 29.3.12.3. Антени за IV/V обхват с ъглови отражатели

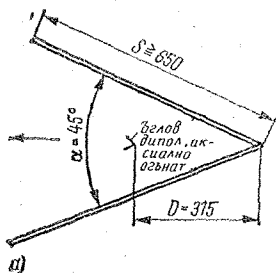
Популярните и ефективни антени с плоски ъглови отражатели се произвеждат от индустрията (вж. фиг. 26.14). Този вид антени вече беше описан под-

робно в раздел 26.2.3. На фиг. 29.25 е показана една широколентова антена за честотния обхват от 470 до 790 MHz. По своята механична конструкция тя съответствува на антената с аксиално огънат перерудоброобразен дипол, показана на фиг. 26.13. Широчината на ъгловия отражател (вж. фиг. 26.12) не може да се отчете от фиг. 29.25; тя трябва да бъде по-голяма от 450 mm. По-голямата ширина увеличава затихването в обратна посока.

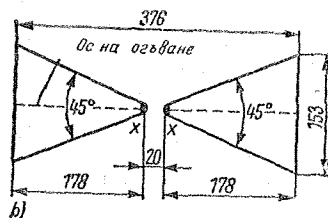
#### Характеристики (приблизителни стойности)

Усилването на антената е между 10 и 14,5 dB (зависи от честотата), затихването в обратна посока е  $> 24$  dB, входно съпротивление  $240 \Omega$  симетрично, коефициент на стоящи вълни  $s=3$ . Останалите данни са посочени в раздел 26.2.3.

Ъгловият отражател може да има ъгъл на развора  $60^\circ$ . В този случай разстоянието между дипола и отражателя трябва да бъде  $D=248$  mm, дължината на рамото е достатъчно да

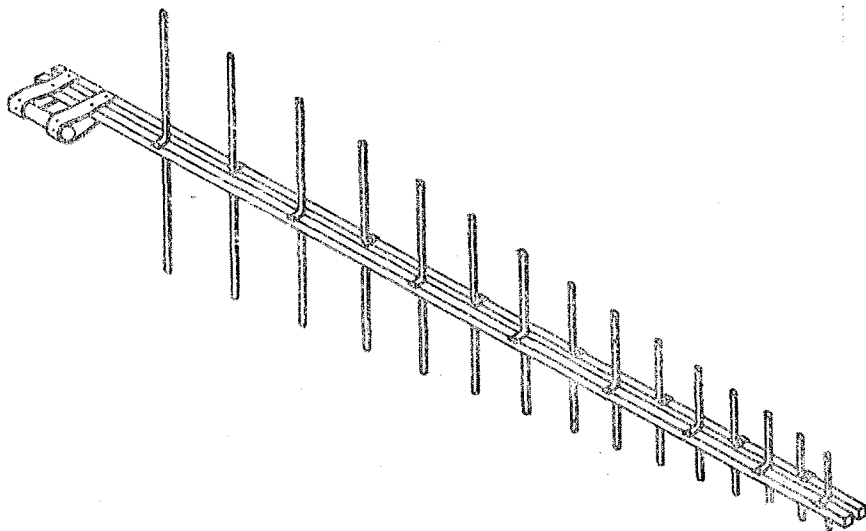


a)



b)

Фиг. 29.25. Антена с ъгловиден отражател за IV/V обхват; а — изглед от страни, б — перерудоброобразен дипол (всички данни са в mm)



Фиг. 29.26. Конструкция на логопериодична антена за IV/V обхват с вертикална поляризация, пригодена за монтиране пред антенната мачта

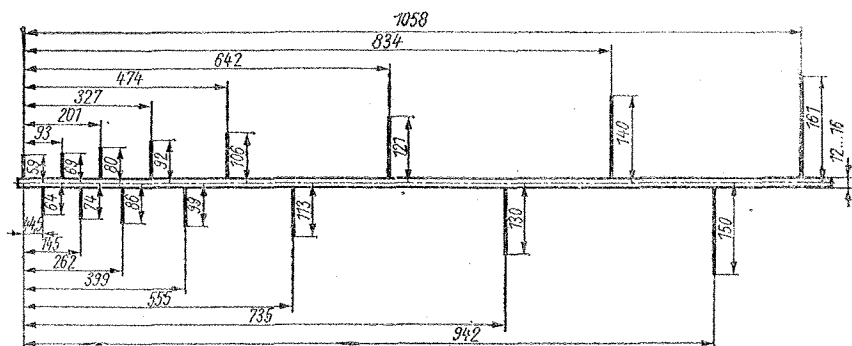
бъде по-голяма от 500 mm. При тази конструкция обаче максимално възможното усиление е 12,5 dB.

#### 29.3.12.4. Логопериодични антени за IV/V обхват

Въпреки че логопериодичните антени имат по-сложна механична конструкция от Яги-антените със същото усиление, те предлагат и някои предимства, които в някои случаи оправдават използването им като приемни телевизионни антени. Една логопериодична антена може да помогне преди всичко там, където се получават силни отражени сигнали или смущения от предавател, работещ на същия канал, както и приемания. Тя приема сигнали само от направлението на главния лъч, докато сигналите от всички останали направления се потискат с 25 до 35 dB. Тази почти идеална диаграма на насочено действие се запазва в цялата пропускана честотна лента, при което усиляването се променя в зависимост от честотата само с около  $\pm 0,4$  dB.

Логопериодичната антена, показана на фиг. 29.26, има ширина на пропусканата честотна лента от 450 MHz до

850 MHz, следователно тя може да приема всички канали от 21 до 68 с постоянно усиление от около 9 dB (по отношение на един полувълнов вибратор). При директно захранване с коаксиален кабел с вълново съпротивление от 70 до 75  $\Omega$  коефициентът на стоящи вълни е  $s \leq 1,3$ . Конструкцията на антената съответствува на показаната на фиг. 26.17. Единствената разлика е, че след двойката най-дълги елементи се намира едно мостче за късо съединение, което улеснява симетрирането за включване на коаксиален кабел. Периодът  $t$  е 0,93. За да се разберат по-добре подробностите на механичната конструкция на фиг. 29.26 антената е показана с вертикална поляризация. Хоризонтална поляризация се получава чрез аксиално завъртане на 90°, при което елементите се ориентират хоризонтално. Двете носещи тръби в оригиналната конструкция имат квадратен профил със страна 12,7 mm  $\times$  12,7 mm; могат да се използват и обикновени четириъгълни алуминиеви тръби със страна 16 mm  $\times$  16 mm. Двете носещи стрели са дълги по 1250 mm и са разположени успоредно една на друга на разстояние 10 mm. Това разстояние се фиксира с подходящи



Фиг. 29.27 Една половина на логопериодична антена за IV/V обхват с данни за оразмеряване (не е в мащаб). Всички данни са в mm

пластмасови изолатори. Двата края на стрелите, разположени зад най-дългите елементи, се свързват галванически чрез скобата на носещата мачта и така двете стрели образуват двупроводна линия, свързана на късо в единия си край. Четириъгълната тръба е избрана, защото предлага удобна възможност за закрепване на елементите. Със същия успех могат да се използват и обикновени алуминиеви тръби със кръгло сечение.

Елементите са изработени от тръби от лек метал или от плътен материал с диаметър от 6 до 8 mm. Единият край на елемента се сплесква, огъва се и след това, както се вижда от фиг. 29.26, се завива към носещата стрела. Могат да се използват и елементи от отпадъчни алуминиеви ленти с широчина около 10 mm (широчината не е критична), които са равностойни от електрическа гледна точка, но са по-евтини и по-удобни за закрепване. Трябва да се осигури добър електрически контакт между половинките на елементите и носещите стрели.

На фиг. 29.27 е представена едната половина на антената с всички необходими размери. Трябва да се изработят две такива половини, които след това да се сглобят с разстояние една до друга 10 mm, така че половинките на елементите с еднаква дължина да се допълват, както е показано на фиг. 29.26. Дължините на елементите, дадени на фиг. 29.27, се измерват от средата на носещите стрели.

Коаксиалният кабел се свързва, както описано в раздел 26.3.2. (фиг. 26.22a).

Логопериодичната антена, показана на фиг. 26.20, е построена по същия принцип, но за друг честотен обхват; затова нейните данни могат да се използват, като се има предвид това обстоятелство.

### 29.3.12.5. Други форми на широколен-тови приемни телевизионни антени за IV/V обхват

Етажираната V-образна антена, описана в раздел 27.1. (фиг. 27.1 и фиг. 27.2) има приблизително същите свойства, както етажираните целовълнови диполи, разположени пред рефлекторно платно (фиг. 29.23). Както се вижда от фиг. 27.2, V-образната антена може да се използва в целия IV/V обхват с усиление най-малко 9 dB и най-много 12 dB. Освен това тя може да бъде използвана допълнително и като приемна антена за УКВ (II обхват по стандарт CCIR). Етажираната V-образна антена в обхвата от 87,5 до 100 MHz действа като огъната целовълнова антена и затова диаграмата на насочено действие в хоризонталната равнина има почти кръгова форма. Двойните рамена (фиг. 10.31) осигуряват достатъчна широчина на пропусканата честотна лента, а съществуващото разсъгласуване (максимум 1 : 3) е без значение при приемане на УКВ радиопрограми. Антената се изработва с размерите, дадени на фиг. 27.1.

Друг вид антена, използван за приемане на телевизионни програми от дециметровия обхват, е опростената



рупорна антена, описана в раздел 26.1.3. Ако антената, показана на фиг. 26.6, има дължина на страната не 2,45 m, а 800 mm, може да се разчита на усиление 10 dB в началото на IV обхват (21-и канал). Усилването нараства непрекъснато с увеличаване на честотата и в края на V обхват (60-ти канал) достига 15 dB. Предпоставка за това е изработването на двете диполни крила по възможност от алуминиева ламарина. Ъгълът на разтвор на диполните крила във всички случаи е 60°. Едно грубо правило гласи, че усиляването на този вид антени нараства с 6 dB при удвояване на честотата.

В някои случаи може да представлява интерес и ромбичната антена за УКВ (фиг. 27.6). Както следва от фиг. 29.7, при зададени дължини на страните максималното усиление на антената се получава във високочестотната част на V обхват (50-ти канал). При това относителната дължина на страната на ромба възлиза на 4  $\lambda$ . Като се спазват диаграмите (фиг. 12.9 и фиг. 27.4), може лесно да се конструират всякакви ромбични антени. При етажирането на две еднотипни ромбични антени се създават особено удобни условия за захранване. Разстоянието между двата етажа трябва да бъде около 800 mm; в такъв случай усиляването нараства с около 2,5 dB. Точките на захранване на двете антени се свързват с некръстосана двупроводна линия с вълново съпротивление около 500  $\Omega$ . В средата на тази свързваща линия може да се включи симетричен захранващ кабел с вълново съпротивление от 240 до 300  $\Omega$ .

## 29.4. Радиоприемни антени за УКВ

Особено високо качествено предаване на радиопрограми с ЧМ изисква голяма ширина на честотната лента на високочестотния радиоканал. Затова излъчването на радиопрограми с честотна модулация се извършва в обхвата на УКВ. Според международните споразумения за I район са препоръчани честотните обхвати от 66 до 73 MHz (4,55 до 4,11 m) съгласно стандарта на OIRT и от 87,5 до 100 MHz (3,43 до 3,00 m) съгласно стандарта на CCIR.

Тъй като разпространението на мет-

ровите вълни става през тропосферата, зоната на покритие надхвърля с около 15% теоретично определената зона на оптическа видимост (вж. раздел 2.4.). Често е възможно далечно разпространение на ултракъсите вълни, дължащо се на особеното състояние на тропосферата. Обратно, свръхдалечно разпространение, дължащо се на отражение от йоносферата, се среща рядко. За да се постигне възможно най-голяма зона на покритие на УКВ-радиопредавателите, те се строят на голяма надморска височина и с високи носещи мачти.

Качествата на съвременните УКВ-приемници са толкова добри, че силните УКВ предаватели могат да се приемат със задоволително качество даже и с диполи, вградени в кутията на приемника, или с временни помощни антени. Една УКВ-антена, настроена в резонанс, е в състояние да задоволи по-високи изисквания. За безупречно приемане на стереофонични радиопрограми е нужно по-голямо антенно напрежение, отколкото при приемането на монофонични УКВ програми.

За приемането на монофонични радиопрограми е необходимо минимално ниво 40 dB  $\mu V$  (=100  $\mu V$ ), докато за качественото приемане на стереофонични програми антената трябва да подаде към приемника полезно напрежение най-малко 50 dB  $\mu V$  (=316  $\mu V$ ).

В УКВ обхватите, определени за излъчване на честотно модулирани радиопредавания, може да се реализира със сравнително приемливи разходи Яги-антени с усиление до 8 dB. Това означава, че нивото на полезното напрежение на сигнала трябва да има една относително голяма минимална стойност даже при приемане с обикновен дипол, защото с една съответно по-сложна антена то може да се увеличи само около 2,5 пъти.

Тези радиолюбители, които се интересуват от самостоятелно изработване на приемни антени за ЧМ радиопрограми, могат да намерят по-долу размери и технически данни за такива антени. Всички антени са изработени изцяло от метал. Те са оразмерени за симетрично входно съпротивление 240  $\Omega$ , широчината на пропусканата от тях честотна лента е достатъчна за приемане на целия обхват по стандарт CCIR, съотв. OIRT.

Таблица 29.12. Данни за оразмеряване на приемни антени за УКВ (стандарт OIRT и CCIR)

	Обхват 66...73 MHz	87,5...100 MHz
1-елементна антена (фиг. 29.9)	дължина $L$ 2075	1470
Характеристиките са дадени в раздел 29.3.1.		
2-елементна антена (фиг. 29.10)	Дължина $L$ 2020	1420
	Дължина $R$ 2250	1600
	Разстояние $A$ 1220	975
Характеристиките са дадени в раздел 29.3.2.		
3-елементна Яги-антена (фиг. 29.11)	Дължина $L$ 2040	1440
	Дължина $R$ 2440	1740
Характеристиките са дадени в раздел 29.3.3.	Дължина $D$ 1780	1270
	Разстояние $A_1$ 640	480
	Разстояние $A_2$ 380	280
4-елементна Яги-антена (фиг. 29.12)	Дължина $L$ 2280	1580
	Дължина $R$ 2670	1850
Характеристиките са дадени в раздел 29.3.4.	Дължина $D_1$ 1860	1280
	Дължина $D_2$ 1820	1250
	Разстояние $A_1$ 1220	830
	Разстояние $A_2$ 320	230
	Разстояние $A_3$ 980	690
6-елементна Яги антена (фиг. 29.13)	Дължина $L$ 2200	1580
	Дължина $R$ 2630	1930
Характеристиките са дадени в раздел 29.3.5.	Дължина $D_1$ 1870	1350
	Дължина $D_2$ 1890	1365
	Дължина $D_3$ 1860	1345
	Дължина $D_4$ 1830	1320
	Разстояние $A_1$ 1200	870
	Разстояние $A_2$ 295	212
	Разстояние $A_3$ 965	705
	Разстояние $A_4$ 843	615
	Разстояние $A_5$ 920	670

Всички размери са в mm.

Препоръчва се като материал за елементите да се използва алуминиева тръба с диаметър от 10 до 30 mm. Със същия успех може да се използва плътен материал или какви да са профили и ленти, стига те да са подходящи от механична гледна точка.

Приемните антени за приемане на ЧМ радиопрограми не се различават от приемните телевизионни антени нито по конструкция, нито по електрически параметри. Общо взето, не се използват специални видове антени. Тъй като всички описани антени имат входно съпротивление 240  $\Omega$ , те са съгласувани към нормирания входен

импеданс на радиоприемниците. Не са дадени отделни чертежи на антените, чийто размери могат да се намерят в табл. 29.12, защото тези чертежи вече са показани в раздел 29.3. (фиг. 29.9÷фиг. 29.13). Съответните характеристики са дадени в раздели 29.3.1÷29.3.5.

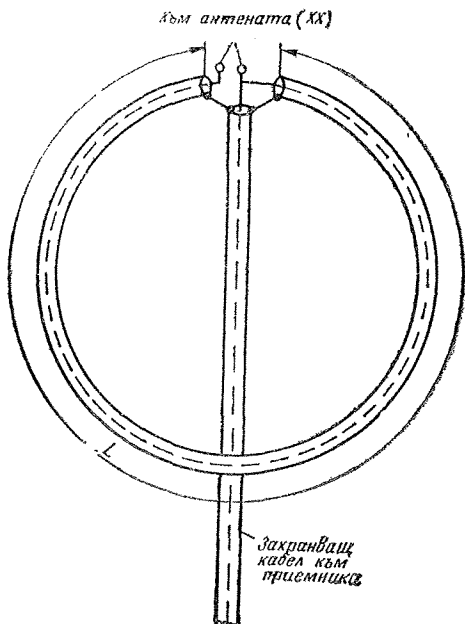
## 29.5. Симетриращ шлейф за УКВ-и телевизионни приемни антени

Днес почти всички индустриално произвеждани приемни телевизионни

Таблица 29.13. Геометрична дължина на кабела  $L$ , необходим за изработване на полуълнов симетриращ шлейф U-коляно за всички телевизионни и УКВ-радиообхвати

Дължина $L$ при :	Телевизионни канали по стандарт CCIR							
	E-2	E-3	E-4	E-5	E-6	E-7	E-8	E-9
$V=0,66$	2020	1770	1570	562	541	521	502	485
$V=0,77$	2355	2065	1835	654	617	604	582	562
$V=0,83$	2545	2230	1978	708	682	656	633	611
	E-10	E-11	E-12					
$V=0,66$	470	454	440					
$V=0,77$	539	527	512					
$V=0,83$	592	572	554					
	Телевизионни канали по стандарт OIRT							
	R-I	R-II	R-III	R-IV	R-V	R-VI	R-VII	
$V=0,66$	1980	1650	1270	1150	1055	562	538	
$V=0,77$	2310	1925	1480	1343	1228	656	630	
$V=0,83$	2495	2080	1600	1450	1330	6708	678	
	R-VIII	R-IX	R-X	R-XI	R-XII			
$V=0,66$	515	495	476	460	442			
$V=0,77$	600	578	555	535	515			
$V=0,83$	649	624	600	580	557			
	Телевизионни канали от IV/V обхват							
	канал 21—25	канал 26—30	канал 31—35	канал 36—40	канал 41—45	канал 46—50	канал 51—55	канал 56—60
$V=0,66$	202	186	173	162	152	143	135	128
$V=0,77$	235	221	202	188	177	167	158	149
$V=0,83$	255	234	218	204	192	180	170	161
	Анени за приемане на радиопрограми, излъчвани в обхвата на УКВ (по стандарт CCIR и по стандарт OIRT)							
	CCIR (87,5 . . . 100 MHz)				OIRT (66 . . . 73 MHz)			
$V=0,66$	1053				1415			
$V=0,77$	1230				1650			
$V=0,83$	1327				1783			

Всички данни са в mm.



Фиг. 29.28. Схема за оразмеряване на повълнов симетриращ шлейф (вж. табл. 29.13)

и УКВ радиоприемни антени имат симетрично входно съпротивление със стойности 240  $\Omega$ . Това важи и за антените, описани в този раздел.

Както вече беше казано, по-изгодно от електрическа гледна точка и по-икономично, ако се има предвид трайността на кабела, е постоянните (стационарните) антени да се захранват чрез коаксиален кабел. Най-простият начин да се съгласува една симетрична антена с входно съпротивление 240  $\Omega$  към коаксиален кабел, като едновременно се внасят минимални загуби, е да се използва балунтрансформатор, наричан още симетриращ шлейф. Този трансформатор (вж. раздел 7.5.), който осъществява необходимата трансформация в отношение 4 : 1 и едновременно прехода от симетрично към несиметрично спрямо земя входно съпротивление, може да се изработи най-лесно от едно парче коаксиален кабел с вълново съпротивление 60  $\Omega$  (фиг. 29.28). Геометричната дължина на шлейфа възлиза на  $\lambda/2$ , умножена по коефициента на скъсяване на използвания кабел. Обикновените

коаксиални кабели имат коефициент на скъсяване  $V=0,66$ ; такива с въздушен диелектрик имат по-малки загуби и техният коефициент на скъсяване е около 0,77. Кабелите с диелектрик порест полиетилен имат особено малки загуби. Техният коефициент на скъсяване е 0,83.

Въпреки че симетриращият трансформатор представлява една екранирана линия, той има сравнително широка пропускана лента. Затова във всички телевизионни обхвати може да се използва по един такъв трансформатор, оразмерен випаги за средната честота на съответния обхват. Това важи и за IV/V телевизионен обхват. Ако антената трябва да се използва само за приемане на определен брой канали или на отделен канал, шлейфът се оразмерява за средната честота на тази група канали, съотв. канал.

В табл. 29.13 са дадени механичните дължини на съгласуващи трансформатори за всички телевизионни и УКВ радиообхвати при използване на коаксиални кабели с коефициенти на скъсяване 0,66, 0,77 и 0,83.

## 30. Потискане на нежелателните излъчвания

Според § 8 на *Предписанието за потискане на радиосмущенията* от 3. IV. 1959 г.\* едно смущение се счита за отстранено, ако размахът на смущаващото напрежение в работната антена на смущаваната приемна радиоапаратура не надвишава  $5 \mu\text{V}$  или ако отношението на полезното напрежение към смущаващото напрежение не е по-малко от посочените по-долу стойности:

— радиоразпръскване и радиотелефони с амплитудна модулация

$$\frac{\text{полезно напрежение}}{\text{смущаващо напрежение}} \geq \frac{100}{1} = 40 \text{ dB}$$

— радиоразпръскване и радиотелефони с честотна модулация

$$\frac{\text{полезно напрежение}}{\text{смущаващо напрежение}} \geq \frac{10}{1} = 20 \text{ dB}$$

— телеграфни радиослужби (включително фототелеграф)

$$\frac{\text{полезно напрежение}}{\text{смущаващо напрежение}} \geq \frac{50}{1} = 34 \text{ dB}$$

— телевизия

$$\frac{\text{полезно напрежение}}{\text{смущаващо напрежение}} \geq \frac{200}{1} = 46 \text{ dB}$$

Според § 9 на същото предписание Комисията по радиосмущенията към пощите е опълномощена да провери дали смущаваната радиоапаратура отговаря на установените норми и дали

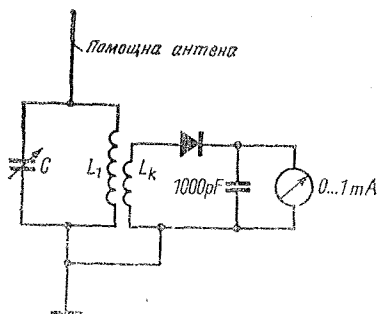
\* Тук се цитират законни разпоредения, които са в сила в ГДР.

смущенията могат да се отстранят чрез действия, предприети при смущаваната радиоапаратура. Ако конструкцията на смущаваната радиоапаратура удовлетворява съответните технически изисквания, собственикът на апаратурата, източник на смущения, е длъжен да осигури на собствени разходи потискане на смущенията според нормите, посочени в § 8. Ако собственикът на смущаващата апаратура не изпълни до изтичането на определено време писмените предписания на комисията по радиосмущенията или ако откаже да отстрани смущенията, съгласно § 10 пощенската служба има право да отстрани или да нареди смущенията да бъдат отстранени на негови разходи. Комисията по радиосмущенията може да спре работата на смущаващата апаратура и да запечата същата до отстраняване на смущенията.

### 30.1. Общи съображения по отстраняване на радиосмущенията

Радиолюбителят експлоатира устройства, които могат да предизвикат значителни радиосмущения. В случай на възникване на такива смущения радиолюбителят е длъжен да вземе мерки за отстраняването им. Антенната система сама по себе си не може да бъде източник на смущения, защото тя не генерира електромагнитни трептения, а само ги пренася. Това означава, че антената и захранващата линия могат да излъчат смущаващ сигнал само ако той е „доставен“ от предавателя. Затова основа на всяко действие за отстраняване на смущенията е откриването на първопричината им.

Източник на смущения в една любителска апаратура са на първо място всички осцилатори, които, както е известно, освен желаната основна че-



Фиг. 30.1. Прост индикатор на смушаващо излъчване и вълномер

стота излъчват цял спектър от висши и паразитни трептения. Високочестотните усилвателни стъпала и умножителите на честота могат да се самовъзбудят, ако не са конструирани правилно или липсва неутрализация. Други радиосмущения могат да възникнат при премодулация или детекция и от електрически искри (напр. смушенис, излъчвано от телеграфни предаватели при манипулация).

Пренасянето на радиосмущенията може да стане по различни пътища. Особено при лоша екранировка на предавателя и лошо заземяване смушаващото излъчване се разпространява направо по електрическата инсталация на къщата, по заземителния проводник или по други електрически проводници. Общо взето, на най-голямо разстояние се разпространяват смушенията, излъчени от антенната система.

В съответствие с тематиката на книгата по-долу ще бъдат описани мерките за отстраняване на смушенията, които се вземат при антенната система или направо в крайното стъпало на предавателя.

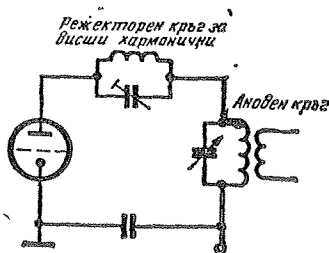
Те обаче могат да имат пълен успех само тогава, когато действително главната част на смушаващото излъчване се дължи на антенната система. Предполага се, че:

- предавателят е плътно екраниран и безупречно заземен;
- всички обслужващи и захранващи кабели, излизащи от предавателя, са филтрирани с дросели;
- общата конструкция на предавателя съответствува на достиженията на съвременната техника.

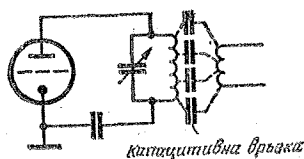
## 30.2. Мерки за отстраняване на смушенията

Няма просто правило за отстраняване на радиосмущенията, защото възникващите смушения се различават по източника си, пътя на разпространение и проявлението си при смушавания приемник. Затова трябва да се действа методично и първоначално да се направи опит за определяне на смушаващата честота (или честоти) на мястото на максималното им излъчване. Добра работа може да свърши един прост вълномер (фиг. 30.1). Настройващият кръг  $L_1-C$  трябва да покрива съответния честотен обхват; препоръчва се предварително кръгът да се еталонира чрез контролен генератор. Бобината за връзка  $L_k$  има 5 пъти по-малко навивки от  $L_1$ ; може да се използва всякакъв високочестотен германиев диод. С помощта на къса спомагателна антена (дълга от 25 до 30 cm) се изследва околността на крайното стъпало на предавателя, като едновременно се променя и настройката на вълномера. Ако се установи наличие на смушаващо излъчване, честотата му се сравнява с данните от табл. 33.4, за да се определи хармоничната на основната честота. Смушаващите честоти, които не съвпадат с честотите от тази таблица, се дължат най-често на самовъзбуждане на някое от стъпалата на предавателя или са продукт на смесване. Смушаващите честоти, излъчени от антенната система, във всички случаи се откриват и в анодния кръг на крайното стъпало на предавателя.

Ако смушаващата честота е хармонична на основната, полезна честота, понякога е достатъчно само в анодната



Фиг. 30.2. Режекторен кръг за висшите хармонични, включен в крайното стъпало



Фиг. 30.3. Непредвидена капацитивна връзка с антенния кръг

верига на крайното стъпало да се включи един паралелен трептящ кръг (фиг. 30.2), настроен на честотата на смущаващия сигнал. Този трептящ кръг се настройва грубо с гриддип-метър; фината настройка се извършва по време на работа, като целта е да се получи минимално смущаващо напрежение. При противотактно крайно стъпало във всяка анодна верига трябва да се включи по един такъв режекторен кръг. Ако смущаващото излъчване е широколентово или на няколко честоти, обикновените режекторни кръгове вече не помагат, защото те са селективни трептящи кръгове, които преграждат пътя към антената само на тясно ограничен участък от спектъра на смущаващия сигнал. Затова такива режекторни филтри днес се използват сравнително рядко.

Висшите хармонични, съществуващи в анодния кръг на едно стъпало, се пренасят в антенния кръг чрез непредвидени паразитни капацитивни връзки, защото най-често използваната индуктивна връзка представлява едновременно и една капацитивна връзка (фиг. 30.3).

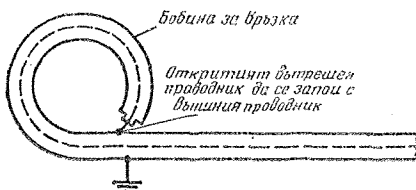
Малките капацитети на бобината най-често имат голямо капацитивно съпротивление за основната работна честота, така че за нея преобладава индуктивната връзка. Както е известно обаче, капацитивното съпротивление на един кондензатор намалява с увеличаване на честотата. Това означава, че малкият капацитет на бобината за връзка спрямо бобината в анодния кръг може да представлява удобен път за преминаване на висшите хармонични към антената.

За намаляване на капацитивната връзка и с това и на излъчването на висшите хармонични на полезната честота свързването на антената трябва да става по възможност откъм „студения“ край на бобината на анодния

кръг на крайното стъпало. Ако бобината за връзка е навита върху бобината на анодния кръг, тогава изводът на бобината за връзка, намиращ се откъм „горещия“ край на анодната бобина, трябва да се свърже към нулевия потенциал. Този край на бобината за връзка трябва да се отведе към шасито на предавателя по най-късия път. Особено подходяща за свързващ проводник е медна лента, защото тя има малка индуктивност. При симетричните проводникови линии с малко външно съпротивление се заземяват средните точки на бобините; при несиметричните линии за връзка, изработени от коаксиален кабел, се заземява външният проводник на кабела. В УКВ-обхвата бобините за връзка на една несиметрична свързваща линия могат също да бъдат изработени от коаксиален кабел. Чрез екранираната бобина за връзка се постига безкапацитивно и практически чисто индуктивно свързване на антената с анодния кръг на крайното стъпало (фиг. 30.4).

Висшите хармонични, които протичат към антената по вътрешния проводник на коаксиалния кабел, могат да се филтрират сравнително лесно чрез схемите за връзка с антената или чрез филтри. По този начин обаче не се премахват онези смущаващи сигнали, които преминават към антената по външния проводник на кабела. Затова потискането на висшите хармонични чрез чисто индуктивната връзка с антената е ефективно само тогава, когато чрез разумно екраниране на предавателя се попречи на хармоничните да достигнат до външния проводник на кабела.

Повечето схеми за връзка с антената (вж. раздел 8.) чрез допълнителната си избирателност осигуряват ефективно потискане на висшите хармонични. За филтриране на висшите хармонични и на останалите смущаващи че-



Фиг. 30.4. Екранирана бобина за връзка

стоти са подходящи антенни филтри, които имат свойството да пропускат или да блокират цели честотни обхвати. Тези филтри се характеризират със своите ленти на пропускане и непропускане. В пропусканата честотна лента филтърът трябва да пропускат всички честоти без загуби. Обратно, в лентата на непропускане филтърът не трябва да предава към потребителя никаква активна мощност (в идеалния случай), т. е. честотите от лентата на непропускане не трябва да имат достъп до антената. Елементите на този филтър не трябва да консумират активна мощност. Това изискване изпълняват индуктивностите и капацитетите, които в идеалния случай действуват като чисто реактивни съпротивления. Затова антенните филтри съдържат изключително капацитети и индуктивности.

Преходът от зоната на пропускане към зоната на непропускане в идеалния случай трябва да става скокообразно. Тъй като обаче отделните схемни елементи не са съвсем без загуби, преходът е повече или по-малко стръмен. Честотата, при която става преходът от областта на непропускане към областта на пропускане, се нарича *критична* или *гранична честота*  $f_{gr}$ . При критичната честота индуктивното съпротивление на филтъра е равно на неговото капацитивно съпротивление.

Антенните филтри се свързват към съгласувани захранващи линии. Това съгласуване не бива да се нарушава и затова входният и изходният импеданс на филтъра трябва да са равни на вълновото съпротивление на захранващия кабел  $Z$ . Освен това трябва да се запази и симетрията; една несиметрична захранваща линия изисква несиметричен филтър, докато симетричните спрямо земя филтри са предназначени за симетрични захранващи линии.

В зависимост от предназначението им могат да се посочат следните основни видове филтри:

Нископропускащ филтър	Лентов филтър
Високопропускащ филтър	Режекторен филтър

При пресмятане на филтрите трябва да се изходи от следните принципи съотношения, които имат основно зна-

чение в цялата високочестотна техника:

Ъглова честота

$$\omega = 2\pi f = 6,28f, \quad (30.1)$$

където  $\pi = 3,14$  (константа),  $f$  — честота; импеданс

$$Z = \frac{L}{C}, \quad (30.2)$$

където  $L$  е индуктивността,  $C$  с капацитетът;

индуктивно съпротивление

$$R_L = \omega L; \quad (30.3)$$

капацитивно съпротивление

$$R_C = \frac{1}{\omega C}; \quad (30.4)$$

условие за резонанс

$$L_{gr} = \frac{1}{\omega_{gr} C}; \quad (30.5)$$

ъглова честота на граничната честота

$$\omega_{gr} = 2\pi f_{gr}. \quad (30.6)$$

От тези основни уравнения чрез заместване могат да се получат други, които позволяват лесно пресмятане на филтрите.

### 30.2.1. Нискочестотен (нископропускащ) филтър

Един нискочестотен филтър има свойството да пропуска всички честоти, по-ниски от една определена гранична честота  $f_{gr}$  (област на пропускане); всички по-високи честоти не се пропускат (област на непропускане). В най-простата си форма едно несиметрично полузвено се състои от надлъжна индуктивност  $L$  и напречен капацитет  $C$  (фиг. 30.5a). Най-често обаче заграждащото действие на полузвената е твърде слабо. Затова се предпочита така нареченото цяло звено, представено като несиметрична схема на фиг. 30.5b. Ако то се оразмери напр. за импеданс  $60 \Omega$ , може да се включи в захранваща линия, изработена от коаксиален кабел с вълново съпротивление  $60 \Omega$  (входният импеданс  $Z_E$  е равен на изходния



импеданс  $Z_A$  и на вълновото съпротивление  $Z$  на захранващата линия).

Трети вариант на този филтър — симетрично цяло звено — е показан на фиг. 30.5с. Той намира приложение при симетрични захранващи линии (УКВ лентови кабели, двупроводни линии с въздушна изолация и пр.).

За пресмятане на нискочестотни филтри са необходими следните формули, изведени от уравн. (30.1) ÷ (30.6):

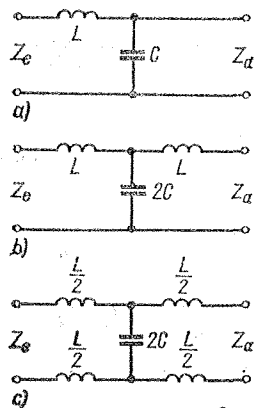
$$\text{индуктивност } L = \frac{Z}{\omega_{gr}}, \quad (30.7)$$

$$\text{капацитет } C = \frac{1}{\omega_{gr} Z}, \quad (30.8)$$

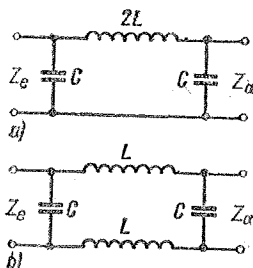
където  $L$  е в  $H$ ,  $Z$  е в  $\Omega$ ,  $\omega_{gr}$  е в  $Hz$ ,  $C$  е в  $F$ .

По-често за отстраняване на радиосмущенията вместо Т-образни схеми на нискочестотни филтри се използват П-образни (фиг. 30.6). Тези филтри са известни на всеки радиолюбител като Колинс-филтри.  $L$  и  $C$  за тази схема също се пресмятат по уравн. (30.7) и уравн. (30.8).

На практика при оразмеряването на Т-образните и П-образните схеми се получават малки разлики. Вълновото съпротивление на един нискочестотен филтър в областта на пропускане е реално, но с непостоянна стойност. При Т-образната схема то намалява

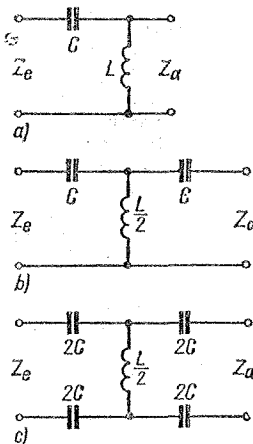


Фиг. 30.5. Т-образни нископропускателни филтри; а — несиметрично полузвено, б — несиметрично цяло звено, в — симетрично цяло звено

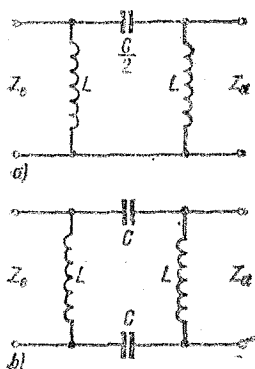


Фиг. 30.6. П-образни нискочестотни филтри; а — несиметрично П-образно звено, б — симетрично П-образно звено

при доближаване към граничната честота, докато при П-образната схема при същите условия то се повишава. Затова при пресмятане на Т-образни филтри импедансът на филтъра трябва да се приеме по-голям от вълновото съпротивление на захранващия кабел  $Z_S$ . Напротив, за П-образните схеми се приема по-малък импеданс на филтъра. На практика добри резултати се получават, ако импедансът на филтъра  $Z_{fi}$  се приеме равен на  $1,25 Z_S$  за Т-образните схеми и на  $0,8 \cdot Z_S$  за П-образните схеми. Ако например един Т-образен филтър трябва да се включи към коаксиален кабел с вълново съпротивление  $60 \Omega$ , импедансът на филтъра  $Z_{fi}$  се приема равен на  $1,25 \cdot 60 = 75 \Omega$ .



Фиг. 30.7. Т-образни високофреквентни филтри; а — несиметрично полузвено, б — несиметрично звено, в — симетрично звено



Фиг. 30.8. П-образни високочестотни филтри; а — несиметрично П-образно звено, б — симетрично П-образно звено

Ако ще се използва П-образна схема, при същите условия се получава  $Z_{\Pi} = 0,8 \cdot 60 = 48 \Omega$ .

### 30.2.2. Високочестотен (високопропускащ) филтър

Високочестотният филтър има свойството да пропуска всички честоти, по-високи от една определена гранична честота  $f_{gr}$ . Всички честоти, които са по-ниски от граничната честота, не се пропускат. Разликата спрямо ниско-честотните филтри се състои в това, че при високочестотните филтри в надлъжната верига е включен капацитет, а в напречната — индуктивност. И тук се прави разлика между Т-образни (фиг. 30.7) и П-образни (фиг. 30.8) схеми.

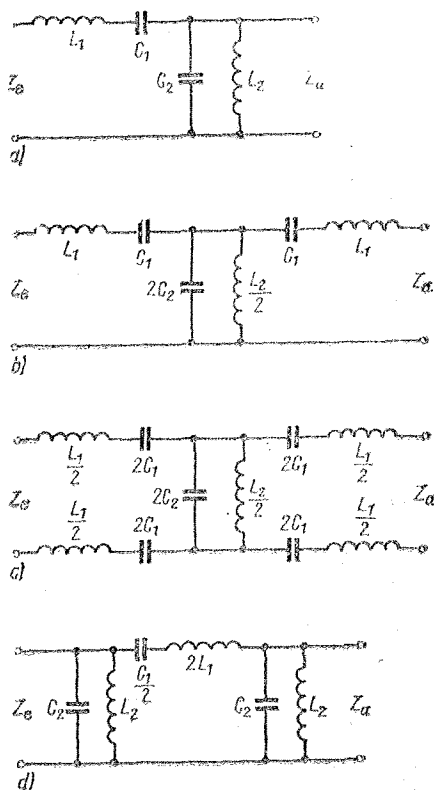
Формулите за пресмятане на  $L$  и  $C$ , дадени за ниско-честотните филтри (уравн. 30.7 и уравн. 30.8) са валидни и за високочестотните филтри. По същия начин за Т-образните схеми се приема  $Z_{\Gamma} = 1,25 Z_S$ , а за П-образните  $Z_{\Pi} = 0,8 Z_S$ . Общо взето, високочестотни филтри не са необходими за потискане на смущенията при предавателя. Те обаче често се поставят на входа на приемника — предимно при телевизионните приемници — за да отстранят смущенията, причинени от любителски радиопредаватели.

### 30.2.2. Лентов филтър

Както показва още самото име на филтъра, той пропуска определена че-

стотна лента. Тази честотна лента се ограничава от двете дефинирани честоти  $f_h$  (най-висока пропускана честота) и  $f_l$  (най-ниска пропускана честота).

Всички честоти, които са по-високи от  $f_h$  или по-ниски от  $f_l$ , не се пропускат. Както е показано на фиг. (30.9), лентовият филтър се състои от един последователен трептящ кръг ( $L_1-C_1$ ), включен в надлъжната верига, и един паралелен трептящ кръг ( $L_2-C_2$ ), свързан в напречната верига. При пресмятането на лентовия филтър от зададените горна гранична честота  $f_h$  и долна гранична честота  $f_l$  по уравн. (30.1) трябва да се изчислят кръговите честоти  $\omega_h$  и  $\omega_l$ . След това чрез  $f_h$  и  $f_l$  се определя средната резонансна честота  $f_m$  (сре-



Фиг. 30.9. П- и Т-образни лентови филтри; а — несиметрично полузвено, б — несиметрично Т-образно звено, в — симетрично Т-образно звено, д — несиметрично П-образно звено

дата на пропускания честотен обхват) и средната кръгова резонансна честота. След като са установени стойностите на  $\omega_h$ ,  $\omega_l$  и  $\omega_m$ , елементите на филтъра могат да бъдат пресметнати по следните формули:

$$L_1 = \frac{Z}{(\omega_h - \omega_l)}, \quad (30.9)$$

$$L_2 = \frac{Z \cdot (\omega_h - \omega_l)}{\omega_m^2}, \quad (30.10)$$

$$C_1 = \frac{\omega_h - \omega_l}{\omega_m^2 \cdot Z}, \quad (30.11)$$

$$C_2 = \frac{1}{Z \cdot (\omega_h - \omega_l)}, \quad (30.12)$$

където  $L$  е в Н,  $Z$  е в  $\Omega$ ,  $\omega$  е в Нз,  $C$  е в F.

Горните уравнения се отнасят за Т-образните и П-образните схеми на лентови филтри, показани на фиг. (30.9).

#### 30.2.4. Режекторен филтър

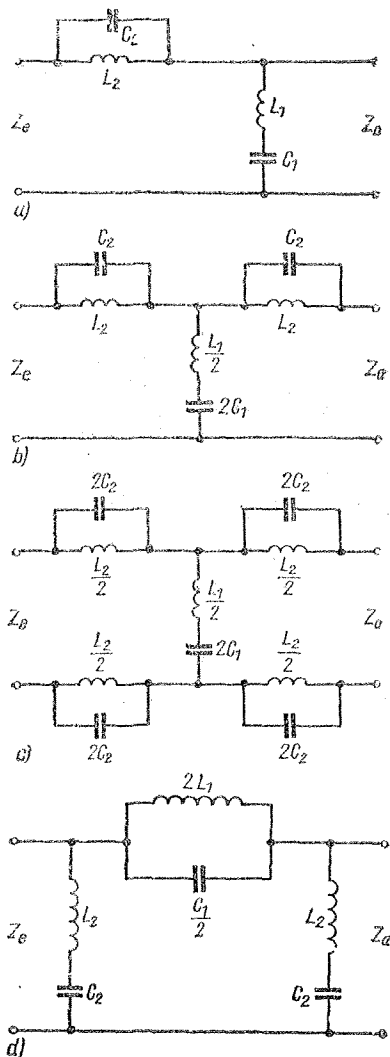
Режекторният филтър има област на непропускане, която се ограничава от определените честоти  $f_a$  и  $f_l$ . Всички честоти, които са по-високи от  $f_h$  или по-ниски от  $f_l$ , се пропускат. Както е показано на фиг. (30.10), в надлъжната верига на режекторния филтър е включен паралелен трептящ кръг, а в напречната — последователен трептящ кръг.

Елементите на режекторните филтри се изчисляват по формулите (30.9) ÷ (30.12). По същия начин се определят и заместват  $\omega_h$ ,  $\omega_l$  и  $\omega_m$ . Следователно изчислението не се отличава от това на лентовия филтър. Единствено чрез размятането на паралелните и последователните трептящи кръгове областта на пропускане се превръща в област на непропускане и обратно.

Импедансът на режекторния филтър при Т-образна схема също трябва да се приеме равен на  $1,25 Z_S$ , а при П-образна схема — на  $0,8 Z_S$ .

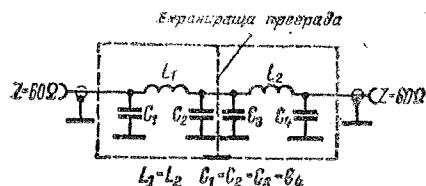
#### 30.2.5. Практически изработени антени филтри

В любителската практика най-популярното средство за потискане на вис-



Фиг. 30.10. Режекторни Т- и П-образни филтри; а — несиметрично полузвено, б — несиметрично Т-образно звено, в — симетрично Т-образно звено, д — несиметрично П-образно звено

шите хармонични е Колинс-филтърът. Той представлява един обикновен П-образен нископропускателен филтър. При правилно оразмеряване и настройка той в много случаи осигурява ефективно потискане на висшите хармонични.



Фиг. 30.11. Несиметричен двоен П-образен нископропускащ филтър

Изчислениято и настройката на Колинс-филтъра са описани в раздел 8.1.1.1.

При големи изходни мощности и при възбуждане на крайното стъпало на предавателя, работещо в клас С, с голям сигнал, се случва висшите хармонични да достигнат през захранващия кабел до антената и да бъдат излъчени. Ако антената се захранва чрез коаксиален кабел и ако той е съгласуван правилно, към вътрешния проводник на кабела може да се включи един нископропускащ филтър (вж. фиг. 30.11). Той се състои от два П-образни филтъра с постоянна настройка и потиска втората хармонична с около 30 dB, третата хармонична с около 48 dB и четвъртата хармонична с около 60 dB.

Теоретически потискането на висшите хармонични нараства непрекъснато с повишаване на поредния номер на хармоничната на основната честота, но на практика при много високи честоти поради комплексния характер на схемните елементи и на паразитните реактansi на свързващите проводници то има крайна стойност.

Филтърът се вгражда в метална кутия, затворена от всички страни. Двете

секции на филтъра са разделени чрез екранираща преграда, поставена в средата на металната кутия. Кутията се свързва по най-късия път с нулевия потенциал на крайното стъпало на предавателя. Такива антенни филтри се оразмеряват оптимално поотделно за всеки любителски обхват, като използването им се ограничава само за любителските обхвати, в които при работа може да се очаква появяване на радиосмущения. При използване на елементи без загуби преходното затихване (затихването на полезния сигнал) е по-малко от 0,5 dB.

Ако се използват капацитети и индуктивности със стойност, посочена в табл. 30.1, филтърът може да се включи за работа без специална настройка.

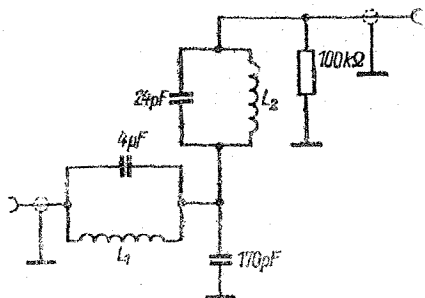
Всички бобини се навиват свободно (без тяло) от проводник с дебелина 2 mm; необходимата стойност на индуктивността се нагласява чрез свиване или разтягане на бобината. Радиолюбителите рядко имат на разположение измерител на индуктивности, затова настройката се извършва с гриддип-метър. За целта отначало двата кондензатора  $C_2$  и  $C_3$  се дават накъсо, като свързващият проводник, преминаващ през екраниращата преграда, се дава на маса чрез две медни ленти. Така се получават два независими един от друг паралелни трептящи кръга ( $L_1-C_1$  и  $L_2-C_4$ ), които трябва да бъдат настроени на работната честота чрез деформиране на бобините. Настройката се контролира с гриддип-метър. След това двете ленти за късо съединение се отстраняват и филтърът е готов за използване.

Таблица 30.1. Данни за оразмеряване на нископропускащ филтър (фиг. 30.11)

Любителски обхват, m	Капацитети $C_1 \div C_4$ в pF	Индуктивности $L_1$ и $L_2$ в $\mu$ H	Данни за $L_1$ и $L_2$		
			диаметър в mm	дължина в mm	брой на нав.
80	820	2,2	25	50	13
40	390	1,3	25	25	8
20	220	0,57	20	20	7
15	150	0,38	13	18	6
10	100	0,30	13	22	6

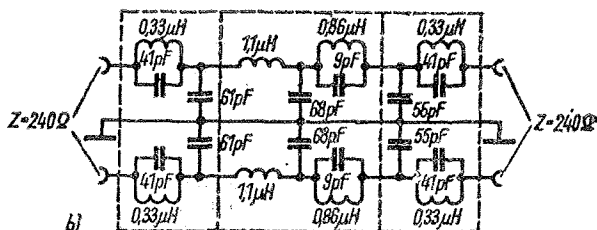
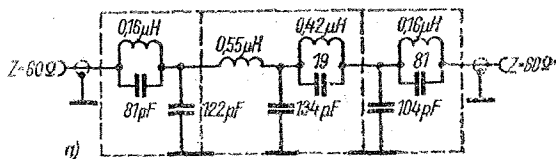
Кондензаторите трябва да са без загуби; не се поставят особено високи изисквания по отношение на пробивното им напрежение. При високочестотна мощност напр. 100 W напрежението по един коаксиален захранващ кабел е около 110 V и при анодна модулация се повишава в съответствие с модулиращия сигнал. Керамични кондензатори с изпитвателно променливо напрежение 350 V могат да се използват при мощности до 100 W. Трябва обаче да се установи точно, че в захранващата линия липсват стоящи вълни (точно съгласуване), защото в противен случай се появяват пикове на напрежението, които разрушават кондензаторите.

Компактният филтър, показан на фиг. 30.12, се използва от фирмата Motorola за радиопредаватели, монтирани в превозни средства, и е годен за приложение като нискочестотен филтър в любителските обхвати с честота до 30 MHz. Няма екранировка между двете звена на филтъра. Осите на двете бобини  $L_1$  и  $L_2$  са разположени на  $90^\circ$ . Така взаимното влияние на бобините е минимално. Съпротивлението 100 k $\Omega$ /0,5 W служи за отвеждане на статичните заряди от антената при мобилна работа. Този компактен филтър може да се помести в екранирана кутийка вътре в късовълновия предавател.



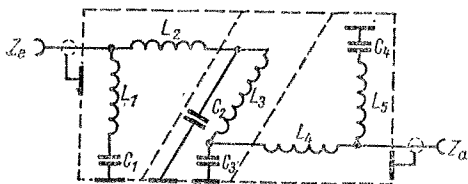
Фиг. 30.12. Компактен нископропускателен филтър за маломощни късовълнови предаватели ( $L_1 = L_2$ , 8 нав. от меден проводник с диаметър 1 mm, навита една до друга върху тяло с диаметър 6 mm)

Тризвеният нискочестотен филтър (фиг. 30.13) удовлетворява по-високи изисквания за потискане на висшите хармонични. Несиметричният филтър (фиг. 30.13a) е предназначен за свързване към коаксиален захранващ кабел с вълново съпротивление 60  $\Omega$ ; симетричният филтър (фиг. 30.13б) се използва при симетрични лентови кабели с вълново съпротивление 240  $\Omega$ . Филтърът е монтиран в екранирана кутия с три отделения. Областта на непропускане започва при 35 MHz, така могат да се потиснат всички смущения в обхватите за УКВ радиоразпръскване.



Фиг. 30.13

Подобрен тризвения нискочестотен филтър, пропуска честоти до 35 MHz; а — несиметричен филтър, предназначен за използване с коаксиален кабел с вълново съпротивление 60  $\Omega$ , б — симетричен филтър за 240- $\Omega$  лентов кабел



Фиг. 30.14. Несиметричен тризвенов филтър, пропускащ честоти до 35 МHz

и телевизия. В цялата област на непропускане затихването на висшите хармонични е между 60 и 70 dB. Такива филтри могат да се прилагат при всички късовълнови предаватели, чиято работна честота е под 30 МHz.

На фиг. 30.14 е показана една подобна схема на нискочестотен филтър. Това е също един тризвенов филтър, който е поместен в три екранирани камери. Докато в схемата, показана на фиг. 30.13, в надлъжното рамо на филтъра са включени паралелни трептящи кръгове, тук в напречното рамо са поставени последователни трептящи кръгове. Резонансните кръгове служат за увеличаване на стръмността на кривата на затихването при прехода към областта на непропускане. Паралелните резонансни кръгове, включени в надлъжното рамо на филтъра, действуват като *ре-зекторни* филтри за резонансната си честота, т. е. те не пропускат сигнал с такава честота. Последователните трептящи кръгове в напречното рамо на филтъра са *поглъщащи* кръгове. Те пропускат без затихване сигнал с резонансната им честота и по този начин го отвеждат към нулевия потенциал;

всички останали честоти не се пропускат. Затова практически резултатът от действието на двата вида филтри е еднакъв. В табл. 30.2 са дадени данни за оразмеряване на такива филтри и честотите на настройка, които ще бъдат пояснени допълнително. Данните са усреднени за обичайните стойности на вълновото съпротивление на коаксиалните кабели — 52 Ω, 60 Ω и 75 Ω.

Всички бобини се изработват от лакиран меден проводник с диаметър от 1,5 до 2 mm. Те се навиват върху тяло с диаметър 11 mm, така че вътрешният диаметър на бобините след изваждане на тялото е от 12 до 13 mm.

За правилната настройка на филтъра е необходим един гриддинметър с честотен обхват от 20 до 50 МHz. Първоначално двете бобини  $L_2$  и  $L_4$  се изваждат от филтъра; входната клемма  $Z_E$  и изходната клемма  $Z_A$  се свързват на късо към маса (към екранировката). Така се създават три независими един от друг паралелни трептящи кръга:  $L_1-C_1$ ,  $L_5-C_4$  и  $L_3-C_2-C_3$ . Чрез свиване или разтягане на бобината  $L_1$  кръгът  $L_1-C_1$  се настройва на честота  $f_1$ , посочена в табл. 30.2 (кон-

Таблица 30.2. Данни за оразмеряване и честоти на настройка на нископропускащ филтър (фиг. 30.14)

	Импеданс на филтъра		
	52 Ω	60 Ω	75 Ω
Капацитети $C_1, C_4$	50 pF	46 pF	35 pF
Капацитети $C_2, C_3$	170 pF	150 pF	120 pF
Данни за $L_1$ и $L_5$	5 нав.	5,5 нав.	6 нав.
Данни за $L_2$ и $L_4$	8 нав.	9 нав.	11 нав.
Данни за $L_3$	9 нав.	10,5 нав.	13 нав.
Гранична честота $f_{gr}$	36 МHz	36 МHz	36 МHz
Честота на настройка $f_1$	44,4 МHz	45,5 МHz	47 МHz
Честота на настройка $f_2$	25,5 МHz	25,4 МHz	25,2 МHz
Честота на настройка $f_3$	32,5 МHz	32,2 МHz	31,8 МHz

тролира се с гриддипметър). По същия начин се настройва и кръгът  $L_5-C_4$ . След това чрез изменение на бобината  $L_3$  кръгът  $L_3-C_2-C_3$  се настройва на честотата  $f_2$ . Накрая внимателно се отпооява настроената бобина  $L_3$ , при това тя не трябва да се деформира повече. Едновременно се отстраняват мостчетата за късо съединение, свързани към входната и изходната клемма, и бобините  $L_2$  и  $L_4$  се поставят обратно в екранираната кутия. Бобината  $L_2$  се променя механически така, че гриддипметърът да отчете резонанс на цялата система  $C_1-L_1-L_2-C_2$  при честота  $f_3$ . При тази настройка  $L_1$  не бива да се променя. По същия начин чрез бобината  $L_4$  се настройва системата  $C_4-L_5-L_4-C_3$  (честота на настройка също  $f_3$ ). Настроената вече бобина  $L_3$  внимателно се поставя обратно в кутията; с това филтърът е настроен и е готов за работа. Препоръчва се още една проверка на настройката с гриддипметъра. Всяка от бобините (от  $L_1$  до  $L_5$ ) трябва да има резонансна честота около 36 MHz. Това е граничната честота  $f_{gr}$ , от която започва областта на непроникване.

Висшите хармонични, създадени от крайното стъпало на един предавател за 144 MHz, попадат в честотните обхвати 288÷292 MHz, 432÷438 MHz, 576÷584 MHz и т. н. Те биха могли да предизвикат смущения само в каналите на IV/V телевизионен обхват (канал 34 до 35 и канал 52 до 53). За съжаление обаче умножителите на че-

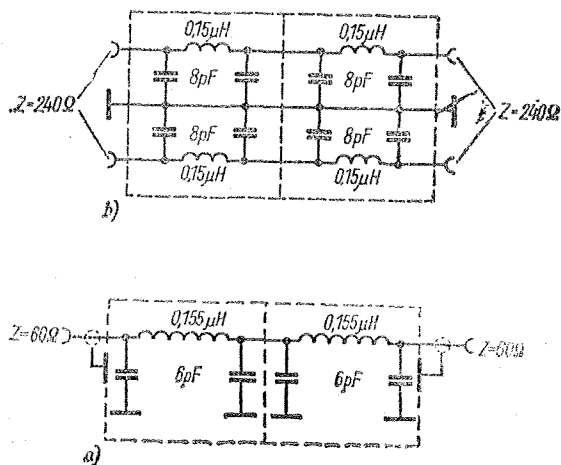
стота, поставени преди крайното стъпало, освен полезната висша хармонична генерират и цяла поредица от нежелани хармонични, които могат да се усилят, умножат и смесят от крайното стъпало. Затова често е необходимо предавателите в обхвата 2 m да се снабдят с филтър за отстраняване на смущенията и в трети телевизионен обхват.

На фиг. 30.15 е показан двузвенов нискочестотен филтър (симетричен и несиметричен) за предавател в обхвата 2 m. Данни за стойностите на елементите са дадени във фигурата. Може да се използва и филтърът от фиг. 30.14 (разбира се, след съответно преобразяване). Тогава въз основа на табл. 30.2 се получават следните данни:

$$\begin{aligned} C_1, C_4 &= 10 \text{ pF}; & C_2, C_3 &= 40 \text{ pF}; \\ L_1, L_5 &= 3 \text{ нав.}; & L_2, L_4 &= 2 \text{ нав.}; \\ & & L_3 &= 5 \text{ нав.} \end{aligned}$$

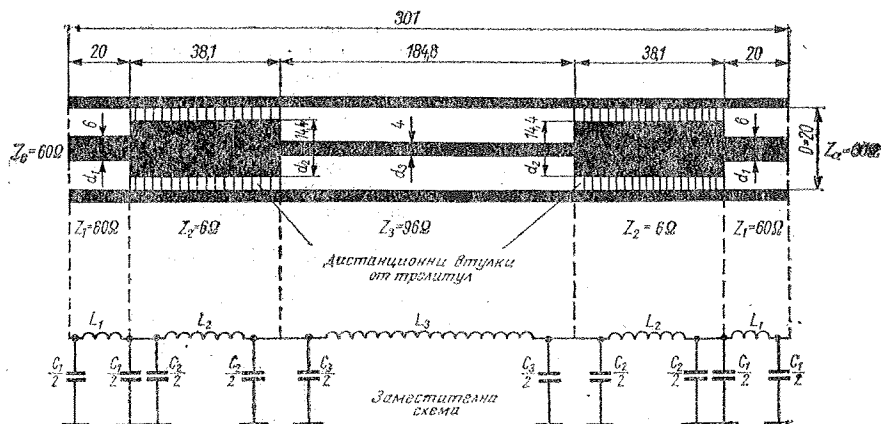
Бобините са изработени от лакиран меден проводник с диаметър 1 mm и се навиват върху тяло с диаметър 6 mm. Настройката е аналогична на описаната по-горе за филтри на предаватели, работещи в късовълновите обхвати. Трябва да се спазят следните честоти за настройка:  $f_{gr}=160$  MHz; честота на настройка  $f_1=200$  MHz;  $f_2=112$  MHz;  $f_3=144$  MHz.

Един предавател за обхвата 2 m може да смущава не само приемането на телевизионни програми, но и работата на голям брой важни радиослужби,

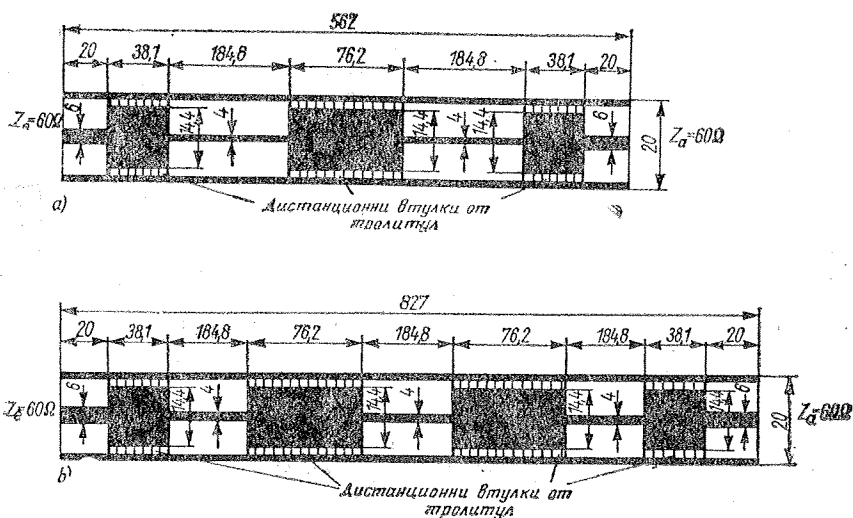


Фиг. 30.15

П-образен нископропускателен филтър за предаватели за обхвата 2 m; а — несиметричен филтър за коаксиален кабел с вълново съпротивление 60 Ω, б — симетричен филтър за лентов кабел с вълново съпротивление 240 Ω



Фиг. 30.16. Коаксиален нискофреотен филтър за предавател за обхвата 2 м, предложен от ДИЗОС, и еквивалентна схема на филтъра (данните са в mm, чертежите не са в мащаб)

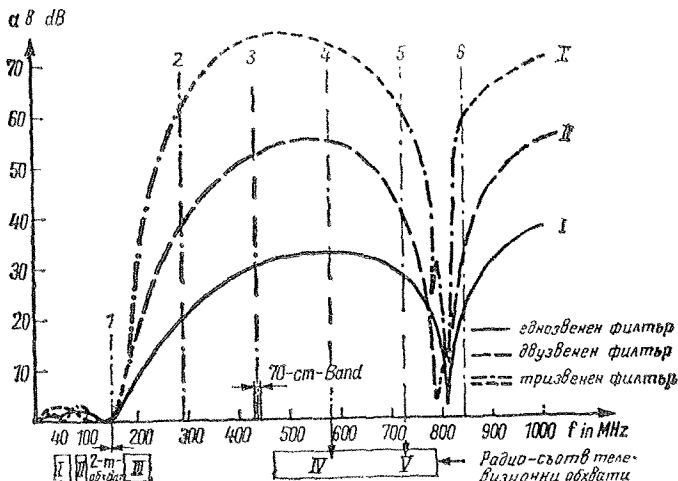


Фиг. 30.17. Многозвенов нискофреотен филтър, предложен от ДИЗОС; а — коаксиален двузвенов П-образен филтър, б — коаксиален тризвенов П-образен филтър (данните са в mm, не са в мащаб)

които използват УКВ- и СВЧ-обхватите. Затова с право към потискането на паразитните излъчвания на УКВ-предавателите се поставят строги изисквания. Съществуващите висши хармонични освен това могат да компрометират резултатите от измерването на проходящата мощност, защото мощ-

ността на висшите хармонични също се включва в тях. Не винаги филтрите, конструирани от обикновените, концентрирани елементи (бобини и кондензатори), водят до пълен успех в СВЧ обхвата, защото индуктивностите на свързващите проводници и паразитните собствени резонанси на бобините





Фиг. 30.18. Измерен ход на затихването при едно- и много-сечни коаксиални нископропускателни филтри за 145 MHz

тук могат да се окажат решаващи. При това едва ли е възможно с любителски средства да се извърши точна настройка на филтър за СВЧ-обхвата. Тези трудности отпадат, ако се изработи коаксиален филтър за УКВ- и СВЧ-обхватите. Такива филтри с формата на част от двупроводна линия, която работи като трептящ кръг, са конструирани и описани за първи път от *DJ3QC*. При изработката им е необходима малко повече механична работа, но те са много компактни, имат отлично заградително действие и не изискват никаква настройка.

На фиг. 30.16 е показано напречното сечение на един прост коаксиален нискофреkwотен филтър, предложен от *DJ3QC*. Външният проводник се състои от месингова или медна тръба с дължина 301 mm и вътрешен диаметър 20 mm. Металният вътрешен проводник е разделен на секции с различни диаметри. Двата отрязъка от вътрешния проводник с диаметър 14,4 mm се покриват с подходяща изолационна втулка, която, от една страна, действа като диелектрик, а от друга — осигурява стабилното механично закрепване на вътрешния проводник във външната тръба. В оригиналната конструкция са използвани втулки от *тефлон*. Подходящи са и други висококачествени

пластмаси — *пролилул*, *полиетилен* или *полистирол*. От двете страни на филтъра се включват подходящи букси за коаксиален кабел с вълново съпротивление 60  $\Omega$ , които не са показани на фиг. 30.16.

На фиг. 30.16 е показана и пълната заместителна схема на филтъра. Взега е предвид, че всеки отрязък от линията сам за себе си трябва да се разглежда като П-образно звено. В този случай всички индуктивности и емкости са честотно независими. Пресмятането на елементите на филтъра трябва да стане въз основа на точната заместителна схема. Това пресмятане е просто, но изисква много време и на практика може да се извърши само с помощта на сметачна машина. При размерите, изчислени от *DJ3QC*, се постигат оптимални стойности на елементите.

Кривата на затихването на едносечния филтър (фиг. 30.16) още в III телевизионен обхват показва стойности около 8 dB, втората хармонична (290 MHz) затихва с 20,5 dB; първият максимум на затихването (33 dB) съвпада с четвъртата хармонична на работната честота. Останалите стойности на затихването могат да се видят на фиг. 30.18. Затихването в права посока за честота 145 MHz е по-малко от 0,1 dB.

Както показва фиг. 30.17, няколко

отделни филтъра могат да бъдат включени последователно. При това винаги средните 6- $\Omega$ -отрязъци от линията с дължина 38,1 mm се обединяват в един с обща дължина 72,6 mm. Потискането на висшите хармонични при многозвучен филтър нараства и кривите на затихването стават по-стръмни. На фиг. 30.17а са дадени размерите на един двузвучен П-образен филтър. На фиг. 3.17б е показан един тризвучен филтър. Кривите на затихването, измерено при различни видове филтри, са показани на фиг. 30.18. Забелязва се, че съществува известно затихване и за честотите под 144 MHz. Следователно честотите 48 MHz, 72 MHz и останалите странични честоти, съществуващи в този обхват, също се подтискат до известна степен. За четвъртата и петата хармонична на предавателя, работещи в обхвата 2 m, които застрашават приемането на телевизионна програма в каналите от IV/V обхват, затихването е много голямо.

Същите филтри могат да се изработят и за любителските предаватели, работещи в обхвата 70 cm, като всички дължини се намалят до 1/3 от посочените на фиг. 30.16 и фиг. 30.17 стойности.

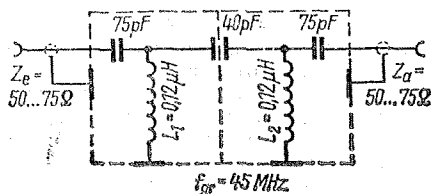
Всички филтри достигат пълна ефективност само когато входното им съпротивление  $Z_E$  е точно съгласувано към изхода на предавателя, а изходното им съпротивление  $Z_A$  — към вълновото съпротивление на използваната захранваща линия. Това означава едновременно, че и антената е настроена в резонанс и е съгласувана към захранващата линия. Както е известно, стоящите вълни в захранващата линия пречат на съгласуването и с това влияят на действието на филтъра. При обсъждането на различните видове излъчватели и на захранването им вече беше посочена различната „склонност“ на антените да излъчват смущаващите честоти. Основно правило е, че най-малко смущение предизвикват антенни системи с точно съгласувани нискомни захранващи линии. Към точното съгласуване спада и запазването на симетрията, т. е. един коаксиален кабел може да бъде свързан към симетрична антена само чрез преобразувател на симетрията.

Въпреки всички мерки за потискане на смущенията, взети при предавателя,

при много приемници се появяват радиосмущения, които могат да се отстранят само при смущавания приемник. В повечето случаи причина за смущението не е несвършенство на любителския предавател, а техническите недостатъци на приемника. Най-често поради недостатъчната селекция на входния кръг мощният сигнал на любителския предавател нахлува в приемника и предизвиква различни смущаващи ефекти. Така например може да се задейства системата за АРУ, която да доведе до по-силно или по-слабо запущване на стъпалата на междиночестотния усилвател на приемника. Освен това могат да се появят нежелани процеси на смесване и детекция, които в зависимост от мястото на възникване причиняват различни смущения и могат да се отразят даже на работата на нискочестотния усилвател. Ако излъчването на един любителски предавател попада в УКВ-или телевизионния приемник чрез приемната антена, почти винаги може да се помогне с един високочестотен филтър, който се включва към антенния вход на смущавания приемник. Режекторни или поглъщащи кръгове, оразмерени за честотата на смущаващия предавател, биха свършили същата работа, но те би трябвало да се сменят или превключват при промяна на честотата на смущаващия предавател.

Затова се предпочитат високочестотни филтри, които са ефективни при отстраняване на смущения, предизвикани от късовълнови любителски радиопредаватели.

Подходящи високочестотни филтри могат да се пресметнат по формулите (30.1) ÷ (30.8), като е целесъобразно да се избере гранична честота  $f_g$  от 35 до 45 MHz. Тези филтри действуват само при телевизионните и УКВ радиоприемници. На фиг. 30.19 е показан един изпробван филтър с гранична честота 45 MHz. Той трябва да се използва при коаксиални антенни отводи с вълново съпротивление между 50 и 75  $\Omega$ . Друг високочестотен филтър, предназначен за включване към лептови кабели с вълново съпротивление от 240 до 300  $\Omega$ , е показан на фиг. 30.20. Граничната честота на този филтър също е 45 MHz. Екранираните кутии, в които се поставят филтрите, могат да се изработят лесно от фо-

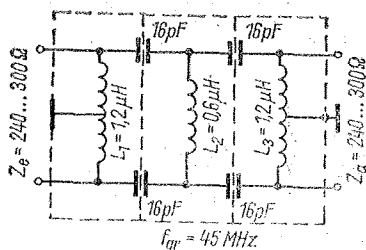


Фиг. 30.19. Несиметричен високочестотен филтър за телевизионни приемници, свързани с антената чрез коаксиален кабел. Данни за бобините: дължина на бобината около 12 mm, диаметър на проводника 1 mm, диаметър на тялото 6 mm,  $L_1$  и  $L_2$  имат по 7 нав.

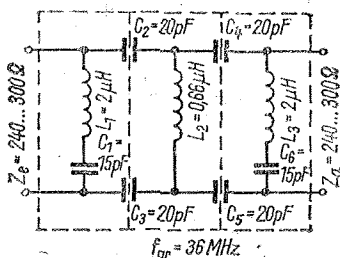
лиран материал (използуван за печатни платки). При телевизионните приемници с безтрансформаторно захранване не бива да съществува директен галванически контакт между филтъра и шасито на приемника. Затова заземяването на филтъра винаги трябва да става през разделителен кондензатор с високо пробивно напрежение (около 1000 V).

На фиг. 30.21 е показана схемата на един високочестотен филтър с повишена стръмност на прехода от зоната на непропускане към зоната на пропускане. Този филтър има долна гранична честота 36 MHz. Той е симетричен и е пригоден за включване към симетричен антенен вход на приемник (входно съпротивление от 240 до 300 Ω). Стойностите на индуктивностите са ориентировъчни, точните стойности се подбират при настройката. Ако  $L_1$  се включи паралелно на  $C_1$ , а  $L_3$  — паралелно на  $C_3$ , получените паралелни трептящи кръгове трябва да имат резонансна честота 29 MHz. Тази честота се измерва с гридипметър. Преди да се постави във филтъра, бобината  $L_2$  също се включва паралелно на един кондензатор с капацитет 100 pF. Полученият паралелен трептящ кръг трябва да има резонансна честота 20 MHz. Бобините, настроени по този начин, се лакират и се вграждат в схемата на филтъра. Понякога е възможно обезсмутяването на телевизионните приемници да се извърши със съвсем прости средства. Така напр. между антенните букси на приемника и симетричния вход на превключвателя на телевизионните канали може да се включи един прост симетричен високочестотен филтър (фиг. 30.22a). Бобината  $L_1$  е изра-

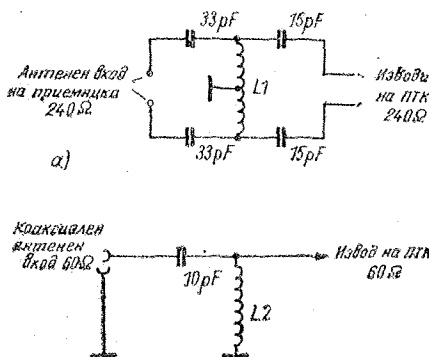
ботена от лакиран меден проводник с диаметър 0,6 mm, диаметърът на бобината е 6 mm, навивките са разположени плътно една до друга. Тази бобина има 12 нав. за I-ви обхват (CCIR) и 6 нав. за III-ти обхват. Кондензаторите са керамични. Ако превключвателят на телевизионните канали има несиметричен вход, понякога е достатъчно да се включи едно несиметрично ползувано на високочестотен филтър (фиг. 30.22b). Бобината  $L_2$  е оформена конструктивно, както бобината  $L_1$ , но има двойно по-малко навивки (I-ви обхват — 6 нав., III-ти обхват — 3 нав.).



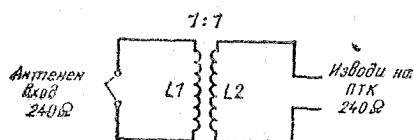
Фиг. 30.20. Симетричен високочестотен филтър за телевизионни приемници, свързани с антената чрез лентов кабел. Данни за бобините:  $L_1$  и  $L_3$  са с по 17 нав.; със среден извод, диаметър на проводника 0,5 mm, навивките са навити плътно една до друга върху цилиндрично тяло с диаметър 6 mm;  $L_2$  има 12 нав., диаметър на проводника 0,5 mm, диаметър на тялото 6 mm.



Фиг. 30.21. Високочестотен филтър с повишена стръмност на прехода от зоната на непропускане към зоната на пропускане. Данни за бобините:  $L_1$  и  $L_3$  са с по 24 нав., дължина на навивката около 15 mm, диаметър на проводника 0,32 mm, цилиндрично тяло с диаметър 6 mm;  $L_2$  е с 14 нав., навити плътно върху цилиндрично тяло с диаметър 6 mm, диаметър на проводника 0,32 mm, дължина на бобината около 15 mm.



Фиг. 30.22. Прости височестотни филтри за телевизионни приемници; а — симетричен височестотен филтер за 240-Ω-кабел, б — несиметрично височестотно полузвено (60 Ω)



Фиг. 30.23. Височестотен разделителен трансформатор за телевизионни приемници с коефициент на трансформация 1:1.  $L_1 = L_2$ , I обхват —  $2 \times 10$  нав., III обхват —  $2 \times 6$  нав. от проводник с диаметър 1 mm, навити бифаларно върху тяло с диаметър 7 mm



Фиг. 30.24. Отворен четвъртвълнов шлейф; а — за симетрични лентови кабели, б — за несиметрични коаксиални кабели

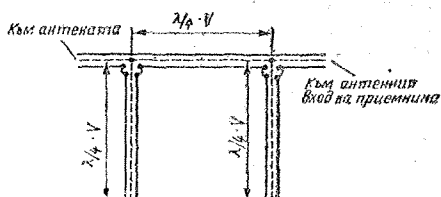
Много ефективни могат да бъдат и височестотните разделителни трансформатори с коефициент на трансформация 1:1 (фиг. 30.23). Те би трябвало да се запояват непосредствено към входните изводи на превключвателя на телевизионните канали. Такива разделителни трансформатори могат да се използват за потискане на смущаващи късовълнови и средновълнови сигнали. Трансформаторът се включва преди широколентов антенен усилвател.

Мощните любителски предаватели,

работещи в обхвата 2 m, могат да повлияят на приемането на телевизионната програма от телевизионни приемници, разположени близо до предавателя. В най-лекия случай смущението се изразява чрез намаляване на контраста на приеманото изображение. В този случай вината не е в любителския предавател, а в недостатъчната избирателност на входния кръг на приемника. Най-често е достатъчно близо до антенния вход на телевизионния приемник да се включи отворен четвъртвълнов шлейф, настроен на работната честота на предавателя от обхвата 2 m. Един такъв отворен четвъртвълнов шлейф, изработен от същия тип кабел, както и захранващия кабел, действа като поглъщащ кръг (последователен трептиц кръг) за смущаващата честота и потиска сигналите с тази честота с 35 до 45 dB. При оразмеряване на четвъртвълновия шлейф (фиг. 30.24) трябва да се вземе предвид коефициентът на скъсяване на използвания кабел. Същото действие има и затвореният шлейф с дължина  $\lambda/2$  (вж. фиг. 5.29). Такива шлейфове се включват и като поглъщащи кръгове за смущаващи честоти от УКВ обхвата (преди широколентови антенни усилватели).

Ако затихването на един четвъртвълнов шлейф не е достатъчно, на разстояние  $\lambda/4$  от него в захранващата линия може да се включи втори шлейф от същия тип (фиг. 30.25). Тогава потискането на смущаващия сигнал стага двойно по-голямо и възлиза на около 70 dB.

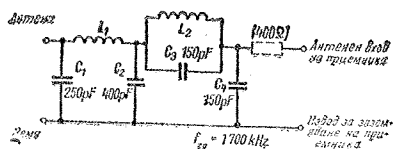
При пресмятането на разстоянието от  $\lambda/4$  между двата шлейфа също трябва да се има предвид коефициентът на скъсяване на използвания кабел. Шлейфовете, оразмерени за честота 145 MHz, затихват с около 12 dB и полезния сигнал в началото на трети телеви-



Фиг. 30.25. Двоен четвъртвълнов шлейф за коаксиални захранващи кабели

зионен обхват (5-и канал CCIR). Потискането на полезния сигнал в по-високочестотните канали намалява и достига до около 0 dB в 12-и канал.

Когато радиоприемането на средни или дълги вълни се смуцава от работната вълна на любителския предавател, не помагат никакви високочестотни филтри. В този случай трябва да се поставят нискочестотни (нископропускателни) филтри, които потискат всички честоти, по-високи от 1700 kHz. Един такъв нискочестотен филтър е показан на фиг. 30.26. Бобините  $L_1$  и  $L_2$  не трябва да имат взаимна връзка, затова техните оси са изместени на  $90^\circ$  една спрямо друга. Понякога тези филтри работят по-добре, ако между изхода на филтъра и антенната бухса на приемника се включи въглеродослойно съпротивление със стойност 400  $\Omega$ . Това съпротивление е начертано с прекъсната линия. Разбира се, един такъв филтър пречи на приемането на късовълновите сигнали, защото тяхната честота не се пропуска от филтъра.



Фиг. 30.26. Нискочестотни филтри за АМ-радиоприемници без къси вълни. Данни за бобините:  $L_1=65$  нав., диаметър на проводника 0,65 mm, диаметър на цилиндричното тяло 38 mm, навивките са навити плътно една до друга;  $L_2=41$  нав., другите данни са същите, както за  $L_1$ . Не трябва да има никаква взаимна връзка между двете бобини

Даже най-добрите филтри, включени между кабела на антената и входа на приемника, не помагат, ако смуцаващите честоти не идват от антената а попадат направо в най-често недостатъчно екранираните стъпала на приемника или навлизат в него по други пътища. В такива случаи е необходимо да се направят изменения в приемника, чието описание излиза извън рамките на тази книга.

## 31. Антенни измерителни уреди

Всеки радиолюбител знае, че един саморъчно направен приемник или предавател след механичното изработване трябва да се настрои точно, защото едва тогава може да се очакват добри резултати от вложения труд. За съжаление това не е все още общо прието и за саморъчно изработените любителски антени. Едва след като е извършена точна настройка на антената и това е проверено с измерителни уреди, антената ще работи в оптимални условия.

Най-благоприятни условия за работа на антенната система могат да се създадат само ако радиолюбителят разполага поне с минимален брой измерителни уреди. Индустриално произведените прецизни измерителни уреди са много скъпи и затова те са недостъпни за радиолюбителите. Радиолюбителите са принудени сами да конструират необходимите измерителни уреди, като при това се отказват от максимално възможната точност на измерване, която всъщност не е необходима за практиката.

Собственоръчно изработените измерителни съоръжения за съгласуване на антената в никакъв случай не са сложни и не изискват скъпи специални части. Това се отнася особено за такива антенни системи, които се захранват чрез

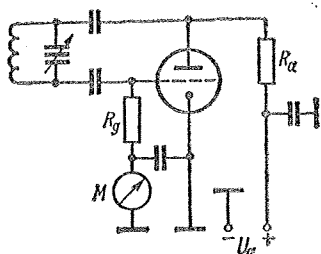
коаксиален кабел. В този случай минималното обзавеждане се състои от един гриддипметър, който и без това винаги е необходим, и от един рефлексометър. Тези уреди могат да се изработят с малко разходи. Съществува още цяла поредица измерителни уреди, които опростяват работата при съгласуване на антената, или с чиято помощ могат да бъдат определени някои параметри на антените. Те обаче не са безусловно необходими за работната настройка на антената (за най-добро съгласуване).

По-долу са описани най-важните антенни измерителни уреди, които могат да бъдат изработени от радиолюбители.

### 31.1. Гриддипметър и подобни измерители на резонанса

Известният гриддипметър е един измерител на резонанс с разнообразно приложение. Затова той може да се счита за основен измерителен уред в една любителска станция. Главната област на приложение на този уред е установяването и приблизителното измерване на резонансната честота на трептящите кръгове. При определени условия той може да се използва и за настройка на антени. Гриддипметърът се използва и като високочестотен генератор за захранване на мостови измерители на импеданс.

На фиг. 31.1 е показана първоначалната форма на гриддипметъра. Това е една обикновена схема на генератор с променяща се честота на генерация. Във веригата на управляващата решетка на лампата на генератора е включен измерителен уред, който при генерация измерва винаги съществуващия решетъчен ток. Ако кръговата bobина на осцилатора се доближи до друг трептящ кръг и ако двата кръга



Фиг. 31.1. Основна схема на гриддипметър

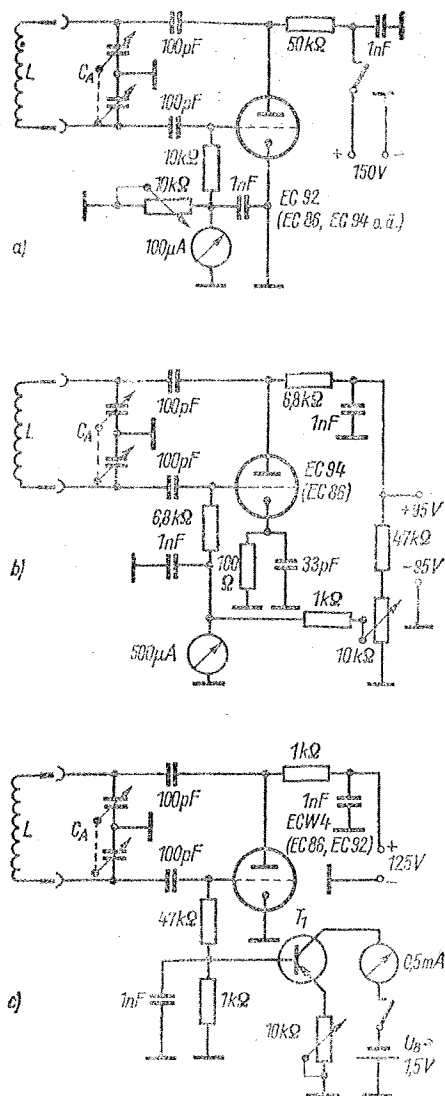
са в резонанс, то вторият, изследван кръг отнема енергия от кръга на генератора и това се установява по силното или по-слабо спадане на решетъчния ток. Механичната конструкция на гриддииметъра няма никакви особености; подробности могат да се намерят в литературата за радиоприемители. При описаните по-долу изпробвани схеми на гриддииметри за подобра нагледност са пропуснати захранващото и някои спомагателни стъпала (гонимодулатор и пр.). Ориентировъчни конструктивни данни на всички конструкции за измерване на резонансната честота на трептящи кръгове са дадени общо в таблична форма.

### 31.1.1. Еднолампови схеми с универсално приложение

При схемите, показани на фиг. 31.2, е използвана характерната за всички гриддииметри схема на генератор на Колинти. Предимството на тази схема е това, че не е нужна нито бобина за обратна връзка, нито извод от бобината, защото трептенията се генерират чрез използването на кондензаторен делител на напрежение. Бобините са разделени от постоянно напрежение, те нямат и галваническа връзка с пувелия потенциал на схемата. В схемата, показана на фиг. 31.2а, чувствителността на индикацията се нагласява чрез потенциометър (със стойност около 10 kΩ), който служи едновременно като допълнително утечно решетъчно съпротивление и като шунт на измерителен уред.

На фиг. 31.2б е показан един подобен уред с подобрена схема за настройка. В този случай потенциалът на катода се повдига чрез катодното съпротивление и става положителен спрямо този на решетката на лампата. В същото време през променливия делител на напрежение (10 kΩ) на решетката се подава също положително преднапрежение. Тази комбинация дава възможност за най-добро установяване на работната точка; благодарение на нея се получава голям обхват на настройка и по-силно изразен минимум на индикацията.

В схемата на фиг. 31.2с се използва нувисторът 6CW4. Решаващи за избора на тази модерна субминиатюрна



Фиг. 31.2. Прости схеми на гриддииметри с универсално приложение

специална лампа са преди всичко малките ѝ размери и незначителната консумация на отоплителната верига. При съответното оразмеряване на анодното съпротивление и в някои случаи и на решетъчното съпротивление могат да се използват и други триоди; касае се

Таблица 31.1. Оразмеряване на сменяемите бобини *L* на гриддинметър по схема на Колпитц, настройващ капацитет  $2 \times 140 \text{ pF}$

Честотни обхвати	Брой на навивките	Проводник	Тяло
2 ... 5 MHz	102	0,16 mm-CuL	Диаметър 19 mm
5 ... 14 MHz	26	0,3 mm-CuL	Диаметър 19 mm
14 ... 37 MHz	8	0,5 mm-CuL	Диаметър 19 mm
37 ... 100 MHz	2	2,0 mm-CuAg	Диаметър 19 mm
100 ... 250 MHz	U-образен шлейф с дължина 38 mm, разстояние между проводниците 6 mm, проводник с дебелина 2,0 ... 2,5 mm, CuAg		

Таблица 31.2. Оразмеряване на сменяемите бобини на гриддинметър по схема на Колпитц, настройващ капацитет  $2 \times 50 \text{ pF}$

Честотен обхват	Брой на навивките	Проводник	Тяло
1,7 ... 3,2 MHz	195	0,16 mm CuL	Диаметър 19 mm
2,7 ... 5,0 MHz	110	0,25 mm CuL	Диаметър 19 mm
4,4 ... 7,8 MHz	51	0,25 mm CuL	Диаметър 19 mm
7,5 ... 13,5 MHz	24	0,25 mm CuL	Диаметър 19 mm
12 ... 22 MHz	21	0,50 mm CuL	Диаметър 19 mm (дължина на бобината 20 mm)
20 ... 36 MHz	14	0,50 mm CuL	Диаметър 19 mm (дължина на бобината 12 mm)
33 ... 60 MHz	8,5	0,80 mm CuL	Диаметър 19 mm (дължина на бобината 13 mm)
54 ... 99 MHz	3,75	0,80 mm CuL	Диаметър 19 mm (дължина на бобината 8 mm)
90 ... 165 MHz	U-образен шлейф с дължина 85 mm, разстояние между проводниците 12 mm, дебелина на проводника 2,0 mm, CuAg		
150 ... 275 MHz	U-образен шлейф с дължина 32 mm, разстояние между проводниците 6 mm, дебелина на проводника 2,0 mm, CuAg		

за една обикновена схема на генератор. Новото в тази схема е допълнително включения постояннотоков транзисторен усилвател, който повишава чувствителността на индикацията. Оригиналният уред съдържа транзистора 2N 1264, но този транзистор може да се замени с почти всеки друг ниско-честотен транзистор.

Всички генератори Колпитц от този тип генерират трептения и в целия СВЧ обхват. Използват се същите лампи, но трябва да се обърне специално внимание на монтажа (да се използват къси свързващи проводници). Тъй като ламповите капацитети се различават незначително един от друг, при подобни схеми данните за



Таблица 31.3. Размери на бобините на СВЧ-гريدдипметър (фиг. 31.3)

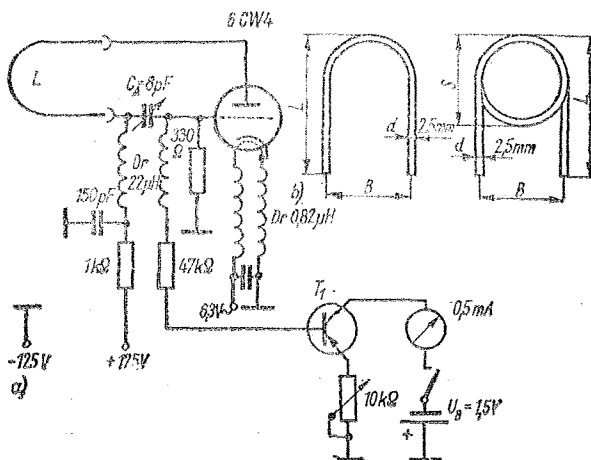
Честотни обхвати	Размери съгл. фиг. 31.3а			
	L	S	B	d
270 ... 325 MHz	70 mm	17,5 mm	13 mm	Диаметър 2,5 mm
315 ... 375 MHz	80 mm	—	13 mm	Диаметър 2,5 mm
370 ... 460 MHz	50 mm	—	13 mm	Диаметър 2,5 mm
415 ... 515 MHz	42 mm	—	13 mm	Диаметър 2,5 mm
445 ... 565 MHz	32 mm	—	13 mm	Диаметър 2,5 mm
545 ... 730 MHz	13 mm	—	13 mm	Диаметър 2,5 mm

При възможност трябва да се използва посребрен меден проводник.

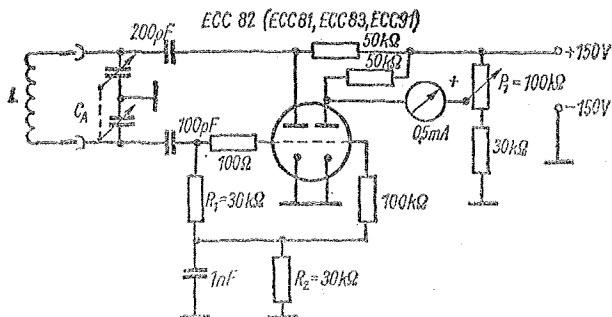
третиящите кръгове имат приблизително еднакви стойности. Затова в табл. 31.1 са събрани ориентировъчни данни за размерите на бобината при настройващ капацитет  $2 \times 140$  pF, като отделните обхвати на настройка се припокриват честотно. В табл. 31.2 са дадени размерите на бобината L при настройващ капацитет  $C_A$  със стойност  $2 \times 50$  pF. В този случай е необходим по-голям брой сменяеми бобини, за да се покрие целият честотен обхват; едновременно с това се подобрява и точността на отчитане. Ако не е споменато изрично нещо друго, бобините се навиват в един слой върху цилиндрично пластмасово тяло с диаметър 19 mm.

### 31.1.2. Гريدдипметър за СВЧ

На фиг. 31.3 е показана схемата на един гريدдипметър, който работи с лампата 6CW4 (нувистор) в честотния обхват от 270 до 730 MHz. Същите резултати биха могли да се постигнат и със СВЧ триода EC86. Настройващият капацитет  $C_A$  (8 pF) е свързан последователно с ламповия капацитет; така и в СВЧ обхвата се получава прилично отношение  $L/C$ . Необичайно малкото решетъчно съпротивление ( $330 \Omega$ ) предотвратява прекъсването на генерациите; заради него обаче при отнемане на енергия от кръга минимумът на решетъчния ток е слабо изразен. Затова при тази схема се използва



Фиг. 31.3  
Гريدдипметър за обхвата от 270 до 730 MHz; а — схема, б — скица за оразмеряване на сменяемите бобини

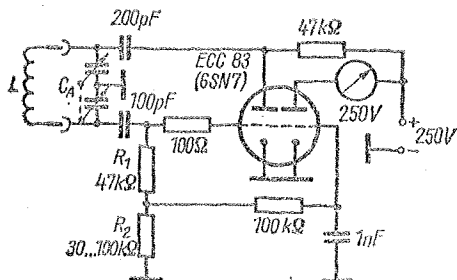


Фиг. 31.4  
Гридинметър, комбиниран  
с лампов волтметър

същият постоянен ток, показана на фиг. 31.2с. Напрежението към анода и решетката на лампата се подава през високочестотни дросели с индуктивност около 22  $\mu\text{H}$ . Отоплителните вериги също са филтрирани, както обикновено в СВЧ обхвата, чрез дросели, включени непосредствено до цокъла на лампата. Сменяемите бобини, които представляват главно U-образни шлейфове с различна дължина, пренасят постоянното анодно напрежение. Достатъчна защита от това напрежение при докосване на бобината се постига, ако върху нея се постави висококачествен изолиращ шлаух. В табл. 31.3 са дадени ориентировъчни данни за размерите на сменяемите бобини, скицирани на фиг. 31.3б.

### 31.1.3. Гридинметър, комбиниран с лампов волтметър

За да може да се измери ясно изразено спадане на решетъчния ток, обикновените гридинметри трябва да имат



Фиг. 31.5. Гридинметър с постоянен ток  
усилвател

силна индуктивна връзка с изследвания кръг. Тази индуктивна връзка предизвиква сравнително голяма разстройка на кръга и увеличаване на грешката при измерване. Затова се предпочитат схеми, при които чувствителността на индикацията се увеличава без големи допълнителни разходи. На фиг. 31.4 е показана една изпробвана схема с двойния триод ECC82. Лявият триод работи като нормален Колпитц-генератор и не се различава с нищо от досега описаните схеми. Вторият триод работи като лампов волтметър в една мостова схема, при което вътрешното му съпротивление представлява едното рамо на моста. Равновесието на моста при генериращ осцилатор се установява с потенциометъра  $P_1$ . При измерване на резонанс състоянието на генераторната лампа се изменя поради отнемането на енергия, което има за последиствие намаляване на решетъчния ток и с това — на решетъчното преднапрежение, създавано от него върху делителя на напрежение  $R_1—R_2$ . Тъй като това намалено преднапрежение, получено в случай на резонанс, се прилага също и на управляващата решетка на втория триод, неговото вътрешно съпротивление се променя и мостът излиза от равновесие. Затова и при много слаба връзка с измервания обект в случай на резонанс се получава отклонение на стрелката на индикатора.

На фиг. 31.5 е показан още един гридинметър, за който са необходими още по-малко части. И в този случай лявата половина на двойния триод ECC 83 работи в схема на генератор на Колпитц. Вторият триод работи като усилвател на постоянен ток; за товарно съпротивление и уред за индикация

служи един постоянен ток в волтметър. Обхватът на измерване на волтметъра трябва да е от порядъка на анодното напрежение (напр. около 250 V). Тъй като напрежението не може нито да стане по-малко от 0 V, нито по-голямо от максималното захранващо напрежение, измерителният уред е защитен срещу всякакво претоварване.

При тази схема резонансът също се отбелязва с положително отклонение на стрелката на волтметъра. Чувствителността на индикацията е добра; тя може да се повиши, ако измерителният уред се превключи на по-малък обхват на напрежение. Когато се извършва първоначалната настройка, делителят на напрежение  $R_1-R_2$  се замества с един потенциометър (200  $\Omega$ ). При генериращ осцилатор стойността на потенциометъра трябва да се подбере така, че волтметърът да измери около 1/4 от максималното съществуващо анодно напрежение. След това се измерват съпротивленията между средния извод на потенциометъра и двата крайни извода и в схемата на гриддипметъра се поставят постоянни съпротивления с измерената стойност. Не е нужна никаква друга настройка. Разбира се, може да се използва и какъвто е универсален измерителен уред; трябва само той да се превключи на съответния обхват за измерване на напрежение.

Трептящите кръгове, използвани в двете схеми, се оразмеряват според данните от табл. 31.1 и табл. 31.2.

#### 31.1.4. Транзисторен гриддипметър

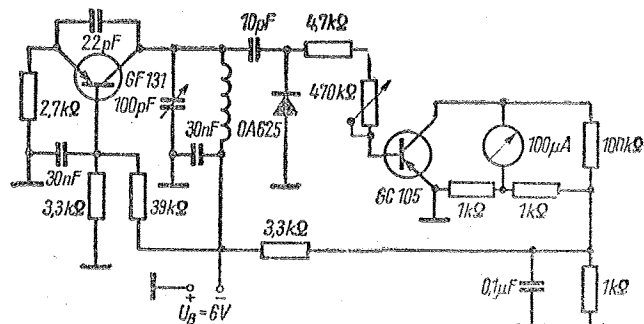
Измерителите на резонанс, изработени с транзистори, имат малки размери и са независими от мрежовото за-

хранване. Затова изглежда, че те са особено подходящи за използване при измерване на параметрите на антените. За съжаление тази област на приложение е много ограничена. Общо взето, транзисторният гриддипметър не може да се използва като високочестотен генератор за захранване на мостови измерители на импеданс, защото енергията, отдавана от транзисторните генератори, е твърде малка.

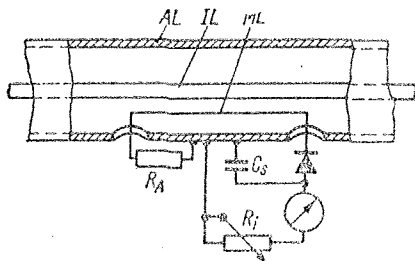
На фиг. 31.6 е показана схемата на един транзисторен гриддипметър за обхвата на късите вълни. Осцилаторът работи с високочестотния транзистор 6F131. Обратната връзка е кондензаторна, от колектора към емитера, така че и в този случай може да се използва проста бобина с два извода. Напрежението на трептенията се изпраща от един полупроводников диод и се подава през съпротивления на базата на транзистор, работещ като постоянен ток усилвател. Резонансът с измервания обект се измерва като спадане на постоянния ток, протичащ през магнетноелектрически измерителен уред (100  $\mu A$  при пълно отклонение на стрелката). Консумацията на ток при захранващо напрежение 6 V е около 3 mA. Транзисторните гриддипметри винаги изискват усилвател за индикацията; това се отнася и за новите модели, в които за генератор се използва полеви транзистор или тунелен диод.

#### 31.2. Насочени (вълноводни) отклонители и рефлектометри

Насочените отклонители и рефлектометрите са особено подходящи за из-



Фиг. 31.6  
Транзисторен гриддипметър с усилвател на индикацията



Фиг. 31.7. Принципна схема на насочен отклонител

мерване на коефициента на стоящи вълни в захранващата линия и с това — на степента на съгласуване на антената със захранващия кабел. Те се изработват изключително в коаксиално изпълнение. Не съществува съществена разлика между насочения отклонител и рефлектометъра. Двата уреда работят по един и същи начин; рефлектометърът само предлага по-големи удобства при работа. За изработване на таква измерители на стоящите вълни не са необходими специални части, които се намират трудно.

Тези уреди работят достатъчно добре и в СВЧ обхвата, ако са изработени прецизно и имат подходяща селектрическа схема.

Както вече беше обяснено по-подробно в раздел 5.2., в случай на съгласуване по захранващата линия към антената се разпространява само т. нар. *падаща* вълна. При разсъгласуване се появява отражение. Това означава, че падащите вълни се сумират с отразените, разпространяващи се в обратно направление вълни и по линията се появяват стоящи вълни. Насоченият отклонител в зависимост от посоката на пропускане служи за измерване на падащите или отразени вълни. Рефлектометърът представлява една комбинация от два насочени отклонителя; той може да измери напрежението на падащата и отразената вълна без смяна на посоката на монтиране.

По принцип насоченият отклонител е един отрязък от коаксиална линия, чието вълново съпротивление отговаря на това на използваната захранваща линия. Във вътрешното пространство на този отрязък, по който се разпространяват вълните, паралелно на вътрешния проводник е включен измери-

телен шлейф, който в зависимост от посоката на монтиране на насочения отклонител отвежда определено напрежение, пропорционално или само на падащата, или само на отразената вълна. Това високочестотно напрежение се изправя от един диод и се измерва от чувствителен магнитоелектричен уред.

На фиг. 31.7 е показана схемата на един насочен отклонител, като коаксиалният отрязък от линията е показан частично в разрез.

Коаксиалният отрязък от линия е образуван от външния проводник AL и от вътрешния проводник IL. Измерителната част се състои от шлейфа ML, разположен във вътрешността на отклонителя, който се свързва към външния проводник AL чрез съпротивлението  $R_A$ . В другия край на шлейфа високочестотното напрежение се отвежда към изправителния диод и към уреда за индикация.

$C_S$  филтрира правото напрежение,  $R_i$  служи единствено за настройка на чувствителността на индикацията.

Ако захранващата линия е съгласувана неправилно, по вътрешния проводник IL протича по посока към антената токът  $I_h$  и в случай на неправилно съгласуване един ток  $I_r$ , който се дължи на отражението на сигнала от антената. Тъй като високочестотните токове  $I_h$  и  $I_r$  протичат в противни посоки, резултатният ток  $I_z$  се получава от разликата  $I_h - I_r$ . Напротив, високочестотното напрежение  $U_z$  между вътрешния проводник IL и външния проводник AL е равно на сумата от  $U_h$  и  $U_r$ .

Измерителният проводник ML е свързан към вътрешния проводник IL както капацитивно, така и индуктивно. Чрез капацитивната връзка към измерителния проводник се прехвърля напрежение  $U_c$ , което е част от сумарното напрежение  $U_z$ . Токът, протичащ през индикатора, се дължи на напрежението  $U_c$ .  $U_z$  представлява едно сумарно напрежение и затова стойността на протичащия ток не зависи от това, каква част от общото напрежение се дължи на падащата вълна и каква — на отразената. Друго е положението с високочестотния ток, който се дължи на индуктивната връзка между вътрешния проводник IL и измерителния шлейф ML. Посоката и големината на

този ток зависят от антенния ток  $I_z$ , който се получава като разлика  $I_d - I_r$ . Тъй като токовете, дължащи се на капацитивната и индуктивна връзка съществуват едновременно във веригата на индикатора, те могат да се сумират или изваждат в зависимост от фазата си (според посоката на тока  $I_z$ , протичащ по вътрешния проводник).

Предполага се, че измерителният шлейф е оразмерен така по дължина и разположение спрямо вътрешния проводник, щото в случай на правилно съгласуване токовете, дължащи се на индуктивната и капацитивна връзка, са равни по стойност. В зависимост от полярността, съотв. посоката на монтиране на насочения отклонител, тези токове или ще се сумират, или ще се изваждат. При неправилно съгласуване тези два тока вече няма да бъдат равни и всяко свързване на отклонителя през индикатора ще протича един определен ток, който определя със стойността си степента на съгласуване на антената към захранващата линия.

### 31.2.1. Характеристики на насочения отклонител

Под *права посока* на един насочен отклонител се разбира посоката на монтиране, при която измерителният уред измерва напрежението на вълната, разпространяваща се от предавателя към антената. Насоченият отклонител измерва напрежението на отразената вълна, ако се включи в *обратна посока*. При рефлектометъра са вградени две противоположни по полярност измерителни вериги, така че без смяна на посоката на монтиране може да се измери както напрежението на падащата вълна, така и това на отразената.

Между вътрешния проводник П и измерителния шлейф МЛ съществува капацитетът  $C_1$ , но едновременно между МЛ и външния проводник АЛ съществува капацитетът  $C_a$ . Двата капацитета образуват един делител на напрежение и определят напрежението, което се прехвърля към измерителния шлейф МЛ. Напрежението  $U_c$  се определя по формулата

$$U_c = U_z \left( \frac{C_a}{C_1 + C_a} \right). \quad (31.1)$$

Коефициентът на прехвърляне на насочения отклонител се определя от частното на напрежението, прехвърлено към измерителния шлейф, и напрежението  $U_z$ , съществуващо при съгласуване

$$a_k = \frac{U_c}{U_z}. \quad (31.2)$$

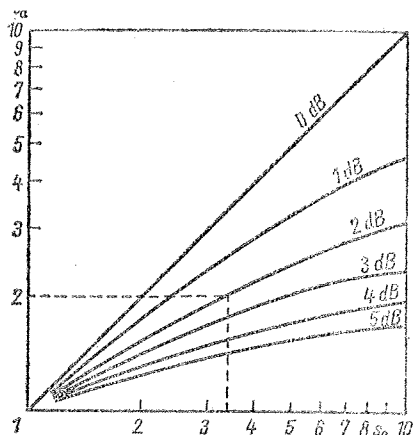
При измерване на коефициента на стоящи вълни не е необходимо да се знае точно стойността на коефициента на прехвърляне  $a_k$ . Той винаги е по-малък от 1 и при всеки отклонител зависи от дължината и разположението на измерителния шлейф.

Най-важната характеристика на един насочен отклонител е *коефициентът на насоченост*. Този коефициент се определя, като насоченият отклонител се свърже обратно, при което изходът е натоварен не с антената, а с едно съпротивление, чиято стойност отговаря точно на вълновото съпротивление на насочения отклонител. Сигналът не трябва да се отразява от това съпротивление, следователно съществува съгласуване. Тъй като в този случай липсват отразени вълни, индикаторът не би трябвало да измери някакво напрежение, дължащо се на тях. Въпреки това измерителят на напрежение показва едно напрежение на грешката  $U_f$ , което произлиза от падащата вълна и което показва, че насоченият отклонител не може да различа идеално падащата от отразената вълна. Тази разрешаваща способност се изразява с коефициента на насоченост

$$a_d = \frac{U_r}{U_c} = \frac{U_f}{U_z} \cdot \frac{1}{a_k}. \quad (31.3)$$

Колкото по-голям е коефициентът на насоченост, толкова по-голяма е и грешката при измерване. За „добри“ се приемат насочени отклонители (съотв. рефлектометри), които имат коефициент на насоченост между 0,01 и 0,1. Коефициентът на насоченост на саморъчно изработените уреди често е по-голям. Причините за това най-често са несвършената конструкция или неточното изпълнение на инструкцията за изработване на отклонителя. Ефект на лоша насоченост обаче може да се получи и когато

— измерваната честота (сигналът на



Фиг. 31.8. Зависимост на коефициента на стоящи вълни  $S_s$  в края на линията от коефициента на стоящи вълни  $S_a$  в началото на линията и от затихването по кабела в dB (примерът е начертан с прекъсната линия)

предавателя) съдържа голям дял висши хармонични;

— изходът на насочения отклонител не е натоварен правилно;

— товарното съпротивление няма реална стойност за измерваната честота.

Грешки при измерването могат да се получат и когато между скалните деления на уреда и приложеното напрежение няма пропорционалност. Волтамперната характеристика на полупроводниковия диод не е линейна и затова не може да се запази линейното деление на скалата на измерителния уред. Препоръчва се измерителният уред да сеetalонира отново заедно с предвидения за използване изправителен диод. Трябва да се използва право напрежение; делението на скалата може да бъде в относителни единици. За да може измерителният уред да се използва и за други цели, често той се включва допълнително към останалата част от схемата. В такъв случай първоначалното деление на скалата не се изменя, но се изготвя една еталонна крива, която важи при използване на даден измерителен диод.

Мястото на монтиране на насочения отклонител или рефлектометра също дава отражение върху точността на измерване. На практика почти винаги отделните стъпала и системи са вклю-

чени в следната последователност: крайно стъпало на предавателя — Колинс-филтър — рефлектометр — захранваща линия — антена. Ако антената е съгласувана неправилно към захранващата линия, сигналът се отразява и отразената вълна се разпространява по захранващата линия към изхода на предавателя.

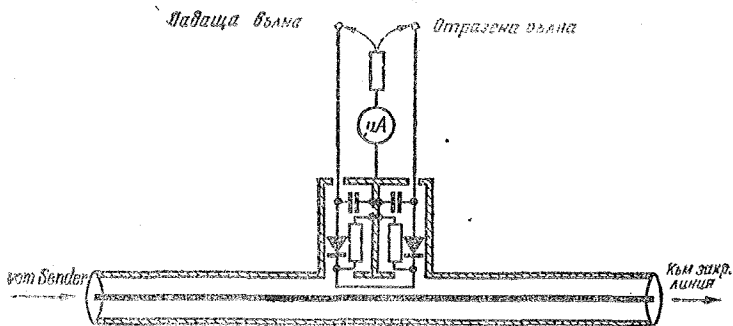
Тъй като захранващата линия е със загуби, отразената вълна затихва по дължината на линията. Рефлектометърът е включен почти в края на линията и затова измерва затихналата отразена вълна. Следователно измерва се един по-добър коефициент на стоящи вълни, който не отговаря на действителното положение на нещата. Ако трябва да се мери точно, рефлектометърът трябва да се включи в непосредствена близост до антената; правилната последователност следователно би била: крайно стъпало на предавателя — Колинс-филтър — захранваща линия — рефлектометр — антена.

На фиг. 31.8 е показана една полезна номограма, в която е представено затихването на отразената вълна в зависимост от загубите в кабела и стойността на коефициента на стоящи вълни.

### Пример

Една предавателна антена за обхвата 2 m се захранва чрез коаксиален кабел от типа 60-7-2 с дължина 25 m. В началото на захранващия кабел е измерен коефициент на стоящи вълни  $S_a = 2.0$ . Трябва да се установи точният коефициент на стоящи вълни  $S_s$ , който би бил измерен в края на захранващата линия.

Първо от проспекта за кабела (вж. табл. 34.16) се отчита затихването на сигнал с честота 150 MHz по дължината на кабела. То е около 8 dB/100 m. Следователно за кабел с дължина 25 m затихването е 2 dB. Коефициентът на стоящи вълни в началото на линията  $S_a = 2$  е разположен на ординатната ос (фиг. 31.8). От тази точка се прекъсва хоризонтална линия до пресичането ѝ с кривата на затихване „2 dB“ и върху абсцисната ос се отчита действителният коефициент на стоящи вълни в края на линията  $S_s = 3.4$ . Този пример е начертан на номограмата с прекъсната линия.



Фиг. 31.9. Принципова схема на рефлектометър

По тази номограма може да се отчете и затихването на сигнала по кабела, когато са известни  $S_d$  и  $S_e$ .

### 31.2.2. Схеми на рефлектометри и практически конструкции

Обикновеният насочен отклонител рядко се използва от радиолюбителите. Саморъчното изработване на измерител на стоящите вълни е вече правило, а допълнителните разходи за направа на рефлектометър всъщност се ограничават до един диод и ползкога — още един обикновен превключвател. Затова в любителската литература са описани почти изключително по-удобните при работа рефлектометри.

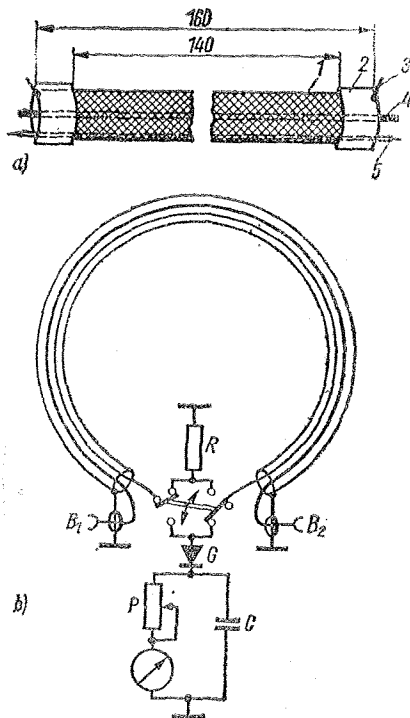
Принципната схема на един рефлектометър е показана на фиг. 31.9. Всички останали схеми или конструкции могат да бъдат сведени до тази основна схема. Разликите се свеждат предимно до промени в механичната конструкция и незначителни изменения на схемата на измерителната верига. При едно сравнение на фиг. 31.7 с фиг. 31.9 лесно се забелязва, че рефлектометърът представлява един насочен отклонител с двойна измерителна верига.

Описаните по-долу модели на рефлектометри са многократно изпробвани любителски конструкции, за които могат да се намерят подробни сведения в съответната литература. По отношение на точността на индикация те не могат да конкурират индустриално произвежданите прецизни уреди. Разходите за самостоятелното им изработване обаче са значително по-малки.

Освен това радиолюбителят често се задоволява с относителни измервания и напр. при настройка на антената често е достатъчно дори само това рефлектометърът да покаже дали в резултат на предприетите действия коефициентът на стоящи вълни по линията се увеличава или намалява. Това не бива да създава впечатлението, че любителските конструкции са несъвършени; при съответната качествена изработка, съобразена с високите честоти, които се измерват, се постигат точности на индикация, задоволителни и повисшени изисквания. Който обаче не е наясно с начина на действие и приложение на индикатора на стоящи вълни (вж. раздел 31.2.1.), може да направи значителни грешки и при работа с един прецизен рефлектометър.

#### 31.2.2.1. Коаксиален рефлектометър

Коаксиалният рефлектометър изглежда примитивен, но е напълно годен за измерване на стоящите вълни в коаксиални кабели. Този вид рефлектометри се използват главно в мониторинг режим, т. е. той се включва за дълго време в захранващата линия като работен измерителен уред. Рефлектометърът от този тип е евтин, може да се изработи лесно и във всички късовълнови обхвати работи с достатъчна за практиката точност. По принцип този уред, показан на фиг. 31.10, представлява един механически много опростен рефлектометър, при който даже е спестен неосободимият втори измерителен диод. За изработването му е необходимо парче от коаксиален кабел



Фиг. 31.10. Коаксиален рефлектометър; а — отрязък от кабел, 1 — външен проводник (медна оплетка), 2 — остатък от обвивката от PVC, 3 — свързване към външния проводник, 4 — вътрешен проводник, 5 — изолиран проводник под външния проводник, б — обща схема на уреда

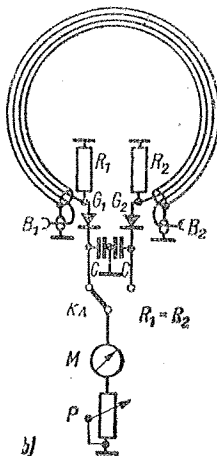
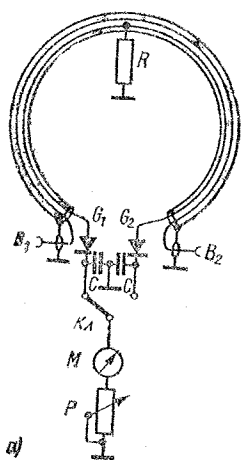
с дължина 160 mm и с вълново съпротивление, равно на това на захранващия кабел (не е задължително да се използва същият тип кабел). По-изгодно е използването на възможно най-дебел кабел, защото той се обработва по-лесно. Отначало външната защитна обвивка от PVC се отстранява от един участък с дължина 140 mm. Трябва да се внимава, за да се оставят в двата края на парчето коаксиален кабел по 10 mm от външната защитна обвивка (вж. фиг. 31.10а). Следващата операция изисква малко търпение и ловкост: един тънък изолиран проводник трябва да се провери между металната екранираща оплетка и диелектрика, така да се каже, като втори вътрешен проводник. Общо взето, медната оплетка може да се набере малко и тогава е сравнително

лесно с помощта на подходящ инструмент (напр. кука за дантела) между външния проводник и диелектрика да се провери вторият проводник. Един кабел, обработен по този начин, е показан на фиг. 31.10а.

При използване на коаксиален кабел с плътен кръгъл диелектрик (полиизобутилен) измерителният проводник може да се прокара по един много прост начин. Външната защитна обвивка (PVC) се отстранява и външната екранираща оплетка предпазливо се измъква от диелектрика. След това в диелектрика се изрязва една надлъжна бразда, в която се полага измерителният проводник.

Отрязъкът от коаксиален кабел се свива в примка, така че двата му края се оказват един срещу друг. При тази форма на измерителя всички свързващи проводници са възможно най-къси. Както се вижда от фиг. 31.10б, на която е показана общата схема на уреда, двата края на „истинския“ вътрешен проводник се снабдяват (в точките  $B_1$  и  $B_2$ ) с подходящи принадлежности (коаксиален штекер, респ. коаксиално гнездо). Това позволява просто включване на измерителя в захранващата линия, без да се появяват отразени вълни. Допълнително поставеният измерителен проводник се свързва по най-късия път със съответните изводи на един висококачествен превключвател.  $R$  е безиндуктивно въглеродослойно съпротивление със стойност от 30 до 150  $\Omega$  (стойността не е критична) и е малка мощност. Целесъобразно е  $R$  да се получи от паралелно свързване на няколко отделни съпротивления, защото така се намалява общата им индуктивност.  $G$  е един обикновен високочестотен германиев диод (напр. OA705). Той изправя напрежението с висока честота, прехвърлено в измерителния проводник. Изправеното напрежение се филтрира от дисковидния кондензатор  $C$  (стойност от 2 до 10 nF).  $P$  служи като ограничаващо (защитно) предсъпротивление на индикатора. Достатъчен е малогабаритен линеен потенциометър. Стойността на съпротивлението зависи от размаха на прехвърленото напрежение и от чувствителността на измервателния инструмент. Използват се средни стойности между 50 и 100  $\Omega$ . Като индикатор може да служи всеки магнито-





Фиг. 31.11  
Варианти на коаксиал-  
ния рефлектометър

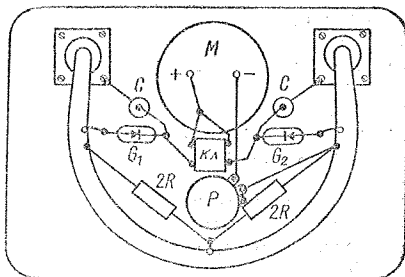
електрически измерителен уред с обхват между 0,1 и 1 mA.

В схемата на фиг. 31.10 се използва един превключвател във високочестотната част на измерителната верига и с това се спестява един германиев диод. Свързващите проводници към превключвателя и самият превключвател имат паразитна индуктивност, която обаче все още не пречи при използването на уреда в късовълновите обхвати.

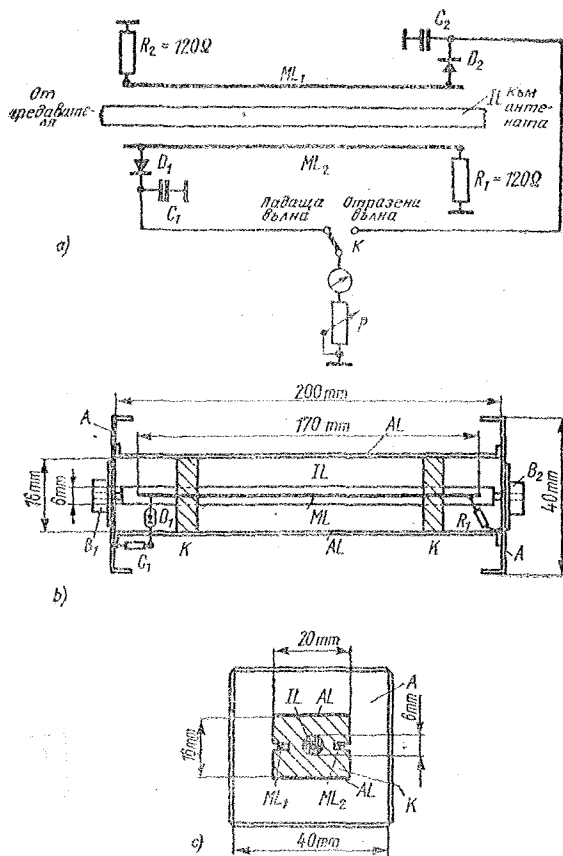
Една такава конструкция обаче е неизползваема в СВЧ обхвата. Подобри са вариантите, показани на фиг. 31.11, при които във високочестотната част на измерителната верига се намират само измерителният проводник и товарните съпротивления. След двата диода веригите не са критични по отношение на паразитните импеданси, защото по тях протича постоянен ток.

При схемата, показана на фиг. 31.11a, трябва да се има предвид, че товарното съпротивление  $R$ , което е общо и за двете измерителни вериги, трябва да се включи точно в геометричната среда на измерителния проводник. На фиг. 31.12 е показано едно примерно конструктивно оформление на уред, изработен по тази схема. Съпротивлението  $R$  е разделено на две отделни съпротивления. Подходяща стойност за  $R$  е 120  $\Omega$ ; затова се използват две паралелно включени съпротивления със стойност по 240  $\Omega$ . При включването

на  $R$  трябва да се използват къси свързващи проводници, по специално товарното съпротивление трябва да бъде запосено съвсем близо, непосредствено до извода в центъра на измерителния шлейф. Промените в точката на заземяване и в стойността на товарното съпротивление могат да подобрят коефициента на насоченост. Двата диода също трябва да се запоят възможно най-близо до краищата на измерителния проводник; за да се избегне вредното прегряване, трябва да се запоява за възможно най-кратко време, като изводът на диода се придържа с плоски клещи, които отвеждат бързо топлината. Добре е да се използват подобрени двойки диоди, като подобрят може да извърши и самият радиолобител. Подходящ е диодът OA705, но може да се използват почти всички



Фиг. 31.12. Предложение за конструкцията на уреда, показан на фиг. 31.11a



Фиг. 31.13

Рефлектометри с диелектрична външна проводимост; а — схема на измерителната част (не е начертан външният проводник на главния клон), б — механична конструкция (надлъжен разрез), в — механична конструкция (напречен разрез)

останали високочестотни диоди. Ако се използват коаксиални щекери от телевизионни приемници, в мястото на прехода към измерителния шлейф не се образуват стоящи вълни. Този измерител на стоящи вълни може да се изработи много лесно от коаксиален кабел с диелектрик, в който има въздушни междини.

В схемата, показана на фиг. 31.11б, вместо едно товарно съпротивление в средата на измерителния проводник се използват две съпротивления, включени в краищата на проводника ( $R_1 = R_2 = 60 \Omega$ ). Електрическата схема на този уред е аналогична на показаната на фиг. 31.9.

Настройката и еталонирането на рефлектометри от всички видове е описана общо в раздел 31.2.2.3.

#### 31.2.2.2. Рефлектометри, изработени от прави проводници

С коаксиалния рефлектометър не може да се правят измервания с голяма точност; освен това измерителният шлейф е трудно достъпен и не е лесно да се правят допълнителни измервания и да се нагласяват оптимални стойности при настройката. Рефлектометрите, изработени от прави проводници, осигуряват по-висока точност на индикация и по-добри възможности за настройка. При изработването им е необходима малко повече механична работа.

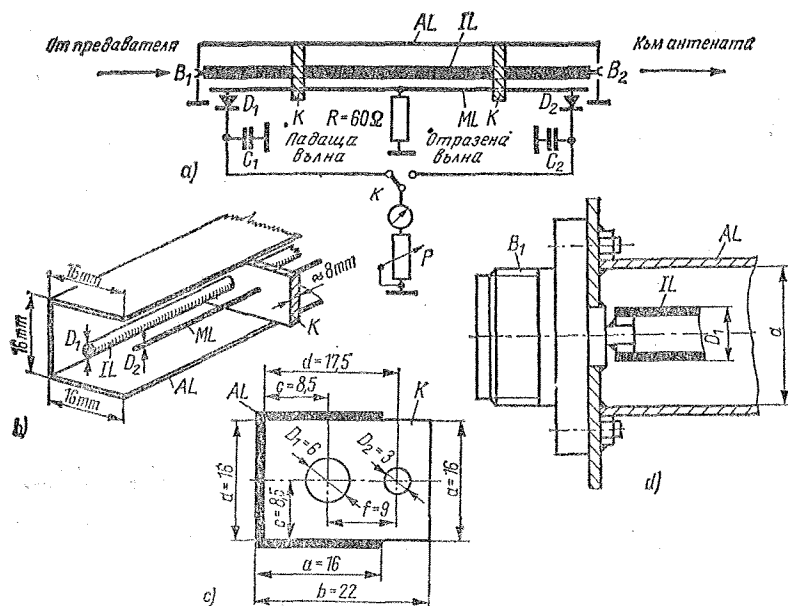
Една от най-простите конструкции е показана на фиг. 31.13. Главната част на рефлектометъра, която имитира отрязък от коаксиална линия, се състои от

вътрешен проводник (пръчка или тръба с диаметър 6 mm) и външен проводник (две правоъгълни ламарини с дължина по 200 mm и ширина 20 mm). Двете ламарини са разположени една срещу друга на разстояние 16 mm, така че се образува едно вътрешно пространство с две срещуположни отворени страни (вж. фиг. 31.13b и фиг. 31.13c). Ламарините, образувачи външния проводник, се свързват в краищата си със затварящите пластини  $A$ , към които са закрепени коаксиалните букси  $B_1$  и  $B_2$ .

Както се вижда от електрическата схема (фиг. 31.13a), в измерителната част се използват два независими един от друг измерителни проводници  $ML_1$  и  $ML_2$ . Чертежът на фиг. 31.13c показва, че тези измерителни проводници се намират от двете страни на вътрешния проводник. Те са изработени от проводник с диаметър 1,6 mm; заради механичната си стабилност са особено подходящи спичи от велосипедно колело. Измерителните проводници се държат от две пластмасови блокчета  $K$  по такъв начин, че е възможно незна-

чително изменение на разположението им. При настройката се нагласява нужната успоредност с вътрешния проводник и се подбира оптималното разстояние до него (около 6 mm). Блокчетата  $K$  са изработени от изолационен материал с малки загуби (напр. *пиакрил* или *полиетилен*), те поддържат механически и вътрешния проводник  $IL$  и двете ламарини, образувачи външния проводник. Двете затварящи пластини с размери 40 mm × 40 mm са огънати по периферията си, така че към тях с винтове могат да се закрепят екраниращи ламаринени пластини.

Рефлектометърът с посочените размери има вълново съпротивление 60  $\Omega$ . Механичната дължина на рефлектометъра може да бъде увеличена или намалена според нуждите. Колкото по-ниска е работната честота, толкова по-голяма трябва да бъде преминаващата мощност, за да се отклони докрай стрелката на измерителния уред. Ако напр. при работа в обхвата 10 m е достатъчно през рефлектометъра да се пропусне мощност 1 W, за да се получи



Фиг. 31.14. Рефлектометър с U-образен външен проводник:  $a$  — принципна схема  $b$  — механична конструкция (без затварящата ламарина и буксите),  $c$  — разрез (чертежът служи едновременно и за оразмеряване на пластмасовите държатели  $K$ ),  $d$  — затваряща ламарина с коаксиална буска  $B_1$  (данните са в mm, чертежите не са в мащаб)

крайно отклонение на стрелката на уреда, при дължина на вълната 80 m са необходими цели 8 W. Тези разлики са обусловени от отношението на дължината на измерителния проводник към дължината на работната вълна. Затова при увеличаване на дължината на измерителния проводник се получава и по-голямо показание на индикатора. Удължаването на измерителния проводник изисква увеличение на механичната дължина на отрязъка от линия, без да се изменат останалите размери.

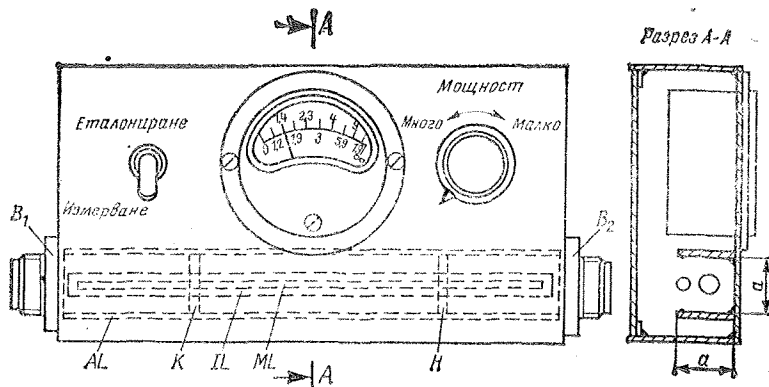
На фиг. 31.14 е показан един модел на рефлектометър, който е много популярен сред радиолюбителите. Външният проводник AL е изработен от U-образна медна ламарина; съществува само един измерителен проводник ML, който е разположен откъм отворената страна на U-образната ламарина (вж. фиг. 31.14b). В геометричната си среда той е свързан към маса (потенциалът на външния проводник) при съпротивлението  $R$ ; така с един измерителен проводник се създават две измерителни вериги.  $R$  е безиндуктивно въглеродослойно съпротивление; най-често то е със стойност 60  $\Omega$ . Оптималната му стойност зависи от вълновото съпротивление на измерителния проводник ML и следователно предимно от отношението на разстоянието между външния и вътрешния проводник към диаметъра на вътрешния проводник, съотв. от  $D_1/D_2$ . Затова при такъв рефлектометър незначителните изменения на стойността на съпротивлението  $R$  често могат да бъдат „довършващия шрих“. Годността на рефлектометъра за работа при високи честоти зависи от безиндуктивността на съпротивлението  $R$ . Тъй като общата индуктивност намалява при паралелното свързване на няколко отделни индуктивности (закон на Кирхоф), по-изгодно е  $R$  да се състои от няколко отделни резистора. Един безиндуктивен резистор със стойност 60  $\Omega$  може да се получи напр. при паралелното свързване на 4 отделни резистора със стойност 240  $\Omega/0,1$  W. Свързващите проводници трябва да бъдат извънредно къси. Препоръчва се изводите на резисторите, които ще се запояват към маса, да се огънат на 90° и да се разпределят радиално по вътрешната страна на външния проводник

и да се запоят по цялата си дължина. Механичната конструкция е показана на фиг. 31.14b ÷ d. При посочените размери вълновото съпротивление на рефлектометъра е 60 $\Omega$ . Вътрешният проводник трябва да има диаметър  $D_1$  най-малко 6 mm. Ако диаметърът му е по-малък, вече не може да се гарантира успоредността с AL и ML и поддържането на съответните разстояния.

Използването на вътрешен проводник с друг диаметър, разбира се, води до изменение на размерите на външния проводник  $a$  и на разстоянието  $c$  в същото съотношение, защото трябва да се запази стойността на вълновото съпротивление на рефлектометъра (60  $\Omega$ ).

За да се получи вълново съпротивление на рефлектометъра 60  $\Omega$ , трябва да се спазят следните съотношения:  $D_1 : a = 1 : 1,33$ ;  $D_1 : c = 1 : 1,41$ ; при вълново съпротивление 50  $\Omega$  важат следните отношения:  $D_1 : a = 1 : 2$ ;  $D_1 : c = 1 : 1,33$ . При вълново съпротивление 72  $\Omega$  важи съответно:  $D_1 : a = 1 : 1,29$ ;  $D_1 : c = 1 : 1,45$ . Двете пластмасови закрепващи плочки  $K$  се изработват от *ниакрил* или друг подобен материал с малки загуби. Те са дебели около 8 mm. Не се дават размерите за дължината на външния проводник и на вътрешния проводник IL и на измерителния проводник ML, защото те могат да се изменят в доста широки граници. Общо взето, дължината е между 150 и 300 mm. Тя зависи, както вече беше споменато, от предвидената дължина на работната вълна и от чувствителността на измерителния инструмент. Когато се спазят споменатите граници, дължината на рефлектометъра няма влияние върху принципа на действие на уреда.

На фиг. 31.15 е показан външният вид на един рефлектометър, изработен по описаната по-горе схема. Този външен вид, разбира се, не е задължителен; при желание постояннотоковата част на измерителната верига може да бъде монтирана отделно. Пълноценен материал за изработване на външния проводник е фолираният гетинакс, използван при печатните платки. Той се изрязва лесно и точно, без да се деформира. За конструкцията, показана на фиг. 31.13, са необходими само две ленти от фолиран гетинакс с широ-



Фиг. 31.15. Конструкция на рефлектометра, показан на фиг. 31.14 (според ДМ2АЕО)

чина 20 mm; U-образният външен проводник (фиг. 31.14) се изработва от три такива ленти, които се запояват една за друга. Във всички случаи медното фолио трябва да се намира от вътрешната страна на външния проводник.

Съществуват конструкции на насочени отклонители и рефлектометри, с които се постига особено висока точност на измерване. Те обаче изискват и съответният по-голям обем прецизна механична работа. Тъй като все пак повечето радиолюбители признават разумното правило „да се изработва не възможно най-добре, а само толкова добре, колкото е нужно“, тези подобрени конструкции досега не са станали популярни сред тях.

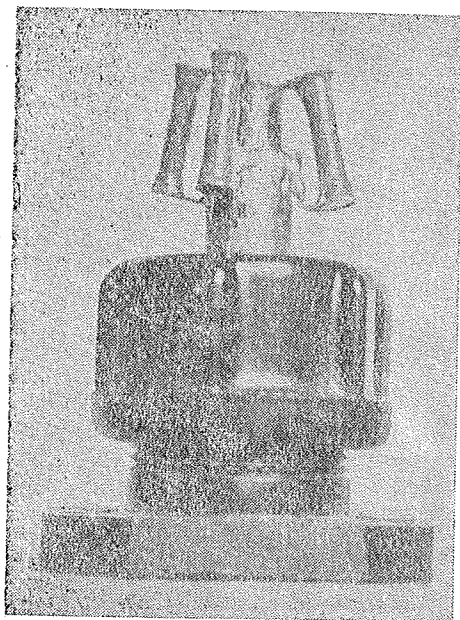
### 31.2.2.3. Настройка и еталонизиране на рефлектометрите

За да може да се настрои един рефлектометр, той трябва да се наговори откъм „антенната си страна“ (букса B<sub>2</sub>) с едно активно съпротивление, равно на импеданса на линията. В този случай товарът на рефлектометра е такъв, че цялата пропускаема мощност (падащата вълна) се консумира от товарното съпротивление. Не се получава никакво отражение и липсва отражена вълна. Ако измерителният уред, включен за измерване на напрежението на отразената вълна, даде показание „0“, това означава, че коефициентът на стоящи вълни е 1 и съществува съг-

ласуване. По различни причини при саморъчно изработените рефлектометри това, разбира се, не се получава веднага и затова чрез настройката трябва да се направи опит за най-пълно доближаване до идеалното положение.

Товарното съпротивление (нарича се още *изкуствена антена* или *абсорбер*) трябва да бъде в състояние да преобразува в топлина цялата мощност, отдавана от предавателя. На фиг. 31.16 е показано едно често използвано и не много скъпо товарно съпротивление. То се състои от четири паралелно свързани въглеродослойни резистора със стойност по 240  $\Omega$ , които са запоеани върху един обикновен коаксиален куплунг. Допустимата разсейвана мощност на една такава изкуствена антена е равна на сумата от допустимите мощности на разсейване на отделните резистори. Колкото по-голям брой резистори са включени паралелно, толкова повече се намалява вредната паразитна индуктивност на комбинацията от резистори при предположение, че последните се запояват с практически изрязани докрай изводи. Групата паралелно включени резистори в крайна сметка трябва да има съпротивление 60  $\Omega$  (съотв. някакво съпротивление, равно на вълновото съпротивление на рефлектометра от избрания тип).

Тъй като с нарастване на честотата схемните елементи все повече придобиват комплексен характер, за настройка трябва да се избере възможно най-високата честота. В такъв случай на-



Фиг. 31.16. Евтин товарен резистор за настройка на рефлектометра, показан на фиг. 31.14 (според *DM2AEO*)

стройката става особено трудна, но за сметка на това съществува гаранция, че за по-ниските работни честоти са нагласени оптимални стойности. Затова един рефлектометр за обхвата на късите вълни се настройва при честота 28 MHz; ако ще се работи и в обхвата 2 m, честотата на настройка трябва да бъде около 145 MHz.

Както вече беше казано, целесъобразно е рефлектомерът да се еталонира предварително заедно с използваните диоди. Това еталониране се извършва с постоянно напрежение. В схемата за еталониране диодът се включва в права посока последователно с измерителния уред и регулаторът на чувствителността  $P$ . Подават се точно измерени по амплитуда постоянни напрежения, като при най-голямата стойност на напрежението чрез потенциометъра  $P$  се нагласява крайното отклонение на стрелката на уреда. Регулаторът на чувствителността  $P$  не се променя до края на еталонирането. След това еталониращото напрежение се намалява на стъпки от по 1/10 от максималната амплитуда, необходима за крайното отклонение на стрелката на уреда, и се отбелязва съответното отклонение на стрелката. Това ново де-

ление на скалата съответствува на волтамперната характеристика на диода и особено в началото на скалата не е линейно.

Тъй като едва ли е възможно да се намерят два диода с напълно еднакви волтамперни характеристики, еталонирането на скалата трябва да се прави винаги с диода, който ще се използва за изправяне на напрежението на отразената вълна. Диодът, изправящ напрежението на падащата вълна, трябва да съпада по характеристика с първия поне при максимално отклонение на стрелката на индикатора.

В раздел 5.2. са обяснени по-подробно зависимостите между отношението на напреженията и коефициентът на стоящи вълни (ур. 5.15÷5.25). Според ур. (5.15) коефициентът на стоящи вълни е равен на

$$s = \frac{U_{\max}}{U_{\min}}$$

При рефлектометрите  $U_{\max}$  съответствува на напрежението на падащата вълна, а  $U_{\min}$  — на напрежението на отразената вълна. Затова може да се напише

$$s = \frac{U_h}{U_r}$$

В случая напрежението на падащата вълна независимо от действителния му размах се регулира с помощта на потенциометъра за чувствителност  $P$  винаги така, че стрелката на уреда да се отклони докрай. Следователно може да се положи  $U_h = 1$ . Тогава стойностите на  $U_r$  се получават като част от 1. Така че коефициентът на стоящи вълни е равен на

$$s = \frac{1 + U_r}{1 - U_r} \quad (31.4)$$

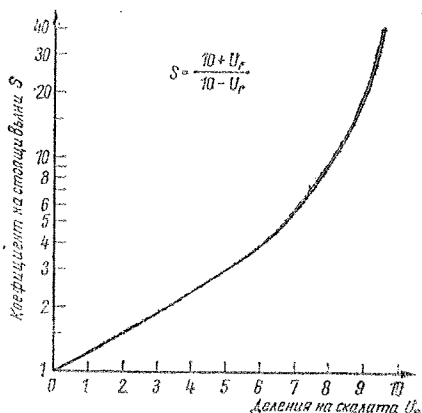
Ако скалата на уреда има „двудно-etalонирани“ десетични деления, съгл. ур. (31.4) всяко от тях ще отговаря на следните стойности на коефициента на стоящи вълни:

Деления	0	1	2	3	4	5	6	7	8	9	10
$s$	1,0	1,2	1,5	1,9	2,3	3	4	5,7	9	19	$\infty$

В случай че тази „изкривена“ скала по някакви съображения е неудобна, тя може да се etалонира за точни стойности на коефициента на стоящи вълни.

От фиг. 31.17 могат да се видят междинните стойности за etалониране на скалата за индикация на желаната стойност на  $s$ . Предполага се, че etалонирането на скалата е извършено с 10 еднакви стъпала на напрежението. Ако скалата не е etалонирана направо в стойности на коефициента на стоящи вълни, графиката от фиг. 31.17 може да се използва и като etалонираща крива.

Измерителният уред може да бъде etалониран заедно с диода за изправяне на напрежението на обратната вълна още преди цялостната настройка на рефлектометъра. Etалонирането се извършва с право напрежение, като трябва да се знае, че деленията на скалата са толкова по-равномерни, колкото по-чувствителен е използваният уред за индикация. Обикновено се използват уреди от магнетоелектричната система с обхват 0,1 mA, но се срещат и такива с максимален обхват 1 mA. Стойността на регулатора на чувствителността  $P$  зависи от вътрешното съпротивление на измерителния уред, но най-често е между 50 и 100 k $\Omega$ .



Фиг. 31.17. Коефициент на стоящи вълни  $s$  в зависимост от отношението  $U_h/U_r$  (напрежението  $U_h$  винаги е равно на 10 деления на скалата)

#### Инструкция за настройка, валидна за всички видове рефлектометри:

Буксата на рефлектометъра  $B_2$  (откъм антената) се затваря с товарното съпротивление, както вече беше описано по-горе. Изходът на предавателя (в повечето случаи това е Колинс-филтър) се включва към букса  $B_1$ . Рефлектометърът се включва за измерване на падащата вълна, включва се предавателят и елементите за връзка с антената се настройват така, че индикаторът на рефлектометъра да даде максимално показание. Тази настройка отговаря на оптимален товар на предавателя. С регулатора на чувствителността се нагласява отклонението на стрелката на уреда. То трябва да стане точно 10 деления (крайно отклонение). След това рефлектометърът се превключва за измерване на отразената вълна (чрез съответния превключвател). Показанието на индикатора рязко намалява, но само в изключителни случаи става равно на 0. При рефлектометрите с достъпен измерителен проводник остатъчното отклонение на стрелката може да се намали евентуално чрез преместване на точката на свързване на диода  $D_1$  към измери-

телния проводник. При прецизна изработка и реално товарно съпротивление индикаторът може да се доближи до нулевата стойност. При коаксиалните рефлектометри възможността за настройка на нулевата индукция е много ограничена; в този случай може само да се провери дали някое изменение на измерителния проводник, съотв. на стойността на товарното съпротивление, няма да доведе до подобрене.

След като се постигне минимално показание за напрежението на отразената вълна, рефлектометърът се свързва обратно, т. е.  $B_2$  се включва към изхода на предавателя, а  $B_1$  — към изкуствената антена.  $P$  остава в предишното си положение, превключвателят на рефлектометра също остава включен за измерване на отразената вълна. При същата изходна мощност на предавателя стрелката на уреда отново се отклонява докрай, защото всъщност се измерва проходящата мощност. Диодът  $D_1$  при това обратно свързване на рефлектометра изпразва напрежението на отразената вълна. Затова след превключване на превключвателя в положение „отразена вълна“ стрелката на уреда отново трябва да има минимално отклонение. Отклонението може да се намали чрез предпазливо изменение на точката на свързване на  $D_1$  към измерителния проводник. С това настройката на рефлектометра е завършена. Рефлектометърът отново се включва в нормално работно положение.

Един твърде голям коефициент на насоченост  $a$  се познава по това, че при измерване с реално товарно съпротивление все пак се получава индикация за напрежението на отразената вълна, различно от 0. Причините за това явление вече бяха обяснени в раздел 31.2.1. Понякога е възможно да се получи по-малко отклонение (по-добро нулиране) чрез изменение на съпротивленията в измерителната верига или чрез незначително удължаване на измерителния проводник. Трябва да се внимава за това при прехода от коаксиалния вътрешен проводник към коаксиалните букси  $B_1$  и  $B_2$ , да не се получава скокообразно изменение на вълновото съпротивление. Когато трябва да се получи много малка грешка при измерването, даже

простите в схемно отношение рефлектометри трябва да се изработват съвсем старателно.

Трябва да се спомене още и това, че при известни обстоятелства диодите на един рефлектометър могат да бъдат причина за възникване на телевизионни смущения. Както е известно, диодните схеми на умножители на честота дават в достатъчно количество висши хармонични. Такъв режим на работа може да се получи и при рефлектометрите. В такъв случай може да се помогне с филтриране и блокиране на постояннотоковата верига между диодите и измерителния уред чрез дросел. Общо взето обаче, е достатъчно обикновеното блокиране с кондензатор, което е посочено в схемите, особено когато рефлектометърът е монтиран в екранираща кутия.

Рефлектометрите имат много широка употреба и могат да се използват и в обхвата 70 см. Тъй като те са може би най-важните любителски антенни измерителни уреди, отделните модели бяха описани подробно. Даже с един прост коаксиален рефлектометър може да се настрои връзката на крайното стъпало на предавателя с антената: максималното измерено напрежение на падащата вълна съответствува на оптимално отдаване на енергията. Резонансната честота на антените се определя много бързо при измерване на отразената вълна: това е честотата, при която коефициентът на стоящи вълни е минимален. Освен това с рефлектометър може да се контролира непрекъснато настройката на антените, като се наблюдава нарастването или намаляването на напрежението на отразената вълна. Затихването на сигнала при премияването му през рефлектометра е незначително. Затова рефлектометърът може да остане включен продължително време в захранващата линия, за да се контролира степента на съгласуване с антената.

Един рефлектометър от този тип може да се използва и при антени, които се захранват чрез симетрична двупроводна линия с вълново съпротивление 240  $\Omega$ . В такъв случай единствено е необходимо между изхода на рефлектометра и захранващата линия да се включи симетриращ трансформатор (вж. фиг. 7.6), който служи като преобразувател на симетрията и





Фиг. 31.18. Двулампов индикатор; а — електрическа схема, б — механична конструкция

трансформира изходното съпротивление на рефлектометъра към стойността на вълновото съпротивление на двупроводната линия.

### 31.3. Индикатори на стоящи вълни за симетрични захранващи линии

Много любителски антени се захранват чрез симетрични линии, като често се използва обикновен УКВ-лентов кабел.

За индикация на стоящите вълни в такива антенни системи са разработени прости индикатори, които работят на принципа на рефлектометъра. Става дума за много прости контролни устройства, с които в общия случай не могат да се извършват количествени измервания, а е възможна само приблизителна оценка на степента на съгласуваност.

#### 31.3.1. Двулампов индикатор за лентови кабели

При този много прост уред индикацията на стоящите вълни става чрез малки лампи с нажежаема жичка. На фиг. 31.18 е показана електрическата схема и механичната конструкция на уреда.

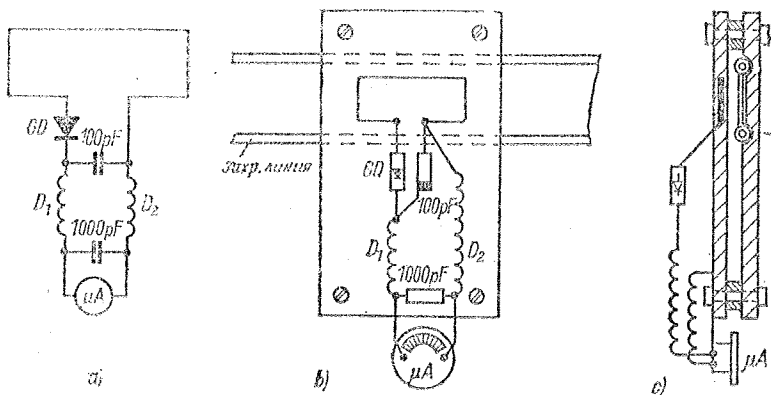
Шлейфът за връзка се изработва от парче лентов кабел от типа, който се използва и за захранващата линия. Дължината на шлейфа за връзка не трябва да бъде  $\lambda/4$ . Като правило тя е равна на  $3/10\lambda$  или по-малко. Двата края на шлейфа са свързани на късо, а единият проводник се прекъсва в средата. Шлейфът за връзка прилича на един малък шлейфовibrator. Двата проводника, получени при прекъсването на едното жило на лентовия кабел, се свързват по най-къс път към рез-

бата на две лампи с нажежаема жичка. Средните контакти на тези лампи се запояват един за друг и се свързват галванически към съседния проводник на двупроводната линия. Обикновено се използват лампички 3,8 V/0,07 A, тъй като нажежаемите им жички имат малка топлинна инертност. Шлейфът за връзка трябва да се разположи възможно най-близо до захранващата линия и да се фиксира в това положение с помощта на samozапелваща се пластмасова лента.

Преди измерването мощността на предавателя трябва отначало да се намали много и след това да се увеличава плавно, докато лампичките светнат със средна яркост. Ако съществува приблизително точно съгласуване, лампичката 1, разположена откъм предавателя, ще свети много по-ярко от лампичката 2, разположена откъм антената. Принципът на работа на рефлектометъра се разпознава съвсем ясно: лампичката 1 отнема енергия от падащата вълна, докато лампичката 2 реагира на отразената вълна.

Целта на последващите настройки на средствата за съгласуване е да се постигне такова състояние, при което лампичката 2 не свети, а лампичката 1 свети с максимална яркост. В този случай стоящите вълни са изчезнали и съгласуването е достатъчно точно.

При малки изходни мощности на предавателя лампичките не могат да светнат. В този случай лампичките се заместват с въглеродослойни резистори със стойност около 500  $\Omega$ ; високочестотните напрежения, падащи върху тези резистори, се изправят с германиеви диоди и след филтриране на високочестотните компоненти се подават за индикация на един магнитоелектричен стрелков уред. Точно съгласуване ще съществува, ако падът на напрежение върху резистора, разположен откъм антената, е равен на нула.



Фиг. 31.19. Опитна постановка за измерване на стоящи вълни; а — електрическа схема, б — механична конструкция (изглед отпред), в — механична конструкция (изглед отстран)

### 31.3.2. Високочестотни волтметри като индикатори на стоящи вълни

Описаните по-долу индикатори вече допускат и количествено измерване на стоящите вълни. Като се използва принципът на измерителната линия, се измерват високочестотните амплитуди върху една по-дълъг отрязък от двупроводната линия. Коефициентът на стоящи вълни се получава като отношение на измерената максимална стойност на напрежение ( $U_{\max}$ ) към минималната стойност на напрежението ( $U_{\min}$ ).

На практика обаче работата с уред, използваващ този принцип, не е така проста, както с описания по-горе двупроводен индикатор на стоящи вълни. Причина за това са донякъде по-сложната механична конструкция и трудният процес на измерването.

При измерването на напрежението по дължината на захранващата линия коефициентът на връзка между индикатора и изследвания лентов кабел трябва да бъде еднакъв във всички точки на кабела. За целта се изработва един плъзгач, в който се намира шлейфът за връзка. Този плъзгач подобно на плъзгача на сметачната линияка може да се плъзга по дължината на лентовия кабел. Опитната постановка за едно такова измерване е показана на фиг. 31.19. Напрежението от захранва-

щата линия се отнема по индуктивния път и се изпраща от германиевия диод GD. Полученото право напрежение се филтрира и се подава за измерване на един микроамперметър. Волтамперната характеристика на диода не е линейна и затова измервателният инструмент трябва да се еталонира отново заедно с диода (вж. раздел 31.2.). Шлейфът за връзка има по-малки размери от тези при двупроводния рефлектометър за лентови кабели. Неговата дължина в късовълновия обхват може да бъде между 5 и 10 cm, докато за обхвата 2 m е достатъчна една дължина от само 2 cm. Двата еднотипни дросела  $D_1$  и  $D_2$  трябва да са оразмерени за изследвания честотен обхват. За всички късовълнови обхвати се използват бобини с намотка тип „универсал“ и с индуктивност около 0,5 mH. В УКВ обхвата се използват свободно навити дросели с около 20 нав. от лакиран меден проводник, навити около един молив. Измервателният уред не трябва да бъде непременно микроамперметър, може да се включи и един по-малко чувствителен уред с крайно отклонение 1 mA.

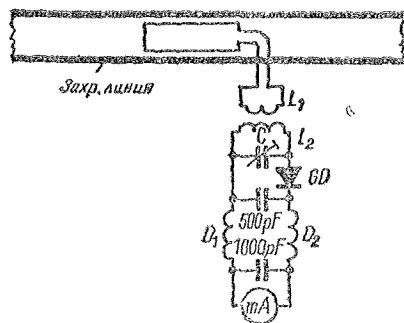
Шлейфът за връзка се състои от меден проводник с дебелина 1 mm, поставен в пластина от полистирол. За целта проводникът отначало се сгъва, за да има нужната форма, и след това се нагрява с ютия. Нагретият проводник се притиска върху термопластичната

пластина от полистирол и потъва в нея. В срещуположната пластина се изработват улеи за преминаване на лентовия кабел, но така, че двете пластини да лежат плътно една до друга и въпреки това плъзгачът (и измерителният шлейф) да се плъзга на едно и също разстояние над захранващата линия. На фиг. 31.19с това разстояние за прегледност е начертано донякъде твърде голямо.

При преместване по дължината на линията измерителният инструмент показва относителната стойност на високочестотното напрежение. При съгласуване стойността на напрежението във всички точки на захранващата линия е еднаква и в линията не съществуват стоящи вълни.

Разсъгласуването се отчита по нееднаквостта на измерените напрежения в различните точки на линията. Появяват се максимуми и минимуми на напрежението. Коэффициентът на стоящи вълни се получава непосредствено от (5.15) като отношение на максималното към минималното измерено напрежение. Измерителната схема е аperiодична и следователно за индикация се подават напрежения с всяка от съществуващите честоти. Ако сигнала на предавателя има много висши хармонични, резултатът от измерването може да бъде погрешен.

На фиг. 31.20 е показана друга схема, която работи по същия принцип, но изключва влиянието на висшите хармонични и е особено чувствителна. Шлейфът за връзка е свързан към бобината  $L_1$  (1 до 2 нав.) чрез парче от лентов кабел (с вълново съпротивление около  $70 \Omega$ ) или чрез плосък мрежов кабел в пластмасова изолация. Връзката на бобината  $L_1$  с бобината  $L_2$  трябва да може да се изменя в много широки граници. Третият кръг  $L_2$ —C е настроен на честотата на предавателя. Той е един поглътателен кръг, като високочестотното напрежение, по-



Фиг. 31.20. Чувствителен индикатор на стоящи вълни

лучено от него, се изправя и се подава за индикация на магнетоелектричен измерителен уред. Приложението на уреда и удобствата при работа с него са същите, както при описаната по-горе опростена модификация.

Описаните устройства за индикация на стоящи вълни след съответните механични изменения могат да се използват и за измерване при саморъчно изработени ненастроени двупроводни линии с въздушна изолация. Вълновото съпротивление на двупроводната линия е без значение.

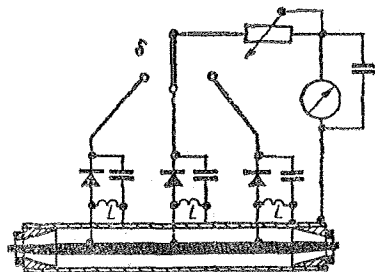
### 31.4. Измерителна линия

Измерването на разсъгласуването на една високочестотна линия позволява не само да се определи коэффициентът на стоящи вълни, но и да се определят активните и реактивни компоненти на импеданса на консуматора. В лабораториите за измервания в СВЧ и УКВ обхватите се използват така наречените измерителни линии.

Измерителната линия представлява механичен модел на коаксиален кабел с точно известно вълново съпротивление. Външният проводник на изме-



Фиг. 31.21. Схематично представяне на измерителна линия



Фиг. 31.22. Измерителна линия с три диода

рителната линия има един надлъжен шлиц, по който се плъзга измерителната глава. Напрежението за измерване се отнема капацитивно от вътрешния проводник с помощта на измерителна сонда (фиг. 31.21).

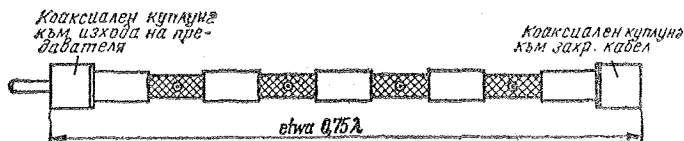
Индустриално произвежданите измерителни линии са прецизни уреди с висока точност на измерване. В съответствие с това и цената на едно такова устройство е много висока и то е недостъпно за отделния радиолюбител. Самостоятелното изработване също едва ли е възможно. Освен това практическите възможности за приложение на измерителните линии са ограничени само до СВЧ и част от УКВ-обхвата.

Измерителната линия може да се опрости механически, ако отпадне плъзгащата се измерителна глава и се предвидят няколко постоянни точки за измерване, разпределени по дължината на линията (фиг. 31.22). Тази измерителна линия с три диода се оразмерява за определена честота в СВЧ или УКВ обхвата (дължината на линията и разположението на точките за измерване зависят от честотата). С това силно се ограничават възможностите за приложение на линията. Разбира се, измерването в три точки не е така точно, както при плавно плъзгане на измерителната сонда по цялата дължина на линията. Индуктивностите  $L$  заедно с

капацитетите на диодите образуват резонансни кръгове, настроени на честотата на сигнала.

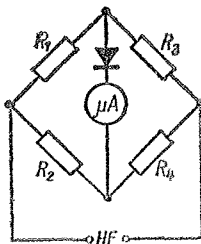
Един опростен модел на измерителна линия с няколко точки на измерване се получава, като се оголи на няколко места вътрешният проводник на едно парче коаксиален кабел, така че да може да се вкара до него върхът на една високочестотна измерителна глава. За целта се отстранява на няколко места външната защитна обвивка на кабела и оплетката (външният проводник) се разпъва или се пробива, докато се образува малък кръгъл отвор над диелектрика. Диелектриктът също се отстранява и се получава достъп до вътрешния проводник. В отвора се поставя и се залепва една пробита керамична сачма или фина пластмасова тръбичка, така че вътрешният проводник да може да се докосне отвън с острия връх на измерителната глава. Всички части от кабела, в които ще се извършва измерване, трябва да се обработят по описания начин (фиг. 31.23). Дължината на измерителната линия трябва да бъде поне  $0,75 \lambda$ . Предвидените точки за измерване се разпределят равномерно по нея. Вълновото съпротивление на измерителната линия трябва да съответства точно на вълновото съпротивление на изследвания захранващ кабел. Измерителната линия се включва като част от захранващия кабел между изхода на предавателя и истинската захранваща линия.

С острия връх на измерителната глава на един високочестотен лампов волтметър или на друг измерител на напрежение се установява размахът на високочестотното напрежение в различните точки. Ако се измерят различни напрежения, съществува разсъгласуване. Еднаквите напрежения във всички точки на измерване означават, че кабелът е съгласуван правилно към антената. Тъй като напрежението не се измерва непрекъснато, при тази постановка не могат да се определят



Фиг. 31.23. Опростена измерителна линия

однозначно максималната и минималната стойност на високочестотното напрежение. Не може да се получи количествена оценка на коефициента на стоящи вълни. Въпреки това една такава импровизирана измерителна линия в СВЧ обхвата работи по-добре от саморъчно изработените рефлектометри и представлява интерес за радиолюбителите, работещи в обхватите 70 см и 2 м.



Фиг. 31.24. Основна схема на високочестотен измерителен мост

### 31.5. Мостови схеми като измерителни уреди, използвани при съгласуване

Високочестотният измерителен мост (от типа на моста на Уитстон) е един уред с многостранно приложение, който при това се изработва много лесно. Такива устройства са известни и популярни под различни имена; те работят по един и същи принцип независимо от наименованието си. Основната мостова схема е показана на фиг. 31.24.

Мостът се захранва с висока честота. Резисторите, свързани в схемата, трябва да представляват чисто активно съпротивление за сигнал със захранващата честота.  $R_1$  и  $R_2$  са напълно равни помежду си (с точност до 1% или повече). Самата стойност на съпротивлението е от второстепенно значение. При това предположение, когато мостът е в равновесие (нулевата индикация на измерителния инструмент), се получават следните съотношения:

$$R_1 = R_2; \quad R_1 : R_2 = 1 : 1$$

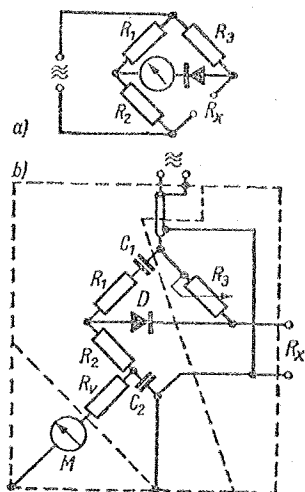
$$R_3 = R_4; \quad R_3 : R_4 = 1 : 1$$

Ако на мястото на  $R_4$  се постави изпитваното съпротивление, на което трябва да се определи активната компонента, и ако вместо  $R_3$  се използва еталониран потенциометър (безиндуктивен), то при нулево показание на индикатора стойността на измерваното съпротивление е равна на стойността на съпротивлението на потенциометъра. Следователно може да се измерва и входното съпротивление на една антена. Трябва обаче да се има предвид, че входното съпротивление на една антена е активно само в случай на резонанс. Затова честотата, с която

се захранва мостът, трябва да отговаря на резонансната честота на излъчвателя. Освен това чрез такъв мост може да се измерва вълновото съпротивление на захранващи линии от всякакъв вид, както и техният коефициент на съгласуване.

#### 31.5.1. Антеноскоп

На фиг. 31.25 е показана една мостова схема, която е особено подходяща



Фиг. 31.25. Антеноскоп; а — принципна схема на високочестотния измерителен мост, б — схема на антеноскоп, предложен от W2AEF,  $R_1 = R_2 = 200 \Omega$ ,  $C_1 = C_2 = 500 \text{ pF}$ ,  $R_3$  е линеен потенциометър с максимална стойност  $500 \Omega$ ,  $R_v$  — предпазен резистор на индикатора,  $M$  — уред от магнитоелектрическа система, максимален обхват  $0,2 \text{ mA}$ ,  $D$  — германиев диод

за антенни измервания. Тя е описана за първи път от *W2AEF* и е станала известна под името антеноскоп.

Не е задължително абсолютните стойности за  $R_1$  и  $R_2$ , както и за  $C_1$  и  $C_2$ , дадени от *W2AEF*, да се спазват съвсем точно. Единствено важно е изискването  $R_1$  и  $R_2$ , както и  $C_1$  и  $C_2$  да бъдат с напълно еднакви стойности. Следователно  $R_1$  и  $R_2$  могат да бъдат със стойност 150  $\Omega$ , 250  $\Omega$  или друга, близка до тях, стига двете съпротивления да са равни помежду си. Това важи аналогично и за  $C_1$  и  $C_2$ .

Не е нужно да се купуват скъпи измерителни резистори с висок клас на точност. По-изгодно е от голямо количество резистори с помощта на мост или омметър да се изберат два с еднакви стойности.

Потенциометърът  $R_3$  трябва да бъде безиндуктивен, въглеродослоен. Жичните потенциометри са напълно неизползуваеми. Един възможно най-малък по габарити стандартен потенциометър, от който в случая е отстранена екраниращата обвивка, често дава удовлетворителни резултати и в УКВ-обхвата до 150 MHz. При монтажа трябва да се внимава преди всичко за това да бъдат избягнати вредните паразитни капацитети между  $R_3$  и околните схемни елементи и екранировки. Затова потенциометърът трябва да се монтира на разстояние от лицевата плоча на моста върху гетинаксова плочка. Оста на потенциометъра се извежда изолирана през металната лицева плоча. Избрана е стойност на съпротивлението 500  $\Omega$ , за да могат да се измерват почти всички срещани се в практиката входни съпротивления на захранващите линии. Тъй като потенциометри със стойност 500  $\Omega$  понякога се намират трудно, могат да се използват и по-често срещаните линейни потенциометри от 1 k $\Omega$ . Паралелно на такъв потенциометър се включва въглеродослоен резистор 1 k $\Omega$ ; с тази схема се получава добро разпределение на стойностите на съпротивлението в зависимост от ъгъла на завъртане на оста на потенциометъра. В последно време обаче все повече се използват антенни системи, които се захранват с коаксиален кабел. Затова обхватът на антеноскопа може да се ограничи на 100  $\Omega$ . В този случай  $R_3$  трябва да се замени с въглеродослоен потенциометър с

максимална стойност на съпротивлението 100  $\Omega$ . По такъв начин се получава по-добра точност на отчитането в този обхват на измерване.

Потенциометърът се еталонира по постоянен ток с помощта на един точен омметър, на оста му се поставя скала, по която направо могат да се отчитат стойностите на съпротивлението, съответстващи на определен ъгъл на завъртане на оста. При нулево показание на индикатора стойността на измерваното съпротивление е равна на стойността, показвана на скалата на потенциометъра.  $R_4$  е предсъпротивление (защитно съпротивление) на измерителния уред. Неговата стойност зависи от вътрешното съпротивление на измерителния уред и от желаната чувствителност на индикацията.

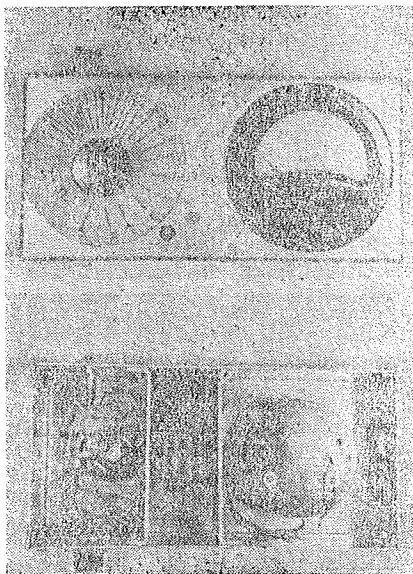
*W2AEF* използва уред от магнито-електрическата система с крайно отклонение на стрелката 0,2 mA. Използуването на особено чувствителни измерителни уреди (напр. с крайно отклонение 0,05 или 0,1 mA) води до добри резултати. Тези уреди трябва да се включват винаги през възможно най-високоомно защитно съпротивление, за да се избегне нарушаването на равновесието на моста. Към германиевия диод не се поставят никакви особени изисквания; подходящи са почти всички продавани високочестотни изправителни диоди, напр. *GA100*.

При изработването на мостовата схема трябва да се използват възможно най-къси свързващи проводници, за да се избягнат големите паразитни капацитети и индуктивности; при това трябва да се спазва механичната симетрия на монтираните елементи. Целият уред е поместен в екранираща кутия, в която отделните схемни елементи са разположени съгл. фиг. 31.25b. Кутията е разделена на три секции; отделящите екраниращи стени са начертани с прекъснати линии. Мостът е свързан с едното си рамо към маса, т. е. не е симетричен спрямо земя. По този начин конструкцията се опростява и става по-непретенциозна. Следователно мостът е особено удобен за измерване на несиметрични спрямо земя съпротивления (напр. коаксиален кабел). С достатъчна точност обаче могат да се измерват и симетрични кабели и антени. Екранировката не се

заземява. Затова е целесъобразно уредът да се постави върху изолиращи крачета, а горната му повърхност да се покрие с изолиращ защитен лак. Със същия успех може да се използва и кутийка от фолиран гетинакс. Както вече беше споменато, потенциометърът трябва да се монтира в екранираната си секция върху изолационна пластина, така че разстоянието между него и заобикалящите го метални плоскости да бъде възможно най-голямо. Неговите метални части не бива да бъдат свързани с екранировката.

Този измерителен уред може да се използва без изменения както в късовълновия, така и в УКВ обхвата. Границите на използваемостта в УКВ обхвата зависят от механичната конструкция и от отделните части, използвани при монтирането на моста. Като високочестотен генератор за захранване на моста може да се използва гриддипметър, както и всеки друг високочестотен генератор с променяща се честота и достатъчна изходна мощност. Подаваната към моста високочестотна мощност не бива да надвишава  $1\text{ W}$ , за да не се изложат на опасност дводът и измерителният уред; около  $0,2\text{ W}$  вече са достатъчни за захранване на моста. Високочестотното напрежение се подава много просто към моста — чрез бобина за връзка, която има от 1 до 3 нав. Тя е свързана индуктивно с бобината на гриддипметъра така, че при отворени букси за  $R_x$  (мястото на включване на измерваното съпротивление) стрелката на индикатора да се отклони докрай. При по-силна връзка с гриддипметъра той променя резонансната си честота. За да се избягнат грешките при измерването, действително генерираната от гриддипметъра честота трябва да се контролира непрекъснато с един еталониран честотно приемник. На фиг. 31.26 е показано едно просто, но въпреки това надеждно изпълнение на антеноскоп, предложен от W2AEF.

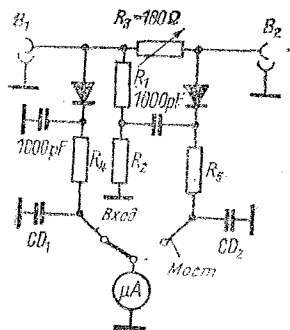
Едността на моста за работа се изпробва, като на мястото на  $R_x$  се включи едно безиндуктивно активно съпротивление с точно известна стойност. Тогава стойността на съпротивлението на потенциометъра, при която се получава нулева индикация на уреда, трябва да бъде точно равна на тази на еталонното съпротивление. Този про-



Фиг. 31.26. Антеноскоп, предложен от W2AEF; горе: изглед отпред, долу: вътрешен вид

цес се повтаря с няколко постоянни резистора при различни захранващи честоти. Така се получава впечатление за границите на използваемост на уреда, при които индикацията на равновесието на моста вече не е така силно изразена. В късовълновия обхват би трябвало винаги да се получават безупречни резултати от измерванията; напротив, в УКВ обхвата отделните елементи придобиват повече или по-малко изразен комплексен характер, заради което вече не може да се установи равновесие на моста. Чрез старателно променяне на положението на свързващите проводници, на тяхната дължина и на самите елементи на схемата е възможно често да се получат използваеми резултати и в обхвата  $2\text{ m}$ . В обхвата  $70\text{ cm}$  обикновените мостови схеми са напълно непригодни.

Индустриално произвежданите съгласувачи измерителни мостови схеми имат горна гранична честота около  $250\text{ MHz}$ . Това се постига чрез особено подходяща механична конструкция и чрез компенсация на реактивните съпротивления.



Фиг. 31.27. „Метче́йкър“

След като се провери годността на антеноскопа, той може да се използва за практически измервания.

### 31.5.2. Мостова схема

за измерване на параметрите на коаксиални кабели и антени с входно съпротивление до 100 Ω

Тази мостова схема, известна сред радиолюбителите под името „метче́йкър“, не представлява нищо друго освен един антеноскоп, оразмерен специално за измерване на коаксиални кабели и антени с входно съпротивление до 100 Ω. Освен това този уред има още един високочестотен изправителен диод, който позволява измерването на високочестотното захранващо напрежение. Схемата на моста е показана на фиг. 31.27. Кутията на уреда е разделена на три екранирани секции, при което в средната секция е поместен германиевият диод и филтриращите елементи, необходими за измерване на входното напрежение. Потенциометърът е безиндукционен; той е със стойност 100 Ω. За него важат указанията, дадени по-горе в раздела за описанието на антеноскопа. Постоянните резистори  $R_1$  и  $R_2$  трябва да бъдат напълно равни помежду си. Тяхната стойност може да се избира произволно между 40 и 80 Ω. Защитните резистори на индикатора  $R_4$  и  $R_5$  са обикновени резистори, чиято стойност се определя от вътрешното съпротивление на измерителния уред. При уред от магнитоелектрическата система с крайно отклонение 0,1 mA  $R_4$  трябва да има стой-

ност 15 kΩ, а  $R_5$  — 7,5 kΩ. Трябва да се има предвид, че отношението на  $R_4$  към  $R_5$  трябва да бъде 2:1.  $CD_1$  и  $CD_2$  са проходни кондензатори с капацитет около 1000 pF (стойността не е критична). Потенциометърът се еталонира с точен омметър (при това германиевите диоди не са свързани към схемата). Измерените стойности се отбелязват върху прегледна скала с деления от 100 Ω до 10 Ω. Резисторите  $R_1$  и  $R_2$  трябва да разсейват мощност около 1 W.

След сглобяването на уреда са необходими настройка и изпробване. За целта изходът  $B_2$  (измервано съпротивление) се натоварва с точно известно безиндуктивно съпротивление (напр. 60 Ω). Към входа на уреда се подава такова високочестотно напрежение, че стрелката на индикатора да се отклони до средата. При това превключвателят е в положение „вход“. Необходима е високочестотна мощност от около 0,2 W, която може да даде и един гриддиометър. След това превключвателят се поставя в положение „мост“. Потенциометърът се нагласява така, че да се получи равновесие на моста (нулева индикация). Стойността, отчетена по скалата на потенциометъра, трябва да отговаря точно на съпротивлението на товарния резистор. След това товарният резистор се отстранява и буксата  $B_2$  остава свободна. Уредът се захранва с високочестотно напрежение с размах, достатъчен за отклонение на стрелката на индикатора до средата на скалата (превключвателят отново е поставен в положение „вход“). При превключване в положение „мост“ стрелката на индикатора трябва да се отклони докрай, защото съотношението на съпротивленията на защитните резистори е 2:1. Ако стрелката не се отклони докрай, трябва да се промени по съответен начин стойността на  $R_5$ . Същият процес се повтаря при изход  $B_2$ , свързан на късо. При същата входна мощност при положение на превключвателя „мост“ стрелката на индикатора отново трябва да се отклони докрай, а при положение „вход“ — до средата. Ако това не стане, значи резисторите  $R_1$  и  $R_2$  не са напълно еднакви по стойност.

Съга индикаторът може да се еталонира за отчитане на коефициента на стоящи вълни  $s$  по следния начин.



Потенциометърът се поставя на отбелязаното положение „60  $\Omega$ “ и изходът  $B_2$  се натоварва с един безиндуктивен резистор със съпротивление 60  $\Omega$ . Размахът на височестотното хранящо напрежение се подбира така, че при положение на преключвателя „вход“ стрелката на индикатора да се отклони до средата на скалата. При превключване към „мост“ индикацията трябва да бъде 0, което съответствува на коефициент на стоящи вълни  $s=1$ . След това към буксата  $B_2$  последователно се включват различни резистори с точно известно съпротивление и всеки път се отбелязва отклонението на стрелката на индикатора. Превключвателят трябва да бъде в положение „мост“. Входното напрежение трябва да остане постоянно по размах. Не бива да се променя и положението на потенциометъра. Ако например товарното съпротивление е със стойност 120  $\Omega$ , стрелката на индикатора ще се отклони до деление на скалата, съответстващо на коефициент на стоящи вълни  $s=2$  (120  $\Omega$  : 60  $\Omega$ ); при товарно съпротивление 240  $\Omega$  би се получил коефициент на стоящи вълни  $s=4$ . Когато се измерят достатъчен брой товарни резистори, може да се построи еталонна крива, базираща се на резултатите от измерванията. В някои случаи стойностите на коефициента на стоящи вълни се нанасят направо върху скалата на измерителния уред. При практическите измервания трябва да се спазят следните указания:

а. Потенциометърът винаги трябва да се нагласява на такава стойност на съпротивлението, която отговаря точно на вълновото съпротивление на измервания коаксиален кабел.

б. Размахът на входното напрежение (положение „вход“) трябва да се подбере преди всяко измерване така, че стрелката на индикатора да се отклонява до средата на скалата.

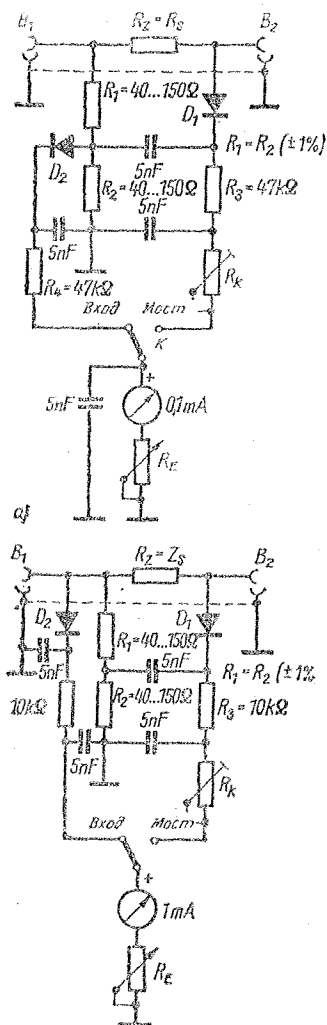
с. При измерване на антени захранващата честота трябва да отговаря на резонансната честота на излъчвателя.

С разумно използване на този измерителен мост могат да се решат всички проблеми за съгласуване, възникващи при работа в обхвата на късите вълни.

### 31.5.3. Мостове за измерване на съгласуването, при които се използват постоянни еталонни резистори

В много случаи за храняване на предавателните си антени радиолюбителят използва само един тип кабели, най-често коаксиален кабел с вълново съпротивление 60  $\Omega$ . В такива случаи потенциометърът може да се замени с едно безиндуктивно еталонно съпротивление със стойност, равна точно на вълновото съпротивление на кабела. По този начин до известна степен се ограничават възможностите за измерване. Трябва обаче да се има предвид, че е много трудно да се намери потенциометър, който и в УКВ обхвата да работи като чисто активно съпротивление. Напротив, в магазините има безиндуктивни постоянни резистори (УКВ-резистори), които позволяват да се достигне по-висока горна гранична честота на обхвата на измерване. На фиг. 31.28 са показани две схеми на измерителни мостове с постоянни резистори  $R_z$ . В зависимост от вълновото съпротивление на захранващата линия стойността на този резистор може да бъде 50, 60, 70 или 75  $\Omega$ .  $R_z$  трябва да бъде безиндуктивно въглеродослойно съпротивление с голям клас на точност и допустима разсейвана мощност около 0,5 W. За останалата част от схемата и за настройката важи казаното по-горе.

Резисторите  $R_3$  и  $R_4$  имат еднаква стойност, те са защитните резистори на индикатора.  $R_3$  и  $R_4$  могат да бъдат толкова по-големи по стойност, колкото по-чувствителен е измерителният уред. Заради големите стойности на защитните резистори индикацията на напрежението е доста линейна и не е необходимо специално еталониране на индикатора заедно с диода. Всички използвани кондензатори са дискови, керамични, с капацитет 5000 pF. Тази стойност може да варира от 1000 до 10000 pF. Настройваният потенциометър  $R_k$  е нужен само при първоначалната настройка. Неговата стойност е около 1000 k $\Omega$ .  $R_E$  е регулатор на чувствителността; неговата стойност зависи от вътрешното съпротивление на измерителния уред. Прекъснатите линии означават, че  $R_z$  е поставен в отделна екранирана секция, като се за-



Фиг. 31.28. Мостови схеми с постоянен стален резистор

поява с възможно най-къси свързващи проводници към  $B_1$  и  $B_2$ .

Отначало мостът се захранва с високочестотно напрежение през  $B_1$  при свободна буква  $B_2$ . Превключвателят се оставя в положение „вход“ и чрез регулатора на чувствителността  $R_E$  се постига отклонение на стрелката на индикатора до края на скалата. При превключване на превключвателя в

положение „мост“ стрелката на индикатора отново трябва да се отклони до края на скалата. Тъй като това се случва рядко, трябва да се използва тримерът  $R_K$ . Сигеова помощ се постига еднаквост на показанията на уреда при отворена буква  $B_2$ . След това отново се превключва на „вход“ и буксата  $B_2$  се свързва на късо. Ако е необходимо, чрез  $R_E$  пак трябва да се постигне отклонение на стрелката на уреда до края на скалата. При превключване в положение „мост“ трябва да се получи същата индикация; ако това не стане, значи резисторите  $R_1$  и  $R_2$  не са напълно равни помежду си или пак съществуват паразитни връзки между рамената на моста. Тази настройка би трябвало да се извърши с няколко захранващи честоти, най-малкото с най-високата и най-ниската от предвидените за използване честоти (напр. 3500 kHz и 28000 kHz). Резултатите от измерванията могат да послужат за анализ на съществуващите грешки. Когато напр.  $R_1$  и  $R_2$  не са напълно равни по стойност, докато конструктивно мостът е в ред, грешката в индикацията ще бъде точно една и съща при всички честоти. Ако напротив, при различни честоти се получат различни грешки в показанията на индикатора, може да се приеме, че елементите на моста са разположени неправилно и се появяват паразитни капацитети или индуктивности.

При изработването на високочестотни измерителни мостове трябва да се спазват следните общи правила:

а. Във високочестотния клон на моста свързващите проводници и изводите на елементите трябва да са възможно най-къси.

б. Резисторите  $R_K$ ,  $R_1$  и  $R_2$  трябва да се монтира така, че да са отдалечени от заобикалящите ги метални части на разстояние, поне два пъти по-голямо от диаметъра им.

с. Елементите във високочестотния клон на моста трябва да се разполагат така, че взаимното влияние заради паразитната индуктивна или капацитивна връзка да бъде възможно най-малко.

За да се изпробва равновесието на моста отначало, както при всяко измерване с мост, се прави основна настройка: буксата  $B_2$  се оставя свободна, регулира се  $R_E$  така, че и при двете положения на превключвателя да се по-

лучи отклонение на стрелката на индикатора до края на скалата. След това към  $B_2$  се свързва товарно съпротивление, чиято стойност съответствува точно на стойността на  $R_z$ . В положение на превключвателя „*выход*“ стрелката на уреда трябва да се отклони до края на скалата (евентуално да се донастрои чрез  $R_E$ ). При превключване в положение „*мост*“ стрелката на индикатора трябва да се върне на нула. Ако при всички захранващи честоти се получи индикация, различна от нула,  $R_z$  и товарното съпротивление не са напълно равни помежду си по стойност. Ако остатъчната индикация зависи от честотата, това означава, че измервателният резистор не е напълно безиндуктивен или пък че съществуват паразитни връзки между рамената на моста.

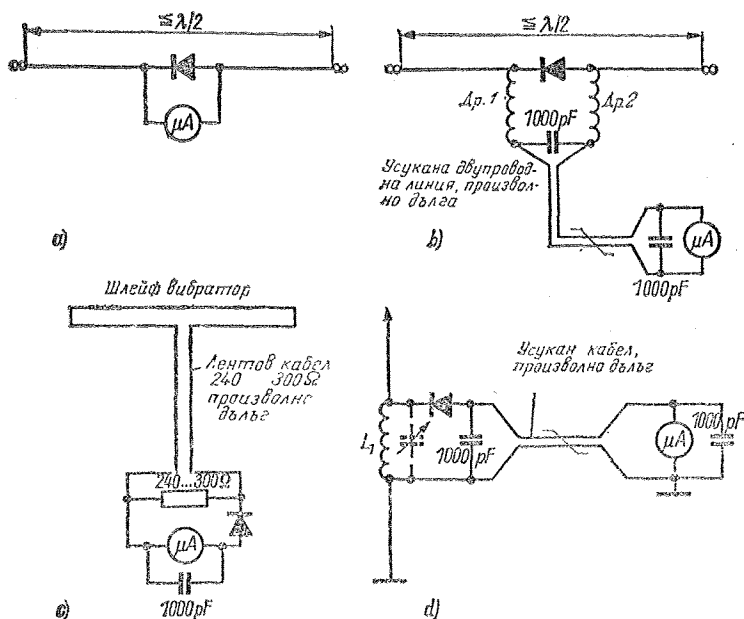
Когато показанията на индикатора са пропорционални на размаха на височестотното напрежение и деленията на скалата отговарят на 10 еднакво големи изменения на размаха на напрежението, коефициентът на стоящи вълни се получава по познатия начин от

фиг. 31.17 в зависимост от отчетените деления на скалата при положение на превключвателя „*мост*“.

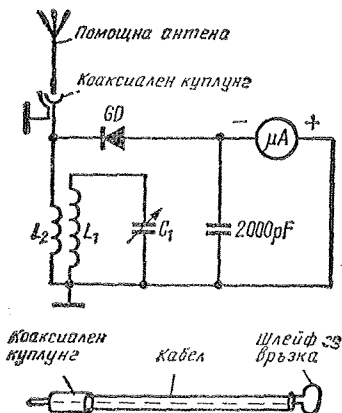
### 31.6. Индикатори на напрегнатостта на полето

При настройка на антени и при определяне на диаграмата на насочено действие на насочените антени могат да се използват прости индикатори на напрегнатостта на полето.

На фиг. 31.29 са показани няколко схеми на прости индикатори на напрегнатостта на полето. Най-простият вид е показан на фиг. 31.29a: един опънат полувълнов дипол, в чийто център е поставен един полупроводников диод. Паралелно на диода е включен като индикатор един възможно най-чувствителен микроамперметър. Измервателният дипол не трябва непременно да бъде дълъг  $\lambda/2$ ; той може да бъде скъсен произволно, при което обаче намалява чувствителността на индика-



Фиг. 31.29. Индикатори на напрегнатостта на полето



Фиг. 31.30. Селективен индикатор на напрегнатостта на полето

цията. Ако насоченият излъчвател е поляризиран хоризонтално, измерителният дипол също трябва да се окачи хоризонтално. Той трябва да се намира на възможно най-голямо разстояние от предавателната антена и на същата височина над земята. Когато антената излъчва по посока на индикатора на напрегнатостта на полето, ще се забележи едно по-голямо или по-малко отклонение на стрелката на измерителния уред. При този уред обаче отчитането на показанията на микроамперметъра трябва да се извършва от втори човек, което е сложно и неудобно.

Както показва фиг. 31.29b, микроамперметърът може да бъде отделен от измерителния дипол и да се свърже с него с произволно дълъг усукан двужилен проводник. Така измерителният уред може да се постави на толкова разстояние, че направи да се наблюдава резултатът от настройката на антената. В УКВ обхвата дроселите  $Dp_1$  и  $Dp_2$  са обикновени четвърт-вълнови дросели. Във всички късо-вълнови обхвати се използват високочестотни дросели с индуктивност около 1 mH (не е критична).

Конструкцията, показана на фиг. 31.29c, работи с шлейфвibrator. Входното съпротивление на шлейф-вibratorа е съгласувано към вълновото съпротивление на един произволно дълъг лентов кабел. Краят на

кабела се натоварва с резистор със стойност от 240 до 300  $\Omega$ . Изправянето на високочестотното напрежение става в долния край на лентовия кабел. Тази схема работи добре в обхвата на УКВ. Използването ѝ в обхвата на късите вълни е неудобно заради сравнително големите размери на шлейф-вibratorа.

Индикаторът на напрегнатостта на полето, показан на фиг. 31.29d, е пригоден специално за използване в късо-вълновия обхват. В този случай една къса помощна антена приема високочестотния сигнал. Падът на напрежение върху високочестотния дросел  $L_1$  се изправя от един германиев диод и се подава към измерителния уред през произволно дълъг двупроводна линия (полски кабел, звънчев проводник и пр.). Цялата система може да бъде заземена едностранно. Когато паралелно на  $L_1$  се включи променливият кондензатор  $C$  (начертан с прекъснати линии), дроселът се превръща в паралелен трептящ кръг и се постига по-голяма чувствителност на индикацията. Измерваната честота обаче трябва да попада в обхвата на настройката на трептящия кръг. При смяна на честотата трябва всеки път да се донастройва трептящият кръг. Полупроводниковите диоди, използвани във всички схеми, могат да бъдат какви да е високочестотни диоди (напр.  $GA100$ ). Не се поставят никакви особени изисквания към измерителните уреди; единственото е те да имат обхват на измерване  $\leq 0,5$  mA. Простите индикатори позволяват относителни измервания на напрегнатостта на полето, приблизително определяне на диаграмата на насочено действие на антените, както и оценка на затихването на сигнала в обратна посока.

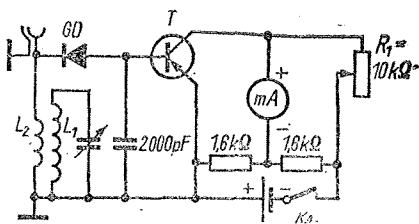
В някои случаи са необходими селективни индикатори на напрегнатостта на полето, т. е. уреди, които измерват напрегнатостта на полето едва тогава, когато са настроени на съответната честота. Те обединяват функцията на един индикатор на напрегнатостта на полето с тази на вълномера. Даже един прост вълномер с поглъщащ кръг (фиг. 31.30) въпреки сравнително малката си чувствителност представлява пълноценен измерителен уред в ръцете на радиолюбителя.  $L_1$  и  $C_1$  образуват един настройваем паралелен

трептящ кръг. Тъй като той трябва да бъде възможно най-селективен, не бива да се шунтира силно нито от помощната антена, нито от полупроводниковия диод. Затова се използва една малка бобина за връзка  $L_2$ , която е свързана слабо към кръга  $L_1-C_1$ . Помощната антена приема високочестотния сигнал и когато става дума за голяма напрегнатост на полето, индикаторът дава показание без кръгът  $L_1-C_1$  да е настроен в резонанс с честотата на предавателя. При донестройване на кръга индикаторът показва изразен максимум на приетия сигнал. При по-малка напрегнатост на полето индикаторът реагира едва тогава, когато трептящият кръг се настрои в резонанс с честотата на предавателя. Както и при гриддинметъра бобините могат да бъдат сменяеми и така да се покриват отделните обхвати.  $C_1$  е променлив кондензатор с максимален капацитет около 50 pF; неговата скала може да бъде еталонирана направо в честоти. Сменяемите бобини могат да се оразмерят съгл. табл. 31.1 и 31.2. Като измерителен уред могат да се използват уреди от магнетоелектрическата система с максимален обхват до 1 mA.

Един такъв уред може да има многостранно приложение. Ако напр. вместо помощната антена се постави отрязък от коаксиален кабел, който има в края си бобина за връзка, могат да се „опипат“ отделните стъпала в предавателя и да се локализира източниците на смущения. Селективните индикатори на напрегнатостта на полето могат да свършат добра работа и при неутрализацията на лампите на предавателя. Ако между масата и измерителния уред се включи една слушалка, се получава детекторен приемник, който позволява да се прослудва модулацията на собствения предавател (така наречения монитор).

Индикацията на високочестотното напрежение не е линейна, а приблизително квадратична. Когато се използва високочувствителен измерителен уред и може да се постави достатъчно голям предпазен резистор (около 10 k $\Omega$ ), индикацията до голяма степен се линеаризира.

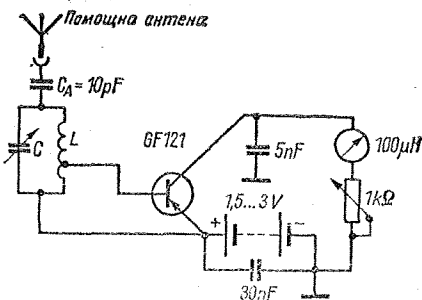
Чувствителността на индикатора на напрегнатостта на полето може да се повиши значително чрез поставянето



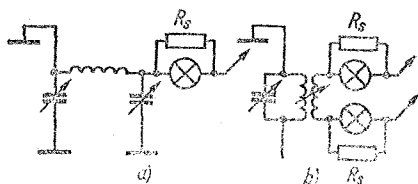
Фиг. 31.31. Селективен индикатор на напрегнатостта на полето с транзисторен постоянно-токов усилвател

на един допълнителен едностъпален транзисторен постоянно-токов усилвател. На фиг. 31.31 е показана една такава схема. Транзисторът в зависимост от характеристиките си има усиляване по ток около 10 пъти. Това дава възможност да се използват евтини и здрави измерителни инструменти. Към транзистора не се поставят никакви особени изисквания, подходящи са почти всички нискочестотни типове. Напрежението, изправено от полупроводниковия диод, се подава на базата на транзистора. Колекторният ток се компенсира в една мостова схема чрез  $R_1$ , така че при липса на сигнал стрелката на индикатора остава на 0. Тази калибровка трябва да се повтаря по-често, защото температурните изменения въздействуват върху остатъчния ток на транзисторите.

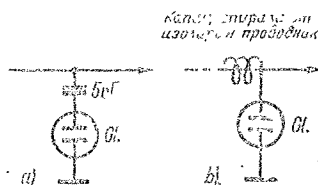
За схемата от фиг. 31.32 е необходим транзистор с по-висока гранична честота. За да може да се измерва и в обхвата 2 m, би трябвало да се използва транзисторът GF121 или друг високочестотен транзистор с възможно



Фиг. 31.32. Селективен индикатор на напрегнатостта на полето с високочестотен транзистор



Фиг. 31.33. Индикатор с лампи с нажежаеми жички; а — за еднопроводна захранваща линия, б — за двупроводна захранваща линия



Фиг. 31.35. Индикатор на високочестотното напрежение с глимлампа

най-малък колекторен ток. Кръгът  $L-C$  трябва да се оразмери за предвидената работна честота. Входното съпротивление на транзистора е малко и за да не се шунтира резонансният кръг, транзисторът се включва към един извод, разположен по-близо до „студения“ край на кръговата бобина. Дължината на помощната антена зависи от дължината на вълната на измервания сигнал и от съществуващата напрегнатост на електромагнитното поле.

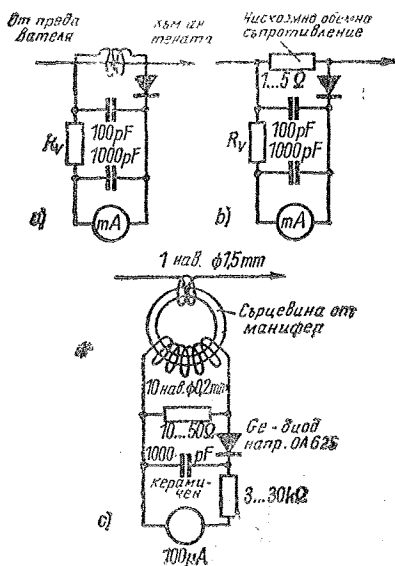
### 31.7. Прости измерителни устройства за високочестотни токове и напрежения

В някои случаи, особено при използване на настроени захранващи линии, е изгодно да може да се измерва антенният ток, а понякога и антенното напрежение. Измерването на абсолютната стойност на антенния ток се извършва с термодвойка в комбинация с един високочувствителен уред от магнитоелектрическата система. По-рядко се използват и електроизмерителни уреди от топлинната система. Двата типа уреди обаче са скъпи и освен това много чувствителни спрямо претоварване.

Радиолобителят при своите измервания може да се откаже от познаването на абсолютната стойност на антенния ток. Достатъчно е при настройка да може да се познае, че в даден момент токът е максимален. В най-простия случай между изхода на предавателя и захранващата линия се включват лампички с нажежаема жичка (напр. скални крушки), които показват максималния антенен ток чрез най-ярко светене (фиг. 31.33).

Паралелните резистори  $R_s$  „шунтират“ лампичките; тези резистори до известна степен ги предпазват от изгаряне и едновременно с това намаляват малко вредната индуктивност на нажежаемата жичка. Схемата от фиг. 31.33б освен това показва дали двата проводника на захранващата линия се възбуждат приблизително симетрично (еднакво ярка светлина на двете лампички).

Индикаторите на антенния ток, показани на фиг. 31.34, се различават



Фиг. 31.34. Индикатор на антенния ток; а — отнемане на високочестотния ток чрез навизка за връзка, б — измерване на пада на напрежение върху еталонен нискоомен резистор, с — високочестотен преобразувател на тока

помежду си само по начина на свързване към захранващата линия. Могат да се използват обикновени високо-честотни изправителни диоди (напр. *GA100* и всички останали диоди от поредицата *GA*). Чувствителността на индикаторите от този вид, общо взето, е много по-голяма от тази на индикаторите с лампички.

Понякога се оказва полезно да се определи максимумът и минимумът на антенното напрежение. Като индикатор на напрежение може да се използва глимлампа. Тя се включва капацитивно към захранващата линия (фиг. 31.35). При средни мощности на предавателя е достатъчно само да се доближи глимлампа до захранващата линия, за да светне. Много чувствителна индикация се получава при изправяне на високочестотното напрежение с един полупроводников диод и измерване на правото напрежение с уред от магнетоелектрическата система (фиг. 31.36). Големината на защитния резистор  $R_V$  зависи от вътрешното съпротивление на уреда и от желаната чувствителност. Във всички такива измерителни устройства се използват само керамични кондензатори. Трябва да се спомене още за един недостатък, който се дължи на използването на диоди в антенния кръг: заради нелинейната волтамперна характеристика на диодите при изправяне на високочестотното напрежение възникват висши хармонични на работната честота. Те могат да се прехвърлят към антената и да се излъчат от нея. Така че диодите могат да бъдат причина за възникване на нежелателни радио- и телевизионни смущения.

### 31.8. Абсорбери (изкуствени антени)

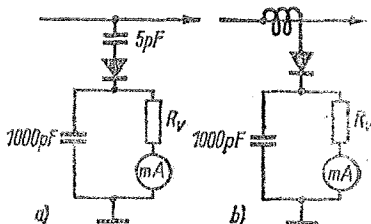
Абсорберите са едни от най-важните помощни устройства в една радиолобителска станция. В най-простата си форма те представляват едно чисто активно товарно съпротивление, чиято стойност е подбрана така, че да се получи съгласуване. Следователно една захранваща линия с вълново съпротивление  $60 \Omega$  трябва да се натовари с чисто активно съпротивление от  $60 \Omega$ ; в този случай се получава съгласуване, не възникват стоящи вълни и цялата

енергия се превръща в топлина от товарното съпротивление, без да има каквото и да било излъчване. Ако едно такова товарно съпротивление се включи в края на захранващата линия вместо антената, то се нарича, макар и не съвсем правилно, *изкуствена антена*.

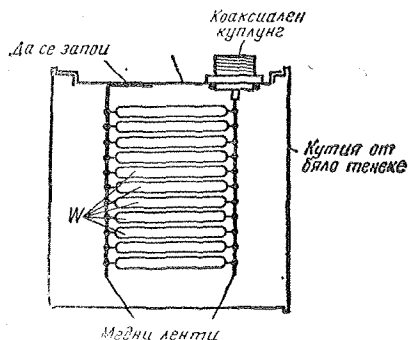
Абсорберите могат да се използват по много начини. Те са нужни не само при настройката на предавателя, но и при измерването на мощността и при еталонирането на антенни измерителни уреди. Товароспособността на абсорбера трябва да отговаря на приложеното му — ако ще служи като изкуствена антена, той трябва да погълне цялата високочестотна мощност на предавателя. За съжаление безиндуктивни и едновременно с това мощни специални резистори се намират трудно и освен това са скъпи. Затова радиолюбителите могат да използват само собственооръчно изработени комбинации от обикновени въглеродослойни резистори, които могат да изпълнят изискванията, поставени в радиолюбителската практика.

Жичните резистори са напълно непригодни, защото имат голяма собствена индуктивност. Въглеродослойни резистори с изрязана спирала могат да се използват в някои случаи при работа в късовълновия обхват, преди всичко при паралелно свързване на няколко еднакви резистора. По-подходящи са гладките въглеродослойни резистори. Най-добри са обемните композиционни резистори, преди всичко боровъглеродните резистори.

Вредната паразитна индуктивност на един резистор се намалява толкова повече, колкото по-голям е броят на включените паралелно резистори; едно-



Фиг. 31.36. Чувствителен индикатор на високочестотното напрежение



Фиг. 31.37. Изкуствена антена в екранираща кутия

временно с това се сумира номиналната им мощност. При паралелното свързване на резистори обаче се сумират паразитните капацитети на отделните резистори. В случай на нужда обаче вредният капацитет може да се компенсира със съответна по стойност индуктивност.

Най-примитивната, но често срещана любителска изкуствена антена се състои от лампички с нажежаема жичка, които се включват с възможно най-къси проводници към крайното съгънато на предавателя. В този случай изобщо не може да става дума за активен товар независимо от това, че съпротивлението на лампите с метална жичка е силно температурно зависимо. Отношението на съпротивлението в студено състояние към съпротивлението в нажежено състояние възлиза на 1 : 10 до 1 : 14. По-добри са лампите с въгленова нишка, чието съпротивление се изменя само в отношение около 1 : 2.

Радиолобителите често имат възможност да закупят залежали въглеродослойни резистори от един и същи тип по занижени цени. Резисторите със стойност до 3 k $\Omega$  и номинална мощност, по-голяма от 0,5 W, са подходящи за изработване на изкуствена антена.

Тъй като абсорберът се използва винаги свързан към коаксиален кабел, общото съпротивление на комбинацията от резистори обикновено е 60  $\Omega$ , по-рядко 50, 70 или 75  $\Omega$ . Когато напр. са на разположение голям брой резистори със съпротивление по 1,5 k $\Omega$ , с номинална мощност 1 W, трябва да

се свържат паралелно 25 отделни резистора, за да се получи общо съпротивление 60  $\Omega$ . Общата номинална мощност ще бъде 25 W. Когато резисторите са с по-малка стойност (напр. 150  $\Omega/2W$ ), тогава се прави комбинация от последователно и паралелно свързани резистори. Трябва напр. да се включат два такива резистора последователно (общо 300  $\Omega$ ) и 5 такива двойки след това да се свържат паралелно. Така се получава общо съпротивление 60  $\Omega$  ( $300 : 5 = 60$ ) при номинална мощност 10  $\cdot 2 = 20$  W.

Саморъчно изработените изкуствени антени се поставят в екранираща кутия от бяло тенек (удобни са кутии от боя). Както е показано на фиг. 31.37, цялата комбинация от резистори заедно с куплунга за включване на коаксиалния кабел се монтира върху капачката на кутията. Външният проводник на коаксиалния куплунг се запоява с металната капачка, вътрешният проводник се удължава с една медна лента. На равни разстояния върху лентата се пробиват отвори. През тези отвори се прекарват изводите на резисторите и се запояват към медната лента. Срещуположната медна лента трябва да е достатъчно стабилна, защото тя е всъщност механичната опора на цялата конструкция. Тази лента се отгъва откъм капачката на кутията и се запоява надеждно и трайно; тя служи за маса на схемата. Върху тази лента също има отвори за прокарване на изводите на резисторите. Резисторите са подредени и един зад друг, но това не личи от чертежа.

Такава конструкция има предимството, че номиналната мощност на изкуствената антена може да се повиши почти три пъти, ако кутията се напълни с трансформаторно масло (в краен случай може да се използва и моторно масло). Маслената баня отвежда по-бързо топлината и затова резисторите могат да разсеят по-голяма мощност.

Конструкцията, показана на фиг. 31.38, е малко по-добра от електрическа гледна точка, защото се доближава повече до коаксиалната техника. В този случай също се използва тенекена кутия, но коаксиалният куплунг се закрепва в центъра на капачката. Вътрешният проводник на коаксиалния куплунг се удължава в зависимост от дължината



на използваните резистори и се свързва към един метален диск (фиг. 31.38b). Върху диска се правят отвори за закрепване на резисторите. Тъй като външният проводник на коаксиалния куплунг е запоеен към металната капачка, горните краища на резисторите могат да се запоят направо към капачката на кутията. Може, както е начертано, да се изработи втори метален диск, към който се запояват горните краища на резисторите. Самият диск е свързан надеждно галванически с външния проводник на коаксиалния кабел. Този абсорбер също може да се напълни с трансформаторно масло, за да се увеличи номиналната му мощност.

Когато предавателят е натоварен с активна изкуствена антена, високочестотната му изходна мощност може да се определи лесно с едно измерване на напрежение. Високочестотното напрежение  $U$  на вътрешния проводник се измерва с помощта на ВЧ-главата на един волтметър. Тъй като товарното съпротивление  $R$  (изкуствената антена) е известно, мощността се получава от

$$P = \frac{U_{\text{eff}}^2}{R}, \quad (31.5)$$

където  $U_{\text{eff}}$  е ефективната стойност на напрежението. Ако се измерва максималната стойност на напрежението, полученият резултат трябва да се умножи с 0,707, за да се получи ефективната стойност. В такъв случай е по-удобно използването на уравнението

$$P = \frac{U_{\text{max}}^2}{2R}, \quad (31.6)$$

в което направо се замества максималната (върхова) стойност на напреже-

нието. Измерва се общата мощност, включително тази на висшите хармонични и паразитните сигнали. Мощността на висшите хармонични може да се определи, ако се използва селективен лампов волтметър.

### 31.9. Затихвателни звена (еталонирани линии)

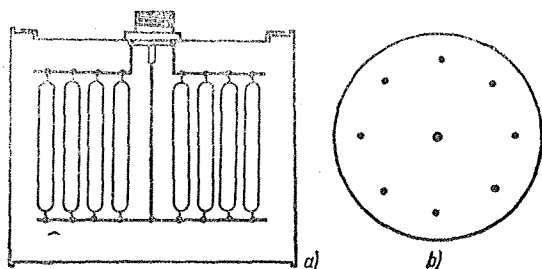
Затихвателните звена са нужни главно при снемане на диаграмата на насочено действие на излъчвателите, при определяне на усиляването на антените и при технически издържаното сравняване на напрегнатостта на електромагнитните полета.

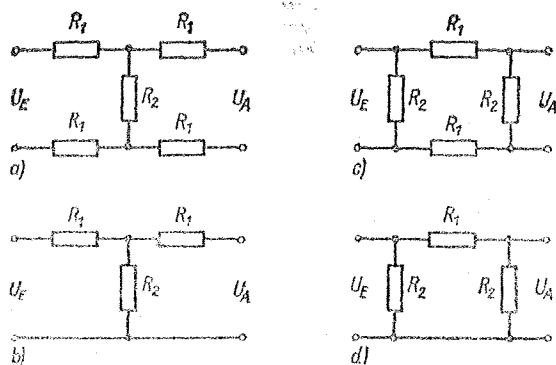
Затихвателните звена са пасивни четириполосници, които се включват между измервания обект (напр. антената) и индикатора (напр. приемника). Стойностите на затихването са означени в dB, затихването се променя стъпално или плавно. В последния случай се говори за еталонирани линии.

В зависимост от предназначението на затихващите звена те се разделят на симетрични и несиметрични. Затихващите звена не бива да влияят на вълновото съпротивление на захранващата линия и на съгласуването. Обикновените затихващи звена могат да се използват за отслабване на сигнала до 20 dB (10 : 1), тъй като потискането на прослушването става толкова по-малко, колкото по-голямо е затихването на звеното. Когато са необходими по-големи стойности на затихването, трябва да се включат последователно няколко подходящо оразмерени затихватели. В такъв случай стойностите на затихването (в dB) се сумират.

В зависимост от начина на свързване на отделните елементи на затих-

Фиг. 31.38  
Изкуствена антена с приблизително коаксиална конструкция:  
а — разрез; б — долен метален диск





Фиг. 31.39

Затихвателни звена: *a* — симетрична Т-образна схема, *b* — несиметрична Т-образна схема, *c* — симетрична П-образна схема, *d* — несиметрична П-образна схема

вателя се различават Т-образни и П-образни звена (фиг. 31.39с и фиг. 31.39d). По принцип на действие и разход на материали те са идентични, но общо взето, се предпочита П-образното звено. Стойностите на отделните резистори се пресмятат по закона на Кирхов. Стойностите на  $R_1$  и  $R_2$  за едно симетрично Т-образно звено (фиг. 31.39a) се получават от формулите

$$R_1 = \frac{Z(a-1)}{2(a+1)} \quad (31.7)$$

и

$$R_2 = \frac{2Za}{a^2-1}, \quad (31.8)$$

където  $Z$  е входното и изходно съпротивление на затихвателното звено в  $\Omega$ ,  $a$  е отношението на входното към изходното напрежение (коефициент на затихване).

При изчисляването на едно симетрично П-образно звено (фиг. 31.39c) са в сила формулите

$$R_1 = \frac{Z(a^2-1)}{4a} \quad (31.9)$$

и

$$R_2 = \frac{Z(a+1)}{a-1}. \quad (31.10)$$

Симетричната Т-образна схема (фиг. 31.39b) се оразмерява по формулата

$$R_1 = \frac{Z(a-1)}{a+1}, \quad (31.11)$$

докато  $R_2$  трябва да се определи по (31.8).

При несиметричната П-образна схема (фиг. 31.39d) важи

$$R_1 = \frac{Z(a^2-1)}{2a}. \quad (31.12)$$

$R_2$  се получава от (31.10).

При изработването на затихвателни звена трябва да се спазват следните практически правила:

- използват се резистори с номинална мощност 1/4, 1/8 и 1/10 W. Жичните резистори са неизползуваеми. Въглеродослойните резистори, при които изводите нямат формата на капачка, са с много малък собствен капацитет; най-подходящи са УКВ-слоистите резистори;

- не се използват свързващи проводници. По възможност да се използват само изводите на резисторите. Всеки сантиметър свързващ проводник внася вредна индуктивност в схемата. Затова и проводниците към затихвателното звено трябва да бъдат възможно най-къси;

- в схемата да се избягват паразитните капацитети, т. е. резисторите не трябва да си влияят или взаимното им влияние трябва да бъде съвсем незначително. Затова резисторите трябва да се подреждат по възможност перпендикулярно един към друг.

При еталониране и сравняване на антенни системи с коаксиални захранващи кабели има смисъл да се използват само несиметрични затихвателни звена, защото екранировката на външния проводник на коаксиалния ка-

Таблица 31.4. Стойности на  $R_1$  и  $R_2$  при несиметрично П-образно затихващо звено (фиг. 31.39 d) за вълново съпротивление от 60  $\Omega$

Отношение в dB	$U_{EI}U_A$ a	$R_1$ в $\Omega$	$R_2$ в $\Omega$
1	1,122	6,9	1043
2	1,259	13,9	523
3	1,413	22	350
4	1,585	28,6	265
5	1,778	36,5	214
6	1,995	44,8	181
7	2,24	50	155
8	2,51	63,4	140
9	2,82	70	120
10	3,16	85	115
11	3,55	98	107
12	3,98	111,8	100,3
13	4,47	127,4	96,6
14	5,01	144	90
15	5,62	163,3	86
16	6,31	184,6	82,6
17	7,08	205,7	80
18	7,95	236	77
19	8,91	267	75
20	10,00	297	73,3

бел обуславя едно сравнително голямо потискане на прослушването. Самото затихвателно звено също трябва да бъде екранирано.

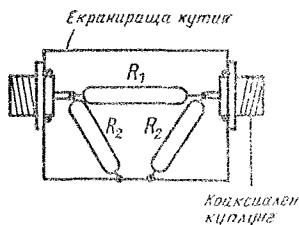
Тъй като при оразмеряването на резисторите рядко се получават стандартни стойности, необходимите резистори трябва да се подберат от голямо количество еднакви по стойност резистори, като се използва измерителен мост за съпротивления. DM2AKD препоръчва следния метод за получаване на нестандартни стойности на резисторите:

Един въглеродосложен резистор с цилиндрична повърхност, чието съпротивление е малко по-малко от необходимото, се обработва, като съпротивителният слой се стърже в аксиална посока с ръба на един точилен камък. Повишението на стойността на съпротивлението на резистора се наблюдава непрекъснато на съпротивителен измерителен мост. Когато съпротивле-

нието се доближи до желаната стойност, настройката продължава с фина твърда четка. След завършване на обработката мястото на изстъргване се покрива със защитно лаково покритие. Резисторите, чиято повърхност е набраздена във форма на спирала, не бива да се изстъргват аксиално; препоръчва се чрез изстъргване да се увеличи дължината на спиралата.

На фиг. 31.40 е показана примерната конструкция на едно екранирано несиметрично П-образно затихвателно звено. Препоръчва се изработването на повече затихвателни звена с различно затихване; при нужда те могат да се включат последователно. Така се получава произволно голямо затихване и особено добро потискане на прослушването.

Много практични са превключваемите затихватели. Едно такова звено е показано на фиг. 31.41, а съответната електрическа схема — на фиг. 31.42. Един галетен керамичен превключвател с две галети и 8 до 12 позиции се обработва, като двете галети се екранират една от друга чрез кръгла екранираща пластина. Постапят се още екраниращи пластини, така че всяка от галетите да бъде разположена в екранирана камера. Екраниращата пластина между двете галети се пробива в близост до контактните пера, за да преминат резисторите  $R_1$ . Двата резистора  $R_2$  се свързват към маса по най-късия път. Входният и изходният коаксиален кабел са свързани към разпределителните контакти на първата, съотв. втората галета. Външните проводници на коаксиалните кабели се запояват върху възможно най-голяма площ в близост до контактните пера. В табл. 31.4 са дадени стойностите на съпротивленията на резисторите  $R_1$  и  $R_2$ .



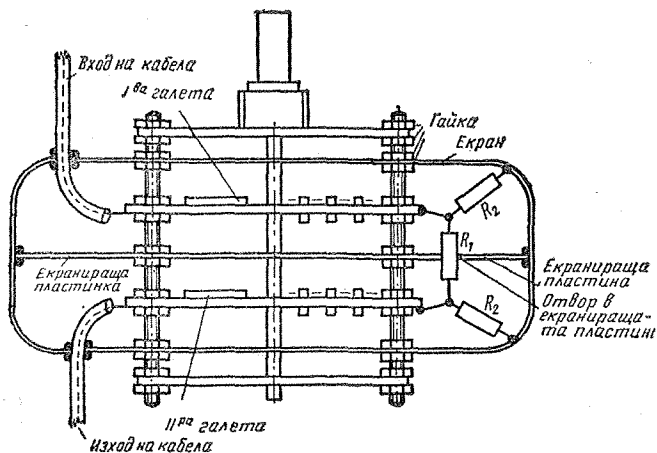
Фиг. 31.40. Конструкция на несиметрично П-образно затихващо звено

пресметнати по (31.10) и (31.12) за вълново съпротивление  $60 \Omega$  и при затихване на сигнала от 1 до 20 dB. Тези данни се отнасят само за несиметрични П-образни звена (фиг. 31.39d) и са валидни както за постоянни, така и за превключваеми затихватели.

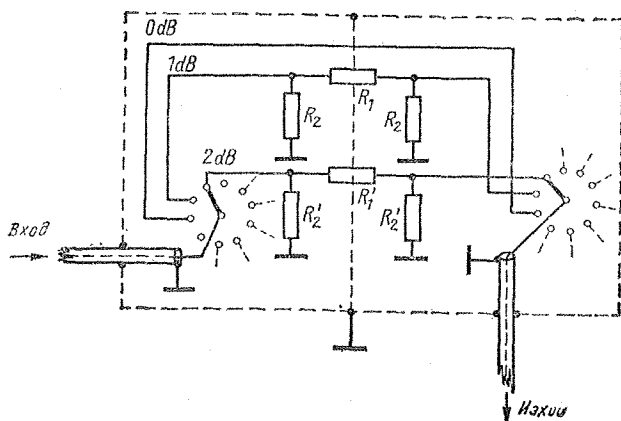
Много удобни за работа са регулируемите затихвателни звена, които позволяват плавно регулиране на затихването. Регулируемите затихва-

тели трябва да се еталонират при предвидената за използване работна честота, защото те не са честотно независими.

Затихването, външно от постоянни или регулируеми затихвателни звена, може да се контролира с една проста опитна постановка; тя е показана на фиг. 31.43. Входното напрежение  $U_E$  (напр. 6,0 V), взето от източник на постоянно напрежение, се контролира с



Фиг. 31.41. Конструкция на превключваем затихвател



Фиг. 31.42. Схема на превключваемия затихвател, показан на фиг. 31.41 (показани са само положенията 0 dB, 1 dB и 2 dB)

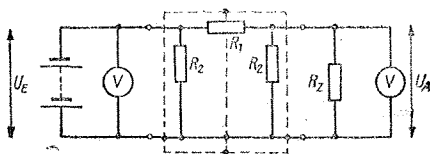
Таблица 31.5. Стойности на изходното напрежение  $U_A$  при входно напрежение  $U_E=6\text{ V}$  в зависимост от затихването в dB (опитна постановка за провеждане на измерванията съгл. фиг. 31.43)

Затихване в dB	Входно напрежение $U_E$ във V	Изходно напрежение $U_A$ във V	Коефициент $m$
0	6,0	6,0	1
1	6,0	5,35	0,891
2	6,0	4,77	0,795
3	6,0	4,25	0,708
4	6,0	3,79	0,631
5	6,0	3,37	0,562
6	6,0	3,01	0,501
7	6,0	2,68	0,447
8	6,0	2,39	0,398
9	6,0	2,13	0,355
10	6,0	1,90	0,316
11	6,0	1,69	0,282
12	6,0	1,51	0,251
13	6,0	1,34	0,224
14	6,0	1,20	0,200
15	6,0	1,07	0,178
16	6,0	0,95	0,158
17	6,0	0,85	0,141
18	6,0	0,76	0,126
19	6,0	0,67	0,112
20	6,0	0,60	0,100

волтметър. Изходът на затихвателното звено е натоварен с резистора  $R_z$ ,

чиято стойност трябва да съответствува точно на вълновото съпротивление на затихвателя (напр.  $R_z=60\ \Omega$ ). Паралелно на  $R_z$  е включен втори волтметър, който измерва напрежението  $U_A$  на изхода на затихвателя. Отношението на  $U_E$  към  $U_A$  дава възможност да се определи затихването в dB.

В табл. 31.5 са дадени стойностите на изходното напрежение  $U_A$  в зависимост от затихването в dB при постоянно входно напрежение 6,0 V. Ако се използва друго входно напрежение, тогава трябва да се има предвид коефициентът  $m$ , който съответствува на посочените стойности на затихването в dB. Стойността на изходното напрежение, отговаряща на определено затихване в dB, се получава, като входното напрежение се умножи с  $m$ . Схемата за измерване на затихването и табл. 31.5 са в сила за всички затихвателни звена, показани на фиг. 31.39.



Фиг. 31.43. Опитна постановка за контролиране на затихване

## 32. Антенни измервания в любителската практика

Професионалните измервания в антенната техника се провеждат с голяма точност и при съответните разходи за висококачествени измерителни уреди. Радиолюбителят също не би трябвало да се отказва от изпитването на своята антена с наличните сравнително прости измерителни средства; тази малка по обем допълнителна работа почти винаги се изплаща. Естествено саморъчно изработените прости измерителни уреди имат ограничена точност и област на приложение. В любителската техника обаче рядко се стига до определяне на абсолютните стойности на отделните параметри. По-често е достатъчно само да се получат относителни стойности, които показват доколко антената е настроена или в каква посока трябва да се извърши настройката.

Почти всички модерни съгласувани антени се захранват с коаксиални кабели и измерителите на степента на съгласуване, описани в раздел 31, са конструирани с оглед на това обстоятелство. Ако се използват и симетрични захранващи линии, симетрирането и преобразуването на импеданса може да се постигне много лесно чрез полуълнов симетриращ шлейф или чрез един трансформатор на Гуанела (вж. раздел 7.5. ÷ 7.7.). Така измерителните устройства стават универсални.

Антените, които се възбуждат чрез настрояни захранващи линии, се настройват принудително в резонанс при правилно приложение на настройващите елементи, разположени откъм предавателя (елементи за връзка с антената, Колинс-филтър). Затова не е необходимо да се прави никакво специално измерване (вж. раздел 8.2.).

За да се създадат оптимални условия за работа на една съгласувана антенна система, е безусловно необходим рефлектометър. Ако той покаже, че по захранващата линия липсват стоящи вълни, не са нужни никакви други из-

мервания; съгласуването означава, че антената е настроена в резонанс и входното ѝ съпротивление е равно на вълновото съпротивление на захранващата линия. Следователно условията за работа на антената са оптимални. Всички измерители и индикатори на коефициента на стоящи вълни, описани в раздел 31, общо взето, са допълнителни устройства, които или позволяват да се постигне минимален коефициент на стоящи вълни, или пък с тяхна помощ могат да се определят други параметри на антената (широчина на пропускащата честотна лента, характеристика на насочено действие и пр.).

### 32.1. Измерване на стоящи вълни с помощта на рефлектометър

Схемите на рефлектометри, дадени в раздел 31.2.2. имат предимството, че измерват приемливо точно коефициента на стоящи вълни и при високи честоти (напр. в обхвата 2 м). Тези рефлектометри могат да останат включени в захранващата линия и по време на работа на предавателя. Грешките, които могат да се получат при използването на рефлектометри, са разгледани подробно в раздел 31.2.1.

Първоначалната настройка на антената с рефлектометър е донякъде сложна, отколкото напр. с ангеноскоп, защото рефлектометърът показва само степента на разсъгласуване. Отначало обаче липсва информация за това, дали разсъгласуването е предизвикано от несъвпадане на входното съпротивление на антената с вълновото съпротивление на захранващата линия или пък антената не е настроена в резонанс (индуктивно или капацитивно реактивно съпротивление в точката на захранване).

В такъв случай работната честота се измества към по-високите или по-ниските честоти и при това се наблюдава показанието на рефлектометра. Ако при изменение на работната честота в една от споменатите посоки показанието на индикатора намалява, това означава, че антената е разстроена и в точките на захранване съществуват реактивни компоненти на входния импеданс. При твърде къс антенен проводник коефициентът на стоящи вълни се намалява, ако се увеличи работната честота на предавателя. Ако обаче при промяна на работната честота на предавателя не се установи намаляване на коефициента на стоящи вълни, трябва да се приеме, че входното съпротивление на антената е реално, но не съответствува на вълновото съпротивление на захранващата линия. Индикацията на рефлектометра позволява да се установи само степента на разсъгласуване, но не и кое от двете съпротивления е по-голямо. Така напр., ако в една захранваща линия с вълново съпротивление  $60 \Omega$  се измери коефициент на стоящи вълни  $s=2$ , входното съпротивление на антената може да бъде както  $30 \Omega$  ( $1:2$ ), така и  $120 \Omega$  ( $2:1$ ).

При настройка на антени с рефлектометр трябва да се има предвид, че първо е необходимо да бъдат отстранени реактивните компоненти на импеданса в точките на захранване и едва след това може да се започне съгласуването. Понякога е необходимо цялата настройка да се повтори още веднъж, защото промените в съгласуващите елементи могат да причинят разстройка на антената.

### 32.2. Високочестотни мостови схеми, използвани при измерване на параметрите на антените

Мостовите схеми (раздел 31.5.1. и 31.5.2.) имат много по-големи възможности за приложение от рефлектометра. В СВЧ обхвата обаче направата и еталонирането им стават проблематични.

Високочестотните измерителни мостове трябва да се използват заедно с един захранващ генератор с променлива честота; високочестотната мощ-

ност трябва да бъде около  $0,2 \text{ W}$ . Работният предавател също може да служи като генератор за захранване на моста, стига изходната му мощност да се намали до около  $2 \text{ W}$ . В някои случаи излишната мощност трябва да се погълне от товарни резистори или лампи с нажежаема жичка (вж. раздел 31.8.). Общо взето, радиолюбителите използват за захранващ генератор почти винаги гриддипметър (вж. раздел 31.1.). Транзисторните гриддипметри не са подходящи, защото отдават твърде малка мощност. Често споменаваната честотна нестабилност на гриддипметрите и недостатъчната точност на отчитане на показанията им обикновено нямат значение при първоначалните груби измервания. При малко повече търпение могат да се извършват и фини измервания, като честотата на гриддипметъра се следи и отчита с еталонирания любителски приемник.

#### 32.2.1. Определяне на резонансната дължина и коефициента на скъсяване на произволни високочестотни кабели

Точната геометрична дължина на една полувълнова линия в зависимост от коефициента на скъсяване може да се определи с помощта на измерителен високочестотен мост по следния начин:

Един достатъчно дълъг отрязък от изследвания кабел се окачва свободно висящ и се свързва на късо в единия си край. Отвореният край на кабела се свързва към буксата  $B_2$  на антеноскопа (вж. фиг. 32.1). Входната буква на антеноскопа  $B_1$  се натоварва с една бобина (с около 3 нав.), която се свързва индуктивно с бобината на гриддипметъра. Потенциометърът на антеноскопа е поставен в положение 0 (късо съединение). Чрез изменение на степента на връзка с гриддипметъра стрелката на индикатора се отклонява приблизително до края на скалата. След това честотата на гриддипметъра се променя плавно от по-ниските към по-високите честоти, докато се получи първата нулева индикация. При тази честота отрязъкът от кабела има електрическа дължина точно  $\lambda/2$ .

Коефициентът на скъсяване на кабела вече може да се получи чрез просто пре-

смятане. Така може да се изчисли механичната дължина на кабела за всяка друга честота.

### Пример

Отрязък от кабел с дължина 3,30 m показва първата нулева индикация при честота на гриддипметъра 30 MHz. 30 MHz съответствуват на дължина на вълната 10 m; следователно  $\lambda/2 = 5,00$  m. Коефициентът на скъсяване се получава по формулата

$$V = \frac{\text{механична дължина}}{\text{електрическа дължина}} = \frac{3,30}{5,00} = 0,66.$$

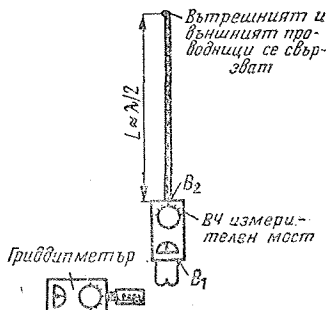
Тъй като равновесие на моста може да се получи не само при дължина на кабела  $\lambda/2$ , но и при дължина, кратна на  $\lambda/2$ , за проверка се определя и втората нулева индикация. Тя би трябвало да се получи при честота 60 MHz и кабелът би имал за тази честота електрическа дължина точно 1  $\lambda$ .

За да се измери действително равновесие на моста при най-ниската честота, може предварително да се пресметне приблизително честотният обхват, при който би трябвало да се получи полувълнов резонанс. При тези предварителни пресметания е достатъчно да се знае, че коаксиалните кабели имат обикновено коефициент на скъсяване около 0,66, лентовите кабели — около 0,82 и двупроводните линии с въздушна изолация — приблизително 0,95.

Правилното оразмеряване на полувълновата линия се контролира с антеноскоп. Мостът се захранва с честота, за която е пресметната дължината на полувълновата линия. Свободният край на линията се натоварва с произволен безиндуктивен резистор с точно известно съпротивление. Все пак стойността на съпротивлението трябва да отговаря на обхвата на измерване на моста. При равновесие на моста стойността, отчетена върху скалата на потенциометъра, трябва да е равна на съпротивлението на товарния резистор в края на линията.

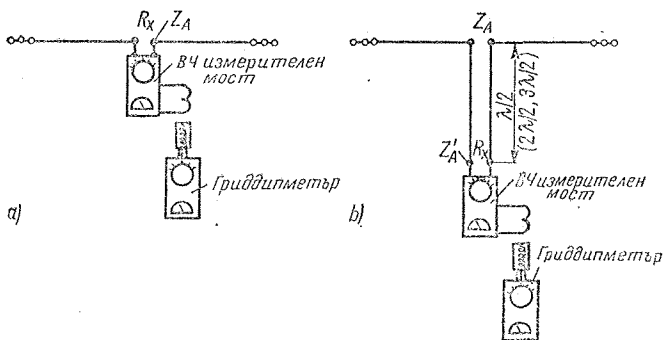
В много случаи е необходима точно настроена четвъртвълнова линия. Нейната механична дължина също може да бъде определена чрез използване на високочестотен измерителен мост. Опитната постановка е същата като показаната на фиг. 32.1. Сега обаче свободният край на измерваната линия не се свързва на късо, а остава отворен. Потенциометърът се поставя на нула и започвайки от най-ниската честота, се търси първата нулева индикация на индикатора. За тази честота дължината на линията е точно  $\lambda/4$ . При отворена измервана линия равновесие на моста се установява и при дължина на линията, която е нечетно цяло число пъти по-голяма от  $\lambda/4$  ( $3/4 \lambda$ ,  $5/4 \lambda$ ,  $7/4 \lambda$  и т. н.).

С помощта на антеноскоп може да бъде определено и вълновото съпротивление на една четвъртвълнова линия. За тази цел край на линията се натоварва с един безиндуктивен резистор с точно известно съпротивление (напр. 100  $\Omega$ ). След това с потенциометъра се търси такава стойност, при която се получава равновесие на моста. Отчетената стойност на съпротивлението по скалата на потенциометъра съответствува точно на входното съпротивление на четвъртвълновата линия  $Z_E$ , изходното съпротивление на линията  $Z_A$  е равно на съпротивлението на товарния резистор. Съгласно (5.31.) вълновото съпротивление на четвъртвълновата линия  $Z$  е равно на  $\sqrt{Z_E \cdot Z_A}$ .



Фиг. 32.1. Опитна постановка за определяне на коефициента на скъсяване на високочестотни линии





Фиг. 32.2  
Опитна постановка за определяне на входния импеданс на антената.  $Z_A$  — непосредствено измерване,  $b$  — измерване с използване на полуълновата удължителна двупроводна линия

### Пример

Една четвъртвълнова линия е натоварена с резистор  $Z_A$  със стойност  $100 \Omega$ . По скалата на потенциометъра може да се отчете стойност на съпротивление, трансформирано към входа на линията, от  $36 \Omega$ .

Ако тези стойности се заместят в (5.31), се получава

$$Z = \sqrt{36 \cdot 100} = \sqrt{3600} = 60 \Omega.$$

Следователно вълновото съпротивление  $Z$  на четвъртвълновата линия е  $60 \Omega$ . Тъй като вълновото съпротивление на високочестотните кабели е честотнонезависимо, измерената стойност важи общо за кабелите от използвания тип.

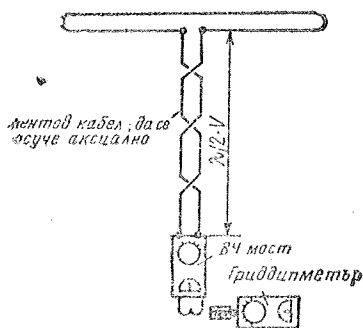
По този начин може да се еталонира напр. променливият четвъртвълнов трансформатор (фиг. 6.9) или да се проверят полуълновият симетриращ шлейф и останалите трансформиращи звена.

#### 32.2.2. Определяне на входното съпротивление на антената

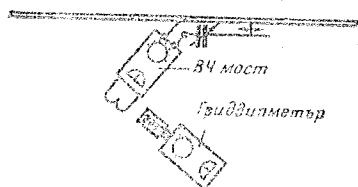
Както е показано на фиг. 32.2а, входите  $R_x$  на един антеноскоп или друг измерителен мост се свързват направо към точките на захранване на антената  $Z_A$ . Ако резонансната честота на антената е равна на честотата, с която се захранва мостът (честотата на гриддипметъра), ще може да се установи ясно изразена нулева индикация. Стойността на съпротивлението, отчетена върху скалата на потенциометъра при равновесие на моста, съот-

ветствува на входното съпротивление на антената. Когато не може да се получи изразена нулева индикация, най-често това е признак, че входният импеданс на антената има реактивни компоненти; антената не е в резонанс със захранващата честота. Честотата на гриддипметъра се променя дотогава, докато се получи нулева индикация. Тази честота вече е действителната резонансна честота на антената. Ако тя е извън избрания любителски обхват, трябва да се коригира чрез изменение на дължината на излъчвателя, като процесът на настройката се наблюдава по индикатора на високочестотния измерителен мост; мостът се захранва с избраната работна честота.

Често не е удобно или даже е невъзможно измерванията да се извършват направо в точките на захранване на антената. В такива случаи се използва фактът, че една двупроводна линия с електрическа дължина  $\lambda/2$  (или цяло число пъти по-голяма от нея) трансформира съпротивлението от входа на линията към изхода в отношение 1:1. Вълновото съпротивление на линията е без особено значение (линията е настроена). Така че между излъчвателя и измерителния мост може да се включи двупроводна линия с дължина  $\lambda/2$  ( $2 \lambda/2$ ,  $3 \lambda/2$ ,  $4 \lambda/2$  и т. н.) с произволно вълново съпротивление. Това е показано на фиг. 32.2б. В долния край на линията резултатът от измерването ще бъде същият, както и в точките на захранване на антената. Точната механична дължина на полуълновата удължаваща линия се измерва предварително, както беше обяснено в раздел 32.2.1. — с антеноскоп.



Фиг. 32.3. Усъвършенствуваща опитна постановка, използвана при симетрични антени



Фиг. 32.4. Опитна постановка за излъчвател с гама съгласуване

Измерването чрез удължаваща линия трябва да се препоръча и за случаите, в които точките на захранване на антената са лесно достъпни, както и при високи честоти. Ако се работи в непосредствена близост до антената, нейната резонансна честота може да се промени под влияние на близоразположените измерителни уреди и хора.

Захранващият генератор трябва да се свърже индуктивно с моста. Ако се установи, че отчетеният импеданс се променя при изменение на коефициента на връзка, това означава, че съществува и твърде голяма паразитна капацитивна връзка. В такъв случай трябва да се промени разположението на бобината на гриддипметъра спрямо бобината за връзка. Може да се наложи включването на един междинен трансформатор с електростатична екранировка между бобините за връзка. Връзката между захранващия генератор и моста трябва да се подбере така, че при отворени букси  $R_x$  да се получи крайно отклонение на стрелката на индикатора. Това подсказва, че връзката трябва да бъде толкова по-слаба, колкото по-чувствителен е измерител-

ният уред. Слабата връзка освен това причинява и най-малкото отклонение на честотата на генератора на гриддипметъра.

Тъй като описаните високочестотни измерителни мостове по конструкция представляват несиметрични устройства, най-добри резултати от измерването се получават, когато и измервателните съпротивления са несиметрични спрямо земя. Затова входното съпротивление на симетрични антени може да се измерва след междинното включване на полуълнов симетриращ шлейф (фиг. 7.6). Тъй като този преобразувател на симетрията едновременно трансформира съпротивленията в отношение 4 : 1, стойността, отчетена по скалата на потенциометъра на антеноскопа, трябва да се умножи на 4, за да се получи действителното входно съпротивление на антената (без симетриращия шлейф). Когато не е нужно да се прави преобразуване на симетрията, измерването се провежда, както е показано на фиг. 32.3. Включва се един удължаващ отрязък от лентов кабел с дължина  $\lambda/2$ . Кабелът се усуква многократно, като с това до известна степен се компенсира съществуващото разсиметриране.

Ако в точките на захранване на антената са свързани съгласуващи или трансформирани звена (Т-образни елементи, гама- или омега-съгласуващи звена), антенокопът измерва входното съпротивление на антената, повлияно от действието на тези елементи. На фиг. 32.4 е показана опитната постановка за измерване на входното съпротивление на един активен елемент с гама-съгласуване. По този много прост начин може да се извърши настройката на съгласуващия елемент, като успехът от работата се следи с антеноскопа. Това, разбира се, важи и при настройката на всички останали съгласуващи звена.

Когато трябва да се измерват големи входни съпротивления, напр. входното съпротивление на един целовълнов дипол, обхватът на измерване на антеноскопа обикновено не е достатъчен. Въпреки това измерването може да се извърши, като към точките на захранване на антената се включи четвърт-вълнова линия с точно известно вълново съпротивление. Антенкопът се свързва към свободния край на чет-

въртълновия отрязък. При измерването се получава стойността на входното съпротивление на четвъртълновата линия  $Z_E$ . Тъй като вълновото съпротивление на тази линия  $Z$  също така е известно, входното съпротивление на антената може да се пресметне по (5.31). След разместване на членовете на равенството се получава

$$Z_A = \frac{Z^2}{Z_E} \quad (32.1)$$

### Пример

Вълновото съпротивление на четвъртълновата линия, измерено предварително с антеноскопа, е  $Z=240 \Omega$ . Стойността на  $Z_E$ , измерена в долния край на линията, е  $30 \Omega$ . След заместване в (32.1) се получава входно съпротивление на излъчвателя, равно на

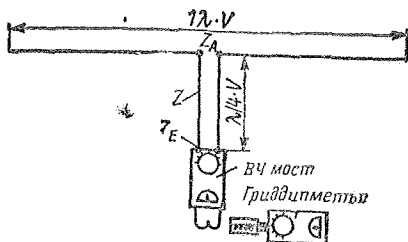
$$Z_A = \frac{240^2}{30} = \frac{57\,600}{30} = 1920 \Omega.$$

С антеноскопа могат да се измерват и извънредно малки входни съпротивления ( $<10 \Omega$ ), каквито стойности са типични напр. за мобилните антени. В този случай също би било възможно да се работи с една междинна четвъртълнова трансформираща линия, както е показано на фиг. 32.5, като се използва отрязък от коаксиален кабел с вълново съпротивление  $60 \Omega$ ; това се прави, за да не се надвиши обхватът на измерване на уреда. Много по-просто е, както е показано на фиг. 32.6, между точките на захранване на антената и антеноскопа да се включи един безиндуктивен резистор  $R_V$  с точно известно съпротивление.

Общото съпротивление  $R_V + Z_A$ , получено от последователното свързване на  $R_V$  и  $Z_A$ , се измерва от антеноскопа. Входното съпротивление на антената се получава, като от резултата се извади предварително известната стойност на  $R_V$ .

### 32.3. Измерване на резонансната честота с гриддиметър

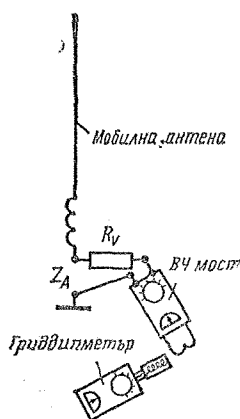
В предходния раздел беше описан един безупречен метод за определяне на резонансната честота на една антена, който дава възможност едновременно да се направят изводи и за широчината на пропусканата честотна лента. За



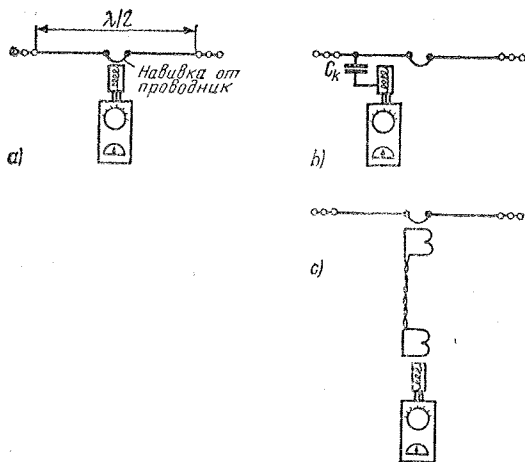
Фиг. 32.5. Измерване на високоомни входни съпротивления чрез използване на четвъртълнов трансформатор

едно бързо, но при това не така точно измерване на резонансната честота на един излъчвател е необходим само гриддиметър. Използването му е неизбежно, когато трябва да се определят напр. собствените резонансни честоти на рефлектора и директорът на една късовълнова Яги-антена.

За разлика от един трептящ кръг със съсредоточени параметри (състоящ се от бобина и кондензатор) антената при измерване на резонансната честота предизвиква спадане на решетъчния ток и при честоти, хармонични на основната честота. Антени с широка пропусканая лента не могат да бъдат измервани с гриддиметър, защото при тях вече не може да се установи ясно изразено намаляване на решетъчния ток при резонансната честота. Затова на практика не се измерва ре-



Фиг. 32.6. Опитна постановка за измерване на много ниски входни съпротивления



Фиг. 32.7

Начини за свързване на гриддип-метър към антенния проводник; *a* — непосредствено свързване при максимум на тока, *b* — капацитивна връзка по напрежение, *c* — индуктивна връзка чрез проводникова линия с малко вълново съпротивление

зонансната честота на широколентовите антени. Ако по някакъв съображения тя все пак трябва да бъде точно известна, се прибегва до използването на антеноскоп, което дава резултат и при този вид антени.

При измерване на резонансната честота трябва захранващата линия да бъде отделена от антенния проводник. Точките на захранване на антената се свързват една с друга чрез къс шлейф (фиг. 32.7a). Бобината на гриддип-метъра се свързва индуктивно към този шлейф при максимум на тока в антенния проводник. Максимумът на тока винаги е разположен на  $\lambda/4$  от края на една настроена антена, следователно при полувълновата антена той се намира точно в средата на антенния проводник.

Когато в изключителни случаи резонансната честота трябва да се измерва в близост до максимум на напрежение, гриддипметърът се включва направо към антенния проводник чрез капацитета за връзка  $C_k$ . Трябва да се има предвид разстройващото действие на този капацитет; то е толкова по-слабо, колкото по-малък е  $C_k$ .

За да се намали разстройката, дължаща се на влиянието на човешкото тяло, гриддипметърът трябва да се свърже към антенния проводник чрез линия за връзка с малко вълново съпротивление (фиг. 32.7c). Тази линия е направена от парче лентов кабел или усукан двужилен проводник; в двата

края се поставят намотки за връзка (с по около 3 нав.).

Първоначално се избира силна връзка и се определя приблизително резонансната честота. След това връзката се намалява така, че да се получи слабо изразено спадане на решетъчния ток при резонансната честота на антената. Така отчетената резонансна честота може да се приеме като приблизително точно измерена (в границите на точността на уреда). По-точни резултати се получават, когато честотата на гриддипметъра се прослущва едновременно с един добре еталониран приемник, като резонансната честота се отчита по скалата на приемника.

#### 32.4. Контролно изпитване на насочени антени с помощта на измерителни уреди

Даже при един най-обикновен полу-вълнов дипол преди окончателното монтиране трябва да се провери резонансната честота и съгласуването. Това важи в още по-голяма степен за насочените антени. Който си е позволил напр. да построи една късовълнова Яги-антена, той не бива да се отказва да провери излъчвателните ѝ свойства в мястото, където е монтирана. Никаква „рецепта“ не може да отрази влиянието на различната височина на окачване, на околната среда и на състоянието на земната повърх-

ност. Това се отнася особено за късовълновите излъчватели, които почти винаги се намират на малка спрямо дължината на работната вълна височина над земята. Влиянието на земната повърхност и на околните препятствия е твърде сложно и е трудно да се предвиди. Затова излъчвателните характеристики на антената трябва да се измерят и споменатото влияние да се елиминира чрез съответна настройка. По-долу е обяснено как може да се извърши една такава настройка с помощта на уредите, описани в раздел 31. Обяснението е валидно не само за Яги-антените, но по аналогия — и за останалите видове антени.

Отначало се отстранява захранващата линия, точките на захранване се свързват с един къс шлейф и резонансната честота се измерва приблизително чрез гриддипметър (фиг. 32.7a). В точките на захранване на една триелементна Яги-антена се измерват три спадания на решетъчния ток — един ясно изразен минимум, съответстващ на резонансната честота на активния елемент, втори, по-слабо изразен минимум при по-ниска честота — това е резонансната честота на рефлектора, и един също така слабо изразен минимум при по-висока честота — резонансната честота на директора. Резонансната честота на активния елемент трябва да бъде приблизително *в средата* на любителския обхват; резонансната честота на рефлектора трябва да бъде *под долната граница* на обхвата, а тази на директора — *над горната граница* на обхвата. Ако това не е така, рефлекторът трябва да се удължи, съответно трябва да се скъси директорът. Резонансната честота на насочените антени, разположени ниско над земята, обикновено е по-малка от предварително изчислената. В такива случаи, ако не може да се увеличи височината на монтиране, всички елементи трябва да се скъсят от двете страни, докато се получи желаната резонансна честота.

След тази предварителна груба настройка шлейфът в захранващите точки на антената се отстранява. Свързва се схемата, показана на фиг. 32.2b. Полуважновата удължаваща линия е от същия кабел, какъвто ще бъде използван след това за захранване на антенната система. Дължината на тази линия може да бъде и кратна на  $\lambda/2$  и

трябва да бъде измерена предварително по начина, описан в раздел 32.2.1. Стойността на съпротивлението на потенциометъра на антеноскопа се подбира равна на вълновото съпротивление на захранващата линия. След това честотата на гриддипметъра се изменя дотогава, докато се получи равновесие на моста. Тази честота на гриддиометъра, при която мостът е в равновесие и който едновременно се контролира с еталониран приемник, е фактическата резонансна честота на антената.

Когато се получи минимална индикация, но стрелката на уреда все пак не е на 0, трябва да се промени стойността на потенциометъра на антеноскопа така, че стрелката на уреда да остане на 0. При тази настройка се установяват едновременно резонансната честота на антената и входното ѝ съпротивление (стойността, отчетена върху скалата на потенциометъра).

Ако измереното входно съпротивление на антената се отклонява незначително от вълновото съпротивление на захранващата линия и ако липсват трансформиращи елементи, могат да се внесат малки корекции на входното съпротивление чрез изменение на дължината на директора. Когато входният импеданс е твърде малък, директорът се скъсява незначително от двете страни. Трябва да се внимава при удължаване на директора (с цел да се намали входното съпротивление на антената), защото собствената резонансна честота на директора трябва да бъде извън любителския обхват.

Не се срещат никакви трудности при настройката на входното съпротивление на активен елемент с Т-образни, гамма-омега-съгласуващи звена. При гамма-съгласуването желаният входен импеданс се установява чрез промяна на мястото на подвижното мостче, като индуктивната реактивна компонента се компенсира едновременно с изменение на капацитета на променливия кондензатор, т. е. чрез този кондензатор може да се влияе върху резонансната честота на активния елемент. С последователна промяна на мястото на мостчето и на стойността на кондензатора се постига желаното съгласуване и резонанс при работната честота на предавателя. За контрол се използва антеноскоп. С това настройката на антената е завършена.

## Приложения

Таблица 33.1. Любителски честотни обхвати

През 1947 г. конференцията в Атлантик Сити определи следните любителски честотни обхвати за I район:

3500 до 3800 kHz	= обхват 80 m	(85,7 до 79,0 m)
7000 до 7150 kHz	= обхват 40 m	(42,9 до 42,0 m)
14 000 до 14 350 kHz	= обхват 20 m	(21,43 до 20,9 m)
21 000 до 21 450 kHz	= обхват 15 m	(14,29 до 14,0 m)
28 000 до 29 700 kHz	= обхват 10 m	(10,71 до 10,1 m)
144 до 146 MHz	= обхват 2 m	(208,3 до 205,5 cm)
420 до 460 MHz	= обхват 70 cm	(71,5 до 65,2 cm)
1215 до 1300 MHz	= обхват 24 cm	(24,69 до 23,03 cm)
2300 до 2450 MHz	= обхват 12 cm	(13,04 до 12,24 cm)

Всяка държава от I район е разрешила на нейна територия да се използват от радиолюбители част от посочените любителски честотни обхвати. Обхватът 160 m не е посочен, защото той е разрешен само при използване на ограничени мощности и само в отделни страни. Предвидени са и други честоти в обхвата на сантиметровите вълни.

Таблица 33.2. Висши хармонични на честотите от любителските обхвати

	MHz	2	3	4	5	6	7	8	9	10
80 m	3,5	7,0	10,5	14,0	17,5	21,0	24,5	28,0	31,5	35,0
	3,6	7,2	10,8	14,4	18,0	21,6	25,2	28,8	32,4	36,0
	3,7	7,4	11,1	14,8	18,5	22,2	25,9	29,6	33,3	37,0
	3,8	7,6	11,4	15,2	19,0	22,8	26,6	30,4	34,2	38,0
40 m	7,0	14,0	21,0	28,0	35,0	42,0	49,0	56,0	63,0	70,0
	7,05	14,1	21,15	28,2	35,25	42,3	49,35	56,4	63,5	70,5
	7,1	14,2	21,3	28,4	35,5	42,6	49,7	56,8	63,9	71,0
	7,15	14,3	21,45	28,6	35,75	42,9	50,05	57,2	64,35	71,5
20 m	14,0	28,0	42,0	56,0	70,0	84,0	98,0	112,0	126,0	140,0
	14,1	28,2	42,3	56,4	70,5	84,6	98,7	112,8	126,9	141,0
	14,2	28,4	42,6	56,8	71,0	85,2	99,4	113,6	127,8	142,0
	14,3	28,6	42,9	57,2	71,5	85,8	100,1	114,4	128,7	143,0
	14,35	28,7	43,05	57,4	71,75	86,1	100,45	114,8	129,15	143,5
15 m	21,0	42,0	63,0	84,0	105,0	126,0	147,0	168,0	189,0	210,0
	21,1	42,2	63,3	84,4	105,5	126,6	147,7	168,8	189,9	211,0
	21,2	42,4	63,6	84,8	106,0	127,2	148,4	169,6	190,8	212,0
	21,3	42,6	63,9	85,2	106,5	127,8	149,1	170,4	191,7	213,0

Продължение на табл. 33,1

	MHz	2	3	4	5	6	7	8	9	10
	21,4	42,8	64,2	85,6	107,0	128,4	149,9	171,2	192,6	214,0
	21,45	42,9	64,35	85,8	107,25	128,7	150,15	171,6	193,05	214,5
10 m	28,0	56,0	84,0	112,0	140,0	168,0	196,0	224,0	252,0	280,0
	28,5	57,0	85,5	114,0	142,5	171,0	199,5	228,0	256,5	285,0
	29,0	58,0	87,0	116,0	145,0	174,0	203,0	232,0	261,0	290,0
	29,7	59,4	89,1	118,8	148,5	178,2	207,9	237,6	267,3	297,0
2 m	144,0	288,0	432,0	676,0	720,0	864,0	1008,0	1152,0	1296,0	1440,0
	146,0	292,0	438,0	584,0	730,0	876,0	1022,0	1168,0	1314,0	1460,0

Таблица 33.3. Механична дължина на излъчателя за късовълновите любителски обхвати (през  $\lambda/2$ )

Обхват 80 м			
λ	3500 kHz	3600 kHz	3800 kHz
0,5	40,71 м	39,58 м	37,50 м
1,0	83,57 м	81,25 м	76,97 м
1,5	126,43 м	122,92 м	116,45 м
2,0	169,28 м	164,58 м	155,92 м
2,5	212,14 м	206,25 м	195,39 м
3,5	255,00 м	247,92 м	234,87 м

Обхват 40 м					
λ	7000 kHz	7100 kHz	λ	7000 kHz	7100 kHz
0,5	20,36 м	20,07 м	5,5	117,32 м	114,44 м
1,0	41,78 м	41,19 м	6,0	128,04 м	124,89 м
1,5	63,21 м	62,32 м	6,5	138,75 м	135,34 м
2,0	84,64 м	83,45 м	7,0	149,46 м	145,79 м
2,5	106,07 м	104,58 м	7,5	160,18 м	156,24 м
3,0	127,50 м	125,70 м	8,0	170,90 м	166,69 м
3,5	148,93 м	146,83 м			
4,0	170,35 м	167,95 м			

Продължение на табл. 33.3

Обхват 20 m			Обхват 15 m		
$\lambda$	14000 kHz	14350 kHz	$\lambda$	21000 kHz	21450 kHz
0,5	10,18 m	9,93 m	0,5	6,78 m	6,64 m
1,0	20,88 m	20,38 m	1,0	13,93 m	13,64 m
1,5	31,60 m	30,84 m	1,5	21,07 m	20,63 m
2,0	42,32 m	41,29 m	2,0	28,21 m	27,62 m
2,5	53,03 m	51,74 m	2,5	35,36 m	34,61 m
3,0	63,04 m	62,19 m	3,0	42,50 m	41,61 m
3,5	74,46 m	72,64 m	3,5	49,64 m	48,60 m
4,0	85,18 m	83,09 m	4,0	56,79 m	55,60 m
4,5	95,90 m	93,54 m	4,5	63,93 m	62,59 m
5,0	106,60 m	103,99 m	5,0	71,07 m	69,58 m
			5,5	78,21 m	76,57 m
			6,0	85,36 m	83,57 m
			6,5	92,50 m	90,56 m
			7,0	99,64 m	97,55 m
			7,5	106,79 m	104,55 m
			8,0	113,93 m	111,54 m
			8,5	121,05 m	118,53 m
			9,0	128,21 m	125,52 m
			9,5	135,36 m	132,52 m
			10,0	142,50 m	139,51 m
Обхват 10 m					
$\lambda$	28000 kHz	29000 kHz	29700 kHz		
0,5	5,04 m	4,96 m	4,75 m		
1,0	10,39 m	10,03 m	9,80 m		
1,5	15,75 m	15,21 m	14,85 m		
2,0	21,11 m	20,38 m	19,90 m		
2,5	26,46 m	25,55 m	24,95 m		
3,0	31,82 m	30,72 m	30,00 m		
3,5	37,18 m	35,90 m	35,05 m		
4,0	42,54 m	41,07 m	40,10 m		
4,5	47,89 m	46,24 m	45,15 m		
5,0	53,25 m	51,41 m	50,20 m		
5,5	58,61 m	56,58 m	55,25 m		
6,0	63,96 m	61,76 m	60,30 m		
6,5	69,32 m	66,93 m	65,35 m		
7,0	74,68 m	72,10 m	70,40 m		
7,5	80,04 m	77,27 m	75,45 m		
8,0	85,39 m	82,45 m	80,50 m		
8,5	90,75 m	87,62 m	85,55 m		
9,0	96,11 m	92,79 m	90,60 m		
9,5	101,46 m	97,97 m	95,65 m		
10,0	106,82 m	103,14 m	100,70 m		
10,5	112,18 m	108,31 m	105,76 m		
11,0	117,53 m	113,48 m	110,81 m		
11,5	122,89 m	118,66 m	115,86 m		
12,0	128,25 m	123,81 m	120,91 m		



Таблица 33.4. Формули за пресмятане на дължините на елементите спрямо  $\frac{\lambda}{2}$  и  $1\lambda$

Дължини на елементите спрямо $\frac{\lambda}{2}$		Дължини на елементите спрямо $\lambda$	
$\frac{\lambda}{2} \cdot 1.0 = \frac{150000}{f}$	$\frac{\lambda}{2} \cdot 0.87 = \frac{130500}{f}$	$1.0 \lambda = \frac{300000}{f}$	$0.87 \lambda = \frac{261000}{f}$
$0.99 = \frac{148500}{f}$	$0.86 = \frac{129000}{f}$	$0.99 \lambda = \frac{297000}{f}$	$0.86 \lambda = \frac{258000}{f}$
$0.98 = \frac{147000}{f}$	$0.85 = \frac{127500}{f}$	$0.98 \lambda = \frac{294000}{f}$	$0.85 \lambda = \frac{255000}{f}$
$0.97 = \frac{145500}{f}$	$0.84 = \frac{126000}{f}$	$0.97 \lambda = \frac{291000}{f}$	$0.84 \lambda = \frac{252000}{f}$
$0.96 = \frac{144000}{f}$	$0.83 = \frac{124500}{f}$	$0.96 \lambda = \frac{288000}{f}$	$0.83 \lambda = \frac{249000}{f}$
$0.95 = \frac{142500}{f}$	$0.82 = \frac{123000}{f}$	$0.95 \lambda = \frac{285000}{f}$	$0.82 \lambda = \frac{246000}{f}$
$0.94 = \frac{141000}{f}$	$0.81 = \frac{121500}{f}$	$0.94 \lambda = \frac{282000}{f}$	$0.81 \lambda = \frac{243000}{f}$
$0.93 = \frac{139500}{f}$	$0.80 = \frac{120000}{f}$	$0.93 \lambda = \frac{279000}{f}$	$0.80 \lambda = \frac{240000}{f}$
$0.92 = \frac{138000}{f}$	$0.79 = \frac{118500}{f}$	$0.92 \lambda = \frac{276000}{f}$	$0.79 \lambda = \frac{237000}{f}$
$0.91 = \frac{136500}{f}$	$0.78 = \frac{117000}{f}$	$0.91 \lambda = \frac{273000}{f}$	$0.78 \lambda = \frac{234000}{f}$
$0.90 = \frac{135000}{f}$	$0.77 = \frac{115500}{f}$	$0.90 \lambda = \frac{270000}{f}$	$0.77 \lambda = \frac{231000}{f}$
$0.89 = \frac{133500}{f}$	$0.76 = \frac{114000}{f}$	$0.89 \lambda = \frac{267000}{f}$	$0.76 \lambda = \frac{228000}{f}$
$0.88 = \frac{132000}{f}$	$0.75 = \frac{112500}{f}$	$0.88 \lambda = \frac{264000}{f}$	$0.75 \lambda = \frac{225000}{f}$

Всички данни са в mm,  $f$  е в MHz.

Таблица 33.5. Честоти на телевизионните обхвати и канали в Европа

Повечето европейски държави излъчват телевизионни програми съгласно препоръките на CCIR (Comité Consultatif International Radiocommunication) или на OIRT (Organisation Internationale de Radiodiffusion et de Télévision). Във всеки кадър има по 625 реда. Изключение правят английският стандарт (405 реда в кадър) и френският стандарт (819 реда в кадър). Последните се използват за излъчване на програми в I и III телевизионен обхват. В IV/V обхват всички европейски предаватели без изключение работят по стандарт 625 реда (решение на европейската конференция за разпределение на радиочестотите, Стокхолм, 1961 г.).

Тези стандарти притежават разновидности, които са обяснени в началото на следващите таблици на честотите. За оразмеряването на приемните телевизионни антени обаче са от значение само честотите на телевизионните канали, определени от съответните стандарти.

Таблица 33.5.1. Европейски телевизионни обхвати по стандарт CCIR

Този стандарт е приет в ГДР, ГФР, Дания, Холандия, Финландия, Норвегия, Португалия, Швеция, Швейцария, Испания, Гърция, СФРЮ, Кипър и Турция.  
Стандарт CCIR

Изображение: отрицателна модулация, 625 реда, честота на кадрите 25 Hz,  
широчина на видеоканала 5 MHz

Звук: честотна модулация с девиация  $\pm 50$  kHz

Ширина на телевизионния канал: 7 MHz за I и III обхват, 8 MHz за IV/V обхват

Означение на каналите: E ...

Канал №	Граници на канала от MHz до MHz	Носена честота на изображе- нието, MHz	Носена честота на звука, MHz	Средна дължина на вълната, m
1	2	3	4	5

#### Обхват I

канал E-1	41 ... 47	не се използва		
канал E-2	47 ... 54	48,25	53,75	6,00
канал E-2A	48,5 ... 55,5	49,75	55,25	5,80
канал E-3	54 ... 61	55,25	60,75	5,20
канал E-4	61 ... 68	62,25	67,75	4,63

#### Обхват III

канал E-5	174 ... 181	175,25	180,75	1,69
канал E-6	181 ... 188	182,25	187,75	1,63
канал E-7	188 ... 195	189,25	194,75	1,57
канал E-8	195 ... 202	196,25	201,75	1,51
канал E-9	202 ... 209	203,25	208,75	1,46
канал E-10	209 ... 216	210,25	215,75	1,41
канал E-11	216 ... 223	217,25	222,75	1,37
канал E-12	223 ... 230	224,25	229,75	1,33

#### Обхват IV

				cm
канал 21	470 ... 478	471,25	476,75	63
канал 22	478 ... 486	479,25	484,75	62,5
канал 23	486 ... 494	487,25	492,75	61
канал 24	494 ... 502	495,25	500,75	60
канал 25	502 ... 510	503,25	508,75	59
канал 26	510 ... 518	511,25	516,75	58
канал 27	518 ... 526	519,25	524,75	57,5
канал 28	526 ... 534	527,25	532,75	56,5
канал 29	534 ... 542	535,25	540,75	55,5
канал 30	542 ... 550	543,25	548,75	55
канал 31	550 ... 558	551,25	556,75	54
канал 32	559 ... 566	559,25	564,75	53
канал 33	566 ... 574	567,25	572,75	52,5
канал 34	574 ... 582	575,25	580,75	51,5
канал 35	582 ... 590	583,25	588,75	51
канал 36	590 ... 598	591,25	596,75	50,5
канал 37	598 ... 606	599,25	604,75	50

#### Обхват V

канал 38	606 ... 614	607,25	612,75	49
канал 39	614 ... 622	615,25	620,75	48,5

Продължение на табл. 33.5.1

1	2	3	4	5
канал 40	622 ... 630	623,25	628,75	48
канал 41	630 ... 638	631,25	636,75	47
канал 42	638 ... 646	639,25	644,75	46,5
канал 43	646 ... 654	647,25	652,75	46
канал 44	654 ... 662	655,25	660,75	45,5
канал 45	662 ... 670	663,25	668,75	45
канал 46	670 ... 678	671,25	676,75	44,5
канал 47	678 ... 686	679,25	684,75	44
канал 48	686 ... 694	687,25	692,75	43,5
канал 49	694 ... 702	695,25	700,75	43
канал 50	702 ... 710	703,25	708,75	42,5
канал 51	710 ... 718	711,25	716,76	42
канал 52	718 ... 726	719,25	724,75	41,5
канал 53	726 ... 734	727,25	732,75	41
канал 54	734 ... 742	735,25	740,75	40,5
канал 55	742 ... 750	743,25	748,75	40,3
канал 56	750 ... 758	751,25	756,75	39,8
канал 57	758 ... 766	759,25	764,75	39,3
канал 58	766 ... 774	767,25	772,75	38,9
канал 59	774 ... 782	775,25	780,75	38,5
канал 60	782 ... 790	783,25	788,75	38,2
канал 61	790 ... 798	791,25	796,75	37,9
канал 62	798 ... 806	799,25	804,75	37,5
канал 63	806 ... 814	807,25	812,75	37,1
канал 64	814 ... 822	815,25	820,75	36,8
канал 65	822 ... 830	823,25	828,75	36,4
канал 66	830 ... 838	831,25	836,75	36,1
канал 67	838 ... 846	839,25	844,75	35,7
канал 68	846 ... 854	847,25	852,75	35,4

Европейската конференция за разпределение на честотите, проведена през 1961 г. в Стокхолм, предвижда освен това за нуждите на телевизионното разпръскване да се използва и честотният обхват от 854 MHz до 958 MHz (каналы от 69 до 81). Досега не е направено разпределение на честотите на предавателите от този обхват.

Таблица 33.5.2. Европейски телевизионни обхвати по стандарт OIRT

Този стандарт е приет от Албания, България, ЧССР, СССР, Полша, Румъния, Унгария.

Стандарт: OIRT

Изображение: отрицателна модулация, 625 реда, честота на кадрите 25 Hz, ширина на видеоканала 6 MHz.

Звук: честотна модулация с девиация  $\pm 50$  kHz.

Ширина на телевизионния канал: 8 MHz.

Означения на каналите: R-...

Продължение на табл. 33.5.2

Канал №	Граница на канала от MHz до MHz	Носеща честота на изображението, MHz	Носеща честота на звука, MHz	Средна дължина на вълната, m
R-I	48,5 ... 56,5	49,75	56,25	5,75
R-II	58,0 ... 66,00	59,25	65,75	4,86
R-III	76,0 ... 84,0	77,25	83,75	3,76
R-IV	84,0 ... 92,0	85,25	91,75	3,41
R-V	92,0 ... 100	93,25	99,75	3,13
R-VI	174 ... 182	175,25	181,75	1,68
R-VII	182 ... 190	183,25	189,75	1,61
R-VIII	190 ... 198	191,25	197,75	1,55
R-IX	198 ... 206	199,25	205,75	1,49
R-X	206 ... 214	207,25	213,75	1,43
R-XI	214 ... 222	215,25	221,75	1,38
R-XII	222 ... 230	223,25	229,75	1,33

Честотите на каналите от IV/V обхват съответствуват на стандарт CCIR.

Таблица 33.5.3. Телевизионни обхвати във Великобритания

Английски стандарт

Изображение: положителна модулация, 405 реда, честота на кадрите 25 Hz,  
широчина на видеоканала 3 MHz.

Звук: амплитудна модулация.

Ширина на телевизионния канал: 5 MHz (1-ви канал: 7 MHz).

Означение на каналите : В-...

Канал №	Граница на канала от MHz до MHz	Носеща честота на изображе- нието, MHz	Носеща честота на звука, MHz	Средна дължина на вълната, m
B-1	41,25 ... 46,25	45,00	41,50	6,88
B-2	48,00 ... 53,00	51,75	48,25	5,95
B-3	53,00 ... 58,00	56,75	53,25	5,41
B-4	58,00 ... 63,00	61,75	58,25	4,96
B-5	63,00 ... 68,00	66,75	63,25	4,58
B-6	176 ... 181	179,75	176,25	1,68
B-7	181 ... 186	184,75	181,25	1,63
B-8	186 ... 191	189,75	186,25	1,59
B-9	191 ... 196	194,75	191,25	1,55
B-10	196 ... 201	199,75	196,25	1,51
B-11	201 ... 206	204,75	201,25	1,47
B-12	206 ... 211	209,75	206,25	1,44
B-13	211 ... 216	214,75	211,25	1,41
B-14	216 ... 221	219,75	216,25	1,37

Честотите на каналите от IV/V обхват отговарят на стандарт CCIR.

Таблица 33.5.4. Телевизионни обхвати във Франция

Франция, Люксембург и Монако имат собствен стандарт за излъчване на телевизионни програми в I и III обхват.

Френски стандарт

Изображение: положителна модулация, 819 реда, честота на кадрите 25 Hz, ширина на видеоканала 10,4 MHz.

Звук: амплитудна модулация.

Ширина на телевизионния канал: 13,15 MHz (8-и канал: 14 MHz).

Означение на каналите : F-...

Канал №	Граница на канала от MHz до MHz	Носеща честота на изображе- нието, MHz	Носеща честота на звука, MHz	Средна дължина на вълната, m
F-2	41,15 ... 54,30	52,40	41,25	6,40
F-4	54,30 ... 67,45	65,55	54,40	4,98
F-5	162,10 ... 175,25	164,00	175,15	1,78
F-6	162,15 ... 175,30	173,40	162,25	1,78
F-7	175,25 ... 188,40	177,15	188,30	1,65
F-8	174,00 ... 188,00	185,25	174,10	1,65
F-8A	175,30 ... 188,45	186,55	175,40	1,65
F-9	188,40 ... 301,55	190,30	201,45	1,53
F-10	188,45 ... 201,60	199,70	188,55	1,53
F-11	201,55 ... 214,70	203,45	214,60	1,44
F-12	201,60 ... 214,75	212,85	201,70	1,44

Честотите на каналите от IV/V обхват съответствуват на стандарт CCIR.

Таблица 33.5.5. Телевизионни обхвати в Италия

Стандарт CCIR с различно разпределение на каналите.

Изображение: отрицателна модулация, 625 реда, честота на кадрите 25 Hz, ширина на видеоканала 5 MHz.

Звук: честотна модулация с девиация  $\pm 50$  kHz.

Ширина на телевизионния канал: 7 MHz в I и III обхват, 8 MHz в IV/V обхват.

Означение на каналите: буквите от A до H (за I и III обхват).

Канал №	Граница на канала от MHz до MHz	Носеща честота на изображе- нието, MHz	Носеща честота на звука, MHz	Средна дължина на вълната, m
A	52,5 ... 59,5	53,75	59,25	5,37
B	61,0 ... 68,0	62,25	67,75	4,66
C	81,0 ... 88,0	82,25	87,75	3,55
D	174,0 ... 181,0	175,25	180,75	1,69
E	183,0 ... 190,0	184,25	189,75	1,61
F	191,0 ... 198,0	192,25	197,75	1,54
G	200,0 ... 207,0	201,25	206,75	1,47
H	209,0 ... 216,0	210,25	215,75	1,42
H <sub>1</sub>	215,0 ... 223,0	217,25	222,75	1,37

Честотите на каналите от IV/V обхват отговарят на стандарт CCIR.

Таблица 33.6. Честоти на излъчване на УКВ-радиографи в Европа

Държавите, които са приели стандарта OIRT, излъчват радиографи в честотния обхват от 66 до 73 MHz. Не е предвидено някакво специално разпределение на каналите в този обхват.

УКВ-радиопредавателите на всички останали европейски страни работят по стандарт CCIR. Радиопрограмите се излъчват във II обхват (от 87,5 до 100 MHz). Обхватът е разделен на 42 канала, делението започва от 2-ри и завършва на 43-ти канал. Разстоянието между каналите (по честота) е 300 kHz. Поради непрекъснатото увеличаване на гъстотата на предавателната мрежа европейската конференция за разпределение на честотите (Стокхолм, 1961 год.) извърши ново деление на честотите на радиопредавателите. За създаването на нови канали разстоянието между каналите беше намалено на 100 kHz, така че сега съществуват 124 канала. Старото означение на каналите (от 2 до 43) беше запазено. Тъй като сега във всеки канал със старо означение влизат три отделни канала, вече е прието те да се различават по следния начин:

напр. 24 канал = 94,2 MHz се разделя на  
 канал 24° = 94,2 MHz,  
 канал 24- = 94,1 MHz и  
 канал 24+ = 94,3 MHz.

Канал	MHz	Канал	MHz	Канал	MHz	Канал	MHz
1		2		3		4	
2°	87,6	12+	90,7	23-	93,8	33°	96,9
2+	87,7	13-	90,8	23°	93,9	33+	97,0
3-	87,8	13°	90,9	23+	94,0	34-	97,1
3°	87,9	13+	91,0	24-	94,1	34°	97,2
3+	88,0	14-	91,1	24°	94,2	34+	97,3
4-	88,1	14°	91,2	24+	94,3	35-	97,4
4°	88,2	14+	91,3	25-	94,4	35°	97,5
4+	88,3	15-	91,4	25°	94,5	35+	97,6
5-	88,4	15°	91,5	25+	94,6	36-	97,7
5°	88,5	15+	91,6	26-	94,7	36°	97,8
5+	88,6	16-	91,7	26°	94,8	36+	97,9
6-	88,7	16°	91,8	26+	94,9	37-	98,0
6°	88,8	16+	91,9	27-	95,0	37°	98,1
6+	88,9	17-	92,0	27°	95,1	37+	98,2
7-	89,0	17°	92,1	27+	95,2	38-	98,3
7°	89,1	17+	92,2	28-	95,3	38°	98,4
7+	89,2	18-	92,3	28°	95,4	38+	98,5
8-	89,3	18°	92,4	28+	95,5	39-	98,6
8°	89,4	18+	92,5	29-	95,6	39°	98,7
8+	89,5	19-	92,6	29°	95,7	39+	98,8
9-	89,6	19°	92,7	29+	95,8	40-	98,9
9°	89,7	19+	92,8	30-	95,9	40°	99,0
9+	89,8	20-	92,9	30°	96,0	40+	99,1
10-	89,9	20°	93,0	30+	96,1	41-	99,2
10°	90,0	20+	93,1	31-	96,2	41°	99,3
10+	90,1	21-	93,2	31°	96,3	41+	99,4
11-	90,2	21°	93,3	31+	96,4	42-	99,5
11°	90,3	21+	93,4	32-	96,5	42°	99,6
11+	90,4	22-	93,5	32°	96,6	42+	99,7
12-	90,5	22°	93,6	32+	96,7	43-	99,8
12°	90,6	22+	93,7	33-	96,8	43°	99,9

Таблица 33.7. Пресмятане от честота в дължина на вълната и обратно

В долната таблица всяка колона може да означава или kHz, или m; следователно пресмятането може да става и в двете посоки.

240000	1,25	17600	17,045	12800	23,437	8300	36,145
120000	2,5	17500	17,143	12700	23,622	8200	36,585
60000	5,0	17400	17,242	12600	23,810	8100	37,037
40000	7,5	17300	17,341	12500	24,000		
30000	10,0	17200	17,442	12400	24,193	8000	37,500
29500	10,17	17100	17,544	12300	24,390	7900	37,975
29000	10,34			12200	24,590	7800	38,461
28500	10,51	17000	17,647	12100	24,793	7700	38,961
28000	10,71	16900	17,751			7600	39,474
27500	10,91	16800	17,857			7500	40,000
27000	11,11	16700	17,964	12000	25,000	7400	40,540
26500	11,32	16600	18,072	11900	25,210	7300	41,096
26000	11,54	16500	18,182	11800	25,424	7200	41,667
25500	11,76	16400	18,293	11700	25,641	7100	42,254
		16300	18,405	11600	25,862		
		16200	18,519	11500	26,087	7000	42,857
25000	12,00	16100	18,633	11400	26,316	6900	43,478
24500	12,24			11300	26,549	6800	44,118
24000	12,50	16000	18,750	11200	26,786	6700	44,777
23500	12,77	15900	18,868	11100	27,027	6600	45,455
23000	13,04	15800	18,987			6500	46,154
22500	13,33	15700	19,108			6400	46,874
22000	13,63	15600	19,231	11000	27,273	6300	47,619
21500	13,97	15500	19,355	10900	27,523	6200	48,387
21000	14,28	15400	19,480	10800	27,778	6100	49,180
20500	14,63	15300	19,608	10700	28,037		
		15200	19,737	10600	28,302		
20000	15,000	15100	19,867	10500	28,521	6000	50,000
19900	15,975			10400	28,846	5900	50,847
19800	15,151	15000	20,000	10300	29,126	5800	51,724
19700	15,228	14900	20,134	10200	29,412	5700	52,631
19600	15,306	14800	20,270	10100	29,703	5600	53,571
19500	15,385	14700	20,408	10000	30,000	5500	54,545
19400	15,464	14600	20,548			5400	55,555
19300	15,544	14500	20,690	9900	30,303	5300	56,604
19200	15,625	14400	20,833	9800	30,612	5200	57,692
19100	15,707	14300	20,979	9700	30,928	5100	58,824
		14200	21,127	9600	31,250		
19000	15,789	14100	21,276	9500	31,579	5000	60,000
18900	15,873			9400	31,915	4900	61,224
18800	15,975	14000	21,428	9300	32,258	4800	62,500
18700	16,043	13900	21,583	9200	32,258	4700	63,830
18600	16,129	13800	21,739	9200	32,608	4600	65,217
18500	16,216	13700	21,898	9100	32,967	4500	66,667
18400	16,304	13600	22,059			4400	68,182
18300	16,393	13500	22,222			4300	69,767
18200	16,483	13400	22,388	9000	33,333	4200	71,429
18100	16,574	13300	22,556	8900	33,708	4100	73,171
		13200	22,727	8800	34,091		
18000	16,667	13100	22,901	8700	34,483	4000	75,000
17900	16,760			8600	34,884	3900	76,923
17800	16,854	13000	23,077	8500	35,294	3800	78,947
17700	16,949	12900	23,256	8400	35,714	3700	81,080

## Продължение на табл. 33.7

3600	83,333	2000	150,00	1390	215,83	1230	243,90
3500	85,714	1900	157,89	1380	217,39	1220	245,90
3400	88,235	1800	166,67	1370	218,98	1210	247,93
3300	90,909	1700	176,47	1360	220,59	1200	250,00
3200	93,750	1600	187,50	1350	222,22		
3100	96,774	1500	200,00	1340	223,88	1190	252,10
		1490	201,34	1330	225,56	1180	254,24
3000	100,000	1480	202,70	1320	227,27	1170	256,41
2900	103,45	1470	204,08	1310	229,01	1160	258,62
2800	107,14	1460	205,48	1300	230,77	1150	260,87
2700	111,11					1140	263,16
2600	115,38	1450	206,90	1290	232,56	1130	265,49
2500	120,00	1440	208,33	1280	234,38	1120	267,86
2400	125,00	1430	209,79	1270	236,22	1110	270,27
2300	130,43	1420	211,27	1260	238,10	1100	272,73
2200	136,36	1410	212,77	1250	240,00	1090	275,23
2100	142,65	1400	214,28	1240	241,93	1080	277,78

Таблица 33.8. Пресмятане на  $t$  в MHz, обхват от 10 до 100  $t$  (разпределение на

m	MHz	m	MHz	m	MHz	m	MHz
10,1	29,703	20,1	14,925	30,1	9,966.7	40,1	7,481.3
10,2	29,411	20,2	14,851	30,2	9,933.7	40,2	7,462.6
10,3	29,126	20,3	14,778	30,3	9,901.0	40,3	7,444.0
10,4	28,846	20,4	14,705	30,4	9,868.5	40,4	7,425.8
10,5	28,571	20,5	14,634	30,5	9,836.0	40,5	7,407.3
10,6	28,301	20,6	14,563	30,6	9,804.0	40,6	7,399.0
10,7	28,037	20,7	14,493	30,7	9,772.0	40,7	7,371.0
10,8	27,778	20,8	14,423	30,8	9,740.2	40,8	7,353.0
10,9	27,522	20,9	14,353	30,9	9,703.7	40,9	7,335.0
11,0	27,273	21,0	14,285	31,0	9,677.4	41,0	7,317.5
11,1	27,027	21,1	14,218	31,1	9,646.2	41,1	7,299.3
11,2	26,786	21,2	14,151	31,2	9,615.5	41,2	7,281.5
11,3	26,549	21,3	14,085	31,3	9,584.7	41,3	7,263.8
11,4	26,316	21,4	14,019	31,4	9,554.0	41,4	7,246.3
11,5	26,087	21,5	13,954	31,5	9,523.8	41,5	7,228.9
11,6	25,862	21,6	13,889	31,6	9,493.6	41,6	7,211.5
11,7	25,641	21,7	13,825	31,7	9,463.7	41,7	7,194.2
11,8	25,424	21,8	13,761	31,8	9,433.8	41,8	7,177.0
11,9	25,210	21,9	13,699	31,9	9,404.4	41,9	7,160.0
12,0	25,000	22,0	13,636	32,0	9,375.0	42,0	7,142.8
12,1	24,793	22,1	13,575	32,1	9,345.6	42,1	7,125.9
12,2	24,590	22,2	13,514	32,2	9,316.6	42,2	7,109.0
12,3	24,390	22,3	13,453	32,3	9,288.0	42,3	7,092.2
12,4	24,193	22,4	13,393	32,4	9,259.2	42,4	7,075.3
12,5	24,000	22,5	13,333	32,5	9,230.8	42,5	7,058.8



## Продължение на табл. 33.7

1070	280,37	920	326,09	780	384,61	630	476,19
1060	283,02	910	329,67	770	389,61	620	483,87
1050	285,71	900	333,33	760	394,74	610	491,80
1040	288,46			750	400,00	600	500,00
1030	291,26	890	337,08	740	405,40		
1020	294,12	880	340,91	730	410,96	590	508,47
1010	297,03	870	344,83	720	416,67	580	517,24
1000	300,00	860	348,84	710	422,54	570	526,32
		850	352,94	700	428,57	560	535,71
990	303,03	840	357,14			550	545,45
980	306,12	830	361,45	690	434,78	540	555,55
970	309,28	820	365,85	680	441,18	530	566,03
960	312,50	810	370,37	670	447,76	520	576,72
950	315,79	800	375,00	660	454,54	510	588,24
940	319,15			650	461,54	500	600,00
930	322,58	790	379,75	640	468,75		

интервали от по 0.1 m)

m	MHz	m	MHz	m	MHz	m	MHz	m	MHz
50,1	5,988.0	60,1	4,991.7	70,1	4,279.6	80,1	3,745.3	90,1	3,329.7
50,2	5,976.1	60,2	4,983.3	70,2	4,273.5	80,2	3,740.7	90,2	3,326.0
50,3	5,964.1	60,3	4,975.1	70,3	4,267.4	80,3	3,735.9	90,3	3,322.2
50,4	5,953.7	60,4	4,966.9	70,4	4,261.4	80,4	3,731.2	90,4	3,318.5
50,5	5,940.6	60,5	4,958.6	70,5	4,255.3	80,5	3,726.7	90,5	3,314.9
50,6	5,928.9	60,6	4,950.5	70,6	4,249.3	80,6	3,722.0	90,6	3,311.2
50,7	5,917.1	60,7	4,942.3	70,7	4,243.3	80,7	3,717.5	90,7	3,307.6
50,8	5,905.6	60,8	4,934.2	70,8	4,237.3	80,8	3,712.9	90,8	3,303.9
50,9	5,893.9	60,9	4,926.1	70,9	4,231.3	80,9	3,708.3	90,9	3,300.3
51,0	5,882.5	61,0	4,918.0	71,0	4,225.3	81,0	3,703.7	91,0	3,296.7
51,5	5,870.9	61,1	4,910.0	71,1	4,219.4	81,1	3,699.2	91,1	3,293.1
51,2	5,859.4	61,2	4,902.0	71,2	4,213.5	81,2	3,694.6	91,2	3,289.4
51,3	5,847.9	61,3	4,894.0	71,3	4,207.6	81,3	3,690.0	91,3	3,285.8
51,4	5,838.0	61,4	4,886.0	71,4	4,201.7	81,4	3,685.5	91,4	3,282.2
51,5	5,825.1	61,5	4,878.0	71,5	4,195.7	81,5	3,680.9	91,5	3,278.7
51,6	5,813.9	61,6	4,870.1	71,6	4,190.0	81,6	3,676.5	91,6	3,275.1
51,7	5,802.7	61,7	4,862.2	71,7	4,184.1	81,7	3,672.0	91,7	3,271.5
51,8	5,791.6	61,8	4,854.3	71,8	4,178.3	81,8	3,667.5	91,8	3,268.0
51,9	5,780.3	61,9	4,846.6	71,9	4,172.5	81,9	3,663.0	91,9	3,264.4
52,0	5,769.0	62,0	4,838.7	72,0	4,166.7	82,0	3,658.6	92,0	3,260.8
52,1	5,758.1	62,1	4,830.9	72,1	4,160.8	82,1	3,654.1	92,1	3,257.3
52,2	5,747.1	62,2	4,823.1	72,2	4,155.1	82,2	3,649.7	92,2	3,253.8
52,3	5,736.1	62,3	4,815.3	72,3	4,149.4	82,3	3,645.2	92,3	3,250.3
52,4	5,725.2	62,4	4,807.8	72,4	4,143.6	82,4	3,640.8	92,4	3,246.8
52,5	5,714.2	62,5	4,800.0	72,5	4,137.9	82,5	3,636.4	92,5	3,243.2

Продължение на табл. 33.8

m	MHz	m	MHz	m	MHz	m	MHz
12,6	23,809	22,6	13,274	32,6	9,202.4	42,6	7,042.2
12,7	23,622	22,7	13,216	32,7	9,174.2	42,7	7,025.7
12,8	23,437	22,8	13,158	32,8	9,146.4	42,8	7,009.3
12,9	23,256	22,9	13,100	32,9	9,118.4	42,9	6,993.0
13,0	23,077	23,0	13,043	33,0	9,091.0	43,0	6,976.7
13,1	22,901	23,1	12,987	33,1	9,063.4	43,1	6,960.5
13,2	22,722	23,2	12,931	33,2	9,036.0	43,2	6,944.4
13,3	22,556	23,3	12,875	33,3	9,009.0	43,3	6,928.3
13,4	22,388	23,4	12,820	33,4	8,982.0	43,4	6,912.4
13,5	22,224	23,5	12,766	33,5	8,955.2	43,5	6,896.5
13,6	22,059	23,6	12,712	33,6	8,928.6	43,6	6,880.7
13,7	21,898	23,7	12,658	33,7	8,902.0	43,7	6,865.0
13,8	21,739	23,8	12,605	33,8	8,875.4	43,8	6,849.3
13,9	21,583	23,9	12,553	33,9	8,849.6	43,9	6,833.8
14,0	21,429	24,0	12,500	34,0	8,823.4	44,0	6,818.2
14,1	21,277	24,1	12,448	34,1	8,797.8	44,1	6,802.7
14,2	21,127	24,2	12,397	34,2	8,771.8	44,2	6,787.3
14,3	20,979	24,3	12,345	34,3	8,746.4	44,3	6,772.0
14,4	20,833	24,4	12,295	34,4	8,720.8	44,4	6,756.8
14,5	20,690	24,5	12,245	34,5	8,695.6	44,5	6,741.6
14,6	20,548	24,6	12,194	34,6	8,670.4	44,6	6,726.5
14,7	20,408	24,7	12,146	34,7	8,645.6	44,7	6,711.3
14,8	20,270	24,8	12,097	34,8	8,620.6	44,8	6,696.3
14,9	20,134	24,9	12,048	34,9	8,595.8	44,9	6,681.3
15,00	20,000	25,0	12,000	35,0	8,571.4	45,0	6,666.7
15,1	19,867	25,1	11,952	35,1	8,547.0	45,1	6,652.1
15,2	19,737	25,2	11,905	35,2	8,522.8	45,2	6,637.1
15,3	19,608	25,3	11,858	35,3	8,498.6	45,3	6,622.5
15,4	19,480	25,4	11,811	35,4	8,474.6	45,4	6,608.1
15,5	19,355	25,5	11,765	35,5	8,450.6	45,5	6,593.4
15,6	19,231	25,6	11,719	35,6	8,427.0	45,6	6,579.0
15,7	19,108	25,7	11,673	35,7	8,403.4	45,7	6,564.5
15,8	18,987	25,8	11,628	35,8	8,380.0	45,8	6,550.1
15,9	18,868	25,9	11,583	35,9	8,356.6	45,9	6,536.0
16,0	18,750	26,0	11,538	36,0	8,333.3	46,0	6,521.5
16,1	18,633	26,1	11,494	36,1	8,310.2	46,1	6,507.6
16,2	18,518	26,2	11,450	36,2	8,287.2	46,2	6,493.5
16,3	18,405	26,3	11,407	36,3	8,264.4	46,3	6,479.4
16,4	18,293	26,4	11,364	36,4	8,241.6	46,4	6,465.4
16,5	18,182	26,5	11,320	36,5	8,219.2	46,5	6,451.6
16,6	18,072	26,6	11,278	36,6	8,196.8	46,6	6,437.7
16,7	17,964	26,7	11,236	36,7	8,174.4	46,7	6,423.9
16,8	17,857	26,8	11,194	36,8	8,152.2	46,8	6,410.1
16,9	17,751	26,9	11,152	36,9	8,130.0	46,9	6,396.6
17,0	17,647	27,0	11,111	37,0	8,108.2	47,0	6,383.0

m	MHz	m	MHz	m	MHz	m	MHz	m	MHz
52,6	5,703.4	62,6	4,792.3	72,6	4,132.2	82,6	3,631.9	92,6	3,239.7
52,7	5,692.6	62,7	4,784.7	72,7	4,126.6	82,7	3,627.5	92,7	3,236.2
52,8	5,682.1	62,8	4,777.0	72,8	4,120.9	82,8	3,623.2	92,8	3,232.7
52,9	5,671.0	62,9	4,769.4	72,9	4,115.2	82,9	3,618.8	92,9	3,229.2
53,0	5,660.0	63,0	4,761.9	73,0	4,109.6	83,0	3,614.4	93,0	3,225.8
53,1	5,649.7	63,1	4,754.3	73,1	4,103.9	83,1	3,610.1	93,1	3,222.3
53,2	5,639.1	63,2	4,746.8	73,2	4,098.4	83,2	3,605.7	93,2	3,218.8
53,3	5,628.5	63,3	4,739.3	73,3	4,092.8	83,3	3,601.4	93,3	3,215.4
53,4	5,618.0	63,4	4,731.9	73,4	4,087.2	83,4	3,597.1	93,4	3,221.9
53,5	5,607.5	63,5	4,724.4	73,5	4,081.6	83,5	3,592.7	93,5	3,208.6
53,6	5,597.0	63,6	4,716.9	73,6	4,076.1	83,6	3,588.5	93,6	3,205.1
53,7	5,586.6	63,7	4,709.5	73,7	4,070.6	83,7	3,584.2	93,7	3,201.7
53,8	5,576.2	63,8	4,702.2	73,8	4,065.0	83,8	3,580.0	93,8	3,198.3
53,9	5,565.9	63,9	4,694.8	73,9	4,059.5	83,9	3,575.7	93,9	3,194.8
54,0	5,555.6	64,0	4,687.5	74,0	4,051.1	84,0	3,571.4	94,0	3,191.5
54,1	5,545.3	64,1	4,680.1	74,1	4,048.5	84,1	3,567.2	94,1	3,188.1
54,2	5,535.0	64,2	4,672.8	74,2	4,043.2	84,2	3,562.9	94,2	3,184.7
54,3	5,524.9	64,3	4,665.7	74,3	4,037.6	84,3	3,558.7	94,3	3,181.4
54,4	5,514.6	64,4	4,658.3	74,4	4,032.3	84,4	3,554.5	94,4	3,178.9
54,5	5,504.5	64,5	4,651.1	74,5	4,026.8	84,5	3,550.3	94,5	3,174.6
54,6	5,494.5	64,6	4,644.0	74,6	4,021.5	84,6	3,546.1	94,6	3,171.2
54,7	5,484.4	64,7	4,636.8	74,7	4,016.1	84,7	3,541.9	94,7	3,167.9
54,8	5,474.5	64,8	4,629.6	74,8	4,010.7	84,8	3,537.7	94,8	3,164.5
54,9	5,464.5	64,9	4,622.6	74,9	4,005.4	84,9	3,533.5	94,9	3,161.2
55,0	5,454.6	65,0	4,615.4	75,0	4,000.0	85,0	3,529.4	95,0	3,157.9
55,1	5,444.7	65,1	4,608.3	75,1	3,994.6	85,1	3,525.2	95,1	3,154.6
55,2	5,434.7	65,2	4,601.2	75,2	3,989.4	85,2	3,521.1	95,2	3,151.2
55,3	5,424.9	65,3	4,594.3	75,3	3,984.1	85,3	3,517.0	95,3	3,148.0
55,4	5,415.1	65,4	4,587.1	75,4	3,978.8	85,4	3,512.9	95,4	3,144.6
55,5	5,405.4	65,5	4,580.1	75,5	3,973.5	85,5	3,508.7	95,5	3,141.4
55,6	5,395.7	65,6	4,573.2	75,6	3,968.3	85,6	3,504.7	95,6	3,138.1
55,7	5,385.9	65,7	4,566.1	75,7	3,963.0	85,7	3,500.5	95,7	3,134.8
55,8	5,376.4	65,8	4,559.2	75,8	3,957.7	85,8	3,496.5	95,8	3,131.5
55,9	5,366.7	65,9	4,552.3	75,9	3,952.5	85,9	3,492.5	95,9	3,128.2
56,0	5,357.1	66,0	4,545.5	76,0	3,947.4	86,0	3,488.3	96,0	3,125.0
56,1	5,347.6	66,1	4,538.6	76,1	3,942.2	86,1	3,494.3	96,1	3,121.8
56,2	5,338.0	66,2	4,531.7	76,2	3,937.0	86,2	3,480.2	96,2	3,118.4
56,3	5,328.6	66,3	4,524.9	76,3	3,931.9	86,3	3,476.2	96,3	3,115.2
56,4	5,319.1	66,4	4,518.0	76,4	3,926.7	86,4	3,472.2	96,4	3,112.0
56,5	5,309.6	66,5	4,511.3	76,5	3,921.5	86,5	3,468.2	96,5	3,108.8
56,6	5,300.2	66,6	4,504.6	76,6	3,916.5	86,6	3,464.2	96,6	3,105.6
56,7	5,291.0	66,7	4,497.7	76,7	3,911.3	86,7	3,460.2	96,7	3,102.4
56,8	5,281.6	66,8	4,491.0	76,8	3,906.3	86,8	3,456.2	96,8	3,099.1
56,9	5,272.4	66,9	4,484.2	76,9	3,901.1	86,9	3,452.2	96,9	3,096.0
57,0	5,263.2	67,0	4,477.7	77,0	3,896.1	87,0	3,448.2	97,0	3,092.8

Продължение на табл. 33.8

m	MHz	m	MHz	m	MHz	m	MHz
17,1	17,544	27,1	11,070	37,1	8,086.5	47,1	6,369.4
17,2	17,442	27,2	11,029	37,2	8,064.6	47,2	6,356.0
17,3	17,341	27,3	10,989	37,3	8,042.8	47,3	6,342.5
17,4	17,241	27,4	10,949	37,4	8,021.4	47,4	6,329.0
17,5	17,143	27,5	10,909	37,5	8,000.0	47,5	6,315.8
17,6	17,046	27,6	10,869	37,6	7,978.7	47,6	6,302.3
17,7	16,949	27,7	10,830	37,7	7,957.6	47,7	6,289.3
17,8	16,854	27,8	10,792	37,8	7,936.5	47,8	6,276.1
17,9	16,760	27,9	10,753	37,9	7,915.5	47,9	6,263.0
18,0	16,667	28,0	10,714	38,0	7,894.8	48,0	6,250.0
18,1	16,575	28,1	10,676	38,1	7,874.0	48,1	6,236.9
18,2	16,483	28,2	10,638	38,2	7,853.4	48,2	6,224.0
18,3	16,393	28,3	10,600	38,3	7,832.8	48,3	6,211.1
18,4	16,305	28,4	10,563	38,4	7,812.5	48,4	6,198.3
18,5	16,217	28,5	10,526	38,5	7,792.2	48,5	6,185.6
18,6	16,229	28,6	10,489	38,6	7,772.0	48,6	6,172.3
18,7	16,043	28,7	10,453	38,7	7,752.0	48,7	6,160.2
18,8	15,957	28,8	19,417	38,8	7,732.0	48,8	6,147.6
18,9	15,873	28,9	10,381	38,9	7,712.0	48,9	6,135.0
19,0	15,790	29,0	10,345	39,0	7,692.3	49,0	6,122.4
19,1	15,707	29,1	10,309	39,1	7,672.3	49,1	6,110.0
19,2	15,625	29,2	10,274	39,2	7,653.0	49,2	6,097.4
19,3	15,544	29,3	10,239	39,3	7,633.6	49,3	6,085.1
19,4	15,464	29,4	10,204	39,4	7,614.2	49,4	6,073.1
19,5	15,385	29,5	10,170	39,5	7,594.8	49,5	6,060.6
19,6	15,306	29,6	10,135	39,6	7,575.7	49,6	6,048.4
19,7	15,228	29,7	10,101	39,7	7,556.7	49,7	6,036.1
19,8	15,151	29,8	10,067	39,8	7,537.7	49,8	6,025.1
19,9	15,076	29,9	10,033	39,9	7,518.8	49,9	6,012.0
20,0	15,000	30,0	10,000	40,0	7,500.0	50,0	6,000.0

m	MHz	m	MHz	m	MHz	m	MHz	m	MHz
57,1	5,253.9	67,1	4,471.0	77,1	3,891.1	87,1	3,444.3	97,1	3,089.6
57,2	5,244.7	67,2	4,464.3	77,2	3,886.0	87,2	3,440.3	97,2	3,086.4
57,3	5,235.6	67,3	4,457.6	77,3	3,881.0	87,3	3,436.5	97,3	3,083.3
57,4	5,226.5	67,4	4,451.0	77,4	3,876.0	87,4	3,432.5	97,4	3,080.1
57,5	5,217.4	67,5	4,444.4	77,5	3,871.0	87,5	3,428.5	97,5	3,076.9
57,6	5,208.4	67,6	4,437.8	77,6	3,866.0	87,6	3,424.7	97,6	3,073.8
57,7	5,199.3	67,7	4,431.3	77,7	3,861.0	87,7	3,420.8	97,7	3,070.6
57,8	5,190.3	67,8	4,424.8	77,8	3,856.0	87,8	3,416.9	97,8	3,067.5
57,9	5,181.4	67,9	4,418.2	77,9	3,851.1	87,9	3,413.9	97,9	3,064.4
58,0	5,172.4	68,0	4,411.7	78,0	3,846.2	88,0	3,409.1	98,0	3,061.2
58,1	5,163.4	68,1	4,405.2	78,1	3,841.3	88,1	3,405.2	98,1	3,058.1
58,2	5,154.7	68,2	4,398.8	78,2	3,836.3	88,2	3,401.3	98,2	3,055.0
58,3	5,145.7	68,3	4,392.4	78,3	3,831.4	88,3	3,397.5	98,3	3,051.9
58,4	5,137.0	68,4	4,385.9	78,4	3,826.5	88,4	3,393.7	98,4	3,048.7
58,5	5,128.1	68,5	4,379.6	78,5	3,821.6	88,5	3,389.8	98,5	3,045.6
58,6	5,119.3	68,6	4,373.2	78,6	3,816.8	88,6	3,386.0	98,6	3,042.5
58,7	5,110.7	68,7	4,366.8	78,7	3,812.0	88,7	3,382.2	98,7	3,039.5
58,8	5,102.0	68,8	4,350.4	78,8	3,807.1	88,8	3,378.4	98,8	3,036.4
58,9	5,093.3	68,9	4,354.1	78,9	3,802.3	88,9	3,374.5	98,9	3,033.3
59,0	5,084.6	69,0	4,347.8	79,0	3,797.5	89,0	3,370.8	99,0	3,030.3
59,1	5,076.1	69,1	4,341.5	79,1	3,792.6	89,1	3,367.0	99,1	3,027.3
59,2	5,067.6	69,2	4,335.2	79,2	3,787.8	89,2	3,363.2	99,2	3,024.2
59,3	5,059.1	69,3	4,329.0	79,3	3,783.1	89,3	3,359.5	99,3	3,021.1
59,4	5,050.4	69,4	4,322.7	79,4	3,778.3	89,4	3,355.7	99,4	3,018.1
59,5	5,042.0	69,5	4,316.6	79,5	3,773.5	89,5	3,352.0	99,5	3,015.1
59,6	5,033.5	69,6	4,310.3	79,6	3,768.8	89,6	3,348.2	99,6	3,012.1
59,7	5,025.1	69,7	4,304.2	79,7	3,764.1	89,7	3,344.5	99,7	3,009.0
59,8	5,016.7	69,8	4,297.9	79,8	3,759.4	89,8	3,340.7	99,8	3,006.0
59,9	5,008.3	69,9	4,291.7	79,9	3,754.7	89,9	3,337.0	99,9	3,003.0
60,0	5,000.0	70,0	4,285.7	80,0	3,750.0	90,0	3,333.3	100,0	3,000.0

Таблица 33.9. Пресмятане на стойностите в децибели като отношения на напрежения, токове или мощности

Отрицателно		Децибели ←dB→+	Положително	
отношение на напрежение или токове	отношение на мощ- ности		отношение на напрежение или токове	отношение на мощности
$\frac{U_1}{U_2} ; \frac{I_1}{I_2}$	$\frac{P_1}{P_2}$		$\frac{U_1}{U_2} ; \frac{I_1}{I_2}$	$\frac{P_1}{P_2}$
1	2	3	4	5
1,0000	1,0000	0	1,000	1,000
0,9886	0,9772	0,1	1,012	1,023
0,9772	0,9550	0,2	1,023	1,047
0,9661	0,9333	0,3	1,035	1,972

Продължение на табл. 33.9

1	2	3	4
0,9550	0,9120	0,4	1,047
0,9441	0,8913	0,5	1,059
0,9333	0,9710	0,6	1,072
0,9226	0,8511	0,7	1,084
0,9120	0,8318	0,8	1,096
0,9016	0,8128	0,9	1,109
0,8913	0,7943	1,0	1,122
0,8810	0,7762	1,1	1,135
0,8710	0,7586	1,2	1,148
0,8610	0,7413	1,3	1,161
0,8511	0,7244	1,4	1,175
0,8414	0,7079	1,5	1,189
0,8318	0,6918	1,6	1,202
0,8222	0,6761	1,7	1,216
0,8128	0,6607	1,8	1,230
0,8035	0,6457	1,9	1,245
0,7943	0,6310	2,0	1,259
0,7852	0,6166	2,1	1,274
0,7762	0,6026	2,2	1,288
0,7674	0,5888	2,3	1,303
0,7586	0,5754	2,4	1,318
0,7499	0,5623	2,5	1,334
0,7413	0,5495	2,6	1,349
0,7328	0,5370	2,7	1,365
0,7244	0,5248	2,8	1,380
0,7161	0,5129	2,9	1,396
0,7079	0,5012	3,0	1,413
0,6998	0,4898	3,1	1,429
0,6918	0,4786	3,2	1,445
0,6839	0,4677	3,3	1,462
0,6761	0,4571	3,4	1,479
0,6683	0,4467	3,5	1,496
0,6607	0,4365	3,6	1,514
0,6531	0,4266	3,7	1,531
0,6457	0,4169	3,8	1,549
0,6383	0,4074	3,9	1,567
0,6310	0,3981	4,0	1,585
0,6237	0,3890	4,1	1,603
0,6166	0,3802	4,2	1,622
0,6095	0,3715	4,3	1,641
0,6026	0,3631	4,4	1,660
0,5957	0,3548	4,5	1,679
0,5888	0,3467	4,6	1,698
0,5821	0,3388	4,7	1,718
0,5754	0,3311	4,8	1,738
0,5689	0,3236	4,9	1,758
0,5623	0,3162	5,0	1,778
0,5559	0,3090	5,1	1,799
0,5495	0,3020	5,2	1,820
0,5433	0,2951	5,3	1,841
0,5370	0,2884	5,4	1,862
0,5309	0,2818	5,5	1,884

## Продыжение на табл. 33.9

1	2	3	4	5
0,5248	0,2754	5,6	1,905	3,631
0,5188	0,2692	5,7	1,928	3,715
0,5129	0,2630	5,8	1,950	3,802
0,5070	0,2570	5,9	1,972	3,890
0,5012	0,2512	6,0	1,995	3,981
0,4955	0,2455	6,1	2,018	4,074
0,4898	0,2399	6,2	2,042	4,169
0,4842	0,2344	6,3	2,065	4,266
0,4786	0,2291	6,4	2,089	4,365
0,4732	0,2239	6,5	2,113	4,467
0,4677	0,2188	6,6	2,138	4,571
0,4624	0,2138	6,7	2,163	4,677
0,4571	0,2089	6,8	2,188	4,786
0,4519	0,2042	6,9	2,213	4,898
0,4467	0,1995	7,0	2,239	5,012
0,4416	0,1950	7,1	2,265	5,129
0,4365	0,1905	7,2	2,291	5,248
0,4315	0,1862	7,3	2,317	5,370
0,4266	0,1820	7,4	2,344	5,495
0,4217	0,1778	7,5	2,371	5,623
0,4169	0,1738	7,6	2,399	5,754
0,4121	0,1698	7,7	2,427	5,888
0,4074	0,1660	7,8	2,455	6,026
0,4027	0,1622	7,9	2,483	6,166
0,3981	0,1585	8,0	2,512	6,310
0,3936	0,1549	8,1	2,541	6,457
0,3890	0,1514	8,2	2,570	6,607
0,3846	0,1479	8,3	2,600	6,761
0,3802	0,1445	8,4	2,630	6,918
0,3758	0,1413	8,5	2,661	7,079
0,3715	0,1380	8,6	2,692	7,244
0,3673	0,1349	8,7	2,723	7,413
0,3631	0,1318	8,8	2,754	7,568
0,3589	0,1288	8,9	2,786	7,762
0,3548	0,1259	9,0	2,818	7,943
0,3508	0,1230	9,1	2,851	8,128
0,3467	0,1202	9,2	2,884	8,318
0,3428	0,1175	9,3	2,917	8,511
0,3388	0,1148	9,4	2,951	8,710
0,3350	0,1122	9,5	2,985	8,913
0,3311	0,1096	9,6	3,020	9,120
0,3273	0,1072	9,7	3,055	9,333
0,3236	0,1047	9,8	3,090	9,550
0,3199	0,1023	9,9	3,126	9,772
0,3162	0,1000	10,0	3,162	10,000
0,3126	0,0977	10,1	3,199	10,23
0,3090	0,0955	10,2	3,236	10,47
0,3055	0,0933	10,3	3,273	10,72
0,3020	0,0912	10,4	3,311	10,96
0,2985	0,0891	10,5	3,350	11,22
0,2951	0,0871	10,6	3,388	11,48
0,2917	0,0851	10,7	3,428	11,75

Продължение на табл. 33.9

1	2	3	4	5
0,2884	0,0832	10,8	3,467	12,02
0,2851	0,0813	10,9	3,508	12,30
0,2818	0,0794	11,0	3,548	12,59
0,2786	0,0776	11,1	3,589	12,88
0,2754	0,0759	11,2	3,631	13,18
0,2723	0,0741	11,3	3,673	13,49
0,2692	0,0724	11,4	3,715	13,80
0,2661	0,0708	11,5	3,758	14,13
0,2630	0,0692	11,6	3,802	14,45
0,2600	0,0676	11,7	3,846	14,79
0,2570	0,0661	11,8	3,890	15,14
0,2541	0,0646	11,9	3,936	15,49
0,2512	0,0631	12,0	3,981	15,85
0,2483	0,0517	12,1	4,027	16,22
0,2455	0,0603	12,2	4,074	16,60
0,2427	0,0589	12,3	4,121	16,98
0,2399	0,0575	12,4	4,169	17,38
0,2371	0,0562	12,5	4,217	17,78
0,2344	0,0550	12,6	4,266	18,20
0,2317	0,0537	12,7	4,315	18,62
0,2291	0,0525	12,8	4,365	19,05
0,2265	0,0513	12,9	4,416	19,50
0,2239	0,0501	13,0	4,467	19,95
0,2213	0,0490	13,1	4,519	20,42
0,2188	0,0479	13,2	4,571	20,89
0,2163	0,0468	13,3	4,624	21,38
0,2138	0,0457	13,4	4,677	21,88
0,2113	0,0447	13,5	4,732	22,39
0,2089	0,0437	13,6	4,786	22,91
0,2065	0,0427	13,7	4,842	23,44
0,2042	0,0417	13,8	4,898	23,99
0,2018	0,0407	13,9	4,955	24,55
0,1995	0,0398	14,0	5,012	25,12
0,1972	0,0389	14,1	5,070	25,70
0,1950	0,0380	14,2	5,129	26,30
0,1928	0,0372	14,3	5,188	26,92
0,1905	0,0363	14,4	5,248	27,54
0,1884	0,0355	14,5	5,309	28,18
0,1862	0,0347	14,6	5,370	28,84
0,1841	0,0339	14,7	5,433	29,51
0,1820	0,0331	14,8	5,495	30,20
0,1799	0,0324	14,9	5,559	30,90
0,1778	0,0316	15,0	5,623	31,62
0,1759	0,0309	15,1	5,689	32,36
0,1738	0,0302	15,2	5,754	33,11
0,1718	0,0295	15,3	5,821	33,88
0,1698	0,0288	15,4	5,888	34,67
0,1679	0,0282	15,5	5,957	35,48
0,1660	0,0275	15,6	6,026	36,31



Продължение на табл. 33.9

1	2	3	4	5
0,1641	0,0269	15,7	6,095	37,15
0,1622	0,0263	15,8	6,166	38,02
0,1603	0,0257	16,9	6,237	38,90
0,1585	0,0251	16,0	6,310	39,81
0,1567	0,0246	16,1	6,383	40,74
0,1549	0,0240	16,2	6,457	41,69
0,1531	0,0234	16,3	6,531	42,66
0,1514	0,0229	16,4	6,607	43,65
0,1496	0,0224	16,5	6,683	44,67
0,1479	0,0219	16,6	6,761	45,71
0,1462	0,0214	16,7	6,839	46,77
0,1445	0,0209	16,8	6,918	47,86
0,1429	0,0204	16,9	6,998	48,98
0,1413	0,0200	17,0	7,079	50,12
0,1396	0,0195	17,1	7,161	51,29
0,1380	0,0191	17,2	7,244	52,48
0,1365	0,0186	17,3	7,328	53,70
0,1349	0,0182	17,4	7,413	54,95
0,1334	0,0178	17,5	7,499	56,23
0,1318	0,0174	17,6	7,586	57,54
0,1303	0,0170	17,7	7,674	58,88
0,1288	0,0166	17,8	7,762	60,26
0,1274	0,0162	17,9	7,852	61,66
0,1259	0,0159	18,0	7,943	63,10
0,1245	0,0155	18,1	8,035	64,57
0,1230	0,0151	18,2	8,128	66,07
0,1216	0,0148	18,3	8,222	67,61
0,1202	0,0145	18,4	8,318	69,18
0,1189	0,0141	18,5	8,414	70,79
0,1175	0,0138	18,6	8,511	72,44
0,1161	0,0135	18,7	8,610	74,13
0,1148	0,0132	18,8	8,710	75,86
0,1135	0,0129	18,9	8,811	77,62
0,1122	0,0126	19,0	8,913	79,43
0,1109	0,0123	19,1	9,016	81,28
0,1096	0,0120	19,2	9,120	83,18
0,1084	0,0118	19,3	9,226	85,11
0,1072	0,0115	19,4	9,333	87,10
0,1059	0,0112	19,5	9,441	89,13
0,1047	0,0110	19,6	9,550	91,20
0,1035	0,0107	19,7	9,661	93,33
0,1023	0,0105	19,8	9,772	95,50
0,1012	0,0102	19,9	9,886	97,72
0,1000	0,0100	20,0	10,000	100,00
$10^{-2}$	$10^{-4}$	40,0	$10^2$	$10^4$
$10^{-3}$	$10^{-6}$	60,0	$10^3$	$10^6$
$10^{-4}$	$10^{-8}$	80,0	$10^4$	$10^8$
$10^{-5}$	$10^{-10}$	100,0	$10^5$	$10^{10}$

Стойности на отношения, които са във от обхвата на тази таблица, могат да бъдат определени по следния начин:

*Отрицателни стойности в dB (по-големи от -20 dB)*

Прибавят се по +20 dB, докато се получи стойност, дадена в таблицата. Отчетената стойност на отношението на токовете (напреженията) се дели на 10 толкова пъти, колкото пъти преди това са прибавяни по +20 dB. Ако се търси отношение на мощности, трябва да се дели по същия начин на 100.

*Пример*

Дадена е стойността -48,4 dB. Търси се отношението на напреженията и мощностите.

$$-48,4 \text{ dB} + 20 \text{ dB} + 20 \text{ dB} = -8,4 \text{ dB}.$$

Отношението на напреженията: -8,4 dB—0,3802 (от таблицата)

$$0,3802 \cdot 0,1 \cdot 0,1 = 0,003802.$$

Отношението на мощностите: -8,4 dB—0,1445 (от таблицата)

$$0,1445 \cdot 0,001 \cdot 0,001 = 0,00001445.$$

*Положителни стойности в dB (по-големи от +20 dB)*

Изваждат се по 20 dB, докато се получи стойност, дадена в таблицата. Отчетените стойности на отношението на токовете (напреженията) се умножава на 10 толкова пъти, колкото пъти преди това са извадени по 20 dB. Ако се търси отношение на мощности, трябва по същия начин да се умножава на 100.

*Пример*

Дадена е стойността +27,9 dB, търси се отношението на напреженията и мощностите.

$$+27,9 \text{ dB} - 20 \text{ dB} = +7,9 \text{ dB}.$$

Отношение на напреженията: +7,9 dB—0,4027 (от таблицата)

$$0,4027 \cdot 10 = 4,027.$$

Отношение на мощностите: +7,9 dB—0,1622 (от таблицата)

$$0,1622 \cdot 100 = 16,22.$$

Таблица 33.10. Пресмятане на какви да са отношения на токове, напрежения и мощности в децибели

Отношение на напреже- ния	0,00		0,01		0,02		0,03		0,04		0,05		0,06		0,07		0,08		0,09	
	1	2	3		4		5		6		7		8		9		10		11	
1,0	0,000	0,086	0,172		0,257		0,342		0,424		0,506		0,588		0,668		0,749			
1,1	0,828	0,906	0,984		1,062		1,138		1,214		1,289		1,364		1,438		1,511			
1,2	1,584	1,656	1,727		1,798		1,868		1,938		2,007		2,076		2,144		2,212			
1,3	2,279	2,345	2,411		2,477		2,542		2,607		2,671		2,734		2,798		2,860			
1,4	2,923	2,984	3,046		3,107		3,167		3,227		3,287		3,346		3,405		3,464			
1,5	3,522	3,580	3,637		3,694		3,750		3,807		3,862		3,918		3,973		4,028			
1,6	4,082	4,137	4,190		4,244		4,297		4,350		4,402		4,454		4,506		4,558			
1,7	4,609	4,660	4,711		4,761		4,811		4,861		4,910		4,950		5,008		5,057			
1,8	5,105	5,154	5,201		5,249		5,296		5,343		5,390		5,437		5,483		5,529			
1,9	5,575	5,621	5,666		5,711		5,756		5,801		5,845		5,889		5,933		5,977			
2,0	6,021	6,064	6,107		6,150		6,193		6,235		6,277		6,319		6,361		6,403			
2,1	6,444	6,486	6,527		6,568		6,608		6,649		6,689		6,729		6,769		6,809			
2,2	6,848	6,888	6,927		6,966		7,008		7,044		7,082		7,121		7,159		7,197			
2,3	7,235	7,272	7,310		7,347		7,384		7,421		7,458		7,495		7,532		7,568			
2,4	7,604	7,640	7,676		7,712		7,748		7,783		7,819		7,854		7,889		7,924			
2,5	7,959	7,993	8,028		8,062		8,097		8,131		8,165		8,199		8,232		8,266			
2,6	8,299	8,333	8,366		8,399		8,432		8,465		8,498		8,530		8,563		8,595			
2,7	8,627	8,659	8,691		8,723		8,755		8,787		8,818		8,850		8,881		8,912			
2,8	8,943	8,974	9,005		9,036		9,066		9,097		9,127		9,158		9,188		9,218			
2,9	9,248	9,278	9,308		9,337		9,367		9,396		9,426		9,455		9,484		9,513			
3,0	9,542	9,571	9,600		9,629		9,657		9,686		9,714		9,743		9,771		9,799			
3,1	9,827	9,855	9,883		9,911		9,939		9,966		9,994		10,021		10,049		10,076			
3,2	10,103	10,130	10,157		10,184		10,211		10,238		10,264		10,291		10,317		10,344			
3,3	10,370	10,397	10,423		10,449		10,475		10,501		10,527		10,553		10,578		10,604			
3,4	10,630	10,655	10,681		10,705		10,731		10,756		10,782		10,807		10,932		10,875			
3,5	10,881	10,906	10,931		10,955		10,980		11,005		11,029		11,053		11,078		11,102			
3,6	11,126	11,150	11,174		11,198		11,222		11,246		11,270		11,293		11,317		11,341			
3,7	11,364	11,387	11,411		11,434		11,457		11,481		11,504		11,527		11,550		11,573			
3,8	11,596	11,618	11,641		11,664		11,687		11,709		11,732		11,754		11,777		11,799			

1	2	3	4	5	6	7	8	9	10	11
3,9	11,821	11,844	11,866	11,888	11,910	11,932	11,954	11,976	11,998	12,019
4,0	12,041	12,063	12,085	12,106	12,128	12,149	12,171	12,192	12,213	12,234
4,1	12,256	12,277	12,298	12,319	12,340	12,361	12,382	12,403	12,424	12,444
4,2	12,465	12,486	12,506	12,527	12,547	12,568	12,588	12,609	12,629	12,649
4,3	12,669	12,690	12,710	12,730	12,750	12,770	12,790	12,810	12,829	12,849
4,4	12,869	12,889	12,908	12,928	12,948	12,967	12,987	13,006	13,026	13,045
4,5	13,064	13,084	13,103	13,122	13,141	13,160	13,179	13,198	13,217	13,236
4,6	13,255	13,274	13,293	13,312	13,330	13,349	13,368	13,386	13,405	13,423
4,7	13,442	13,460	13,479	13,497	13,516	13,534	13,552	13,570	13,589	13,607
4,8	13,625	13,643	13,661	13,679	13,697	13,715	13,733	13,751	13,768	13,786
4,9	13,804	13,822	13,839	13,857	13,875	13,892	13,910	13,927	13,945	13,962
5,0	13,979	13,997	14,014	14,031	14,049	14,066	14,083	14,100	14,117	14,134
5,1	14,151	14,168	14,185	14,202	14,219	14,236	14,253	14,270	14,387	14,303
5,2	14,320	14,337	14,353	14,370	14,387	14,403	14,420	14,436	14,453	14,469
5,3	14,486	14,502	14,518	14,535	14,551	14,567	14,583	14,599	14,616	14,632
5,4	14,648	14,664	14,680	14,696	14,712	14,728	14,744	14,760	14,776	14,791
5,5	14,807	14,823	14,839	14,855	14,870	14,886	14,902	14,917	14,933	14,948
5,6	14,964	14,979	14,995	15,010	15,026	15,041	15,056	15,072	15,087	15,102
5,7	15,117	15,133	15,148	15,163	15,178	15,193	15,208	15,224	15,239	15,254
5,8	15,269	15,284	15,298	15,313	15,328	15,343	15,358	15,373	15,388	15,402
5,9	15,417	15,432	15,446	15,461	15,476	15,490	15,505	15,519	15,534	15,549
6,0	15,563	15,577	15,592	15,606	15,621	15,635	15,650	15,664	15,678	15,692
6,1	15,707	15,721	15,735	15,749	15,763	15,778	15,792	15,806	15,820	15,834
6,2	15,848	15,862	15,876	15,890	15,904	15,918	15,931	15,945	15,959	15,973
6,3	15,987	16,001	16,014	16,028	16,042	16,055	16,069	15,083	16,096	16,110
6,4	16,124	16,137	16,151	16,164	16,178	16,191	16,205	16,218	16,232	16,245
6,5	16,258	16,272	16,285	16,298	16,312	16,325	16,338	16,351	16,365	16,378
6,6	16,391	16,404	16,417	16,430	16,443	16,456	16,469	16,483	16,496	16,509
6,7	16,521	16,534	16,547	16,560	16,573	16,586	16,599	16,612	16,625	16,637
6,8	16,650	16,663	16,676	16,688	16,701	16,714	16,726	16,739	16,752	16,764
6,9	16,777	16,790	16,802	16,815	16,827	16,840	16,852	16,865	16,877	16,890

Продължение на табл. 33.10

1	2	3	4	5	6	7	8	9	10	11
7,0	16,902	16,914	16,927	16,930	16,951	16,964	16,976	16,988	17,001	17,013
7,1	17,025	17,037	17,050	17,062	17,074	17,086	17,098	17,110	17,122	17,135
7,2	17,147	17,159	17,171	17,183	17,195	17,207	17,219	17,231	17,243	17,255
7,3	17,266	17,278	17,290	17,302	17,314	17,326	17,338	17,349	17,361	17,373
7,4	17,385	17,396	17,408	17,420	17,431	17,443	17,455	17,466	17,478	17,490
7,5	17,501	17,513	17,524	17,536	17,547	17,559	17,570	17,582	17,593	17,605
7,6	17,616	17,628	17,639	17,650	17,662	17,673	17,685	17,696	17,707	17,719
7,7	17,730	17,741	17,752	17,764	17,775	17,786	17,797	17,808	17,820	17,831
7,8	17,842	17,853	17,864	17,875	17,886	17,897	17,908	17,919	17,931	17,942
7,9	17,953	17,964	17,975	17,985	17,996	18,007	18,018	18,029	18,040	18,051
8,0	18,062	18,073	18,083	18,094	18,105	18,116	18,127	18,137	18,148	18,159
8,1	18,170	18,180	18,191	18,202	18,212	18,223	18,234	18,244	18,255	18,266
8,2	18,276	18,287	18,297	18,308	18,319	18,329	18,340	18,350	18,361	18,371
8,3	18,382	18,392	18,402	18,413	18,423	18,434	18,444	18,455	18,465	18,475
8,4	18,486	18,496	18,506	18,517	18,527	18,537	18,547	18,558	18,568	18,578
8,5	18,588	18,599	18,609	18,619	18,629	18,639	18,649	18,660	18,670	18,680
8,6	18,690	18,700	18,710	18,720	18,730	18,740	18,750	18,760	18,770	18,780
8,7	18,790	18,800	18,810	18,820	18,830	18,840	18,850	18,860	18,870	18,880
8,8	18,890	18,900	18,909	18,919	18,929	18,939	18,949	18,958	18,968	18,978
8,9	18,988	18,998	19,007	19,017	19,027	19,036	19,046	19,056	19,066	19,075
9,0	19,085	19,094	19,104	19,114	19,123	19,133	19,143	19,152	19,162	19,172
9,1	19,181	19,190	19,200	19,209	19,219	19,228	19,238	19,247	19,257	19,267
9,2	19,276	19,285	19,295	19,304	19,313	19,323	19,332	19,342	19,351	19,360
9,3	19,370	19,379	19,388	19,398	19,407	19,416	19,426	19,435	19,444	19,453
9,4	19,463	19,472	19,481	19,490	19,499	19,509	19,518	19,527	19,536	19,545
9,5	19,554	19,564	19,573	19,582	19,591	19,600	19,609	19,618	19,627	19,636
9,6	19,645	19,654	19,664	19,673	19,682	19,691	19,700	19,709	19,718	19,726
9,7	19,735	19,744	19,753	19,762	19,771	19,780	19,789	19,798	19,807	19,816
9,8	19,825	19,833	19,842	19,851	19,860	19,869	19,878	19,886	19,895	19,904
9,9	19,913	19,921	19,930	19,939	19,948	19,956	19,965	19,974	19,983	19,991

Продължение на табл. 33.10

1	2	3	4	5	6	7	8	9	10	11
10	20,000	20,828	21,584	22,279	22,923	23,522	24,082	24,609	25,105	25,575
20	26,021	26,444	26,848	27,235	27,604	27,959	28,299	28,627	28,943	29,248
30	29,542	29,827	30,103	30,370	30,630	30,881	31,126	31,364	31,596	31,821
40	32,042	32,256	32,465	32,669	32,869	33,064	33,255	33,442	33,625	33,804
50	33,979	34,151	34,320	34,486	34,648	34,807	34,964	35,117	35,269	35,417
60	35,563	35,707	35,848	35,987	36,124	36,258	36,391	36,521	36,650	36,777
70	36,902	37,025	37,147	37,266	37,385	37,501	37,616	37,730	37,842	37,953
80	38,062	38,170	38,276	38,382	38,486	38,588	38,690	38,790	38,889	38,988
90	39,085	39,181	39,276	39,370	39,463	39,554	39,645	39,735	39,825	39,913
100	40,000	—	—	—	—	—	—	—	—	—

Примери за използването на таблицата

Едно *отношение на напрежение* 2,38 : 1 трябва да бъде изразено в децибели. За целта се търси в лявата колонка „отношение на напрежения“ стойността 2,3 и се отчита стойността, нанесена на същия ред под колонката „0,08“ (=7,532 dB).

Ако трябва да се превърне в децибели едно отношение на *мощности*, напр. 8,73 : 1, отношението на мощностите се приема първоначално за отношение на напрежения (най-лявата колонка). Получената стойност в децибели (=18,820 dB) трябва да се умножи на 0,5. Така се намира отношението на мощностите, изразено в dB.

8,73 : 1 = 18,820 dB (отношение на напрежения)

18,820 · 0,5 = 9,41 dB (отношение на мощности).

Числа, изразяващи отношения, които не могат да се намерят в таблицата, се превръщат в децибели по следния начин:

*Числа, по-малки от 1:*

Числото, изразяващо някакво отношение, се умножава на 10, докато се получи стойност, дадена в таблицата. След това от отчетения резултат се изважда толкова пъти по +20 dB, колкото пъти числото е било умножено по 10.

*Пример*

Зададено е отношение на напрежения 0,0131, търси се отношението на напреженията, изразено в децибели.

$$0,0131 \cdot 10 \cdot 10 = 1,31;$$

1,31 → +2,345 dB (от таблицата);

$$+2,345 \text{ dB} - 20 \text{ dB} = -37,655 \text{ dB}.$$

*Числа, по-големи от 1,00:*

Числото, изразяващо отношение, се дели на 10 до тогава, докато се получи стойност, дадена в таблицата. След това към стойността, отчетена от таблицата, се прибавя толкова пъти по +20 dB, колкото пъти числото е било разделено на 10.

*Пример*

Зададено е отношение на напреженията 436 : 1, търси се отношението на напреженията dB.

$$436 \cdot 0,1 \cdot 0,1 = 4,36;$$

4,36 → +12,790 dB (от таблицата);

$$12,79 \text{ dB} + 20 \text{ dB} + 20 \text{ dB} = +52,79 \text{ dB}.$$

Таблица 33.11. Отношения на токове, напрежения и мощности, изразени в непер (Np)

Непер (Np)	Отношение на напрежения или токове $\frac{U_1}{U_2}; \frac{I_1}{I_2}$	Отношение на мощности $\frac{P_1}{P_2}$	Децибели (dB)	Непер (Np)	Отношение на напрежения или токове $\frac{U_1}{U_2}; \frac{I_1}{I_2}$	Отношение на мощности $\frac{P_1}{P_2}$	Децибели (dB)
0,0	1,0	1,0	0,0	2,2	9,025	81,45	19,1
0,1	1,105	1,221	0,87	2,4	11,02	121,50	21,0
0,2	1,221	1,492	1,74	2,6	13,46	181,3	22,6
0,3	1,350	1,822	2,61	2,8	16,44	270,4	24,3
0,4	1,492	2,226	3,47	3,0	20,09	403,4	26,1
0,5	1,649	2,718	4,48	3,2	24,53	601,8	27,8
0,6	1,822	3,320	5,21	3,4	29,96	897,8	29,5
0,7	2,014	4,055	6,08	3,6	36,60	1339	31,3
0,8	2,226	4,953	6,95	3,8	44,70	1998	33,0
0,9	2,460	6,050	7,81	4,0	54,60	2981	34,7
1,0	2,718	7,389	8,69	4,2	66,69	4447	36,6
1,1	3,004	9,025	9,55	4,4	81,45	6634	38,2
1,2	3,320	11,02	10,4	4,6	99,48	9897	40,0
1,3	3,669	13,46	11,3	4,8	121,5	14770	41,7
1,4	4,055	16,44	12,2	5,0	148,5	22030	43,4
1,5	4,482	20,09	13,0	5,2	181,3	32860	45,2
1,6	4,953	24,53	13,9	5,4	221,4	49020	46,9
1,7	5,475	29,96	14,8	5,6	270,4	73130	48,6
1,8	6,050	36,60	15,6	5,8	330,3	109100	50,4
1,9	6,686	44,70	16,5	6,0	403,4	162750	52,1
2,0	7,389	54,60	17,4				

1 непер = 8,686 dB; 1 dB = 0,116 непера.

Таблица 33.12. Пресмятане от непер в децибели и обратно

Непер в децибели						Децибели в непер					
Np	dB	Np	dB	Np	dB	dB	Np	dB	Np	dB	Np
1	2	3	4	5	6	7	8	9	10	11	12
0,1	0,869	4,1	35,6	8,1	70,4	1	0,115	41	4,72	81	9,32
0,2	1,74	4,2	36,5	8,2	71,2	2	0,230	42	4,84	82	9,44
0,3	2,61	4,3	37,3	8,3	72,1	3	0,345	43	4,95	83	9,55
0,4	3,47	4,4	38,2	8,4	73,0	4	0,460	44	5,06	84	9,67
0,5	4,34	4,5	39,1	8,5	73,8	5	0,576	45	5,18	85	9,79
0,6	5,21	4,6	40,0	8,6	73,8	6	0,691	46	5,30	86	9,90
0,7	6,08	4,7	40,8	8,7	75,6	7	0,806	47	5,41	87	10,0
0,8	6,95	4,8	41,7	8,8	76,4	8	0,921	48	5,52	88	10,1
0,9	7,82	4,9	42,6	8,9	77,3	9	1,04	49	5,64	89	10,2
1,0	8,69	5,0	43,4	9,0	78,2	10	1,15	50	5,76	90	10,4



Продължение на табл. 33.12

1	2	3	4	5	6	7	8	9	10	11	12
1,1	9,55	5,1	44,3	9,1	79,0	11	1,27	51	5,87	91	10,5
1,2	10,4	5,2	45,2	9,2	79,9	12	1,38	52	5,99	92	10,6
1,3	11,3	5,3	46,0	9,3	80,8	13	1,50	53	6,10	93	10,7
1,4	12,2	5,4	46,9	9,4	81,6	14	1,61	54	6,22	94	10,8
1,5	13,0	5,5	47,8	9,5	82,5	15	1,73	55	6,33	95	10,9
1,6	13,9	5,6	48,6	9,6	83,4	16	1,84	56	6,45	96	11,0
1,7	14,8	5,7	49,5	9,7	84,3	17	1,96	57	6,56	97	11,2
1,8	15,6	5,8	50,4	9,8	85,1	18	2,07	58	6,68	98	11,3
1,9	16,5	5,9	51,2	9,9	86,0	19	2,19	59	6,79	99	11,4
2,0	17,4	6,0	52,1	10,0	86,9	20	2,30	60	6,91	100	11,5
2,1	18,2	6,1	53,0	10,1	87,7	21	2,42	61	7,02	101	11,6
2,2	19,1	6,2	53,9	10,2	88,6	22	2,53	62	7,14	102	11,7
2,3	20,0	6,3	54,7	10,3	89,5	23	2,65	63	7,25	103	11,9
2,4	20,8	6,4	55,6	10,4	90,3	24	2,76	64	7,37	104	12,0
2,5	21,7	6,5	56,5	10,5	91,2	25	2,88	65	7,48	105	12,1
2,6	22,6	6,6	57,3	10,6	92,1	26	2,99	66	7,60	106	12,2
2,7	23,5	6,7	58,2	10,7	92,9	27	3,11	67	7,71	107	12,3
2,8	24,3	6,8	59,1	10,8	93,8	28	3,22	68	7,83	108	12,4
2,9	25,2	6,9	59,9	10,9	94,7	29	3,34	69	7,94	109	12,5
3,0	26,1	7,0	60,8	11,0	95,6	30	3,45	70	8,06	110	12,7
3,1	26,9	7,1	61,7	11,1	96,4	31	3,57	71	8,17	111	12,8
3,2	27,8	7,2	62,5	11,2	97,3	32	3,68	72	8,29	112	12,9
3,3	28,7	7,3	63,4	11,3	98,1	33	3,80	73	8,40	113	13,0
3,4	29,5	7,4	64,3	11,4	99,0	34	3,91	74	8,52	114	13,1
3,5	30,4	7,5	65,1	11,5	99,9	35	4,03	75	8,63	115	13,2
3,6	31,1	7,6	66,0	11,6	100,8	36	4,14	76	8,75	116	13,4
3,7	32,3	7,7	66,9	11,7	101,6	37	4,26	77	8,87	117	13,5
3,8	33,0	7,8	67,8	11,8	102,5	38	4,37	78	8,98	118	13,6
3,9	33,9	7,9	68,6	11,9	103,4	39	4,49	79	9,09	119	13,7
4,0	34,8	8,0	69,5	12,0	104,2	40	4,61	80	9,21	120	13,8

1 непер = 8,686 децибела; 1 децибел = 0,116 непера.

В САЩ, Великобритания и в някои други страни досега не се е наложила напълно международната метрична система. Това обстоятелство затруднява оценката на публикациите, защото всеки път английските, съотв. американските, мерки трябва да бъдат пресмятани в единици от метричната система. Следващите таблици имат за цел да улеснят тези пресмятания.

Таблица 33.13. Английски и американски единици за дължина и тяхното отношение към метричните единици

Великобритания и САЩ	Съкращение	Метрични единици	Коефициент
1	2	3	4
1 инч (пол) = 10 реда = 1000 мила (") in		2,54	0,3937
1 фут/стъпка = 12 инча	(') ft	30,48	$3,281 \cdot 10^{-2}$

Продължение на табл. 33.13

1	2	3	4
1 ярд = 3 фута = 36 инча	yd	91,44	$1,094 \cdot 10^{-2}$
1 фатом = 6 фута	fath	1,8288	0,547
1 род = 5,5 ярда = 16,5 фута	rod	5,0292	0,199
1 фурлонг = 40 рода = 220 ярда	fur	201,168	$4,97 \cdot 10^{-3}$
1 лондонска миля = 5000 стъпки	Lond. mile	1,524	0,6562
1 земна миля = 1760 ярда = 5280 фута	stat. mile	1,6093	0,6214
1 морска миля = 6076 фута	naut. mile	1,852	0,54

Коефициентът, даден в последната колона, се използва, когато данни за дължина от метричната система трябва да бъдат пресметнати в единици от английската, съотв. американската, система (напр.  $40\,000\text{ km} = 0,54 \cdot 40\,000 = 21\,600$  морски мили).

Таблица 33.14. Пресмятане на фугове, съотв. цолове в м

Английски фугове	0	1	2	3	4	5	6	7	8	9	10	11
0	0.0000	0.0254	0.0508	0.0762	0.1016	0.1270	0.1524	0.1778	0.2032	0.2286	0.2540	0.2794
1' (=12'')	0.305	0.330	0.356	0.381	0.406	0.432	0.457	0.483	0.508	0.533	0.559	0.584
2' (=24'')	0.610	0.635	0.660	0.686	0.711	0.737	0.762	0.787	0.813	0.838	0.864	0.889
3' (=36'')	0.914	0.940	0.965	0.991	1.016	1.041	1.067	1.092	1.118	1.143	1.168	1.194
4' (=48'')	1.219	1.245	1.270	1.295	1.321	1.346	1.372	1.397	1.422	1.448	1.473	1.499
5' (=60'')	1.524	1.549	1.575	1.600	1.626	1.651	1.676	1.702	1.727	1.753	1.778	1.803
6' (=72'')	1.829	1.854	1.880	1.905	1.930	1.956	1.981	2.007	2.032	2.057	2.083	2.108
7' (=84'')	2.134	2.159	2.184	2.210	2.235	2.261	2.286	2.311	2.337	2.362	2.388	2.413
8' (=96'')	2.438	2.464	2.489	2.515	2.540	2.565	2.591	2.616	2.642	2.667	2.692	2.717
9' (=108'')	2.743	2.769	2.794	2.819	2.845	2.870	2.896	2.921	2.946	2.972	2.997	3.023
10' (=120'')	3.048	3.073	3.099	3.124	3.150	3.175	3.200	3.226	3.251	3.227	3.302	3.327
11' (=132'')	3.353	3.378	3.404	3.429	3.454	3.480	3.505	3.531	3.556	3.581	3.607	3.632
12' (=144'')	3.658	3.683	3.708	3.734	3.759	3.785	3.810	3.835	3.861	3.886	3.912	3.937
13' (=156'')	3.962	3.988	4.013	4.039	4.064	4.089	4.115	4.140	4.166	4.191	4.216	4.242
14' (=168'')	4.267	4.293	4.318	4.343	4.369	4.394	4.420	4.445	4.470	4.496	4.521	4.547
15' (=180'')	4.572	4.597	4.623	4.648	4.674	4.699	4.724	4.750	4.775	4.801	4.826	4.851
16' (=192'')	4.877	4.902	4.928	4.953	4.978	5.004	5.029	5.055	5.080	5.105	5.131	5.156
17' (=204'')	5.182	5.207	5.232	5.258	5.283	5.309	5.334	5.359	5.385	5.410	5.436	5.461
18' (=216'')	5.486	5.512	5.537	5.563	5.588	5.613	5.639	5.664	5.690	5.715	5.740	5.766
19' (=228'')	5.791	5.817	5.842	5.867	5.893	5.918	5.944	5.969	5.994	6.020	6.045	6.071
20' (=240'')	6.096	6.121	6.147	6.172	6.198	6.223	6.248	6.274	6.299	6.325	6.350	6.375
21' (=252'')	6.401	6.426	6.452	6.477	6.502	6.528	6.553	6.579	6.604	6.629	6.655	6.680
22' (=264'')	6.706	6.731	6.756	6.782	6.807	6.833	6.858	6.883	6.909	6.934	6.960	6.985
23' (=276'')	7.010	7.036	7.061	7.087	7.112	7.137	7.163	7.188	7.214	7.239	7.264	7.290
24' (=288'')	7.315	7.341	7.366	7.391	7.417	7.442	7.468	7.493	7.518	7.544	7.569	7.595
25' (=300'')	7.620	7.645	7.671	7.696	7.722	7.747	7.772	7.798	7.823	7.849	7.874	7.899
26' (=312'')	7.925	7.950	7.976	8.001	8.026	8.052	8.077	8.103	8.128	8.153	8.179	8.204
27' (=324'')	8.230	8.255	8.280	8.306	8.331	8.357	8.382	8.407	8.433	8.458	8.484	8.509
28' (=336'')	8.534	8.560	8.585	8.611	8.636	8.661	8.687	8.712	8.738	8.763	8.788	8.814
29' (=348'')	8.839	8.865	8.890	8.915	8.941	8.966	8.992	9.017	9.042	9.068	9.093	9.119
30' (=360'')	9.144	9.169	9.195	9.220	9.246	9.271	9.296	9.322	9.347	9.373	9.398	9.423

1' = 0.3048 m; 1'' = 0.0254 m; 1' = 12''.

Таблица 33.15. Пресмятане на части от цола в милиметри

В цолове	В милиметри	В цолове	В милиметри
$1/64=0,015$	0,396	$33/64=0,516$	13,096
$1/32=0,031$	0,793	$17/32=0,531$	13,492
$3/64=0,047$	1,190	$35/64=0,547$	13,890
$1/16=0,063$	1,587	$9/16=0,563$	14,287
$5/64=0,078$	1,984	$37/64=0,578$	14,683
$3/32=0,094$	2,381	$19/32=0,594$	15,080
$7/64=0,109$	2,778	$39/64=0,609$	15,477
$1/8=0,125$	3,175	$5/8=0,625$	15,875
$9/64=0,141$	3,571	$41/64=0,641$	16,271
$5/32=0,156$	3,968	$21/32=0,656$	16,667
$11/64=0,172$	4,365	$43/64=0,672$	17,064
$3/16=0,188$	4,762	$11/16=0,688$	17,462
$13/64=0,203$	5,159	$45/64=0,703$	17,858
$7/32=0,219$	5,556	$23/32=0,719$	18,255
$15/64=0,234$	5,952	$47/64=0,734$	18,652
$1/4=0,250$	6,350	$3/4=0,750$	19,050
$17/64=0,266$	6,746	$49/64=0,766$	19,446
$9/32=0,281$	7,143	$25/32=0,781$	19,842
$19/64=0,297$	7,540	$51/64=0,797$	20,239
$5/16=0,313$	7,937	$13/16=0,813$	20,637
$21/64=0,328$	8,334	$53/64=0,828$	21,033
$11/32=0,344$	8,730	$27/32=0,844$	21,429
$23/64=0,359$	9,127	$55/64=0,859$	21,827
$3/8=0,375$	9,525	$7/8=0,875$	22,225
$25/64=0,391$	9,921	$57/64=0,891$	22,621
$3/32=0,406$	10,318	$29/32=0,906$	23,017
$17/64=0,422$	10,715	$59/64=0,922$	23,414
$7/16=0,438$	11,112	$15/16=0,938$	23,812
$29/64=0,453$	11,508	$61/64=0,953$	24,208
$15/32=0,469$	11,905	$31/32=0,969$	24,604
$31/64=0,484$	12,302	$63/64=0,984$	25,002
$1/2=0,500$	12,700	$1=1,000$	25,400

цол = англ. инч.

Таблица 33.16. Американски и английски стандарти за проводници; данните за диаметра са в инчове и милиметри

Американският стандарт за проводниците се базира на един стандарт на фирмата Brown & Sharpe и отделните типове проводници се означават с пореден номер. Като правило към номера се добавят и буквите AWG (=American Wire Gage).

Във Великобритания има два стандарта: BWG и ISWG. Отделните проводници също се означават с пореден номер.

Номер	AWG Диаметър		BWG Диаметър		ISWG Диаметър	
	в инчове	в mm	в инчове	в mm	в инчове	в mm
1	2	3	4	5	6	7
0000	0,460	11,68	0,454	11,53	0,40	10,16
000	0,409	10,41	0,425	10,80	0,372	9,45

Продължение на табл. 33.16

1	2	3	4	5	6	7
00	0,365	9,27	0,380	9,65	0,348	8,84
0	0,325	8,25	0,340	8,64	0,324	8,23
1	0,289	7,35	0,300	7,62	0,300	7,62
2	0,258	6,54	0,283	7,21	0,276	7,01
3	0,229	5,83	0,259	6,58	0,252	6,40
4	0,204	5,19	0,238	6,05	0,232	5,89
5	0,182	4,62	0,220	5,59	0,212	5,38
6	0,162	4,11	0,203	5,16	0,192	4,88
7	0,144	3,66	0,179	4,57	0,176	4,47
8	0,128	3,26	0,164	4,19	0,160	4,06
9	0,114	2,90	0,147	3,76	0,144	3,66
10	0,102	2,59	0,134	3,40	0,128	3,25
11	0,091	2,30	0,120	3,05	0,116	2,95
12	0,081	2,05	0,109	2,77	0,104	2,64
13	0,072	1,83	0,095	2,41	0,092	2,34
14	0,064	1,63	0,083	2,11	0,081	2,03
15	0,057	1,45	0,072	1,83	0,072	1,83
16	0,051	1,29	0,065	1,65	0,064	1,63
17	0,045	1,15	0,058	1,47	0,056	1,42
18	0,040	1,02	0,049	1,24	0,048	1,22
19	0,036	0,91	0,042	1,07	0,040	1,02
20	0,032	0,81	0,035	0,89	0,036	0,92
21	0,028	0,72	0,031	0,81	0,032	0,81
22	0,025	0,64	0,028	0,71	0,028	0,71
23	0,023	0,57	0,025	0,64	0,024	0,61
24	0,020	0,51	0,023	0,56	0,023	0,56
25	0,018	0,45	0,020	0,51	0,020	0,51
26	0,016	0,40	0,018	0,46	0,018	0,46
27	0,014	0,36	0,016	0,41	0,016	0,41
28	0,013	0,32	0,0135	0,356	0,014	0,38
29	0,011	0,29	0,013	0,33	0,013	0,35
30	0,010	0,25	0,012	0,305	0,012	0,305
31	0,009	0,23	0,010	0,254	0,011	0,29
32	0,008	0,20	0,009	0,229	0,0106	0,27
33	0,007	0,18	0,008	0,203	0,010	0,254
34	0,0063	0,16	0,007	0,178	0,009	0,229
35	0,0056	0,14	0,005	0,127	0,008	0,203
36	0,0050	0,13	0,004	0,102	0,007	0,178
37	0,0044	0,11	—	—	0,0067	0,17
38	0,0040	0,10	—	—	0,0060	0,15
39	0,0035	0,09	—	—	0,0050	0,127
40	0,0031	0,08	—	—	0,0047	0,12

Данните в милиметри са закръглени.

Таблица 33.17. Коаксиални кабели с вълново съпротивление от 50  $\Omega$  до 150  $\Omega$ , производител VEB Kabelwerk Oberspree, Берлин, ГДР

Сък. означение	50-2-1	50-3-1	50-7-2	50-12-1
Вълново съпр., $\Omega$	50 $\pm$ 4	50 $\pm$ 3	50 $\pm$ 2	50 $\pm$ 2
Вътр. проводник	меден		многожичен	
Номинален диаметър	0,45 mm	0,9 mm	2,28 mm	3,38 mm
Диелектрик	полиетилен			
Външен проводник	медна оплетка			
Защитна обвивка	пластмаса			
Външен диаметър	2,8 mm	5,0 mm	10,3 mm	15,0 mm
Коефициент на скъсяване около	0,66	0,66	0,66	0,66
Капацитет, pF/m	100	100	100	100
Затихване, dB/100 m				
10 MHz	10	5	2,8	1,9
100 MHz	33	17	8,5	5,5
200 MHz	46	22	12	8,2
500 MHz	82	40	21	14
800 MHz	—	54	28	19
Стандарт IEC	96 IEC 50-3-4		96 IEC 50-7-2	
Еквивалент	RG 58 C/U		RG 213 U	

Сък. означение	60-7-1	60-7-2	60-10-1	60-10-2
Вълново съпротивление, $\Omega$	60 $\pm$ 3	60 $\pm$ 3	60 $\pm$ 5	60 $\pm$ 3
Вътрешен проводник	многожичен	едножичен	многожичен	едножичен
Номинален диаметър	1,5 mm	1,5 mm	2,28 mm	2,26 mm
Диелектрик	полиетилен			
Външен проводник	медна оплетка			
Защитна обвивка	пластмаса			
Външен диаметър	8,8 mm	8,8 mm	13,2 mm	13,2 mm
Коефициент на скъсяване около	0,66	0,66	0,66	0,66
Капацитет, pF/m	85	85	85	85
Затихване, dB/100 m				
10 MHz	2,5	2,1	1,9	1,7
100 MHz	8	7	5,5	4,9
200 MHz	12	10	8	7
500 MHz	19	17	14	12
800 MHz	27	23	18	16

#### Забележка

Производството на коаксиални кабели с вълново съпротивление 60  $\Omega$  е спряно през 1974 г., защото в съответствие с РС-603-33 на СИВ и документ 78 на IEC в I, II и III телевизионни обхвати се преминава към използването на коаксиални кабели с вълново съпротивление 75  $\Omega$ , които имат оптимални стойности за затихването. На честоти над 1000 MHz ще се използват кабели с вълново съпротивление 50  $\Omega$ .

Продължение на табл. 33.17

Съкратено означение	75-4-1	75-4-4	75-5-A	75-5-B
Вълново съпротивление, $\Omega$	$75 \pm 3$	$75 \pm 3$	$75 \pm 5$	$75 \pm 5$
Вътрешен проводник	меден многожичен	меден	едножичен	
Номинален диаметър	0,6 mm	0,58 mm	1,1 mm	1,1 mm
Диелектрик	полиетилен		порест полиетилен	
Номинален диаметър	3,7 mm	3,7 mm	4,8 mm	4,8 mm
Външен проводник	медна оплетка			
Защитна обвивка	пластмаса			
Вътрешен диаметър	5,6 mm	5,6 mm	6,9 mm	6,8 mm
Коефициент на скъсяване	0,66	0,66	0,83	0,83
Капацитет, pF/m	67	67	53	53
Затихване, dB/100 m				
10 MHz	4,4	3,8	2,3	2,3
100 MHz	14	13	7,5	7,5
200 MHz	20	18	11	11
500 MHz	33	29	20	20
800 MHz	43	38	28	28

Съкратено означение	75-7-2	75-7-8	75-17-2	150-6-1
Вълново съпротивление, $\Omega$	$75 \pm 3$	$75 \pm 3$	$75 \pm 3$	$150 \pm 22,5$
Вътрешен проводник	меден многожичен	меден	едножичен	
Номинален диаметър	1,2 mm	1,1 mm	2,7 mm	0,25 mm
Диелектрик		полиетилен		полиетилен с въздушна меж- дина
Номинален диаметър	7,25 mm	7,25 mm	17,3 mm	5,5 mm
Външен проводник		медна оплетка		
Защитна обвивка		пластмаса		
Външен диаметър	10,3 mm	10,3 mm	22,5 mm	7,6 mm
Коефициент на скъсяване				
около	0,66	0,66	0,66	0,83
Капацитет, pF/m	67	67	67	27
Затихване, dB/100 m				
10 MHz	2,3	2,0	1,0	—
100 MHz	7,5	6,3	3,5	—
200 MHz	11	9,2	5,1	—
500 MHz	18	16	9	—
800 MHz	24	21	13	—

*Забележка*

Кабелът тип 75-5-A се препоръчва за използване при телевизионни антени за IV/V обхват, защото е със сравнително малки загуби и ниска цена.

Таблица 33.18. Екранирани симетрични високочестотни кабели, производител VEB Kabelwerk Oberspree, Берлин, ГДР

Съкратено означение	240 D 5-2
Вълново съпротивление, $\Omega$	$240 \pm 20$
Вътрешни проводници	2 медни проводника
Номинален диаметър	$2 \times 0,25$ mm

Продължение на табл. 33.18

Диелектрик	порест полиетилен
Външен проводник	медна оплетка
Защитна обвивка	пластмаса
Външен диаметър	7,0 mm
Коефициент на скъсяване около	0,82
Капацитет, pF/m	18
Затихване, dB/100 m	---
10 MHz	---
100 MHz	---
200 MHz	---

Таблица 33.19. Симетрични неекранирани високочестотни кабели, производство на VEB Kabelwerk Oberspree, Берлин, ГДР

Съкратено означение	120 В 1-1	240 А 4-1	240 В 5-2	300 А 6-1
Вълново съпротивление, $\Omega$	120 $\pm$ 18	240 $\pm$ 24	240 $\pm$ 24	300 $\pm$ 30
Вътрешни проводници	едножични	едножични	многожични	многожични
Номинален диаметър	2 $\times$ 0,3 mm	2 $\times$ 0,9 mm	2 $\times$ 0,9 mm	2 $\times$ 0,9 mm
Диелектрик	полиетилен	полиетилен	порест полиетилен	полиетилен
Разстояние между проводниците	1 mm	4,4 mm	4,8 mm	6,4 mm
Ширина на кабели	1,5 $\times$ 0,7 mm	6,6 mm	6,8 mm	8,6 mm
Коефициент на скъсяване около	0,75	0,80	0,85	0,80
Капацитет, pF/m	38	16	17	13
Затихване в dB/100 m	---	---	---	---
10 MHz	---	1,2	1,2	0,9
100 MHz	---	4,8	4,8	3,5
200 MHz	---	7,6	7,6	5,9
500 MHz	---	15	15	9,5

Таблица 33.20. Стандартни съветски коаксиални кабели

Тип	Вълново съпротивление в $\Omega$	Капацитет, pF/m	Диаметър на вътрешния проводник, mm	Външен диаметър, mm	Затихване, Np/km при		
					45 MHz	200 MHz	3000 MHz
1	2	3	4	5	6	7	8
РК 19	50	115	0,7	---	---	34,6	230
РК 119	50	115	0,7	---	---	34,6	230
РКТФ 19	50	105	0,7	---	---	34,6	230
РК 55	50	110	0,9	---	---	28,8	196
РК 159	50	110	0,9	---	---	28,8	196
РКТФ 29	50	106	1,0	---	---	28,8	196
РК 29	50	110	1,4	---	---	---	161



Продължение на табл. 33.20

1	2	3	4	5	6	7	8
РК 129	50	110	1,4				161
РК 28	50	115	2,3				144
РК 128	50	115	2,3				144
РКТФ 47	50	106	2,5			17,3	127
РК 147	50	115	2,3			19,6	144
РК 47	50	115	2,8			19,6	144
РК 48	50	115	3,4			13,8	86,5
РК 148	50	115	3,4			13,8	86,5
РКТФ 48	50	106	3,6			13,8	104
РК 61	50	115	4,5	15,0	4,6		127
РК 6	52	101	2,6	9,0	6,0		86,5
РК 106	53	102	2,6	9,0	5,8		104
РКТФ 6	52	101	2,6	8,0			127
РК 3	74	70	1,4	9,0	5,4		92
РК 103	74	71	1,4	9,0	5,8		104
РК 4	74	70	1,4	9,0	8,0		369
РК 104	74	71	1,4	9,0	8,1		104
РК 1	75	76	0,7			21,0	150
РК 101	75	76	0,7			21,0	150
РКТФ 1	75	70	0,8			21,0	150
РК 49	75	76	0,8			23,0	173
РК 149	75	76	0,8			23,0	173
РКТФ 49	75	70	0,9			17,3	144
РК 20	75	76	1,1			17,3	127
РК 120	75	78	1,2			17,3	127
РКТФ 3	75	70	1,3			13,8	115
РКТФ 20	75	70	1,4			17,3	127
РКТФ 160	75	75	2,0	13,0			104
РК 62	75	70	2,2	15,0	4,0		92
РК 8	75	68	2,7	18,0			
РКТФ 56	77	50	0,6	5,0	11,5		156
РК 156	83	48	0,6	4,0	10,4		150
РКТФ 50	100	37	0,3	6,0	9,2		115
РК 2	100	57	0,6			16,1	98
РКТФ 2	100	50	0,7			17,3	127
РК 50	150	27	0,3	6,0	8,5		97
РК 150	150	27	0,3	6,0	5,8		97

Таблица 33.21. Стандартни американски коаксиални кабели

Тип	Вълново съпротив- ление в $\Omega$	Капацитет, pF/m	Диаметър на вътрешния проводник, mm	Външен диаметър, mm	Затихване, Np/km при		
					30 MHz	100 MHz	500 MHz
1	2	3	4	5	6	7	8
RG-58/U	53,5	94	0,8	5	8,7	17,4	41,6
RG-55/U	както RG-58/U, но с външна защитна обвивка от полиетилен, диаметър 5,23 mm						

Продължение на табл. 33.21

1	2	3	4	5	6	7	8
RG-5/U	52,5	94	1,3	8,5	5,6	11,0	
RG-8/U	52	97	многожичен 7×0,7	10	3,8	7,9	20,8
RG-14/U	52	97	2,6	14	2,8	5,3	
RG-17/U	52	97	4,8	22	1,6	3,0	
RG-19/U	52	97	6,35	28,5	1,25	2,57	
RG-59/U	73	69	0,65	6,2	7,2	12,9	34,0
RG-6/U	76	66	0,72	8,5	5,3	11,0	
RG-11/U	75	68	многожичен 7×0,4	10	4,5	8,7	18,9
RG-13/U	74	68	многожичен 7×0,4	10,7	4,3	8,3	
RG-62/U	93	46	0,65	6,15	5,6	10,2	
RG-71/U	както RG-62/U, но с външна защитна обвивка от полнетилен, диаметър 6,35 mm						
RG-63/U	125	34,5	0,65	10,3	4,2	7,6	

Таблица 33.22. Стандартни американски лентови кабели (Амфенол)

Тип	Вълново съпротив- ление, Ω	Коефициент на скъся- ване	Диаметър на про- водниците, mm	Затихване, Np/km при			
				7 MHz	30 MHz	150 MHz	400 MHz
14-080	75	0,68	7×0,32	7,9	15,8	35,9	53,8
14-023	75	0,71	7×0,7	1,9	5,7	18,5	
14-079	150	0,77	7×0,32	2,5	5,7	12,8	20,8
14-056	300	0,82	7×0,32	1,1	2,3	5,9	10,2
14-100	300	0,82	7×0,32	1,1	2,3	5,9	10,2
14-271	300	0,82	7×0,32	1,1	2,3	5,9	10,2
14-185	300	0,82	7×0,4	0,8	2,0	5,1	9,4
14-076	300	0,82	7×0,4	0,8	1,9	4,8	8,3
14-022	300	0,82	1,3	0,6	1,4	3,8	6,8

# ЗАБЕЛЕЖАНИ ПЕЧАТНИ ГРЕШКИ В КНИГАТА

Наръчник по антени

Стр.	Ред	Напечатано	Да се чете	По вина на
424	Фиг. 26.37	Клишето обърнато		печатницата
563	Табл. 33.3	Данните в дясната половина на долната таблица се отнасят за 20-ия обхват (стр. 564)		преводача
566	Табл. 33.5.1			
569	2-ра колонка 9 отдолу	559 . . . 566	558 . . . 566	"
	Табл. 33.5.4			
	2-ра колонка	188,40 . . . 301,55	188,40 . . . 201,55	"
	Табл. 33.5.5			
	2-ра колонка	215,0 . . . 223,0	216,0 . . . 223,0	"
577	Табл. 33.8			
	4-та колонка 2 отдолу	4,291 . 7	4,291 . 8	"
	6-та " 7 "	3,778 . 3	3,768 . 3	"
	Табл. 33.9			
	5-та колонка 1 отдолу	1,972	1,072	"
578	Табл. 33.9			
	2-ра колонка 3 отгоре	0,9710	0,8710	"
579	2-ра " 9 отдолу	0,1923	0,1023	"
580	1-ва " 6 "	0,1759	0,1758	"
	2-ра " 14 отгоре	0,0517	0,0617	"
581	3-та " 3 "	16,9	15,9	"
583	Табл. 33.10			
	3-та колонка 11 отгоре	6,964	6,064	"
	5-та " 5 отдолу	10,795	10,706	"
	6-та " 11 отгоре	6,139	6,193	"
	7-ма " 6 "	3,907	3,807	"
	9-та " 8 "	4,950	4,959	"
	10-та " 7 "	4,606	4,506	"
	10-та " 5 отдолу	10,932	10,832	"
584	7-ма " 3 отгоре	12,261	12,361	"
	9-та " 4 "	12,60	12,609	печатницата
	10-та " 13 "	14,387	14,287	преводача
	10-та " 1 отдолу	16,977	16,877	"
585	5-та " 1 отгоре	16,930	16,939	"
586	2-ра " 4 "	32,042	32,041	"
	текста под таблицата,			
	2 отгоре	напрежение	напрежения	"
588	Табл. 33.11			
	3-та колонка 5 отгоре	1,226	2,226	"
	8-ма " 11 "	36,6	36,5	"
	Табл. 33.12			
	6-та колонка 6 отгоре	73,8	74,7	"

Ср.	Ред	Напечатано	Да се чете	По вина на
589	Табл. 33.13	Липсват дименсите на метричните единици в колонка трета. Следва да се чете :	2,54 cm 30,48 cm 91,44 cm 1,8288 m 5,0292 m 201,168 m 1,524 km 1 6093 km 1,852 km	преводача
591	Таб. 33.14	Цифрите в анкетката означават ин-чове		
	6-та колонка 13отгоре	3,459	3,759	преводача
	10-та „ 7 „	2,932	2,032	„
	11-та „ 11 „	3,227	3,277	коректора
	12-та „ 3отдолу	8,738	8,788	преводача
	13-та „ 17отгоре	5,156	5,136	„

## НАРЪЧНИК ПО АНТЕНИ

Автор *Кара Ротхамел*Преводачи: виж. *Стефан Иванов Попов*, виж. *Васил Цимитров Терзиса*

Напояваност — немска, ГДР

Първо издание

Редактор виж. *Васил Терзиса*Художник *Иван Марков*Худ. редактор *Георги Гьделев*Технически редактор *Желязка Илиева*Коректор *Славка Иванова*

Дадена за набор на 23. VI. 1977 г.

Подписана за печат през м. ноември 1977

Излязла от печат през м. декември 1977

Формат 60/90/16

Печатни коли 37,50

Издателски коли 37,50

Лит. гр. III-2

Код 03  $\frac{95331-42612}{3172-27-77}$ 

Изд. № 10146

Тираж 15000+90

Цена на дребно 2,20 лв.

Държавно издателство «Техника» — бул. Русия № 6, София

Държавна печатница «Т. Димитров», София